

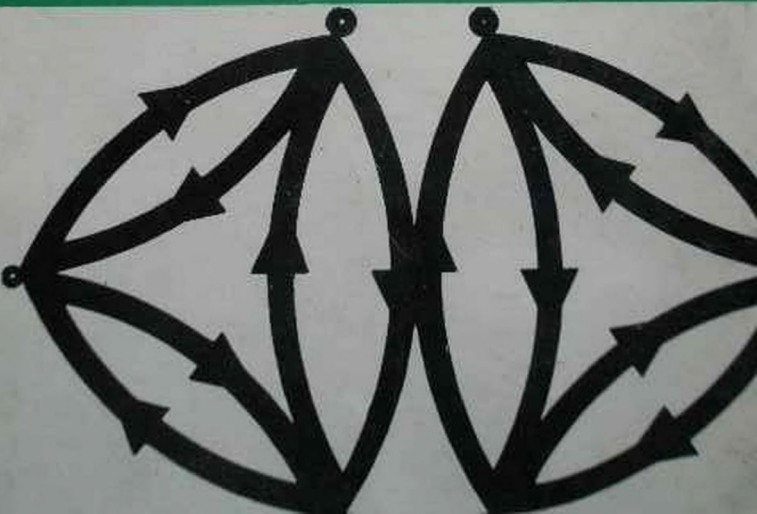


N. Balabanian



T. Bickert

Teoria modernă a circuitelor



Prefață

Lucrarea a fost inițial concepută ca o ediție revăzută a lucrării Analiza rețelelor (circuitelor) liniare (Linear Network Analysis) a lui Sundaram Seshu și Norman Balabanian, în vara anului 1965. Totuși înainte ca activitatea de revizuire să înceapă cu adevărat, S. Seshu a murit într-un tragic accident de automobil. De atunci, ediția revăzută concepută inițial a suferit modificări atât de mari încât a căpătat caracterul unei noi cărți și o prezentăm ca atare. Noi (în special Norman Balabanian) dorim, cu toate acestea, să menționăm contribuțiile directe și indirecte la această carte, ale lui S. Seshu.

Materialul cu ajutorul căruia a fost scrisă această carte a fost folosit într-un curs introductiv (beginning graduate course) la Universitatea din Syracuse și la Berkeley — Universitatea din California. Nivelul lucrării permite însă folosirea unor părți din ea într-un curs pentru anii superiori (senior course).

În studiul sistemelor electrice este adesea necesar să ne ocupăm de structura internă și de compoziția sistemului. În aceste cazuri un instrument important pentru analiză este topologia. În alte cazuri, interesează numai caracteristicile externe. Atunci intră în joc considerațiile de „sistem”. În această carte ne vom ocupa atât de compoziția internă cât și de caracteristicile de sistem.

Instrumentele matematice de primă importanță sînt analiza matriceală, grafurile liniare, funcțiile de variabilă complexă și transformata Laplace. Primele două sînt dezvoltate în interiorul textului, ultimele două fiind tratate în anexe. De asemenea, pentru a pune bazele folosirii funcției impuls-unitate în cap. 5, se tratează în anexe și funcțiile generalizate. Fiecare din anexe constituie o dezvoltare relativ detaliată și atentă a subiectului tratat.

*În această carte am încercat să facem o dezvoltare îngrijită a bazelor teoriei circuitelor (rețelelor)*¹. Se studiază răspunsurile în domeniul timp*

*¹ Menționăm că în traducerea cuvîntului „Network” s-au folosit în lucrare, ca fiind sinonime în sens larg, rețea sau circuit. Ținînd seama, însă, pe de o parte, că în anumite domenii ca electroenergetica, telecomunicațiile și în activitatea practică a electronistului, electrotehnicianului, automatistului ș.a. aceste cuvinte pot desemna sisteme, respectiv sub-sisteme (ex. rețea cu mai multe circuite, sau invers), iar pe de altă parte, că lucrarea îmbrățișează aspectele generale ale rețelelor sau circuitelor, am denumit cartea „Teoria modernă a circuitelor (rețelelor)”. Aruncăm astfel o punte de trecere între aceste cuvinte, care nu e străină și de aprecierea că teoria rețelelor (circuitelor) se intersectează în preocupări cu laturi ale teoriei sistemelor, cum și cu ale altor domenii, cum sînt cele privind calculatoarele

și în frecvență, analiza și sinteza. Împreună cu componentele pasive reciproce se studiază și componentele active neregiproce (surse comandate, giratoare, convertoare de impedanță negativă). Deși cea mai mare parte a cărții se limitează la rețelele liniare invariante în timp, există totuși un capitol important care se ocupă de rețelele neliniare și variante în timp.

Analiza matriceală nu este tratată în totalitate într-un singur capitol; se introduc părți din ea acolo unde este necesar. Astfel, considerațiile introductive sînt discutate în cap. 1, dar funcțiile de matrice se introduc în cap. 4, în care se caută o soluție pentru ecuația vectorilor de stare. În mod analog, echivalența matricelor, forma canonică a unei matrice și formele pătratice se tratează în cap. 7, pregătind dezvoltarea proprietăților analitice ale funcțiilor de rețea.

Analiza rețelelor începe în cap. 2 cu o formulare precisă a relațiilor fundamentale ale lui Kirchhoff, obținute prin aplicarea teoriei grafurilor. Metodele clasice folosind ecuațiile pe ochiuri, la noduri, la perechi de noduri și cu variabile mixte sînt prezentate pe bază topologică.

În cap. 3 se tratează rețelele multiterminale caracterizate prin mărimile măsurate la borne și la perechi de borne (porți). Aici se introduc matricele de admitanță și impedanță nedefinite și se discută proprietățile lor. Capitolul se încheie cu o discuție a formulelor pentru calculul funcțiilor de rețea pornind de la concepte topologice.

În cap. 4 se introduc ecuațiile de stare ale rețelei. Metoda de scriere a ecuațiilor de stare pentru rețelele pasive și active, reciproce și neregiproce este astfel încît cere calcularea parametrilor de multiport numai pentru o rețea rezistivă (care poate fi activă și neregiprocă). Se tratează dezvoltat soluția în domeniul timp pentru ecuația vectorilor de stare.

Cap. 5 se ocupă de metodele integrale de găsire a soluției, ceea ce include integrala de convoluție și integralele de superpoziție. Se discută metodele numerice de evaluare a matricelor de tranziție și problema erorilor în soluțiile numerice.

Cap. 6 și 7 fac trecerea de la analiză la sinteză. Se studiază suficiența părții reale, modulului sau fazei ca părți date ale unei funcții de rețea și se dezvoltă metodele de determinare a funcției de rețea din oricare dintre părțile ei. Acest lucru implică folosirea unor metode algebrice și a relațiilor integrale date de formulele Bode. Se studiază, de asemenea, formulele integrale ce dau legătura dintre partea reală și imaginară ale unei funcții de rețea și răspunsul la impulsul sau la treapta unitate. Pentru rețelele pasive, funcțiile de energie dau baza stabilirii proprietăților analitice ale funcțiilor de rețea. Se introduc funcțiile real — pozitive și se obțin din ele proprietățile

și cibernetica, fapt care favorizează simultan generalizarea noțiunilor sau(și) accepțiuni diferite pentru ele. În text am folosit rețea sau circuit, după cum s-a apreciat mai uzual în terminologia curentă. Aparentul pleonasm ar putea fi(sau nu) înlăturat de necesitățile exprimării fiecărui cititor, iar precizarea va veni în timp, odată cu standardizarea terminologiei și cu verificarea ei în practică. Și pentru alte cuvinte-menționate în dicționarul român-englez de la sfîrșitul lucrării — sau folosit și termenii sinonimi. (N.R.).

funcțiilor de reactanță și cele ale funcțiilor de admitanță și impedanță RC. Metodele de sinteză prezentate pentru aceste funcții cât și pentru altele, includ metoda Darlington și metodele de sinteză pentru rețelele active RC.

Cap. 8 prezintă o tratare amănunțită a parametrilor de repartitie și descrierea rețelelor multiport cu ajutorul matricelor de repartitie. Se discută normalizarea reală și complexă, ultima incluzînd normalizarea la o singură frecvență și normalizarea independentă de frecvență. Se studiază proprietățile de reflexie și transmisie ale rețelelor multiport active și pasive, reciproce și neregiproce, în funcție de parametrii de repartitie. Se discută aplicațiile la proiectarea filtrelor și amplificatoarelor de rezistență negativă.

Conceptele de reacție și stabilitate se studiază în cap. 9. Se introduce aici, ca instrument matematic, graful de fluență al semnalelor. Se prezintă criteriile Routh-Hurwitz, Lienard Chipart și Nyquist.

Ultimul capitol este consacrat rețelelor variabile în timp și neliniare. Se pune accentul pe proprietățile generale ale ambelor tipuri de rețea, așa cum rezultă din ecuațiile de stare. Se discută probleme ale existenței și unicității soluțiilor și metode de obținerea lor. Se dă atenție teoriei stabilității a lui Liapunov.

La sfîrșitul fiecărui capitol se prezintă o mare varietate de probleme. Numărul total este 460, unele din ele fiind simple aplicații ale relațiilor obținute în text. Totuși, multe din ele cer o extensie considerabilă a materialului din text, sau demonstrații ale unor afirmații ajutătoare care nu au putut fi incluse în text din lipsă de spațiu. În anumite capitole a fost inclusă o clasă specială de probleme. Fiecare din acestea, notate cu un asterisc cere scrierea unui program pentru calculator. Deși scrierea programelor pentru calculator nu a fost discutată în text și s-a inclus numai o minimă prezentare a metodelor numerice, credem că cititorii acestei cărți posedă un nivel de cunoștințe suficient, care permite rezolvarea acestor probleme.

La sfîrșitul cărții se dă o bibliografie, în scopul prezentării unei serii de autori cărora le datorăm unele din ideile noastre. În plus ea constituie o bază suplimentară de referință ce poate fi consultată pentru subiecte speciale.

Am beneficiat de observațiile și criticile multor colegi și studenți, care ne-au sugerat îmbunătățiri, pentru care exprimăm mulțumirile noastre.

Syracuse New York

N. Balabanian

T. A. Blekart

Cuprins

	<u>Pag.</u>
Prefața	5
1. Noțiuni fundamentale	17
1.1. Introducere	17
1.2. Algebra matriceală elementară	19
Operațiuni de bază	20
Tipuri de matrice.	25
Determinanți	27
Inversa unei matrice	31
Condensare pivotală.	33
Ecuații liniare	35
Ecuație caracteristică	41
Similitudine	43
Inegalitatea lui Sylvester	45
Norma unui vector	46
1.3. Notății și sensuri convenționale	49
1.4. Clasificarea rețelelor (circuitelor)	51
Liniaritate	51
Invarianță în timp	52
Pasivitate	52
Reciprocitate	53
1.5. Elemente de rețea (circuit)	54
Transformatorul	56
Giratorul	60
Surse independente	62
Surse comandate sau dependente.	63
Convertor de negativare	65
Probleme	66
2. Teoria grafurilor și ecuațiile rețelelor (circuitelor)	71
2.1. Noțiuni introductive	71
Teoremele lui Kirchhoff	71
Ecuațiile pe bucle	73
Ecuațiile pe noduri	75
Ecuații de stare — Sistem mixt de ecuații	76
Soluțiile ecuațiilor	79

	Pag.
2.2. Grafuri liniare	82
Definiții introductive	82
Matricea de incidență	85
Matricea de contur	90
Relații între submatricele din A și B	94
Mulțimea secțiunilor și matricea secțiunilor	95
Grafuri planare	100
2.3. Teoremele de bază ale rețelelor (circuitelor) electrice.	102
Teorema lui Kirchhoff pentru curent	102
Teorema lui Kirchhoff pentru tensiune	107
Relațiile pe laturi	111
2.4. Ecuațiile pe bucle, pe noduri și pe perechi de noduri	116
Ecuațiile pe bucle	116
Ecuațiile pe noduri	121
Ecuațiile pe perechi de noduri	125
2.5. Dualitatea	128
2.6. Rețele (circuite) nereziproce și active	132
2.7. Ecuații cu variabile mixte.	141
<i>Probleme</i>	148
3. Funcții de circuit (rețea)	156
3.1. Funcții de intrare și de transfer	156
Funcții de intrare	159
Funcții de transfer	162
3.2. Circuite multiterminale	164
3.3. Circuite diport (cuadripoli)	166
Parametrii în gol și în scurtcircuit	167
Parametrii hibridi	169
Parametrii lanț	170
Zerourile de transmisie	171
3.4. Interconectarea circuitelor diport	174
Conectarea în cascadă	174
Conectarea în paralel și serie	177
Restricții la interconectarea cuadripolilor	179
3.5. Circuite multiport	181
3.6. Matricea de admitanță nedefinită	183
Conectarea a două terminale.	188
Suprimarea terminalelor	188
Circuite în paralel	189
Cofactorii determinantului matricei (Y_t)	189
3.7. Matricea impedanță nedefinită	192
3.8. Formule topologice pentru funcțiile de circuit	196
Determinantul matricei admitanțelor la noduri	196

	Pag.
Cofactori simetrici ai matricei admitanțelor la noduri	198
Cofactori nesimetrici ai matricei admitanțelor la noduri	202
Matricea impedanțelor pe contur și cofactorii ei	205
Parametrii diportului	209
<i>Probleme</i>	213
4. Ecuații de stare	231
4.1. Ordinul de complexitate al unei rețele (circuite)	232
4.2. Considerații de bază în scrierea ecuațiilor de stare.	236
4.3. Rezolvarea în domeniul timp a ecuațiilor de stare	246
Rezolvarea ecuației omogene	248
O altă metodă de rezolvare	251
Exponențiala matriceală	257
4.4. Funcții de o matrice	258
Teorema Cayley-Hamilton și consecințele ei	259
Valori proprii distincte	262
Valori proprii multiple	265
Matricea constituantă	267
Matricea rezolvantă	269
Algoritmul matricei rezolvante	271
Polinoame rezolvante	276
4.5. Formularea sistematică a ecuațiilor de stare	279
Considerații topologice	281
Eliminarea variabilelor nedorite	284
Rețele invariabile în timp	290
Rețele RLC	291
Matrice de parametri pentru rețelele RLC	294
Considerații privind sursele comandate	300
4.6. Formularea ecuațiilor de stare cu ajutorul multiporturilor	303
Ecuații de ieșire	310
<i>Probleme</i>	316
5. Soluții integrale	329
5.1. Teorema convoluției	329
5.2. Răspunsul la impulsul unitate	334
Funcții de transfer diferite de zero la infinit	339
O altă metodă de obținere a integralei de convoluție	340
5.3. Răspunsul la treapta unitate	343
5.4. Principiul superpoziției	349
Superpoziția de impulsuri unitate	349
Superpoziția de trepte unitate	352
5.5. Soluții numerice	354
Rețelele cu mai multe intrări și ieșiri	358
Răspunsul exprimat cu ajutorul ecuațiilor de stare	359
Erori transmisibile	362

	Pag.
5.6. Evaluarea numerică a lui e^{-sT}	365
Erori de calcul	369
Erori la calculul răspunsului de stare liber	369
Erori la calculul răspunsului de stare forțat.	371
<i>Probleme</i>	374
6. Reprezentări ale funcțiilor de circuit (rețea)	382
6.1. Poli, zerouri și frecvențe naturale	382
Pозиțiile polilor	384
Părțile pară și impară ale unei funcții	386
Modulul și faza unei funcții	388
Funcția de întârziere	389
6.2. Funcții de fază minimă	389
Funcții trece-tot și de fază minimă	392
Diferența de fază	394
Polinoame Hurwitz	394
6.3. Circuite de fază minimă și de fază neminimă	396
Circuite în scară	396
Circuite de rezistență constantă	398
6.4. Determinarea unei funcții de circuit din modulul său	404
Răspunsul maxim plat	406
Răspunsul Cebîșev	411
6.5. Calculul unei funcții de circuit dintr-o fază dată	412
6.6. Calculul unei funcții de circuit din parte reală dată	416
Metoda Bode	417
Metoda Gewertz	418
Metoda Miyata	420
6.7. Relații integrale între părțile reală și imaginară	422
Teoremele integralei de reactanță și integralei de rezistență	428
Limitări impuse circuitelor	430
O altă formă a relațiilor integrale	433
Relații obținute pentru diferite funcții pondere	437
6.8. Relațiile între răspunsul în domeniul timp și domeniul frecvență	440
Răspunsul la treapta unitate	440
Răspunsul la impuls unitate	444
<i>Probleme</i>	447
7. Principii de bază ale sintezei circuitelor (rețelelor)	454
7.1. Transformarea matricelor	455
Transformări elementare	455
Matrice echivalente	457
Transformări similare	459
Transformări congruente.	459

	Pag.
7.2. Forme pătratiche și hermitice.	461
Definiții	461
Transformarea unei forme pătratiche	463
Forme definite și semidefinite	465
Forme hermitice	467
7.3. Funcții de energie	468
Circuite reciproce, pasive	471
Funcția de impedanță.	475
Condiția impusă argumentului	476
7.4. Funcții real-pozitive	479
Condiții necesare și suficiente	483
Proprietatea argumentului unei funcții real-pozitive	487
Funcții real-limitate.	487
Funcția părții reale	489
7.5. Funcții de reactanță	490
Realizarea funcțiilor de reactanță	495
Schema circuitelor în scară	498
Polinoame Hurwitz și funcții de reactanță	501
7.6. Impedanțele și admitanțele unor circuite RC	503
Realizarea circuitelor în scară	509
Circuite cu rezistențe și bobine	511
7.7. Parametrii diporților	511
Diporți cu rezistențe și capacități	515
7.8. Diporți nedisipativi terminați cu o rezistență	516
7.9. Diporți RC, pasivi și activi	525
Conectarea în cascadă	525
Conectarea în cascadă cu un convertor de negativare	528
Conectarea în derivație	530
Schema RC cu amplificator	533
<i>Probleme</i>	537
8. Parametri de repartiție	552
8.1. Relații de repartiție ale unui uniport	553
Variabile normate. Normare reală	556
Circuit mărit	557
Coeficient de reflexie pentru un circuit invariant în timp, pasiv și reciproc	559
Relații pentru putere	560
8.2. Relații de repartiție ale unui multiport	561
Matricea de repartiție	564
Legătura cu matricele de impedanță și admitanță	566
Normarea și multiportul mărit	567
8.3. Matricea de repartiție și transferul de putere	569
Interpretarea parametrilor de repartiție	574

	Pag.
8.4. Proprietăți ale matricei de repartiție	574
Proprietățile circuitului diport	577
O aplicație — filtrare sau egalizare	579
Limitări datorate capacității parazite	581
8.5. Normare în complex	586
Normare independentă de frecvență	590
Amplificator cu rezistență negativă	597
<i>Probleme</i>	602
9. Grafuri de fluență a semnalelor și reacția	614
9.1. Diagrame operaționale	615
9.2. Grafuri de fluență a semnalelor	620
Proprietățile grafului	622
Inversarea unui graf	624
Reducerea unui graf	626
Reducerea la un graf esențial	632
Expresia amplificării grafului	634
Trasarea grafului de fluență a semnalelor pentru o rețea	636
9.3. Reacția	641
Raportul de întoarcere și diferența la întoarcere	642
Senzitivitatea	646
9.4. Stabilitatea	647
Criteriul lui Routh	651
Criteriul lui Hurwitz	652
Criteriul lui Lienard-Chipart	653
9.5. Criteriul lui Nyquist	655
Discuții și ipoteze	659
Teorema lui Nyquist	661
<i>Probleme</i>	668
10. Circuite (rețele) liniare variabile în timp și circuite (rețele) neliniare	681
10.1. Formularea ecuațiilor de stare pentru rețele variabile în timp.	682
Reducere la forma normală	682
Componentele vectorului de stare	685
10.2. Soluțiile ecuațiilor de stare pentru circuite variabile în timp	688
Un caz special al soluției ecuației omogene	690
Existența și unicitatea soluției ecuației omogene	693
Soluția ecuației de stare — existență și unicitate	696
Circuite periodice	699
10.3. Proprietăți ale soluției de stare	702
Lema Gronwall	702
Proprietăți asimptotice relative la o referință invariantă în timp	704
Proprietăți asimptotice relative la o referință periodică	710
Proprietăți asimptotice relative la o referință generală variabilă în timp	715

	Pag.
10.4. Formularea ecuațiilor de stare pentru circuite neliniare	720
Formularea topologică	720
Ecuația de ieșire	729
10.5. Soluția ecuației de stare pentru circuite neliniare	731
Existență și unicitate	731
Proprietățile soluției	736
10.6. Soluția numerică	742
Formula de diferență inversă a lui Newton	742
Formule deschise	746
Formule închise	749
Metoda lui Euler	750
Metoda lui Euler modificată	751
Metoda Adams	752
Metoda Adams modificată	754
Metoda Milne	755
Metoda cu predictor-corrector	755
Metoda Runge Kutta	756
Erori	757
10.7. Stabilitate Liapunov	758
Definiții de stabilitate	758
Teoreme de stabilitate	761
Teorema instabilității	766
Construirea funcției Liapunov	768
<i>Probleme</i>	776
Anexa 1. Funcții generalizate	798
A 1.1. Cituri de convoluție și funcții generalizate	800
A 1.2. Algebra funcțiilor generalizate	801
Citul de convoluție al funcțiilor generalizate	804
A 1.3. Funcții generalizate particulare	805
Exemple de funcții continue	806
Funcții local integrabile	808
A 1.4. Funcțiile generalizate ca operatori.	810
Funcția impuls unitate	814
A 1.5. Ecuații integrodiferențiale	815
A 1.6. Transformata Laplace a unei funcții generalizate	818
Anexa 2. Teoria funcțiilor de o variabilă complexă	821
A 2.1. Funcții analitice	821
A 2.2. Transformarea conformă	825
A 2.3. Integrarea	830
Teorema de integrare a lui Cauchy	831
Formula integrală a lui Cauchy	834
Teorema modulului maxim și lema lui Schwartz	835

	<u>Pag.</u>
A 2.4. Serii infinite	837
Serii Taylor	838
Serii Laurent	841
Funcții definite prin serii	843
A 2.5. Funcții multiforme	844
Funcția logaritmică	845
Puncte de ramificație, tăieturi și suprafețe Riemann	846
Clasificarea funcțiilor multiforme	850
A 2.6. Teorema reziduurilor	851
Evaluarea integralei definite	853
Lema lui Jordan	855
Principiul argumentului	858
A 2.7. Dezvoltarea în fracții parțiale	860
A 2.8. Prelungirea analitică	861
Anexa 3. Teoria transformatelor Laplace	864
A 3.1. Transformatele Laplace : Definiții și proprietăți de convergență	864
A 3.2. Proprietăți analitice ale transformatei Laplace	869
A 3.3. Operații asupra funcțiilor original și generatoare	873
Produsele de convoluție real și complex	873
Derivarea și integrarea	875
Teoremele valorilor inițiale și valorilor finale	876
Teorema translației (deplasării)	878
A 3.4. Integrala complexă de inversiune	879
<i>Bibliografie</i>	883
<i>Dicționar român-englez, de noțiuni și subiecte</i>	888

1

1. Noțiuni fundamentale

1.1. INTRODUCERE

Teoria rețelilor electrice, ca și multe ramuri ale științei, își propune să descrie fenomenele care apar într-un domeniu fizic cu ajutorul unui model matematic. Un astfel de model este desigur bazat pe observații asupra fenomenelor fizice, dar se utilizează și alte modele matematice care, verificate în decursul timpului, sînt privite ca realități fizice prin ele însele. Așa de exemplu, reprezentarea curentului electric ca un flux de electroni în conductoare, este așa de sugestiv, încît se pierde din vedere faptul că această reprezentare este un model teoretic al unei părți din lumea fizică.

Scopul unui model este să permită înțelegerea fenomenelor naturale; mai mult, ne așteptăm să ajungem la consecințe logice, care să ne permită să prevedem comportarea modelului în condițiile pe care le stabilim. Dacă putem reproduce fizic condițiile care sînt valabile pentru model, prevederile noastre pot fi verificate experimental; în cazul în care acestea se verifică, căpătăm încrederea că modelul este bun. Dacă există diferențe între valorile prevăzute și cele experimentale, care nu pot fi puse pe seama erorilor de măsurare, și dacă sîntem siguri că analogia experimentală a modelului teoretic reproduce condițiile modelului, trebuie să tragem concluzia că modelul nu este „adecvat” pentru înțelegerea fenomenului fizic corespunzător, și trebuie revizuit¹.

²) Un exemplu de astfel de revizuire a apărut după celebra experiență a lui Michelson-Morley, în care calculele bazate pe mecanica newtoniană nu au corespuns cu rezultatele experimentale. Modelul revizuit este mecanica relativistă.

În cazul teoriei rețelelor electrice, modelul a fost utilizat cu mare succes în predeterminarea rezultatelor experimentale. De fapt, modelul a devenit atât de real, încît pentru studenți este dificil să deosebească modelul de fenomenul fizic.

Prima etapă în stabilirea unui model este să se facă observații detaliate asupra fenomenului fizic. Se efectuează experiențe în intenția de a stabili relații generale între cantitățile măsurabile. Din aceste experiențe se trag concluzii generale în ceea ce privește comportarea cantităților implicate. Aceste concluzii sînt privite ca „legi” și de obicei sînt formulate avînd ca termeni variabilele modelului matematic.

Această problemă nu face obiectul acestei cărți. Considerăm că modelul a fost bine definit. Vom introduce elementele modelului fără justificări sau verificări empirice. Procesul de abstractizare referitor la interconectarea adecvată a elementelor ipotetice ale modelului, necesar pentru a descrie în mod corespunzător fenomenul fizic dat, este deosebit de important, dar depășește cadrul acestei cărți.

Această carte se ocupă cu teoria rețelelor (*circuitelor*) electrice liniare. Printr-o rețea (*circuit*) electrică se înțelege o interconectare electrică de dispozitive (componente) electrice formînd o structură cu puncte accesibile la care pot fi măsurate semnalele.

Se presupune că dispozitivele electrice care alcătuiesc rețeaua sînt reprezentate prin *modele*, sau elemente ipotetice ale căror ecuații de curent-tensiune sînt ecuații liniare-algebrice, ecuații diferențiale, cu diferențe finite, ecuații diferențiale ordinare sau ecuații diferențiale parțiale.

În această carte ne vom ocupa numai de rețelele cu elemente concentrate; deci nu ne vom ocupa de ecuații diferențiale cu derivate parțiale sau de ecuații diferențiale cu diferențe finite.

Proprietățile rețelelor pot fi clasificate după două criterii generale. În primul rînd sînt acele proprietăți ale unei rețele care sînt consecințele structurii ei — *proprietățile topologice*. Aceste proprietăți nu depind de tipurile elementelor care formează o ramură a rețelei, ci numai de modul în care sînt interconectate ramurile; de exemplu, se poate deduce că zerourile funcției de transfer ale unei rețele în scară (o structură topologică particulară) cad în semiplanul sting, indiferent de tipurile elementelor pasive care formează ramurile. În al doilea rînd, sînt proprietățile rețelelor de a prelucra semnalul. Semnalele sînt aplicate în punctele accesibile ale rețelei. Aceste semnale sînt modificate sau prelucrate de rețea în anumite moduri. Aceste *proprietăți de prelucrare a semnalului* depind de elementele conținute de rețea și de asemenea de structura topologică a rețelei. Astfel, dacă elementele rețelei sînt fără pierderi, semnalele sînt modificate în anumite moduri, indiferent de structura rețelei; alte limitări sînt impuse acestor proprietăți de către structura rețelei. Proprietățile rețelelor în scară fără pierderi, de exemplu, diferă de acelea ale rețelei în X fără pierderi. Ne vom ocupa de ambele tipuri de proprietăți — topologice și de prelucrarea semnalului — ale rețelelor.

1.2. ALGEBRA MATRICEALĂ ELEMENTARĂ

În analiza rețelelor electrice, ca în multe alte domenii ale științei și ingineresti, apar sisteme de ecuații liniare, fie algebrice, fie diferențiale. Dacă sistemul conține mai multe ecuații distincte, chiar procesul de scriere și vizualizare a lor devine dificil. Notăția matriceală este o metodă convenabilă de scriere a acestor ecuații. Mai mult, notația matriceală simplifică operațiile de efectuat asupra ecuațiilor și rezolvarea lor. Așa cum cititorul poate să privească un vector spațial cu trei componente ca o singură unitate, tot așa putem privi un sistem de ecuații ca o ecuație matriceală. În următorul paragraf, ne vom reaminti unele proprietăți elementare ale matricelor și algebra matriceală, fără a intra însă în detalii. În continuare, așa cum este necesar când apar topici adiționale, ne vom abate de la subiectul nostru pentru a defini aceste noi topici introduse.

O *matrice* este un *aranjament* rectangular în *coloane* și *linii*, fiecare cantitate fiind numită o *intrare* sau *element* al matricei. Elementele unei matrice pot fi numere reale sau complexe, funcții de frecvență, operatori de derivare, etc. Presupunem că intrările sînt alese dintr-un „domeniu” care ne permite să aplicăm o algebră similară cu algebra numerelor reale. Ca exemple de matrice cităm :

$$\mathbf{M} = \begin{bmatrix} 1 & 2 \\ 5 & -1 \\ 0 & 6 \end{bmatrix}, \quad \mathbf{Z} = \begin{bmatrix} s & 2s \\ s+2 & 3s^2 \end{bmatrix}, \quad \mathbf{V} = \begin{bmatrix} V_1 \\ V_2 \\ V_3 \\ V_4 \end{bmatrix}$$

Întreaga matrice este închisă între paranteze drepte. Nu este necesar să scriem întreaga matrice cînd ne referim la ea. Este posibil și indicat să-i dăm un „nume” prin atribuirea unui singur simbol, ca în exemplele de mai sus \mathbf{M} , \mathbf{Z} sau \mathbf{V} . Vom alege și vom fi consecvenți în folosirea literelor aldine, mari sau mici, pentru reprezentarea matricelor.

Ordinul unei matrice este o pereche ordonată de numere care reprezintă numărul de linii și numărul de coloane, după cum urmează : (m, n) sau $m \times n$. În exemplele de mai sus, ordinele sînt respectiv $(3, 2)$, $(2, 2)$ și $(4, 1)$. Folosind cealaltă notație, ordinele matricelor sînt respectiv, 3×2 , 2×2 și 4×1 . Ultima este un tip special de matrice, numită matrice *coloană* (cu o singură coloană). Este posibil să avem o matrice de ordinul $1 \times n$; o astfel de matrice are o singură linie și se numește matrice *linie*. O matrice în care numărul de linii este egal cu numărul de coloane se numește matrice *patrată*. În exemplele de mai sus, matricea \mathbf{Z} este patrată. Pentru cazurile speciale în care matricea este o matrice coloană, o matrice linie sau o matrice patrată, ordinul este determinat

de un singur număr, care este numărul de linii sau (și) coloane; de exemplu, dacă \mathbf{M} este o matrice patrată cu n linii și n coloane, ordinul ei este n .

Pentru a ne referi la elementele unei matrice în termeni generali, folosim notația

$$\mathbf{A} = [a_{ij}]_{m,n}$$

Dacă ordinul (m, n) nu interesează, nu este necesar ca acesta să fie indicat în expresia de mai sus. Elementul tipic este a_{ij} . Matricea \mathbf{A} completă are următoarea formă

$$\mathbf{A} = \begin{bmatrix} a_{11} & a_{12} & a_{13} \dots a_{1n} \\ a_{21} & a_{22} & a_{23} \dots a_{2n} \\ \vdots & \vdots & \vdots \vdots \vdots \\ a_{m1} & a_{m2} & a_{m3} \dots a_{mn} \end{bmatrix} \quad (1)$$

Operațiuni de bază

Egalitate. Două matrice $\mathbf{A} = [a_{ij}]$ și $\mathbf{B} = [b_{ij}]$ sînt egale dacă au același ordin și dacă elementele corespondente sînt identice; adică $\mathbf{A} = \mathbf{B}$ dacă $a_{ij} = b_{ij}$ pentru orice i și j .

Multiplicare printr-un scalar. Pentru a multiplica o matrice $\mathbf{A} = [a_{ij}]$ printr-un scalar (adică un număr ordinar) k , multiplicăm fiecare element al matricei prin acest scalar; adică $k\mathbf{A}$ este o matrice a cărei element tipic este ka_{ij} .

Adunarea matricelor. Adunarea este definită numai pentru matrice de același ordin. Pentru a aduna două matrice, adunăm elementele corespondente. Astfel, dacă considerăm $\mathbf{A} = [a_{ij}]$ și $\mathbf{B} = [b_{ij}]$ atunci

$$\mathbf{A} + \mathbf{B} = [a_{ij} + b_{ij}] \quad (2)$$

Este clar că adunarea este comutativă și asociativă; astfel

$$\mathbf{A} + \mathbf{B} = \mathbf{B} + \mathbf{A}$$

$$\mathbf{A} + (\mathbf{B} + \mathbf{C}) = (\mathbf{A} + \mathbf{B}) + \mathbf{C} \quad (3)$$

Înmulțirea matricelor. Dacă $\mathbf{A} = [a_{ij}]_{m,n}$ și $\mathbf{B} = [b_{ij}]_{n,p}$, atunci produsul între \mathbf{A} și \mathbf{B} este definit astfel

$$\mathbf{AB} = \mathbf{C} = [c_{ij}]_{m,p} \quad (4)$$

unde elementele produsului sînt date de

$$c_{ij} = \sum_{k=1}^n a_{ik} b_{kj} = a_{i1} b_{1j} + a_{i2} b_{2j} + \dots + a_{in} b_{nj} \quad (5)$$

Rezultă că elementul (i, j) al produsului este obținut prin multiplicarea elementelor liniei i ale primei matrice prin elementele corespondente din coloana j ale celei de a doua matrice, și adunarea acestor produse. Aceasta înseamnă că multiplicarea este definită numai cînd numărul de coloane ale primei matrice este egal cu numărul de linii ale celei de a doua matrice. Observăm că matricea C de mai sus are același număr de linii cu prima matrice și același număr de coloane cu al celei de a doua.

Exemplu :

$$\begin{bmatrix} a_{11} & a_{12} & a_{13} \\ a_{21} & a_{22} & a_{23} \end{bmatrix} \begin{bmatrix} b_{11} & b_{12} & b_{13} \\ b_{21} & b_{22} & b_{23} \\ b_{31} & b_{32} & b_{33} \end{bmatrix} = \begin{bmatrix} (a_{11}b_{11} + a_{12}b_{21} + a_{13}b_{31}) & (a_{11}b_{12} + a_{12}b_{22} + a_{13}b_{32}) & (a_{11}b_{13} + a_{12}b_{23} + a_{13}b_{33}) \\ (a_{21}b_{11} + a_{22}b_{21} + a_{23}b_{31}) & (a_{21}b_{12} + a_{22}b_{22} + a_{23}b_{32}) & (a_{21}b_{13} + a_{22}b_{23} + a_{23}b_{33}) \end{bmatrix}.$$

Cînd este posibil de realizat produsul AB (adică, atunci cînd numărul de coloane al matricei A este egal cu numărul de linii al matricei B), spunem că produsul AB este *compatibil*. Este evident că produsul AB poate fi compatibil, în timp ce BA nu este. Rezultă că AB nu este, în general, egal cu BA . Mai mult, aceasta poate fi adevărat chiar dacă amîndouă produsele sînt compatibile.

Fie :

$$A = \begin{bmatrix} 1 & -1 \\ 1 & 0 \end{bmatrix}, \quad B = \begin{bmatrix} 1 & 0 \\ 1 & 1 \end{bmatrix}$$

Atunci

$$AB = \begin{bmatrix} 0 & -1 \\ 1 & 0 \end{bmatrix} \quad \text{și} \quad BA = \begin{bmatrix} 1 & -1 \\ 2 & -1 \end{bmatrix}$$

care arată că $AB \neq BA$ în acest caz.

Se constată că înmulțirea matricelor nu este în general comutativă, deși ea poate fi în unele cazuri. Deci, cînd ne referim la produsul a două matrice A și B , trebuie să specificăm cum sînt înmulțite. În produsul AB , spunem că A *premultiplică* sau *multiplică la stînga* pe B , sau B *postmultiplică* sau *multiplică la dreapta* pe A .

Chiar dacă înmulțirea matricilor nu este comutativă, ea este *asociativă* și *distributivă*. Astfel, dacă produsele AB și BC sînt posibile, atunci

$$(AB)C = A(BC)$$

$$A(B + C) = AB + AC \quad (6)$$

$$(A + B)C = AC + BC.$$

Uneori este convenabil să scriem o matrice dată astfel încît *submatricele* să fie tratate ca unități. Astfel, fie $A = [a_{ij}]_{3,5}$. Se poate separa sau *partiționa* matricea după cum urmează

$$\begin{aligned} A &= \begin{bmatrix} a_{11} & a_{12} & : & a_{13} & a_{14} & a_{15} \\ \dots & \dots & : & \dots & \dots & \dots \\ a_{21} & a_{22} & : & a_{23} & a_{24} & a_{25} \\ a_{31} & a_{32} & : & a_{33} & a_{34} & a_{35} \end{bmatrix} \\ &= \begin{bmatrix} A_{11} & : & A_{12} \\ \dots & : & \dots \\ A_{21} & : & A_{22} \end{bmatrix} \end{aligned}$$

unde

$$A_{11} = [a_{11} \quad a_{12}] \quad A_{12} = [a_{13} \quad a_{14} \quad a_{15}]$$

$$A_{21} = \begin{bmatrix} a_{21} & a_{22} \\ a_{31} & a_{32} \end{bmatrix} \quad A_{22} = \begin{bmatrix} a_{23} & a_{24} & a_{25} \\ a_{33} & a_{34} & a_{35} \end{bmatrix}$$

sau

$$\begin{aligned} A &= \begin{bmatrix} a_{11} & a_{12} & : & a_{13} & : & a_{14} & a_{15} \\ a_{21} & a_{22} & : & a_{23} & : & a_{24} & a_{25} \\ \dots & \dots & : & \dots & : & \dots & \dots \\ a_{31} & a_{32} & : & a_{33} & : & a_{34} & a_{35} \end{bmatrix} \\ &= \begin{bmatrix} A_{11} & : & A_{12} & : & A_{13} \\ \dots & : & \dots & : & \dots \\ A_{21} & : & A_{22} & : & A_{23} \end{bmatrix} \end{aligned}$$

unde

$$\begin{aligned} A_{11} &= \begin{bmatrix} a_{11} & a_{12} \\ a_{21} & a_{22} \end{bmatrix}, & A_{12} &= \begin{bmatrix} a_{13} \\ a_{23} \end{bmatrix}, & A_{13} &= \begin{bmatrix} a_{14} & a_{15} \\ a_{24} & a_{25} \end{bmatrix} \\ A_{21} &= \begin{bmatrix} a_{31} & a_{32} \end{bmatrix}, & A_{22} &= \begin{bmatrix} a_{33} \end{bmatrix}, & A_{23} &= \begin{bmatrix} a_{34} & a_{35} \end{bmatrix}. \end{aligned}$$

Submatricele în care a fost partiționată matricea A sînt arătate prin linii punctate. Fiecare submatrice poate fi tratată, în operațiunile care urmează a fi efectuate asupra lui A , ca un element al matricei A ; de exemplu, produsul a două matrice partiționate este dat de

$$AB = \left[\sum_j A_{ij} B_{jk} \right]. \quad (7)$$

Desigur, pentru ca această partiționare să conducă la rezultatul corect, este necesar ca fiecare din produsele submatricelor, $A_{21}B_{11}$, etc., să fie compatibile. Matricele partiționate în acest fel se numesc matrice *partiționate compatibile*.

Aceasta este exemplificată în următorul produs de două matrice.

$$\begin{aligned} A &= \begin{bmatrix} 1 & 0 & : & 1 & -2 \\ 0 & 1 & : & 2 & 0 \\ \cdots & \cdots & : & \cdots & \cdots \\ 4 & 3 & : & -1 & 3 \end{bmatrix} = \begin{bmatrix} U & A_{12} \\ A_{21} & A_{22} \end{bmatrix} \\ B &= \begin{bmatrix} 2 & 1 & : & 1 & 0 \\ -1 & 0 & : & 0 & 1 \\ \cdots & \cdots & : & \cdots & \cdots \\ 0 & 0 & : & 3 & -1 \\ 0 & 0 & : & 1 & -2 \end{bmatrix} = \begin{bmatrix} B_{11} & U \\ 0 & B_{22} \end{bmatrix} \\ AB &= \begin{bmatrix} B_{11} & : & U + A_{12}B_{22} \\ \cdots & : & \cdots \\ A_{21}B_{11} & : & A_{21} + A_{22}B_{22} \end{bmatrix} \\ &= \begin{bmatrix} \begin{bmatrix} 2 & 1 \\ -1 & 0 \end{bmatrix} : \begin{bmatrix} 1 & 0 \\ 0 & 1 \end{bmatrix} + \begin{bmatrix} 1 & -2 \\ 2 & 0 \end{bmatrix} \begin{bmatrix} 3 & -1 \\ 1 & -2 \end{bmatrix} \\ \cdots : \cdots \\ [4 \ 3] \begin{bmatrix} 2 & 1 \\ -1 & 0 \end{bmatrix} : [4 \ 3] + [-1 \ 3] \begin{bmatrix} 3 & -1 \\ 1 & -2 \end{bmatrix} \end{bmatrix} \\ &= \begin{bmatrix} 2 & 1 & 2 & 3 \\ -1 & 0 & 6 & -1 \\ 5 & 4 & 4 & -2 \end{bmatrix}. \end{aligned}$$

Diferențierea. Fie A de ordinul $n \times m$. Atunci, pentru orice punct în care $da_{ij}(x)/dx$ există pentru $i = 1, 2 \dots n$ și $j = 1, 2 \dots m$, $dA(x)/dx$ este definit astfel :

$$\frac{d}{dx} A(x) = \left[\frac{d}{dx} a_{ij}(x) \right]. \quad (8)$$

Rezultă că matricea $dA(x)/dx$ este obținută prin înlocuirea fiecărui element $a_{ij}(x)$ al matricei $A(x)$, cu derivata sa $da_{ij}(x)/dx$. Este ușor acum (și le considerăm ca un exercițiu pentru dumneavoastră) să arătăm că

$$\frac{d}{dx} \{A(x) + B(x)\} = \frac{dA}{dx} + \frac{dB}{dx} \quad (9)$$

$$\frac{d}{dx} \{A(x)B(x)\} = \frac{dA}{dx} B + A \frac{dB}{dx} \quad (10)$$

și

$$\frac{d}{dx} A(f(x)) = \frac{dA}{df} \frac{df}{dx} = \frac{df}{dx} \frac{dA}{df}. \quad (11)$$

Se vede că regulile uzuale pentru diferențierea combinațiilor de funcții se aplică și în cazul diferențierii matricelor ; o restricție este aceea că ordinea de înmulțire a matricelor dată în (10) trebuie să fie respectată.

Integrarea. Fie ordinul lui A , $n \times m$. Atunci pentru orice interval pe care $\int_{x_1}^{x_2} a_{ij}(y)dy$ există pentru $i = 1, 2 \dots n$ și $j = 1, 2 \dots m$, $\int_{x_1}^{x_2} A(y)dy$ este definită astfel

$$\int_{x_1}^{x_2} A(y)dy = \left[\int_{x_1}^{x_2} a_{ij}(y)dy \right]. \quad (12)$$

Rezultă că elementul (i, j) al integralei A este integrala elementului (i, j) al matricei A .

Urma este suma elementelor diagonalei principale ale unei matrice. Dacă matricea este A , vom nota urma cu $\text{tr } A$ și o vom defini astfel :

$$\text{tr } A = \sum_{i=1}^n a_{ii}$$

unde n este ordinul lui A .

Transpunerea. Operațiunea de interschimbare a liniilor și coloanelor unei matrice se numește *transpunere*. Rezultatul acestei operațiuni asupra unei matrice A se numește *transpusa lui A* și se notează A' . Dacă $A = (a_{ij})_{m,n}$, atunci $A' = [b_{ij}]_{n,m}$, unde $b_{ij} = a_{ji}$. Transpusa unei matrice coloană este o matrice linie și invers. Dacă, așa cum se întâmplă adesea în analiză, este necesar să găsim transpusa produsului de două matrice, este important de știut că

$$(AB)' = B'A'; \quad (13)$$

adică, transpusa unui produs este egală cu produsul transpuselor, dar luate în ordine inversă. Acest rezultat poate fi stabilit cu ușurință prin scrierea elementului tipic al transpusei produsului și arătând că el este același cu elementul tipic al produsului transpuselor luate în sens invers.

Conjugata. Dacă fiecare din elementele unei matrice A este înlocuit cu complex conjugatul său, matricea rezultantă se numește *conjugata lui A* și se notează cu \bar{A} . Astfel, dacă $A = [a_{ij}]_{n,m}$, atunci $\bar{A} = [\bar{a}_{ij}]_{n,m}$, unde $b_{ij} = \bar{a}_{ij}$ și \bar{a}_{ij} reprezintă complex conjugatul lui a_{ij} .

Conjugata transpusă. Matricea care este conjugata transpusei lui A sau, ceea ce este echivalent, transpusa conjugatei lui A , se numește *conjugata transpusă a matricei A* și se notează cu A^* ; astfel:

$$A^* = (\bar{A})' = (\bar{A}'). \quad (14)$$

Tipuri de matrice

Există două matrice speciale care au proprietățile scalarilor 0 și 1. Matricea $0 = [0]$ care are toate elementele zero este numită *matrice zero sau nulă*. Ea este patrată și poate fi de orice ordin. Similar, matricea *unitate* U este o matrice patrată de orice ordin care are elementele de pe diagonala principală toate egale cu 1, toate celelalte elemente fiind zero. Astfel

$$\begin{bmatrix} 1 & 0 \\ 0 & 1 \end{bmatrix}, \quad \begin{bmatrix} 1 & 0 & 0 \\ 0 & 1 & 0 \\ 0 & 0 & 1 \end{bmatrix}, \quad \begin{bmatrix} 1 & 0 & 0 & 0 \\ 0 & 1 & 0 & 0 \\ 0 & 0 & 1 & 0 \\ 0 & 0 & 0 & 1 \end{bmatrix}$$

sînt matrici unitate de ordinul 2, 3 și respectiv 4. Se poate verifica ușor

că matricea unitate are proprietățile numărului 1 ; dîndu-se o matrice A ,

$$UA = AU = A \quad (15)$$

unde ordinul lui U este astfel ales încît produsele să fie compatibile.

Dacă o matrice patrată are aceeași structură cu a unei matrice unitate, în care elementele diagonalei principale sînt diferite de zero, ea este numită o matrice *diagonală*. O matrice diagonală are deci forma

$$D = \begin{bmatrix} d_{11} & & & & \\ & d_{22} & & \circ & \\ & & d_{33} & & \\ & & & \ddots & \\ \circ & & & & \\ & & & & \ddots & \\ & & & & & d_{nn} \end{bmatrix}.$$

Toate elementele de deasupra și dedesubtul diagonalei principale sînt zero. O matrice diagonală este identică cu transpusa sa.

Dacă numai elementele de sub diagonala principală sau numai cele de deasupra diagonalei principale a unei matrice patrâte sînt zero, ca de exemplu :

$$A = \begin{bmatrix} a_{11} & a_{12} & a_{13} & \cdots & a_{1n} \\ & a_{22} & a_{23} & \cdots & a_{2n} \\ & & a_{33} & \cdots & a_{3n} \\ & & & \ddots & \\ & \circ & & & \ddots \\ & & & & & a_{nn} \end{bmatrix} \text{ sau } B = \begin{bmatrix} a_{11} & & & & \\ a_{12} & a_{22} & & \circ & \\ a_{13} & a_{23} & a_{33} & & \\ \cdot & \cdot & \cdot & \cdot & \\ \cdot & \cdot & \cdot & \cdot & \\ a_{1n} & a_{2n} & a_{3n} & \cdots & a_{nn} \end{bmatrix},$$

matricea este numită o matrice triunghiulară. Pentru precizări suplimentare, putem numi pe A o matrice *superior triunghiulară* și B o matrice *inferior triunghiulară*.

Matrice simetrice și antisimetrice. O matrice patrată este *simetrică* dacă ea este egală cu transpusa sa : $A = A'$ sau $a_{ij} = a_{ji}$ pentru orice i și j . Dacă o matrice este egală cu negativa transpusei ei, ea se numește *antisimetrică* : $A = -A'$ sau $a_{ij} = -a_{ji}$. Pentru ca elementele diagonalei principale să îndeplinească această condiție este necesar ca acestea să fie zero. Rezultă că o matrice antisimetrică are elementele diagonalei egale cu zero.

O matrice patrată dată poate totdeauna fi scrisă ca suma unei matrice simetrice și a uneia asimetrice. Astfel fie

$$A = [a_{ij}]$$

$$A_s = [b_{ij}] \quad \text{unde } b_{ij} = \frac{a_{ij} + a_{ji}}{2} = b_{ji}$$

$$A_{as} = [c_{ij}] \quad \text{unde } c_{ij} = \frac{a_{ij} - a_{ji}}{2} = -c_{ji}.$$

Atunci

$$A = A_s + A_{as}, \text{ deoarece } a_{ij} = b_{ij} + c_{ij}. \quad (16)$$

Matrice hermitică și antihermitică. O matrice patrată este numită *hermitică* dacă ea este egală cu transpusa conjugatei sale; astfel A este matrice hermitică dacă $A = A^*$ sau $a_{ij} = \bar{a}_{ji}$ pentru orice i și j . Un alt caz special se obține dacă o matrice este egală cu negativa transpusei conjugatei sale, și este numită o matrice *antihermitică*. Astfel A este antihermitică dacă $A = -A^*$ sau $a_{ij} = -\bar{a}_{ji}$ pentru orice i și j . Observăm că o matrice hermitică care are numai elemente reale este simetrică, și o matrice antihermitică care are numai elemente reale este antisimetrică.

Determinanți

Oricărei matrice patrăte A i se poate asocia un număr numit *determinantul* lui A . Obișnuit determinantul lui A se notează prin simbolul $\det A$ sau $|A|$; vom folosi uneori simbolul Δ pentru un determinant, atunci cînd nu este necesar să atragem atenția asupra unei matrice particulare pentru care Δ este determinantul. Menționăm că o matrice și determinantul său sînt două lucruri complet diferite. Dacă două matrice au determinanți egali, aceasta nu înseamnă că matricele sînt egale; ele pot fi chiar de ordine diferite.

Determinantul matricei A de ordin $n \times n$ este definit ca

$$\det A = \sum \varepsilon a_{1\nu_1} a_{2\nu_2} \cdots a_{n\nu_n} \quad (17)$$

sau de relația echivalentă

$$\det A = \sum \varepsilon a_{\nu_1 1} a_{\nu_2 2} \cdots a_{\nu_n n} \quad (18)$$

unde însumarea se face pentru toate $n!$ permutările în v_1, v_2, \dots, v_n a indicilor $1, 2, \dots, n$, și ε este egal cu $+1$ sau -1 după cum permutarea v_1, v_2, \dots, v_n este pară sau impară. Ca o consecință a acestei definiții, determinantul unei matrice 1×1 este egal cu elementul său, și determinantul unei matrice 2×2 este:

$$\det A = \det \begin{vmatrix} a_{11} & a_{12} \\ a_{21} & a_{22} \end{vmatrix} = a_{11}a_{22} - a_{12}a_{21}.$$

Produsul $a_{11}a_{22}$ a fost multiplicat cu $\varepsilon = +1$ deoarece $v_1, v_2 = 1, 2$ este o permutare pară a lui $1, 2$; produsul $a_{12}a_{21}$ a fost multiplicat cu $\varepsilon = -1$ deoarece $v_1, v_2 = 2, 1$ este o permutare impară a lui $1, 2$. Evaluarea determinantului pentru un n mare este dificilă dacă aplicăm definiția de mai sus, și nu este necesară totdeauna. Timpul necesar pentru evaluarea unui determinant poate fi redus prin aplicarea unor proprietăți ale determinantilor. Vom prezenta în rezumat câteva proprietăți importante ale determinantilor:

1. Determinantul unei matrice și al transpusei acesteia sînt egale; adică, $\det A = \det A'$.
2. Dacă fiecare element al oricărei linii sau oricărei coloane a unui determinant, este multiplicat printr-un scalar k , determinantul este multiplicat prin k .
3. Interschimbarea a oricăror două linii sau coloane modifică semnul unui determinant.
4. Dacă două linii sau coloane sînt identice, atunci determinantul este zero.
5. Dacă fiecare element al unei linii sau al unei coloane este zero, atunci determinantul este zero.
6. Determinantul rămîne neschimbat dacă la fiecare element al oricărei linii sau coloane este adunat un multiplu scalar al elementului corespunzător al oricărei alte linii sau coloane.

Dezvoltarea cofactorilor. Fie A o matrice patrată de ordinul n . Dacă linia i și coloana j ale matricei A sînt eliminate, determinantul matricei rămase, care are ordinul $n - 1$, se numește primul minor (sau mai simplu un minor) al lui A sau al $\det A$ și se notează prin M_{ij} . Cofactorul corespunzător este definit astfel

$$\Delta_{ij} = (-1)^{i+j} M_{ij}. \quad (19)$$

Se spune că Δ_{ij} este cofactorul elementului a_{ij} . Dacă $i = j$, minorul și cofactorul se numesc *minor principal* și *cofactor principal*. Un minor principal (cofactor) al lui A este acela a căror elemente diagonale sînt

deasemenea elemente diagonale pentru A^{11} . Valoarea unui determinant poate fi obținută prin multiplicarea fiecărui element al unei linii sau coloane prin cofactorul corespunzător, și adunînd rezultatele. Astfel:

$$\det A = a_{i1} \Delta_{i1} + a_{i2} \Delta_{i2} + a_{i3} \Delta_{i3} + \dots + a_{in} \Delta_{in} \quad (20a)$$

$$= a_{1i} \Delta_{1i} + a_{2i} \Delta_{2i} + a_{3i} \Delta_{3i} + \dots + a_{ni} \Delta_{ni}. \quad (20b)$$

Aceste expresii sînt numite *dezvoltări în cofactorii* unei linii sau unei coloane și sînt obținute prin gruparea termenilor din (17) sau (18), astfel încît fiecare grup să corespundă unui element înmulțit cu factorul său.

Ce se va întîmpla dacă elementele unei linii sau coloane sînt multiplicare cu cofactorul corespunzător al unei alte linii sau coloane? Considerăm ca o problemă pentru dumneavoastră să arătați că rezultatul va fi zero; astfel,

$$a_{i1} \Delta_{i1} + a_{i2} \Delta_{i2} + a_{i3} \Delta_{i3} + \dots + a_{in} \Delta_{in} = 0 \quad (21a)$$

$$a_{1i} \Delta_{1i} + a_{2i} \Delta_{2i} + a_{3i} \Delta_{3i} + \dots + a_{ni} \Delta_{ni} = 0. \quad (21b)$$

Simbolul lui Kronecker este o funcție notată cu δ_{ij} și este definită astfel:

$$\delta_{ij} = 1 \text{ dacă } i = j$$

$$0 \text{ dacă } i \neq j$$

unde i și j sînt întregi. Folosind simbolul lui Kronecker, putem combina (20a) și (21a) și scrie

$$(\det A) \delta_{ij} = \sum_{k=0}^n a_{ik} \Delta_{jk}. \quad (22)$$

Similar, combinînd (20b) și (21b), obținem

$$(\det A) \delta_{ij} = \sum_{k=0}^n a_{ki} \Delta_{kj}. \quad (23)$$

¹⁾ Această definiție nu limitează numărul de rînduri și coloane eliminate din Δ pentru obținerea minorului sau cofactorului. Dacă sînt eliminate o linie și o coloană, ne vom referi la acest cofactor numindu-l *primul* cofactor. În general, dacă sînt eliminate n rînduri și n coloane ne vom referi la cofactorul obținut ca la cofactorul al n -lea.

Determinant al unui produs de matrice. Fie A și B matrice patrute de același ordin. Determinantul produsului A și B este produsul determinantilor; adică

$$\det(AB) = (\det A) (\det B). \quad (24)$$

Derivata unui determinant. Dacă elementele matricei patrute A sînt funcții de aceeași variabilă x , atunci $|A|$ va fi o funcție de x . Este util de știut că

$$\frac{d|A|}{dx} = \sum_{i,j=1}^n \Delta_{ij} \frac{da_{ij}}{dx}. \quad (25)$$

Rezultatul este ușor verificat avînd în vedere că

$$\frac{d|A|}{dx} = \sum_{i,j=1}^n \frac{\partial |A|}{\partial a_{ij}} \frac{da_{ij}}{dx}$$

și dezvoltarea în cofactori a lui $|A|$ din (22) sau (23), din care rezultă că $\partial |A| / \partial a_{ij} = \Delta_{ij}$.

Teorema Binet-Cauchy. Considerăm determinantul produsului AB , presupunînd că ordinele sînt (m, n) și (n, m) cu $m < n$. Observăm că produsul este o matrice patrută de ordin m . Submatricea patrută cea mai mare a fiecărei dintre matricele A și B , este de ordinul m . Fie determinantul fiecărei submatrice patrută de ordin maxim un *determinant major*, sau mai simplu un *major*. Atunci $|AB|$ este dat de următoarea teoremă numită *teorema Binet-Cauchy*.

$$\det AB = \sum_{\substack{\text{toți} \\ \text{majorii}}} (\text{produse ale majorilor corespondenți din } A \text{ și } B) \quad (26)$$

Expresia „majori corespondenți” trebuie înțeleasă astfel: numerotarea coloanelor folosite pentru formarea unui major A este aceeași cu a liniilor folosite pentru formarea majorului lui B .

Pentru a ilustra aceasta, să considerăm

$$A = \begin{bmatrix} 1 & -1 & 3 \\ 2 & 1 & 0 \end{bmatrix}$$

$$B = \begin{bmatrix} 2 & 1 \\ -1 & 1 \\ 1 & 0 \end{bmatrix}.$$

În acest caz $m = 2$ și $n = 3$. Prin înmulțire directă găsim

$$AB = \begin{bmatrix} 6 & 0 \\ 3 & 3 \end{bmatrix}.$$

Determinantul acestei matrice este ușor de calculat cu (18). Să aplicăm acum teorema Binet-Cauchy. Observăm că există trei determinanți de ordinul doi. Aplicând (26), obținem

$$\begin{aligned} \det AB &= \begin{vmatrix} 1 & -1 \\ 2 & 1 \end{vmatrix} \begin{vmatrix} 2 & 1 \\ -1 & 1 \end{vmatrix} + \begin{vmatrix} 1 & 3 \\ 2 & 0 \end{vmatrix} \begin{vmatrix} 2 & 1 \\ 1 & 0 \end{vmatrix} + \begin{vmatrix} -1 & 3 \\ 1 & 0 \end{vmatrix} \begin{vmatrix} -1 & 1 \\ 1 & 0 \end{vmatrix} \\ &= (3)(3) + (-6)(-1) + (-3)(-1) = 18. \end{aligned}$$

Același rezultat se obține și prin evaluarea directă a determinantului.

Inversa unei matrice

În cazul scalarilor, dacă $a \neq 0$, există un număr b astfel ca $ab = ba = 1$. În același fel, dându-se o matrice patrată A , căutăm o matrice B astfel ca :

$$BA = AB = U.$$

O astfel de matrice B poate să nu existe. Dar dacă această relație este satisfăcută, spunem că B este *inversa* lui A și scriem $B = A^{-1}$. Relația inversă este adevărată, astfel că dacă $B = A^{-1}$, atunci $A = B^{-1}$.

Dându-se o matrice patrată A , formăm o altă matrice după cum urmează

$$B = [b_{ij}] \text{ unde } b_{ij} = \frac{\Delta_{ji}}{\Delta}$$

unde $\Delta = \det A$ și Δ_{ji} este cofactorul lui a_{ji} . Prin dezvoltarea directă a lui AB și BA și aplicarea lui (22) și (23), se poate arăta că B este inversa lui A . (Vă propunem să faceți aceasta ca exercițiu). În cuvinte, inversa lui A se obține înlocuind fiecare element al lui A prin cofactorul său, luând apoi transpusa pe care o împărțim la determinantul lui A .

Deoarece elementele inversei lui A au Δ la numitor, este clar că inversa nu va exista dacă $\det A = 0$. O matrice al cărei determinant este egal cu zero se numește *singulară*. Dacă $\det A \neq 0$, matricea este *nesingulară*.

Procesul de formare al inversei este clarificat de definirea unei alte matrice referitoare la A . Definim *adjuncta* lui A , scriind $\text{adj } A$ astfel

$$\text{adj } A = [\Delta_{ij}]' = \begin{bmatrix} \Delta_{11} & \Delta_{21} & \Delta_{31} & \dots & \Delta_{n1} \\ \Delta_{12} & \Delta_{22} & \Delta_{32} & \dots & \Delta_{n2} \\ \vdots & \vdots & \vdots & & \vdots \\ \Delta_{1n} & \Delta_{2n} & \Delta_{3n} & \dots & \Delta_{nn} \end{bmatrix}. \quad (27)$$

Se observă că elementele liniei i ale $\text{adj } A$ sînt cofactori ai elementelor coloanei i a lui A . Inversa lui A se poate acum scrie :

$$A^{-1} = \frac{1}{\det A} \text{adj } A. \quad (28)$$

Dacă înmulțim ambele părți ale lui (28) cu A , obținem

$$A \cdot [\text{adj } A] = U \det A. \quad (29)$$

Fiecare parte a acestei expresii este o matrice, partea din stînga fiind produsul a două matrice și partea din dreapta fiind o matrice diagonală a căror elemente diagonale sînt egale fiecare cu $\det A$. Luînd determinantul ambelor părți, se obține

$$(\det A)(\det \text{adj } A) = (\det A)^n$$

sau

$$\det \text{adj } A = (\det A)^{n-1}. \quad (30)$$

Adeseori este necesar să calculăm produsul a două matrice. Este de dorit, prin urmare, să evaluăm inversa și adjuncta produsului a două matrice A și B . Rezultatele sînt :

$$(AB)^{-1} = B^{-1} A^{-1} \quad (31)$$

$$\text{adj } (AB) = (\text{adj } B)(\text{adj } A). \quad (32)$$

Desigur, produsul AB trebuie să fie compatibil. Mai mult, atît A cît și B trebuie să fie patrate și nesingulare.

În cazul inversei (31), observăm că

$$(\mathbf{AB})(\mathbf{B}^{-1}\mathbf{A}^{-1}) = \mathbf{A}(\mathbf{BB}^{-1})\mathbf{A}^{-1} = \mathbf{AA}^{-1} = \mathbf{U}.$$

Deci \mathbf{AB} este inversa lui $\mathbf{B}^{-1}\mathbf{A}^{-1}$, de unde rezultatul. Pentru adjuncta (32) putem forma produsele $(\mathbf{AB})(\text{adj } \mathbf{AB})$ și $(\mathbf{AB})(\text{adj } \mathbf{B})(\text{adj } \mathbf{A})$ și arăta prin folosirea repetată a relației $\mathbf{M}(\text{adj } \mathbf{M}) = \mathbf{U}(\det \mathbf{M})$ că ambele produse sînt egale cu $\mathbf{U}(\det \mathbf{AB})$.

Condensare pivotală

Prin aplicarea repetată a dezvoltării în cofactori, evaluarea determinantului unui aranjament $n \times n$ de numere, poate fi redusă la evaluarea aranjamentelor 2×2 . Este clar că numărul de operații matematice crește excesiv cînd crește n . O altă metodă de evaluare a determinantului, care necesită mult mai puține operațiuni aritmetice, este numită *condensare pivotală*. Vom dezvolta această metodă.

Fie o matrice \mathbf{A} $n \times n$ partiționată astfel

$$\mathbf{A} = \begin{bmatrix} \mathbf{A}_{11} & : & \mathbf{A}_{12} \\ \vdots & & \vdots \\ \mathbf{A}_{21} & : & \mathbf{A}_{22} \end{bmatrix} \quad (33)$$

unde submatricea \mathbf{A}_{11} este de ordinul $m \times m$ unde $1 \leq m < n$. Presupunem \mathbf{A}_{11} nesingulară. În acest caz \mathbf{A}_{11} există, și \mathbf{A} poate fi factorizată astfel

$$\mathbf{A} = \begin{bmatrix} \mathbf{U} & : & \mathbf{0} \\ \vdots & & \vdots \\ \mathbf{A}_{21}\mathbf{A}_{11}^{-1} & : & \mathbf{U} \end{bmatrix} \begin{bmatrix} \mathbf{A}_{11} & : & \mathbf{0} \\ \vdots & & \vdots \\ \mathbf{0} & : & \mathbf{A}_{22} - \mathbf{A}_{21}\mathbf{A}_{11}^{-1}\mathbf{A}_{12} \end{bmatrix} \begin{bmatrix} \mathbf{U} & : & \mathbf{A}_{11}^{-1}\mathbf{A}_{12} \\ \vdots & & \vdots \\ \mathbf{0} & : & \mathbf{U} \end{bmatrix} \quad (34)$$

Valabilitatea acestei factorizări este dovedită dacă efectuăm înmulțirea matricelor indicate și observăm că rezultatul este (33).

Prin aplicarea repetată a dezvoltării cofactorilor, se poate arăta (problema 35) că determinantul unei matrice triunghiulare este egal cu produsul elementelor diagonalei principale. Deoarece

$$\begin{bmatrix} \mathbf{U} & : & \mathbf{0} \\ \vdots & & \vdots \\ \mathbf{A}_{21}\mathbf{A}_{11}^{-1} & : & \mathbf{U} \end{bmatrix} \text{ și } \begin{bmatrix} \mathbf{U} & : & \mathbf{A}_{11}^{-1}\mathbf{A}_{12} \\ \vdots & & \vdots \\ \mathbf{0} & : & \mathbf{U} \end{bmatrix}$$

sînt triunghiulare cu „elemente unitare” în diagonala principală, determinanții lor sînt egali cu unu. Rezultă că în (34) numai matricea din mijloc trebuie discutată. Această matrice poate fi factorizată astfel:

$$\begin{bmatrix} A_{11} & 0 \\ 0 & A_{22} - A_{21}A_{11}^{-1}A_{12} \end{bmatrix} = \begin{bmatrix} A_{11} & 0 \\ 0 & U \end{bmatrix} \begin{bmatrix} U & 0 \\ 0 & A_{22} - A_{21}A_{11}^{-1}A_{12} \end{bmatrix}; \quad (35)$$

Determinanții matricelor din dreapta sînt de fapt $\det A_{11}$ și $\det (A_{22} - A_{21}A_{11}^{-1}A_{12})$, respectiv.

Deoarece determinantul unui produs de matrice este egal cu produsul determinanților, luînd determinanții ambelor părți ale lui (34) și folosind (35), se obține:

$$\det A = (\det A_{11}) \{ \det (A_{22} - A_{21}A_{11}^{-1}A_{12}) \}. \quad (36)$$

Dacă A_{11} este scalarul $a_{11} \neq 0$ (adică ordinul lui A_{11} este 1×1), atunci ultima ecuație se reduce la

$$\det A = a_{11} \det \left(A_{22} - \frac{1}{a_{11}} A_{21}A_{12} \right) = a_{11} \det \frac{a_{11}A_{22} - A_{21}A_{12}}{a_{11}}.$$

În concordanță cu proprietățile unui determinant, multiplicarea fiecărei linii a unei matrice cu o constantă $1/a_{11}$, are ca efect multiplicarea cu $1/a_{11}^m$, unde m este ordinul matricei. Pentru matricea din partea dreaptă a cărui determinant este găsit, ordinul este $n - 1$, cu unu mai mic ca ordinul lui A . Deci

$$\det A = \frac{1}{a_{11}^{n-2}} \det (a_{11}A_{22} - A_{21}A_{12}). \quad (37)$$

Aceasta este relația matematică asociată condensării pivotale. Condiția ca elementul pivotal a_{11} să fie diferit de zero poate fi totdeauna realizată, cu excepția cazului în care toate elementele primei linii sau coloane sînt zero, caz în care $\det A = 0$. Făcînd abstracție de acest ultim caz, totdeauna putem plasa un element diferit de zero în poziția (1, 1) prin interschimbarea unei alte linii cu linia 1 sau a unei alte coloane cu coloana 1. Această interschimbare va necesita o schimbare de semn în concordanță cu proprietatea (3) a determinanților. Aplicarea repetată

a relației (37) reduce evaluarea $\det A$ la evaluarea determinantului unor aranjamente de dimensiuni 2×2 .

Exemplul dat mai jos ilustrează metoda condensării pivotale.

$$\begin{aligned}
 \det \begin{bmatrix} 0 & 0 & 1 & -2 \\ -1 & 3 & 0 & -2 \\ 4 & -1 & 3 & 1 \\ 2 & 0 & 2 & 1 \end{bmatrix} &= (-1) \det \begin{bmatrix} 1 & 0 & 0 & 2 \\ 0 & 3 & -1 & -2 \\ 3 & -1 & 4 & 1 \\ 2 & 0 & 2 & 1 \end{bmatrix} \quad (\text{s-au interschimbat} \\ &\quad \text{coloanele 1 și 3}) \\
 &= -\frac{1}{1^{4-1}} \det \left\{ 1 \times \begin{bmatrix} 3 & -1 & -2 \\ -1 & 4 & 1 \\ 0 & 2 & 1 \end{bmatrix} \right. \\ &\quad \left. - \begin{bmatrix} 0 \\ 3 \\ 2 \end{bmatrix} \begin{bmatrix} 0 & 0 & 2 \end{bmatrix} \right\} \\
 &= -\det \left\{ \begin{bmatrix} 3 & -1 & -2 \\ -1 & 4 & 1 \\ 0 & 2 & 1 \end{bmatrix} - \begin{bmatrix} 0 & 0 & 0 \\ 0 & 0 & 6 \\ 0 & 0 & 4 \end{bmatrix} \right\} \\
 &= -\det \begin{bmatrix} 3 & -1 & -2 \\ -1 & 4 & -5 \\ 0 & 2 & -3 \end{bmatrix} \\
 &= -\frac{1}{3^{3-2}} \det \left\{ 3 \times \begin{bmatrix} 4 & -5 \\ 2 & -3 \end{bmatrix} \right. \\ &\quad \left. - \begin{bmatrix} -1 \\ 0 \end{bmatrix} \begin{bmatrix} -1 & -2 \end{bmatrix} \right\} \\
 &= -\frac{1}{3} \det \left\{ \begin{bmatrix} 12 & -15 \\ 6 & -9 \end{bmatrix} \begin{bmatrix} 1 & 2 \\ 0 & 0 \end{bmatrix} \right\} \\
 &= -\frac{1}{3} \det \begin{bmatrix} 11 & -17 \\ 6 & -9 \end{bmatrix} \\
 &= -1.
 \end{aligned}$$

Multe din etapele incluse aici pot fi eliminate de cineva pentru care folosirea condensării pivotale pentru evaluarea unui determinant, a devenit o metodă curentă de calcul.

Ecuatii liniare

Notăția matriceală și conceptul de matrice au fost introduse în dorința de a ușura analiza seturilor de ecuații algebrice liniare. Deoarece în analiza rețelelor se folosesc astfel de ecuații și este necesară rezolvarea

lor, ne vom îndrepta acum atenția asupra lor. Considerăm următorul set de ecuații algebrice liniare.

$$\begin{aligned} a_{11}x_1 + a_{12}x_2 + a_{13}x_3 + \dots + a_{1n}x_n &= y_1 \\ a_{21}x_1 + a_{22}x_2 + a_{23}x_3 + \dots + a_{2n}x_n &= y_2 \\ \vdots & \\ a_{m1}x_1 + a_{m2}x_2 + a_{m3}x_3 + \dots + a_{mn}x_n &= y_m. \end{aligned}$$

Un astfel de sistem de ecuații poate fi scris folosind notația matriceală astfel :

$$\begin{bmatrix} a_{11} & a_{12} & \dots & a_{1n} \\ a_{21} & a_{22} & \dots & a_{2n} \\ \vdots & \vdots & & \vdots \\ a_{m1} & a_{m2} & \dots & a_{mn} \end{bmatrix} \begin{bmatrix} x_1 \\ x_2 \\ \vdots \\ x_n \end{bmatrix} = \begin{bmatrix} y_1 \\ y_2 \\ \vdots \\ y_m \end{bmatrix} \quad (39)$$

Aceasta poate fi verificată prin realizarea înmulțirii în stînga. De fapt, definiția unui produs de matrice, care putea fi privită ca restrictivă atunci cînd a fost introdusă, a fost dată astfel pentru a permite scrierea unui set de ecuații liniare în formă matriceală.

Expresia poate fi simplificată mai mult prin folosirea simbolurilor matricelor A , x , y , ceea ce conduce la

$$Ax = y \quad (40)$$

Această ecuație matriceală poate reprezenta orice set de orice număr de ecuații liniare, avînd orice număr de variabile. Importanța folosirii matricelor este evidentă. Problema care se pune acum, este rezolvarea acestei ecuații matriceale, sau a setului corespondent de ecuații scalare, prin găsirea unui set de valori pentru x , care satisface simultan aceste ecuații. Dacă există o soluție, spunem că ecuațiile sînt *compatibile*.

Fiecare coloană (sau linie) a unei matrice este identificată prin elementele sale. Ea poate fi privită ca un *vector*, în care elementele joacă rolul componentelor vectorului. Deși vectorii cu mai mult de trei dimensiuni nu pot fi vizualizați geometric, totuși terminologia de vectori spațiali este utilă în prezentul context și poate fi extinsă la un spațiu cu n dimensiuni. Astfel, în (40) x , y , și fiecare coloană și fiecare linie ale lui A sînt vectori. Dacă vectorul corespunde unei coloane de elemente, atunci el poate fi numit *vector coloană*. *Vectorul linie* este numele complet al unui vector care este o linie de elemente. Vom folosi denumirile complete

numai dacă altfel confuzia este posibilă. De cele mai multe ori cînd folosim simplu cuvîntul „vector”, el trebuie interpretat ca „vector coloană”.

Acum, dîndu-se un set de vectori, problema care apare este dacă există anumite relații între vectori sau dacă sînt independenți. În spațiul cu două dimensiuni, știm că oricare doi vectori sînt independenți unul față de altul, afară de cazul cînd sînt coliniari. Mai mult, orice alt vector din plan poate fi obținut ca o combinație liniară a acestora, astfel că trei vectori nu pot fi independenți în spațiul cu două dimensiuni.

În cazul mai general, spunem că un set de m vectori, caracterizat prin \mathbf{x}_i ($i = 1$ la m), este *dependent liniar* dacă putem găsi un set de constante k_i astfel ca

$$\sum_{i=1}^m k_i \mathbf{x}_i = \mathbf{0} \quad (k_i \text{ nu sînt toate zero}) \quad (41)$$

Dacă nu există o astfel de relație, vectorii sînt *independenți liniar*. Este clar că dacă vectorii sînt dependenți, atunci unul sau mai mulți vectori pot fi exprimați ca o *combinație liniară* a celor rămași cu ajutorul relației (41).

Pentru rezolvarea ecuațiilor liniare este indicat să folosim notația dependenței liniare. Să împărțim matricea A după coloane și să examinăm produsul

$$\mathbf{Ax} = [\mathbf{a}_1 \ \mathbf{a}_2 \ \dots \ \mathbf{a}_n] \begin{bmatrix} x_1 \\ x_2 \\ \vdots \\ x_n \end{bmatrix}$$

$$= x_1 \mathbf{a}_1 + x_2 \mathbf{a}_2 + \dots + x_n \mathbf{a}_n.$$

Exprimată în acest fel, se vede că \mathbf{Ax} este o combinație liniară a vectorilor lui A . De fapt, există un vector \mathbf{x} care ne va da orice combinație dorită a acestor vectori coloană. Este evident deci că dacă ecuația $\mathbf{y} = \mathbf{Ax}$ are o soluție, \mathbf{y} trebuie să fie o combinație liniară a vectorilor coloanelor lui A . O formulare echivalentă a acestor condiții este următoarea: Numărul maxim de vectori liniar-independenți din două seturi $\mathbf{a}_1, \dots, \mathbf{a}_n$ și $\mathbf{a}_1, \mathbf{a}_2, \dots, \mathbf{a}_n$, \mathbf{y} trebuie să fie același dacă sistemul de ecuații $\mathbf{y} = \mathbf{Ax}$ admite soluție.

Putem stabili o formulare mai compactă a acestei condiții de existență a soluției, sau de compatibilitate a lui $\mathbf{y} = \mathbf{Ax}$. Definim rangul unei matrice ca ordinul celei mai mari matrice pătrate nesingulare care poate fi obținută prin îndepărtarea de linii și coloane din matricea ori-

ginală. Dacă rangul unei matrice pătrate este egal cu ordinul acesteia, matricea este nesingulară, astfel că determinantul său este diferit de zero. De fapt, se poate stabili ca o teoremă că *determinantul unei matrice este zero dacă și numai dacă liniile și coloanele matricei sînt liniar dependente*. (Demonstrați-o!). Astfel liniile și coloanele unei matrice nesingulare trebuie să fie liniar-independente. Rezultă că rangul unei matrice egalează numărul maxim de linii și coloane liniar-independente.

Considerăm acum două matrice A și Ay , unde cea de a doua matrice este obținută din A la care se adaugă un vector coloană y . Am stabilit că numărul maxim de vectori coloană liniar-independenți trebuie să fie același pentru aceste două matrice, pentru a asigura compatibilitatea, astfel că deducem că rangul celor două matrice trebuie să fie același; astfel, sistemul de ecuații $y = Ax$ este compatibil dacă și numai dacă

$$\text{rang } A = \text{rang } [A \ y]. \quad (42)$$

Aceasta este numită *relație de consistență*.

Exemplu

Presupunem că A este următoarea matrice de ordinul 3×4 ;

$$A = \begin{bmatrix} 2 & 1 & 4 & 5 \\ -1 & 2 & -7 & -5 \\ 3 & 4 & 1 & 5 \end{bmatrix}$$

Prin calcul direct, se obține că fiecare din cele patru matrice pătrate de ordinul 3 obținute prin îndepărtarea unei coloane din A este singulară — are determinantul zero. Totuși matricea 2×2

$$\begin{bmatrix} 2 & 1 \\ -1 & 2 \end{bmatrix}$$

obținută prin îndepărtarea liniei a treia și a coloanelor trei și patru este nesingulară. Astfel rangul lui A este 2. Aceasta ne spune de asemenea că vectorii coloanelor 1 și 2

$$a_1 = \begin{bmatrix} 2 \\ -1 \\ 3 \end{bmatrix} \text{ și } a_2 = \begin{bmatrix} 1 \\ 2 \\ 4 \end{bmatrix}$$

sînt liniar independenți. Vectorii coloanelor 3 și 4

$$a_3 = \begin{bmatrix} 4 \\ -7 \\ 1 \end{bmatrix} \text{ și } a_4 = \begin{bmatrix} 5 \\ -5 \\ 5 \end{bmatrix}$$

sînt combinații liniare de a_1 și a_2 ; în particular,

$$a_3 = 3a_1 - 2a_2 \text{ și } a_4 = 3a_1 - a_2.$$

Dacă $y = Ax$ are o soluție, atunci y trebuie să fie o combinație liniară a lui a_1 și a_2 . Presupunem $y = \alpha a_1 + \beta a_2$. Atunci trebuie să rezolvăm

$$\alpha a_1 + \beta a_2 = Ax = x_1 a_1 + x_2 a_2 + x_3 a_3 + x_4 a_4$$

sau, deoarec

$$a_3 = 3a_1 - 2a_2 \quad \text{și} \quad a_4 = 3a_1 - a_2$$

atunci

$$(\alpha - 3x_3 - 3x_4)a_1 + (\beta + 2x_1 + x_2)a_2 = x_1 a_1 + x_2 a_2$$

Astfel pentru orice x_3 și x_4 , x este o soluție a lui $y = Ax$, dacă $x_1 = \alpha - 3x_3 - 3x_4$ și $x_2 = \beta + 2x_1 + x_2$. Faptul că soluția nu este unică este o consecință a faptului că rangul lui A este mai mic ca numărul de coloane ale lui A . Aceasta este de asemenea adevărat pentru soluția generală a lui $y = Ax$.

Soluția generală pentru $y = Ax$. Presupunem condiția de compatibilitate satisfăcută și că rang $A = r$. În acest caz, ecuația $y = Ax$ poate fi totdeauna partiționată astfel:

$$\begin{array}{cc} r & n - r \\ \text{coloane} & \text{coloane} \end{array} \quad \begin{array}{l} r \\ \text{linii} \end{array} \begin{bmatrix} A_{11} & A_{12} \\ A_{21} & A_{22} \end{bmatrix} \begin{bmatrix} x_1 \\ x_2 \end{bmatrix} = \begin{bmatrix} y_1 \\ y_2 \end{bmatrix} \quad (43)$$

Se determină în primul rînd rangul r prin găsirea submatricei de cel mai mare ordin al cărei determinant este diferit de zero. Se rearanjează apoi ecuațiile, astfel încît primele r linii și coloane să aibă determinantul diferit de zero, adică A_{11} este nesingular. Ecuațiile pot fi scrise acum astfel:

$$A_{11}x_1 + A_{12}x_2 = y_1 \quad (44a)$$

$$A_{21}x_1 + A_{22}x_2 = y_2. \quad (44b)$$

(44b) poate fi privită ca o relație suplimentară în care fiecare ecuație a ei este o combinație liniară a ecuațiilor din (44a). Puteți arăta acum că acesta este un efect al presupunerii că este satisfăcută condiția de compatibilitate. În (44a) transferăm al doilea termen în dreapta și multi-

plicăm ecuația cu A_{11}^{-1} , care există deoarece A_{11} este nesingular. Rezultatul va fi

$$x_1 = A_{11}^{-1}(y_1 - A_{12}x_2) \quad (45)$$

care este de fapt soluția. Vectorul x_1 conține r elemente ale vectorului original x ; ele sînt exprimate aici în funcție de elementele lui y_1 și a celor $m - r$ elemente rămase din x .

Observăm că soluția (45) nu este unică dacă $n > r$. De fapt există $q = n - r$ variabile, elementele x_2 , care pot fi alese arbitrar. Acest număr q este numit *grad de degenerare* al matricei A .

Pentru cazul special al ecuațiilor omogene, și anume cazul în care $y = 0$, se va observa din (45) că există o soluție netrivială numai dacă gradul de degenerare este diferit de zero. Pentru un caz mai special cînd $m = n$ (adică, cînd A este o matrice pătrată), gradul de degenerare este diferit de zero și există o soluție netrivială numai dacă A este singular.

Pentru ilustrare, considerăm următorul sistem de ecuații :

$$\begin{bmatrix} -1 & 1 & 1 & 0 & 0 & 0 & 0 & 0 \\ 0 & 0 & -1 & 1 & 1 & 0 & 0 & 0 \\ 0 & 0 & 0 & 0 & -1 & 1 & 1 & 0 \\ 0 & 0 & 0 & 0 & 0 & 0 & -1 & 1 \\ 1 & -1 & 0 & -1 & 0 & -1 & 0 & -1 \end{bmatrix} \begin{bmatrix} x_1 \\ x_2 \\ x_3 \\ x_4 \\ x_5 \\ x_6 \\ x_7 \\ x_8 \end{bmatrix} = \begin{bmatrix} 1 \\ 2 \\ 3 \\ 4 \\ -10 \end{bmatrix}$$

Observăm că primele patru linii și coloanele 2, 4, 6 și 8 ale lui A formează o matrice unitate (care este nesingulară) și astfel $\text{rang } A \geq 4$. Observăm de asemenea că linia 5 este egală cu negativa sumei primelor 4 linii. Astfel că liniile lui A nu sînt liniar-independente și $\text{rang } A < 5$. Deoarece $4 \leq \text{rang } A < 5$, se determină că $\text{rang } A = 4$. În mod asemănător se găsește că $\text{rang } [A \ y] = 4$. Rezultă că condiția de compatibilitate este satisfăcută. Putem acum rearanja coloanele și face următoarea partiționare în submatrice a matricelor.

$$\begin{bmatrix} 1 & 0 & 0 & 0 & -1 & 1 & 0 & 0 \\ 0 & 1 & 0 & 0 & 0 & -1 & 1 & 0 \\ 0 & 0 & 1 & 0 & 0 & 0 & -1 & 1 \\ 0 & 0 & 0 & 1 & 0 & 0 & 0 & -1 \\ \cdot & \cdot & \cdot & \cdot & \cdot & \cdot & \cdot & \cdot \\ -1 & -1 & -1 & -1 & \cdot & 1 & 0 & 0 \end{bmatrix} \begin{bmatrix} x_2 \\ x_4 \\ x_6 \\ x_8 \\ \dots \\ x_1 \\ x_3 \\ x_5 \\ x_7 \end{bmatrix} = \begin{bmatrix} 1 \\ 2 \\ 3 \\ 4 \\ \dots \\ -10 \end{bmatrix}$$

Matricea a fost *partiționată* în forma (43) cu $A_{11} = U$, o matrice unitate. Ultimul rând al matricei este eliminat, și ceea ce a rămas este scris acum astfel :

$$U \begin{bmatrix} x_2 \\ x_4 \\ x_6 \\ x_8 \end{bmatrix} = \begin{bmatrix} 1 \\ 2 \\ 3 \\ 4 \end{bmatrix} - \begin{bmatrix} -1 & 1 & 0 & 0 \\ 0 & -1 & 1 & 0 \\ 0 & 0 & -1 & 1 \\ 0 & 0 & 0 & -1 \end{bmatrix} \begin{bmatrix} x_1 \\ x_3 \\ x_5 \\ x_7 \end{bmatrix}$$

Deoarece inversa lui U este tot U , soluția este obținută direct. În formă scalară, aceasta este

$$x_2 = 1 + x_1 - x_3$$

$$x_4 = 2 + x_3 - x_5$$

$$x_6 = 3 - x_5 - x_7$$

$$x_8 = 4 + x_7$$

Pentru fiecare set de valori pentru x_1, x_3, x_5 și x_7 va exista un set de valori pentru x_2, x_4, x_6 și x_8 . Într-o problemă fizică, formarea setului de variabile poate să nu fie arbitrară ; ele trebuiesc deseori alese să satisfacă unele condiții ale problemei.

Ecuatie caracteristică

O ecuație algebrică care apare deseori în analiza rețelilor este

$$\lambda \mathbf{x} = \mathbf{A} \mathbf{x} \quad (46)$$

unde A este o matrice pătrată de ordinul n . Problema, cunoscută ca problema *valorii proprii*, este să se găsească scalarii λ și vectorii \mathbf{x} care satisfac această ecuație. O valoare a lui λ , pentru care există o soluție netrivială a lui \mathbf{x} , este numită o *valoare proprie*, sau *valoare caracteristică* a lui A . Vectorul \mathbf{x} corespunzător este numit un *vector propriu* sau un *vector caracteristic* al lui A .

Să scriem (46) astfel :

$$(\lambda U - A) \mathbf{x} = \mathbf{0} \quad (47)$$

Aceasta este o ecuație omogenă despre care știm că are o soluție netrivială numai dacă $\lambda U - A$ este singulară sau altfel spus

$$\det(\lambda U - A) = 0 \quad (48)$$

Determinantul din partea stângă este un polinom de gradul n în λ și este cunoscut ca *polinomul caracteristic* al lui A . Ecuația în sine este cunoscută ca *ecuație caracteristică* asociată lui A . Pentru fiecare valoare a lui λ care satisface ecuația caracteristică, se poate găsi o soluție netrivială a lui (47) cu metodele din subparagraful precedent.

Pentru a ilustra această idee, considerăm matricea 2×2

$$A = \begin{bmatrix} 5 & 1 \\ -2 & 2 \end{bmatrix}$$

Polinomul caracteristic este

$$\det \begin{bmatrix} \lambda - 5 & -1 \\ 2 & \lambda - 2 \end{bmatrix} = \lambda^2 - 7\lambda + 12 = (\lambda - 3)(\lambda - 4).$$

Soluțiile ecuației caracteristice $(\lambda - 3)(\lambda - 4) = 0$ sînt valorile 3 și 4, care sînt deci valori proprii ale lui A . Pentru a obține vectorul propriu corespunzător valorii proprii $\lambda = 3$, rezolvăm (47) folosind matricea dată A și $\lambda = 3$. Astfel

$$\left\{ \begin{bmatrix} 3 & 0 \\ 0 & 3 \end{bmatrix} - \begin{bmatrix} 5 & 1 \\ -2 & 2 \end{bmatrix} \right\} \begin{bmatrix} x_1 \\ x_2 \end{bmatrix} = \begin{bmatrix} -2 & -1 \\ 2 & 1 \end{bmatrix} \begin{bmatrix} x_1 \\ x_2 \end{bmatrix} = \begin{bmatrix} 0 \\ 0 \end{bmatrix}$$

Rezultatul este

$$\begin{bmatrix} x_1 \\ x_2 \end{bmatrix} = \begin{bmatrix} x_1 \\ -2x_1 \end{bmatrix},$$

pentru orice valoare a lui x_1 . Vectorul propriu corespunzător valorii proprii $\lambda = 4$ este obținut în mod similar.

$$\begin{bmatrix} -1 & -1 \\ 2 & 2 \end{bmatrix} \begin{bmatrix} x_1 \\ x_2 \end{bmatrix} = \begin{bmatrix} 0 \\ 0 \end{bmatrix}$$

din care

$$\begin{bmatrix} x_1 \\ x_2 \end{bmatrix} = \begin{bmatrix} x_1 \\ -x_1 \end{bmatrix}$$

pentru orice valoare a lui x_1 .

Similitudine

Spunem că două matrice pătrate **A** și **B** de același ordin sînt *similare* dacă există o matrice nesingulară **S** astfel ca

$$\mathbf{S}^{-1} \mathbf{A} \mathbf{S} = \mathbf{B} \quad (49)$$

Matricea **B** este numită *transformata de similaritate* a lui **A** prin **S**, iar **A** este transformata de similaritate a lui **B** prin \mathbf{S}^{-1} .

Motivul pentru care similaritatea matricelor este un concept important, este faptul că matrice similare au determinanți egali, aceleași polinoame caracteristice, și deci aceleași valori proprii. Acestea sînt ușor de verificat. Astfel, prin aplicarea regulilor cunoscute pentru determinanți la un produs de matrice pătrate, determinanții sînt egali, deoarece

$$|\mathbf{B}| = |\mathbf{S}^{-1} \mathbf{A} \mathbf{S}| = |\mathbf{S}^{-1}| |\mathbf{A}| |\mathbf{S}| = |\mathbf{S}^{-1} \mathbf{S}| |\mathbf{A}| = |\mathbf{A}|$$

Polinoamele caracteristice sînt egale deoarece

$$\begin{aligned} |\lambda \mathbf{U} - \mathbf{B}| &= |\lambda \mathbf{U} - \mathbf{S}^{-1} \mathbf{A} \mathbf{S}| = |\mathbf{S}^{-1} (\lambda \mathbf{U} - \mathbf{A}) \mathbf{S}| \\ &= |\mathbf{S}^{-1}| |\lambda \mathbf{U} - \mathbf{A}| |\mathbf{S}| = |\mathbf{S}^{-1} \mathbf{S}| |\lambda \mathbf{U} - \mathbf{A}| \\ &= |\lambda \mathbf{U} - \mathbf{A}|. \end{aligned}$$

Dacă valorile proprii ale unei matrice sînt zerourile polinomului său caracteristic, și dacă **A** și **B** au aceleași polinoame caracteristice, valorile lor proprii trebuie să fie egale.

O relație de similaritate specială este similaritatea lui **A** la o matrice diagonală.

$$\mathbf{\Lambda} = \begin{bmatrix} \lambda_1 & & & & \\ & \lambda_2 & & \bigcirc & \\ & & \ddots & & \\ & & & \ddots & \\ & \bigcirc & & & \lambda_{n-1} \\ & & & & & \lambda_n \end{bmatrix}$$

Dacă **A** și **Λ** sînt similare, atunci elementele diagonalei lui **Λ** sînt valori proprii pentru **A**. Aceasta rezultă din faptul că **A** și **Λ** au aceleași valori

proprii, și, așa cum se poate ușor arăta, valorile proprii ale lui Λ sînt elementele diagonalei ei.

În continuare vom arăta că A este similară unei matrice diagonale Λ , dacă și numai dacă A are n vectori proprii liniar-independenți. Să presupunem pentru început că A este similar cu Λ . Aceasta înseamnă că $\Lambda = S^{-1}AS$ sau, ceea ce este echivalent cu :

$$S\Lambda = AS \quad (50)$$

Partiționăm acum S după coloane; adică, $S = [S_1, S_2, \dots, S_n]$, unde S_j sînt vectori coloană ai lui S . Egalînd coloana j a lui AS cu coloana j a lui $S\Lambda$, în concordanță cu (50), obținem

$$\lambda_j S_j = AS_j \quad (51)$$

Din compararea cu (46), vedem că S_j este vectorul propriu corespunzător lui λ_j . Dacă A este similar cu Λ , S este nesingular, și vectorii săi coloană (vectori proprii ai lui A) sînt liniar-independenți. Aceasta stabilește necesitatea.

Să presupunem acum că A are n vectori proprii liniar-independenți. În conformitate cu (50), matricea S satisface relația $S\Lambda = AS$. Deoarece n vectori proprii ai lui A (vectori coloană ai lui S) sînt liniar independenți, S este nesingular, și $S\Lambda = AS$ implică $\Lambda = S^{-1}AS$. Rezultă că Λ este similar cu A și A este similar cu Λ .

Am arătat deci că dacă matricea pătrată S , care are vectorii proprii ai lui A ca vectori coloană pentru ea, este nesingulară, atunci A este similară matricei diagonale $\Lambda = S^{-1}AS$.

Exemplu

Ca exemplu, se consideră matricea dată mai sus

$$A = \begin{bmatrix} 5 & 1 \\ -2 & 2 \end{bmatrix}$$

Am găsit că valorile proprii ale acesteia sînt $\lambda_1 = 3$ și $\lambda_2 = 4$, și că, pentru s_{11} și s_{12} arbitrare și diferite de zero,

$$S_1 = \begin{bmatrix} s_{11} \\ -2s_{11} \end{bmatrix} \quad \text{și} \quad S_2 = \begin{bmatrix} s_{12} \\ -s_{12} \end{bmatrix}$$

sînt vectorii proprii corespunzători. Fie $s_{11} = s_{12} = 1$; atunci

$$S = \begin{bmatrix} 1 & 1 \\ -2 & -1 \end{bmatrix}$$

și deci

$$S^{-1} = \begin{bmatrix} -1 & -1 \\ 2 & 1 \end{bmatrix}$$

Se obține

$$S^{-1}AS = \begin{bmatrix} -1 & -1 \\ 2 & 1 \end{bmatrix} \begin{bmatrix} 5 & 1 \\ -2 & 2 \end{bmatrix} \begin{bmatrix} 1 & 1 \\ -2 & -1 \end{bmatrix} = \begin{bmatrix} 3 & 0 \\ 0 & 4 \end{bmatrix} = \Lambda$$

Procedura de a găsi o matrice S astfel ca să fie similară cu Λ necesită construirea unei matrice ajutătoare care să aibă vectorii proprii ai lui A ca coloane. Dacă această matrice este nesară, atunci ea este S și deci S există. Deseori este necesar să știm că S există, fără însă a o determina. Această problemă este rezolvată de următoarea teoremă: n vectori proprii ai lui A sînt distincți și, deci, S există, dacă:

1. Valorile proprii ale lui A sînt distincte.
2. A este simetrică sau hermitică¹⁾.

Inegalitatea lui Sylvester

Considerăm produsul matriceal PQ , unde P este o matrice de ordinul $m \times n$ și rang r_P și unde Q este o matrice de ordin $n \times k$ și rang r_Q . Fie r_{PQ} notația rangului matricei produsului. Inegalitatea Sylvester este o relație între r_P , r_Q și r_{PQ} și anume

$$r_P + r_Q - n \leq r_{PQ} \leq \min \{r_P, r_Q\}. \quad (52)$$

Menționăm că n este numărul de coloane ale primei matrice din produs sau numărul de linii din a doua.

Ca un caz special, presupunem că P și Q sînt matrice pătrate nesingulare de ordin n . Atunci $r_P = r_Q = n$, și din inegalitatea lui Sylvester, $n \leq r_{PQ} \leq n$ sau $r_{PQ} = n$. Acest lucru era cunoscut deoarece $|PQ| = |P| |Q| \neq 0$, dacă $|P| \neq 0$ și $|Q| \neq 0$. Ca un alt caz special, presupunem $PQ = 0$. În acest caz $r_{PQ} = 0$ și din inegalitatea Sylvester se obține $r_P + r_Q \leq n$.

¹⁾ Demonstrația poate fi găsită în R. Bellman. „Introduction to Matrix Analysis” McGraw-Hill Book Co, Inc., New York, 1960, Chs. 3 and 4.

O demonstrație a inegalității lui Sylvester necesită o înțelegere a unor concepte de bază asociate cu spații vectoriale finite dimensionale. Topica este în afara scopului acestui text și nu ne propunem a da demonstrația. Pentru o astfel de demonstrație se poate consulta F. R. Gantmacher „The Theory of Matrices”, Vol. I, Chelsea Publishing Co, New York, 1959.

Norma unui vector

Una din proprietățile unui spațiu vectorial este lungimea sa. Lungimea unui vector nu are o interpretare geometrică. Cu toate acestea, lungimea unui vector este un concept util, pe care îl vom discuta acum.

Definim *norma* unui n -vector \mathbf{x} ca un număr nenegativ $\|\mathbf{x}\|$ care are următoarele proprietăți:

1. $\|\mathbf{x}\| = 0$ dacă și numai dacă $\mathbf{x} = 0$.
2. $\|\alpha \mathbf{x}\| = |\alpha| \|\mathbf{x}\|$, unde α este un număr real sau complex.
3. $\|\mathbf{x}_1 + \mathbf{x}_2\| \leq \|\mathbf{x}_1\| + \|\mathbf{x}_2\|$, unde \mathbf{x}_1 și \mathbf{x}_2 sînt doi n -vectori.

Un vector poate fi caracterizat de norme diferite care să satisfacă aceste proprietăți.

Cea mai familiară normă este norma Euclidiană definită de

$$\|\mathbf{x}\|_2 = (\mathbf{x}^* \mathbf{x})^{1/2} = \left(\sum_{i=1}^n |x_i|^2 \right)^{1/2}. \quad (53)$$

Aceasta este rădăcina pătrată a sumei pătratelor componentelor vectorului. Norma Euclidiană este utilă cînd se face referire la lungimea unui vector; totuși, există alte norme cu care se lucrează mult mai ușor în calculele numerice. O astfel de normă este

$$\|\mathbf{x}\|_1 = \sum_{i=1}^n |x_i|; \quad (54)$$

care este suma amplitudinilor componentelor vectorului. Ea poate fi numită *norma sumei amplitudinilor*. O altă normă este:

$$\|\mathbf{x}\|_\infty = \max_i |x_i|; \quad (55)$$

care este, amplitudinea componentei care are cea mai mare amplitudine. Este ușor de arătat că $\|\mathbf{x}\|_2$, $\|\mathbf{x}\|_1$ și $\|\mathbf{x}\|_\infty$ satisfac fiecare proprietățile unei norme.

Faptul că fiecare din aceste norme este o măsură a lungimii vectorului se poate dovedi cu ajutorul unor observații. Dacă oricare din aceste norme este diferită de zero, celelalte două sînt diferite de zero. Dacă una din acestea are limita zero, aceeași limită vor avea și celelalte.

O matrice este adesea privită ca o *transformare*. Dacă \mathbf{A} este o matrice de ordinul $m \times n$ și \mathbf{x} un n -vector, atunci considerăm pe \mathbf{A} ca o matrice care transformă pe \mathbf{x} în m -vectorul \mathbf{Ax} . Mai tirziu va fi necesar să stabilim limitele normei vectorului \mathbf{Ax} ; pentru a face aceasta, introducem noțiunea de normă a unei matrice.

Spunem că matricea A este mărginită dacă există o constantă reală, pozitivă K astfel ca

$$\|Ax\| \leq K\|x\| \quad (56)$$

pentru orice x . Cea mai mare limită inferioară a tuturor acestor K este numită norma lui A și se notează cu $\|A\|$. Este ușor de arătat că norma matricei are proprietățile obișnuite ale unei norme; astfel:

1. $\|A\| = 0$ dacă și numai dacă $A = 0$;
2. $\|\alpha A\| = |\alpha| \|A\|$, unde α este un număr real sau complex; și
3. $\|A_1 + A_2\| \leq \|A_1\| + \|A_2\|$.

Este ușor de dedus că $\|A_1 A_2\| \leq \|A_1\| \|A_2\|$.

Din definiția celei mai mari limite inferioare, este clar că,

$$\|Ax\| \leq \|A\| \|x\|. \quad (57)$$

Este posibil să arătăm că există un vector pentru care (57) devine egalitate. Nu vom proceda în felul acesta în general, și vom considera cazurile normei sumei amplitudinilor din (54), normei amplitudinii maxime din (55) și normei euclidiene din (53).

Astfel, folosind norma sumei amplitudinilor din (54), obținem

$$\begin{aligned} \|Ax\|_1 &= \sum_{i=1}^m \left| \sum_{j=1}^n a_{ij} x_j \right| \leq \sum_{i=1}^m \sum_{j=1}^n |a_{ij}| |x_j| \\ &\leq \left\{ j \sum_{i=1}^m |a_{ij}| \right\} \sum_{j=1}^n |x_j| \leq \left\{ j \sum_{i=1}^m |a_{ij}| \right\} \|x\|_1. \end{aligned} \quad (58)$$

Prima și ultima etapă decurg din definiția normei sumei amplitudinilor. A doua etapă este un rezultat al inegalității pentru numerele complexe. Presupunem că cea mai mare valoare a sumei amplitudinilor

lui a_{ij} se obține pentru coloana k ; astfel, presupunem $\max_j \sum_{i=1}^m |a_{ij}| = \sum_{i=1}^m |a_{ik}|$. Atunci (58) este satisfăcută ca egalitate când $x_j = 0$ pentru $j \neq k$ și $x_k = 1$. Rezultă

$$\|A\|_1 = \max_j \sum_{i=1}^m |a_{ij}|. \quad (59)$$

Prin urmare, norma sumei amplitudinilor unei matrice A este norma sumei vectorului coloană al lui A care are cea mai mare normă a sumei amplitudinilor.

În continuare vom folosi norma amplitudinii maxime din (55). Atunci

$$\begin{aligned} \|Ax\|_{\infty} &= \max_i \left| \sum_{j=1}^n a_{ij} x_j \right| \leq \max_i \sum_{j=1}^n |a_{ij}| |x_j| \\ &\leq \left\{ \max_i \sum_{j=1}^n |a_{ij}| \right\} \max_j |x_j| \leq \left\{ \max_i \sum_{j=1}^n |a_{ij}| \right\} \|x\|_{\infty}. \end{aligned} \quad (60)$$

Etapale prezentate aici sînt aceleași ca la norma precedentă, cu excepția faptului că se folosește norma amplitudinii maxime. Din nou presupunem că suma amplitudinilor lui a_{ij} este maximă pentru linia k ; adică, presupunem $\max_i \sum_{j=1}^n |a_{ij}| = \sum_{j=1}^n |a_{kj}|$. În acest caz (60) este satisfăcută ca egalitate cînd $x_j = \text{sgn}(a_{kj})$. Funcția $\text{sgn } y$ este egală cu $+1$ cînd y este pozitiv și -1 cînd y este negativ). Rezultă

$$\|A\|_{\infty} = \max_i \sum_{j=1}^n |a_{ij}|. \quad (61)$$

Norma amplitudinii maxime a unei matrice A este deci norma sumei amplitudinilor a acelui vector linie al lui A care are cea mai mare normă a sumei amplitudinilor.

În final, pentru norma euclidiană, deși nu demonstrăm aici, se poate arăta ¹⁾ că

$$\|Ax\|_2 = (x^* A^* A x)^{1/2} \leq |\lambda_m|^{1/2} (x^* x)^{1/2} = |\lambda_m|^{1/2} \|x\| \quad (62)$$

unde λ_m este valoarea proprie a lui $A^* A$ care are amplitudinea cea mai mare. Se poate de asemenea arăta că există un vector x astfel încît (62) să fie o egalitate. Deci

$$\|A\|_2 = |\lambda_m|^{1/2}. \quad (63)$$

Exemplu

Să presupunem $y = Ax$, sau

$$\begin{bmatrix} y_1 \\ y_2 \\ y_3 \end{bmatrix} = \begin{bmatrix} 1 & -1 \\ -2 & 0 \\ 3 & 4 \end{bmatrix} \begin{bmatrix} x_1 \\ x_2 \end{bmatrix}$$

Din (59) norma sumei amplitudinilor lui A este

$$\|A\|_1 = \max \{6, 5\} = 6.$$

¹⁾ Modalitatea de rezolvare a acestuia se poate găsi în cap. 7.

Din (61) norma amplitudinii maxime a lui A este

$$\|A\|_{\infty} = \max \{2, 2, 7\} = 7.$$

Pentru norma euclidiană, găsim mai întâi

$$A^*A = \begin{bmatrix} 1 & -2 & 3 \\ -1 & 0 & 4 \end{bmatrix} \begin{bmatrix} 1 & -1 \\ -2 & 0 \\ 3 & 4 \end{bmatrix} = \begin{bmatrix} 14 & 11 \\ 11 & 17 \end{bmatrix}$$

Ecuția caracteristică a lui A^*A este

$$|\lambda U - A^*A| = \begin{vmatrix} \lambda - 14 & -11 \\ -11 & \lambda - 17 \end{vmatrix} = \lambda^2 - 31\lambda + 117 = (\lambda - 26,64)(\lambda - 4,36).$$

Deci $\lambda_m = 26.64$ și

$$\|A\|_2 = \sqrt{26,64} = 5,18.$$

Cunoaștem, de asemenea, din substituirea normelor matricelor de mai sus în (57), că

$$(|y_1| + |y_2| + |y_3|) \leq 6(|x_1| + |x_2|)$$

$$\max(|y_1|, |y_2|, |y_3|) \leq 7 \max(|x_1|, |x_2|)$$

și

$$(|y_1|^2 + |y_2|^2 + |y_3|^2)^{1/2} \leq 5,18(|x_1|^2 + |x_2|^2)^{1/2}$$

În acest paragraf, am făcut o scurtă prezentare a unor subiecte din teoria vastă a matricelor, fără a face demonstrații. Unele demonstrații sînt sugerate în probleme.

1.3. NOTĂȚII ȘI SENSURI CONVENȚIONALE

Semnalele sau variabilele în termenii cărora este descrisă rețeaua electrică sînt tensiuni și curenți. Acestea sînt funcții de timp (t) și vor fi reprezentate consecvent prin simboluri litere mici $v(t)$ și $i(t)$. Uneori dependența funcției de timp nu va fi arătată explicit, și anume atunci cînd nu există posibilitatea de confuzie; astfel, v și i vor fi folosiți în loc de $v(t)$ și $i(t)$.

Transformata Laplace a unei funcții de timp va fi reprezentată prin litere mari corespunzătoare literelor mici care reprezintă funcția de timp. Astfel, $I(s)$ este transformata Laplace a lui $i(t)$, unde s este variabila frecvența complexă, $s = \sigma + j\omega$. Uneori, dependența funcțională de s nu va fi arătată explicit, și $I(s)$ va fi scris simplu I .

În teoria rețelor s-au găsit legi fundamentale care exprimă relații între tensiunile și curenții unei rețele. Înainte de a formula aceste legi este necesar să stabilim un sistem de corelare a sensurilor cu mărimile asociate lui i și v . Aceasta este făcută prin stabilirea unei referințe pentru fiecare tensiune și curent. Funcțiile $i(t)$ și $v(t)$ sînt funcții reale de timp care pot lua valori negative sau pozitive în cursul timpului. Sistemul de referință adoptat în această carte este arătat în fig. 1.1.

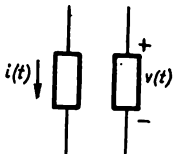


Fig. 1.1. Referințe de curent și tensiune.

O săgeată indică sensul de referință pentru curentul dintr-o latură. Aceasta nu înseamnă că totdeauna curentul parcurge latura în sensul săgeții. Ea trebuie interpretată astfel: ori de câte ori sensul curentului coincide cu sensul săgeții, $i(t)$ va fi pozitiv. Similar, semnele plus și minus la capetele unei laturi sînt referințele de tensiune pentru latură. Ori de câte ori polaritatea tensiunii coincide cu sensul indicat de referință, $v(t)$ va fi pozitiv. Simbolul pentru referința de tensiune poate fi simplificat, deoarece indicarea numai a semnelui plus va implica de asemenea semnul minus. Ori de câte ori nu este posibilă o confuzie, semnul minus poate fi omis din referință.

Pentru o latură dată, sensul ales ca referință de curent și polaritatea aleasă ca referință de tensiune sînt arbitrare. Oricare din cele

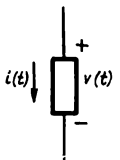


Fig. 1.2. Referințe standard.

două posibilități poate fi aleasă ca referință de curent și oricare din cele două posibilități poate fi aleasă ca referință de tensiune. Mai mult, referința de curent este independentă de referința pentru tensiune. Totuși, adeseori este convenabil să alegem aceste două referințe așa cum este arătat în fig. 1.2. Astfel, cu săgeata curentului de referință trasată de-a-lungul laturii, dacă plusul tensiunii de referință este la nodul în care intră curentul de referință, rezultatul este numit *referința standard*. Dacă

ne propunem folosirea referinței standard, atunci este necesar să arătăm numai una din referințe; cealaltă va fi implicată. Trebuie să precizăm că alegerea referinței standard nu este o necesitate, ci numai o convenție.

1.4. CLASIFICAREA REȚELOR (CIRCUITELOR)

Este posibil să ajungem la o clasificare a rețelor pe una din două căi. O posibilitate este să specificăm felul elementelor din care este compusă rețeaua și, pe baza proprietăților lor, să ajungem la unele generalizări cu privire la rețea privită ca un întreg. Astfel, dacă valorile tuturor elementelor unei rețele sunt constante și nu se modifică în timp, rețeaua privită ca un întreg poate fi clasificată ca o rețea *invariantă în timp*.

O altă cale este de a ne îndrepta atenția asupra punctelor de acces ale rețelei și să clasificăm rețeaua după proprietățile generale ale răspunsurilor lor la excitațiile aplicate în aceste puncte. În acest capitol vom examina a doua cale.

Liniaritate

Fie excitația aplicată la o rețea, care nu are energie înmagazinată inițial, notată cu $e(t)$ și răspunsul rețelei $w(t)$. O rețea liniară este aceea în care răspunsul este proporțional cu excitația și principiul superpoziției este aplicabil. Mai precis, dacă răspunsul la o excitație $e_1(t)$ este $w_1(t)$ și răspunsul la o excitație $e_2(t)$, este $w_2(t)$, atunci rețeaua este liniară dacă răspunsul la excitația $k_1 e_1(t) + k_2 e_2(t)$ este $k_1 w_1(t) + k_2 w_2(t)$.

Această definiție scalară poate fi extinsă la forma matriceală pentru excitație și răspunsuri multiple. Vectorii excitație și răspuns $e(t)$ și $w(t)$ sunt definiți ca vectori coloană.

$$e(t) = \begin{bmatrix} e_a(t) \\ e_b(t) \\ \vdots \\ \vdots \end{bmatrix} \text{ și } w(t) = \begin{bmatrix} w_a(t) \\ w_b(t) \\ \vdots \\ \vdots \end{bmatrix}$$

unde e_a , e_b etc. sunt excitații la bornele a , b etc.; și w_a , w_b etc. sunt răspunsurile corespunzătoare. O rețea este liniară dacă vectorul excitație $k_1 e_1(t) + k_2 e_2(t)$ conduce la un vector răspuns $k_1 w_1(t) + k_2 w_2(t)$, unde w_i este vectorul răspuns la vectorul excitație e_i .

Invarianța în timp

O rețea care va produce același răspuns la o excitație dată, indiferent de momentul la care este aplicată, este *invariantă în timp*. Astfel, dacă răspunsul la o excitație $e(t)$ este $w(t)$, atunci răspunsul unei rețele invariante în timp la o excitație $e(t + t_1)$ va fi $w(t + t_1)$. Această definiție implică restricția ca valorile elementelor rețelei să rămână constante în timp.

Pasivitate

Unele rețele au proprietatea fie de a absorbi, fie de a înmagazina energie. Ele pot restitui energia înmagazinată unei rețele externe, dar niciodată nu vor putea furniza o cantitate de energie mai mare decât cea înmagazinată. Astfel de rețele sînt numite *pasive*. Fie $E(t)$ energia eliberată unei rețele care are o pereche de terminale conectate la o sursă externă (pînă la momentul t). Tensiunea și curentul la terminale, cu referințe standard, sînt $v(t)$ și $i(t)$. Puterea furnizată rețelei va fi $p(t) = v(t)i(t)$. Definim *rețeaua pasivă*, rețeaua pentru care

$$E(t) = \int_{-\infty}^t v(x)i(x)dx \geq 0 \quad (64)$$

sau

$$E(t) = \int_{t_0}^t v(x)i(x)dx + E(t_0) \geq 0$$

Această inegalitate trebuie să fie adevărată pentru orice tensiune și curentul rezultat, pentru orice t .

Orice rețea care nu satisface această condiție este numită o *rețea activă*; adică, $\int_{-\infty}^t v(x)i(x)dx < 0$ pentru un timp t .

Dacă rețeaua are mai mult de o pereche de terminale prin care poate fi alimentată cu energie din exterior, să considerăm matricele tensiunilor și curenților terminali a fi

$$\mathbf{v}(t) = \begin{bmatrix} v_1(t) \\ v_2(t) \\ \vdots \\ v_n(t) \end{bmatrix} \quad \text{și} \quad \mathbf{i}(t) = \begin{bmatrix} i_1(t) \\ i_2(t) \\ \vdots \\ i_n(t) \end{bmatrix}$$

cu referințe standard. Puterea instantanee furnizată rețelei din exterior va fi atunci

$$p(t) = \sum_{j=1}^n v_j(t)i_j(t) = \mathbf{v}'(t)\mathbf{i}(t). \quad (65)$$

Rețeaua va fi pasivă dacă, pentru orice t ,

$$E(t) = \int_{-\infty}^t \mathbf{v}'(x)\mathbf{i}(x)dx \geq 0 \quad (66)$$

Reciprocitate

Unele rețele au proprietatea ca răspunsul produs într-un punct al rețelei de o excitație dintr-un alt punct, să fie invariant dacă pozițiile excitației și răspunsului sînt interschimbate (excitația și răspunsul fiind interpretate corect). Se presupune că rețeaua din fig. 1.3a nu are energie înmagazinată inițial; excitația este tensiunea $v_1(t)$ și răspunsul este curentul $i_2(t)$ în scurtcircuit. În fig. 1.3b, excitația este aplicată la poarta 2 (inițial în scurt circuit), și răspunsul este curentul în scurt circuit la poarta 1 unde inițial se aplicase excitația. Referințele celor doi curenți sînt aceleași relativ la acele ale tensiunilor. O rețea *reciprocă* este una în care, pentru orice pereche de puncte de excitație și răspuns, aici notate cu 1 și 2, $i_1 = i_2$ dacă $v_2 = v_1$. Dacă rețeaua nu satisface această condiție, ea este *nereciprocă*.

Pînă la ultimul capitol al acestei cărți sînt tratate rețelele liniare și invariante în timp. Rețelele nu sînt limitate la rețele pasive sau reciproce. Ultimele tipuri de rețele au proprietăți speciale, și unele metode

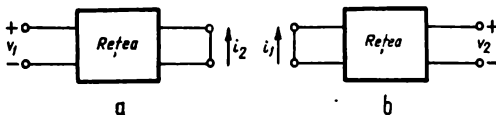


Fig. 1.3. Condiția de reciprocitate.

pe care le vom discuta, sînt limitate la aceste rețele. Cînd discutăm metodele a căror aplicabilitate este limitată la rețele pasive sau reciproce, vom specifica acest lucru. Cînd această specificație nu este făcută, presupunem că metodele și proprietățile în discuție sînt aplicabile în general, la rețele pasive și active, reciproce și nereciproce. Ultimul capitol al cărții este destinat rețelilor liniare variabile în timp și rețelilor neliniare.



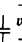
1.5. ELEMENTELE DE REȚEA (CIRCUIT)

Să facem acum o clasificare a rețelelor în funcție de tipurile de elemente pe care le includ. Vom considera că rețelele de care ne ocupăm sînt cu „elemente concentrate”. Presupunem că toate efectele electrice sînt sesizate imediat de întreaga rețea. Cu această presupunere, neglijăm influența dimensiunilor într-un circuit fizic, și presupunem că efectele electrice sînt concentrate în spațiu și nu distribuite.

În modelul de rețea, postulăm existența de elemente care sînt definite de relația dintre curenți și tensiuni. Există trei elemente de bază: rezistor, bobină și condensator. Reprezentările lor grafice și relațiile tensiuni-curenți sînt date în tabelul 1.1. Rezistorul este caracterizat prin parametrul rezistență R sau parametrul conductanță G , unde $G = 1/R$.

Bobina este caracterizată prin parametrul inductanță. Reciproca lui L nu are nume, dar este folosit uneori simbolul Γ (un L întors). Condensatorul este caracterizat de parametrul capacitate C . Reciproca lui C este cunoscută ca elatanță, și este folosit uneori simbolul D .

Tabelul 1.1

Element	Parametru	Relații tensiune-curent		
		Directe	Inverse	Simbol
Rezistență	Rezistența R Conductanța G	$v = Ri$	$i = \frac{1}{R} v = Gv$	$i \downarrow$ R  $\begin{matrix} + \\ v \\ - \end{matrix}$
Inductanță	Inductanța L Inversa inductanței Γ	$v = L \frac{di}{dt}$	$i(t) = \frac{1}{L} \int_0^t v(x) dx + i(0)$	$i \downarrow$ L  $\begin{matrix} + \\ v \\ - \end{matrix}$
Capacitate	Capacitatea C Elatanța D	$i = C \frac{dv}{dt}$	$v(t) = \frac{1}{C} \int_0^t i(x) dx + v(0)$	$i \downarrow$ C  $\begin{matrix} + \\ v \\ - \end{matrix}$

În legătură cu aceste elemente se pot face o serie de observații. În primul rînd, relațiile $v-i$ ($v = Ri$, $v = L di/dt$, și $i = C dv/dt$) satisfac condiția de liniaritate, presupunînd că i și v joacă rolul excitației și răspunsului. Astfel rețelele cu elemente R , L și C sînt liniare. În al doilea rînd, parametrii R , L și C sînt constanți, astfel că rețeaua cu R , L și C va fi invariantă în timp. În al treilea rînd, presupunînd referințe

standard, energia furnizată fiecărui element, considerind că tensiunile și curenții inițiali sînt zero, va fi

$$E_R(t) = \int_{-\infty}^t R i^2(x) dx \quad (67)$$

$$E_L(t) = \int_{-\infty}^t L \frac{di(x)}{dx} i(x) dx = \int_0^{i(t)} Li' di' = \frac{1}{2} Li^2(t) \quad (68)$$

$$E_C(t) = \int_{-\infty}^t C \frac{dv(x)}{dx} v(x) dx = \int_0^{v(t)} Cv' dv' = \frac{1}{2} C v^2(t). \quad (69)$$

Fiecare din părțile din dreapta sînt ne-negative pentru orice t . Deci rețelele R , L , C sînt *pasive*. Rețelele R , L , C sînt *reciproce*. Demonstrația acestei afirmații se va face mai tîrziu.

Se observă din tabelul 1.1 că relațiile $v - i$ inverse pentru induc-tanță și capacitate sînt scrise ca integrale definite. Adesea această relație inversă este scrisă ca o integrală nedefinită (sau primitivă) în loc de o integrală definită. O astfel de expresie este incompletă dacă nu se adaugă la ea valorile inițiale $i(0)$ sau $v(0)$. O situație des întîlnită este aceea ca tensiunea $v(t)$ și curentul $i(t)$ să fie exprimate ca funcții explicite, ca de exemplu ε^{-at} , $\sin \omega t$ etc., caz în care primitiva este unică și anume: $-(1/a)\varepsilon^{-at}$, $-(1/\omega)\cos \omega t$ etc. În multe cazuri, însă, tensiunea sau curentul nu pot fi exprimate într-o formă simplă pentru orice t ;

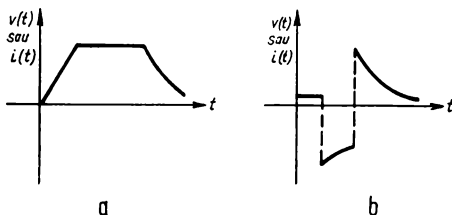


Fig. 1.4. Forma de undă a semnalului.

expresia analitică a lui $v(t)$ sau $i(t)$ poate depinde de un anumit interval al axei timpului. Citeva astfel de forme de undă sînt arătate în fig. 1.4.

Originea timpului t este arbitrară; ea este de obicei aleasă să coincidă cu o situație particulară, ca deschiderea sau închiderea unui contact. În plus, în integrala definită de la 0 la t , expresia pentru tensiunea pe

condensator, $v(t) = (1/C) \int_0^t i(x) dx + v(0)$, conține valoarea inițială $v(0)$.

Aceasta poate fi considerată ca o sursă de tensiune în curent continuu (sursele vor fi discutate mai târziu) în serie cu un condensator inițial relaxat (fără tensiune inițială) așa cum se arată în fig. 1.5. Similar, pentru

inductor $i(t) = (1/L) \int_0^t v(x) dx + i(0)$, unde $i(0)$ este valoarea inițială

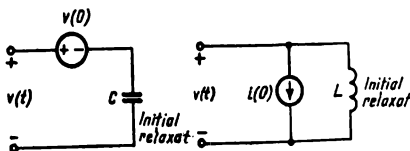


Fig. 1.5. Valori inițiale ca surse.

a curentului. Aceasta poate fi considerată ca o sursă de curent continuu în paralel cu un inductor inițial relaxat, așa cum se arată în fig. 1.5. Dacă aceste surse sînt arătate explicit, ele vor include toate valorile inițiale iar toate condensatoarele și inductoarele pot fi considerate inițial relaxate. Sursele corespunzătoare valorilor inițiale pot fi utile pentru unele metode de analiză, dar pentru altele nu sînt indicate, ca de exemplu pentru formularea cu ecuații de stare.

Transformatorul

Elementele R , L și C au fiecare cîte două terminale; alte componente au mai mult de două terminale. Următorul element pe care îl vom introduce este *transformatorul ideal* arătat în fig. 1.6. El are două perechi de terminale și este definit de următoarele relații $v - i$,

$$v_1 = n v_2. \quad (70a)$$

$$i_2 = -n i_1 \quad (70b)$$

sau

$$\begin{bmatrix} v_1 \\ i_2 \end{bmatrix} = \begin{bmatrix} 0 & n \\ -n & 0 \end{bmatrix} \begin{bmatrix} i_1 \\ v_2 \end{bmatrix}. \quad (70c)$$

Transformatorul ideal este caracterizat de un singur parametru n numit *raport de transformare*. Transformatorul ideal este o abstractizare făcută asupra bobinelor cuplate. Relațiile $v - i$ sînt relații idealizate care exprimă legea lui Faraday, respectiv legea lui Ampere. Sensul în aceste ecuații respectă referințele alese. Dacă o referință oarecare este modificată, semnul corespondent se va modifica.

Transformatorul ideal terminat pe o rezistență R la una din porți, prezintă la cealaltă poartă o rezistență R înmulțită cu raportul de transformare

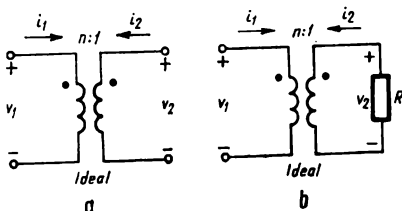


Fig. 1.6. Un transformator ideal.

la pătrat. Astfel în fig. 1.6b, $v_2 = -Ri_2$. Folosind această relație în (70) se obține :

$$v_1 = nv_2 = -nRi_2 = (n^2R)i_1. \quad (71)$$

Se constată că rezistența echivalentă văzută la terminalele de intrare, este n^2R .

Se observă că energia totală absorbită de transformatorul ideal este

$$E(t) = \int_{-\infty}^t [v_1(x)i_1(x) + v_2(x)i_2(x)] dx = 0 \quad (72)$$

Această relație este ușor verificată dacă folosim relațiile (70) în (72). Rezultă că acest element este pasiv; el transmite, fără a înmagazina sau disipa energie.

Un model al transformatorului real este arătat în fig. 1.7. Reprezentarea este aproape aceeași, cu excepția faptului că în reprezentarea transformatorului ideal raportul de transformare este arătat direct pe figură.

Transformatorul este caracterizat de următoarele relații $v - i$, pentru referințele arătate în fig. 1.7 :

$$v_1 = L_1 \frac{di_1}{dt} + M \frac{di_2}{dt} \quad (73a)$$

și

$$v_2 = M \frac{di_1}{dt} + L_2 \frac{di_2}{dt}. \quad (73b)$$

Transformatorul este deci caracterizat prin trei parametri : două inductanțe proprii L_1 și L_2 , și inductanța mutuală M .

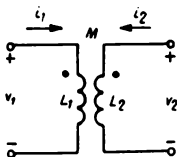


Fig. 1.7. Un transformator.

Energia totală furnizată transformatorului de surse exterioare este

$$\begin{aligned} E(t) &= \int_{-\infty}^t [v_1(x) i_1(x) + v_2(x) i_2(x)] dx = \\ &= \int_0^{i_1} L_1 i'_1 di'_1 + \int_0^{i_1 i_2} M d(i'_1 i'_2) + \int_0^{i_2} L_2 i'_2 di'_2 = \\ &= \frac{1}{2} (L_1 i_1^2 + 2M i_1 i_2 + L_2 i_2^2) \end{aligned} \quad (74)$$

Noțiuni fundamentale. Este ușor de arătat ¹⁾ că ultima linie din (74) va fi ne-negativă dacă

$$\frac{M^2}{L_1 L_2} = k^2 \leq 1. \quad (75)$$

¹⁾ O metodă simplă este să observăm (cu $L_1 L_2$ și M toate ne-negative) că $L_1 i_1^2 + 2M i_1 i_2 + L_2 i_2^2$ poate deveni negativ numai dacă i_1 și i_2 au semne opuse. Fie $i_2 = -x_1$, cu x_1 orice număr real pozitiv. Cantitatea care ne interesează devine $L_1 - 2Mx + L_2 x^2$. Dacă valoarea minimă a acestei relații este ne-negativă, atunci cantitatea va fi ne-negativă pentru orice valoare a lui x . Diferențiem relația patratică în raport cu x și găsim valoarea minimă; ea va fi $L_1 - M^2/L_2$, și poate servi la obținerea rezultatului dorit.

Deoarece considerații fizice cer ca transformatorul să fie pasiv, această condiție trebuie respectată. Cantitatea k este numită *coeficient de cuplare*. Valoarea lui maximă este unu.

Un transformator pentru care coeficientul de cuplare ia valoarea maximă $k = 1$ este numit un *transformator perfect*, sau *cu cuplaj perfect*. Un transformator perfect nu este același lucru cu un transformator ideal. Pentru a găsi diferența, vom considera ecuația transformatorului (73) și includem în ea condiția transformatorului perfect $M = \sqrt{L_1 L_2}$; apoi considerăm raportul v_1/v_2 . Rezultatul va fi

$$\frac{v_1}{v_2} = \frac{L_1 \frac{di_1}{dt} + \sqrt{L_1 L_2} \frac{di_2}{dt}}{\sqrt{L_1 L_2} \frac{di_1}{dt} + L_2 \frac{di_2}{dt}} = \sqrt{L_1/L_2}. \quad (76)$$

Această expresie este identică cu $v_1 = n v_2$ pentru transformatorul ideal¹⁾ dacă

$$n = \sqrt{L_1/L_2}. \quad (77)$$

Să considerăm acum raportul între curenți. Deoarece (73) include derivatele curenților, va fi necesar să integrăm aceste expresii. Rezultatul includerii condiției transformatorului perfect $M = \sqrt{L_1 L_2}$, a valorii $n = \sqrt{L_1/L_2}$ și al integrării lui (73) de la 0 la t , va fi, după o rearanjare a termenilor,

$$i_1(t) = -\frac{1}{n} i_2(t) + \left\{ \frac{1}{L_1} \int_0^t v_1(x) dx + \left[i_1(0) + \frac{1}{n} i_2(0) \right] \right\}. \quad (78)$$

Forma expresiei din paranteză sugerează ecuația $v - i$ pentru un inductor. Reprezentarea din fig. 1.8. satisface relațiile (78) și (76). Ea arată ce relație există între un transformator perfect și un transformator ideal. Dacă, într-un transformator perfect L_1 și L_2 pot fi făcute să tindă către infinit, dar în așa fel încît raportul lor să rămână constant, rezultatul va fi un transformator ideal.

¹⁾ Deoarece, pentru bobinele reale, inductanța este aproximativ proporțională cu patratul numărului de spire ale bobinei, expresia $\sqrt{L_1/L_2}$ este egală cu raportul dintre numărul de spire din primar și cel din secundar ale unui transformator. Aceasta este originea expresiei „raportul numerelor de spire” pentru n .

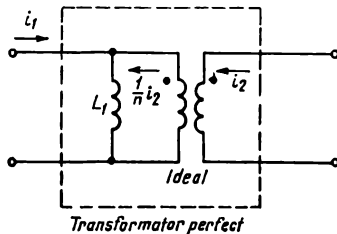


Fig. 1.8. Relații între un transformator perfect și unul ideal.

Giratorul

O altă componentă care are două perechi de terminale este giratorul, a cărei reprezentare simbolică este arătată în fig. 1.9. El este definit de următoarele relații $v - i$:

Pentru fig. 1.9a

$$\begin{aligned} v_1 &= -ri_2 \quad \text{sau} \quad \begin{bmatrix} v_1 \\ v_2 \end{bmatrix} = \begin{bmatrix} 0 & -r \\ r & 0 \end{bmatrix} \begin{bmatrix} i_1 \\ i_2 \end{bmatrix}. \end{aligned} \quad (79a)$$

Pentru fig. 1.9b

$$\begin{aligned} v_1 &= ri_2 \quad \text{sau} \quad \begin{bmatrix} v_1 \\ v_2 \end{bmatrix} = \begin{bmatrix} 0 & r \\ -r & 0 \end{bmatrix} \begin{bmatrix} i_1 \\ i_2 \end{bmatrix} \end{aligned} \quad (79b)$$

Giratorul, ca și transformatorul ideal, este caracterizat de un singur parametru r , numit *rezistența de girație*. Săgeata spre dreapta sau stnga, din fig. 1.9, indică *sensul de girație*.

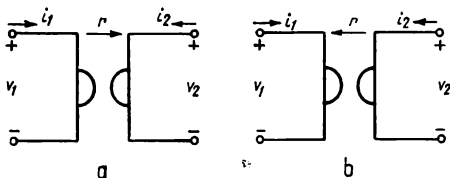


Fig. 1.9. Un girator.

Giratorul este un element ipotetic care a fost introdus pentru a putea lua în considerare situațiile fizice în care nu este îndeplinită condiția de reciprocitate. Într-adevăr, dacă aplicăm mai întâi o tensiune $v_1 = v$ și măsurăm curentul i_2 cu poarta 2 în scurtcircuit, și după aceea aplicăm o tensiune $v_2 = v$ și măsurăm curentul i_1 cu poarta 1 în scurtcircuit, vom găsi că $-i_2 = i_1$. Rezultă că giratorul nu este un element reciproc. De fapt el este nerez reciproc.

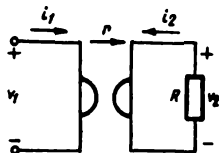


Fig. 1.10. Girator terminat pe o rezistență R .

Pe de altă parte, energia totală absorbită de girator este

$$E(t) = \int_{-\infty}^t (v_1 i_1 + v_2 i_2) dx = \int_{-\infty}^t [(-ri_2) i_1 + (ri_1) i_2] dx = 0. \quad (80)$$

Rezultă că el este un element pasiv care nu înmagazinează și nu disipă energie. Din acest punct de vedere el este similar unui transformator ideal.

În cazul transformatorului ideal, am stabilit că rezistența la o pereche de terminale, când cealaltă pereche este terminată cu o rezistență R , este $n^2 R$. Transformatorul ideal realizează o conversiune a rezistenței printr-un factor n^2 . Ce face giratorul într-o situație asemănătoare? Dacă un girator este terminat cu o rezistență R (fig. 1.10), tensiunea și curentul la ieșire respectă relația $v_2 = -Ri_2$. Ținând seamă de această relație în relațiile $v - i$ care caracterizează giratorul, se obține

$$v_1 = -ri_2 = -r \left(-\frac{v_2}{R} \right) = r \left(\frac{ri_1}{R} \right) = (r^2 G) i_1. \quad (81)$$

Rezultă că rezistența echivalentă la terminalele de intrare este egală cu r^2 înmulțit cu conductanța terminației de la bornele de ieșire. Giratorul are deci proprietatea de *inversiune*.

Proprietatea de inversiune asigură obținerea de rezultate deosebite atunci când giratorul este terminat cu o capacitate sau o inductanță; de exemplu, presupunem un girator terminat cu o capacitate, așa cum

se arată în fig. 1.11. Știm că $i_2 = -C dv_2/dt$. Din relațiile $v - i$ asociate giratorului, obținem

$$v_1 = -ri_2 = -r \left(-C \frac{dv_2}{dt} \right) = rC \frac{d(v_2)}{dt} = r^2C \frac{di_1}{dt}. \quad (82)$$

Rezultă că la terminalele de intrare, relația $v - i$ este aceea a unei inductanțe, cu inductanța r^2C . Într-o manieră similară se poate arăta

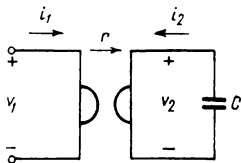


Fig 1.11. Girator terminat pe o capacitate C .

că relația $v - i$ la bornele de intrare ale unui girator terminat cu o inductanță este a unei capacități.

Surse independente

Toate elementele introduse pînă acum au fost pasive. Sînt necesare și alte componente ale rețelei pentru a putea lua în considerare posibilitatea de a genera tensiune, curent sau putere.

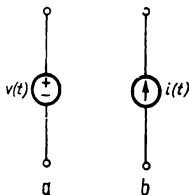
Se definesc două tipuri de surse.

1. O *sursă de tensiune* este un element cu două terminale a cărei tensiune este în orice moment de timp independentă de curentul prin terminalele ei. Nu are importanță ce rețea este conectată la terminalele sursei de tensiune, tensiunea ei își menține amplitudinea și forma de undă. (Nu are sens să scurtcircuităm terminalele unei surse de tensiune, deoarece aceasta conduce la două cerințe contradictorii la terminale.) Curentul în sursă va fi determinat de această rețea. Reprezentarea este arătată în fig. 1.12a.

2. O *sursă de curent* este un element cu două terminale al cărui curent, la orice moment de timp, este independent de tensiunea la bornele sale. Nu are importanță ce rețea este conectată la terminalele unei surse de curent, curentul își va menține amplitudinea și forma de undă. (Nu are sens să lăsăm sursa de curent în gol, deoarece aceasta ne conduce la cerințe contradictorii la terminale). Tensiunea care apare la bornele sursei este determinată de această rețea. Reprezentare este arătată în fig. 1.12b.

Fiecare din noi este obișnuit cu diminuarea luminii acasă, cînd un număr mare de aparate electrice se conectează la rețea, și știe că tensiunea unei surse fizice variază cu sarcina. De asemenea, într-o sursă fizică reală, tensiunea și curentul generate pot depinde de unele cantități neelectrice, ca de exemplu viteza unei mașini rotative, sau concentrația acidului unei baterii, sau intensitatea luminoasă a unei celule fotoelectrice. Aceste relații nu sînt interesante în analiza rețelelor, deoarece nu

Fig 1.12. Surse de tensiune și curent.



ne interesează funcționarea internă a surselor ci numai comportarea la terminalele lor. Sursele astfel idealizate nu ne dau informații despre dependența tensiunii sau curentului de cantitățile neelectrice; ele sînt numite *surse independente*.

Surse comandate sau dependente

Sursele independente nu includ dispozitivele care realizează o amplificare a semnalelor. Este necesar deci să se introducă o altă clasă de elemente: aceste elemente sînt numite surse *comandate* sau *dependente*. O *sursă de tensiune comandată* este o sursă a cărei tensiune la terminale este o funcție de altă tensiune sau curent. O *sursă de curent comandată* este definită analog. În tabelul 1.2 sînt arătate patru posibilități. Aceste elemente au două perechi de terminale: — o pereche fiind destinată cantității comandate; cealaltă, cantității care comandă. În fiecare din situațiile prezentate în tabelul 1.2, curentul sau tensiunea comandată este direct proporțională cu cantitatea care comandă, tensiune sau curent. Acesta este cel mai simplu tip de dependență; este posibil să introducem o sursă dependentă, a cărei tensiune sau curent este proporțională cu derivata unei alte tensiuni sau curent. Totuși, noi nu vom discuta în detaliu niciun alt tip de dependență.

Comportarea tuburilor cu vid și a tranzistoarelor poate fi aproximată de un model care constă în interconectarea surselor dependente și a altor elemente de rețea, cu precizarea că acesta este valabil în domenii

Tabelul 1.2.

Componentă de rețea	Simbol	Relație tensiune-curent
Sursă de tensiune comandată de tensiune		$\begin{bmatrix} i_1 \\ v_2 \end{bmatrix} = \begin{bmatrix} 0 & 0 \\ \mu & 0 \end{bmatrix} \begin{bmatrix} v_1 \\ i_2 \end{bmatrix}$ (g hibridă)
Sursă de tensiune comandată de curent		$\begin{bmatrix} v_1 \\ v_2 \end{bmatrix} = \begin{bmatrix} 0 & 0 \\ r_m & 0 \end{bmatrix} \begin{bmatrix} i_1 \\ i_2 \end{bmatrix}$ (impedanță)
Sursă de curent comandată de tensiune		$\begin{bmatrix} i_1 \\ i_2 \end{bmatrix} = \begin{bmatrix} 0 & 0 \\ g_m & 0 \end{bmatrix} \begin{bmatrix} v_1 \\ v_2 \end{bmatrix}$ (admitanță)
Sursă de curent comandată de curent		$\begin{bmatrix} v_1 \\ i_2 \end{bmatrix} = \begin{bmatrix} 0 & 0 \\ \alpha & 0 \end{bmatrix} \begin{bmatrix} i_1 \\ v_2 \end{bmatrix}$ (h hibridă)

limitate, certe, de tensiune și curent. În fig. 1.13 sint arătate două astfel de modele. Aceste modele nu reprezintă elementele fizice în orice condiții de funcționare; de exemplu, la frecvențe suficient de mari e necesar să introducem în modelul tubului, capacitățile dintre electrozi.

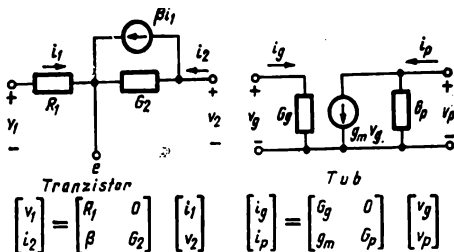


Fig. 1.13. Modele de tranzistor și triodă.

Ultima problemă care apare este următoarea. Cînd un inginer dorește să facă un calcul al tensiunilor și curenților unei rețele obținută prin interconectarea de elemente electrice diferite, trebuie ca în primul rînd să reprezinte fiecare element printr-un model. Acest model va consta în interconectarea de componente diferite, componente care au fost definite în acest capitol. Complexitatea modelului va depinde de tipul elementelor fizice componente și de condițiile în care sînt puse să lucreze. Considerațiile referitoare la alegerea unui model adecvat, în condiții date, nu constituie o parte principală pentru analiza rețelelor. Aceasta nu înseamnă că aceste considerații și capacitatea de alegere a unui model adecvat nu sînt importante; ele sînt. Pentru instruirea completă a unui inginer sînt importante multe alte lucruri, dar desigur ele nu pot fi tratate într-o singură carte. În această carte nu ne vom ocupa de construirea unui model al unei situații fizice date, înainte de a face analiza. Punctul nostru de plecare va fi un model.

Convertor de negativare

Ultima componentă pe care o introducem este *convertorul de negativare* (prescurtat *NC*). Acesta este un element cu două perechi de terminale și este definit de următoarele ecuații $v - i$:

$$\begin{bmatrix} v_1 \\ i_2 \end{bmatrix} = \begin{bmatrix} 0 & k \\ k & 0 \end{bmatrix} \begin{bmatrix} i_1 \\ v_2 \end{bmatrix} \quad (83a)$$

sau

$$\begin{bmatrix} v_1 \\ i_2 \end{bmatrix} = \begin{bmatrix} 0 & -k \\ -k & 0 \end{bmatrix} \begin{bmatrix} i_1 \\ v_2 \end{bmatrix}. \quad (83b)$$

Nu există o reprezentare specială pentru *NC*, astfel că este folosit simbolul general din fig. 1.14. *NC* este caracterizat de un singur parametru k , numit *raport de conversie*. Dacă considerăm că terminalele din stînga reprezintă intrarea și cele din dreapta ieșirea, se vede din primul sistem de ecuații că atunci cînd i_1 este în sensul său de referință, i_2 va fi de

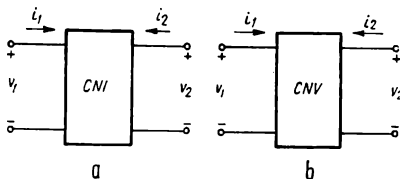


Fig. 1.14. Convertor de negativare;

a) de tipul cu inversiunea curenților: $v_1 = kv_2$ și $i_2 = ki_1$; b) de tipul cu inversiunea tensiunii: $v_1 = -kv_2$ și $i_2 = -ki_1$.

asemenea în sensul de referință; rezultă că curentul va fi inversat la trecerea prin NC. Pe de altă parte, tensiunea nu se va inversa. Acest tip este numit *convertor de negativare a curentului*, sau NIC.

Din al doilea set de relații se obține o inversare a tensiunii, dar nu și a curentului. Acest tip este numit *convertor de negativare a tensiunii*, sau NVC.

Cînd fiecare din aceste elemente este terminat pe o componentă pasivă la o pereche de terminale, este important de știut ce se întîmplă la cealaltă pereche. Astfel, fie o inductanță L conectată la ieșire; atunci $v_2 = -L di_2/dt$. Folosind această relație în relațiile $v-i$, se obține

$$v_1 = \pm kv_2 = \pm k \left(-L \frac{di_2}{dt} \right) = \pm k(-L) \left(\pm k \frac{di_1}{dt} \right) = -k^2 L \frac{di_1}{dt}. \quad (84)$$

Rezultă că la intrare, inductanța echivalentă este proporțională cu negativa inductanței L . Concluzii similare se obțin și în cazul în care elementul conectat la ieșire este o rezistență sau o capacitate.

Introducerea NC extinde considerabil numărul de blocuri constituante de rețea, deoarece este acum posibil să includem negativele elementelor R , L și C în rețea.

PROBLEME

P 1. Este adevărată relația $(A + B)^2 = A^2 + 2AB + B^2$ în algebra matriceală? Dacă nu, dați formula corectă.

P 2. Fie

$$A = \begin{bmatrix} 1 & 0 & -1 \\ 0 & 1 & 2 \end{bmatrix}, \quad B = \begin{bmatrix} 4 & 2 \\ 1 & 2 \\ 2 & 1 \end{bmatrix}, \quad C = \begin{bmatrix} 2 & 5 \\ 5 & -4 \\ 0 & 1 \end{bmatrix}.$$

Calculați AB și AC și comparați-le. Deduceți prin aceasta, care regulă din algebra obișnuită nu se aplică la matrice?

P 3. În ce condiții putem scrie $B = C$ dacă $AB = AC$?

P 4. Fie

$$A = \begin{bmatrix} 1 & -1 \\ -1 & 1 \end{bmatrix} \quad \text{și} \quad B = \begin{bmatrix} 1 & -1 \\ 1 & -1 \end{bmatrix}.$$

Calculați AB . Ce teoremă din algebra simplă nu este adevărată pentru matrice?

P 5. Fie A și B compatibile și fie submatricele A_{ij} și B_{jk} compatibile pentru orice i și k . Verificați că submatricea (i, k) a produsului AB este $\sum_j A_{ij} B_{jk}$.

P 6. Arătați că

$$\int^x A(y) \frac{dB(y)}{dy} dy = A(x) B(x) - \int^x \frac{dA(y)}{dy} B(y) dy.$$

P 7. Demonstrați egalitatea $(\overline{AB}) = \overline{AB}$ și $(\overline{AB})^* = B^* A^*$.

P 8. Verificați că orice matrice pătrată A poate fi exprimată ca suma unei matrice hermitice A_H și a unei matrice antihermitice A_{AH} . Găsiți A_H și A_{AH} .

P 9. Demonstrați că dacă A este antihermitic, $\operatorname{Re}(a_{ii}) = 0$ pentru orice i .

P 10. Demonstrați că $\sum_{k=1}^n a_{ik} \Delta_{jk} = 0$ dacă $i \neq j$.

P 11. Definiți matricea B ca inversa lui A astfel ca $BA = AB = U$. Arătați că dacă inversa există, ea este unică. (Presupuneți două inverse și arătați că ele sînt egale).

P 12. Verificați care din următoarele matrice sînt nesingulare. Găsiți inversele matricelor nesingulare.

$$A = \begin{bmatrix} 2 & 3 \end{bmatrix},$$

$$B = \begin{bmatrix} 1 & 0 & 5 & 2 \\ 0 & 1 & 4 & 6 \\ 0 & 0 & 1 & 3 \\ 0 & 0 & 0 & 1 \end{bmatrix}, \quad D = \begin{bmatrix} 1 & 0 & 3 \\ 0 & 2 & 1 \\ 3 & 1 & 2 \end{bmatrix}$$

$$C = \begin{bmatrix} 1 & 0 & 0 & 0 \\ 2 & 2 & 0 & 0 \\ 3 & 0 & 4 & 0 \\ 2 & 1 & 3 & 1 \end{bmatrix}, \quad E = \begin{bmatrix} 1 & 0 & 1 \\ -1 & 1 & 0 \\ 0 & -1 & -1 \end{bmatrix}$$

P 13. Demonstrați că inversa unei matrice simetrice este simetrică.

P 14. Demonstrați că $(A^{-1})' = (A')^{-1}$.

P 15. Demonstrați că dacă Z este simetrică, și (BZB') este simetrică.

P 16. Demonstrați că $\operatorname{adj}(AB) = (\operatorname{adj} B)(\operatorname{adj} A)$ cînd A și B sînt matrice pătrate nesingulare.

P 17. Demonstrați că

$$\frac{dA^{-1}}{dx} = -A^{-1} \frac{dA}{dx} A^{-1}.$$

P 18. Demonstrați că

$$\frac{d}{dx} AB = \frac{dA}{dx} B + A \frac{dB}{dx}.$$

P 19. Demonstrați că

$$\frac{d|A|}{dx} = \operatorname{tr} \left\{ (\operatorname{adj} A) \frac{dA}{dx} \right\} = \operatorname{tr} \left\{ \frac{dA}{dx} (\operatorname{adj} A) \right\}.$$

P 20. Arătați că

$$\frac{d|A|}{dx} = \sum_{j=1}^n \begin{vmatrix} a_{11} & \dots & a_{1j-1} & \frac{da_{1j}}{dx} & a_{1j+1} & \dots & a_{1n} \\ \vdots & & \vdots & \vdots & \vdots & & \vdots \\ a_{n1} & \dots & a_{nj-1} & \frac{da_{nj}}{dx} & a_{nj+1} & \dots & a_{nn} \end{vmatrix}.$$

P 21. Dacă A și B nu sînt matrice pătrate, este adevărat că AB nu poate fi niciodată egal cu BA ? Explicați.

P 22. A este de ordinul n și rangul $n - 1$. Demonstrați că $\text{adj } A$ este de rang 1.

P 23. Fie D o matrice diagonală cu elementele diagonalei d_{ii} , și fie $A = [a_{ij}]$ o matrice pătrată de același ordin. Arătați că:

a) Cind D premultiplică pe A , elementele liniei i a lui A sunt multiplicare de d_{ii} .

b) Cind D postmultiplică pe A , elementele coloanei i a lui A sunt multiplicare de d_{ii} .

P 24. Demonstrați că: a) $(AB)' = B'A'$ și b) $(A + B)' = A' + B'$.

P 24. Fie A și B simetrice și de ordin n . Demonstrați că a) produsul AB este simetric dacă $AB = BA$ și b) $AB = BA$ dacă produsul AB este simetric.

P 26. În produsul matriceal $A = BC$, A și C sunt matrice nesingulare pătrate. Demonstrați că B este nesingular.

P 27. Folosiți condensarea pivotală pentru evaluarea determinantului următoarelor matrice:

$$A = \begin{bmatrix} 1 & 6 & -2 & 0 \\ 0 & 3 & 3 & 2 \\ -1 & -2 & 4 & 5 \\ 4 & 5 & 0 & -3 \end{bmatrix} \quad \text{și} \quad B = \begin{bmatrix} 0 & 6 & 0 & 1 & 5 \\ -1 & 4 & 5 & 0 & 2 \\ 0 & 0 & -3 & 2 & 3 \\ 2 & 1 & 2 & -1 & -1 \\ 3 & 3 & -1 & -2 & 0 \end{bmatrix}$$

P 28. Pentru un sistem de ecuații omogene, soluția așa cum este dată în (45) va deveni $x_1 = -A_{11}^{-1}A_{12}x_2$. Dacă $m = n$ și matricea A este de rangul $r = n - 1$, determinați o expresie pentru fiecare din variabilele x_i în funcție de x_j și termenii cofactorilor lui A .

P 29. Demonstrați că un determinant este zero dacă și numai dacă liniile și coloanele sunt liniar dependente.

P 30. Verificați (42) pentru următorul sistem de ecuații

$$\begin{aligned} x_1 + 2x_2 + 3x_3 &= 2 \\ -3x_1 - 2x_2 - x_3 &= -2 \\ x_2 + 2x_3 &= 1 \end{aligned}$$

P 31. Rezolvați următoarele sisteme de ecuații

$$\begin{aligned} \text{(a)} \quad & x_1 + x_2 - x_3 = 2 & \text{(b)} \quad & 2x_1 + x_2 + 4x_3 = 3 \\ & 2x_1 - x_2 + x_3 = 7 & & -x_1 + 2x_2 - 7x_3 = 1 \\ & x_1 + 4x_2 - 4x_3 = -1. & & 3x_1 + 4x_2 + x_3 = 7 \\ \text{(c)} \quad & x_1 + x_2 = -1. & \text{(d)} \quad & x_1 + 2x_2 - 3x_3 + 4x_4 = 1 \\ & x_1 + 3x_2 = 3 & & x_1 + x_2 + x_3 - x_4 = 2 \\ & x_1 - 3x_2 = -9 & & x_1 + 3x_2 - 7x_3 + 9x_4 = 0. \end{aligned}$$

P 32. Evaluați $\det A$ prin aplicarea definiției unui determinant cind

$$A = \begin{bmatrix} a_{11} & a_{12} & a_{13} \\ a_{21} & a_{22} & a_{23} \\ a_{31} & a_{32} & a_{33} \end{bmatrix}.$$

P 33. Arătați că numărul maxim de n -vectori liniar independenți din setul tuturor n -vectorilor x care satisfac $0 = Ax$ este egal cu gradul de degenerare al lui A .

P 34. Dacă q_P , q_Q și q_{PQ} reprezintă gradul de degenerare al matricelor P , Q și respectiv PQ , arătați că

$$q_Q \leq q_{PQ} \leq q_P + q_Q.$$

P 35. Arătați că determinantul unei matrice triangulare este egal cu produsul elementelor diagonalei principale.

P 36. Fie

$$A = \begin{bmatrix} A_{11} & A_{12} \\ 0 & A_{22} \end{bmatrix}$$

unde A_{11} și A_{22} sînt submatrice pătrate. Arătați că

$$\det A = (\det A_{11})(\det A_{22})$$

P 37. Găsiți valorile proprii și vectorii proprii ai următoarelor matrice:

$$(a) \begin{bmatrix} -4 & 2 \\ -3 & 1 \end{bmatrix}, \quad (b) \begin{bmatrix} 1 & 2 & 0 \\ 0 & 3 & 0 \\ 3 & 1 & 2 \end{bmatrix}, \quad (c) \begin{bmatrix} 2 & 1 & 1 \\ 0 & 3 & 0 \\ 3 & 0 & 4 \end{bmatrix}, \quad (d) \begin{bmatrix} -3 & 0 & 0 \\ -1 & 1 & 3 \\ 2 & -2 & -1 \end{bmatrix}$$

P 38. Fiecare din următoarele matrice A este similară unei matrice diagonale $\Lambda = S^{-1}AS$. Găsiți S în fiecare caz

$$(a) A = \begin{bmatrix} 1 & 1 & -3 \\ 1 & 1 & 3 \\ -3 & 3 & 3 \end{bmatrix}, \quad (b) A = \begin{bmatrix} -1 & 2 & 1 \\ 0 & -3 & 0 \\ 0 & 3 & -2 \end{bmatrix}.$$

$$(c) A = \begin{bmatrix} 1 & j2 \\ -j2 & 4 \end{bmatrix}.$$

P 39. Evaluați normele matricelor $\|A\|_1$, $\|A\|_2$, $\|A\|_\infty$ cînd

$$(a) A = \begin{bmatrix} 1 & 3 & -2 \\ 4 & -2 & 0 \end{bmatrix} \quad (b) A = \begin{bmatrix} 1 & 4 \\ 0 & -3 \\ 2 & -1 \end{bmatrix} \quad (c) A = \begin{bmatrix} -1 & -1 & 2 \\ 0 & -2 & 0 \\ 4 & 0 & -3 \end{bmatrix}$$

P 40. O rețea are perechea excitație și răspuns prezentată în fig. 1. P 40. Este arătată și o a doua excitație. Dacă rețeaua este liniară și invariabilă în timp, trasați răspunsul pentru această excitație.

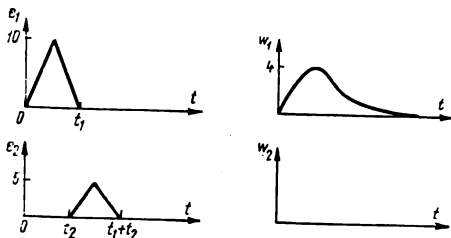


Fig. 1. P. 40.

P 41. Presupunem curentul la ieșirea unei rețele liniare, invariabile în timp și reciproce, ca urmare a unei excitații la intrare, așa cum este arătat în fig. 1. P.41a. Găsiți curentul i_1 cînd rețeaua este excitată așa cum este arătat în fig. 1. P.41b.

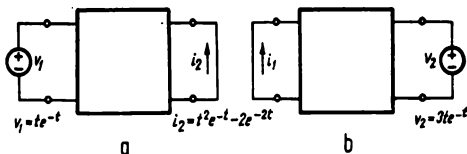


Fig. 1. P. 41.

P 42. Arătați că sursa de tensiune comandată arătată în fig. 1. P.42 nu este un element pasiv. Comentați sursele dependente și independente în contextul rețelelor pasive și active.

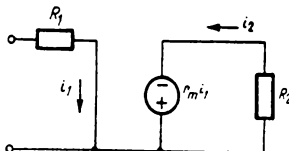


Fig. 1. P. 42.

P 43. Arătați că un convertor de negativare nu este pasiv.

P 44. Stabiliți ecuațiile la terminale pentru rețelele arătate în fig. 1. P.44.

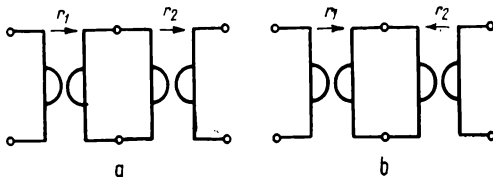


Fig. 1. P. 44.

P 45. Reprezentați numai cu surse comandate :

- un transformator ideal;
- un girator;
- un convertor de negativare.

P 46. Găsiți relațiile $v - i$ la terminalele de intrare ale unui girator, cînd la ieșire se conectează o inductanță L . Ca o aplicație particulară se cere obținerea unei capacități de $1000 \mu\text{F}$.

2

Teoria grafurilor și ecuațiile rețelelor (circuitelor)

2.1. NOȚIUNI INTRODUCTIVE

Atunci cînd sînt interconectate două sau mai multe din componentele definite în capitolul precedent se obține o *rețea electrică*. (O definiție mai abstractă se dă în § 2.3). Astfel de rețele acumulează energie, disipă energie și transmit semnale de la un punct la altul. O parte componentă a unei rețele care se găsește între două terminale la care se pot face alte conexiuni se numește *latură*. Atunci cînd două sau mai multe laturi sînt conectate împreună apare un *nod* sau o *joncțiune*. O cale simplă închisă într-o rețea se numește *bucclă*.

În primul paragraf al acestui capitol se vor prezenta pe scurt o serie de idei cu care cititorul este desigur familiarizat într-o măsură mai mare sau mai mică. Multe din acestea vor fi amplificate succesiv, dar se va face mai întîi o introducere simplă care va servi la concentrarea prezentării asupra unor concepte înaintea tratării lor într-o formă completă.

2.1.1. Teoremele lui Kirchhoff

La baza teoriei rețelelor stau cele două teoreme ale lui Kirchhoff care pot fi formulate după cum urmează.

Teorema lui Kirchhoff referitoare la curenți (TKC) stabilește că în orice rețea electrică *suma curenților care ies din orice nod este zero în orice moment de timp*. Cînd se aplică această teoremă unui nod al unei rețele se obține o ecuație referitoare la curenții laturilor respective. O atenție

specială trebuie acordată desigur sensului curenților. Astfel, în fig.2.1, TKC aplicată nodului A conduce la următoarea ecuație :

$$-i_1 + i_2 - i_3 + i_4 = 0. \quad (1)$$

Dacă sensul curențului i_1 se alege spre nod, curențul care „iese” din nod prin latura 1 este $-i_1$; similar, curențul care iese prin latura 3 este $-i_3$.

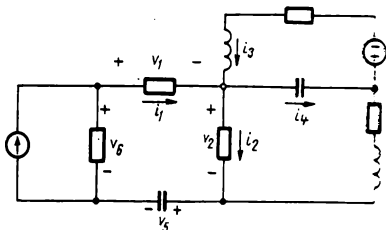


Fig. 2.1. Exemplu pentru TKC și TKT.

Teorema lui Kirchhoff referitoare la tensiuni (TKT) stabilește că în orice rețea electrică, suma tensiunilor pe toate laturile care formează o buclă este zero în orice moment de timp. Aplicarea acestei teoreme unei bucle dintr-o rețea electrică conduce la o ecuație referitoare la tensiunile de-alungul buclei. În formularea TKC s-au ales în mod arbitrar curenții care „ies din nod” pentru a fi însumăți. S-ar fi putut alege tot așa de bine și curenții care „intră în nod”. Tot așa, aplicind TKT se poate alege suma tensiunilor într-unul din cele două sensuri posibile de parcurgere a buclei. Astfel, mergind în sensul acelor de ceasornic pe bucla formată din laturile 1, 2, 5 și 6 din fig. 1 se obține ecuația :

$$v_1 + v_2 + v_3 - v_6 = 0. \quad (2)$$

Deoarece sensul ales pentru v_6 este opus sensului de orientare al buclei, contribuția acestei tensiuni va fi $-v_6$.

Se observă că TKC și TKT conduc la ecuații algebrice care reprezintă constrangeri pentru curenți și tensiuni. Se obțin atâtea ecuații din TKC câte noduri sînt în rețea și atâtea ecuații din TKT câte bucle are rețeaua. Vom arăta că aceste ecuații nu sînt toate independente; dacă numărul nodurilor este $n + 1$ iar numărul laturilor este l , atunci vom arăta că numărul ecuațiilor independente obținute din TKC este n iar

numărul ecuațiilor independente obținute din TKT este $l - n$. Se obțin deci în total $n + (l - n) = l$ ecuații independente din TKC și TKT.

Dar fiecare latură dintr-o rețea determină o relație între curentul și tensiunea corespunzătoare. Aceasta poate fi o relație algebrică de tipul $v = Ri$ sau o relație diferențială de tipul $v = L di/dt$. În orice caz vor fi tot atâtea relații câte laturi sînt, adică l relații. Cu totul vor fi $l + l = 2l$ ecuații care leagă l curenți și l tensiuni, adică $2l$ variabile. (Așa cum se va arăta mai departe, sursele independente nu vor fi considerate drept laturi în acest context.) Punind cele trei grupuri de ecuații împreună —

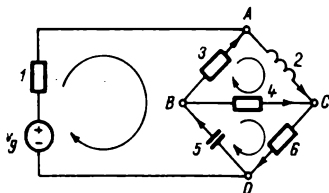


Fig. 2.2. Exemplu pentru ecuațiile rețelelor.

și anume TKC, TKT și relațiile $v - i$ — se obține un sistem de ecuații care permit determinarea tuturor tensiunilor și curenților.

Însă $2l$ este un număr relativ mare și este prudent să se evite soluționarea unui sistem cu un număr atât de mare de ecuații. Există o serie de căi sistematice de a combina cele trei sisteme de ecuații de bază, care permit formulări diferite ce reclamă soluționarea unui număr mai mic decît $2l$ ecuații simultane. În acest paragraf introductiv vom examina pe scurt trei procedee ilustrînd pe fiecare în parte. Rețeaua în punte din fig. 2.2 va folosi drept exemplu. Sursa de tensiune în serie cu un rezistor este considerată ca o singură latură. Orientarea fiecărei laturi este indicată prin cîte o săgeată. Momentul de timp din care începem să ne preocupăm de comportarea rețelei se consideră $t = 0$ și se presupun cunoscute tensiunea inițială la bornele condensatorului $v_5(0) = V_0$ și curentul inițial prin bobină $i_2(0) = I_0$.

2.1.2. Ecuațiile pe bucle

În această rețea apar șase laturi ($l = 6$) și patru noduri ($n = 3$). Se pot scrie deci $l - n = 3$ ecuații independente pe baza TKT și $n = 3$ ecuații independente pe baza TKC. În fig. 2.2 săgețile circulare arată orientarea buclelor în vederea scrierii ecuațiilor TKT. Ele nu influențează cu nimic asupra curenților (deocamdată). Dar să ne imaginăm niște

curenți ciclici fictivi, circulind de-a lungul buclelor în concordanță cu sensul de parcurgere al acestora. Examinînd figura se observă că acești curenți ciclici sînt identici cu curenții din laturile i_1 , i_2 și i_6 .

Dacă se aplică buclelor TKT se obțin următoarele ecuații :

$$v_1 - v_2 - v_3 - v_5 = 0$$

$$v_2 + v_3 - v_4 = 0 \quad (3)$$

$$v_4 + v_5 + v_6 = 0.$$

Se obține un sistem de trei ecuații cu șase necunoscute, și se observă că aceste ecuații sînt independente. Introducînd în aceste ecuații relațiile dintre tensiuni și curenți pentru fiecare latură rezultă

$$R_1 i_1 - v_2 - R_3 i_3 - \frac{1}{C_5} \int_0 i_5(x) dx - V_0 = 0$$

$$L_2 \frac{di_2}{dt} + R_3 i_3 - R_4 i_4 = 0 \quad (4)$$

$$R_4 i_4 + \frac{1}{C_6} \int_0 i_6(x) dx + V_0 + R_6 i_6 = 0.$$

Se obține un sistem de trei ecuații cu șase necunoscute, reprezentate de curenții prin laturi.

Urmează să se aplice TKC. Aplicînd TKC nodurilor A , C și D se obține

$$i_3 = -i_1 + i_2$$

$$i_4 = -i_2 + i_6 \quad (5)$$

$$i_5 = -i_1 + i_6.$$

Aceste ecuații sînt independente. Scriind ecuațiile ce rezultă din aplicarea TKC se poate omite pe rînd cîte un nod, obținîndu-se astfel de fiecare dată ecuații independente. Se observă că toți curenții prin laturi se exprimă în funcție de curenții i_1 , i_2 și i_6 care sînt tocmai curenții

buclelor (ciclici). Când se substituie aceste expresii în ecuațiile (4) se obține

$$\begin{aligned} (R_1 + R_3)i_1 + \frac{1}{C_5} \int_0^t i_1 dx - R_3 i_2 - \frac{1}{C_5} \int_0^t i_6 dx &= v_0 + V_0 \\ - R_3 i_1 + L_2 \frac{di_2}{dt} + (R_3 + R_4)i_2 - R_4 i_6 &= 0 \\ - \frac{1}{C_5} \int_0^t i_1 dx - R_4 i_2 + (R_4 + R_6)i_6 + \frac{1}{C_5} \int_0^t i_6 dx &= -V_0 \end{aligned}$$

adică un sistem de trei ecuații cu trei necunoscute, curenții buclelor reprezentând necunoscutele. Atunci când sînt scrise în felul acesta se spune că ecuațiile au forma standard. Ele se numesc *ecuațiile pe bucle*. Dacă în structura lor apar atît integrale cît și derivate, ele se numesc ecuații integrodiferențiale. Odată soluționate ecuațiile pe bucle, ceilalți curenți pot fi determinați din relațiile (5).

Să revenim acum asupra procedurii de scriere a ecuațiilor pe bucle. Primul pas constă în scrierea unui sistem de ecuații independente pentru tensiunile pe laturi pe baza TKT. Se substituie apoi în aceste ecuații relațiile dintre tensiuni și curenți, obținindu-se un sistem de ecuații pentru curenți. Se exprimă apoi curenții prin laturi în funcție de curenții buclelor obținindu-se un sistem de ecuații integrodiferențiale avînd drept necunoscute curenții buclelor.

2.1.3. Ecuațiile pe noduri

Presupunem acum că schimbăm ordinea în care se fac pașii din cazul precedent. Presupunem că se scriu mai întîi ecuațiile pe baza TKC ca în (5); apoi se introduc relațiile dintre tensiuni și curenți. Se obține:

$$\begin{aligned} G_1 v_1 - \frac{1}{L_2} \int_0^t v_2 dx - I_0 + G_3 v_3 &= 0 \\ \frac{1}{L_2} \int_0^t v_2 dx + I_0 + G_4 v_4 - G_6 v_6 &= 0 \\ G_1 v_1 + C_5 \frac{dv_5}{dt} - G_6 v_6 &= 0 \end{aligned} \quad (6)$$

adică un sistem de trei ecuații cu șase necunoscute reprezentînd tensiunile pe laturi. Când s-au scris ecuațiile pe baza TKC nodul *B* a fost omis. Presupunem că nodul *B* se alege ca nod de referință în raport cu care se măsoară tensiunile tuturor celorlalte noduri. Aceste tensiuni se vor

numi *tensiunile nodurilor*. În fig. 2.2 tensiunile nodurilor sînt v_{AB} , v_{CB} și v_{DB} . Toate tensiunile pe laturi pot fi exprimate prin tensiunile nodurilor aplicînd TKT. Rezultă.

$$\begin{aligned} v_1 &= v_{DB} - v_{AB} + v_o & v_4 &= -v_{CB} \\ v_2 &= v_{AB} - v_{CB} & v_5 &= v_{DB} \\ v_3 &= -v_{AB} & v_6 &= v_{CB} - v_{DB}. \end{aligned} \quad (7)$$

Cînd aceste expresii se introduc în relațiile (6) se obține

$$\begin{aligned} (G_1 + G_3)v_{AB} + \frac{1}{L_2} \int_0^t v_{AB} dx - \frac{1}{L_2} \int_0^t v_{CB} dx - G_1 v_{DB} &= G_1 v_o - I_0 \\ - \frac{1}{L_2} \int_0^t v_{AB} dx + (G_4 + G_6)v_{CB} + \frac{1}{L_2} \int_0^t v_{CB} dx - G_5 v_{DB} &= I_0 \\ - G_1 v_{AB} - G_6 v_{CB} + C_5 \frac{dv_{DB}}{dt} + (G_1 + G_6)v_{DB} &= -G_1 v_o. \end{aligned} \quad (8)$$

Aceste ecuații se numesc *ecuațiile pe noduri*. Ca și ecuațiile pe bucle, ele sînt niște relații integrodiferențiale. Odată soluționate aceste ecuații pentru tensiunile nodurilor v_{AB} , v_{CB} și v_{DB} toate tensiunile pe laturi sînt cunoscute fiind calculate din relațiile (7).

Recapitulînd, primul pas în scrierea ecuațiilor pe noduri îl reprezintă scrierea ecuațiilor ce rezultă din TKC pentru toate nodurile rețelei mai puțin unul. Acest nod particular este ales drept nod de referință și tensiunile nodurilor sînt definite ca tensiunile acestor noduri în raport cu nodul de referință. Relațiile dintre tensiuni și curenți se introduc în ecuațiile scrise pe baza TKC obținîndu-se un sistem de ecuații pentru tensiunile pe laturi. Tensiunile pe laturi se exprimă apoi în funcție de tensiunile nodurilor. Așa dar, ordinea în care se scriu TKC, TKT și relațiile tensiune—curent în cazul ecuațiilor pe noduri este inversă față de cazul ecuațiilor pe bucle.

2.1.4. Ecuațiile de stare — sistem mixt de ecuații

Prezența integralelor unor mărimi necunoscute în ecuațiile pe bucle sau pe noduri conduce la dificultăți în soluționarea lor. Astfel de integrale pot fi desigur eliminate prin derivarea ecuațiilor respective, dar acest procedeu face să crească ordinul ecuațiilor. De aceea este mai bine să se evite prezența integralei.

În cazul de față se observă că apare o integrală în ecuațiile pe bucle atunci când tensiunea la bornele unui condensator este eliminată din ecuația scrisă pe baza TKT prin substituția relației tensiune—curent. Aceste integrale nu vor apare dacă se păstrează ca variabile în sistemul de ecuații tensiunile pe condensatoare și curenții prin bobine.

Avind în vedere acest obiectiv, revenim la ecuațiile (3), eliminând tensiunile tuturor laturilor, cu excepția tensiunii pe condensator v_5 , folosind relațiile tensiune—curent. Deoarece relația tensiune—curent pentru condensator n-a fost folosită, ea trebuie adăugată sistemului format din celelalte ecuații. Se obține

$$R_1 i_1 - v_p - R_3 i_3 - v_5 = 0$$

$$L_2 \frac{di_2}{dt} + R_3 i_3 - R_4 i_4 = 0$$

$$R_4 i_4 + v_5 + R_6 i_6 = 0 \quad (9)$$

$$C_5 \frac{dv_5}{dt} - i_5 = 0$$

adică un sistem de patru ecuații cu șase necunoscute. Ca și mai înainte se pot folosi ecuațiile obținute pe baza TKC pentru a elimina unii curenți. Prin substituție din (5) în (9) se obține :

$$L_2 \frac{di_2}{dt} = - (R_3 + R_4) i_2 + R_3 i_1 + R_4 i_6$$

$$C_5 \frac{dv_5}{dt} = - i_1 + i_6$$

$$0 = v_5 + R_3 i_2 - (R_1 + R_3) i_1 + v_p$$

$$0 = v_5 - R_4 i_2 + (R_4 + R_6) i_6.$$

Acesta este un sistem de patru ecuații cu patru necunoscute și poate fi soluționat ușor. Dar rămâne senzația că s-a introdus o complicație prin mărirea numărului de ecuații ce trebuie soluționate simultan. Totuși se observă că ultimele două ecuații din acest sistem sînt ecuații algebrice ; ele nu conțin nici derivate și nici integrale. Prima dintre ele se poate soluționa în raport cu i_1 , a doua în raport cu i_6 iar expresiile respective

se introduc în celelalte două ecuații. Rezultatul acestor operații este :

$$L_2 \frac{di_2}{dt} = -(R_3 + R_4)i_2 + \frac{R_3}{R_1 + R_3} (v_5 + R_3 i_2 + v_\theta) \\ + \frac{R_4}{R_4 + R_6} (R_4 i_2 - v_5) \\ C_5 \frac{dv_5}{dt} = -\frac{1}{R_1 + R_3} (v_5 + R_3 i_2 + v_\theta) + \frac{1}{R_4 + R_6} (R_4 i_2 - v_5)$$

care se pot scrie

$$\frac{di_2}{dt} = ai_2 + bv_5 + cv_\theta$$

$$\frac{dv_5}{dt} = di_2 + ev_5 + fv_\theta$$

sau, sub formă matriceală

$$\frac{d}{dt} \begin{bmatrix} i_2 \\ v_5 \end{bmatrix} = \begin{bmatrix} a & b \\ d & e \end{bmatrix} \begin{bmatrix} i_2 \\ v_5 \end{bmatrix} + \begin{bmatrix} c \\ f \end{bmatrix} v_\theta, \quad (10)$$

unde

$$a = \frac{1}{L_2} \left(-R_3 - R_4 + \frac{R_3^2}{R_1 + R_3} + \frac{R_4^2}{R_4 + R_6} \right) \\ = -\frac{1}{L_2} \left(\frac{R_1 R_3}{R_1 + R_3} + \frac{R_4 R_6}{R_4 + R_6} \right)$$

$$b = \frac{1}{L_2} \left(\frac{R_3}{R_1 + R_3} - \frac{R_4}{R_4 + R_6} \right)$$

$$c = \frac{R_3}{L_2(R_1 + R_3)}$$

$$d = \frac{1}{C_5} \left(\frac{R_4}{R_4 + R_6} - \frac{R_3}{R_1 + R_3} \right)$$

$$e = -\frac{1}{C_5} \left(\frac{1}{R_1 + R_3} + \frac{1}{R_4 + R_6} \right)$$

$$f = \frac{-1}{C_5(R_1 + R_3)}.$$

Ecuatia matriceală (10) reprezintă două ecuații diferențiale de ordinul întâi cu două necunoscute. Ea se numește *ecuație de stare* din motive care vor fi discutate în alt capitol. Variabilele i_2 și v_6 se numesc *variabile de stare*.

Examinând retrospectiv procedeul utilizat pentru a scrie ecuațiile de stare, se observă că la baza lui stau aceleași operații ca și în cazul scrierii ecuațiilor pe bucle sau a ecuațiilor pe noduri. Sistemul de ecuații obținut este un sistem care conține drept variabile atât tensiuni cât și curenți, adică este un sistem mixt. Integrările au fost evitate alegându-se tensiunile la bornele condensatoarelor și curenții prin bobine drept variabile. Punctul de plecare îl constituie scrierea ecuațiilor pe baza TKT în care s-au introdus toate relațiile tensiune—curent pentru laturi, cu excepția laturilor ce conțin condensatoare. Apoi se utilizează TKC pentru a elimina curenții unor laturi. În ecuațiile ce rezultă apar de asemenea drept variabile și curenții prin unele rezistențe. Aceștia pot fi însă eliminați de oarece un număr suficient de ecuații sînt de natură algebrică și nu diferențială.

2.1.5. Soluțiile ecuațiilor

În cazul rețelelor liniare, invariante în timp și cu parametri concentrați, ecuațiile pe bucle, ecuațiile pe noduri și ecuațiile de stare sînt de obicei ecuații diferențiale liniare cu coeficienți constanți. (Pot să apară inițial și integrale care se elimină prin derivare.) Apare deci problema soluționării acestor ecuații. Există diverse metode pentru rezolvarea acestei probleme. Metoda de soluționare în domeniul timp a ecuațiilor de stare este prezentată într-un capitol următor iar metoda transformatei Laplace în Anexa 3.

În metoda transformatei Laplace se aplică transformata Laplace sistemului de ecuații diferențiale obținându-se un sistem de ecuații algebrice în variabila complexă s . Se soluționează acest sistem de ecuații algebrice în raport cu imaginile operaționale ale variabilelor care pot fi: curenții buclelor, tensiunile nodurilor sau variabilele de stare. Apoi se aplică transformarea inversă. Se obțin astfel soluțiile ca funcții de timp, începînd de la momentul inițial $t_0 = 0$.

În structura soluției intervin contribuțiile a două categorii de mărimi: sursele de semnale de excitație și condițiile inițiale. Condițiile inițiale reprezintă valorile tensiunilor la bornele condensatoarelor și a curenților prin bobine imediat după t_0 . Principiile continuității sarcinii electrice și a fluxului magnetic impun constrîngeri pentru variația în timp a tensiunilor pe condensatoare și a curenților prin bobine — constrîngeri ce servesc la determinarea valorilor acestora imediat ulterioare lui t_0 .

din valorile lor imediat anterioare lui t_0^{-1}). Rețeaua se numește *inițial relaxată* dacă tensiunile la bornele condensatoarelor și curenții prin bobine sînt inițial zero.

Pentru concretizare se va continua prezentarea cu soluționarea ecuațiilor de stare (10) corespunzătoare rețelei din fig. 2.2 ca exemplu. Aplicind transformata Laplace acestor ecuații, se obține:

$$\begin{aligned}(s - a)I_2(s) - bV_5(s) &= cV_o(s) + I_0 \\ -dI_2(s) + (s - e)V_5(s) &= fV_o(s) + V_0,\end{aligned}\quad (12)$$

unde I_0 și V_0 sînt valorile inițiale. Aceste ecuații pot fi soluționate în raport cu $I_2(s)$ sau $V_5(s)$. Pentru $I_2(s)$ se găsește:

$$I_2(s) = \frac{c(s - e) + bf}{\Delta} V_o(s) + \frac{(s - e)I_0 + bV_0}{\Delta} \quad (13)$$

unde $\Delta = s^2 - (a + e)s + ae - bd$ este determinantul sistemului de ecuații. Contribuțiile sursei de semnal și ale condițiilor inițiale sînt puse clar în evidență.

Din nou pentru a concretiza, presupunem că

$$v_o(t) = \sin t \text{ sau } V_o(s) = \frac{1}{s^2 + 1}$$

și

$$\Delta = (s + 2)(s + 3) \quad (14)$$

iar condițiile inițiale sînt astfel încît

$$I_2(s) = \frac{s^2 + s + 1}{(s^2 + 1)(s + 2)(s + 3)} = \frac{1}{10} \left(-\frac{6}{s + 2} - \frac{7}{s + 3} \right) + \frac{1}{10} \left(\frac{s + 1}{s^2 + 1} \right). \quad (15)$$

Se obține:

$$i_2(t) = \mathcal{L}^{-1}[I_2(s)] = \frac{\sqrt{2}}{10} \sin \left(t + \frac{\pi}{4} \right) + \frac{6}{10} e^{-2t} - \frac{7}{10} e^{-3t}. \quad (16)$$

¹⁾ Pentru o analiză detaliată a condițiilor inițiale, se poate consulta lucrarea: S. Seshu și N. Balabanian, *Linear Network Analysis*, John-Wiley & Sons, Inc., New York, 1959, p. 101-112.

Dezvoltarea lui $I_2(s)$ în elemente simple pune în evidență polii. Dintre acești poli unii — termenul al doilea din (15) — reprezintă contribuția (sursei) semnalului de excitație în timp ce ceilalți reprezintă contribuția rețelei. În transformata inversă găsim termeni ce seamănă cu semnalul aplicat și alți termeni exponențiali. Există o abundență terminologie referitoare la acești termeni, acumulată din studiul ecuațiilor diferențiale în matematică, din studiul vibrațiilor în mecanică sau a circuitelor de curent alternativ în electrotehnică.

Denumirile corespunzătoare sînt :

1. Soluția particulară și soluția ecuației omogene ;
2. Răspuns forțat și răspuns liber ;
3. Regim permanent și regim tranzitoriu.

Probabil că cititorul este mai familiarizat cu denumirile de „regim permanent” și „regim tranzitoriu”. Cînd semnalul aplicat este sinusoidal, așa cum este cazul în exemplul considerat, și răspunsul va conține un termen sinusoidal care se menține permanent. În exemplul nostru ceilalți termeni dispar odată cu timpul; ei reprezintă regimul tranzitoriu. Cu timpul termenul sinusoidal va deveni dominant. Acest fapt este legat de conceptul de regim permanent. Dacă semnalul aplicat nu este periodic, conceptul de regim permanent își pierde semnificația. Totuși, polii transformatei funcției de excitație intervin și ei în dezvoltarea în elemente simple a răspunsului și astfel răspunsul va conține termeni ce provin din acești poli. Acești termeni constituie *răspunsul forțat*. Ca formă ei seamănă cu funcția de excitație. Ceilalți termeni reprezintă *răspunsul natural* sau *liber*. Ei sînt prezenți în structura soluției (cu diverși coeficienți) indiferent de forma funcției de excitație și chiar dacă nu există funcția de excitație dar există condiții inițiale nenule sub forma unor tensiuni la bornele condensatoarelor sau a unor curenți prin bobine. Acest fapt explică denumirea de răspuns „natural” sau „liber”. Exponenții corespunzători termenilor din răspunsul natural se numesc *frecvențe naturale*. În exemplul anterior exponenții din răspunsul natural, adică frecvențele naturale, sînt numere reale negative. Dacă ei ar fi numere pozitive sau numere complexe cu partea reală pozitivă, atunci răspunsul natural ar crește nemărginit odată cu timpul în loc să tindă la zero. O rețea cu o asemenea comportare se numește *instabilă*. Vom defini o rețea *stabilă* ca o rețea avînd *frecvențele naturale în semiplanul închis din stînga al planului variabilei complexe s* ; adică în semiplanul din stînga sau pe axa imaginară ¹⁾. Actualmente se exclud din clasa rețelelor stabile rețelele cu frecvențe naturale pe axa imaginară.

Să definim acum clar diversele clase de răspunsuri. *Răspunsul complet* al rețelei constă din două părți: *răspunsul forțat* și *răspunsul natural* sau *liber*. *Răspunsul forțat* constă din toți termenii la care contribuie,

¹⁾ Definiția este aplicabilă sistemelor liniare, staționare și cu constante concentrate. O definiție mai generală și mai precisă a stabilității va fi dată în capitolele următoare.

polii funcției de excitație, în timp ce răspunsul liber constă din toți termenii la care contribuie frecvențele naturale (zerourile lui $\Delta(s)$). Dacă funcția de excitație este periodică, răspunsul forțat se mai numește și *regim permanent*. Dacă nu există frecvențe naturale pe axa imaginară răspunsul liber se mai numește și *regim tranzitoriu*.

2.2. GRAFURI LINIARE

Așa cum s-a arătat succint în paragraful anterior, la baza teoriei rețelilor se află cele două teoreme ale lui Kirchhoff și relațiile tensiune — curent corespunzătoare elementelor din care este formată rețeaua. Cele două teoreme ale lui Kirchhoff exprimă constrîngerile la care sînt supuși curenții și tensiunile corespunzătoare elementelor rețelei prin însăși aranjarea lor într-o structură. *Topologia rețelei* este o denumire generică care se referă la toate proprietățile ce decurg din structura sau geometria rețelei.

Proprietățile topologice ale unei rețele sînt independente de tipul componentelor ce constituie laturile. De aceea este convenabil să se înlocuiască fiecare element al rețelei printr-o simplă linie fără să ne referim în mod special la un anumit element. Structura care rezultă constă din noduri interconectate prin segmente de linie. Sintem conduși astfel la o ramură a matematicii, numită teoria grafurilor liniare, care se ocupă tocmai cu studiul unor asemenea structuri.

Vom începe un detaliat studiu al analizei rețelilor concentrîndu-ne atenția mai întîi asupra grafurilor liniare și a proprietăților lor care prezintă importanță pentru acest studiu. Prezentarea grafurilor liniare nu va fi exhaustivă și va fi necesar să examinăm succint definițiile unor termeni fără să motivăm necesitatea introducerii lor.

Definiții introductive

Un *graf liniar* este definit ca o mulțime de puncte, numite *noduri*, și de segmente numite *laturi*, nodurile fiind unite prin laturi. Uneori este convenabil să considerăm nodurile de la capetele unei laturi ca făcînd parte din latura respectivă. Alteori este mai convenabil să considerăm nodurile de sine stătătoare și detașate de laturi.

O corespondență între o rețea și un graf liniar se poate face imediat. Astfel graful corespunzător rețelei din fig. 2.3a este dat în fig. 2.3b. Nodurile și laturile sînt numerotate. În cele ce urmează vom utiliza acest graf pentru a face unele observații ce se pretează la generalizări. De asemenea, proprietățile ce vor fi definite vor fi ilustrate pe acest graf ca un exemplu.

Laturile care intră sau ies dintr-un nod se numesc *incidente* la nodul respectiv. Astfel, laturile 2, 4 și 5 sînt incidente la nodul 2.

Fiecare latură a grafului dat ca exemplu poartă cîte o săgeată care indică orientarea laturii respective. Un graf avînd laturile orientate se numește *graf orientat*. Elementele rețelei căreia i se asociază graful sînt caracterizate prin cîte o tensiune și un curent, fiecare din ele cu o anu-

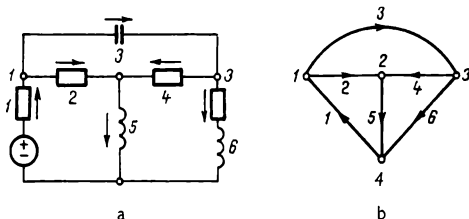


Fig. 2.3. Rețea electrică (a) și graful corespunzător (b).

mită orientare. Pentru a pune în corespondență orientarea acestora cu orientarea laturilor grafului vom face convenția ca tensiunea și curentul fiecărui element să aibă o orientare standard, „plusul” tensiunii fiind plasat la coada săgeții care indică sensul de referință al curentului. Orientarea laturii grafului va coincide cu sensul curentului. Desigur, proprietățile grafului nu au nimic comun cu convențiile referitoare la rețea.

Un *subgraf* este o submulțime de laturi și noduri ale grafului. Subgraful se numește *propriu* (*propriu-zis*) dacă nu conține toate laturile și toate nodurile grafului.

O *cale* este un subgraf particular care constă dintr-o secvență ordonată de laturi cu următoarele proprietăți:

1. Cu excepția a două, toate celelalte noduri numite *noduri interne* au cîte două laturi incidente.
2. Celelalte două noduri numite *noduri terminale* au incidentă cîte o singură latură a subgrafului.
3. Nici un subgraf propriu al acestui subgraf cu aceleași noduri terminale nu are proprietățile 1 și 2.

În exemplul dat anterior, laturile 2, 5 și 6 împreună cu toate nodurile constituie o cale. Nodurile terminale sînt 1 și 3 iar nodurile interne sînt 2 și 4. Din cele trei laturi incidente la nodul 2 numai două, adică 2 și 5, fac parte din subgraf.

Un graf este *conex* dacă există cel puțin o cale între orice pereche de noduri. Graful dat ca exemplu este conex. Graful asociat unei rețele ce conține un transformator poate să nu fie conex.

O *bucă* este un subgraf conex particular al grafului în care la fiecare nod sînt incidente cîte două laturi ale subgrafului. Astfel, dacă cele două noduri terminale ale unei căi sînt făcute să coincidă, se obține o *bucă* (care poate fi numită o *cale închisă*). În graful dat ca exemplu, laturile 4, 5 și 6 împreună cu nodurile 2, 3 și 4 constituie o *bucă*. Pentru a determina o *bucă* pot fi specificate fie laturile fie nodurile care intervin. Astfel, în exemplul anterior, pentru a determina bucla respectivă este suficient să se specifice fie mulțimea laturilor $\{4, 5, 6\}$, fie mulțimea nodurilor $\{2, 3, 4\}$.

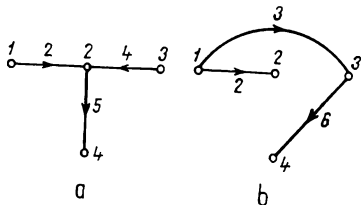


Fig. 2.4. Doi arbori din structura unui graf.

Un *arbore* este un subgraf conex al unui graf conex care conține toate nodurile grafului dar nu conține bucle. Pentru a determina un arbore este suficient să se specifice laturile sale. În graful dat ca exemplu, laturile 2, 4 și 5 formează un arbore. Conceptul de arbore este un concept cheie al teoriei grafelor. Laturile care intervin în structura unui arbore se numesc *ramuri*; laturile care nu intervin în structura arborelui se numesc *joncțiuni*. Acestea din urmă, luate împreună formează complementul arborelui sau *coarboarele*. Această partiție a laturilor unui graf nu este unică. În fig. 2.4 se dau doi arbori pentru graful din fig. 2.3. În primul caz laturile 2, 4 și 5 sînt ramuri iar 1, 3 și 6 joncțiuni. În cel de-al doilea latura 2 este tot o ramură iar laturile 3 și 6 care erau mai înainte joncțiuni au devenit acum ramuri. Dacă o latură particulară a unui graf este ramură sau joncțiune nu se poate preciza în mod unic de la bun început; această precizare devine posibilă numai după ce s-a specificat un anumit arbore.

Fiecare arbore din fig. 2.4 are o anumită structură. În arborele din fig. 2.4a toate ramurile sînt incidente la un nod comun. Un astfel de arbore se numește *arbore în formă de stea* sau pe scurt *arbore stelat*. În arborele din fig. 2.4b nodurile pot fi ordonate astfel încît arborele să prezinte o singură cale începînd de la primul nod și terminînd cu ultimul. Un astfel de arbore se numește *arbore liniar*. Într-un arbore liniar există numai două noduri terminale în timp ce într-un arbore stelat, cu excepția unui nod, toate celelalte noduri sînt noduri terminale.

Numărul laturilor dintr-un arbore al unui graf este cu o unitate mai mic decât numărul nodurilor din graful respectiv. Acest rezultat se poate demonstra prin inducție. Astfel, pentru un graf cu două noduri numărul ramurilor este 1. Presupunem că afirmația anterioară este adevărată pentru un graf cu k noduri; aceasta înseamnă că numărul ramurilor este $k - 1$. Considerăm acum un graf conex cu $k + 1$ noduri și ne fixăm atenția asupra unui arbore al său. Există cel puțin un nod al acestui arbore la care apare o ramură incidentă (în caz contrar două sau mai multe ramuri ar fi incidente la fiecare nod ceea ce este imposibil deoarece această situație ar implica prezența unei bucle în structura arborelui). Eliminăm nodul cu o singură ramură incidentă și obținem un arbore cu k noduri. Prin ipoteză acest arbore are $k - 1$ ramuri. Introducând nodul eliminat împreună cu ramura corespunzătoare se obține rezultatul dorit. Se face convenția ca în cele ce vor urma numărul nodurilor dintr-un graf să se noteze prin $n + 1$ și deci numărul ramurilor unui arbore va fi n .

Dacă graful nu este conex, conceptul corespunzător unui arbore pentru un graf conex este numit *pădure* și se definește ca o mulțime de arbori, câte unul pentru fiecare parte separată a grafului. Dacă $p + 1$ reprezintă numărul părților separate ale unui graf care nu este conex iar $n + 1$ este numărul nodurilor, atunci pădurea va conține $n - p$ ramuri. Aceasta se poate arăta așa cum s-a făcut anterior pentru un graf conex. Complementul unei păduri este o copădure.

Matricea de incidență

Atunci când se dă un graf, de exemplu cel din fig. 2.3 se poate spune precis care sînt laturile incidente la fiecare nod precum și care sînt orientările lor față de noduri. Invers, graful este complet determinat dacă se cunosc aceste informații (și anume ce laturi sînt incidente la fiecare din noduri și cum sînt orientate). Forma cea mai convenabilă de prezentare a acestor informații este cea matriceală.

Pentru un graf cu $n + 1$ noduri și l laturi, *matricea completă de incidență* (sau mai complet, *matricea completă de incidență noduri-laturi*) $A_n = [a_{ij}]$ este o matrice dreptunghiulară de dimensiuni $(n + 1) \times l$ avînd valorile elementelor :

$a_{ij} = 1$ dacă latura j este incidentă la nodul i și iese din nod ;

$a_{ij} = -1$ dacă latura j este incidentă la nodul i și intră în nod ;

$a_{ij} = 0$ dacă latura j nu este incidentă la nodul i .

Indicele a la A_n se pune pentru a semnifica *toate* nodurile.

De exemplu, pentru graful din fig. 2.3, matricea completă de incidență este

$$\begin{array}{c}
 \text{noduri} \\
 \downarrow \\
 \begin{array}{c} 1 \\ 2 \\ 3 \\ 4 \end{array}
 \end{array}
 \begin{array}{c}
 \text{laturi} \rightarrow \\
 \begin{array}{c} 1 \quad 2 \quad 3 \quad 4 \quad 5 \quad 6 \end{array}
 \end{array}
 \begin{array}{c}
 \left[\begin{array}{cccccc}
 -1 & 1 & 1 & 0 & 0 & 0 \\
 0 & -1 & 0 & -1 & 0 & 0 \\
 0 & 0 & -1 & 1 & 0 & 1 \\
 1 & 0 & 0 & 0 & -1 & -1
 \end{array} \right]
 \end{array}
 \quad (17)$$

În acest exemplu se observă că în fiecare coloană apar o singură dată atit $+1$ cit și -1 . Aceasta este o proprietate generală pentru orice graf liniar deoarece fiecare latură este incidentă la numai două noduri și orientată de la unul la altul. Dacă se adună toate celelalte linii la ultima linie se obține o linie avînd numai zerouri, ceea ce arată că liniile nu sînt toate independente. Cel puțin una din ele poate fi eliminată, ea fiind suma cu semn schimbat a celorlalte. Așa dar rangul matricei A_0 nu poate fi mai mare decît $(n + 1) - 1 = n$.

Matricea obținută din A_0 prin eliminarea unei linii se numește matricea de incidență și se notează prin A . (Pentru accentuare ea se numește uneori matricea *redușă* de incidență). Ea este de dimensiuni $n \times l$. Vom calcula acum rangul matricei A și vom arăta cum se obțin submatricele sale nesingulare.

Pentru un graf dat se selectează un arbore. În matricea de incidență se aranjează coloanele astfel încît primele n coloane să corespundă ramurilor arborelui ales iar ultimele $l - n$ coloane să corespundă joncțiunilor.

Pentru graful dat ca exemplu, fie A matricea obținută din (17) prin eliminarea ultimei linii. Se selectează arborele din fig. 2.4a. Atunci matricea A devine

$$\begin{array}{c}
 \text{ramuri} \\
 \begin{array}{c} 2 \quad 4 \quad 5 \end{array} \\
 \hline
 \begin{array}{c} 1 \\ -1 \\ 0 \end{array}
 \end{array}
 \begin{array}{c}
 \text{joncțiuni} \\
 \begin{array}{c} 1 \quad 3 \quad 6 \end{array} \\
 \hline
 \begin{array}{c} -1 \quad 1 \quad 0 \\ 0 \quad 0 \quad 0 \\ 0 \quad -1 \quad 1 \end{array}
 \end{array}
 \begin{array}{c}
 \left[\begin{array}{ccc}
 1 & 0 & 0 \\
 -1 & -1 & 1 \\
 0 & 1 & 0
 \end{array} \right]
 \end{array}
 \quad (18)$$

În general se poate face o partiție a matricei A sub forma

$$A = [A_1 \quad A_2]. \quad (19)$$

unde A_i este o matrice pătrată de ordinul n ale cărei coloane corespund ramurilor iar A , este o matrice de dimensiuni $n \times (l - n)$ ale cărei coloane corespund joncțiunilor.

În exemplul dat

$$A_i = \begin{bmatrix} 1 & 0 & 0 \\ -1 & -1 & 1 \\ 0 & 1 & 0 \end{bmatrix}.$$

Determinantul acestei matrice este egal cu -1 , astfel încît matricea este nesingulară. Deci, pentru acest exemplu, matricea A este de rang n .

Vom arăta acum că acest rezultat este valabil în general. Mai exact, dacă un graf are $n + 1$ noduri, rangul matricei de incidență este n . Acest rezultat se va stabili arătînd că o submatrice de ordinul n a matricei A ale cărei coloane corespund ramurilor unui arbore este nesingulară.

Demonstrație. Fie un graf conex și matricea sa completă de incidență A_n . Prin eliminarea unei linii se obține matricea A , care se scrie sub forma $[A, A_1]$, unde A_i este o matrice pătrată de ordinul n , ale cărei coloane corespund ramurilor. Deoarece arborele este conex, există cel puțin o ramură incidentă la nodul corespunzător liniei eliminate. Coloana din A_i corespunzătoare acestei ramuri conține un singur element diferit de zero (egal cu ± 1). Deci $\det A_i$ este egal cu plus sau minus cofactorul acestui element. Matricea asociată acestui cofactor corespunde unui graf conex cu $n - 1$ laturi; această matrice nu conține nici una din liniile pe care coloana eliminată avea elemente nenule. Deoarece acest subgraf este conex, el trebuie să conțină cel puțin o ramură incidentă la unul din cele două noduri eliminate. Coloana din matrice corespunzătoare acestei ramuri conține numai un element diferit de zero. Deci determinantul său este egal cu plus sau minus cofactorul corespunzător, avînd o matrice asociată de ordinul $n - 2$. Se continuă acest raționament pînă ce se ajunge la un cofactor de ordinul 1. Acesta corespunde ultimului nod și, deoarece graful este conex, cofactorul este nenul. În concluzie s-a stabilit nu numai că $\det A_i$ este diferit de zero — deci matricea A_i este nesingulară — dar s-a găsit și valoarea sa care este ± 1 . Deoarece o submatrice de ordinul n a matricei A_n este nesingulară rezultă că A_n este de rang n .

Acest rezultat este foarte util. Reciproca este deasemenea adevărată. Astfel, dîndu-se o submatrice nesingulară $n \times n$ a matricei de incidență A , coloanele sale corespund ramurilor unui anumit arbore. Demonstrația se lasă pe seama cititorului.

Din cele de mai sus rezultă că determinantul oricărei submatrice nesingulare de ordinul n a matricei de incidență este egal cu $+1$ sau -1 .

Pe baza rezultatelor precedente, se poate găsi acum numărul arborilor dintr-un graf. Fiindcă orice submatrice nesingulară de ordinul n

a matricei A corespunde unui arbore, tot ce trebuie să facem este să numărăm câte astfel de submatrice nesingulare există. Aceasta implică evaluarea determinantilor tuturor submatricelor $n \times n$ ale matricei A , ceea ce este foarte obositor. Problema poate fi simplificată utilizând teorema Binet-Cauchy care a fost prezentată în Cap. 1. În conformitate cu această teoremă

$$\begin{aligned} \det(AA') &= \sum (\text{produsele corespunzătoare determinantilor principali} \\ &\quad \text{din } A \text{ și } A') \\ &= \sum (\text{toți determinanții principali nenuli din } A)^2 \\ &= \text{numărul arborilor.} \end{aligned} \quad (20)$$

A doua egalitate rezultă din faptul că o submatrice nesingulară a matricei A' are același determinant ca și submatricea corespunzătoare din A . Deoarece fiecare determinant principal nenul are valoarea ± 1 , și sint atîția determinanți principali nenuli cîți arbori sint, rezultă a treia egalitate.

Astfel, pentru a găsi numărul arborilor unui graf este necesar numai să se evalueze $\det(AA')$. Pentru exemplul din fig. 2.3, matricea de incidență este dată de relația (18). Deci numărul arborilor va fi

$$\begin{aligned} \det(AA') &= \det \begin{bmatrix} 1 & 0 & 0 & -1 & 1 & 0 \\ -1 & -1 & 1 & 0 & 0 & 0 \\ 0 & 1 & 0 & 0 & -1 & 1 \end{bmatrix} \begin{bmatrix} 1 & -1 & 0 \\ 0 & -1 & 1 \\ 0 & 1 & 0 \\ -1 & 0 & 0 \\ 1 & 0 & -1 \\ 0 & 0 & 1 \end{bmatrix} \\ &= \det \begin{bmatrix} 3 & -1 & -1 \\ -1 & 3 & -1 \\ -1 & -1 & 3 \end{bmatrix} \\ &= 3 \begin{bmatrix} 3 & -1 \\ -1 & 3 \end{bmatrix} + \begin{bmatrix} -1 & -1 \\ -1 & 3 \end{bmatrix} - \begin{bmatrix} -1 & 3 \\ -1 & -1 \end{bmatrix} = 16. \end{aligned}$$

Dindu-se un graf se poate scrie ușor matricea de incidență. Problema poate fi formulată adesea și invers: dindu-se o matrice de incidență (sau matricea completă de incidență) să se traseze graful. În sens abstract matricea de incidență definește graful. Ea este o reprezentare a grafului,

în timp ce desenînd liniile ce unesc nodurile se obține o altă reprezentare. Se dorește să se obțină cea de a doua reprezentare din prima. Procedeu este foarte simplu. Dîndu-se matricea A , se plasează pe hîrtie un număr de noduri egal cu numărul de linii din matricea A și un nod suplimentar. Se iau apoi coloanele pe rînd. În fiecare coloană apar cel mult două elemente nenule; se trasează o latură între cele două noduri care corespund elementelor nenule din coloana respectivă. Dacă pe o coloană apare un singur element nenul, latura se trasează între nodul corespunzător

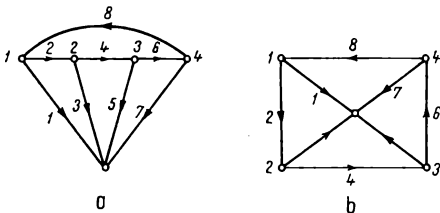


Fig. 2.5. Grafuri izomorfe.

liniei respective și nodul suplimentar. Orientările laturilor sînt determinate de semnele elementelor respective.

Pentru a ilustra cele de mai sus, fie matricea

$$A = \begin{bmatrix} 1 & 1 & 0 & 0 & 0 & 0 & -1 \\ 0 & -1 & 1 & 1 & 0 & 0 & 0 \\ 0 & 0 & 0 & -1 & 1 & 1 & 0 \\ 0 & 0 & 0 & 0 & 0 & -1 & 1 \end{bmatrix}.$$

Două persoane diferite care și-ar propune să traseze graful corespunzător ar putea ajunge la grafuri care arată în mod diferit, așa cum se vede în fig. 2.5.

În aparență se pune problema : care este dispunerea inițială corectă a nodurilor ? În fond însă, ambele grafuri au ca matrice de incidență matricea dată.

Vom spune că două grafuri sînt izomorfe dacă ele au aceeași matrice de incidență. Aceasta înseamnă că ele au același număr de noduri și de laturi și că există o corespondență biunivocă atît între nodurile cit și între laturile lor. Aceste corespondențe conduc la aceeași matrice de incidență.

Matricea buclelor

Matricea de incidență furnizează informații asupra incidenței laturilor la noduri dar nu arată cum laturile formează bucle. Această informație se poate da convenabil tot sub formă matriceală. În acest scop vom înzestra mai întâi fiecare buclă a grafului cu o orientare care este dată prin ordonarea ciclică a nodurilor. Această ordine se indică ușor printr-o săgeată curbată, ca în fig. 2.6 unde se arată ordinea pentru două bucle.

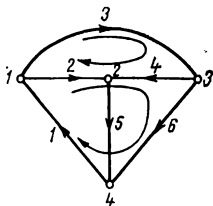


Fig. 2.6. Orientarea buclelor.

Pentru a evita încărcarea desenului, uneori se dau pur și simplu listele ordonate ale nodurilor ce intervin în buclele respective. Pentru cele două bucle din fig. 2.6 aceste liste vor fi $\{1, 3, 2\}$ și $\{1, 2, 3, 4\}$.

Pentru un graf cu $n + 1$ noduri și l laturi, *matricea completă a buclelor* (denumită uneori și *matricea completă a ciclurilor*) $\mathbf{B}_a = [b_{ij}]$ este o matrice dreptunghiulară cu l coloane și atâtea linii câte bucle sînt: elementele ei au următoarele valori:

$b_{ij} = 1$ dacă latura j face parte din bucla i și orientările lor coincid;
 $b_{ij} = -1$ dacă latura j face parte din bucla i și orientările lor nu coincid;

$b_{ij} = 0$ dacă latura j nu face parte din bucla i .

Indicele a la \mathbf{B}_a se pune din nou pentru a semnifica *toate* buclele.

Spre deosebire de cazul matricei complete de incidență (unde numărul liniilor era egal cu numărul nodurilor grafului), numărul de linii din matricea \mathbf{B}_a nu se exprimă simplu în funcție de n și l . De exemplu, în fig. 2.6 apar șapte bucle specificate prin nodurile:

buclea 1 : $\{1, 3, 2\}$

buclea 4 : $\{1, 3, 4\}$

buclea 2 : $\{1, 2, 4\}$

buclea 5 : $\{1, 2, 3, 4\}$

buclea 3 : $\{2, 3, 4\}$

buclea 6 : $\{1, 2, 4, 3\}$

buclea 7 : $\{3, 2, 4, 1\}$

Matricea buclelor va fi deci

$$B_a = \begin{array}{c} \text{bucle} \\ \downarrow \\ \begin{array}{c} 1 \\ 2 \\ 3 \\ 4 \\ 5 \\ 6 \\ 7 \end{array} \end{array} \begin{array}{c} \text{laturi} \rightarrow \\ \begin{array}{cccccc} 1 & 2 & 3 & 4 & 5 & 6 \end{array} \\ \left[\begin{array}{cccccc} 0 & -1 & 1 & 1 & 0 & 0 \\ 1 & 1 & 0 & 0 & 1 & 0 \\ 0 & 0 & 0 & -1 & -1 & 1 \\ 1 & 0 & 1 & 0 & 0 & 1 \\ 1 & 1 & 0 & -1 & 0 & 1 \\ 0 & 1 & -1 & 0 & 1 & -1 \\ 1 & 0 & 1 & 1 & 1 & 0 \end{array} \right] \end{array} \quad (21)$$

Mulțimea tuturor buclelor dintr-un graf este destul de cuprinzătoare, așa cum s-a văzut din acest exemplu. Există o submulțime a mulțimii tuturor buclelor care are proprietăți interesante și care va fi examinată în cele ce urmează.

Dându-se un graf se selectează mai întâi un arbore și se elimină toate joncțiunile. Se reintroduce apoi pe rând fiecare joncțiune una câte una. Prin reintroducerea fiecărei joncțiuni se va forma câte o buclă. (Dacă nu ar fi așa latura respectivă nu ar fi o joncțiune ci o ramură). Această buclă se caracterizează prin faptul că toate laturile sale mai puțin una sînt ramuri ale arborelui selectat. Buclele formate pe această cale se vor numi *bucle fundamentale*, sau *f-bucle* pe scurt. Orientarea unei bucle fundamentale se alege astfel încît să coincidă cu orientarea joncțiunii care o definește. Numărul buclelor fundamentale este egal cu numărul joncțiunilor; într-un graf cu l laturi și $n + 1$ noduri acest număr este $l - n$.

De exemplu, fie arborele din fig. 2.4b. Buclele fundamentale care se obțin prin introducerea joncțiunilor pe rând una câte una sînt ilustrate în fig. 2.7 (observați orientările). Scriind matricea buclelor pentru buclele

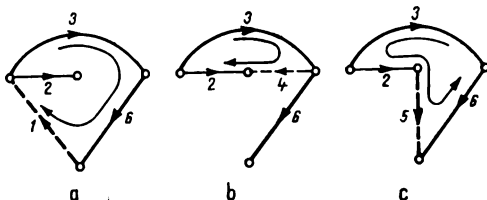


Fig. 2.7. Bucle fundamentale.

fundamentale se vor aranja coloanele în aceeași ordine ca și pentru matricea de incidență redusă pentru același arbore; așa dar se scriu mai întâi ramurile și apoi joncțiunile. De asemenea, se dispun buclele în aceeași ordine ca și coloanele joncțiunilor respective.

Matricea buclelor fundamentale va fi

$$\mathbf{B}_f = \begin{array}{c} \begin{array}{ccccc} & \text{ramuri} & & \text{joncțiuni} & \\ & \overline{2 \quad 3 \quad 6} & & \overline{1 \quad 4 \quad 5} & \end{array} \\ \left[\begin{array}{ccccc} 0 & 1 & 1 & 1 & 0 & 0 \\ -1 & 1 & 0 & 0 & 1 & 0 \\ 1 & -1 & -1 & 0 & 0 & 1 \end{array} \right] \end{array} \quad (22)$$

Indicele f se pune la \mathbf{B}_f pentru a semnifica buclele fundamentale. Matricea pătrată formată de ultimele trei coloane corespunzătoare joncțiunilor este o matrice unitate; deci ea este nesingulară și rangul matricei \mathbf{B}_f este egal în acest exemplu cu numărul joncțiunilor adică $l - n$.

În general, matricea f -buclelor unui graf arbitrar conex poate fi scrisă sub forma

$$\mathbf{B}_f = [\mathbf{B}_f, \mathbf{B}_f] = [\mathbf{B}_f, \mathbf{U}]. \quad (23)$$

Matricea pătrată de dimensiuni $(l - n) \times (l - n)$ ale cărei coloane corespund joncțiunilor unui arbore particular va fi o matrice unitate datorită modului în care s-a obținut. Așa dar rangul matricei \mathbf{B}_f va fi $l - n$.

Deoarece matricea buclelor fundamentale este o submatrice a matricei tuturor buclelor, rangul matricei \mathbf{B}_a nu poate fi mai mic decât rangul matricei \mathbf{B}_f care este $l - n$. Vom arăta în cele ce urmează că rangul matricei \mathbf{B}_a nu este mai mare ca $l - n$ și deci el este tocmai $l - n$. Pentru a face aceasta vom folosi un rezultat care este de o mare importanță prin el însuși.

Fie un graf pentru care coloanele matricelor \mathbf{A}_a și \mathbf{B}_a sînt aranjate în aceeași ordine. În acest caz au loc relațiile

$$\mathbf{A}_a \mathbf{B}_a' = 0 \quad (24)$$

și

$$\mathbf{B}_a \mathbf{A}_a' = 0. \quad (25)$$

A doua relație rezultă din prima deoarece $\mathbf{B}_a \mathbf{A}_a' = (\mathbf{A}_a \mathbf{B}_a')'$. Relațiile (24) și (25) se numesc *relații de ortogonalitate* și se demonstrează în cele ce urmează.

Matricele A_a și B'_a sînt de forma

$$\begin{array}{c}
 \begin{array}{ccccc}
 & \text{laturi} \rightarrow & & & \\
 & \text{noduri } 1 \ 2 \ \dots \ l & & & \\
 & \downarrow & & & \\
 A_a = & \begin{bmatrix} 1 \\ 2 \\ \vdots \\ n+1 \end{bmatrix} & & & \\
 \end{array}
 \end{array}
 \qquad
 \begin{array}{c}
 \begin{array}{ccccc}
 & \text{bucle} \rightarrow & & & \\
 & \text{laturi } 1 \ 2 \ \dots & & & \\
 & \downarrow & & & \\
 B'_a = & \begin{bmatrix} 1 \\ 2 \\ \vdots \\ l \end{bmatrix} & & & \\
 \end{array}
 \end{array}$$

Să ne concentrăm atenția asupra unei coloane oarecare din matricea B'_a și asupra unei linii oarecare din matricea A_a ; adică asupra unei bucle și a unui nod. Un nod oarecare aparține sau nu buclei. Dacă nodul nu aparține buclei, atunci nici o latură care face parte din buclă nu poate fi incidentă la acest nod. Aceasta înseamnă că toate elementele nenule din coloana lui B'_a corespund unor elemente nule în linia respectivă a lui A_a ; așa dar produsul va fi zero. Dacă nodul aparține buclei, atunci două laturi care fac parte din buclă vor fi incidente la acest nod. Dacă aceste două laturi sînt orientate la fel în raport cu nodul (ambele intră în nod sau ambele ies din nod) ele vor avea orientări opuse în raport cu bucla și invers. În termeni matriceali, dacă elementele din linia lui A_a corespunzătoare celor două laturi sînt ambele $+1$ sau ambele -1 , cele două elemente din coloana corespunzătoare a lui B'_a vor fi de semne opuse și invers. Cînd se calculează produsul, rezultatul este zero. Teorema este deci demonstrată.

Cu ajutorul rezultatului precedent se poate acum determina rangul matricei B_a folosind teorema de anulare a lui Sylvester care a fost examinată în capitolul 1. În conformitate cu această teoremă, dacă produsul a două matrice este nul, suma rangurilor celor două matrice nu depășește numărul coloanelor din prima matrice a produsului. În cazul de față, numărul coloanelor este egal cu numărul l al laturilor din graf. Deoarece rangul unei matrice este egal cu rangul matricei transpuse,

$$(\text{rang } A_a) + (\text{rang } B_a) \leq l. \quad (26)$$

Rangul matricei A_a s-a găsit anterior și este n .

Deci

$$(\text{rang } B_a) \leq (l - n). \quad (27)$$

Dar s-a stabilit anterior că rangul lui B_a nu este mai mic decît $l - n$ iar acum s-a stabilit că nu este mai mare decît $l - n$, deci rangul matricei B_a este tocmai $l - n$.

Observăm că eliminarea unui număr de linii din A_a sau a unui număr de coloane din B_a nu face inaplicabile relațiile (26) și (27). Fie B o submatrice oarecare din B_a avînd $l - n$ linii și rangul $l - n$. (O astfel de matrice este matricea buclelor fundamentale B_l). În acest caz relațiile de ortogonalitate se pot scrie

$$AB' = 0, \quad BA' = 0. \quad (28)$$

2.2.4. Relații între submatricele din A și B

Presupunem că se aranjează coloanele matricei B așa cum s-au aranjat anterior și coloanele matricei A , adică începînd cu ramurile unui arbore și terminînd cu joncțiunile. Se poate face atunci o partiție a matricei B sub forma

$$B = [B_t \ B_i] \quad (29)$$

unde B_t este o matrice pătrată de ordinul $l - n$. (Dacă B este matricea buclelor fundamentale atunci B_t este o matrice unitate, ca în (23)). Vom arăta acum că procedînd la partiția matricei B așa cum s-a arătat, submatricea B_t , ale cărei coloane reprezintă joncțiunile unui arbore, va fi nesingulară.

Pentru demonstrație se face o partiție a matricei A ca în (19) și se folosește relația (28) care se scrie

$$AB' = [A_t \ A_i] \begin{bmatrix} B_t' \\ B_i' \end{bmatrix} = A_t B_t' + A_i B_i' = 0. \quad (30)$$

Deoarece A_t este nesingulară,

$$B_t' = -A_t^{-1} A_i B_i' \text{ sau } B_t = -B_i (A_t^{-1} A_i)'. \quad (31)$$

În final, matricea B devine

$$B = [-B_t (A_t^{-1} A_i)' \ B_i] = B_i [- (A_t^{-1} A_i)' \ U]. \quad (32)$$

Acum se va aplica același procedeu plecînd de la relația (30) dar de această dată pentru matricea B_t a buclelor fundamentale pentru un arbore dat, cu o partiție a matricei B_t de forma

$$B_t = [B_{tt} \ U], \quad (33)$$

unde s-a introdus indicele f la B_f , pentru a evita confuzii. Lăsînd detaliile de calcul pe seama cititorului, se obține

$$B_f = [- (A_f^{-1} A_f)' \quad U]. \quad (34)$$

Prin comparația acestei relații cu relația (32) rezultă

$$B = B_f B_f \text{ sau } B_f = B_f^{-1} B. \quad (35)$$

Deoarece atât B cit și B_f sînt de rang $l - n$, matricea B_f trebuie să fie nesingulară. Aceasta rezultă din relația (52) din capitolul 1. Afirmația este astfel demonstrată.

Reciproca este de asemenea adevărată; adică, dacă se face o partiție a matricei buclelor B în două submatrice ca în (29), dintre care una pătrată și nesingulară de ordin $l - n$, coloanele acestei matrice vor corespunde joncțiunilor unui arbore. Demonstrația se lasă pe seama cititorului. (v. Problema 6).

Deoarece matricea B_f din (35) este nesingulară, matricele B și B_f sînt *matrice echivalente*. (Pentru prezentarea matricelor echivalente v. Cap. 7) Deci, liniile din B sînt combinații liniare ale liniilor din B_f și invers.

O serie de rezultate se mai obțin rezolvînd ecuația (30) în raport cu A_f . Deoarece B_f este o matrice nesingulară, se obține

$$A_f = - A_f B_f' (B_f')^{-1} = - A_f B_f' (B_f^{-1})' = - A_f (B_f^{-1} B_f)'. \quad (36)$$

Ultima egalitate rezultă din faptul că transpusa unui produs este produsul transpuselor în ordine inversă. Egalitatea precedentă rezultă din faptul că operațiile de transpunere și de inversare sînt comutative în cazul unei matrice nesingulare.

Ținînd seama de rezultatul precedent, se poate face partiția matricei A sub forma

$$A = A_f [U - (B_f^{-1} B_f)']. \quad (37)$$

Comparînd cu relația (32) se vede că apare o formă similară cu matricea buclelor.

2.2.5. Mulțimea secțiunilor și matricea secțiunilor

În exemplul din fig. 2.3 presupunem că, laturile 1 și 5 au fost eliminate. Graful rezultat este prezentat în fig. 2.8a. (Prin „eliminarea” unei laturi înțelegem întreruperea ei, adică „deschiderea circuitului” lăsînd intacte nodurile la care ea este incidentă). Graful a rămas încă un graf conex. Dacă se elimină acum și laturile 3 și 4, graful rezultat este reprezentat în fig. 2.8b. Graful nu mai este acum convex: el a fost „secționat” în două părți. Aceasta conduce la noțiunea de mulțime a secțiunilor, care se definește după cum urmează: *O mulțime de secțiuni*

este o mulțime de laturi ale unui graf conex a căror eliminare conduce la separarea grafului în două subgrafuri conexe, cu precizarea că eliminarea oricărei submulțimi de laturi din mulțimea secțiunilor lasă graful conex.

În graful dat ca exemplu, mulțimea secțiunilor este $\{1, 3, 4, 5\}$. Mulțimea $\{1, 2, 3\}$ reprezintă de asemenea o mulțime de secțiuni. (Un nod izolat, care apare în acest caz, este considerat ca „o parte” din graf). În schimb mulțimea $\{1, 2, 3, 6\}$ nu reprezintă o mulțime de secțiuni.

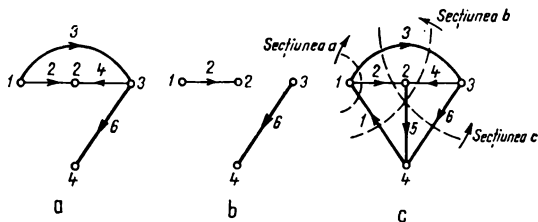


Fig. 2.8. Eliminarea unor laturi dintr-un graf.

deși graful este separat în două părți, deoarece eliminarea laturilor din submulțimea $\{1, 2, 3\}$ nu conduce la un graf conex.

Mulțimea secțiunilor face o partiție a nodurilor în două grupe, corespunzătoare celor două părți ale grafului. Fiecare latură din mulțimea secțiunilor este incidentă la un nod dintr-un grup și la un nod din celălalt grup. Orientarea mulțimii secțiunilor se face alegând sensul de la o parte a grafului spre alta. Orientarea se poate indica pe graf ca în fig. 2.8c. Orientarea laturilor din mulțimea secțiunilor poate să fie aceeași sau opusă în raport cu orientarea mulțimii secțiunilor.

Așa cum matricea de incidență caracterizează incidența și orientarea laturilor în raport cu nodurile, matricea secțiunilor se poate defini pentru a descrie prezența laturilor într-o mulțime a secțiunilor precum și orientarea lor în raport cu mulțimea secțiunilor. Vom defini matricea secțiunilor $Q_s = [q_{ij}]$ ale cărei linii corespund secțiunilor și ale cărei coloane corespund laturilor grafului. Elementele sale au următoarele valori :

$q_{ij} = 1$ dacă latura j face parte din mulțimea secțiunilor i și orientările coincid ;

$q_{ij} = -1$ dacă latura j face parte din mulțimea secțiunilor i și orientările nu coincid ;

$q_{ij} = 0$ dacă latura j nu face parte din mulțimea secțiunilor i .

Indicele a la Q_s se pune pentru a semnifica toate secțiunile.

Deoarece secționînd toate laturile incidente la un nod se separă acest nod de restul grafului, această mulțime de laturi reprezintă o mulțime de secțiuni, cu condiția ca restul grafului să nu fie separat el însuși

în mai multe părți. În graful din fig. 2.9, secționînd laturile incidente la nodul 1 se va separa graful în trei părți, dintre care una este reprezentată de nodul 1. Așa dar această mulțime de laturi nu reprezintă o mulțime de secțiuni.

Graful din fig. 2.9 este însă un graf deosebit, iar nodul 1 este un nod de tip special. Definim un graf cu punct de articulație ca un graf în care există cel puțin un subgraf care are numai un singur nod comun cu

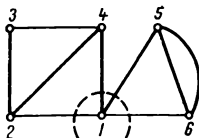


Fig. 2.9. Graf cu punct de articulație

subgraful complementar lui din graf. Un nod care are această proprietate se numește *punct de articulație* sau *pivot*. Într-un graf cu punct de articulație nodurile pot fi grupate în două mulțimi astfel încît orice cale de la un nod dintr-o mulțime la un nod din cealaltă mulțime trebuie să treacă prin nodul pivot. În fig. 2.9, nodurile 2, 3 și 4 formează o mulțime iar nodurile 5 și 6 alta. Dacă se secționează laturile incidente la nodul pivot, nu există nici o cale de la un nod dintr-o mulțime la un nod din cealaltă mulțime. Deci, graful obținut, fără a ține seama și de nodul pivot, nu va fi conex; așa dar mulțimea laturilor incidente la un nod pivot nu formează o mulțime de secțiuni. Pentru toate celelalte noduri, mulțimile de laturi incidente vor constitui mulțimi de secțiuni.

Pentru grafurile fără puncte de articulație, orientarea mulțimii secțiunilor obținută prin secționarea laturilor incidente la un nod se alege de la nod spre exterior. Așa dar, pentru grafurile fără puncte de articulație, matricea secțiunilor va include matricea de incidență.

Pentru exemplul din fig. 2.3, în afară de mulțimile secțiunilor formate din laturile incidente la fiecare nod, mai sînt încă trei mulțimi de secțiuni: {1, 3, 4, 5}, {2, 3, 5, 6} și {1, 2, 4, 6}. Matricea secțiunilor este:

$$Q_a = \begin{matrix} & \begin{matrix} \text{secțiuni} & \text{laturi} \rightarrow \end{matrix} \\ \begin{matrix} \downarrow \\ 1 \\ 2 \\ 3 \\ 4 \\ 5 \\ 6 \\ 7 \end{matrix} & \begin{matrix} 1 & 2 & 3 & 4 & 5 & 6 \end{matrix} \\ \left[\begin{array}{cccccc} -1 & 1 & 1 & 0 & 0 & 0 \\ 0 & -1 & 0 & -1 & 1 & 0 \\ 0 & 0 & -1 & 1 & 0 & 1 \\ 1 & 0 & 0 & 0 & -1 & -1 \\ 1 & 0 & -1 & 1 & -1 & 0 \\ 0 & 1 & 1 & 0 & -1 & -1 \\ -1 & 1 & 0 & 1 & 0 & 1 \end{array} \right] \end{matrix}.$$

unde primele patru linii sînt identice cu matricea A_0 iar ultimele trei linii corespund mulțimilor de secțiuni $\{1, 3, 4, 5\}$, $\{2, 3, 5, 6\}$ și $\{1, 2, 4, 6\}$ respectiv.

După cum s-a văzut matricea secțiunilor unui graf Q_0 are mai multe linii decît matricea de incidență respectivă. Apare deci problema rangului matricei secțiunilor. Pentru a răspunde la această problemă considerăm o mulțime specială de secțiuni formată după cum urmează. Dîndu-se

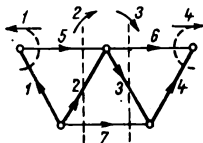


Fig. 2.10. Exemplu de secțiuni fundamentale.

un graf conex se selectează un arbore și se alege o latură b_k a arborelui. Eliminînd această ramură, arborele se împarte în două. Toate joncțiunile care unesc aceste două părți ale arborelui împreună cu b_k vor constitui mulțimi de secțiuni. Vom numi o astfel de mulțime *mulțime fundamentală de secțiuni* sau *f-mulțime de secțiuni* pe scurt. Pentru orice ramură există o mulțime fundamentală de secțiuni, deci pentru un graf cu $n + 1$ noduri (deci cu n ramuri) vor fi n mulțimi fundamentale de secțiuni. Orientarea unei mulțimi fundamentale de secțiuni se alege astfel încît să coincidă cu ramura care o definește.

Drept exemplu se consideră graful din fig. 2.10. Arborele este reprezentat prin linii îngroșate. Fiecare mulțime fundamentală de secțiuni este unic determinată. Să scriem matricea secțiunilor pentru mulțimea fundamentală de secțiuni, aranjînd coloanele astfel încît primele n coloane să corespundă ramurilor în aceeași ordine ca și mulțimile de secțiuni asociate lor

$$Q_0 = \begin{array}{c} \begin{array}{ccccc} \text{ramuri} & & & & \text{joncțiuni} \\ \hline 1 & 2 & 3 & 4 & \hline 5 & 6 & 7 \end{array} \\ \begin{bmatrix} 1 & 0 & 0 & 0 & -1 & 0 & 0 \\ 0 & 1 & 0 & 0 & 1 & 0 & 1 \\ 0 & 0 & 1 & 0 & 0 & 1 & 1 \\ 0 & 0 & 0 & 1 & 0 & 1 & 0 \end{bmatrix} \end{array}$$

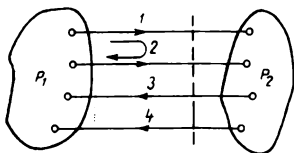
Indicele f la Q_0 se pune pentru a semnifica secțiunile fundamentale. Submatricea pătrată formată cu primele patru coloane este o matrice unitate; ea este deci nesingulară și rangul acestei matrice a secțiunilor este egal cu numărul liniilor sale sau cu numărul ramurilor dintr-un arbore.

Acest exemplu ilustrează trăsăturile specifice ale cazului general. În general, se aranjează coloanele matricei secțiunilor fundamentale pentru un arbore dat, astfel încât să apară mai întâi ramurile și apoi joncțiunile, ramurile fiind în aceeași ordine ca și mulțimile de secțiuni pe care le definesc. Se poate face atunci o partiție a matricei de forma

$$Q_f = [Q_r \quad Q_j] = [U \quad Q_j]. \quad (38)$$

Prin însăși modul în care s-a constituit, submatricea Q_r de dimensiuni $n \times n$, ale cărei coloane corespund ramurilor, va fi o matrice unitate. Deci rangul matricei Q_f va fi n . Aceasta nu ne spune încă nimic

Fig. 2.11. O mulțime de secțiuni avînd un număr par de laturi comune cu o buclă.



despre rangul matricei Q_a . Dar deoarece matricea secțiunilor fundamentale Q_f este o submatrice a matricei secțiunilor Q_a , rangul matricei Q_a nu poate fi inferior rangului matricei Q_f , adică $\text{rang } Q_a \geq n$.

Cînd s-a căutat rangul matricei B_a a fost necesar să se utilizeze relația de ortogonalitate $A_a B_a' = 0$. Dar Q_a este o matrice care conține matricea A_a ca o submatrice și este de presupus că o relație similară are loc și pentru Q_a în locul lui A_a ¹⁾. Acest lucru este adevărat și se poate demonstra pe aceeași cale ca și mai înainte. Este numai necesar să se stabilească faptul că, dacă o mulțime de secțiuni are o latură comună cu o buclă, ea trebuie să aibă și alte laturi în comun astfel încît numărul lor să fie par. Acest fapt este ușor de constatat examinînd fig. 2.11, în care s-a pus în evidență o mulțime de secțiuni care separă graful în două părți. Presupunem că latura 1 a mulțimii secțiunilor face parte dintr-o buclă. Dacă plecăm din extremitatea ei situată în P_1 și parcurgem această latură pînă ajungem în P_2 va fi necesar să revenim în P_1 pe altă latură din mulțimea secțiunilor pentru a forma o cale închisă. Pentru a obține o cale închisă pot fi necesare mai multe treceri succesive între P_1 și P_2 , dar fiecare trecere implică parcurgerea a două laturi din mulțimea secțiunilor. Dacă aceste laturi au aceeași orientare în raport cu mulțimea secțiunilor, ele vor avea orientări opuse în raport cu bucla

¹⁾ Această afirmație este valabilă numai în cazul unui graf fără puncte de articulație.

și reciproc. Așa dar, prin același raționament ca și cel utilizat pentru a obține relația (24), rezultă că :

$$\mathbf{Q}_a \mathbf{B}' = 0 \text{ și } \mathbf{B} \mathbf{Q}'_a = 0. \quad (39)$$

Acum poate fi determinat rangul matricei \mathbf{Q}_a . Utilizând teorema de anulare a lui Sylvester și cunoscând rangul matricei \mathbf{B} , rezultă că rangul matricei \mathbf{Q}_a nu depășește valoarea n . (Lăsând la o parte detaliile) și deoarece matricea \mathbf{Q}_i este o submatrice a matricei \mathbf{Q}_a care are rangul n , rangul matricei \mathbf{Q}_a nu poate fi mai mic decât n . (O asemenea posibilitate o reprezintă matricea secțiunilor fundamentale, \mathbf{Q}_f). Atunci

$$\mathbf{Q}\mathbf{B}' = 0 \text{ și } \mathbf{B}\mathbf{Q}' = 0. \quad (40)$$

În particular, fie această matrice \mathbf{Q} chiar matricea \mathbf{Q}_i care poate fi scrisă ca în relația (38). Atunci

$$[\mathbf{U} \quad \mathbf{Q}_i] \begin{bmatrix} \mathbf{B}'_i \\ \mathbf{B}'_i \end{bmatrix} = \mathbf{B}'_i + \mathbf{Q}_i \mathbf{B}'_i = 0$$

sau

$$\mathbf{Q}_i = -\mathbf{B}'_i (\mathbf{B}'_i)^{-1} = -(\mathbf{B}_i^{-1} \mathbf{B}_i)' \quad (41)$$

și, în final,

$$\mathbf{Q}_i = [\mathbf{U} \quad -(\mathbf{B}_i^{-1} \mathbf{B}_i)']. \quad (42)$$

Din această expresie rezultă un fapt foarte interesant. Comparînd-o cu relația (37) se obține

$$\mathbf{A} = \mathbf{A}_i \mathbf{Q}_i \text{ sau } \mathbf{Q}_i = \mathbf{A}_i^{-1} \mathbf{A} = [\mathbf{U} \quad \mathbf{A}_i^{-1} \mathbf{A}_i]. \quad (43)$$

Deoarece matricea \mathbf{A}_i este o matrice nesingulară, matricea de incidență a unui graf este echivalentă cu matricea secțiunilor fundamentale pentru un anumit arbore. Astfel, liniile matricei \mathbf{A} reprezintă combinații liniare ale liniilor matricei \mathbf{Q}_i și reciproc.

Grafuri planare

Toate proprietățile grafurilor pe care le-am examinat pînă acum nu depind de caracteristicii specifice de ordin geometric sau topologic ale grafului ci numai de caracteristicile sale abstracte. Vom examina acum o serie de proprietăți care depind de structura topologică a grafului.

Topologic, grafurile pot fi desenate sau reprezentate pe un plan. Uneori ele se pot desena astfel încât laturile să nu se intersecteze. Alteori acest lucru nu este posibil. Vom defini un *graf planar* ca fiind un graf ce poate fi dispus pe un plan astfel încât nici o pereche de laturi să nu se intersecteze (adică să nu se întâlnească în alte puncte decât nodurile). În fig. 2.12 se dau două grafuri cu același număr de laturi și noduri; primul este planar; al doilea, neplanar.

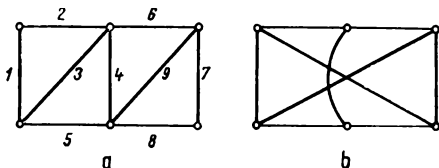


Fig. 2.12. Graf planar (a) și graf neplanar (b).

Laturile unui graf planar separă planul în mici regiuni; fiecare din ele se numește un *ochi*. Mai precis, un ochi este o secvență de laturi ale unui graf planar care nu includ vre-o altă latură a grafului în interiorul regiunii mărginite de aceste laturi. În fig. 2.12a laturile {1, 2, 3} formează un ochi în timp ce laturile {1, 2, 4, 5} nu formează un ochi. Laturile exterioare ale grafului separă planul în două regiuni: regiunea finită în care se află celelalte laturi ale grafului și o regiune infinită. Regiunea infinită poate fi privită ca „interiorul” acestei mulțimi de laturi. Ea este complementara regiunii finite. Așadar această mulțime de laturi poate fi considerată tot ca un ochi și se numește *ochiul exterior*. În fig. 2.12a ochiul exterior este format din secvența de laturi {1, 2, 6, 7, 8, 5}. Totuși, atunci când se enumeră ochiurile unui graf, ochiul exterior nu este luat în considerație.

Mulțimea ochiurilor unui graf planar constituie o mulțime specială de bucle. Se pune problema dacă ochiurile pot reprezenta buclele fundamentale pentru un anumit arbore, sau, într-o formulare diferită, dacă se poate găsi un arbore pentru care buclele fundamentale să fie ochiuri? Pentru a răspunde la această problemă se observă că fiecare buclă fundamentală conține o latură (ramură) care nu face parte din altă buclă fundamentală. Așadar, orice latură care face parte simultan din două ochiuri nu poate fi o joncțiune ci trebuie să fie o ramură. Se poate găsi cu siguranță un arbore pentru care ochiurile să reprezinte bucle fundamentale dacă laturile comune ochiurilor nu formează o cale deschisă. Pentru unele grafuri planare, acest lucru este posibil, pentru altele nu.

Pentru a ilustra aceasta, în fig. 2.13 se dau două grafuri foarte asemănătoare, avînd același număr de noduri, de laturi și de ochiuri. Laturile comune între ochiuri sînt figurate cu linii îngroșate. Acestea trebuie să fie ramurile unui arbore dacă ochiurile formează bucle fundamentale. În primul graf aceste laturi formează o buclă și deci rezultatul dorit nu este cu puțință în timp ce el este posibil pentru al doilea graf.

Aceste considerente completează prezentarea grafurilor liniare dată anterior.

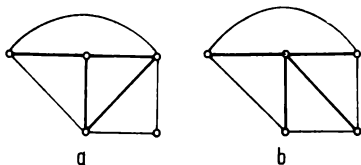


Fig. 2.13. Ochiiurile pot fi sau nu bucle fundamentale pentru un arbore dat.

2.3. TEOREMELE DE BAZĂ ALE REȚELELOR (CIRCUITELOR) ELECTRICE

În linii mari, o rețea electrică este formată prin interconectarea a două sau mai multor elemente sau laturi. Aceste laturi sînt formate din elemente de tipul celor descrise în capitolul 1 sau alte componente (neliniare, cu parametri variabili etc). Fiecare latură are o variabilă reprezentînd tensiunea și o variabilă reprezentînd curentul iar aceste variabile sînt legate de alte variabile similare prin relații specifice.

Pentru a introduce grafurile liniare în analiza rețelor electrice, vom da următoarea definiție:

O *rețea electrică* este un graf liniar orientat în care fiecărei laturi i se asociază două funcții de timp: curentul $i(t)$ și tensiunea $v(t)$. Aceste funcții trebuie să satisfacă teoremele lui Kirchhoff.

Teorema lui Kirchhoff pentru curent

Teorema lui Kirchhoff pentru curent (prescurtat TKC) stabilește că în orice rețea electrică suma tuturor curenților ce pleacă dintr-un nod este zero în fiecare moment de timp și pentru fiecare nod al rețelei. Pentru o

rețea conexă (graf) cu $n + 1$ noduri și l laturi ecuațiile ce rezultă din TKC se pot scrie sub forma

$$\sum_{k=1}^l a_{jk} i_k(t) = 0, \quad j = 1, 2, \dots, (n + 1), \quad (44)$$

unde a_{jk} au aceeași definiție ca și elementele matricei de incidență. Așadar, sub formă matriceală TKC devine

$$\mathbf{A}\mathbf{i}(t) = 0 \text{ sau } \mathbf{A}\mathbf{I}(s) = 0, \quad (45)$$

unde \mathbf{A} este matricea de incidență, $\mathbf{i}(t)$ este o matrice coloană ce reprezintă curenții laturilor iar $\mathbf{I}(s)$ este matricea coloană a transformatorilor Laplace ale curenților laturilor

$$\mathbf{i}(t) = \begin{bmatrix} i_1(t) \\ i_2(t) \\ \vdots \\ i_l(t) \end{bmatrix} \text{ și } \mathbf{I}(s) = \begin{bmatrix} I_1(s) \\ I_2(s) \\ \vdots \\ I_l(s) \end{bmatrix}. \quad (46)$$

(Desigur are loc și relația $\mathbf{A}_t \mathbf{i}(t) = 0$ dacă se includ toate nodurile). Deoarece rangul matricei \mathbf{A} este n , toate ecuațiile din acest sistem sînt liniar independente.

Fie o partiție a matricei de incidență de forma $\mathbf{A} = [\mathbf{A}_t \quad \mathbf{A}_l]$ corespunzătoare unui anumit arbore și o partiție similară pentru matricea \mathbf{i}

$$\mathbf{i} = \begin{bmatrix} \mathbf{i}_t \\ \mathbf{i}_l \end{bmatrix}.$$

În aceste condiții TKC devine

$$[\mathbf{A}_t \quad \mathbf{A}_l] \begin{bmatrix} \mathbf{i}_t \\ \mathbf{i}_l \end{bmatrix} = \mathbf{A}_t \mathbf{i}_t + \mathbf{A}_l \mathbf{i}_l = 0 \quad (47)$$

sau

$$\mathbf{i}_l(t) = -\mathbf{A}_l^{-1} \mathbf{A}_t \mathbf{i}_t(t) \quad (48)$$

deoarece \mathbf{A}_l este o matrice nesingulară.

Relația (48) arată că pentru un arbore dat, curenții ramurilor sînt determinați de curenții joncțiunilor prin relații liniare. Aceasta înseamnă că, dacă se pot determina curenții joncțiunilor prin alte mijloace, atunci

curenții ramurilor sînt cunoscuți fiind dați de relația (48). Dintre toți curenții laturilor în număr de l , numai $l - n$ curenți trebuie determinați independent.

Utilizînd relația (48), matricea curenților se poate scrie

$$\mathbf{i} = \begin{bmatrix} \mathbf{i}_t \\ \mathbf{i}_l \end{bmatrix} = \begin{bmatrix} -\mathbf{A}_t^{-1} \mathbf{A}_l \\ \mathbf{U} \end{bmatrix} \mathbf{i}_l. \quad (49)$$

Comparînd matricea din dreapta semnului egal cu matricea din relația (34) și ținînd seama de relația (35), rezultă

$$\mathbf{i} = \mathbf{B}'_l \mathbf{i}_l \text{ sau } \mathbf{I}(s) = \mathbf{B}'_l \mathbf{I}_l(s) \quad (50a)$$

$$\mathbf{i} = \mathbf{B}' (\mathbf{B}_l^{-1})' \mathbf{i}_l. \quad (50b)$$

Fiecare dintre aceste ecuații exprimă curenții laturilor unei rețele în funcție de curenții joncțiunilor corespunzătoare unui arbore, prin intermediul unei transformări care se numește *transformarea pe bucle*. Curenții joncțiunilor unui arbore joacă rolul *bazei* pentru toți curenții. Vom căuta acum și alți curenți decît curenții joncțiunilor unui arbore care să reprezinte o bază.

Se poate obține un alt sistem de ecuații echivalent cu TKC din (45). (Amintim că două sisteme de ecuații sînt echivalente dacă ele au aceeași soluție). Fie o mulțime particulară de secțiuni ale rețelei. Ea va separa rețeaua în două părți, P_1 și P_2 . Scriem ecuațiile ce rezultă din TKC pentru toate nodurile din P_1 și examinăm coloanele. Dacă ambele capete ale unei laturi sînt incidente la noduri din P_1 , coloana corespunzătoare va conține două elemente nenule, unul $+1$ și altul -1 . Dacă un capăt al unei laturi este incident la un nod din P_1 iar alt capăt la un nod din P_2 (dacă latura face parte din mulțimea secțiunilor) coloana respectivă va avea un singur element nenul. Presupunem că se adună aceste ecuații; numai curenții mulțimii secțiunilor vor avea coeficienți nenuli în sumă. Rezultatul se va numi *ecuația secțiunii*. Ecuația secțiunii este deci o combinație liniară a ecuațiilor ce rezultă din TKC. Sistemul de ecuații pentru toate secțiunile va fi $\mathbf{Q}_a \mathbf{i}(t) = \mathbf{0}$, unde \mathbf{Q}_a este matricea secțiunilor definită anterior pentru toate secțiunile. Dar rangul matricei \mathbf{Q}_a este n , care este mai mic decît numărul ecuațiilor. Deci aceste ecuații nu sînt independente. Fie \mathbf{Q} matricea secțiunilor pentru n mulțimi de secțiuni și de rang n . (O posibilitate o reprezintă matricea secțiunilor fundamentale, adică \mathbf{Q}_f). Atunci relațiile

$$\mathbf{Q} \mathbf{i}(t) = \mathbf{0} \text{ sau } \mathbf{Q} \mathbf{I}(s) = \mathbf{0} \quad (51)$$

sînt echivalente cu ecuațiile scrise pe baza TKC.

În particular, dacă se face o partiție a matricei secțiunilor fundamentale de forma $\mathbf{Q}_l = [\mathbf{U} \ \mathbf{Q}_l]$, atunci

$$\mathbf{Q}_l \mathbf{i} = [\mathbf{U} \ \mathbf{Q}_l] \begin{bmatrix} \mathbf{i}_l \\ \mathbf{i}_l \end{bmatrix} = \mathbf{i}_l + \mathbf{Q}_l \mathbf{i}_l = \mathbf{0}$$

sau

$$\mathbf{i}_l = -\mathbf{Q}_l \mathbf{i}_l, \quad (52)$$

adică se obține tocmai relația (48) dacă se ține seama de relația (43). Această expresie poate fi introdusă în matricea curenților din relația (48) și se obține

$$\mathbf{i}(t) = \begin{bmatrix} \mathbf{i}_l \\ \mathbf{i}_l \end{bmatrix} = \begin{bmatrix} -\mathbf{Q}_l \\ \mathbf{U} \end{bmatrix} \mathbf{i}_l(t) = \mathbf{B}'_l \mathbf{i}_l(t) \text{ sau } \mathbf{I}(s) = \mathbf{B}'_l \mathbf{I}_l(s). \quad (53)$$

(Pentru calculele intermediare v. Problema 17). Aceasta este din nou o transformare pe bucle identică cu (50a). Se observă că matricea transformării este transpusă matricei buclelor fundamentale.

După cum s-a văzut, curenții joncțiunilor corespunzătoare unui arbore reprezintă curenții de bază în funcție de care se pot exprima toți curenții rețelei. O altă mulțime de curenți de bază o reprezintă curenții buclelor, care sînt niște curenți fictivi ce circulă pe contururile formate de buclele închise. Acest fapt se poate ilustra mai bine prin intermediul unui exemplu. În fig. 2.14 s-a redesenat graful din fig. 2.13a, cu nodurile și laturile numerotate convenabil. Acest graf este planar, dar nu se poate găsi un arbore căruia să-i corespundă ochiuri care să formeze bucle fundamentale, așa cum s-a arătat anterior. Fie matricea buclelor scrisă pentru buclele specificate în figură. (Această mulțime de bucle nu reprezintă nici bucle fundamentale și nici ochiuri). Orientarea buclelor este dată prin ordonarea nodurilor; ea este indicată de asemenea și prin săgețile din figură. Matricea \mathbf{B} va fi

bucle laturi \rightarrow

$$\mathbf{B} = \begin{matrix} & \downarrow & 1 & 2 & 3 & 4 & 5 & 6 & 7 & 8 \\ \begin{matrix} 1 \\ 2 \\ 3 \\ 4 \end{matrix} & \left[\begin{array}{cccccccc} 1 & 0 & 0 & 0 & 1 & 0 & -1 & 0 \\ 0 & 1 & 1 & 1 & -1 & 0 & 0 & 0 \\ 0 & 0 & 1 & 1 & 0 & -1 & 0 & 0 \\ -1 & -1 & 0 & 0 & 0 & 0 & 0 & 1 \end{array} \right] \end{matrix}.$$

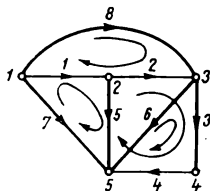
iar transpusa ei

$$\mathbf{B}' = \begin{bmatrix} 1 & 0 & 0 & -1 \\ 0 & 1 & 0 & -1 \\ 0 & 1 & 1 & 0 \\ 0 & 1 & 1 & 0 \\ 1 & -1 & 0 & 0 \\ 0 & 0 & -1 & 0 \\ -1 & 0 & 0 & 0 \\ 0 & 0 & 0 & 1 \end{bmatrix}. \quad (54)$$

(Această matrice este de rang 4 deoarece submatricea formată de ultimele patru coloane este nesingulară). Presupunem acum că definim o serie de curenți i_{m1} , i_{m2} etc., care parcurg buclele din matricea \mathbf{B} cu sensuri corespunzătoare orientărilor acestor bucle. Prin examinarea grafului se pot exprima curenții laturilor în funcție de acești curenți ciclici după cum urmează :

$$\begin{bmatrix} i_1 \\ i_2 \\ i_3 \\ i_4 \\ i_5 \\ i_6 \\ i_7 \\ i_8 \end{bmatrix} = \begin{bmatrix} 1 & 0 & 0 & -1 \\ 0 & 1 & 0 & -1 \\ 0 & 1 & 1 & 0 \\ 0 & 1 & 1 & 0 \\ 1 & -1 & 0 & 0 \\ 0 & 0 & -1 & 0 \\ -1 & 0 & 0 & 0 \\ 0 & 0 & 0 & 1 \end{bmatrix} \begin{bmatrix} i_{m1} \\ i_{m2} \\ i_{m3} \\ i_{m4} \end{bmatrix}. \quad (55)$$

Comparind matricea acestei transformări cu transpusa matricei \mathbf{B} din (54) se constată că ele sînt identice.



Buclele (specificate prin enumerarea nodurilor)

- 1 — {1, 2, 5}
- 2 — {2, 3, 4, 5}
- 3 — {3, 4, 5}
- 4 — {1, 3, 2}

Fig. 2. 14. Exemplu ilustrativ.

Acest rezultat este valabil în general. Într-adevăr se observă că fiecare linie a matricei \mathbf{B} se referă la incidența laturilor la bucle iar fiecare coloană corespunde unei laturi. Elementele unei coloane arată din ce bucle face parte și ce orientare are latura respectivă. Dacă se definesc curenții ciclici pe bucle, având orientările corespunzătoare acestora, fiecare coloană din matricea \mathbf{B} va reprezenta curentul laturii respective în funcție de curenții buclelor.

Într-un graf cu l laturi și $n + 1$ noduri, se notează prin i_m vectorul curenților buclelor definiți pentru cele $l - n$ bucle pentru care matricea \mathbf{B} este de rang $l - n$. Matricea curenților laturilor \mathbf{i} se poate exprima în funcție de matricea \mathbf{i}_m prin relația

$$\mathbf{i} = \mathbf{B}'\mathbf{i}_m. \quad (56)$$

Pentru o rețea planară, curenții ochiurilor formează o bază adecvată (demonstrația se lasă pe seama cititorului). În acest caz transformarea dată prin relația (56) se numește *transformarea pe ochiuri*.

Teorema lui Kirchhoff pentru tensiune

A doua teoremă a lui Kirchhoff este *teorema lui Kirchhoff pentru tensiune* (prescurtat TKT) și stabilește că în orice rețea electrică suma tensiunilor tuturor laturilor dintr-o buclă, cu semne corespunzătoare orientării buclei, este zero la fiecare moment de timp și pentru orice buclă a rețelei. Pentru o rețea conexă cu l laturi, ecuațiile ce rezultă din TKT se pot scrie sub forma

$$\sum_{k=1}^l b_{jk} v_k(t) = 0, \quad j = 1, 2, \dots, \text{(toate buclele)}, \quad (57)$$

unde b_{jk} au aceeași definiție ca și elementele matricei buclelor. Așadar, sub formă matriceală TKT devine

$$\mathbf{B}\mathbf{v}(t) = 0 \text{ sau } \mathbf{B}\mathbf{V}(s) = 0, \quad (58)$$

unde \mathbf{B} este matricea buclelor, $\mathbf{v}(t)$ este o matrice coloană ce reprezintă tensiunile laturilor iar $\mathbf{V}(s)$ este matricea coloană a transformatorilor Laplace ale tensiunilor laturilor

$$\mathbf{v}(t) = \begin{bmatrix} v_1(t) \\ v_2(t) \\ \vdots \\ v_l(t) \end{bmatrix} \text{ și } \mathbf{V}(s) = \begin{bmatrix} V_1(s) \\ V_2(s) \\ \vdots \\ V_l(s) \end{bmatrix}. \quad (59)$$

Dacă se includ toate buclele rețelei, matricea coeficienților va fi \mathbf{B}_a . Deoarece rangul matricei \mathbf{B}_a este $l - n$, ecuațiile din acest sistem nu sînt independente.

Fie matricea \mathbf{B} cu $l - n$ linii și de rang $l - n$. (O posibilitate o reprezintă matricea buclelor fundamentale). Se poate face o partiție a acestei matrice de forma $\mathbf{B} = [\mathbf{B}_t \ \mathbf{B}_l]$ corespunzătoare unui anumit arbore și fie o partiție similară pentru matricea \mathbf{v}

$$\mathbf{v} = \begin{bmatrix} \mathbf{v}_t \\ \mathbf{v}_l \end{bmatrix}.$$

În aceste condiții TKT devine

$$[\mathbf{B}_t \ \mathbf{B}_l] \begin{bmatrix} \mathbf{v}_t \\ \mathbf{v}_l \end{bmatrix} = \mathbf{B}_t \mathbf{v}_t + \mathbf{B}_l \mathbf{v}_l = 0$$

din care rezultă

$$\mathbf{v}_l = -\mathbf{B}_l^{-1} \mathbf{B}_t \mathbf{v}_t \text{ sau } \mathbf{v}_l = -\mathbf{B}_\mu \mathbf{v}_t \quad (60)$$

deoarece \mathbf{B}_l este o matrice nesingulară.

Relația (60) arată că, pentru un arbore dat, tensiunile joncțiunilor sînt determinate de tensiunile ramurilor prin relații liniare. Dacă tensiunile ramurilor se pot determina prin alte mijloace, atunci tensiunile joncțiunilor sînt cunoscute fiind date de relația (60). Dintre toate tensiunile laturilor în număr de l numai n tensiuni, reprezentînd tensiunile ramurilor, trebuie determinate independent.

Utilizînd relația (60), matricea tensiunilor se poate scrie

$$\mathbf{v}(t) = \begin{bmatrix} \mathbf{v}_t \\ \mathbf{v}_l \end{bmatrix} = \begin{bmatrix} \mathbf{I} \\ -\mathbf{B}_l^{-1} \mathbf{B}_t \end{bmatrix} \mathbf{v}_t(t) = \mathbf{Q}'_t \mathbf{v}_t(t) \text{ sau } \mathbf{V}(s) = \mathbf{Q}'_t \mathbf{V}_t(s). \quad (61)$$

Ultima egalitate rezultă din relația (42).

O altă expresie pentru \mathbf{v} se obține pe baza relației (43) și anume

$$\mathbf{v} = \mathbf{A}'(\mathbf{A}_l^{-1})' \mathbf{v}_l. \quad (62)$$

Dacă \mathbf{A}_l este o matrice unitară, atunci

$$\mathbf{v}(t) = \mathbf{A}' \mathbf{v}_l(t). \quad (63)$$

Astfel, matricea tensiunilor laturilor se exprimă prin matricea tensiunilor ramurilor unui arbore prin intermediul unei transformări. Matri-

cea transformării poate fi transpusa matricei secțiunilor fundamentale \mathbf{Q} , sau transpusa matricei \mathbf{A} cînd \mathbf{A}_i este o matrice unitate. (v. Problema 5, referitoare la condiția ca \mathbf{A}_i să fie o matrice unitate). Tensiunile ramurilor unui arbore reprezintă o bază pentru exprimarea tuturor tensiunilor. Deoarece tensiunea unei ramuri este diferența de potențial între o pereche de noduri, tensiunile ramurilor sînt *tensiuni între perechi de noduri*. Nu toate tensiunile perechilor de noduri reprezintă însă tensiunile ramurilor. Se pune problema găsirii unei mulțimi de tensiuni între perechi de noduri care, fără să reprezinte neapărat tensiunile ramurilor unui arbore să constituie totuși o bază pentru exprimarea tuturor tensiunilor. Să examinăm această problemă mai departe.

Dacă se consideră un nod comun pentru fiecare pereche de noduri, atunci toate tensiunile între perechi de noduri vor reprezenta tensiunile nodurilor în raport cu nodul comun sau de referință. Aceste tensiuni se numesc *tensiunile nodurilor*. Deoarece fiecare latură a unui graf este incidentă la două noduri, tensiunea ei va fi diferența tensiunilor celor două noduri (măsurate în raport cu nodul de referință al cărui potențial se consideră nul). Astfel, toate tensiunile unui graf se pot exprima în funcție numai de tensiunile nodurilor, care sînt în număr de n .

Cînd se scrie matricea \mathbf{A} a unui graf, se omite unul din noduri. Dacă acest nod este ales ca nod de referință pentru tensiuni, atunci matricea tensiunilor laturilor se poate exprima în funcție de matricea tensiunilor nodurilor

$$\mathbf{v}(t) = \mathbf{A}'\mathbf{v}_n(t) \text{ sau } \mathbf{V}(s) = \mathbf{A}'\mathbf{V}_n(s). \quad (64)$$

Aceasta rezultă din faptul că fiecare coloană a matricei \mathbf{A} se referă la o anumită latură. Elementele nenule dintr-o coloană specifică nodurile la care această latură este incidentă, semnul indicînd orientarea. Deci fiecare coloană a matricei \mathbf{A} va reprezenta tensiunea laturii respective în funcție de tensiunile nodurilor.

Exemplul următor va ilustra acest rezultat. În fig. 2.15 se dă graful din fig. 2.14 cu o numerotare diferită a laturilor. Matricea \mathbf{A} , omițînd nodul 5, este

$$\mathbf{A} = \begin{matrix} & \begin{matrix} 1 & 2 & 3 & 4 & 5 & 6 & 7 & 8 \end{matrix} \\ \begin{matrix} 1 \\ 2 \\ 3 \\ 4 \end{matrix} & \begin{bmatrix} 1 & 0 & 0 & 0 & 1 & 0 & 0 & 1 \\ 0 & 1 & 0 & 0 & -1 & 1 & 0 & 0 \\ 0 & 0 & 1 & 0 & 0 & -1 & 1 & -1 \\ 0 & 0 & 0 & 1 & 0 & 0 & -1 & 0 \end{bmatrix} \end{matrix}$$

și

$$\mathbf{A}' = \begin{bmatrix} 1 & 0 & 0 & 0 \\ 0 & 1 & 0 & 0 \\ 0 & 0 & 1 & 0 \\ 0 & 0 & 0 & 1 \\ 1 & -1 & 0 & 0 \\ 0 & 1 & -1 & 0 \\ 0 & 0 & 1 & -1 \\ 1 & 0 & -1 & 0 \end{bmatrix}. \quad (65)$$

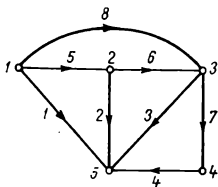


Fig. 2.15. Tensiunile laturilor în funcție de tensiunile nodurilor.

Fie nodul 5 nodul de referință și fie v_{n1} , v_{n2} , v_{n3} și v_{n4} tensiunile celorlalte noduri în raport cu acest nod. Din examinarea grafului, se pot exprima tensiunile laturilor în funcție de tensiunile nodurilor astfel

$$\begin{bmatrix} v_1 \\ v_2 \\ v_3 \\ v_4 \\ v_5 \\ v_6 \\ v_7 \\ v_8 \end{bmatrix} = \begin{bmatrix} 1 & 0 & 0 & 0 \\ 0 & 1 & 0 & 0 \\ 0 & 0 & 1 & 0 \\ 0 & 0 & 0 & 1 \\ 1 & -1 & 0 & 0 \\ 0 & 1 & -1 & 0 \\ 0 & 0 & 1 & -1 \\ 1 & 0 & -1 & 0 \end{bmatrix} \begin{bmatrix} v_{n1} \\ v_{n2} \\ v_{n3} \\ v_{n4} \end{bmatrix}. \quad (66)$$

Matricea acestei transformări este transpusa matricei \mathbf{A} .

Se observă că primele 4 coloane ale matricei \mathbf{A} formează o matrice unitate. Acest fapt este în concordanță cu Problema 5, deoarece arborele

format din laturile 1, 2, 3 și 4 este un arbore stelat. De aceea tensiunile între perechile de noduri definite pentru arborele considerat în acest caz sînt aceleași cu tensiunile nodurilor (în raport cu nodul 5 ca nod de referință). Pentru a înțelege și mai clar situația vom alege acum nodul 4 drept nod de referință. În acest caz nu mai există un arbore stelat cu nodul 4 ca nod comun. Matricea A va fi aceeași ca și în relația (65) dar cu ultima linie înlocuită prin $[-1 \ -1 \ -1 \ -1 \ 0 \ 0 \ 0 \ 0]$. Pentru orice arbore s-ar alege, matricea A , nu va fi o matrice unitate și relația (63) nu este aplicabilă. Totuși relația (64), în raport cu noile tensiuni ale nodurilor este în continuare valabilă. Propunem cititorului să verifice aceasta.

Relațiile pe laturi

Cele două teoreme ale lui Kirchhoff reprezintă relații între curenții și tensiunile laturilor unei rețele, independente de natura specifică acestor laturi, indiferent dacă ele sînt formate din condensatoare, rezistențe, surse, etc. Ele se aplică tot atît de bine pentru elementele liniare cît și pentru elemente neliniare, pentru elemente cu parametri variabili în timp sau pentru elemente cu parametri constanți. Aceste relații reprezintă constrîngerii dictate de structura topologică a rețelei.

Totuși, modul în care tensiunea unei laturi particulare este legată de curenții corespunzători depinde de elementele care formează latura respectivă. Există o mare varietate de posibilități în alegerea elementelor care formează o latură a rețelei. O posibilitate este să se considere fiecare element (rezistență, condensator, etc.) drept o latură. În acest caz trebuie să se considere drept noduri toate punctele de legătură dintre elementele conectate în serie. Uneori este convenabil să se considere elementele conectate în serie sau elementele conectate în paralel drept o singură latură. În rețeaua din fig. 2.16, elementele R_a și L_a conectate în serie pot fi considerate ca o singură latură sau ca două laturi distincte.

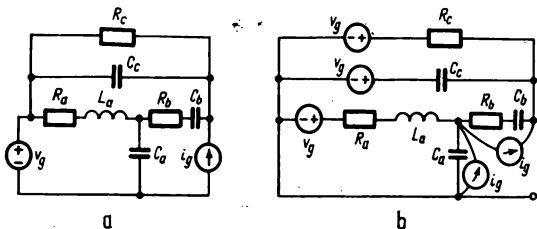


Fig. 2.16. Deplasarea surselor de tensiune și a surselor de curent.

O varietate similară apare și în tratarea surselor. O sursă de tensiune se numește *însoțită* dacă are un element pasiv conectat în serie. Similar, o sursă de curent se numește *însoțită* dacă are un element pasiv conectat în paralel. În fig. 2.16a, nici o sursă nu este însoțită. Pentru o latură pasivă atât curentul cât și tensiunea reprezintă mărimi necunoscute ale căror variații în timp urmează a fi determinate. În cazul unor surse, tensiunea sau respectiv curentul sînt cunoscute. Din această cauză nu se pot face afirmații general valabile despre numărul de necunoscute în funcție de numărul de laturi ale rețelei, dacă sursele neînsoțite sînt considerate drept laturi. În acest scop este recomandabil să se folosească anumite echivalențe care vor fi prezentate în cele ce urmează și care permit eliminarea surselor neînsoțite.

Fie rețeaua din fig. 2.16b. Sursa v_g a fost deplasată printr-unul din terminalele sale în fiecare latură incidentă la acest terminal, menținându-se polaritatea și scurt-circuitînd poziția ei inițială. Prin aplicarea TKT pentru orice buclă se vede că aceste ecuații nu se schimbă. Dar în această situație fiecare sursă este însoțită; ea este în serie cu o latură pasivă. În cazul unei surse de curent, aceasta a fost deplasată astfel încît să apară conectată în paralel cu fiecare latură din bucla ce conține sursa originală, menținându-se polaritatea și lăsînd poziția ei inițială în gol. Prin aplicarea TKC pentru toate nodurile se vede că aceste ecuații rămîn neschimbate. Soluțiile pentru variabilele asociate celorlalte laturi vor fi aceleași în cazul noii rețele, ca și pentru rețeaua inițială. Ne vom referi la aceste două echivalențe numindu-le *deplasarea tensiunilor* (sau deplasarea v) și respectiv, *deplasarea curenților* (sau deplasarea i). În urma acestor operații se pot obține întotdeauna surse însoțite. Uneori este convenabil să se trateze toate sursele independente ca surse însoțite, alteleori nu. Pentru scrierea ecuațiilor pe bucle și pe noduri este convenabil să se considere toate sursele însoțite; așa se va face în acest capitol. Mai tîrziu se va renunța la această presupunere atunci cînd va fi convenabil acest lucru.

Vom începe prin a examina relațiile tensiune-curent pentru laturi, separat pentru surse independente, în cazul rețelelor pasive, și reciproce.

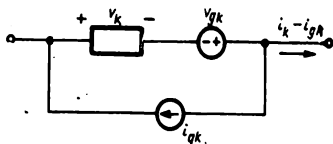


Fig. 2.17. Latură care conține o sursă de tensiune și o sursă de curent.

După ce se vor stabili procedeele de bază se va trece la examinarea componentelor active și nereziproce.

Structura generală a unei laturi este reprezentată în fig. 2.17 și conține atât o sursă de tensiune în serie cu un element pasiv cât și o sursă

de curent în paralel cu acest ansamblu. (În fig. 2.16b, de exemplu, sursa de curent din partea stîngă poate fi considerată în paralel cu elementele v_o , R_o și L_o care sînt conectate în serie). Curentul corespunzător acestei laturi, care intervine în TKC va fi $i_k - i_{ok}$. De asemenea, tensiunea care apare în TKT va fi $v_k - v_{ok}$. Așadar relațiile (45) și (58) se vor înlocui prin

$$\mathbf{A}\mathbf{i}(t) = \mathbf{A}\mathbf{i}_o(t), \quad \mathbf{A}\mathbf{I}(s) = \mathbf{A}\mathbf{I}_o(s) \quad (67)$$

$$\mathbf{B}\mathbf{v}(t) = \mathbf{B}\mathbf{v}_o(t), \quad \mathbf{B}\mathbf{V}(s) = \mathbf{B}\mathbf{V}_o(s) \quad (68)$$

$$\mathbf{Q}\mathbf{i}(t) = \mathbf{Q}\mathbf{i}_o(t), \quad \mathbf{Q}\mathbf{I}(s) = \mathbf{Q}\mathbf{I}_o(s) \quad (69)$$

unde \mathbf{i}_o și \mathbf{v}_o sînt matricele coloană corespunzătoare surselor de curent și de tensiune.

Similar, transformările de la variabilele laturilor la curenții buclor sau tensiunile nodurilor trebuie înlocuite prin următoarele

$$\mathbf{i}(t) - \mathbf{i}_o(t) = \mathbf{B}'\mathbf{i}_m(t), \quad \mathbf{I}(s) - \mathbf{I}_o(s) = \mathbf{B}'\mathbf{I}_m(s) \quad (70)$$

$$\mathbf{v}(t) - \mathbf{v}_o(t) = \mathbf{Q}'\mathbf{v}_t'(t), \quad \mathbf{V}(s) - \mathbf{V}_o(s) = \mathbf{Q}'\mathbf{V}_t(s) \quad (71)^{1)}$$

$$\mathbf{v}(t) - \mathbf{v}_o(t) = \mathbf{A}'\mathbf{v}_n(t), \quad \mathbf{V}(s) - \mathbf{V}_o(s) = \mathbf{A}'\mathbf{V}_n(s). \quad (72)$$

Deoarece sursele pot fi manipulate pe această cale independent de părțile pasive ale laturilor, de acum încolo ne vom concentra atenția asupra componentelor pasive. Pentru aceasta vom face sursele să dispară, ceea ce se poate realiza înlocuind sursele de tensiune prin scurt-circuite și sursele de curent prin circuite deschise.

Acum putem trece la examinarea relațiilor dintre tensiunile și curenții laturilor unui graf. La început nu vom face convenții speciale referitoare la modul în care sînt numerotate laturile. Vom opera cu transformatele Laplace ale variabilelor și vom introduce surse echivalente pentru a reprezenta condițiile inițiale. Impedanța și admitanța laturii k se vor nota prin z_k respectiv y_k iar matricele corespunzătoare prin \mathbf{Z} și \mathbf{Y} .

¹⁾ În această relație \mathbf{V}_t este tensiunea *totală* de ramură a unei laturi, incluzînd orice sursă de tensiune prezentă. Această abatere de la consistența strictă a notațiilor permite scrierea mai compactă a ecuațiilor de perechi de noduri care se va face ulterior — relația (96).

O observație similară se va face dacă se utilizează transformarea $\mathbf{I} - \mathbf{I}_o = \mathbf{B}'\mathbf{I}_l$ pentru curenții joncțiunilor în locul relației (70) cînd se scriu ecuațiile pe bucle. În acest caz \mathbf{I}_l se va considera curentul *total* al joncțiunii (v. și Problema P.27).

bobinele, apoi rezistențele și la sfârșit condensatoarele — se poate face o partiție a matricei, așa cum s-a arătat, în submatrice ale căror semnificații sînt evidente. Matricea rezistențelor și matricea inverselor capacităților sînt matrice diagonale deoarece aceste elemente nu sînt cuplate între ele de la o latură la alta. Nu tot așa se petrec lucrurile cu matricea L_p datorită prezenței cuplajelor inductive.

Este evident că aceste proprietăți ale submatricelor matricei impedanță sînt valabile în general dacă se folosește procedeul de numerotație descris mai sus. Deoarece acest sistem de numerotare este util, el va fi adoptat deoarece este convenabil în stabilirea proprietăților matricelor corespunzătoare. Se vor ivi totuși situații în care vom urmări o flexibilitate mai mare și vom numerota laturile într-un mod diferit.

În cazul general, dacă fiecare element este considerat drept o latură separată iar laturile inductive sînt numerotate mai întîi, apoi laturile rezistive și la sfârșit laturile capacitive, matricea impedanță și matricea admitanță a laturilor pot fi scrise după cum urmează :

$$Z = \begin{bmatrix} sL_p & \circ & \\ & R_p & \\ \circ & & \frac{1}{s} D_p \end{bmatrix} \text{ și } Y = \begin{bmatrix} \frac{1}{s} & \Gamma_p & \circ \\ & G_p & \\ \circ & & sC_p \end{bmatrix} \quad (75)$$

unde R_p , G_p , C_p și D_p sînt matrice diagonale cu $G_p = R_p^{-1}$, $D_p = C_p^{-1}$ iar $\Gamma_p = L_p^{-1}$. (Indicele p în aceste submatrice se pune pentru a semnifica „parțial”). Ele se numesc *matricele parțiale ale parametrilor laturilor*. În cazul în care rețeaua conține transformatoare perfecte, matricea L_p va fi o matrice singulară iar Γ_p nu există.

Uneori este convenabil ca referindu-ne la matricele parțiale ale parametrilor laturilor să le extindem pînă la dimensiunile matricei Z ; astfel vom scrie

$$R = \begin{bmatrix} 0 & 0 & 0 \\ 0 & R_p & 0 \\ 0 & 0 & 0 \end{bmatrix} \quad (76)$$

pentru matricea rezistențelor laturilor și la fel pentru celelalte. Cu aceasta matricele impedanță și admitanță a laturilor se pot scrie simplu în modul următor :

$$Z = sL + R + \frac{1}{s} D \quad (77a)$$

și

$$Y = sC + G + \frac{1}{s} \Gamma. \quad (77b)$$

Se observă că ordinul fiecărei matrice a parametrilor laturilor este egal cu numărul laturilor grafului. În relația (77) am mărit în mod convențional dimensiunile acestor matrice. Din punctul de vedere al calculului, mărirea dimensiunilor unei matrice reprezintă un dezavantaj. În acest caz este preferabilă utilizarea matricelor parțiale.

Cu toate că s-a folosit un procedeu special de numerotare a laturilor pentru a ajunge la matricele parametrilor laturilor ca aceea din relația (76) și celelalte similare ei, aceste matrice se pot defini fără a face apel la acest procedeu de numerotare. Singura diferență este aceea că elementele nenule nu vor fi concentrate într-o singură submatrice ca în (76). Într-un capitol următor vom examina proprietățile acestor matrice a parametrilor și vom discuta condițiile de realizabilitate.

2.4. ECUAȚIILE PE BUCLE, PE NODURI ȘI PE PERECHI DE NODURI

Relațiile de bază prezentate în ultimul paragraf sînt: teorema lui Kirchhoff pentru curenți (TKC), teorema lui Kirchhoff pentru tensiuni (TKT) și relațiile tensiune-curent pentru laturi. Pentru o rețea cu l laturi și $n + 1$ noduri se pot scrie n ecuații independente pe baza TKC și $l - n$ ecuații independente pe baza TKT, deci în total l ecuații. Deoarece se mai pot scrie încă l relații tensiune-curent dispunem în total de $2l$ ecuații independente pentru cele $2l$ necunoscute care sînt l curenți și l tensiuni. Totuși, soluționarea a $2l$ ecuații simultane constituie o problemă relativ dificilă și orice procedeu care aduce o simplificare este binevenit.

În ultimul paragraf s-a observat că toți curenții laturilor pot fi determinați în funcție de o submulțime de curenți mai puțin numeroasă — de exemplu curenții joncțiunilor pentru un arbore sau curenții buclelor. Similar, toate tensiunile laturilor pot fi determinate în funcție de o submulțime de tensiuni mai puțin numeroasă. Vom examina acum o serie de procedee în care se folosesc aceste constatări pentru a soluționa probleme de analiză a rețelelor. Rezultatul depinde de ordinea în care sînt utilizate cele trei categorii de relații fundamentale.

Ecuatiile pe bucle

Dîndu-se o rețea, vom aplica mai întîi TKT ajungînd la relația (68) care se repetă aici (în transformate Laplace)

$$\mathbf{BV}(s) = \mathbf{BV}_o(s). \quad (78)$$

Matricea \mathbf{B} este de dimensiuni $(l - n) \times l$ și de rang $l - n$. Introducând în această relație matricea $\mathbf{V}(s)$ dată de relația (73) se obține

$$\mathbf{BZ}(s)\mathbf{I}(s) = \mathbf{BV}_g(s). \quad (79)$$

În sfârșit, exprimăm curenții laturilor în funcție de alți $l - n$ curenți care pot fi curenții buclelor sau curenții joncțiunilor unui arbore — dacă \mathbf{B} este matricea buclelor fundamentale pentru arborele respectiv. Presupunem că folosim curenții buclelor, adică utilizăm expresiile curenților $\mathbf{I}(s)$ dați de transformarea pe bucle din relația (70). Se obține

$$\{\mathbf{BZ}(s)\mathbf{B}'\}\mathbf{I}_m(s) = \mathbf{B}\{\mathbf{V}_g - \mathbf{Z}(s)\mathbf{I}_g\} \quad (80a)$$

sau

$$\mathbf{Z}_m(s)\mathbf{I}_m(s) = \mathbf{E}(s) \quad (80b)$$

unde s-au folosit notațiile

$$\mathbf{E} = \mathbf{B}(\mathbf{V}_g - \mathbf{Z}\mathbf{I}_g)$$

și

$$\mathbf{Z}_m(s) = \mathbf{BZ}(s)\mathbf{B}'. \quad (81)$$

Ecuția matriceală (80) reprezintă un sistem de $l - n$ ecuații, numite *ecuațiile pe bucle*, cu $l - n$ necunoscute reprezentând curenții buclelor. Matricea coeficienților $\mathbf{Z}_m(s)$ se numește matricea *impedanță a buclelor*, și nu trebuie confundată cu matricea *impedanță a ramurilor* \mathbf{Z} . Pentru o rețea pasivă și reciprocă, matricea \mathbf{Z} este simetrică. În acest caz (v. Problema 1.15) matricea \mathbf{Z}_m este și ea simetrică.

Matricea impedanță a buclelor poate fi scrisă explicit în funcție de matricele parametrilor ramurilor introducând relația (77) în relația (81). Astfel

$$\mathbf{Z}_m = \mathbf{BZB}' = s\mathbf{L}_m + \mathbf{R}_m + \frac{1}{s}\mathbf{D}_m \quad (82)$$

unde

$$\mathbf{L}_m = \mathbf{BLB}' \quad (83a)$$

$$\mathbf{R}_m = \mathbf{BRB}' \quad (83b)$$

$$\mathbf{D}_m = \mathbf{BDB}' \quad (83c)$$

sînt matricele parametrilor buclelor.

Spre a ilustra relația (80) considerăm rețeaua din fig. 2.18 pentru care matricea impedanței ramurilor a fost dată în relația (74). Graful său este redesenat în fig. 2.19 spre a pune în evidență alegerea buclelor. Acesta este un graf planar și probabil cel mai simplu ar fi fost să se

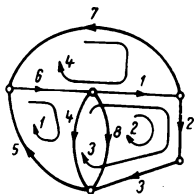


Fig. 2.19. Exemplu de rețea pentru scrierea ecuațiilor pe bucle.

aleagă drept bucle chiar ochiurile. Totuși, în scop ilustrativ s-a ales alt sistem de bucle. În acest caz matricea **B** este :

$$\mathbf{B} = \begin{matrix} & \begin{matrix} 1 & 2 & 3 & 4 & 5 & 6 & 7 & 8 \end{matrix} \\ \begin{matrix} 1 \\ 2 \\ 3 \\ 4 \end{matrix} & \begin{bmatrix} 0 & 0 & 0 & 1 & 1 & 1 & 0 & 0 \\ 1 & 1 & 1 & 0 & 0 & 0 & 0 & -1 \\ 1 & 1 & 1 & -1 & 0 & 0 & 0 & 0 \\ -1 & 0 & 0 & 0 & 0 & -1 & -1 & 0 \end{bmatrix} \end{matrix}$$

Atunci matricea impedanță a buclelor devine

$$\mathbf{Z}_m = \begin{bmatrix} 0 & 0 & 0 & 1 & 1 & 1 & 0 & 0 \\ 1 & 1 & 1 & 0 & 0 & 0 & 0 & -1 \\ 1 & 1 & 1 & -1 & 0 & 0 & 0 & 0 \\ -1 & 0 & 0 & 0 & 0 & -1 & -1 & 0 \end{bmatrix} \begin{bmatrix} sL_{11} & sL_{12} & & & & & \\ & sL_{21} & sL_{22} & & & & \\ & & & R_3 & & & \\ & & & & R_4 & & \\ & & & & & R_5 & \\ & & & & & & \frac{1}{sC_6} \\ & & & & & & & \frac{1}{sC_7} \\ & & & & & & & & \frac{1}{sC_8} \end{bmatrix} \begin{bmatrix} 0 & 1 & 1 & -1 \\ 0 & 1 & 1 & 0 \\ 0 & 1 & 1 & 0 \\ 1 & 0 & -1 & 0 \\ 1 & 0 & 0 & 0 \\ 1 & 0 & 0 & -1 \\ 0 & 0 & 0 & -1 \\ 0 & -1 & 0 & 0 \end{bmatrix}$$

$$\mathbf{Z}_m = \begin{bmatrix} R_4 + R_5 \times \frac{1}{sC_6} & 0 & & & \\ 0 & s(L_{11} + L_{12} + L_{21} + L_{22}) + R_3 + \frac{1}{sC_8} & & & \\ -R_4 & s(L_{11} + L_{12} + L_{21} + L_{22}) + R_3 & & & \\ -\frac{1}{sC_6} & & -s(L_{11} + L_{12}) & & \\ & -R_4 & & -\frac{1}{sC_6} & \\ & s(L_{11} + L_{12} + L_{21} + L_{22}) + R_3 & & -s(L_{11} + L_{21}) & \\ s(L_{11} + L_{12} + L_{21} + L_{22}) + R_3 + R_4 & & & -s(L_{11} + L_{21}) & \\ & -s(L_{11} + L_{21}) & & sL_{11} + \frac{1}{sC_6} + \frac{1}{sC_7} & \end{bmatrix}.$$

Corelind această matrice cu graful observăm că elementele matricei impedanță a buclelor pot fi interpretate în următoarea manieră directă. Fiecare element de pe diagonala principală este suma impedanțelor ramurilor pe bucla corespunzătoare, ținând cont și de impedanțele de cuplaj mutual cu alte bucle.

Fiecare element care nu aparține diagonalei principale este plus sau minus impedanța ramurilor comune între două bucle; semnul este pozitiv dacă curenții buclelor au același sens în ramura comună și negativ dacă au sensuri opuse. Se poate verifica matricea impedanță a buclelor din exemplu, utilizând această interpretare.

O interpretare similară se aplică pentru matricele parametrilor buclelor \mathbf{L}_m , \mathbf{R}_m și \mathbf{D}_m . Astfel din matricea \mathbf{Z}_m putem scrie matricea rezistențelor buclelor astfel

$$\mathbf{R}_m = \begin{bmatrix} R_4 + R_5 & 0 & -R_4 & 0 \\ 0 & R_3 & R_3 & 0 \\ -R_4 & R_3 & R_3 + R_4 & 0 \\ 0 & 0 & 0 & 0 \end{bmatrix}$$

Din rețea observăm că elementele diagonalei principale în această matrice sînt rezistențele totale pe conturul buclelor corespunzătoare; elementele care nu aparțin diagonalei principale sînt rezistențele comune buclelor

respective, cu plus sau minus; plus dacă orientarea buclelor este aceeași prin rezistența comună, minus dacă buclele sînt orientate în sens opus.

Matricele surselor vor fi

$$\mathbf{V}_s = \begin{bmatrix} 0 \\ 0 \\ 0 \\ 0 \\ V_0 \\ 0 \\ 0 \\ 0 \end{bmatrix} \quad \text{și} \quad \mathbf{I}_s = \begin{bmatrix} 0 \\ 0 \\ 0 \\ 0 \\ 0 \\ 0 \\ I_0 \\ 0 \end{bmatrix}.$$

Astfel $\mathbf{Z}\mathbf{I}_s$ are un element nenul numai în linia a șaptea și valoarea acestuia este $-I_0/sC_7$. În acest caz partea dreaptă a relației (80) devine

$$\begin{aligned} \mathbf{E} = \mathbf{B}(\mathbf{V}_s - \mathbf{Z}\mathbf{I}_s) &= \begin{bmatrix} 0 & 0 & 0 & 1 & 1 & 1 & 0 & 0 \\ 1 & 1 & 1 & 0 & 0 & 0 & 0 & -1 \\ 1 & 1 & 1 & -1 & 0 & 0 & 0 & 0 \\ -1 & 0 & 0 & 0 & 0 & -1 & -1 & 0 \end{bmatrix} \begin{bmatrix} 0 \\ 0 \\ 0 \\ 0 \\ V_0 \\ 0 \\ -I_0/sC_7 \\ 0 \end{bmatrix} \\ &= \begin{bmatrix} V_0 \\ 0 \\ 0 \\ I_0/sC_7 \end{bmatrix} \end{aligned}$$

Cantitatea I_0/sC_7 este tensiunea Thévenin echivalentă corespunzătoare sursei de curent în paralel cu C_7 . Astfel matricea \mathbf{E} reprezintă *vectorul surselor echivalente de tensiuni pe bucle*, ale cărui elemente sînt sumele algebrice ale surselor de tensiune (inclusiv tensiunile Thévenin echivalente corespunzătoare surselor de curent) pe conturul fiecărei bucle, sensul tensiunilor fiind astfel ales încît să fie opus sensului buclei.

Obținind ecuațiile pe bucle în forma

$$\mathbf{Z}_m \mathbf{I}_m = \mathbf{E} \quad (84)$$

se determină soluția

$$\mathbf{I}_m = \mathbf{Z}_m^{-1} \mathbf{E} \quad (85)$$

ceea ce este de fapt o soluție simbolică, în formă matriceală. Calculul elementelor matricei \mathbf{I}_m cere un volum considerabil de muncă. Aminăm pentru capitolul următor tratarea acestei probleme.

În legătură cu discuția precedentă asupra ecuațiilor pe bucle trebuie să notăm că, în ultimul dintre exemplele considerate putem scrie ușor forma finală a ecuațiilor pe bucle, dacă folosim o simplă tratare scalară. Astfel, putem scrie matricea impedanță a buclelor \mathbf{Z}_m și matricea surselor echivalente \mathbf{E} printr-o examinare directă a rețelei, odată ce s-au ales buclele. Introducerea tratării matriceale pare mai complicată decât e necesar. În acest sens se pot face trei observații. În primul rând, tratarea despre care am vorbit mai sus n-ar fi utilă în determinarea ecuațiilor pe bucle pentru rețele cu o matrice \mathbf{B} de rang mic. Procedul general începe să fie preferabil în cazul rețelelor caracterizate prin matrice \mathbf{B} de dimensiuni mari — de ordinul a zeci de linii. În al doilea rând, tratarea folosind considerente topologice se pretează la programarea pe calculator, ceea ce o face și mai valoroasă. În sfârșit, forma finală constituie o „teoremă de existență”; ea este o verificare că pentru orice rețea se pot scrie ecuațiile pe bucle.

2.4.2. Ecuațiile pe noduri

Scriind ecuațiile pe bucle, relațiile tensiune-curent ale laturilor s-au introdus în ecuațiile obținute pe baza TKT, după care s-a utilizat transformarea pe bucle pentru a se trece la variabile reprezentând curenții buclelor. Acum, dându-se o rețea se vor scrie mai întâi ecuațiile ce rezultă din TCK, ajungându-se la relația (67) care se repetă aici

$$\mathbf{A}\mathbf{I}(s) = \mathbf{A}\mathbf{I}_o(s). \quad (86)$$

În această expresie se substituie relațiile (73) și se obține

$$\mathbf{A}\mathbf{Y}(s) \mathbf{V}(s) = \mathbf{A}\mathbf{I}_o(s). \quad (87)$$

În sfârșit se exprimă tensiunile laturilor în funcție de tensiunile nodurilor prin transformarea pe noduri dată de relația (72). Rezultatul este

$$\mathbf{A}\mathbf{Y}(s) \mathbf{A}'\mathbf{V}_n(s) = \mathbf{A}\{\mathbf{I}_o(s) - \mathbf{Y}\mathbf{V}_o(s)\} \quad (88a)$$

sau

$$\mathbf{Y}_n \mathbf{V}_n(s) = \mathbf{J}(s) \quad (88b)$$

unde s-a notat prin \mathbf{J} matricea $\mathbf{A}(\mathbf{I}_g - \mathbf{YV}_g)$ și unde

$$\mathbf{Y}_n(s) = \mathbf{AY}(s) \mathbf{A}'. \quad (89)$$

Relația (88b) este o ecuație matriceală care reprezintă un sistem de n ecuații, numite *ecuațiile pe noduri* cu n necunoscute reprezentînd tensiunile nodurilor. Matricea coeficienților $\mathbf{Y}_n(s)$ se numește *matricea admitanță a nodurilor*.

De această dată *matricea \mathbf{J} este matricea echivalentă a surselor de curent aplicate pe noduri*, avînd drept elemente sumele algebrice ale curenților (incluzînd curenții Norton echivalenți surselor de tensiune) incidenți în nodurile respective cu sensul pozitiv astfel ales încît să intre în nod.

Matricea admitanță a nodurilor poate fi scrisă explicit în funcție de matricele parametrilor laturilor, introducînd relația (77) în relația (89). Rezultatul va fi

$$\mathbf{Y}_n(s) = \mathbf{AY}(s) \mathbf{A}' = s\mathbf{C}_n + \mathbf{G}_n + \frac{1}{s} \mathbf{\Gamma}_n \quad (90)$$

unde

$$\mathbf{C}_n = \mathbf{ACA}' \quad (91a)$$

$$\mathbf{G}_n = \mathbf{AGA}' \quad (91b)$$

$$\mathbf{\Gamma}_n = \mathbf{A\Gamma A}' \quad (91c)$$

sînt *matricele parametrilor nodurilor*.

Pentru sistemul de ecuații pe noduri scris sub forma

$$\mathbf{Y}_n(s) \mathbf{V}_n(s) = \mathbf{J}(s) \quad (92)$$

se poate obține cu ușurință soluția:

$$\mathbf{V}_n(s) = \mathbf{Y}_n^{-1} \mathbf{J}(s). \quad (93)$$

Aceasta este din nou o soluție scrisă sub formă simbolică. În capitoul următor vom examina detaliile referitoare la această soluție.

Să ilustrăm utilizarea ecuațiilor pe noduri pe exemplul rețelei din fig. 2.18 care s-a redesenat în fig. 2.20. Se alege nodul 5 ca nod de referință astfel încât el se omite atunci când se scrie matricea **A**.

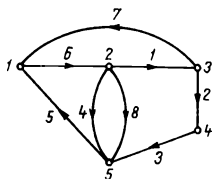


Fig. 2.20. Exemplu de rețea pentru scrierea ecuațiilor pe noduri.

Matricea **A** este

$$\mathbf{A} = \begin{bmatrix} 0 & 0 & 0 & 0 & -1 & 1 & -1 & 0 \\ 1 & 0 & 0 & 1 & 0 & -1 & 0 & 1 \\ -1 & 1 & 0 & 0 & 0 & 0 & 1 & 0 \\ 0 & -1 & 1 & 0 & 0 & 0 & 0 & 0 \end{bmatrix}$$

iar matricea admitanță a laturilor va fi

$$\mathbf{Y} = \begin{bmatrix} \frac{L_{22}}{s\Delta} & -\frac{L_{12}}{s\Delta} & & & & & & \\ -\frac{L_{21}}{s\Delta} & \frac{L_{11}}{s\Delta} & & & & & & \\ & & G_3 & & & & & \\ & & & G_4 & & & & \\ & & & & G_5 & & & \\ & & & & & sC_6 & & \\ & & & & & & sC_7 & \\ & & & & & & & sC_8 \end{bmatrix}$$

unde $\Delta = L_{11}L_{22} - L_{12}L_{21}$. Atunci

$$Y_n = AYA' =$$

$$\begin{bmatrix} G_5 + s(C_6 + C_7) & -sC_6 & -sC_7 & 0 \\ -sC_6 & \frac{L_{22}}{s\Delta} + G_4 + s(C_6 + C_8) & -\frac{(L_{22} + L_{12})}{s\Delta} & \frac{L_{12}}{s\Delta} \\ -sC_7 & -\frac{(L_{22} + L_{21})}{s\Delta} & \frac{L_{11} + L_{12} + L_{21} + L_{22}}{s\Delta} + sC_7 & -\frac{(L_{11} + L_{21})}{s\Delta} \\ 0 & \frac{L_{21}}{s\Delta} & -\frac{(L_{11} + L_{21})}{s\Delta} & \frac{L_{11}}{s\Delta} + G_3 \end{bmatrix}$$

Matricele surselor V_s și I_s sint aceleași ca și mai înainte. Obținem deci

$$J = A(I_s - YV_s) = \begin{bmatrix} G_5 V_0 - I_0 \\ 0 \\ I_0 \\ 0 \end{bmatrix}.$$

Mărimea $G_5 V_0$ reprezintă curentul Norton echivalent al sursei de tensiune în serie cu G_5 . Așadar J este matricea echivalentă a surselor de curent avînd drept elemente sumele algebrice ale surselor de curent (incluzînd curenții Norton echivalenți ai surselor însoțite) incidente în nodul respectiv cu sensul pozitiv intrînd în nod.

Ca și în cazul ecuațiilor pe bucle, ecuațiile pe noduri pot fi scrise direct prin examinarea rețelei, pentru rețelele fără cuplaje mutuale. Elementele matricei admitanță a nodurilor se pot obține după cum urmează. Fiecare element de pe diagonala principală este suma admitanțelor laturilor incidente în nodul respectiv. Fiecare element care nu aparține diagonalei principale este admitanța cu semn schimbat dintre cele două noduri. În acest caz toate elementele care nu aparțin diagonalei principale sînt negative, spre deosebire de cazul impedanței buclelor, deoarece tensiunea unei laturi este întotdeauna diferența tensiunilor celor două noduri, iar tensiunile nodurilor sînt considerate pozitive în raport cu nodul de referință.

O interpretare similară se aplică matricelor parametrilor nodurilor C_n , G_n și Γ_n . Să scriem, de exemplu, matricea capacităților nodurilor. Din figură se observă că apar două capacități C_6 și C_7 incidente la nodul 1, C_6 fiind conectată între nodurile 1 și 2, iar C_7 fiind conectată între nodurile 1 și 3. Rezultă că termenul de pe diagonala principală de pe prima linie a matricei C_n va fi $C_6 + C_7$, iar ceilalți trei termeni vor fi

respectiv $-C_6$, $-C_7$ și 0. Continuând pe aceeași cale se găsește C_n , care este

$$C_n = \begin{bmatrix} C_6 + C_7 & -C_6 & -C_7 & 0 \\ -C_6 & C_6 + C_8 & 0 & 0 \\ -C_7 & 0 & C_7 & 0 \\ 0 & 0 & 0 & 0 \end{bmatrix}.$$

Acest rezultat este în concordanță cu expresia obținută anterior pentru matricea Y_n .

Ecuatiile pe perechi de noduri

Variabilele în raport cu care se scriu ecuațiile pe noduri reprezintă tensiunile nodurilor în raport cu un nod de referință. Aceste variabile formează o bază pentru variabilele laturilor. S-a arătat anterior că tensiunile ramurilor pentru un arbore constituie o altă bază pentru tensiunile pe laturi. De aceea ne putem aștepta la existența unui alt sistem de ecuații, similar ecuațiilor pe noduri, dar cu tensiunile ramurilor unui arbore drept variabile; această posibilitate este ilustrată în cele ce urmează.

Dându-se o rețea, se selectează mai întâi un arbore și aplicind TKC pentru mulțimea secțiunilor fundamentale ajungem la relația (69), care este repetată aici

$$QI(s) = QI_o(s). \quad (94)$$

Matricea Q este de dimensiuni $n \times l$ și de rang n (Indicele f este omis pentru simplificare). În această expresie vom introduce apoi relațiile pe ramuri date în expresia (73) obținind

$$QY(s) V(s) = QI_o(s). \quad (95)$$

În sfârșit, exprimăm tensiunile pe laturi în funcție de tensiunile pe ramuri prin transformarea corespunzătoare dată de relația (71). Rezultă

$$QY(s) Q'V_t(s) = Q \{I_o - Y(s) V_o\} \quad (96a)$$

sau

$$Y_t(s) V_t(s) = J_t \quad (96b)$$

unde J_t este exprimarea prescurtată pentru $Q[I_o - Y(s) V_o]$ și

$$Y_t(s) = QY(s) Q'. \quad (97)$$

Reținem că această expresie este cu totul similară ecuațiilor pe noduri date în relația (88); diferența constă în înlocuirea matricei de incidență A prin matricea secțiunilor fundamentale Q , iar variabilele de aici nu sînt tensiunile nodurilor ci tensiunile între perechi de noduri. Vom denumi aceste ecuații *ecuațiile pe perechi de noduri*.

Matricea coeficienților din ecuațiile pe perechi de noduri $Y_i(s)$ se numește *matricea admitanță pe perechi de noduri*; ea se poate explicita în funcție de parametrii laturilor substituindu-se relația (77). Rezultatul va fi

$$Y_i(s) = QY(s)Q' = sC_i + G_i + \frac{1}{s} \Gamma_i \quad (98)$$

unde

$$C_i = QCQ' \quad (99a)$$

$$G_i = QGQ' \quad (99b)$$

$$\Gamma_i = Q\Gamma Q' \quad (99c)$$

sînt matricele parametrilor între perechi de noduri.

Pentru a ilustra scrierea ecuațiilor pe perechi de noduri se va utiliza același exemplu ca și pentru ecuațiile pe bucle și ecuațiile pe noduri (fig. 2.18), cu excepția faptului că aici nu mai apar cuplaje mutuale între laturile 1 și 2. Rețeaua și graful corespunzător sînt date în fig. 2.21. S-a ales arborele format din laturile 3, 4 și 7 care este figurat cu linii

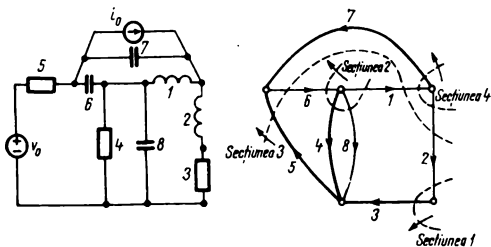


Fig. 2.21. Exemplu de rețea pentru scrierea ecuațiilor pe perechi de noduri.

îngroșate. Laturile din fiecare mulțime de secțiuni precum și matricea secțiunilor fundamentale sînt următoarele :

$$\begin{array}{ll} \text{mulțimea} & 1 : \{3, 2\} \\ \text{secțiunilor} & 2 : \{4, 1, 6, 8\} \\ & 3 : \{5, 1, 2, 6\} \\ & 4 : \{7, 1, 2\} \end{array} \quad \mathbf{Q} = \begin{array}{ll} 3 & \begin{bmatrix} 0 & -1 & 1 & 0 & 0 & 0 & 0 & 0 \end{bmatrix} \\ 4 & \begin{bmatrix} 1 & 0 & 0 & 1 & 0 & -1 & 0 & 1 \end{bmatrix} \\ 5 & \begin{bmatrix} 1 & -1 & 0 & 0 & 1 & -1 & 0 & 0 \end{bmatrix} \\ 7 & \begin{bmatrix} -1 & 1 & 0 & 0 & 0 & 0 & 1 & 0 \end{bmatrix} \end{array}$$

Ordinea coloanelor este aceeași ca și a numerotării inițiale a laturilor și nu ordinea pentru care se poate face o partiție a matricei \mathbf{Q} de forma $[\mathbf{U} \ \mathbf{Q}_t]$. S-a procedat astfel deoarece matricea admitanță a laturilor a fost scrisă în această ordine cînd s-au scris ecuațiile pe noduri. În legătură cu matricea admitanței laturilor se remarcă că termenul L_{22}/Δ s-a înlocuit prin $1/L_1$, iar L_{11}/Δ prin $1/L_2$; de asemenea elementele care nu sînt pe diagonală principală sînt nule deoarece aici nu există cuplaje mutuale. În aceste condiții ecuațiile pe perechi de noduri sînt :

$$\mathbf{QYQ}^T = \begin{bmatrix} g_3 + \frac{1}{L_2 s} & 0 & \frac{1}{L_2 s} & -\frac{1}{L_2 s} \\ 0 & g_4 + \frac{1}{L_1 s} + s(C_6 + C_8) & \frac{1}{L_1 s} + sC_6 & -\frac{1}{L_1 s} \\ \frac{1}{L_2 s} & \frac{1}{L_1 s} + sC_6 & g_3 + \frac{1}{L_1 s} + \frac{1}{L_2 s} + sC_8 & -\left(\frac{1}{L_1 s} + \frac{1}{L_2 s}\right) \\ -\frac{1}{L_2 s} & -\frac{1}{L_1 s} & -\left(\frac{1}{L_1 s} + \frac{1}{L_2 s}\right) & sC_7 + \frac{1}{L_1 s} + \frac{1}{L_2 s} \end{bmatrix} \begin{bmatrix} V_3 \\ V_4 \\ V_5 \\ V_7 \end{bmatrix} = \begin{bmatrix} 0 \\ 0 \\ -G_5 V_6 \\ I_0 \end{bmatrix}$$

Observăm din nou că se poate da o interpretare simplă pentru matricea admitanță a mulțimii secțiunilor. Examinînd rețeaua din fig. 2.21, observăm, de exemplu, că $sC_7 + 1/L_1 s + 1/L_2 s$, care reprezintă elementul de pe linia a 4-a și coloana a 4-a din \mathbf{Y}_t este suma admitanțelor laturilor în mulțimea secțiunilor 4. Interpretări similare se pot da și celorlalte elemente de pe diagonală principală. Observăm de asemenea că unii termeni, care nu sînt plasați de diagonală principală apar cu semne plus, iar alții cu semne minus; de exemplu, elementul din linia 1 și coloana a 3-a din matricea \mathbf{Y}_t este $1/L_2 s$. Acesta este admitanța laturii comune mulțimii secțiunilor 1 și 3. Orientarea acestei laturi comune este aceeași în raport cu ambele mulțimi de secțiuni de aceea termenul respectiv este pozitiv.

Ca o regulă generală, elementele matricei admitanță a secțiunilor au următoarele interpretări. Fiecare element de pe diagonală principală este suma admitanțelor laturilor care fac parte din mulțimea respectivă de secțiuni. Fiecare element care nu este pe diagonală principală reprezintă admitanța laturii comune la două mulțimi de secțiuni, semnul său fiind plus dacă orientarea laturii este aceeași în raport cu cele două mulțimi de secțiuni și minus dacă nu este aceeași. Se propune cititorului să verifice această regulă pentru matricea Y , dată în exemplul anterior.

În ceea ce privește sursele, matricea $Q(I_v - YV_v)$ reprezintă *matricea surselor de curent a mulțimii secțiunilor*, ale cărei elemente sînt sumele algebrice ale surselor de curent (incluzînd curentul Norton echivalent al surselor de tensiune) care intervin în mulțimea respectivă de secțiuni.

2.5. DUALITATEA

Există un paralelism strins între sistemele de ecuații pe bucle și sistemele de ecuații pe noduri. Această observație ridică următoarea problemă interesantă: se pot găsi două rețele astfel încît, cu excepția simbolurilor, ecuațiile pe bucle pentru o rețea să fie aceleași cu ecuațiile pe noduri pentru cealaltă? Cu alte cuvinte, ecuațiile pe bucle pentru o rețea pot să devină ecuațiile pe noduri pentru alta, dacă schimbăm între ele simbolurile v și i ? Pentru a răspunde la această problemă se observă că ecuațiile pe bucle se obțin atunci cînd relațiile tensiune-curent pe laturi se introduc în TKT și se folosesc TKC (sub forma transformării pe bucle). Pe de altă parte, se obțin ecuațiile pe noduri atunci cînd se inversează ordinea acestor operații; adică, relațiile tensiune-curent se introduc în TKC și apoi se aplică TKT (sub forma transformării pe noduri). Pe această bază observăm că se poate da un răspuns afirmativ la problema ridicată anterior, dacă există două rețele N_1 și N_2 care să satisfacă următoarele condiții:

1. ecuațiile obținute din TKC pentru N_1 să reprezinte ecuațiile corespunzătoare TKT pentru N_2 , înlocuind i_j prin v_j pentru orice j .

2. expresia tensiunii unei laturi v_j pentru N_2 , în funcție de curentul laturii i_j să devină expresia curentului laturii i_j pentru N_1 , în funcție de tensiunea laturii v_j , prin permutarea lui i_j și v_j . Dacă aceste condiții sînt satisfăcute se spune că N_2 este *duală* lui N_1 . De fapt este ușor de observat că dacă N_1 și N_2 se permută, condițiile de mai sus vor fi satisfăcute (dacă ele erau satisfăcute inițial). De aceea N_1 este de asemenea duală lui N_2 . Dualitatea este o proprietate mutuală; N_1 și N_2 sînt *rețele duale*.

În formă matriceală condiția 1 poate fi stabilită după cum urmează. Fie $A_1 = [a_{ij}]$ matricea de incidență a lui N_1 . Atunci

$$A_1 = B_2 \quad (100)$$

unde B_2 este matricea buclor pentru N_2 . Evident, numărul de laturi al celor două rețele trebuie să fie același și atunci rangul matricei A_1 trebuie să fie egal cu rangul matricei B_2 . Astfel

$$l_1 = l_2 \quad (101a)$$

$$n_1 = l_2 - n_2 \quad (101b)$$

unde l_1 și l_2 se referă la numărul de laturi: $n_1 + 1$ și $n_2 + 1$ se referă la numărul de noduri al celor două rețele, respectiv.

Aceste relații constituie condiții de structură ale celor două rețele. Mai întâi, trebuie să existe o corespondență între laturile celor două rețele, definită prin ordonarea coloanelor matricelor A_1 și B_2 astfel încât să fie satisfăcută relația (100). În al doilea rând trebuie să existe o corespondență între nodurile lui N_1 (liniile matricei A_1) și buclele lui N_2 (liniile matricei B_2).

Două structuri care satisfac relația (100) sunt numite *grafuri duale*. Nu vom dezvolta aici proprietățile abstracte ale grafurilor duale; vom stabili câteva consecințe ale acestor proprietăți¹⁾.

Consecința de bază este că o rețea va admite o structură geometrică duală dacă și numai dacă va fi planară. Dacă două rețele planare pot fi suprapuse astfel că fiecare nod al rețelei N_1 , în afară de unul să fie situat în interiorul unui ochi al rețelei N_2 și sensurile laturilor aflate în corespondență sunt orientate convenabil, atunci o linie a matricei A_1 și linia corespunzătoare ei în matricea B_2 vor fi identice. O asemenea buclă și nod sunt redată în fig. 2.22. Laturile și buclele lui N_2 sunt notate cu „prim”.

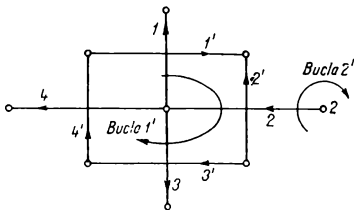


Fig. 2.22. O buclă și nodul dual.

¹⁾ Pentru o prezentare mai detaliată se pot consulta: H. Whitney, „Nonseparable and Planar Graphs”, *Trans. Amer. Math. Soc.* vol. 34, No. 2, pp. 339–362, 1932. și C. Kuratowski, „Sur le problème des courbes gauches en topologie”, *Fundamenta Mathematicae*, vol. 15, p. 271–283, 1930.

Nodul 1 în N_1 corespunde buclei 1' în N_2 . Cititorul poate verifica că ecuațiile TKC pentru nodul 1 au aceiași coeficienți ca și ecuațiile TKT pentru bucla 1'. Coeficientul curentului i_2 în ecuațiile TKC pentru nodul 2 este +1.

Pentru ca în ecuația TKT pe bucla 2' coeficientul tensiunii v_2 să fie același și anume +1, bucla 2' trebuie să fie orientată așa cum se arată în fig. 2.22. Urmărind întregul graf, se poate arăta în același mod că buclele trebuie să fie orientate în același sens (toate în sensul

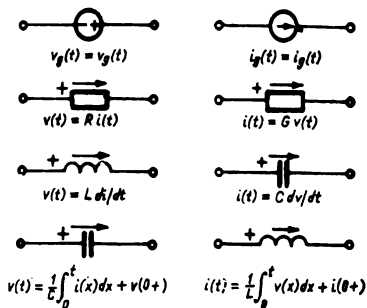


Fig. 2.23. Laturi duale.

acelor de ceasornic, dacă laturile sînt orientate ca în figură, sau toate în sens invers acelor de ceasornic, dacă laturile sînt orientate invers).

Dacă se alege ochiurile unui graf planar pentru a scrie ecuațiile pe baza TKT și toate buclele sînt orientate în același sens, atunci termenii care nu sînt plasați pe diagonala principală în ecuațiile pe bucle vor fi cu toții precedați de semnul minus, așa cum trebuie să fie în ecuațiile pe noduri.

A doua condiție de dualitate se referă la relația dintre laturi. În fig. 2.23 sînt reprezentate perechi de laturi duale, din punctul de vedere al relațiilor tensiune-curent. Pentru inductanțele mutuale nu există relații de dualitate. Prin definiție, numai rețele planare fără inductanțe mutuale admit rețele duale.

Dîndu-se o rețea, fie acesta N_1 , construirea rețelei duale se face după cum urmează. În interiorul fiecărui ochi al lui N_1 se plasează cite un nod al rețelei duale N_2 . Un nod adițional, care va reprezenta nodul de referință se plasează în exteriorul lui N_1 . Se unesc nodurile rețelei duale prin laturi care traversează fiecare latură a lui N_1 comună ochiurilor

lui N_1 în care se găsesc cele două noduri ale lui N_2 ¹⁾. În sfârșit, orientarea laturilor lui N_2 se alege astfel încît matricea ecuațiilor obținute pe baza TKT pentru N_1 (cu toate buclele orientate la fel) să fie aceeași cu matricea ecuațiilor obținute pe baza TKC pentru N_2 . Deoarece cele două rețele sînt reciproc duale, matricea admitanță a nodurilor pentru o rețea este egală cu matricea impedanță a buclelor pentru cealaltă și reciproc; astfel

$$Y_{n1} = Z_{m2} \quad (102a)$$

și

$$Z_{m1} = Y_{n2}. \quad (102b)$$

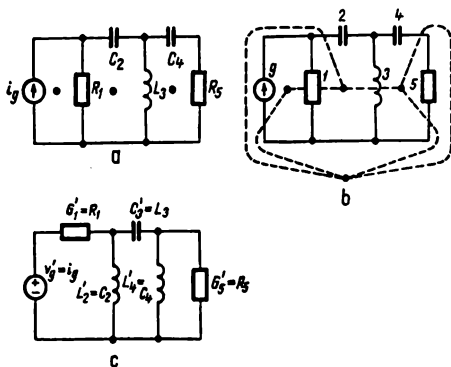


Fig. 2.24. Construirea unei rețele duale.

Deoarece aceste matrice sînt egale, determinanții și cofactorii lor sînt de asemenea egali.

Se consideră ca exemplu rețeaua din fig. 2.24.

Se plasează cite un nod în interiorul fiecărui ochi și un nod suplimentar în exterior, așa cum se arată în fig. 2.24, a. În fig. 2.24 b s-au reprezentat prin linii întrerupte laturile rețelei duale, care intersectează fiecare latură a lui N_1 . În sfârșit, rețeaua duală este dată în fig. 2.24 c. Se propune cititorului să verifice relațiile (100) și (102) pentru aceste exemple.

¹⁾ În acest proces este convenabil să se considere sursele drept laturi separate, în scopul construirii rețelei duale.

2.6. REȚELELE (CIRCUITELE) NERECIPROCE ȘI ACTIVE

Matricele coeficienților ecuațiilor pe bucle și ecuațiilor pe noduri sint, respectiv, \mathbf{BZB}' și \mathbf{AYA}' . Posibilitatea analizei rețelei pe baza ecuațiilor pe ochiuri sau a ecuațiilor pe noduri, în această formă generală depinde deci de existența matricei impedanță a laturilor \mathbf{Z} sau matricei admitanță a nodurilor \mathbf{Y} . Pentru rețelele pasive și reciproce cu care am avut de-a face pînă acum, aceste matrice există. (Această afirmație trebuie corectată în cazul transformatoarelor perfecte, pentru care matricea \mathbf{Y} nu există.)

Acum vom considera rețele care conțin dispozitive active și/sau nereciproce, împreună cu elemente pasive avînd mai mult de două borne terminale. În tabelul 2.1 se arată aceste componente împreună cu reprezentările lor simbolice.

Sint două aspecte care trebuie considerate, în legătură cu aceste două tipuri de componente. Primul aspect se referă la modul în care aceste componente trebuie să fie reprezentate prin grafuri. Acesta va influența numărul ecuațiilor ce rezultă din TKC și TKT și deci matricele \mathbf{A} și \mathbf{B} . Al doilea aspect se referă la modul în care trebuie reprezentate laturile pentru a se putea face analiza pe bucle sau pe noduri. Vom examina mai întîi primul aspect, adică grafurile acestor componente.

Fiecare din componentele ilustrate în tabelul 2.1 are patru borne terminale. Totuși, terminalele se consideră totdeauna în perechi, astfel încît e mai potrivit să se considere că ele au două perechi de terminale. Se poate, desigur, să se conecteze împreună cite un terminal din fiecare pereche, fără a modifica astfel relațiile tensiune-curent ale componentelor. În felul acesta fiecare dispozitiv poate fi considerat ca avînd trei terminale. Comportarea fiecărui dispozitiv din tabel este caracterizată prin două relații între două perechi de variabile — doi curenți și două tensiuni. Acesta reprezintă un caz particular al unei situații generale și anume, comportarea unui dispozitiv cu n terminale poate fi complet caracterizată prin $n - 1$ relații dintre $n - 1$ perechi de variabile, reprezentînd tensiuni sau curenți. (Această condiție este de fapt un postulat și nu se demonstrează).

Pentru un dispozitiv cu o singură pereche de terminale caracterizat printr-o tensiune și un curent, graful corespunzător este format dintr-o singură latură. Dispozitivele din tabelul 2.1 au cite două perechi de terminale și cite două tensiuni și doi curenți; grafurile lor se vor reprezenta prin cite două laturi între perechile de terminale, așa cum se arată în fig. 2.25. Dacă se leagă împreună cite un terminal din fiecare pereche, laturile din graful respectiv vor avea un nod comun.

Cele de mai sus sint valabile pentru dispozitive cu trei și respectiv patru terminale. Dar unele dintre dispozitivele din tabelul 2.1 prezintă anumite degenerescențe, ceea ce rezultă din numărul de zerouri care apar în ecuațiile respective. Pentru sursele controlate, perechea de termi-

Tabelul 2.1.

Dispozitivul	Simbolul	Ecuațiile	Tipul reprezentării	Graful
Sursă de curent controlată prin tensiune		$\begin{bmatrix} i_1 \\ i_2 \end{bmatrix} = \begin{bmatrix} 0 & 0 \\ g_{21} & 0 \end{bmatrix} \begin{bmatrix} v_1 \\ v_2 \end{bmatrix}$	Admitanțe	
Sursă de tensiune controlată prin curent		$\begin{bmatrix} v_1 \\ v_2 \end{bmatrix} = \begin{bmatrix} 0 & 0 \\ r_{21} & 0 \end{bmatrix} \begin{bmatrix} i_1 \\ i_2 \end{bmatrix}$	Impedanțe	
Sursă de tensiune controlată prin tensiune		$\begin{bmatrix} i_1 \\ i_2 \end{bmatrix} = \begin{bmatrix} 0 & 0 \\ \mu_{21} & 0 \end{bmatrix} \begin{bmatrix} v_1 \\ v_2 \end{bmatrix}$	Parametri hibrizi g	
Sursă de curent controlată prin curent		$\begin{bmatrix} v_1 \\ i_2 \end{bmatrix} = \begin{bmatrix} 0 & 0 \\ \alpha_{21} & 0 \end{bmatrix} \begin{bmatrix} i_1 \\ v_2 \end{bmatrix}$	Parametri hibrizi h	
Girator		$\begin{bmatrix} v_1 \\ v_2 \end{bmatrix} = \begin{bmatrix} 0 & \mp r \\ \pm r & 0 \end{bmatrix} \begin{bmatrix} i_1 \\ i_2 \end{bmatrix}$ sau $\begin{bmatrix} i_1 \\ i_2 \end{bmatrix} = \begin{bmatrix} 0 & \pm g \\ \mp g & 0 \end{bmatrix} \begin{bmatrix} v_1 \\ v_2 \end{bmatrix}$	Impedanțe sau Admitanțe	
Convertor de imitanță negativă		$\begin{bmatrix} v_1 \\ v_2 \end{bmatrix} = \begin{bmatrix} 0 & \pm k \\ \pm 1/k & 0 \end{bmatrix} \begin{bmatrix} i_1 \\ i_2 \end{bmatrix}$ sau $\begin{bmatrix} i_1 \\ v_2 \end{bmatrix} = \begin{bmatrix} 0 & \pm 1/k \\ \pm 1/k & 0 \end{bmatrix} \begin{bmatrix} v_1 \\ i_2 \end{bmatrix}$	Parametri hibrizi h sau Parametri hibrizi g	
Transformator ideal		$\begin{bmatrix} v_1 \\ i_2 \end{bmatrix} = \begin{bmatrix} 0 & n \\ -n & 0 \end{bmatrix} \begin{bmatrix} i_1 \\ v_2 \end{bmatrix}$ sau $\begin{bmatrix} i_1 \\ v_2 \end{bmatrix} = \begin{bmatrix} 0 & -1/n \\ 1/n & 0 \end{bmatrix} \begin{bmatrix} v_1 \\ i_2 \end{bmatrix}$	Parametri hibrizi h sau Parametri hibrizi g	

nale de intrare se găsește în gol sau în scurtcircuit. Ele vor accepta tensiuni arbitrare și curenți zero, sau curenți arbitrari și tensiune zero. Aceasta corespunde la o linie de zerouri în relațiile tensiune-curenți, ceea ce înseamnă că nu există decât câte o singură reprezentare pentru fiecare tip de dispozitiv. Pentru a scrie ecuațiile pe bucle (noduri) este necesară totuși reprezentarea prin impedanțe (admitanțe). Dacă trebuie scrise ecuațiile pe bucle (noduri) pentru rețele care conțin astfel de dispozitive se vor face anumite transformări prealabile.

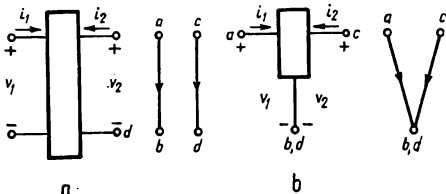


Fig. 2.25. Diporți și grafele corespunzătoare.

Cele arătate mai sus sînt ilustrate în exemplul care urmează. Sub-rețeaua din fig. 2.26 conține o sursă controlată. Graful conține două laturi (figurate cu linii îngroșate) corespunzătoare sursei controlate. Latura 3 a grafului nu are un corespondent fizic în rețea; ea corespunde unui circuit deschis. Totuși, tensiunea acestei laturi, v_3 este diferită de zero; și, deoarece ea apare explicit în ecuațiile pe laturi, nu poate fi neglijată. Dar se observă că tensiunea v_3 poate fi exprimată în funcție de alte tensiuni; în acest exemplu $v_3 = v_1 - v_2$. Deci, dacă această relație e substituită lui v_3 în relațiile pe laturi nici v_3 și nici i_3 nu vor mai apare. În consecință, latura 3 poate fi eliminată din graf. Așadar, sursa controlată e reprezentată acum printr-o singură latură (latura 4 din graf) și ecuația corespunzătoare ei devine

$$i_4 = g_m v_3 = g_m v_1 - g_m v_2. \quad (103)$$

sau

$$\begin{bmatrix} i_3 \\ i_4 \end{bmatrix} = \begin{bmatrix} 0 & 0 \\ g_m & 0 \end{bmatrix} \cdot \begin{bmatrix} v_3 \\ v_4 \end{bmatrix}$$

Acest exemplu se referă numai la unul dintre dispozitivele ce figurează în tabelul 2.1. Deoarece fiecare dintre ele are o reprezentare diferită vor apare diferențe specifice în tratarea lor. Din acest motiv în cele ce urmează se vor examina sistematic reprezentările prin impedanțe și/sau admitanțe pentru fiecare dintre ele.

Se consideră mai întâi un girator, care poate fi reprezentat fie prin impedanțe, fie prin admitanțe. Așadar, nu sînt necesare măsuri speciale

pentru a face analiza pe bucle sau pe noduri. Cu titlu de exemplu se consideră rețeaua din fig. 2.27 care conține un girator. Graful corespunzător giratorului va avea două laturi reprezentate prin linii îngroșate.

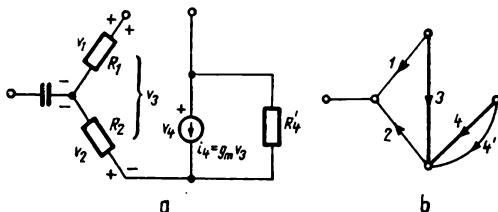


Fig. 2.26. Subrețea cu o sursă de curent controlată prin tensiune.

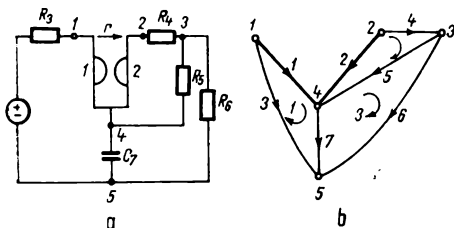


Fig. 2.27. Rețea cu girator (a) și graful respectiv (b).

Matricea impedanță a laturilor pentru întreaga rețea inclusiv giratorul se scrie cu ușurință.

Pentru numerotarea laturilor și buclelor dată pe figură, matricea impedanță a laturilor este

$$\mathbf{Z} = \begin{bmatrix} 0 & -r & 0 & 0 & 0 & 0 & 0 \\ r & 0 & 0 & 0 & 0 & 0 & 0 \\ 0 & 0 & R_3 & 0 & 0 & 0 & 0 \\ 0 & 0 & 0 & R_4 & 0 & 0 & 0 \\ 0 & 0 & 0 & 0 & R_5 & 0 & 0 \\ 0 & 0 & 0 & 0 & 0 & R_6 & 0 \\ 0 & 0 & 0 & 0 & 0 & 0 & 1/sC_7 \end{bmatrix}$$

iar matricea buclelor

$$\mathbf{B} = \begin{bmatrix} 1 & 0 & -1 & 0 & 0 & 0 & 1 \\ 0 & -1 & 0 & 1 & 1 & 0 & 0 \\ 0 & 0 & 0 & 0 & -1 & 1 & -1 \end{bmatrix}.$$

Rezultă că matricea impedanță a buclelor este

$$\mathbf{Z}_m = \mathbf{BZB}' = \begin{bmatrix} R_3 + 1/sC_7 & -r & -1/sC_7 \\ -r & R_4 + R_5 & -R_5 \\ -1/sC_7 & -R_5 & R_5 + R_6 + 1/sC_7 \end{bmatrix}.$$

(Se propune cititorului să verifice aceste relații). Se observă că prezența giratorului face ca matricele \mathbf{Z} și \mathbf{Z}_m să devină nesimetrice.

Întrucât giratorul admite și o reprezentare prin admitanțe se pot scrie cu ușurință și ecuațiile pe noduri. Alegînd nodul 5 ca nod de referință se obține matricea de incidență

$$\mathbf{A} = \begin{bmatrix} 1 & 0 & 1 & 0 & 0 & 0 & 0 \\ 0 & 1 & 0 & 1 & 0 & 0 & 0 \\ 0 & 0 & 0 & -1 & 1 & 1 & 0 \\ -1 & -1 & 0 & 0 & -1 & 0 & 1 \end{bmatrix}.$$

și matricea admitanță a laturilor

$$\mathbf{Y} = \begin{bmatrix} 0 & g & & & & & \\ -g & 0 & & & & & \\ & & G_3 & & & & \\ & & & G_4 & & & \\ & & & & G_5 & & \\ & & & & & G_6 & \\ & & & & & & sC_7 \end{bmatrix}$$

Rezultă că matricea admitanță a nodurilor este

$$Y_n = AYA' = \begin{bmatrix} G_3 & g & 0 & -g \\ -g & G_4 & -G_4 & g \\ 0 & -G_4 & G_4 + G_5 + G_6 & -G_5 \\ g & -g & -G_5 & G_5 + sC_7 \end{bmatrix}.$$

(Se propune cititorului să verifice aceste relații.) Se observă că prezența giratorului face ca matricele Y și Y_n să devină nesimetrice.

Prezența giratorului nu implică deci nici un fel de precauții în scrierea ecuațiilor pe bucle sau pe noduri.

Vom examina acum o sursă de curent controlată prin tensiune. O astfel de sursă apare în fig. 2.26. S-a arătat că latura din graf corespunzătoare intrării acestui dispozitiv poate fi eliminată atunci când tensiunea de comandă se exprimă în funcție de tensiunile celorlalte laturi. Dispozitivul este atunci reprezentat printr-o singură latură și matricea admitanță a laturilor se scrie ușor, permițând analiza rețelei pe noduri.

Dacă se cere însă o analiză pe bucle apare o problemă. Ecuațiile pe bucle implică reprezentări prin impedanțe ale componentelor. Pentru rețeaua din fig. 2.26 trebuie găsită o expresie a tensiunii v_4 în funcție de curenți. Dar v_4 nu apare explicit în relația (103), care este relația corespunzătoare pe laturi, ceea ce conduce la un impas. Totuși se poate găsi un remediu, dacă latura $4'$ din fig. 2.26, împreună cu latura 4 se leagă în paralel într-o singură latură. Dacă i_4 este curentul laturii care rezultă, atunci ecuația (103) se înlocuiește prin

$$i_4 = g_m v_1 - g_m v_2 + G_4' v_4. \quad (104)$$

Acum se poate explicita v_4 , după ce fiecare din tensiunile pe laturi a fost eliminată, utilizând relațiile tensiune-curent

$$v_4 = -g_m R_1 R_4' i_1 + g_m R_2 R_4' i_2 + R_4' i_4. \quad (105)$$

Matricea impedanță a laturilor se poate scrie acum cu ușurință.

Ce se întâmplă în graf operindu-se cele de mai sus? O latură reprezentând sursa controlată a fost eliminată prin combinarea ei cu o altă latură legată în paralel. Evident, acesta cere ca sursele controlate să fie însoțite, ceea ce se poate obține întotdeauna procedind la deplasarea surselor de curent. Sursele de tensiune controlate prin curent pot fi tratate pe o cale duală. Aici, latura de intrare din graful dispozitivului poate fi eliminată, atunci când curentul de comandă se exprimă în funcție de curenții celorlalte laturi. Se poate scrie deci matricea impedanță a laturilor

rilor și analiza pe bucle se poate face fără dificultăți. Totuși, dacă se cere analiza pe noduri va fi necesar să se combine într-o singură latură sursa controlată și o latură care o însoțește. Aceasta se poate obține prin deplasarea surselor de tensiune. După această etapă se inversează relațiile scrise pe laturi și se obține reprezentarea prin admitanțe. Detaliile acestor dezvoltări se lasă pe seama cititorului.

În tabelul 2.1 apar patru dispozitive care au numai o reprezentare hibridă. Înainte de a găsi o reprezentare prin impedanțe sau admitanțe, laturile acestor elemente trebuie combinate cu laturile care le însoțesc și tensiunile sau curenții de comandă trebuie exprimați în funcție de curenții celorlalte laturi.

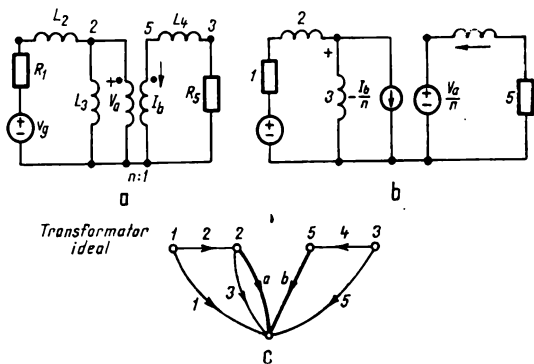


Fig.. 2.28. Rețea cu transformator ideal (a), schema echivalentă (b) și graful corespunzător (c).

Vom ilustra cele de mai sus considerind drept exemplu rețeaua din fig. 2.28 a, care conține un transformator ideal. Transformatorul ideal poate fi înlocuit printr-o combinație echivalentă de două surse controlate așa cum se arată în fig. 2.28 b. Această etapă nu este esențială; toate celelalte etape se pot parcurge referindu-ne la graf, fără a face apel la această rețea echivalentă. În graful rețelei din fig. 2.28 c laturile corespunzătoare transformatorului sînt reprezentate prin linii îngroșate. Se observă că fiecare sursă controlată este însoțită. Tensiunea corespunzătoare laturii din stînga, V_a , este aceeași cu tensiunea corespunzătoare laturii care o însoțește, V_3 . Tot așa, curentul prin latura din dreapta, I_b ,

este același cu curentul prin latura care o însoțește, I_4 . Ecuațiile transformatorului sînt

$$V_b = \frac{V_a}{n} \text{ și } I_a = -\frac{I_b}{n}. \quad (106)$$

Vom scrie acum relațiile pe laturi pentru transformator, combinîndu-le de această dată cu laturile care îl însoțesc. Fie I_3 suma curentului I_a și a curentului prin latura 3, iar V_4 suma tensiunii V_b și a tensiunii pe latura 4. Atunci

$$V_4 = sL_4 I_4 + \frac{V_a}{n} = sL_4 I_4 + \frac{V_3}{n} \quad (107a)$$

$$I_3 = \frac{1}{sL_3} V_3 - \frac{I_b}{n} = \frac{1}{sL_3} V_3 - \frac{I_4}{n} \quad (107b)$$

Aceste ecuații pot fi transcrise pentru a permite reprezentarea prin impedanțe sau prin admitanțe. Se obțin relațiile

Reprezentarea prin impedanțe

$$V_3 = sL_3 I_3 + \frac{sI_3}{n} I_4$$

$$V_4 = \frac{sL_3}{n} I_3 + s \left(\frac{L_3}{n^2} + L_4 \right) I_4$$

Reprezentarea prin admitanțe

$$I_3 = \left(\frac{1}{sL_3} + \frac{1}{n^2 sL_4} \right) V_3 - \frac{V_4}{nsL_4}$$

$$I_4 = -\frac{V_3}{nsL_4} + \frac{1}{sL_4} V_4.$$

Ca urmare a acestor etape, laturile a și b din graf se unifică cu laturile care le însoțesc și dispar. (Nodul 5 dispare de asemenea.) Matricea impedanță a laturilor va fi

$$\mathbf{Z} = \begin{bmatrix} R_1 & & & & \\ & sL_2 & & & \bigcirc \\ & & sL_3 & \frac{sL_3}{n} & \\ & & & \frac{sL_3}{n} & s \left(L_4 + \frac{L_3}{n^2} \right) \\ \bigcirc & & & & \\ & & & & R_5 \end{bmatrix}. \quad (108)$$

Se propune cititorului să completeze problema determinind matricea impedanță a buclelor Z_m .

Din cele de mai sus rezultă clar că prezența unor dispozitive cu patru terminale ridică anumite probleme în scrierea ecuațiilor pe bucle sau pe noduri, dar aceste probleme nu sînt de nerezolvat. Dacă încercăm să scriem aceste ecuații sînt necesare cîteva transformări prealabile. Aceste transformări implică unificarea anumitor laturi și efectele corespunzătoare în graf. Cu toate că graful acestor dispozitive este reprezentat în general prin două laturi, am eliminat uneori cîte o latură, unificind-o cu alte

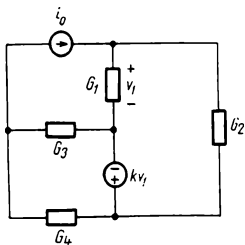


Fig. 2.29. Matrice impedanță, potențial singulară

laturi din graf. Laturile de control a surselor comandate au fost eliminate (după ce tensiunile sau curenții de comandă au fost eliminați, fiind exprimați în funcție de alte mărimi). Laturile controlate au fost de asemenea eliminate din graf, ori de cîte ori s-a dorit o analiză care nu corespundea reprezentării naturale a dispozitivului. Mai tirziu vom găsi alte căi de tratare a laturilor grafurilor pentru aceste dispozitive.

Trebuie să observăm că în cazul rețelelor mici o tratare sistematică implică eforturi mai mari decît acelea de a scrie direct ecuațiile pe bucle sau pe noduri. În plus, efortul este amplificat de necesitatea reprezentării dispozitivelor într-un mod care nu este cel natural. În paragraful următor vom considera altă tratare, care utilizează o reprezentare hibridă directă.

În fine: prezența dispozitivelor neregiproce și/sau active într-o rețea, semnifică imposibilitatea de a găsi o soluție unică, pentru diverse valori ale parametrilor rețelei. Această idee este ilustrată de rețeaua din fig. 2.29, care conține o sursă de tensiune controlată în tensiune. Pentru această rețea, matricea admitanță a nodurilor va fi singulară dacă $G_1 = (k - 1)G_2$. Deci în acest caz nu există soluție. Propunem cititorului să verifice această afirmație.

2.7. ECUAȚII CU VARIABLE MIXTE

Am observat în ultimul paragraf că intenția de a scrie ecuațiile pe bucle sau pe noduri, în cazul rețelelor cu elemente cu mai multe borne terminale ridică probleme, pentru anumite tipuri de elemente. Reușita în scrierea ecuațiilor pe bucle sau pe noduri depinde de existența unei reprezentări prin impedanțe sau admitanțe a relațiilor pe laturi. Dacă un dispozitiv cu mai multe borne terminale nu are o asemenea reprezentare sînt necesare anumite transformări și combinații prealabile ale laturilor, pentru a fi posibilă scrierea ecuațiilor dorite.

Vom prezenta acum o schemă care evită aceste transformări prealabile și permite utilizarea relațiilor pe laturi în forma lor naturală.

Dintre toate elementele de care dispunem, cîteva (incluzînd R , L , C și giratoarele) au ambele reprezentări — prin impedanță și prin admitanță; una (sursa de curent controlată prin tensiune) are numai reprezentare prin admitanță, alta (sursa de tensiune controlată prin curent) are numai o reprezentare prin impedanță; și unele (transformatorul, NIC, sursa de tensiune controlată prin tensiune și sursa de curent controlată prin curent) au numai o reprezentare mixtă sau hibridă. Orice schemă trebuie să se încadreze într-una din aceste categorii. Trebuie să ne amintim că tensiunile ramurilor formează o bază, în funcție de care pot fi exprimate toate tensiunile laturilor. În mod similar, curenții joncțiunilor formează o bază în funcție de care pot fi exprimați toți curenții laturilor.

Ținînd seamă de acestea, dîndu-se o rețea se alege mai întîi un arbore. În loc să se exprime relațiile pe laturi sub forma $V = ZI$ sau $I = YV$, se scriu niște relații mixte de forma

$$\begin{matrix} l - n & n \\ n \end{matrix} \begin{bmatrix} V_l \\ I_l \end{bmatrix} = \begin{bmatrix} Z_l & H_{12} \\ H_{21} & Y_l \end{bmatrix} \begin{bmatrix} I_l \\ V_l \end{bmatrix} \quad (109)$$

sau

$$V_l = Z_l I_l + H_{12} V_l \quad (110a)$$

$$I_l = H_{21} I_l + Y_l V_l \quad (110b)$$

(Dimensiunile submatricelor sînt cele indicate în relația (109).) Notățiile pentru matricele coeficienților s-au ales pentru a facilita memorarea. Pentru uniformitate ar fi trebuit ca prima submatrice din prima linie să se noteze prin H_{11} , iar ultima submatrice din linia a doua prin H_{22} . Dar, deoarece ele sînt de natura unor impedanțe și respectiv admitanțe, s-a ales o notație mai simplă și mai sugestivă.

În aceste ecuații am exprimat curenții ramurilor și tensiunile joncțiunilor în funcție de un grup de variabile mixte formate din tensiunile ramurilor și curenții joncțiunilor. Aici se observă posibilitatea de a utiliza o reprezentare hibridă a laturilor dacă laturile cu astfel de reprezentări se aleg drept joncțiuni sau ramuri în mod convenabil. Acest punct de vedere va fi accentuat pe scurt în cele ce urmează.

Urmează să se aplice TKT și TKC. Presupunem că se aplică TKT pentru buclele fundamentate corespunzător unui arbore dat, iar TKC se aplică mulțimii secțiunilor fundamentale. Utilizând relațiile (68) și (69) pentru TKT și TKC; făcând o partiție a matricelor \mathbf{B} și \mathbf{Q} de formă uzuală, cu $\mathbf{B} = [\mathbf{B}_t \ \mathbf{U}]$ și $\mathbf{Q} = [\mathbf{U} \ \mathbf{Q}_t]$; și amintindu-ne că $\mathbf{B}_t = -\mathbf{Q}_t'$ din relația (41) se obține:

$$[\mathbf{B}_t \ \mathbf{U}] \begin{bmatrix} \mathbf{V}_t \\ \mathbf{V}_t \end{bmatrix} = -\mathbf{Q}_t' \mathbf{V}_t + \mathbf{V}_t = \mathbf{B} \mathbf{V}_t \quad (111a)$$

și

$$[\mathbf{U} \ \mathbf{Q}_t] \begin{bmatrix} \mathbf{I}_t \\ \mathbf{I}_t \end{bmatrix} = \mathbf{I}_t + \mathbf{Q}_t \mathbf{I}_t = \mathbf{Q} \mathbf{I}_t. \quad (111b)$$

(Indicele f care înseamnă „fundamental” a fost omis pentru simplitate). Prima din aceste relații poate fi soluționată în raport cu \mathbf{V}_t , a doua poate fi soluționată în raport cu \mathbf{I}_t iar rezultatul se poate introduce în relația (110). După rearanjarea termenilor se obține:

$$\begin{bmatrix} \mathbf{Y}_t & (\mathbf{H}_{21} + \mathbf{Q}_t) \\ (\mathbf{H}_{12} - \mathbf{Q}_t') & \mathbf{Z}_t \end{bmatrix} \begin{bmatrix} \mathbf{V}_t \\ \mathbf{I}_t \end{bmatrix} = \begin{bmatrix} \mathbf{Q} \mathbf{I}_t \\ \mathbf{B} \mathbf{V}_t \end{bmatrix}. \quad (112)$$

Acesta este un sistem de ecuații în raport cu variabile mixte reprezentând tensiuni și curenți; și anume, tensiunile ramurilor și curenții joncțiunilor. Apar aici tot atâtea variabile câte laturi sînt în graf, ceea ce reprezintă prețul pe care trebuie să-l plătim. În partea din dreapta semnului egal, se poate face de asemenea o partiție a matricei \mathbf{Q} iar \mathbf{B}_t se poate înlocui prin $-\mathbf{Q}_t'$. Astfel, pentru o rețea dată, este suficient să se găsească matricea \mathbf{Q} și să se scrie relațiile tensiune-curent date de relația (109). Pentru aceste relații se cunosc matricea \mathbf{Q} , și submatricele parametrilor laturilor \mathbf{H} , așadar se pot scrie relațiile (112).

Se observă că atunci cînd nu apar dispozitive cu mai multe terminale în rețea, $\mathbf{H}_{12} = \mathbf{H}_{21} = 0$. În acest caz, după ce se separă ecuația matriceală (112) în două ecuații, dacă se substituie a doua ecuație în prima se ajunge la ecuațiile pe perechi de noduri; dacă se substituie prima ecuație în a doua se ajunge la ecuațiile pe bucle. Se propune cititorului să demonstreze adevărul acestor afirmații.

Forma ecuațiilor din relația (110) depinde de arborele ales. Orice latură R , L sau C admite atât o reprezentare prin impedanță cât și una prin admitanță și poate fi aleasă atât ca ramură cât și ca joncțiune (vezi tabelul 1). Giratorul are de asemenea ambele reprezentări, astfel cele două laturi ale sale pot fi atât ramuri cât și joncțiuni. Cu toate acestea, când tensiunea unei laturi se exprimă în funcție de curentul alteia, ambele laturi trebuie să fie sau ramuri sau joncțiuni.

Tabelul 2.2.

Dispozitivul	Tipul reprezentării	Ramură sau joncțiune	
		Latură de comandă	Latură comandată
Girator	Admitanțe sau impedanțe	Ramură sau joncțiune	Ramură sau joncțiune
Sursă de curent controlată în tensiune	Admitanțe	Ramură	Ramură
Sursă de tensiune controlată în curent	Impedanțe	Joncțiune	Joncțiune
Transformator ideal sau NIC	Parametri hibridi h sau g	Ramură sau joncțiune	Joncțiune sau ramură
Sursă de tensiune controlată în tensiune	Parametri hibridi g	Ramură	Joncțiune
Sursă de curent controlată în curent	Parametri hibridi h	Joncțiune	Ramură

Deoarece sursa de tensiune controlată în curent are numai reprezentare prin impedanță, ambele sale laturi trebuie să fie joncțiuni. Invers pentru sursa de curent controlată în tensiune : există numai o reprezentare prin admitanță, deci ambele sale laturi trebuie să fie ramuri. În cazul transformatorului ideal și al convertorului în imitanță negativă (NIC) există numai reprezentări hibride, dar sînt două posibilități : parametrii hibridi h sau parametrii hibridi g ; astfel, tensiunea de intrare și curentul de ieșire se pot exprima în funcție de tensiunea de ieșire și curentul de

intrare sau invers. Deci una dintre cele două laturi trebuie să fie o ramură, cealaltă o joncțiune și nu are importanță care este aceea. În fine, sursa de tensiune controlată în tensiune și sursa de curent controlată în curent au ambele numai reprezentări prin parametrii hibrizi. Pentru prima dintre acestea, curentul pe latura de comandă este bine determinat (fiind zero), așadar latura trebuie să fie o ramură; tensiunea pe latura comandată este determinată, așadar aceasta trebuie să fie o joncțiune. Situația este inversă pentru sursa de curent controlată în curent. Aceste rezultate sint prezentate sintetic în tabelul 2.2.

Deoarece există limitări în ceea ce privește posibilitățile de alegere (ramură sau joncțiune) a laturilor unor rețele ce conțin componente cu mai multe terminale, poate fi imposibil să se găsească un arbore care să permită fiecărei laturi să fie ceea ce indică tabelul 2.2. În acest caz, tratarea prezentată va fi abandonată.

Se observă că nu există un motiv pentru a scrie relațiile pe laturi în forma din (109). Ele pot fi scrise în formă inversă, după cum urmează :

$$\begin{bmatrix} \mathbf{I}_t \\ \mathbf{V}_t \end{bmatrix} = \begin{bmatrix} G_{11} & G_{12} \\ G_{21} & G_{22} \end{bmatrix} \begin{bmatrix} \mathbf{V}_t \\ \mathbf{I}_t \end{bmatrix}. \quad (113)$$

În acest caz denumirile de ramură și joncțiune care apar în ultimele două coloane ale tabelului 2.2 vor trebui să fie inversate. Aceasta face ca ecuațiile corespunzătoare relației (112) utilizând matricea G să fie mai complicate. Detaliile obținerii acestor ecuații nu vor fi abordate. În orice caz, dacă una dintre aceste reprezentări hibride eșuează, cealaltă va reuși¹⁾

Pentru a ilustra scrierea ecuațiilor cu variabile mixte, se consideră din nou rețeaua din fig. 2.28, care este redesenată aici în fig. 2.30. Un arbore posibil este arătat în graf prin linii îngroșate. În scopul comparației este făcută aceeași numerotare a laturilor ca și înainte, dar nu este cea naturală pentru arborele selectat; în scrierea ecuațiilor trebuie acordată atenție ordinii laturilor. Matricea mulțimii secțiunilor fundamentale luate în ordinea 1, a, 4, 5 este

$$Q = \begin{matrix} & 1 & a & 4 & 5 & & b & 2 & 3 \\ \begin{matrix} 1 \\ a \\ 4 \\ 5 \end{matrix} & \begin{bmatrix} 1 & 0 & 0 & 0 \\ 0 & 1 & 0 & 0 \\ 0 & 0 & 1 & 0 \\ 0 & 0 & 0 & 1 \end{bmatrix} & \begin{bmatrix} 0 & 1 & 0 \\ 0 & -1 & 1 \\ -1 & 0 & 0 \\ 1 & 0 & 0 \end{bmatrix} \end{matrix}, \quad Q_t = \begin{bmatrix} 0 & 1 & 0 \\ 0 & -1 & 1 \\ -1 & 0 & 0 \\ 1 & 0 & 0 \end{bmatrix}.$$

¹⁾ Problema poate fi rezolvată, chiar dacă ambele eșuează, printr-o transformare care folosește doi arbori. E clar, totuși, că eșecul ambelor reprezentări se poate produce numai pentru rețelele care au mai multe surse controlate într-o conexiune particulară. Deci necesitatea unei asemenea transformări este atât de rară încât nu sîntem îndreptățiți să continuăm discuția.

Pentru a scrie relațiile tensiune-curent în forma corespunzătoare relației (109), variabilele ramurilor și joncțiunilor sînt dispuse în matrice coloană în aceeași ordine ca și în matricea \mathbf{Q} . Astfel

$$\begin{bmatrix} V_b \\ V_2 \\ V_3 \\ \vdots \\ I_1 \\ I_a \\ I_4 \\ I_5 \end{bmatrix} = \begin{bmatrix} & & & \vdots & & \\ & \mathbf{Z}_l & & & \mathbf{H}_{12} & \\ & & & \vdots & & \\ \cdots & & & \cdots & & \\ & & & \vdots & & \\ & \mathbf{H}_{21} & & & \mathbf{Y}_l & \\ & & & \vdots & & \end{bmatrix} \begin{bmatrix} I_b \\ I_2 \\ I_3 \\ \vdots \\ V_1 \\ V_a \\ V_4 \\ V_5 \end{bmatrix}$$

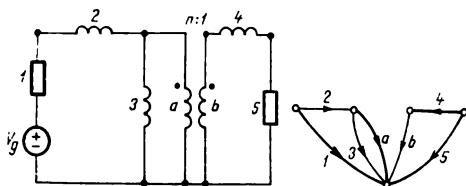


Fig. 2.30. Exemplu pentru ecuații cu variabile mixte.

Acum se cunoaște matricea \mathbf{H} . Singurele laturi care vor da termeni nesituați pe diagonală sînt acelea ale transformatorului. Ecuațiile corespunzătoare lor sînt $V_b = V_a/n$ și $I_a = -I_b/n$. Rezultă

$$\begin{bmatrix} V_b \\ V_2 \\ V_3 \\ \vdots \\ I_1 \\ I_a \\ I_4 \\ I_5 \end{bmatrix} = \begin{bmatrix} 0 & 0 & 0 & \vdots & 0 & 1/n & 0 & 0 \\ 0 & sL_2 & 0 & \vdots & 0 & 0 & 0 & 0 \\ 0 & 0 & sL_3 & \vdots & 0 & 0 & 0 & 0 \\ \cdots & & & \cdots & & & & \\ 0 & 0 & 0 & \vdots & G_1 & 0 & 0 & 0 \\ -1/n & 0 & 0 & \vdots & 0 & 0 & 0 & 0 \\ 0 & 0 & 0 & \vdots & 0 & 0 & 1/sL_4 & 0 \\ 0 & 0 & 0 & \vdots & 0 & 0 & 0 & G_5 \end{bmatrix} \begin{bmatrix} I_b \\ I_2 \\ I_3 \\ \vdots \\ V_1 \\ V_a \\ V_4 \\ V_5 \end{bmatrix}$$

Din această expresie sînt ușor de identificat submatricele \mathbf{H} .

În ceea ce privește sursele se presupune că nu există curenți inițiali prin bobine; astfel $I_g = 0$, și V_g este diferit de zero numai în primul

element, care este o ramură. Deci BV_g se reduce la $B_t V_{gt} = -Q_t V_{gt}$, unde, înlocuindu-se expresia obținută anterior pentru Q_t se obține

$$BV_g = -Q_t V_{gt} = \begin{bmatrix} 0 & 0 & 1 & -1 \\ -1 & 1 & 0 & 0 \\ 0 & -1 & 0 & 0 \end{bmatrix} \begin{bmatrix} -V_g \\ 0 \\ 0 \\ 0 \end{bmatrix} = \begin{bmatrix} 0 \\ V_g \\ 0 \end{bmatrix}.$$

Acum toate submatricele care intervin în relația (112) sînt determinate. Înlocuind în relație obținem

$$\begin{bmatrix} G_1 & 0 & 0 & 0 & \vdots & 0 & 1 & 0 \\ 0 & 0 & 0 & 0 & \vdots & -1/n & -1 & 1 \\ 0 & 0 & 1/sL_4 & 0 & \vdots & -1 & 0 & 0 \\ 0 & 0 & 0 & G_5 & \vdots & 1 & 0 & 0 \\ \dots & \dots & \dots & \dots & \dots & \dots & \dots & \dots \\ 0 & 1/n & 1 & -1 & \vdots & 0 & 0 & 0 \\ -1 & 1 & 0 & 0 & \vdots & 0 & sL_2 & 0 \\ 0 & -1 & 0 & 0 & \vdots & 0 & 0 & sL_3 \end{bmatrix} \begin{bmatrix} V_1 \\ V_a \\ V_4 \\ V_5 \\ \dots \\ I_b \\ I_2 \\ I_3 \end{bmatrix} = \begin{bmatrix} 0 \\ 0 \\ 0 \\ 0 \\ \dots \\ 0 \\ V_g \\ 0 \end{bmatrix}.$$

(Propunem cititorului să verifice acest rezultat). Aceasta este o ecuație matriceală de ordinul 7. Totuși, ea nu este atît de complicată pe cît se pare, deoarece în matricea coeficienților mulți termeni sînt zero.

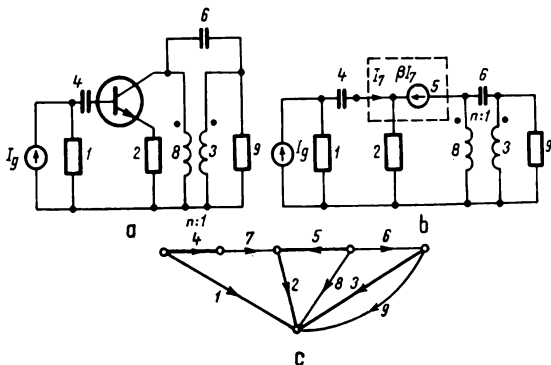


Fig. 2.31. Exemplu de circuit cu tranzistoare

Să considerăm încă un exemplu. În rețeaua din fig. 2.31, tranzistorul este un model simplu de sursă de curent controlată în curent, așa cum se arată în fig. 2.31 b. Liniile groase în graf reprezintă ca de obicei arborele. Latura 7 este latura de comandă a sursei. Conform tabelului 2.2, această latură trebuie să fie o joncțiune și latura controlată în curent (latura 5) trebuie să fie o ramură. Pentru transformatorul ideal o latură trebuie să fie o ramură și cealaltă o joncțiune. Odată ce laturilor componentelor cu mai multe terminale li se atribuie caracterul necesar (conform tabelului 2.2), celelalte laturi ale arborelui sînt bine determinate. Acum pot fi scrise relațiile pe laturi și matricea Q .

$$\begin{bmatrix} V_6 \\ V_7 \\ V_8 \\ V_9 \\ \dots \\ I_1 \\ I_2 \\ I_3 \\ I_4 \\ I_5 \end{bmatrix} = \begin{bmatrix} 1/sC_6 & 0 & 0 & 0 & \vdots & 0 & 0 & 0 & 0 & 0 \\ 0 & 0 & 0 & 0 & \vdots & 0 & 0 & 0 & 0 & 0 \\ 0 & 0 & 0 & 0 & \vdots & 0 & 0 & n & 0 & 0 \\ 0 & 0 & 0 & R_9 & \vdots & 0 & 0 & 0 & 0 & 0 \\ \dots & \dots & \dots & \dots & \dots & \dots & \dots & \dots & \dots & \dots \\ 0 & 0 & 0 & 0 & \vdots & G_1 & 0 & 0 & 0 & 0 \\ 0 & 0 & 0 & 0 & \vdots & 0 & G_2 & 0 & 0 & 0 \\ 0 & 0 & -n & 0 & \vdots & 0 & 0 & 0 & 0 & 0 \\ 0 & 0 & 0 & 0 & \vdots & 0 & 0 & 0 & sC_4 & 0 \\ 0 & \beta & 0 & 0 & \vdots & 0 & 0 & 0 & 0 & 0 \end{bmatrix} \begin{bmatrix} I_6 \\ I_7 \\ I_8 \\ I_9 \\ \dots \\ V_1 \\ V_2 \\ V_3 \\ V_4 \\ V_5 \end{bmatrix}$$

$$Q = \begin{bmatrix} 1 & 0 & 0 & 0 & 0 & 0 & 1 & 0 & 0 \\ 0 & 1 & 0 & 0 & 0 & 1 & -1 & 1 & 0 \\ 0 & 0 & 1 & 0 & 0 & -1 & 0 & 0 & 1 \\ 0 & 0 & 0 & 1 & 0 & 0 & -1 & 0 & 0 \\ 0 & 0 & 0 & 0 & 1 & 1 & 0 & 1 & 0 \end{bmatrix}, \quad Q_i = \begin{bmatrix} 0 & 1 & 0 & 0 \\ 1 & -1 & 1 & 0 \\ -1 & 0 & 0 & 1 \\ 0 & -1 & 0 & 0 \\ 1 & 0 & 1 & 0 \end{bmatrix}.$$

În ceea ce privește sursele, atribuim capacităților tensiunile inițiale v_{40} și v_{60} , respectiv. Acestea pot fi reprezentate ca surse de tensiune v_{40}/s și v_{60}/s . Matricele surselor sînt

$$I_s = \begin{bmatrix} I_s \\ 0 \\ 0 \\ 0 \\ 0 \\ \dots \\ 0 \\ 0 \\ 0 \\ 0 \end{bmatrix}, \quad V_s = \begin{bmatrix} V_{s1} \\ V_{s1} \\ \dots \\ V_{s1} \\ V_{s1} \\ 0 \\ 0 \\ 0 \end{bmatrix} = \begin{bmatrix} 0 \\ 0 \\ 0 \\ v_{40}/s \\ 0 \\ \dots \\ v_{60}/s \\ 0 \\ 0 \\ 0 \end{bmatrix}.$$

Deci \mathbf{QI}_o devine $\mathbf{I}_{v_l} = [I_o \ 0 \ 0 \ 0 \ 0]'$ și \mathbf{BV}_o devine $-\mathbf{Q}'_l \mathbf{V}_{o_l} + \mathbf{V}_{o_l} = [v_{60}/s \ v_{40}/s \ 0 \ 0]'$.

După introducerea acestora în relația (112) se obțin ecuațiile finale

$$\begin{bmatrix} G_1 & 0 & 0 & 0 & 0 & 0 & 1 & 0 & 0 \\ 0 & G_2 & 0 & 0 & 0 & 1 & -1 & 1 & 0 \\ 0 & 0 & 0 & 0 & 0 & -1 & 0 & -n & 1 \\ 0 & 0 & 0 & sC_4 & 0 & 0 & -1 & 0 & 0 \\ 0 & 0 & 0 & 0 & 0 & 1 & \beta & 1 & 0 \\ 0 & -1 & 1 & 0 & -1 & 1/sC_6 & 0 & 0 & 0 \\ -1 & 1 & 0 & 1 & 0 & 0 & 0 & 0 & 0 \\ 0 & -1 & n & 0 & -1 & 0 & 0 & 0 & 0 \\ 0 & 0 & -1 & 0 & 0 & 0 & 0 & 0 & R_9 \end{bmatrix} \begin{bmatrix} V_1 \\ V_2 \\ V_3 \\ V_4 \\ V_5 \\ I_6 \\ I_7 \\ I_3 \\ I_9 \end{bmatrix} = \begin{bmatrix} I_o \\ 0 \\ 0 \\ 0 \\ 0 \\ v_{60}/s \\ v_{40}/s \\ 0 \\ 0 \end{bmatrix}$$

Dimensiunile matricei pot apărea impresionante, dar trebuie să observăm că termenii nenului sînt destul de puțini.

Pentru a rezuma caracteristicile ecuațiilor cu variabile mixte, după selecția unui arbore relațiile tensiune-curent pe laturi se scriu sub forma unei singure ecuații matriceale în care curenții ramurilor și tensiunile joncțiunilor sînt exprimați funcție de tensiunile ramurilor și curenții joncțiunilor. Apoi se aplică TKC mulțimii secțiunilor fundamentale corespunzătoare arborelui ales și TKT buclelor fundamentale pentru a elimina curenții ramurilor și tensiunile joncțiunilor. Relațiile rezultate se aranjează pentru a obține un sistem de ecuații în raport cu tensiunile ramurilor și curenții joncțiunilor. Numărul de ecuații este egal cu numărul laturilor, și este același cu suma dintre numărul ecuațiilor pe bucle și numărul ecuațiilor pe noduri. Acesta este dezavantajul principal al procedurii. Avantajul constă în aceea că dispozitivele cu mai multe terminale sînt încadrate prin reprezentarea lor naturală.

Se poate face încă o observație. În alegerea arborelui nu apar restricții decît în cazul dispozitivelor cu mai multe terminale. Dispozitivele cu două terminale pot să apară fie în arbore fie în coarboare întrucît ecuațiile respective nu fac distincție între condensatoare, bobine și rezistențe. Așa cum vom arăta într-un capitol următor, situația se schimbă atunci cînd se scriu ecuațiile de stare, întrucît acolo există motive ca bobinele și condensatoarele să fie atribuite într-un mod bine precizat fie arborelui, fie coarboarelui.

PROBLEME

P1. Cînd s-au scris ecuațiile de stare pentru rețeaua în punte din fig. 2.2, s-au introdus relațiile pe laturi în TKT pentru a elimina toate tensiunile pe laturi, cu excepția tensiunii pe condensator. Apoi s-au folosit TKC pentru a elimina curenții unor laturi. Acum, plecînd

de la TKC și utilizând relațiile pe laturi se cere să se elimine curenții adecvați. Apoi se va folosi TKT pentru a elimina tensiunile unor laturi. Rezultatul final trebuie să coincidă cu cel din relația (10)

P 2. Fie A_l o submatrice nesingulară de ordinul n a matricei de incidență pentru un graf liniar cu $n + 1$ noduri. Să se arate că coloanele matricei A_l corespund cu ramurile unui arbore. (Aceasta este reciprocă teoremei de la pag. 87).

P 3. Fie un graf liniar în care câteva laturi formează o buclă. Să se arate că coloanele corespunzătoare laturilor respective din matricea A sînt liniar dependente.

P 4. Să se arate că orice mulțime compusă din n laturi ale unui graf conex care nu conține nici o buclă formează un arbore.

P 5. Se poate face o partiție a matricei de incidență a unui graf de forma $A = [A_l \ A_t]$ unde coloanele din A_l corespund ramurilor iar coloanele din A_t corespund joncțiunilor unui arbore. Submatricea A_l este nesingulară; în anumite cazuri ea poate fi o matrice unitate. Care trebuie să fie structura arborelui pentru ca $A_t = U$? Să se demonstreze și să se ilustreze cu un exemplu.

P 6. Fie B_l o submatrice nesingulară de ordinul $l - n$ a matricei buclilor B care are dimensiunile $(l - n) \times l$. Să se demonstreze că coloanele din B_l corespund joncțiunilor pentru un coarbore al grafului care este presupus conex.

P 7. Un graf liniar are cinci noduri și șapte laturi. Matricea de incidență redusă pentru acest graf este

$$A = \begin{bmatrix} 1 & 1 & 0 & 0 & 0 & 0 & 1 \\ -1 & -1 & 1 & 0 & 0 & 0 & 0 \\ 0 & 0 & -1 & 1 & 0 & 0 & 0 \\ 0 & 0 & 0 & -1 & -1 & -1 & 0 \end{bmatrix}.$$

(a) Se afirmă că laturile $\{1, 3, 4, 5\}$ constituie un arbore. Fără să se deseneze graful să se verifice adevărul acestei afirmații.

(b) Pentru acest arbore să se scrie matricea buclilor fundamentale B_f (din nou fără a desena graful).

(c) Pentru un arbore oarecare să se determine matricea secțiunilor fundamentale Q_f (fără a desena graful).

(d) Să se determine numărul arborilor din graf.

(e) Să se deseneze graful și să se verifice rezultatele precedente.

P 8. Să se repete problema 7 pentru următoarele matrice de incidență și pentru laturile menționate:

$$(a) \quad A = \begin{bmatrix} 0 & 0 & 1 & 1 & 1 & 0 & -1 \\ 0 & 1 & 0 & 0 & -1 & 1 & 1 \\ -1 & 0 & -1 & 0 & 0 & -1 & 0 \end{bmatrix} \quad \text{laturi: } \{2, 3, 4\}$$

$$(b) \quad A = \begin{bmatrix} 0 & 0 & -1 & 1 & 1 & 0 & 0 & -1 \\ 0 & 1 & 0 & 0 & 0 & 1 & 0 & 1 \\ 0 & -1 & 0 & 0 & 0 & 0 & -1 & 0 \\ -1 & 0 & 0 & -1 & 0 & 0 & 1 & 0 \end{bmatrix} \quad \text{laturi: } \{1, 3, 5, 6\}$$

P 9. Să se demonstreze următoarea afirmație: într-un graf liniar orice mulțime de secțiuni are un număr par de laturi comune cu orice buclă.

P 10. Pentru $A = [A_t \ A_l]$ și $B_f = [B_t \ U]$ se știe că $B_t = -(A_t^{-1} A_l)'$. Astfel pentru a obține B_f trebuie să dispunem de A_t^{-1} . Care din matricele de mai jos sînt recomandabile a fi utilizate drept A_t^{-1} ?

$$(a) \quad A_t^{-1} = \begin{bmatrix} 0 & -1 & 0 \\ 1 & 1 & 0 \\ 0 & 0 & 1 \end{bmatrix}, \quad (b) \quad A_t^{-1} = \begin{bmatrix} 1 & 0 & 1 \\ 0 & 1 & -1 \\ 1 & -1 & 0 \end{bmatrix},$$

$$(c) \quad A_t^{-1} = \begin{bmatrix} 1 & -1 & 0 \\ 0 & 1 & -1 \\ 0 & 0 & 1 \end{bmatrix}.$$

P 11. Fie $A = [A_t \ A_l]$, unde A_t este o matrice nesingulară. Să se demonstreze că elementele nenule din fiecare linie a matricei A_t^{-1} trebuie să fie toate de același semn.

P 12. Se definește matricea căilor unui arbore $P = [p_{ij}]$ după cum urmează:
 $p_{ij} = +1$ (sau -1) dacă latura j face parte din calea directă (unică) din arbore între nodul i și nodul de referință iar orientarea sa coincide (sau este opusă) cu orientarea căii, și $p_{ij} = 0$ dacă latura j nu face parte din calea respectivă. Matricea căilor este o matrice pătrată ale cărei linii corespund căilor dintre nodurile respective și nodul de referință iar coloanele corespund ramurilor; de exemplu, elementele nenule care apar să zicem, în coloana a treia, precizează căile din care face parte ramura 3; iar elementele nenule care apar, să zicem, în linia a patra, precizează ramurile care intervin în calea de la nodul 4 la nodul de referință. Să se scrie matricea căilor pentru fiecare din arborii: $\{2, 5, 6, 8, 9\}$, $\{1, 3, 9, 10, 12\}$ și $\{1, 6, 7, 8, 11\}$ care apar în graful din fig. 2. P.12.

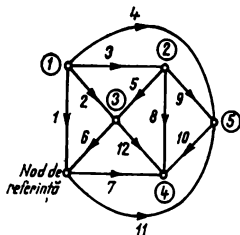


Fig. 2. P.12.

P 13. Când se calculează matricele B_f sau Q_f plecînd de la matricea de incidență este necesar să se calculeze A_t^{-1} . Este deci necesară o metodă simplă de calcul. Să se arate că $A_t^{-1} = P'$, unde P este matricea căilor pentru arborele ale cărui ramuri corespund coloanelor din matricea A_t .

P 14. Utilizînd rezultatele din Problema 13 să se determine A_t^{-1} pentru arborii din Problema 12. Să se verifice rezultatul prin calculul produsului $A_t P'$. În fiecare caz să se verifice rezultatul din Problema 11.

P 15. (a) Două laturi apar în paralel într-un graf. Să se găsească relațiile între coloanele corespunzătoare acestor laturi din matricea Q_f .

(b) Aceeași problemă pentru două laturi în serie.

P 16. Fie $Q_f = [U \ Q_l]$. Presupunem că în matricea Q_l , pe coloana j apare un singur element nenul pe linia k . Ce se poate spune despre structura grafului în ceea ce privește laturile j și k ?

- P 17.** Fie $Q_f = [U \ Q_f]$ și $B_f = [B_f \ U]$. Se presupune că se dă matricea Q_f pentru un graf.
 (a) Să se determine matricea B_f pentru graful respectiv;
 (b) Să se discute posibilitatea de a determina matricea A pentru graful respectiv și unicitatea acestui graf atunci cînd se dă matricea Q_f sau B_f .

P 18. Să se determine numărul de arbori pentru grafurile din fig. 2.P.18.

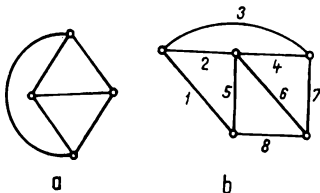


Fig. 2.P.18.

P 19. Să se arate că un graf conține cel puțin o buclă dacă două sau mai multe laturi sînt incidente la fiecare nod.

P 20. Să se arate că matricea ochiurilor pentru un graf conex cu l laturi și $n + 1$ noduri este de rang $l - n$. Aceasta arată că o bază potrivită pentru a reprezenta curenții tuturor eaturilor o formează curenții ochiurilor.

P 21. Utilizînd conceptul de dualitate să se arate că ecuațiile scrise pe baza TKT pentru ochiurile unui graf planar sînt liniar independente.

P 22. Într-un graf latura l reprezintă o ramură a unui arbore. Mulțimea secțiunilor fundamentale determinată de l conține o mulțime de joncțiuni l_1, l_2, \dots corespunzătoare acestui arbore. Fiecare din aceste joncțiuni definesc o buclă fundamentală. Să se arate că fiecare din buclele fundamentale formate cu joncțiunile l_1, l_2, \dots conține ramura l .

P 23. Fie B matricea buclelor formate din ochiurile grafului din fig. 2. P.23.

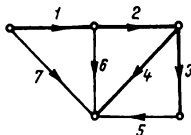


Fig. 2.P.23.

(a) Să se calculeze $B'(B_i^{-1})'$ și să se verifice că curenții laturilor sînt corect exprimați în funcție de curenții joncțiunilor pentru arborele arătat în figură.

(b) Pentru același arbore să se determine direct B_i și să se verifice că $B_i = B'(B_i^{-1})'$.

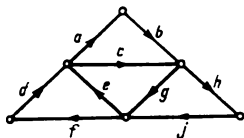
(c) Să se verifice transformarea pe ochiuri.

P 24. În graful din fig. 2. P.18 b, laturile $\{2, 3, 7, 6\}$ formează o buclă. Să se verifice rezultatul problemei 3 pentru această mulțime de laturi.

P 25. În graful din fig. 2. P.18 b laturile $\{2, 4, 5, 6\}$ formează un arbore. Se cere partiția matricei A de forma $[A_f \ A_t]$ utilizînd acest arbore. Apoi, pentru $B_f = [B_f \ U]$ și $Q_f = [U \ Q_f]$ să se determine B_f și Q_f și să se verifice relația $B_f = -Q_f'$.

P 26. E posibil ca două bucle fundamentale dintr-un graf, pentru un arbore dat să aibă ramuri și noduri comune. Să se arate că e posibil ca două bucle fundamentale să aibă două noduri comune, numai dacă calea dintre cele două noduri în arbore este comună celor două bucle.

P 27. În fig. 2 P.27 apar următoarele bucle :



bucula 1 : a, e, g, b
 bucla 2 : d, c, g, f
 bucla 3 : a, d, f, j, h, b
 bucla 4 : e, c, h, j

Fig. 2.P.27.

(a) Ecuațiile scrise pe baza TKT pentru aceste bucle sînt independente?

(b) Se cere (1) să se găsească o mulțime de joncțiuni care formează bucle fundamentale ce constituie ochiuri ale grafului sau (2) să se arate că nu există o astfel de mulțime.

P 28. Într-o rețea liniară se definește puterea din latura j prin $p_j(t) = v_j(t)i_j(t)$ unde notațiile sînt cele uzuale.

(a) Pentru o rețea dată, unde TKC și TKT sînt satisfăcute, să se arate că $\sum v_j(t) = v(t)I(t) = 0$, unde suma se face pentru toate laturile rețelei. Relația $v^T I = 0$ se numește *teorema lui Tellegen*.

(b) Se presupune că teorema lui Tellegen și TKT sînt satisfăcute. Să se arate că TKC rezultă ca o consecință.

(c) Se presupune că teorema lui Tellegen și TKC sînt satisfăcute. Să se arate că TKT rezultă ca o consecință. Această problemă demonstrează că din cele trei teoreme TKC, TKT și teorema lui Tellegen oricare două pot fi considerate drept fundamentale ; a treia poate fi dedusă ca o consecință.

P 29. Să se construiască rețelele duale pentru rețelele din fig. 2.P.29. Numerele care apar în figură reprezintă valorile elementelor R, L, C .

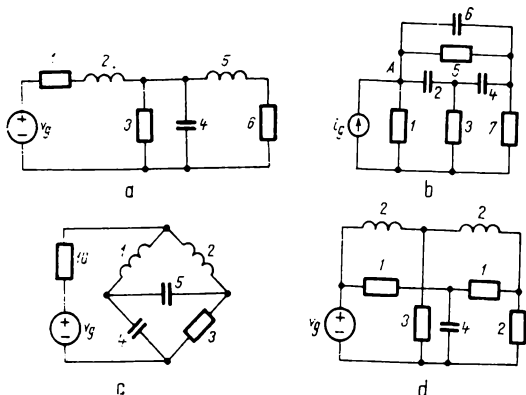


Fig. 2.P.29.

P 30. (a) Dacă într-un graf două laturi apar în paralel sau în serie cum sînt laturile corespunzătoare din graf dual?

Să se verifice pentru fig. 2.P.29.

(b) În fig. 2.P.30 se reprezintă rețeaua din fig. 2. P.29 *b*. În interiorul chenarului se află rețeaua în T podit.

Cum arată subrețeaua corespunzătoare din rețeaua duală?

(c) Care este structura rețelei duale pentru rețeaua în punte din fig. 2. P.29 *c*?

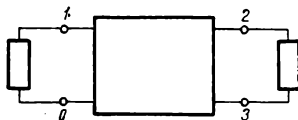


Fig. 2.P.30.

P 31. Pentru rețelele din fig. 2.P.29 să se scrie ecuațiile pe bucle utilizînd ochiurile drept bucle și curenții ochiurilor drept bază pentru mulțimea curenților. Pentru care din aceste rețele ochiurile reprezintă bucle fundamentale pentru un arbore dat? Alegînd alt arbore decît cel de la punctul precedent să se scrie ecuațiile pe bucle, pentru buclele fundamentale.

P 32. Pentru rețelele din fig. 2.P.29 se alege nodul inferior drept nod de referință. Să se scrie ecuațiile pe noduri.

P 33. Pentru rețelele din fig. 2.P.29 să se aleagă un arbore și să scrie ecuațiile pe perechi de noduri cu tensiunile ramurilor acestui arbore drept variabile de bază.

P 34. Se dă rețeaua din fig. 2.P.34.

(a) Să se scrie ecuațiile pe perechi de noduri pentru arborele din figură.

(b) Să se scrie ecuațiile pe noduri alegînd un nod de referință convenabil.

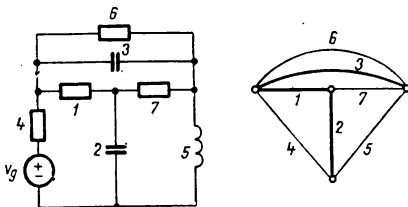


Fig. 2.P.34.

P 35. Pentru rețeaua din fig. 2.P.29 să se scrie ecuațiile pe noduri și să se verifice că matricea admitanță a nodurilor devine singulară cînd $G_1 = (k - 1)G_2$.

P 36. În fig. 2. P.36 este reprezentată o rețea pentru care matricea admitanță a nodurilor sau matricea impedanță a buclelor pot fi singulare. Să se determine relațiile dintre parametrii, care determină aceste singularități.

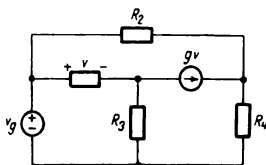


Fig. 2.P.36.

P.37. Pentru rețeaua din fig. 2.P.37 să se scrie sub formă matriceală :

- (a) ecuațiile pe noduri;
- (b) ecuațiile în variabile mixte;
- (c) să se arate care sînt toți arborii din graful respectiv.

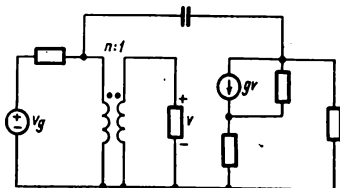


Fig. 2.P.37.

P 38. Pentru rețeaua din fig. 2.P.38 să se scrie (a) ecuațiile pe bucle, (b) ecuațiile în variabile mixte (utilizînd circuitul echivalent liniar pentru diodă la semnale mici) și (c) să se arate care sînt toți arborii posibili.

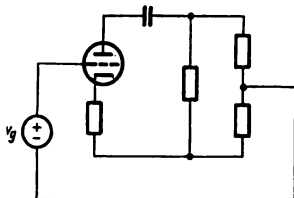


Fig. 2.P.38.

P 39. Să se găsească toți arborii posibili pentru care se pot scrie ecuațiile în variabile mixte în cazul rețelei din fig. 2.31.

P 40. Să se arate că matricea impedanță a buclelor $Z_m = B_z Z B_z'$ poate fi scrisă sub forma $Z_l + Q_l' Z_l Q_l$, unde s-a făcut o partiție convenabilă pentru matricele $Q_l = [U \ Q_l]$ și Z .

P 41. Să se arate că pentru rețelele R , L , C ecuațiile în variabile mixte din relația (112) pot fi transformate în ecuațiile pe bucle sau în ecuațiile pe perechi de noduri.

În următoarele 6 probleme se cere pregătirea unui program de calculator care să servească la obținerea soluțiilor unor anumite probleme. În fiecare caz se va elabora programul sub formă de organigramă, precum și lista de instrucțiuni corespunzătoare într-un limbaj uzual, cum este FORTRAN 4, pentru un calculator numeric care să execute lucrarea specificată în problemă. Se vor include și indicațiile de utilizare a programului.

***P 42.** Să se pregătească un program pentru a identifica un arbore dintr-un graf conex cînd fiecare latură și orientarea ei în graf sînt specificate prin trei numere: primul număr identifică latura, al doilea identifică nodul din care pleacă iar al treilea identifică nodul în care sosește. Programul trebuie să renumereze de asemenea laturile astfel încît ramurile să fie numerotate de la 1 la n , iar joncțiunile de la $n + 1$ la l . Un exemplu tipic de asemenea date ne oferă fig. 2.P.42.

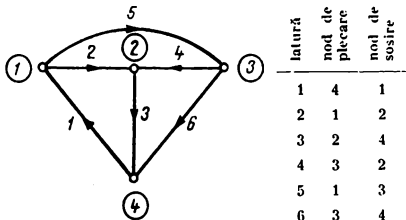


Fig. 2.P.42.

***P 43.** Să se pregătească un program pentru a determina matricea redusă de incidență pentru o rețea conexă avînd drept date inițiale datele din Problema 42.

***P 44.** Să se pregătească un program pentru a determina:

(a) matricea buclelor fundamentale din relația (34);

(b) matricea secțiunilor fundamentale din relația (43);

Datele pentru această problemă sînt cele din Problema 43.

***P 45.** Să se pregătească un program pentru a determina numărul de arbori dintr-o rețea pe baza relației (20). Se va specifica formatul datelor inițiale.

***P 46.** Să se pregătească un program pentru a determina pentru o rețea R , L , C :

(a) matricea admitanță a nodurilor;

(b) matricea impedanță a buclelor;

(c) matricea admitanță între perechi de noduri,

utilizînd: (1) matricele parametrilor între perechi de noduri din relația (91), (2) matricele parametrilor buclelor din relația (83) și (3) matricele parametrilor între perechi de noduri din relația (99) respectiv. Se presupune că datele de intrare sînt prezentate printr-o secvență de cinci numere: primul identifică latura, al doilea identifică nodul de plecare, al treilea identifică nodul de sosire, al patrulea identifică tipul laturii (1 pentru C , 2 pentru R și 3 pentru L) al cincilea este valoarea parametrului laturii. Se presupune că (1) matricea redusă de incidență, (2) matricea buclelor fundamentale și (3) matricea secțiunilor fundamentale au fost evaluate prin programele din Problemele 43 și 44.

***P 47.** Să se combine programele din Problemele 43, 44 și 46 într-un singur program, care să permită determinarea matricei admitanță a nodurilor, matricei impedanță a buclelor și/sau matricei admitanță între perechi de noduri pentru o rețea R , L , C corespunzător opțiunii beneficiarului.

3

Funcții de circuit (rețea)

În ultimul capitol s-au descris un număr de metode sistematice, aplicându-se legile fundamentale din teoria circuitelor, pentru obținerea unor seturi de ecuații ca ecuațiile pe contur, la noduri, la perechi de noduri sau ecuații cu variabile mixte. Desigur, aceste metode nu sînt, în mod necesar, simple de utilizat în toate problemele. În multe probleme referitoare la circuite de complexitate structurală moderată, simpla aplicare a unor proprietăți sau teoreme (Norton, Thévenin etc.), poate conduce, fără îndoială, la rezolvarea problemei, mult mai ușor decît scrierea și rezolvarea de exemplu a setului de ecuații pe contur.

Ecuațiile la care conduc metodele sistematice descrise sînt diferențiale sau integrodiferențiale. Se pot folosi metodele clasice de rezolvare a lor, dar în continuare se presupune că soluțiile vor fi obținute cu ajutorul transformatei Laplace.

Presupunînd că un circuit și transformatele Laplace ale ecuațiilor ce descriu comportarea sa sînt accesibile, să ne întoarcem la soluția acestor ecuații și la funcțiile de circuit care descriu comportarea circuitului.

3.1. FUNCȚII DE INTRARE ȘI DE TRANSFER

Fiind dat un circuit liniar, invariabil în timp, excitat de un număr de surse independente de curent și tensiune, cu valori inițiale arbitrare pentru tensiunile pe capacități și curenții prin bobine (care pot fi de asemenea reprezentate ca surse independente), se poate scrie un set de ecuații pe contur, la noduri sau la perechi de noduri. Circuitul poate fi

nereciproce sau poate să nu fie pasiv. În formă matriceală aceste ecuații vor fi toate similare. Astfel :

$$\mathbf{Z}_m(s) \mathbf{I}_m(s) = \mathbf{E}(s) \text{ (contur)} \quad (1a)$$

$$\mathbf{Y}_n(s) \mathbf{V}_n(s) = \mathbf{J}(s) \text{ (nod)} \quad (1b)$$

$$\mathbf{Y}_t(s) \mathbf{V}_t(s) = \mathbf{J}_t(s) \text{ (perechi de noduri)} \quad (1c)$$

Membrul drept al acestor ecuații conține contribuțiile surselor, inclusiv ale surselor echivalente condițiilor inițiale nenule; de exemplu, $\mathbf{J} = [\mathbf{J}_i]$, unde \mathbf{J}_i este suma surselor de curent, inclusiv echivalentele Norton a surselor de tensiune.

Soluția simbolică a acestor ecuații se obține simplu prin multiplicarea fiecărei ecuații cu inversa matricei corespunzătoare a coeficienților. Astfel :

$$\mathbf{I}_m(s) = \mathbf{Z}_m^{-1} \mathbf{E}(s), \quad (2a)$$

$$\mathbf{V}_n(s) = \mathbf{Y}_n^{-1} \mathbf{J}(s), \quad (2b)$$

$$\mathbf{V}_t(s) = \mathbf{Y}_t^{-1} \mathbf{J}_t(s). \quad (2c)$$

Fiecare din aceste ecuații are aceeași formă. Pentru ilustrare, se dă forma dezvoltată a ecuației (2b). Astfel :

$$\begin{bmatrix} V_1 \\ V_2 \\ \vdots \\ V_m \end{bmatrix} = \begin{bmatrix} \frac{\Delta_{11}}{\Delta} & \frac{\Delta_{21}}{\Delta} & \dots & \frac{\Delta_{m1}}{\Delta} \\ \frac{\Delta_{12}}{\Delta} & \frac{\Delta_{22}}{\Delta} & \dots & \frac{\Delta_{m2}}{\Delta} \\ \vdots & \vdots & & \vdots \\ \frac{\Delta_{1m}}{\Delta} & \frac{\Delta_{2m}}{\Delta} & \dots & \frac{\Delta_{mm}}{\Delta} \end{bmatrix} \begin{bmatrix} J_1 \\ J_2 \\ \vdots \\ J_m \end{bmatrix}, \quad (3)$$

unde Δ este determinantul matricei admitanțelor, iar Δ_{jk} sint cofactorii acesteia.

Deci, pentru nodul k , expresia tensiunii V_k va fi :

$$V_k(s) = \frac{\Delta_{1k}}{\Delta} J_1 + \frac{\Delta_{2k}}{\Delta} J_2 + \dots + \frac{\Delta_{mk}}{\Delta} J_m. \quad (4)$$

Din relația (4) rezultă că tensiunea unui nod este o combinație liniară de surse echivalente. Sursele $J : (J_1, J_2, \dots, J_m)$ nu sînt surse actuale; de exemplu, pentru circuitul din fig. 3.1, presupunînd condiții inițiale nule, matricea J va fi :

$$\mathbf{J} = \begin{bmatrix} J_1 \\ J_2 \\ J_3 \end{bmatrix} = \begin{bmatrix} I_{g2} + Y_1 V_{g1} \\ -I_{g2} + I_{g3} \\ -Y_1 V_{g1} \end{bmatrix}.$$

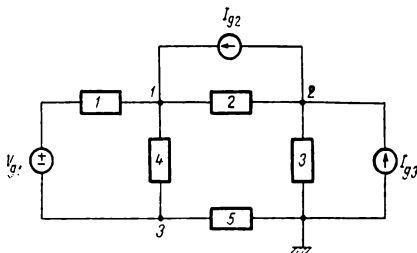


Fig. 3.1. Reprezentarea surselor echivalente.

Dacă se substituie pentru \mathbf{J} expresiile corespunzătoare în funcție de sursele actuale, rezultă clar că relația (4) poate fi aranjată astfel încît V_k să fie o combinație liniară a surselor actuale. Astfel, pentru fig. 3.1, expresia lui V_k va fi :

$$V_k(s) = \left(\frac{Y_1 \Delta_{1k} - Y_1 \Delta_{3k}}{\Delta} \right) V_{g1} + \left(\frac{\Delta_{1k} - \Delta_{2k}}{\Delta} \right) I_{g2} + \left(\frac{\Delta_{2k}}{\Delta} \right) I_{g3}. \quad (5)$$

Ca regulă generală se poate spune că transformata Laplace a oricărui răspuns poate fi scrisă ca o combinație liniară a transformatelor Laplace a excitațiilor. Coeficienții acestor combinații liniare sînt ei înșiși combinații a unor funcții de variabila complexă s . Aceste funcții sînt rapoarte a doi determinanți, numitorul fiind determinantul lui \mathbf{Z}_m , \mathbf{Y}_n sau \mathbf{Y}_t , iar numărătorul fiind un cofactor al acestor matrice. De exemplu, în relația (5) determinantul de la numitor este $\det \mathbf{Y}_n$, iar coeficientul lui I_{g2} este o diferență între două astfel de rapoarte de determinanți.

Odată cunoscute funcțiile care leagă orice transformată (Laplace) a răspunsului unui circuit de orice transformată a excitației (V sau I),

poate fi determinat răspunsul la orice excitație dată. Astfel, în relația (5), cunoașterea expresiilor din paranteze este suficientă pentru a se determina răspunsul $V_k(s)$ pentru orice valori date lui V_{e1} , I_{e2} și I_{e3} .

Vom defini în general ca *funcție de circuit* raportul dintre transformata Laplace a răspunsului și transformata Laplace a excitației unui circuit. Atât răspunsul cit și excitația pot fi curenți sau tensiuni. Dacă răspunsul și excitația se referă la aceleași terminale (în care caz unul trebuie să fie o tensiune, iar celălalt un curent), atunci funcția se numește o *funcție de intrare* fie de impedanță, fie de admitanță.

Dacă excitația și răspunsul se referă la terminale diferite, atunci funcția este o *funcție de transfer*.

Funcții de intrare

Pentru precizarea noțiunii să considerăm fig. 3.2, a în care este pusă în evidență numai o pereche de terminale la care pot fi făcute conexiuni externe. Vom presupune că:

- 1) circuitul nu conține surse independente;
- 2) este inițial relaxat — (valorile inițiale ale tensiunilor pe condensatoare și ale curenților prin bobine sînt nule).

Prin „*impedanță de intrare*” și „*admitanță de intrare*” la o pereche de terminale a unui circuit înțelegem:

$$Z(s) = \frac{V_1(s)}{I_1(s)}, \quad \text{și} \quad Y(s) = \frac{I_1(s)}{V_1(s)} = \frac{1}{Z(s)}, \quad (6)$$

unde V_1 și I_1 sînt transformatele Laplace ale tensiunii și curentului la terminale, cu sensurile de referință ca în fig. 3.2. În această definiție nu s-a făcut nici o precizare privind modul de excitație sau conectare la perechea de terminale a circuitului. Condițiile ca circuitul să nu conțină surse independente, iar inițial să fie un circuit relaxat, sînt esențiale pentru

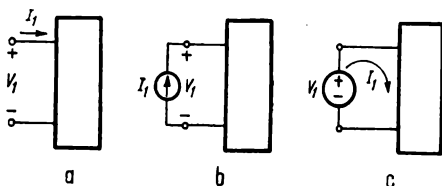


Fig. 3.2. Funcții de intrare.

definiția impedanței sau admitanței de intrare. Este clar că, dacă circuitul conține surse independente sau condiții inițiale nenule (inițial, „nerelaxat”), atunci Z sau Y pot avea diferite valori în funcție de ce este conectat la perechea de terminale și deci impedanța sau admitanța de intrare, nu va mai fi o caracteristică invariantă proprie circuitului. O altă observație este că nu s-a făcut nici o precizare asupra naturii funcțiilor de timp $v_1(t)$ și $i_1(t)$; definiția lui Z sau Y cuprinde raportul transformatorilor lor Laplace. Să ne întoarcem la calculul lui Z și Y pentru un circuit presupus inițial că nu conține „dispozitive” *nepasive* sau *nereciproce*. Să scriem ecuațiile la noduri pentru un circuit excitat de o sursă de curent ca în fig. 3.2, *b*. În aceste condiții, soluția pentru V_1 poate fi obținută din (4) în care J_1 este nenul și are valoarea I_1 . Astfel, pentru impedanță vom găsi:

$$Z(s) = \frac{V_1(s)}{I_1(s)} = \frac{\Delta_{11}(s)}{\Delta(s)} \quad (7)$$

unde Z este *impedanța de intrare* la terminalele circuitului. În relația (7) notația \downarrow este folosită pentru a indica că este determinantul ecuațiilor la noduri.

O formulă duală pentru admitanța de intrare Y poate fi obținută imediat considerind că circuitul este excitat de o sursă de tensiune ca în fig. 3.2, *c*; se scriu, deci, un set de ecuații pe contur.

Soluția setului de ecuații pe contur va avea aceeași formă ca (3), cu deosebirea că sursele vor fi surse de tensiune echivalente E_k (a căror valori vor fi inițial toate nule în afara unei singure surse ce va fi V_1), iar variabilele vor fi curenții pe contur.

Rezolvînd sistemul în raport cu I_1 , rezultă:

$$Y(s) = \frac{I_1(s)}{V_1(s)} = \frac{\Delta_{11}(s)}{\Delta(s)} \quad (8)$$

unde Y este *admitanța de intrare* iar notația \downarrow evidențiază că Δ este determinantul matricei impedanțelor de contur.

Relațiile (7) și (8) sînt utile pentru calculul lui Z și Y dar trebuie reamintit că ele se aplică în cazul cînd nu există surse controlate sau alte astfel de dispozitive. Ele pot fi de asemenea aplicate în unele cazuri cînd sursele controlate sînt prezente, dar nu întotdeauna.

Ca o ilustrare a unui caz simplu, în care (7) și (8) nu se aplică cînd este prezentă o sursă controlată, să considerăm etajul de amplificare cu grila la masă reprezentat în fig. 3.3, *a*. Modelul liniar este arătat în fig. 3.3, *b*, în care apare sursa de tensiune controlată,

Deoarece aceasta nu are o reprezentare sub formă fie a unei impedanțe fie a unei admitanțe, să exprimăm sursa de tensiune controlată V în funcție de un curent printr-o latură; din fig. 3.3, b expresia corespunzătoare este $V = R_k I_5 - V_1$. Cu această expresie înlocuim sursa de tensiune controlată, latura care controlează chiar nefiind arătată în graful din fig. 3.3, c . Relația $V - I$ în latura controlată (latura 2 în graful din fig. 3.3, c) este $V_2 = \mu V = \mu R_k I_5 - \mu V_1$. Această relație dă laturii o reprezentare sub formă unei impedanțe. Arborele reprezentat cu linii groase în fig. 3.3, c a fost ales astfel ca sursa de excitație să apară într-un

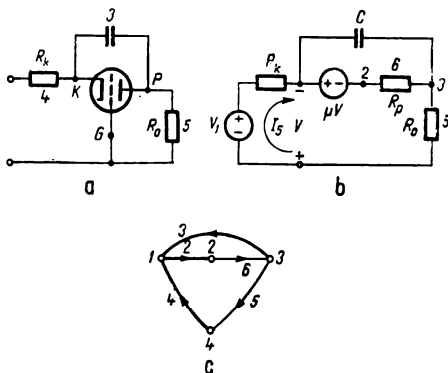


Fig. 3.3. Amplificator cu grila la masă.

singur contur (ochi). Matricea de contur \mathbf{B} , matricea impedanțelor laturilor \mathbf{Z} , matricea surselor de tensiune \mathbf{V}_s , pot fi scrise astfel:

$$\mathbf{Z} = \begin{bmatrix} 0 & 0 & \mu R_k & 0 & 0 \\ 0 & \frac{1}{sC} & 0 & 0 & 0 \\ 0 & 0 & R_k & 0 & 0 \\ 0 & 0 & 0 & R_o & 0 \\ 0 & 0 & 0 & 0 & R_p \end{bmatrix}, \quad \mathbf{V}_s = \begin{bmatrix} \mu V_1 \\ 0 \\ V_1 \\ 0 \\ 0 \end{bmatrix}, \quad \mathbf{B} = \begin{bmatrix} 0 & -1 & 1 & 1 & 0 \\ 1 & 1 & 0 & 0 & 1 \end{bmatrix}$$

Ecuatiile de contur ($\mathbf{BZB}'\mathbf{I}_m = \mathbf{BV}_g$) devin în acest caz :

$$\begin{bmatrix} R_k + R_0 + \frac{1}{sC} & -\frac{1}{sC} \\ -\frac{1}{sC} + \mu R_k & R_p + \frac{1}{sC} \end{bmatrix} \begin{bmatrix} I_5 \\ I_6 \end{bmatrix} = \begin{bmatrix} V_1 \\ \mu V_1 \end{bmatrix}.$$

Admitanța de intrare este I_5/V_1 . Aceasta poate fi găsită rezolvind ecuațiile pe contur pentru I_5 . Rezultă :

$$Y = \frac{I_5}{V_1} = \frac{\Delta_{11} + \mu \Delta_{21}}{\Delta}.$$

Astfel, cu toată precauția de a alege numai un singur contur care să conțină sursa de excitație, sursa de tensiune V_1 apare în ambele ecuații pe contur, și ca urmare rezultatul final diferă de (8). Se poate trage concluzia că nu întotdeauna formule speciale ca (7) și (8) conduc la rezultatul corect și că în general trebuie apelat la definiția din relația(6).

Funcții de transfer

Prin definiție, o funcție de circuit este o *funcție de transfer* cînd excitația și răspunsul corespund la terminale diferite. Să considerăm răspunsul ca fiind tensiunea sau curentul unei anume laturi. Putem evidenția această latură reprezentînd-o separat de restul circuitului ca în fig. 3.4.

Pentru ca noțiunea de funcție de transfer să fie ușor de înțeles, vom presupune în continuare că circuitul nu conține surse interne independente și este inițial relaxat. Corespunzător figurii 3.4, α pot fi definite

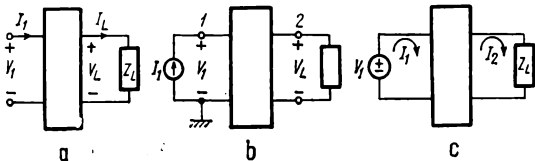


Fig. 3.4. Funcții de transfer.

patru funcții de transfer diferite fie cu $V_L(s)$ sau $I_L(s)$ ca răspuns și fie cu $V_1(s)$ sau $I_1(s)$ ca excitație. Din nou remarcăm că în aceste definiții nu se face nici o precizare asupra modului în care este excitat circuitul. Deoarece aceasta nu aduce nici o diferență, să considerăm aplicată o sursă de curent ca în fig. 3.4, *b* și să folosim ecuațiile la noduri. Singurul lucru ce rămâne de discutat sînt sursele. Chiar dacă există numai o singură sursă, aceasta poate apare în mai mult decît o ecuație la nod dacă circuitul conține surse controlate. Prin urmare, să presupunem pentru început că circuitul considerat nu conține surse controlate. Atunci toți J în (4) sînt zero, în afara lui J_1 , care este egal cu I_1 . Rezultatul analizei pe noduri va fi :

$$V_1(s) = \frac{\Delta_{11}}{\Delta} \Big|_v I_1(s),$$

$$V_L(s) = V_2 - V_3 = \frac{\Delta_{12} - \Delta_{13}}{\Delta} \Big|_v I_1(s).$$

Din aceste relații, ținînd seama de faptul că $I_L = Y_L V_L$, poate fi obținută fiecare funcție de transfer V_L/V_1 , V_L/I_1 , I_L/V_1 sau I_L/I_1 . În mod similar, presupunînd circuitul excitat cu o sursă de tensiune, ca în fig. 3.4, *c*, se pot scrie ecuațiile pe contur. Expresiile care rezultă din ecuațiile la noduri și pe contur vor fi :

Impedanța de transfer :

$$\frac{V_L(s)}{I_1(s)} = \frac{\Delta_{12} - \Delta_{13}}{\Delta} \Big|_v = Z_L \frac{\Delta_{12}}{\Delta_{11}} \Big|_z. \quad (9a)$$

Admitanța de transfer :

$$\frac{I_L(s)}{V_1(s)} = Y_L \frac{\Delta_{12} - \Delta_{13}}{\Delta_{11}} \Big|_v = \frac{\Delta_{12}}{\Delta} \Big|_z. \quad (9b)$$

Cîștigul (amplificarea) de tensiune sau raportul de transfer al tensiunilor :

$$\frac{V_L(s)}{V_1(s)} = \frac{\Delta_{12} - \Delta_{13}}{\Delta_{11}} \Big|_v = Z_L \frac{\Delta_{12}}{\Delta} \Big|_z. \quad (9c)$$

Cîștigul (amplificarea) de curent sau raportul de transfer al curenților :

$$\frac{I_L(s)}{I_1(s)} = Y_L \frac{\Delta_{12} - \Delta_{13}}{\Delta} \Big|_v = \frac{\Delta_{12}}{\Delta_{11}} \Big|_z. \quad (9d)$$

Trebuie subliniat că :

1. Aceste formule sînt valabile în absența surselor controlate și a dispozitivelor neregiproce sau nepasive.

2. Impedanțele de transfer *nu* sînt reciprocele admitanțelor de transfer.

3. Sensurile de referință ale curenților și tensiunilor trebuie să fie ca în fig. 3.4.

Cînd circuitul conține surse controlate aceste formule particulare nu pot fi aplicate. Totuși și în acest caz, funcțiile de transfer vor fi combinații liniare a unor rapoarte similare de determinanți și cofactori.

3.2. CIRCUITE MULTITERMINALE

Pînă acum, în studiul circuitelor electrice, am presupus că structura internă a circuitului este cunoscută și că se poate face o analiză în scopul determinării curenților și tensiunilor oriunde în circuit. Totuși, foarte adesea, nu interesează curenții sau tensiunile în toate laturile, ci numai curenții și/sau tensiunile corespunzătoare terminalelor la care sînt făcute conexiuni exterioare circuitului.

De îndată ce este vorba de comportarea exterioară a circuitului, detaliile cu privire la structura internă a circuitului nu mai sînt importante, important fiind să cunoaștem relațiile între tensiunile și curenții la terminalele exterioare, care determină complet comportarea exterioară a circuitului.

Să considerăm circuitul reprezentat în fig. 3.5, *a*, care are șase terminale la care sînt făcute conexiuni exterioare.

Cum vor fi definite variabilele curenți și tensiuni? Să definim tensiunile astfel încît tensiunea fiecărui terminal să fie raportată față de un punct arbitrar dat? Sau față de masă ca V_2 ? Să fie definite ca tensiuni între

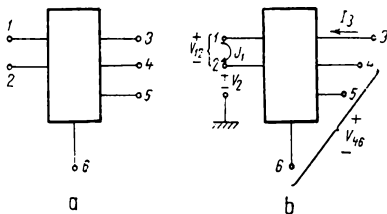


Fig. 3.5. Circuit (rețea) cu 6 terminale.

perechi de terminale, cum ar fi V_{12} sau V_{46} ? Să fie definiți curenții în raport cu terminalele (cum ar fi I_3) sau pe contur, intrind într-un terminal și ieșind din altul (cum ar fi J_1)? De fapt, după cum vom observa, fiecare din aceste convenții pot fi utile în diferite scopuri.

În multe aplicații conexiunile exterioare sînt făcute numai la *terminalele în perechi* ale circuitului. Fiecare pereche de terminale reprezintă o intrare sau o ieșire a circuitului și este descriptiv — o *poartă*. Circuitul cu 6 terminale din fig. 3.5 este reprezentat ca în fig. 3.6, *a* ca un *triport* și ca un *5-port* în fig. 3.6, *b*. De notat că nu vor fi făcute alte conexiuni

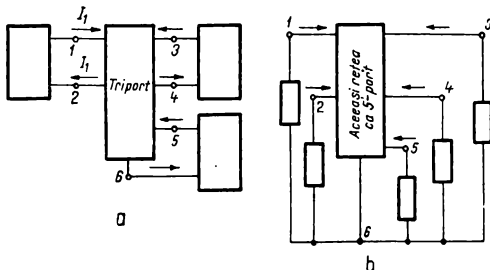


Fig. 3.6. Un circuit cu 6 terminale conectat ca :

a - triport; b - 5 - port

exterioare decât la porțile arătate; de exemplu, în fig. 3.6, *a* nu se va face nici o conexiune între terminalele 1 și 3 sau 1 și 5. Conexiunile trebuie să fie făcute astfel ca același curent care intră printr-un terminal al porții să iasă prin cel de-al doilea terminal.

Tensiunea porții este tensiunea între perechile de terminale care constituie poarta.

Există o diferență de bază (în afara numărului de porți) între cele două tipuri de multiporturi reprezentați în fig. 3.6.

În fig. 3.6, *b*, un terminal al fiecărei porți este comun tuturor porților. Astfel tensiunile porților sînt identice cu tensiunile tuturor terminalelor în afară de unul față de care se măsoară aceste tensiuni. Un astfel de circuit este numit un *multiport cu bornă comună* (terminal comun), sau *cu bornă la masă*. În primul circuit din fig. 3.6 nu se poate identifica un astfel de terminal comun (bornă comună), sau la masă.

Este posibil să fie necesare și alte feluri de conexiuni exterioare multiportului, în afară de cele de tipul conexiunilor la perechi de terminale. În acest caz, o descriere a circuitului în raport cu porțile sale nu este posibilă și va fi necesară în acest caz o altă metodă pentru descrierea multiportului ce va fi discutată în paragraful 3.6.

3.3. CIRCUITE DIPORT (CUADRIPOLI)

Se poate începe prin a trata un circuit multiport general și a discuta seturile de ecuații ce leagă variabilele de la porți. După aceasta, rezultatele pot fi aplicate cazului special al diportului (cuadripolului).

O altă alternativă este de a trata mai întâi cel mai simplu multiport — diportul (cuadripolul), avându-se în vedere pe de o parte importanța de

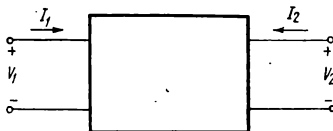


Fig. 3.7. Circuit diport (cuadripol).

sine stătătoare a acestui circuit, iar pe de altă parte faptul că tratarea mai întâi a celui mai simplu caz poate conduce la înțelegerea mai ușoară a cazului general al multiportului.

Vom alege al doilea mod de abordare a problemei.

Un circuit diport (sau pe scurt — un diport) este ilustrat în fig. 3.7.

Din cauza utilizării unui diport ca un circuit de transmisiune, una din porți — numerotată uzual cu 1 — este denumită *intrare*; cealaltă — poarta 2 este denumită *ieșire*. Variabilele la porți (în raport cu cele două porți) sînt doi curenți de poartă și două tensiuni de poartă cu sensurile de referință standard (de referință) ca în fig. 3.7. (În unele lucrări sensul de referință pentru I_2 este luat opus celui ales în fig. 3.7). Pentru comparația oricărei formule din alte publicații va trebui să verificăm comparativ sensurile de referință adaptate pentru parametrii diportului.

Circuitele exterioare (diportului), care pot fi conectate la intrarea diportului sau la ieșirea sa, sînt denumite *terminații*. Vom folosi transformatele Laplace ale variabilelor și vom presupune că diportul este inițial relaxat și că nu conține surse independente.

Discuția care urmează, legată de diferite feluri de a descrie comportarea unui diport, poate apare într-un anume fel nemotivată. Necesitatea unor metode diferite apare clar atunci cînd problema care se pune este proiectarea unor circuite ca filtre, circuite de adaptare, corectoare, etc. O metodă de descriere, care este convenabilă, de exemplu, pentru un circuit de putere, poate fi mai puțin utilă în cazul unui filtru, sau complet nepotrivită pentru un amplificator tranzistorizat. Din acest motiv, vom

descrie mai multe alternative echivalente pentru studiul comportării unui diport. În problema de sinteză a unui circuit, pentru o aplicație specifică se convine, deseori, să se despartă problema complicată în câteva părți. Fiecare parte a circuitului total este proiectată separat și apoi reunite într-o manieră similară descompunerii originale. Pentru a folosi acest procedeu este necesar să știm cum este legată descrierea comportării întregului circuit de comportarea părților componente. Din acest motiv, vom trata problema interconectării diporților.

Multe rezultate obținute în acest paragraf necesită o sumă considerabilă de calcule algebrice elementare. Nu vom parcurge toate etapele procedurii lăsând cititorul să completeze calculele intermediare omise.

Parametrii în gol și în scurtcircuit

Pentru a descrie relațiile între tensiunile și curenții la porțile unui multiport liniar sînt necesare atîtea ecuații liniare cîte porți sînt. Astfel, pentru un diport sînt necesare două ecuații liniare ce leagă patru variabile. Care variabile vor fi considerate dependente și care independente, este o problemă de convenție și de alegere într-o aplicație dată. În cazul general al n -portului vor fi $2n$ variabile curenți și tensiuni. Numărul de căi în care aceste $2n$ variabile pot fi aranjate în două grupe egale este $(2n)!/(n!)^2$. Pentru un cuadripol, acest număr este 6.

Exprimînd pentru un diport curenții în funcție de tensiuni, rezultă următorul set de ecuații:

$$\begin{bmatrix} I_1(s) \\ I_2(s) \end{bmatrix} = \begin{bmatrix} y_{11} & y_{12} \\ y_{21} & y_{22} \end{bmatrix} \begin{bmatrix} V_1(s) \\ V_2(s) \end{bmatrix}; \quad (10)$$

Interpretarea acestor parametri rezultă simplu anulînd pe rînd fiecare tensiune. Astfel:

$$\begin{aligned} y_{11}(s) &= \left. \frac{I_1(s)}{V_1(s)} \right|_{V_2=0}, & y_{12}(s) &= \left. \frac{I_1(s)}{V_2(s)} \right|_{V_1=0}, \\ y_{21}(s) &= \left. \frac{I_2(s)}{V_1(s)} \right|_{V_2=0}, & y_{22}(s) &= \left. \frac{I_2(s)}{V_2(s)} \right|_{V_1=0}. \end{aligned} \quad (11)$$

Dimensional, fiecare parametru este o admitanță. Anularea unei tensiuni la o poartă este echivalentă cu un scurtcircuit la acea poartă. Din acest motiv parametrii y sînt denumiți — *parametri admitanță în scurtcircuit* (sau pe scurt parametrii y). Matricea acestor parametri este notată cu Y_{sc} și se numește *matricea admitanță în scurtcircuit*. Termenii y_{11} și y_{22} sînt

admitanțele de intrare în scurtcircuit la cele două porți, iar y_{21} și y_{12} sînt admitanțe *de transfer* în scurtcircuit.

În particular, y_{21} este admitanța de transfer *în sens direct* — adică, raportul unui răspuns în curent la poarta 2 către o excitație în tensiune la poarta 1, iar y_{12} este admitanța de transfer *în sens invers*.

Un al doilea set de relații pot fi scrise exprimînd tensiunile la porți în funcție de curenții la porți :

$$\begin{bmatrix} V_1(s) \\ V_2(s) \end{bmatrix} = \begin{bmatrix} z_{11} & z_{12} \\ z_{21} & z_{22} \end{bmatrix} \begin{bmatrix} I_1(s) \\ I_2(s) \end{bmatrix}. \quad (12)$$

De această dată, interpretarea parametrilor se obține anulînd pe rînd curenții. Astfel :

$$\begin{aligned} z_{11}(s) &= \left. \frac{V_1(s)}{I_1(s)} \right|_{I_2=0}, & z_{12}(s) &= \left. \frac{V_1(s)}{I_2(s)} \right|_{I_1=0}, \\ z_{21}(s) &= \left. \frac{V_2(s)}{I_1(s)} \right|_{I_2=0}, & z_{22}(s) &= \left. \frac{V_2(s)}{I_2(s)} \right|_{I_1=0}. \end{aligned} \quad (13)$$

Dimensional, fiecare parametru este o impedanță. Anularea curentului la o poartă este echivalentă cu lăsarea porții în gol. Din acest motiv parametrii z sînt denumiți *parametri impedanță în gol* (pe scurt parametri în gol). Matricea parametrilor se notează cu Z_{oc} și se numește *matricea impedanței în gol*. Elementele z_{11} și z_{22} sînt impedanțe de intrare în gol la cele două porți, iar z_{21} și z_{12} sînt impedanțe de transfer în gol; z_{21} este o impedanță de transfer *în sens direct*, iar z_{12} este o impedanță de transfer *în sens invers*.

Rezultă clar din (10) și (12) că matricele Y_{sc} și Z_{oc} sînt inverse una alteia, de exemplu :

$$Y_{sc} = \begin{bmatrix} y_{11} & y_{12} \\ y_{21} & y_{22} \end{bmatrix} = Z_{oc}^{-1} = \frac{1}{\det Z_{oc}} \begin{bmatrix} z_{22} & -z_{12} \\ -z_{21} & z_{11} \end{bmatrix}. \quad (14)$$

De aici rezultă că :

$$\det Y_{sc} = \frac{1}{\det Z_{oc}}. \quad (15)$$

Demonstrația acestei din urmă relații este lăsată cititorului ca exercițiu.

Rezultatele obținute pînă acum se aplică fie că circuitul este pasiv sau activ, reciproc sau nerez reciproc.

Să considerăm funcțiile de transfer y_{21} și y_{12} . Dacă circuitul este reciproc, conform definiției din paragraful 3.1.4, cele două funcții de transfer vor fi egale. De asemenea vor fi egale z_{12} și z_{21} , adică pentru un circuit reciproc :

$$y_{12} = y_{21}, \quad z_{12} = z_{21}, \quad (16)$$

de unde rezultă și că pentru un circuit reciproc Y_{sc} și Z_{oc} sînt simetrice.

Parametrii hibrizi

Parametrii z și y sînt două căi de exprimare a relațiilor între variabilele porților. Aceștia exprimă două tensiuni în funcție de doi curenți sau reciproc. Alte două seturi de ecuații pot fi obținute exprimînd un curent și o tensiune de la porți opuse în funcție de cealaltă tensiune și curent. Astfel :

$$\begin{bmatrix} V_1 \\ I_2 \end{bmatrix} = \begin{bmatrix} h_{11} & h_{12} \\ h_{21} & h_{22} \end{bmatrix} \begin{bmatrix} I_1 \\ V_2 \end{bmatrix}, \quad (17)$$

și

$$\begin{bmatrix} I_1 \\ V_2 \end{bmatrix} = \begin{bmatrix} g_{11} & g_{12} \\ g_{21} & g_{22} \end{bmatrix} \begin{bmatrix} V_1 \\ I_2 \end{bmatrix}. \quad (18)$$

Interpretarea acestor parametri poate fi ușor determinată din ecuațiile precedente, ca fiind următoarea :

$$\begin{aligned} h_{11} &= \left. \frac{V_1(s)}{I_1(s)} \right|_{V_2=0}, & h_{12} &= \left. \frac{V_1(s)}{V_2(s)} \right|_{I_1=0}, \\ h_{21} &= \left. \frac{I_2(s)}{I_1(s)} \right|_{V_2=0}, & h_{22} &= \left. \frac{I_2(s)}{V_2(s)} \right|_{I_1=0}, \\ g_{11} &= \left. \frac{I_1(s)}{V_1(s)} \right|_{I_2=0}, & g_{12} &= \left. \frac{I_1(s)}{I_2(s)} \right|_{V_1=0}, \\ g_{21} &= \left. \frac{V_2(s)}{V_1(s)} \right|_{I_2=0}, & g_{22} &= \left. \frac{V_2(s)}{I_2(s)} \right|_{V_1=0}. \end{aligned} \quad (19)$$

Se observă că parametrii h și g sînt interpretați în condiții mixte de terminare, unii din ei în gol, iar alții în scurtcircuit. Aceștia sînt denumiți parametri hibrizi h și respectiv parametri hibrizi g . Din aceste interpretări rezultă că h_{11} și g_{22} sînt impedanțe, iar h_{22} și g_{11} sînt admi-

tanțe. Acești parametri sînt legați de parametrii z și y prin relațiile :

$$\begin{aligned} h_{11} &= \frac{1}{y_{11}}, & g_{11} &= \frac{1}{z_{11}}, \\ h_{22} &= \frac{1}{z_{22}}, & g_{22} &= \frac{1}{y_{22}}. \end{aligned} \quad (20)$$

Parametrii de transfer g și h sînt fără dimensiuni. Mărima h_{21} este *amplificarea (cîștigul) de curent în scurtcircuit în sens direct*, g_{12} este *amplificarea de tensiune în gol în sens invers*, iar h_{12} este *amplificarea de tensiune în gol în sens invers*. Vom folosi literele H și G pentru a nota matricele corespunzătoare parametrilor h și g .

Prin calculul direct se determină următoarele relații între parametrii de transfer :

$$h_{12} = -\frac{z_{12}}{z_{21}} h_{21}, \quad (21a)$$

$$g_{12} = -\frac{y_{12}}{y_{21}} g_{21}. \quad (21b)$$

În cazul special, al circuitelor reciproce, aceste expresii se simplifică devenind $h_{12} = -h_{21}$ și $g_{12} = -g_{21}$. Cu alte cuvinte, în cazul circuitelor reciproce, amplificarea de tensiune în gol pentru un sens de transmisie prin diport este egală cu negativa amplificării de curent în scurtcircuit pentru sensul opus de transmisie. Ca și în cazul matricelor Z_{oc} și Y_{sc} matricele H și G sînt inverse una alteia. Astfel :

$$G(s) = H^{-1}(s), \quad \det G = \frac{1}{\det H}. \quad (22)$$

Cititorului îi rămîne să verifice acest lucru.

Parametrii lanț

Au rămas două sisteme de ecuații care leagă tensiunea și curentul de la o poartă în funcție de curentul și tensiunea de la cealaltă poartă. Acestea au fost de fapt din punct de vedere istoric primele folosite în analiza liniilor de transmisiune. Unul din aceste sisteme este :

$$\begin{bmatrix} V_1(s) \\ I_1(s) \end{bmatrix} = \begin{bmatrix} A & B \\ C & D \end{bmatrix} \begin{bmatrix} V_2(s) \\ -I_2(s) \end{bmatrix}. \quad (23)$$

	Parametrii impedanță în gol	Parametrii admitanță în scurtcircuit	Parametrii lant	Parametrii hibridi h	Parametrii hibridi g
z	z_{11} z_{12}	$\frac{y_{22}}{ y }$ $-\frac{y_{12}}{ y }$	$\frac{A}{C}$ $\frac{AD-BC}{C}$	$\frac{ h }{h_{22}}$ $\frac{h_{12}}{h_{22}}$	$\frac{1}{g_{11}}$ $\frac{g_{12}}{g_{11}}$
	z_{21} z_{22}	$-\frac{y_{21}}{ y }$ $\frac{y_{11}}{ y }$	$\frac{1}{C}$ $\frac{D}{C}$	$-\frac{h_{21}}{h_{22}}$ $\frac{1}{h_{22}}$	$\frac{g_{21}}{g_{11}}$ $\frac{ g }{g_{11}}$
y	$\frac{z_{22}}{ z }$ $-\frac{z_{12}}{ z }$	y_{11} y_{12}	$\frac{D}{B}$ $-\frac{(AD-BC)}{B}$	$\frac{1}{h_{11}}$ $-\frac{h_{12}}{h_{11}}$	$\frac{ g }{g_{22}}$ $\frac{g_{12}}{g_{22}}$
	$-\frac{z_{21}}{ z }$ $\frac{z_{11}}{ z }$	y_{21} y_{22}	$-\frac{1}{B}$ $\frac{A}{B}$	$\frac{h_{21}}{h_{11}}$ $\frac{ h }{h_{11}}$	$-\frac{g_{21}}{g_{22}}$ $\frac{1}{g_{22}}$
$ABCD$	$\frac{z_{11}}{z_{21}}$ $\frac{ z }{z_{21}}$	$-\frac{y_{22}}{y_{21}}$ $-\frac{1}{y_{21}}$	A B	$-\frac{ h }{h_{21}}$ $-\frac{h_{11}}{h_{21}}$	$\frac{1}{g_{21}}$ $\frac{g_{22}}{g_{21}}$
	$\frac{1}{z_{21}}$ $\frac{z_{22}}{z_{21}}$	$-\frac{ y }{y_{21}}$ $-\frac{y_{11}}{y_{21}}$	C D	$-\frac{h_{22}}{h_{21}}$ $-\frac{1}{h_{21}}$	$\frac{g_{11}}{g_{21}}$ $\frac{ g }{g_{21}}$
h	$\frac{ z }{z_{22}}$ $\frac{z_{12}}{z_{22}}$	$\frac{1}{y_{11}}$ $-\frac{y_{12}}{y_{11}}$	$\frac{B}{D}$ $\frac{AD-BC}{D}$	h_{11} h_{12}	$\frac{g_{22}}{ g }$ $-\frac{g_{12}}{ g }$
	$-\frac{z_{21}}{z_{22}}$ $\frac{1}{z_{22}}$	$\frac{y_{21}}{y_{11}}$ $\frac{ y }{y_{11}}$	$-\frac{1}{D}$ $\frac{C}{D}$	h_{21} h_{22}	$-\frac{g_{21}}{ g }$ $\frac{g_{11}}{ g }$
g	$\frac{1}{z_{11}}$ $-\frac{z_{12}}{z_{11}}$	$\frac{ y }{y_{22}}$ $\frac{y_{12}}{y_{22}}$	$\frac{C}{A}$ $-\frac{(AD-BC)}{A}$	$\frac{h_{22}}{ h }$ $-\frac{h_{12}}{ h }$	g_{11} g_{12}
	$\frac{z_{21}}{z_{11}}$ $\frac{ z }{z_{11}}$	$-\frac{y_{21}}{y_{22}}$ $\frac{1}{y_{22}}$	$\frac{1}{A}$ $\frac{B}{A}$	$-\frac{h_{21}}{ h }$ $\frac{h_{11}}{ h }$	g_{21} g_{22}

Acești parametri sînt denumiți *parametri lanț*, sau parametri $ABCD$. Prima denumire provine de la faptul că acești parametri sînt utilizați în mod natural în analiza unei conexiuni în *cascadă*, *tandem* sau *lanț* — conexiune tipică unui sistem de transmisiune. De notat semnul minus în fața lui $-I_2$, care este consecința alegerii sensului de referință pentru I_2 , și că folosim notația clasică pentru acești parametri (A, B, C, D) în loc de a_{ij} ($i, j = 1, 2$) care ar uniformiza notația tuturor acestor parametri. De asemenea nu am introdus notații suplimentare corespunzătoare parametrilor inverși ce se pot obține simplu prin inversarea lui (23).

Determinantul matricei lanț poate fi calculat în funcție de parametrii z și y . Se găsește că :

$$\det \begin{bmatrix} A & B \\ C & D \end{bmatrix} = AD - BC = \frac{z_{12}}{z_{21}} = \frac{y_{12}}{y_{21}}, \quad (24)$$

care este egal cu unitatea pentru un diport reciproc.

Discuția precedentă destul de detaliată poate deveni obositoare dacă se pierde din vedere scopul dezvoltării unor metode de reprezentare a comportării exterioare a unui diport și se prezintă diverse relații între tensiuni și curenți. Fiecare din aceste seturi de relații se găsesc utile în aplicații. Pentru referire ulterioară vom tabela relațiile de legătură între diferite tipuri de parametri.

Rezultatul este dat în tabelul 3.1. De notat că aceste relații sînt valabile în cazul unui diport general neregiproc.

Zerourile de transmisie

Sînt importante observațiile care pot fi făcute în legătură cu zerourile diferitelor funcții de transfer. Acestea rezultă poate cel mai evident, privind una din coloanele tabelului 3.1, de exemplu coloana în care toți parametrii sînt exprimați în funcție de parametrii y . Rezultă că :

$$z_{21}(s) = \frac{-y_{21}(s)}{y_{11}y_{22} - y_{12}y_{21}}, \quad (25a)$$

$$h_{21}(s) = \frac{y_{21}(s)}{y_{11}(s)}, \quad (25b)$$

$$g_{21}(s) = \frac{-y_{21}(s)}{y_{22}(s)}. \quad (25c)$$

Exceptînd unele posibile simplificări, toate aceste funcții de transfer vor avea aceleași zerouri. Folosim termenul de *zero de transmisiune* pentru a ne referi la valoarea lui s pentru care există un zero al funcției de trans-

fer, fără a specifica despre care funcție de transfer este vorba — dacă este amplificarea de tensiune, o admitanță de transfer sau oricare alta.

Exemplu. Pentru a ilustra calculul parametrilor unui diport să considerăm circuitul reprezentat în fig. 3.8, care poate fi considerat, în anumite condiții, ca un model al unei triode. Să calculăm parametrii y ai acestui circuit.

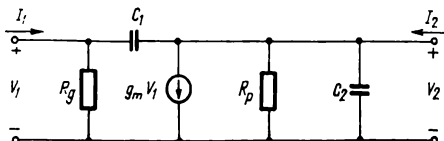
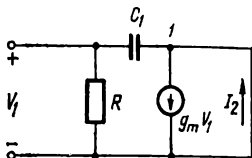


Fig. 3.8. Exemple pentru calculul parametrilor diportului.

Cel mai simplu procedeu este să folosim relațiile de definiție date în (11). Dacă se scurtează terminalele de ieșire, circuitul care rezultă va avea forma din fig. 3.9. Din punctul de vedere al intrării sursa controlată nu are nici un efect; astfel y_{11} este admitanța combinației paralele a lui R_g și C_1 :

$$y_{11}(s) = \frac{1}{R_g} + sC_1.$$

Fig. 3.9. Circuit cu terminalele de ieșire în scurtcircuit.



Pentru calculul lui y_{21} presupunem la intrare o sursă de tensiune $V_1(s)$. Aplicând legea lui Kirchhoff nodului notat cu 1 (fig. 3.9), vom găsi că $I_2 = g_m V_1 - sC_1 V_1$. Astfel y_{21} devine:

$$y_{21} = \left. \frac{I_2(s)}{V_1(s)} \right|_{V_2=0} = g_m - sC_1.$$

Acum scurtcircuităm terminalele de intrare ale circuitului original (fig. 3.8). Circuitul rezultat va avea forma din fig. 3.10.

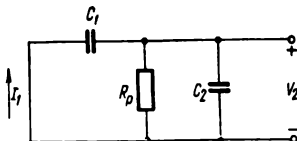


Fig. 3.10. Circuit cu terminalele de intrare în scurtcircuit.

Deoarece V_1 este zero, sursa dependentă de curent este de asemenea nulă. Astfel este simplu de calculat y_{22} și y_{12} :

$$y_{22} = \left. \frac{I_2}{V_2} \right|_{V_1=0} = s(C_1 + C_2) + \frac{1}{R_p},$$

$$y_{12} = \left. \frac{I_1}{V_2} \right|_{V_1=0} = -sC_1.$$

Se vede că y_{12} diferă de y_{21} , ceea ce se poate întâmpla din cauza sursei de curent controlate.

Dacă parametrii y sînt cunoscuți, oricare alt set de parametri poate fi calculat folosind relațiile din tab. 3.1. De notat că chiar în condițiile că C_1 și C_2 sînt zero și R_p infinit, parametrii y există dar parametrii z nu există (z_{11} , z_{22} și z_{21} devin infiniti).

3.4. INTERCONECTAREA CIRCUITELOR DIPORT

Un circuit diport dat cu un anumit grad de complexitate poate fi privit ca fiind construit din circuite diport mai simple ale căror porți sînt interconectate în anume feluri. Invers, un circuit diport, care urmează să fie construit, poate fi proiectat prin combinarea unor blocuri constructive simple. Din punctul de vedere al proiectantului este mult mai simplu să proiectăm blocuri simple, pe care apoi să le interconectăm, în loc să proiectăm un circuit complex ca un tot unitar.

Un motiv în plus, de ordin practic, în favoarea acestui procedeu este acela că este mult mai ușor de ecranat unitățile mici și de a reduce astfel capacitățile parazite față de masă.

Conectarea în cascadă

Interconectarea cuadripolilor poate fi făcută în mai multe feluri. Cel mai simplu mod de interconectare a doi cuadripoli este conectarea lor *în cascadă* sau *în tandem*. Doi cuadripoli se spune că sînt conectați *în cascadă* dacă poarta de ieșire a unuia este poartă de intrare a celui de-al doilea, ca în fig. 3.11.

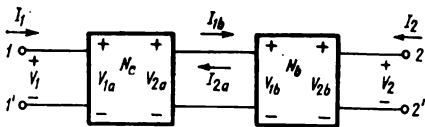


Fig. 3.11. Conectarea în cascadă a diporților.

În problema interconectării, din punctul de vedere al analizei, este interesant să studiem relațiile între parametrii întregului circuit și parametrii blocurilor constructive. Conectarea în tandem este studiată cel mai convenabil cu ajutorul parametrilor $ABCD$. Cu notațiile și sensurile de referință adoptate în fig. 3.11, rezultă că :

$$\begin{bmatrix} V_1 \\ I_1 \end{bmatrix} = \begin{bmatrix} V_{1a} \\ I_{1a} \end{bmatrix}, \quad \begin{bmatrix} V_{2a} \\ -I_{2a} \end{bmatrix} = \begin{bmatrix} V_{1b} \\ I_{1b} \end{bmatrix}, \quad \begin{bmatrix} V_{2b} \\ -I_{2b} \end{bmatrix} = \begin{bmatrix} V_2 \\ -I_2 \end{bmatrix}.$$

Astfel, pentru sistemul de ecuații $ABCD$ al circuitului N_b putem scrie :

$$\begin{bmatrix} V_{2a} \\ -I_{2a} \end{bmatrix} = \begin{bmatrix} V_{1b} \\ I_{1b} \end{bmatrix} = \begin{bmatrix} A_b & B_b \\ C_b & D_b \end{bmatrix} \begin{bmatrix} V_2 \\ -I_2 \end{bmatrix}.$$

În plus, dacă scriem sistemul de ecuații $ABCD$ pentru circuitul N_a și ținem cont de relațiile precedente, se obține :

$$\begin{bmatrix} V_1 \\ I_1 \end{bmatrix} = \begin{bmatrix} A_a & B_a \\ C_a & D_a \end{bmatrix} \begin{bmatrix} V_{2a} \\ -I_{2a} \end{bmatrix} = \begin{bmatrix} A_a & B_a \\ C_a & D_a \end{bmatrix} \begin{bmatrix} A_b & B_b \\ C_b & D_b \end{bmatrix} \begin{bmatrix} V_2 \\ -I_2 \end{bmatrix}.$$

Astfel, matricea $ABCD$ a unor cuadripoli în cascadă este egală cu produsul matricelor $ABCD$ a cuadripolilor individuali, adică :

$$\begin{bmatrix} A & B \\ C & D \end{bmatrix} = \begin{bmatrix} A_a & B_a \\ C_a & D_a \end{bmatrix} \begin{bmatrix} A_b & B_b \\ C_b & D_b \end{bmatrix}. \quad (26)$$

Odată cunoscute relațiile între parametrii cuadripolului total și parametrii cuadripolilor constitutivi pentru oricare set de parametri, relațiile pentru oricare alt set de parametri pot fi deduse prin calcul algebric ; de exemplu parametrii în gol ai cuadripolului total pot fi găsiți în funcție de cei ai cuadripolilor în cascadă exprimînd parametrii z în raport cu parametrii $ABCD$ pentru fiecare cuadripol în cascadă în parte. Rezultatul va fi :

$$\begin{bmatrix} \tilde{z}_{11} & \tilde{z}_{12} \\ \tilde{z}_{21} & \tilde{z}_{22} \end{bmatrix} = \begin{bmatrix} z_{11a} - \frac{z_{12a} z_{21a}}{z_{22a} + z_{11b}} & \frac{z_{12a} z_{12b}}{z_{22a} + z_{11b}} \\ \frac{z_{21a} z_{21b}}{z_{22a} + z_{11b}} & z_{22b} - \frac{z_{12b} z_{21b}}{z_{22a} + z_{11b}} \end{bmatrix}. \quad (27)$$

Detaliile acestui calcul sînt lăsate cititorului.

Sînt necesare cîteva observații. Cînd se dorește să se determine un anume parametru specific unui cuadripol total în funcție de parametrii corespunzători cuadripolilor interconectați, poate fi mai simplu de utilizat o analiză directă în locul folosirii relațiilor din tabelul 3.1.

Ca exemplu, să presupunem că dorim să găsim expresia lui z_{21} pentru circuitul din fig. 3.11. Elementul z_{21} este raportul între tensiunea de ieșire în gol și curentul de intrare; adică $z_{21} = V_2/I_1$. Să presupunem că se aplică circuitului la intrare un curent I_1 și să înlocuim, folosind teorema de echivalență Thévenin, circuitul din stînga bornelor de ieșire a lui N_a . Rezultatul este dat în fig. 3.12.

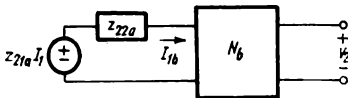


Fig. 3.12. Înlocuirea circuitului N_a prin echivalentul său Thévenin.

Prin definiție $z_{21b} = V_2/I_{1b}$, cu terminalele de ieșire în gol. Acum poate fi ușor calculat I_{1b} din circuitul din fig. 3.12

$$I_{1b} = \frac{z_{21a} I_1}{z_{22a} + z_{11b}}.$$

Deci :

$$z_{21b} = \frac{V_2}{I_{1b}} = \frac{V_2}{\frac{z_{21a} I_1}{z_{22a} + z_{11b}}} = \left(\frac{z_{22a} + z_{11b}}{z_{21a}} \right) \frac{V_2}{I_1}.$$

În final :

$$z_{21} = \frac{V_2}{I_1} = \frac{z_{21a} z_{21b}}{z_{22a} + z_{11b}}, \quad (28)$$

rezultat care corespunde celui cuprins în relația (27).

O proprietate importantă a cuadripolilor conectați în cascadă se observă din expresiile impedanțelor de transfer (27). Zerourile lui z_{21} sînt și zerourile lui z_{21a} și z_{21b} (O relație similară are loc și pentru z_{12}). Astfel zerourile de transmisie ale întregii cascade constau din zerourile de transmisie a fiecărei cuadripol component. Aceasta este baza teoretică a unor metode importante de sinteză a circuitelor. Acest fapt permite proiectarea indi-

viduală a cuadripolilor care să asigure anumite zerouri de transmisiune înainte de conectarea lor în cascadă; de asemenea permite ajustarea și reglajul individual al elementelor în cadrul fiecărui cuadripol, pentru a obține un zero dorit, fără a influența ajustarea întregului cuadripol.

Conectarea paralel și serie

Să ne întoarcem la alte interconectări ale cuadripolilor care, spre deosebire de conectarea în cascadă, implică ambele porți. Două posibilități evidente sînt conectările serie și paralel. *Doi cuadripoli se spune că sînt*

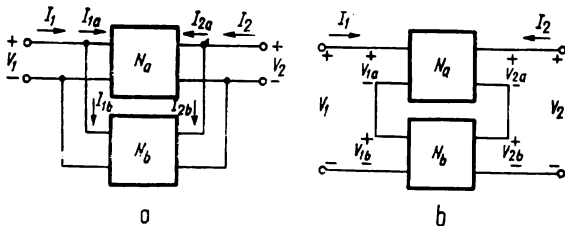


Fig. 3.13. Conectarea diporților în paralel și serie.

conectați în paralel dacă porțile lor de intrare și ieșire corespunzătoare sînt conectate în paralel ca în fig. 3.13, a. În conexiunea paralel tensiunile de la intrarea și ieșirea cuadripolilor componenți sînt obligate să fie aceleași în timp ce curenții la porțile cuadripolului total sînt egali cu sumele curenților corespunzători la porțile cuadripolilor conectați în paralel. Aceasta presupune că relațiile între porțile cuadripolilor individuali nu sînt alterate cînd aceștia sînt conectați în paralel.

În acest caz, pentru cuadripolul total se poate scrie :

$$\begin{bmatrix} I_1 \\ I_2 \end{bmatrix} = \begin{bmatrix} I_{1a} \\ I_{2a} \end{bmatrix} + \begin{bmatrix} I_{1b} \\ I_{2b} \end{bmatrix} = \begin{bmatrix} y_{11a} & y_{12a} \\ y_{21a} & y_{22a} \end{bmatrix} \begin{bmatrix} V_{1a} \\ V_{2a} \end{bmatrix} + \\ + \begin{bmatrix} y_{11b} & y_{12b} \\ y_{21b} & y_{22b} \end{bmatrix} \begin{bmatrix} V_{1b} \\ V_{2b} \end{bmatrix} = \begin{bmatrix} y_{11a} + y_{11b} & y_{12a} + y_{12b} \\ y_{21a} + y_{21b} & y_{22a} + y_{22b} \end{bmatrix} \begin{bmatrix} V_1 \\ V_2 \end{bmatrix}. \quad (29)$$

Adică, matricea admitanțelor în scurtcircuit a doi cuadripoli conectați în paralel este egală cu suma matricelor admitanțelor în scurtcircuit a cuadripolilor componenți

$$Y_{sc} = Y_{sc a} + Y_{sc b}. \quad (30)$$

Dualul conexiunii paralel este conexiunea serie. *Doi cuadripoli sînt conectați în serie dacă porțile lor corespunzătoare de intrare și ieșire sînt conectate în serie* ca în fig. 3.13, b.

În această conexiune curenții de la intrare și de la ieșire sînt forțați să fie aceiași, în timp ce tensiunile cuadripolului total sînt egale cu sumele tensiunilor de la porțile cuadripolilor individuali. Din nou se presupune că relațiile între porțile cuadripolilor individuali nu sînt afectate cînd este făcută conectarea cuadripolilor. În acest caz relațiile ce pot fi scrise pentru cuadripolul total sînt:

$$\begin{bmatrix} V_1 \\ V_2 \end{bmatrix} = \begin{bmatrix} V_{1a} \\ V_{2a} \end{bmatrix} + \begin{bmatrix} V_{1b} \\ V_{2b} \end{bmatrix} = \begin{bmatrix} z_{11a} & z_{12a} \\ z_{21a} & z_{22a} \end{bmatrix} \begin{bmatrix} I_{1a} \\ I_{2a} \end{bmatrix} + \\ + \begin{bmatrix} z_{11b} & z_{12b} \\ z_{21b} & z_{22b} \end{bmatrix} \begin{bmatrix} I_{1b} \\ I_{2b} \end{bmatrix} = \begin{bmatrix} z_{11a} + z_{11b} & z_{12a} + z_{12b} \\ z_{21a} + z_{21b} & z_{22a} + z_{22b} \end{bmatrix} \begin{bmatrix} I_1 \\ I_2 \end{bmatrix}. \quad (31)$$

Adică, *matricea impedanțelor în gol a doi cuadripoli conectați în serie este egală cu suma matricelor impedanțelor în gol a cuadripolilor componenți*:

$$\mathbf{Z}_{oc} = \mathbf{Z}_{oca} + \mathbf{Z}_{ocb}. \quad (32)$$

Dintre aceste două tipuri de conexiuni — serie și paralel — conexiunea paralel este mult mai utilă și își găsește o largă aplicare în sinteza circuitelor. Un motiv de ordin practic este acela că permite conectarea în paralel a doi cuadripoli cu bornă comună (cu bornă la masă), rezultatul fiind un cuadripol cu bornă comună. Un astfel de exemplu este *circuitul paralel în scară*, (al cărui caz special este circuitul dublu T sau *T-podit*) arătat în fig. 3.14.

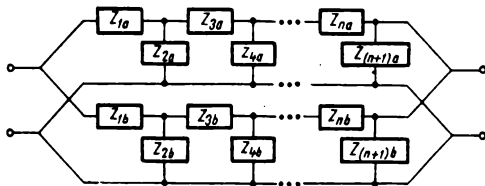


Fig. 3.14. Circuite în scară conectate în paralel.

Pe de altă parte conectarea în serie a doi cuadripoli conduce la un cuadripol cu bornă comună numai dacă unul din cuadripoli este un cuadripol în T. Să considerăm doi cuadripoli cu bornă la masă conectați în serie ca în fig. 3.15, a. Este clar că o astfel de conectare este inadmisibilă deoarece terminalul de masă a lui N_a va scurtcircuita pe N_b , vio-

lindu-se astfel condiția ca cuadripoli individuali să fie neafectați de interconectare. Situația este remediată legind împreună terminalele comune ale celor doi cuadripoli ca în fig. 3.15, *b*. În acest caz cuadripolul

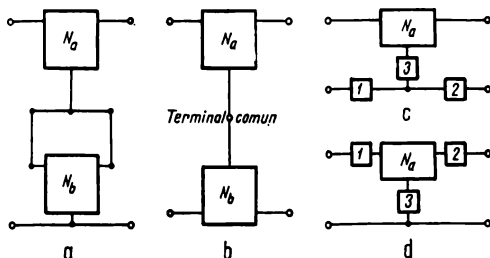


Fig. 3.15. Conectarea în serie a diporților cu bornă comună.

rezultat nu mai este un cuadripol cu bornă comună. Dacă unul din cuadripoli este în T, conectarea în serie ia forma din fig. 3.15, *c*. Acesta poate fi redesenat ca un cuadripol cu borna comună ca în fig. 3.15, *d*. Se lasă cititorului demonstrația că ultimii doi cuadripoli au aceiași parametri z .

Sînt posibile unele variații ale conexiunii serie și paralel conectînd porțile în serie la un capăt și în paralel la celălalt capăt. Acestea sînt numite conexiuni *serie-paralel*, și *paralel-serie*. Cum se poate presupune, în aceste cazuri, parametrii h și g ai cuadripolilor individuali sînt aceia care adunați dau respectiv parametrii h și g ai cuadripolului total. Demonstrația este lăsată cititorului ca exercițiu.

Restricții la interconectarea cuadripolilor

Ne-a rămas să stabilim condițiile în care doi cuadripoli pot fi interconectați fără a afecta prin conectare relațiile între porțile cuadripolilor individuali. Pentru conexiunea paralelă să considerăm fig. 3.16. Cite o pereche

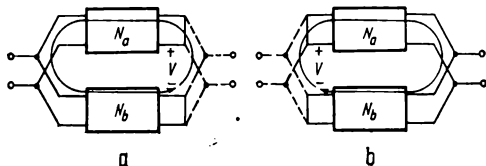


Fig. 3.16. Test pentru conectarea diporților în paralel.

de porți a fiecărui cuadripol este conectată în paralel în timp ce celelalte porți sînt scurtcircuitate individual. Sînt folosite scurtcircuitele deoarece parametrii care caracterizează cuadripolii individuali și cuadripolul total sînt parametrii admitanței în scurtcircuit. Dacă tensiunea V arătată în fig. 3.16 este nenulă, atunci cînd porțile secundare vor fi conectate va exista un curent de circulație cum este sugerat în figură. Astfel, condiția potrivit căreia curentul ce iese din terminalul unei porți să fie egal cu curentul ce intră în celălalt terminal al porții este violată, și prin urmare relațiile între porțile cuadripolilor individuali vor fi afectate de interconectare.

Pentru cazul conexiunii serie, să considerăm fig. 3.17.

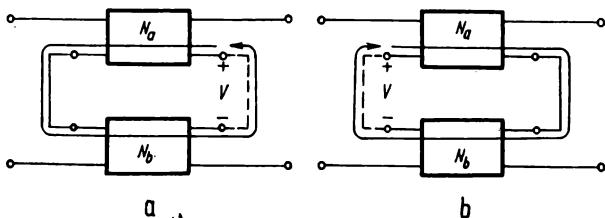


Fig. 3.17— Test pentru conectarea diporților în serie.

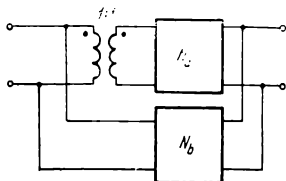
Cîte o pereche de porți a fiecărui cuadripol este conectată în serie în timp ce celelalte porți sînt lăsate în gol. Sînt folosite gol-circuitele (porțile lăsate în gol) deoarece parametrii care caracterizează cuadripolii individuali și cuadripolul total sînt parametrii impedanță în gol.

Dacă tensiunea V este nenulă, la conectarea în serie a porților secundare va exista un curent de circulație cum este sugerat în figură. Din nou relațiile între porțile cuadripolilor individuali vor fi modificate prin conectarea cuadripolilor și astfel adunarea parametrilor impedanță nu va mai fi valabilă pentru întreg circuitul. Cu unele modificări evidente, aceste teste se aplică conexiunilor serie-paralel și paralel-serie. Discuția precedentă asupra condițiilor în care pot fi obținuți parametrii totali ai cuadripolilor interconectați prin adunarea parametrilor cuadripolilor componenți a fost mai curînd o schițare a problemei. Se lasă cititorului sarcina de a suplini detaliile.

Cînd se descoperă că o anumită interconexiune nu poate fi făcută datorită introducerii curenților circulatori, există o cale de a opri acești curenți și de a permite astfel să fie făcută conexiunea. Procedul este

simplic și constă în punerea la una din porți a unui transformator ideal izolator cu raportul de transformare 1 : 1, așa cum este ilustrat în fig. 3.18, pentru cazul conexiunii paralele.

Fig. 3.18. Utilizarea unui transformator-izolator pentru a permite interconectarea.



3.5. CIRCUITE MULTIPORT

Paragraful precedent s-a ocupat în detaliu de circuitele diport (cuadripoli). Să ne întoarcem atenția la circuitele avînd mai mult decît două porți. Ideile discutate în ultimul paragraf se aplică de asemenea multiporturilor cu extensiile corespunzătoare.

Să considerăm circuitul n -port arătat în fig. 3.19.

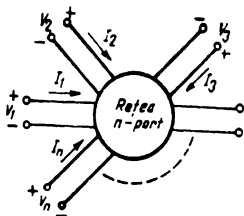


Fig. 3.19. Circuit-(rețea) multiport.

Comportarea exterioară a acestui circuit este complet descrisă din-din relațiile între tensiunile și curenții la porți. Un set de astfel de relații exprimă toate tensiunile la porți în funcție de curenții la porți

$$\begin{bmatrix} V_1 \\ V_2 \\ \vdots \\ V_n \end{bmatrix} = \begin{bmatrix} z_{11} & z_{12} & \cdots & z_{1n} \\ z_{21} & z_{22} & \cdots & z_{2n} \\ \vdots & \vdots & \ddots & \vdots \\ z_{n1} & z_{n2} & \cdots & z_{nn} \end{bmatrix} \begin{bmatrix} I_1 \\ I_2 \\ \vdots \\ I_n \end{bmatrix} \quad (33a)$$

sau

$$\mathbf{V} = \mathbf{Z}_{oc} \mathbf{I}. \quad (33b)$$

Prin observație directă se vede că parametrii pot fi interconectați ca :

$$z_{jk} = \frac{V_j}{I_k} \Big|_{\substack{\text{Toți curenții} \\ \text{curenți} = 0}} \quad (34)$$

care este pur și simplu extinderea caracterizării unui cuadripol prin impedanțele în gol. Matricea \mathbf{Z}_{oc} este asemănătoare celei din relația (12) cu deosebirea că este de ordinul n .

Matricea admitanțelor în scurtcircuit pentru un cuadripol poate fi extinsă direct pentru un n -port. Astfel :

$$\mathbf{I} = \mathbf{Y}_{sc} \mathbf{V}, \quad \mathbf{Y}_{sc} = [y_{jk}] \quad (35a)$$

unde

$$y_{jk} = \frac{I_j}{V_k} \Big|_{\substack{\text{Toate celelalte} \\ \text{tensiuni} = 0}} \quad (35b)$$

Dacă acum ne gândim să extindem reprezentarea cu ajutorul parametrilor hibridi ai cuadripolilor ne vom izbi de anumite probleme. În această reprezentare variabilele sînt mixte — curenți și tensiuni. Cum vor fi alese variabilele „independente“ și „dependente“ pentru un circuit cu mai mult de două porți? În cazul unui triport, de exemplu, pot fi făcute următoarele trei alegeri:

$$\begin{bmatrix} V_1 \\ V_2 \\ I_3 \end{bmatrix} = \mathbf{M}_1 \begin{bmatrix} I_1 \\ I_2 \\ V_3 \end{bmatrix}, \quad \begin{bmatrix} V_1 \\ I_2 \\ V_3 \end{bmatrix} = \mathbf{M}_2 \begin{bmatrix} I_1 \\ V_2 \\ I_3 \end{bmatrix}, \quad \begin{bmatrix} I_1 \\ V_2 \\ V_3 \end{bmatrix} = \mathbf{M}_3 \begin{bmatrix} V_1 \\ I_2 \\ I_3 \end{bmatrix}$$

Tot așa de bine pot fi alese și inversele acestor relații. În aceste alegeri fiecare vector conține exact o variabilă din fiecare poartă. Este de asemenea posibilă o alegere ca :

$$\begin{bmatrix} V_1 \\ V_2 \\ I_2 \end{bmatrix} = \mathbf{M}_4 \begin{bmatrix} I_1 \\ I_3 \\ V_3 \end{bmatrix}$$

unde fiecare vector conține și curentul și tensiunea unei anumite porți. Primele categorii sînt analoage reprezentărilor cu ajutorul parametrilor hibridi h și g din cazul cuadripolilor. Ultimele au ceva din trăsăturile

reprezentării cu ajutorul matricei lanț. Este clar că nu este convenabil să urmărim această logică a reprezentărilor posibile pentru un caz general. Ca și în cazul cuadripolilor, este posibil să interconectăm circuitele multiport. Doi multiporturi se zice că sînt conectați în paralel dacă porțile lor sînt conectate în paralel în perechi. Nu este necesar ca cei doi multiporturi să aibă același număr de porți. Porțile sînt conectate în paralel pînă la terminarea lor și nu are importanță dacă s-au terminat în același timp pentru ambele circuite sau mai devreme pentru unul.

În mod similar, doi multiporturi se zice că sînt conectați în serie dacă porțile lor sînt conectate în serie în perechi. Din nou, cei doi multiporturi nu trebuie să aibă obligatoriu același număr de porți.

Ca și în cazul cuadripolului matricea y generală a doi n -porți conectați în paralel este egală cu suma matricilor y ale n -porților individuali. Similar, matricea z generală a doi n -porți conectați în serie este egală cu suma matricilor z ale n -porților individuali. Acestea, desigur, presupun de asemenea ca interconectarea nu alterează parametrii n -porților individuali.

3.6. MATRICEA DE ADMITANȚĂ NEDEFINITĂ

Descrierea unui circuit prin comportarea sa la porți este posibilă numai dacă conexiunile exterioare circuitului sînt făcute la terminale luate în perechi.

În general terminalele nu vor fi împerechiate pentru a forma porți. În acest caz va fi util să avem o descriere a comportării externe a circuitului luat mai de grabă ca un circuit multiterminal decît ca un circuit multiport. În acest paragraf vom introduce o astfel de descriere. Să ne întoarcem la fig. 3.6. Circuitul cu șase terminale arătat acolo este reprezentat ca un 5-port cu bornă comună, definind tensiunile a cinci dintre terminale în raport cu cel de-al șaselea terminal luat ca nod de referință. Pentru un astfel de multiport cu bornă comună să presupunem că alegem ca nod de referință un punct arbitrar exterior circuitului așa cum este arătat în fig. 3.20 pentru un circuit n -terminal.

Vom presupune că circuitul este conectat, ceea ce presupune că nici un terminal nu este izolat de restul circuitului. Legea lui Kirchhoff privind curenții acestui n -terminal se scrie clar :

$$\sum_{k=1}^n I_k(s) = 0.$$

Deoarece circuitul este liniar, curenții pot fi exprimați ca o combinație liniară a tensiunilor terminalelor, astfel că :

$$\begin{bmatrix} I_1 \\ I_2 \\ \vdots \\ I_n \end{bmatrix} = \begin{bmatrix} y_{11} & y_{12} & \cdots & y_{1n} \\ y_{21} & y_{22} & \cdots & y_{2n} \\ \vdots & \vdots & \ddots & \vdots \\ y_{n1} & y_{n2} & \cdots & y_{nn} \end{bmatrix} \begin{bmatrix} V_1 \\ V_2 \\ \vdots \\ V_n \end{bmatrix} \quad (36)$$

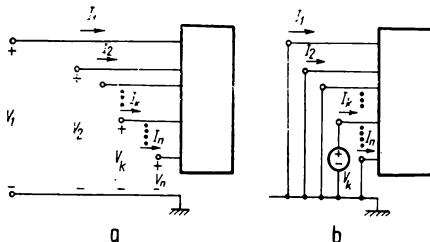


Fig. 3.20. Definiția variabilelor terminalelor.

Dimensional, elementele matricei coeficient a acestei ecuații sînt admitanțe; mai precis, admitanțe în scurtcircuit. În fig. 3.20, b toate terminalele sînt conectate la un nod de referință, iar între terminalul k și nodul de referință este conectată o sursă de tensiune. Acum poate fi determinat fiecare curent de terminal. Parametrii matricei vor fi :

$$y_{jk} = \frac{I_j}{V_k} \Big|_{\substack{\text{Toate celelalte} \\ \text{terminale la masă}}} \quad (37)$$

Aceștia sînt asemănători parametrilor y pentru un diport. Să examinăm relațiile de mai jos. Matricea coeficient din relația 3.36 este denumită *matricea de admitanță nedefinită* și este notată cu Y_1 . În continuare vor fi date cîteva din proprietățile acestei matrice.

În primul rînd să presupunem că ecuațiile scalare, reprezentate de ecuația matriceală (36), sînt toate adunate. Potrivit legii curenților a lui Kirchhoff, suma curenților este zero, astfel :

$$(y_{11} + y_{21} + \cdots + y_{n1})V_1 + (y_{12} + y_{22} + \cdots + y_{n2})V_2 + \cdots \\ + (y_{1n} + y_{2n} + \cdots + y_{nn})V_n = 0.$$

Expresiile din interiorul fiecărei paranteze sînt sumele elementelor coloanelor matricei Y_i . Tensiunile terminalelor sînt toate independente. Să presupunem că toate terminalele, exceptînd terminalul k , sînt scurt-circuitate. În acest caz, relația de mai sus se reduce la :

$$(y_{1k} + y_{2k} + \dots + y_{nk})V_k = 0. \quad (38)$$

Deoarece $V_k \neq 0$ rezultă că suma elementelor fiecărei linii a matricei de admitanță nedefinită este nulă. Deci liniile nu sînt toate independente și prin urmare Y_i este o matrice singulară.

Ceea ce este valabil pentru coloane este valabil și pentru rînduri. Să presupunem că toate terminalele, exceptînd terminalul k , sînt lăsate în gol și că terminalului k i se aplică o sursă de tensiune V_k . Presupunînd, în continuare că nici un terminal nu este izolat, tensiunile tuturor celorlalte terminale vor fi de asemenea egale cu V_k . Evident, toți curenții vor fi nuli, cu excepția lui I_k . Cu toate tensiunile egale, relația (3.36) poate fi scrisă pentru curentul I_j astfel :

$$I_j = (y_{j1} + y_{j2} + \dots + y_{jn})V_k = 0.$$

Deoarece $V_k \neq 0$, suma elementelor fiecărui rînd a lui Y_i este egală cu zero.

Odată cunoscută matricea de admitanțe nedefinită, pentru un circuit cu $n + 1$ terminale, este simplu să-l transformi într-un n -port cu bornă comună. Fie al „ $n + 1$ ”-lea — terminalul care va fi comun n -portului ; tensiunea sa va fi zero. Astfel ultima coloană a lui Y_i în (3.36) poate fi omisă, deoarece elementele ei sînt coeficienții acestei tensiuni care este zero. De asemenea, curentul acestui terminal care este redundant, cum rezultă din legea curenților lui Kirchhoff și, deci, și ultimul rînd a lui Y_i poate fi omis. Deci, transformarea unui terminal al circuitului în bornă comună se obține prin omiterea liniei și coloanei corespunzătoare acelui terminal din matricea admitanțelor nedefinită.

Operația inversă permite formarea matricei Y_i din matricea admitanțelor în scurtcircuit a unui n -port cu borna comună ; adică dîndu-se matricea admitanțelor în scurtcircuit a unui n -port cu bornă comună, se adaugă matricei un alt rînd, ale cărui elemente sînt sumele cu semn schimbat ale tuturor elementelor coloanei corespunzătoare. Apoi se adaugă o altă coloană, ale cărei elemente sînt sumele, cu semn schimbat, ale tuturor elementelor liniei corespunzătoare.

Să ilustrăm acest proces cu un diport cu bornă comună reprezentat în fig. 3.21, *a*. Tensiunile la porți, care în mod normal sînt notate cu V_1 și V_2 , vor fi notate cu V_{ac} și V_{bc} , pentru a sublinia cele două terminale

ale fiecărei porți. În fig. 3.21, b nodul-tensiune de referință este ales ca un punct diferit de terminalele cuadripolului. Să scriem mai întâi ecuațiile pentru diport; apoi să înlocuim pe V_{ac} cu $V_1 - V_3$ și V_{bc} cu $V_2 - V_3$:

$$I_1 = y_{11}V_{ac} + y_{12}V_{bc} = y_{11}(V_1 - V_3) + y_{12}(V_2 - V_3),$$

$$I_2 = y_{21}V_{ac} + y_{22}V_{bc} = y_{21}(V_1 - V_3) + y_{22}(V_2 - V_3).$$

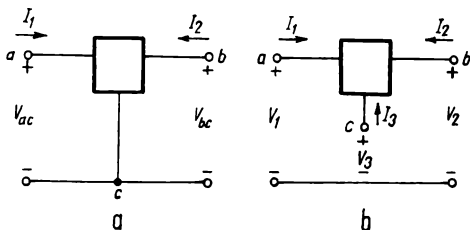


Fig. 3.21. Diportul cu bornă la masă reprezentat ca un circuit tri-terminal.

Din legea lui Kirchhoff privind curenții rezultă că I_3 din fig. 3.21 b este egal cu $-(I_1 + I_2)$. Adăugând această relație celor două relații precedente se obține:

$$I_1 = y_{11}V_1 + y_{12}V_2 - (y_{11} + y_{12})V_3,$$

$$I_2 = y_{21}V_1 + y_{22}V_2 - (y_{21} + y_{22})V_3, \quad (39)$$

$$I_3 = -(y_{11} + y_{21})V_1 - (y_{12} + y_{22})V_2 + (y_{11} + y_{12} + y_{21} + y_{22})V_3.$$

Matricea coeficient a acestei ecuații este Y_t .

De notat că această matrice poate fi formată imediat din matricea originală Y_{sc} , prin procedeul de adăugare a unei linii și coloane folosind proprietatea anulării sumei elementelor liniilor și coloanelor matricei Y_t .

Procedeul discutat conține și o metodă ca, plecând de la matricea Y_{sc} a unui multiport cu un terminal ca bornă comună, să se determine matricea Y_{sc} a unui multiport cu oricare alt terminal ca bornă comună. Aceasta este util, de exemplu, pentru obținerea schemei echivalente a unui amplificator cu triodă cu grila la masă cunoscând schema echivalentă cu catoda la masă sau reprezentarea unui amplificator cu baza comună din reprezentarea cu emitor comun. Pentru a ilustra procedeul

să considerăm diportul cu bornă comună reprezentat în fig. 3.22, *a*. Matricea admitanțelor în scurtcircuit a acestui diport este:

$$Y_{sc1} = \begin{bmatrix} G & P \\ G_g + sC & -sC \\ g_m - sC & G_p + sC \end{bmatrix} \begin{matrix} G \\ P \end{matrix}$$

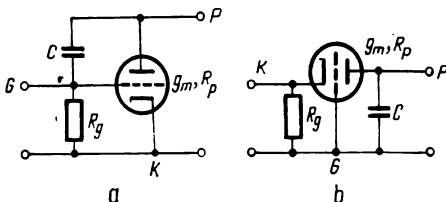


Fig. 3.22. Matricea admitanță nedefinită pentru un amplificator electronic.

(Literalele au fost folosite pentru a identifica coloanele și rindurile cu terminalele specifice). Din matricea admitanțelor în scurtcircuit se poate scrie imediat matricea de admitanță nedefinită:

$$Y_i = \begin{bmatrix} G & P & K \\ G_g + sC & -sC - G_g & -G_g \\ g_m - sC & G_p + sC - (g_m + G_p) & -g_m \\ -(g_m + G_g) - G_p & g_m + G_g + G_p & G_p + sC \end{bmatrix} \begin{matrix} G \\ P \\ K \end{matrix} \quad (40)$$

Pentru a găsi matricea admitanțelor în scurtcircuit a configurației cu grilă comună reprezentată în fig. 3.22, *b* este suficient să suprimăm linia și coloana corespunzătoare terminalului grilă, care în relația (40) corespunde primei linii și coloane. Desigur, trebuie să ne asigurăm că rindurile și coloanele care rămân corespund intrării și ieșirii — în cazul nostru catodei și anodului. Deci:

$$Y_{sc2} = \begin{bmatrix} K & P \\ g_m + G_g + G_p & -G_p \\ -(G_p + g_m) & G_p + sC \end{bmatrix} \begin{matrix} K \\ P \end{matrix}$$

Rezultă că o dată cunoscută matricea admitanță nedefinită a unui circuit multiterminal, diferitele manipulări ale acestuia pot fi descrise prin simple schimbări ale matricei Y_i . Cîteva din acestea vor fi discutate în continuare.

Conectarea a două terminale

Să presupunem că două terminale ale unui n -port sînt conectate într-un singur terminal. Cei doi curenți exteriori sînt înlocuiți printr-unul singur egal cu suma primilor doi.

Cele două tensiuni sînt acum identice. Astfel matricea Y_i a circuitului cu $(n - 1)$ terminale se obține prin adunarea celor două rînduri și coloane, corespunzătoare celor două terminale, din matricea Y_i —originală. (Această sumă înlocuiește cele două rînduri și coloane originale). Generalizarea pentru mai mult de două terminale este evidentă.

Suprimarea terminalelor

Să presupunem că unul din terminale este făcut terminal intern, la care nu poate fi făcută nici o conexiune exterioară. Acest procedeu se numește *suprimarea* unui terminal. Curentul la acel terminal, fie el al n -lea, va fi zero. Ecuația pentru $I_n = 0$ poate fi rezolvată pentru V_n (presupunind $y_{nn} \neq 0$) iar rezultatul substituit în celelalte ecuații. Aceasta va elimina pe V_n și vor rămîne astfel $n - 1$ ecuații pentru $n - 1$ tensiuni. Procedul poate fi extins în formă matriceală pentru mai mult decît un terminal după cum urmează :

Știind că $I = Y_i V$, se pot despărți matricele în forma :

$$\begin{bmatrix} I_a \\ I_b \end{bmatrix} = \begin{bmatrix} Y_{11} & Y_{12} \\ Y_{21} & Y_{22} \end{bmatrix} \begin{bmatrix} V_a \\ V_b \end{bmatrix}$$

sau

$$I_a = Y_{11} V_a + Y_{12} V_b, \quad (41)$$

$$I_b = Y_{21} V_a + Y_{22} V_b,$$

unde I_b și V_b corespund terminalelor care vor fi suprimate ; adică vectorul $I_b = 0$. Rezolvînd a doua ecuație (3.41) în raport cu V_b și substituind în prima ecuație se obține :

$$V_b = -Y_{22}^{-1} Y_{21} V_a, \quad (42)$$

$$I_a = (Y_{11} - Y_{12} Y_{22}^{-1} Y_{21}) V_a.$$

Noua matrice de admitanță nedefinită este

$$Y_i = Y_{11} - Y_{12} Y_{22}^{-1} Y_{21}. \quad (43)$$

Circuite în paralel

Matricea de admitanță nedefinită a două circuite conectate în paralel este egală cu suma matricelor Y_i a celor două circuite. Prin „conectare în paralel” înțelegem că fiecare terminal al unui circuit este conectat la un terminal al celuilalt circuit și împreună au un nod de tensiune de referință. Nu este necesar ca cele două circuite să aibă același număr de terminale. În acest caz, matricea Y_i a circuitului cu mai puține terminale va fi completată cu rinduri și coloane nule.

În particular, un simplu dipol conectat la două terminale ale unui multiterminal poate fi considerat ca fiind în paralel cu acesta. De notat că matricea admitanță nedefinită a unei laturi avînd admitanța Y , este :

$$Y_i \text{ a unei singure laturi} = \begin{bmatrix} Y & -Y \\ -Y & Y \end{bmatrix}.$$

Cofactorii determinantului matricei Y_i

O proprietate foarte importantă a determinantului matricei admitanței nedefinite rezultă din faptul că suma elementelor fiecărei linii și coloane este zero. Să presupunem că $\det Y_i$ este dezvoltat după latura j . Rezultatul este :

$$\det Y_i = y_{j1} \Delta_{j1} + y_{j2} \Delta_{j2} + \dots + y_{jn} \Delta_{jn},$$

unde Δ_{jk} este cofactorul (j, k) al determinantului lui Y_i . Deoarece suma elementelor liniei j este zero, putem înlocui un element cu suma cu semn schimbat a celorlalte elemente ale liniei. Astfel

$$y_{j1} = -(y_{j2} + y_{j3} + \dots + y_{jn}).$$

Înlocuind aceasta în relația precedentă se obține

$$\det Y_i = y_{j2}(\Delta_{j2} - \Delta_{j1}) + y_{j3}(\Delta_{j3} - \Delta_{j1}) + \dots + y_{jn}(\Delta_{jn} - \Delta_{j1}) = 0.$$

Determinantul este egal cu zero deoarece Y_i este singulară. Mai mult, determinantul este zero indiferent de valorile elementelor y_{jk} . Astfel ultima ecuație va fi satisfăcută numai dacă fiecare termen din paranteză va fi zero, adică :

$$\Delta_{jk} = \Delta_{j1}. \quad (44)$$

Aceasta înseamnă că toți cofactorii elementelor oricărei linii sînt egali.

Același procedeu, plecînd de la dezvoltarea determinantului lui Y_i după elementele unei coloane, va conduce la un rezultat similar, privind egalitatea cofactorilor elementelor oricărei coloane. Deoarece fiecare linie și coloană are un element comun, cofactorul acestui element este egal cu toți cofactorii acelei linii și coloane.

Concluzia este că *toți cofactorii matricei admitanță nedefinită sînt egali*. Această proprietate a condus pentru Y_i la numele de *matricea echicofactor*.

Exemplu. Să ilustrăm printr-un exemplu cum poate fi folosită matricea de admitanță nedefinită în diferite calcule pentru un circuit. Să considerăm circuitul din fig. 3.23, *a*. Se dorește să se găsească matricea admitanțelor de scurtcircuit a cuadripolului reprezentat în configurația cu bornă comună. Vom face aceasta (1) folosind matricea admitanță nedefinită a cuadripolului din fig. 3.23, *b*, (2) adăugîndu-i o singură latură, (3) suprimînd terminalul 3 și în final (4) transformînd nodul 4 în nod de referință.

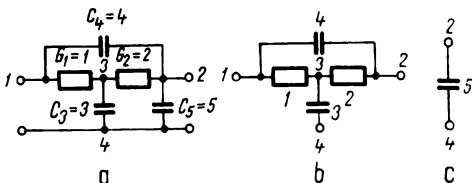


Fig. 3.23. Determinarea admitanțelor în scurtcircuit folosind matricea Y_i .

Pentru determinarea lui Y_i vom considera inițial circuitul cu un triport cu bornă comună și nodul 4 ca nod de referință ca în fig. 3.23b. Parametrii y ai acestui triport pot fi găsiți din definiția lor, de exemplu aplicînd o tensiune porții din stînga, și scurtcircuitînd celelalte două porți ca în fig. 3.24.

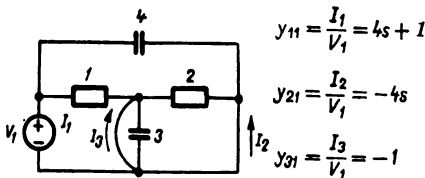


Fig. 3.24. Calculul lui Y_{sc} pentru un triport.

Din această figură pot fi determinați cu ușurință trei din parametrii y . Ceilalți parametri y sînt găsiți într-un mod similar, iar rezultatul va fi:

$$Y_{sc} = \begin{bmatrix} 4s + 1 & -4s & -1 \\ -4s & 4s + 2 & -2 \\ -1 & -2 & 3s + 3 \end{bmatrix}$$

Matricea de admitanță nedefinită se găsește simplu adăugînd un rînd și o coloană ale căror elemente sînt determinate cu ajutorul proprietății de anulare a sumei elementelor unui rînd și a unei coloane pentru o matrice Y_i . Rîndul și coloana adăugate corespund laturii 5. Deoarece aceasta este conectată între terminalele 2 și 4, vor apare elemente nenule în aceste două rînduri și coloane. Matricea Y_i va fi:

$$Y_i = \begin{bmatrix} 4s+1 & -4s & -1 & 0 \\ -4s & 4s+2 & -2 & 0 \\ -1 & -2 & 3s+3 & -3s \\ 0 & 0 & -3s & 3s \end{bmatrix} + \begin{bmatrix} 0 & 0 & 0 & 0 \\ 0 & 5s & 0 & -5s \\ 0 & 0 & 0 & 0 \\ 0 & -5s & 0 & 5s \end{bmatrix} = \begin{bmatrix} 4s+1 & -4s & -1 & 0 \\ -4s & 9s+2 & -2 & -5s \\ -1 & -2 & 3s+3 & -3s \\ 0 & -5s & -3s & 8s \end{bmatrix}.$$

Următoarea etapă este suprimarea terminalului 3.

Pentru aceasta vom schimba între ele rîndurile și coloanele 3 și 4 cu scopul de a trece pe ultima poziție rîndul și coloana 3. Apoi pentru a identifica matricele, ca în relația (41) vom separa pe Y_i astfel:

$$Y_i = \begin{bmatrix} 4s+1 & -4s & 0 & -1 \\ -4s & 9s+2 & -5s & -2 \\ 0 & -5s & 8s & -3s \\ \dots & \dots & \dots & \dots \\ -1 & -2 & -3s & 3s+3 \end{bmatrix} = \begin{bmatrix} Y_{11} & Y_{12} \\ Y_{21} & Y_{22} \end{bmatrix}.$$

Deci,

$$Y_{12} Y_{22}^{-1} Y_{21} = \begin{bmatrix} -1 \\ -2 \\ -3s \end{bmatrix} \left[\frac{1}{3s+3} \right] [-1 \ -2 \ -3s] = \frac{1}{3s+3} \begin{bmatrix} 1 & 2 & 3s \\ 2 & 4 & 6s \\ 3s & 6s & 9s^2 \end{bmatrix}.$$

Noua matrice admitanță nedefinită, corespunzătoare circuitului cu nodul 3 suprimat, va fi:

$$Y_{ino4} = \begin{bmatrix} 4s+1 & -4s & 0 \\ -4s & 9s+2 & -5s \\ 0 & -5s & 8s \end{bmatrix} - \frac{1}{3s+3} \begin{bmatrix} 1 & 2 & 3s \\ 2 & 4 & 6s \\ 3s & 6s & 9s^2 \end{bmatrix} =$$

$$\begin{bmatrix} 4s+1 - \frac{1}{3s+3} & -\left(4s + \frac{2}{3s+3}\right) & \frac{-3s}{3s+3} \\ -\left(4s + \frac{2}{3s+3}\right) & 9s+2 - \frac{4}{3s+3} & -\left(5s + \frac{6s}{3s+3}\right) \\ \frac{-3s}{3s+3} & -\left(5s + \frac{6s}{3s+3}\right) & 8s - \frac{9s^2}{3s+3} \end{bmatrix}$$

În final, terminalul 4 este transformat în bornă comună omițându-se ultimul rînd și ultima coloană a matricei Y_i . Matricea y dorită este :

$$Y_{sc} = \begin{bmatrix} 4s + 1 - \frac{1}{3s + 3} & -\left(4s + \frac{2}{3s + 3}\right) \\ -\left(4s + \frac{2}{3s + 3}\right) & 9s + 2 - \frac{4}{3s + 3} \end{bmatrix}.$$

S-ar putea spune că o metodă obișnuită ar necesita mai puțină muncă. Este adevărat că au necesitat mai multe etape aici, dar fiecare etapă este aproape banală, multe din ele scriindu-se prin simplă observație. De asemenea, ultimul rînd și, ultima coloană a noii matrice Y , nu trebuie calculate, aici fiind date numai pentru completarea calculului.

3.7. MATRICEA IMPEDANȚĂ NEDEFINITĂ

După cele învățate despre matricea admitanță nedefinită o curiozitate naturală ne conduce să ne gîndim la o matrice duală, care poate fi numită *matricea impedanță nedefinită*.

Să ne întoarcem la fig. 3.20, în termenii căreia a fost dezvoltată noțiunea de matrice admitanță nedefinită Y_i . Condiția importantă, care ne-a condus la proprietatea anulării sumei elementelor rîndurilor și coloanelor, este faptul că, potrivit legii curenților lui Kirchhoff, suma tuturor curenților de terminal este nulă. Evident, pentru situația duală, va trebui să găsim că, potrivit legii tensiunilor lui Kirchhoff suma unui set de tensiuni este nulă. Tensiunile terminalelor nu pot forma acest set, deoarece legea tensiunilor lui Kirchhoff nu poate fi aplicată decît unui circuit închis, iar tensiunile terminalelor nu pot fi înconjurate de o curbă închisă.

Și totuși, dacă alegem ca variabile — tensiunile între perechile de terminale adiacente (ca în fig. 3.25, *a*) — vedem că ele satisfac legea tensiunilor a lui Kirchhoff. Vor fi tot atitea variabile — tensiuni cîte terminale sînt.

Pentru circuitele liniare, la care ne referim, aceste variabile — tensiuni pot fi exprimate ca fiind combinații liniare ale curenților de terminale. Însă este mult mai convenabil să definim un alt set de curenți ca în fig. 3.25, *b*, în locul setului de curenți de terminale. Curenții J_k sînt curenții ciclici (de contur) externi între perechile de terminale. Există o relație liniară, simplă, între curenții de contur externi și curenții de terminale : $I_k = J_k - J_{k+1}$.

Astfel, poate fi scrisă o relație liniară, care să exprime tensiunile în funcție de acești curenți de contur, tot așa de simplu ca și o relație între aceste tensiuni și curenții de terminale.

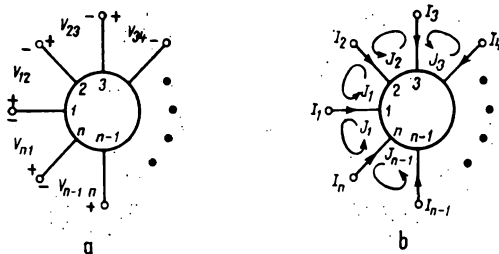


Fig. 3.25. Variabilele matricei impedanțe nedefinite.

Această relație va fi :

$$\begin{bmatrix} V_{12} \\ V_{23} \\ \vdots \\ V_{n1} \end{bmatrix} = \begin{bmatrix} z_{11} & z_{12} & \cdots & z_{1n} \\ z_{21} & z_{22} & \cdots & z_{2n} \\ \vdots & \vdots & \ddots & \vdots \\ z_{n1} & z_{n2} & \cdots & z_{nn} \end{bmatrix} \begin{bmatrix} J_1 \\ J_2 \\ \vdots \\ J_n \end{bmatrix} \quad \text{sau} \quad \begin{bmatrix} V_{12} \\ V_{23} \\ \vdots \\ V_{n1} \end{bmatrix} = \mathbf{Z}_i \begin{bmatrix} J_1 \\ J_2 \\ \vdots \\ J_n \end{bmatrix} \quad (45)$$

Matricea acestor ecuații este notată cu \mathbf{Z}_i și se numește *matricea impedanță nedefinită*. Ca și în cazul matricii \mathbf{Y}_i , este posibil să arătăm că *suma elementelor fiecărui rând sau a fiecărei coloane a lui \mathbf{Z}_i este egală cu zero*.

În cazul coloanelor aceasta se face adunind ecuațiile și folosind legea tensiunilor lui Kirchhoff. Pentru rînduri, proprietatea se demonstrează anulind toate tensiunile în afara uneia și aplicînd o sursă de curent între terminalele asociate tensiunii neanulate. Cele de mai sus presupun scurtcircuitarea împreună a tuturor terminalelor — ceea ce determină : (1) ca ultima tensiune să fie de asemenea nulă (prin aplicarea legii tensiunilor a lui Kirchhoff) și (2) toți curenții de contur externi să fie egali.

Detaliile acestor calcule sînt lăsate cititorului.

Astfel, ca și în cazul lui \mathbf{Y}_i , matricea impedanță nedefinită este o matrice singulară.

Să ne reamintim că, pentru $(n - 1)$ -port cu bornă comună derivat dintr-un n -port prin scurtcircuitarea unui terminal la nodul de referință

ca în fig. 3.20, matricea admitanță nedefinită este legată printr-o relație simplă de matricea admitanțelor de scurtcircuit.

Situația corespunzătoare este :

Pentru un $(n - 1)$ -port, derivat dintr-un n -port, la care s-a lăsat în gol o pereche de terminale ca în fig. 3.25, matricea impedanță nedefinită se află într-o relație simplă cu matricea impedanțelor în gol Z_{oc} . (Matricea impedanțelor în gol pentru acest $(n - 1)$ -port va fi numită matricea impedanțelor în gol a unui circuit cu contur comun). De fapt Z_i se obține, întâi, prin adăugarea unui rând matricii Z_{oc} — fiecare element al acestui rând fiind suma cu semn schimbat a tuturor elementelor rîndului, apoi prin adăugarea unei coloane matricii rezultate, fiecare element al acestei coloane fiind suma cu semn schimbat a tuturor elementelor coloanei respective.

În cazul matricii Y_i proprietatea anulării sumei elementelor rîndurilor și coloanelor conduce la proprietatea egalității cofactorilor.

Similar, cofactorii matricii impedanță nedefinită sînt toți egali.

Deoarece, deseori, multipolii sînt cu bornă comună, să examinăm relația între matricea impedanțelor în gol a unui circuit cu bornă comună și matricea impedanță în gol a unui circuit cu contur (ochi) comun. În fig. 3.25 se presupune că terminalul n este borna comună, iar variabilele tensiune pentru descrierea porților vor fi tensiunile terminale raportate la nodul de referință n . Astfel $V_n = 0$. Deoarece, conform legii curenților lui Kirchhoff, suma curenților de terminal este zero, unul din curenți este redundant. Dat fiind că fiecare curent de terminal este diferența între doi curenți de contur externi, curenții de terminal nu se vor schimba dacă toți curenții externi vor fi micșorați sau măriți cu aceeași cantitate. Să presupunem că J_n este ales să fie zero. Aceasta este echivalent cu scăderea lui J_n din fiecare curent extern — curenții de terminal rămînd neschimbați. Din fig. 3.25 putem scrie următoarele :

$$I_1 = J_1.$$

$$I_2 = J_2 - J_1 = J_2 - I_1,$$

$$I_3 = J_3 - J_2 = J_3 - I_1 - I_2.$$

$$\vdots$$

$$I_{n-1} = J_{n-1} - J_{n-2}$$

$$= J_{n-1} - (I_1 + I_2 + \cdots + I_{n-2})$$

$$J_1 = I_1.$$

$$J_2 = I_1 + I_2.$$

$$J_3 = I_1 + I_2 + I_3.$$

sau

$$\vdots$$

$$J_{n-1} = I_1 + I_2 + \cdots + I_{n-1}.$$

Ecuatiile pentru curenții J pot fi scrise și astfel :

$$\mathbf{J} = \mathbf{M}\mathbf{I}.$$

(46)

unde \mathbf{M} este o matrice triunghiulară de ordin $(n - 1)$.

$$\mathbf{M} = \begin{bmatrix} 1 & 0 & 0 \cdots 0 \\ 1 & 1 & 0 \cdots 0 \\ 1 & 1 & 1 \cdots 0 \\ \vdots & \vdots & \vdots & \ddots \\ 1 & 1 & 1 \cdots 1 \end{bmatrix} \quad (47)$$

Un raționament analog se aplică tensiunilor. Tensiunea de poartă V_k este tensiunea terminalului k în raport cu cea a terminalului n . Aceste tensiuni de porți sînt exprimabile ca :

$$\begin{bmatrix} V_1 \\ V_2 \\ \vdots \\ V_{n-1} \end{bmatrix} = \mathbf{M}' \begin{bmatrix} V_{12} \\ V_{23} \\ \vdots \\ V_{n-1, n} \end{bmatrix}. \quad (48)$$

Detaliile acestui calcul sînt lăsate cititorului. Deoarece $J_n = 0$, ultima coloană din \mathbf{Z}_i în (45), poate fi omisă. Similar, ultimul rînd poate fi omis, deoarece V_{n1} nu apare în (48). În acest fel obținem matricea impedanțelor în gol a unui circuit cu contur comun, notată cu $\mathbf{Z}_{oc(l)}$. Astfel, folosind (48), (46) și (45) cu ultima linie și coloană omise se obține :

$$\begin{bmatrix} V_1 \\ V_2 \\ \vdots \\ V_{n1} \end{bmatrix} = \mathbf{M}' \begin{bmatrix} V_{12} \\ V_{23} \\ \vdots \\ V_{n-1, n} \end{bmatrix} = \mathbf{M}' \mathbf{Z}_{oc(l)} \begin{bmatrix} J_1 \\ J_2 \\ \vdots \\ J_{n-1} \end{bmatrix} = \mathbf{M}' \mathbf{Z}_{oc(l)} \mathbf{M} \begin{bmatrix} I_1 \\ I_2 \\ \vdots \\ I_{n-1} \end{bmatrix}. \quad (49)$$

(Să ținem minte că $\mathbf{Z}_{oc(l)}$ aici este \mathbf{Z}_i a lui (45) cu ultimul rînd și ultima coloană omise).

Ecuatia (49) leagă tensiunile de poartă de curenții de poartă. Prin urmare matricea impedanțelor în gol a unui circuit cu bornă comună \mathbf{Z}_{oc} va fi :

$$\mathbf{Z}_{oc} = \mathbf{M}' \mathbf{Z}_{oc(l)} \mathbf{M}, \quad (50a)$$

și

$$\mathbf{Z}_{oc(l)} = (\mathbf{M}')^{-1} \mathbf{Z}_{oc} \mathbf{M}^{-1}. \quad (50b)$$

Ultima relație rezultă din faptul că matricea triunghiulară cu termenii diagonali nenuli este nesară. Legătura, în acest caz, pare a fi mult mai complicată decât în cazul corespunzător legăturii între Y_e și Y_i . Cunoașterea lui Z_i (50a) permite determinarea lui Z_{oc} și $Z_{oc(i)}$. Invers, dîndu-se, pentru un $(n - 1)$ -port cu bornă comună Z_{oc} , cu ajutorul relației (50b) se determină $Z_{oc(i)}$. Din $Z_{oc(i)}$ se obține Z_i prin adăugarea unei linii și a unei coloane, folosind proprietatea anulării sumei elementelor liniilor și coloanelor acestei matrice.

3.8. FORMULE TOPOLOGICE PENTRU FUNCȚIILE DE CIRCUIT

Să recapitulăm pe scurt ce s-a făcut în acest capitol.

În primul paragraf am definit funcțiile de circuit ca relații între transformatele Laplace ale răspunsului și excitației circuitului. Acestea pot fi funcții de intrare sau funcții de transfer; dar, în cazul circuitelor liniare și cu constante concentrate, ele vor fi toate funcții raționale de variabilă frecvență complexă s . Expresiile pentru oricare din aceste funcții pot fi găsite rezolvînd ecuațiile la noduri sau pe contur. În toate cazurile funcțiile de circuit pot fi exprimate ca un raport între determinantul matricii admitanțelor la noduri și cofactorii ei sau a matricii impedanțelor pe contur și cofactorii ei. Paragrafele următoare ale acestui capitol au fost dedicate unor discuții asupra diferitelor moduri de descriere a comportării externe a unui circuit. Descrierile de pînă acum conduceau la definirea unor funcții de circuit în diferite condiții impuse terminalelor (impedanțe în gol, admitanțe în scurtcircuit, etc.). Oricare din aceste funcții pot fi evaluate așa cum s-a arătat în primul paragraf. Calculul lor se reduce la calculul unor determinanți și a cofactorilor săi.

Să ne întoarcem acum la găsirea unor procedee simple de evaluare a acestor determinanți. Metodele uzuale de evaluare a acestor determinanți (de exemplu, dezvoltarea după minori sau condensarea pivotală) necesită multiplicarea multor elemente și adunarea acestor produse. În acest proces mulți termeni pot eventual să dispară, dar asta numai după un calcul lung și laborios. Ar fi de un real folos să știm de la început care termeni vor dispărea în final. Metoda pe care o vom discuta corespunde acestui scop.

Determinantul matricii admitanțelor la noduri

Vom începe considerînd ecuațiile la noduri $Y_n(s)V_n(s) = J(s)$ unde :

$$Y_n = AYA', \quad (51)$$

în care A este matricea de incidență și Y este matricea admitanțelor pe laturi. În acest paragraf vom restrânge discuția la cazul circuitelor pasive, reciproce, fără cuplaje mutuale, adică la cazul circuitelor RLC fără transformatoare. Ne interesează să evaluăm $\det(AYA')$. Pentru aceasta aplicăm teorema Binet-Cauchy, care conduce la relația :

$$\det AYA' = \sum_{\substack{\text{totl det.} \\ \text{majori}}} \text{produsele det. majori corespunzătorii lui } (AY) \text{ și } A' \quad (52)$$

Am considerat produsul AY ca una din cele două matrici la care se referă teorema.

Vom reaminti câteva din proprietățile lui A și Y . Matricea admitanță Y a brațelor unui circuit RLC fără transformatoare este o matrice diagonală, unde y_j pentru $j = 1, 2, \dots, b$ vor fi elementele diagonale. Să ne reamintim de asemenea că submatricile neregulate ale lui A corespund arborilor grafului circuitului, iar determinanții acestor matrici sînt egali cu ± 1 .

Matricea AY are aceeași structură ca și A cu excepția coloanei j care va fi multiplicată cu y_j . Deci, și submatricile neregulate ale produsului AY vor corespunde arborilor grafului circuitului, dar în acest caz, valoarea determinanților majori nu vor mai fi ± 1 ci va fi egală cu produsul admitanțelor laturilor arborelui corespunzător. Așa cum s-a discutat în capitolul anterior, submatricea A' este pur și simplu transpusa submatricei A . Deci o matrice neregulată a lui A' va avea același determinant (± 1) ca și submatricea corespunzătoare a lui A . În consecință fiecare termen din însumarea (52) va fi produsul admitanțelor tuturor ramurilor arborelui, pe care îl vom numi *produsul admitanțelor arborelui* și-l vom nota cu $T(y)$.

Deci :

$$\begin{aligned} \Delta_{1,1} &= \det AYA' = \sum_{\substack{\text{totl} \\ \text{arborii}}} T(y) \\ &= \sum_{\substack{\text{totl} \\ \text{arborii}}} \text{produsele admitanțelor arborelui} \quad (53) \end{aligned}$$

Acest rezultat foarte interesant a fost pentru prima dată demonstrat de către Maxwell.

Deci, pentru a calcula determinantul matricei admitanțelor la noduri a unui circuit vom determina mai întâi toți arborii grafului circuitului, apoi vom multiplica admitanțele brațelor fiecărui arbore, iar în final vom aduna aceste produse pentru toți arborii. (Pentru simplitate vom spune adesea „produsele arborilor” în loc de „produse ale admitanțelor arborilor”).

Pentru a ilustra acest rezultat să considerăm exemplul arătat în fig. 3.26.

Vom presupune că circuitul va fi excitat de o sursă de curent la bornele rezistenței R_6 . Sînt patru noduri în circuit, astfel că fiecare arbore va avea trei ramuri. Arborii circuitului vor fi :

124	134	145	234	245	346	456
125	135	156	235	246	356	
126	136		236			

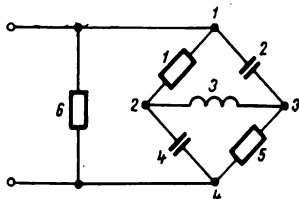


Fig. 3.26. Exemplu pentru evaluarea lui $\det AYA'$.

De notat că, în acest exemplu, determinarea tuturor arborilor nu constituie o dificultate. Deoarece, pentru un circuit cu $n + 1$ noduri, fiecare arbore conține n ramuri, un procedeu de a determina toți arborii circuitului constă în a lista toate combinațiile de b laturi luate câte n . Dintre acestea se vor elimina acele combinații care conțin cel puțin un ochi și care nu pot forma un arbore.

Întorcîndu-ne la exemplu, odată arborii circuitului aflați, se determină produsele admitanțelor arborilor. De fapt acest lucru poate fi făcut astfel ca termenii cu aceleași puteri ale lui s să fie scriși împreună. Rezultatul va fi :

$$\det AYA' = s^2 C_2 C_4 (G_1 + G_5 + G_6) + s \left[C_2 G_1 (G_5 + G_6) + C_4 G_5 (G_1 + G_6) + \right. \\ \left. + \frac{C_2 C_4}{L_3} \right] + G_1 G_5 G_6 + \frac{C_2}{L_3} (G_5 + G_6) + \frac{C_4}{L_3} (G_1 + G_6) + \frac{1}{s L_3} (G_1 G_5 + \\ + G_1 G_6 + G_5 G_6).$$

Cofactori simetrici ai matricei admitanțelor la noduri

Să ne întoarcem acum la cofactorii lui $\det AYA'$. Îi vom împărți în două grupe : cofactor simetrici, cum ar fi Δ_{jj} , și cofactori asimetrici, cum ar fi Δ_{jk} . Vom considera mai întîi cofactorii simetrici. Cofactorul

Δ_{jj} se obține din matricea admitanțelor la noduri prin suprimarea liniei și coloanei j . Același rezultat se obține dacă în AYA' , vom suprima linia j a primei matrici și coloana j a ultimei matrici a produsului. Dar coloana j a matricii A' este linia j a lui A . Să notăm cu A_{-j} matricea A cu rîndul j omis. Astfel :

$$\Delta_{jj} = \det (A_{-j} YA'_{-j}). \quad (54)$$

Ce semnificație are A_{-j} pentru circuit? Deoarece fiecare rînd a lui A corespunde unui nod care nu este nod de referință, omiterea unui rînd corespunde scurtcircuitării nodului respectiv la nodul de referință. Dacă circuitul original era notat cu N , să notăm cu N_{-j} — circuitul care rezultă prin scurtcircuitarea nodului j la nodul de referință. Atunci A_{-j} este matricea de incidență a circuitului N_{-j} . În consecință :

$$\Delta_{jj} = \det (A_{-j} YA'_{-j}) = \sum_{\substack{\text{toți} \\ \text{arborii lui } N_{-j}}} \text{produsele admitanțelor arborilor lui } N_{-j}. \quad (55)$$

Această expresie poate fi folosită la determinarea lui Δ_{jj} dar este mult mai utilă pentru a stabili legătura dintre Δ_{jj} și circuitul original N .

Acum N_{-j} are cu un nod mai puțin decît N , deci cu o ramură mai puțin într-un arbore. Un arbore a lui N_{-j} nu poate fi un arbore al lui N și nu poate conține un contur (o buclă) a lui N . Astfel, deoarece un arbore a lui N_{-j} are o ramură mai puțin decît un arbore al lui N , un arbore al lui N_{-j} poate fi conținut într-un arbore al lui N . Să notăm cu T_{-j} un arbore al lui N_{-j} și să-l presupunem conținut în T — care este un arbore a lui N . Evident, T_{-j} este un semigraf a lui T (Aceasta nu contrazice faptul că este o parte a subgrafului lui N_{-j}). Deoarece în T_{-j} , ca un subgraf al lui T_{-j} , nodul j și nodul de referință d sînt scurtcircuitate, nu există nici o cale între ele. Deci nodurile j și d sînt fiecare într-o parte diferită a lui T_{-j} , ca subgraf a lui T . O astfel de structură se numește biarbore. Explicit, într-un circuit cu $(n + 1)$ noduri, *un biarbore este un set de $n - 1$ laturi care nu formează ochiuri și care separă un arbore al circuitului în două părți conecte*. Produsul admitanțelor brațelor ce constituie un biarbore se numește *produs admitanță a biarborelui* și se notează cu ${}^2T(y)$. Se utilizează indici pentru a indica nodul care este necesar să fie într-o parte diferită a grafului. Astfel ${}^2T_{j,d}(y)$ semnifică un produs admitanță a biarborelui în care nodurile j și d sînt părți diferite ale grafului.

Pentru exemplul din fig. 3.26, circuitul N_{-1} este format prin scurtcircuitarea nodurilor 1 și 4, așa cum este arătat în fig. 3.27. Seturile de laturi notate cu 13, 34, 45 și 24 sînt patru din arborii acestui circuit. Pentru circuitul original N , aceste seturi de laturi au configurațiile arătate în fig. 3.28. Fiecare din acestea sînt un biarbore cu nodurile 1 și 4 în părți diferite. În unele din ele nodurile 1 și 4 sînt noduri izolate, în altele nu sînt.

În afară de acestea, sînt și alți biarbori (12, 15, 23 și 35) în care nodurile 1 și 4 sînt în diferite părți. Toate acestea contribuie la calculul lui Δ_{11} .

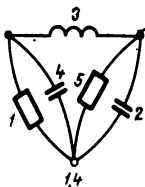


Fig. 3.27. Circuitul N_j corespunzător lui N din fig. 3.26.

Odată cu introducerea conceptului de biarbore, expresia pentru cofactorul Δ_{jj} (55) poate fi rescrisă astfel:

$$\Delta_{jj} = \sum_{\substack{\text{toți} \\ \text{biarborii}}} T_{j,d}(y) = \sum_{\substack{\text{toți} \\ \text{biarborii}}} \text{produsele admitanțelor biarborilor } (j, d) \quad (56)$$

unde d este nodul de referință.

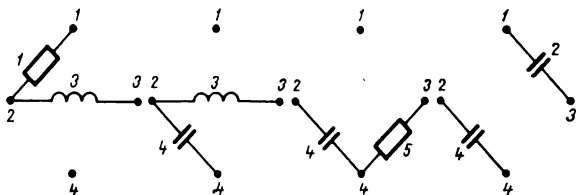


Fig. 3.28. Cîțiva din bi-arborii (1,4) ai circuitului N din fig. 3.26.

Avînd formulele pentru Δ și cofactorii simetrici putem evalua funcțiile de intrare ale circuitului. Fie circuitul N din fig. 3.29, considerat pasiv și fără transformatoare și presupus excitat de o sursă de curent.

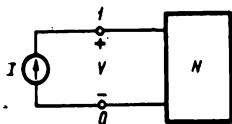


Fig. 3.29. Calculul funcției de intrare.

Să alegem ca nod de referință pentru tensiunile de noduri, terminalul cel mai de jos al sursei (notat cu 0). Expresia impedanței de intrare va fi:

$$Z(s) = \left. \frac{\Delta_{11}(s)}{\Delta(s)} \right|_v. \quad (57)$$

Substituind pentru Δ și Δ_{11} expresiile corespunzătoare (53) și (56) se obține:

$$Z(s) = \frac{\sum^2 T_{1,0}(y)}{\sum T(y)} = \frac{\sum \text{produsele biarborilor } (1, 0)}{\sum \text{produsele arborilor}} \quad (58)$$

Acesta este într-adevăr un rezultat foarte util, deoarece permite evaluarea funcțiilor de intrare a unui circuit simplu și chiar a unor circuite de o complexitate structurală moderată prin simpla lor inspecție, fără o analiză extinsă.

Mai mult chiar, rezultatul cuprins în relația (58) poate fi aplicat pentru circuite mult mai complexe folosind un calculator digital — căutând mai întâi toți arborii și biarborii circuitului iar apoi formând produsele necesare.

Să aplicăm formula (58) filtrului trece sus din figura 3.30, pentru care se dorește să se determine funcția de intrare.

Sînt patru noduri, deci, trei ramuri într-un arbore și două laturi într-un biarbor. Arborii și biarborii (1, 0) vor fi:

Arbori				Biarbori (1,0)		
123	125	145	456	23	25	45
	126	146			26	46
	134	156			34	56
	135	245			35	
	234	246				
		345				

(Latura 1 conectează două noduri de intrare astfel că poate fi eliminată prin definiție dintr-un biarbor). Se formează acum produsele admitanță.

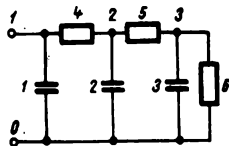


Fig. 3.30. Filtru trece-sus RC.

Aceste produse pot fi scrise desigur în orice formă dar putem grupa produsele fiecărui arbore sau biarbore după puterile lui s . Rezultatul va fi:

$$Z(s) = \frac{C_2 C_3 s^2 + s C_2 (G_5 + G_6) + s C_3 (G_4 + G_5) + G_4 G_5 + G_4 G_6 + G_5 G_6}{\left\{ \begin{aligned} &C_1 C_2 C_3 s^3 + s^2 [C_1 C_2 (G_5 + G_6) + C_1 C_3 (G_4 + G_5) + C_2 C_3 G_4] \\ &+ s [G_4 (G_5 + G_6) (C_1 + C_2) + G_5 (C_1 G_6 + C_3 G_4)] + G_4 G_5 G_6. \end{aligned} \right\}} \quad (59)$$

Din dezvoltarea precedentă și așa cum a fost ilustrată și de exemplu, formulele topologice pe care le-am descris pot fi numite formule de *efort minim*, căci nu a existat nici o eliminare a vreunui termen — fiecare termen evaluat a apărut în rezultatul final.

Cofactori nesimetrice ai matricei admitanțelor la noduri

Matricea admitanțelor la noduri fiind cunoscută ne rămâne să discutăm cofactorii nesimetrice de forma Δ_{ij} . Acum $\Delta_{ij} = (-1)^{i+j} M_{ij}$, unde M_{ij} este minorul corespunzător. Pentru a forma pe M_{ij} , vom șterge din matricea admitanțelor la noduri linia i și coloana j . Deci este nevoie să examinăm $\det (A_{-i} Y A'_{-j})$. Folosind teorema lui Binet-Cauchy rezultă:

$$\begin{aligned} (-1)^{i+j} \Delta_{ij} &= \det A_{-i} Y A'_{-j} \\ &= \sum_{\substack{\text{toți det.} \\ \text{majori}}} \text{produsele det. majori coresp. lui } A_{-i} Y \text{ și } A'_{-j}. \end{aligned} \quad (60)$$

Ca și în paragraful precedent, determinantul major al matricei $A_{-i} Y$ corespunde unui biarbore în care nodurile i și nodul de referință sînt în părți separate ale grafului. Similar, un determinant major al lui A'_{-j} (care este egal cu ± 1) corespunde unui biarbore în care nodurile j și nodul de referință sînt în părți separate ale grafului circuitului. Deoarece, pentru ca să ne intereseze fiecare factor al produsului din (60) trebuie să fie nenul, subcircuitele care corespund elementelor Δ_{ij} trebuie să fie biarbori cu nodurile i și j pe de o parte precum și nodurile j și d pe de altă parte în părți separate ale grafului. Deoarece nu sînt decît două părți într-un biarbore, iar d se află într-una din aceste părți, vom conchiziiona că ambele noduri i și j , trebuie să fie în aceeași parte. Astfel biarborii cu noduri i și j într-o parte a grafului și nodul de referință în cealaltă parte a grafului vor fi singurii care vor contribui la Δ_{ij} . Astfel de produse calculate pe acești biarbori sînt notate cu ${}^2T_{ij,d}(y)$. Singura rezervă se referă la semn. Dacă A_{-j} și A_{-i} au semne opuse, nu există nici o siguranță privind semnul corespunzător determinantilor majori pentru

$A_{-i}Y$ și A'_{-j} . Totuși se poate indica semnul produsului prin relația: $(-1)^{i+j}$. Rezultatul final va fi:

$$\Delta_{ij} = \sum {}^2T_{ij,d}(y) = \sum \text{Produsele admitanțelor biarborilor } (i, j, d). \quad (61)$$

Cu ajutorul acestui rezultat este acum posibil să evaluăm câteva funcții de transfer. Să considerăm situația din fig. 3.31. Se dorește să se găsească raportul de transfer al tensiunilor $V_{23}(s)/V_1(s)$. Să presupunem aplicată o sursă de curent, cum este arătat în figură, și că nodul 0 a fost ales ca nod de referință.

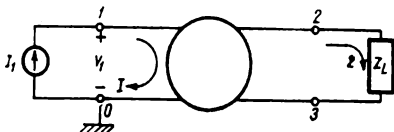


Fig. 3.31. Calculul funcției de transfer.

Ecuatiile la noduri pot fi rezolvate în raport de tensiunile la noduri V_1 , V_2 și V_3 . Deoarece $V_{23} = V_2 - V_3$ se obține:

$$\begin{aligned} \frac{V_{23}}{V_1} &= \frac{(V_2 - V_3)/I_1}{V_1/I_1} = \frac{(\Delta_{21} - \Delta_{31})}{\Delta_{11}} \bigg|_v = \\ &= \frac{\sum [{}^2T_{12,0}(y) - {}^2T_{13,0}(y)]}{\sum {}^2T_{1,0}(y)}. \end{aligned} \quad (62)$$

Ca un exemplu specific să privim înapoi la circuitul din fig. 3.30. Fie ca tensiunea de ieșire să fie tensiunea de-alungul laturii 5. Elementul ${}^2T_{1,0}(y)$ a fost deja determinat ca fiind numărătorul relației (59), astfel încît ne rămîne să ne concentrăm asupra numărătorului produselor — biarbore corespunzător relației (62). Pentru biarborele care conține ambele noduri 1 și 2, trebuie să fie prezentă și latura 4. Latura 1 conectează nodurile 0 și 1; latura 2 conectează nodurile 0 și 2. Niciuna din aceste laturi nu poate fi prezentă în ${}^2T_{12,0}(y)$. În mod similar, pentru ca nodurile 1 și 3 să se afle într-o parte conectă a grafului, trebuie să fie prezente și laturile 4 și 5. Deoarece biarborele are numai două laturi nu există alte produse, astfel încît:

$${}^2T_{12,0}(y) = sC_3G_4 + G_4G_5 + G_4G_6, \quad (63a)$$

$${}^2T_{13,0}(y) = G_4G_5. \quad (63b)$$

Funcția de transfer va fi

$$\frac{V_{23}}{V_1} = \frac{sC_3G_4 + G_4G_6}{C_2C_3s^2 + s[C_2(G_5 + G_6) + C_3(G_4 + G_5)] + G_4G_5 + G_4G_6 + G_5G_6} \quad (64)$$

Poate fi observat aici un element foarte interesant. Există un termen comun în cei doi biarbore în (63) care dispar după substituția în relația (62). Astfel această formulă nu este o formulă de tipul „efortului minim“. O altă observație interesantă poate fi făcută comparind produsele biarbore în (63) cu ${}^2T_{1,0}(y)$, care este numitorul lui (64); ${}^2T_{1,0}(y)$ conține integral pe ${}^2T_{12,0}(y)$ și pe ${}^2T_{13,0}(y)$. Aceste observații motivează discuția care urmează :

Să considerăm un biarbore (j, d) și un nod i . Acest nod trebuie să fie într-o parte a grafului care îl conține fie pe j fie pe d . Astfel suma lui ${}^2T_{ij,d}(y)$ și ${}^2T_{j,di}(y)$ trebuie să conțină toți termenii conținuți în ${}^2T_{j,d}(y)$ adică :

$$\sum {}^2T_{j,d}(y) = \sum {}^2T_{ij,d}(y) + \sum {}^2T_{j,di}(y). \quad (65)$$

Această relație poate fi folosită pentru a scrie următoarele identități :

$$\sum {}^2T_{12,0}(y) = \sum {}^2T_{12,03}(y) + \sum {}^2T_{123,0}(y), \quad (66a)$$

$$\sum {}^2T_{13,0}(y) = \sum {}^2T_{13,02}(y) + \sum {}^2T_{123,0}(y). \quad (66b)$$

De notat că ele au termeni comuni. Cind relațiile sînt înserate în (63) rezultatul devine :

$$\frac{V_{23}}{V_1} = \frac{\sum [{}^2T_{12,03}(y) - {}^2T_{13,02}(y)]}{\sum {}^2T_{1,0}(y)}. \quad (67)$$

În contrast cu (63) aceasta este o formulă de „*minim efort*“, deoarece nodurile 2 și 3 sînt în părți separate ale grafului în ambele produse biarbore la numărător. Acest rezultat pune în evidență și faptul că *admitanța de sarcină nu poate apare la numărător*.

Ca o ilustrare finală să folosim această formulă pentru a calcula raportul de transfer al tensiunilor V_{23}/V_{14} pentru circuitul din fig. 3.26. În acest exemplu nodul 4 joacă rolul nodului 0 din exemplul precedent. Biarborele (1, 4) a fost prezentat în fig. 3.28. Se poate scrie că :

$$\sum {}^2T_{12,34}(y) = G_1G_5,$$

$$\sum {}^2T_{13,24}(y) = C_4C_2s^2,$$

astfel că :

$$\frac{V_{23}}{V_{14}} = \frac{G_1 G_5 - C_4 C_2 s^2}{s^2 C_1 C_2 + s(G_1 C_2 + C_4 G_5) + \left(G_1 G_5 + \frac{C_2 + C_4}{L_3}\right) + \frac{G_1 G_5}{s L_3}}.$$

Matricea impedanțelor pe contur și cofactorii ei

Din relațiile de dualitate ne putem aștepta ca ceea ce a fost făcut pentru matricea admitanțelor la noduri să poată fi de asemenea făcut pentru matricea impedanțelor pe contur. Aceasta este adevărat, așa cum vom discuta în continuare, cu unele diferențe caracteristice. Una din aceste diferențe este că determinanții submatricilor nesingulare ai matricii pe contur **B** nu sînt în mod necesar egali cu ± 1 . Acești determinanți pot avea valoarea ± 1 , dacă **B** este o matrice de contur fundamentală. Deci, vom presupune, că **B** este o matrice de contur fundamentală.

Aici punctul de plecare este matricea impedanțelor de contur **BZB'**. La care se aplică teorema Binet-Cauchy.

De data aceasta submatricile nesingulare ale lui **B** corespund *coarborilor* (complimentii arborilor) în locul arborilor. Vom defini un produs de *impedanțe-coarbore* (complementarele arborilor) ca un produs al impedanțelor coardelor pentru un anume arbore. Vom folosi simbolul $C[T(z)]$ pentru a indica acest produs. Urmînd același raționament ca și în cazul matricii admitanțelor la noduri se găsește că :

$$\begin{aligned} \Delta|_z &= \det \mathbf{BZB}' = \sum_{\substack{\text{toți} \\ \text{arborii}}} C[T(z)] \\ &= \sum_{\substack{\text{toți} \\ \text{arborii}}} \text{produsele impedanțelor coarborilor.} \end{aligned} \quad (68)$$

adică pentru a calcula determinantul Δ trebuie să determinăm toți arborii din care vom determina toți coarborii, apoi să multiplicăm toate impedanțele corzilor fiecărui coarbore și în final să adunăm produsele rezultate.

Fără îndoială că se naște întrebarea dacă nu există o relație între determinanții matricii impedanțelor de contur și matricea admitanțelor la noduri. Vom examina în continuare această problemă. Să presupunem că produsul admitanțelor unui arbore este multiplicat cu produsul tuturor impedanțelor laturilor circuitului. Impedanțele ramurilor se vor simplifica cu admitanțele ramurilor rezultînd un produs de impedanță-coarbore. Făcînd acest lucru pentru toate produsele admitanțelor tuturor arborilor

și adunînd rezultatele vom obține o sumă a produselor de impedanță coarboare, sau :

$$\Delta|_z = (z_1 z_2 z_3 \dots z_l) \Delta|_y. \quad (69)$$

Deoarece matricea impedanțelor laturilor \mathbf{Z} este o matrice diagonală, produsul impedanțelor din expresia de mai sus este pur și simplu valoarea determinantului lui \mathbf{Z} . Astfel acesta poate fi rescris ca :

$$\Delta|_z = (\det \mathbf{Z}) \Delta|_y. \quad (70)$$

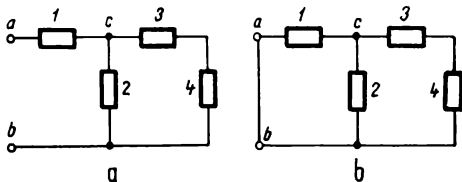


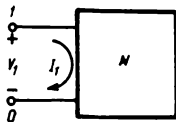
Fig. 3.32. Ilustrarea importanței condițiilor de terminație.

Aceasta este un rezultat foarte important, care spune că determinanții de contur și la noduri, deși provin din matrici diferite (care, în general au ordine diferite) sînt legați într-un nod foarte simplu. În particular dacă se consideră că fiecare R , L și C sînt într-o latură a circuitului, cei doi determinanți pot să difere cu cel mult printr-un factor de multiplicare ks^p . Aceasta înseamnă că determinanții de contur și la noduri au întotdeauna aceleași zerouri exceptînd unele zerouri posibile la $s = 0$; adică se poate spune că frecvențele naturale nenule ale unui circuit sînt independente de metoda de analiză (pe contur sau la noduri) aleasă. În această formulare, legătura dintre cei doi determinanți se aplică și circuitelor care conțin inductanțe mutuale și transformatoare.

Trebuie subliniat că această relație între determinanți se aplică numai dacă determinanții se referă la același circuit. Din acest punct de vedere sînt posibile mari erori. De exemplu, să considerăm situația din fig. 3.32, *a*. Să presupunem că o sursă de tensiune se aplică terminalelor *a* și *b*. Plecînd de la matricea impedanțelor de contur și considerînd sursa de tensiune ca un scurtcircuit, rezultă circuitul din fig. 3.32, *b* pentru calculul lui $\Delta|_z$. Aceasta are un nod mai puțin și, în consecință, o ramură mai puțin într-un arbore, decît circuitul original. Ar fi o greșeală să ne imaginăm că $\Delta|_y$ pentru circuitul din fig. 3.32, *a* este legat printr-o relație de tipul (70) de $\Delta|_z$ pentru circuitul din fig. 3.32, *b*. Dacă primul circuit este notat cu N , atunci cel de-al doilea este obținut prin scurt-

circuitarea nodului a cu b . Aceasta este ceea ce am numit un circuit N_{-j} . Să ne întoarcem la cofactorii lui $\Delta|_j$ și să considerăm mai întâi cofactorii simetrici de forma $\Delta_{jj} = \det \mathbf{B}_{-j} \mathbf{Z} \mathbf{B}_{-j}^{-1}$, unde \mathbf{B}_{-j} este matricea obținută din matricea \mathbf{B} omițind rîndul j . Omiterea rîndului j din matricea \mathbf{B} semnifică distrugerea conturului j în circuit. Pentru a distruge un contur, îl vom lăsa pur și simplu în gol, avînd grijă să nu lăsăm în gol în același timp și alte contururi. Acest lucru este posibil dacă conturul j conține o latură care nu mai este conținută de nici un alt contur. Circuitul rezultat, cînd conturul este lăsat în gol va avea un contur mai puțin decît circuitul

Fig. 3.33. Funcția de intrare.



original. Determinantul Δ_{jj} este pur și simplu determinantul matricii impedanțelor de contur a acestui nou circuit. Astfel relația (3.68) se aplică pentru evaluarea sa numai că este vorba de un circuit nou cu un contur mai puțin.

Ideile dezvoltate anterior vor deveni mult mai clare dacă le vom utiliza pentru a găsi impedanța de intrare a circuitului din fig. 3.33.

Să notăm cu N circuitul cînd terminalele sînt lăsate în gol, cu alte cuvinte cînd conturul 1 este deschis. Atunci, aplicînd o sursă de tensiune circuitul rezultat va fi N_{-1} deoarece sursa se comportă ca un scurt-circuit. Aceasta înseamnă că $\Delta|_1$ va fi evaluat cu ajutorul relației (3.68) pentru circuitul N_{-1} . Reamintind că produsele admitanțelor arborilor pentru circuitul N_{-1} sînt produsele admitanțelor biarborilor circuitului N , rezultă că produsele impedanțelor coarborilor pentru N_{-1} sînt *produsele impedanțelor co-bi-arborilor pentru N* .

Admitanța de intrare la terminalele circuitului N este dată de relația (8) ca fiind $Y_{(1)} = \Delta_{11}/\Delta|_1$, unde Δ_{11} este determinantul circuitului N care rezultă cînd conturul 1 al circuitului N_{-1} este deschis (lăsat în gol). Astfel, deoarece $Z(s) = 1/Y_{(1)}$ vom găsi că:

$$\begin{aligned} Z(s) &= \frac{\Delta|_1}{\Delta_{11}|_1} = \frac{\sum \text{produsele impedanțelor co-bi-arborilor (1,0)}}{\sum \text{produsele impedanțelor coarborilor}} = \\ &= \frac{\sum C[{}^2T_{1,0}(z)]}{\sum O[T(z)]}. \end{aligned} \quad (71)$$

Notăția pare dificilă, dar ideea este simplă. Astfel $C[{}^2T_{1,0}(z)]$ este un simbol — pentru anumite operații, care se poate citi: găsește un biarbor

în care nodurile 1 și 0 sînt în părți diferite; iar laturile care nu sînt în biarbore și multiplică între ele impedanțele lor. Numărătorul lui (71) este suma unor astfel de produse pentru toți biarborii (1, 0).

De notat că acest rezultat putea fi anticipat din expresia impedanței dată de relația (58) dedusă din matricea admitanțelor la noduri. Să presupunem că numărătorul și numitorul acestei expresii sînt multiplicați prin $\det Z$. Așa cum s-a discutat mai sus, fiecare termen, care este compus din produse ale admitanțelor anumitor laturi, este convertit într-un produs al impedanțelor complementarelor acestor laturi. De aici rezultă relația (71).

În final să ne întoarcem la cofactorii nesimetrice ai matricii impedanțelor de contur. În consecință ne vom întoarce la fig. 3.31 cu schimbarea că va fi aplicată o sursă de tensiune în locul unei surse de curent. Vom presupune că sursa și sarcina Z_L se găsesc respectiv numai în contururile 1 și 2. Toate funcțiile de transfer V_{23}/V_1 , V_{23}/I_1 , I_2/V_1 și I_2/I_1 conțin pe Δ_{12} la numărător. Intuitiv ne așteptăm ca formula topologică a lui Δ_{12} să fie duala celei obținute pentru cofactorii corespunzători ai matricii admitanțelor la noduri. Rezultatul este:

$$\Delta_{12} = \sum C [{}^2T_{12.03}(z)] - \sum C [{}^2T_{13.02}(z)], \quad (72)$$

în care complementii sînt calculați fără sarcina Z_L ¹⁾.

Să considerăm ca exemplu, funcția de transfer a tensiunilor pentru circuitul din fig. 3.31. În termenii ecuațiilor de contur, această funcție este dată de relația:

$$\frac{V_{23}}{V_1} = Z_L \frac{I_2}{V_1} = Z_L \frac{\Delta_{12}}{\Delta}. \quad (73)$$

O expresie pentru acest raport de tensiuni a fost dată anterior în relația (67). Să presupunem că numărătorul și numitorul acelei expresii este multiplicat prin $\det Z$ pentru circuitul cu conturul 1 deschis. (De ce este folosit $\det Z$ al acestui circuit particular?) Acum Z_L este un factor al lui $\det Z$. Deoarece Y_L nu apărea la numărător, Z_L nu va dispărea în nici un termen al numărătorului. Deci va putea fi scos în factor comun. Rezultatul va fi:

$$\begin{aligned} \frac{V_{23}}{V_1} &= \frac{\det Z \sum [{}^2T_{12.03}(y) - {}^2T_{13.02}(y)]}{\det Z \sum {}^2T_{1.0}(y)} = \\ &= \frac{Z_L \sum \{C [{}^2T_{12.03}(z)] - C [{}^2T_{13.02}(z)]\}}{\sum C [{}^2T_{1.0}(z)]}, \end{aligned} \quad (74)$$

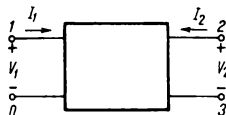
¹⁾ Pentru o demonstrație amănunțită, vezi Seshu și Reed, op. cit.

unde complementii de la numărător au fost calculați pentru circuitul fără Z_L . Comparația acestui rezultat cu (73) conduce la formula pentru Δ_{12} dată în (72). Cele de mai sus constituie, de fapt, o demonstrație a acestei formule.

Parametrii diportului

Deoarece, în cazul diportului (cuadripolului), parametrii admitanță în scurtcircuit și parametrii impedanță în gol sînt folosiți frecvent, va fi foarte util să avem formulele topologice pentru evaluarea lor. Vom dezvolta rapid aceste formule, fără a ne opri la examinarea detaliată a tuturor etapelor de calcul.

Fig. 3.34. Sensurile de referință ale curenților și tensiunilor utilizate la calculul parametrilor unui diport.



Prototipul unui diport (cuadripol) este arătat în fig. 3.34.

Terminalul 0 este ales ca nod de referință pentru definirea tensiunilor de noduri. De notat că tensiunea de poartă V_2 este diferența între tensiunile de noduri V_{20} și V_{30} . Să presupunem că sînt aplicate la porțile de intrare și ieșire surse de curent. Ecuațiile la noduri vor fi :

$$\mathbf{AYA}' \begin{bmatrix} V_1 \\ V_{20} \\ V_{30} \\ \vdots \end{bmatrix} = \begin{bmatrix} I_1 \\ I_2 \\ -I_2 \\ 0 \\ \vdots \end{bmatrix}. \quad (75)$$

În continuare vom rezolva sistemul de mai sus în raport cu tensiunile de noduri V_1 , V_{20} și V_{30}

$$V_1 = \frac{1}{\Delta} (\Delta_{11} I_1 + \Delta_{21} I_2 - \Delta_{31} I_2), \quad (76a)$$

$$V_{20} = \frac{1}{\Delta} (\Delta_{12} I_1 + \Delta_{22} I_2 - \Delta_{32} I_2), \quad (76b)$$

$$V_{30} = \frac{1}{\Delta} (\Delta_{13} I_1 + \Delta_{23} I_2 - \Delta_{33} I_2). \quad (76c)$$

Observînd că $V_2 = V_{20} - V_{30}$, ecuațiile în gol devin :

$$\begin{bmatrix} V_1 \\ V_2 \end{bmatrix} = \frac{1}{\Delta} \begin{bmatrix} \Delta_{11} & \Delta_{12} - \Delta_{13} \\ \Delta_{12} - \Delta_{13} & \Delta_{22} + \Delta_{33} - 2\Delta_{23} \end{bmatrix} \begin{bmatrix} I_1 \\ I_2 \end{bmatrix} = Z_{oc} \begin{bmatrix} I_1 \\ I_2 \end{bmatrix}. \quad (77)$$

Pentru a determina matricea admitanțelor în scurtcircuit va trebui să inversăm pe Z_{oc} . Fie Δ_{oc} determinantul lui Z_{oc} . Din relația (77) acest determinant este :

$$\Delta_{oc} = \frac{1}{\Delta^2} (\Delta_{11} \Delta_{22} + \Delta_{11}' \Delta_{33} - 2\Delta_{11} \Delta_{23} - \Delta_{12}^2 - \Delta_{13}^2 + 2\Delta_{12} \Delta_{13}). \quad (78)$$

Această relație poate fi simplificată folosind teorema lui Jacobi¹⁾, care spune că :

$$\begin{aligned} \Delta_{ii} \Delta_{jj} - \Delta_{ij}^2 &= \Delta \Delta_{iijj}, \\ \Delta_{ii} \Delta_{jk} - \Delta_{ij} \Delta_{ik} &= \Delta \Delta_{iijk}, \end{aligned} \quad (79)$$

unde Δ_{iijk} este cofactorul format prin suprimarea rîndurilor i și j și a coloanelor i și k din Δ .

Folosind aceste identități, (78) devine :

$$\Delta_{oc} = \frac{1}{\Delta} (\Delta_{1122} + \Delta_{1133} - 2\Delta_{1123}). \quad (80)$$

Cu aceasta inversa lui (77) poate fi acum scrisă ca :

$$\begin{bmatrix} I_1 \\ I_2 \end{bmatrix} = \frac{1}{\Delta_{1122} + \Delta_{1133} - 2\Delta_{1123}} \begin{bmatrix} \Delta_{22} + \Delta_{33} - 2\Delta_{23} & \Delta_{13} - \Delta_{12} \\ \Delta_{13} - \Delta_{12} & \Delta_{11} \end{bmatrix} \begin{bmatrix} V_1 \\ V_2 \end{bmatrix}. \quad (81)$$

Avem formulele topologice pentru toți cofactorii exceptînd pe aceia cu patru indici. Să definim un *triarbre a unui graf, avînd $n + 1$ noduri, ca un set de trei subgrafe neconectate avînd un total de $n - 2$ laturi și care nu conține nici un contur (ochi)*.

Vom nota un tri-arbore cu simbolul 3T împreună cu indicii care vor indica care noduri sînt în părți separate ale grafului. Așa cum a fost arătat că Δ este egal cu suma produselor admitanțelor pentru toți arborii unui graf și că Δ_{ij} este egal cu produsele admitanță bi-arbore de tipul

¹ Vezi, de exemplu, A. C. Aitken „Determinants and Matrices“ 9th ed. Interscience Publishers, New York, 1956.

(ij, d) pentru toți bi-arborii de tipul în care i și j sînt într-o parte a grafului, iar d în altă parte, în același nod se poate arăta că :

$$\begin{aligned}\Delta_{1122} &= \sum^3 T_{1.2.0}(y), \\ \Delta_{1133} &= \sum^3 T_{1.3.0}(y), \\ \Delta_{1123} &= \sum^3 T_{1.23.0}(y),\end{aligned}\quad (82)$$

unde : ${}^3T_{1.2.0}(y)$ este produsul admitanțelor tri-arborelui cu nodurile 1, 2 și 0 în părți separate ale grafului, iar ceilalți tri-arbori avînd interpretări similare.

Dar :

$$\begin{aligned}{}^3T_{1.2.0} &= {}^3T_{1.23.0} + {}^3T_{13.2.0} + {}^3T_{1.2.03}, \\ {}^3T_{1.3.0} &= {}^3T_{1.23.0} + {}^3T_{12.3.0} + {}^3T_{1.3.02}.\end{aligned}\quad (83)$$

Folosind ultimele două seturi de ecuații, vom găsi că :

$$\begin{aligned}\Delta_{1122} + \Delta_{1133} - 2\Delta_{1123} &= \sum^3 T_{1.2.30}(y) + \sum^3 T_{13.2.0}(y) + \sum^3 T_{12.3.0}(y) + \\ &+ \sum^3 T_{1.3.20}(y) \equiv \sum^3 T(y) \quad (\text{prescurtat}).\end{aligned}\quad (84)$$

Înainte de a înlocui formulele topologice pentru cofactori în relația (81) să notăm că este posibil să simplificăm această expresie, știind că :

$$\begin{aligned}\Delta_{22} &= \sum^2 T_{2.0} = \sum^2 T_{23.0} + \sum^2 T_{2.03}, \\ \Delta_{33} &= \sum^2 T_{3.0} = \sum^2 T_{23.0} + \sum^2 T_{3.02}, \\ \Delta_{23} &= \sum^2 T_{23.0}.\end{aligned}$$

Deci

$$\Delta_{22} + \Delta_{33} - 2\Delta_{23} = \sum^2 T_{2.03} + \sum^2 T_{02.3} = \sum^2 T_{2.3}. \quad (85)$$

Ținînd cont de relațiile de mai sus relațiile (77) și (81) conduc la :

$$Z_{oc} = \frac{1}{\sum T(y)} \left[\frac{\sum^2 T_{1.0}}{\sum^2 (T_{12.30} - T_{13.20})} \sum^2 (T_{12.30} - T_{13.20}) \right] \quad (86)$$

$$Y_{sc} = \frac{1}{\sum^3 T(y)} \left[- \frac{\sum^2 T_{2.3}}{\sum^2 (T_{12.30} - T_{13.20})} - \frac{\sum^2 (T_{12.30} - T_{13.20})}{\sum^2 T_{1.0}} \right] \quad (87)$$

unde $\sum^3 T(y)$ este definit de (84). De subliniat faptul că numărătorii impedanțelor de transfer și admitanțelor de transfer diferă numai ca semn. Aceasta verifică observația noastră anterioară potrivit căreia aceste funcții au aceleași zerouri — în afara cazurilor în care unele din aceste zerouri au dispărut prin simplificare cu zerourile numitorilor.

Exemplu. Ca o ilustrare, circuitul din fig. 3.30, a fost redesenat ca un cuadripol în fig. 3.35. Să determinăm pe Y_{ac} . Pentru aceasta bi-arborii (1,0) a fost deja calculat în relația (58). Vom repeta aceste relații împreună cu alte relații necesare calculului de față:

bi-arborii (1, 0): 23, 25, 26, 34, 35, 45, 46 și 56

bi-arborii (12, 30): 34 și 46

bi-arborii (13, 20): Niciunul

bi-arborii (2, 3): 12, 13, 14, 16, 24, 34 și 46

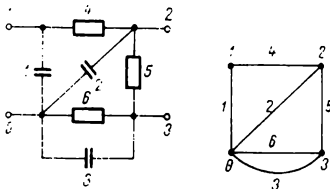


Fig. 3.35. Exemplu de calcul al parametrilor unui diport.

În acest exemplu sînt patru noduri. Astfel că un tri-arbor va avea o singură latură. Tri-arborii vor fi determinați cu ușurință. Ei sînt:

tri-arborii (1, 2, 30): 3 și 6

tri-arborii (13, 2, 0): Niciunul

tri-arborii (12, 3, 0): 4

tri-arborii (1, 3, 20): 2

Numitorul parametrilor admitanțelor în scurtcircuit va fi:

$$\sum^3 T(y) = s(C_2 + C_3) + G_4 + G_6.$$

Parametrii vor fi:

$$y_{11} = \frac{s^2 C_1 (C_2 + C_3) + s[G_4(C_1 + C_2 + C_3) + C_1 G_6] + G_4 G_6}{s(C_2 + C_3) + G_4 + G_6},$$

$$y_{12} = y_{21} = \frac{-G_4(sC_3 + G_6)}{s(C_2 + C_3) + G_4 + G_6},$$

$$y_{22} = \frac{s^3 C_2 C_3 + s[C_2(G_5 + G_6) + C_3(G_4 + G_5)] + G_4 G_5 + G_4 G_6 + G_5 G_6}{s(C_2 + C_3) + G_4 + G_6}.$$

Ca o observație finală vom nota că deși dezvoltarea formulelor topologice a fost făcută în termenii ecuațiilor la noduri sau pe contur, nu am scris aceste ecuații. Dîndu-se un circuit, îi vom enumera arborii, bi-arborii și tri-arborii, iar apoi vom forma produse ale impedanțelor sau

admitanțelor laturilor acestora. Astfel, ceea ce părea o complicație nenecesară când am scris ecuațiile pe contur sau la noduri necesitând multiplicări de matrice pentru determinarea lui \mathbf{AYA}' și \mathbf{BZB}' , s-a dovedit de un real folos căci cu ajutorul teoremei Cauchy-Binet s-au obținut relații matematice ce au condus la formule simple care nu mai necesită operațiuni cu matrici.

PROBLEME

P1. Pentru circuitul din fig. 3.P.1 să se determine funcția amplificatoare de tensiune $V_2(s)/V_1(s)$.

- a) folosind ecuațiile cu variabile mixte;
- b) folosind ecuațiile la noduri, apoi să se exprime curentul I_1 în funcție de tensiunile corespunzătoare.

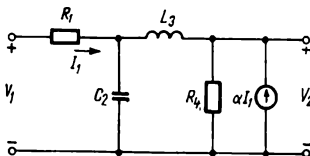


Fig. 3.P.1.

P2. În fig. 3.P.2 este arătat un amplificator împreună cu schema sa echivalentă liniară. Să se găsească expresia impedanței de ieșire Z_o pentru ambele cazuri indicate în figură; când ieșirea este pe anodul sau pe catodul tubului.

- a) Se vor utiliza ecuațiile la noduri și reprezentarea cu admitanțe a sursei controlate;
- b) Să se repete calculul folosind ecuațiile de contur;
- c) Se vor folosi ecuațiile cu variabile mixte.

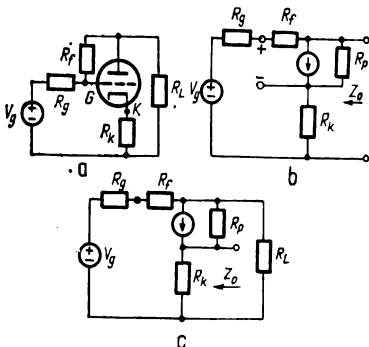


Fig. 3.P.2.

P3. Repetați problema 2 pentru amplificatorul din fig. 3.P.3.

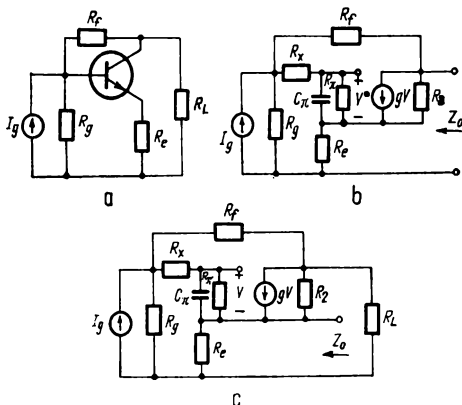


Fig. 3.P.3.

P4. În fig. 3.P.4 este arătat un amplificator diferențial. Se presupune că fiecare tranzistor poate fi reprezentat printr-un circuit echivalent liniar.

Să se găsească valorile lui R_L , R_f și R_e astfel încât tensiunea de ieșire V_o să fie aproximativ egală cu $K(I_2 - I_1)$. Folosiți orice set de ecuații potrivit.

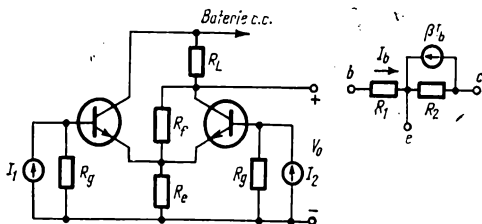


Fig. 3.P.4.

P5. Circuitul din fig. 3.P.5 este un model aproximativ pentru schema echivalentă hibridă în π a unui tranzistor. Să se găsească parametrii h .

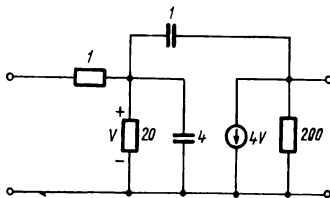


Fig. 3.P.5.

P6. Diportul (cuadripolul) din fig. 3.P.6 reprezintă un convertor negativ potențial.

- Să se găsească parametrii h ;
- Să se determine raportul R_2/R_1 în funcție de β astfel ca $h_{11}h_{21} = 1$.
- Să se discute valorile rezistențelor lui R_1 și R_2 pentru $\beta = 50$ (De notat că $\beta = 50$ este o valoare ușor realizabilă pentru amplificarea de curenți).
- Este un convertor de negativare al curentului sau a tensiunii?

P7. Diportul din fig. 3.P.7 reprezintă un convertor negativ potențial.

- Să se calculeze parametrii h .
- Să se determine raportul R_2/R_1 în raport cu β astfel încât $h_{11}h_{21} = 1$.
- Desenați pentru acest diport un circuit echivalent bazat pe parametrii hibridi g . Determinați valorile tuturor elementelor acestui circuit folosind condiția găsită la punctul b).
- Fie $\beta = 50$. Proiectați circuitul de compensare posibil care conectat în serie sau în paralel la porțile diportului îl va transforma într-un convertor ideal de negativare.

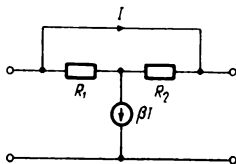


Fig. 3.P.6.

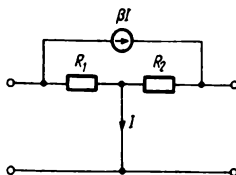


Fig. 3.P.7.

P8. a) Să se determine parametrii h pentru diportul din fig. 3.P.8.

b) Fie $\beta_1 = 1$. Care vor fi valorile lui β , R_2 și R_1 pentru ca diportul să fie un convertor de negativare ideal?

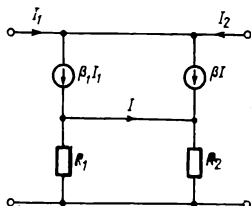


Fig. 3.P.8.

P9. Giratorul din fig. 3.P.9 are terminalul 3 ca terminal comun.

a) Să se determine matricea admitanțelor în scurtcircuit a cuadripolului cu terminalul 1 ca bornă comună.

b) Se va repeta calculul pentru cuadripolul cu terminalul 2 ca bornă comună.

c) Uneori simbolul utilizat pentru girator este cel reprezentat în fig. 3.P.9, b. Comențați justitea acestui simbol din punctul de vedere al rezultatelor obținute la punctele a) și b).

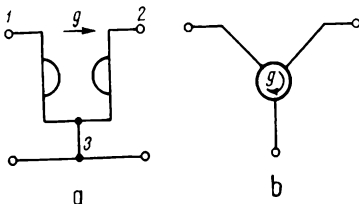


Fig. 3.P.9.

P10. Un circuit nerez reciproc oarecare poate fi reprezentat ca în fig. 3.P.10, a. Să se găsească valoarea rezistenței R_1 care conectată ca în fig. 3.P.10, b, va împiedica transmisiunea inversă (de la dreapta spre stînga).

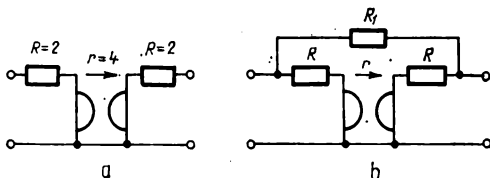


Fig. 3.P.10.

P11. În fig. 3.P.11, este reprezentat un cuadripol terminat pe impedanța de sarcină Z_L . Să se arate că:

$$Z_{21}(s) = \frac{V_2(s)}{I_1(s)} = \frac{z_{21}Z_L}{z_{22} + Z_L},$$

$$Y_{21}(s) = \frac{I_2(s)}{V_1(s)} = \frac{y_{21}Y_L}{y_{22} + Y_L}.$$

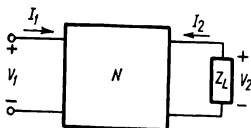


Fig. 3.P.11.

P12. Verificați că pentru un diport $\det \mathbf{Y}_{sc} = 1/\det \mathbf{Z}_{oc}$.

P13. Să se arate că diporții din fig. 3.15, c și d au aceiași parametri impedanță în gol.

P14. Doi diporți N_a și N_b sînt conectați în cascadă ca în fig. 3.P.14. Folosind o analiză directă să se determine admitanța de transfer în scurtcircuit $y_{21}(s)$ a întregului cuadripol în funcție de parametrii de scurtcircuit ai cuadripolilor N_a și N_b .

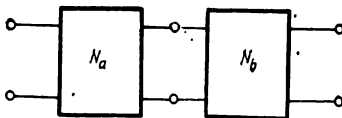


Fig. 3.P.14.

P15. Să se repete problema 14 pentru cazul unui convertor de negativare a tensiunii, intercalat între cuadripolii N_a și N_b ca în fig. 3.P.15.



Fig. 3.P.15.

P16. Fig. 3.P.16 prezintă interconectarea a doi diporturi dintre care unul este un convertor de negativare al curentului. Să se obțină expresia raportului de transfer al tensiunilor $V_2(s)/V_1(s)$, în funcție de parametrii y ai cuadripolilor N_a și N_b precum și de raportul de conversie k al convertorului de negativare. Comparați rezultatul cu situația cînd convertorul nu este prezent.

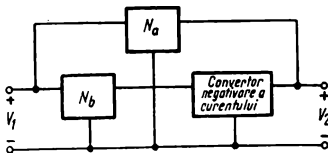


Fig. 3.P.16.

P17. Un transformator ideal este conectat în cascadă cu un diport în două moduri posibile arătate în fig. 3.P.17. Să se scrie parametrii impedanțelor în gol a întregului ansamblu în funcție de n și de parametrii z ai diportului.

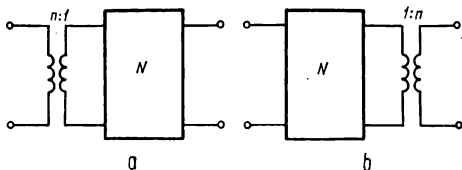


Fig. 3.P.17.

P18. Să se arate că matricea Y_{sc} a diportului din fig. 3.P.18, a (considerînd fiecare tranzistor ca o sursă dependentă de curent ca în fig. 3.P.18, b) va fi:

$$Y_{sc} = \begin{bmatrix} g - G & -(g - G) \\ G & -G \end{bmatrix}$$

unde $G = R_1/R_{e1}R_{e2}$ și $g = G + 1/R_{e1}$ presupunînd că $R_{e2}/\beta_1 R \ll \beta_2 R_{e2}$. Să se verifice că diportul din fig. 3.P.18, c este echivalent cu acest diport.

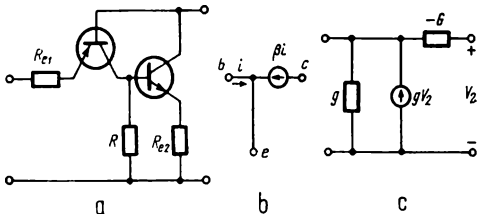


Fig. 3.P.18.

P19. Matricea hibridă h a unui diport are una din următoarele forme :

$$H_1 = \begin{bmatrix} 0 & 1 \\ \frac{Z_1(s)}{Z_2(s)} & 0 \end{bmatrix} \text{ sau } H_2 = \begin{bmatrix} 0 & -\frac{Z_1(s)}{Z_2(s)} \\ -1 & 0 \end{bmatrix}.$$

Acest diport este terminat pe o impedanță Z_L .

Să se găsească impedanța la cealaltă poartă. (Acest diport este numit convertor general).

P20. Să se găsească matricele h pentru fiecare din circuitele din fig. 3.P.20. (Înlocuiți fiecare tranzistor prin cea mai simplă schemă echivalentă posibilă).

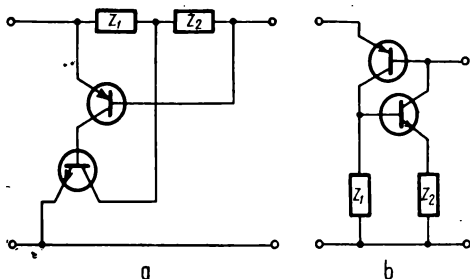


Fig. 3.P.20.

[P21. Diportul din fig. 3.P.21 este un convertor general avînd matricea h arătată. Să se determine impedanța de intrare Z .

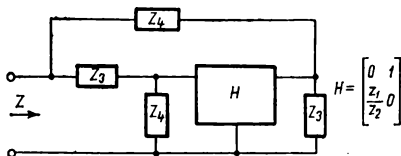


Fig. 3.P.21.

P22. Pentru schema din fig. 3.P.22 arătați ca raportul de transfer al tensiunilor este

$$\frac{V_2(s)}{V_1(s)} = \frac{-y_{21}}{y_{22} + G_1 - (g-1)Y}$$

De observat că conductanțele G_1 , G_2 și G_3 pot fi socotite că aparțin intrării, ieșirii și respectiv impedanței de reacție a cuadripolului care poate fi considerat că are surse controlate ideale).

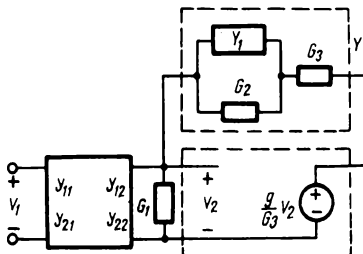


Fig. 3.P.22.

P23. Pentru fiecare din circuitele din fig. 3.P.23 să se determine funcția amplificare de curent în scurtcircuit h_{21} . Se vor folosi parametrii y ai diportului N .

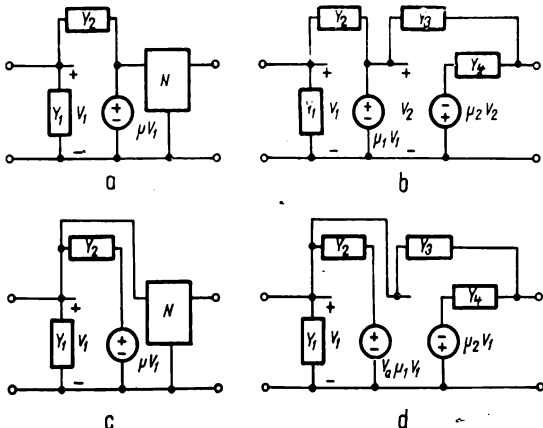


Fig. 3.P.23.

P24. Să se găsească raportul de transfer al tensiunilor pentru cei doi cuadripoli din fig. 3.P.24 în raport cu parametrii y ai diporturilor N_a și N_b și cu câștigul amplificatorului μ . Verificați în cazul diportului din fig. 3.P.24, b valoarea limită a acestui raport este $V_2/V_1 = -y_{21b}/y_{21a}$ când $\mu \rightarrow \infty$.

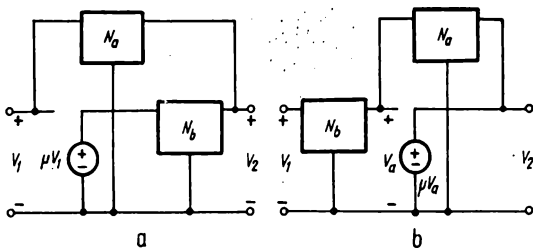


Fig. 3.P.24.

P25. Să se găsească parametrii impedanțelor în gol ai amplificatorului cu reacție din fig. 3.P.25 în funcție de g și parametrii z ai diportului N_a . Valorile limită pentru $g \rightarrow \infty$ vor fi:

$$z_{21} \rightarrow 1/y_{21a}, \quad z_{11} \rightarrow 0, \quad z_{22} \rightarrow 0, \quad z_{12} \rightarrow 0.$$

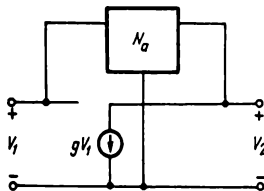


Fig. 3.P.25.

P26. În fig. 3.P.26, a este reprezentat un diport N_c cu care o rezistență R conectată în paralel la intrarea și ieșirea sa. Diportul rezultat este notat cu N_b , iar parametrii z ai diportului N_b sînt z_{11b} , z_{12b} , z_{21b} și z_{22b} .

Circuitul N_c după conectarea unei rezistențe R fie serie fie paralel la porțile sale va fi conectat în cascadă cu amplificatorul cu reacție din problema 25 ca în fig. 3.P.26, b și 3.P.26, c . Să se arate că impedanța de transfer în gol în ambele cazuri este dată de:

$$z_{21} = \frac{z_{21b}}{Ry_{21a}}$$

atunci cînd $g \rightarrow \infty$ (N_f semnifică întreaga structură cu ecuație din fig. 3.P.25).

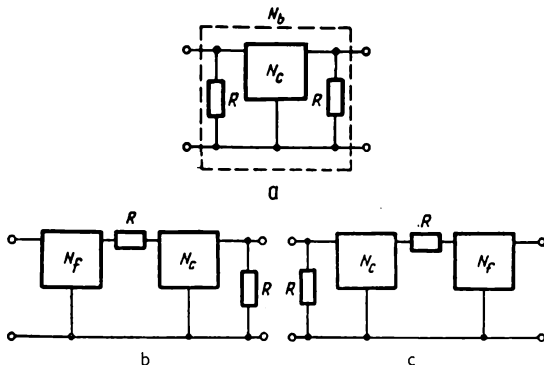


Fig. 3.P.26.

P27. Fie ca un zero de transmisiune a unui diport să fie definit ca un zero al admitanței de transfer în scurtcircuit $y_{21}(s)$. Să se arate că fie curentul sau tensiunea de ieșire a unui diport terminat ca în fig. 3.P.27 va fi zero, indiferent dacă diportul va fi excitat de un generator de tensiune sau curent și chiar dacă y_{11} sau y_{22} au un zero la această frecvență, care ar conduce la o simplificare în relația (25), sau ca z_{21} sau h_{21} sau g_{21} ori toate trei să fie nenule. Comentați termenul zero al transmisiunii.

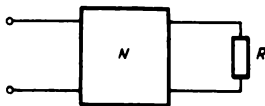


Fig. 3.P.27.

P28. a) Pentru cuadripolii conectați în serie-paralel și paralel-serie din fig. 3.P.28 să se arate că parametrii h și g ai ansamblului sînt obținuți prin adunarea parametrilor h și respectiv g ai cuadripolilor componenți.

b) Formulați și demonstrați condițiile în care conectarea serie-paralel și paralel-serie poate fi făcută fără violarea condiției ca același curent care intră/iese dintr-un terminal al unei porți să iasă/între în celălalt terminal al porții.

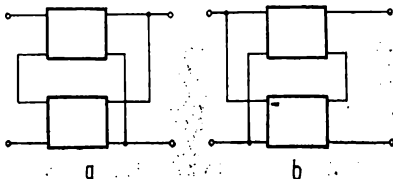


Fig. 3.P.28.

P29. Să se găsească matricea lanț pentru diportul din fig. 3.P.29. Transformatorii sînt perfecți.

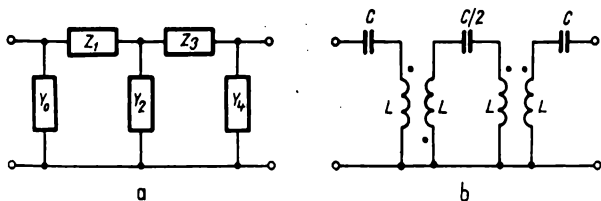


Fig. 3.P.29

P30. Tratați circuitul în T podit din fig. 3.P.30 mai întîi ca o conexiune paralel a doi cuadripoli, apoi ca o conexiune serie a doi cuadripoli, pentru a determina parametrii săi y . (Răspunsurile trebuie să fie aceleași).

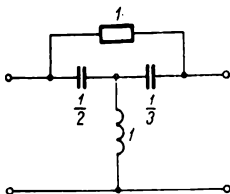


Fig. 3.P.30.

P31. Să se determine parametrii y ai diporturilor din fig. 3.P.31 descompunându-i în mod convenabil în diporți conectați în paralel.

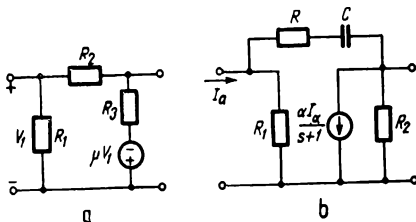


Fig. 3.P.31.

P32. Matricea admitanțelor în scurtcircuit a circuitului în π din fig. 3.P.32 cu terminalul 3 ca bornă comună este:

$$Y_{sc3} = \begin{bmatrix} s+2 & -2 \\ -2 & 4s+2 \end{bmatrix}.$$

Să se determine matricele admitanțelor în scurtcircuit când fiecare alt terminal este făcut bornă comună.

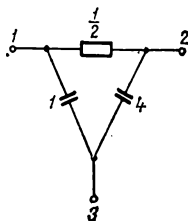


Fig. 3.P.32.

P33. În fig. 3.P.33, *a* este reprezentat un tripol cu terminalul 4 ca bornă comună. Se dă matricea admitanțelor în scurtcircuit a acestei configurații.

Se reconectează acest circuit ca în fig. 3.P.33, *b* astfel că poarta de intrare este terminalele 3 și 2 iar de ieșire între terminalele 1 și 2. Să se găsească pentru acest circuit matricea admitanțelor în scurtcircuit.

$$\begin{bmatrix} I_1 \\ I_2 \\ I_3 \end{bmatrix} = \begin{bmatrix} 1 & 2 & 3 \\ 6 & 5 & 4 \\ 7 & 8 & 9 \end{bmatrix} \begin{bmatrix} V_1 \\ V_2 \\ V_3 \end{bmatrix}$$

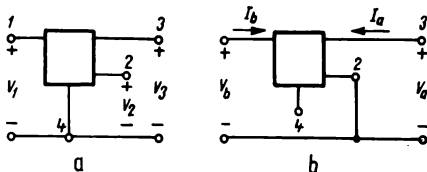


Fig. 3.P.33.

P34. În fig. 3.P.34, *a* este arătat un cuadripol conectat ca un triport cu bornă comună pentru care se dau ecuațiile în scurtcircuit.

Se conectează o capacitate unitară între terminalele 1 și 2 ca în fig. 3.P.34, b.

Să se determine matricea admitanțelor în scurt circuit a circuitului considerat ca un diport ca în fig. 3.P.34, b.

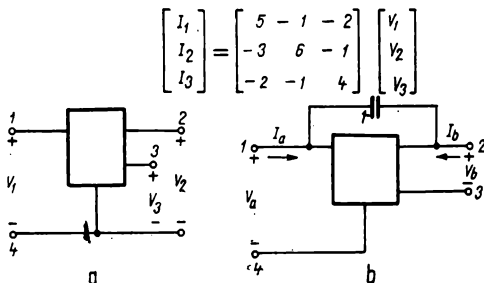


Fig. 3.P.34.

P35. Circuitul n -terminal din fig. 3.P.35 este liniar, cu constante concentrate și invariabil în timp. El este reprezentat de ecuația $\mathbf{I} = \mathbf{Y}_i \mathbf{V}$, unde \mathbf{Y}_i este matricea admitanțelor nedefinită, iar curenții și tensiunile sînt reprezentate în figură. Se propune să fie reținute primele k borne ca terminale, restul conectîndu-se la masă prin intermediul unor impedanțe ca în fig. 3.P.35 b. Fie \mathbf{Z} matricea diagonală a căror elemente diagonale sînt impedanțele Z_j . Să se găsească expresia care leagă noii curenți de terminale de tensiuni în funcție de \mathbf{Z} , \mathbf{Y}_i și submatricele corespunzătoare lor.

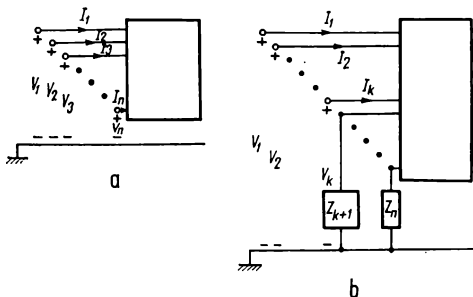


Fig. 3.P.35.

P36. Schema din fig. 3.P.36 este a unui circuit linear RLC fără transformatoare.

Să se determine expresia tensiunii $V(s)$ folosind relațiile topologice între determinantul matricii admitanțelor la noduri și cofactorii săi, luând nodul 5 ca nod de referință.

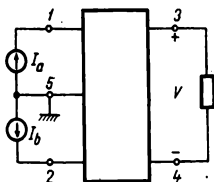


Fig. 3. P. 36.

P37. Circuitul din fig. 3.P.37 este un circuit RLC fără transformatoare. Să se găsească expresia tensiunii în funcție de determinantul matricii admitanțelor la noduri și cofactorii săi, specificând cu grijă structura precisă a circuitului pentru care corespunde această matrice. Scrieți rezultatul în termenii formulelor topologice simplificând pe cât posibil.

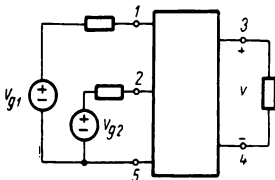


Fig. 3. P. 37.

P38. Discutați modificarea matricii impedanță nedefinită Z_i când:

- două terminale sînt conectate împreună;
- un terminal este suprimat.

Comparați rezultatele cu Y_i .

P39. Dîndu-se pentru un circuit n -terminal cu $n = 3$ și $n = 4$, matricea impedanță nedefinită, să se găsească matricea impedanțelor în gol a multiportului cu bornă comună ce rezultă cînd terminalul n este făcut bornă comună.

P40. Să se calculeze admitanța de intrare a fiecărui circuit din fig. 3.P.40 folosind formulele topologice. Se va face calculul odată folosind matricea admitanțelor la noduri, iar a doua oară matricea impedanțelor pe contur.

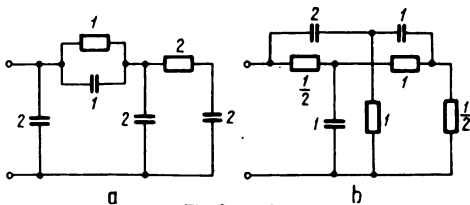


Fig. 3. P. 40.

P41. Pentru circuitul din fig. 3.P.41 să se calculeze admitanța de intrare la poarta din stânga folosind formulele topologice.

Se va face calculul odată folosind matricea admitanțelor la noduri, iar a doua oară folosind matricea impedanțelor pe contur.

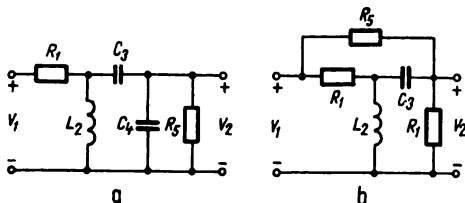


Fig. 3.P.41.

P42. Pentru circuitul din fig. 3.P.41 să se determine raportul de transfer al tensiunilor V_2/V_1 folosind formule topologice.

P43. În cazul unui diport cu bornă comună stabilirea unor formule topologice pentru calculul lui Y_{sc} și Z_{oc} ar fi o deosebită utilitate. Determinați aceste formule simplificate.

P44. Pentru circuitul din fig. 3.P.44 să se determine matricea impedanțelor în gol Z_{00} folosind formule topologice.

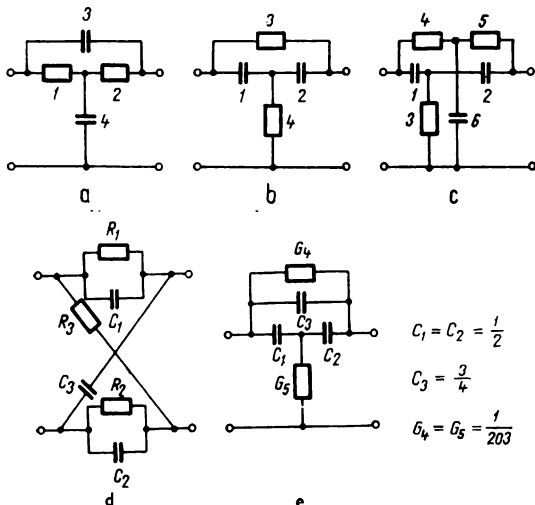


Fig. 3.P.44.

$$C_1 = C_2 = \frac{1}{2}$$

$$C_3 = \frac{3}{4}$$

$$G_4 = G_5 = \frac{1}{203}$$

P45. a) Demonstrați că impedanța unui circuit *RLC* fără inductanțe mutuale va avea un pol la $s = 0$ dacă și numai dacă există o secțiune conținând numai capacități care separă cele două terminale (ale dipolului).

b) Demonstrați că o impedanță va avea un pol la infinit dacă și numai dacă va exista o secțiune conținând numai inductanțe care să separe terminalele dipolului ca și la punctul a).

P46. a) Demonstrați că admitanța unui circuit *RLC* fără inductanțe mutuale va avea un pol la $s = 0$ dacă și numai dacă există o cale inductivă între terminale.

b) Demonstrați că admitanța va avea un pol la infinit dacă și numai dacă există o cale capacitivă între terminale.

P47. Fie :

$$z_{11} = \frac{a_0 + a_1 s + \dots + a_n s^n}{D(s)},$$

$$z_{22} = \frac{b_0 + b_1 s + \dots + b_m s^m}{D(s)},$$

$$z_{21} = \frac{c_0 + c_1 s + \dots + c_r s^r}{D(s)}.$$

parametrii în gol a unui circuit *RLC* fără inductanțe mutuale.

a) Utilizând formule topologice să se arate că :

$$a_k \geq |c_k| \text{ și } b_k \geq |c_k|.$$

Aceasta semnifică că o putere a lui s care este prezentă la numărătorul lui z_{21} trebuie să fie prezentă și în numărătorii z_{11} și z_{22} . Mai mult, coeficienții lui z_{11} și z_{22} vor fi pozitivi și mai mari în modul decât coeficienții corespunzători din z_{21} , care pot fi și negativi.

b) Ce concluzii se desprind dacă dipolul are bornă comună?

c) Presupuneți că cele trei funcții date se referă la y_{11} , y_{22} și $-y_{21}$. Care va fi rezultatul corespunzător?

Aceste condiții asupra coeficienților se numesc condițiile Fialkow.

P48. a) Să se găsească parametrii admitanță în scurtcircuit pentru circuitul din fig. 3.P.48 aplicând direct definiția acestor parametri. Aparent condiția lui Fialkow nu este satisfăcută.

b) Să se găsească din nou parametrii, utilizând formulele topologice și să se compare cele două răspunsuri. Stabiliți condiția care trebuie să fie asigurată încât condiția lui Fialkow să fie valabilă.

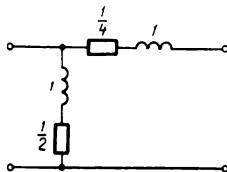


Fig. 3.P.48.

P49. Fie matricea h a unui tranzistor în conexiunea emitor comun :

$$h = \begin{bmatrix} h_{11} & h_{12} \\ h_{21} & h_{22} \end{bmatrix}$$

Să se determine matricele h pentru tranzistorul în conexiunea bază comună și colector prin intermediul matricei admitanțelor nedefinite.

P50. Schema din fig. 3.P.50 este a unui circuit pasiv reciproc, în care rezistența R_k este explicitată. Impedanța de intrare a circuitului este $Z(s)$. Să presupunem că latura care conține pe R_k este întreruptă (lăsată în gol), iar terminalele ce iau astfel naștere vor constitui poarta de intrare a diportului ce va avea cea de-a doua poartă tocmai poarta circuitului original. Fie $g_{21k}(s)$ funcția amplificarea de tensiune în sensul invers de transmisie a acestui diport. Arătați că dacă circuitul conține n rezistențe :

$$\operatorname{Re} Z(j\omega) = \sum_{k=1}^n R_k |g_{21k}(j\omega)|^2.$$

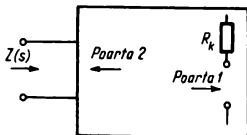


Fig. 3.P.50.

P51. Se consideră diportul N reciproc și simetric atât electric cât și structural. Parametrii săi z și y sînt notați respectiv cu : $z_{11} = z_{22}$, z_{12} și $y_{11} = y_{22}$ și y_{12} .

Dacă bisectionăm diportul la linia sa de simetrie structurală vor fi create un număr de două sau mai multe terminale la joncțiunea dintre cele două jumătăți. Presupunem că niciuna dintre legăturile care leagă aceste terminale nu se încrucișează. Vom considera două cazuri, arătate în fig. 3.P.51, în care aceste terminale sînt lăsate în gol și respectiv în scurtcircuit. Impedanța de intrare și admitanța de intrare sînt notate cu z_{11h} și respectiv y_{11h} pentru cele două cazuri, unde indicele h semnifică secționarea în două a circuitului. Arătați că :

$$z_{11h} = z_{11} + z_{12} \text{ și } \frac{1}{y_{11h}} = z_{11} - z_{12}$$

sau

$$\frac{1}{z_{11h}} = y_{11} + y_{12} \text{ și } y_{11h} = y_{11} - y_{12}.$$

Indicație: Aplicați tensiunile $V_1 = V_2 = V$ la terminalele circuitului original pentru a arăta că nici un curent nu va traversa axa de simetrie structurală. Apoi, aplicați tensiunile $V_1 = -V_2 = V$ și arătați că tensiunile ce iau naștere la fiecare punct de pe axa de simetrie structurală vor fi egale). Rezultatul este cunoscut sub denumirea de teorema biseției a lui Bartlett.

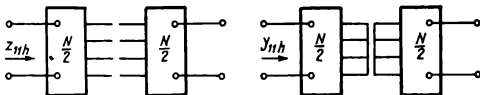


Fig. 3.P.51.

P52. Variabilele curenți și tensiuni din ecuațiile la noduri, pe contur sau la perechi de noduri sînt transformatele Laplace ale unor curenți și tensiuni. Soluția, de exemplu, pentru tensiunea unui nod este dată de relația (4):

$$V_k(s) = \sum_i J_i(s) \frac{\Delta_{ik}(s)}{\Delta(s)}$$

Să presupunem acum că sursele de excitație sînt toate exponențiale astfel încît sursa i de curent echivalentă este $I_i e^{j\omega_0 t}$

I_i este un număr complex, numit fazor. Să presupunem că $s_k = j\omega_0$ nu este o frecvență naturală a circuitului și să presupunem că circuitul este inițial relaxat. Răspunsul în regim forțat corespunzător excitației exponențiale va fi tot de tip exponențial, iar componenta în regim forțat a tensiunii la nodul k va fi

$$v_k(t)_{\text{forțat}} = U_k e^{j\omega_0 t},$$

unde U_k este de asemenea un fazor. Găsiți expresia lui $U_k(s)$. Comparați-o cu expresia lui V_k de mai sus în care caz excitația a fost arbitrară.

P53. Un diport are următoarele relații hibride $V - I$:

$$\begin{bmatrix} I_1 \\ I_2 \end{bmatrix} = \begin{bmatrix} -75 & 1 \\ 1 & -10^{-3} \end{bmatrix} \begin{bmatrix} V_1 \\ V_2 \end{bmatrix}$$

Să se proiecteze circuitul care plasat în serie sau în paralel la porțile circuitului din fig. 3.P.53 îl transformă pe acesta într-un convertor ideal de negativare.

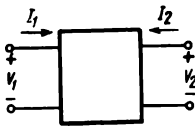


Fig. 3.P.53.

P54. Repetați problema 3.P.53 pentru cazul unui diport avînd următoarele relații $V - I$

$$(a) \begin{bmatrix} V_1 \\ I_2 \end{bmatrix} = \begin{bmatrix} 100 & -2 \\ -2 & 2 \times 10^{-3} \end{bmatrix} \begin{bmatrix} I_1 \\ V_2 \end{bmatrix} \quad (c) \begin{bmatrix} V_1 \\ I_2 \end{bmatrix} = \begin{bmatrix} -100 & 1 \\ 1 & 10^{-4} \end{bmatrix} \begin{bmatrix} I_1 \\ V_2 \end{bmatrix}$$

$$(b) \begin{bmatrix} V_1 \\ I_2 \end{bmatrix} = \begin{bmatrix} 100 & 1 \\ 1 & -10^{-4} \end{bmatrix} \begin{bmatrix} I_1 \\ V_2 \end{bmatrix}$$

4

Ecuatii de stare

În capitolul 2 am dezvoltat reprezentările rețelelor electrice prin curenți de contur, tensiuni la noduri și variabile mixte. În cazul general, fiecare ecuație scalară pe contur sau la nod este o ecuație integrodiferențială de ordinul doi. Pe de altă parte, fiecare ecuație scalară cu variabile mixte este de ordinul întâi. În afară de cazul în care se manifestă o grijă deosebită pentru selecționarea arborilor, unele ecuații cu variabile mixte pot conține integrale și derivate ale acestor variabile.

Există unele avantaje certe, dacă descrierea rețelei se face astfel încât să rezulte ecuații diferențiale de ordinul întâi, fără integrale. Într-o exprimare matriceală, rezultatul este o ecuație diferențială vectorială de ordinul întâi, care caracterizează comportarea dinamică a rețelei. Cîteva din motivele pentru căutarea unei astfel de reprezentări a rețelei sînt următoarele :

1. Există numeroase cunoștințe matematice referitoare la rezolvarea unor asemenea ecuații și asupra proprietăților soluțiilor lor, care pot fi aplicate direct în acest caz.

2. Reprezentarea este extinsă ușor și natural la rețele variabile în timp și neliniare și este, de fapt, metoda folosită aproape cel mai frecvent pentru caracterizarea unor asemenea rețele.

3. Ecuatiile diferențiale de ordinul întâi se programează ușor pentru rezolvarea pe calculator.

În acest capitol vom formula și rezolva ecuațiile diferențiale vectoriale de ordinul întâi care sînt cunoscute ca *ecuații de stare*. Ne vom limita aici la rețele liniare, invariabile în timp, care pot fi pasive sau active, reciproce sau nereciproce. În capitolele precedente am luat în considerare numai ecuațiile cu transformate Laplace. În acest capitol vom reveni asupra ecuațiilor de bază cu variabile exprimate ca funcții de timp. Aceasta poate necesita o reorientare în modul dumneavoastră de gîndire ; de exem-

plu, dacă în prezentul text vom vedea că o ecuație este algebrică, aceasta înseamnă că în ecuații nu apar derivate ale variabilelor. În termenii ecuațiilor cu transformate Laplace, aceasta ar însemna că coeficienții sînt independenți de variabila de frecvență complexă.

4.1. ORDINUL DE COMPLEXITATE AL UNEI REȚELE (CIRCUITE)

În legătură cu descrierea rețelelor (prin ecuații de stare) pe care o vom dezvolta în acest capitol, se vor prezenta unele noțiuni introductive. Numărul de ecuații independente scrise folosind legea de curent a lui Kirchhoff (LKC) și legea de tensiune a lui Kirchhoff (LKV) într-o rețea, n și respectiv $b - n$, este determinat numai de graful rețelei, nu și de tipul laturilor. Același lucru este adevărat pentru numărul variabilelor independente — tensiuni la noduri (n) și curenți pe bucle (ochiuri) ($b - n$). Aceste numere nu sînt influențate de tipul elementelor din laturi (rezistoare, condensatoare sau bobine). Dacă o rețea este pur rezistivă atunci ecuațiile pe bucle sau la noduri sînt algebrice (fără nici o variație în timp); le vom numi ecuații *statice*. Dacă există capacități și inductanțe, ecuațiile vor fi *dinamice*. O problemă importantă este de a determina cîte variabile *dinamice independente* există; sau altfel spus cîte variabile există astfel ca, atunci cînd aceste variabile sînt determinate (ca o funcție de timp), variabilele care rămîn să poată fi determinate pur algebric.

Se știe că fiecare capacitate și fiecare inductanță introduce o variabilă dinamică, deoarece relația $v - i$ corespunzătoare fiecăreia conține o derivată. Se știe de asemenea că tensiunile și curenții inițiali dintr-o rețea devin cunoscute, dacă sînt specificate tensiunile inițiale la bornele capacităților și curenții inițiali prin inductanțe. Numărul maxim de condiții inițiale care pot fi specificate independent este egal cu numărul de ramuri independente care înmagazinează energie (capacități plus inductanțe). Aceasta justifică introducerea noțiunii ordin de complexitate definită astfel :

Ordinul de complexitate al unei rețele este egal cu numărul de condiții inițiale independente care pot fi specificate pentru o rețea.

Acesta este de asemenea numărul de constante arbitrare care apar în soluția generală a ecuațiilor rețelei. El este egal cu numărul de frecvențe naturale, luînd în calcul pentru fiecare ordinul său de multiplicitate; de exemplu, să presupunem răspunsul liber al unei rețele de forma

$$w'(t) = A_1 e^{s_1 t} + (A_2 + A_3) e^{s_2 t} + A_4 e^{s_3 t} + A_5 e^{s_4 t} \quad (1)$$

Frecvența naturală s_2 este de ordinul de multiplicitate doi; rezultă că numărul total de frecvențe naturale este cinci. Acesta este de asemenea ordinul de complexitate.

Este clar că ordinul de complexitate nu poate depăși numărul de elemente care pot înmagazina energie. Presupunem totuși că există o relație restrictivă între tensiunile pe capacități sau curenții prin bobine. Aceste constrangeri pot fi determinate de contururi care conțin numai capacități, sau numai capacități și surse de tensiune independente, și secțiuni care conțin numai inductanțe sau numai inductanțe și surse de curent independente¹).

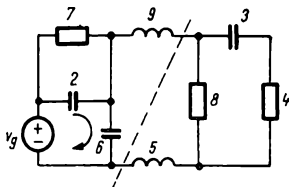


Fig. 4.1. Rețea cu un contur de capacități și o secțiune de inductanțe.

În primul caz, aplicînd LKV pe contur se obține o relație liniară între tensiunile pe capacități, și în al doilea caz, ecuația LKC pentru secțiuni ne va da o relație liniară între curenții inductanțelor. În fig. 4.1 există cinci elemente care pot înmagazina energie. Dar în această rețea există o buclă de capacități care conține două capacități și o sursă de tensiune. Există de asemenea o secțiune de inductanțe care conține două inductanțe. Rezultă că pentru tensiunile pe capacități și pentru curenții prin inductanțe vom avea următoarele relații restrictive:

$$v_2 + v_6 = v_g, \quad (2a)$$

$$i_5 + i_9 = 0 \quad (2b)$$

cu o orientare adecvată a variabilelor). Aceasta înseamnă că valorile inițiale ale lui v_2 și v_6 , și de asemenea valorile inițiale ale lui i_5 și i_9 , nu pot fi prescrise independent.

Fiecare relație restrictivă reduce numărul condițiilor inițiale independente cu o unitate. Într-o rețea care are numai componente cu două terminale, ecuațiile corespunzătoare nu pot introduce relații algebrice suplimentare între tensiunile pe capacități și curenții prin inductanțe. Rezultă că:

¹ Pentru a evita repetiția, vom folosi termenul „contur de capacități” care înseamnă un contur numai din capacități sau numai capacități și surse de tensiune independente. În același mod vom folosi termenul „secțiune de inductanțe”, ceea ce reprezintă o secțiune care conține numai inductanțe sau inductanțe și surse de curent independente.

Ordinul de complexitate al unei rețele RLC este egal cu numărul total de elemente reactive, din care se scade numărul de bucle de capacități independente și numărul de secțiuni de inductanțe independente.

În rețeaua din fig. 4.1 ordinul de complexitate este $5 - 1 - 1 = 3$.

Este interesant de știut care este influența buclelor care conțin numai inductanțe sau a secțiunilor numai cu capacități. Considerăm, de exemplu, rețeaua din fig. 4.2, care conține o buclă de inductanțe; KVL pe acest contur conduce la

$$L_3 \frac{di_3}{dt} + L_5 \frac{di_5}{dt} + L_6 \frac{di_6}{dt} = \frac{d}{dt} (L_3 i_3 + L_5 i_5 + L_6 i_6) = 0. \quad (3)$$

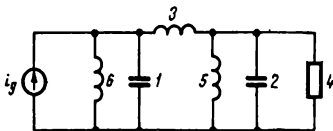


Fig. 4.2. Rețea cu un contur de inductanțe.

Integrala acestei expresii de la 0 la t conduce la

$$L_3 i_3(t) + L_5 i_5(t) + L_6 i_6(t) = L_3 i_3(0) + L_5 i_5(0) + L_6 i_6(0) = K, \quad (4)$$

unde $t = 0$ înseamnă de fapt $0+$. S-ar părea că aceasta reprezintă de asemenea o restricție asupra curenților prin inductanțe. Dar constanta K nu este specificată. De fapt, determinarea ei necesită o relație independentă. Aceasta este demonstrată de *principiul conservării liniilor de flux*, care afirmă că $\sum L_i i_i$ pe orice contur închis este continuă. (Acest principiu nu poate fi derivat din legile lui Kirchhoff). Condiția de continuitate impune ca valoarea liniilor de flux puțin înainte de $t = 0$ (adică la $0-$) să fie egal cu valoarea pe care o are imediat după $t = 0$ astfel :

$$K = L_3 i_3(0-) + L_5 i_5(0-)' + L_6 i_6(0-). \quad (5)$$

Valorile la $0-$ ale tuturor celor trei curenți prin inductanțe pot fi specificate independent, fără a călca legile lui Kirchhoff; aceste specificații vor fixa valoarea la $0+$ a liniilor de flux. Tragem concluzia că o buclă de inductanțe nu reduce numărul de condiții inițiale care pot fi specificate independent și astfel nu influențează ordinul de complexitate.

O concluzie similară rezultă pentru o secțiune de capacități, și anume că aceasta nu va avea nici o influență asupra ordinului de complexitate.

Se poate obține o ecuație similară cu (5) pentru o secțiune de capacități cu deosebirea că termenii vor fi de forma $C_j v_j = q_j$ (sarcina). În acest caz, în locul principiului conservării fluxului se folosește *principiul conservării sarcinii*, care, aplicat unei rețele, afirmă că funcția $\sum C_j v_j = \sum q_j$ pentru orice secțiune este continuă.

Deși secțiunile de capacități și buclele de inductanțe nu influențează numărul de frecvențe naturale, ele influențează valorile frecvențelor naturale. În fig. 4.2, de exemplu, presupunem că $i_3(t)$ este răspunsul dorit. Este clar că un curent constant poate circula prin bucla de inductanțe. Deci unul din termenii din $i_3(t)$ poate fi o constantă, care corespunde unei frecvențe naturale $s = 0$. Rezultă că o buclă de inductanțe conduce la o frecvență naturală zero. O concluzie similară rezultă pentru o secțiune de capacități.

Totuși, frecvențele naturale la $s = 0$ sînt oarecum particulare, deoarece în orice caz termenul corespunzător care apare în răspuns depinde de: (1) ce variabilă specifică constituie răspunsul și (2) localizarea excitației.

În fig. 4.2, dacă răspunsul este $v_3(t)$ și nu $i_3(t)$, nu va apare un termen constant, deoarece $v_3 = di_3/dt$, și prin diferențiere constanta se va elimina. Toate celelalte frecvențe naturale vor apare în v_3 , deoarece derivata unei exponențiale este proporțională cu acea exponențială.

Discuțiile anterioare arată că ceea ce este interesant în unele cazuri este numărul de frecvențe naturale diferite de zero și nu numărul total de frecvențe naturale. Acesta poate fi obținut scăzînd din numărul total, numărul de secțiuni de capacități și numărul de bucle de inductanțe. Rezultă că:

Numărul de frecvențe naturale diferite de zero este egal cu ordinul de complexitate minus numărul de bucle independente de inductanțe și numărul de secțiuni independente de capacități.

Contur de capacități 6, 7, 8, 9, 10, 11	Secțiuni de capacități 5, 6, 7 6, 8 5, 7, 8
Secțiuni de inductanțe 1, 2, 3 3, 4 1, 2, 4	Contururi de inductanțe, Nițiunul

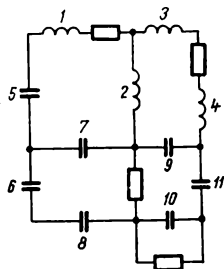


Fig. 4.3. Rețea cu multe degenerări.

Cuvîntul „independent“ atît aici, cît și în definiția ordinului de complexitate dat mai sus, este important. Putem justifica aceasta referindu-ne la fig. 4.3. Din trei secțiuni de inductanțe numai două sînt independente; ecuația LKC pentru o secțiune se poate obține din celelalte două. Aceasta este adevărat și pentru cele trei secțiuni de capacități; numai două sînt independente. Deoarece există în total 11 inductanțe și capacități, și 3 constrîngerii liniare (una pentru conturul de capacități și două pentru secțiunile de inductanțe), ordinul de complexitate și numărul de frecvențe naturale este $11 - 3 = 8$. Din aceste frecvențe naturale, două sînt zero, și corespund la două secțiuni independente de capacități. Există deci $8 - 2 = 6$ frecvențe naturale diferite de zero.

4.2. CONSIDERAȚII DE BAZĂ ÎN SCRIEREA ECUAȚILOR DE STARE

Sîntem acum pregătiți pentru a începe prezentarea ecuațiilor de stare. Ecuațiile de bază pe care le putem folosi sînt LKV, LKC și relațiile $v - i$. Dintre acestea trebuie aleasă o combinație particulară și un ordin particular. Decizia de alegere se face pe baza unui număr de considerațiuni :

1. Dorim ca ecuațiile finale să nu conțină integrale. Integralele apar din substituția lui $i = \int_0^t v dx/L + i(0)$ pentru un curent prin inductanță în LKC și substituirea lui $v = \int_0^t i dx/C + v(0)$ pentru o tensiune pe capacitate în LKV. Nu vom elimina curenții prin inductanțe și tensiunile pe capacități și le vom menține ca variabile.

2. Dorim ca ecuațiile finale să fie ecuații diferențiale de ordinul întâi. Derivatele apar din substituirea $v = L di/dt$ pentru tensiunea pe inductanțe în LKV și $i = C dv/dt$ pentru curentul prin capacitate în LKC. Vom face aceste substituiri, eliminînd astfel curenții prin capacități și tensiunile pe inductanțe din setul final de variabile.

3. Din cele două variabile referitoare la capacitate, tensiune și curent, tensiunea este aceea a cărei valoare inițială poate fi specificată independent într-o rețea — *cu excepția cazului în care există o buclă de capacități*, așa cum s-a discutat în ultimul paragraf. În mod asemănător, pentru inductanțe, curenții inițiali pot fi specificați independent — *cu excepția cazului în care există o secțiune de inductanțe*. Acesta este un motiv în plus pentru a reține tensiunile pe capacități și curenții prin inductanțe ca variabile.

4. Toate considerațiile de mai sus sînt netopologice; ele nu consideră modul de selectare al unui arbore și ce tipuri de laturi sînt ramuri sau

coarde. Din punct de vedere topologic, se știe că tensiunile pe ramuri determină toate celelalte tensiuni. Deoarece dorim să avem tensiunile pe capacități printre variabilele finale, vom plasa pe cât posibil capacitățile într-un arbore. În mod asemănător, curenții coardelor constituie o bază pentru toți curenții. Deoarece dorim să avem curenții prin inductanțe ca variabile finale, plasăm inductanțele, pe cât posibil în coarboare.

5. Până acum nu am luat în considerare sursele independente ca laturi separate, dar am presupus că ele există totdeauna; le-am inclus însă în laturi existente. Convențional, revenim asupra acestei proceduri și vom considera sursele independente ca laturi separate. Deoarece tensiunea unei surse de tensiune este o „cunoscută“, ea nu poate fi determinată din alte tensiuni. Rezultă că o sursă de tensiune nu poate fi o coardă, deoarece atunci tensiunea ei ar fi stabilită în termenii tensiunilor ramurilor. În mod similar, o sursă de curent nu poate fi o ramură, deoarece curentul său nu poate fi stabilit în termenii curenților coardelor. Într-o rețea care are o buclă conținând numai surse de tensiune independente, una din surse va fi considerată ca o coardă. Aceste surse nu pot fi cu adevărat independente, deoarece tensiunile lor trebuie să satisfacă LKV pe contur. Dacă LKV este respectată, atunci una din surse poate fi o coardă, și tensiunea ei va fi determinată de alte surse. Considerații similare se fac pentru o secțiune care conține numai surse de curent independente. Presupunem, deci, că rețelele nu au bucle numai cu surse de tensiune independente și nici secțiuni numai cu surse de curent independente.

Considerațiile de mai sus ne conduc la următorul mod de abordare a problemei. Definim un *arbore normal* un arbore care are ca ramuri toate sursele de tensiune independente, numărul maxim posibil de capacități, numărul minim posibil de inductanțe și nici o sursă de curent independentă. (Dacă rețeaua nu este conectată, termenul corespunzător este „*arborescență normală*“). Pentru simplitate, ne vom referi mai tirziu la un arbore normal, revenind uneori la folosirea „*arborescenței normale*“ pentru accentuare). Dacă nu există bucle de capacități, toate capacitățile vor fi ramuri ale arborelui normal. De asemenea dacă nu există secțiuni de inductanțe, nici o inductanță nu va fi ramură în arborele normal; ele vor fi toate coarde. Aceasta poate fi demonstrată prin metoda reducerii la absurd. Presupunem că există o coardă de capacitate în absența unei bucle de capacități. Ambele noduri terminale ale coardei de capacitate cad în arborele normal corespunzător. Dacă această coardă este adăugată la arbore, ea va forma o buclă care, prin ipoteză, nu este o buclă de capacități. Dacă din această buclă îndepărtăm o latură necapacitivă, rezultatul va fi un nou arbore care va avea o capacitate mai mult decât precedentul. Această situație nu este posibilă, deoarece arborele normal precedent avea prin definiție numărul maxim de capacități. O demonstrație similară se aplică pentru inductanțe.

Dându-se o rețea, selectăm un arbore normal (sau o arborescență normală dacă rețeaua nu este conectată). Scriem apoi ecuațiile LKV pentru buclele f și ecuațiile LKC pentru secțiunile f ale acestui arbore. Folosim relațiile $v - i$ pe laturi pentru a elimina curenții prin capacități și tensiunile pe inductanțe, dar rămâne încă în discuție modul de abordare al variabilelor elementelor rezistive adică, sursele controlate, giratorii și rezistențele. Înainte de a trata această problemă în cazul general, să discutăm câteva exemple cu ajutorul cărora putem stabili concluzii generale.

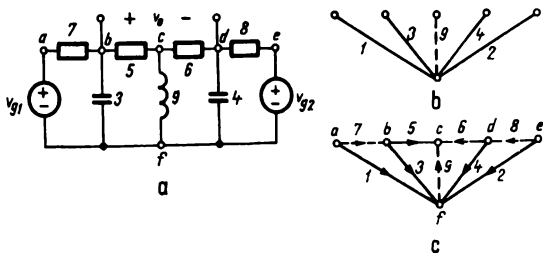


Fig. 4.4. Exemplu ilustrativ pentru scrierea ecuațiilor de stare.

Considerăm rețeaua din fig. 4.4, *a*. Este de dorit să găsim tensiunea la ieșire $v_o(t)$ cînd se aplică la intrări tensiunile $v_{g_1}(t)$ și $v_{g_2}(t)$. Există trei elemente reactive și nici o degenerare. Ordinul de complexitate este deci 3. Există șase noduri și nouă laturi. (Amintim că cele două surse de tensiune sînt considerate ca laturi separate). Un arbore normal trebuie să conțină ambele surse de tensiune și ambele capacități, nu însă și inductanța. Acesta este prezentat în fig. 4.4, *b* unde prin linie plină este arătată o parte a arborelui normal și linia punctată reprezintă coarda inductanței.

Este necesară încă o ramură, care trebuie să conecteze nodul c la rezistență. Este clar că există două posibilități care includ laturile rezistive — latura 5 sau 6. Am ales latura 5 pentru completarea arborelui, așa cum este arătat în fig. 4.4, *c*. Menționăm că am numerotat cu primele numere ramurile și în continuare coardele.

Să scriem ecuațiile LKC pentru secțiunile f și ecuațiile LKV pentru buclele f . Cu o descompunere obișnuită a elementelor matricei putem scrie :

$$\mathbf{Q}_t \mathbf{i} = [\mathbf{U} \mathbf{Q}_t] \begin{bmatrix} \mathbf{i}_t \\ \mathbf{i}_t \end{bmatrix} = \mathbf{i}_t + \mathbf{Q}_t \mathbf{i}_t = \mathbf{0}, \quad (6a)$$

$$\mathbf{B} \mathbf{v} = [\mathbf{B}_t \mathbf{U}] \begin{bmatrix} \mathbf{v}_t \\ \mathbf{v}_t \end{bmatrix} = \mathbf{B}_t \mathbf{v}_t + \mathbf{v}_t = \mathbf{0} \quad (6b)$$

sau :

$$i_t = - Q_t i_t, \quad (7a)$$

$$v_t = - B_t v_t. \quad (7b)$$

Menționăm că deoarece sursele sînt considerate ca laturi separate, părțile din dreapta în (6) sînt 0 și nu Q_i , sau B_v , așa cum le utilizasem în scriere. În formă scalară, (7) conduce la următoarele relații:

$$i_1 = - i_7 \quad (8a)$$

$$i_2 = - i_8 \quad (8b)$$

$$i_3 = i_6 + i_7 + i_9 \quad (8c)$$

$$i_4 = - i_6 + i_8 \quad (8d)$$

$$i_5 = - i_8 - i_9 \quad (8e)$$

$$v_6 = - v_3 + v_4 + v_5 \quad (8f)$$

$$v_7 = v_1 - v_3 \quad (8g)$$

$$v_8 = v_2 - v_4 \quad (8h)$$

$$v_9 = - v_3 + v_5 \quad (8i)$$

Rămîn de scris relațiile $v - i$ corespunzătoare componentelor. Presupunem că rețeaua este alimentată la momentul $t = t_0$. Tensiunile surselor v_1 și v_2 sînt date pentru $t \geq t_0$. Sînt date de asemenea curentul inițial prin inductanță și tensiunile inițiale pe capacități; acestea sînt $v_3(t_0)$, $v_4(t_0)$ și $i_9(t_0)$. Relațiile $v - i$ ale surselor și elementelor reactive sînt:

$$v_1 = v_{s1}(t), \quad (9a)$$

$$v_2 = v_{s2}(t), \quad (9b)$$

$$i_3 = C_3 \frac{dv_3}{dt}; \quad (9c)$$

$$i_4 = C_4 \frac{dv_4}{dt}; \quad (9d)$$

$$v_9 = L_9 \frac{di_9}{dt}. \quad (9e)$$

Ecuatiile scrise pentru rezistențe sînt de forma $v = Ri$ sau $i = Gv$, dar încă nu am stabilit cum vor fi ele scrise. Din discuțiile anterioare, știm că dorim să eliminăm curenții prin capacități și tensiunile pe inductanțe. Vom substitui i_3 , i_4 și v_9 din ultimele trei ecuații în ecuațiile LKC și LKV corespunzătoare din (8). Aceasta ne conduce la

$$C_3 \frac{dv_3}{dt} = i_6 + i_7 + i_9, \quad (10a)$$

$$C_4 \frac{dv_4}{dt} = -i_6 + i_8, \quad (10b)$$

$$L_9 \frac{di_9}{dt} = -v_3 + v_5. \quad (10c)$$

Există două tipuri de variabile în părțile drepte ale ecuațiilor: (1) tensiuni pe capacități și curenți prin inductanțe (v_3 și i_9) pe care dorim să le menținem; și (2) curenți și tensiuni corespunzătoare rezistențelor. Există patru variabile de acest fel, și anume: v_5 , i_6 , i_7 și i_8 . Menționăm că nici una din acestea nu apare în partea stîngă a ecuațiilor Kirchhoff din (8), spre deosebire de variabilele complementare acestora, care apar. Pentru a exprima aceste variabile complementare în funcție de unele dorite, putem folosi relațiile $v - i$ corespunzătoare (9) în (8). Avem acum un ghid pentru scrierea într-o formă convenabilă a acestor relații. Acestea sînt:

$$i_5 = G_5 v_5, \quad (11a)$$

$$v_6 = R_6 i_6, \quad (11b)$$

$$v_7 = R_7 i_7, \quad (11c)$$

$$v_8 = R_8 i_8. \quad (11d)$$

Astfel, pentru coarde folosim forma $v = Ri$; și pentru ramuri $i = Gv$. Dacă folosim aceste relații în cele patru ecuații corespunzătoare din (8), rezultatul poate fi rescris în următoarea formă:

$$G_5 v_5 + i_6 = -i_9 \quad (12a)$$

$$-v_5 + R_6 i_6 = -v_3 + v_4 \quad (12b)$$

$$R_7 i_7 = v_1 - v_3 \quad (12c)$$

$$R_8 i_8 = v_2 - v_4. \quad (12d)$$

Acestea sînt ecuații algebrice pure care exprimă tensiunile și curenții pe rezistențe în următorii termeni: (1) tensiunile surselor, (2) tensiunile pe capacități și (3) curenții prin inductanțe. Aceste ecuații algebrice pot fi ușor rezolvate și se obține:

$$v_5 = \frac{1}{1 + G_5 R_6} v_3 - \frac{1}{1 + G_5 R_6} v_4 - \frac{R_6}{1 + G_5 R_6} i_9 \quad (13a)$$

$$i_6 = -\frac{G_5}{1 + G_5 R_6} v_3 + \frac{G_5}{1 + G_5 R_6} v_4 - \frac{1}{1 + G_5 R_6} i_9 \quad (13b)$$

$$i_7 = G_7 v_1 - G_7 v_3 \quad (13c)$$

$$i_8 = G_8 v_2 - G_8 v_4 \quad (13d)$$

În final, aceste ecuații pot fi substituite în (10) și, după o rearanjare a lor, se obține:

$$C_3 \frac{dv_3}{dt} = -\left(G_7 + \frac{G_5}{1 + G_5 R_6}\right) v_3 + \frac{G_5}{1 + G_5 R_6} v_4 + \frac{G_5 R_6}{1 + G_5 R_6} i_9 - G_7 v_{o1}, \quad (14a)$$

$$C_4 \frac{dv_4}{dt} = \left(\frac{G_5}{1 + G_5 R_6}\right) v_3 - \left(G_8 + \frac{G_5}{1 + G_5 R_6}\right) v_4 + \frac{1}{1 + G_5 R_6} i_9 + G_8 v_{o2}, \quad (14b)$$

$$L_9 \frac{di_9}{dt} = \frac{-G_5 R_6}{1 + G_5 R_6} v_3 - \frac{1}{1 + G_5 R_6} v_4 - \frac{R_6}{1 + G_5 R_6} i_9. \quad (14c)$$

Acesta este un set de ecuații diferențiale de ordinul întâi. Să-l scriem în formă matriceală. După împărțirea prin coeficienții din stînga, rezultatul va fi:

$$\frac{d}{dt} \begin{bmatrix} v_3 \\ v_4 \\ i_9 \end{bmatrix} = \begin{bmatrix} -\left(\frac{G_7}{C_3} + \frac{G_5/C_3}{1 + G_5 R_6}\right) & \frac{G_5/C_3}{1 + G_5 R_6} & \frac{G_5 R_6/C_3}{1 + G_5 R_6} \\ \frac{G_5/C_4}{1 + G_5 R_6} & -\left(\frac{G_8}{C_4} + \frac{G_5/C_4}{1 + G_5 R_6}\right) & \frac{1/C_4}{1 + G_5 R_6} \\ -\frac{G_5 R_6/L_9}{1 + G_5 R_6} & -\frac{1/L_9}{1 + G_5 R_6} & -\frac{R_6/L_9}{1 + G_5 R_6} \end{bmatrix} \begin{bmatrix} v_3 \\ v_4 \\ i_9 \end{bmatrix} + \begin{bmatrix} -\frac{G_7}{C_3} & 0 \\ 0 & \frac{G_8}{C_4} \\ 0 & 0 \end{bmatrix} \begin{bmatrix} v_{o1} \\ v_{o2} \end{bmatrix}. \quad (15)$$

Aceasta este ecuația pe care urmăream să o obținem. Ea este ecuație diferențială matriceală de ordinul întâi. Este folosită următoarea terminologie :

Vector de stare

Vector de intrare

$$\mathbf{x}(t) = \begin{bmatrix} v_3(t) \\ v_4(t) \\ i_9(t) \end{bmatrix}$$

$$\mathbf{e}(t) = \begin{bmatrix} v_{e1}(t) \\ v_{e2}(t) \end{bmatrix}$$

Elementele vectorului de stare sînt *variabile de stare*. Ne referim la ecuația matriceală ca la o *ecuație de stare*. Ecuația (15) poate fi scrisă condensat în notația matriceală astfel :

$$\frac{d\mathbf{x}}{dt} = \mathcal{A}\mathbf{x} + \mathcal{B}\mathbf{e}, \quad (16)$$

unde semnificațiile matricelor \mathcal{A} și \mathcal{B} sînt evidente. Aceasta este numită *forma normală* a ecuației de stare. Derivata vectorului de stare este dată ca o combinație liniară a vectorului de stare și a vectorului de intrare sau de excitație (Litera „e” provine de la excitație).

Cantitățile de ieșire dorite pot fi variabile de stare sau orice alte variabile din rețea. În cazul nostru ne-am propus ca ieșirea să fie $v_0(t)$. Din rețea se constată că $v_0 = v_3 - v_4$, care poate fi scris în formă matriceală astfel :

$$v_0 = \begin{bmatrix} 1 & -1 & 0 \end{bmatrix} \begin{bmatrix} v_3 \\ v_4 \\ i_9 \end{bmatrix}$$

sau mai condensat :

$$\mathbf{w}(t) = \mathcal{C}\mathbf{x}, \quad (17)$$

unde \mathbf{w} este *vectorul de ieșire*.

Următoarea etapă va fi să rezolvăm ecuațiile de stare, problemă care va ocupa o parte importantă în acest capitol. Înainte de aceasta să considerăm un alt exemplu, care va introduce unele aspecte pe care nu le-am întîlnit în ultimul exemplu.

Rețeaua pentru acest exemplu este reprezentată în fig. 4.5. Ea are o buclă de capacități (capacități și surse de tensiune). Un arbore normal trebuie să conțină ambele surse de tensiune, dar este clar că nu poate include toate cele trei capacități. Am ales arborele care conține capacitățile 3 și 4. Arborele normal poate fi completat de oricare din cele trei rezistențe; am ales aici rezistența numărul 5.

Etapa următoare este scrierea ecuațiilor KCL pentru secțiunile f și ecuațiile LKV pentru buclele f în forma lui (7). Rezultă :

$$i_1 = -i_6 - i_7, \quad (18a)$$

$$i_2 = i_6 - i_8, \quad (18b)$$

$$i_3 = i_6 + i_7, \quad (18c)$$

$$i_4 = -i_6 + i_8, \quad (18d)$$

$$i_5 = -i_7 - i_8, \quad (18e)$$

$$v_6 = v_1 - v_2 - v_3 + v_4, \quad (18f)$$

$$v_7 = v_1 - v_3 + v_5, \quad (18g)$$

$$v_8 = v_2 - v_4 + v_5, \quad (18h)$$

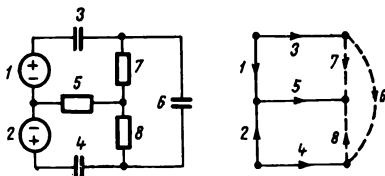


Fig. 4.5. Exemplu ilustrativ de circuit cu contur de capacități pentru scrierea ecuațiilor de stare.

Urmind raționamentul din exemplul anterior, vom scrie în continuare ecuațiile $v - i$ pentru toate capacitățile (singurele elemente reactive în acest caz) astfel încât să putem elimina curenții în capacități din (18) și să reținem numai tensiunile pe capacități. Dar, din cauza buclelor de capacități, nu toate aceste tensiuni sînt independente dinamic. Vom scrie ecuațiile $v - i$ numai pentru acele capacități care sînt în arborele normal. Astfel :

$$i_3 = C_3 \frac{dv_3}{dt}, \quad (19a)$$

$$i_4 = C_4 \frac{dv_4}{dt}, \quad (19b)$$

Introducem acum aceste relații în ecuațiile LKC corespunzătoare din (18) și obținem :

$$C_3 \frac{dv_3}{dt} = i_6 + i_7, \quad (20a)$$

$$C_4 \frac{dv_4}{dt} = -i_6 + i_8. \quad (20b)$$

Cele trei variabile din părțile drepte, curentul prin coarda capacității i_6 și curenții prin coardele rezistențelor i_7 și i_8 sînt tratate separat. Ecuația LKV pentru v_6 din (18f) este folosită în ecuația $v-i$ pentru i_6 , ceea ce conduce la :

$$i_6 = C_6 \frac{dv_6}{dt} = C_6 \frac{dv_1}{dt} - C_6 \frac{dv_2}{dt} - C_6 \frac{dv_3}{dt} + C_6 \frac{dv_4}{dt}, \quad (21)$$

care exprimă pe i_6 numai în termenii variabilelor dorite. Rămîn de eliminat din (20) variabilele i_7 și i_8 . Acestea nu apar rezolvate explicit în relațiile (18). Scriem din nou relațiile $v-i$ pentru coardele de rezistențe : $v = Ri$ și pentru ramură (latura 5) : $i = Gv$. Ecuațiile corespunzătoare din (18) pot fi scrise astfel :

$$G_5 v_5 + i_7 + i_8 = 0 \quad (22a)$$

$$-v_5 + R_7 i_7 = v_1 - v_3 \quad (22b)$$

$$-v_5 + R_8 i_8 = v_2 - v_4 \quad (22c)$$

Acesta este un sistem simplu de ecuații algebrice care rezolvat conduce la :

$$v_5 = -\frac{1}{K} v_1 - \frac{R_7 G_8}{K} v_2 + \frac{1}{K} v_3 + \frac{R_7 G_8}{K} v_4, \quad (23a)$$

$$i_7 = \frac{(G_5 + G_8)}{K} v_1 - \frac{G_8}{K} v_2 - \frac{(G_5 + G_8)}{K} v_3 + \frac{G_8}{K} v_4, \quad (23b)$$

$$i_8 = -\frac{G_8}{K} v_1 + G_8 \frac{(1 + G_5 R_7)}{K} v_2 + \frac{G_8}{K} v_3 - G_8 \frac{(1 + G_5 R_7)}{K} v_4, \quad (23c)$$

unde $K = 1 + R_7(G_5 + G_8)$. Ultimele două ecuații împreună cu (21), introduse în (20), vor permite eliminarea variabilelor nedorite. După rearanjare, rezultatul în forma matriceală devine :

$$\begin{bmatrix} C_3 + C_6 & -C_6 \\ -C_6 & C_4 + C_6 \end{bmatrix} \frac{d}{dt} \begin{bmatrix} v_3 \\ v_4 \end{bmatrix} = \begin{bmatrix} -\frac{(G_5 + G_8)}{K} & \frac{+G_8}{K} \\ \frac{G_8}{K} & -G_8 \frac{(1 + G_5 R_7)}{K} \end{bmatrix} \begin{bmatrix} v_3 \\ v_4 \end{bmatrix} \quad (24)$$

$$+ \begin{bmatrix} \frac{(G_5 + G_8)}{K} & -\frac{G_8}{K} \\ -\frac{G_8}{K} & G_8 \frac{(1 + G_5 R_7)}{K} \end{bmatrix} \begin{bmatrix} v_{\sigma 1} \\ v_{\sigma 2} \end{bmatrix} + \begin{bmatrix} C_6 & -C_6 \\ -C_6 & -C_6 \end{bmatrix} \frac{d}{dt} \begin{bmatrix} v_{\sigma 1} \\ v_{\sigma 2} \end{bmatrix}.$$

Rezultatul final este obținut prin premultiplicarea cu inversa matricei coeficienților din stînga. S-a obținut de asemenea o ecuație diferențială matriceală de ordinul întâi, dar de data aceasta partea dreaptă conține în termen cu derivata vectorului de intrare, pe lângă vectorul de intrare.

Pentru un calcul final, presupunem că ieșirile sînt $-i_1$ și i_2 . Aceștia pot fi exprimați în termenii curenților coardelor i_6 , i_7 și i_8 cu ajutorul ecuațiilor (18a) și (18b). Acești curenți sînt eliminați, în final, folosind (21) și (23). Rezultatul acestor calcule concretizat în ecuația la ieșire și exprimat în forma matriceală va fi :

$$\begin{bmatrix} -i_1 \\ i_2 \end{bmatrix} = \begin{bmatrix} -\frac{(G_5 + G_8)}{K} & \frac{G_8}{K} \\ -\frac{G_8}{K} & \frac{G_8(1 + G_5 R_7)}{K} \end{bmatrix} \begin{bmatrix} v_3 \\ v_4 \end{bmatrix} + \begin{bmatrix} -C_6 & C_6 \\ -C_6 & C_6 \end{bmatrix} \frac{d}{dt} \begin{bmatrix} v_3 \\ v_4 \end{bmatrix} \quad (25)$$

$$+ \begin{bmatrix} \frac{(G_5 + G_8)}{K} & -\frac{G_8}{K} \\ \frac{G_8}{K} & -\frac{G_8(1 + G_5 R_7)}{K} \end{bmatrix} \begin{bmatrix} v_{o1} \\ v_{o2} \end{bmatrix} + \begin{bmatrix} C_6 - C_6 \\ C_6 - C_6 \end{bmatrix} \frac{d}{dt} \begin{bmatrix} v_{o1} \\ v_{o2} \end{bmatrix}.$$

Derivata lui :

$$\begin{bmatrix} v_3 \\ v_4 \end{bmatrix}$$

poate fi eliminată folosind (24). Rezultatul algebric detaliat este complicat și nu este dat aici. Totuși, este clar că termenii prezentați în partea dreaptă a ecuației de ieșire vor fi aceiași cu cei prezenți în partea dreaptă a lui (24).

Ecuațiile (24) și (25) pot fi scrise condensat astfel :

$$\frac{dx}{dt} = \mathcal{A}x + \mathcal{B}_1 e + \mathcal{B}_2 \frac{de}{dt}, \quad (26a)$$

$$w = \mathcal{C}x + \mathcal{D}_1 e + \mathcal{D}_2 \frac{de}{dt}. \quad (26b)$$

Prima din acestea, este o ecuație diferențială. Odată ce este rezolvată, variabilele de ieșire sînt determinate algebric din a doua. Din punct de vedere al terminologiei aceste două ecuații împreună se numesc *ecuații de stare*. A doua ecuație este numită *ecuație de ieșire*. Ne vom ocupa în continuare de rezolvarea acestor ecuații.

4.3. REZOLVAREA ÎN DOMENIUL TIMP A ECUAȚIILOR DE STARE

În exemplele din ultimul paragraf am găsit că variabilele de intrare și de ieșire sînt legate prin ecuații de tipul (26). Vom stabili în paragrafele următoare că rezultă astfel de ecuații pentru toate rețelele de tipul celor considerate. Se observă că o formă ceva mai simplă se obține punînd :

$$\mathbf{x} = \bar{\mathbf{x}} + \mathcal{B}_2 \mathbf{e} \quad (27)$$

în (26), care devine :

$$\frac{d\bar{\mathbf{x}}}{dt} = \mathcal{A}\bar{\mathbf{x}} + (\mathcal{B}_1 + \mathcal{A}\mathcal{B}_2)\mathbf{e},$$

$$\mathbf{w} = \mathcal{C}\bar{\mathbf{x}} + (\mathcal{D}_1 + \mathcal{C}\mathcal{B}_2)\mathbf{e} + \mathcal{D}_2 \frac{d\mathbf{e}}{dt}.$$

Derivata excitației a fost eliminată în prima ecuație, dar nu și în a doua. Pentru simplitate vom elimina bara și vom scrie \mathbf{x} în loc de $\bar{\mathbf{x}}$. Mai mult, vom înlocui $\mathcal{B}_1 + \mathcal{A}\mathcal{B}_2$ cu \mathcal{B} , $\mathcal{D}_1 + \mathcal{C}\mathcal{B}_2$ cu \mathcal{D} , și \mathcal{D}_2 cu $\hat{\mathcal{D}}$. Ecuațiile pe care le vom trata, vor avea forma :

$$\frac{d\mathbf{x}}{dt} = \mathcal{A}\mathbf{x} + \mathcal{B}\mathbf{e}, \quad (28a)$$

$$\mathbf{w} = \mathcal{C}\mathbf{x} + \mathcal{D}\mathbf{e} + \hat{\mathcal{D}} \frac{d\mathbf{e}}{dt}. \quad (28b)$$

Dacă prima din aceste ecuații care rezultă dintr-o rețea, nu este inițial în această formă (deoarece ea conține un termen care implică derivata lui \mathbf{e}), transformarea din (27) o va pune în această formă. Chiar cu această transformare, totuși, se vede că derivata lui \mathbf{e} va fi prezentă în ecuația de ieșire afară de cazul cînd $\hat{\mathcal{D}} = 0$. Dacă această condiție este sau nu adevărată, aceasta depinde de rețeaua dată și de variabilele considerate ca ieșiri.

Vectorul \mathbf{x} este presupus a fi un vector cu n componente. Numărul de componente în \mathbf{e} va fi în general diferit de n . Astfel, \mathcal{A} este o matrice patrată, dar \mathcal{B} nu este în general patrată.

Ne îndreptăm acum atenția asupra rezolvării lui (28) pentru $\mathbf{x}(t)$, presupunând că valorile inițiale sînt exprimate prin vectorul $\mathbf{x}(t_0)$. În acest scop vom folosi metoda *variației parametrului*. Fie

$$\mathbf{x}(t) = \mathbf{Y}(t)\mathbf{x}_1(t) \quad (29)$$

în care $\mathbf{Y}(t)$ este o matrice pătrată de ordinul n care este presupusă a fi nesingulară pentru orice $t \geq t_0$ ¹⁾. Introducem această transformare în (28). Rezultatul, după o aranjare convenabilă a termenilor, va fi:

$$\left(\frac{d\mathbf{Y}}{dt} - \mathcal{A}\mathbf{Y} \right) \mathbf{x}_1 = -\mathbf{Y} \frac{d\mathbf{x}_1}{dt} + \mathcal{B}e. \quad (30)$$

Este clar că rezolvarea este simplificată dacă cantitatea din paranteză este presupusă a fi zero. Aceasta va conduce la o ecuație diferențială matriceală omogenă pentru \mathbf{Y} . După ce rezolvăm această ecuație, \mathbf{Y} poate fi introdus în partea dreaptă a lui (30). Rezultatul poate fi integrat direct pentru a găsi pe \mathbf{x}_1 . După ce am găsit \mathbf{Y} și \mathbf{x}_1 , se determină \mathbf{x} din (29).

Procedînd în acest fel, se obțin două ecuații care rezultă din (30) prin egalarea cu zero a cantităților din paranteze.

$$\frac{d\mathbf{Y}(t)}{dt} - \mathcal{A}\mathbf{Y}(t) = 0, \quad (31)$$

$$\frac{d\mathbf{x}_1(t)}{dt} = \mathbf{Y}(t)^{-1} \mathcal{B}e(t). \quad (32)$$

A doua ecuație se obține prin premultiplicarea prin inversa lui \mathbf{Y} , care există, deoarece \mathbf{Y} a fost presupus a fi nesingular. Vom amîna temporar rezolvarea primei ecuații și presupunem că a fost obținută o soluție. A doua ecuație poate fi rezolvată separînd pe \mathbf{x}_1 prin integrarea directă de la t_0 la t . Rezultatul va fi

$$\mathbf{x}_1(t) = \mathbf{x}_1(t_0) + \int_{t_0}^t \mathbf{Y}(\tau)^{-1} \mathcal{B}e(\tau) d\tau. \quad (33)$$

¹ Expunerea în acest capitol este extravagantă în folosirea simbolurilor. Necesitatea depășește mult disponibilitățile. Aceasta ne obligă să folosim un simbol într-un context, cînd el are de fapt o semnificație bine definită în altă parte. Astfel, obișnuit prin \mathbf{Y} se înțelege o matrice de admitanțe. Sperăm că folosirea lui aici cu o semnificație diferită, nu va conduce la confuzii.

Matricele valorilor inițiale sînt legate prin relația :

$$\mathbf{x}(t_0) = \mathbf{Y}(t_0)\mathbf{x}_1(t_0) \quad (34)$$

Rezultă că condiția inițială pentru (33) este $\mathbf{x}_1(t_0) = \mathbf{Y}(t_0)^{-1} \mathbf{x}(t_0)$.

Premultiplicăm acum ambele părți din (33) prin $\mathbf{Y}(t)$. Deoarece integrarea este făcută în raport cu τ , $\mathbf{Y}(t)$ poate fi introdusă sub semnul integralei. Mai mult, deoarece $\mathbf{x}_1(t_0) = \mathbf{Y}(t_0)^{-1} \mathbf{x}(t_0)$, rezultatul va fi :

$$\mathbf{x}(t) = \mathbf{Y}(t)\mathbf{Y}(t_0)^{-1}\mathbf{x}(t_0) + \int_{t_0}^t \mathbf{Y}(t)\mathbf{Y}(\tau)^{-1} \mathbf{B}\mathbf{e}(\tau) d\tau. \quad (35)$$

Acesta este un rezultat foarte semnificativ din care decurge că pentru rezolvarea lui (28), rezolvăm mai întîi (31), cu o condiție inițială nesingulară, de felul $\mathbf{Y}(t_0) = \mathbf{U}$. Calculăm apoi integrala indicată în (35). Totuși, integrantul necesită găsirea în primul rînd a inversei lui \mathbf{Y} , care este de fapt o problemă complicată.

Această dificultate poate fi evitată, deoarece $\mathbf{Y}(t)\mathbf{Y}(\tau)^{-1}$ este o funcție matriceală de $(t - \tau)$, care așa cum se va vedea curînd, poate fi ușor determinată. Exprimăm simbolic această relație astfel :

$$\mathbf{Y}(t)\mathbf{Y}(\tau)^{-1} = \Phi(t - \tau) \quad (36)$$

Cînd introducem aceasta în (35), rezultatul devine :

$$\mathbf{x}(t) = \Phi(t - t_0)\mathbf{x}(t_0) + \int_{t_0}^t \Phi(t - \tau)\mathbf{B}\mathbf{e}(\tau) d\tau. \quad (37)$$

Matricea Φ este numită *matricea de tranziție a stărilor*. Numele provine de la aceea că atunci cînd $c \equiv 0$, tranziția de la „starea” rețelei la momentul t_0 , la „starea” la momentul t este caracterizată prin Φ , așa cum se arată în (37).

Ecuția (37) constituie soluția în domeniul timp a ecuației diferențiale neomogene inițiale din (28). Înainte de rezolvarea completă, este necesar să rezolvăm ecuația omogenă (31).

Rezolvarea ecuației omogene

Considerăm o ecuație diferențială omogenă de ordinul întîi :

$$\frac{dy}{dt} - ay = 0$$

unde a este o constantă și condiția inițială este $y(t_0) = 1$. Soluția care satisface condiția inițială este

$$y(t) = e^{at-t_0},$$

care poate fi verificată prin substituție directă în ecuație. Deoarece forma ecuației matriceale (31) este identică cu aceea a ecuației scalare, este indicat să căutăm o soluție exponențială :

$$Y(t) = e^{At-t_0}. \quad (38)$$

Dificultatea este că nu știm ce semnificație are o exponențială cu o matrice la exponent. O dificultate asemănătoare a fost întâlnită în definirea unei exponențiale cu un exponent număr complex. Putem defini o exponențială complexă în termenii dezvoltării în serie de exponențiale reale.

A se vedea Anexa 2). Vom face același lucru aici și definim :

$$e^{At} = \sum_{k=0}^{\infty} \frac{A^k t^k}{k!} = U + At + \frac{A^2 t^2}{2!} + \dots + \frac{A^k t^k}{k!} + \dots \quad (39)$$

Deoarece A este o matrice patrată de ordinul n , e^{At} este de asemenea o matrice patrată de ordinul n .

Presupunem ca exemplu :

$$A = \begin{bmatrix} -1 & 0 \\ 1 & -2 \end{bmatrix}, \quad A^2 = A A = \begin{bmatrix} 1 & 0 \\ -3 & 4 \end{bmatrix}, \quad A^3 = \begin{bmatrix} -1 & 0 \\ 7 & -8 \end{bmatrix}.$$

Atunci :

$$\begin{aligned} e^{At} &= \begin{bmatrix} 1 & 0 \\ 0 & 1 \end{bmatrix} + \begin{bmatrix} -1 & 0 \\ 1 & -2 \end{bmatrix} t + \begin{bmatrix} 1 & 0 \\ -3 & 4 \end{bmatrix} \frac{t^2}{2} + \begin{bmatrix} -1 & 0 \\ 7 & -8 \end{bmatrix} \frac{t^3}{6} + \dots \\ &= \begin{bmatrix} 1 - t + \frac{t^2}{2} - \frac{t^3}{6} + \dots & 0 \\ t - \frac{3t^2}{2} + \frac{7t^3}{6} + \dots & 1 - 2t + 2t^2 - \frac{4t^3}{3} + \dots \end{bmatrix}. \end{aligned} \quad (40)$$

Se poate arăta că fiecare din elementele matricei e^{At} converge absolut către o funcție continuă de t , pentru orice t finit și uniform, pentru

orice interval finit de timp. Deci, diferențierea termen cu termen a seriei este permisă. Astfel :

$$\begin{aligned} \frac{d}{dt}(\varepsilon^{\mathcal{A}t}) &= \mathcal{A} + \mathcal{A}^2 t + \frac{\mathcal{A}^3 t^2}{2!} + \frac{\mathcal{A}^4 t^3}{3!} + \dots \\ &= \mathcal{A} \left(\mathbf{U} + \mathcal{A}t + \frac{\mathcal{A}^2 t^2}{2!} + \frac{\mathcal{A}^3 t^3}{3!} + \dots \right) = \mathcal{A} \varepsilon^{\mathcal{A}t}; \end{aligned} \quad (41)$$

adică, formula pentru derivarea unei exponențiale matriceale este aceeași ca pentru o exponențială scalară. Folosind acest rezultat se găsește că $\mathbf{Y}(t) = \varepsilon^{\mathcal{A}(t-t_0)}$ dat în (38) este soluția (unică) care satisface (31) și condiția inițială $\mathbf{Y}(t_0) = \mathbf{U}$.

Reamintim, că pentru obținerea lui (32) s-a presupus că $\mathbf{Y}(t)$ este nesusingular pentru orice timp finit după t_0 . Trebuie să arătăm acum că $\mathbf{Y}(t)$ este de fapt nesusingular. Acest lucru nu este dificil. Din definiția unei exponențiale matriceale, dată ca o serie, putem scrie :

$$\varepsilon^{-\mathcal{A}t} = \mathbf{U} - \mathcal{A}t + \mathcal{A}^2 \frac{t^2}{2!} - \dots + (-1)^k \mathcal{A}^k \frac{t^k}{k!} + \dots \quad (42)$$

Să multiplicăm acum această serie cu seria exponențialei pozitive din (39). Rezultatul va fi :

$$\varepsilon^{\mathcal{A}t} \varepsilon^{-\mathcal{A}t} = \mathbf{U}. \quad (43)$$

Toți ceilalți termeni se anulează. Această multiplicare termen cu termen este permisă datorită convergenței absolute a celor două serii pentru orice t finit. Rezultatul ne spune că am găsit o matrice $(\varepsilon^{-\mathcal{A}t})$, care, atunci când este multiplicată de $\varepsilon^{\mathcal{A}t}$, conduce la o matrice unitate. Prin definiție ea este inversa lui $\varepsilon^{\mathcal{A}t}$. Rezultă că $\mathbf{Y}(t)$ este nesusingular pentru $t \geq t_0$.

Este necesar să dăm o expresie explicită pentru matricea de tranziție a stărilor $\Phi(t - \tau) = \mathbf{Y}(t) \mathbf{Y}(\tau)^{-1}$. Știm că $\mathbf{Y}(t) = \varepsilon^{\mathcal{A}(t-t_0)}$ și $\mathbf{Y}(\tau)^{-1} = \varepsilon^{-\mathcal{A}(\tau-t_0)}$; deci

$$\Phi(t - \tau) = \varepsilon^{\mathcal{A}(t-\tau)} \quad (44)$$

și este, ca și $\mathbf{Y}(t)$, o matrice exponențială la care diferă numai variabila de timp scalară. Această relație poate fi acum introdusă în (37) și se obține :

$$\mathbf{x}(t) = \varepsilon^{\mathcal{A}(t-t_0)} \mathbf{x}(t_0) + \int_{t_0}^t \varepsilon^{\mathcal{A}(t-\tau)} \mathcal{B}e(\tau) d\tau. \quad (45)$$

Soluția este acum completă. Pornind de la o ecuație diferențială vectorială de forma (28), rezolvăm inițial ecuația omogenă (31) impunând condiția inițială $\mathbf{Y}(t_0) = \mathbf{U}$. Soluția este $\epsilon^{\mathcal{A}(t-t_0)}$. Introducem rezultatul în (45), înlocuim pe t_0 cu τ sub integrală și calculăm integrala.

O altă metodă de rezolvare

Am tratat rezolvarea ecuațiilor de stare în cazul general. Într-o situație particulară, presupunem că nu există excitații ($\mathbf{e} \equiv 0$) sau pentru o rețea dată $\mathcal{B} \equiv 0$. Atunci ecuația de stare se reduce la ecuația omogenă :

$$\frac{d}{dt} \mathbf{x} = \mathcal{A} \mathbf{x}. \quad (46)$$

Comparând-o cu (31) se constată că ele au aceeași formă. Există totuși o diferență : în timp ce \mathbf{Y} (sau, în mod echivalent, matricea de tranziție a stărilor Φ) este o matrice pătrată, în prezenta ecuație, \mathbf{x} este un vector coloană. Printre altele, aceasta înseamnă că valoarea inițială în acest caz nu poate fi o matrice unitate dar trebuie să fie reprezentată prin vectorul valorilor inițiale $\mathbf{x}(t_0)$.

Considerind soluția generală din (45), soluția lui (46) poate fi scrisă astfel :

$$\mathbf{x}(t) = \epsilon^{\mathcal{A}(t-t_0)} \mathbf{x}(t_0). \quad (47)$$

Aceasta este desigur mult mai simplă decât soluția generală când $\mathbf{e} \neq 0$. Ar fi foarte important din acest motiv, dacă, prin unele schimbări de variabile, ar fi posibil să transformăm ecuația de stare neomogenă într-una omogenă. Acest lucru ne propunem să studiem în acest paragraf.

Considerăm ecuația de stare (28a), pe care o repetăm aici :

$$\frac{d}{dt} \mathbf{x} = \mathcal{A} \mathbf{x} + \mathcal{B} \mathbf{e}. \quad (48)$$

Presupunem că există un vector \mathbf{f} care satisface ecuația diferențială

$$\frac{d}{dt} \mathbf{f} = \mathcal{A} \mathbf{f} \quad (49)$$

cu valoarea inițială $\mathbf{f}(t_0)$ și care este legată de \mathbf{e} prin relația

$$\mathbf{e} = \mathcal{X} \mathbf{f}. \quad (50)$$

În aceste expresii \mathcal{F} și \mathcal{K} sînt matrice care urmează a fi determinate. Substituim (50) în (48) și combinăm ecuația rezultată cu (49). Rezultatul poate fi pus în următoarea formă :

$$\frac{d}{dt} \begin{bmatrix} \mathbf{x} \\ \mathbf{f} \end{bmatrix} = \begin{bmatrix} \mathcal{A} & \mathcal{BK} \\ 0 & \mathcal{F} \end{bmatrix} \begin{bmatrix} \mathbf{x} \\ \mathbf{f} \end{bmatrix}, \quad (51)$$

care este omogenă ca și (46). În consecință, soluția va fi :

$$\begin{bmatrix} \mathbf{x}(t) \\ \mathbf{f}(t) \end{bmatrix} = \exp \left\{ \begin{bmatrix} \mathcal{A} & \mathcal{BK} \\ 0 & \mathcal{F} \end{bmatrix} (t - t_0) \right\} \begin{bmatrix} \mathbf{x}(t_0) \\ \mathbf{f}(t_0) \end{bmatrix} \quad (52)$$

în același mod în care (47) a fost soluția lui (46). (Notăția $\exp. (u)$ corespunde lui e^u). Soluția pentru $\mathbf{x}(t)$ este dată de primele n elemente ale soluției lui $\begin{bmatrix} \mathbf{x} \\ \mathbf{f} \end{bmatrix}$.

În această metodă de obținere a unei ecuații diferențiale echivalente ecuației de stare neomogenă există un inconvenient important. Presupunem că \mathbf{f} este un vector m . Matricea exponențială din (52) este deci de ordinul $n + m$. În soluția (45) a ecuației de stare originale, ordinul matricei exponențiale este n . Deoarece m poate lua cu ușurință valori mari, creșterea ordinului exponențialei matriceale prin m poate avea ca efect depășirea volumului de calcul necesar rezolvării integralei din (45).

Este posibil să folosim o altă metodă care să ne conducă la o ecuație diferențială omogenă, fără ca ordinul exponențialei matriceale de calculat să crească. Fie :

$$\mathbf{y} = \mathbf{x} + \mathcal{S}\mathbf{f} \quad (53)$$

sau, echivalent :

$$\mathbf{x} = \mathbf{y} - \mathcal{S}\mathbf{f}, \quad (54)$$

unde \mathcal{S} este o matrice care trebuie determinată. Substituind (54) în ecuația de stare (48) se obține :

$$-\frac{d}{dt} \mathbf{y} - \mathcal{S} \frac{d}{dt} \mathbf{f} = \mathcal{A}\mathbf{y} - \mathcal{AS}\mathbf{f} + \mathcal{B}\mathbf{e}. \quad (55)$$

Substituind (49) în (50) în această ecuație și rearanjînd termenii, se obține :

$$-\frac{d}{dt} \mathbf{y} = \mathcal{A}\mathbf{y} + [\mathcal{S}\mathcal{F} - \mathcal{AS} + \mathcal{BK}]\mathbf{f}. \quad (56)$$

Dacă se poate găsi un \mathcal{S} care să satisfacă următoarea ecuație matriceală, algebrică, liniară

$$\mathcal{A}\mathcal{S} - \mathcal{S}\mathcal{F} = \mathcal{BK}, \quad (57)$$

atunci (56) devine :

$$\frac{d}{dt} \mathbf{y} = \mathcal{A}\mathbf{y}, \quad (58)$$

care este aceeași ecuație diferențială omogenă ca în (46). Soluția ei este deci :

$$\mathbf{y}(t) = e^{\mathcal{A}(t-t_0)} \mathbf{y}(t_0), \quad (59)$$

în care :

$$\mathbf{y}(t_0) = \mathbf{x}(t_0) + \mathcal{S}\mathbf{f}(t_0) \quad (60)$$

din definiția lui \mathbf{y} din (53). Soluția pentru $\mathbf{x}(t)$ este obținută prin substituția lui $\mathbf{y}(t)$ din (59) și $\mathbf{f}(t)$ din (49) în (54).

Soluția ecuației matriceale din (57) nu este o soluție ordinară¹⁾.

Deoarece \mathcal{S} va fi o matrice $n \times m$, (57) este echivalentă ecuației algebrice liniare $n \times m$ pentru $n \times m$ elementele necunoscute ale lui \mathcal{S} .

Exemplu. Pentru ilustrarea acestor două metode de obținere a unei ecuații diferențiale omogene echivalente, să pornim de la ecuația de stare :

$$\frac{d}{dt} \mathbf{x} = \begin{bmatrix} 1 & 4 \\ -2 & -5 \end{bmatrix} \mathbf{x} + \begin{bmatrix} 1 \\ -1 \end{bmatrix} [2 \sin 2t - 3 \cos 2t].$$

Este ușor de verificat că :

$$\mathbf{f} = \begin{bmatrix} \sin 2t \\ \cos 2t \end{bmatrix}$$

este soluția ecuației diferențiale :

$$\frac{d}{dt} \mathbf{f} = \begin{bmatrix} 0 & 2 \\ -2 & 0 \end{bmatrix} \mathbf{f}, \quad \mathbf{f}(0) = \begin{bmatrix} 0 \\ 1 \end{bmatrix}.$$

¹⁾ Dacă valorile proprii ale lui \mathcal{F} sînt diferite de acelea ale lui \mathcal{A} , soluția lui \mathcal{S} poate fi exprimată în formă închisă folosind unele rezultate din următorul paragraf. Această soluție în formă închisă va fi dată în Problema 17. Puteți găsi o demonstrație pentru această soluție în : J. S. Frame, „Matrix Functions and Applications – Part. IV”, *IEEE Spectrum*, Vol. I, no. 6, June 1961, p. 123–131. O altă soluție de formă închisă va fi dată în Problema 35. Demonstrația acestei soluții o veți găsi în : A. Jameson, „Solution of the Equation $\mathbf{AX} + \mathbf{XB} = \mathbf{C}$ by Inversion of an $M \times M$ or $N \times N$ Matrix”, *SIAM Jour. of Applied Mathematics*, Vol. 16, No. 5, Sept. 1968, p. 1020–1023.

Se observă că :

$$\mathbf{e} = (2 \sin 2t - 3 \cos 2t) = [2 \ -3] \begin{bmatrix} \sin 2t \\ \cos 2t \end{bmatrix} = \mathcal{X} \mathbf{f}.$$

Deci :

$$\mathcal{X} = [2 \ -3].$$

Matricele \mathcal{A} , \mathcal{B} și \mathcal{F} sint desigur cuprinse în ecuația diferențială pentru \mathbf{f} . Ecuația diferențială vectorială corespunzătoare lui (51) este deci :

$$\frac{d}{dt} \begin{bmatrix} \mathbf{x} \\ \mathbf{f} \end{bmatrix} = \begin{bmatrix} 1 & 4 & 2 & -3 \\ -2 & -5 & -2 & 3 \\ \dots & \dots & \dots & \dots \\ 0 & 0 & 0 & 2 \\ 0 & 0 & -2 & 0 \end{bmatrix} \begin{bmatrix} \mathbf{x} \\ \mathbf{f} \end{bmatrix},$$

Soluția acestei ecuații se scrie acum cu ușurință.

Această metodă necesită rezolvarea ecuației matriceale din (57). Deoarece ordinul lui \mathcal{A} este $n = 2$ și ordinul lui \mathcal{F} este $m = 2$, \mathcal{S} va fi o matrice 2×2 . În acest exemplu (57) va fi :

$$\begin{bmatrix} 1 & 4 \\ -2 & -5 \end{bmatrix} \begin{bmatrix} S_{11} & S_{12} \\ S_{21} & S_{22} \end{bmatrix} - \begin{bmatrix} S_{11} & S_{12} \\ S_{21} & S_{22} \end{bmatrix} \begin{bmatrix} 0 & 2 \\ -2 & 0 \end{bmatrix} = \begin{bmatrix} 2 & -3 \\ -2 & 3 \end{bmatrix}.$$

Puteți verifica cu ușurință că aceasta este echivalentă următoarei ecuații algebrice :

$$\begin{bmatrix} 1 & 4 & 2 & 0 \\ -2 & -5 & 0 & 2 \\ -2 & 0 & 1 & 4 \\ 0 & -2 & -2 & -5 \end{bmatrix} \begin{bmatrix} S_{11} \\ S_{21} \\ S_{12} \\ S_{22} \end{bmatrix} = \begin{bmatrix} 2 \\ -2 \\ -3 \\ 3 \end{bmatrix}$$

a cărei soluție este :

$$\begin{bmatrix} S_{11} \\ S_{21} \\ S_{12} \\ S_{22} \end{bmatrix} = \begin{bmatrix} 0 \\ 0 \\ 1 \\ -1 \end{bmatrix}.$$

Folosind aceste valori pentru S_{ij} , matricea \mathcal{S} este

$$\mathcal{S} = \begin{bmatrix} 0 & 1 \\ 0 & -1 \end{bmatrix}.$$

astfel, \mathcal{S} există și soluțiile lui $\mathbf{y}(t)$ și apoi a lui $\mathbf{x}(t)$, pot fi obținute prin folosirea acestei metode.

În acest exemplu am transformat ecuația matriceală din (57) pentru \mathcal{S} într-o ecuație vectorială echivalentă pentru un vector cu aceleași elemente ca \mathcal{S} . Să indicăm cum se realizează aceasta în general. Fie s_i și

k_i notațiile vectorilor coloanei i ai lui \mathcal{S} și respectiv \mathcal{K} . Atunci ecuația vectorială este :

$$\begin{bmatrix} \mathbf{R}_{11} & \mathbf{R}_{12} & \dots & \mathbf{R}_{1m} \\ \mathbf{R}_{21} & \mathbf{R}_{22} & & \mathbf{R}_{2m} \\ \vdots & \vdots & & \vdots \\ \mathbf{R}_{m1} & \mathbf{R}_{m2} & & \mathbf{R}_{mm} \end{bmatrix} \begin{bmatrix} \mathbf{s}_1 \\ \mathbf{s}_2 \\ \vdots \\ \mathbf{s}_m \end{bmatrix} = \begin{bmatrix} \mathbf{Bk}_1 \\ \mathbf{Bk}_2 \\ \vdots \\ \mathbf{Bk}_m \end{bmatrix}, \quad (61)$$

unde :

$$\mathbf{R}_{ij} = \delta_{ij} \mathcal{A} - f_{ji} \mathbf{U} \quad (62)$$

este echivalentă ecuației matriceale (57), în sensul că soluția lui (61) determină valori pentru toate elementele lui \mathcal{S} .

În analiză sînt întîlnite multe funcții de excitație. Există un set standard de excitații folosite în analiza unei rețele. Funcțiile sinus și cosinus din exemplul anterior sînt numai două funcții din acest set. Alte excitații folosite adeseori sînt funcțiile treaptă, rampă, exponențială, sinusoida amortizată exponențial. Pentru a elimina necesitatea construirii matricei \mathcal{F} și a vectorului inițial corespunzător $\mathbf{f}(0)$ pentru aceste excitații standard, am dat în tabelul 4.1 funcțiile $\mathbf{f}(t)$ cel mai adesea folosite și \mathcal{F} și $\mathbf{f}(0)$ asociate. Observăm că în acest tabel $t_0 = 0$; procedînd astfel, nu se pierde din generalitate, și este convenabil să considerăm astfel. Menționăm de asemenea că constanta α care apare în tabelul 4.1 poate fi zero. Dacă procedăm în felul acesta, elementele lui $\mathbf{f}(t)$ devin simple puteri de lui t în primul caz și funcții sinusoidale și cosinusoidale în celelalte cazuri.

Tabelul 4.1.

$\mathbf{f}(t)$	\mathcal{F}	$\mathbf{f}(0)$
$\begin{bmatrix} e^{-\alpha t} \\ t e^{-\alpha t} \\ t^2 e^{-\alpha t} \\ \vdots \\ t^{k-1} e^{-\alpha t} \\ t^k e^{-\alpha t} \end{bmatrix}$	$\begin{bmatrix} -\alpha & 0 & 0 \dots & 0 & 0 \\ 1 & -\alpha & 0 \dots & 0 & 0 \\ 0 & 2 & -\alpha \dots & 0 & 0 \\ \vdots & \vdots & \vdots & \vdots & \vdots \\ 0 & 0 & 0 \dots & -\alpha & 0 \\ 0 & 0 & 0 \dots & k & -\alpha \end{bmatrix}$	$\begin{bmatrix} 1 \\ 0 \\ 0 \\ \vdots \\ 0 \\ 0 \end{bmatrix}$
$\begin{bmatrix} e^{-\alpha t} \sin \omega t \\ e^{-\alpha t} \cos \omega t \end{bmatrix}$	$\begin{bmatrix} -\alpha & \omega \\ -\omega & -\alpha \end{bmatrix}$	$\begin{bmatrix} 0 \\ 1 \end{bmatrix}$

Deoarece un vector de excitație al rețelei poate avea elemente care sînt combinații ale elementelor vectorilor de excitație standard cu diferite valori pentru α , ω și k , poate fi util să combinăm mai multe ecuații diferențiale pentru diferiți vectori de excitație standard într-o singură ecuație diferențială.

Pentru a clarifica această problemă, să considerăm un exemplu simplu. Fie :

$$\mathbf{e}(t) = \begin{bmatrix} 4 - 3e^{-2t} \\ 2 - 2te^{-3t} \\ e^{-t} \cos t + 4 \sin 1,5t \end{bmatrix}$$

Elementele lui \mathbf{e} pot fi raportate la funcțiile de excitație standard, care apar ca elemente ale lui \mathbf{f} , astfel :

$$\begin{aligned} \mathbf{e}(t) &= \begin{bmatrix} 4 - 3e^{-2t} \\ 2 - 2te^{-3t} \\ e^{-t} \cos t + 4 \sin 1,5t \end{bmatrix} \\ &= \begin{bmatrix} 4 & -3 & 0 & 0 & 0 & 0 & 0 & 0 \\ 2 & 0 & 0 & -2 & 0 & 0 & 0 & 0 \\ 0 & 0 & 0 & 0 & 0 & 1 & 4 & 0 \end{bmatrix} \begin{bmatrix} 1 \\ \dots\dots\dots \\ e^{-2t} \\ \dots\dots\dots \\ e^{-3t} \\ te^{-3t} \\ \dots\dots\dots \\ e^{-t} \sin t \\ e^{-t} \cos t \\ \dots\dots\dots \\ \sin 1,5t \\ \cos 1,5t \end{bmatrix} = \mathcal{K} \mathbf{f}(t) \end{aligned}$$

Pe baza tabelului 4.1, găsim că există cinci ecuații diferențiale, corespunzând fiecare câte unei părți a vectorului \mathbf{f} din dreapta; ele sînt :

$$\frac{d}{dt} [f_1] = [0][f_1] \quad [f_1(0)] = [1]$$

$$\frac{d}{dt} [f_2] = [-2][f_2], \quad [f_2(0)] = [1],$$

$$\frac{d}{dt} \begin{bmatrix} f_3 \\ f_4 \end{bmatrix} = \begin{bmatrix} -3 & 0 \\ 1 & -3 \end{bmatrix} \begin{bmatrix} f_3 \\ f_4 \end{bmatrix}, \quad \begin{bmatrix} f_3(0) \\ f_4(0) \end{bmatrix} = \begin{bmatrix} 1 \\ 0 \end{bmatrix},$$

$$\frac{d}{dt} \begin{bmatrix} f_5 \\ f_6 \end{bmatrix} = \begin{bmatrix} -1 & 1 \\ -1 & -1 \end{bmatrix} \begin{bmatrix} f_5 \\ f_6 \end{bmatrix}, \quad \begin{bmatrix} f_5(0) \\ f_6(0) \end{bmatrix} = \begin{bmatrix} 0 \\ 1 \end{bmatrix},$$

$$\frac{d}{dt} \begin{bmatrix} f_7 \\ f_8 \end{bmatrix} = \begin{bmatrix} 0 & 1,5 \\ -1,5 & 0 \end{bmatrix} \begin{bmatrix} f_7 \\ f_8 \end{bmatrix}, \quad \begin{bmatrix} f_7(0) \\ f_8(0) \end{bmatrix} = \begin{bmatrix} 0 \\ 1 \end{bmatrix}.$$

Putem să le combinăm pentru obținerea unei ecuații diferențiale vectoriale în $\mathbf{I}(t)$:

$$\frac{d}{dt} \begin{bmatrix} f_1 \\ \vdots \\ f_2 \\ \vdots \\ f_3 \\ f_4 \\ \vdots \\ f_5 \\ f_6 \\ \vdots \\ f_7 \\ f_8 \end{bmatrix} = \begin{bmatrix} 0 & 0 & 0 & 0 & 0 & 0 & 0 & 0 \\ \vdots & \vdots & \vdots & \vdots & \vdots & \vdots & \vdots & \vdots \\ 0 & -2 & 0 & 0 & 0 & 0 & 0 & 0 \\ \vdots & \vdots & \vdots & \vdots & \vdots & \vdots & \vdots & \vdots \\ 0 & 0 & -3 & 0 & 0 & 0 & 0 & 0 \\ 0 & 0 & 1 & -3 & 0 & 0 & 0 & 0 \\ \vdots & \vdots & \vdots & \vdots & \vdots & \vdots & \vdots & \vdots \\ 0 & 0 & 0 & 0 & -1 & 1 & 0 & 0 \\ 0 & 0 & 0 & 0 & -1 & -1 & 0 & 0 \\ \vdots & \vdots & \vdots & \vdots & \vdots & \vdots & \vdots & \vdots \\ \vdots & \vdots & \vdots & \vdots & \vdots & \vdots & \vdots & \vdots \\ 0 & 0 & 0 & 0 & 0 & 0 & 0 & 1,5 \\ 0 & 0 & 0 & 0 & 0 & 0 & -1,5 & 0 \end{bmatrix} \begin{bmatrix} f_1 \\ \vdots \\ f_2 \\ \vdots \\ f_3 \\ f_4 \\ \vdots \\ f_5 \\ f_6 \\ \vdots \\ f_7 \\ f_8 \end{bmatrix}, \quad \begin{bmatrix} f_1(0) \\ \vdots \\ f_2(0) \\ \vdots \\ f_3(0) \\ f_4(0) \\ \vdots \\ f_5(0) \\ f_6(0) \\ \vdots \\ f_7(0) \\ f_8(0) \end{bmatrix} = \begin{bmatrix} 1 \\ \vdots \\ 1 \\ \vdots \\ 1 \\ 0 \\ \vdots \\ 0 \\ 1 \\ \vdots \\ 0 \\ 1 \end{bmatrix}$$

Exponențiala matriceală

Aceste soluții formale prezintă o dificultate importantă. Exponențiala matriceală este o soluție simbolică — ea nu ne spune prea mult. Deși dezvoltarea în serie a exponențialei ne conduce la rezultate numerice aproximative, ea nu conduce la o formă închisă. Astfel, în exemplul simplu dat în (40), fiecare element al matricei este o serie infinită, și nu știm ce funcție reprezintă. Este clar, că este necesar să găsim forme închise echivalente exponențialei $\varepsilon^{\mathcal{A}t}$.

O echivalentă a exponențialei poate fi găsită folosind transformata Laplace. Pentru simplificare, presupunem timpul inițial $t_0 = 0$. Dacă luăm transformata Laplace a ecuației omogene din (31), găsim:

$$s\bar{Y}(s) - \mathcal{A}\bar{Y}(s) = Y(0) = U,$$

unde \bar{Y} este transformata Laplace a lui $Y(t)$. Aceasta poate fi scrisă astfel:

$$(sU - \mathcal{A})\bar{Y}(s) = U$$

sau

$$\bar{Y}(s) = (sU - \mathcal{A})^{-1}U.$$

În final, $Y(t)$ se obține luând transformata inversă. Deoarece am considerat $t_0 = 0$, $Y(t)$ va fi egal cu $\varepsilon^{\mathcal{A}t}$. Deci

$$\varepsilon^{\mathcal{A}t} = \mathcal{L}^{-1}\{(sU - \mathcal{A})^{-1}\}. \quad (63)$$

Rezultatul este foarte interesant. Să-l aplicăm la o matrice simplă considerată anterior în (40). Matricea $(sU - \mathcal{A})$, determinantul și inversa ei se obțin ușor și anume:

$$sU - \mathcal{A} = \begin{bmatrix} s+1 & 0 \\ -1 & s+2 \end{bmatrix}, \quad \det(sU - \mathcal{A}) = (s+1)(s+2),$$

$$(sU - \mathcal{A})^{-1} = \begin{bmatrix} \frac{1}{s+1} & 0 \\ \frac{1}{(s+1)(s+2)} & \frac{1}{s+2} \end{bmatrix} = \begin{bmatrix} \frac{1}{s+1} & 0 \\ \frac{1}{s+1} & \frac{1}{s+2} & \frac{1}{s+2} \end{bmatrix}. \quad (64)$$

În ultima etapă s-a făcut o dezvoltare în fracții parțiale. Transformata inversă a acestei expresii este:

$$\mathcal{L}^{-1}(sU - \mathcal{A})^{-1} = \begin{bmatrix} \varepsilon^{-t} & 0 \\ \varepsilon^{-t} - \varepsilon^{-2t} & \varepsilon^{-2t} \end{bmatrix}.$$

Putem face ca exercițiu dezvoltarea acestei exponențiale și să verificăm că rezultatul este același cu cel din (40).

Transformata Laplace este o modalitate de evaluare a exponențialei matriceale $\varepsilon^{\mathcal{A}t}$. Dacă ne propunem folosirea transformatei Laplace, putem să o aplicăm asupra ecuațiilor neomogene inițiale și să evităm toate treptele intermediare. Acest procedeu poate fi desigur aplicat, dar se pierde avantajele matematicii matriceale. În consecință, pentru găsirea exponențialei matriceale, avem nevoie de considerații suplimentare.

4.4. FUNCȚII DE O MATRICE

Exponențiala matriceală $\varepsilon^{\mathcal{A}t}$ este o funcție particulară de o matrice; ea face parte din clasa generală care poate fi numită *funcție de o matrice*. Se pot învăța multe lucruri despre funcția particulară $\varepsilon^{\mathcal{A}t}$ studiind teoria acestei clase generale. Aceasta ne propunem să facem în acest paragraf.

Cele mai simple funcții de o variabilă scalară ordinară sînt puterile de variabile și polinoame. Ele sînt de asemenea cele mai simple funcții de o matrice. Considerăm un polinom $f(s)$ de variabila complexă s :

$$f(s) = s^k + a_{k-1}s^{k-1} + \dots + a_1s + a_0.$$

Presupunem că variabila s este înlocuită de o matrice patrată \mathcal{A} de ordinul n . Funcția corespunzătoare va fi un polinom matriceal:

$$f(\mathcal{A}) = \mathcal{A}^k + a_{k-1}\mathcal{A}^{k-1} + \dots + a_1\mathcal{A} + a_0\mathbf{U}.$$

Generalizarea unui polinom este o serie infinită:

$$f(s) = a_0 + a_1s + \dots + a_k s^k + \dots = \sum_{k=0}^{\infty} a_k s^k. \quad (65)$$

O astfel de serie poate reprezenta de fapt orice funcție analitică de o variabilă complexă, în domeniul său de convergență. Înlocuind pe s cu \mathcal{A} , seria devine

$$f(\mathcal{A}) = a_0\mathbf{U} + a_1\mathcal{A} + a_2\mathcal{A}^2 + \dots + a_k\mathcal{A}^k + \dots = \sum_{k=0}^{\infty} a_k \mathcal{A}^k. \quad (66)$$

Funcția $f(\mathcal{A})$ este de fapt o matrice, ale cărei elemente formează o serie infinită. Această serie matriceală este convergentă dacă fiecare element al seriei este convergent. Nu vom arăta aceasta, dar rezultă că seria matriceală este convergentă dacă valorile proprii ale lui \mathcal{A} — adică, zerourile polinomului caracteristic, $\det(s\mathbf{U} - \mathcal{A})$ — cad în interiorul cercului de convergență al seriei scalare din (65)¹⁾.

Funcțiile transcendente de o matrice pot fi definite cu ajutorul seriilor infinite. O astfel de funcție este exponențiala, pentru care determinarea seriei a fost deja dată în (39). Determinarea seriei unei funcții de o matrice nu are o valoare prea mare în evaluarea funcției, făcând excepție o evaluare numerică aproximativă. Mai mult, determinarea unei serii nu va fi adecvată, atunci când zerourile polinomului caracteristic nu cad în interiorul cercului de convergență. Din fericire, dacă $f(s)$ este o funcție analitică, care este regulată la zerourile polinomului caracteristic al lui \mathcal{A} , atunci $f(\mathcal{A})$ poate fi exprimată ca o funcție polinomială; adică ea este o serie finită. Să vedem cum se explică aceasta.

Teorema Cayley-Hamilton și consecințele ei

Definim un *polinom de anulare* de o matrice \mathcal{A} , polinomul $a(s)$, care se anulează când s este înlocuit cu \mathcal{A} ; adică $a(\mathcal{A}) = 0$. Polinomul caracteristic, $d(s) = \det(s\mathbf{U} - \mathcal{A})$, al unei matrice patrute \mathcal{A} este un polinom

¹⁾ Pentru demonstrație, se va vedea L. Minsky, *An Introduction to Linear Algebra*, Oxford University Press, London, 1955, p. 332–334.

de anulare pentru \mathcal{A} . Aceasta poate fi făcută plauzibilă observînd că inversa lui $(sU - \mathcal{A})$ este dată de :

$$(sU - \mathcal{A})^{-1} = -\frac{1}{d(s)} \operatorname{adj}(sU - \mathcal{A}) \quad (67)$$

sau

$$d(s)U = (sU - \mathcal{A}) \operatorname{adj}(sU - \mathcal{A}). \quad (68)$$

Presupunem acum că s este înlocuit cu \mathcal{A} . În partea dreaptă apare un factor $\mathcal{A} - \mathcal{A}$; deci $d(\mathcal{A}) = 0$, și $d(s)$ este un polinom de anulare. Acest rezultat este cunoscut ca *teorema Cayley-Hamilton*.

Teoremă. *Orice matrice patrată satisface propria ei ecuație caracteristică.*

Teorema Cayley-Hamilton ne permite să reducem ordinul unui polinom matriceal de orice ordin (oricît de mare) la unul de ordin care nu depășește $n - 1$, unde n este ordinul matricei. Presupunem că \mathcal{A} este o matrice patrată de ordin 3. Ecuația ei caracteristică va avea forma $d(s) = s^3 + d_1 s^2 + d_2 s + d_3$. Deci, din teorema Cayley-Hamilton rezultă $d(\mathcal{A}) = \mathcal{A}^3 + d_1 \mathcal{A}^2 + d_2 \mathcal{A} + d_3 U = 0$ și $\mathcal{A}^3 = - (d_1 \mathcal{A}^2 + d_2 \mathcal{A} + d_3 U)$. Dînd un polinom de ordin mai mare ca 3, toate puterile de ordinul 3 sau mai mult pot fi înlocuite folosind expresia patrată în \mathcal{A} pentru \mathcal{A}^3 . Întregul polinom se va reduce la un polinom de ordinul 2.

Ca un rezultat suplimentar, teorema Cayley-Hamilton permite evaluarea inversei unei matrice ca un polinom matriceal. Astfel, dacă ecuația caracteristică a unei matrice \mathcal{A} este :

$$d(s) = s^n + d_1 s^{n-1} + \dots + d_{n-1} s + d_n,$$

atunci

$$d(\mathcal{A}) = \mathcal{A}^n + d_1 \mathcal{A}^{n-1} + \dots + d_{n-1} \mathcal{A} + d_n U = 0.$$

Dacă ecuația este multiplicată prin \mathcal{A}^{-1} , ultimul termen devine $d_n \mathcal{A}^{-1}$. Atunci

$$\mathcal{A}^{-1} = -\frac{1}{d_n} (\mathcal{A}^{n-1} + d_1 \mathcal{A}^{n-2} + \dots + d_{n-2} \mathcal{A} + d_{n-1} U). \quad (69)$$

Această relație explicită este valabilă numai cînd zero este o valoare proprie a lui \mathcal{A} , astfel că $d(s)$ nu are un factor s și $d_n \neq 0$.

Ne interesează în principal funcțiile $f(\mathcal{A})$ care nu sînt polinoame; în particular exponențiale. Cum vom trata astfel de funcții? Se obține

o indicație folosind din nou polinoamele. Presupunem date două polinoame $p_1(s)$ și $p_2(s)$, ordinul lui $p_1(s)$ fiind mai mic ca acela al lui $p_2(s)$. Ultimul poate fi împărțit prin primul și se obține un cât $q(s)$ și un rest $r(s)$ al cărui ordin este mai mic cu o unitate decât cel al polinomului divizor $p_1(s)$. Rezultatul, după multiplicarea prin $p_1(s)$ poate fi scris astfel :

$$p_2(s) = q(s)p_1(s) + r(s).$$

Presupunem că în locul polinomului $p_2(s)$ avem o funcție analitică $f(s)$ și înlocuim pe $p_1(s)$ cu $a(s)$. În mod analog cu ecuația precedentă, ne așteptăm ca :

$$f(s) = q(s)a(s) + g(s) \quad (70)$$

unde $q(s)$ este o funcție „cât” analitică, care este regulată la zerourile polinomului $a(s)$ și unde $g(s)$ este un polinom „rest” al cărui ordin este mai mic decât ordinul lui $a(s)$.

Presupunem că polinomul $a(s)$ este un polinom de anulare pentru matricea \mathcal{A} ; adică $a(\mathcal{A}) = 0$. Aceasta înseamnă că înlocuind pe s cu \mathcal{A} în (70), obținem

$$f(\mathcal{A}) = g(\mathcal{A}) \quad (71)$$

unde $f(\mathcal{A})$ este o funcție și $g(\mathcal{A})$ este un polinom.

Acesta este un rezultat foarte interesant, deoarece $f(s)$ este o funcție arbitrară. În termeni preciși, rezultatul anticipat poate fi orice funcție de o matrice \mathcal{A} regulată la zerourile polinomului de anulare în \mathcal{A} de ordin care nu depășește ordinul lui \mathcal{A} din care se scade o unitate.

Rămâne încă de determinat polinomul „rest” $g(s)$. Înainte de a face aceasta, să mai facem unele observații în legătură cu polinoamele de anulare. Teorema Cayley-Hamilton ne asigură că o matrice patrată are cel puțin un polinom de anulare. (Ați putea arăta că aceasta implică existența unui număr infinit de polinoame de anulare de acea matrice). Fie un polinom de cel mai mic ordin, avînd coeficientul termenului de gradul cel mai înalt egal cu unu, notat cu $m(s)$, pe care-l vom numi *polinom minimal*.

Un fapt interesant referitor la un polinom minimal este dat de următoarea teoremă :

Teoremă: *Polinomul minimal al oricărei matrice patrăte \mathcal{A} este un factor pentru orice polinom de anulare de \mathcal{A} .*

Aceasta este ușor de demonstrat. Se dau $a(s)$ și $m(s)$, unde $m(s)$ nu este de ordin mai mare ca $a(s)$. Putem împărți pe $a(s)$ prin $m(s)$ și obți-

În partea dreaptă a acestor relații sînt cantități cunoscute, deoarece $f(s)$ este funcția inițială dată. Acesta este un sistem de n ecuații cu n necunoscute și coeficienți g_i . După rezolvarea acestui sistem de ecuații, funcția $g(s)$ poate fi scrisă direct.

Să ilustrăm această metodă cu ajutorul aceleiași exemplu simplu considerat anterior. Pentru \mathcal{A} din (40), polinomul caracteristic a fost dat în (64). Ecuațiile sînt reproduse și aici :

$$\mathcal{A} = \begin{bmatrix} -1 & 0 \\ 1 & -2 \end{bmatrix} \quad \begin{aligned} d(s) &= (s+1)(s+2) \\ s_1 &= -1 \\ s_2 &= -2 \end{aligned}$$

Funcția matriceală dorită este $\varepsilon^{\mathcal{A}t}$, astfel că $f(s) = \varepsilon^s$. Prin substituire în (76) obținem :

$$g_0 - g_1 = \varepsilon^{s_1 t} = \varepsilon^{-t},$$

$$g_0 - 2g_1 = \varepsilon^{s_2 t} = \varepsilon^{-2t},$$

din care :

$$g_1 = \varepsilon^{-t} - \varepsilon^{-2t},$$

$$g_0 = 2\varepsilon^{-t} - \varepsilon^{-2t}.$$

Deci

$$g(s) = (2\varepsilon^{-t} - \varepsilon^{-2t}) + (\varepsilon^{-t} - \varepsilon^{-2t})s.$$

Etapa următoare este să înlocuim pe s cu \mathcal{A} și să găsim $g(\mathcal{A})$, care este egal cu $f(\mathcal{A})$ (71)

$$\begin{aligned} f(\mathcal{A}) &= g(\mathcal{A}) = (2\varepsilon^{-t} - \varepsilon^{-2t})U + (\varepsilon^{-t} - \varepsilon^{-2t})\mathcal{A} \\ &= (2\varepsilon^{-t} - \varepsilon^{-2t}) \begin{bmatrix} 1 & 0 \\ 0 & 1 \end{bmatrix} + (\varepsilon^{-t} - \varepsilon^{-2t}) \begin{bmatrix} -1 & 0 \\ 1 & -2 \end{bmatrix}. \end{aligned}$$

Printr-o rearanjare, aceasta devine :

$$\varepsilon^{\mathcal{A}t} = \begin{bmatrix} \varepsilon^{-t} & 0 \\ \varepsilon^{-t} - \varepsilon^{-2t} & \varepsilon^{-2t} \end{bmatrix},$$

care este în concordanță cu rezultatul găsit anterior.

Privind din nou setul de ecuații din (76), se constată o uniformitate certă în matricea coeficienților. Este posibil să rezolvăm ecuațiile în formă literală și să folosim avantajele uniformității în scrierea matricei pentru a ajunge la un rezultat ușor de interpretat.

Dacă notăm cu Δ determinantul și Δ_{ji} cofactorul (i, j) al matricei coeficienților din (76), soluția pentru g_i poate fi scrisă

$$g_{i-1} = \sum_{j=1}^n \frac{\Delta_{ji}}{\Delta} f(s_j).$$

Polinomul $g(s)$ poate fi scris acum, folosind acești coeficienți, astfel :

$$\begin{aligned} g(s) &= \sum_{i=1}^n g_{i-1} s^{i-1} = \sum_{i=1}^n s^{i-1} \left\{ \sum_{j=1}^n \frac{\Delta_{ji}}{\Delta} f(s_j) \right\} \\ &= \sum_{j=1}^n \frac{\Delta_{j1}}{\Delta} f(s_j) + s \left\{ \sum_{j=1}^n \frac{\Delta_{j2}}{\Delta} f(s_j) \right\} + \dots + s^{n-1} \left\{ \sum_{j=1}^n \frac{\Delta_{jn}}{\Delta} f(s_j) \right\}, \end{aligned}$$

sau

$$g(s) = \sum_{j=1}^n \left\{ \frac{\Delta_{j1}}{\Delta} + \frac{s \Delta_{j2}}{\Delta} + \frac{s^2 \Delta_{j3}}{\Delta} + \dots + \frac{s^{n-1} \Delta_{jn}}{\Delta} \right\} f(s_j).$$

Problema care trebuie rezolvată în ultima etapă este rearanjarea termenilor avînd în vedere valorile lui $f(s_j)$ și nu puterile lui s .

Deoarece ecuațiile (76) sînt toate similare, trebuie să fie posibil să scriem acest rezultat într-o formă mai simplă. Rezolvarea a fost dată de Lagrange făcînd să treacă un polinom de gradul $n-1$ prin n puncte.

Aceasta este numită *formula de interpolare a lui Lagrange* și transformă suma dintre paranteze într-un produs, după cum urmează :

$$g(s) = \sum_{j=1}^n \left(\prod_{\substack{k=1 \\ k \neq j}}^n \frac{s - s_k}{s_j - s_k} \right) f(s_j). \quad (77)$$

(Verificați acest lucru). Folosind această expresie, $g(\mathcal{A})$ este obținută cu ușurință. În final, deoarece $f(\mathcal{A}) = g(\mathcal{A})$, obținem

$$f(\mathcal{A}) = \sum_{j=1}^n \left(\prod_{\substack{k=1 \\ k \neq j}}^n \frac{\mathcal{A} - s_k \mathbf{U}}{s_j - s_k} \right) f(s_j). \quad (78)$$

Folosind acest rezultat se poate face o observație foarte interesantă. Dîndu-se o matrice \mathcal{A} , valorile proprii s_i sînt unic determinate de \mathcal{A} .

Deci, fiecare din parantezele din (78) este o funcție numai de \mathcal{A} și este independentă de funcția specifică $f(s)$ considerată. Odată ce cantitatea dintre paranteze este determinată, orice funcție de matrice poate fi determinată prin evaluarea funcției la valorile proprii ale lui \mathcal{A} . Menționăm că această problemă va fi din nou tratată ulterior într-un caz mai general.

Valori proprii multiple

Dacă valorile proprii ale lui \mathcal{A} nu sînt distincte și există valori multiple, este necesară o modificare a acestui procedeu. Fie :

$$d(s) = (s - s_1)^{r_1} (s - s_2)^{r_2} \dots (s - s_l)^{r_l}, \quad (79)$$

unde multiplicitățile sînt evident r_i pentru valoarea proprie de ordinul i .

Să considerăm acum diferențiala lui (73), după care vom evalua rezultatul pentru $s = s_k$. Excepțind derivatele produsului $q(s) d(s)$, derivatele lui f și g vor fi egale. Astfel :

$$\frac{d^j f(s)}{ds^j} = \frac{d^j g(s)}{ds^j} + \sum_{i=0}^j \binom{j}{i} \frac{d^{j-i} q(s)}{ds^{j-i}} \frac{d^i d(s)}{ds^i}. \quad (80)$$

Ce se întîmplă cu suma cînd $s = s_k$?

Dacă ordinul derivatei este mai mic decît ordinul de multiplicitate al valorii proprii s_k (adică, dacă $j < r_k$), atunci din (79) este clar că $d^i d(s)/ds^i = 0$ pentru $s = s_k$ și pentru $i \leq j$. Aceasta înseamnă că toți termenii de sub semnul de însumare se anulează, și astfel

$$\frac{d^j g(s)}{ds^j} = \frac{d^j f(s)}{ds^j} \text{ pentru } s = s_k \quad (81)$$

și pentru ordinele de derivare $j = 0, 1, 2, \dots, (r_k - 1)$; aceasta este valabil pentru derivatele de orice ordin mai mic cu unu decît multiplicitatea lui s_k . Această ecuație este o generalizare a lui (75) și o include. Numărul de relații obținute este egal cu acela al valorilor proprii, cînd fiecare valoare proprie este calculată în raport cu ordinul ei de multiplicitate. Deoarece $g(s)$ în (72) are de asemenea mulți coeficienți, ei pot fi determinați folosind (81). Astfel, primele r_1 relații evaluate pentru $s = s_1$ vor fi :

$$\begin{aligned} g_0 + s_1 g_1 + s_1^2 g_2 + \dots + s_1^{n-1} g_{n-1} &= f(s_1) \\ g_1 + 2s_1 g_2 + \dots + (n-1)s_1^{n-2} g_{n-1} &= f^{(1)}(s_1) \\ \vdots &\vdots \\ (r_1 - 1)! g_{r_1-1} + \dots + \frac{(n-1)!}{(n-r_1)!} s_1^{n-r_1} g_{n-1} &= f^{(r_1-1)}(s_1). \end{aligned}$$

Seturi similare de ecuații vor rezulta pentru fiecare valoare proprie distinctă. Rezultatul complet prezentat în formă matriceală va fi :

$$\begin{bmatrix}
 1 & s_1 & s_1^2 & \cdots & s_1^{r_1} & \cdots & s_1^{n-1} \\
 0 & 1 & 2s_1 & \cdots & r_1 s_1^{r_1-1} & \cdots & (n-1)s_1^{n-2} \\
 \vdots & \vdots & \vdots & & \vdots & & \vdots \\
 0 & 0 & 0 & \cdots & (r_1-1)! & \cdots & \frac{(n-1)!}{(n-r_1)!} s_1^{n-r_1} \\
 \cdots & \cdots & \cdots & \cdots & \cdots & \cdots & \cdots \\
 1 & s_2 & s_2^2 & \cdots & s_2^{r_2} & \cdots & s_2^{n-1} \\
 0 & 1 & 2s_2 & \cdots & r_2 s_2^{r_2-1} & \cdots & (n-1)s_2^{n-2} \\
 \vdots & \vdots & \vdots & & \vdots & & \vdots \\
 0 & 0 & 0 & \cdots & (r_2-1)! & \cdots & \frac{(n-1)!}{(n-r_2)!} s_2^{n-r_2} \\
 \cdots & \cdots & \cdots & \cdots & \cdots & \cdots & \cdots \\
 \vdots & \vdots & \vdots & & \vdots & & \vdots \\
 1 & s_k & s_k^2 & \cdots & s_k^{r_k} & \cdots & s_k^{n-1} \\
 0 & 1 & 2s_k & \cdots & r_k s_k^{r_k-1} & \cdots & (n-1)s_k^{n-2} \\
 \vdots & \vdots & \vdots & & \vdots & & \vdots \\
 0 & 0 & 0 & \cdots & (r_k-1)! & \cdots & \frac{(n-1)!}{(n-r_k)!} s_k^{n-r_k}
 \end{bmatrix}
 \begin{bmatrix}
 g_0 \\
 g_1 \\
 g_2 \\
 \vdots \\
 g_{n-1}
 \end{bmatrix}
 =
 \begin{bmatrix}
 f(s_1) \\
 f^{(1)}(s_1) \\
 f^{(2)}(s_1) \\
 \vdots \\
 f^{(r_1-1)}(s_1) \\
 \cdots \\
 f(s_2) \\
 f^{(1)}(s_2) \\
 f^{(2)}(s_2) \\
 \vdots \\
 f^{(r_2-1)}(s_2) \\
 \cdots \\
 \vdots \\
 f(s_k) \\
 f^{(1)}(s_k) \\
 f^{(2)}(s_k) \\
 \vdots \\
 f^{(r_k-1)}(s_k)
 \end{bmatrix}
 \quad (82)$$

Aceasta este o expresie complicată ; ea este dată din dorința de a prezenta cazul cel mai general. Cazurile reale vor avea rareori o astfel de generalitate, și ecuațiile reale vor fi în general mult mai simple ca acestea. În orice caz, coeficienții g_i sînt obținuți cu ajutorul acestei ecuații matriceale. Aceasta este generalizarea pentru valori proprii multiple ale lui (76) care se aplică pentru valori proprii simple.

Ca un exemplu de determinare a unei funcții $f(s)$ cînd s are valori proprii multiple, fie $f(s) = e^{s^2}$ și

$$\begin{aligned}
 s &= \begin{bmatrix} -2 & 1 & 3 \\ 0 & -3 & 0 \\ 0 & 2 & -2 \end{bmatrix}, & d(s) &= \begin{bmatrix} s+2 & -1 & -3 \\ 0 & s+3 & 0 \\ 0 & -2 & s+2 \end{bmatrix} \\
 & & &= (s+2)^2(s+3).
 \end{aligned}$$

Să luăm $s_1 = -2$ și $s_2 = -3$; multiplicitățile sînt $r_1 = 2$ și $r_2 = 1$. Să folosim $d(s)$ ca polinomul de anulare pentru determinarea lui $g(s)$. Pentru acest exemplu (82) devine:

$$\begin{bmatrix} \varepsilon^{-2t} \\ t\varepsilon^{-2t} \\ \varepsilon^{-3t} \end{bmatrix} = \begin{bmatrix} 1 & -2 & 4 \\ 0 & 1 & -4 \\ 1 & -3 & 9 \end{bmatrix} \begin{bmatrix} g_0 \\ g_1 \\ g_2 \end{bmatrix}$$

deoarece $df(s_1)/ds = te^{s_1 t} = t\varepsilon^{-2t}$. Soluția pentru g este găsită ușor prin inversiune, astfel:

$$\begin{aligned} \begin{bmatrix} g_0 \\ g_1 \\ g_2 \end{bmatrix} &= \begin{bmatrix} 1 & -2 & 4 \\ 0 & 1 & -4 \\ 1 & -3 & 9 \end{bmatrix}^{-1} \begin{bmatrix} \varepsilon^{-2t} \\ t\varepsilon^{-2t} \\ \varepsilon^{-3t} \end{bmatrix} = \begin{bmatrix} -3 & 6 & 4 \\ -4 & 5 & 4 \\ -1 & 1 & 1 \end{bmatrix} \begin{bmatrix} \varepsilon^{-2t} \\ t\varepsilon^{-2t} \\ \varepsilon^{-3t} \end{bmatrix} \\ &= \begin{bmatrix} -3\varepsilon^{-2t} + 6t\varepsilon^{-2t} + 4\varepsilon^{-3t} \\ -4\varepsilon^{-2t} + 5t\varepsilon^{-2t} + 4\varepsilon^{-3t} \\ -\varepsilon^{-2t} + t\varepsilon^{-2t} + \varepsilon^{-3t} \end{bmatrix}. \end{aligned}$$

Cunoscînd g_0 , g_1 și g_2 obținem $g(s) = g_0 + g_1 s + g_2 s^2$ astfel:

$$g(s) = (-3\varepsilon^{-2t} + 6t\varepsilon^{-2t} + 4\varepsilon^{-3t}) + (-4\varepsilon^{-2t} + 5t\varepsilon^{-2t} + 4\varepsilon^{-3t})s + (-\varepsilon^{-2t} + t\varepsilon^{-2t} + \varepsilon^{-3t})s^2,$$

sau după o rearanjare a termenilor:

$$g(s) = (-3 - 4s - s^2)\varepsilon^{-2t} + (6 + 5s + s^2)t\varepsilon^{-2t} + (4 + 4s + s^2)\varepsilon^{-3t}.$$

Următoarea etapă este formarea lui $g(\mathcal{A})$ prin înlocuirea lui s cu \mathcal{A} :

$$g(\mathcal{A}) = (-3U - 4\mathcal{A} - \mathcal{A}^2)\varepsilon^{-2t} + (6U + 5\mathcal{A} + \mathcal{A}^2)t\varepsilon^{-2t} + (4U + 4\mathcal{A} + \mathcal{A}^2)\varepsilon^{-3t}.$$

Calculul de efectuat după introducerea lui \mathcal{A} sînt pur aritmetice. Rezultatul final este obținut din (71): $f(\mathcal{A}) = g(\mathcal{A})$ conduce la:

$$\varepsilon^{\mathcal{A}t} = \begin{bmatrix} 1 & -5 & 0 \\ 0 & 0 & 0 \\ 0 & 2 & 1 \end{bmatrix} \varepsilon^{-2t} + \begin{bmatrix} 0 & 6 & 3 \\ 0 & 0 & 0 \\ 0 & 0 & 0 \end{bmatrix} t\varepsilon^{-2t} + \begin{bmatrix} 0 & 5 & 0 \\ 0 & 1 & 0 \\ 0 & -2 & 0 \end{bmatrix} \varepsilon^{-3t}.$$

Aceasta completează exemplul. (Puteți verifica dacă această ecuație rezultă din cea imediată anterioară prin înlocuirea lui \mathcal{A}).

Matricea constituantă

Să considerăm ecuația (82). Această ecuație poate fi rezolvată în coeficienții g , care sînt apoi înlocuiți în polinomul $g(s)$, ca în cazul (76). Din nou rearanjăm termenii astfel încît să fie puse în evidență elementele

vectorului din dreapta lui (82) mai degrabă decît puterile lui s . Expresia rearanjată poate fi scrisă astfel :

$$\begin{aligned}
 g(s) = & K_{11}(s) f(s_1) + K_{12}(s) \frac{f^{(1)}(s_1)}{1!} + K_{13}(s) \frac{f^{(2)}(s_1)}{2!} \\
 & + \dots + K_{1r_1}(s) \frac{f^{(r_1-1)}(s_1)}{(r_1-1)!} \\
 & + K_{21}(s) f(s_2) + K_{22}(s) \frac{f^{(1)}(s_2)}{1!} + K_{23}(s) \frac{f^{(2)}(s_2)}{2!} \\
 & + \dots + K_{2r_2}(s) \frac{f^{(r_2-1)}(s_2)}{(r_2-1)!} \\
 & + \dots \\
 & + K_{k1}(s) f(s_k) + K_{k2}(s) \frac{f^{(1)}(s_k)}{1!} + K_{k3}(s) \frac{f^{(2)}(s_k)}{2!} \\
 & + \dots + K_{kr_k}(s) \frac{f^{(r_k-1)}(s_k)}{(r_k-1)!}
 \end{aligned} \tag{83}$$

K_{ij} a fost ales astfel încît coeficienții derivatelor să fie împărțiți de termenii factoriali (aceasta pentru o convenție ulterioară). Cînd valorile proprii sînt de o multiplicitate singulară, această expresie complicată se reduce la prima coloană, care este (77).

Etapa următoare este înlocuirea lui s cu \mathcal{A} . Reamintind că $g(\mathcal{A}) = f(\mathcal{A})$ și obținem acum :

$$\begin{aligned}
 f(\mathcal{A}) = & K_{11}(\mathcal{A}) f(s_1) + K_{12}(\mathcal{A}) \frac{f^{(1)}(s_1)}{1!} + \dots + K_{1r_1}(\mathcal{A}) \frac{f^{(r_1-1)}(s_1)}{(r_1-1)!} \\
 & + \dots \\
 & + K_{k1}(\mathcal{A}) f(s_k) + K_{k2}(\mathcal{A}) \frac{f^{(1)}(s_k)}{1!} + \dots + K_{kr_k}(\mathcal{A}) \frac{f^{(r_k-1)}(s_k)}{(r_k-1)!}
 \end{aligned} \tag{84}$$

presupunînd că funcțiile $f^i(s)$ nu sînt singulare, pentru $s = s_i$. Coeficienții $K_{ij}(\mathcal{A})$ din (84) sînt matrice, care sînt adesea notate K_{ij} . Ele sînt numite *matrice constituante* de \mathcal{A} și depind numai de \mathcal{A} , nu și de funcția $f(s)$. Aceasta poate fi observată din (82). Elementele diferite de zero ale matricei coeficienților sînt proporționale cu diferite puteri ale valorilor

propriii ale lui \mathcal{A} . $K_{ij}(s)$ este o combinație liniară de cofactori ai acestei matrice a coeficienților. Deoarece valorile proprii și deci intrările matricei coeficienților depind numai de \mathcal{A} , rezultatul este verificat. Acest rezultat este foarte important. Înseamnă că matricele constituante $K_{ij}(\mathcal{A})$ ale unei matrice patrute \mathcal{A} pot fi determinate, odată și pentru totdeauna, independent de orice funcție specifică. Pentru orice funcție dată f , expresia din (84) poate fi formată simplu prin evaluarea diferitelor derivate de f la valorile proprii ale lui \mathcal{A} .

Până acum singura cale pe care o știm de găsim a matricelor constituante cînd \mathcal{A} are valori proprii multiple este să scriem (82) și să rezolvăm pentru coeficienții g_i , să-i introducem în $g(s)$, și apoi să rearanjăm rezultatul în forma lui (83). Ar trebui să avem în vedere metode mai simple și din fericire cercetarea se preocupă de aceasta.

Cînd valorile proprii ale lui \mathcal{A} sînt simple, avem desigur la dispoziție formula de interpolare Lagrange. Avem nevoie de ceva similar pentru valorile proprii multiple.

Matricea rezolventă

Deoarece matricele constituante $K_{ij} = K_{ij}(\mathcal{A})$ nu depind de funcția specifică f , dacă găsim o funcție simplă pentru care (84) poate fi scrisă, atunci K_{ij} astfel determinate vor fi aceleași pentru orice funcție. Succesul acestui mod de abordare depinde de găsirea unei funcții convenabile.

Considerăm funcția $f(s') = 1/(s - s') = (s - s')^{-1}$, unde s' este o variabilă complexă care joacă rolul avut anterior de s ; de exemplu s' este variabila care va fi înlocuită prin \mathcal{A} . Cu riscul confuziei, noi am folosit simbolul s pentru o altă variabilă complexă. Am fi putut folosi un alt simbol, să zicem z , în locul lui s , dar algebra a fost făcută astfel din dorința de a obține în final o ecuație care conține pe s . Trebuie evitată confuzia de a ne gândi la „ z ” cînd vedem „ s ” în această dezvoltare. Dacă luăm derivatele în raport cu s' , obținem :

$$\frac{f^{(j-1)}(s_i)}{(j-1)!} = \frac{1}{(s - s_i)^j}, \quad (85)$$

unde s_i sînt valori particulare pentru s' . Substituim acum (85) în (84) și înlocuim pe s' prin \mathcal{A} în $f(s') = (s - s')^{-1}$. Rezultatul va fi $(s\mathbf{U} - \mathcal{A})^{-1}$ în termeni ai matricelor constituante. Folosind (67) aceasta poate fi scris :

$$(s\mathbf{U} - \mathcal{A})^{-1} = \frac{\text{adj}(s\mathbf{U} - \mathcal{A})}{d(s)}. \quad (86)$$

Numărătorul părții drepte este o matrice a căror elemente sînt polinoame în s , deoarece ele sînt cofactori ai matricei $(sU - \mathcal{A})$. Deoarece fiecare element al numărătorului este împărțit prin $d(s)$ întreaga expresie este o matrice de funcții raționale. Se poate face o dezvoltare în fracții parțiale a părții drepte și se obține:

$$\begin{aligned} (sU - \mathcal{A})^{-1} &= \frac{K_{11}}{(s - s_1)} + \frac{K_{12}}{(s - s_1)^2} + \dots + \frac{K_{1r_1}}{(s - s_1)^{r_1}} \\ &+ \dots \\ &+ \frac{K_{k1}}{(s - s_k)} + \frac{K_{k2}}{(s - s_k)^2} + \dots + \frac{K_{kr_k}}{(s - s_k)^{r_k}}. \end{aligned} \quad (87)$$

Ținînd seama de (85), această expresie este exact de forma lui (84), și anticipația noastră în utilizarea aceluiași simboluri $K_{ij} = K_{ij}(\mathcal{A})$ pentru coeficienții acestei dezvoltări în fracții parțiale, ca și pentru matricele constituante este justificată. Adică, matricele constituante sînt matrice de coeficienți în dezvoltarea în fracții parțiale a lui $(sU - \mathcal{A})^{-1}$. Matricea $(sU - \mathcal{A})^{-1}$ este numită *matricea rezolventă*.

Dîndu-se o matrice \mathcal{A} și o funcție $f(s)$, determinarea lui $f(\mathcal{A})$ în forma lui (84) este făcută prin dezvoltarea matricei rezolvante $(sU - \mathcal{A})^{-1}$ în fracții parțiale. Coeficienții dezvoltării (care sînt reziduuri dacă valorile proprii sînt simple) sînt matrice constituante.

Să facem o ilustrare cu ajutorul exemplului considerat mai sus. Fie $f(s) = e^{st}$ și

$$\mathcal{A} = \begin{bmatrix} -2 & 1 & 3 \\ 0 & -3 & 0 \\ 0 & 2 & -2 \end{bmatrix}, \quad (sU - \mathcal{A}) = \begin{bmatrix} s+2 & -1 & -3 \\ 0 & s+3 & 0 \\ 0 & -2 & s+2 \end{bmatrix}.$$

Pentru găsirea inversei lui $sU - \mathcal{A}$, este necesar să calculăm determinantul și cofactorii săi. După determinarea acestora obținem:

$$(sU - \mathcal{A})^{-1} = \frac{\begin{bmatrix} (s+2)(s+3) & (s+8) & 3(s+3) \\ 0 & (s+2)^2 & 0 \\ 0 & 2(s+2) & (s+2)(s+3) \end{bmatrix}}{(s+2)^2(s+3)}.$$

Fie $s_1 = -2$ și $s_2 = -3$. Dezvoltarea în fracții parțiale ne conduce la :

$$(sU - \mathcal{A})^{-1} = \frac{\begin{matrix} K_{11} \\ \begin{bmatrix} 1 & -5 & 0 \\ 0 & 0 & 0 \\ 0 & 2 & 1 \end{bmatrix} \end{matrix}}{s+2} + \frac{\begin{matrix} K_{12} \\ \begin{bmatrix} 0 & 6 & 3 \\ 0 & 0 & 0 \\ 0 & 0 & 0 \end{bmatrix} \end{matrix}}{(s+2)^2} + \frac{\begin{matrix} K_{21} \\ \begin{bmatrix} 0 & 5 & 0 \\ 0 & 1 & 0 \\ 0 & -2 & 0 \end{bmatrix} \end{matrix}}{s+3}.$$

În final, aceste matrice constituante sînt folosite în (84) pentru a obține exponențiala matriceală.

$$e^{\mathcal{A}t} = K_{11}e^{-2t} + K_{12}te^{-2t} + K_{21}e^{-3t}.$$

Acest rezultat este în concordanță cu cel obținut anterior.

Algoritmul matricei rezolvante

Să ne reamintim procedeul de determinare a matricelor constituante. Este necesar mai întîi să determinăm valorile proprii, etapă necesară pentru orice altă metodă. Este necesar apoi să inversăm matricea $(sU - \mathcal{A})$, ceea ce am făcut prin determinarea cofactorilor acestei matrice. Dar acest lucru devine complicat pentru un n mare. Este necesar în final să dezvoltăm în fracții parțiale matricea rezolvantă $(sU - \mathcal{A})^{-1}$. Orice contribuție pentru reducerea volumului de calcule va fi bine venită. Se cunoaște un astfel de algoritm pe care noi îl vom numi *algoritmul matricei rezolvante*¹⁾.

Observăm din (86) că matricea rezolvantă este exprimată în termenii polinomului caracteristic la numitor și ai matricei adjunkte $(sU - \mathcal{A})$ la numărător. Elementele acestei matrice sînt polinoame în s . Putem să ne concentrăm asupra puterilor lui s și să scriem această matrice ca o sumă de matrice, câte una pentru fiecare putere a lui s . Fie

$$\text{adj}(sU - \mathcal{A}) = P(s) = P_0 s^{n-1} + P_1 s^{n-2} + \dots + P_{n-2} s + P_{n-1}, \quad (88)$$

$$d(s) = s^n + d_1 s^{n-1} + \dots + d_{n-1} s + d_n. \quad (89)$$

Multiplicarea lui (86) prin $d(s)(sU - \mathcal{A})$ conduce la

$$(sU - \mathcal{A})P(s) = d(s)U, \quad (90)$$

¹⁾ Referiri anterioare la acest algoritm pot fi găsite în: J. M. Sourian, „Une méthode pour la Décomposition spectrale à inversion des matrices”, *Compt. Rend.*, Vol. 227, pp. 1010–1011, 1948; D. K. Fadeev and I. S. Sominskii, „Collection of Problems on Higher Algebra”, 2nd ed. (in Russian), Gostekhizdat, Moscow, 1949; J. S. Frame, „A Simple Recursion Formula for Inverting a Matrix”, *Bul. An. Math. Soc.* Vol. 55, p. 1015, 1949. H. F. Fettis, „A Method for Obtaining the characteristic Equation of a Matrix and Computing the Associated Model Elements”, *Quart. Appl. Math.*, Vol. 8, pp 206–212, 1950.

care, după inversarea lui (88) și (89), devine

$$\begin{aligned} & (\mathbf{P}_0 s^n + \mathbf{P}_1 s^{n-1} + \dots + \mathbf{P}_{n-1} s) \\ & - (\mathcal{A} \mathbf{P}_0 s^{n-1} + \mathcal{A} \mathbf{P}_1 s^{n-2} + \dots + \mathcal{A} \mathbf{P}_{n-1}) = \\ & = \mathbf{U} s^n + d_1 \mathbf{U} s^{n-1} + \dots + d_n \mathbf{U}. \end{aligned}$$

Egalarea coeficienților puterilor corespondente ale lui s din cele două părți, conduce la

$$\begin{aligned} \mathbf{P}_0 &= \mathbf{U}, \\ \mathbf{P}_1 &= \mathcal{A} \mathbf{P}_0 + d_1 \mathbf{U}, \\ \mathbf{P}_2 &= \mathcal{A} \mathbf{P}_1 + d_2 \mathbf{U}, \\ &\vdots \\ \mathbf{P}_k &= \mathcal{A} \mathbf{P}_{k-1} + d_k \mathbf{U}, \\ &\vdots \\ \mathbf{P}_{n-1} &= \mathcal{A} \mathbf{P}_{n-2} + d_{n-1} \mathbf{U}, \\ 0 &= \mathcal{A} \mathbf{P}_{n-1} + d_n \mathbf{U}. \end{aligned} \tag{91}$$

Este clar că dacă cunoaștem coeficienții d_i ai polinomului caracteristic, aceste ecuații ne permit să determinăm matricele \mathbf{P}_i . Desigur, coeficienții d_i pot fi determinați prin evaluarea determinantului $(s\mathbf{U} - \mathcal{A})$. Vom arăta acum că aceasta nu este chiar o necesitate.

Luînd urma matricelor pentru ambele părți din (90) găsim că

$$s \operatorname{tr} \mathbf{P}(s) - \operatorname{tr} [\mathcal{A} \mathbf{P}(s)] = n d(s). \tag{92}$$

Vom arăta acum că $\operatorname{tr} [\mathbf{P}(s)]$ este egală cu derivata lui $d(s)$. Scriem pe $d(s)$ astfel

$$d(s) = \sum_{j=1}^n (s \delta_{ij} - a_{ij}) \Delta_{ij}, \tag{93}$$

unde δ_{ij} este simbolul lui Kronecker, $(s \delta_{ij} - a_{ij})$ este un element al lui $(s\mathbf{U} - \mathcal{A})$, și Δ_{ij} este cofactorul lui $(s \delta_{ij} - a_{ij})$. Vom folosi relația (25) din Capitolul 1, unde s-a discutat derivata unui determinant. S-a arătat că pentru o matrice arbitrară $\mathbf{B}(s) = [b_{kj}(s)]$

$$\frac{d}{ds} \det \mathbf{B}(s) = \sum_{i=1}^n \sum_{j=1}^n \frac{db_{ij}}{ds} \Delta_{ij}. \tag{94}$$

În prezentul caz, determinantul este $d(s) = \det(sU - \mathcal{A})$. Folosind (94) obținem

$$\begin{aligned} \frac{d}{ds} [d(s)] &= \sum_{i=1}^n \left(\sum_{j=1}^n \frac{d(s\delta_{ij} - a_{ij})}{ds} \Delta_{ij} \right) \\ &= \sum_{i=1}^n \left(\sum_{j=1}^n \delta_{ij} \Delta_{ij} \right) = \sum_{i=1}^n \Delta_{ii} \\ &= \text{tr}[\text{adj}(sU - \mathcal{A})] = \text{tr } \mathbf{P}(s). \end{aligned} \quad (95)$$

Folosind această relație, putem înlocui pe $\text{tr } \mathbf{P}(s)$ în (92) și obținem, după rearanjare,

$$s \frac{d}{ds} [d(s)] - nd(s) = \text{tr} [\mathcal{A} \mathbf{P}(s)]. \quad (96)$$

În final, înlocuim expresiile $\mathbf{P}(s)$ și $d(s)$ din (88) și (89) în această ecuație și obținem:

$$\begin{aligned} &(ns^n - (n-1)d_1s^{n-1} + (n-2)d_2s^{n-2} + \dots + d_{n-1}s) - \\ &\quad - (ns^n + nd_1s^{n-1} + \dots + nd_n) = \\ &= s^{n-1} \text{tr}(\mathcal{A} \mathbf{P}_0) + s^{n-2} \text{tr}(\mathcal{A} \mathbf{P}_1) + \dots + s \text{tr}(\mathcal{A} \mathbf{P}_{n-2}) + \text{tr}(\mathcal{A} \mathbf{P}_{n-1}). \end{aligned}$$

Egalăm coeficienții aceluiași puteri ale lui s din ambele părți și găsim soluțiile pentru coeficienții d_i :

$$\begin{aligned} d_1 &= -\text{tr}(\mathcal{A} \mathbf{P}_0), \\ d_2 &= -\frac{1}{2} \text{tr}(\mathcal{A} \mathbf{P}_1), \\ d_3 &= -\frac{1}{3} \text{tr}(\mathcal{A} \mathbf{P}_2), \\ &\vdots \\ d_k &= -\frac{1}{k} \text{tr}(\mathcal{A} \mathbf{P}_{k-1}), \\ &\vdots \\ d_n &= -\frac{1}{n} \text{tr}(\mathcal{A} \mathbf{P}_{n-1}). \end{aligned} \quad (97)$$

Acest set de expresii pentru coeficienții d_k , împreună cu (91) pentru matricele \mathbf{P}_k , constituie un algoritm, cu un număr finit de etape, pentru calculul matricei rezolvante, $(s\mathbf{U} - \mathcal{A})^{-1}$. Le vom scrie din nou, parte cu parte, arătând succesiunea etapelor:

$$\mathbf{P}_0 = \mathbf{U} \quad \rightarrow d_1 = -\operatorname{tr}(\mathcal{A}),$$

$$\mathbf{P}_1 = \mathcal{A} + d_1\mathbf{U} \quad \rightarrow d_2 = -\frac{1}{2} \operatorname{tr}(\mathcal{A}\mathbf{P}_1),$$

$$\mathbf{P}_2 = \mathcal{A}\mathbf{P}_1 + d_2\mathbf{U} \quad \rightarrow d_3 = -\frac{1}{3} \operatorname{tr}(\mathcal{A}\mathbf{P}_2),$$

$$\vdots \quad \vdots \quad \quad \quad \vdots \quad \quad \vdots$$

$$\mathbf{P}_k = \mathcal{A}\mathbf{P}_{k-1} + d_k\mathbf{U} \quad \rightarrow d_{k+1} = -\frac{1}{k+1} \operatorname{tr}(\mathcal{A}\mathbf{P}_k), \quad (98)$$

$$\vdots \quad \vdots \quad \quad \quad \vdots \quad \quad \vdots$$

$$\mathbf{P}_{n-1} = \mathcal{A}\mathbf{P}_{n-2} + d_{n-1}\mathbf{U} \rightarrow d_n = -\frac{1}{n} \operatorname{tr}(\mathcal{A}\mathbf{P}_{n-1}),$$

$$0 = \mathcal{A}\mathbf{P}_{n-1} + d_n\mathbf{U} \text{ (restricție).}$$

Ultima ecuație a acestui set poate fi folosită ca o restricție, deoarece toate componentele sale au fost deja determinate în etapele anterioare. Dacă ecuația nu este satisfăcută, atunci a fost o eroare (sau mai multe).

O problemă importantă care privește algoritmul matricei rezolvante este faptul că toate etapele incluse sînt operații numerice pure: variabila s nu apare. În consecință, deși se pare că există o mare cantitate de operații aritmetice matriceale, algoritmul poate fi ușor programat pe un calculator.

Un rezultat parțial al algoritmului este o evaluare a inversei lui \mathcal{A} cînd zero nu este o valoare proprie a lui \mathcal{A} . În acest caz $d_n = d(0) \neq 0$. Din (86), $(s\mathbf{U} - \mathcal{A})^{-1} = \mathbf{P}(s)/d(s)$. Punînd $s = 0$ se obține $-\mathcal{A}^{-1} = \mathbf{P}(0)/d(0)$, sau

$$\mathcal{A}^{-1} = -\frac{\mathbf{P}_{n-1}}{d_n}. \quad (99)$$

Pentru a ilustra algoritmul matricei rezolvante, considerăm din nou exemplul tratat anterior. Etapele algoritmului sînt următoarele :

$$\mathcal{A} = \begin{bmatrix} -2 & 1 & 3 \\ 0 & -3 & 0 \\ 0 & 2 & -2 \end{bmatrix}.$$

$$d_1 = -\operatorname{tr} \mathcal{A} = (2 + 3 + 2) = 7.$$

$$\mathbf{P}_1 = \mathcal{A} + 7\mathbf{U} = \begin{bmatrix} 5 & 1 & 3 \\ 0 & 4 & 0 \\ 0 & 2 & 5 \end{bmatrix} \quad \mathcal{A}\mathbf{P}_1 = \begin{bmatrix} -10 & 8 & 9 \\ 0 & -12 & 0 \\ 0 & 4 & -10 \end{bmatrix}$$

$$d_2 = -\frac{1}{2} \operatorname{tr} (\mathcal{A}\mathbf{P}_1) = 16,$$

$$\mathbf{P}_2 = \mathcal{A}\mathbf{P}_1 + 16\mathbf{U} = \begin{bmatrix} 6 & 8 & 9 \\ 0 & 4 & 0 \\ 0 & 4 & 6 \end{bmatrix} \quad \mathcal{A}\mathbf{P}_2 = \begin{bmatrix} -12 & 0 & 0 \\ 0 & -12 & 0 \\ 0 & 0 & -12 \end{bmatrix},$$

$$d_3 = -\frac{1}{3} \operatorname{tr} (\mathcal{A}\mathbf{P}_2) = 12.$$

Ca o restricție, se găsește că $\mathcal{A}\mathbf{P}_2 + 12\mathbf{U} = 0$. Se poate scrie acum matricea rezolvantă :

$$\begin{aligned} (s\mathbf{U} - \mathcal{A})^{-1} &= \frac{\mathbf{U}s^3 + \mathbf{P}_1s + \mathbf{P}_2}{s^3 + d_1s^2 + d_2s + d_3} \\ &= \frac{\begin{bmatrix} s^2 + 5s + 6 & s + 8 & 3s + 9 \\ 0 & s^2 + 4s + 4 & 0 \\ 0 & 2s + 4 & s^2 + 5s + 6 \end{bmatrix}}{s^3 + 7s^2 + 16s + 12}. \end{aligned}$$

În ultima etapă, rezultatul a fost rearanjat într-o singură matrice. Comparăm acest rezultat cu soluția anterioară. Deoarece zero nu este o valoare proprie a lui \mathcal{A} , (99) conduce la un rezultat colateral :

$$\mathcal{A}^{-1} = -\frac{1}{d_3} \mathbf{P}_2 = -\frac{1}{12} \begin{bmatrix} 6 & 8 & 9 \\ 0 & 4 & 0 \\ 0 & 4 & 6 \end{bmatrix}.$$

Menționăm că algoritmul dă polinomul caracteristic $\bar{a}(s)$ în formă dezvoltată. Pentru a găsi matricea constituentă mai este necesar (1)

să factorizăm $d(s)$ pentru a găsi valorile proprii și (2) să obținem o dezvoltare în fracții parțiale. Algoritme de calcul pentru prima din acestea sînt accesibile direct ¹⁾.

Polinoame rezolvante

Referitor la (84), ne amintim că matricele constituante K_{ij} depind numai de \mathcal{A} , nu și de o funcție specifică. Așa cum am menționat anterior, dacă aceste matrice pot fi evaluate pentru anumite funcții specifice, rezultatul astfel obținut va fi bun pentru orice altă funcție. Am găsit o funcție care conduce la matricea rezolvanță $(sU - \mathcal{A})^{-1}$, cu ajutorul căreia se pot evalua matricele constituante. Vom discuta acum un set de funcții care pot face de asemenea acest lucru.

Considerăm un set de funcții $f_1(s), f_2(s), \dots, f_n(s)$, fiecare fiind un polinom. Fiecare din aceste polinoame poate fi folosit în (84) și va conduce la o ecuație în care necunoscutele sînt matricele constituante. Vor exista atîtea ecuații, cîte necunoscute sînt. În formă matriceală aceste ecuații se scriu astfel :

$$\begin{bmatrix} f_1(s_1) & \frac{f_1^{(1)}(s_1)}{1!} & \dots & \frac{f_1^{(r_1-1)}(s_1)}{(r_1-1)!} & f_1(s_2) & \dots & \frac{f_1^{(r_1-1)}(s_k)}{(r_1-1)!} \\ & & & & & & \\ f_2(s_1) & \frac{f_2^{(1)}(s_1)}{1!} & \dots & \frac{f_2^{(r_1-1)}(s_1)}{(r_1-1)!} & f_2(s_2) & \dots & \frac{f_2^{(r_k-1)}(s_k)}{(r_k-1)!} \\ & & & & & & \\ \vdots & \vdots & & \vdots & \vdots & & \vdots \\ f_n(s_1) & \frac{f_n^{(1)}(s_1)}{1!} & \dots & \frac{f_n^{(r_1-1)}(s_1)}{(r_1-1)!} & f_n(s_2) & \dots & \frac{f_n^{(r_k-1)}(s_k)}{(r_k-1)!} \end{bmatrix} \begin{bmatrix} K_{11} \\ K_{12} \\ \vdots \\ K_{1r_1} \\ K_{21} \\ \vdots \\ K_{kr_k} \end{bmatrix} = \begin{bmatrix} f_1(\mathcal{A}) \\ f_2(\mathcal{A}) \\ \vdots \\ f_n(\mathcal{A}) \end{bmatrix} \quad (100)$$

Numim această ecuație, *ecuația rezolvanță*. Deși elementele vectorului sînt matrice patrurate de ordinul n , aceste matrice sînt tratate ca o singură cantitate cînd este interpretată multiplicarea matricei date. Astfel, cînd se realizează multiplicarea matricei, se obțin termeni în care o matrice

¹⁾ Algoritmul diferenței citurilor este una din cele mai cunoscute metode de determinare a zerourilor unui polinom. Algoritmul este descris în: P. Henrici, *Elements of Numerical Analysis*, John Wiley, New York, 1964, Chap. 8.

este multiplicată printr-un scalar — o operație perfect valabilă; de exemplu, în primul rînd al produsului,

$$f_1(s_1)K_{11} + \frac{f_1^{(1)}(s_1)}{1!} K_{12} + \dots + \frac{f_1^{(r_1-1)}(s_1)}{(r_1-1)!} K_{1,r_1} + \\ + f_1(s_2)K_{21} + \dots + \frac{f_1^{(r_k-1)}(s_k)}{(r_k-1)!} K_{k,r_k} \quad (101)$$

matricea K_{21} este multiplicată prin scalarul $f_1(s_2)$.

Dacă este acceptat acest mod de abordare, matricea coeficienților din (100) trebuie să fie nesingulară și ușor de inversat. Apare o problemă de alegere a unui set corespunzător de polinoame care vor fi numite *polinoame rezolvante*.

Cel mai simplu polinom este o putere de s . Astfel, un set posibil de polinoame rezolvante este:

$$f_i(s) = s^{i-1} \quad i = 1, 2, \dots, n. \quad (102)$$

Deci să scriem expresia generală în acest caz, presupunem de exemplu, că polinomul caracteristic este $d(s) = (s - s_1)^2 \cdot (s - s_2)^2$. Atunci $n = 4$ și $f_1 = 1$, $f_2 = s$, $f_3 = s^2$ și $f_4 = s^3$. Deci (100) devine

$$\begin{bmatrix} 1 & 0 & 1 & 0 \\ s_1 & 1 & s_2 & 1 \\ s_1^2 & 2s_1 & s_2^2 & 2s_2 \\ s_1^3 & 3s_1^2 & s_2^3 & 3s_2^2 \end{bmatrix} \begin{bmatrix} K_{11} \\ K_{12} \\ K_{21} \\ K_{22} \end{bmatrix} = \begin{bmatrix} U \\ \mathcal{A} \\ \mathcal{A}^2 \\ \mathcal{A}^3 \end{bmatrix}. \quad (103)$$

Este clar că elementele vectorului din partea dreaptă sint ușor de determinat în acest caz, dar că inversa matricei va necesita eforturi considerabile, mai ales cînd n este mult mai mare.

Pentru o ilustrare mai explicită să considerăm exemplul dat anterior în care:

$$\mathcal{A} = \begin{bmatrix} -2 & 1 & 3 \\ 0 & -3 & 0 \\ 0 & 2 & -2 \end{bmatrix} \quad \begin{aligned} d(s) &= (s+2)^2(s+3), \\ s_1 &= -2, \\ s_2 &= -3. \end{aligned} \quad (104)$$

Cu polinoamele rezolvante alese în concordanță cu (102), obținem pentru (100)

$$\begin{bmatrix} 1 & 0 & 1 \\ -2 & 1 & -3 \\ 4 & -4 & 9 \end{bmatrix} \begin{bmatrix} K_{11} \\ K_{12} \\ K_{21} \end{bmatrix} = \begin{bmatrix} U \\ \mathcal{A} \\ \mathcal{A}^2 \end{bmatrix}.$$

Inversăm această ecuație și obținem

$$\begin{bmatrix} \mathbf{K}_{11} \\ \mathbf{K}_{12} \\ \mathbf{K}_{21} \end{bmatrix} = \begin{bmatrix} -3 & -4 & 1 \\ 6 & 5 & 1 \\ 4 & 4 & 1 \end{bmatrix} \begin{bmatrix} \mathbf{U} \\ \mathcal{A} \\ \mathcal{A}^2 \end{bmatrix}$$

care în formă dezvoltată dă :

$$\begin{aligned} \mathbf{K}_{11} &= -3\mathbf{U} - 4\mathcal{A} - \mathcal{A}^2, \\ \mathbf{K}_{12} &= 6\mathbf{U} + 5\mathcal{A} + \mathcal{A}^2, \\ \mathbf{K}_{21} &= 4\mathbf{U} + 4\mathcal{A} + \mathcal{A}^2. \end{aligned} \quad (105)$$

Rezolvarea completă a problemei se obține prin introducerea lui \mathcal{A} și \mathcal{A}^2 în aceste ecuații și verificarea obținerii aceluiași matrice constituate ca mai înainte.

O altă alegere a setului de polinoame este următoarea :

$$\begin{aligned} f_1(s) &= 1, \\ f_2(s) &= (s - s_1), \\ f_3(s) &= (s - s_1)^2, \\ &\vdots \\ f_{r_1+1}(s) &= (s - s_1)^{r_1}, \\ f_{r_1+2}(s) &= (s - s_1)^{r_1} (s - s_2), \\ &\vdots \\ f_{r_1+r_2+1}(s) &= (s - s_1)^{r_1} (s - s_2)^{r_2}, \\ f_{r_1+r_2+2}(s) &= (s - s_1)^{r_1} (s - s_2)^{r_2} (s - s_3), \\ &\vdots \\ f_n(s) &= (s - s_1)^{r_1} (s - s_2)^{r_2} \dots (s - s_k)^{r_k-1}, \end{aligned} \quad (103)$$

unde s_i sînt valori proprii. În acest caz evaluarea lui $f_i(\mathcal{A})$ va necesita un efort mare, dar matricea (100) va fi ușor de inversat. Considerăm din nou cazul particular în care $d(s) = (s - s_1)^2(s - s_2)^2$. Atunci :

$$\begin{aligned} f_1(s) &= 1, & f_1(\mathcal{A}) &= \mathbf{U}, \\ f_2(s) &= (s - s_1), & f_2(\mathcal{A}) &= (\mathcal{A} - s_1\mathbf{U}), \\ f_3(s) &= (s - s_1)^2, & f_3(\mathcal{A}) &= (\mathcal{A} - s_1\mathbf{U})^2, \\ f_4(s) &= (s - s_1)^2(s - s_2), & f_4(\mathcal{A}) &= (\mathcal{A} - s_1\mathbf{U})^2(\mathcal{A} - s_2\mathbf{U}), \end{aligned}$$

și (100) devine :

$$\begin{bmatrix} 1 & 0 & 1 & 0 \\ 0 & 1 & (s_2 - s_1) & 1 \\ 0 & 0 & (s_2 - s_1)^2 & 2(s_2 - s_1) \\ 0 & 0 & 0 & (s_2 - s_1)^2 \end{bmatrix} \begin{bmatrix} \mathbf{K}_{11} \\ \mathbf{K}_{12} \\ \mathbf{K}_{21} \\ \mathbf{K}_{22} \end{bmatrix} = \begin{bmatrix} \mathbf{U} \\ \mathcal{A} - s_1 \mathbf{U} \\ (\mathcal{A} - s_1 \mathbf{U})^2 \\ (\mathcal{A} - s_1 \mathbf{U})^2 (\mathcal{A} - s_2 \mathbf{U}) \end{bmatrix} \quad (107)$$

În acest caz matricea coeficienților este superior triunghiulară și poate fi ușor inversată. Aceasta este în general adevărată pentru această selecție a polinoamelor rezolvante.

Pentru exemplul tratat anterior, dat în (104), ecuația rezolventă devine :

$$\begin{bmatrix} 1 & 0 & 1 \\ 0 & 1 & -1 \\ 0 & 0 & 1 \end{bmatrix} \begin{bmatrix} \mathbf{K}_{11} \\ \mathbf{K}_{12} \\ \mathbf{K}_{21} \end{bmatrix} = \begin{bmatrix} \mathbf{U} \\ \mathcal{A} + 2\mathbf{U} \\ (\mathcal{A} + 2\mathbf{U})^2 \end{bmatrix}$$

care poate fi inversată direct obținind :

$$\mathbf{K}_{11} = \mathbf{U} - (\mathcal{A} + 2\mathbf{U})^2 = -3\mathbf{U} - 4\mathcal{A} - \mathcal{A}^2.$$

$$\mathbf{K}_{12} = (\mathcal{A} + 2\mathbf{U}) + (\mathcal{A} + 2\mathbf{U})^2 = 6\mathbf{U} + 5\mathcal{A} + \mathcal{A}^2.$$

$$\mathbf{K}_{21} = (\mathcal{A} + 2\mathbf{U})^2 = 4\mathbf{U} + 4\mathcal{A} + \mathcal{A}^2.$$

Comparând aceste ultime relații cu (105) găsim că ele sînt identice.

În acest paragraf am tratat un număr de metode de evaluare a funcției de o matrice. Fiecare metodă are anumite avantaje și dezavantaje. Unele se aplică mai ușor la matrice de ordin redus; altele sînt adecvate pentru evaluarea numerică cu ajutorul calculatorului. Ceea ce este important este să se determine expresiile în formă închisă echivalente pentru funcția $e^{\mathcal{A}t}$, care constituie soluția unei ecuații de stare omogenă.

4.5. FORMULAREA SISTEMATICĂ A ECUAȚIILOR DE STARE

Să trecem în revistă pe scurt rezultatele obținute pînă acum în acest capitol. Am început prin a considera ordinul de complexitate al unei rețele. Am găsit că numărul de variabile independente dinamice pentru rețelele

RLC este egal cu numărul de elemente reactive, din care se scade numărul contururilor de capacități și numărul secțiunilor de inductanțe. Pentru o rețea care conține componente multiterminale (surse comandate, etc.) pot fi introduse constrângeri algebrice adiționale, între tensiunile pe capacități și curenții prin inductanțe, reducându-se astfel ordinul de complexitate. Noi presupunem aici că în toate cazurile, ordinul de complexitate este același cu cel calculat pentru o rețea RLC . Dacă reiese că presupunerea este falsă pentru o rețea particulară, atunci va fi imposibil de obținut ecuațiile în forma dorită, folosind metoda pe care o vom descrie. Se va da un exemplu pentru verificare.

În continuare, am definit un arbore normal al unui graf, ca unul care conține numărul maxim de capacități și numărul minim de inductanțe ca și toate sursele de tensiune independente, însă nici o sursă de curent independentă. Am arătat cu ajutorul exemplelor că poate fi scris un sistem de ecuații de rețea, care să aibe ca variabile tensiunile ramurilor de capacități și curenții coardelor de inductanțe dintr-un arbore normal. Ecuațiile au forma generală :

$$\frac{dx}{dt} = \mathcal{A}x + \mathcal{B}_1 e + \mathcal{B}_2 \frac{de}{dt}, \quad (108a)$$

$$w = \mathcal{C}x + \mathcal{D}_1 e + \mathcal{D}_2 \frac{de}{dt}. \quad (108b)$$

Prin transformarea $x \rightarrow x + \mathcal{B}_2 e$, acestea pot fi reduse la :

$$\frac{dx}{dt} = \mathcal{A}x + \mathcal{B}e, \quad (109a)$$

$$w = \mathcal{C}x + \mathcal{D}e + \hat{\mathcal{D}} \frac{de}{dt}, \quad (109b)$$

unde :

$$\mathcal{B} = \mathcal{B}_1 + \mathcal{A}\mathcal{B}_2, \quad \mathcal{D} = \mathcal{D}_1 + \mathcal{C}\mathcal{B}_2 \text{ și } \hat{\mathcal{D}} = \mathcal{D}_2.$$

Ecuația (109a) este forma normală a ecuației de stare ; x este vectorul de stare, și elementele sale sînt variabilele de stare. În realitate, vectorul de stare din ultima pereche de ecuații este o combinație liniară a „vectorului de stare” inițial (cu tensiunile ramurilor de capacități și curenții contururilor de inductanțe ca variabile) și vectorul sursă e . Chiar cu această transformare, ecuația a doua din pereche — ecuația de ieșire — poate să conțină încă termenul de/dt . Vom stabili pe scurt condițiile în

care va apare aceasta. Pentru mai multă exactitate, ne vom referi la prima ecuație din fiecare pereche ca la *ecuația de stare* și la a doua ecuație a fiecărei perechi ca la *ecuația de ieșire*. Cele două ecuații vor forma *ecuațiile de stare*.

În continuare ne-a preocupat rezolvarea ecuației de stare și aceasta a fost făcută prin găsirea în primul rînd a unei soluții pentru ecuația omogenă (cu $e = 0$).

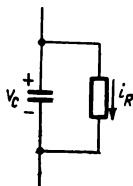


Fig. 4.6.

Simbolic această soluție implică exponențiala matricială e^{At} , astfel că am căutat să determinăm metode de evaluare a acestor funcții de o matrice. Odată ce exponențiala matricială este evaluată, vectorul de stare este găsit din (45). Vom amîna considerațiile următoare de evaluare a acestei integrale și consecințele ei pentru capitolul următor.

Trebuie să găsim o formă de scriere a ecuațiilor de stare (109) pentru rețea dată și să arătăm că este generală. Să observăm pentru început că este posibil să alegem ca variabile de stare, unele variabile care nu sînt tensiuni pe capacități și curenți prin inductanțe.

În fig. 4.6 de exemplu, trebuie aleasă ca variabilă de stare curentul prin rezistență i_R , și nu tensiunea pe capacitate — deoarece v_c este direct proporțional cu i_R .

Considerații topologice

Prima etapă constă în selectarea unui arbore normal (sau arboresecentă normală). În general acesta nu este unic. Dacă nu există degenerări (contururi de capacități sau secțiuni de inductanțe), cel puțin elementele reactive vor fi atribuite în mod unic la arborele sau coarboarele normal — dar nu și elementele rezistive. Totuși, cînd există degenerări, va fi necesară o alegere chiar pentru elementele reactive.

În concordanță cu convenția noastră obișnuită în scrierea unei matrice de contururi sau secțiuni, numerotăm mai întîi ramurile și apoi coardele. Vom face aici o convenție mai detaliată de numerotare a laturilor și adop-

tăm următoarea ordine în interiorul celor două categorii de ramuri și coarde :

Ramuri

1. Ramuri de surse de tensiune
2. Ramuri de capacități
3. Ramuri de rezistențe
4. Ramuri de inductanțe

Coarde

1. Coarde de capacități
2. Coarde de rezistențe
3. Coarde de inductanțe
4. Coarde de surse de curenți

Menționăm că termenii „ramură de rezistență” și „coardă de rezistență” includ laturi de multiterminale ca : giratori și surse comandate a căror relații $v - i$ sînt algebrice ca la o rezistență. Nu impunem o ordonare specială în numerotarea unor astfel de laturi, dar ele sînt incluse printre laturile care reprezintă rezistențe. Această numerotare a laturilor conduce la o separare a vectorilor de curent și tensiune după cum urmează :

$$v = \begin{bmatrix} v_t \\ v_l \end{bmatrix} \Rightarrow v_t = \begin{bmatrix} v_E \\ v_{Cl} \\ v_{Rl} \\ v_{Ll} \end{bmatrix} \text{ și } v_l = \begin{bmatrix} v_{Cl} \\ v_{Rl} \\ v_{Ll} \\ v_J \end{bmatrix}, \quad (110a)$$

$$i = \begin{bmatrix} i_t \\ i_l \end{bmatrix} \Rightarrow i_t = \begin{bmatrix} i_E \\ i_{Cl} \\ i_{Rl} \\ i_{Ll} \end{bmatrix} \text{ și } i_l = \begin{bmatrix} i_{Cl} \\ i_{Rl} \\ i_{Ll} \\ i_J \end{bmatrix}, \quad (110b)$$

unde, de exemplu, v_{Cl} este vectorul tensiunilor ramurilor de capacități și v_{Rl} este vectorul curenților coardelor de rezistență. Nu am mai folosit indicele t corespunzător ramurilor (twigs) în scrierea lui v_E și i_E , și nici a indicelui l corespunzător coardei (link) în scrierea lui i_J și v_J , deoarece sursele de tensiune sînt totdeauna ramuri și sursele de curent sînt totdeauna coarde.

Următoarea etapă este scrierea ecuațiilor LKV pentru contururile f și ecuațiile LKC pentru secțiunile f , ca în (6) și (7). Ele sînt repetate mai jos :

$$Q_i = 0, \text{ sau } i_t = -Q_i i_l, \quad (111a)$$

$$Bv = 0, \text{ sau } v_l = -B_l v_t = Q'_l v_t, \quad (111b)$$

descompunerea obișnuită fiind : $Q = [U \ Q_i]$, $B = [B_l \ U]$. Ultima etapă de calcul rezultă din $B_l = -Q'_l$. Dacă introducem aici vectorii de curenți și tensiuni descompuși în concordanță cu (110), trebuie descompusă și matricea Q_i în mod corespunzător, adică în 4 linii și coloane. Fiecare linie a lui Q_i corespunde unei secțiuni f definite de o ramură a arborelui

normal. Coloanele corespund coardelor. Dacă aranjăm coloanele și liniile în ordinea convențională stabilită mai sus, Q_i trebuie să ia forma

$$Q_i = \begin{matrix} \text{coarde} \rightarrow & C & R & L & J \\ \text{ramuri} \downarrow & E \begin{bmatrix} - & - & - & - \\ C & - & - & - \\ R & - & - & - \\ L & - & - & - \end{bmatrix} \end{matrix}$$

Dacă există o coardă de capacitate, existența ei va fi determinată de existența unui contur de capacități. Deoarece nu există rezistențe și inductanțe într-un astfel de contur, coloana C care corespunde unei coarde de capacități nu poate avea o intrare diferită de zero în liniile care corespund ramurilor R și L ; adică, intrările din prima coloană și liniile trei și patru trebuie să fie zero. În mod similar, dacă există o ramură de inductanțe, ea va fi determinată de existența unei secțiuni de inductanțe. De asemenea nu pot exista rezistențe și capacități într-o astfel de secțiune, linia corespunzătoare ramurilor de inductanțe nu poate avea intrări diferite de zero în coloanele care corespund coardelor C și R . Deci Q_i poate fi scris astfel:

$$Q_i = \begin{matrix} \text{coarde} \rightarrow \\ \text{ramuri} \downarrow \end{matrix} \begin{bmatrix} Q_{EC} & Q_{ER} & Q_{EL} & Q_{EJ} \\ Q_{CC} & Q_{CR} & Q_{CL} & Q_{CJ} \\ 0 & Q_{RR} & Q_{RL} & Q_{RJ} \\ 0 & 0 & Q_{LL} & Q_{LJ} \end{bmatrix}. \quad (112)$$

Înd introducem aceasta în ecuațiile Kirchhoff din (111), rezultatul poate fi dezvoltat iar ca mai jos:

$$i_E = -Q_{EC}i_{C_l} - Q_{ER}i_{R_l} - Q_{EL}i_{L_l} - Q_{EJ}i_J \quad (113a)$$

$$i_{C_l} = -Q_{CC}i_{C_l} - Q_{CR}i_{R_l} - Q_{CL}i_{L_l} - Q_{CJ}i_J \quad (113b)$$

$$i_{R_l} = -Q_{RR}i_{R_l} - Q_{RL}i_{L_l} - Q_{RJ}i_J \quad (113c)$$

$$i_{L_l} = -Q_{LL}i_{L_l} - Q_{LJ}i_J \quad (113d)$$

$$v_{C_l} = Q'_{EC}v_E + Q'_{CC}v_{C_l} \quad (113e)$$

$$v_{R_l} = Q'_{ER}v_E + Q'_{CR}v_{C_l} + Q'_{RR}v_{R_l} \quad (113f)$$

$$v_{L_l} = Q'_{EL}v_E + Q'_{CL}v_{C_l} + Q'_{RL}v_{R_l} + Q'_{LL}v_{L_l} \quad (113g)$$

$$v_J = Q'_{EJ}v_E + Q'_{CJ}v_{C_l} + Q'_{RJ}v_{R_l} + Q'_{LJ}v_{L_l} \quad (113h)$$

Pentru a ilustra această divizare să ne întoarcem la exemplul considerat anterior în acest capitol. Din fig. 4.4 matricea \mathbf{Q}_l este :

$$\mathbf{Q}_l = \begin{matrix} & \begin{matrix} R & L \end{matrix} \\ \begin{matrix} E \\ C \\ R \end{matrix} & \begin{bmatrix} 0 & 1 & 0 & 0 \\ 0 & 0 & 1 & 0 \\ \cdots & \cdots & \cdots & \cdots \\ -1 & -1 & 0 & -1 \\ 1 & 0 & -1 & 0 \\ \cdots & \cdots & \cdots & \cdots \\ 1 & 0 & 0 & 1 \end{bmatrix} \end{matrix}, \quad \begin{matrix} \mathbf{Q}_{ER} = \begin{bmatrix} 0 & 1 & 0 \\ 0 & 0 & 1 \end{bmatrix}, & \mathbf{Q}_{EL} = \begin{bmatrix} 0 \\ 0 \end{bmatrix} \\ \mathbf{Q}_{CR} = \begin{bmatrix} -1 & -1 & 0 \\ 1 & 0 & -1 \end{bmatrix}, & \mathbf{Q}_{CL} = \begin{bmatrix} -1 \\ 0 \end{bmatrix} \\ \mathbf{Q}_{RR} = [1 & 0 & 0], & \mathbf{Q}_{RL} = [1]. \end{matrix}$$

Deoarece nu există ramuri de inductanțe, coarde de capacități, sau surse de curent în rețea, matricea \mathbf{Q}_l apare într-o formă simplificată.

Eliminarea variabilelor nedorite

Până în acest punct, discuția a fost făcută pe considerente topologice. Trebuie să ne întoarcem acum la relațiile $v - i$. Să scriem în primul rând aceste ecuații pentru elementele reactive; astfel :

$$\begin{bmatrix} i_{Cl} \\ i_{Cl} \end{bmatrix} = \frac{d}{dt} \begin{bmatrix} C_l & 0 \\ 0 & C_l \end{bmatrix} \begin{bmatrix} v_{Cl} \\ v_{Cl} \end{bmatrix} \quad (114a)$$

și

$$\begin{bmatrix} v_{Ll} \\ v_{Ll} \end{bmatrix} = \frac{d}{dt} \begin{bmatrix} L_{ll} & L_{ll} \\ L_{ll} & L_{ll} \end{bmatrix} \begin{bmatrix} i_{Ll} \\ i_{Ll} \end{bmatrix}. \quad (114b)$$

În aceste expresii C_l și C_l sînt matricele ramurilor și coardelor de capacități; ambele sînt diagonale. Deoarece pot exista inductanțe mutuale, pot apare cuplaje între ramuri și coarde de inductanțe tot așa de bine ca și între ramurile de inductanțe și între coardele de inductanțe. Nu este necesar deci ca matricele de inductanțe să fie diagonale. (L_{ll} și L_{ll} nu sînt chiar patrate), dar L_{ll} și L_{ll} sînt simetrice și $L_{ll} = L'_{ll}$. Menționăm că menținînd matricele de capacități și inductanțe sub semnul derivatei, aceste expresii se aplică tot așa de bine rețelelor variabile în timp.

Variabilele care pot interesa sînt v_{Cl} și i_{Ll} ; toate celelalte trebuie eliminate. Pentru capacități, aceasta înseamnă eliminarea lui i_{Cl} , v_{Cl} și

i_{cl} . Să începem această operațiune prin scrierea lui (113b) după cum urmează :

$$\begin{aligned} i_{cl} + Q_{cc}i_{cl} &= [U \quad Q_{cc}] \begin{bmatrix} i_{cl} \\ i_{cl} \end{bmatrix} \\ &= -Q_{CR}i_{Rl} - Q_{CL}i_{Ll} - Q_{CJ}i_J \end{aligned} \quad (115)$$

În partea stângă, introducem relația $v - i$ pentru capacități din (114). Aceasta devine :

$$\begin{aligned} [U \quad Q_{cc}] \begin{bmatrix} i_{cl} \\ i_{cl} \end{bmatrix} &= [U \quad Q_{cc}] \frac{d}{dt} \begin{bmatrix} C_l & 0 \\ 0 & C_l \end{bmatrix} \begin{bmatrix} v_{cl} \\ v_{cl} \end{bmatrix} \\ &= \frac{d}{dt} [U \quad Q_{cc}] \begin{bmatrix} C_l & 0 \\ 0 & C_l \end{bmatrix} \begin{bmatrix} v_{cl} \\ Q'_{CC}v_{cl} + Q'_{EC}v_E \end{bmatrix} \\ &= \frac{d}{dt} [U \quad Q_{cc}] \begin{bmatrix} C_l & 0 \\ 0 & C_l \end{bmatrix} \begin{bmatrix} U \\ Q'_{CC} \end{bmatrix} v_{cl} \\ &\quad + \frac{d}{dt} [U \quad Q_{cc}] \begin{bmatrix} C_l & 0 \\ 0 & C_l \end{bmatrix} \begin{bmatrix} 0 \\ Q'_{EC} \end{bmatrix} v_E. \end{aligned} \quad (116)$$

Următoarele etape rezultă din substituirea lui v_{cl} din (113e). Pentru simplificarea definim :

$$\mathcal{C} = [U \quad Q_{cc}] \begin{bmatrix} C_l & 0 \\ 0 & C_l \end{bmatrix} \begin{bmatrix} U \\ Q'_{CC} \end{bmatrix} = C_l + Q_{cc}C_lQ'_{CC}, \quad (117)$$

care este egală cu C_l dacă nu există contururi de capacități, și

$$\hat{\mathcal{C}} = -[U \quad Q_{cc}] \begin{bmatrix} C_l & 0 \\ 0 & C_l \end{bmatrix} \begin{bmatrix} 0 \\ Q'_{EC} \end{bmatrix} = -Q_{cc}C_lQ'_{EC}, \quad (118)$$

care este matricea zero cînd nu există contururi care să conțină numai capacități și surse de tensiune independente. Prin introducerea ultimelor două ecuații în (115), obținem :

$$\frac{d}{dt} (\mathcal{C}v_{cl}) = -Q_{CR}i_{Rl} - Q_{CL}i_{Ll} - Q_{CJ}i_J + \frac{d}{dt} (\hat{\mathcal{C}}v_E). \quad (119)$$

Mai există încă o variabilă nedorită aici, i_{Rl} , dar înainte de a discuta eliminarea ei, să ajungem la un rezultat similar pentru inductanțe.

Începem această operațiune prin scrierea lui (113g) astfel :

$$\mathbf{v}_{Li} - \mathbf{Q}'_{LL}\mathbf{v}_{Li} = [\mathbf{U} - \mathbf{Q}'_{LL}] \begin{bmatrix} \mathbf{v}_{Li} \\ \mathbf{v}_{Li} \end{bmatrix} = \mathbf{Q}'_{EL}\mathbf{v}_E + \mathbf{Q}'_{CL}\mathbf{v}_{Ci} + \mathbf{Q}'_{RL}\mathbf{v}_{Ri}. \quad (120)$$

În această relație vom introduce de asemenea relațiile $v - i$ din (114). Partea stîngă a acestei relații devine :

$$\begin{aligned} [\mathbf{U} - \mathbf{Q}'_{LL}] \begin{bmatrix} \mathbf{v}_{Li} \\ \mathbf{v}_{Li} \end{bmatrix} &= [\mathbf{U} - \mathbf{Q}'_{LL}] \frac{d}{dt} \begin{bmatrix} \mathbf{L}_{ii} & \mathbf{L}_{ii} \\ \mathbf{L}_{ii} & \mathbf{L}_{ii} \end{bmatrix} \begin{bmatrix} \mathbf{i}_{Li} \\ \mathbf{i}_{Li} \end{bmatrix} \\ &= \frac{d}{dt} \left[[\mathbf{U} - \mathbf{Q}'_{LL}] \begin{bmatrix} \mathbf{L}_{ii} & \mathbf{L}_{ii} \\ \mathbf{L}_{ii} & \mathbf{L}_{ii} \end{bmatrix} \begin{bmatrix} \mathbf{i}_{Li} \\ -\mathbf{Q}_{LL}\mathbf{i}_{Li} - \mathbf{Q}_{LJ}\mathbf{i}_J \end{bmatrix} \right] \\ &= \frac{d}{dt} [\mathbf{U} - \mathbf{Q}'_{LL}] \begin{bmatrix} \mathbf{L}_{ii} & \mathbf{L}_{ii} \\ \mathbf{L}_{ii} & \mathbf{L}_{ii} \end{bmatrix} \begin{bmatrix} \mathbf{U} \\ -\mathbf{Q}_{LL} \end{bmatrix} \mathbf{i}_{Li} \\ &\quad + \frac{d}{dt} [\mathbf{U} - \mathbf{Q}'_{LL}] \begin{bmatrix} \mathbf{L}_{ii} & \mathbf{L}_{ii} \\ \mathbf{L}_{ii} & \mathbf{L}_{ii} \end{bmatrix} \begin{bmatrix} \mathbf{0} \\ -\mathbf{Q}_{LJ} \end{bmatrix} \mathbf{i}_J. \end{aligned} \quad (121)$$

Următoarea etapă constă în înlocuirea lui \mathbf{i}_{Li} din (113). Pentru simplificare, definim :

$$\begin{aligned} \mathcal{L} &= [\mathbf{U} - \mathbf{Q}'_{LL}] \begin{bmatrix} \mathbf{L}_{ii} & \mathbf{L}_{ii} \\ \mathbf{L}_{ii} & \mathbf{L}_{ii} \end{bmatrix} \begin{bmatrix} \mathbf{U} \\ -\mathbf{Q}_{LL} \end{bmatrix} \\ &= \mathbf{L}_{ii} - \mathbf{L}_{ii} \mathbf{Q}_{LL} - \mathbf{Q}'_{LL}\mathbf{L}_{ii} + \mathbf{Q}'_{LL}\mathbf{L}_{ii}\mathbf{Q}_{LL}, \end{aligned} \quad (122)$$

care este egală cu \mathbf{L}_{ii} atunci cînd nu există secțiuni de inductanțe, și

$$\begin{aligned} \hat{\mathcal{L}} &= -[\mathbf{U} - \mathbf{Q}'_{LL}] \begin{bmatrix} \mathbf{L}_{ii} & \mathbf{L}_{ii} \\ \mathbf{L}_{ii} & \mathbf{L}_{ii} \end{bmatrix} \begin{bmatrix} \mathbf{0} \\ -\mathbf{Q}_{LJ} \end{bmatrix} = -\mathbf{Q}'_{LL}\mathbf{L}_{ii}\mathbf{Q}_{LJ} + \mathbf{L}_{ii}\mathbf{Q}_{LJ}, \\ &= (\mathbf{L}_{ii} - \mathbf{Q}'_{LL}\mathbf{L}_{ii})\mathbf{Q}_{LJ} \end{aligned} \quad (123)$$

care este matricea zero, dacă nu există secțiuni care să conțină numai inductanțe și surse de curent independente. Introducînd ultimele două ecuații în (120), se obține :

$$\frac{d}{dt} (\mathcal{L}\mathbf{i}_{Li}) = \mathbf{Q}'_{CL}\mathbf{v}_{Ci} + \mathbf{Q}'_{RL}\mathbf{v}_{Ri} + \mathbf{Q}'_{EL}\mathbf{v}_E + \frac{d}{dt} (\hat{\mathcal{L}}\mathbf{i}_J). \quad (124)$$

Aceasta este duala lui (119). Ea conține de asemeni variabila nedorită v_{Rl} , tot așa cum (119) conține pe i_{Rl} .

Pentru a continua procesul de eliminare va fi necesar să exprimăm relațiile $v - i$ ale laturilor rezistive în termenii acestor două variabile i_{Rl} și v_{Rl} (curenții coardelor de rezistențe și tensiunile ramurilor de rezistențe). Vom presupune că relațiile $v - i$ pe laturile de rezistențe pot fi scrise astfel :

$$i_R = G_{ll}v_{Rl} + G_{ll}i_{Rl}, \quad (125a)$$

$$v_{Rl} = G_{ll}v_{Rl} + G_{ll}i_{Rl} \quad (125b)$$

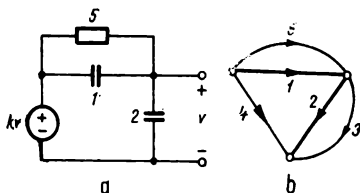


Fig. 4.7. Exemplu numeric.

Aceasta este una din formele parametrilor hibrizi ¹⁾. Ea este diferită de aceea din capitolul 2 pentru ecuațiile de variabile mixte. Pentru rețelele RLC , matricele G_{ll} și G_{ll} vor fi diagonale, și G_{ll} și G_{ll} vor fi matrici zero. Mai general, nu este necesar ca vreuna din matrici să fie diagonală, ci pot fi toate diferite de zero. Aceasta nu ne asigură că pentru o rețea dată, există ecuații de forma (125); dacă ele nu există, metoda dezvoltată aici nu este aplicabilă. Aceasta nu înseamnă că nu există ecuații de stare, ci doar că această metodă nu este bună în acest caz.

Ca un exemplu simplu, să considerăm rețeaua din fig. 4.7. Arborele normal include numai două din capacități. Laturile de rezistențe ale grafului sînt toate coarde, iar relațiile lor $v - i$ au forma

$$i_3 = 0,$$

$$v_4 = kv_3 = kv_2,$$

$$i_5 = C_5v_5.$$

¹⁾ Putem folosi relațiile $v - i$, pe laturile de rezistențe și într-o altă formă decît a parametrilor hibrizi (aceia a parametrilor y , a parametrilor z , sau a parametrilor $ABCD$). Lăsăm aceste alte posibilități de reprezentare a relațiilor $v - i$ pe laturile rezistive, ca un exercițiu pentru dumneavoastră.

Ecuatia a doua ne împiedică să scriem o ecuație de forma lui (125). Aceasta din cauza sursei de tensiune comandată de tensiunea pe o capacitate, care introduce o restricție algebrică suplimentară între tensiunile pe capacități, reducând în felul acesta ordinul de complexitate. Aceasta înseamnă că arborele normal trebuie să conțină numai o singură capacitate. Putem scrie ecuația de stare pentru această rețea, cu un efort foarte mic, demonstrând că :

$$\frac{dv_2}{dt} = - \frac{G_5}{C_1 + C_2/(1 - k)} v_2.$$

Întorcându-ne acum la problema eliminării lui i_{Rl} și v_{Rl} din (119) și (124), putem folosi pentru aceasta, relațiile $v - i$ din (125) și relațiile topologice din (113e) și (113f).

După ce ultimele două sînt substituite în primele două și termenii rearanjați, rezultatul va fi :

$$\begin{aligned} (U + G_{ll} Q_{RR}) i_{Rl} - G_{ll} Q'_{RR} v_{Rl} = \\ = G_{ll} Q'_{CR} v_{Cl} - G_{ll} Q_{RL} i_{Ll} + G_{ll} Q'_{ER} v_E - G_{ll} Q_{RJ} i_J, \end{aligned} \quad (126a)$$

$$\begin{aligned} G_{ll} Q_{RR} i_{Rl} + (U - G_{ll} Q'_{RR}) v_{Rl} = \\ = G_{ll} Q'_{CR} v_{Cl} - G_{ll} Q_{RL} i_{Ll} + G_{ll} Q'_{ER} v_E - G_{ll} Q_{RJ} i_J. \end{aligned} \quad (126b)$$

Acestea sînt o pereche de ecuații algebrice vectoriale de două variabile i_{Rl} și v_{Rl} . Ele vor avea o soluție dacă următoarele matrice au inverse :

$$(U + G_{ll} Q_{RR}) \quad (127a)$$

și

$$\mathcal{X}_1 = (U - G_{ll} Q'_{RR}) + G_{ll} Q_{RR} (U + G_{ll} Q_{RR})^{-1} G_{ll} Q'_{RR} \quad (127b)$$

sau

$$(U - G_{ll} Q'_{RR}) \quad (128a)$$

și

$$\mathcal{X}_2 = (U + G_{ll} Q_{RR}) + G_{ll} Q'_{RR} (U - G_{ll} Q'_{RR})^{-1} G_{ll} Q_{RR}. \quad (128b)$$

Rămîne ca un exercițiu pentru dumneavoastră să verificați aceasta.

Dacă aceste inverse nu există, nu putem aplica această metodă. Presupunem că ele există, și că (126) poate fi rezolvat pentru i_{Rl} și v_{Rl} .

După ce substituim soluțiile în ecuațiile pentru derivatele lui $\mathcal{C}v_{ci}$ și $\mathcal{L}i_{Li}$ în (119) și (124), expresiile care rezultă sînt extrem de complicate și neinteresante.

Este clar, totuși, că există termeni care implică variabilele de stare v_{ci} și i_{Li} , sursele v_E și i_J și derivatele lor. Nu vom intra în detalii, ci vom indica forma finală.

$$\frac{d}{dt} (\mathcal{C} v_{ci}) = [- \mathcal{Y} \mathcal{H}] \begin{bmatrix} v_{ci} \\ i_{Li} \end{bmatrix} + [- \hat{\mathcal{Y}} \hat{\mathcal{H}}] \begin{bmatrix} v_E \\ i_J \end{bmatrix} + \frac{d}{dt} [\hat{\mathcal{C}} \mathbf{0}] \begin{bmatrix} v_E \\ i_J \end{bmatrix}, \quad (129a)$$

$$\frac{d}{dt} (\mathcal{L} i_{Li}) = [\mathcal{G} - \mathcal{X}] \begin{bmatrix} v_{ci} \\ i_{Li} \end{bmatrix} + [\hat{\mathcal{G}} - \hat{\mathcal{X}}] \begin{bmatrix} v_E \\ i_J \end{bmatrix} + \frac{d}{dt} [\mathbf{0} \hat{\mathcal{L}}] \begin{bmatrix} v_E \\ i_J \end{bmatrix} \quad (129b)$$

Simbolurile folosite pentru matrice au fost alese ținînd seama de dimensiuni. Astfel \mathcal{Y} și $\hat{\mathcal{Y}}$ exprimă raportul între un vector de curent și un vector de tensiune; astfel are dimensiuni de admitanță. \mathcal{H} și \mathcal{G} sînt fără dimensiuni; ele corespund matricelor hibride h și matricelor hibride g . În această formă, ecuațiile se aplică la fel de bine rețelelor variabile în timp ca și la rețelele invariabile în timp. De asemenea, ele pot fi generalizate simplu pentru rețelele neliniare. Menționăm că pentru a ajunge la aceste ecuații, am folosit toate relațiile $v - i$ și toate relațiile topologice (Kirchhoff) din (113) cu excepția primei și ultimei ecuații, referitoare la curenții surselor de tensiune și tensiunile surselor de curent. Acestea două vor fi folosite pentru determinarea variabilelor de ieșire, presupunînd că toate elementele i_{Lj} și v_{Jj} sînt variabile de ieșire.]

De fapt, vom stabili că, odată ce ecuația de stare și soluția ei sînt accesibile, toate celelalte variabile pot fi exprimate în termenii variabilelor de stare v_{ci} și i_{Li} , variabilelor v_E și i_J ale surselor, și derivatelor ultimelor, ca în (109). Verificarea acestei afirmații poate fi făcută analizînd ecuațiile obținute anterior. Lăsăm această verificare ca un exercițiu pentru dumneavoastră.

Avînd în vedere (129) și modul în care oricare din variabilele de ieșire este exprimată în termenii variabilelor de stare, rămîne de clarificat o problemă și anume că derivatele tensiunilor surselor vor apare numai atunci cînd există un contur de capacități — și chiar numai atunci cînd acest contur include o sursă de tensiune, ceea ce face pe $\hat{\mathcal{C}} = - Q_{cc} C_i Q_{EO}$ diferită de zero. În mod similar, derivatele curenților surselor vor apare numai atunci cînd există o secțiune de inductanțe — și numai cînd această secțiune include o sursă de curent, ceea ce face ca $\hat{\mathcal{L}} = - Q_{LL} L_{ii} Q_{LJ} + - L_{Li} Q_{LJ}$ să fie diferită de zero. Numai în aceste cazuri, derivatele variabilelor asociate surselor pot apare în ecuația de stare.

Rețele invariabile în timp

Să ne limităm acum la rețele invariabile în timp. În acest caz, (129) poate fi rescris în forma :

$$\begin{aligned} \begin{bmatrix} \mathcal{C} & \mathbf{0} \\ \mathbf{0} & \mathcal{L} \end{bmatrix} \frac{d}{dt} \begin{bmatrix} \mathbf{v}_{Cl} \\ \mathbf{i}_{Ll} \end{bmatrix} = \begin{bmatrix} -\mathcal{Y} & \mathcal{K} \\ \mathcal{G} & -\mathcal{Z} \end{bmatrix} \begin{bmatrix} \mathbf{v}_{Cl} \\ \mathbf{i}_{Ll} \end{bmatrix} + \\ + \begin{bmatrix} -\hat{\mathcal{Y}} & \hat{\mathcal{K}} \\ \hat{\mathcal{G}} & -\hat{\mathcal{Z}} \end{bmatrix} \begin{bmatrix} \mathbf{v}_E \\ \mathbf{i}_J \end{bmatrix} + \begin{bmatrix} \mathcal{C} & \mathbf{0} \\ \mathbf{0} & \hat{\mathcal{L}} \end{bmatrix} \frac{d}{dt} \begin{bmatrix} \mathbf{v}_E \\ \mathbf{i}_J \end{bmatrix}. \quad (130) \end{aligned}$$

În final, presupunînd că \mathcal{C} și \mathcal{L} sînt matrice nesarabile, obținem :

$$\frac{d\mathbf{x}}{dt} = \mathcal{A}\mathbf{x} + \mathcal{B}_1\mathbf{e} + \mathcal{B}_2\frac{d\mathbf{e}}{dt}, \quad (131)$$

unde

$$\mathbf{x} = \begin{bmatrix} \mathbf{v}_{Cl} \\ \mathbf{i}_{Ll} \end{bmatrix}, \quad \mathbf{e} = \begin{bmatrix} \mathbf{v}_E \\ \mathbf{i}_J \end{bmatrix},$$

$$\mathcal{A} = \begin{bmatrix} \mathcal{C}^{-1} & \mathbf{0} \\ \mathbf{0} & \mathcal{L}^{-1} \end{bmatrix} \begin{bmatrix} -\mathcal{Y} & \mathcal{K} \\ \mathcal{G} & -\mathcal{Z} \end{bmatrix}, \quad (132)$$

$$\mathcal{B}_1 = \begin{bmatrix} \mathcal{C}^{-1} & \mathbf{0} \\ \mathbf{0} & \mathcal{L}^{-1} \end{bmatrix} \begin{bmatrix} -\hat{\mathcal{Y}} & \hat{\mathcal{K}} \\ \hat{\mathcal{G}} & -\hat{\mathcal{Z}} \end{bmatrix}, \quad (133)$$

$$\mathcal{B}_2 = \begin{bmatrix} \mathcal{C}^{-1} & \mathbf{0} \\ \mathbf{0} & \mathcal{L}^{-1} \end{bmatrix} \begin{bmatrix} \hat{\mathcal{C}} & \mathbf{0} \\ \mathbf{0} & \hat{\mathcal{L}} \end{bmatrix}. \quad (134)$$

Acesta este rezultatul dorit. Ceea ce s-a făcut aici, are ca scop să prezinte o metodă de a ajunge la o ecuație diferențială vectorială de ordinul întâi, pentru o rețea dată, în forma din (131). Totuși, nu am obținut formule pentru matricele \mathcal{A} , \mathcal{B}_1 și \mathcal{B}_2 în termenii matricelor parametrilor de laturi și submatricelor \mathbf{Q}_i , deoarece aceste formule ar fi extrem de complicate și imposibil de utilizat. Rezultatul depinde foarte mult de existența inversei matricelor (127) și (128) și matricelor \mathcal{C} și \mathcal{L} . Din nefericire, nu se cunosc niște condiții necesare și suficiente, simple, care să ne spună cînd există aceste inverse și cînd se poate aplica acest procedeu.

Rețele RLC

Există totuși o clasă de rețele — rețelele *RLC* invariabile în timp pentru care metoda dată mai sus este totdeauna aplicabilă. Este util să terminăm dezvoltarea pentru această clasă, deoarece rezultatele pot fi scrise explicit și sint de o generalitate mai mare.

Prima simplificare apare în relațiile $v - i$ ale laturilor de rezistențe din (125). Nu vor exista termeni de cuplare în matricele parametrilor. Deci G_{ii} și G_{ii} sint ambele matrici nule, iar matricele G_{ii} și G_{ii} sint diagonale, deci nesingulare. Să notăm din nou aceste matrice în concordanță cu dimensiunile elementelor lor; G_{ii} este dimensional conductanță, și G_{ii} este rezistență. Notăm :

$$G_{ii} = G_i = R_i^{-1}$$

$$G_{ii} = R_i = G_i^{-1}$$

din care :

$$i_{Ri} = G_i v_{Ri}, \quad (135a)$$

$$v_{Ri} = R_i i_{Ri}. \quad (135b)$$

Ecuatiile (126) se reduc la :

$$i_{Ri} - G_i Q'_{RR} v_{Ri} = G_i Q'_{CR} v_{Ci} + G_i Q'_{EB} v_{Ei}, \quad (136a)$$

$$R_i Q_{RR} i_{Ri} + v_{Ri} = - R_i Q_{RL} i_{Li} - R_i Q_{RJ} i_{Ji}. \quad (136b)$$

Condițiile de existență a unei soluții se reduce la existența inversei \mathcal{X}_1 și \mathcal{X}_2 , care devin :

$$\mathcal{X}_1 = U + R_i Q_{RR} G_i Q'_{RR}, \quad (137a)$$

$$\mathcal{X}_2 = U + G_i Q'_{RR} R_i Q_{RR}. \quad (137b)$$

Definim :

$$G = G_i + Q_{RR} G_i Q'_{RR}, \quad (138a)$$

$$R = R_i + Q'_{RR} R_i Q_{RR}, \quad (138b)$$

astfel încît $\mathcal{X}_1 = R, G$ și $\mathcal{X}_2 = G, R$. Rezultă că \mathcal{X}_1 și \mathcal{X}_2 vor fi nesingulare dacă G și R sint nesingulare. Este ușor de arătat că R și G pot fi inter-

pretate ca matricele parametrilor contururilor și nodurilor și sînt în consecință nesingulare. Acceptînd acest fapt aici, tragem concluzia că totdeauna există o soluție pentru (136). Rezolvăm acum această ecuație pentru i_{Li} și v_{Ri} și înlocuim în (119) și (124). Detaliile procedurii sînt neinteresante și nu vor fi date aici. Rezultatul va fi

$$\frac{d}{dt} \begin{bmatrix} \mathcal{G} & \mathbf{0} \\ \mathbf{0} & \mathcal{L} \end{bmatrix} \begin{bmatrix} v_{Ci} \\ i_{Li} \end{bmatrix} = \begin{bmatrix} -\mathcal{Y} & \mathcal{H} \\ \mathcal{G} & -\mathcal{Z} \end{bmatrix} \begin{bmatrix} v_{Ci} \\ i_{Li} \end{bmatrix} \quad (139)$$

$$+ \begin{bmatrix} -\hat{\mathcal{Y}} & \hat{\mathcal{H}} \\ \hat{\mathcal{G}} & -\hat{\mathcal{Z}} \end{bmatrix} \begin{bmatrix} v_E \\ i_J \end{bmatrix} + \frac{d}{dt} \begin{bmatrix} \hat{\mathcal{G}} & \mathbf{0} \\ \mathbf{0} & \hat{\mathcal{L}} \end{bmatrix} \begin{bmatrix} v_E \\ i_J \end{bmatrix},$$

unde :

$$\mathcal{Y} = Q_{CR} R^{-1} Q'_{CR}, \quad \mathcal{H} = -Q_{CL} + Q_{CR} R^{-1} Q'_{RR} R_i Q_{RL}, \quad (140)$$

$$\mathcal{Z} = Q'_{RL} G^{-1} Q_{RL}, \quad \mathcal{G} = Q'_{CL} - Q'_{RL} G^{-1} Q_{RR} G_i Q'_{CR} = -\mathcal{H}'$$

și

$$\hat{\mathcal{Y}} = Q_{CR} R^{-1} Q_{ER}, \quad \hat{\mathcal{H}} = -Q_{CJ} + Q_{CR} R^{-1} Q'_{RR} R_i Q_{RJ}, \quad (141)$$

$$\hat{\mathcal{Z}} = Q'_{RL} G^{-1} Q_{RJ}, \quad \hat{\mathcal{G}} = Q'_{EL} - Q'_{RL} G^{-1} Q_{RR} G_i Q'_{ER}.$$

Menționăm că matricea \mathcal{G} în cazul rețelelor reciproce este transpusa negativă a lui \mathcal{H} , rezultat la care ne-am fi așteptat. Forma lui (139) este aceeași cu aceea a lui (129) pentru rețeaua generală. Diferența constă în faptul că în cazul de față am explicitat expresiile pentru matricele coeficienților vectorilor de stare și de surse.

Acum, într-o rețea *RLC* invariantă în timp, \mathcal{G} și \mathcal{L} vor fi matrice diagonale invariante în timp. Deci, inversele lor există și (139) poate fi rescris în forma dorită.

$$\frac{d}{dt} \begin{bmatrix} v_{Ci} \\ i_{Li} \end{bmatrix} = \mathcal{A} \begin{bmatrix} v_{Ci} \\ i_{Li} \end{bmatrix} + \mathcal{B}_1 \begin{bmatrix} v_E \\ i_J \end{bmatrix} + \mathcal{B}_2 \frac{d}{dt} \begin{bmatrix} v_E \\ i_J \end{bmatrix}, \quad (142)$$

unde \mathcal{A} , \mathcal{B}_1 și \mathcal{B}_2 sînt cele indicate în (132), (133) și (134).

Simplitatea aparentă a acestei ecuații finale maschează operații matriciale laborioase care trebuiesc efectuate asupra matricelor \mathcal{A} , \mathcal{B}_1 și \mathcal{B}_2 . Pentru comoditatea referirii, rezultatele importante sînt concentrate în tabelul 4.2.

Tabelul 4.2

Relații topologice	<div> coarde \rightarrow C R L J ramuri \downarrow </div> $Q = [U \ Q_i] \quad Q_i = \begin{bmatrix} E & Q_{EC} & Q_{ER} & Q_{EL} & Q_{EJ} \\ C & Q_{CC} & Q_{CR} & Q_{CL} & Q_{CJ} \\ R & 0 & Q_{RR} & Q_{RL} & Q_{RJ} \\ L & 0 & 0 & Q_{LL} & Q_{LJ} \end{bmatrix}$				
Relații tensiune curent	$\begin{bmatrix} i_{Ci} \\ i_{Ci} \end{bmatrix} = \frac{d}{dt} \begin{bmatrix} C_i & 0 \\ 0 & C_i \end{bmatrix} \begin{bmatrix} v_{Ci} \\ v_{Ci} \end{bmatrix}$ $\begin{bmatrix} v_{Li} \\ v_{Li} \end{bmatrix} = \frac{d}{dt} \begin{bmatrix} L_{ii} & 0 \\ 0 & L_{ii} \end{bmatrix} \begin{bmatrix} i_{Li} \\ i_{Li} \end{bmatrix}$ $\begin{bmatrix} i_{Ri} \\ v_{Ri} \end{bmatrix} = \begin{bmatrix} G_i & 0 \\ 0 & R_i \end{bmatrix} \begin{bmatrix} v_{Ri} \\ i_{Ri} \end{bmatrix}$				
Matrice de parametrii	$\mathcal{C} = C_i + Q_{CC} C_i Q_{CC}' \qquad \hat{\mathcal{C}} = -Q_{CC} C_i Q_{EC}'$ $\mathcal{L} = L_{ii} + Q_{LL}' L_{ii} Q_{LL} \qquad R = R_i = Q_{RR}' R_i Q_{RR}$ $\hat{\mathcal{L}} = -Q_{LL}' L_{ii} Q_{LJ} \qquad G = G_i + Q_{RR} G_i Q_{RR}'$				
Matricele multiportului rezistiv	$\mathcal{Y} = Q_{CR} R^{-1} Q_{CR}', \qquad \mathcal{X} = -Q_{CL} + Q_{CR} R^{-1} Q_{RR}' R_i Q_{RL}$ $\mathcal{Z} = Q_{RL} G^{-1} Q_{RL}', \qquad \mathcal{G} = Q_{CL}' - Q_{RL} G^{-1} Q_{RR} G_i Q_{CR}' = -\mathcal{X}'$ $\hat{\mathcal{Y}} = Q_{CR} R^{-1} Q_{ER}', \qquad \hat{\mathcal{X}} = -Q_{CJ} + Q_{CR} R^{-1} Q_{RR}' R_i Q_{RJ}$ $\hat{\mathcal{Z}} = Q_{RL} G^{-1} Q_{RJ}', \qquad \hat{\mathcal{G}} = Q_{EL}' - Q_{RL} G^{-1} Q_{RR} G_i Q_{ER}'$				
Formația de stare $\frac{dx}{dt} = Ax + a_0 e + \frac{de}{dt} + a_2 \frac{de}{dt}$	$x = \begin{bmatrix} v_{Ci} \\ i_{Li} \end{bmatrix}, \quad u = \begin{bmatrix} v_{Ri} \\ i_{Ji} \end{bmatrix}, \quad \mathcal{B}_2 = \begin{bmatrix} \mathcal{C}^{-1} & 0 \\ 0 & \mathcal{L}^{-1} \end{bmatrix} \begin{bmatrix} \hat{\mathcal{C}} & 0 \\ 0 & \hat{\mathcal{L}} \end{bmatrix}$ $\mathcal{A} = \begin{bmatrix} \mathcal{C}^{-1} & 0 \\ 0 & \mathcal{L}^{-1} \end{bmatrix} \begin{bmatrix} -\mathcal{Y} & \mathcal{X} \\ \mathcal{G} & -\mathcal{Z} \end{bmatrix} \quad \mathcal{B}_1 = \begin{bmatrix} \mathcal{C}^{-1} & 0 \\ 0 & \mathcal{L}^{-1} \end{bmatrix} \begin{bmatrix} -\hat{\mathcal{Y}} & \hat{\mathcal{X}} \\ \hat{\mathcal{G}} & -\hat{\mathcal{Z}} \end{bmatrix}$				

Matrice de parametrii pentru rezistențe RCL

Cu ocazia diverselor etape de calcul efectuate în scopul obținerii ecuației finale au fost introduse un număr de matrice ca \mathcal{C} , \mathbf{R} și \mathcal{L} . Pentru simplificarea notației se pot da interpretări relativ simple acestor matrice, interpretări pe care le vom schița acum.

Să considerăm pentru început matricele de parametrii \mathbf{R} , \mathbf{G} , \mathcal{C} , \mathcal{L} . Deși aici ne preocupă ecuațiile de stare, temporar ne vom îndrepta atenția asupra matricei impedanțelor în gol $\mathbf{Z}_m = \mathbf{B}\mathbf{Z}\mathbf{B}'$, unde \mathbf{Z} este matricea impedanțelor laturilor obținută după ce am îndepărtat sursele, înlocuind sursele de tensiune v prin scurtcircuite și sursele de curent i prin circuite în gol. Să rearanjăm liniile și coloanele lui \mathbf{Z} în următoarea ordine: ramuri de C , R și L ; apoi coarde de L , R și C . Matricea impedanțelor laturilor poate fi scrisă după cum urmează:

$$\mathbf{Z} = \begin{bmatrix} \frac{1}{s} C_i^{-1} & & & & & \\ & \mathbf{R}_i & & & & \\ & & s\mathbf{L}_u & & & \\ & & & \mathbf{R}_i & & \\ & & & & s\mathbf{L}_u & \\ & & & & & \frac{1}{s} C_i^{-1} \end{bmatrix}.$$

În continuare descompunem pe \mathbf{B} în forma obișnuită $[\mathbf{B}_i, \mathbf{B}_c]$. Apoi descompunem pe $\mathbf{B}_i = (-\mathbf{Q}'_i)$ în concordanță cu descompunerea lui \mathbf{Q}_i din (112) ținând seama că acum liniile și coloanele corespunzătoare surselor lipsesc. Acum, din cauza ordinei în care sint aranjate elementele în \mathbf{Z} , $\mathbf{B}_i = \mathbf{U}$ dar obținem o rearanjare a coloanelor lui \mathbf{U} . Astfel, descompunerea lui \mathbf{B} devine:

	coarde		ramuri		coarde		
	C		R	L	L	R	C
$\mathbf{B} =$	C	R	L	$\begin{bmatrix} -\mathbf{Q}'_{CC} & \mathbf{0} & \mathbf{0} & \mathbf{0} & \mathbf{0} & \mathbf{U} \\ -\mathbf{Q}'_{CR} & -\mathbf{Q}'_{RR} & \mathbf{0} & \mathbf{0} & \mathbf{U} & \mathbf{0} \\ -\mathbf{Q}'_{CL} & -\mathbf{Q}'_{RL} & \mathbf{Q}'_{LL} & \mathbf{U} & \mathbf{0} & \mathbf{0} \end{bmatrix}.$			

Este formată acum matricea impedanțelor buclelor. Aceasta va fi o expresie foarte complicată. Detaliile vor fi lăsate ca exercițiu pentru dumneavoastră. Folosind matricea impedanțelor buclelor putem scrie matricea parametrilor buclelor (rezistențe și inductanțe). Când acest lucru este făcut constatăm că:

1. $R = R_l + Q_{RR} R_l Q$ este o submatrice a matricei buclelor de rezistențe pentru contururile f definite de coardele de rezistență pentru un arbore normal, cu toate sursele îndepărtate.

2. $\mathcal{L} = L_n + Q'_{LL} L_n Q_{LL}$ este o submatrice a matricei buclelor de inductanțe pentru buclele f definite de coardele de inductanțe pentru un arbore normal, cu toate sursele îndepărtate.

Într-un mod analog, prin formarea matricei admitanțelor perechilor de noduri QYQ' și printr-o partitionare ca mai sus se va găsi:

1. $\mathcal{C} = C_l + Q_{CC} C_l Q'_{CC}$ este o submatrice a matricei secțiunilor de capacități pentru secțiunile f definite de ramurile capacităților pentru un arbore normal, cu toate sursele îndepărtate.

2. $G = G_l + Q_{RR} G_l Q'_{RR}$ este o submatrice a matricei secțiunilor de conductanțe pentru secțiunile f definite de ramurile de conductanțe dintr-un arbore normal, cu toate sursele îndepărtate.

Cu aceste interpretări este posibil să evaluăm aceste matrice de parametri — evitând multiplicările de matrice implicate — numai prin inspectarea rețelei după un arbore normal.

Pentru ilustrare, considerăm exemplul din fig. 4.4. În acest exemplu, \mathcal{L} este dat direct de $[L_s]$. Pentru a găsi pe R , menționăm că coardele de rezistențe sînt laturile 6, 7, 8. Bucla f , definită de coarda 6, de exemplu, conține pe R_s și R_6 . Nu există rezistențe comune buclelor f formate de laturile 6, 7 și 8. Deci R este

$$R = \begin{bmatrix} R_s + R_6 & 0 & 0 \\ 0 & R_7 & 0 \\ 0 & 0 & R_8 \end{bmatrix}.$$

De asemenea, pentru G , există o singură secțiune f definită de o ramură de conductanțe, și anume ramura 5. Această secțiune conține pe G_s și G_5 . Deci $G = [G_s + G_5]$. În sfîrșit, pentru \mathcal{C} există două secțiuni f definite de ramuri de capacități (laturile 3 și 4) și ele nu conțin alte capacități. Deci:

$$\mathcal{C} = \begin{bmatrix} C_3 & 0 \\ 0 & C_4 \end{bmatrix}.$$

Acest exemplu este prea simplu pentru a permite o ilustrare semnificativă. Să găsim matricea \mathcal{C} pentru exemplul din fig. 4.5. Aici există de asemenea două secțiuni f definite de ramuri de capacități (laturile 3 și 4). De data aceasta, fiecare secțiune conține două capacități, și C_6 este comună ambelor secțiuni. Totuși, ramura 6 este orientată într-un sens într-o secțiune și în sens opus în cealaltă. Deci termenii care intră în diagonală matricei vor avea semnul minus. Astfel:

$$\mathcal{C} = \begin{bmatrix} C_3 + C_6 & -C_6 \\ -C_6 & C_4 + C_6 \end{bmatrix}.$$

Aceasta corespunde cu rezultatul anterior din (24).

Pentru a ilustra metoda anterioară de scriere a unei ecuații de stare vectoriale, să considerăm rețeaua din fig. 4.8.

Trebuie să găsim în primul rînd un arbore normal. Există în total 6 elemente reactive, dar există o buclă de capacități C care include o sursă de tensiune și o secțiune de inductanțe L . Deci ordinul de complexitate este 4, astfel că vor fi patru variabile de stare. Una

din capacități trebuie să fie o coardă, și una din inductanțe o ramură. Un arbore normal posibil este arătat cu linii îngroșate în fig. 8b. Ramurile sînt numerotate în concordanță cu schema: ramura sursei — v , C , R și L ; apoi coarda C , R , L și sursa — i . Pentru simplificarea, presupunem că numerele ramurilor sînt de asemenea valori numerice pentru elemente: rezistența

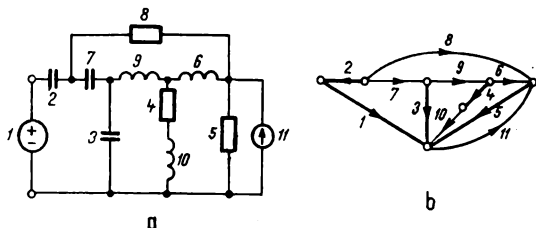


Fig. 4.8. Exemplu ilustrativ pentru ecuațiile de stare.

fiind dată în ohmi, inductanța în henry și capacitatea în farazi. Cu această alegere a arborelui normal, parametrii ramurilor sînt :

$$C_t = \begin{bmatrix} 2 & 0 \\ 0 & 3 \end{bmatrix}, \quad G_t = \begin{bmatrix} \frac{1}{4} & 0 \\ 0 & \frac{1}{5} \end{bmatrix},$$

$$C_t = [7], \quad R_t = [8],$$

$$L_u = \begin{bmatrix} 9 & 0 \\ 0 & 10 \end{bmatrix}, \quad L_u = [6].$$

Următoarea etapă este să se scrie matricea Q și să se descompună în mod adecvat :

coarde	E	C		R		L	C	R	L		J
ramuri	1	2	3	4	5	6	7	8	9	10	11
E	1	0	0	0	0	0	1	1	0	0	0
C	0	1	0	0	0	0	1	1	0	0	0
	0	0	1	0	0	0	-1	0	1	0	0
R	0	0	0	1	0	0	0	0	0	-1	0
	0	0	0	0	1	0	0	-1	-1	1	-1
L	0	0	0	0	0	1	0	0	-1	1	0

$$Q = \begin{bmatrix} 1 & 0 & 0 & 0 & 0 & 0 & 1 & 1 & 0 & 0 & 0 \\ 0 & 1 & 0 & 0 & 0 & 0 & 1 & 1 & 0 & 0 & 0 \\ 0 & 0 & 1 & 0 & 0 & 0 & -1 & 0 & 1 & 0 & 0 \\ 0 & 0 & 0 & 1 & 0 & 0 & 0 & 0 & 0 & -1 & 0 \\ 0 & 0 & 0 & 0 & 1 & 0 & 0 & -1 & -1 & 1 & -1 \\ 0 & 0 & 0 & 0 & 0 & 1 & 0 & 0 & -1 & 1 & 0 \end{bmatrix}$$

Diferitele submatrici sînt evidente din partitionare. Matricele parametrilor se calculează după cum urmează :

$$\mathcal{G} = \mathbf{G}_t + \mathbf{Q}_{CC} \mathbf{G}_i \mathbf{Q}_{CC}' = \begin{bmatrix} 2 & 0 \\ 0 & 3 \end{bmatrix} + \begin{bmatrix} 1 \\ -1 \end{bmatrix} [7] [1 \ -1] = \begin{bmatrix} 9 & -7 \\ -7 & 10 \end{bmatrix}$$

$$\mathcal{L} = \mathbf{L}_u + \mathbf{Q}_{LL}' \mathbf{L}_u \mathbf{Q}_{LL} = \begin{bmatrix} 9 & 0 \\ 0 & 10 \end{bmatrix} + \begin{bmatrix} -1 \\ 1 \end{bmatrix} [6] [-1 \ 1] = \begin{bmatrix} 15 & -6 \\ -6 & 16 \end{bmatrix},$$

$$\mathbf{R} = \mathbf{R}_t + \mathbf{Q}_{RR}' \mathbf{R}_i \mathbf{Q}_{RR} = [8] + [0 \ -1] \begin{bmatrix} 4 & 0 \\ 0 & 5 \end{bmatrix} \begin{bmatrix} 0 \\ -1 \end{bmatrix} = [13],$$

$$\mathbf{G} = \mathbf{G}_t + \mathbf{Q}_{RR} \mathbf{G}_i \mathbf{Q}_{RR}' = \begin{bmatrix} \frac{1}{4} & 0 \\ 0 & \frac{1}{5} \end{bmatrix} + \begin{bmatrix} 0 \\ -1 \end{bmatrix} [\frac{1}{8}] [0 \ -1] = \begin{bmatrix} \frac{1}{4} & 0 \\ 0 & \frac{1}{5} + \frac{1}{8} \end{bmatrix}.$$

În etapa următoare se calculează matricele \mathcal{Y} , \mathcal{X} și \mathcal{H} .

$$\mathcal{Y} = \mathbf{Q}_{CR} \mathbf{R}^{-1} \mathbf{Q}_{CR}' = \begin{bmatrix} 1 \\ 0 \end{bmatrix} [\frac{1}{13}] [1 \ 0] = \begin{bmatrix} \frac{1}{13} & 0 \\ 0 & 0 \end{bmatrix},$$

$$\mathcal{X} = \mathbf{Q}_{RL}' \mathbf{G}^{-1} \mathbf{Q}_{RL} = \begin{bmatrix} 0 & -1 \\ -1 & 1 \end{bmatrix} \begin{bmatrix} 4 & 0 \\ 0 & \frac{40}{13} \end{bmatrix} \begin{bmatrix} 0 & -1 \\ -1 & 1 \end{bmatrix} = \begin{bmatrix} -\frac{40}{13} & -\frac{40}{13} \\ -\frac{40}{13} & \frac{92}{13} \end{bmatrix}$$

$$\begin{aligned} \mathcal{H} &= -\mathbf{Q}_{CL} + \mathbf{Q}_{CR} \mathbf{R}^{-1} \mathbf{Q}_{RR}' \mathbf{R}_i \mathbf{Q}_{RL} \\ &= -\begin{bmatrix} 0 & 0 \\ 1 & 0 \end{bmatrix} + \begin{bmatrix} 1 \\ 0 \end{bmatrix} [\frac{1}{13}] [0 \ -1] \begin{bmatrix} 4 & 0 \\ 0 & 5 \end{bmatrix} \begin{bmatrix} 0 & -1 \\ -1 & 1 \end{bmatrix} = \begin{bmatrix} \frac{5}{13} & -\frac{5}{13} \\ -1 & 0 \end{bmatrix}. \end{aligned}$$

În continuare calculăm matricele $\hat{\mathcal{Y}}$, $\hat{\mathcal{X}}$, $\hat{\mathcal{H}}$ și $\hat{\mathcal{G}}$:

$$\hat{\mathcal{Y}} = \mathbf{Q}_{CR} \mathbf{R}^{-1} \mathbf{Q}_{ER}' = \begin{bmatrix} 1 \\ 0 \end{bmatrix} [\frac{1}{13}] [1] = \begin{bmatrix} \frac{1}{13} \\ 0 \end{bmatrix},$$

$$\hat{\mathcal{X}} = \mathbf{Q}_{RL}' \mathbf{G}^{-1} \mathbf{Q}_{RJ} = \begin{bmatrix} 0 & -1 \\ -1 & 1 \end{bmatrix} \begin{bmatrix} 4 & 0 \\ 0 & \frac{40}{13} \end{bmatrix} \begin{bmatrix} 0 \\ -1 \end{bmatrix} = \begin{bmatrix} -\frac{40}{13} \\ -\frac{40}{13} \end{bmatrix},$$

$$\hat{\mathcal{H}} = \mathbf{Q}_{CR} \mathbf{R}^{-1} \mathbf{Q}_{RR}' \mathbf{R}_i \mathbf{Q}_{RL} = \begin{bmatrix} 1 \\ 0 \end{bmatrix} [\frac{1}{13}] [0 \ -1] \begin{bmatrix} 4 & 0 \\ 0 & 5 \end{bmatrix} \begin{bmatrix} 0 \\ -1 \end{bmatrix} = \begin{bmatrix} \frac{5}{13} \\ 0 \end{bmatrix},$$

$$\begin{aligned} \hat{\mathcal{G}} &= -\mathbf{Q}_{BL}' \mathbf{G}^{-1} \mathbf{Q}_{RR} \mathbf{G}_i \mathbf{Q}_{ER}' \\ &= -\begin{bmatrix} 0 & -1 \\ -1 & 1 \end{bmatrix} \begin{bmatrix} 4 & 0 \\ 0 & \frac{40}{13} \end{bmatrix} \begin{bmatrix} 0 \\ -1 \end{bmatrix} [\frac{1}{8}] [1] = \begin{bmatrix} -\frac{5}{13} \\ \frac{5}{13} \end{bmatrix}. \end{aligned}$$

În sfârșit, calculăm termenii care includ derivatele surselor :

$$\hat{\mathcal{C}} = - \mathbf{Q}_{CC} \mathbf{C}_i \mathbf{Q}'_{LC} = - \begin{bmatrix} 1 \\ -1 \end{bmatrix} [7] [1] = \begin{bmatrix} -7 \\ 7 \end{bmatrix},$$

$$\hat{\mathcal{L}} = - \mathbf{Q}'_{LL} \mathbf{L}_u \mathbf{Q}_{LJ} = - \begin{bmatrix} -1 \\ 1 \end{bmatrix} [6] [0] = 0.$$

După ce toate acestea sînt introduse în (139) și ecuația rezultată este premultiplicată prin

$$\begin{bmatrix} \mathcal{C} & \mathbf{0} \\ \mathbf{0} & \mathcal{L} \end{bmatrix}^{-1} = \begin{bmatrix} \frac{10}{41} & \frac{7}{41} & 0 & 0 \\ \frac{7}{41} & \frac{9}{41} & 0 & 0 \\ 0 & 0 & \frac{16}{201} & \frac{6}{201} \\ 0 & 0 & \frac{6}{201} & \frac{15}{201} \end{bmatrix}$$

obținem :

$$\begin{aligned} \frac{d}{dt} \begin{bmatrix} v_2 \\ v_3 \\ i_9 \\ i_{10} \end{bmatrix} &= \frac{1}{533} \begin{bmatrix} -10 & 0 & -41 & -50 \\ -7 & 0 & -82 & -35 \\ -10 & -41.6 & 80 & -1.6 \\ 9 & 15.6 & -72 & 228 \end{bmatrix} \begin{bmatrix} v_2 \\ v_3 \\ i_9 \\ i_{10} \end{bmatrix} \\ &+ \frac{1}{533} \begin{bmatrix} -10 & 50 \\ -7 & 35 \\ -10 & -80 \\ 9 & 72 \end{bmatrix} \begin{bmatrix} v_g \\ i_g \end{bmatrix} + \frac{1}{41} \begin{bmatrix} -21 & 0 \\ 14 & 0 \\ 0 & 0 \\ 0 & 0 \end{bmatrix} \frac{d}{dt} \begin{bmatrix} v_g \\ i_g \end{bmatrix}. \quad (143) \end{aligned}$$

Aceasta este ecuația de stare. Observăm că nu este în formă normală. Dacă scriem

$$\begin{bmatrix} x_1 \\ x_2 \\ x_3 \\ x_4 \end{bmatrix} = \begin{bmatrix} v_2 \\ v_3 \\ i_9 \\ i_{10} \end{bmatrix} - \frac{1}{41} \begin{bmatrix} -21 & 0 \\ 14 & 0 \\ 0 & 0 \\ 0 & 0 \end{bmatrix} \begin{bmatrix} v_g \\ i_g \end{bmatrix}$$

și substituim aceasta în ecuația de stare de mai sus, obținem următoarea ecuație de stare în formă normală :

$$\frac{d}{dt} \begin{bmatrix} x_1 \\ x_2 \\ x_3 \\ x_4 \end{bmatrix} = \frac{1}{533} \begin{bmatrix} -10 & 0 & -41 & -50 \\ -7 & 0 & -82 & -35 \\ -10 & -41,6 & 80 & -1,6 \\ 9 & 15,6 & -72 & 228 \end{bmatrix} \begin{bmatrix} x_1 \\ x_2 \\ x_3 \\ x_4 \end{bmatrix} + \frac{1}{533} \begin{bmatrix} -4,9 & 50 \\ -3,4 & 35 \\ -19,1 & -80 \\ 9,7 & 72 \end{bmatrix} \begin{bmatrix} v_g \\ i_g \end{bmatrix}. \quad (144)$$

Puteți verifica acest rezultat. Noile variabile de stare x_1 și x_2 sînt combinații liniare a unei tensiuni pe capacitate și tensiunea sursei. Ele nu pot fi identificate pe diagrama rețelei ca tensiuni măsurate.

Volumul de calcule implicat este foarte mare. Să observăm însă că tipurile de operațiuni matematice care apar sînt : multiplicări și adunări de matrice. Astfel de operațiuni sînt ușor programabile pe calculator și astfel munca se reduce la scrierea unui program convenabil.

Menționăm în acest caz, că matricele parametrilor ar putea fi scrise prin inspectarea arborilor, de exemplu, \mathcal{L} este submatricea de inductanțe a buclelor f definite de coardele de inductanțe 9 și 10. Fiecare buclă conține de asemenea inductanța 6 a cărei orientare coincide cu aceea a primei bucle, dar este opusă față de aceea a celui de al doilea. Deci :

$$L = \begin{bmatrix} 6 + 9 & -6 \\ -6 & 6 + 10 \end{bmatrix}$$

care este aceeași cu cea obținută anterior. Puteți verifica, în același fel, celelalte matrice de parametrii.

Ecuația (143) conține derivata sursei de tensiune. Pentru a obține o ecuație de stare în formă normală am făcut transformarea $x \rightarrow (x - \mathcal{H}_2 e)$. Observăm că prezența derivatei tensiunii sursei este determinată de bucla de capacități care include sursa de tensiune. Sursa de curent nu este conținută în secțiunea de inductanțe, astfel că nu apare derivata curentului sursei. Deși am rezolvat complet exemplul de evaluare a tuturor matricelor definite în prealabil, introducîndu-le apoi în formele, pentru orice problemă dată am fi putut de asemenea proceda printr-o revenire de fapt la etapele derivării. Aceasta poate necesita uneori un efort mai mic decît înlocuirea în formulă. Ați putea rezolva exemplul și în acest fel și să comparați volumul de muncă.

Considerații privind sursele comandate

În scrierea ecuațiilor de stare pentru exemplul precedent, am evaluat matricele care apar în ecuațiile finale și le-am substituit în acestea. Cînd ne referim la rețele nepasive, neregiproce, acest mod de abordare nu este posibil. Va fi necesar să ne întoarcem la un punct intermediar în deducerea ecuațiilor și să continuăm etapă cu etapă de acolo. Ecuațiile de bază sînt (119), (124), (125) și (126). Etapele de parcurs și diferențele față de cazul *RLC* sînt următoarele :

1. Se scrie matricea \mathbf{Q} și se descompune — ca pentru *RLC*.
2. Se evaluează matricele \mathcal{C} și \mathcal{L} — ca pentru *RLC*.
3. Se scriu relațiile $v - i$ pentru laturile de rezistență ca în (125).
4. Se formează perechea de ecuații (126) și se rezolvă. Acesta este punctul critic. Dacă nu există soluție, ne oprim.
5. Se folosește (126) pentru a elimina pe v_{Ri} din (119) și i_{Ri} din (124).

În construirea arborelui normal trebuie să avem grijă în atribuirea laturilor de rezistență corespunzătoare elementelor multiterminale, așa cum s-a discutat în Capitolul 2. În cazul unui girator ambele laturi trebuie să fie ori ramuri, ori coarde. Pentru un transformator ideal și un convertor de negativare o latură trebuie să fie o ramură și cealaltă o coardă. În cazul surselor comandate, fiecare latură este atribuită unic fie ca o ramură, fie ca o coardă. Dacă o latură (care comandă sau este comandată) este

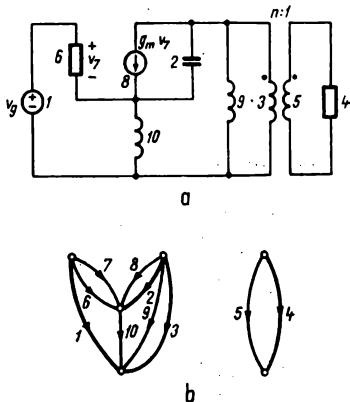


Fig. 4.9. Exemplu cu componente multiterminale.

o ramură sau o coardă, aceasta depinde de tipul variabilei care este specificată. Ecuația (125) exprimă explicit *curenții* coardelor și *tensiunile* ramurilor. Deci, dacă este specificat curentul unei laturi, ea trebuie să fie o coardă, și dacă este specificată tensiunea, ea trebuie să fie o ramură; ca exemplu, să luăm sursa de tensiune comandată în curent, cantitatea care comandă este curentul în scurtcircuit; dar pentru un scurtcircuit, tensiunea este specificată (ea este zero). Deci această latură trebuie să fie o ramură. Pentru latura comandată tensiunea este aceea care este specificată. Deci această latură trebuie să fie de asemenea o ramură.

Ca o ilustrare, considerăm rețeaua din fig. 4.9. Transformatorul este ideal. Graful rețelei este format din două părți din cauza transformatorului. Un arbore normal trebuie să conțină patru laturi, din care două sînt sursa de tensiune și capacitatea. Una din cele două laturi ale transformatorului trebuie să fie de asemenea o ramură. Ambele laturi ale sursei comandate trebuie să fie coarde, deoarece în ambele cazuri este specificat curentul. Arboreșcența normală este arătată prin latura îngroșată în fig. 4.9, b.

Se scrie mai întâi matricea Q și se descompune.

$$Q = \begin{matrix} & E & C & R & \overbrace{R}^{5 \ 6 \ 7 \ 8} & \overbrace{L}^{9 \ 10} \\ \begin{matrix} E \\ C \\ R \end{matrix} & \left[\begin{array}{cccc|cccc} 1 & 0 & 0 & 0 & 0 & 1 & 1 & 0 \\ \vdots & \vdots & \vdots & \vdots & \vdots & \vdots & \vdots & \vdots \\ 0 & 1 & 0 & 0 & 0 & 1 & 1 & 1 \\ \vdots & \vdots & \vdots & \vdots & \vdots & \vdots & \vdots & \vdots \\ 0 & 0 & 1 & 0 & 0 & -1 & -1 & 0 \\ 0 & 0 & 0 & 1 & 1 & 0 & 0 & 0 \end{array} \right] \end{matrix}$$

$$Q_{RR} = [0 \ 1 \ 1 \ 0] \quad Q_{RL} = \begin{bmatrix} 0 & -1 & -1 & 0 \\ 1 & 0 & 0 & 0 \end{bmatrix}$$

$$Q_{CR} = [0 \ 1 \ 1 \ 1] \quad Q_{CL} = \begin{bmatrix} 1 & 1 \\ 0 & 0 \end{bmatrix}$$

$$Q_{EL} = [0 \ -1] \quad Q_{ER} = [0 \ 0]$$

Relațiile $v - i$ ale transformatorului și sursei comandate sînt:

$$i_5 = -ni_3, \quad i_7 = 0,$$

$$v_3 = nv_5, \quad i_8 = g_m v_7.$$

Folosind aceste relații, relațiile $v - i$ ale laturilor rezistive, în concordanță cu (125) devin :

$$\begin{bmatrix} i_5 \\ i_6 \\ i_7 \\ i_8 \end{bmatrix} = \begin{bmatrix} 0 & 0 & 0 & 0 \\ 0 & G_6 & 0 & 0 \\ 0 & 0 & 0 & 0 \\ 0 & 0 & g_m & 0 \end{bmatrix} \begin{bmatrix} v_5 \\ v_6 \\ v_7 \\ v_8 \end{bmatrix} + \begin{bmatrix} -n & 0 \\ 0 & 0 \\ 0 & 0 \\ 0 & 0 \end{bmatrix} \begin{bmatrix} i_3 \\ i_4 \end{bmatrix}$$

$$\begin{bmatrix} v_3 \\ v_4 \end{bmatrix} = \begin{bmatrix} n & 0 & 0 & 0 \\ 0 & 0 & 0 & 0 \end{bmatrix} \begin{bmatrix} v_5 \\ v_6 \\ v_7 \\ v_8 \end{bmatrix} + \begin{bmatrix} 0 & 0 \\ 0 & R_4 \end{bmatrix} \begin{bmatrix} i_3 \\ i_4 \end{bmatrix}$$

Trebuie să introducem, acum, toate submatricele în (126). Aceste ecuații devin :

$$\begin{bmatrix} 1 & n & n & 0 \\ 0 & 1 & 0 & 0 \\ 0 & 0 & 1 & 0 \\ 0 & 0 & 0 & 1 \end{bmatrix} i_{Rl} - \begin{bmatrix} 0 & 0 \\ -G_6 & 0 \\ 0 & 0 \\ -g_m & 0 \end{bmatrix} v_{Rl} = \begin{bmatrix} 0 \\ G_6 \\ 0 \\ g_m \end{bmatrix} v_{Cl} + \begin{bmatrix} n & n \\ 0 & 0 \\ 0 & 0 \\ 0 & 0 \end{bmatrix} i_{Ll} + \begin{bmatrix} 0 \\ G_6 \\ 0 \\ g_m \end{bmatrix} v_E$$

$$\begin{bmatrix} 0 & 0 & 0 & 0 \\ R_4 & 0 & 0 & 0 \end{bmatrix} i_{Rl} + \begin{bmatrix} 1 & -n \\ 0 & 1 \end{bmatrix} \dot{i} v_{Rl} = 0.$$

Deoarece coeficientul lui v_{Rl} din a doua ecuație este nesingular, putem determina pe v_{Rl} funcție de i_{Rl} , introducem soluția în prima ecuație și obținem pe i_{Ll} , care este utilizat apoi în determinarea lui v_{Rl} . Rezultatul acestor etape este :

$$v_{Rl} = \begin{bmatrix} -n R_4 & 0 & 0 & 0 \\ -R_4 & 0 & 0 & 0 \end{bmatrix} i_{Rl}$$

$$\begin{bmatrix} 1 & n & n & 0 \\ -n R_4 G_6 & 1 & 0 & 0 \\ 0 & 0 & 1 & 0 \\ -n R_4 g_m & 0 & 0 & 1 \end{bmatrix} i_{Rl} = \begin{bmatrix} 0 \\ G_6 \\ 0 \\ g_m \end{bmatrix} v_{Cl} + \begin{bmatrix} n & n \\ 0 & 0 \\ 0 & 0 \\ 0 & 0 \end{bmatrix} i_{Ll} + \begin{bmatrix} 0 \\ G_6 \\ 0 \\ g_m \end{bmatrix} v_E.$$

Matricea din stînga este nesingulară, și determinantul său este $\Delta = 1 + n^2 R_4 G_6$. După premultiplicarea prin inversa sa, se obține :

$$i_{Rl} = \frac{1}{\Delta} \begin{bmatrix} -n G_6 \\ G_6 \\ 0 \\ g_m \end{bmatrix} v_{Cl} + \frac{1}{\Delta} \begin{bmatrix} n & n \\ n^2 R_4 G_6 & n^2 R_4 G_6 \\ 0 & 0 \\ n^2 R_4 g_m & n^2 R_4 g_m \end{bmatrix} i_{Ll} + \frac{1}{\Delta} \begin{bmatrix} -n G_6 \\ G_6 \\ 0 \\ g_m \end{bmatrix} v_E$$

și deci :

$$v_{Rl} = \frac{1}{\Delta} \begin{bmatrix} n^2 R_4 G_6 \\ n R_4 G_6 \end{bmatrix} v_{Cl} + \frac{1}{\Delta} \begin{bmatrix} -n^2 R_4 & -n^2 R_4 \\ -n R_4 & -n R_4 \end{bmatrix} v_{Ll} + \frac{1}{\Delta} \begin{bmatrix} n^2 R_4 G_6 \\ n R_4 G_6 \end{bmatrix} v_E.$$

Pentru acest exemplu, matricele parametrilor elementelor reactive sînt simple. Există numai o capacitate, astfel ca $\mathcal{C} = [C_2]$ și $\mathcal{C}^{-1} = [1/C_2]$; matricea \mathcal{L} este matricea diagonală.

$$\mathcal{L} = \begin{bmatrix} L_9 & 0 \\ 0 & L_{10} \end{bmatrix} \text{ și } \mathcal{L}^{-1} = \begin{bmatrix} 1/L_9 & 0 \\ 0 & 1/L_{10} \end{bmatrix}.$$

În final, le substituim în (119) și (124), multiplicăm prin \mathcal{C}^{-1} și respectiv \mathcal{L}^{-1} , și combinăm cele două ecuații într-una singură. Pentru simplificare fie $R_4 = kR_6$, astfel ca $R_4 G_6 = k$. Rezultatul va fi

$$\frac{d}{dt} \begin{bmatrix} v_2 \\ i_9 \\ i_{10} \end{bmatrix} = \frac{1}{1 + n^2 k} \begin{bmatrix} -(g_m + G_6) & -n^2 R_4 (g_m + G_6) & 1 - n^2 R_4 g_m \\ C_2 & C_2 & C_2 \\ \frac{n^2 k}{L_9} & \frac{-n^2 R_4}{L_9} & \frac{-n^2 R_4}{L_9} \\ -1 & \frac{-n^2 R_4}{L_{10}} & \frac{-n^2 R_4}{L_{10}} \\ L_{10} & L_{10} & L_{10} \end{bmatrix} \begin{bmatrix} v_2 \\ i_9 \\ i_{10} \end{bmatrix} + \begin{bmatrix} -(g_m + G_6) \\ \frac{C_2(1 + n^2 k)}{L_9(1 + n^2 k)} \\ \frac{n^2 k}{L_{10}(1 + n^2 k)} \end{bmatrix} v_E. \quad (145)$$

Referitor la acest exemplu, observați că multe submatrice sînt *rare* (ceea ce înseamnă că multe elemente sînt zero). Aceasta rezultă din necesitatea de a avea multe operații cu rezultat zero și deci mai puține calcule. Este posibil să parcurgem aceleași etape cu ecuațiile scrise în forma scalară. Aceasta elimină necesitatea de scriere a unui număr mare de zerouri dar sacrifică concizia. Puteți parcurge etapele de rezolvare cu ecuații în formă scalară pentru a observa diferența.

Trebuie de asemenea menționat că în acest exemplu $\mathcal{G} \neq -\mathcal{K}$ din cauza prezenței lui g_m ; dar, dacă $g_m = 0$, atunci $\mathcal{G} = -\mathcal{K}$.

4.6. FORMULAREA ECUAȚILOR DE STARE A MULTI-PORȚILOR

Să ne întoarcem acum la interpretarea matricelor \mathcal{V} , \mathcal{I} , \mathcal{K} și \mathcal{G} . Vom face aceasta pentru cazul general, nu numai pentru cazul *RLC*. Pentru aceasta să considerăm (115) și (116), împreună cu definiția lui \mathcal{C} și \mathcal{L}

din (117) și respectiv (118). Combinarea acestor ecuații ne conduce la

$$\mathbf{i}_{ct} = \frac{d}{dt}(\mathcal{G}\mathbf{v}_{ct}) - \mathbf{Q}_{cc}\mathbf{i}_{ct} - \frac{d}{dt}(\hat{\mathcal{G}}\mathbf{v}_E).$$

Similar, din (120) și (121) împreună cu definiția lui \mathcal{L} și $\hat{\mathcal{L}}$ din (122) și respectiv (123), obținem :

$$\mathbf{v}_{Ll} = \frac{d}{dt}(\mathcal{L}\mathbf{i}_{Ll}) + \mathbf{Q}'_{LL}\mathbf{v}_{Ll} - \frac{d}{dt}(\hat{\mathcal{L}}\mathbf{i}_J).$$

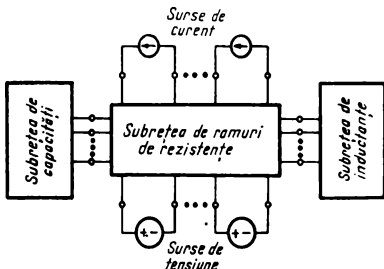


Fig. 4.10. Descompunerea rețelei în subrețele.

Acestea două pot fi combinate într-o singură ecuație matricială. Derivatele pot fi eliminate prin înlocuirea ecuației de stare din (129), care se aplică, pentru rețeaua generală. Rezultatul va fi

$$\begin{bmatrix} \mathbf{i}_{ct} \\ \mathbf{v}_{Ll} \end{bmatrix} = \begin{bmatrix} -\mathcal{Y} & \mathcal{H} \\ \mathcal{G} & -\mathcal{L} \end{bmatrix} \begin{bmatrix} \mathbf{v}_{ct} \\ \mathbf{i}_{Ll} \end{bmatrix} + \begin{bmatrix} -\hat{\mathcal{Y}} & \hat{\mathcal{H}} \\ \hat{\mathcal{G}} & -\hat{\mathcal{L}} \end{bmatrix} \begin{bmatrix} \mathbf{v}_E \\ \mathbf{i}_J \end{bmatrix} + \begin{bmatrix} -\mathbf{Q}_{cc} & \mathbf{0} \\ \mathbf{0} & \mathbf{Q}'_{LL} \end{bmatrix} \begin{bmatrix} \mathbf{i}_{ct} \\ \mathbf{v}_{Ll} \end{bmatrix}. \quad (146)$$

Aceasta este o ecuație pur algebrică care leagă tensiunile și curenții elementelor reactive și mărimile care caracterizează sursele. Menționăm că derivatele surselor au fost de asemenea eliminate. O interpretare a diferitelor matrice se poate obține considerând rețeaua din fig. 4.10. Rețeaua este prezentată ca o interconectare de subrețele. Subrețeaua centrală constă din toate laturile de rezistență (inclusiv sursele comandate etc.) la care sint conectate subrețelele de capacități, inductanțe și surse independente. Subrețeaua de rezistență poate fi considerată ca un multiport

cu tot atâtea porți cîte elemente reactive și surse independente există. Trebuie acum să distingem care elemente reactive sînt ramuri și care sînt coarde.

Aceasta poate fi examinată simbolic ca în fig. 4.11, unde fiecare element reprezintă o subrețea din clasa sa. Fiecare variabilă asociată porților este valabilă pentru toate variabilele scalare din clasa sa și astfel este un vector.

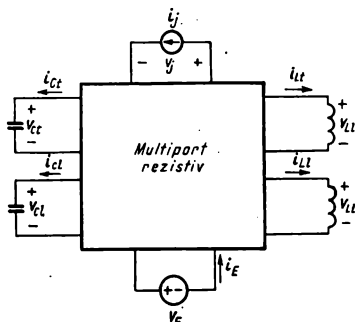


Fig. 4.11. Interpretarea multiportului.

Orientările variabilelor sînt compatibile cu orientările considerate în obținerea ecuațiilor. Orientările curenților sînt opuse referințelor standard pentru curenții porților. Astfel, în multiportul de rezistențe puterea care intră la oricare din porți este $-v \cdot i$. Ramurile și coardele de capacități, și ramurile și coardele de inductanțe sînt arătate ca subrețele separate. Să ne amintim, că pentru a ajunge la (146) pentru cazul general, presupunem că nu este introdusă nici o restricție algebrică de laturile rezistive care să reducă ordinul de complexitate sub acela obținut din considerații asupra elementelor reactive exclusiv.

Presupunem circuitul în gol la toate coardele reactive și sursele de curent independente și scurtcircuit la sursele de tensiune. Aceasta face ca vectorii i_{Ct} , i_{Lt} , i_j și v_E să fie zero. Dar dacă toți curenții coardelor de inductanțe sînt zero, tot așa curenții ramurilor de inductanțe vor fi zero, fapt care rezultă din KCL pentru secțiunile de inductanțe; adică $i_L = 0$. Cu aceste considerații făcute, din (146) se poate scrie:

$$-i_{Ct} = \mathcal{Y} v_C. \quad (147)$$

Reamintindu-ne orientarea opusă a curenților de poartă, conchidem că \mathcal{Z} este matricea admitanțelor în scurtcircuit a multiportului rezistiv ale cărui porți sînt terminate pe ramuri de capacități, în timp ce toate celelalte elemente reactive sînt scoase din circuit (în gol) și toate sursele independente sînt îndepărtate (ceea ce înseamnă că sursele de tensiune sînt scurtcircuitate și sursele de curent sînt în gol). Această interpretare ne dă o metodă de calcul a matricei \mathcal{Z} pentru o rețea pur rezistivă, fără a parcurge tratarea formală din ultimul paragraf.

Celelalte matrice pot fi evaluate într-o manieră similară. Pentru a găsi \mathcal{Z} , scurtcircuităm toate ramurile reactive și sursele de tensiune independente, și lăsăm în gol sursele de curent, astfel ca v_{ci} , v_{Li} , v_E și i_j sînt toți vectori zero. Din (146) putem scrie

$$v_{Li} = \mathcal{Z}(-i_{Li}). \quad (148)$$

Conchidem că \mathcal{Z} este matrice de impedanțe a circuitului în gol a multiportului de rezistențe ale cărui porți sînt terminate pe coardele de inductanțe în timp ce toate celelalte elemente reactive sînt scurtcircuitate și toate sursele sînt îndepărtate.

Matricele \mathcal{K} și \mathcal{G} pot fi găsite într-o manieră similară. Noi vom da rezultatele, lăsînd restul în seama dumneavoastră.

$$i_{ci} = \mathcal{K}i_{Li}, \quad (149a)$$

$$v_{Li} = \mathcal{G}v_{ci}. \quad (149b)$$

Astfel \mathcal{K} este matricea transferului de curent a multiportului de rezistențe, care are ca porți de intrare terminalele coardelor de inductanțe care sînt înlocuite cu surse de curent, și ca porți de ieșire terminalele ramurilor de capacități scurtcircuitate, cînd coardele de capacități sînt lăsate în gol și toate sursele independente sînt îndepărtate. Ramurile de inductanțe vor fi înlocuite de sursele de curent așa cum rezultă din LKC la secțiunile de inductanțe.

În sfîrșit, \mathcal{G} este matricea de transfer de tensiune a multiportului rezistiv, porțile de intrare fiind terminalele ramurilor de capacități care sînt înlocuite cu surse de tensiune, și porțile de ieșire fiind terminalele coardelor de inductanțe lăsate în gol, cînd ramurile de inductanțe sînt scurtcircuitate și toate sursele independente îndepărtate.

Pentru a ilustra aceste interpretări să considerăm exemplul din fig. 9. Vom începe prin calcularea fiecărei matrice, pe rînd. Pentru a găsi \mathcal{Z} , lăsăm în gol cele două inductanțe, îndepărtăm sursa de tensiune prin scurtcircuitarea ei, înlocuim capacitatea cu o sursă de tensiune v_2 care are aceeași polaritate ca și tensiunea pe capacitate, și apoi găsim curentul i_2 prin această sursă de tensiune. În fig. 4.12 este arătată o diagramă adecvată, unde transformatorul ideal terminat în R_4 este înlocuit cu o rezis-

tență $n^2 R_4$, sau $n^2 k R_6$, considerind ca mai înainte $R_4 = k R_6$. Rezultatul este o conexiune în serie a lui R_6 și $n^2 R_4$ la bornele căreia tensiunea este v_2 . Curentul rezultat i se găsește ușor și odată cu acesta și tensiunea v_7 .

Calculul lui \mathcal{G} Calculul \mathcal{Y}

$$i = \frac{v_2}{R_6 + n^2 R_4} = \frac{G_6 v_2}{1 + n^2 k}$$

$$v_9 = n^2 R_4 i$$

$$v_7 = R_6 i$$

$$v_{10} = -R_6 i$$

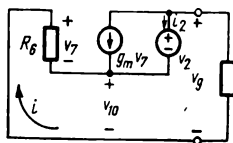
$$i_2 = -(g_m v_7 + i) = -(g_m R_6 + 1)i$$

$$\begin{bmatrix} v_9 \\ v_{10} \end{bmatrix} = \begin{bmatrix} \frac{n^2 k}{1 + n^2 k} \\ -\frac{1}{1 + n^2 k} \end{bmatrix} [v_2]$$

$$- [i_2] = \left[\frac{g_m + G_6}{1 + n^2 k} \right] [v_2]$$

$$\mathcal{G} = \begin{bmatrix} \frac{n^2 k}{1 + n^2 k} \\ -\frac{1}{1 + n^2 k} \end{bmatrix}$$

$$\mathcal{Y} = \left[\frac{g_m + G_6}{1 + n^2 k} \right]$$

Fig. 4.12. Calculul lui \mathcal{G} și \mathcal{Y} .

Curentul sursei comandate este acum cunoscut. Aplicind LKC la unul din terminalele lui v_2 , se obține i_2 . Detaliile de calcul sînt date în fig. 4.12.

Deoarece nu există ramuri de inductanțe, diagrama de calcul a lui \mathcal{G} este prezentată în fig. 4.12. Totuși, acum mărimile de ieșire dorite sînt tensiunile la bornele inductanțelor în gol. Desfășurarea calculului este de asemenea arătată în fig. 4.12.

Pentru a găsi pe \mathcal{Z} se îndepărtează sursa de tensiune, scurtcircuităm capacitatea, se înlocuiesc cele două inductanțe cu sursele de curent i_9 și i_{10} , cu referințele corespunzătoare. Rezultatul, arătat în fig. 4.13 este că se conectează în paralel R_6 și $n^2 R_4$ și se alimentează cu curentul $i_9 + i_{10}$. Tensiunile v_9 și v_{10} sînt egale și se calculează ușor. Calculul lui \mathcal{Z} este arătat în fig. 4.13.

Calculul lui \mathcal{Z} Calculul lui \mathcal{X}

$$v_9 = v_{10} = \frac{-n^2 R_4 R_6}{R_6 + n^2 R_4} (i_9 + i_{10}) = \frac{-n^2 R_4}{1 + n^2 k} (i_9 + i_{10})$$

$$\begin{bmatrix} v_9 \\ v_{10} \end{bmatrix} = \begin{bmatrix} \frac{n^2 R_4}{1 + n^2 k} & \frac{n^2 R_4}{1 + n^2 k} \\ \frac{n^2 R_4}{1 + n^2 k} & \frac{n^2 R_4}{1 + n^2 k} \end{bmatrix} \begin{bmatrix} -i_9 \\ -i_{10} \end{bmatrix}$$

$$i_2 = i_{10} - g_m v_7 - i_6$$

$$i_6 = G_6 v_7$$

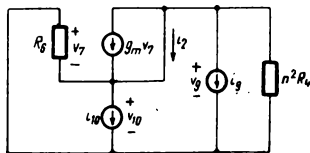
$$v_7 = -v_{10}$$

$$i_2 = i_{10} + (g_m + G_6) v_{10}$$

$$\mathcal{Z} = \begin{bmatrix} \frac{n^2 R_4}{1 + n^2 k} & \frac{n^2 R_4}{1 + n^2 k} \\ \frac{n^2 R_4}{1 + n^2 k} & \frac{n^2 R_4}{1 + n^2 k} \end{bmatrix}$$

$$[i_2] = \begin{bmatrix} \frac{-n^2 R_4 (g_m + G_6)}{1 + n^2 k} & \frac{1 - n^2 R_4 g_m}{1 + n^2 k} \end{bmatrix} \begin{bmatrix} i_9 \\ i_{10} \end{bmatrix}$$

$$\mathcal{X} = \begin{bmatrix} \frac{-n^2 R_4 (g_m + G_6)}{1 + n^2 k} & \frac{1 - n^2 R_4 g_m}{1 + n^2 k} \end{bmatrix}$$

Fig. 4.13. Calculul lui \mathcal{Z} și \mathcal{X} .

În sfîrșit, diagrama de calcul a lui \mathcal{X} este arătată tot în fig. 13, cu mențiunea că mărimea de ieșire dorită este curentul prin capacitatea scurtcircuitată. Acesta poate fi găsit aplicînd LKC pentru terminalul de jos al sursei de curent comandată, care conduce la $i_2 = i_{10} - g_m v_7 - i_6$. Dar $i_6 = v_7/R_6$, $v_7 = -v_{10}$ și v_{10} a fost găsit în diagramă în funcție de i_9 și i_{10} . Matricea \mathcal{X} se obține dacă introducăm toate acestea în expresia lui i_2 . Setul întreg de calcule este arătat în fig. 4.13.

Deși prezentarea calculului acestor matrice pentru acest exemplu pare a fi cam lungă, efortul real de calcul este foarte mic. Comparați rezultatele cu matricea \mathcal{X} din (145), pentru a verifica că s-a obținut același rezultat.

Să ne întoarcem acum la submatricele $\hat{\mathcal{Y}}$, $\hat{\mathcal{Z}}$, $\hat{\mathcal{X}}$ și $\hat{\mathcal{G}}$ care alcătuiesc \mathcal{B}_1 , matricea coeficienților surselor. Considerînd din nou (146) și fig. 4.11, presupunem că lăsăm în gol toate coardele reactive și sursele de curent independente, și scurtcircuităm toate ramurile reactive. În aceste condiții (146) conduce la

$$i_{ci} = -\hat{\mathcal{Y}}v_E, \quad (150a)$$

$$v_{Li} = \hat{\mathcal{G}}v_E. \quad (150b)$$

Astfel, $\hat{\mathcal{Y}}$ este calculat prin găsirea curenților în ramurile de capacități scurtcircuitate, și $\hat{\mathcal{G}}$ este calculat prin găsirea tensiunilor pe coardele de inductanțe în gol, ambele rezultînd ca urmare a prezenței surselor de tensiune independente.

Similar, presupunem că scurtcircuităm toate ramurile reactive și sursele de tensiune independente și lăsăm în gol coardele reactive. Atunci (146) conduce la

$$i_{ci} = \hat{\mathcal{X}}i_J, \quad (151a)$$

$$v_{Li} = -\hat{\mathcal{Z}}i_J. \quad (151b)$$

Astfel, $\hat{\mathcal{X}}$ este calculat prin găsirea curenților în ramurile de capacități scurtcircuitate, și $\hat{\mathcal{Z}}$ este calculat prin găsirea tensiunilor pe coardele de inductanțe lăsate în gol, — ambele rezultînd ca urmare a prezenței surselor de curent independente.

$$i = \frac{v_o}{R_6 + n^2 R_4} = \frac{G_6 v_o}{1 + n^2 k}$$

$$\tau_7 = R_6 i = \frac{v_o}{1 + n^2 k}$$

$$i_2 = -g_m v_7 - i = -\frac{(g_m + G_6)}{1 + n^2 k} v_o$$

$$\tau_9 = n^2 R_4 i = \frac{n^2 k}{1 + n^2 k} v_o$$

$$\tau_{10} = -R_6 i + v_o = \frac{n^2 k}{1 + n^2 k} v_o$$

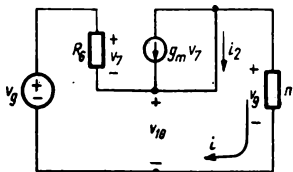


Fig. 4. 14. Calculul lui $\hat{\mathcal{Y}}$ și $\hat{\mathcal{G}}$.

Vom ilustra aceasta cu ajutorul exemplului din fig. 4.9. Nu există surse de curent în acest caz, astfel că $\hat{\mathcal{Z}}$ și $\hat{\mathcal{X}}$ sînt ambele matrici zero. Pentru a găsi pe $\hat{\mathcal{Y}}$ și $\hat{\mathcal{G}}$, lăsăm în gol ambele inductanțe și scurtcircuităm capacitatea. Rezultatul este arătat în fig. 4.14. Curentul i este determinat

în mod obișnuit, observînd că R_6 și $n^2 R_4$ sînt în serie. Se obține acum direct v_7 ca $R_6 i_7$. Aceasta determină curentul sursei comandate, și din LKC se găsește i_2 . Tensiunile v_9 și v_{10} se obțin de asemenea direct. Detaliile sînt arătate în fig. 4.14. Rezultatul este

$$\hat{y} = \frac{g_m + G_6}{[1 + n^2 k^2]}, \quad \hat{g} = \begin{bmatrix} \frac{n^2 k}{1 + n^2 k} \\ \frac{n^2 k}{1 + n^2 k} \end{bmatrix},$$

care este în concordanță cu (145).

În rezumat, cu excepția termenilor care conțin derivatele surselor, am obținut ecuația de stare vectorială completă din calculul unei rețele multiport rezistive, împreună cu evaluarea lui \mathcal{G} și \mathcal{L} ca submatrice ale matricei capacităților secțiunilor și matricei inductanțelor buclelor. Nu am obținut termenii conținuți în derivatele surselor și care apar cînd există degenerări. Relațiile (118) și (123) arată însă că acești termeni se pot calcula destul de ușor prin altă metodă, în comparație cu matricele de multiport. Pentru acuratețe, se precizează că ecuațiile de stare au fost obținute printr-o serie de calcule referitoare numai la relațiile la porți dar trebuie totuși să admitem că termenii derivatelor surselor nu apar. Aceasta înseamnă că presupunem că rețeaua nu are surse de tensiune într-o buclă de capacități și nici surse de curent într-o secțiune de conductanțe. În termenii submatricelor Q_i , presupunem că $Q_{EC} = 0$ și $Q_{LJ} = 0$.

Ecuatii de ieșire

Avînd găsită o metodă de determinare a ecuației de stare vectorială prin calcule asupra multiportului rezistiv, să încercăm să găsim în mod similar, orice variabilă care poate fi aleasă ca o ieșire. Considerăm din nou fig. 4.11. Variabilele porților conțin toate variabilele de ieșire posibile. Această afirmație este clară pentru tensiunile și curenții elementelor reactive și surselor. Numai că sînt ca necunoscute și variabilele ramurilor rezistive. Pentru orice variabile de rezistență putem folosi tensiunile surselor de curent și curenții surselor de tensiune în modul următor. Orice variabilă de tensiune a unei laturi de rezistență, poate fi interpretată ca tensiunea pe o sursă de curent, prin conectarea în paralel a unei surse de curent de valoare zero. Similar, orice curent prin latura de rezistență poate fi considerat drept curentul unei surse de tensiune prin plasarea unei surse de tensiune de valoare zero în serie cu latura respectivă. În felul acesta ne complicăm puțin, dar interpretarea este mai ușoară.

În fig. 4.11, variabilele de stare sînt acum v_{Ci} și i_{Li} . Termenul v_{Ci} poate fi exprimat în funcție de v_{Ci} prin KVL aplicată pe buclele de capacități. Similar, i_{Li} poate fi exprimat în funcție de i_{Li} prin KCL aplicată la secțiunile de inductanță. Aceasta permite scrierea următorului set de variabile

$$\begin{array}{ccc} i_{Ci} & i_{Ci} & i_E \\ v_{Li} & v_{Li} & v_J \end{array}$$

Considerăm primul set. În relația $v - i$ $i_{Ci} = C_i dv_{Ci}/dt$ introducem ecuația KVL din (113e). Amintindu-ne presupunerea că $Q_{EC} = 0$ obținem $i_{Ci} = C_i Q_{CC} dv_{Ci}/dt$. Dar dv_{Ci}/dt este exprimată în termenii variabilelor de stare și a surselor prin ecuația de stare. Folosind (129) în această ecuație, obținem :

$$i_{Ci} = C_i Q'_{CC} \mathcal{E}^{-1} \left\{ [-\mathcal{Y} \quad \mathcal{H}] \begin{bmatrix} v_{Ci} \\ i_{Li} \end{bmatrix} + [-\hat{\mathcal{Y}} \quad \hat{\mathcal{H}}] \begin{bmatrix} v_E \\ i_J \end{bmatrix} \right\}. \quad (152a)$$

O dezvoltare similară pentru v_{Li} ne conduce la

$$v_{Li} = (L_{ii} - L_{ii} Q_{LL}) \mathcal{L}^{-1} \left\{ [\mathcal{G} \quad -\mathcal{Z}] \begin{bmatrix} v_{Ci} \\ i_{Li} \end{bmatrix} + [\hat{\mathcal{G}} \quad -\hat{\mathcal{Z}}] \begin{bmatrix} v_E \\ i_J \end{bmatrix} \right\}. \quad (152b)$$

Astfel, atît curenții coardelor de capacități cît și tensiunile ramurilor de inductanțe pot fi exprimate ca variabile de ieșire în termenii variabilelor de stare și variabilelor surselor. În afară de matricele deja găsite, pentru formarea ecuațiilor de stare (adică \mathcal{L} , \mathcal{C} , \mathcal{Y} și \mathcal{H}), e necesară o cunoaștere a matricelor topologice Q_{CC} și Q_{LL} , și a matricelor de parametrii C_i , L_{ii} și L_{ii} .

De asemenea pentru i_{Ci} și v_{Li} , care sînt variabilele complementare variabilelor de stare, am găsit deja pe (146). Totuși, aceasta nu este în forma dorită pentru ecuațiile de ieșire din cauza termenilor care conțin pe i_{Ci} și v_{Li} . Pentru eliminarea acestora se folosește (152), astfel că (146) poate fi scrisă astfel :

$$i_{Ci} = C_i \mathcal{E}^{-1} \left\{ [-\mathcal{Y} \quad \mathcal{H}] \begin{bmatrix} v_{Ci} \\ i_{Li} \end{bmatrix} + [-\hat{\mathcal{Y}} \quad \hat{\mathcal{H}}] \begin{bmatrix} v_E \\ i_J \end{bmatrix} \right\}, \quad (153a)$$

$$v_{Li} = (L_{ii} - L_{ii} Q_{LL}) \mathcal{L}^{-1} \left\{ [\mathcal{G} \quad -\mathcal{Z}] \begin{bmatrix} v_{Ci} \\ i_{Li} \end{bmatrix} + [\hat{\mathcal{G}} \quad -\hat{\mathcal{Z}}] \begin{bmatrix} v_E \\ i_J \end{bmatrix} \right\}. \quad (153b)$$

Observăm că orice variabilă de tensiune sau curent a componentelor reactive poate fi scrisă ca o ieșire, în forma standard în funcție de variabi-

lele de stare și surse. Cu excepția matricelor C_i și $L_{ii} - L_{ii} Q_{LL}$, aceasta este făcută în termenii matricelor deja găsite în scrierea ecuațiilor de stare.

Aceasta permite scrierea variabilelor v_J și i_E . Reamintim că ecuațiile topologice care exprimau aceste variabile în (113a) și (113b) nu au fost folosite pentru obținerea ecuațiilor de stare. După ce soluțiile pentru v_{Ei} și i_{Ri} din (126) sînt introduse în aceste ecuații, rezultatul va apare în termenii variabilelor de stare și a surselor. Ea va avea următoarea formă :

$$\begin{bmatrix} i_E \\ v_J \end{bmatrix} = \begin{bmatrix} -\bar{\mathcal{Y}} & \bar{\mathcal{H}} \\ \bar{\mathcal{G}} & -\bar{\mathcal{Z}} \end{bmatrix} \begin{bmatrix} v_{Ci} \\ i_{Li} \end{bmatrix} + \begin{bmatrix} -\bar{\mathcal{Y}} & \bar{\mathcal{H}} \\ \bar{\mathcal{G}} & -\bar{\mathcal{Z}} \end{bmatrix} \begin{bmatrix} v_E \\ i_J \end{bmatrix}. \quad (154)$$

Interpretarea matricelor în aceste expresii poate fi obținută în termenii rețelei multiport din fig. 4.11 în același mod ca cel arătat anterior; de exemplu, $\bar{\mathcal{Y}}$ este obținut prin lăsarea în gol a coardelor de inductanțe și surse de curent independente (și de asemenea a ramurilor de inductanțe), înlocuind ramurile de capacități cu surse de tensiune v_{Ci} , scurtcircuitind sursele de curent independente și scriind o expresie care leagă curenții ($-i_E$) în aceste scurtcircuite cu v_{Ci} .

Concluzia acestei discuții este următoarea. Privind o rețea ca fiind formată prin interconectarea unor subrețele alcătuite din componente de același tip, ca în fig. 4.11, am găsit o metodă de evaluare a acelor matrice, care sînt coeficienții variabilelor de stare și ai variabilelor surselor în ecuația de stare. Presupunem că rețeaua nu conține surse de tensiune în buclele de capacități și nici surse de curent în secțiunile de inductanțe. Printr-o metodă similară putem calcula matricele care sînt coeficienți în ecuația de ieșire, indiferent de tipul variabilelor de ieșire. Cînd variabilele de ieșire sînt variabile de elemente reactive, nu sînt necesare alte calcule asupra multiportului rezistiv. Ecuațiile sînt prezentate în tabelul 4.3.

Tabelul 4.3

Interpretarea multiport

$$\begin{bmatrix} i_{Ci} \\ v_{Li} \end{bmatrix} = \begin{bmatrix} -\mathcal{Y} & \mathcal{H} \\ \mathcal{G} & -\mathcal{Z} \end{bmatrix} \begin{bmatrix} v_{Ci} \\ i_{Li} \end{bmatrix} + \begin{bmatrix} -\hat{\mathcal{Y}} & \hat{\mathcal{H}} \\ \hat{\mathcal{G}} & -\hat{\mathcal{Z}} \end{bmatrix} \begin{bmatrix} v_E \\ i_J \end{bmatrix} + \begin{bmatrix} -Q_{CC} & 0 \\ 0 & Q_{LL} \end{bmatrix} \begin{bmatrix} i_{Ci} \\ v_{Li} \end{bmatrix}$$

Ecuații de ieșire

$$\begin{aligned} \begin{bmatrix} i_{Ci} \\ i_{Ci} \end{bmatrix} &= \begin{bmatrix} C_i \mathcal{G}^{-1} \\ C_i Q_{CC} \mathcal{G}^{-1} \end{bmatrix} \left\{ \begin{bmatrix} \mathcal{Y} & \mathcal{H} \\ \mathcal{G} & -\mathcal{Z} \end{bmatrix} \begin{bmatrix} v_{Ci} \\ i_{Li} \end{bmatrix} + \begin{bmatrix} -\hat{\mathcal{Y}} & \hat{\mathcal{H}} \\ \hat{\mathcal{G}} & -\hat{\mathcal{Z}} \end{bmatrix} \begin{bmatrix} v_E \\ i_J \end{bmatrix} \right\} \\ \begin{bmatrix} v_{Li} \\ v_{Li} \end{bmatrix} &= \begin{bmatrix} (L_{ii} - L_{ii} Q_{LL}) \mathcal{Z}^{-1} \\ L_{ii} - L_{ii} Q_{LL} \mathcal{Z}^{-1} \end{bmatrix} \left\{ \begin{bmatrix} \mathcal{G} & -\mathcal{Z} \\ \mathcal{G} & -\mathcal{Z} \end{bmatrix} \begin{bmatrix} v_{Ci} \\ i_{Li} \end{bmatrix} + \begin{bmatrix} \hat{\mathcal{G}} & -\hat{\mathcal{Z}} \\ \hat{\mathcal{G}} & -\hat{\mathcal{Z}} \end{bmatrix} \begin{bmatrix} v_E \\ i_J \end{bmatrix} \right\} \\ \begin{bmatrix} i_E \\ v_J \end{bmatrix} &= \begin{bmatrix} -\bar{\mathcal{Y}} & \bar{\mathcal{H}} \\ \bar{\mathcal{G}} & -\bar{\mathcal{Z}} \end{bmatrix} \begin{bmatrix} v_{Ci} \\ i_{Li} \end{bmatrix} + \begin{bmatrix} -\bar{\mathcal{Y}} & \bar{\mathcal{H}} \\ \bar{\mathcal{G}} & -\bar{\mathcal{Z}} \end{bmatrix} \begin{bmatrix} i_E \\ v_J \end{bmatrix} \end{aligned}$$

Pentru ilustrare, considerăm rețeaua arătată în fig. 4.15 *a*. Folosind circuitul echivalent obișnuit pentru triode, se obține rețeaua echivalentă în fig. 4.15 *b*. Să considerăm ca mărimi de ieșire tensiunea v și curentul i_3 . Introducem o sursă de curent în paralel pe terminalele din dreapta cu $i_g = 0$. În graf, această sursă de curent este reprezentată prin latura 11. Latura 8 este latura comandată de sursa de curent. Există o buclă de capacități, astfel că o capacitate devine o coardă a arborelui normal.

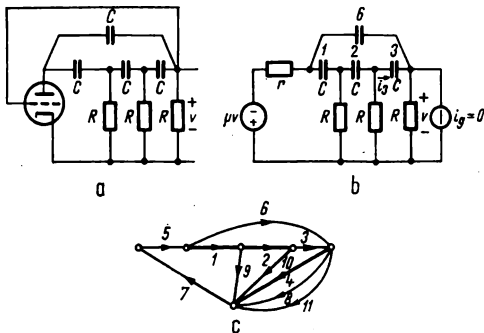


Fig. 4.15. Rețea de oscilator RC.

Secțiunile f definite de ramurile de capacități 1, 2 și 3 conțin fiecare capacitatea 6, cu aceeași orientare. Deci matricea \mathcal{C} se poate scrie ușor și anume :

$$\mathcal{C} = \begin{bmatrix} 2C & C & C \\ C & 2C & C \\ C & C & 2C \end{bmatrix}.$$

Deoarece nu există inductanțe și surse de tensiune, (146) și (154) se reduc la :

$$i_{ct} = -\mathcal{V}v_{ct} + \hat{\mathcal{X}}i_j - Q'_{cc}i_{ct}, \quad (155a)$$

$$v_j = \bar{\mathcal{V}}v_{ot} - \bar{\mathcal{X}}i_j. \quad (155b)$$

Pentru a găsi pe \mathcal{V} și $\bar{\mathcal{V}}$, lăsăm în gol coarda de capacitate 6 și sursa de curent (În acest caz, ultima etapă nu este necesară deoarece unica sursă

de curent are valoarea zero). Înlocuim ramurile de capacități prin surse de tensiune. Rețeaua rezultată este arătată în fig. 4.16 a. O problemă este acum calcularea curenților i_1 , i_2 și i_3 din această rețea rezistivă, printr-o metodă convenabilă. Detaliile de calcule vor fi lăsate pentru dumneavoastră. Rezultatul este :

$$-i_{c1} = \begin{bmatrix} -i_1 \\ -i_2 \\ -i_3 \end{bmatrix} = \frac{1}{3r + (\mu + 1)R} \begin{bmatrix} 3 & 2 - \mu & 1 - 2\mu \\ 2 & 2 + 2r/R & 1 - \mu + r/R \\ 1 & 1 + r/R & 1 + 2r/R \end{bmatrix} \begin{bmatrix} v_1 \\ v_2 \\ v_3 \end{bmatrix} = \mathcal{G}v_{c1}.$$

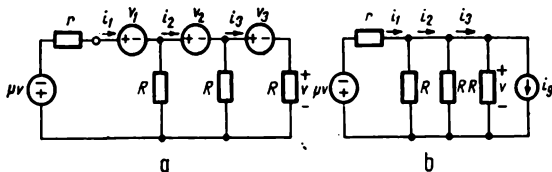


Fig. 4.16. Rețea de rezistență pentru calculul lui \mathcal{G} .

Din diagramă, este clar, că $v_J = [v] = [Ri_3]$; astfel că $\bar{\mathcal{G}}$ este găsit de asemeni ușor și anume :

$$v_J = v = \begin{bmatrix} -R & -(R + r) & -(R + 2r) \\ 3r + (\mu + 1)R & 3r + (\mu + 1)R & 3r + (\mu + 1)R \end{bmatrix} \begin{bmatrix} v_1 \\ v_2 \\ v_3 \end{bmatrix} = \bar{\mathcal{G}}v_{c1}.$$

Pentru matricele care au rămas vom lăsa în gol coarda de capacitate 6 și vom scurtcircuita ramurile de capacități. Detaliile de calcul rămân pentru dumneavoastră. Rezultatul va fi :

$$i_{c1} = \begin{bmatrix} i_1 \\ i_2 \\ i_3 \end{bmatrix} = \frac{1}{3r + (\mu + 1)R} \begin{bmatrix} (\mu + 1)R \\ r + (\mu + 1)R \\ 2r + (\mu + 1)R \end{bmatrix} i_o = \hat{\mathcal{X}} i_J,$$

$$v_J = v = \frac{rR}{3r + (\mu + 1)R} (-i_o) = -\bar{\mathcal{X}} i_J.$$

În acest exemplu, deoarece unica sursă este o sursă de curent de valoare zero, nu este necesar să găsim $\hat{\mathcal{X}}$ și $\hat{\mathcal{Z}}$; ele vor fi oricum multiplicare prin zero în ecuațiile finale. Le-am calculat aici, dar numai pentru a face o exemplificare.

Putem acum să scriem cu ușurință ecuația de stare și ecuația de ieșire. Pentru simplitate, să folosim următoarele valori numerice: $C = \frac{1}{4}$; $r = R = 10$; $\mu = 6$. Atunci:

$$\mathcal{C} = \begin{bmatrix} \frac{1}{2} & \frac{1}{4} & \frac{1}{4} \\ \frac{1}{4} & \frac{1}{2} & \frac{1}{4} \\ \frac{1}{4} & \frac{1}{4} & \frac{1}{2} \end{bmatrix}, \quad \mathcal{C}^{-1} = \begin{bmatrix} 3 & -1 & -1 \\ -1 & 3 & -1 \\ -1 & -1 & 3 \end{bmatrix},$$

$$\mathcal{Y} = \frac{1}{100} \begin{bmatrix} 3 & -4 & -11 \\ 2 & 4 & -4 \\ 1 & 2 & 3 \end{bmatrix}, \quad \hat{\mathcal{X}} = \frac{1}{100} \begin{bmatrix} 70 \\ 80 \\ 90 \end{bmatrix}.$$

$$\bar{\mathcal{G}} = \frac{1}{100} [-10 \quad -20 \quad -30], \quad \bar{\mathcal{Z}} = [1].$$

Ieșirea i_3 este un curent printr-o ramură de capacitate. Deci, pentru a obține ecuația de ieșire corespunzătoare, trebuie să folosim (153 a) care se reduce la $i_{ct} = -C_t \mathcal{C}^{-1} \mathcal{Y} v_{ct}$, unde C_t este o matrice diagonală cu elementele diagonale egale cu $C = \frac{1}{4}$. Din i_{ct} nu ne interesează decât linia a treia. Astfel ecuația de stare și ieșire va fi:

$$\frac{d}{dt} \begin{bmatrix} v_1 \\ v_2 \\ v_3 \end{bmatrix} = \mathcal{C}^{-1} \mathcal{Y} \begin{bmatrix} v_1 \\ v_2 \\ v_3 \end{bmatrix} = \frac{1}{100} \begin{bmatrix} 6 & -18 & -32 \\ 2 & 14 & -4 \\ -2 & 6 & 24 \end{bmatrix} \begin{bmatrix} v_1 \\ v_2 \\ v_3 \end{bmatrix},$$

$$w = \begin{bmatrix} v \\ i_3 \end{bmatrix} = \frac{1}{100} \begin{bmatrix} -10 & -20 & -30 \\ -\frac{1}{2} & \frac{3}{2} & 6 \end{bmatrix} \begin{bmatrix} v_1 \\ v_2 \\ v_3 \end{bmatrix}.$$

Aceasta completează exemplul.

PROBLEME

P 1. Pentru rețelele din fig. 4. P1 determinați:

- a) numărul de frecvențe naturale și
 b) numărul de frecvențe naturale diferite de zero. Verificați răspunsurile dvs. prin considerarea formulelor topologice pentru determinarea matricei admitanțelor la noduri sau a matricei impedanțelor pe bucle.

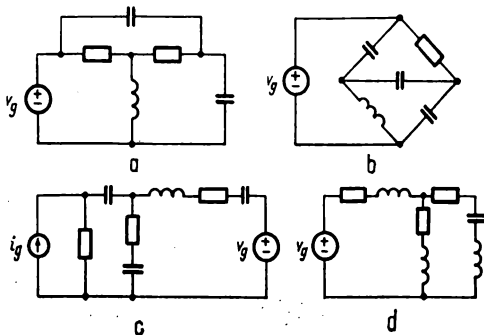


Fig. 4. P1

P 2. Pentru fiecare din rețelele din fig. 4. P1, trasați cel puțin un arbore normal.

P 3. Arătați cel puțin trei arbori normali pentru rețeaua din fig. 4.3 din text.

P 4. Cîți arbori normali există în fig. 4.5 din text?

P 5. Ecuația 24 referitoare la fig. 4.5 conține derivata tensiunilor surselor. Faceți o transformare de variabile astfel ca ecuația corespundătoare în noile variabile să nu conțină derivatele tensiunilor surselor. Puteți interpreta noile variabile în termenii rețelei?

P 6. Presupunem că \mathbf{A} și \mathbf{B} sînt matrice patrute de același ordin. În ce condiții este valabilă următoarea relație:

$$\epsilon^{\mathbf{A}} \epsilon^{\mathbf{B}} = \epsilon^{\mathbf{A} + \mathbf{B}}$$

Folosiți acest rezultat pentru a arăta că (14) este o consecință valabilă a lui (36).

P 7. Arătați că fiecare din următoarele matrice satisface ecuația sa caracteristică.

(a) $\begin{bmatrix} 6 & 3 \\ -5 & 10 \end{bmatrix}^{-}$

(b) $\begin{bmatrix} -2 & 1 \\ -9 & 4 \end{bmatrix}$

(c) $\begin{bmatrix} 3 & -2 & -1 \\ 2 & -2 & 2 \\ 1 & 2 & -1 \end{bmatrix}$

(d) $\begin{bmatrix} 3 & -2 & 1 \\ 1 & -1 & 2 \\ -6 & 4 & -2 \end{bmatrix}$

(e) $\begin{bmatrix} 0 & 1 & 0 & 0 \\ 0 & 0 & 1 & 0 \\ 0 & 0 & 0 & 1 \\ -1 & -2 & -2 & -1 \end{bmatrix}$

(f) $\begin{bmatrix} 2 & 0 & 2 \\ 0 & 2 & 1 \\ 0 & 0 & 1 \end{bmatrix}$

P 8. Folosind teorema Cayley-Hamilton, găsiți inversa fiecărei matrice nesingulare din Problema 7.

P 9. Fie $f(s)$ un polinom și $d(s)$ polinomul caracteristic al matricei \mathcal{A} . Fie $g(s)$ polinomul este de cel mai mic grad care se obține când $f(s)$ este împărțit prin $d(s)$. Evaluați pe $f(\mathcal{A})$ în fiecare din următoarele cazuri:

$$(a) f(s) = s^6 + 3s^4 + 3s^2 \text{ și } \mathcal{A} = \begin{bmatrix} 0 & 1 \\ 0 & 0 \end{bmatrix}$$

$$(b) f(s) = s^5 + s^4 + s^3 + s + 1 \text{ și } \mathcal{A} = \begin{bmatrix} -2 & 2 \\ 1 & -3 \end{bmatrix}$$

$$(c) f(s) = s^4 + s^3 + 1 \text{ și } \mathcal{A} = \begin{bmatrix} 1 & 3 & -4 \\ 0 & -23 & 36 \\ 0 & -18 & 28 \end{bmatrix}.$$

P 10. Pentru o matrice dată \mathcal{A} , să se observe că $d(s)$ este egal cu polinomul minim $m(s)$ dacă zerourile lui $d(s)$ sînt simple. Pentru fiecare din următoarele matrice cu valori proprii simple, evaluați $e^{\mathcal{A}t}$ folosind formula de interpolare a lui Lagrange.

$$(a) \mathcal{A} = \begin{bmatrix} 0 & 1 & 0 \\ 0 & 0 & 1 \\ -24 & -26 & -9 \end{bmatrix}$$

$$(d) \mathcal{A} = \begin{bmatrix} 0 & 1 & 0 & 1 \\ -1 & 0 & 1 & 0 \\ 0 & 0 & 0 & 1 \\ 0 & 0 & -1 & 0 \end{bmatrix}$$

$$(b) \mathcal{A} = \begin{bmatrix} 0 & 1 & 0 \\ 0 & 0 & 1 \\ -9 & -15 & -7 \end{bmatrix}$$

$$(e) \mathcal{A} = \begin{bmatrix} -5 & -5 & -3 \\ 1 & 0 & 1 \\ 2 & 3 & 0 \end{bmatrix}$$

$$(c) \mathcal{A} = \begin{bmatrix} 2 & 0 & 2 \\ 0 & 2 & 1 \\ 0 & 0 & 1 \end{bmatrix}$$

$$(f) \mathcal{A} = \begin{bmatrix} -2 & 7 & 6 \\ 0 & 9 & 0 \\ 18 & -3 & 10 \end{bmatrix}$$

P 11. Pentru fiecare din matricele din problema 10, aplicați ecuațiile (76) sau (82) dacă valorile proprii nu sînt simple, și rezolvați-le pentru coeficienții g_i , folosind $f(s) = e^{st}$. Din aceasta determinați $e^{\mathcal{A}t}$ și comparați-le cu rezultatul anterior.

P 12. Pentru fiecare din matricele problemei 10, folosiți algoritmul matricelor rezolvante pentru evaluarea lui $[s\mathbf{I} - \mathcal{A}]^{-1}$. Apoi faceți o dezvoltare în fracții parțiale a lui $[s\mathbf{I} - \mathcal{A}]^{-1}$ pentru a determina matricele constituante ale lui \mathcal{A} .

P 13. Pentru fiecare din matricele problemei 10 determinați matricele constituante prin metoda polinoamelor rezolvante, folosind $f_i(s) = s^{i-1}$.

P 14. Pentru fiecare din matricele problemei 10, determinați matricele constituante prin metoda polinoamelor rezolvante folosind setul de polinoame din (106).

P 15. Evaluați următoarele funcții matriceale.

$$(a) \ln \mathcal{A}, \mathcal{A} = \begin{bmatrix} 1 & 2 & 0 \\ -2 & 1 & 0 \\ 1 & 0 & -2 \end{bmatrix}$$

$$(b) \sin \mathcal{A}t, \mathcal{A} = \begin{bmatrix} 2 & 3 & 1 \\ -1 & -1 & -1 \\ 0 & -1 & 1 \end{bmatrix}$$

$$(c) \cosh \mathcal{A}t, \mathcal{A} = \begin{bmatrix} 1 & 2 \\ 4 & 3 \end{bmatrix}$$

P 16. Rezolvați următoarele seturi de ecuații de stare, cu vectorul de stare evaluat folosind inițial pe (45), apoi (52) și în final, când este posibil (54) cu (49) și (59). În fiecare caz evaluați e \mathcal{A}^t prin găsirea în primul rând a matricelor constituante ale lui \mathcal{A} și aplicând apoi (84)

$$(a) \frac{d}{dt} \begin{bmatrix} x_1 \\ x_2 \end{bmatrix} = \begin{bmatrix} -4 & 3 \\ -2 & -1 \end{bmatrix} \begin{bmatrix} x_1 \\ x_2 \end{bmatrix} + \begin{bmatrix} 1 & 0 & 1 \\ 0 & -1 & 1 \end{bmatrix} \begin{bmatrix} \in^{-t} \\ 2 \\ t \end{bmatrix}$$

$$\begin{bmatrix} w_1 \\ w_2 \end{bmatrix} = \begin{bmatrix} 1 & 0 \\ -1 & 2 \end{bmatrix} \begin{bmatrix} x_1 \\ x_2 \end{bmatrix} + \begin{bmatrix} 1 & 0 & 1 \\ -1 & 2 & 0 \end{bmatrix} \begin{bmatrix} \in^{-t} \\ 2 \\ t \end{bmatrix}$$

$$\begin{bmatrix} x_1(t_0) \\ x_2(t_0) \end{bmatrix} = \begin{bmatrix} 2 \\ -3 \end{bmatrix}$$

$$(b) \frac{d}{dt} \begin{bmatrix} x_1 \\ x_2 \\ x_3 \end{bmatrix} = \begin{bmatrix} -1 & 0 & 1 \\ 2 & -3 & 2 \\ 0 & 0 & -4 \end{bmatrix} \begin{bmatrix} x_1 \\ x_2 \\ x_3 \end{bmatrix} + \begin{bmatrix} 1 & 2 \\ -2 & 3 \\ 1 & 0 \end{bmatrix} \begin{bmatrix} -1 \\ 3 \end{bmatrix}$$

$$\begin{bmatrix} w_1 \\ w_2 \end{bmatrix} = \begin{bmatrix} -1 & 2 & -1 \\ -2 & -3 & 0 \end{bmatrix} \begin{bmatrix} x_1 \\ x_2 \\ x_3 \end{bmatrix} + \begin{bmatrix} 1 & -1 \\ -1 & 2 \end{bmatrix} \begin{bmatrix} -1 \\ 3 \end{bmatrix}$$

$$\begin{bmatrix} x_1(t_0) \\ x_2(t_0) \\ x_3(t_0) \end{bmatrix} = \begin{bmatrix} 0 \\ -3 \\ 1 \end{bmatrix}$$

$$(c) \quad \frac{d}{dt} \begin{bmatrix} x_1 \\ x_2 \end{bmatrix} = \begin{bmatrix} -2 & 2 \\ 0 & -3 \end{bmatrix} \begin{bmatrix} x_1 \\ x_2 \end{bmatrix} + \begin{bmatrix} 1 & 0 \\ 2 & -1 \end{bmatrix} \begin{bmatrix} te^{-t} \\ e^{-2t} \end{bmatrix}$$

$$[w_1] = [1 \ 0] \begin{bmatrix} x_1 \\ x_2 \end{bmatrix} + [2 \ -2] \begin{bmatrix} te^{-t} \\ e^{-2t} \end{bmatrix} + [0 \ -2] \frac{d}{dt} \begin{bmatrix} te^{-t} \\ e^{-2t} \end{bmatrix}$$

$$\begin{bmatrix} x_1(t_0) \\ x_2(t_0) \end{bmatrix} = \begin{bmatrix} 4 \\ 0 \end{bmatrix}$$

$$(d) \quad \frac{d}{dt} \begin{bmatrix} x_1 \\ x_2 \\ x_3 \end{bmatrix} = \begin{bmatrix} 0 & 1 & 1 \\ -1 & 0 & 1 \\ 0 & 0 & -1 \end{bmatrix} \begin{bmatrix} x_1 \\ x_2 \\ x_3 \end{bmatrix} + \begin{bmatrix} 0 \\ 0 \\ 2 \end{bmatrix} [\sin t]$$

$$\begin{bmatrix} w_1 \\ w_2 \end{bmatrix} = \begin{bmatrix} 1 & 0 & 1 \\ 0 & 1 & -1 \end{bmatrix} \begin{bmatrix} x_1 \\ x_2 \\ x_3 \end{bmatrix}$$

$$\begin{bmatrix} x_1(0) \\ x_2(0) \\ x_3(0) \end{bmatrix} = \begin{bmatrix} 1 \\ 0 \\ -2 \end{bmatrix}$$

$$(e) \quad \frac{d}{dt} \begin{bmatrix} x_1 \\ x_2 \end{bmatrix} = \begin{bmatrix} 18 & -20 \\ 15 & -17 \end{bmatrix} \begin{bmatrix} x_1 \\ x_2 \end{bmatrix} + \begin{bmatrix} 1 & 0 & 2 \\ -2 & -1 & 0 \end{bmatrix} \begin{bmatrix} te^{-t} \\ 1 - e^{-t} \\ e^{-2t} \end{bmatrix}$$

$$[w_1] = [-3 \ 2] \begin{bmatrix} x_1 \\ x_2 \end{bmatrix} + \frac{d}{dt} [1 \ 0 \ -2] \begin{bmatrix} te^{-t} \\ 1 - e^{-t} \\ e^{-2t} \end{bmatrix}$$

$$\begin{bmatrix} x_1(0) \\ x_2(0) \end{bmatrix} = \begin{bmatrix} -4 \\ -2 \end{bmatrix}$$

$$(f) \quad \frac{d}{dt} \begin{bmatrix} x_1 \\ x_2 \\ x_3 \end{bmatrix} = \begin{bmatrix} 0 & 5 & 4 \\ 0 & 8 & 0 \\ 12 & -3 & 8 \end{bmatrix} \begin{bmatrix} x_1 \\ x_2 \\ x_3 \end{bmatrix} + \begin{bmatrix} 1 & 0 \\ 0 & 2 \\ -1 & -2 \end{bmatrix} \begin{bmatrix} \sin t \\ \cos t \end{bmatrix}$$

$$\begin{bmatrix} w_1 \\ w_2 \\ w_3 \end{bmatrix} = \begin{bmatrix} 1 & -1 & 0 \\ 0 & 1 & -1 \\ 0 & 0 & 1 \end{bmatrix} \begin{bmatrix} x_1 \\ x_2 \\ x_3 \end{bmatrix} + \begin{bmatrix} 1 & 0 \\ 0 & 1 \\ -1 & -1 \end{bmatrix} \begin{bmatrix} \sin t \\ \cos t \end{bmatrix}$$

$$\begin{bmatrix} x_1(0) \\ x_2(0) \\ x_3(0) \end{bmatrix} = \begin{bmatrix} 0 \\ 1 \\ -1 \end{bmatrix}$$

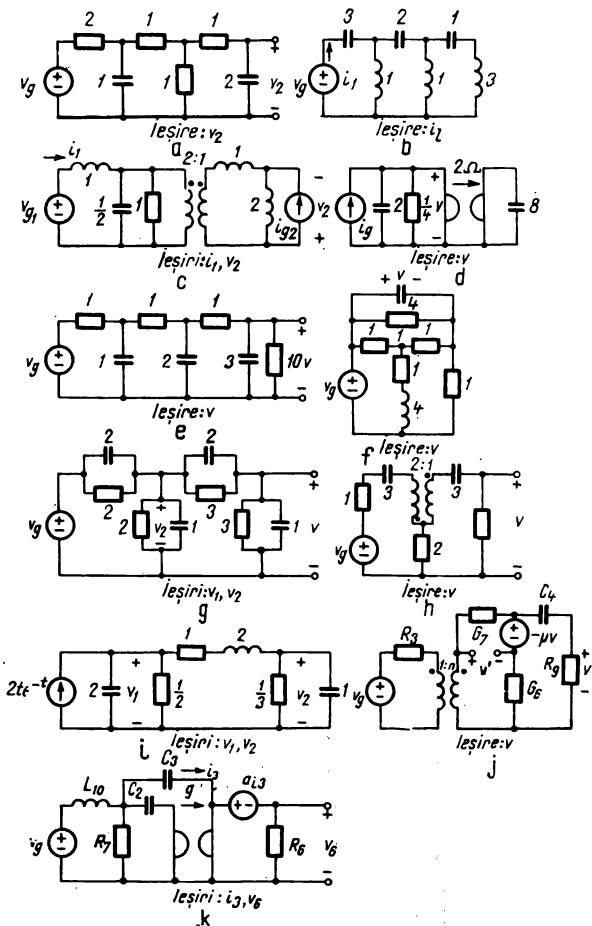


Fig. 4. P18

P 17. Dacă valorile proprii ale lui \mathcal{A} sînt diferite de acelea ale lui \mathcal{F} , atunci

$$\mathcal{S} = - \sum_{i=1}^k \sum_{j=1}^n \mathbf{K}_{ij} \mathcal{B} \mathcal{K} (\mathcal{F} - s_i \mathbf{U})^{-j}$$

este soluția unică a

$$\mathcal{A} \mathcal{S} - \mathcal{S} \mathcal{F} = \mathcal{B} \mathcal{K},$$

unde \mathbf{K}_{ij} sînt matricele constituante și s_i sînt valorile proprii ale lui \mathcal{A} . Fie r_i notația multiplicității lui s_i și k numărul de valori proprii distincte. Cînd valorile proprii ale lui \mathcal{A} și \mathcal{F} sînt diferite, rezolvați pe \mathcal{S} prin folosirea formulei de mai sus, pentru fiecare din părțile problemei 16.

P 18. Pentru fiecare din rețelele din fig. 4.P18. obțineți ecuațiile de stare prin a) metoda matricei formale și b) metoda evaluării parametrilor multiportului rezistiv.

P 19. Obțineți ecuațiile de stare pentru rețeaua din fig. 4. P19 prin ambele metode: metoda matriceală și metoda evaluării parametrilor multiportului rezistiv. Pentru probă folosiți circuitul echivalent arătat. Variabilele de răspuns sînt tensiunile pe toate inductanțele.

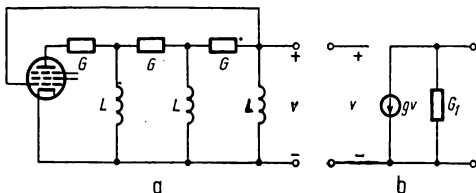


Fig. 4. P 19

P 20. Determinați ordinul de complexitate al rețelelor active, neregulate din fig. 4. P20.

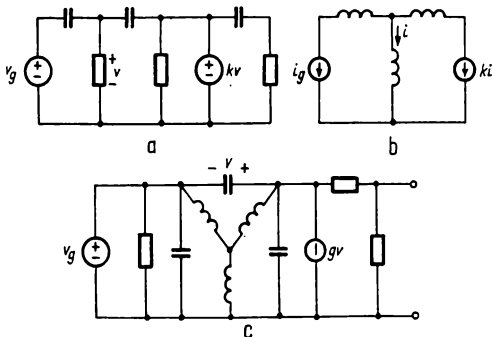


Fig. 4. P 20.

P 21. Folosind metoda din paragraful 4.6, găsiți ecuațiile de stare pentru rețelele din fig. 4. **P 21.** În a) ieșirea este $i_1(t)$; alegeți un arbore normal care să conțină toate capacitățile C . În (b), ieșirile sînt i_1 și v_2 ; alegeți arborele normal care să includă pe L_a .

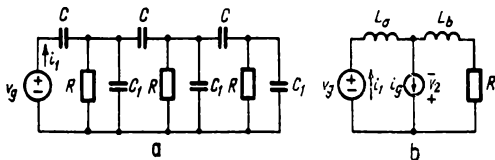


Fig. 4. P 21

P 22. Obțineți ecuațiile de stare pentru amplificatorul cu un singur etaj arătat în fig. 4. **P 22a.** Folosiți circuitul echivalent Π hibrid pentru tranzistor, reprezentat în fig. 4. **P 22b.** Răspunsul rețelei este tensiunea v_2 .

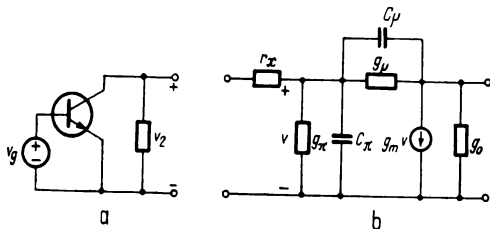


Fig. 4. P 22

P 23. Obțineți ecuațiile de stare pentru rețeaua din fig. 4. **P 23.** Rezolvați pentru matricea de tranziție a stărilor. Scrieți ecuația pentru soluția vectorului de răspuns $w = [v_2 v_3]'$. Capacitățile nu sînt încărcate la $t_0 = 0$. Găsiți soluția

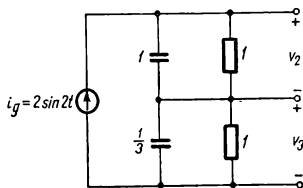


Fig. 4. P 23

P 24. În obținerea formulării generale a ecuațiilor de stare din considerații topologice, am presupus că toate laturile pot fi clasificate în : 1) surse independente, (2) capacități, (3) inductanțe, sau (4) rezistențe. Formularea generală a ecuațiilor de stare poate fi făcută de asemenea folosind latura combinată arătată în fig. 4 **P 24 a** în locul unei laturi de capacitate ;

5. o latură compusă ca cea din fig. 4 P24b în locul unei laturi de inductanțe. Rezistențele asociate vor continua să existe ca laturi. Deduceți în detaliu această metodă. Discutați avantajele și dezavantajele obținerii ecuațiilor de stare în acest fel.

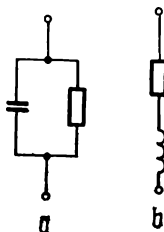


Fig 4. P 24

P 25. Folosiți metoda dezvoltată în problema 21, la determinarea ecuațiilor de stare, pentru fiecare din rețelele reprezentate în fig. 4 P25. Sînt indicate pentru fiecare caz variabilele de ieșire.

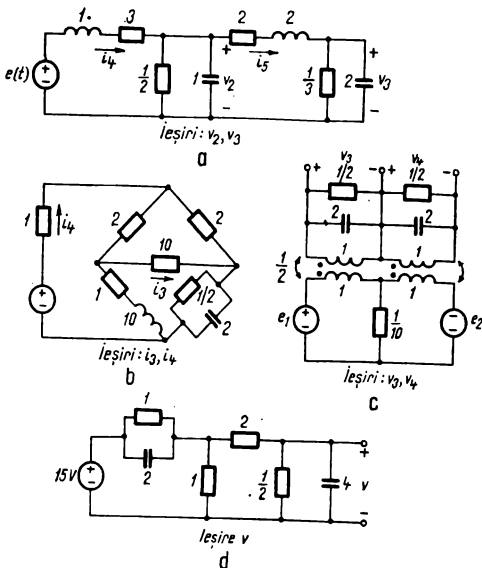


Fig. 4. P 25

P 26. Determinați ecuațiile de stare pentru amplificatorul arătat în fig. 4. P26 a. Folosiți modelul tranzistorului arătat în fig. 4. P24b.

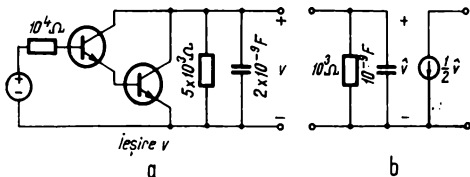


Fig. 4. P. 26

P 27. Obțineți ecuațiile de stare pentru amplificatorul cu trei etaje reprezentat în fig. 4. P 27a. Folosiți modelul triodei arătat în fig. 4. P27b.

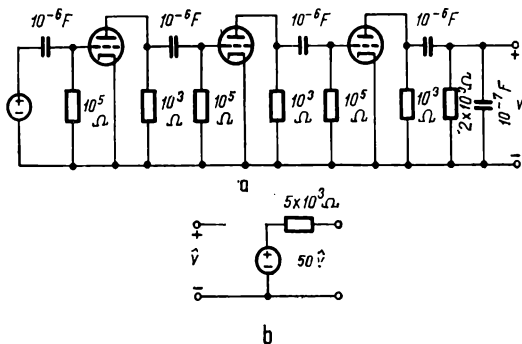


Fig. 4. P. 27

P 28. În text, pentru obținerea ecuațiilor de stare, a fost folosită reprezentarea hibridă g pentru deducerea relațiilor $v - i$ la rezistențe. Este posibilă însă și o altă reprezentare. Înlocuiți ecuațiile rezistive din (125) cu unul din următoarele seturi de ecuații și arătați că acestea împreună cu ecuațiile Kirchhoff determină vectorii i_{Rl} și v_{Rl} necesari în (119) și (124). Formulați explicit orice condiție necesară care asigură o soluție pentru i_{Rl} și v_{Rl} .

(a) $v_{Rl} = H_{ll} i_{Rl} + H_{lt} v_{Rl}$

$i_{Rl} = H_{tl} i_{Rl} + H_{tt} v_{Rl}$

(b) $v_{Rl} = Z_{ll} i_{Rl} + Z_{lt} i_{Rl}$

$v_{Rl} = Z_{tl} i_{Rl} + Z_{tt} i_{Rl}$

(c) $i_{Rl} = Y_{ll} v_{Rl} + Y_{lt} v_{Rl}$

$i_{Rl} = Y_{tl} v_{Rl} + Y_{tt} v_{Rl}$

(d) $v_{Rl} = A v_{Rl} - B i_{Rl}$

$i_{Rl} = C v_{Rl} - D i_{Rl}$

(e) $v_{Rl} = \hat{A} v_{Rl} - \hat{B} i_{Rl}$

$i_{Rl} = \hat{C} v_{Rl} - \hat{D} i_{Rl}$

P 29. În rețelele din fig. 4.4 și 4.5 din text, obțineți pe i_{R_L} și v_{R_L} folosind metoda bazată pe (125) și discutată în text, apoi deduceți pe i_{R_L} și v_{R_L} folosind una din celelalte reprezentări din problema 28. Unele reprezentări conduc la mai puține calcule în rezolvare? Discuții.

P 30. Determinați ecuațiile de stare pentru rețeaua reprezentată în fig. 4. P30. Folosiți modelul tranzistorului arătat în fig. 4. P26b.

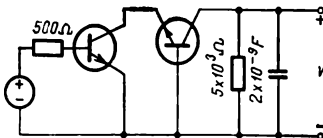


Fig. 4. P 30

P 31. Determinați ecuațiile de stare pentru rețeaua amplificatorului diferențial reprezentată în fig. 4. P 31. Folosiți modelul tranzistorului arătat în fig. 4. P26b.

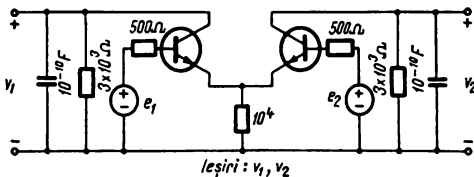


Fig 4. P 31

P 32. Determinați ecuațiile de stare pentru rețeaua reprezentată în fig. 4. P32, folosind modelul tranzistorului arătat în fig. 4. P26b.

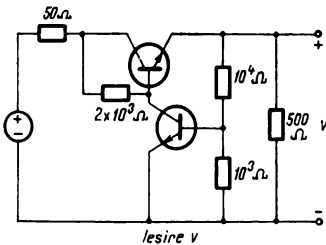


Fig 4. P 32

P 33. Determinați ecuația de stare pentru fiecare din rețelele de oscilator arătate în fig. 4. P33a, b, c folosind modelul tranzistorului din fig. 4. P33d.

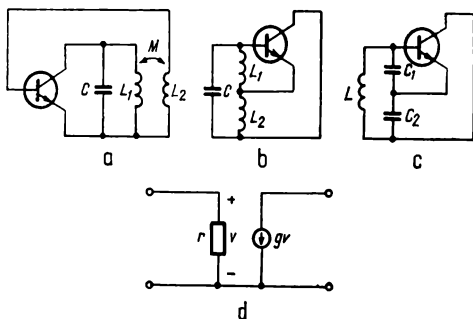


Fig. 4. P 33

P 34. Rețeaua reprezentată în fig. 4 P34 este un circuit de oscilator RC simplu. Determinați ecuația de stare și indicați pentru ce valoare a lui α există valori proprii imaginare ale lui \mathcal{A} .

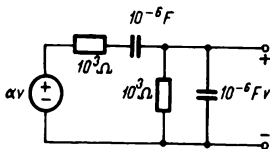


Fig 4. P 34

P 35. Presupunem că \mathcal{A} și \mathcal{F} din (57) nu au valori proprii comune. Fie $\sum_{i=0}^n \alpha_i \lambda^{n-i}$ și $\sum_{i=0}^m \beta_i \lambda^{m-i}$ polinoamele caracteristice ale lui \mathcal{A} și respectiv \mathcal{F} .

Fie

$$M_0 = 0$$

$$M_1 = \mathcal{B}\mathcal{K}$$

$$M_k = \mathcal{A} M_{k-1} + M_{k-1} \mathcal{F} - A M_{k-2} \mathcal{F}, \quad k = 2, 3, \dots$$

Soluția lui (57) este atunci dată de una din următoarele ecuații:

$$\mathcal{S} = - \left\{ \sum_{i=0}^{n-1} \alpha_i M_{n-i} \right\} \left\{ \sum_{i=0}^n \alpha_i \mathcal{F}^{n-i} \right\}^{-1}$$

$$\mathcal{S} = \left\{ \sum_{i=0}^m \beta_i \mathcal{A}^{m-i} \right\}^{-1} \left\{ \sum_{i=0}^{m-1} \beta_i M_{m-i} \right\}$$

Pentru fiecare parte a problemei 16, găsiți pe \mathcal{S} folosind una din formulele de mai sus, atunci când valorile proprii ale lui \mathcal{A} și \mathcal{F} sînt diferite.

P 36. (a). Pentru rețeaua arătată în fig. 4. P 36a., specificați numărul de frecvențe naturale și numărul de frecvențe naturale diferite de zero. **b)** Repetați aceasta pentru rețeaua din fig. 4. P 36b. Stabiliți dacă valorile frecvențelor naturale (nu numărul lor) sînt aceleași sau diferite în cele două cazuri. Explicați.

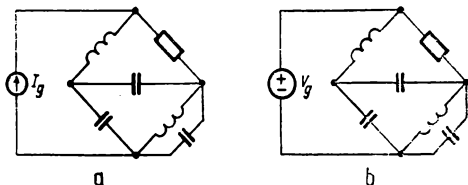


Fig 4. P 36

Următoarele șase probleme fac pregătirea pentru scrierea unui program pe calculator, care să ne ajute în rezolvarea acestor probleme. În fiecare caz, trebuie găsită o diagramă de programare (organigramă) și un set de instrucțiuni de programare. Pentru un program pe calculator digital, cel mai folosit limbaj este FORTRAN IV. Găsiți un set de instrucțiuni pentru program.

P 37. Pregătiți un program de evaluare a $[su - \mathcal{A}]^{-1}$ prin algoritmul matricei rezolvente din (98).

P 38. Pregătiți un program de evaluare a lui \mathcal{A}^{-1} din (99).

P 39. Pregătiți un program de identificare a unui arbore normal pentru o rețea (conectată) în care fiecare latură este determinată de o succesiune de cuadrupleturi de numere: primul număr indică latura, al doilea număr indică tipul ei în concordanță cu lista dată mai jos; al treilea și al patrulea număr identifică nodurile la care este conectată latura. Programul va numerota din nou laturile în concordanță cu convenția din paragraful 4.5, referitoare la „considerații

Număr	Tip de latură
1	Surse de tensiune independente
2	Surse de curent independente
3	Capacitativitate
4	Rezistență
5	Inductanță

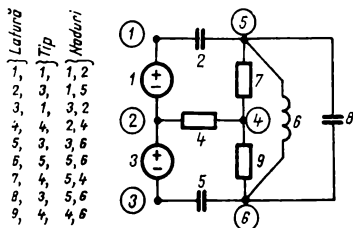


Fig. 4. P 39

topologice" și va oferi ca date de ieșire succesiunea cuadripleților de numere cu noua numerotare a laturilor. Un exemplu de set tipic de date este dat în fig. 4. P39 pentru rețeaua prezentată în această figură.

P 40. Pregătiți un program pentru a determina, în primul rînd, o reducere a matricei de incidență la noduri a unei rețele conectate și apoi a matricei de secțiuni f asociată unui arbore normal. Luați ca date de intrare, datele de ieșire din problema 39. Presupuneți că al treilea număr al fiecărui cuadrupelet de numere indică nodul la care este conectată coada săgeții laturei; atunci nodul de la vîrfurile săgeții laturii va fi al patrulea număr.

P 41. Pregătiți un program pentru determinarea lui \mathcal{A} , \mathcal{B}_1 și \mathcal{B}_2 din (142) cînd rețeaua este

- (a) RC fără coarde de capacități și fără ramuri de rezistențe
- (b) RC fără coarde de capacități
- (c) RC fără ramuri de rezistențe
- (d) RC (generală)
- (e) RL fără ramuri de inductanțe și fără coarde de rezistențe.
- (f) RL fără ramuri de inductanțe
- (g) RL fără coarde de rezistențe
- (h) RL (generală)
- (i) LC fără coarde de capacități și fără ramuri de inductanțe.
- (j) LC fără coarde de capacități
- (k) LC fără ramuri de inductanțe
- (l) LC (generală)
- (m) RLC (generală)

Datele de intrare sînt oferite ca o succesiune de cvintripleți de numere: primul număr indică ramura, al doilea număr indică tipul său în concordanță cu convenția făcută în problema 39, al treilea număr indică nodul din care pornește latura, al patrulea număr indică nodul în care sosește latura, și al cincilea număr indică valoarea parametrului asociat laturei (zero pentru toate sursele independente). Presupunem că evaluarea secțiunii f prin programul de la problema 40* este accesibilă.

P 42. Combinăm programele problemelor 39* și 40* cu fiecare din cele ale problemei 41* pentru a obține un singur program care, pornind de la datele de intrare ale problemei 41*, să determine ecuația de stare a rețelei pentru fiecare din tipurile rețelelor enumerate în problema 41*.

5

Soluții integrale

Am ajuns acum la stadiul în care fiind dată orice rețea liniară, invariantă în timp și o excitație arbitrară, se poate obține răspunsul complet. Metodele în domeniul frecvenței complexe din capitolele 2 și 3 sînt foarte utile în determinarea unei expresii analitice pentru răspuns. În particular cînd rețeaua nu are energie inițial acumulată am văzut că ea poate fi caracterizată prin funcția sa de transfer. Deci nu este neapărat necesar ca rețeaua să fie dată, atît timp cît funcția sa de transfer este cunoscută.

Metodele în domeniul timp din capitolul 4 sînt de asemenea utile în stabilirea unei expresii analitice pentru răspuns, dar ele sînt îndeosebi adecvate evaluării numerice a răspunsului în domeniul timp.

Ca și în cazul metodelor în domeniul frecvenței complexe, dacă rețeaua nu are energie inițial acumulată, atunci nu este nevoie ca ea să fie dată; este suficient a cunoaște relația integrală ce dă răspunsul ei în funcție de excitație.

În acest capitol ne vom ocupa mai întîi de problema determinării răspunsului unei rețele la o excitație arbitrară — în cazul în care nu se dă rețeaua dar se cunoaște răspunsul ei la anumite excitații standard. Pentru a defini aceste excitații standard se vor folosi funcțiile treaptă și impuls unitate. Vom stabili rezultate analitice folosind ambele metode, în domeniul frecvenței complexe și în domeniul timp. În plus, vom trata problema obținerii rezultatelor numerice în domeniul timp.

Pentru început, să facem legătura între răspunsul rețelei în domeniul frecvenței complexe și răspunsul în domeniul timp. Pentru realizarea acestui scop avem nevoie de un rezultat din teoria transformatelor Laplace. Deoarece acest rezultat este probabil mai puțin familiar decît cele obișnuite cum ar fi dezvoltarea în fracții parțiale, vom consacra o anumită parte a prezentului capitol, discutării lui.

5.1. TEOREMA CONVOLUȚIEI

Presupunem că o rețea neavind energie inițial acumulată este excitată de o sursă de tensiune și/sau curent la diferite intrări și se cere a se determina tensiunile și/sau curenții la ieșirile ei.

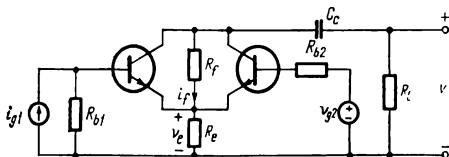


Fig. 5.1. Exemplu.

În fig. 5.1 este dat un exemplu ; în circuitul reprezentind un amplificator există o sursă de tensiune și o sursă de curent.

Răspunsurile cerute sînt cele două tensiuni v_e și v_o și curentul i_f . Transformatele vectorilor excitație și răspuns pentru acest circuit sînt după cum urmează :

$$\mathbf{E}(s) = \mathcal{L}[\mathbf{e}(t)] = \begin{bmatrix} I_{o1}(s) \\ V_{e2}(s) \end{bmatrix}, \quad \mathbf{W}(s) = \mathcal{L}[\mathbf{w}(t)] = \begin{bmatrix} V_o(s) \\ V_e(s) \\ I_f(s) \end{bmatrix},$$

presupunind că $\mathbf{e}(t)$ este transformabil. Fie $\mathbf{H}(s)$ matricea funcțiilor de transfer, denumită *matrice de transfer*, legînd transformatele excitației și răspunsului. Atunci transformata răspunsului poate fi scrisă :

$$\mathbf{W}(s) = \mathbf{H}(s) \mathbf{E}(s). \quad (1)$$

În acest exemplu, \mathbf{H} este de ordinul (3,2), dar relația este cu totul generală. În cazul general \mathbf{E} este un p -vector ; și \mathbf{W} , un r -vector ; deci \mathbf{H} este de ordinul (r, p) .

Fiind cunoscut $\mathbf{W}(s)$, în majoritatea cazurilor se găsește $\mathbf{w}(t)$ făcînd dezvoltarea în fracții parțiale a lui $\mathbf{W}(s)$ calculînd apoi transformata inversă pentru fiecare termen din dezvoltare. Ceea ce dorim să facem acum, este să exprimăm atît $\mathbf{H}(s)$ cît și $\mathbf{E}(s)$ în raport cu funcțiile de timp ale căror transformate sînt. Presupunem că $\mathbf{H}(s)$ este transformata unei

matrice de funcții avînd puncte ordinare ¹⁾. Dacă putem exprima rezultatul calculelor următoare asupra acestor funcții de timp în forma :

$$\mathbf{W}(s) = \int_0^{\infty} (\quad) e^{-st} dt, \quad (2)$$

atunci, din definiția transformatei Laplace, putem trage concluzia că termenul închis în paranteze este vectorul răspuns dorit. Ceea ce intenționăm să facem nu depinde de interpretarea lui $\mathbf{H}(s)$ ca o matrice de transfer și a lui $\mathbf{E}(s)$ ca vector excitație. De aceea vom folosi în cursul dezvoltării de mai jos o notație mai generală.

Fie $\mathbf{F}_1(s)$ și $\mathbf{F}_2(s)$ transformatele Laplace ale matricelor de funcții $\mathcal{F}_1(t) = [f_{1ij}(t)]$ și $\mathcal{F}_2(t) = [f_{2ij}(t)]$, respectiv ; adică,

$$\mathbf{F}_1(s) = \int_0^{\infty} \mathcal{F}_1(u) e^{-su} du, \quad (3 a)$$

$$\mathbf{F}_2(s) = \int_0^{\infty} \mathcal{F}_2(v) e^{-sv} dv. \quad (3 b)$$

Am folosit variabilele auxiliare u și v în locul lui t , pentru a evita confuzii în dezvoltarea ulterioară. Presupunem că produsul matricelor $\mathbf{F}_1(s)\mathbf{F}_2(s)$ este definit. Atunci găsim : $\mathbf{F}(s) = \mathbf{F}_1(s)\mathbf{F}_2(s)$

$$\mathbf{F}(s) = \mathbf{F}_1(s)\mathbf{F}_2(s) \quad (4)$$

$$= \left[\int_0^{\infty} \mathcal{F}_1(u) e^{-su} du \right] \left[\int_0^{\infty} \mathcal{F}_2(v) e^{-sv} dv \right] = \int_0^{\infty} \int_0^{\infty} \mathcal{F}_1(u) \mathcal{F}_2(v) e^{-s(u+v)} du dv.$$

Ultima egalitate este evident justificată căci fiecare integrală din rîndul al doilea este o constantă în raport cu cealaltă variabilă de integrare. Produsul integralelor din membrul al doilea poate fi interpretat ca o integrală dublă calculată pe un plan ale cărei axe coordonate sînt u și v . Integrarea trebuie să fie făcută pe întreg cadranul întii așa cum se arată în fig. 5.2 a.

Vom face acum o transformare de variabile după cum urmează :

$$\begin{aligned} t &= u + v, \\ \tau &= u. \end{aligned} \quad (5)$$

¹⁾ Funcție în sensul obișnuit al cuvîntului, iar în lucrarea de față fiind continuă, sau continuă pe porțiuni sau local integrabilă. Aceasta pentru a face deosebirea între funcțiile obișnuite și cele generalizate definite în Anexa 1. (N.T.)

În realitate, a doua din relațiile de mai sus este o transformare identitate și este introdusă numai pentru claritate. Acum trebuie să exprimăm integrala dublă în funcție de noile variabile. Elementul de suprafață $du dv$ referitor la variabilele inițiale este legat de elementul de suprafață $d\tau dt$ referitor la noile variabile prin Jacobianul transformării: astfel¹,

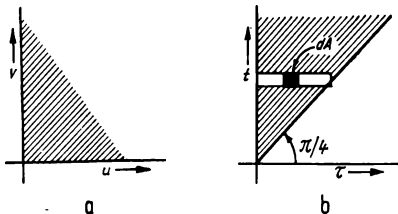


Fig. 5.2. Domeniul de integrare.

$$du dv = \left| \frac{\partial u}{\partial t} \frac{\partial v}{\partial \tau} - \frac{\partial u}{\partial \tau} \frac{\partial v}{\partial t} \right| d\tau dt. \quad (6)$$

Calculind derivatele parțiale din (5) și substituind aici se obține rezultatul $d\tau dt = du dv$.

Pentru a completa schimbarea de variabile trebuie să determinăm noile limite de integrare. Observăm că deoarece $t = u + v = \tau + v$, și deoarece v ia numai valori pozitive, t nu poate fi mai mic decât τ . Dreapta $t = \tau$ în planul $\tau-t$ este bisectoarea primului cadran; astfel domeniul de integrare este suprafața cuprinsă între această dreaptă și axa t , așa cum se arată în fig. 5.2 b. Pentru a acoperi această suprafață, integrăm mai întâi în raport cu τ de la $\tau = 0$ la $\tau = t$; apoi integrăm în raport cu t de la 0 la infinit.

Cu schimbarea de variabile dată în (5) și cu limitele schimbate așa cum s-a discutat, din (4) obținem:

$$\mathbf{F}(s) = \int_0^\infty \left\{ \int_0^t \mathcal{F}_1(\tau) \mathcal{F}_2(t - \tau) d\tau \right\} e^{-st} dt. \quad (7)$$

Aceasta este exact de forma (2), astfel încît putem identifica cantitatea dintre paranteze ca $\mathcal{F}(t) = \mathcal{L}^{-1}\{\mathbf{F}(s)\}$. Este clar că dacă în (3) scriem $\mathbf{F}_1(s)$ în funcție de variabila auxiliară v și $\mathbf{F}_2(s)$ în funcție de u , atunci în rezultatul dat de (7) argumentele lui \mathcal{F}_1 și \mathcal{F}_2 vor fi schimbate între ele. Ca

¹ Vezi Wilfred Kaplan, *Advanced Calculus* Addison-Wesley, Cambridge Mass 1953 p. 200.

urmare, rezultatul final poate fi scris în cele două forme diferite echivalente :

$$\mathcal{F}(t) = \int_0^t \mathcal{F}_1(\tau) \mathcal{F}_2(t - \tau) d\tau, \quad (8)$$

$$\mathcal{F}(t) = \int_0^t \mathcal{F}_1(t - \tau) \mathcal{F}_2(\tau) d\tau. \quad (9)$$

Operația executată asupra celor două matrice $\mathcal{F}_1(t)$ și $\mathcal{F}_2(t)$ reprezentată de aceste două expresii se numește *convoluție*. Spunem că s-a efectuat produsul de convoluție al matricelor. Convoluția a două matrice este adesea notată prin notația prescurtată $\mathcal{F}_1 * \mathcal{F}_2$. Putem enunța rezultatul de mai sus sub forma unei teoreme, după cum urmează. **Teorema convoluției.** — Fie două matrice $\mathcal{F}_1(t)$ și $\mathcal{F}_2(t)$ transformabile Laplace și având transformatele $\mathbf{F}_1(s)$ respectiv $\mathbf{F}_2(s)$. Produsul lui $\mathbf{F}_1(s)$ cu $\mathbf{F}_2(s)$, dacă ele se pot înmulți, este transformata Laplace a produsului de convoluție al lui $\mathcal{F}_1(t)$ prin $\mathcal{F}_2(t)$

$$\mathcal{L}\{\mathcal{F}(t)\} = \mathbf{F}(s) = \mathbf{F}_1(s) \mathbf{F}_2(s), \quad (10)$$

unde

$$\mathcal{F}(t) = \mathcal{F}_1 * \mathcal{F}_2 = \int_0^t \mathcal{F}_1(\tau) \mathcal{F}_2(t - \tau) d\tau = \int_0^t \mathcal{F}_1(t - \tau) \mathcal{F}_2(\tau) d\tau. \quad (11)$$

Deoarece folosim încă notația generală, să enunțăm încă un rezultat util referitor la derivata produsului de convoluție a două matrice. Dacă cele două matrice $\mathcal{F}_1(t)$ și $\mathcal{F}_2(t)$, sînt transformabile Laplace și în plus sînt derivabile pentru $t > 0$ (ele trebuie să fie numai continue la $t = 0$), atunci produsul lor de convoluție va fi de asemenea derivabil pentru $t > 0$. Derivata va fi

$$\dot{\mathcal{F}}(t) = \int_0^t \mathcal{F}_1(\tau) \dot{\mathcal{F}}_2(t - \tau) d\tau + \mathcal{F}_1(t) \mathcal{F}_2(0) \quad (12)$$

sau

$$\dot{\mathcal{F}}(t) = \int_0^t \dot{\mathcal{F}}_1(t - \tau) \mathcal{F}_2(\tau) d\tau + \mathcal{F}_1(0) \mathcal{F}_2(t), \quad (13)$$

unde punctul indică derivarea în raport cu t . Aceste expresii pot fi obținute aplicînd formula lui Leibnitz de derivare sub integrală. De fapt, putem observa că în realitate nu avem nevoie de ipoteza că $\mathcal{F}_1(t)$ și $\mathcal{F}_2(t)$

sint ambele derivabile. — Dacă una din funcții este derivabilă și cealaltă continuă, atunci produsul de convoluție $\mathcal{F}_1 * \mathcal{F}_2$ este derivabil.

Deși toate relațiile precedente au fost scrise în formă matriceală, rezultatele sint desigur valabile la fel de bine și în cazul scalar, un scalar fiind un vector unidimensional.

Astfel, pentru scalari, (8) și (9) devin :

$$f(t) = \int_0^t f_1(\tau) f_2(t - \tau) d\tau,$$

$$f(t) = \int_0^t f_1(t - \tau) f_2(\tau) dt.$$

5.2. RĂSPUNSUL LA IMPULSUL UNITATE

Să ne reintoarcem la problema inițială a găsirii răspunsului $w(t)$, al unei rețele neavînd energie inițial acumulată, avînd matricea de transfer $\mathbf{H}(s)$, la excitația $e(t)$. Reamintim că $\mathbf{H}(s)$ trebuie să fie transformata unei matrice de funcții avînd puncte ordinare pentru a putea aplica teorema convoluției. Aceasta implică faptul că $\mathbf{H}(s)$ tinde la $\mathbf{0}$ cînd s tinde la infinit în interiorul domeniului de convergență pentru $\mathbf{H}(s)$. Fie $\mathbf{W}_s(t)$ transformata inversă a lui $\mathbf{H}(s)$; adică;

$$\mathcal{L}^{-1}\{\mathbf{H}(s)\} = \mathbf{W}_s(t), \quad (14)$$

motivul alegerii acestei notații se va vedea în cele ce urmează. Teorema convoluției aplicată lui (1) furnizează rezultatul

$$w(t) = \int_0^t \mathbf{W}_s(\tau) e(t - \tau) d\tau = \int_0^t \mathbf{W}_s(t - \tau) e(\tau) d\tau. \quad (15)$$

Acesta este un rezultat semnificativ. Folosind această expresie putem exprima răspunsul în domeniul timp al unei rețele la o excitație arbitrară $e(t)$ în funcție de transformata inversă a matricei de transfer a rețelei.

Este posibilă și o altă interpretare, dacă în discuția noastră admitem funcția impuls unitate ¹⁾).

O astfel de interpretare nu este absolut necesară deoarece (15) este de sine stătătoare. Totuși, interpretarea de mai jos este folositoare în anumite ocazii. De exemplu, folosind această interpretare se poate găsi în mod experimental o bună aproximație pentru $W_s(t)$.

Presupunem că toate excitațiile sînt zero cu excepția celei numerotate cu j și că aceasta este un impuls. În acest caz, vectorul excitație notat prin $e_{sj}(t)$, are toate componentele egale cu zero cu excepția celei de ordin j , acesta fiind funcția impuls $\delta(t)$. Putem privi $e_{sj}(t)$ ca fiind coloana j a unei matrice a excitațiilor $E_s(t)$, de dimensiuni $p \times p$. Astfel, de exemplu

$$e_{s2}(t) = \begin{bmatrix} 0 \\ \delta(t) \\ 0 \\ \vdots \\ 0 \end{bmatrix}$$

este al doilea vector coloană al matricei excitațiilor

$$E_s(t) = \begin{bmatrix} \delta(t) & 0 & \dots & 0 \\ 0 & \delta(t) & \dots & 0 \\ \vdots & \vdots & \ddots & \vdots \\ 0 & 0 & \dots & \delta(t) \end{bmatrix} = \delta(t) U$$

În mod analog, fie $w_{sj}(t)$ vectorul răspuns rezultat din $e_{sj}(t)$; adică $w_{sj}(t)$ este mulțimea tuturor răspunsurilor scalare, atunci cînd există excitație la o singură intrare și această excitație este un impuls. Să aran-

¹⁾ Funcția impuls $\delta(t)$ nu este o funcție avînd puncte ordinare; ea este o funcție generalizată. În mod simbolic, putem folosi relații matematice ce conțin funcția impuls unitate și derivatele sale, așa cum folosim relații pentru funcțiile ordinare. Pe de altă parte, rigurozitatea matematică implică considerarea fiecărei funcții ca o funcție generalizată și fiecare operație ca fiind definită în spațiul funcțiilor generalizate. O scurtă tratare a teoriei funcțiilor generalizate este dată de Anexa 1. Aici este suficient să observăm că funcția impuls satisface relațiile de mai jos. Pentru $a \leq \tau \leq b$ $\int_a^b \delta(t - \tau) d\tau = 1$,

$$\int_a^b \delta(t - \tau) f(\tau) d\tau = f(t),$$

$$\int_a^b \dot{\delta}(t - \tau) f(\tau) d\tau = \dot{f}(t).$$

Pentru valori ale lui τ în afara intervalului $[a, b]$ fiecare din integralele de mai sus devine zero.

jăm acești vectori $\mathbf{w}_{\delta j}$ în coloanele unei matrice $r \times p$, notată $\mathbf{W}_{\delta}(t)$ și numită *răspunsul la impulsul unitate* al rețelei. — Observăm cu atenție că $\mathbf{W}_{\delta}(t)$ este un set (mulțime) de vectori răspuns avind câte o coloană pentru fiecare coloană a lui $\mathbf{E}_{\delta}(t)$. Astfel $\mathbf{W}_{\delta}(t)$ nu este un răspuns observabil în timp ce fiecare din coloanele sale este un răspuns observabil. Pe de altă parte, suma elementelor în fiecare linie a lui $\mathbf{W}_{\delta}(t)$ este un răspuns observabil (scalar) și anume răspunsul la suma tuturor excitațiilor ¹⁾, aceste excitații fiind toate impulsuri.

Să ilustrăm aceasta cu exemplul din fig. 5.1.

$$\mathbf{e}_{\delta 1}(t) = \begin{bmatrix} \delta(t) \\ 0 \end{bmatrix}, \quad \mathbf{e}_{\delta 2}(t) = \begin{bmatrix} 0 \\ \delta(t) \end{bmatrix}, \quad \mathbf{E}_{\delta}(t) = \begin{bmatrix} \delta(t) & 0 \\ 0 & \delta(t) \end{bmatrix},$$

$$\mathbf{w}_{\delta 1}(t) = \begin{bmatrix} v_{o\delta 1}(t) \\ v_{e\delta 1}(t) \\ i_{i\delta 1}(t) \end{bmatrix}, \quad \mathbf{w}_{\delta 2}(t) = \begin{bmatrix} v_{o\delta 2}(t) \\ v_{e\delta 2}(t) \\ i_{i\delta 2}(t) \end{bmatrix}, \quad \mathbf{W}_{\delta}(t) = \begin{bmatrix} v_{o\delta 1}(t) & v_{o\delta 2}(t) \\ v_{e\delta 1}(t) & v_{e\delta 2}(t) \\ i_{i\delta 1}(t) & i_{i\delta 2}(t) \end{bmatrix}$$

În final, suma elementelor din prima linie a lui $\mathbf{W}_{\delta}(t)$ (adică, $v_{o\delta 1}(t) + v_{o\delta 2}(t)$) este tensiunea $v_o(t)$ cînd fiecare din cele două surse din figură este un impuls.

Să considerăm transformatele Laplace. Deoarece $\mathbf{E}_{\delta}(t) = \delta(t) \mathbf{U}$ avem

$$\mathcal{L}\{\mathbf{E}_{\delta}(t)\} = \mathcal{L}\{\delta(t) \mathbf{U}\} = \mathbf{U}. \quad (16)$$

Ecuția (1) leagă coloanele corespunzătoare ale transformatelor lui $\mathbf{E}_{\delta}(t)$ și $\mathbf{W}_{\delta}(t)$. Deci folosind (16) obținem

$$\mathcal{L}\{\mathbf{W}_{\delta}(t)\} = \mathbf{H}(s) \mathcal{L}\{\mathbf{E}_{\delta}(t)\} = \mathbf{H}(s) \quad (17)$$

sau echivalent

$$\mathbf{W}_{\delta}(t) = \mathcal{L}^{-1}\{\mathbf{H}(s)\}. \quad (18)$$

Ultima ecuație exprimă faptul că transformata inversă, a funcției de transfer a rețelei este egală cu răspunsul la impulsul unitate al rețelei. Am anticipat acest rezultat folosind notația din relația (14).

Să ne reîntoarcem la (15). Observăm că această ecuație exprimă faptul că fiind cunoscut răspunsul la impulsul unitate al unei rețele ne-

¹⁾ Se aplică la toate intrările impulsuri și se observă răspunsul la ieșirea corespunzătoare liniei lui $\mathbf{W}_{\delta}(t)$, numărul total de ieșiri fiind r (N T.).

ând energie inițial acumulată, răspunsul la oricare altă excitație $e(t)$ este determinat. Ceea ce trebuie să facem este să înmulțim la stînga vectorul excitației în fiecare punct τ cu răspunsul la impulsul unitate — nu în același punct, ci într-un punct $(t-\tau)$ — și apoi să integrăm. Un alt punct de vedere este acela că vectorul de intrare este „ponderat” de către răspunsul la impulsul unitate. Aceasta a condus la numele de „matrice pondere” folosit de unii autori pentru răspunsul la impulsul unitate¹.

Să dezvoltăm puțin conceptul de pondere. Un exemplu simplu va fi satisfăcător pentru ilustrarea celor de mai sus. Deci, să considerăm un circuit cu o singură intrare și o singură ieșire avînd funcția de transfer

$$H(s) = \frac{3}{(s+1)^2},$$

care este funcția de transfer $V_2(s)/V_1(s)$ a circuitului din fig. 5.3. Atunci răspunsul la impulsul unitate este dat de

$$w_d(t) = \frac{3}{4} t e^{-t}.$$

Graficul acestei funcții este cel din fig. 5.4.

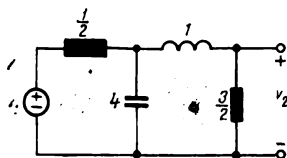


Fig. 5.3. Exemplu pentru conceptul de funcție de pondere.

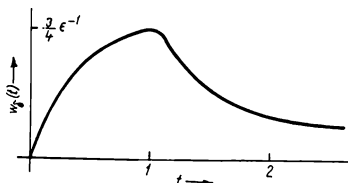


Fig. 5.4. Răspunsul la impulsul unitate al circuitului din fig. 5.3.

¹ Termenul de *funcție pondere* a fost folosit ca un alt nume pentru răspunsul la impulsul unitate al unei rețele cu o singură intrare și o singură ieșire. *Matricea pondere* este o generalizare naturală pentru cazul rețelilor cu mai multe intrări și ieșiri.

Presupunem că dorim să calculăm răspunsul acestui circuit la o anumită funcție de intrare $e(t)$.

Pentru ușurința interpretării, să considerăm convoluția lui $w_\delta(t)$ și $e(t)$ în cea de a doua formă dată de (15). Vom folosi τ ca variabilă auxiliară. Pentru a obține valoarea răspunsului pentru orice moment de timp dat t , mai întâi vom inversa răspunsul la impulsul unitate și îl vom transla de-a lungul axei τ astfel încît să obținem $w_\delta(t-\tau)$ ca funcție de τ . Să comparăm $w_\delta(t)$ în funcție de t din fig. 5. 4 cu $w_\delta(t-\tau)$ în funcție de τ din fig. 5.5a. În intervalul de la 0 la t excitația este suprapusă peste

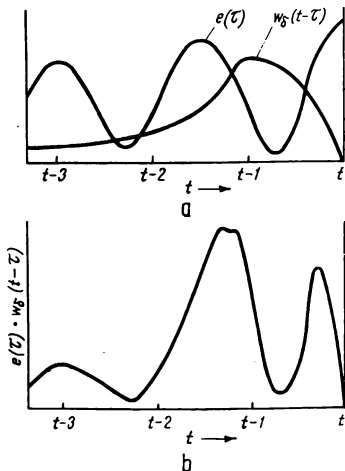


Fig. 5.5. Ilustrarea convoluției.

$w_\delta(t-\tau)$, în fig. 5.5a. Potrivit lui (15), trebuie să multiplicăm cele două curbe $w_\delta(t-\tau)$ și $e(\tau)$ punct cu punct în acest interval. Produsul rezultat este reprezentat în fig. 5.5. b. Deoarece $w_\delta(0) = 0$, valoarea lui $e(\tau)$ în punctul t nu aduce nici o contribuție la răspunsul în momentul t în ciuda faptului că $e(\tau)$ are o valoare maximă în acest punct. Pe de altă parte cea mai importantă vecinătate este aceea în jurul lui $(t-1)$ deoarece valorile lui $e(\tau)$ în această vecinătate sînt multiplicare de cea mai mare valoare luată de w_δ . În mod analog, valorile lui $e(\tau)$ pentru τ mai mic decît $(t-2)$ contribuie puțin la valoarea răspunsului în momentul t . Astfel, w_δ decide ponderea atribuită valorilor lui e în diferite momente de timp.

În acest caz, răspunsul, care conform lui (15) este integrala lui $w_s(t-\tau)$ de la 0 la t , este dictat aproape în totalitate de valorile lui $e(t)$ din cele 2 secunde anterioare lui t ; cea mai importantă contribuție este dată de valorile lui $e(t)$ situate în jurul momentului de timp cu o secundă înaintea momentului de timp la care evaluăm răspunsul.

Funcții de transfer diferite de zero la infinit

Se pune problema procedurii, în cazul în care funcția de transfer a rețelei nu are un zero la infinit. În astfel de cazuri, $w_s(t)$ va conține impulsuri ¹⁾ și derivatele de ordinul unu ale impulsurilor. Deoarece admitem impulsuri unitate în excitație, putem la fel de bine să admitem condiții mai puțin severe pentru $H(s)$ și să permitem acestuia să fie nenulă la infinit. Vom vedea mai jos ce efecte va avea acest lucru.

Funcția de transfer a unei rețele poate fi mai mult decât egală cu o constantă diferită de zero la infinit, ea poate avea la infinit un pol de ordin unu. Fie K_∞ matricea rezidurilor lui $H(s)$ în polul de la infinit, și fie K o matrice constantă, limita a lui $H(s) - K_\infty \cdot s$, când s tinde către infinit de-a lungul axei reale. Atunci putem scrie

$$H(s) = \hat{H}(s) + K + K_\infty s, \quad (19)$$

unde $\hat{H}(s)$ are un zero la infinit. Răspunsul la impulsul unitate va fi

$$W_s(t) = \hat{W}_s(t) + K\delta(t) + K_\infty \dot{\delta}(t), \quad (20)$$

unde $\hat{W}_s(t)$ este o matrice cu o „comportare bună” în sensul că nu conține funcții impuls. Să folosim această expresie în cea de a doua formă a lui (15) pentru a găsi răspunsul rețelei la o excitație $e(t)$.

Rezultatul va fi

$$\begin{aligned} w(t) &= \int_0^t \hat{W}_s(t-\tau) e(\tau) d\tau + \int_0^t K\delta(t-\tau) e(\tau) d\tau + \int_0^t K_\infty \dot{\delta}(t-\tau) e(\tau) d\tau \\ &= \int_0^t \hat{W}_s(t-\tau) e(\tau) d\tau + Ke(t) + K_\infty \dot{e}(t). \end{aligned} \quad (21)$$

¹⁾ Pentru prescurtare, atunci când nu se pot face confuzii, se va numi funcția impuls unitate — pur și simplu impuls. (N.T.)

Ultima etapă rezultă din proprietățile funcțiilor impuls și a derivatelor lor, date în Anexa 1. Relația (21) este forma generală a integralei de convoluție.

O altă metodă de obținere a integralei de convoluție

În obținerea relației (21) am permis ca $\mathbf{W}_s(t)$ în cea de a doua integrală de convoluție să conțină funcții impuls și derivate ale funcțiilor impuls; adică, nu toate elementele lui $\mathbf{W}_s(t)$ au fost în mod necesar funcții avînd puncte ordinare. Dar teorema convoluției este valabilă și atunci cînd elementele lui $\mathbf{W}_s(t)$ nu sînt funcții avînd puncte ordinare; totuși demonstrația dată în paragraful precedent nu este valabilă în acest caz mai general.

Este necesar deci a se considera un alt mod de obținere al relației (21). Acest lucru se realizează ușor folosind relațiile în domeniul timp stabilite în cap. 4.

Reamintim că ecuațiile de stare pentru o rețea pot fi scrise

$$\frac{d}{dt} \mathbf{x} = \mathcal{A} \mathbf{x} + \mathcal{B} \mathbf{e}, \quad (22a)$$

$$\mathbf{w} = \mathcal{C} \mathbf{x} + \mathcal{D} \mathbf{e} + \hat{\mathcal{D}} \frac{d}{dt} \mathbf{e}. \quad (22b)$$

De asemenea, reamintim că soluția ecuației diferențiale pentru vectorul de stare și din (22 b), soluția pentru vectorul de ieșire sînt

$$\mathbf{x}(t) = e^{\mathcal{A}(t-t_0)} \mathbf{x}(t_0) + \int_{t_0}^t e^{\mathcal{A}(t-\tau)} \mathcal{B} \mathbf{e}(\tau) d\tau, \quad (23a)$$

$$\mathbf{w}(t) = \mathcal{C} e^{\mathcal{A}(t-t_0)} \mathbf{x}(t_0) + \int_{t_0}^t \mathcal{C} e^{\mathcal{A}(t-\tau)} \mathcal{B} \mathbf{e}(\tau) d\tau + \mathcal{D} \mathbf{e} + \hat{\mathcal{D}} \frac{d\mathbf{e}}{dt}. \quad (23b)$$

Observăm că o parte a răspunsului este consecința stării inițiale diferite de zero. Vom nota cu

$$\mathbf{w}'(t) = \mathcal{C} e^{\mathcal{A}(t-t_0)} \mathbf{x}(t_0) \quad (24)$$

această parte. S-a ales ca indice superior f din cauză că $\mathbf{w}'(t)$ este cunoscut ca *răspunsul liber* al rețelei; denumirea este potrivită căci $\mathbf{w}'(t)$ este inde-

pendent de excitația rețelei. Partea rămasă a răspunsului rezultă din excitația diferită de zero a rețelei. Vom nota cu

$$\mathbf{w}^c(t) = \int_0^t \mathcal{E}^{\mathbf{A}(t-\tau)} \mathcal{B} \mathbf{e}(\tau) d\tau + \mathcal{D} \mathbf{e}(t) + \hat{\mathcal{D}} \frac{d}{dt} \mathbf{e}(t) \quad (25)$$

această parte. Indicele superior c a fost ales din cauză că $\mathbf{w}^c(t)$ poate fi privit ca *răspuns forțat* la excitația rețelei. Ca o consecință a acestor definiții avem

$$\mathbf{w}(t) = \mathbf{w}'(t) + \mathbf{w}^c(t). \quad (26)$$

Cînd rețeaua este fără energie inițial acumulată $\mathbf{x}(t_0) = \mathbf{0}$ și deci $\mathbf{w}'(t) = \mathbf{0}$. Astfel, răspunsul total al rețelei este pur și simplu răspunsul forțat. Apoi, luînd pentru t_0 valoarea 0, obținem

$$\mathbf{w}(t) = \mathbf{w}^c(t) = \int_0^t \mathcal{E}^{\mathbf{A}(t-\tau)} \mathcal{B} \mathbf{e}(\tau) d\tau + \mathcal{D} \mathbf{e}(t) + \hat{\mathcal{D}} \dot{\mathbf{e}}(t). \quad (27)$$

Observăm că (21) și (27) sînt identice după identificarea lui $\hat{\mathbf{W}}_s(t)$ cu $\mathcal{E}^{\mathbf{A}t} \mathcal{B}$, \mathbf{K} cu \mathcal{D} , și \mathbf{K}_∞ cu $\hat{\mathcal{D}}$; astfel teorema este demonstrată.

Urmează un comentariu suplimentar asupra necesității introducerii funcțiilor generalizate. Vom restrînge $\mathbf{e}(t)$ și $\mathbf{w}(t)$ la mulțimea funcțiilor vectoriale de variabilă reală avînd puncte ordinare. După cum se vede din (27), dacă $\hat{\mathcal{D}} \neq 0$ atunci trebuie să impunem și cerința că $\mathbf{e}(t)$ să admită o derivată pentru $t \geq 0$. O restricție ca aceasta nu este de dorit deoarece este necesar de multe ori să examinăm $\mathbf{w}(t)$ cînd elemente ale lui $\mathbf{e}(t)$ sînt funcții discontinue sau avînd discontinuități de pantă. Două funcții tipice de acest fel sînt funcția treaptă unitate

$$\begin{aligned} u(t) &= 0 \quad (t < 0) \\ &= 1 \quad (0 \leq t) \end{aligned}$$

care este discontinuă în $t = 0$; și funcția rampă $t u(t)$, care are o discontinuitate de pantă (a derivatei de ordin unu) în $t = 0$. Putem ocoli restricția de derivabilitate înlocuind restricția inițială asupra lui $\mathbf{e}(t)$ și $\mathbf{w}(t)$ la mulțimea funcțiilor vectoriale avînd puncte ordinare, și permițînd lui $\mathbf{e}(t)$ și $\mathbf{w}(t)$ să fie funcții vectoriale generalizate. Acest fapt înlătură restricția de derivabilitate deoarece orice funcție generalizată are derivate de orice ordin.

Exemple

Aplicarea integralei de convoluție pentru soluționarea unei probleme este directă. Este mai întâi necesar să se găsească răspunsul la impulsul unitate $\mathbf{W}_\delta(t) = \mathcal{L}^{-1}\{\mathbf{H}(s)\}$ și apoi să se substituească acesta împreună cu excitația așa cum este dată de expresia funcțională — fiind posibile expresii funcționale diferite pentru intervale diferite în timp — în integrala de convoluție. Vom ilustra acest procedeu în următorul exemplu.

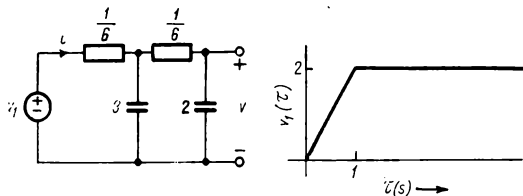


Fig. 5.6. Exemplu.

În circuitul neavînd energie inițial acumulată din fig. 5.6, fie răspunsul v și i după cum sînt indicate în figură. Există o singură sursă avînd tensiunea dată în grafic. Deci vectorul excitației este de dimensiune 1×1 și vectorul răspuns este de dimensiune 2×1 . Matricea funcțiilor de transfer este

$$\mathbf{H}(s) = \mathcal{L} \begin{bmatrix} v_\delta(t) \\ i_\delta(t) \end{bmatrix} = \begin{bmatrix} \frac{6}{(s+1)(s+6)} \\ -\frac{6s(s+5)}{(s+1)(s+6)} \end{bmatrix} = \begin{bmatrix} \frac{6/5}{s+1} - \frac{6/5}{s+6} \\ 6 - \frac{24/5}{s+1} - \frac{36/5}{s+6} \end{bmatrix}.$$

(Cititorul poate intra în detaliile găsirii acestor expresii; de exemplu, prin scrierea ecuațiilor de stare). Observăm că primul element al lui $\mathbf{H}(s)$ are un zero la infinit, în timp ce al doilea este nenul la infinit. Răspunsul la impulsul unitate va fi deci

$$\mathbf{W}_\delta(t) = \mathcal{L}^{-1} \mathbf{H}(s) = \frac{6}{5} \begin{bmatrix} e^{-t} - e^{-6t} \\ -4e^{-t} - 6e^{-6t} \end{bmatrix} + \begin{bmatrix} 0 \\ 6 \end{bmatrix} \delta(t).$$

Deoarece excitația are o formă funcțională diferită pentru $0 \leq t \leq 1$ de cea pentru $t \geq 1$, răspunsul pentru fiecare din aceste intervale de timp trebuie să fie găsit separat. Astfel

$$v_1(t) = 2t \quad (0 \leq t \leq 1),$$

$$v_1(t) = 2 \quad (t \geq 1)$$

Deci, din (21), pentru $0 \leq t \leq 1$, rezultă

$$\begin{aligned} w(t) &= \int_0^t \frac{8}{5} \begin{bmatrix} \varepsilon^{-(t-\tau)} - \varepsilon^{-\theta(t-\tau)} \\ -4\varepsilon^{-(t-\tau)} - 6\varepsilon^{-\theta(t-\tau)} \end{bmatrix} 2\tau d\tau + \begin{bmatrix} 0 \\ 6 \end{bmatrix} 2t \\ &= \frac{12}{5} \begin{bmatrix} \varepsilon^{-t} \int_0^t \tau \varepsilon^{\tau} d\tau - \varepsilon^{-\theta t} \int_0^t \tau \varepsilon^{\theta \tau} d\tau \\ -4\varepsilon^{-t} \int_0^t \tau \varepsilon^{\tau} d\tau - 6\varepsilon^{-\theta t} \int_0^t \tau \varepsilon^{\theta \tau} d\tau \end{bmatrix} + \begin{bmatrix} 0 \\ 12t \end{bmatrix} \\ &= \begin{bmatrix} 2t - \frac{7}{5} + \frac{12}{5} \varepsilon^{-t} - \frac{1}{15} \varepsilon^{-\theta t} \\ -12t + 10 - \frac{48}{5} \varepsilon^{-t} - \frac{2}{5} \varepsilon^{-\theta t} \end{bmatrix} + \begin{bmatrix} 0 \\ 12t \end{bmatrix}. \end{aligned}$$

În intervalul $t \geq 1$ integrala de la 0 la t trebuie să fie scrisă ca suma a două integrale, prima de la 0 la 1, a doua de la 1 la t . Excitația în primul interval este $v_1(t) = 2t$, aceeași ca în cazul de mai sus. Deci în calculul următor este suficient a înlocui limita t prin 1 în integrala precedentă și apoi a se calcula integrala a doua. Observăm că nu se înlocuiește $t = 1$ peste tot în integrala calculată: mai sus ci numai în contribuția ce vine de la limita superioară. Astfel, pentru $t \geq 1$

$$\begin{aligned} w(t) &= \frac{12}{5} \begin{bmatrix} \varepsilon^{-t} \int_0^1 \tau \varepsilon^{\tau} d\tau - \varepsilon^{-\theta t} \int_0^1 \tau \varepsilon^{\theta \tau} d\tau \\ -4\varepsilon^{-t} \int_0^1 \tau \varepsilon^{\tau} d\tau - 6\varepsilon^{-\theta t} \int_0^1 \tau \varepsilon^{\theta \tau} d\tau \end{bmatrix} \\ &\quad + \frac{12}{5} \int_1^t \begin{bmatrix} \varepsilon^{-(t-\tau)} - \varepsilon^{-\theta(t-\tau)} \\ -4\varepsilon^{-(t-\tau)} - 6\varepsilon^{-\theta(t-\tau)} \end{bmatrix} d\tau + \begin{bmatrix} 0 \\ 6 \end{bmatrix} 2 \\ &= \begin{bmatrix} -\frac{12}{5} (1 - \varepsilon^{-1}) \varepsilon^{-(t-1)} + \frac{1}{15} (1 - \varepsilon^{-\theta}) \varepsilon^{-\theta(t-1)} + 2 \\ \frac{48}{5} (1 - \varepsilon^{-1}) \varepsilon^{-(t-1)} + \frac{2}{5} (1 - \varepsilon^{-\theta}) \varepsilon^{-\theta(t-1)} - 12 \end{bmatrix} + \begin{bmatrix} 0 \\ 12 \end{bmatrix} \end{aligned}$$

Cititorul poate executa în detaliu calculele de mai sus și verifica faptul că ambele expresii dau aceeași valoare pentru w la $t=1$.

5.3. RĂSPUNSUL LA TREAPTA UNITATE

În paragraful precedent am stabilit că răspunsul unei rețele neavînd energie inițial acumulată poate fi găsit simplu dacă se cunoaște răspunsul la impulsul unitate al aceleiași rețele. În acest paragraf vom arăta că

aceiași concluzie este valabilă și în cazul cunoașterii a ceea ce vom numi răspunsul la treaptă unitate al rețelei.

Presupunem că toate excitațiile sînt zero, cu excepția celei de rang j , care este o treaptă unitate. Notăm prin $e_{uj}(t)$ un vector excitație avînd toate elementele egale cu zero cu excepția celui de rang j , aceasta fiind o treaptă unitate $u(t)$. Putem privi e_{uj} ca fiind coloana j a unei matrice $p \times p$, $E_u(t)$. Astfel de exemplu

$$e_{u3}(t) = \begin{bmatrix} 0 \\ 0 \\ u(t) \\ 0 \\ \vdots \\ 0 \end{bmatrix}$$

este al treilea vector coloană al matricei excitațiilor

$$E_u(t) = \begin{bmatrix} u(t) & 0 & 0 & \dots & 0 \\ 0 & u(t) & 0 & \dots & 0 \\ 0 & 0 & u(t) & \dots & 0 \\ \vdots & \vdots & \vdots & & \vdots \\ 0 & 0 & 0 & \dots & u(t) \end{bmatrix} = u(t)U.$$

Analog, fie $w_{uj}(t)$ vectorul răspuns rezultînd din $e_{uj}(t)$; adică, $w_{uj}(t)$ este mulțimea tuturor răspunsurilor scalare atunci cînd există o singură excitație și această excitație este o treaptă unitate aplicată la intrarea a j -a. Presupunem că acești vectori sînt aranjați ca coloane ale unei matrice $r \times p$ notată $W_u(t)$ și numită *răspunsul la treaptă unitate* al rețelei.

Considerăm acum transformatele Laplace. Din (1) rezultă că

$$\mathcal{L}\{W_u(t)\} = H(s)\mathcal{L}\{E_u(t)\}. \quad (28)$$

Totuși, deoarece $\mathcal{L}\{E_u(t)\} = \mathcal{L}\{u(t)U\} = U/s$, rezultă că

$$\mathcal{L}\{W_u(t)\} = \frac{1}{s} H(s). \quad (29)$$

Această expresie ne dă imediat o indicație asupra legăturii dintre răspunsul la treaptă unitate și răspunsul la impulsul unitate, deoarece $H(s) = \mathcal{L}\{W_\delta(t)\}$. Pentru a obține o legătură între răspunsurile în domeniul

timp, considerăm transformata inversă a lui (29) ori direct, sau după multiplicarea sa cu s . Rezultatul va fi

$$W_u(t) = \int_0^t W_s(\tau) d\tau, \quad (30)$$

$$W_s(t) = \frac{d}{dt} W_u(t) + W_u(0) \delta(t). \quad (31)$$

Valoarea inițială a răspunsului la treapta unitate se găsește ușor din (29) folosind teorema valorii inițiale. Cu condiția ca $H(\infty)$ să fie finit, aceasta va fi

$$W_u(0) = \lim_{\sigma \rightarrow \infty} [s \mathcal{L}\{W_u(t)\}]_{s=\sigma} = \lim_{\sigma \rightarrow \infty} H(\sigma) = H(\infty), \quad (32)$$

unde σ este un scalar real. Tragem concluzia că *valoarea inițială a răspunsului unei rețele va fi zero dacă funcția de transfer are un zero la infinit*. De asemenea, dacă $H(\infty)$ este nenul dar finit valoarea inițială a răspunsului la treapta unitate va fi definită de zero iar răspunsul la impulsul unitate va conține el însuși un impuls unitate. Pe de altă parte, dacă $H(\infty)$ este nenul dar infinit — $H(s)$ are un pol simplu la infinit, atunci răspunsul la treapta unitate conține un impuls la $t = 0$, iar răspunsul la impulsul unitate conține derivata unui impuls la $t = 0$. Observăm că aceasta contravine regulilor obișnuite de calculul așa cum se vede în (30) și (31). Dacă $W_s(t)$ este o matrice integrabilă, atunci (30) arată că $W_u(0)$ trebuie să fie zero (pur și simplu luînd limita superioară egală cu zero); totuși, dacă admitem impulsuri, atunci trebuie să admitem și consecințele. Să observăm totuși că dacă $W_s(t)$ conține un impuls de ordinul unu, $W_u(t)$ nu conține impulsuri; dacă $W_s(t)$ conține derivata unui impuls, $W_u(t)$ conține un impuls dar nu conține derivata unui impuls. Deci $W_u(t)$ are întotdeauna o comportare mai bună din acest punct de vedere decît $W_s(t)$.

Să ne reîntoarcem la problema inițială și să presupunem că se aplică rețelei o excitație $e(t)$ transformabilă Laplace (dar neconținînd impulsuri). Ecuația (1) leagă transformatele. Această ecuație poate fi rescrisă în unul din mai multe moduri după multiplicarea numărătorului și numitorului prin s . Astfel

$$W(s) = s \left[\frac{H(s)}{s} E(s) \right] = s [\mathcal{L}\{W_u(t)\} E(s)], \quad (33)$$

$$W(s) = \left[s \frac{H(s)}{s} \right] E(s) = s [\mathcal{L}\{W_u(t)\}] E(s), \quad (34)$$

$$W(s) = \left[\frac{H(s)}{s} \right] [s E(s)] = \mathcal{L}\{W_u(t)\} [s E(s)] \quad (35)$$

În fiecare caz am folosit (29) pentru a obține termenii din partea dreaptă. Pentru a găsi $w(t)$ vom folosi acum teorema convoluției. Ne vom ocupa de relația (33). Aceasta poate fi scrisă

$$W(s) = sF(s), \quad (36)$$

unde

$$F(s) = \mathcal{L}\{W_u(t)\}E(s). \quad (37)$$

Folosind teorema convoluției putem scrie

$$f(t) = \int_0^t W_u(\tau) e(t-\tau) d\tau = \int_0^t W_u(t-\tau) e(\tau) d\tau. \quad (38)$$

Dacă evaluăm $f(0)$, vom găsi că este egală cu zero, în afară de cazul în care $W_u(t)$ conține un impuls. Am văzut că acest lucru nu este posibil chiar dacă $H(s)$ are o valoare finită diferită de zero la infinit. De fapt, răspunsul la treapta unitate va conține un impuls numai dacă $H(s)$ are un pol la infinit. Deci, dacă admitem numai acele matrice $H(s)$ care sînt regulate la infinit, atunci $w(t)$ va fi derivata lui $f(t)$ conform lui (36). Astfel

$$\begin{aligned} w(t) &= \frac{d}{dt} \int_0^t W_u(\tau) e(t-\tau) d\tau \\ &= \frac{d}{dt} \int_0^t W_u(t-\tau) e(\tau) d\tau. \end{aligned} \quad (39)$$

Avem deci o expresie pentru răspunsul unei rețele neavînd energie inițial acumulată, la o excitație $e(t)$, în raport cu răspunsul la treapta unitate. Acest rezultat echivalează ca importanță cu (15). Folosind rezultatele enunțate în (12) și (13), putem pune ultima ecuație în următoarele două forme diferite :

$$w(t) = \int_0^t W_u(\tau) \dot{e}(t-\tau) d\tau + W_u(t) e(0), \quad (40)$$

$$w(t) = \int_0^t \dot{W}_u(t-\tau) e(\tau) d\tau + W_u(0) e(t). \quad (41)$$

Aceasta va cere ca $e(t)$ sau $W_u(t)$ după caz să fie derivabile și în mod corespunzător $e(0)$ sau $W_u(0)$ finite.

Aceleași expresii pot fi obținute pe altă cale pornind de la (34) și (35). Pentru a folosi (34) scriem mai întâi

$$\begin{aligned}\mathcal{L}^{-1}\{\mathcal{L}[W_u(t)]\} &= \mathcal{L}^{-1}\{\mathcal{L}[W_u(t)] - W_u(0) + W_u(0)\} \\ &= \frac{d}{dt}W_u(t) + W_u(0)\delta(t).\end{aligned}\quad (42)$$

Putem folosi acum teorema convoluției asupra relației (34). Rezultatul va fi

$$\begin{aligned}w(t) &= \int_0^t \left[\frac{d}{d\tau} W_u(\tau) + W_u(0)\delta(\tau) \right] e(t-\tau) d\tau \\ &= \int_0^t W_u(\tau) e(t-\tau) d\tau + W_u(0)e(t) = \int_0^t \dot{W}_u(t-\tau) e(\tau) d\tau + W_u(0)e(t),\end{aligned}\quad (43)$$

care este același ca (41). Analog, (40) poate fi obținut plecând de la relația (35). Detaliile sînt lăsate cititorului.

În vederea folosirii lor ulterioare vom rescrie toate formele expresiilor obținute. Ele sînt :

$$w(t) = W_u(t)e(0) + \int_0^t W_u(t-\tau)\dot{e}(\tau)d\tau = W_u(t)e(0) + \int_0^t W_u(\tau)\dot{e}(t-\tau)d\tau,\quad (44)$$

$$w(t) = W_u(0)e(t) + \int_0^t \dot{W}_u(\tau)e(t-\tau)d\tau = W_u(0)e(t) + \int_0^t \dot{W}_u(t-\tau)e(\tau)d\tau,\quad (45)$$

$$w(t) = \frac{d}{dt} \int_0^t W_u(\tau)e(t-\tau)d\tau = \frac{d}{dt} \int_0^t W_u(t-\tau)e(\tau)d\tau.\quad (46)$$

Aceste expresii, nu sub formă vectorială ci scalară, au fost la origine folosite de către Duhamel în 1833 în dinamică. Ele mai sînt cunoscute sub numele de integralele Duhamel, integralele Carson, sau integralele de superpoziție; Carson însuși a numit (46) *formula fundamentală a teoriei circuitelor*.

Exemple

În aplicarea integralei de superpoziție la calcularea răspunsului unei rețele, prima etapă constă în găsirea răspunsului $W_u(t)$. Apoi trebuie luată o hotărîre asupra matricei care va fi inversată ca semn al argumentului și translatată la argumentul $(t-\tau)$. Această alegere este de-

terminată de simplitatea integralelor rezultante. În continuare se va hotărî care din matricele e sau W_u va fi derivată. Uneori aici nu va fi necesară o alegere deoarece una din ele poate fi nederivabilă.

Pentru a ilustra aceasta considerăm din nou exemplul din fig. 5.6 care a fost rezolvat anterior folosind răspunsul la impulsul unitate. Deoarece am calculat acolo $W_\delta(t)$, se poate găsi $w_u(t)$ folosind (30). Rezultatul este

$$\begin{aligned} W_u(t) &= \int_0^t W_\delta(\tau) d\tau = \int_0^t \frac{6}{5} \begin{bmatrix} e^{-\tau} - e^{-6\tau} \\ -4e^{-\tau} - 6e^{-6\tau} \end{bmatrix} d\tau + \int_0^t \begin{bmatrix} 0 \\ 6 \end{bmatrix} \delta(\tau) d\tau \\ &= \frac{1}{5} \begin{bmatrix} 5 - 6e^{-t} + e^{-6t} \\ 24e^{-t} + 6e^{-6t} \end{bmatrix}. \end{aligned}$$

Datorită formei funcționale a excitației, este mai simplu a deriva $e(\tau) = [v_1(\tau)]$ decât $W_u(t)$. Derivata este arătată în fig. 5.7. Se dă deasemenea și forma ei analitică.

Să observăm că dacă în locul lui $e(t)$ derivăm $W_u(t)$, atunci folosind (31) pentru \dot{W}_u și introducând în (45) obținem din nou integrala de convoluție.

Să folosim cea de a doua formă a lui (44) care va fi mai simplă decât prima formă deoarece $\dot{v}_1(t-\tau) = 2[u(t-\tau) - u(t-\tau-1)]$ care este pur și simplu pulsul dreptunghiular din fig. 5.7 deplasat cu t unități.

Deoarece $e(0) = [v_1(0)] = 0$, obținem pentru $0 \leq t \leq 1$

$$w(t) = \int_0^t \frac{1}{5} \begin{bmatrix} 5 - 6e^{-\tau} + e^{-6\tau} \\ 24e^{-\tau} + 6e^{-6\tau} \end{bmatrix} 2d\tau = \begin{bmatrix} 2t - \frac{7}{3} + \frac{12}{5}e^{-t} - \frac{1}{15}e^{-6t} \\ 10 - \frac{48}{5}e^{-t} - \frac{2}{5}e^{-6t} \end{bmatrix}.$$

Acest răspuns poate fi verificată prin compararea sa cu rezultatul găsit anterior. Observăm că integrala a fost în mod considerabil mai simplă în acest caz.

Răspunsul de mai sus ar fi variabil pentru orice t dacă v'_1 ar fi constant și egal cu 2; dar nu este așa; peste treapta inițială de la $t = 0$ se va suprapune o treaptă negativă la $t = 1$ ca în fig. 5.7. Deci, pentru a găsi răspunsul la $t \geq 1$, înlocuim t prin $t-1$ în expresia de mai sus

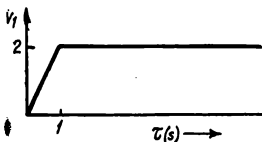
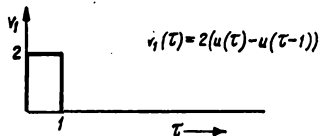


Fig. 5.7. Exemplu.



pentru a găsi răspunsul la treapta negativă ce apare la $t=1$, apoi scădem rezultatul din expresia de mai sus. Rezultatul pentru $t \geq 1$ va fi

$$\begin{aligned} w(t) &= \begin{bmatrix} 2t - \frac{7}{3} + \frac{12}{5} \varepsilon^{-t} - \frac{1}{15} \varepsilon^{-6t} \\ 10 - \frac{48}{5} \varepsilon^{-t} - \frac{2}{5} \varepsilon^{-6t} \end{bmatrix} \\ &\quad - \begin{bmatrix} 2(t-1) - \frac{7}{3} + \frac{12}{5} \varepsilon^{-(t-1)} - \frac{1}{15} \varepsilon^{-6(t-1)} \\ 10 - \frac{48}{5} \varepsilon^{-(t-1)} - \frac{2}{5} \varepsilon^{-6(t-1)} \end{bmatrix} \\ &= \begin{bmatrix} -\frac{12}{5} (1 - \varepsilon^{-1}) \varepsilon^{-(t-1)} + \frac{1}{15} (1 - \varepsilon^{-6}) \varepsilon^{-6(t-1)} + 2 \\ \frac{48}{5} (1 - \varepsilon^{-1}) \varepsilon^{-(t-1)} + \frac{2}{5} (1 - \varepsilon^{-6}) \varepsilon^{-6(t-1)} \end{bmatrix}. \end{aligned}$$

Acest rezultat concordă din nou cu cele găsite anterior.

5.4. PRINCIPIUL SUPERPOZIȚIEI

În paragrafele precedente ale acestui capitol, au fost obținute într-un mod formal expresii ce dau legătura între excitația unei rețele neavînd energie inițial acumulată și răspunsul la impulsul unitate sau treapta unitate, prin integrala de convoluție. Este posibil a interpreta aceste integrale ca enunțuri ale principiului superpoziției.

Conceptele legate de principiul superpoziției sînt cel mai bine prezentate cu ajutorul figurilor. Din nefericire, este greu să folosim grafice pentru funcții vectoriale și matriceale. Prin urmare, vom dezvolta rezultatele pentru o rețea cu o singură intrare și o singură ieșire, căci în acest caz vor exista numai ecuații scalare iar funcțiile scalare întîlnite pot fi reprezentate grafic. La locul potrivit, vom enunța rezultatele corespunzătoare pentru ecuații vectoriale ce caracterizează rețelele cu mai multe intrări și mai multe ieșiri.

Superpoziția de impulsuri unitate

Fie funcția de excitație dată în fig. 5.8 a. Axa pozitivă a timpului este împărțită într-o succesiune de intervale de lungime egală, lungimea fiind $\Delta\tau$. Nu este necesar ca intervalele să fie egale dar obținerea rezultatelor dorite este mai simplă în acest caz.

Considerăm succesiunea de impulsuri notată $f(t)$ arătată în fig. 5.8b. Impulsul într-un punct $k\Delta\tau$ are conținutul (ponderea) $e(k\Delta\tau)\Delta\tau$, care este aria dreptunghiului avînd baza $\Delta\tau$ și înălțimea egală cu ordona-

ta curbei din fig. 5.8a în punctul $k\Delta\tau$. Dreptunghiul în cauză este hașurat.

Înălțimile pentru săgețile reprezentând impulsuri au fost reprezentate proporțional cu ponderea $e(k\Delta\tau)\Delta\tau$. Reamintim totuși că toate impulsurile au înălțime infinită. Deci, pentru orice $\Delta\tau$ finit, oricât de mic, sirul de impulsuri nu constituie o bună reprezentare punctuală a funcției de excitație care este finită pentru orice t . Cu toate acestea să calculăm răspunsul circuitului la această succesiune de impulsuri.

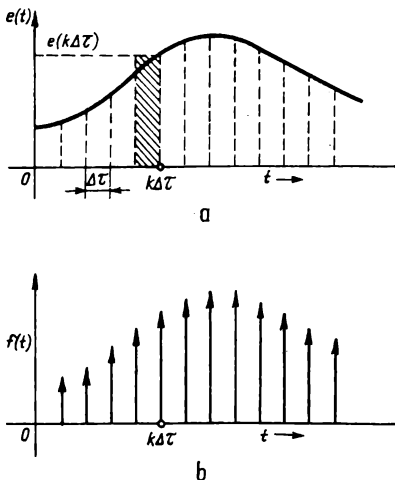


Fig. 5.8. Descompunerea unei funcții într-un tren de impulsuri.

Dar $f(t)$ nu este o funcție punctuală; ea este o funcție generalizată care poate fi exprimată ca

$$f(t) = \sum_{k=1}^{\infty} [e(k\Delta\tau)\Delta\tau]\delta(t-k\Delta\tau). \quad (47)$$

Să notăm cu Δw_k răspunsul în momentul t la unul din aceste impulsuri. Atunci Δw_k va fi egal cu răspunsul la impulsul unitate deplasat, înmulțit

cu ponderea impulsului de excitație corespunzător, adică $e(k\Delta\tau)\Delta\tau$. Astfel

$$\Delta w_k = w_\delta(t - k\Delta\tau)[e(k\Delta\tau)\Delta\tau] \quad (48)$$

este răspunsul în momentul t la impulsul din momentul $k\Delta\tau$.

Considerăm acum un punct particular pe axă notat τ . Pentru o valoare dată lui $\Delta\tau$, acest punct va fi $k\Delta\tau$. Dacă $\Delta\tau$ scade va trebui ca numărul k să crească proporțional astfel încît valoarea $\tau = k\Delta\tau$ să fie aceeași, deoarece se referă la un punct fix pe axă. Deci (47) și (48) pot fi rescrise după cum urmează:

$$f(t) = \sum e(\tau) \delta(t - \tau)\Delta\tau, \quad (49)$$

$$\Delta w_k = w_\delta(t - \tau)e(\tau)\Delta\tau. \quad (50)$$

Răspunsul pentru orice moment t se obține adunînd răspunsurile la fiecare din impulsurile pînă la timpul t . Să notăm prin $w(t)$ răspunsul la succesiunea de impulsuri cînd $\Delta\tau$ tinde către zero

$$w(t) = \lim_{\Delta\tau \rightarrow 0} \sum_{\tau=0}^t \Delta w_k = \lim_{\Delta\tau \rightarrow 0} \sum_{\tau=0}^t w_\delta(t - \tau)e(\tau)\Delta\tau = \int_0^t w_\delta(t - \tau)e(\tau)d\tau. \quad (51)$$

(Sumarea a fost indicată mai sus ca fiind de la $\tau = 0$ la $\tau = t$. În realitate ea trebuie să fie efectuată de la $k = 1$ la $k = n$, unde n este cel mai mare întreg astfel ca $n\Delta\tau \leq t$, la limită, cînd $\Delta\tau$ tinde către zero. Deoarece $\tau = k\Delta\tau$, notația pe care am folosit-o este echivalentă cu aceasta). Limita de mai sus este prin definiție, integrala scrisă în membrul drept al relației (51)

Problema ce rămîne a fi soluționată este a verifica dacă suma de funcții impuls $f(t)$ dată în (49) poate reprezenta excitația originală $e(t)$ la limită, cînd $\Delta\tau$ inde la zero. Formal, suma din (49) va deveni o integrală care, datorită proprietății de eșantionare a funcției impuls devine $e(t)$. Astfel, la limită, seria de impulsuri reprezintă excitația.

În lumina discuției precedente, putem, pentru o rețea cu o singură intrare și o singură ieșire să interpretăm integrala de convoluție (15) ca exprimînd răspunsul la excitația $e(t)$ prin superpoziția răspunsurilor la o succesiune de impulsuri care construiesc funcția $e(t)$.

Acum, vom considera cazul mai multor intrări și ieșiri. În mod sigur, se poate efectua același tip de dezvoltare conducînd la convoluția răspunsului la impulsul unitate cu excitația. Astfel

$$w(t) = \lim_{\Delta\tau \rightarrow 0} \sum_{\tau=0}^t \Delta w_k = \lim_{\Delta\tau \rightarrow 0} \sum_{\tau=0}^t W_\delta(t - \tau)e(\tau)\Delta\tau = \int_0^t W_\delta(t - \tau)e(\tau)d\tau, \quad (52)$$

unde

$$\Delta w_k = W_\delta(t - \tau)e(\tau)\Delta\tau \quad (53)$$

este răspunsul la vectorul ale cărui componente sînt impulsuri ce au loc în momentul $\tau = k\Delta\tau$ în reprezentarea lui $e(t)$ dată de

$$f(t) = \sum e(\tau)\delta(t - \tau)\Delta\tau. \quad (54)$$

Pentru a da o interpretare potrivită, trebuie să reformulăm rezultatul. Fie $w_{\delta j}$ vectorul coloană j al lui W_δ . Atunci din (52) obținem

$$w(t) = \int_0^t \sum_{j=1}^p w_{\delta j}(t - \tau) e_j(\tau) d\tau = \sum_{j=1}^p \int_0^t w_{\delta j}(t - \tau) e_j(\tau) d\tau. \quad (55)$$

Dar vectorul $w_{\delta j}(t)$ este răspunsul cînd intrarea j este excitată de un impuls unitate la momentul zero iar toate celelalte intrări au excitația zero. Astfel, în cazul rețelelor cu mai multe intrări și ieșiri, o interpretare potrivită a lui (52) este următoarea: răspunsul la excitația $e(t)$ este superpoziția unei mulțimi de răspunsuri, fiecare din ele fiind răspunsul rețelei atunci cînd excitația este aplicată la o singură intrare, excitația constînd dintr-o succesiune de impulsuri.

Superpoziția de trepte unitate

O dezvoltare similară cu cea de mai sus se poate face reprezentînd funcția de excitație ca o sumă de funcții treaptă. Pentru început, la fel ca mai sus, vom discuta cazul unei rețele cu o singură intrare și o singură ieșire. Axa pozitivă a timpului este împărțită din nou în intervale egale de lungime $\Delta\tau$. Funcția de excitație reprezentată ca o sumă de funcții treaptă este arătată în fig. 5.9. Funcția „în scară” rezultantă nu constituie

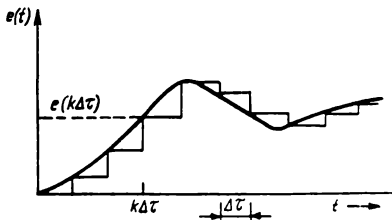


Fig. 5.9. Descompunerea unei funcții în funcții treaptă.

o foarte bună aproximație a lui $e(t)$ dar devine din ce în ce mai bună pe măsură ce $\Delta\tau$ este mai mic.

Cînd $\Delta\tau$ este foarte mic, valoarea fiecărei trepte din scară poate fi aproximată prin produsul lui $\Delta\tau$ și al pantei curbei în momentul saltului (trepte), deoarece fiecare din micile poligoane curbilinii cuprinse între curbă și funcția scară aproximează un triunghi.

Răspunsul circuitului la excitația $e(t)$ poate fi aproximat prin răspunsul la funcția scară. Totuși, el nu este altceva decît o sumă de răspunsuri la funcția treaptă unitate în mod potrivit deplasate și multiplicată cu valoarea discontinuității în momentul respectiv a funcției scară. Fie Δw_k răspunsul evaluat în momentul t la o treaptă ce apare în momentul $k\Delta\tau$. El va fi dat de

$$\Delta w_k = w_u(t - k\Delta\tau)[\dot{e}(k\Delta\tau)\Delta\tau] \quad (56)$$

unde punctul indică derivarea. Factorul dintre paranteze este valoarea treptei, în timp ce $w_u(t - k\Delta\tau)$ este răspunsul la funcția treaptă unitate deplasată.

Răspunsul total va fi suma contribuțiilor pentru fiecare treaptă. Din nou ne vom îndrepta atenția asupra punctului $k\Delta\tau$ și vom considera limita cînd $\Delta\tau$ tinde către zero; vom obține

$$w(t) = \lim_{\Delta\tau \rightarrow 0} \sum_{\tau=0}^t \Delta w_k = \lim_{\Delta\tau \rightarrow 0} \sum_{\tau=0}^t w_u(t - \tau) \dot{e}(\tau) \Delta\tau = \int_0^t w_u(t - \tau) \dot{e}(\tau) d\tau. \quad (57)$$

În această dezvoltare am presupus că excitația este o funcție continuă și că valoarea inițială este zero. Presupunem acum că ea are discontinuități de valoare γ_i în momentul de timp t_i , respectiv. Vom considera o valoare nenulă inițială ca o discontinuitate la $t = 0$. Excitația totală va fi atunci $\dot{e}(t) + \sum \gamma_i u(t - t_i)$, unde $\dot{e}(t)$ este partea continuă a excitației. Am găsit deja răspunsul la această parte a excitației; la aceasta va trebui să adăugăm răspunsul datorită discontinuităților. Răspunsul complet va fi

$$w(t) = \sum_i w_u(t - t_i) \gamma_i + \int_0^t w_u(t - \tau) \dot{e}(\tau) d\tau. \quad (58)$$

În particular, dacă nu există discontinuități în afară de cea de la $t = 0$, atunci răspunsul total va fi [avînd $e(0)$ în loc de γ_0].

$$w(t) = w(t)e(0) + \int_0^t w_u(t - \tau) \dot{e}(\tau) d\tau. \quad (59)$$

Această expresie este identică cu prima expresie din (44). Deci am demonstrat că răspunsul la o excitație $e(t)$ poate fi privit ca superpoziția răspunsurilor la o serie de funcții treaptă ce reprezintă excitația.

În cazul rețelelor cu mai multe intrări și ieșiri, se obține simplu rezultatul corespunzător înlocuind $e(t)$ cu $e(t)$, γ_i cu γ_i , Δw_k cu Δw_k , $w(t)$ cu $w(t)$ și $w_u(t)$ cu $W_u(t)$ în relațiile (56) pînă la (59).

Corespunzător lui (58) obținem

$$w(t) = \sum_i W_u(t-t_i)\gamma_i + \int_0^t W_u(t-\tau)\dot{e}(\tau)d\tau, \quad (60)$$

care poate fi scrisă și astfel

$$w(t) = \sum_{j=1}^p \left[\sum_i w_{uj}(t-t_i)(\gamma_i)_j + \int_0^t w_{uj}(t-\tau)\dot{e}_j(\tau)d\tau \right], \quad (61)$$

unde $(\gamma_i)_j$ este elementul j a lui γ_i și $w_{uj}(t)$ este vectorul coloană de rang j al matricei $W_u(t)$. Dar $w_{uj}(t)$ este răspunsul atunci cînd intrarea j este excitată de o treaptă unitate la momentul zero iar toate celelalte intrări au excitații zero. Așadar, lui (61) i se poate da următoarea interpretare; răspunsul circuitului la o excitație este superpoziția unei mulțimi de răspunsuri, fiecare din ele fiind răspunsul circuitului la o excitație aplicată la o singură intrare, excitația fiind o succesiune de funcții treaptă.

5.5. SOLUȚII NUMERICE

Interpretările date reprezentărilor integralei de convoluție au o aplicare importantă în calculul numeric al răspunsului rețelelor (de exemplu, folosind o mașină de calcul). În final, diferența ce apare datorită folosirii reprezentării prin impulsuri sau funcții treaptă, este mică. Prin urmare, pentru discuția de aici vom folosi prima din cele două reprezentări.

Presupunem că dorim să găsim răspunsul unei rețele cu o singură intrare și o singură ieșire la o funcție de timp ce nu poate fi reprezentată în mod simplu prin suma unor funcții elementare; de exemplu, funcția de timp poate fi dată pur și simplu ca o curbă, sau expresia ei analitică este foarte complicată. În astfel de cazuri, transformata Laplace $E(s)$ este dificil de găsit sau poate fi o expresie complicată încît să nu fie ușor utilizabilă. Dacă aproximăm $E(s)$ printr-o funcție rațională nu vom ști cît de bună va fi aproximarea funcției răspuns ce o vom obține în domeniul timp. În astfel de cazuri este mai potrivit a aproxima $e(t)$ în domeniul timp printr-o succesiune de impulsuri ca în fig. 5.8, sau printr-o funcție treaptă ca în fig. 5.9.

Să apelăm din nou la un exemplu. Presupunem că avem o rețea avînd răspunsul la impulsul unitate arătat în fig. 5.10, a

Acest răspuns la impulsul unitate poate fi găsit experimental folosind un puls de durată foarte mică, ca o „aproximație” a impulsului unitate. Presupunem că dorim să găsim răspunsul rețelei la excitația din fig. 5.10b, care de asemenea poate fi o curbă experimentală sau rezultatul altor calcule numerice.

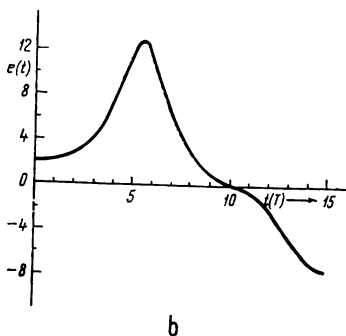
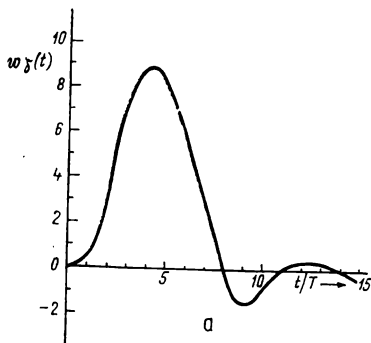


Fig. 5.10. Calcularea numerică a răspunsului circuitului.

Acum vom alege un interval potrivit T astfel încît variațiile lui $w_{\delta}(t)$ și $e(t)$ pe durata T să fie destul de mici încît să poată fi neglijate. Apoi vom folosi reprezentarea aproximativă,

$$\dot{e}(t) = \sum_{k=1}^{\infty} e(kT) \delta(t-kT) T \quad (62)$$

pentru excitație. Această expresie este în mod obișnuit interpretată ca rezultatul multiplicării lui $e(t)$ cu trenul de impulsuri $\sum_{k=1}^{\infty} \delta(t-kT) T$. Mulțimea de valori $e(kT)$ va fi denumită *secvență în timp* iar funcția $\dot{e}(t)$, *serie în timp*. Se poate arăta că se obține același rezultat final ca cel pe care îl vom obține aici, dacă se folosește aproximarea lui

$$f(t) = \int_0^t e(x) dx \quad (63)$$

printr-o funcție în trepte (în scară) și se utilizează apoi transformatele Laplace — Stieltjes, fără a folosi funcția implus. Astfel, rezultatele finale pot fi justificate în mod riguros matematic.

Folosind teorema convoluției, răspunsul rețelei la seria în timp (62) poate fi scris după cum urmează :

$$w_e(t) = \sum_{k=1}^n w_{\delta}(t-kT) e(kT) T, \quad (64)$$

unde

$$nT \leq t < (n+1)T.$$

În particular, valoarea răspunsului în punctele alese nT va fi dată de¹

$$w_e(nT) = \sum_{k=1}^n w_{\delta}[(n-k)T] e(kT) T. \quad (65)$$

Să vedem care sînt implicațiile acestei ecuații. Observăm că suma din dreapta este o sumă de *numere reale și nu de funcții*. Astfel putem căpăta o idee aproximativă asupra răspunsului pur și simplu adunînd aceste numere

¹ Deoarece n este singura variabilă în această ecuație, putem scrie într-o formă convențională

$$w_{en/T} = \sum_{k=1}^n e_k w_{n-k}$$

și observăm că acesta este produsul Cauchy a două secvențe în timp pentru e și w_{δ} .

Tabelul 5.1

Calculul numeric al răspunsului

Indul Nr.	k	0	1	2	3	4	5	6	7	8	9	10
1	$w_8(kT)$	0,0	0,5	3,0	7,0	9,0	8,5	6,0	2,5	-0,3	-1,7	-
2	$e(kT)$		2,0	2,7	4,0	8,0	12,0	11,0	6,0	2,5	0,5	0,0
3	$w_8[(2-k)T]$		0,5	0,0	-	-	-	-	-	-	-	-
4	$w_8[(2-k)T]e(kT)$		1,0	0,0	-	-	-	-	-	-	-	-
5	$w_8[(4-k)T]$		7,0	3,0	0,5	0,0	-	-	-	-	-	-
6	$w_8[(4-k)T]e(kT)$		14,0	8,1	2,0	0,0	-	-	-	-	-	-
7	$w_8[(6-k)T]$		8,5	9,0	7,0	3,0	0,5	0,0	-	-	-	-
8	$w_8[(6-k)T]e(kT)$		17,0	24,6	28,0	24,0	6,0	0,0	-	-	-	-
9	$w_8[(8-k)T]$		2,5	6,0	8,5	9,0	7,0	3,0	0,5	0,0	-	-
10	$w_8[(8-k)T]e(kT)$		5,0	16,2	34,0	72,0	84,0	33,0	3,0	0,0	-	-
11	$w_8[(10-k)T]$		-1,7	-0,3	2,5	6,0	8,5	9,0	7,0	3,0	0,5	0,0
12	$w_8[(10-k)T]e(kT)$		-3,4	-0,81	10,0	48,0	102,0	99,0	42,0	7,5	0,25	0,0

fără a avea de integrat funcții. Pentru a face afirmația mai clară, să găsim răspunsul aproximativ la $t/T = 2, 4, 6, 8$, și 10 pentru exemplul din fig. 5.10, folosind valorile date în tabelul 5.1.

(Intervalele alese sînt prea mari pentru a obține o bună precizie dar sînt suficiente pentru ilustrarea procedurii). Liniile 1 și 2 ale tabelului conțin valorile $e(kT)$ și $w_s(kT)$ citite din grafice. Liniile numerotate impar, și anume cele asociate cu $w_s[(n-k)T]$, $n = 2, 4, 6, 8$, și 10 se obțin copiind linia 1 în ordine inversă începînd cu coloana corespunzătoare lui $k = n - 1$. Elementele în fiecare din aceste linii multiplicare cu coeficienții corespunzători din linia 2, formează coeficienții liniilor numerotate par și anume cele asociate cu $w_s[(n-k)T] e(kT)$. Suma coeficienților de la $k=1$ la $k=n$ în fiecare din liniile numerotate par este $w_e(nT)/T$.

Astfel

n	2	4	6	8	10
$w_e(nT)/T$	1,0	24,1	99,6	247,2	304,54

Acest calcul ne furnizează valori numerice pentru răspuns în cîteva puncte alese. Valorile finale tabelate constituie o *secvență* în timp. Cu aceste valori, *seria* în timp poate fi scrisă

$$\hat{w}(t) = \sum_n w_e(nT) T \delta(t - nT) = \sum_{n=1}^{\infty} \sum_{k=1}^n \{w_s[(n-k)T] e(kT) T\} \delta(t - nT) T. \quad (66)$$

Această metodă de reprezentare printr-o serie în timp conduce la așa numita metodă de analiză prin transformata $-z$ folosită în sistemele cu eșantioane.

Același concept al seriilor în timp este de asemenea folosit în sinteza în domeniul timp. Adesea problema de sinteză este specificată cu ajutorul unei curbe pentru excitația $e(t)$ și a unei curbe dorite pentru $w(t)$. Atunci una din metode este de a reprezenta $e(t)$ și $w(t)$ ca serii în timp utilizîndu-se apoi ecuațiile simultane date de (66) pentru a găsi seria în timp pentru $w_s(t)$. Pentru sinteză se trece apoi la găsirea lui $H(s)$. Problemele matematice ce se ridică sînt totuși prea numeroase pentru a discuta mai în amănunt această problemă în capitolul de față; astfel vom lăsa această aplicație cursurilor specializate în sinteză.

Rețele cu mai multe intrări și ieșiri

Să examinăm modificările necesare în cazul rețelelor cu mai multe intrări și ieșiri. Seria în timp pentru $e(t)$ va fi

$$\hat{e}(t) = \sum_{k=1}^{\infty} e(kT) \delta(t - kT) T. \quad (67)$$

Răspunsul la această serie în timp pentru $nT \leq t < (n+1)T$, și în speță în punctele nT va fi

$$w_t(t) = \sum_{k=1}^n W_\delta(t-kT)e(kT)T, \quad (68a)$$

$$w_t(nT) = \sum_{k=1}^n W_\delta[(n-k)T]e(kT)T, \quad (68b)$$

și deci seria în timp asociată va fi

$$w(t) = \sum_{n=1}^{\infty} \left\{ \sum_{k=1}^n W_\delta[(n-k)T]e(kT)T \right\} \delta(t-nT). \quad (69)$$

Teoretic, răspunsul serie în timp pentru rețeaua cu mai multe intrări și ieșiri se calculează ușor. Totuși, timpul necesar pentru efectuarea calculelor este considerabil mai mare față de cazul rețelei cu o singură intrare și o singură ieșire.

Este semnificativ deci, că (68) se programează ușor pentru soluționarea cu ajutorul unui calculator numeric. Un dezavantaj al unui astfel de program îl constituie memoria mare necesară a înmagazina $W_\delta(nT)$ și $e(nT)$, pentru $n = 0, 1, \dots, N$, sau dacă nu le înmagazinăm în memorie, timpul destul de lung pentru a recalcula $W_\delta(nT)$ și $e(nT)$ de fiecare dată cînd sînt necesari în calcule. Ultima alternativă este posibilă numai dacă $W_\delta(nT)$ și $e(nT)$ sînt date analitic și nu doar experimental. Procedul dezvoltat în continuare depășește unele din aceste probleme.

Răspunsul exprimat cu ajutorul ecuațiilor de stare

Pînă acum am căutat să rezolvăm răspunsul rețelei în mod direct fără a considera starea rețelei. Deoarece răspunsul rețelei poate fi fără nici o micșorare a generalității, starea rețelei, tot ceea ce am afirmat și dedus pînă în prezent privitor la vectorul răspuns, se aplică la fel de bine și vectorului de stare. Din cauză că în metoda ce o vom dezvolta mai jos, presupunerea că rețeaua nu posedă energie inițial acumulată nu aduce nici o simplificare semnificativă, nu vom mai face această ipoteză.

Potrivit relației (23) vectorul de stare va fi suma *răspunsului de stare liber*

$$\mathbf{x}'(t) = \varepsilon^{\mathcal{A}(t-t_0)} \mathbf{x}(t_0) \quad (70)$$

și a răspunsului de stare forțat

$$\mathbf{x}^c(t) = \int_{t_0}^t \varepsilon^{\mathcal{A}(t-\tau)} \mathcal{B}e(\tau) d\tau; \quad (71)$$

adică

$$\mathbf{x}(t) = \mathbf{x}^c(t) + \mathbf{x}^f(t). \quad (72)$$

Vom lua $t_0 = 0$ și vom presupune că $\mathbf{e}(t)$ este aproximată de seria în timp (67). Reamintim că în (68) răspunsul rețelei este cel forțat. Atunci, pentru răspunsul de stare forțat când $nT \leq t < (n+1)T$ și în punctul nT , putem scrie

$$\mathbf{x}_e^c(t) = \sum_{k=1}^n \varepsilon^{\mathcal{A}(t-kT)} \mathcal{B}\mathbf{e}(kT) T, \quad (73a)$$

$$\mathbf{x}_e^f(nT) = \sum_{k=1}^n \varepsilon^{\mathcal{A}(n-k)T} \mathcal{B}\mathbf{e}(kT) T. \quad (73b)$$

La $t = nT$ răspunsul de stare liber este simplu

$$\mathbf{x}^f(nT) = \varepsilon^{\mathcal{A}nT} \mathbf{x}(0). \quad (74)$$

Substituind (73) și (74) în (72) obținem

$$\begin{aligned} \mathbf{x}_e(nT) &= \varepsilon^{\mathcal{A}nT} \mathbf{x}(0) + \sum_{k=1}^n \varepsilon^{\mathcal{A}(n-k)T} \mathcal{B}\mathbf{e}(kT) T \\ &= \varepsilon^{\mathcal{A}T} \left\{ \varepsilon^{\mathcal{A}(n-1)T} \mathbf{x}(0) + \sum_{k=1}^{n-1} \varepsilon^{\mathcal{A}(n-k-1)T} \mathcal{B}\mathbf{e}(nT) T \right\} + \mathcal{B}\mathbf{e}(nT) T. \end{aligned}$$

Ultimul rearanjament se obține scriind separat termenul din sumă corespunzător lui $k = n$, și dînd apoi factor comun $\varepsilon^{\mathcal{A}T}$ din ceilalți termeni. Comparînd cantitatea dintre paranteze cu cea din rîndul anterior, singura diferență este înlocuirea lui n cu $n-1$. Deci

$$\mathbf{x}_e(nT) = \varepsilon^{\mathcal{A}T} \mathbf{x}_e[(n-1)T] + \mathcal{B}\mathbf{e}(nT) T. \quad (75)$$

Aceasta este o formulă de recurență foarte valoroasă. Observăm că această expresie putea fi dedusă direct din (23) punînd $\mathbf{x}(t_0) = \mathbf{x}_e[(n-1)T]$ și presupunînd că $\varepsilon^{\mathcal{A}(nT-\tau)} \mathcal{B}\mathbf{e}(\tau)$ este în mod esențial constant în intervalul $(n-1)T \leq \tau \leq nT$ și egal cu valoarea sa la $\tau = nT$. Modul de abordare prezentat aici s-a ales în scopul de a fi în acord cu rezultatele formulate anterior.

Observăm că formula de recurență (75) cere cunoașterea lui $\varepsilon^{\mathcal{A}T}$ într-un singur moment de timp; adică $t = T$. Acest fapt micșorează în mare măsură spațiul de memorie necesar în comparație cu cazurile tratate anterior.

Aflarea răspunsului rețelei se face deci după cum urmează: Mai întâi facem $x_i(0)$ egal cu starea inițială $x(0)$; apoi se folosește (75) pentru a afla vectorul de stare $x_i(nT)$ cînd n ia valori succesive egale cu 1, 2, 3, .. Pentru fiecare valoare a lui n , răspunsul rețelei la $t = nT$, potrivit lui (22 b) este dat de

$$w_i(nT) = \mathcal{C}x_i(nT) + \mathcal{D}e(nT) + \hat{\mathcal{D}}\dot{e}(nT). \quad (76)$$

Aceasta exprimă secvența în timp a rețelei în punctele de eșantionare nT . Aproximarea prin serie în timp a răspunsului rețelei rezultă imediat.

Exemplu

Să ilustrăm cele de mai sus considerînd un exemplu simp'u.

$$\mathcal{A} = \begin{bmatrix} -1 & 1 \\ 0 & -2 \end{bmatrix}, \quad \mathcal{B} = \begin{bmatrix} 2 \\ -1 \end{bmatrix}, \quad \mathcal{C} = \begin{bmatrix} -2 & 0 \\ 1 & -1 \\ 0 & 3 \end{bmatrix}, \quad \mathcal{D} = 0, \quad \hat{\mathcal{D}} = 0.$$

Folosind metodele din cap. 4 găsim că

$$\varepsilon^{\mathcal{A}T} = \begin{bmatrix} \varepsilon^{-T} & \varepsilon^{-T} - \varepsilon^{-2T} \\ 0 & \varepsilon^{-2T} \end{bmatrix}.$$

Presupunem că intervalul ales $T = 0,2$; atunci

$$\varepsilon^{0,2\mathcal{A}} = \begin{bmatrix} 0,819 & 0,148 \\ 0,000 & 0,670 \end{bmatrix}.$$

Folosind acestea, (75) și (76) devin

$$\begin{bmatrix} x_{i1}(nT) \\ x_{i2}(nT) \end{bmatrix} = \begin{bmatrix} 0,819 & 0,148 \\ 0,000 & 0,670 \end{bmatrix} \begin{bmatrix} x_{i1}\{(n-1)T\} \\ x_{i2}\{(n-1)T\} \end{bmatrix} + \begin{bmatrix} 2 \\ -1 \end{bmatrix} [e(nT)]T$$

$$\begin{bmatrix} w_{i1}(nT) \\ w_{i2}(nT) \\ w_{i3}(nT) \end{bmatrix} = \begin{bmatrix} -2 & 0 \\ 1 & -1 \\ 0 & 3 \end{bmatrix} \begin{bmatrix} x_{i1}(nT) \\ x_{i2}(nT) \end{bmatrix}$$

Considerăm rețeaua neavînd energie inițial acumulată și fie $e(t)$ funcția de excitație dată în fig. 5.10. Valorile lui $e(nT)$ sînt cele din linia întâi a tabelului 5.2. Folosind formula de recurență și valorile numerice de mai sus, calculele pentru $n = 1, \dots, 5$ vor da rezultatele din tabelul 5.2.

Calculul numeric al răspunsului

n	1	2	3	4	5
$e(nT)$	2,0	2,7	4,0	8,0	12,0
$x_{e1}(nT)$	0,800	1,68	1,68	4,53	8,29
$x_{e2}(nT)$	-0,400	-0,808	-1,34	-1,50	-3,41
$w_{e1}(nT)$	-1,60	-3,36	-3,72	-9,06	-16,6
$w_{e2}(nT)$	1,20	2,49	3,20	6,03	11,7
$w_{e2}(nT)$	-1,20	-2,42	-4,02	4,50	-10,2

Erori transmisibile

În evaluarea numerică a lui $x_e(nT)$ conform relației de recurență (75) apare un tip special de erori. Orice eroare în valoarea numerică a lui $e(nT)$ se transmite și generează erori în $x_e(nT)$ cu $m \geq n$. Similar, o eroare în $x(0)$ se transmite și generează erori în $x_e(mT)$. Pentru a căpăta o idee asupra modului în care aceste erori se transmit pe parcursul calculelor, presupunem că $e(nT)$ este cunoscut corect pentru orice n cu excepția lui $n = n_0$. Fie $e(n_0T) = e^a(n_0T) + \zeta$ unde $e^a(n_0T)$ este valoarea reală iar ζ un vector eroare. Presupunem de asemenea că $x(0)$, $\varepsilon^{\mathcal{A}T} \mathcal{B}$ și T sînt cunoscuți corect. Fie acum $x_e^a(nT)$ valoarea lui $x_e(nT)$ pentru $n \geq n_0$ cînd $e(n_0T)$ se înlocuiește cu $e^a(n_0T)$. Atunci prin aplicarea succesivă a relației de recurență pentru $n = n_0, n_0 + 1, \dots, n$, găsim

$$x_e(n_0T) = x_e^a(n_0T) + \mathcal{B}\zeta T$$

și pentru $n \geq n_0$

$$x_e(nT) = x_e^a(nT) + (\varepsilon^{\mathcal{A}T})^{(n-n_0)} \mathcal{B}\zeta T. \quad (77)$$

Observăm că eroarea $\mathcal{B}\zeta T$ în răspunsul de stare la n_0T se transmite și produce o eroare în răspunsul de stare la nT , egală cu eroarea în $x_e(n_0T)$ înmulțită la stînga cu $(\varepsilon^{\mathcal{A}T})^{n-n_0}$.

În mod analog, fie $x(0) = x^a(0) + \xi$ unde $x^a(0)$ este valoarea reală și ξ un vector eroare. Formula de recurență ne va da

$$x_e(nT) = x_e^a(nT) + (\varepsilon^{\mathcal{A}T})^n \xi \quad (78)$$

unde $x_e^a(nT)$ este valoarea lui $x_e(nT)$ calculată cînd $x(0)$ este înlocuit cu $x^a(0)$. Din nou, eroarea ξ în $x_e(0)$ se transmite și produce o eroare în $x_e(nT)$ egală cu eroarea în $x_e(0)$ înmulțită la stînga cu $(\varepsilon^{\mathcal{A}T})^n$.

Erorile în evaluarea numerică a lui $\varepsilon^{\mathcal{A}T}$ de asemenea se transmit. Totuși vom amina discutarea lor considerind problema calculării lui $\varepsilon^{\mathcal{A}T}$ în paragraful următor. Deși nu le vom considera aici, totuși erorile în \mathcal{A} și T de asemenea se transmit. Folosind relația de recurență se poate vedea modul în care se transmit aceste erori.

Este clar că valoarea $(\varepsilon^{\mathcal{A}T})^{(n-m)}$ determină gradul în care o eroare în $x_\ell(mT)$ apărută datorită erorilor de evaluare a excitației și stării inițiale, afectează precizia lui $x_\ell(nT)$ la un moment ulterior de timp. Vom considera împreună erorile în răspunsul de stare, provocate de erori apărute în excitație sau în starea inițială. Fie $x_\ell(mT)$ avînd eroarea ε_m și fie

$$\varepsilon_n = (\varepsilon^{\mathcal{A}T})^{(n-m)} \varepsilon_m \quad (79)$$

eroarea propagată în $x_\ell(nT)$, presupunînd că $n > m$. O problemă de mare importanță este studierea modului în care se comportă „mărimea” erorii cînd n crește. Aici ne ocupăm însă de vectori eroare; prin urmare va trebui să specificăm această „mărime”; definim „mărimea” unui vector în raport cu norma sa.

Pentru reîmprospătarea cunoștințelor asupra normelor vectorilor și matricelor se poate vedea cap. 1. Acolo, norma unui vector ε a fost notată cu $\|\varepsilon\|$ și definită ca un număr nenegativ avînd proprietățile:

$$1. \quad \|\varepsilon\| = 0 \text{ dacă și numai dacă } \varepsilon = 0$$

$$2. \quad \|\alpha\varepsilon\| = |\alpha| \|\varepsilon\|, \text{ unde } \alpha \text{ este un număr real sau complex}$$

$$3. \quad \|\varepsilon_1 + \varepsilon_2\| \leq \|\varepsilon_1\| + \|\varepsilon_2\|, \text{ unde } \varepsilon_1 \text{ și } \varepsilon_2 \text{ sînt vectori (aceasta este inegalitatea triunghiului).}$$

Pentru un vector se pot defini mai multe norme care satisfac aceste proprietăți. Următoarele trei au fost discutate în cap. 1;

$$1. \quad \|\varepsilon\|_1 = \sum_{i=1}^n |\varepsilon_i|, \text{ norma sumă de valori absolute ale componentelor} \quad (80a)$$

$$2. \quad \|\varepsilon\|_2 = (\varepsilon'\varepsilon)^{1/2} = \left(\sum_{i=1}^n |\varepsilon_i|^2 \right)^{1/2}, \text{ norma euclidiană} \quad (80b)$$

$$3. \quad \|\varepsilon\|_\infty = \max_i |\varepsilon_i|, \text{ norma-maximum din valorile absolute} \quad (80c)$$

Din acestea cea mai comună este norma euclidiană, care corespunde lungimii unui vector în spațiu. Totuși, din punct de vedere practic, evaluarea numerică a celorlalte două norme este adesea mai ușoară.

Conform celor spuse în cap. 1, norma unei matrice considerată ca o transformare care face să corespundă unui vector un altul, satisface cele trei proprietăți ale normei date mai sus. Suplimentar, norma vectorului $\mathbf{K}\boldsymbol{\varepsilon}$, adică norma transformatului lui $\boldsymbol{\varepsilon}$ prin \mathbf{K} , satisface inegalitatea

$$\|\mathbf{K}\boldsymbol{\varepsilon}\| \leq \|\mathbf{K}\| \|\boldsymbol{\varepsilon}\|. \quad (81)$$

Ca o consecință directă a lui (81) norma unei matrice are următoarea proprietate :

$$\|\mathbf{K}_1\mathbf{K}_2\| \leq \|\mathbf{K}_1\| \|\mathbf{K}_2\|. \quad (82)$$

Normele matricelor corespunzătoare celor trei norme ale vectorilor din (80) sînt cele de mai jos. Fie $\mathbf{K} = [k_{ij}]$; atunci

$$\|\mathbf{K}\|_1 = \max_j \sum_{i=1}^n |k_{ij}|$$

valoarea normei vectorului coloană avînd cea mai mare normă sumă de (83.a) valori absolute

$\|\mathbf{K}\|_2 = \lambda_m$, unde λ_m^2 este valoarea proprie a lui $\mathbf{K}^* \mathbf{K}$ cu cea mai mare valoare absolută (83b)

$\|\mathbf{K}\|_\infty = \max_i \sum_{j=1}^n |k_{ij}|$, valoarea normei vectorului linie avînd cea mai mare normă-sumă de valori absolute (83c)

Sîntem interesați în determinarea normei erorii în răspunsul de stare. În particular dorim să cunoaștem în (79) dacă $\|\boldsymbol{\varepsilon}_n\| < \|\boldsymbol{\varepsilon}_m\|$ pentru $n > m$. În această ecuație cele două erori sînt legate prin matricea $(\boldsymbol{\varepsilon}^{\mathcal{A}T})^{(n-m)}$. Luînd norma ambilor membri ai relației (79) și folosind (81) și (82) obținem

$$\|\boldsymbol{\varepsilon}_n\| \leq \|\boldsymbol{\varepsilon}^{\mathcal{A}T}\|^{n-m} \|\boldsymbol{\varepsilon}_m\|. \quad (84)$$

Tragem concluzia că dacă norma lui $\boldsymbol{\varepsilon}^{\mathcal{A}T}$ este mai mică decît 1, atunci norma vectorului eroare va fi o funcție descrescătoare cu n . Pentru a evalua $\boldsymbol{\varepsilon}^{\mathcal{A}T}$ se poate folosi oricare din normele matricelor definite în relația (83).

Astfel, pentru exemplul precedent în care

$$\boldsymbol{\varepsilon}^{0,2\mathcal{A}} = \begin{bmatrix} 0,819 & 0,148 \\ 0,000 & 0,670 \end{bmatrix}$$

găsim

$$\|\varepsilon^{0,2,\mathcal{A}}\|_1 = \max (0,819 + 0,000; 0,148 + 0,670) = 0,819$$

$$\|\varepsilon^{0,2,\mathcal{A}}\|_2 = \text{rădăcină din valoarea proprie maximă a lui}$$

$$(\varepsilon^{0,2,\mathcal{A}})' \cdot (\varepsilon^{0,2,\mathcal{A}}) = \max (0,819, 0,670) = 0,819$$

$$\|\varepsilon^{0,2,\mathcal{A}}\|_\infty = \max (0,819 + 0,148; 0,000 + 0,670) = 0,967.$$

Pentru exemplul considerat, oricare din aceste norme arată că norma vectorului eroare descrește atunci când n crește.

5.6. EVALUAREA NUMERICĂ A LUI $\varepsilon^{\mathcal{A}T}$

În exemplul numeric din paragraful precedent am găsit o expresie analitică exactă pentru $\varepsilon^{\mathcal{A}T}$; adică

$$\varepsilon^{\mathcal{A}T} = \begin{bmatrix} \varepsilon^{-T} & \varepsilon^{-T} - \varepsilon^{-2T} \\ 0 & \varepsilon^{-2T} \end{bmatrix}.$$

Pentru $T = 0,2$, aceasta devine

$$\varepsilon^{0,2,\mathcal{A}} = \begin{bmatrix} 0,819 & 0,148 \\ 0,000 & 0,670 \end{bmatrix}.$$

Este evident totuși, că acesta este numai o valoare aproximativă a lui $\varepsilon^{0,2,\mathcal{A}}$ cu o precizie de trei cifre. Valoarea reală $\varepsilon^{0,2,\mathcal{A}}$ are elemente cu un număr infinit de cifre, deoarece $\varepsilon^{-0,2}$ și $\varepsilon^{-0,9}$ sînt numere iraționale. Astfel, în orice proces numeric finit se poate obține numai o valoare aproximativă pentru $\varepsilon^{0,2,\mathcal{A}}$.

Acest lucru este adevărat și în cazul general; adică, este în general adevărat faptul că pentru orice matrice \mathcal{A} , de dimensiuni $n \times n$ și orice constantă reală T , la terminarea unui proces numeric finit, se poate cunoaște numai o valoare aproximativă pentru $\varepsilon^{\mathcal{A}T}$. Acest lucru devine și mai evident dacă se ține seama de faptul că în mod obișnuit nu se cunoaște o expresie analitică exactă pentru $\varepsilon^{\mathcal{A}T}$; pentru evaluarea lui $\varepsilon^{\mathcal{A}T}$, este necesar a evalua termenii din dezvoltarea sa în serie de puteri

$$\varepsilon^{\mathcal{A}T} = \sum_{k=0}^{\infty} \frac{\mathcal{A}^k T^k}{k!}. \quad (85)$$

Este evident că în orice proces numeric finit, este posibil a evalua numai un număr finit din acești termeni. Vom discuta eroarea rezultată datorită trunchierii seriei (85) și vom da un criteriu pentru alegerea numărului necesar de termeni în vederea atingerii unei precizii date.

Scriem

$$\varepsilon^{\mathcal{A}T} = A + R, \quad (86)$$

unde

$$A = \sum_{k=0}^K \frac{\mathcal{A}^k T^k}{k!} \quad (87)$$

este seria trunchiată care aproximează $\varepsilon^{\mathcal{A}T}$ și

$$R = \sum_{k=K+1}^{\infty} \frac{\mathcal{A}^k T^k}{k!} \quad (88)$$

este restul sau matricea eroare. Dacă A este o aproximație suficient de bună a lui $\varepsilon^{\mathcal{A}T}$, atunci $A\varepsilon$ va trebui să fie o bună aproximație pentru $\varepsilon^{\mathcal{A}T}\varepsilon$ unde ε este un vector de dimensiune n arbitrar. O măsură cantitativă a calității ultimei aproximări este norma vectorului eroare

$$\varepsilon^{\mathcal{A}T}\varepsilon - A\varepsilon = (\varepsilon^{\mathcal{A}T} - A)\varepsilon = R\varepsilon,$$

relativ la norma lui $\varepsilon^{\mathcal{A}T}$; adică

$$\delta = \frac{\|R\varepsilon\|}{\|\varepsilon^{\mathcal{A}T}\varepsilon\|} \quad (89)$$

este o măsură care ne arată cât de bine $A\varepsilon$ aproximează pe $\varepsilon^{\mathcal{A}T}\varepsilon$. — Evident, aproximația este din ce în ce mai bună când δ scade. Astfel, putem da un criteriu adecvat pentru alegerea lui K , valoarea maximă a indicelui de sumare în seria de puteri trunchiată. Acest criteriu este: K trebuie ales astfel încât δ să fie mai mic decât un număr pozitiv prescris Δ . Valoarea atribuită lui Δ , marginea superioară prescrisă a lui δ , se alege astfel încât să se asigure un nivel dorit de precizie în cunoașterea lui $\varepsilon^{\mathcal{A}T}\varepsilon$ prin evaluarea lui $A\varepsilon$.

Trebuie reținut faptul că precizia despre care vorbim este aceea obținută prin calcule cu numere ce aparțin mulțimii *tuturor numerelor reale*. Când mulțimea de numere este finită, așa cum se întâmplă atunci când calculele sînt efectuate cu ajutorul unui calculator numeric, există o limită a preciziei care se poate obține. Această limită impusă de calcu-

lator asupra preciziei, este legată de numărul de cifre semnificative în numerele cu virgulă mobilă, folosită de mașină pentru efectuarea calculelor aritmetice. Pentru problema de care ne ocupăm implicația este următoarea: precizia calculelor efectuate de mașină este determinată de Δ numai pentru Δ mai mare decât o anumită valoare, valoare stabilită de numărul de cifre semnificative folosite de calculator pentru efectuarea operațiilor aritmetice.

Vom obține mai întâi o margine superioară a lui δ care este independentă de ε . Un calcul simplu arată că

$$\|\varepsilon\| = \|\varepsilon^{-\mathcal{A}T} \varepsilon^{\mathcal{A}T} \varepsilon\| \leq \|\varepsilon^{-\mathcal{A}T}\| \|\varepsilon^{\mathcal{A}T} \varepsilon\|,$$

ceea ce implică

$$\frac{\|\varepsilon\|}{\|\varepsilon^{-\mathcal{A}T}\|} = \|\varepsilon^{-\mathcal{A}T}\|^{-1} \|\varepsilon\| \leq \|\varepsilon^{\mathcal{A}T} \varepsilon\|. \quad (90)$$

Astfel $\|\varepsilon^{\mathcal{A}T} \varepsilon\|$ este mărginit inferior de $\|\varepsilon^{-\mathcal{A}T}\|^{-1} \|\varepsilon\|$. Atunci, deoarece $\|\mathbf{R}\varepsilon\|$ este mărginit superior de către $\|\mathbf{R}\| \|\varepsilon\|$, găsim ținând seama de (89) ecuația de definiție pentru δ , astfel

$$\delta \leq \frac{\|\mathbf{R}\| \|\varepsilon\|}{\|\varepsilon^{-\mathcal{A}T}\|^{-1} \|\varepsilon\|} = \|\mathbf{R}\| \|\varepsilon^{-\mathcal{A}T}\|. \quad (91)$$

În continuare, dorim să evaluăm norma lui \mathbf{R} și cea a lui $\varepsilon^{-\mathcal{A}T}$; dar fiecare din acestea este definit de o serie infinită, evaluarea normei nefiind posibilă. Totuși, putem calcula o margine a lui $\|\mathbf{R}\|$ ca mai jos. Relațiile de inegalitate aplicate normei seriei (88) pentru \mathbf{R} vor da

$$\|\mathbf{R}\| \leq \sum_{k=K-1}^{\infty} \frac{\|\mathcal{A}\|^k \mathbf{T}^k}{k!}.$$

Notind $l = k - K + 1$, obținem după o rearanjare simplă a factorilor

$$\begin{aligned} \|\mathbf{R}\| &\leq \frac{\|\mathcal{A}\|^{K+1} \mathbf{T}^{K+1}}{(K+1)!} \sum_{l=0}^{\infty} \frac{(K+1)! (K+2)^l}{(K+1+l)!} \left(\frac{\|\mathcal{A}\| \mathbf{T}}{K+2} \right)^l \\ &\leq \frac{\|\mathcal{A}\|^{K+1} \mathbf{T}^{K+1}}{(K+1)!} \sum_{l=0}^{\infty} \left(\frac{\|\mathcal{A}\| \mathbf{T}}{K+2} \right)^l. \end{aligned}$$

Ultimul rînd rezultă din faptul că $(K+1)! (K+2)^l / (K+1+l)! \leq 1$ pentru orice $l \geq 0$. Fie acum K_0 cea mai mică valoare negativă a lui K astfel

încît $K+2 > ||\mathcal{A}|| T$; atunci pentru orice $K \geq K_0$, avem $||\mathcal{A}|| T / (K+2) < 1$ și

$$\sum_{l=0}^{\infty} \left(\frac{||\mathcal{A}|| T}{K+2} \right)^l = \frac{1}{1 - \frac{||\mathcal{A}|| T}{K+2}}.$$

Substituind acest rezultat în inegalitatea precedentă, găsim pentru $K \geq K_0$ că

$$||\mathbf{R}|| \leq \frac{||\mathcal{A}||^{K+1} T^{K+1}}{(K+1)!} \frac{1}{1 - \frac{||\mathcal{A}|| T}{K+2}}. \quad (92)$$

Partea dreaptă a ecuației constituie o margine superioară pentru norma lui \mathbf{R} .

Să ne reîntoarcem la norma lui $\varepsilon^{-\mathcal{A}T}$. Dacă se înlocuiește T prin $-T$ în relația (85), obținem seria de puteri de definiție pentru $\varepsilon^{-\mathcal{A}T}$; astfel

$$\varepsilon^{-\mathcal{A}T} = \sum_{k=0}^{\infty} (-1)^k \frac{\mathcal{A}^k T^k}{k!}.$$

Se poate calcula ușor o margine superioară pentru $||\varepsilon^{-\mathcal{A}T}||$. Găsim

$$||\varepsilon^{-\mathcal{A}T}|| \leq \sum_{k=0}^{\infty} \frac{||\mathcal{A}||^k T^k}{k!} = e^{||\mathcal{A}|| T}. \quad (93)$$

Dacă marginea superioară a lui $||\mathbf{R}||$ și $||\varepsilon^{-\mathcal{A}T}||$ din (92) și (93) se înlocuiesc în (91), obținem

$$\delta \leq \frac{||\mathcal{A}||^{K+1} T^{K+1}}{(K+1)!} \frac{1}{1 - \frac{||\mathcal{A}|| T}{K+2}} e^{||\mathcal{A}|| T} \quad (94)$$

pentru $K \geq K_0$. Partea dreaptă a ecuației (94) este o funcție descrescătoare în raport cu K care tinde la zero cînd K tinde către infinit. Astfel, pentru orice valoare dată a lui Δ , există valori ale lui K , (de fapt cea mai mică valoare va fi cea considerată aici) astfel încît

$$\frac{||\mathcal{A}||^{K+1} T^{K+1}}{(K+1)!} \frac{1}{1 - \frac{||\mathcal{A}|| T}{K+2}} e^{||\mathcal{A}|| T} < \Delta \quad (95)$$

și deci $\delta < \Delta$. Aceste valori ale lui $K \geq K_0$ care satisfac (95), satisfac de asemenea și criteriul anterior pentru alegerea lui K . Din toate valorile satisfăcătoare pentru K este bine să fie aleasă cea mai mică valoare care satisface (95), deoarece numărul de operații aritmetice necesare pentru a evalua seria de puteri trunchiată (87) va fi minimizat.

Erori de calcul

În paragraful precedent, am descompus răspunsul de stare reprezentat prin vectorul $\mathbf{x}(t)$ în suma răspunsului liber $\mathbf{x}'(t)$ și a celui forțat $\mathbf{x}''(t)$. Din (74) rezultă

$$\mathbf{x}'(nT) = (\epsilon^{\mathcal{A}T})^n \mathbf{x}(0). \quad (96)$$

Dacă $\mathbf{e}(t)$ este aproximat printr-o serie în timp

$$\hat{\mathbf{e}}(t) = \sum \mathbf{e}(kT) \delta(t - kT) T,$$

am găsit în (73b) că

$$\mathbf{x}_e'(nT) = \sum_{k=1}^n (\epsilon^{\mathcal{A}T})^{n-k} \mathcal{B} \mathbf{e}(kT) T. \quad (97)$$

Sintem acum interesați în calcularea erorilor rezultate datorită înlocuirii în aceste două ecuații a lui $\epsilon^{\mathcal{A}T}$ prin aproximația sa.

Erori la calculul răspunsului de stare liber

Considerăm mai întâi răspunsul de stare liber. Fie $\epsilon'(nT)$ diferența între răspunsul de stare liber real $(\epsilon^{\mathcal{A}T})^n \mathbf{x}(0)$ și răspunsul de stare liber aproximat prin $\mathbf{A}^n \mathbf{x}(0)$; adică

$$\epsilon'(nT) = [(\epsilon^{\mathcal{A}T})^n - \mathbf{A}^n] \mathbf{x}(0) \quad (98)$$

Considerând norma ambelor părți ale acestei ecuații obținem

$$\|\epsilon'(nT)\| \leq \|(\epsilon^{\mathcal{A}T})^n - \mathbf{A}^n\| \|\mathbf{x}(0)\|. \quad (99)$$

Astfel, în operația de căutare a marginii pentru $\|\epsilon'(nT)\|$, trebuie să stabilim o margine superioară a termenilor de forma $\|[(\epsilon^{\mathcal{A}T})^l - \mathbf{A}^l]\|$. Am folosit l și nu n pentru a nota puterile la care se ridică $\epsilon^{\mathcal{A}T}$ și \mathbf{A} ,

deoarece marginea pe care o vom stabili se va aplica și altor relații în afara lui [99]. În cele alte cazuri, exponentul nu va fi notat cu n .

Conform proprietăților normelor matricelor, se poate arăta că

$$\begin{aligned} \|[\epsilon^{\mathcal{A}^T}]^l - \mathbf{A}^l\| &= \|[\mathbf{A} + \mathbf{R}]^l - \mathbf{A}^l\| \\ &= \left\| \sum_{k=1}^l \binom{l}{k} \mathbf{A}^{l-k} \mathbf{R}^k \right\| \\ &\leq \sum_{k=1}^l \binom{l}{k} \|\mathbf{A}\|^{l-k} \|\mathbf{R}\|^k \\ &\leq [\|\mathbf{A}\| + \|\mathbf{R}\|]^l - \|\mathbf{A}\|^l. \end{aligned} \quad (100)$$

Rîndul al doilea rezultă din teorema binomială. Următorul rînd rezultă din inegalitatea triunghiului și din (82). În final, ultimul rînd este un rezultat al reciprocei teoremei binomiale. Dacă impunem pentru K satisfacerea lui (95), știm din acea ecuație că $\|\mathbf{R}\| < \Delta \|\epsilon^{-\mathcal{A}^T}\|^{-1}$. În plus, se poate arăta ușor (problema 15) că

$$\|\epsilon^{-\mathcal{A}^T}\|^{-1} \leq \|\epsilon^{\mathcal{A}^T}\|$$

și prin urmare că $\|\mathbf{R}\| < \Delta \|\epsilon^{\mathcal{A}^T}\|$. Cu observația suplimentară că $\|\epsilon^{\mathcal{A}^T}\| \leq \|\mathbf{A}\| + \|\mathbf{R}\|$ și presupunerea rațională că $\Delta < 1$, obținem

$$\|\mathbf{R}\| < \frac{\Delta}{1-\Delta} \|\mathbf{A}\|. \quad (101)$$

Combinînd (100) și (101) rezultă

$$\begin{aligned} \|[\epsilon^{\mathcal{A}^T}]^l - \mathbf{A}^l\| &< \|\mathbf{A}\|^l \left[\left(1 + \frac{\Delta}{1-\Delta} \right)^l - 1 \right] \\ &= \|\mathbf{A}\|^l \left[\left(\frac{1}{1-\Delta} \right)^l - 1 \right]. \end{aligned} \quad (102)$$

Să observăm că această margine a lui $\|[\epsilon^{\mathcal{A}^T}]^l - \mathbf{A}^l\|$ este o funcție descrescătoare de l dacă și numai dacă $\|\mathbf{A}\|/(1-\Delta) < 1$; prin urmare vom presupune această condiție îndeplinită în tot restul acestui paragraf.

Să ne reîntoarcem la problema găsirii marginiei lui $||\varepsilon'(nT)||$. Rezultatul substituirii lui (102) în (99), după câteva calcule simple va fi

$$\begin{aligned} ||\varepsilon'(nT)|| &< ||\mathbf{A}||^n \left[\left(\frac{1}{1-\Delta} \right)^n - 1 \right] ||\mathbf{x}(0)|| \\ &= \left(\frac{||\mathbf{A}||}{1-\Delta} \right)^n [1 - (1-\Delta)^n] ||\mathbf{x}(0)|| \\ &< n \Delta \left(\frac{||\mathbf{A}||}{1-\Delta} \right)^n ||\mathbf{x}|| (0). \end{aligned} \quad (103)$$

Rîndul al doilea este chiar primul rînd dar cu termenii grupați în mod diferit. Ultimul rînd rezultă din faptul că $[1 - (1-\Delta)^n]$ este o funcție mărginită crescătoare în raport cu n care nu depășește $n\Delta$. Problema găsirii maximului membrului drept al relației (103) în raport cu n este o problemă de calcul elementar. Efectuînd aceasta vom obține

$$||\varepsilon'(nT)|| < ||\mathbf{A}||^n \left[\left(\frac{1}{1-\Delta} \right)^n - 1 \right] ||\mathbf{x}(0)|| \leq - \frac{\varepsilon^{-1} ||\mathbf{x}(0)|| \Delta}{\ln [||\mathbf{A}||/(1-\Delta)]}. \quad (104)$$

Observăm din (104) că $||\varepsilon'(nT)||$ este mărginit și din (103) observăm că $||\varepsilon_r(nT)||$ este o funcție descrescătoare în raport cu n , tinzînd către zero cînd n tinde către infinit. În plus, $||\varepsilon'(nT)||$ tinde către zero odată cu Δ . Trebuie să reținem că mașinile de calcul folosite pentru a calcula $\mathbf{x}'(nT)$ recursiv, folosesc numere cu număr limitat de cifre semnificative. Astfel, așa cum am discutat anterior, eroarea în evaluarea numerică a lui $\mathbf{x}'(nT)$ va fi mărginită conform lui (103) și (104) numai dacă Δ este mai mare decît o anumită valoare dependentă de precizia calculatorului.

Erori la calculul răspunsului de stare forțat

Vom considera răspunsul de stare forțat $\mathbf{x}_i^e(nT)$ dat de (97). Fie $\varepsilon^e(nT)$ diferența între răspunsul de stare forțat real, anume $\sum_{k=1}^n (\varepsilon^{\mathcal{A}T})^{n-k} \mathcal{B}e(kT)$, T și răspunsul de stare forțat aproximativ, dat de $\sum_{k=1}^n \mathbf{A}^{n-k} \mathcal{B}e(kT)T$; adică

$$\varepsilon^e(nT) = \sum_{k=1}^n [(\varepsilon^{\mathcal{A}T})^{n-k} - \mathbf{A}^{n-k}] \mathcal{B}e(kT)T. \quad (105)$$

Considerînd norma ambelor părți ale acestei ecuații și aplicînd inegalitatea (102), stabilim că

$$\|\varepsilon^c(nT)\| < \sum_{k=1}^n \|\mathbf{A}\|^{n-k} \left[\left(\frac{1}{1-\Delta} \right)^{n-k} - 1 \right] \|\mathcal{B}e(kT)\|. \quad (106)$$

Presupunem că pentru $k = 1, 2, \dots$, $\|\mathcal{B}e(kT)\| \leq E$, unde E este o constantă; adică presupunem că $\|\mathcal{B}e(kT)\|$ este o funcție mărginită în raport cu k . Atunci se găsește că

$$\begin{aligned} \|\varepsilon^c(nT)\| &< T \left\{ \sum_{k=1}^n \|\mathbf{A}\|^{n-k} \left[\left(\frac{1}{1-\Delta} \right)^{n-k} - 1 \right] \right\} E \\ &< T \left[\sum_{k=1}^n (n-k)\Delta \left(\frac{\|\mathbf{A}\|}{1-\Delta} \right)^{n-k} \right] E \\ &< T \left[\sum_{l=0}^{n-1} l \Delta \left(\frac{\|\mathbf{A}\|}{1-\Delta} \right)^l \right] E. \end{aligned} \quad (107)$$

Al doilea rînd rezultă din inegalitatea $[1 - (1-\Delta)^{n-k}] \leq (n-k)\Delta$ pentru orice $k \leq n$. Rîndul al treilea rezultă din înlocuirea lui $n-k$ cu l . Conform ipotezei că $\|\mathbf{A}\|/(1-\Delta) < 1$, membrul drept al lui (107) este o funcție mărginită crescătoare în raport cu n ; prin urmare

$$\|\varepsilon^c(nT)\| < T \left[\Delta \sum_{l=0}^{\infty} l \left(\frac{\|\mathbf{A}\|}{1-\Delta} \right)^l \right] E = T \Delta \frac{\|\mathbf{A}\|/(1-\Delta)}{[1 - \|\mathbf{A}\|/(1-\Delta)]^2} E. \quad (108)$$

Egalitatea din dreapta rezultă din faptul că o serie de tipul $\sum_{m=0}^{\infty} m \alpha^m$ este egală cu $\alpha/(1-\alpha)^2$ pentru $\alpha < 1$. Observăm din inegalitatea de mai sus că $\|\varepsilon^c(nT)\|$ este mărginită și tinde către zero în raport cu Δ . Totuși, pentru motive discutate anterior, atunci cînd calculăm o valoare numerică pentru $\mathbf{x}'(nT)$, limitarea preciziei datorită calculatorului, împiedică limitarea erorii de evaluare a lui $\mathbf{x}_i^c(nT)$ conform lui (108), atunci cînd Δ este foarte mic.

Exemplu

Să ilustrăm ideile dezvoltate anterior considerînd un exemplu. Vom folosi aceleași \mathcal{A} și T ca în ultimul exemplu dat anterior; astfel

$$\mathcal{A} = \begin{bmatrix} -1 & 1 \\ 0 & -2 \end{bmatrix}$$

și $T = 0.2$. Pentru norma lui \mathcal{A} vom alege în mod arbitrar cea mai mică dintre cele două norme (83 a) și (83 c). Avem $\|\mathcal{A}\|_1 = 3$ și $\|\mathcal{A}\|_{\infty} = 2$; prin urmare o vom folosi pe cea de a doua.

Pentru a simplifica exemplul, desigur nu pentru precizie, vom impune condiția ca Δ să fie numai $\leq 0,001$.

Reamintim că K_0 este cea mai mică valoare nenegativă întreagă a lui K astfel încît $K+2 > \|A\|T$. Deoarece $\|A\|T = 0,4$, găsim că $K_0 = 0$. Astfel din (95), trebuie să găsim un $K \geq 0$ încît să avem

$$\frac{0,4^{K+1}}{(K+1)!} \frac{1}{1 - 0,4/(K+2)} e^{0,4} < 0,001.$$

Găsim ușor că $K = 4$. Aproximația A este evaluată după cum urmează :

$$A = \sum_{k=0}^4 \frac{(0,2)^k}{k!} A^k \\ = U + 0,2 A + 0,02 A^2 + 0,00133 A^3 + 0,0000666 A^4$$

și

$$A^2 = \begin{bmatrix} 1 & -3 \\ 0 & 4 \end{bmatrix}, \quad A^3 = \begin{bmatrix} -1 & 7 \\ 0 & -8 \end{bmatrix}, \quad A^4 = \begin{bmatrix} 1 & -15 \\ 0 & 16 \end{bmatrix}.$$

Deci, pînă la o precizie de cinci cifre

$$A = \begin{bmatrix} 0,81873 & 0,14833 \\ 0,00000 & 0,67040 \end{bmatrix};$$

Observăm că $\|A\|_{\infty} = 0,967$. Așadar, conform lui (104), $\|e^{(nT)}\|$ este mărginită după cum se vede mai jos

$$\|e^{(nT)}\|_{\infty} < \frac{0,001 \times 0,368}{\ln \left(\frac{0,967}{0,999} \right)} \|x(0)\|_{\infty} \\ < 0,0117 \|x(0)\|_{\infty}$$

și conform lui (108), $\|e^{(nT)}\|_{\infty}$ este mărginită; astfel

$$\|e^{(nT)}\|_{\infty} < \frac{0,2 \times 0,001 \times 0,967/0,999}{1 - \left(\frac{0,967}{0,999} \right)^2} E \\ < 0,189 E.$$

Încheiem acest paragraf cu o observație asupra unui tip de eroare care nu a fost considerat în acest paragraf și nici în cel anterior. Fie $e(t)$ excitația rețelei și $x(t)$ răspunsul de stare corespunzător. Valorile lui $x(t)$ la $t = nT$ vor fi $x(nT)$ și în afară de cazul în care $e(t) = \hat{e}(t)$, vom avea $x(nT) \neq x_e(nT)$. Diferența între $x(nT)$ și $x_e(nT)$ este o eroare ce provine din reprezentarea lui $e(t)$ prin $\hat{e}(t)$. Chiar dacă nu am tratat acest tip de eroare, se știe că dacă transformăm un set de ecuații de stare neomogene într-un set de ecuații omogene, conform celor arătate în cap. 4, atunci acest tip de eroare nu mai apare deoarece pentru ecuațiile omogene $e(t) = 0$.

Probleme

P.1. În text, este introdus conceptul de convoluție a două matrice de funcții; să se extindă acest concept la mai mult decât două matrice de funcții.

P.2. Să se demonstreze că produsul de convoluție al funcțiilor scalare se bucură de aceleași proprietăți ca înmulțirea obișnuită: Dacă f_1 , f_2 și f_3 sînt funcții integrabile (astfel încît

$f_1 * f_2 = \int_0^t f_1(x) f_2(t-x) dx$ este definită și analog $f_2 * f_3$ și $f_1 * f_3$), atunci

(a) $f_1 * f_2 = f_2 * f_1$ (legea comutativității)

(b) $f_1 * (f_2 * f_3) = (f_1 * f_2) * f_3$ (legea asociativității)

(c) $u * f = f * u = f$, unde u este funcția treaptă unitate (identitate)

(d) $f_1 * (f_2 + f_3) = f_1 * f_2 + f_1 * f_3$ (legea distributivității)

Care din aceste proprietăți se mențin atunci cînd considerăm convoluția matricelor de funcții?

P.3. În metoda de obținere a integralei de convoluție din relațiile de stare, se obține o singură formă a integralei, adică cea dată în (21). Arătați că celelalte forme sînt de asemenea valabile.

P.4. Să se găsească răspunsul la impulsul unitate și răspunsul la treapta unitate a circuitelor din fig. 5.P.4 presupunînd condiții inițiale nule. Răspunsurile cerute sînt indicate în figuri. Să se demonstreze că se satisface (31).

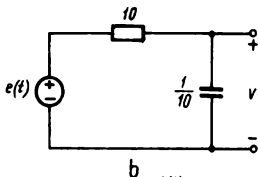
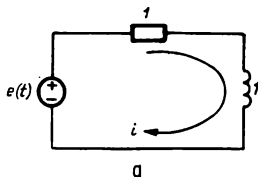
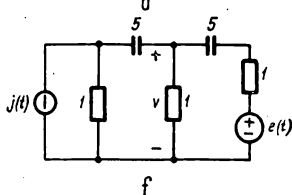
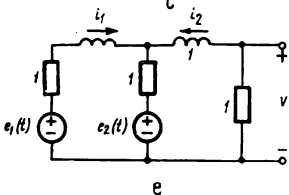
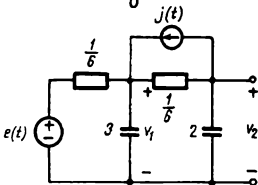
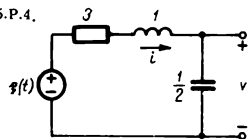


Fig. 5.P.4.



P.5. Să se găsească răspunsul acelorăși circuite la funcțiile de excitație din fig. 5.P5 folosind răspunsul la impulsul unitate sau treapta unitate și integrala de superpoziție. (Ordonata are mai multe notări pentru a corespunde diferitelor surse existente în fig. 5.P4.

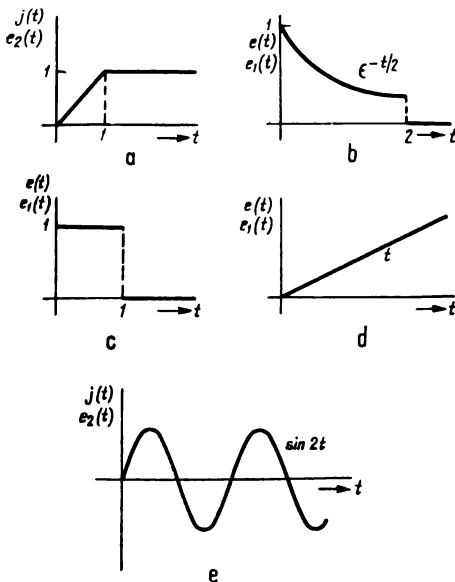


Fig. 5.P.5.

P.6. Circuitul echivalent al unui amplificator cu cuplaj RC , este arătat în fig. 5.P6. Să se găsească răspunsul amplificatorului la excitațiile arătate în fig. 5.P5 folosind o integrală de superpoziție cu 1) răspunsul la impulsul unitate și 2) răspunsul la treapta unitate.

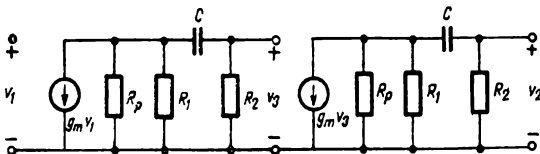


Fig. 5.P.6.

P.7. Să se rezolve ecuația integrală de tipul celor de convoluție :

$$\mathcal{F}(t) + \int_0^t \mathcal{F}(\tau) \mathcal{G}_1(t - \tau) d\tau = \mathcal{G}_2(t).$$

Matricea de funcții necunoscută este $\mathcal{F}(t)$, iar $\mathcal{G}_1(t)$ și $\mathcal{G}_2(t)$ sînt matrice patrute și sînt matrice de funcții (integrabile) cunoscute.

P.8. Să se găsească o soluție a următoarelor ecuații integrale scalare :

$$(a) f(t) + \int_0^t f(\tau) e^{-2(t-\tau)} d\tau = 2t;$$

$$(b) f(t) + \int_0^t f(\tau) e^{-(t-\tau)} \sin(t - \tau) d\tau = 5;$$

$$(c) \frac{df}{dt} + 2f(t) + 9 \int_0^t f(\tau) (t - \tau) d\tau = 1 - e^{-2t}, f(0) = 0.$$

P.9. Să se găsească o soluție a următoarelor ecuații integrale matriceale :

$$(a) \mathcal{F}(t) + \int_0^t \mathcal{F}(\tau) \begin{bmatrix} e^{-(t-\tau)} & 0 \\ 2 & t + \tau \end{bmatrix} d\tau = \begin{bmatrix} e^{-2t} & t \\ 0 & te^{-t} \end{bmatrix}$$

$$(b) \mathcal{F}(t) + \int_0^t \mathcal{F}(\tau) \begin{bmatrix} e^{-2(t-\tau)} & 1 & 0 \\ 0 & e^{-2(t-\tau)} & 1 \\ 0 & 0 & e^{-2(t-\tau)} \end{bmatrix} d\tau = \begin{bmatrix} \sin t & 0 & 1 \\ 0 & \cos t - 1 & \\ 0 & 0 & e^{-t} \end{bmatrix}$$

P.10. Se dă ecuația diferențială

$$\frac{d^2 y}{dt^2} + 2 \frac{dy}{dt} + y = \frac{df}{dt} + 3f$$

$$y(0+) = \dot{y}(0+) = 0.$$

Să se găsească o formulă explicită pentru $y(t)$ (soluția), găsind mai întâi

$$\mathcal{L}^{-1} \left\{ \frac{s+3}{s^2+2s+1} \right\}.$$

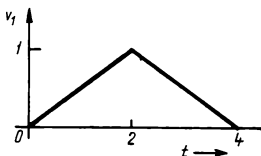
Să se folosească această formulă pentru aflarea soluției cînd $f(t)$ este

$$(a) f(t) = \begin{cases} 1, & 0 \leq t < 1 \\ 0, & 1 \leq t \end{cases}$$

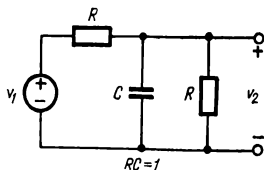
$$(b) f(t) = \begin{cases} t, & 0 \leq t \leq 1 \\ 0, & 1 \leq t \end{cases}$$

$$(c) f(t) = \begin{cases} t^2, & 0 \leq t \leq 1 \\ 0, & 1 \leq t \end{cases}$$

P.11. Pulsul de tensiune triunghiulară arătat în fig. 5.11a se aplică circuitului din fig. 5.P11b. Să se calculeze răspunsul tensiune de ieșire pentru orice moment de timp, folosind teorema convoluției.



a

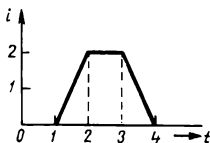


b

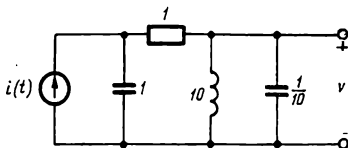
Fig. 5.P.11.

P.12. Să se demonstreze teorema translației (deplasării) din teoria transformatei Laplace folosind teorema integralei de convoluție.

P.13. Pulsul trapezoidal arătat în fig. 5.P13a se aplică circuitului din fig. 5.P13b. Să se găsească răspunsul tensiune de ieșire folosind teorema convoluției.



a



b

Fig. 5.P.13.

P.14. Circuitului din fig. 5.P 14 a i se aplică drept excitații două surse de tensiune. Tensiunile ca funcții de timp sînt arătate în fig. 5. P 14, b. Folosind teorema convoluției să se calculeze răspunsurile indicate pe figură și anume v , i_1 și i_2 , în funcție de timp.

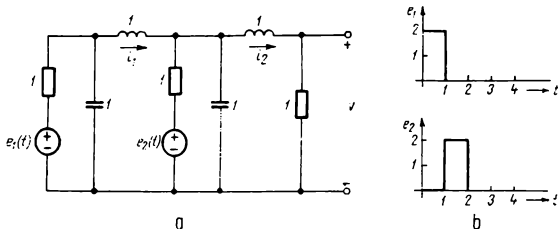


Fig. 5.P.14.

P.15. Să se demonstreze că $\|\varepsilon_{\mathcal{A}T}\| \geq \|\varepsilon_{\mathcal{A}T}\|^{-1}$.

P.16. Circuitului din fig. 5.P 11 b i se aplică o excitație dată de

$$v_1(t) = \begin{cases} \lg t, & 0 \leq t \leq \frac{\pi}{4} \\ \lg\left(\frac{\pi}{2} - t\right), & \frac{\pi}{4} \leq t < \frac{\pi}{2} \\ 0, & \frac{\pi}{2} \leq t \end{cases}$$

Să se găsească impulsul aproximativ al circuitului pentru $0 \leq t \leq 2$, folosind reprezentarea prin serie în timp. Să se estimeze eroarea maximă apărută în soluție pentru intervalul ales.

P.17. Să se repete problema 1.16, folosind însă excitația

$$v_1(t) = \begin{cases} \arcsin t, & 0 \leq t < 1 \left(0 \leq v_1 \leq \frac{\pi}{2} \right) \\ 0, & 1 \leq t \end{cases}$$

Să se folosească aproximarea în trepte și răspunsul la treapta unitate.

Să se estimeze eroarea.

P.18. Se aplică circuitului din fig. 5.P 18 a funcția de excitație din fig. 5.P 18 b. Să se găsească răspunsul aproximativ $v_2(t)$ pentru $0 \leq t \leq 5$.

P.19. Pentru fiecare din circuitele din fig. 5. P 4 să se calculeze secvența în timp corespunzătoare răspunsului la impulsul unitate, pentru $T=0,1$ și $n=0,1,\dots,15$. Apoi să se calculeze secvența în timp a răspunsului circuitului pentru $n=0,1,\dots,15$, când excitațiile circuitului arătate în fig. 5. P 5 sînt approximate prin secvențele lor în timp.

P.20. Răspunsul la impulsul unitate $w_g(t)$ a unui circuit cu o singură intrare și o singură ieșire este arătat în fig. 5. P 20, a. Folosind secvența în timp pentru răspunsul la impulsul unitate, cu $T=0,1$, să se calculeze secvența în timp a răspunsului circuitului, pentru $n=0,1,2,\dots,10$, când excitațiile circuitului $e(t)$ arătate în fig. 5. P 20 b sînt approximate prin secvențele lor în timp.

P.21. Se consideră circuitul pentru care

$$\mathcal{A} = \begin{bmatrix} -1 & 1 \\ 0 & -1 \end{bmatrix}, \quad \mathcal{B} = \begin{bmatrix} -2 \\ 3 \end{bmatrix}, \quad \mathcal{C} = \begin{bmatrix} 1 & 0 \\ -1 & 2 \end{bmatrix}, \quad \mathcal{D} = \begin{bmatrix} 1 \\ 0 \\ -1 \end{bmatrix} \hat{\mathcal{D}} = 0.$$

Să se evalueze $\mathbf{x}_\ell(nT)$ potrivit relației de recurență (75) și $\mathbf{w}(nT)$ conform lui (76) pentru $n=1,\dots,15$, când $\mathbf{e}(t) = [u(t)-(t-1)u(t-1)+(t-2)u(t-2)]$, $T=0,2$ și $\mathbf{x}(0) = [-1, 2]'$.

P.22. Se presupune că o greșeală de calcul aritmetic introduce vectorul eroare $\mathbf{e}_4 = [0,001-0,012]'$ în valoarea calculată a lui $\mathbf{x}_\ell(4T)$ în problema 21. Va descrește norma erorii transmise atunci când timpul crește? Să se evalueze conform lui (84) mărimea efortii în valoarea calculată a lui $\mathbf{x}_\ell(14T)$. Să se rezolve problema pentru fiecare din normele date în relațiile (80).

P.23. Să se repete problemele 21 și 22 după înlocuirea lui \mathcal{A} cu fiecare din matricele :

$$(a) \begin{bmatrix} 0 & 1 \\ -1 & 0 \end{bmatrix}, \quad (b) \begin{bmatrix} -4 & 1 \\ -2 & -1 \end{bmatrix}, \quad (c) \begin{bmatrix} 2 & 0 \\ 1 & -1 \end{bmatrix}.$$

P.24. Să se repete Problemele 21 și 22 după înlocuirea lui \mathcal{A} , \mathcal{B} , \mathcal{C} , \mathcal{D} , $\mathbf{x}(0)$ și \mathbf{e}_4 prin

$$\mathcal{A} = \begin{bmatrix} -2 & 1 & 3 \\ 0 & -1 & 0 \\ 0 & 2 & -3 \end{bmatrix}, \quad \mathcal{B} = \begin{bmatrix} 0 \\ 2 \\ -1 \end{bmatrix}, \quad \mathcal{C} = \begin{bmatrix} 1 & 0 & 2 \\ 1 & -1 & 1 \end{bmatrix}, \quad \mathcal{D} = 0.$$

$$\mathbf{x}(0) = [1 \ -1 \ 1]', \quad \mathbf{e}_4 = [0,001 \ 0,020 \ -0,001]'$$

P.25. Să se repete problema 21 înlocuind $\mathbf{e}(t)$ și $\mathbf{x}(0)$ cu fiecare din următoarele :

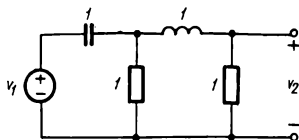
$$(a) \mathbf{e}(t) = [te^{-t}], \quad \mathbf{x}(0) = [0 \ 0]'$$

$$(b) \mathbf{e}(t) = [\sin t], \quad \mathbf{x}(0) = [1 \ -1]'$$

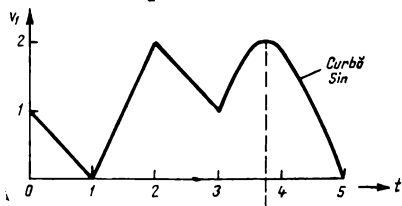
$$(c) \mathbf{e}(t) = [2u(t)-u(t-1)], \quad \mathbf{x}(0) = [0 \ 1]'$$

$$(d) \mathbf{e}(t) = [u(t)-e^{-2t}], \quad \mathbf{x}(0) = [0 \ 0]'$$

$$(e) \mathbf{e}(t) = [2e^{-t}-3e^{-2t}], \quad \mathbf{x}(0) = [1 \ 0]'$$

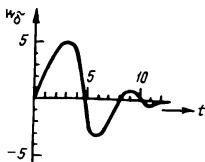


a

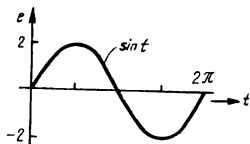
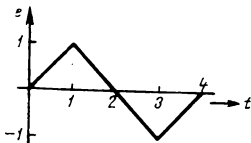
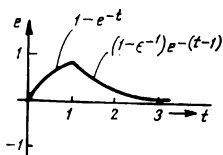
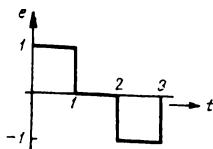


b

Fig. 5.P.18.



a



b

Fig. 5.P.20.

P.26. Să se repete calculele din exemplul dat în paragraful 5.6. folosind celelalte norme de matrice date în (83).

P.27. Pentru fiecare din matricele \mathcal{A} de mai jos

$$(a) \begin{bmatrix} -1 & 0 \\ 0 & -1 \end{bmatrix}, \quad (b) \begin{bmatrix} -6 & 3 \\ -4 & 1 \end{bmatrix}, \quad (c) \begin{bmatrix} -1 & 0 & 1 \\ 1 & -2 & 1 \\ 0 & 0 & -1 \end{bmatrix}$$

să se determine K în trunchierea dată de (87) și marginile erorii din (104) și (108), când $T = 0.1$ și $\Delta = 0.001$. Să se folosească cele trei norme de matrice diferite din (83).

P.28. Să se repete calculele din problema 21 după înlocuirea lui $\epsilon^{0.2\mathcal{A}}$ prin aproximarea sa cu ajutorul seriei de puteri trunchiate \mathbf{A} , calculată astfel încât în criteriul de trunchiere, (a) $\Delta = 0.01$ și (b) $\Delta = 0.001$. În fiecare caz să se folosească cele trei norme diferite date în (83). Să se compare rezultatele acestor calcule cu cele obținute în problema 21.

P.29. Să se repete problema 28 după înlocuirea lui \mathcal{A} de către matricele din problema 23.

P.30. Dacă $e(t)$ și $r(t)$ sint excitația aplicată și respectiv răspunsul unei rețele liniare invariante în timp N , atunci așa cum se arată în fig. 5. P 30, $r^{(k)}(t)$ va fi răspunsul rețelei la $e^{(k)}(t)$. Acest lucru sugerează o metodă de calcul a unei aproximări a lui $r(t)$: (a) se va aproxima e prin segmente de dreaptă, (b) se va deriva o dată, pentru a obține o aproximare în trepte a lui \dot{e} (sau de două ori, pentru a obține o aproximare cu o succesiune de impulsuri a lui \ddot{e}), (c) se va găsi răspunsul lui N la aproximația lui \dot{e} (sau \ddot{e}) și (d) se va integra o dată (sau de două ori) pentru a obține răspunsul aproximativ. Folosind această metodă, pentru răspunsul la impulsul unitate sau răspunsul la treapta unitate, să se calculeze răspunsul aproximativ al circuitelor din fig. 5. P 4 pentru excitațiile din fig. 5. P 5.

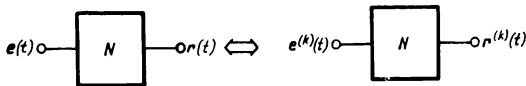


Fig. 5.P.30.

Următoarele patru probleme implică pregătirea unui program pentru a ajuta în aflarea soluției anumitor probleme. În fiecare caz, să se stabilească o organigramă și un set de instrucțiuni de program într-unul din limbajele de utilizare de exemplu FORTRAN IV, pentru un calculator numeric în scopul efectuării calculelor problemei. Să se includă în program un set de instrucțiuni de utilizare.

P.31*. Să se scrie un program pentru evaluarea lui $w_{\mathcal{E}}(nT)$ pentru $n = 1, \dots, N$ conform cu (65). Valorile lui N , $e(kT)$ și $w_{\mathcal{S}}(kT)$ vor fi introduse ca date de intrare.

P.32*. Să se scrie un program de evaluare a lui \mathbf{A} , aproximația lui $\epsilon^{\mathcal{A}T}$, în (87). Programul trebuie să conducă la o alegere a lui K pentru care (95) este valabilă. Matricea \mathcal{A} și scalarii T și Δ sint specificați ca date de intrare. Să se folosească norma matricei din (83. a) sau (83. c).

P.33*. Să se scrie un program pentru evaluarea lui $x_{\mathcal{E}}(nT)$ pentru $n = 1, \dots, N$, conform lui (75) când $e(nT) \equiv 0$ pentru orice n . Valorile lui N , $x(0)$, și $\epsilon^{\mathcal{A}T}$ vor fi specificate ca date de intrare.

P.34*. Să se combine programele din problemele 32 și 33 pentru a forma un singur program care pornind de la N , $x(0)$, \mathcal{A} , T și Δ ca date de intrare, să evalueze $x_{\mathcal{E}}(nT)$ pentru $n = 1, \dots, N$ când $e(nT) \equiv 0$.

6

Reprezentări ale funcțiilor de circuit (rețea)

Scopul acestui capitol este de a discuta modul în care se reprezintă funcțiile de circuit și de a începe studiul proprietăților funcționale ale circuitului, ca funcții analitice de o variabilă complexă. Vom insista mai ales asupra acelor proprietăți care se aplică în general funcțiilor de circuit, fără a ține seama de natura lor specifică de funcții de intrare sau de transfer. Deasemeni vom studia relațiile care există între părțile unei funcții de circuit — părțile reală și imaginară, modul și fază — și vom observa cum se reprezintă funcția prin oricare din părțile sale componente.

6.1. POLI, ZEROURI ȘI FRECVENȚE NATURALE

Reamintim că o *funcție de circuit* este definită ca raportul transformatei Laplace a unui *răspuns* la transformata Laplace a unei *excitații* când circuitul nu conține energie inițială acumulată. Vom începe prin a releva câteva proprietăți elementare ale funcțiilor de circuit menționate anterior, chiar dacă unele din ele nu au fost enunțate în mod explicit.

Ne vom ocupa de circuite cu elemente concentrate, liniare, invariante în timp. Funcțiile de circuit ale unor astfel de circuite sint *funcții raționale*, rapoartele a două polinoame întregi. În capitolul 3 am legat funcțiile de circuit de determinanții și cofactorii matricelor admitanțelor la noduri, sau impedanțelor de contur. Să facem legătura lor cu ecuațiile de stare. Reamintim că ecuațiile de stare pentru un circuit pot fi scrise după cum urmează :

$$\frac{d}{dt} \mathbf{x} = \mathcal{A} \mathbf{x} + \mathcal{B} \mathbf{e}, \quad (1a)$$

$$\mathbf{w} = \mathcal{C} \mathbf{x} + \mathcal{D} \mathbf{e} + \hat{\mathcal{D}} \frac{d\mathbf{e}}{dt}, \quad (1b)$$

unde x , e și w sînt respectiv vectorii de stare, de excitație și de ieșire. Ultimul termen din cea de a doua ecuație poate să apară numai cînd un element al vectorului de ieșire este un curent printr-un condensator și sursă de tensiune independentă pe contur, sau o tensiune pe bobină și sursă de curent independentă pe secțiune.

Presupunînd condiții inițiale nule, luăm transformatele Laplace ale acestor ecuații, rezolvăm prima din ele pentru $X(s)$ și substituim în cea de a doua. Rezultatul va fi ¹⁾:

$$X(s) = (sU - \mathcal{A})^{-1} \mathcal{B} E(s), \quad (2a)$$

$$W(s) = \{ \mathcal{C} (sU - \mathcal{A})^{-1} \mathcal{B} + \mathcal{D} + s \hat{\mathcal{D}} \} E(s). \quad (2b)$$

Termenul din acoladă este matricea de transfer $H(s)$, în care fiecare din elemente este o funcție de circuit. Astfel:

$$H(s) = \mathcal{C} (sU - \mathcal{A})^{-1} \mathcal{B} + \mathcal{D} + s \hat{\mathcal{D}}. \quad (3)$$

Să examinăm această expresie cu atenție. Ultimii doi termeni indică o relație directă între excitație și răspuns fără intervenția vectorului de stare. Acești termeni determină comportarea răspunsului cînd s tinde către infinit. De fapt așa cum s-a observat în ultimul capitol $\hat{\mathcal{D}}$ este matricea reziduurilor lui $H(s)$ la infinit.

În primul termen din (3) \mathcal{C} și \mathcal{B} sînt matrice de numere reale. Variabila complexă s apare numai în $(sU - \mathcal{A})^{-1}$. Notînd $d(s)$ polinomul caracteristic al lui \mathcal{A} , acest termen poate fi scris

$$\mathcal{C} (sU - \mathcal{A})^{-1} \mathcal{B} = \frac{1}{d(s)} \mathcal{C} [\text{adj}(sU - \mathcal{A})] \mathcal{B}. \quad (4)$$

Elementele lui $\text{adj}(sU - \mathcal{A})$ sînt cofactorii lui $\det(sU - \mathcal{A})$ și deci sînt polinoame. Acest fapt nu este modificat cînd $\text{adj}(sU - \mathcal{A})$ este premultiplicată cu \mathcal{C} și postmultiplicată cu \mathcal{B} . Prin urmare întregul termen este o matrice ale cărei elemente sînt polinoame împărțite prin $d(s)$. S-a verificat astfel că funcțiile de circuit sînt funcții raționale de s .

¹⁾ Observăm că $e(0)$ nu apare în (2b), deși derivata lui e apare în (1b). Acest lucru este imposibil de condiția ca circuitul să nu conțină energie inițială acumulată. Valoarea inițială a lui e poate apare numai dacă derivata termenului excitației apare în ecuație. Deoarece ea va apare numai atunci cînd există contururi numai din condensatoare sau secțiuni conținînd numai bobine, punînd tensiunile inițiale pe condensatoare și curenții inițiali prin bobine egali cu zero, va fi necesar ca valorile inițiale ale excitației să fie deasemenea zero.

Din cele precedente pot fi stabilite și alte lucruri. În capitolele precedente ne-am referit la *frecvențele naturale* ale unui circuit. În capitolul 3 ele au fost considerate zerourile determinantului matricei impedanțelor de contur, sau al matricei admitanțelor la noduri. S-a arătat că acești doi determinanți pot diferi cel mult prin multiplicatorul Ks^n și prin urmare zerourile lor nenule sînt aceleași. În capitolul 4 frecvențele naturale s-au tratat ca valori proprii ale matricei A , anume ca zerouri ale lui $d(s)$. Vedem că zerourile lui $d(s)$ sînt aceleași ca și cele ale determinantului impedanțelor de contur și ale determinantului admitanțelor la noduri. Aceasta rezultă din faptul că $W(s)$ se referă la *oricare* ieșire. Astfel, dacă alegem ca ieșiri toate tensiunile la noduri, și numai acestea, $W(s)$ este matricea transformatelor tensiunilor la noduri. Deoarece soluțiile circuitelor sînt unice, (2b) trebuie să dea aceleași rezultate ca soluția ecuațiilor la noduri. În ultimul caz, numitorul soluției va fi Δ_v . Prin urmare Δ_v și $d(s)$ au aceleași zerouri nenule. O concluzie similară rezultă cu privire la Δ_i . Pentru ușurința referirii vom enunța acest rezultat sub forma unei teoreme.

Teorema 1. *Zerourile nenule ale lui $\det(sU - \mathcal{A})$ sînt aceleași ca și zerourile nenule ale lui $\det(\mathbf{A}\mathbf{Y}\mathbf{A}')$ și $\det(\mathbf{B}\mathbf{Z}\mathbf{B}')$*

Pozițiile polilor

Fie $F(s)$ simbolul generic pentru o funcție de circuit. Fiind o funcție rațională ea poate fi scrisă în următoarele forme :

$$(F \ s) = \frac{a_m s^m + a_{m-1} s^{m-1} + \dots + a_1 s + a_0}{b_n s^n + b_{n-1} s^{n-1} + \dots + b_1 s + b_0}, \quad (5a)$$

$$F(s) = K \frac{(s-s_{01})(s-s_{02}) \dots (s-s_{0m})}{(s-s_{p1})(s-s_{p2}) \dots (s-s_{pn})}. \quad (5b)$$

Deoarece fiecare din matricele \mathcal{A} , \mathcal{B} , \mathcal{C} , \mathcal{D} și $\hat{\mathcal{D}}$ din membrul drept al lui (3) sînt matrice de numere reale și $F(s)$ reprezintă orice element al lui $\mathbf{H}(s)$, toți coeficienții lui s din (5 a) trebuie să fie reali ¹⁾. Dacă s ia numai valori reale în (5 a), atunci $F(s)$ va fi real. O funcție de variabilă complexă

¹⁾ Acest enunț trebuie privit în mod obișnuit, deoarece este posibil a multiplica fiecare coeficient din numărător și numitor printr-un număr complex arbitrar, fără a schimba funcția. Această dificultate este depășită făcînd, să zicem, coeficientul puterii celei mai mari a numitorului să fie egal cu unitatea.

care este reală când variabila este reală, se numește *funcție reală*. Astfel, funcțiile de circuit sînt funcții reale de s . Din aceasta rezultă imediat *proprietatea de reflexie*, anume

$$F(\bar{s}) = \overline{F(s)}; \quad (6)$$

adică funcțiile de circuit iau valori conjugate în punctele conjugate din planul complex.

Să privim cea de a doua formă a lui (5) în care sînt puși în evidență polii s_{pk} și zerourile s_{ok} . Pînă la un factor de multiplicare K , funcția de circuit este complet determinată de polii și zerourile sale care îi determină

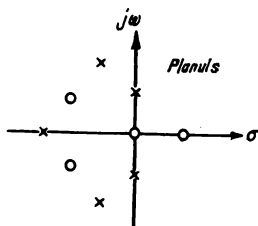


Fig. 6.1. Reprezentarea poli-zerourilor.

proprietățile analitice. De fapt, polii și zerourile dau reprezentarea unei funcții de circuit așa cum este ilustrat în fig. 6.1. Zerourile sînt reprezentate prin cercuri și polii prin cruciulițe. Acestor reprezentări le spunem *diagrame poli-zerouri*. Proprietatea de reflexie (6) implică faptul că polii și zerourile unei funcții de circuit sînt fie reale, fie în perechi complex conjugate.

Altă proprietate simplă a funcțiilor de circuit rezultă dintr-o considerație de stabilitate. Cunoaștem că răspunsul liber este determinat de polii funcției de circuit. Deoarece

$$\mathcal{L}^{-1}\left[\frac{a_{-k}}{(s - s_p)^k}\right] = \frac{a_{-k} t^{k-1} e^{s_p t}}{(k-1)!}, \quad (7)$$

tragem concluzia că funcția de circuit a unui circuit stabil nu poate avea nici unul din poli în semiplanul drept și oricare din polii de pe axa $j\omega$ trebuie să fie simpli. În caz contrar, răspunsul liber va crește nelimitat și circuitul va fi instabil.

Această concluzie este mai restrictivă în cazul funcțiilor de intrare. Atît funcția impedanță cît și funcția admitanță de intrare au această

proprietate și deoarece una este reciproca celeilalte, funcțiile de intrare nu pot avea nici poli nici zerouri în semiplanul drept. Mai mult, atât poli cât și zerourile de pe axa imaginară trebuie să fie simple.

În cazul unei funcții de transfer, reciproca nu este o funcție de circuit. Prin urmare, nu putem spune nimic despre zerourile sale. Ele pot fi situate oriunde în planul complex, fiind supuse numai proprietății de reflexie.

Părțile pară și impară ale unei funcții

În general $F(s)$ va avea atât puteri pare cât și puteri impare ale lui s : ea nu va fi nici funcție pară nici funcție impară. Prin urmare putem scrie

$$F(s) = \text{Par } F(s) + \text{Imp } F(s), \quad (8)$$

unde $\text{Par } F(s)$ înseamnă „partea pară a lui $F(s)$ ” și $\text{Imp } F(s)$ înseamnă „partea impară a lui $F(s)$ ”. O funcție pară $g(s)$ este caracterizată de proprietatea $g(-s) = g(s)$ și o funcție impară de proprietatea $g(-s) = -g(s)$. Utilizând aceste proprietăți și ținând seama de (8), putem exprima părțile pară și impară ale unei funcții după cum urmează:

$$\text{Par } F(s) = \frac{1}{2} [F(s) + F(-s)], \quad (9a)$$

$$\text{Imp } F(s) = \frac{1}{2} [F(s) - F(-s)]. \quad (9b)$$

Pot fi obținute și alte forme dacă puterile pară și impară ale lui s sînt grupate atât la numărătorul cât și numitorul lui $F(s)$. Astfel scriem

$$F(s) = \frac{m_1(s) + n_1(s)}{m_2(s) + n_2(s)}, \quad (10)$$

unde m_1 și m_2 sînt polinoame pare, iar n_1 și n_2 sînt polinoame impare. Ținînd seama de aceasta în (9), avem

$$\text{Par } F(s) = \frac{m_1(s)m_2(s) - n_1(s)n_2(s)}{m_2^2(s) - n_2^2(s)}, \quad (11a)$$

$$\text{Imp } F(s) = \frac{n_1(s)m_2(s) - n_2(s)m_1(s)}{m_2^2(s) - n_2^2(s)}. \quad (11b)$$

Notăm că numitorul este același atât pentru partea pară cit și pentru partea impară a lui $F(s)$ și este un polinom par. Numărătorul lui Par $F(s)$ este par și acela al lui Imp $F(s)$ este impar, așa cum, de fapt, trebuie să fie.

Este interesant de a observa unde sînt situați polii lui Par $F(s)$ (și de asemenea ai lui Imp $F(s)$). Din (9) rezultă clar că Par $F(s)$ are polii lui $F(s)$ și $F(-s)$. Dar polii lui $F(-s)$ sînt imagini oglindite în raport cu axa imaginară. Aceasta poate fi ilustrat luînd următoarele funcții $F(s)$ și $F(-s)$:

$$F(s) = \frac{m_1 + n_1}{(s+1)(s^2+2s+2)},$$

$$F(-s) = \frac{m_1 - n_1}{(-s+1)(s^2-2s+2)}.$$

$F(s)$ are un pol pe axa reală negativă și un pol complex conjugat în semiplanul stîng. Polii lui $F(-s)$ sînt imaginile oglindite ale acestora, așa cum este arătat în fig. 6.2. Par $F(s)$ are toți polii din fig. 6.2, atât pe cei din semiplanul stîng (s.p.s) cit și din semiplanul drept (s.p.d).

Reprezentarea polilor din fig. 6.2 posedă o anumită simetrie. O reprezentare a polilor care are simetrie în raport atât cu axa reală cit și cu axa imaginară se spune că are o *simetrie cuadrantală*. Astfel spunem că polii lui Par $F(s)$ și Imp $F(s)$ au simetrie cuadrantală.

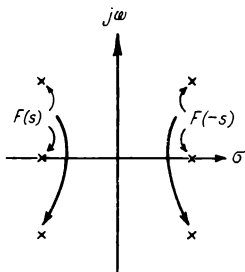


Fig. 6.2. Polii lui Par $F(s)$.

Funcția $F(s)$ specifică o valoare a lui F pentru toate valorile complexe ale lui s . Dintre toate valorile lui s , de un interes deosebit sînt acelea de pe axa $j\omega$. Pentru $s = j\omega$, sîntem deseori interesați în comportarea uneia din următoarele componente: partea reală, partea imaginară, faza

și modulul (sau logaritmul din modul). Acestea sînt componentele implicate în răspunsul în regim staționar la excitație sinusoidală. Oricare din aceste componente poate fi interpretată ca un *răspuns în frecvență*. Aceste componente ale unei funcții sînt legate prin

$$F(j\omega) = R(\omega) + jX(\omega) = |F(j\omega)| e^{j\Phi(\omega)}, \quad (12)$$

unde semnificațiile simbolurilor sînt evidente.

Să considerăm relația (9) presupunînd că $s = j\omega$. Dorim să vedem ce devin părțile pară și impară ale lui $F(j\omega)$. Deoarece $F(-j\omega) = F(\overline{j\omega}) = \overline{F(j\omega)}$ din (6) vedem că

$$\text{Par } F(j\omega) = \frac{1}{2} [F(j\omega) + \overline{F(j\omega)}] = \text{Re } F(j\omega) = R(\omega), \quad (13a)$$

$$\text{Imp } F(j\omega) = \frac{1}{2} [F(j\omega) - \overline{F(j\omega)}] = j \text{Im } F(j\omega) = jX(\omega). \quad (13b)$$

Aceasta înseamnă că partea reală a unei funcții pe axa $j\omega$ este partea sa pară, iar partea imaginară pe axa $j\omega$ este partea sa impară împărțită prin j . Altfel spus, partea reală a lui $F(j\omega)$ este o funcție pară de frecvența unghiulară ω , iar partea imaginară este o funcție impară de ω .

Modulul și faza unei funcții

Enunțuri similare se pot face pentru modul și fază. Astfel, utilizînd notația din (12) putem scrie pătratul lui $F(j\omega)$ după cum urmează :

$$F^2(j\omega) = F(j\omega) F(-j\omega) \frac{F(j\omega)}{F(-j\omega)} = |F(j\omega)|^2 e^{j2\Phi(\omega)}.$$

Prin urmare

$$|F(j\omega)|^2 = F(j\omega) F(-j\omega), \quad (14a)$$

$$\Phi(\omega) = \frac{1}{2j} \ln \frac{F(j\omega)}{F(-j\omega)}. \quad (14b)$$

Înlocuind ω prin $-\omega$ vedem că modulul la pătrat este o funcție rațională pară de ω . Observăm că $|F(j\omega)|^2$ este valoarea funcției raționale pare $G(s) = F(s)F(-s)$ pe axa $j\omega$. Este interesant de notat că atît polii cît și zerourile lui $G(s)$ apar în simetrie cuadrantală, proprietate a oricărei funcții raționale pare.

Pentru fază avem

$$\Phi(-\omega) = \frac{1}{2j} \ln \frac{F(-j\omega)}{F(j\omega)} = -\frac{1}{2j} \ln \frac{F(j\omega)}{F(-j\omega)} = -\Phi(\omega). \quad (15)$$

Prin urmare, sîntem tentați a spune că faza este o funcție impară de ω . Însă faza este o funcție multiformă. De aceea, afirmația de mai sus este întemeiată numai dacă rămînem pe o suprafață Riemann adecvată.

Funcția de întîrziere

O funcție de transfer va fi numită ideală dacă este de forma $F(s) = e^{-s\tau}$. Pentru $s = j\omega$ modulul este identic egal cu unitatea și faza este proporțională cu ω . Dacă un circuit avînd această funcție de transfer este excitat de un semnal $e(t)$, răspunsul circuitului, ținînd seama de teorema întîrzierii din teoria transformării Laplace, va fi $w(t) = e(t - \tau)$. Semnalul de răspuns este același ca și excitația, cu excepția faptului că este întîrziat în timp cu o valoare τ , numit timp de întîrziere. Deoarece $\Phi(\omega) = -\omega\tau$ pentru funcția ideală, timpul de întîrziere este minus derivata funcției de fază.

Pe baza celor precedente, *funcția întîrziere*, pentru o funcție de transfer arbitrară, este definită astfel

$$\tau(\omega) = -\frac{d}{d\omega} \Phi(\omega). \quad (16)$$

În contrast cu funcția de fază, întîrzierea este o funcție rațională.

6.2. FUNCȚII DE FAZĂ MINIMĂ

Așa cum am observat mai înainte în acest capitol, zerourile funcțiilor de transfer pot apare în orice parte a planului complex. Funcțiile care nu au zerouri în semiplanul drept au anumite proprietăți care sînt foarte importante. Pentru acest motiv dăm acestor funcții un nume distinct pentru o identificare mai ușoară. Definim *funcție de transfer de fază minimă* ca fiind *acea funcție care nu are zerouri în semiplanul drept*. Dimpotrivă, orice funcție de transfer care are zerouri (chiar un zero) în semiplanul drept este numită funcție de *fază neminimă*. Motivul acestor denumiri va deveni evident în cele ce urmează.

În scopul de a determina efectul zerourilor din semiplanul drept asupra modulului și fazei unei funcții de transfer, considerăm fig. 6.3a. În această figură se arată o pereche de zerouri conjugate în semiplanul drept și imaginea din semiplanul stâng a acestei perechi. Fie $P_r(s)$ și $P_l(s)$

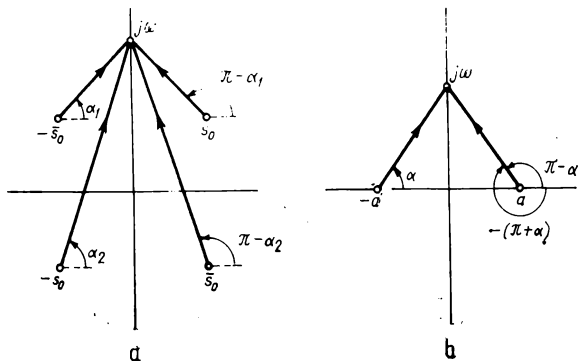


Fig. 6.3. Zerouri reale și complexe în simetrie cuadrantală.

polinoamele de gradul doi care au respectiv perechea de factori din semiplanul drept și perechea de factori din semiplanul stâng, adică

$$P_r(s) = (s - s_0)(s - \bar{s}_0) \quad (17a)$$

$$P_l(s) = (s + s_0)(s + \bar{s}_0). \quad (17b)$$

Este clar că $P_r(s) = P_l(-s)$. Construcția geometrică din figură arată că modulele lui P_r și P_l sînt aceleași cînd $s = j\omega$. Astfel pentru faze găsim

$$\arg P_r(j\omega) = \pi - \alpha_1 - [2\pi - (\pi - \alpha_2)] = -(\alpha_1 + \alpha_2), \quad (18a)$$

$$\arg P_l(j\omega) = \alpha_1 + \alpha_2 = -\arg P_r(j\omega). \quad (18b)$$

Notăm că, pentru ca faza lui P_r să fie zero la $\omega = 0$, așa cum de fapt trebuie să fie dacă faza este o funcție impară, faza lui $(s - \bar{s}_0)$ s-a scris $-(\pi + \alpha_2)$ în loc de $\pi - \alpha_2$. Diferența de 2π corespunde specificării fazei pe una din foile suprafeței Riemann în loc de o alta. Această dorință de a

avea funcția fază o funcție impară de ω este foarte înrădăcinată la teoreticienii circuitelor. Motivul principal pentru această dorință este că ea simplifică enunțul multor teoreme pe care le vom trata ulterior în acest capitol.

Din fig. 6.3 rezultă clar că $\alpha_1 + \alpha_2$, faza datorată zerourilor din semiplanul stâng este pozitivă pentru orice ω pozitiv. Ea variază de la 0 la $\omega=0$, până la π la $\omega = \infty$. Acest lucru este ilustrat în fig. 6.4. Rezultă atunci că faza unei perechi de zerouri conjugate în semiplanul drept este

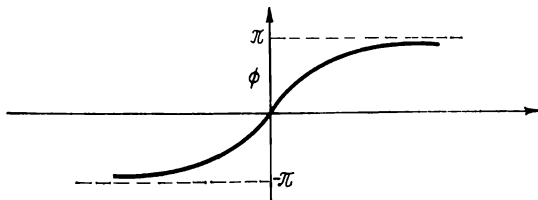


Fig. 6.4. Unghiul unei perechi de zerouri complexe în semiplanul stâng.

intotdeauna negativă pentru valori pozitive ale lui ω , variind de la 0 la $\omega=0$ până la $-\pi$ la $\omega = \infty$. Să considerăm situația din fig. 6.3 b în care se arată un zero real pe axa reală pozitivă și imaginea sa în semiplanul stâng. Din nou modulele celor doi factori $(j\omega - a)$ și $(j\omega + a)$ sunt egale. Faza factorului din semiplanul stâng $(j\omega + a)$ este α pentru ω pozitiv. (Faza va fi $-\alpha$ pentru ω negativ). Cu scopul de a face ca faza să fie o funcție impară, vom alege pentru faza factorului din semiplanul drept $j\omega - a$, valoarea $-(\pi + \alpha)$ pentru ω pozitiv și $(\pi - \alpha)$ pentru ω negativ. Graficele acestor faze sunt arătate în fig. 6.5. Observăm că în cea de a două figură există

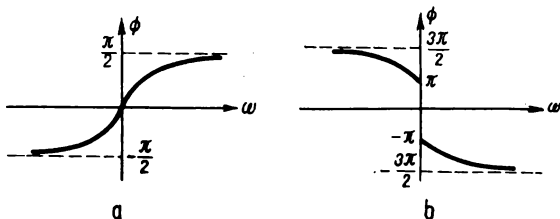


Fig. 6.5. Exemple de funcții de fază :

(a) $\arg(j\omega + a)$; (b) $\arg(j\omega - a)$

o discontinuitate de 2π , care este introdusă din dorința de a face ca faza să fie o funcție impară. Această discontinuitate corespunde la trecerea de la o suprafață Riemann la alta.

Dacă considerăm două zerouri în semiplanul drept, putem defini fazele astfel ca această discontinuitate să fie eliminată. Situația devine similară cu aceea a unei perechi de zerouri conjugate din semiplanul din dreapta. Astfel saltul apare în origine numai cînd există un număr impar de zerouri în semiplanul drept.

Funcții trece tot și de fază minimă

Pe baza celor discutate să considerăm acum următoarele două funcții de transfer :

$$F_1(s) = (s-s_0)(s-\bar{s}_0)F(s) = P_l(-s)F(s), \quad (19a)$$

$$F_2(s) = (s+s_0)(s+\bar{s}_0)F(s) = P_l(s)F(s), \quad (19b)$$

unde s_0 și conjugatul său sînt situați în semiplanul drept. Aceste două funcții sînt identice, exceptînd faptul că $F_1(s)$ are o pereche de zerouri în semiplanul drept, în timp ce în $F_2(s)$ acestea sînt înlocuite de imaginile lor din semiplanul stîng. Funcția comună $F(s)$ poate avea factori suplimentari în semiplanul drept. Presupunem că multiplicăm numărătorul și numitorul lui $F_1(s)$ cu factorii din semiplanul stîng $(s+s_0)(s+\bar{s}_0) = P_l(s)$. Rezultatul va fi :

$$F_1(s) = \frac{P_l(s)}{P_l(s)} P_l(-s) F(s) = F_2(s) \frac{P_l(-s)}{P_l(s)} = F_2(s) F_0(s), \quad (20)$$

unde

$$F_0(s) = \frac{P_l(-s)}{P_l(s)} = \frac{(s-s_0)(s-\bar{s}_0)}{(s+s_0)(s+\bar{s}_0)}. \quad (21)$$

Să definim o *funcție trece tot* ca o funcție de transfer avînd toate zerourile în semiplanul drept și toți poli ca imagini ale zerourilor sale în semiplanul stîng. Rezultă prin urmare că o funcție trece tot are modulul egal cu unitatea pentru toate valorile lui $s = j\omega$. (Acesta este motivul pentru care s-a numit astfel). Ultima ecuație arată că $F_0(s)$ este o funcție trece tot. Ea este o funcție trece tot de *ordinul doi*, ordinul referindu-se la numărul de poli. Din (18), faza lui F_0 este :

$$\arg F_0(j\omega) = \arg P_l(-j\omega) - \arg P_l(j\omega) = -2(\alpha_1 + \alpha_2). \quad (22)$$

Pentru frecvențe pozitive faza este negativă. Astfel faza unei funcții trece tot este negativă pentru toate frecvențele pozitive. Utilizând această ecuație putem scrie

$$\arg F_1(j\omega) = \arg F_2(j\omega) + \arg F_0(j\omega) < \arg F_2(j\omega), \quad (\omega > 0). \quad (23)$$

Acest rezultat ne arată că pentru toate frecvențele pozitive faza unei funcții având zerourile în semiplanul drept este mai mică decât aceea a funcției obținută cînd o pereche din aceste zerouri este înlocuită cu imaginea sa din semiplanul stîng.

Acest procedeu de exprimare a unei funcții de transfer ca produsul altor două poate fi repetat. În fiecare etapă o pereche de zerouri complexe, sau un zero real din semiplanul drept, pot fi înlocuite cu imaginile lor din semiplanul stîng. Se obține astfel o succesiune de funcții, din care F_1 și F_2 sînt primele două. Fiecare factor al succesiunii va avea mai puține zerouri în semiplanul drept decît cel precedent. Ultimul factor din această succesiune nu va mai avea zerouri în semiplanul drept. Fie el $F_m(s)$. Prin definiție $F_m(s)$ este o funcție de fază minimă. Folosind (23) și rezultatele similare pentru celelalte funcții, putem scrie

$$\arg F_1(j\omega) < \arg F_2(j\omega) < \dots < \arg F_m(j\omega), \quad (\omega > 0). \quad (24)$$

Fiecare din funcțiile din această succesiune va avea același modul pe axa j , dar fazele vor fi progresiv mai mari. În mod paradoxal, funcția de fază minimă va avea faza cea mai mare (algebric, dar nu în mod necesar în modul). Motivul acestei nepotriviri este următorul. Am definit funcțiile de transfer ca rapoarte ale transformatei Laplace a ieșirii la transformata Laplace a intrării. Cînd conceptul de fază minimă a fost introdus pentru prima dată de Bode, el a definit funcțiile de transfer ca rapoarte ale transformatei Laplace a intrării la transformata Laplace a ieșirii. Cu o astfel de definiție, inegalitățile din (24) vor fi inversate și funcția de fază minimă va avea, algebric, faza cea mai mică.

În fiecare etapă din procedeul de mai sus se obține o funcție trece tot de ordinul doi, sau de ordinul unu. Produsul unui număr oarecare de funcții trece tot este din nou o funcție trece tot. Rezultă că orice funcție de transfer de fază neminimă poate fi scrisă ca produsul unei funcții de fază minimă și al unei funcții trece tot, adică

$$F(s) = F_m(s)F_a(s), \quad (25)$$

unde F_m este o funcție de fază minimă și F_a este o funcție trece tot.

Diferența de fază

Un alt rezultat se poate stabili considerînd variația fazei unei funcții trece tot cînd ω crește de la zero la infinit.

Ecuția (22) împreună cu fig. 6.3 *a*, arată că schimbarea fazei $\Delta\Phi$, definită ca faza la plus infinit minus faza la $\omega = 0$, pentru o funcție trece tot de ordinul doi este -2π . În mod similar, pentru o funcție trece-tot de ordinul unu putem găsi din fig. 6.5 că această variație, neluînd în considerație discontinuitatea la $\omega = 0$, este $\Delta\Phi = -\pi$. Este ușor de apreciat că pentru o funcție trece tot de ordinul n variația fazei este $-n\pi$, neluînd în considerație nici o discontinuitate la $\omega = 0$. Dacă n este par, nu va exista discontinuitate la $\omega = 0$; dacă însă n este impar, va exista o discontinuitate de $-\pi$ și variația totală a fazei va deveni $-n\pi - \pi$.

Considerăm acum o funcție de fază neminimă care are n zerouri în semiplanul drept. Aceasta poate fi exprimată ca produsul unei funcții de fază minimă și a unei funcții trece tot de ordinul n . Diferența de fază a funcției de fază neminimă cînd ω variază de la zero la plus infinit, va fi diferența de fază a funcției de fază minimă corespunzătoare, plus diferența de fază a funcției trece tot. Deoarece aceasta din urmă este o cantitate negativă, rezultă că o funcție de fază neminimă are o diferență de fază mai mică (numai algebric) cînd ω variază de la zero la infinit, decît funcția de fază minimă corespunzătoare, diferența fiind $n\pi$, sau $n\pi + \pi$, unde n este numărul de zerouri din semiplanul drept.

Este de asemenea interesant de a determina diferența de fază a unei funcții de fază minimă cînd ω variază de la zero la plus infinit. Contribuția fazei fiecărui zero la această diferență este $\frac{\pi}{2}$, în timp ce contri-

buția fiecărui pol este $-\frac{\pi}{2}$. Prin urmare diferența de fază va fi de $\frac{\pi}{2}$ ori numărul de zerouri finite, minus numărul de poli finiți. Rezultă că dacă funcția este analitică la $s = \infty$, *funcția de fază minimă va avea $|\Delta\Phi|$ mai mic decît funcția de fază neminimă corespunzătoare*, deoarece ambele faze sînt nepozitive.

Polinoame Hurwitz

Să considerăm acum un alt aspect al funcțiilor de fază minimă și neminimă, anume relațiile între coeficienții unui polinom și pozițiile zerourilor sale. Polinoamele fără zerouri în semiplanul drept deschis sînt numite *polinoame Hurwitz*. Dacă în plus aceste polinoame nu au zerouri nici pe axa $j\omega$ se numesc *polinoame strict Hurwitz*. Pe baza acestor definiții rezultă că polinomul numărătorului unei funcții de fază minimă este Hurwitz.

O condiție necesară pentru ca un polinom să fie Hurwitz este ca toți coeficienții săi să aibă același semn. Aceasta însă nu este o condiție suficientă (verificarea afirmației se poate face ușor luând un exemplu în care cel puțin unul din coeficienți să fie de semn contrar cu al celorlalți). Înseamnă că anumite polinoame cu zerouri în semiplanul drept pot avea toți coeficienții pozitivi, sau toți coeficienții negativi, fără a fi polinoame Hurwitz. Totuși, dacă un polinom are toți coeficienții de același semn există o restricție asupra poziției permise a zerourilor sale. Restricția este dată de următoarea teoremă.

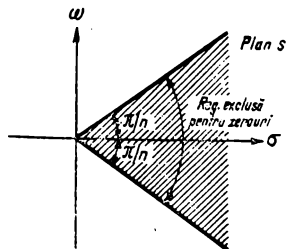


Fig. 6.6. Domeniu interzis pentru zerourile unui polinom fără coeficienți negativi.

Teorema 2. Dacă un polinom real $P(s)$ de gradul n are toți coeficienții de același semn, el nu va avea zerouri în sectorul deschis al planului s dat de $|\arg s| < \pi/n$. Domeniul interzis este arătat ¹⁾ în fig. 6.6. În cazul limită, dacă singurii coeficienți diferiți de zero ai unui polinom sînt primul și ultimul (adică $P(s) = s^n + a_0$), atunci va exista un zero pe conturul $|\arg s| = \frac{\pi}{n}$. Observăm că reciproca teoremei nu este în general adevărată

adică dacă zerourile unui polinom sînt excluse din sectorul $|\arg s| < \frac{\pi}{n}$, nu este necesar ca coeficienții săi să aibă același semn. Astfel toate polinoamele

$$P_1(s) = s^3 + 0,2s^2 + 0,2s + 1,$$

$$P_2(s) = s^3 + s^2 - 0,44s + 1,8,$$

$$P_3(s) = s^3 - 0,3s^2 + 0,6s + 0,5$$

au un zero real negativ și același factor $s^2 - 0,8s + 1$ în semiplanul drept, ale cărei zerouri nu sînt situate în sectorul $|\arg s| < \pi/3$; și totuși două dintre polinoame au coeficienți cu semne diferite.

¹⁾ O demonstrație utilizînd principiul argumentului este dată în Norman Balabanian, *Network Synthesis*, Prentice-Hall, Englewood Cliffs, NJ, 1958.

6.3. CIRCUITE DE FAZĂ MINIMĂ ȘI FAZĂ NEMINIMĂ

Până acum am discutat despre funcții. Acum, vom considera circuitele ale căror funcții sînt funcții de transfer. Pozițiile zerourilor de transmisie ale unui circuit depind atît de tipurile de elemente pe care le conține circuitul, cît și de structura circuitului. În ceea ce privește restricțiile poziției zerourilor de transmisie datorate tipurilor de elemente nu poate fi făcută nici o precizare definitivă. Astfel circuitele RC care au numai un singur tip de componente reactive pot avea zerouri de transmisie complexe, reale și chiar în semiplanul drept. Numai structura este aceea care impune restricțiile.

Circuite în scară

Cea mai importantă restricție este dată de teorema următoare :

Teorema 3. *Funcția de transfer a unui circuit în scară reciproc, pasiv, fără cuplaj mutual între brațe este o funcție de fază minimă.*

Graful unui circuit în scară este arătat în fig. 6.7. Laturile serie și derivație nu trebuie să fie formate dintr-un singur element, ci pot fi circuite uniport arbitrare fără cuplaj între laturi. Prima și ultima latură în derivație pot să existe sau nu. Folosind formule topologice pentru funcțiile de circuit din capitolul 3, impedanța de transfer de gol poate fi scrisă astfel

$$z_{21}(s) = \frac{\sum^2 T_{12,0}(y)}{\sum T(y)} = \frac{Y_2 Y_4 \cdots Y_{2m}}{\sum T(y)} \quad (26)$$

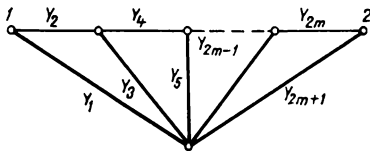


Fig. 6.7. Circuit în scară.

Partea dreaptă rezultă pentru că nu poate să apară nici o latură în derivație într-un bi-arbore, care include ambele noduri 1 și 2 dar exclude nodul 0. Zerourile lui $z_{21}(s)$ vor apare acolo unde numărătorul are zerouri și acolo unde numitorul are poli care nu se anulează cu polii numărătorului. Fiecare arbore trebuie să conțină nodul 0 și prin urmare fiecare produs al admitanțelor arborelui trebuie să conțină cel puțin una din admitanțele laturilor.

rilor derivație, $Y_1, Y_3 \dots Y_{2m+1}$. Prin urmare polii acestor admitanțe trebuie să fie polii numitorului lui $z_{21}(s)$. Unele din laturile serie pot fi deasemeni dintr-un arbore, dar polii admitanțelor Y_2, Y_4 etc., din aceste produse ale admitanțelor arborelui se anulează cu polii numărătorului lui z_{21} . În concluzie, *zerourile lui $z_{21}(s)$ apar la zerourile admitanțelor laturilor serie Y_2, Y_4 etc. și la polii admitanțelor laturilor derivației Y_1, Y_3 etc.* Dar polii și zerourile admitanței unui circuit reciproc pasiv nu pot fi situați în semiplanul drept. Prin urmare, teorema este demonstrată.

Deși dezvoltarea s-a făcut pentru funcția z_{21} , rezultatul este adevărat și pentru alte funcții de transfer, așa cum s-a discutat în problema P. 48 din capitolul 3.

S-a arătat mai sus că zerourile de transmisie ale unui circuit în scară sînt date de polii admitanțelor laturilor paralel (latura constituie un scurt circuit), sau de zerourile admitanțelor laturilor serie (latura reprezintă o întrerupere). Totuși, nu este adevărat că un zero de transmisie *trebuie* să apară întotdeauna în asemenea puncte, ci numai că acestea sînt singurele puncte la care el *poate* să apară. Exemple în care un zero al admitanței laturii serie și un pol al admitanței laturii derivație nu sînt zerouri de transmisie sînt date în problema 6.

Aceste chestiuni sînt foarte utile în sinteza circuitelor în scară. Nu vom mai insista aici asupra acestor chestiuni, dar subliniem că afirmațiile făcute se utilizează în sinteza unei funcții de intrare ca de exemplu impedanța de gol sau admitanța de scurt circuit a unui circuit în scară avînd prescrise anumite zerouri de transmisie. De asemenea, dacă se pune pro-

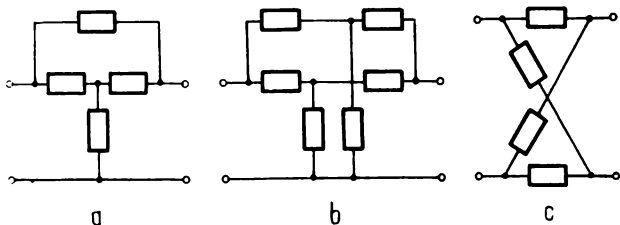


Fig. 6.8. Circuite care ar putea fi de fază neminimă :

(a) T podit; (b) dublu T; (c) structură X.

blema proiectării unui filtru cu zerourile de transmisie în semiplanul drept, vom ști cel puțin că un circuit în scară nu poate realiza asemenea zerouri și deci că trebuie căutate alte structuri.

Structurile cele mai simple ale căror funcții de transfer pot fi funcții de fază neminimă sînt structurile în T podit, dublu T și X, așa cum este arătat în fig. 6.8. Dacă ele sînt într-adevăr structuri de fază neminimă sau

nu, depinde de tipul elementelor conținute și de valorile lor. Astfel circuitul dublu T din fig. 6.9 va fi de fază minimă pentru anumite valori ale rezistențelor și de fază neminimă pentru alte valori, după cum se vede în cele două cazuri particulare din figură.

Circuit de fază neminimă

Zerourile de transmisie la:

$$s = 1 \pm j3, -\frac{9}{2}$$

pentru $G_1 = 2,28$

$$G_2 = 0,22$$

$$G_3 = 90$$

Circuit de fază minimă

Zerourile de transmisie la:

$$s = -1 \pm j3, -\frac{9}{2}$$

pentru $G_1 = 4,28$

$$G_2 = 2,22$$

$$G_3 = 1,43$$

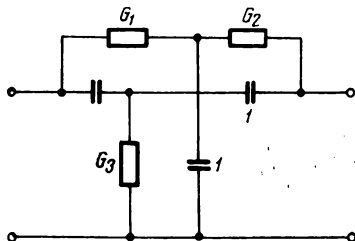


Fig. 6.9. Circuit dublu T care poate fi atât de fază minimă cât și neminimă.

Circuite de rezistență constantă

Am văzut în (25) că o funcție de transfer de fază neminimă poate fi scrisă ca produs al unei funcții de fază minimă și al unei funcții trece tot. Acest lucru are mare importanță în sinteză. Dacă $F_m(s)$ și $F_a(s)$ pot fi realizate separat, interconectarea lor va da circuitul cerut. Fie de exemplu conectarea în cascadă a celor doi diporturi arătați în fig. 6.10, fiecare realizând una din cele două tipuri de funcții. Din nefericire această interconec-

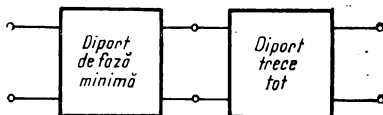


Fig. 6.10. Diporturi conectați în cascadă.

tare nu constituie o realizare adecvată, din cauză că folosirea celui de al doilea diport ca sarcină pentru primul îi modifică primului diport funcția de transfer. Dacă s-ar putea face astfel încît cei doi diporți să nu se influențeze unul pe altul, neexplicînd deocamdată cum se realizează aceasta, atunci s-ar putea folosi conectarea în cascadă.

O cale de eliminare a influenței reciproce este aceea de a face ca cei doi diporți să fie circuite de *rezistență constantă*, așa cum se arată în fig. 6.11. Un circuit de *rezistență constantă* este definit ca *un diport a cărui impedanță de intrare la o poartă este R atunci cînd cealaltă poartă este terminată pe o rezistență R* . Astfel oricare ar fi funcția de transfer a celui

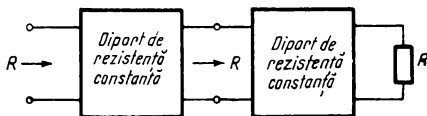


Fig. 6.11. Diporți de rezistență constantă conectați în cascadă

de al doilea diport din fig. 6.11, impedanța de sarcină pe care el o prezintă la poarta de ieșire a primului diport este R . Cele de mai sus se aplică oricărui număr de circuite de rezistență constantă conectate în cascadă și indiferent dacă diporții sînt sau nu de fază minimă.

Calculînd impedanța de intrare se găsește că diporții din fig. 6.12 închiși pe rezistența R sînt de rezistență constantă cu condiția $Z_a Z_b = R^2$, adică atunci cînd impedanțele Z_a și Z_b sînt inverse în raport cu R^2 . Să considerăm acum că fiecare din acești diporți este terminat pe

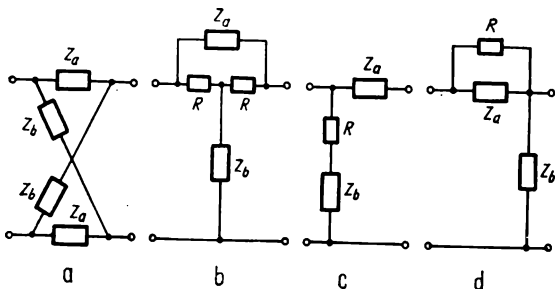


Fig. 6.12. Diporți de rezistență constantă cu $Z_a Z_b = R^2$:

(a) structură X; (b) T podit; (c) structură Γ ; (d) structură ∇ .

rezistența R și să calculăm funcția de transfer. Pentru a concretiza, ne vom ocupa de câștigul de tensiune $G_{21}(s) = V_2/V_1$. Se găsește

$$G_{21}(s) = \frac{R - Z_a}{R + Z_a} = \frac{1 - \frac{Z_a}{R}}{1 + \frac{Z_a}{R}} \quad (\text{pentru X}) \quad (27 a)$$

$$G_{21}(s) = \frac{R}{R + Z_a} = \frac{1}{1 + \frac{Z_a}{R}} \quad (\text{pentru T podit și } \Gamma). \quad (27 b)$$

Cititorul poate verifica aceste formule.

Circuitele de rezistență constantă reprezintă un mijloc de realizare a unei funcții de transfer de orice ordin. În acest scop, funcția se descompune într-un produs de oricâte funcții de transfer simple, fiecare din ele putîndu-se realiza separat ca un circuit de rezistență constantă, iar diporții rezultați se conectează în cascadă. Vom discuta această problemă mai în detaliu.

Începem cu o funcție trece-tot. Orice funcție trece-tot poate fi scrisă ca produs al următoarelor funcții trece tot de ordinul unu și doi¹⁾:

$$F_{a1} = \frac{a - s}{a + s} = \frac{1 - \frac{s}{a}}{1 + \frac{s}{a}}, \quad (28a)$$

$$F_{a2} = \frac{(s^2 - a_1s + a_0)}{(s^2 + a_1s + a_0)} = \frac{1 - \frac{a_1s}{s^2 + a_0}}{1 + \frac{a_1s}{s^2 + a_0}}. \quad (28b)$$

Dacă se compară aceste expresii cu (27 a) se observă că ele sînt de aceeași formă. Prin urmare putem identifica pe Z_a direct și apoi vom găsi pe

¹⁾ Se observă că factorul de la numărător în cazul funcției trece tot de ordinul unu se scrie $a-s$ și nu $s-a$. Aceasta este echivalent cu schimbarea semnului funcției de transfer, sau inversarea polarității tensiunii de ieșire. Procedînd în acest fel se evită discontinuitatea de fază de π radiani.

Z_b din relația $Z_a Z_b = R^2$. Astfel, pentru schema în X de ordinul unu găsim

$$Z_a(s) = \frac{R}{a} s, \quad Z_b(s) = \frac{1}{\frac{s}{aR}}, \quad (29)$$

iar pentru schema în X de ordinul doi

$$Z_a(s) = \frac{a_1 R s}{s^2 + a_0}, \quad Z_b(s) = \frac{R}{a_1} s + \frac{1}{\frac{a_1}{Ra_0} s}, \quad (30)$$

Diportii ce realizează funcțiile trece tot de ordinul unu și doi sînt arătați în fig. 6.13.

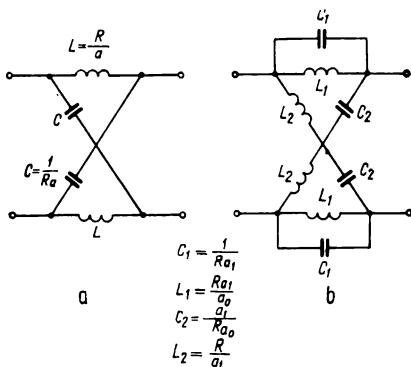


Fig. 6.13. Structură X de rezistență constantă :

(a) de ordinul unu ; (b) de ordinul doi.

Structura în X prezintă dezavantajul că nu are o bornă comună de masă pentru cele două porți. Acest dezavantaj nu poate fi evitat în cazul structurii X de ordinul unu, deoarece nu există diport echivalent cu bornă comună care să realizeze un zero pe axa reală pozitivă¹⁾. Pentru

¹⁾ Această afirmație este valabilă numai în cazul în care nu sînt admiși diportii cu bornă comună avînd cuplaj magnetic. (N.T.).

structura în X trece tot de ordinul doi poate exista totuși un diport echivalent cu bornă comună la cele două porți. Aceasta va depinde de poziția zerourilor. În problema P. 10 se discută diportii T podit și dublu T echivalenți unei structuri în X.

Funcțiile trece tot fiind discutate, rămâne problema realizării funcției de fază minimă. Vom ilustra realizarea unei funcții raport de transfer al tensiunii cu ajutorul circuitelor de rezistență constantă, pe un exemplu. Fie rezistența de sarcină $R = 1$ și fie

$$G_{21}(s) = K \frac{s^2 - \frac{s}{2} + 1}{s^2 + 6s + 1} = \frac{s^2 - \frac{s}{2} + 1}{s^2 + \frac{s}{2} + 1} K \frac{\left(s^2 + \frac{s}{2} + 1\right)}{s^2 + 6s + 1},$$

unde K este o constantă de multiplicare pe care o vom lua egală cu 1 în acest exemplu. Funcția dată a fost înmulțită și împărțită prin *factorul suplimentar* $s^2 + s/2 + 1$ pentru a pune rezultatul sub forma produsului funcției trece tot cu o funcție de fază minimă, $G_{21} = F_a F_m$. Funcția trece tot se poate realiza imediat cu ajutorul schemei în X de ordinul doi din fig. 6.13 b. Unghiul zeroului de transmisie este 69° . Prin urmare sînt satisfăcute condițiile de echivalență ale structurii în X cu T podit și dublu T discutate în problema P. 10.

Pentru a realiza F_m cu ajutorul unuia din circuitele din fig. 6.12 trebuie să scriem această funcție în forma (27 b).

Astfel

$$F_m(s) = \frac{s^2 + \frac{s}{2} + 1}{s^2 + 6s + 1} = \frac{1}{1 + \frac{11s/2}{s^2 + s/2 + 1}}$$

Din aceasta rezultă

$$Y_a = \frac{1}{Z_a} = \frac{s^2 + \frac{s}{2} + 1}{\frac{11s}{2}} = \frac{2}{11} s + \frac{1}{11} + \frac{1}{(11/2)s}.$$

Cu $Z_a Z_b = R^2$ și $R=1$, obținem $Z_b = Y_a$. Observăm că latura $Z_a = 1/Y_a$ este formată din conectarea în paralel a unei capacități, a unei inductanțe și a unei rezistențe. Dacă folosim pentru realizare fig. 6.12 d, rezistența

R poate fi combinată cu rezistența paralel din latura Z_o . Realizarea finală este arătată în fig. 6.14, unde s-a folosit unul din diporții T podit echivalenți cu schema în X.

Partea de fază minimă a funcției de transfer din exemplul precedent a fost realizată cu ajutorul unui circuit Γ în scară. Deși aici nu vom face așa, se poate arăta că orice funcție de transfer de fază minimă se poate realiza printr-un circuit în scară de rezistență constantă (o conectare în cascadă de circuite Γ) alegând o valoare suficient de mică pentru K^1 .

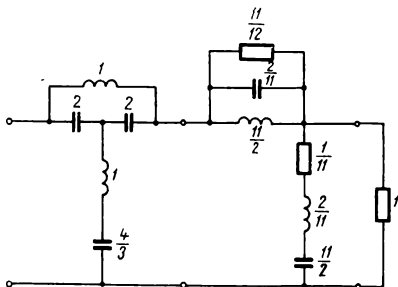


Fig. 6.14. Realizarea lui $G_{21} = \frac{s^2 - s/2 + 1}{s^2 + 6s + 1}$.

În anumite cazuri aceasta poate cere introducerea de factori suplimentari, care prin multiplicarea atât a numărătorului cât și a [numitorului] lasă funcția neschimbată, dar permit identificarea cu forma (27 b). Astfel o funcție de transfer $G_{21} = 1/(s^2 + 2s + 2)$ poate fi scrisă ca

$$\begin{aligned}
 G_{21} &= \frac{s+1}{s^2+2s+2} \cdot \frac{1}{s+1} = \frac{1}{1 + \frac{s^2+2s+2}{s+1}} \cdot \frac{1}{s+1} \\
 &= \frac{1}{1 + \left(s+1 + \frac{1}{s+1}\right)} \cdot \frac{1}{1+s} = G_{21a} G_{21b}.
 \end{aligned} \tag{31}$$

Factorul suplimentar $(s+1)$ transformă funcția de transfer în produsul a două funcții, fiecare din ele putînd fi pusă sub forma (27 b).

Faptul că toate funcțiile trece tot au modulul egal cu unitatea pentru orice valoare a lui $s = j\omega$ este utilizat în proiectarea sistemelor de transmi-

¹ Pentru demonstrație vezi Norman Balabanian, *Network Synthesis*, Prantice-Hall, Englewood Cliffs, N. J. 1958.

siune, dînd posibilitatea unei proiectări independente a modulului și a fazei unei funcții de transfer. Astfel, se proiectează circuitul care realizează modulul cerut, fără a ține seamă de fază. Se determină apoi funcția de fază a rețelei proiectate. În final, se conectează în cascadă cu circuitul proiectat un număr de scheme în X trece tot de rezistență constantă pentru a corecta faza. Dezvoltarea ulterioară a acestei idei va fi lăsată părții ce se ocupă de sinteză.

6.4. DETERMINAREA UNEI FUNCȚII DE CIRCUIT DIN MODULUL SĂU

Paragrafele precedente s-au ocupat în mare parte de determinarea proprietăților unei funcții de circuit. Fiind dată o funcție rațională este posibil de a determina printre alte elemente partea sa reală și imaginară. modulul și faza sa. Vom considera acum operația inversă anume aceea de determinare a unei funcții de circuit cînd se cunosc numai una din părțile sale reală sau imaginară, sau numai modulul, sau numai faza.

Începem prin a considera pătratul modulului funcției. (Este mai simplu de a discuta despre pătratul modulului decît despre modulul însuși). Condiția necesară ca o funcție rațională $G(j\omega)$ să fie pătratul modulului unei funcții de circuit este simplă: $G(j\omega)$ trebuie să fie o funcție pară de ω , iar gradul numărătorului nu trebuie să depășească gradul numitorului cu mai mult de doi. Aceasta din cauză că funcția de circuit nu poate avea mai mult decît un pol simplu la infinit. Suplimentar, orice pol finit al lui $G(s)$ pe axa $j\omega$ trebuie să fie dublu, deoarece polii unei funcții de circuit pe axa $j\omega$ trebuie să fie simpli.

Fiind dată o astfel de funcție $G(j\omega)$ se înlocuiește $j\omega$ cu s și se identifică polii și zerourile funcției de circuit $F(s)$ din aceia ai lui $G(s)$. Polii și zerourile lui $G(s)$ prezintă simetrie cuadrantală. Deoarece $F(s)$ trebuie să fie analitică în semiplanul drept, observăm din (14 a) că toți polii din semiplanul stîng ai lui $G(s)$ trebuie atribuiți lui $F(s)$. [Polii din semiplanul drept ai lui $G(s)$ vor fi imaginile ogîndă ale acestora și vor deveni în mod automat poli ai lui $F(-s)$]. Orice pol al lui $G(s)$ pe axa $j\omega$ va fi dublu și va fi atribuit ca pol simplu lui $F(s)$. În privința zerourilor nu există o regulă unică. În general nu există restricții privind poziția zerourilor unei funcții de circuit, în afara de cazul funcțiilor de intrare pentru care zerourile trebuie să se afe în semiplanul stîng. Pentru funcțiile de transfer nu este nevoie să atribuim lui $F(s)$ toate zerourile din semiplanul stîng al lui $G(s)$. Astfel zerourile lui $F(s)$ nu sînt unic determinate din funcția $G(s)$ dată, în afară de cazul în care se specifică că funcția este de fază minimă. Pentru funcția de fază minimă atît zerourile lui $F(s)$ cît și polii trebuie să fie situați în semiplanul stîng.

Să considerăm acum câteva exemple care ilustrează acest procedeu și prezintă interes practic. Cerințele pentru cele mai uzuale filtre electrice implică funcții de transfer avînd modulul pe axa $j\omega$ ideal adică constant într-un interval dat de frecvențe denumit *bandă de trecere* și zero în restul axei $j\omega$, interval denumit *bandă de oprire* (blocare). Dar nu este posibil ca modulul unei funcții raționale pe axa $j\omega$ să se comporte în acest mod ideal. Totuși, este posibil de a găsi o funcție de transfer a cărei modul pe axa $j\omega$ să aproximeze modulul cerut într-un anumit mod. Considerăm funcția unui filtru trece jos ideal arătată în fig. 6.15 a.

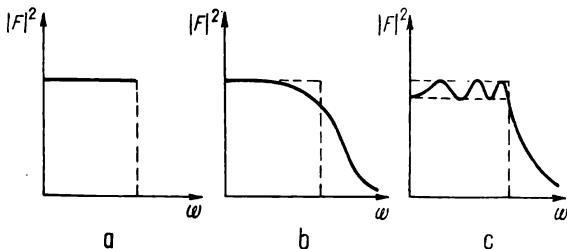


Fig. 6.15. Aproximări ale filtrului trece jos :

(a) Ideală; (b) Butterworth; (c) Cebîșev

În fig. 6.15. b și 6.15. c sînt arătate două moduri de aproximare a acestei funcții ideale. Primul dintre ele se numește *aproximare maxim plat*, sau *aproximare Butterworth*, în timp ce cel de al doilea este numit *aproximare cu ondulații egale*, sau *aproximare Cebîșev*. Aproximarea de tip maxim plat este monotonă atît în banda de trecere cît și în banda de oprire, erorarea maximă apărînd la frecvența de tăiere. Aproximarea Cebîșev este oscilatorie în banda de trecere, vîrfurile ondulațiilor fiind egale. În acest fel, eroarea este distribuită mai uniform în banda de trecere.

Formele analitice ale acestor funcții, pînă la un factor de scală, sînt date de

$$|F(j\omega)|^2 = \frac{1}{1 + \omega^{2n}}, \quad (\text{maxim plat}) \quad (32)$$

și

$$|F(j\omega)|^2 = \frac{1}{1 + \delta^2 T_n^2(\omega)}, \quad (\text{ondulații egale}), \quad (33)$$

unde δ este un număr mic care controlează amplitudinea undulației. $\omega = 1$ corespunde la capătul benzii de trecere și $T_n(\omega)$ este polinomul¹⁾ Cebîșev definit de

$$T_n(s/j) = \cosh(n \cosh^{-1} s/j), \quad (34)$$

care pentru $s = j\omega$ se reduce la

$$T_n(\omega) = \cos(n \cos^{-1} \omega) \text{ pentru } |\omega| \leq 1. \quad (35)$$

Problema care se pune este de a găsi funcția de transfer $F(s)$ cînd este cunoscut modulul la pătrat pe axa $j\omega$.

Răspunsul maxim plat

Să considerăm răspunsul Butterworth. În concordanță cu cele discutate anterior, se înlocuiesc mai întîi ω^2 cu $-s^2$ în (32). Rezultă

$$G(s) = F(s) F(-s) = \frac{1}{1 + (-1)^n s^{2n}}. \quad (36)$$

Această funcție nu are zerouri finite, deci se va factoriza numai numitorul. În acest caz aceasta este o chestiune relativ simplă. Zerourile numitorului se găsesc scriind

$$s^{2n} = e^{j(2k-1+n)\pi} \quad (37a)$$

care este pur și simplu

$$s^{2n} = \pm 1, \quad (37b)$$

unde semnul minus apare pentru n par. Luînd rădăcina $2n$ în (37 a) găsim că polii lui $G(s)$ sînt

$$s_k = e^{j(2k-1+n)\pi/2n}; \quad k = 1, 2, \dots, 2n. \quad (38)$$

¹⁾ Folosirea literei T pentru polinoamele Cebîșev este legată de trecu. Unele din lucrările lui Cebîșev au fost prima dată publicate în limba franceză, conducînd la folosirea ortografiei franceze „Tschebyscheff”, sau varianta sa „Tchebycheff”. Această ortografie a numelui nu se mai folosește în prezent în literatura americană.

Astfel, există $2n$ poli, fiecare din ei avînd modulul egal cu unitatea. Polii sînt uniform distribuiți pe cercul unitate, așa cum este arătat în fig. 6.16 pentru cazul $n=4$. Observăm că părțile imaginare ale polilor sînt situate în banda de trecere în intervalul $\omega^2 < 1$.

Pentru a forma pe $F(s)$ luăm cei n poli din semiplanul stîng al lui $G(s)$. Aceștia sînt dați de valorile lui k de la 1 la n . Pentru $n=4$ rezultă

$$s_1 = e^{j(5\pi/8)}, \quad s_3 = e^{j(9\pi/8)},$$

$$s_2 = e^{j(7\pi/8)}, \quad s_4 = e^{j(11\pi/8)}.$$

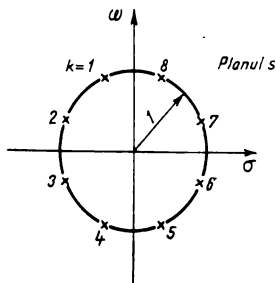


Fig. 6.16. Distribuția polilor pătratului modulului funcției de transfer Butterworth de gradul $n=4$.

În sfîrșit, $F(s)$ pentru $n=4$ este

$$\begin{aligned} F(s) &= \frac{1}{(s-s_1)(s-s_2)(s-s_3)(s-s_4)} \\ &= \frac{1}{1 + 2,613s + 3,414s^2 + 2,613s^3 + s^4}. \end{aligned} \quad (39)$$

Coeficienții polinoamelor Butterworth pînă la gradul 10 și factorii acestor polinoame sînt dați în tab. 6.1, respectiv tab. 6.2.

Denumirea „maxim plat” a apărut ca rezultat al următoarei considerații. Scriem seria Taylor a funcției (32) pentru intervalul $\omega^2 < 1$. Eroarea între funcția modul dorită în acest interval, anume 1, și seria Taylor va fi

$$1 - |F(j\omega)|^2 = \omega^{2n} - \omega^{4n} + \dots \quad (40)$$

Deoarece eroarea începe cu puterea ω^{2n} rezultă că primele $n-1$ derivate în raport cu ω^2 sînt zero la $\omega=0$. De aici rezultă denumirea de maxim plat.

Tabelul 6.1.

Coeficienții polinoamelor Butterworth: $b_0 + b_1s + \dots + b_ns^n$

Nr. n	b_1	b_2	b_3	b_4	b_5	b_6	b_7	b_8	b_9
2	1,4142								
3	2,0000	2,0000							
4	2,6131	3,4142	2,6131						
5	3,2361	5,2361	5,2361	3,2361					
6	3,8637	7,4641	9,1416	7,1641	3,8637				
7	4,4940	10,0978	14,5920	14,5920	10,0978	4,4910			
8	5,1528	13,1371	21,8462	25,6884	21,8462	13,1371	5,1258		
9	5,7688	16,5817	31,1634	41,9864	41,9864	31,1631	16,5817	5,7588	
10	6,3925	20,4317	42,8021	64,4824	74,2334	64,8824	42,8021	20,1317	6,3925

Notă: b_0 și b_n sînt întotdeauna egali cu unitatea.

Tabelul 6.2.

Factorii polinoamelor Butterworth

Nr. n	Factori
1	$s + 1$
2	$s^2 + 1,4142s + 1$
3	$(s + 1)(s^2 + s + 1)$
4	$(s^2 + 0,7654s + 1)(s^2 + 1,8478s + 1)$
5	$(s + 1)(s^2 + 0,6180s + 1)(s^2 + 1,6180s + 1)$
6	$(s^2 + 0,5176s + 1)(s^2 + 1,4142s + 1)(s^2 + 1,9319s + 1)$
7	$(s + 1)(s^2 + 0,4450s + 1)(s^2 + 1,2470s + 1)(s^2 + 1,8019s + 1)$
8	$(s^2 + 0,3002s + 1)(s^2 + 1,111s + 1)(s^2 + 1,1663s + 1)(s^2 + 1,9616s + 1)$
9	$(s + 1)(s^2 + 0,3473s + 1)(s^2 + s + 1)(s^2 + 1,5321s + 1)(s^2 + 1,8794s + 1)$
10	$(s^2 + 0,3129s + 1)(s^2 + 0,008s + 1)(s^2 + 1,4142s + 1)(s^2 + 1,7820s + 1)(s^2 + 1,9751s + 1)$

Funcția Butterworth ilustrată este deosebit de simplă, deoarece toate zerourile sale sînt la infinit. Este însă posibil de a introduce o funcție de tip maxim plat modificată, care să conțină unele zerouri finite. Observăm că funcțiile modul la pătrat (32) și (33) sînt de forma

$$|F(j\omega)|^2 = \frac{1}{1+f(\omega^2)}, \quad (41)$$

unde $f(\omega^2)$ este o funcție pară de ω ; variabila este exprimată în ω^2 pentru a accentua acest fapt. În cazul funcției Butterworth $f(\omega^2)$ este ω^2 ridicat la o putere; în cazul undulațiilor egale $f(\omega^2)$ este un polinom.

Acum presupunem că $f(\omega^2)$ este o funcție rațională

$$f(\omega^2) = \frac{\omega^{2n}}{P(\omega^2)}, \quad (42)$$

unde

$$P(\omega^2) = 1 + a_2\omega^2 + a_4\omega^4 + \dots + a_{2k}\omega^{2k}$$

este un polinom al cărui grad $2k$ în ω este mai mic decît $2n$. Atunci $|F(j\omega)|^2$ și diferența dintre funcția dorită în banda de trecere, anume 1, și această funcție devin

$$|F(j\omega)|^2 = \frac{P(\omega^2)}{P(\omega^2) + \omega^{2n}}, \quad (43)$$

și respectiv

$$\begin{aligned} 1 - |F(j\omega)|^2 &= \frac{\omega^{2n}}{P(\omega^2) + \omega^{2n}} \\ &= \omega^{2n} [1 - a_2\omega^2 + (a_4 + a_2^2)\omega^4 - \dots]. \end{aligned} \quad (44)$$

În ultima expresie s-a obținut o serie de puteri. Din nou seria începe cu puterea ω^{2n} și în felul acesta primele $n-1$ derivate în raport cu ω^2 ale erorii sînt zero la $\omega = 0$. Funcția modul la pătrat din (43) este de asemenea de tip maxim plat. Spre deosebire de funcția Butterworth ea are însă unele zerouri finite.

Ca exemplu considerăm următoarea funcție modul la pătrat

$$|F(j\omega)|^2 = \frac{1,838 - 1,346\omega^2 + 0,246\omega^4}{1,838 - 1,346\omega^2 + 0,246\omega^4 + \omega^8} = \frac{(1,355 - 0,496\omega^2)^2}{(1,355 - 0,496\omega^2)^2 + \omega^8}.$$

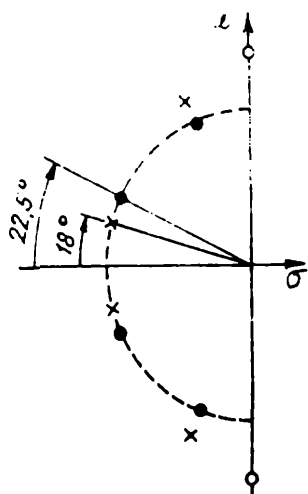
Observăm că coeficienții corespunzători din numărător și numitor sînt egali pînă la cea mai mare putere a numărătorului, așa cum cere (43). Punînd $\omega^2 = -s^2$ se obține

$$\begin{aligned} F(s)F(-s) &= \frac{(1,355 + 0,496s^2)^2}{(1,355 + 0,496s^2)^2 + s^8} \\ &= \frac{(1,355 + 0,496s^2)}{(s^2 + 1,9s + 1)(s^2 + 1,05s + 1,355)} \\ &\times \frac{(1,355 + 0,496s^2)}{(s^2 - 1,9s + 1)(s^2 - 1,05s + 1,355)} \end{aligned}$$

sau

$$F(s) = \frac{0,496(s^2 + 2,73)}{(s^2 + 1,9s + 1)(s^2 + 1,05s + 1,355)}.$$

Fig. 6.17. Distribuția polilor pentru exemplu. Punctele corespund polilor răspunsului Butterworth.



Observăm că zerourile duble ale lui $F(s)$, $F(-s)$ sînt repartizate în mod egal lui $F(s)$ și lui $F(-s)$. Pozițiile polilor și zerourilor lui $F(s)$ sînt arătate în fig. 6.17 și sînt comparate cu polii funcției Butterworth de gradul 4.

Răspunsul Cebîșev

În continuare examinăm răspunsul Cebîșev din (33). În prima etapă înlocuim pe $j\omega$ prin s . Apoi pentru a găsi polii facem numitorul egal cu zero. Utilizînd (34) rezultă

$$T_n\left(\frac{s}{j}\right) = \cosh\left(n \cosh^{-1} \frac{s}{j}\right) = \frac{\pm j}{\delta}. \quad (45)$$

Pentru rezolvarea acestei ecuații definim o nouă variabilă $w = x + jy$ și scriem

$$s = j \cosh w = j \cosh(x + jy) \quad (46a)$$

și în consecință

$$T_n\left(\frac{s}{j}\right) = \cosh nw = \cosh n(x + jy) = \frac{\pm j}{\delta}. \quad (46b)$$

Dacă dezvoltăm $\cosh nw$ din ultima ecuație și egalăm părțile reale și respectiv, părțile imaginare din ambii membri ai ecuației, găsim valorile lui x și y ce satisfac ecuația. Substituind aceste valori în (46 a) găsim valorile corespunzătoare ale lui s . Acestea sînt pozițiile polilor. Dacă le notăm prin $s_k = \sigma_k + j\omega_k$, rezultatul operațiilor indicate va fi

$$\sigma_k = \sinh\left(\frac{1}{n} \sinh^{-1} \frac{1}{\delta}\right) \sin \frac{2k-1}{\pi} \frac{\pi}{2}, \quad (47a)$$

$$\omega_k = \cosh\left(\frac{1}{n} \sinh^{-1} \frac{1}{\delta}\right) \cos \frac{2k-1}{n} \frac{\pi}{2}. \quad (47b)$$

Cititorul poate verifica aceste ecuații.

În scopul obținerii unor interpretări pentru aceste expresii aparent complicate, le împărțim pe fiecare din ele prin funcția hiperbolică, ridicăm a pătrat ambele părți și adunăm; rezultatul va fi

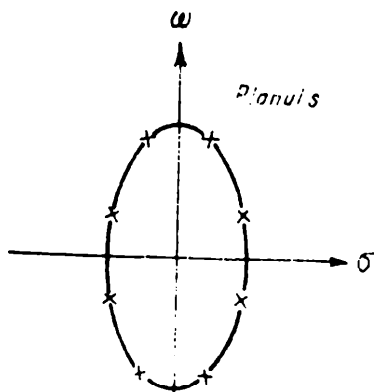
$$\frac{\sigma_k^2}{\sinh^2\left(\frac{1}{n} \sinh^{-1} \frac{1}{\delta}\right)} + \frac{\omega_k^2}{\cosh^2\left(\frac{1}{n} \sinh^{-1} \frac{1}{\delta}\right)} = 1. \quad (48)$$

Aceasta este ecuația unei elipse în planul s . Axa mare a elipsei va fi dealungul axei $j\omega$, deoarece cosinusul hiperbolic de variabilă reală este

totdeauna mai mare decât sinusul hiperbolic. Pozițiile polilor pentru $n=4$ sînt arătate în fig. 6.18.

În sfîrșit, polii din semiplanul sting al lui $G(s)$ sînt repartizați lui $F(s)$ și operațiunea este terminată

Fig. 6.18. Distribuția polilor pătratului modulului funcției de transfer Cebîșev de gradul $n=4$.



Pentru un caz tipic, dacă ondulația permisă dată este $\delta = 0,1$ și gradul este $n = 4$, pozițiile polilor se găsesc din (47) și funcția de transfer ce se obține este

$$F(s) = \frac{1}{(s^2 + 0,644s + 1,534)(s^2 + 1,519s + 0,823)}$$

$$= \frac{1}{s^4 + 2,16s^3 + 3,31s^2 + 2,86s + 1,26}$$

6.5. CALCULUL UNEI FUNCȚII DE CIRCUIT DINTR-O FAZĂ DATĂ

În ultimul paragraf am găsit că pornind de la o funcție rațională pară, care satisface condițiile necesare pentru realizabilitate, sub forma pătratului modulului unei funcții de circuit — putem determina o funcție rațională $F(s)$ (uneori mai mult decât una) astfel ca pătratul modulului lui $F(s)$ pe axa $j\omega$ să fie egal cu funcția dată. Funcția devine unică cînd se cere să fie de fază minimă.

În prezentul paragraf vom discuta posibilitatea unui procedeu similar pentru determinare unei funcții raționale din funcția fază. Repețim aici expresia fazei unei funcții de transfer dată în (14 b);

$$\Phi(\omega) = \frac{1}{j2} \ln \frac{F(j\omega)}{F(-j\omega)}, \quad (49 \text{ a})$$

$$\frac{F(j\omega)}{F(-j\omega)} = e^{j2\Phi(\omega)}. \quad (49 \text{ b})$$

În cele ce urmează vom presupune că funcția dată este tangenta lui $\Phi(\omega)$ pe care o vom denumi *funcția tangentă*. În plus, deoarece vom utiliza desigur de des raportul din membrul stâng al relației (49 b), să-l notăm cu un simbol. Fie

$$A(s) = \frac{F(s)}{F(-s)}. \quad (50)$$

În continuare vom numi această funcție, funcția A .

Cu aceste precizări, observăm că pentru $\tan \Phi(\omega)$ putem scrie

$$j \tan \Phi(\omega) = \frac{e^{j\Phi} - e^{-j\Phi}}{e^{j\Phi} + e^{-j\Phi}} = \frac{e^{j2\Phi} - 1}{e^{j2\Phi} + 1} = \frac{A(j\omega) - 1}{A(j\omega) + 1}. \quad (51)$$

Ultimul membru rezultă din (49) și (50). Explicitind pe A din (51) rezultă

$$A(j\omega) = \frac{1 + j \tan \Phi(\omega)}{1 - j \tan \Phi(\omega)}. \quad (52)$$

Să stabilim condițiile pe care funcția tangentă trebuie să le satisfacă pentru a fi o funcție realizabilă. Notăm că

$$\tan \Phi(\omega) = \frac{X(\omega)}{R(\omega)}, \quad (53)$$

unde R și X sînt părțile reală și imaginară ale unei funcții de circuit. Cunoaștem că acestea sînt respectiv funcții pare și impare de ω . Prin urmare $\tan \Phi(\omega)$ trebuie în mod necesar să fie o funcție rațională impară. Nu există alte restricții pe care să le impunem acestei funcții, în afară de cazul cînd specificăm, că funcția $F(s)$ dorită trebuie să fie o funcție de intrare sau de transfer.

Dacă o funcție rațională impară este prescrisă ca funcție tangentă, prima etapă va fi formarea lui $A(j\omega)$ în conformitate cu (52). Dacă acum înlocuim pe $j\omega$ prin s obținem raportul lui $F(s)$ la $F(-s)$, în conformitate

cu (50). Întrebarea este : cum determinăm $F(s)$ din acest raport ? Aici, situația nu mai este atât de simplă cum a fost în cazul funcției modul.

Pentru a determina pe $F(s)$ îl scriem ca raportul a două polinoame

$$F(s) = \frac{P_1(s)}{P_2(s)}. \quad (54)$$

Atunci $A(s)$ poate fi scris

$$A(s) = \frac{F(s)}{F(-s)} = \frac{P_1(s)}{P_1(-s)} \frac{P_2(-s)}{P_2(s)}. \quad (55)$$

Problema poate fi pusă acum din nou ca o problemă de determinarea lui $P_1(s)$ și $P_2(s)$ când se cunoaște funcția din partea dreaptă a ultimei ecuații. Observăm că $A(s)$ va avea întotdeauna zerouri în semiplanul drept și va avea în mod obișnuit și poli în acest semiplan. $A(s)$ diferă de o funcție trece tot prin aceea că poate avea atât poli, cât și zerouri în semiplanul drept. Pe de altă parte, ea este asemănătoare cu o funcție trece tot în care fiecare zero este negativul unui pol. De fapt, ea poate fi exprimată ca raportul a două funcții trece tot, dar acest lucru nu este util pentru scopul nostru. Ea nu poate avea nici zerouri nici poli pe axa $j\omega$, deoarece dacă $P_1(s)$ are o pereche de astfel de zerouri, la fel va avea și $P_1(-s)$, astfel încât ele se vor simplifica în raport ; raționăm în mod analog dacă $P_2(s)$ are zerouri pe axa j .

Să considerăm acum repartizarea polilor din $A(s)$ lui $P_1(-s)$, sau $P_2(s)$. Orice pol al lui $A(s)$ din semiplanul drept trebuie să aparțină lui $P_1(-s)$, deoarece $P_2(s)$ nu poate avea zerouri în semiplanul drept. Pe de altă parte polii din semiplanul stâng nu pot fi repartizați în mod unic lui $P_2(s)$, sau lui $P_1(-s)$. Dacă repartizăm unul din polii din semiplanul stâng lui $P_1(-s)$, atunci $P_1(s)$ va avea factorul corespunzător în semiplanul drept, indicând că funcția de transfer este de fază neminimă. Firește, distribuția polilor și zerourilor va fi dictată de gradele admise pentru numărătorul și numitorul lui $F(s)$.

Odată ce $P_2(s)$ și $P_1(-s)$ au fost stabilite din numitorul lui $A(s)$, nu mai este necesar de a examina numărătorul, deoarece acum funcția de transfer va fi cunoscută ; este necesar numai a înlocui $-s$ prin s în $P_1(-s)$ pentru a obține $P_1(s)$.

Să ilustrăm acest procedeu cu ajutorul unui exemplu. Presupunem că se dă

$$\tan \Phi(\omega) = \frac{\omega^3 - 4\omega}{2 - 3\omega^2}. \quad (56)$$

Prima etapă este substituția lui (56), în (52) pentru a obține $A(j\omega)$. Rezultatul este

$$A(j\omega) = \frac{2 - 3\omega^2 + j\omega^3 - j4\omega}{2 - 3\omega^2 - j\omega^3 + j4\omega}.$$

Dacă înlocuim $j\omega$ cu s , obținem

$$A(s) = \frac{-s^3 + 3s^2 - 4s + 2}{s^3 + 3s^2 + 4s + 2} = \frac{(1-s)(s^2 - 2s + 2)}{(s+1)(s^2 + 2s + 2)}.$$

Găsim că toți polii lui $A(s)$ sînt în semiplanul stîng, în timp ce zerourile sînt în semiplanul drept. Deci nu există un mod unic de repartizare a polilor și zerourilor lui $F(s)$. Oricare din următoarele funcții vor fi convenabile

$$F_1(s) = \frac{1}{(s+1)(s^2 + 2s + 2)}, \quad (57 \text{ a})$$

$$F_2(s) = \frac{1-s}{s^2 + 2s + 2}, \quad (57b)$$

$$F_3(s) = \frac{(s^2 - 2s + 1)}{s + 1}. \quad (57 \text{ c})$$

Observăm că ultimele două au zerouri în semiplanul drept. Fiecare din aceste funcții vor avea aceeași fază pentru toate valorile lui ω , dar modulele lor vor fi diferite. Dacă se cere ca $F(s)$ să fie de fază minimă, soluția va fi unică și anume prima funcție din (57)¹⁾.

În calculele de pînă acum am presupus că $\Phi(\omega)$ este specificat ca funcție continuă de ω . Dacă, însă, o funcție $F(s)$ are poli sau zerouri pe axa $j\omega$, funcția corespunzătoare de fază $\Phi(\omega)$ va avea discontinuități de $\pm\pi$ la fiecare pol și zero. În astfel de cazuri considerăm discontinuitățile separat, aplicînd procedeul de mai sus „părții continue” a funcției, adică scriem

$$\Phi(\omega) = \Phi_c(\omega) + \sum_j \pm \pi u(\omega - \omega_j). \quad (58)$$

unde $\Phi_c(\omega)$ este o funcție continuă. Indicele j se extinde asupra tuturor zerourilor și polilor de pe axa $j\omega$, iar semnul minus se aplică polilor.

¹⁾ Chiar și această unicitate este pînă la o constantă de multiplicare. Faza este în mod evident independentă de o constantă de cîștig real pozitivă.

Acum trebuie să identificăm discontinuitățile. Pentru aceasta examinăm un factor tipic din $F(s)$ (factor pol sau zero):

$$(s - j\omega_0)'_{s=j\omega} = j(\omega - \omega_0).$$

Evident acest factor variază de la $-j$ la $+j$ când ω crește trecind prin ω_0 . Așadar, când se trece printr-un zero pe axa $j\omega$, în direcția creșterii lui ω , faza lui $F(s)$ crește brusc cu π ; când trecem printr-un pol, $\Phi(\omega)$ descrește cu π . Astfel putem reconstitui toți polii și zerourile lui $F(s)$ observând discontinuitățile în funcția dată.

6.6. CALCULUL UNEI FUNCȚII DE CIRCUIT DIN PARTEA REALĂ DATĂ

În ultimele două paragrafe am studiat posibilitatea determinării unei funcții de circuit dintr-o funcție rațională de ω dată, care era fie modulul funcției, fie tangenta unghiului său pe axa $j\omega$. Am găsit că în cele mai multe cazuri, nu este posibil a obține o soluție unică, în afară de cazul în care funcția este de fază minimă. Cu toate acestea este posibil să se determine un număr de funcții care vor satisface cerințele. În cazul unui modul dat putem găsi un număr de funcții de transfer care au modulul pe axa $j\omega$ egal cu cel dat, dar diferă una de alta prin fazele lor. Analog, fiind dată o funcție tangentă putem găsi un număr de funcții de transfer care au aceeași fază pe $j\omega$, dar diferă prin modul. În acest paragraf vom discuta anumite procedee de calcul care vor permite calcularea funcției de circuit din partea sa reală pe axa $j\omega$.

Din nou trebuie soluționată problema unicității. Cunoscind partea reală pe axa j a unei funcții de circuit este aceasta din urmă, determinată în mod unic? Putem imediat să concepem mai multe circuite diferite ale căror funcții de circuit să aibă aceeași parte reală, astfel că răspunsul la întrebarea anterioară este negativ. Ca exemplu presupunem că funcția cerută este o funcție admitanță de intrare. Considerăm circuitul arătat în fig. 6.19 *a*. În partea (*b*) a figurii este conectată o latură suplimentară la bornele de intrare. Admitanța celui de al doilea circuit este

$$Y_1(s) = Y(s) + \frac{sC}{s^2LC + 1}.$$

Partea sa reală pe axa j este

$$\operatorname{Re}[Y_1(j\omega)] = \operatorname{Re}[Y(j\omega)] + \operatorname{Re}\left[\frac{j\omega C}{1 - \omega^2 LC}\right] = \operatorname{Re}[Y(j\omega)];$$

adică părțile reale ale celor două admitanțe sînt aceleași, deși admitanțele sînt diferite. Funcția $Y_1(s)$ diferă de $Y(s)$ deoarece are o pereche de poli pe axa $j\omega$. Dacă se dă partea reală, nu putem determina alegerea între $Y(s)$ sau $Y_1(s)$. De fapt un număr infinit de funcții, care diferă de $Y(s)$ prin poli adiționali pe axa $j\omega$, vor avea aceeași parte reală pe axa $j\omega$. Atunci, ceea ce putem spera să obținem dintr-o parte reală dată, este funcția particulară, care nu are nici un pol pe axa $j\omega$.¹⁾

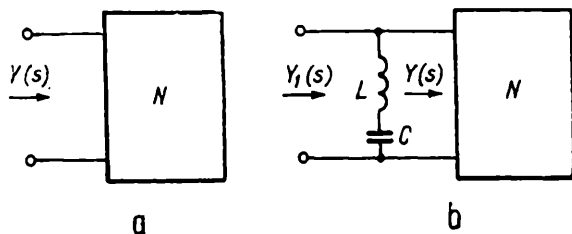


Fig. 6.19. Două circuite a căror admitanțe au aceeași parte reală.

Metoda Bode

Să ne reîntoarcem la paragraful 6.1 și să considerăm partea reală a funcției începînd cu (8) și sfîrșind cu (13). Dacă o funcție de ω rațională, pară, fără poli la frecvențe reale finite sau la infinit, este partea reală a unei funcții de circuit, înlocuim pe $j\omega$ cu s și obținem partea pară a lui $F(s)$. Astfel

$$R(\omega) \xrightarrow{j\omega=s} \text{Par } F(s) = \frac{1}{2} [F(s) + F(-s)]. \quad (59)$$

Problema care ne interesează este de a găsi $F(s)$ din partea sa pară. Conform celor discutate în paragraful 6.1, polii lui $\text{Par } F(s)$ au simetrie cuadrantală. Polii lui $\text{Par } F(s)$ din semiplanul stîng aparțin lui $F(s)$; polii din semiplanul drept aparțin lui $F(-s)$. Dacă $F(s)$ are o valoare diferită de zero la infinit, atunci $F(-s)$ va avea aceeași valoare. Este evident acum cum se va găsi $F(s)$ din $\text{Par } F(s)$: se dezvoltă $\text{Par } F(s)$ în fracții parțiale și se grupează toți termenii cu polii în semiplanul stîng; dacă există un termen constant în dezvoltare, se adaugă jumătate din el grupului; în final se multiplică prin 2.

¹⁾ O astfel de funcție este o funcție de susceptanță minimă dacă este vorba despre o admitanță, sau o funcție de reacțanță minimă dacă este vorba despre o impedanță. Această condiție impusă funcțiilor de intrare este analogă condiției de fază minimă la funcțiile de transfer.

Pentru exemplificare fie

$$R(\omega) = \frac{1}{1 + \omega^6}$$

partea reală dată. Prima etapă este înlocuirea lui ω^2 cu $-s^2$, ceea ce conduce la

$$\begin{aligned} \text{Par } F(s) &= \frac{1}{1-s^6} = \frac{1}{(s+1)(s^2+s+1)(1-s)(s^2-s+1)} \\ &= \frac{1}{6} \left[\left(\frac{1}{s+1} + \frac{s+2}{s^2+s+1} \right) + \left(\frac{1}{1-s} + \frac{2-s}{s^2-s+1} \right) \right] \end{aligned} \quad (60)$$

Am discutat deja pozițiile polilor acestei funcții particulare în legătură cu răspunsul Butterworth. Numitorul poate fi factorizat, așa cum s-a arătat, obținând astfel dezvoltarea în fracții parțiale. $F(s)$ se identifică ușor din polii situați în semiplanul stâng. Se obține

$$F(s) = \frac{1}{3} \left(\frac{1}{s+1} + \frac{s+2}{s^2+s+1} \right) = \frac{1}{3} \frac{2s^2+4s+3}{s^3+2s^2+2s+1} \quad (61)$$

Procedeu descris aici a fost propus pentru prima dată de Bode, astfel încât îl vom denumi *metoda Bode*.

Metoda Gewertz

O altă abordare a fost propusă pentru prima dată de Gewertz. Pentru a schița această metodă, să scriem $F(s)$ ca raportul a două polinoame. Astfel

$$F(s) = \frac{a_0 + a_1s + a_2s^2 + \dots + a_ms^m}{b_0 + b_1s + b_2s^2 + \dots + b_ns^n} = \frac{m_1(s) + n_1(s)}{m_2(s) + n_2(s)} \quad (62)$$

unde m -urile se referă la partea pară a numărătorului și numitorului, iar n -urile la părțile impare. Partea pară a lui $F(s)$ se poate scrie ca în (11a) Astfel

$$\text{Par } F(s) = \frac{m_1m_2 - n_1n_2}{m_2^2 - n_2^2} = \frac{A_0 + A_1s^2 + A_2s^4 + \dots + A_ms^{2m}}{B_0 + B_1s^2 + B_2s^4 + \dots + B_ns^{2n}}, \quad (63)$$

în care partea din dreapta s-a scris sub formă dezvoltată. Cînd o funcție parte reală este specificată ca funcție rațională pară în ω , membrul drept al lui (63) se obține înlocuind ω^2 prin $-s^2$. Vom opera mai întîi asupra numitorului. Deoarece polii lui Par $F(s)$ sînt aceia ai lui $F(s)$ și $F(-s)$, cei care aparțin lui $F(s)$ vor fi situați în semiplanul stîng. Deci, cînd factorizăm numitorul lui (63), atribuim lui $F(s)$ toți factorii din semiplanul stîng. În acest mod, numitorul lui $F(s)$ din (62) devine cunoscut.

Să ne întoarcem la numărător. Presupunem că scriem funcția rațională $F(s)$ ca în (62), cu coeficienți literali necunoscuți la numărător, dar avînd coeficienții numitorului cunoscuți. Formăm atunci expresia $m_1 m_2 - n_1 n_2$ și o egalăm cu numărătorul funcției date în (63). Egalarea coeficienților acelorași puteri ale lui s în cei doi membrii ai acestei ecuații permite aflarea necunoscutelor. Observăm că aici sînt implicați trei seturi de coeficienți: literele a , literele A și literele b . Din aceștia în această etapă, ultimele două seturi sînt cunoscute; numai coeficienții a sînt necunoscuți.

Să aplicăm procedeul indicat mai sus. Identificînd m_1 , m_2 , n_1 , n_2 din (62) putem scrie

$$\begin{aligned} m_1 m_2 - n_1 n_2 &= (a_0 + a_2 s^2 + \dots) (b_0 + b_2 s^2 + \dots) - \\ &- (a_1 s + a_3 s^3 + \dots) (b_1 s + b_3 s^3 + \dots) = \\ &= A_0 + A_1 s^2 + \dots + A_m s^{2m}. \end{aligned} \quad (64)$$

Egalînd coeficienții obținem

$$\begin{aligned} A_0 &= a_0 b_0, \\ A_1 &= a_0 b_2 + b_0 a_2 - a_1 b_1, \\ A_2 &= a_0 b_4 + a_2 b_2 + a_4 b_0 - a_1 b_3 - a_3 b_1 \\ &\dots\dots\dots, \\ A_k &= \sum_{j=-k}^k (-1)^{k+j} a_{k+j} b_{k-j}. \end{aligned} \quad (65)$$

Pentru a găsi necunoscutele a , trebuie să rezolvăm acest sistem de ecuații liniare.

Vom exemplifica folosind funcția din (60) deja tratată prin metoda Bode. Factorii din semiplanul stîng de la numitorul acestei expresii sînt

$$m_2 + n_2 = (s+1)(s^2+s+1) = s^3 + 2s^2 + 2s + 1.$$

Deoarece $R(\omega)$ dat este zero la infinit, la fel trebuie să fie și $F(s)$ la infinit. Deci numărătorul lui $F(s)$ trebuie să fie de forma

$$m_1 + n_1 = a_2 s^2 + a_1 s + a_0.$$

Introducând ultimele două ecuații în (65) și utilizând faptul că toți coeficienții „ A ” sînt zero cu excepția lui A_0 care este egal cu unitatea, obținem

$$1 = a_0,$$

$$0 = 2a_0 + a_2 - 2a_1,$$

$$0 = 2a_2 - a_1.$$

Aceste ecuații se rezolvă și se găsesc următorii coeficienți $a_0 = 1$, $a_1 = \frac{4}{3}$, $a_2 = \frac{2}{3}$. Funcția de circuit astfel obținută verifică pe cea găsită anterior în (61).

Metoda Miyata

O variantă a acestor metode este datorată lui Miyata. Fiind dată $F(s)$ din (62), partea pară este dată de (63). Acum considerăm o nouă funcție $F_0(s)$ a cărei parte pară este

$$\text{Par } F_0(s) = \frac{1}{m_2^2 - n_2^2}, \quad (66)$$

unde $m_2 + n_2$ este același numitor ca și al lui $F(s)$. Folosind metoda Bode sau Gewertz, găsim funcția $F_0(s)$ în care $\text{Par } F_0$ este partea pară. Să o scriem astfel

$$F_0(s) = \frac{m_0 + n_0}{m_2 + n_2}. \quad (67)$$

Numărătorul părții pare a acestei expresii este $m_0 m_2 - n_0 n_2$ și conform lui (66) este egal cu 1. Considerăm apoi o nouă funcție $\hat{F}(s)$ formată prin

multiplicarea lui $F_0(s)$ prin $m_1m_2 - n_1n_2$, care este numărătorul părții pare a lui $F(s)$ și formăm partea sa pară

$$\hat{F}(s) = \frac{(m_1m_2 - n_1n_2)(m_0 + n_0)}{m_2 + n_2}, \quad (68a)$$

$$\begin{aligned} \text{Par } \hat{F}(s) &= \frac{(m_0m_2 - n_0n_2)(m_1m_2 - n_1n_2)}{m_2^2 - n_2^2} = \frac{m_1m_2 - n_1n_2}{m_2^2 - n_2^2} \\ &= \text{Par } F(s). \end{aligned} \quad (68b)$$

Ultima expresie rezultă din faptul că $m_0m_2 - n_0n_2 = 1$. Astfel $\hat{F}(s)$ și $F(s)$ au aceeași parte pară, dar $\hat{F}(s)$ în (68a) poate avea un pol de ordin mai mare la infinit (din cauză că gradul numărătorului poate fi mai mare decât al numitorului). Presupunem că numărătorul se divide prin numitor, rezultând un polinom cit, $q(s)$, și un rest de grad mai mic, sau de grad egal gradul numitorului.

Astfel

$$\hat{F}(s) = q(s) + F_r(s) \quad (69a)$$

și

$$\text{Par } \hat{F}(s) = \text{Par } q(s) + \text{Par } F_r(s). \quad (69b)$$

Partea pară a polinomului $q(s)$ este suma tuturor puterilor sale pare, dacă acestea există. Dacă $q(s)$ ar avea cel puțin o putere pară, atunci partea dreaptă a ultimei ecuații ar deveni infinită când s tinde către infinit, în timp ce după cum se vede din (68b), partea stângă nu are această comportare. În concluzie, $q(s)$ este un polinom impar, astfel încît $\text{Par } \hat{F} = \text{Par } F_r$ și deci $\text{Par } F_r = \text{Par } F$ din (68b). În plus, funcția rest are aceiași poli ca și funcția specificată; prin urmare ea este funcția dorită, adică $F_r(s) = F(s)$.

În rezumat, putem spune că atunci cînd se dă o funcție pară rațională $(m_1m_2 - n_1n_2)/(m_2^2 - n_2^2)$, se determină funcția de circuit $F_0(s)$ a cărei parte pară este $1/(m_2^2 - n_2^2)$. Această funcție este apoi multiplicată cu $(m_1m_2 - n_1n_2)$ și împărțită, pînă ce funcția rest nu are pol la infinit. Aceasta este funcția dorită a cărei parte pară este funcția dată.

Pentru a exemplifica fie

$$\text{Par } F(s) = \frac{3s^4 + 6s^2 + 6}{1 - s^6}.$$

Atunci

$$\text{Par } F_0(s) = \frac{1}{1-s^6}.$$

Dar aceasta este aceeași funcție ca cea anterioară considerată în (60) și (61). Astfel

$$F_0(s) = \frac{1}{3} \frac{2s^2 + 4s + 3}{s^3 + 2s^2 + 2s + 1}$$

și

$$\begin{aligned} (3s^4 + 6s^2 + 6)F_0(s) &= \frac{2s^6 + 4s^5 + 7s^4 + 8s^3 + 10s^2 + 8s + 6}{s^3 + 2s^2 + 2s + 1} = \\ &= 2s^3 + 3s + \frac{4s^2 + 5s + 6}{s^3 + 2s^2 + 2s + 1}, \end{aligned}$$

deci

$$F(s) = \frac{4s^2 + 5s + 6}{s^3 + 2s^2 + 2s + 1}.$$

6.7. RELAȚII INTEGRALE ÎNTRE PĂRȚILE REALĂ ȘI IMAGINARĂ

În paragrafele precedente s-au discutat metodele algebrice pentru determinarea unei funcții de circuit ca o funcție rațională de s , dându-se una din componentele funcției ca funcție rațională, unde prin „o componentă a funcției” înțelegem: partea reală, partea imaginară, faza (sau tangenta fazei), modulul (sau logaritmul modulului). Un dezavantaj al acestor metode este că componenta dată trebuie întotdeauna să fie într-o formă rațională realizabilă. Dacă, spre exemplu, se dă partea reală grafic, sau chiar analitic dar nu sub forma unei funcții raționale, este necesar mai întâi să se determine o aproximare rațională realizabilă înainte de a trece la găsirea funcției de circuit, și din aceasta, oricare din celelalte componente.

Funcțiile de circuit sînt funcții analitice de variabilă complexă și deci părțile lor reală și imaginară sînt legate prin ecuațiile Cauchy-Riemann. Totuși aceste ecuații sînt relații implicite și nu constituie formule explicite de calcul a unei componente din cealaltă. În acest paragraf vom prezenta un număr de relații între părțile unei funcții de circuit. Acestea sînt

binecunoscute în matematică ca *transformate Hilbert*. Totuși, deoarece ele au fost folosite în teoria circuitelor pentru prima dată de Bode, le vom numi *formulele Bode*. Un avantaj imediat al acestor relații este acela că componenta unei funcții poate fi dată grafic: mai mult decât atât, formulele Bode au multe implicații și aplicații uzuale, unele din ele fiind discutate aici.

Deoarece ne ocupăm de funcții analitice de variabilă complexă, un punct de plecare pentru a lega componentele unei funcții poate fi formula integrală a lui Cauchy (vezi Anexa 2), care spune că

$$F(s) = \frac{1}{2\pi j} \oint_C \frac{F(z)}{z-s} dz. \quad (70)$$

În această expresie C este un contur închis în interiorul căruia și pe care $F(s)$ este analitică; z este un punct de pe contur, în timp ce s este un punct în interiorul conturului. Dacă conturul este un cerc și exprimăm atât z cât și s în coordonate polare, vom putea exprima partea reală și imaginară a lui $F(s)$ în funcție de partea sa reală sau imaginară, pe cerc. În sfârșit, cu ajutorul unei transformări, cercul este transformat în axa imaginară. Expresiile rezultate legând părțile reală și imaginară vor fi *transformatele Hilbert*.

O altă abordare a problemei, pe care o vom adopta aici, are ca punct de plecare teorema integrală a lui Cauchy (vezi Anexa 2). Această teoremă spune că integrala de contur a unei funcții, de-a lungul unui contur în interiorul căruia și pe care funcția este analitică, este egală cu zero. Pentru a aplica această teoremă, este necesar de a cunoaște 1) conturul de integrare și 2) funcția ce urmează a fi integrată. În problema noastră, conturul de integrare trebuie să includă axa imaginară deoarece dorim ca rezultatul final să conțină părțile reală și imaginară pe axa j , ale funcției de circuit. Prin urmare, deoarece funcțiile de care ne ocupăm sînt analitice în întreg semiplanul drept, conturul de integrare ce-l vom alege va fi axa $j\omega$ și un semicerc de rază infinită în semiplanul drept. Conform teoremei lui Cauchy, integrala pe acest contur închis va fi zero. Rămîne deci să calculăm contribuția fiecărei părți a conturului.

Fie $F(s)$ o funcție de circuit, de intrare sau de transfer; în mod obișnuit scriem

$$F(j\omega) = R(\omega) + jX(\omega), \quad (71a)$$

$$\ln F(j\omega) = \alpha(\omega) + j\Phi(\omega), \quad (71b)$$

în care $\alpha(\omega) = \ln|F(j\omega)|$ este funcția câștig și $\Phi(\omega)$ funcția fază. Dacă $F(s)$ este o funcție de intrare, ea nu va avea poli și zerouri în semiplanul drept. Deci $\ln F(s)$ va fi analitică în semiplanul drept. Dacă $F(s)$ este func-

ție de transfer, atunci $\ln F(s)$ va fi analitică în semiplanul drept, numai dacă $F(s)$ este funcție de fază minimă. Deci rezultatele ce le vom obține se vor aplica atât lui $F(s)$ cât și lui $\ln F(s)$, cât timp $F(s)$ este funcție de fază minimă.

Să considerăm acum polii posibili ai lui $F(s)$ pe axa $j\omega$. Știm că asemenea poli trebuie să fie simpli. În efectuarea integralei de contur, astfel de poli trebuie ocoliți printr-o mică deviere spre dreapta inclusă în contur. Contribuția acestei ocoliri la integrala totală va fi de $2\pi j$ ori jumătatea reziduului integrandului în polul respectiv (vezi Anexa 2). Scopul nostru este acela de a obține expresiile ce leagă partea reală a unei funcții de circuit de partea imaginară, astfel încât cînd se dă una din ele să putem calcula pe cealaltă. Astfel e posibil să nu cunoaștem reziduurile în polii de pe axa j . Prin urmare vom presupune că $F(s)$ nu are poli pe axa $j\omega$. Aceasta include punctele zero și infinit, deci $F(s)$ este *presupusă analitică la zero și la infinit*.

Dacă $F(s)$ are un pol pe axa $j\omega$, atunci $\ln F(s)$ va avea acolo un punct singular logaritm. Dacă integrandul se referă la $\ln F(s)$, vom alege din nou un contur ce ocolește această singularitate. Dar din cauză că singularitatea este logaritmă această ocolire nu va aduce nici o contribuție la integrala de contur (vezi Anexa 2). Deci, în caz că integrandul pe care îl alegem se referă la $\ln F(s)$, putem permite ca $F(s)$ să aibă poli simpli pe axa $j\omega$. În cele ce urmează vom considera totdeauna funcția din integrand ca fiind $F(s)$. Totuși, se obțin rezultate identice dacă se înlocuiește $F(s)$ prin $\ln F(s)$. În formule, $R(\omega)$ va fi înlocuit prin $\alpha(\omega)$ și $X(\omega)$ prin $\Phi(\omega)$.

Să considerăm acum integrarea unei funcții de circuit $F(s)$, care este analitică pe axa $j\omega$ incluzînd zero și infinit, de-alungul unui contur ca cel arătat în fig. 6.20 a, care constă din întreaga axă $j\omega$ și un arc semicircular de rază infinită în dreapta axei. Conform teoremei lui Cauchy, integrala lui $F(s)$ va fi zero. Procedul nostru va consta în evaluarea contribuțiilor a celor părți ale conturului unde integrala se poate face, după care exprimăm părțile rămase în funcție de aceasta. Plecînd de la aceste conside-

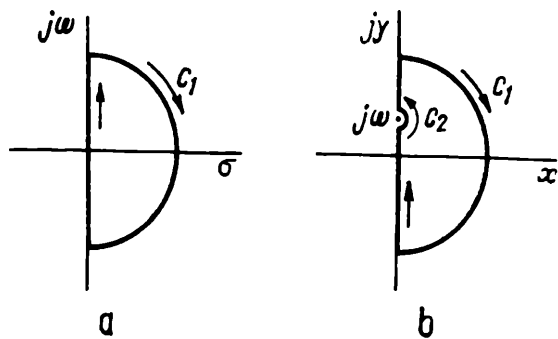


Fig. 6.20. Conturul de integrare.

rente este evident că nu vom putea obține tipul de relații căutate avînd ca integrand numai pe $F(s)$. Nu va fi ales nici un punct particular pe axa $j\omega$ asupra căruia să ne îndreptăm atenția.

Presupunem că împărțim $F(s)$ prin $s - j\omega_0$ înaintea integrării, unde ω_0 poate fi orice valoare a lui ω . Aceasta va introduce un pol pe axa $j\omega$ în integrand. Pentru a aplica teorema lui Cauchy vom ocoli acest pol cu ajutorul unui mic arc semicircular C_2 , așa cum se vede în fig. 6.20 b. Conturul complet cuprinde acum trei părți. Să evaluăm contribuția arcului C_2 . Aceasta duce la considerarea valorii lui $F(s)$ în $s = j\omega_0$. Observăm că rezultatul integrării nu va fi o funcție de s care este numai o variabilă auxiliară, ci de ω_0 , care este un punct arbitrar pe axa $j\omega$. Va fi convenabil să folosim un simbol diferit pentru variabila auxiliară, de exemplu $z = x + jy$. Atunci punctul $j\omega_0$ poate fi notat din nou $j\omega$.

Dacă $F(s)$ este o funcție de circuit care este analitică pe întreaga axă $j\omega$ și în semiplanul drept, aplicarea teoremei lui Cauchy conduce la următorul rezultat :

$$\oint_C \frac{F(z)}{z - j\omega} dz = 0, \quad (72)$$

unde conturul închis este cel din fig. 6.20 b.

Conturul complet cuprinde trei părți : semicercul mare C_1 , semicercul mic C_2 din jurul punctului $z = j\omega$ și axa imaginară. Contribuția semicercului mic este de $2\pi j$ ori jumătatea reziduului integrandului în $z = j\omega$, care este $F(j\omega)$. Pentru calculul contribuției semicercului de rază infinită să presupunem inițial că acesta are raza finită, cu $z = R_0 e^{j\theta}$. Atunci

$$\begin{aligned} \int_{C_1} \frac{F(s)}{z - j\omega} dz &= \int_{C_1} \frac{F(R_0 e^{j\theta})}{R_0 e^{j\theta} - j\omega} jR_0 e^{j\theta} d\theta \xrightarrow{R_0 \rightarrow \infty} jF(\infty) \int_{\pi/2}^{-\pi/2} d\theta \\ &= -j\pi F(\infty), \end{aligned} \quad (73)$$

unde $F(\infty)$ este valoarea lui $F(s)$ la $s = \infty$. Astfel cînd R_0 tinde către infinit, integrala pe C_1 tinde către $-j\pi F(\infty)$. Deoarece partea imaginară trebuie să fie zero la infinit, $F(\infty)$ este de asemenea egal cu $R(\infty)$.

Acum a mai rămas restul conturului. Pentru acesta se poate scrie.

$$\lim_{\substack{R_0 \rightarrow \infty \\ r \rightarrow 0}} \left[\int_{-R_0}^{\omega - r} \frac{F(jy)}{y - \omega} dy + \int_{\omega + r}^{R_0} \frac{F(jy)}{y - \omega} dy \right] = \int_{-\infty}^{\infty} \frac{F(jy)}{y - \omega} dy. \quad (74)$$

Observăm că integrarea de-a lungul axei imaginare trebuie să evite polul $z = j\omega$ în mod simetric. Aceasta va conduce la valoarea principală a

integralei din dreapta. În toate integrale ce urmează vom presupune acest lucru. Ținând seama de toate aceste rezultate și de (72) putem scrie

$$\int_{-\infty}^{\infty} \frac{F(jy)}{y-\omega} dy = j\pi[F(\infty) - F(j\omega)]. \quad (75)$$

Dacă scriem apoi $F(j\omega)$ și $F(jy)$ în funcție de părțile reală și imaginară și egalăm respectiv părțile reală și imaginară din cei doi membri obținem în sfârșit

$$R(\omega) = R(\infty) - \frac{1}{\pi} \int_{-\infty}^{\infty} \frac{X(y)}{y-\omega} dy, \quad (76a)$$

$$X(\omega) = \frac{1}{\pi} \int_{-\infty}^{\infty} \frac{R(y)}{y-\omega} dy. \quad (76b)$$

Lăsăm cititorului detaliile de calcul pentru a obține aceste relații.

Semnificația acestor două expresii este foarte importantă. Cea de a doua expresie arată că fiind dată o funcție care este partea reală a unei funcții de circuit pentru orice frecvență, partea imaginară a funcției este complet determinată, presupunând că funcția de circuit nu are poli pe axa $j\omega$. Analog, dacă se dă partea imaginară la toate frecvențele, atunci partea reală este complet determinată pînă la o constantă aditivă.

Reamintim că rezultatele se aplică și în cazul în care $F(s)$ se înlocuiește prin logaritmul său. Totuși în acest caz, trebuie să impunem ca $F(s)$ să fie de fază minimă (dacă reprezintă o funcție de transfer). Pe de altă parte, putem să renunțăm la condiția de analiticitate a lui $F(s)$ pe axa $j\omega$. Un pol simplu al lui $F(s)$ pe axa $j\omega$ devine o singularitate logaritmică a lui $\ln F(s)$, iar o astfel de singularitate nu aduce nici o contribuție la integrală după cum s-a menționat anterior. Astfel pentru funcții de transfer de fază minimă, relațiile (76) avînd pe R și X înlocuite prin α și Φ , dau legătura între cîștig și fază pentru orice frecvență.

Să obținem acum alte forme pentru cele două expresii de bază din (76), care vor da noi informații asupra relațiilor și vor pune în evidență detalii care nu sînt imediat aparente din aceste expresii. Reamintim că părțile reală și imaginară sînt respectiv funcții pară și impară de frecvență. Să folosim acest fapt și să scriem (76 b) după cum urmează :

$$X(\omega) = \frac{1}{\pi} \int_{-\infty}^0 \frac{R(y)}{y-\omega} dy + \frac{1}{\pi} \int_0^{\infty} \frac{R(y)}{y-\omega} dy. \quad (77)$$

În prima din aceste integrale înlocuim y prin $-y$ și schimbăm limitele în mod corespunzător. Rezultatul este

$$\int_{-\infty}^0 \frac{R(y)}{y-\omega} dy = \int_{\infty}^0 \frac{R(-y)}{-(y+\omega)} (-dy) = - \int_0^{\infty} \frac{R(y)}{y+\omega} dy. \quad (78)$$

Ultima egalitate rezultă din faptul că $R(y) = R(-y)$. Substituind aceasta în (77) obținem

$$X(\omega) = \frac{1}{\pi} \int_0^{\infty} R(y) \left[\frac{1}{y-\omega} - \frac{1}{y+\omega} \right] dy = \frac{2\omega}{\pi} \int_0^{\infty} \frac{R(y)}{y^2 - \omega^2} dy. \quad (79)$$

În mod complet analog plecând de la (76 a) obținem

$$R(\omega) = R(\infty) - \frac{2}{\pi} \int_0^{\infty} \frac{yX(y)}{y^2 - \omega^2} dy. \quad (80)$$

În ultimele două expresii se vede că integrandul tinde la infinit pe conturul de integrare în punctul $y = \omega$. Acest lucru este numai aparent, deoarece trebuie să luăm integrala numai prin valoarea sa principală. Chiar această dificultate aparentă se poate înlătura dacă observăm prin integrare directă că

$$\int_0^{\infty} \frac{dy}{y^2 - \omega^2} = 0, \quad (81)$$

folosind din nou valoarea principală a integralei. Deci, se poate scădea $R(\omega)/(y^2 - \omega^2)$ din integrandul din (79) și $\omega X(\omega)/(y^2 - \omega^2)$ din integrandul din (80), fără a modifica valorile acestor integrale. Rezultatele acestor etape vor fi

$$R(\omega) = R(\infty) - \frac{2}{\pi} \int_0^{\infty} \frac{yX(y) - \omega X(\omega)}{y^2 - \omega^2} dy, \quad (82 a)$$

$$X(\omega) = \frac{2\omega}{\pi} \int_0^{\infty} \frac{R(y) - R(\omega)}{y^2 - \omega^2} dy. \quad (82 b)$$

O caracteristică foarte importantă a rezultatelor stabilite mai sus este faptul că nu este necesar ca partea reală (sau imaginară) să fie o funcție rațională realizabilă. Corespunzător oricărei părți reale date în formă grafică sau analitică, se poate calcula o parte imaginară cu ajutorul in-

tegralei. De fapt, expresiile sînt foarte utile atunci cînd partea reală este dată aproximativ și se dorește să se obțină o comportare aproximativă pentru partea imaginară.

De exemplu, presupunem că se cere să aflăm comportarea aproximativă a funcției de fază în banda de trecere a unui filtru trece jos. În această discuție vom interpreta R și X ca reprezentînd cîștigul α și respectiv faza Φ . În banda de trecere cîștigul este aproximativ zero pînă la o frecvență ω_0 . Deci în (82 b) limita inferioară devine ω_0 . În plus, punctul ω ce se află în banda de trecere este mai mic decît ω_0 ; astfel în integrand putem neglija ω față de y , deoarece y variază de la ω_0 la infinit. Valoarea aproximativă a fazei este

$$\Phi(\omega) \simeq \frac{2\omega}{\pi} \int_{\omega_0}^{\infty} \frac{\alpha(y)}{y^2} dy. \quad (83)$$

Să facem schimbarea de variabilă $y = 1/p$; atunci $dy/y^2 = -dp$. După modificarea limitelor de integrare, ecuația devine

$$\Phi(\omega) \simeq \frac{2\omega}{\pi} \int_0^{1/\omega_0} \alpha\left(\frac{1}{p}\right) dp. \quad (84)$$

Observăm că integrala din (83) sau (84) nu este o funcție de ω și că pentru o anumită valoare a lățimii de bandă ω_0 , va fi o constantă. Astfel faza va fi aproximativ o funcție liniară de ω în interiorul benzii de trecere¹⁾. Desigur aproximarea va fi din ce în ce mai eronată pe măsură ce ω se apropie de frecvența de tăiere, deoarece atunci ω nu mai poate fi neglijat față de y în integrand.

Teoremele integralei de reactanță și a integralei de rezistență

Cele două perechi de expresii obținute pînă acum în (76) și (82) leagă partea imaginară la o frecvență oarecare de valorile părții reale la toate frecvențele, sau partea reală la o frecvență oarecare de valorile părții imaginare la toate frecvențele. Putem găsi forme limită pentru aceste expresii cînd frecvența tinde către zero sau infinit.

¹⁾ O astfel de caracteristică liniară de fază corespunde la un timp de intîrziere constant pentru transmisia unor funcții sinusoidale în acest domeniu de frecvențe. Așadar pentru semnale care au numai acest spectru de frecvențe, obținem o transmisiune fără distorsiuni. Din acest motiv, este de dorit o caracteristică liniară de fază.

Să considerăm mai întâi relația (82 a) când ω tinde către zero. Aceasta conduce imediat la rezultatul

$$\int_0^{\infty} \frac{X(y)}{y} dy = \frac{\pi}{2} [R(\infty) - R(0)]. \quad (85)$$

Această expresie este cunoscută ca teorema *integralei de reactanță*. Ea exprimă faptul că integrala părții imaginare pe întregul domeniu de frecvențe, ponderată cu inversul frecvenței, este proporțională cu diferența valorilor părții reale la cele două frecvențe extreme. Ea este de asemenea denumită *teorema ariei fazei* deoarece rezultatul rămâne valabil atunci când $F(s)$ este înlocuit prin logaritmul său, R prin α și X prin Φ .

Se obține o expresie mai convenabilă dacă luăm frecvența în scară logaritmică

$$u = \ln \frac{y}{\omega}, \text{ sau } \frac{y}{\omega} = e^u, \quad (86)$$

în care ω este o frecvență de referință arbitrară. Atunci dy/y devine du și (85) se poate scrie după cum urmează :

$$\int_{-\infty}^{\infty} X(y) du = \frac{\pi}{2} [R(\infty) - R(0)]. \quad (87)$$

Se observă schimbarea la limita inferioară, deoarece $u = -\infty$ când $y = 0$. Variabila lui $X(y)$ a fost menținută pentru simplitate tot y , deși mai precis integrandul este $X(\omega e^u)$. Altfel spus, putem defini o nouă funcție $X_1(u) = X(\omega e^u)$. Totuși aceasta ar introduce notații în plus care complică lucrurile. În ecuațiile de mai jos vom reține y ca variabilă a integrandului și vom scrie $X(y)$ sau $R(y)$ după caz, subînțelegând faptul că înainte de efectuarea oricărei operații vom trece la funcția de u prin substituția $y = \omega e^u$. Astfel observăm că *aria sub curba părții imaginare reprezentată la o scară logaritmică a frecvențelor este proporțională cu diferența părții reale la frecvența zero și infinit*.

Să multiplicăm ambele părți ale lui (82 b) cu ω și apoi să considerăm limita când ω tinde către infinit. Reamintim că limita superioară a integralei are semnificația integrării până la R_0 , după care se impune ca R_0 să tindă către infinit. Astfel (82 b) devine

$$\lim_{\omega \rightarrow \infty} \omega X(\omega) = \frac{2}{\pi} \lim_{\omega \rightarrow \infty} \left[\lim_{R_0 \rightarrow \infty} \int_0^{R_0} \frac{R(y) - R(\omega)}{y^2 - \omega^2} dy \right]. \quad (88)$$

În partea dreaptă a ecuației (88) există două operații de trecere la limită. Dacă schimbăm ordinea acestor două operații, expresia poate fi evaluată în mod direct; trebuie totuși să vedem dacă operația de schimbare a celor două limite este permisă. Răspunsul este afirmativ dacă integrala este uniform convergentă pentru orice valoare a lui ω , cum de fapt este. Schimbând între ele cele două operații și trecind la limită se obține

$$\int_0^{\infty} [R(y) - R(\infty)] dy = -\frac{\pi}{2} \lim_{\omega \rightarrow \infty} \omega X(\omega). \quad (89)$$

Rezultatul exprimat de această ecuație este cunoscut sub denumirea de *teorema integralei de rezistență*. (Este deasemenea numită *teorema integralei de atenuare*, deoarece rezultatul rămâne valabil dacă înlocuim $F(s)$ prin logaritmul său). Dacă este dată comportarea asimptotică a părții imaginare a funcției de circuit, atunci fără a avea importanță variația cu frecvența a părții reale pe axa j , aria cuprinsă sub curba părții reale și axa orizontală deplasată în sus cu cantitatea $R(\infty)$, trebuie să rămână constantă. Invers, dacă se dă integrala părții reale a unei funcții pe întreaga axă a frecvențelor, rezultă comportarea la frecvența infinit a părții imaginare.

Considerăm cazul special în care $F(s)$ are un zero simplu la infinit; atunci $F(\infty) = R(\infty) = 0$. Deci

$$-\lim_{\omega \rightarrow \infty} \omega X(\omega) = \lim_{s \rightarrow \infty} sF(s). \quad (90)$$

Totuși, conform teoremei valorii inițiale, limita membrului drept este valoarea inițială a răspunsului la impulsul unitate al circuitului reprezentat de $F(s)$. În acest caz (89) devine

$$\int_0^{\infty} R(\omega) d\omega = \frac{\pi}{2} \lim_{s \rightarrow \infty} sF(s) = \frac{\pi}{2} f(0), \quad (91)$$

în care $f(t) = \mathcal{L}^{-1}F(s)$ este răspunsul la impulsul unitate. Observăm că variabila auxiliară a fost schimbată în ω pentru a sugera sensul fizic.

Limitări impuse circuitelor

Dezvoltările anterioare pot fi folosite pentru a determina câteva limitări de bază asupra comportării circuitelor atunci cînd se iau în considerare anumite efecte parazite inevitabile. Considerăm situația ilustrată

in fig. 6.21 *a*. Capacitatea C reprezintă efectele parazite care au loc în mod inevitabil, de exemplu capacitățile joncțiunii într-un tranzistor, sau chiar capacitatea între fire. Prezența unei astfel de capacități impune anumite restricții pe care le vom discuta în continuare.

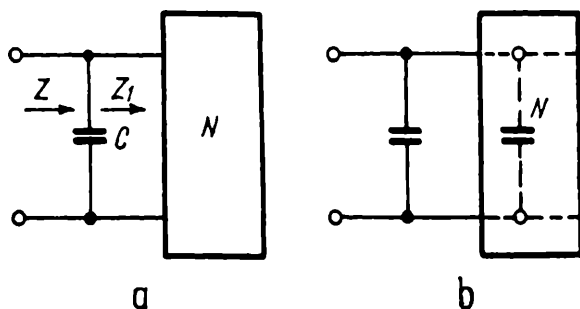


Fig. 6.21. Circuit având o capacitate parazită în derivație pe bornele de intrare.

Fie $Z_1(s)$ impedanța de intrare a unui circuit N fără a considera capacitatea. Impedanța totală $Z(s)$ este dată de

$$Z(s) = \frac{Z_1(s)}{Cs Z_1(s) + 1} = \frac{1}{Cs + \frac{1}{Z_1(s)}}. \quad (92)$$

Oricare ar fi comportarea lui $Z_1(s)$ la infinit, observăm că impedanța totală $Z(s)$ va avea un zero simplu la infinit. Vom presupune inițial că circuitul N nu începe cu o capacitate în derivație ca în fig. 6.21, *b*, aceasta înseamnă că $Z_1(s)$ nu este zero la infinit. Dacă totuși capacitatea există, aceasta are ca efect o creștere a valorii capacității C .

Cu aceste considerente, (90) este valabil pentru $F(s) = Z(s)$. Introducând (92) în partea dreaptă a lui (90) și calculând limita găsim

$$\lim_{s \rightarrow \infty} s Z(s) = \lim_{s \rightarrow \infty} \frac{s Z_1(s)}{Cs Z_1(s) + 1} = \frac{1}{C}.$$

În sfârșit introducând aceasta în (91) rezultatul devine

$$\int_0^{\infty} R(\omega) d\omega = \frac{\pi}{2C}. \quad (93)$$

Observăm că existența capacității în derivație impune o limită efectivă asupra ariei cuprinse sub curba părții reale. Deși această *integrală de rezistență* a rezultat ca valoare limită a expresiei generale legind părțile reală și imaginară ale unei funcții de circuit, ea furnizează informații privind posibilitățile circuitului.

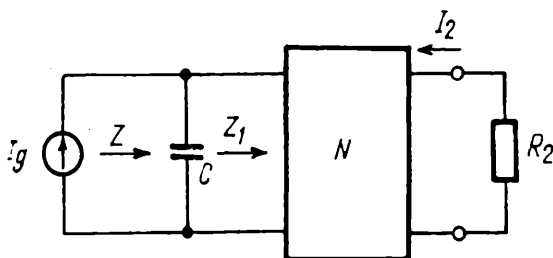


Fig. 6.22. Diport terminat pe rezistență.

Deoarece teorema integralei de rezistență se aplică funcțiilor care nu au poli pe axa $j\omega$, relația (93) este valabilă numai pentru astfel de funcții. Dacă o funcție are poli pe axa $j\omega$ conturul de integrare trebuie să ocolească acești poli, după care trebuie luate în considerație contribuțiile acestor ocoliri. Privind atent dezvoltarea anterioară, se găsește că, în acest caz, din membrul drept (93) se vor scădea termenii adiționali, aceștia fiind proporționali cu reziduurile în polii de pe axa $j\omega$. În capitolul următor vom arăta că toate aceste reziduri sînt reale și pozitive, pentru funcțiile de intrare. Deci, cînd $Z(s)$ are poli pe axa $j\omega$, partea dreaptă a lui (93) se reduce ca valoare. Atunci pentru toate cazurile indiferent dacă $Z(s)$ este analitică sau nu pe axa $j\omega$, rezultatul se poate scrie :

$$\int_0^{\infty} R(\omega) d\omega \leq \frac{\pi}{2C}. \quad (94)$$

O nouă interpretare a acestui rezultat important se obține considerînd, așa cum se arată în fig. 6.22, un diport terminat pe rezistorul R_2 . Presupunînd excitația sinusoidală, calculul puterii reale debitată la bornele de intrare de către sursă și al puterii debitată de circuit sarcinii, va da rezultatele

$$\text{puterea de la sursă} = \frac{1}{2} |I_0(j\omega)|^2 \operatorname{Re} Z(j\omega), \quad (95 a)$$

$$\text{puterea în sarcină} = \frac{1}{2} |I_2(j\omega)|^2 R_2. \quad (95 b)$$

Evident, puterea în sarcină nu poate depăși puterea debitată de sursă pentru un diport pasiv. Deci a doua expresie nu poate fi mai mare decît prima, astfel că

$$\left| \frac{I_2(j\omega)}{I_0(j\omega)} \right|^2 \leq \frac{1}{R_2} \operatorname{Re} Z(j\omega). \quad (96)$$

Semnul egal apare cînd diportul nu are pierderi. Astfel pătratul modulului cîștigului în curent, pentru un diport fără pierderi, este proporțional cu partea reală a impedanței la bornele de intrare ale diportului cu ieșirea terminată pe R_2 . Introduscind (96) în (94) și interpretînd $R(\omega)$ ca $ReZ(j\omega)$ vom avea

$$\int_0^\infty \frac{I_2(j\omega)}{I_0(j\omega)} d\omega \leq \frac{\pi}{2R_2C}. \quad (97)$$

Presupunem că diportul din fig. 6.22 este un filtru cu cîștig constant în putere într-o bandă de frecvențe dată și zero în afara acestei benzi. Atunci integrala din (97) va fi egală cu produsul acestui cîștig în putere cu lățimea de bandă respectivă. În cazul mai general, chiar dacă funcția de transfer nu este a unui filtru ideal, aria de sub curbă, reprezentată de această integrală, este din punct de vedere dimensional cîștigul de putere înmulțit cu lățimea de bandă. Pentru acest motiv integrala din (97) este în general numită integrala *cîștig-bandă*. Astfel găsim o limitare de bază asupra produsului cîștig-bandă datorată prezenței condensatorului C din derivație.

O altă formă a relațiilor integrale

În cele dezvoltate anterior, au fost găsite două seturi de expresii integrale echivalente în (76) și (82) legînd părțile reală și imaginară ale funcțiilor de circuit pentru toate frecvențele. Alte forme sînt de asemenea posibile, una din ele în special, fiind convenabilă pentru calcule și conducînd la o evaluare simplă a stabilității, în sistemele de control cu buclă închisă. Această formă este cea mai semnificativă cînd se referă la $\ln F$ (cîștig și fază) și nu la funcția de circuit însăși. Expresia utilizează frecvența logaritmică definită în (86).

Să începem cu (82 *b*) și să efectuăm cîteva calcule preliminare utilizînd ca variabilă frecvența logaritmică. De asemenea vom folosi α și Φ în loc de R și X . Astfel

$$\begin{aligned} \Phi(\omega) &= \frac{2}{\pi} \int_0^\infty \frac{\alpha(y) - \alpha(\omega)}{\left(\frac{y}{\omega}\right) - \left(\frac{\omega}{y}\right)y} dy \\ &= \frac{2}{\pi} \int_{-\infty}^\infty \frac{\alpha(y) - \alpha(\omega)}{\varepsilon^u - \varepsilon^{-u}} du \\ &= \frac{1}{\pi} \int_{-\infty}^\infty \frac{\alpha(y) - \alpha(\omega)}{\sinh u} du. \end{aligned} \quad (98)$$

Observăm schimbarea limitei inferioare, deoarece $u = -\infty$ când $y = 0$. A fost menținută variabila y în $\alpha(y)$, așa cum am discutat anterior.

În următoarea etapă, integrăm prin părți ultima expresie. Folosind formula generală

$$\int adb = ab - \int bda$$

cu

$$a = \alpha(y) - \alpha(\omega), \quad db = \frac{du}{\sinh u},$$

$$da = \frac{d\alpha(y)}{du} du, \quad b = -\ln \operatorname{cth} \frac{u}{2}.$$

Deci (98) devine

$$\Phi(\omega) = -\frac{1}{\pi} \left\{ [\alpha(y) - \alpha(\omega)] \ln \operatorname{cth} \frac{u}{2} \right\} \Big|_{-\infty}^{\infty} + \frac{1}{\pi} \int_{-\infty}^{\infty} \frac{d\alpha(y)}{du} \ln \operatorname{cth} \frac{u}{2} du. \quad (99)$$

Observăm că $\operatorname{cth} u/2$ este o funcție impară de u , fiind pozitivă când u este pozitiv și negativă când u este negativ. Deci logaritmul său pentru u negativ va fi complex, partea imaginară fiind π . Pentru u negativ se poate scrie

$$\ln \operatorname{cth} \frac{u}{2} = \ln \operatorname{cth} \frac{|u|}{2} + j\pi, \quad u < 0. \quad (100)$$

Când $u = +\infty$, $\ln \operatorname{cth} u/2 = 0$, iar când $u = -\infty$, $\ln \operatorname{cth} u/2 = j\pi$. Deci partea integrată a ultimei ecuații devine $j[\alpha(0) - \alpha(\omega)]$.

Considerăm acum integrala rămasă. Dacă folosim (100) pentru valori negative ale lui u , rezultatul va fi

$$\begin{aligned} \int_{-\infty}^{\infty} \frac{d\alpha(y)}{du} \ln \operatorname{cth} \frac{u}{2} du &= \int_{-\infty}^{\infty} \frac{d\alpha(y)}{du} \ln \operatorname{cth} \frac{|u|}{2} du + j\pi \int_{-\infty}^0 \frac{d\alpha(y)}{du} du \\ &= \int_{-\infty}^{\infty} \frac{d\alpha(y)}{du} \ln \operatorname{cth} \frac{|u|}{2} du + j\pi \alpha(y) \Big|_{u=-\infty}^{u=0} \end{aligned}$$

În final, utilizând toate aceste rezultate în (99), obținem :

$$\Phi(\omega) = \frac{1}{\pi} \int_{-\infty}^{\infty} \frac{d\alpha(y)}{du} \ln \operatorname{cth} \frac{|u|}{2} du. \quad (101)$$

Această ecuație este ușor de interpretat chiar dacă pare a fi complicată. Observăm că câștigul α nu este o funcție pară de frecvența logaritmică u și deci nu este posibilă integrarea numai pe o jumătate din intervalul total. Ecuația exprimă faptul că faza la o frecvență oarecare depinde de panta câștigului la toate frecvențele (cînd câștigul este reprezentat la scara logaritmică a frecvențelor), importanța relativă a diferitelor frecvențe fiind determinată de factorul de pondere.

$$\ln \operatorname{cth} \frac{|u|}{2} = \ln \left| \frac{y + \omega}{y - \omega} \right|. \quad (102)$$

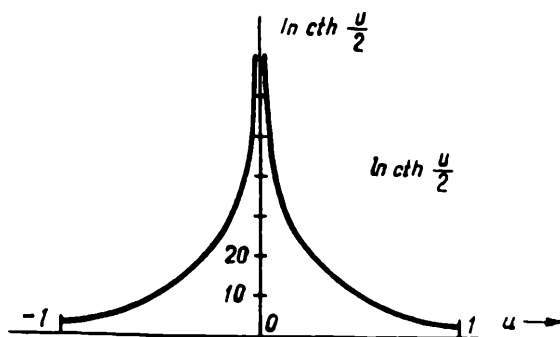


Fig. 6.23. Reprezentarea factorului pondere

$$\ln \operatorname{cth} \frac{|u|}{2} = \ln \left| \frac{y + \omega}{y - \omega} \right|.$$

Această funcție este reprezentată grafic în fig. 6.23. Ea crește rapid în vecinătatea lui $u = 0$ ($y = \omega$), luînd apoi valori foarte mici în ambele părți ale acestui punct. Aceasta înseamnă că cea mai mare contribuție la valoarea fazei, la o frecvență ω , o are panta câștigului în imediata vecinătate a lui ω .

O altă formă utilă se poate obține simplu prin adunarea și scăderea pantei evaluate la $u = 0$ ($y = \omega$) sub integrala din (101). Lăsăm cititorului sarcina efectuării acestor calcule. Rezultatul va fi

$$\Phi(\omega) = \frac{\pi d\alpha(\omega)}{2 du} + \frac{1}{\pi} \int_{-\infty}^{\infty} \left[\frac{d\alpha(y)}{du} - \frac{d\alpha(\omega)}{du} \right] \ln \operatorname{cth} \frac{u}{2} du. \quad (103)$$

Observăm că prin $\frac{d\alpha(\omega)}{du}$ înțegem panta câștigului ca funcție de u , evaluată pentru $u = 0$ ($y = \omega$). Panta $d\alpha(\omega)/du$ este măsurată în neperi pe unitatea de variație a lui u . O unitate de variație a lui u înseamnă o variație în frecvență cu un factor ε .

Observăm că la o frecvență oarecare faza este de $\pi/2$ ori panta câștigului la aceeași frecvență, plus un termen dat de integrală. Dacă câștigul este o funcție continuă, atunci diferența în integrand va fi mică în vecinătatea lui $y = \omega$, chiar acolo unde factorul de pondere are valori mari. Deci, în acest caz, contribuția integralei la valoarea fazei va fi mică. Atunci, într-o primă aproximație putem spune că faza va avea o valoare de $\pi/2$ radiani cînd panta câștigului este 1, o valoare de π radiani cînd panta câștigului este 2 etc.

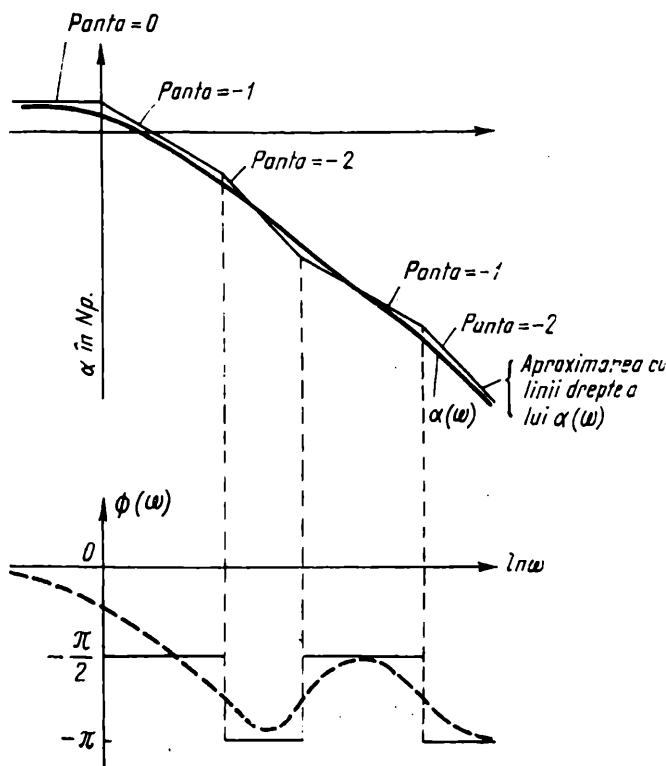


Fig. 6.24. Faza aproximativă corespunzînd unei funcții de câștig dată.

Presupunem acum că funcția câștig este dată grafic. Putem aproxima curba cu o serie de segmente de dreaptă avînd pante egale cu n , unde n este un întreg. O aproximare a funcției de fază (funcție de fază minimă) corespunzătoare funcției date a câștigului se poate trasa rapid conform discuției din ultimul paragraf.

Ca exemplu al acestei metode, presupunem un grafic al funcției câștig¹⁾ dat în fig. 6.24. Aproximarea cu linii drepte este figurată suprapus.

¹⁾ Pînă la o schimbare de scală pe ambele axe, aceasta este diagrama Bode a lui $|F(j\omega)|$, care se utilizează foarte mult în teoria reglării automate. Diagrama Bode, adică $20 \log |F(j\omega)|$ în raport cu $\log \omega$, este descrisă în lucrările de bază despre analiza sistemelor de reglare automată.

Se poate obține o diagramă aproximativă a fazei, arătată în figură prin linie discontinuă folosind numai aproximarea cu linii drepte a ciștigului și neglijând complet integrala din (103). Funcția de fază trasată mai exact poate avea forma arătată prin curba punctată.

Relații obținute pentru diferite funcții pondere

Pentru obținerea relațiilor integrale din acest paragraf am pornit de la integrandul din (72) și conturul închis arătat în fig. 6.20. Funcția $1(z - j\omega)$ cu care s-a multiplicat funcția de circuit $F(z)$ în (72) este o funcție pondere. Aceleași relații ca cele obținute aici se pot obține folosind diferite funcții pondere și integrând pe același contur de bază. Desigur, dacă funcțiile pondere introduc poli adiționali pe axa $j\omega$ va trebui să evităm acești poli prin mici devieri ale conturului de integrare; de exemplu teorema integralei de rezistență se poate obține rapid prin integrarea funcției $[F(z) - R(\infty)]$ pe conturul de bază. Aici funcția pondere este 1. Analog, teorema integralei de reactanță rezultă imediat dacă integrăm funcția $F(z)/z$ pe conturul de bază, în care introducem un mic ocol al originii. Funcția pondere este $1/z$. Cititorul poate verifica aceste afirmații.

Din această discuție rezultă posibilitatea obținerii unor relații suplimentare între părțile reală și imaginară, folosind diferite funcții pondere. De fapt, se poate găsi o mare varietate de relații. Aici au fost prezentate cele mai importante și folositoare dintre ele. Dacă considerăm cele două cazuri menționate în paragraful precedent, criteriul pentru alegerea unei anumite funcții pondere pare a fi alegerea ei astfel încât, termenul în care apare componenta cunoscută a funcției de circuit să fie o funcție pară în raport cu frecvența, iar termenul în care apare componenta necunoscută să fie o funcție impară de frecvență. Astfel, când se face integrarea pe axa $j\omega$ componenta necunoscută va dispărea și va apărea numai în termenii ce reprezintă contribuția micilor contururi de ocolire a singularităților și în termenii ce reprezintă contribuția arcului de rază infinită. Se pare că această considerație în alegerea unei funcții pondere se aplică în mod cu totul general.

Până acum, am găsit în acest paragraf, că pentru o funcție de circuit având anumite restricții, dacă partea reală este dată pentru toate frecvențele, atunci partea imaginară este complet determinată. În mod analog, când partea imaginară este dată pentru toate frecvențele, partea reală este complet determinată (până la o constantă). Întrebarea care se pune este: presupunind că partea reală este dată într-un anumit interval de frecvențe, iar partea imaginară pe întreg spectrul de frecvențe rămas, este funcția complet determinată?

În loc să considerăm această problemă în forma cea mai generală, să presupunem că partea reală este cunoscută pentru toate frecvențele mai mici decât ω_0 , iar partea imaginară este cunoscută pentru toate frecvențele mai mari decât ω_0 . Vrem să găsim o expresie care să dea părțile necunoscute ale celor două componente. Discuția privind alegerea funcțiilor pondere sugerează că, dacă putem alege o funcție pondere care schimbă caracterul la ω_0 , astfel încît sub ω_0 termenul ce se referă la partea reală să fie par, iar peste ω_0 termenul ce se referă la partea imaginară să fie par, atunci problema va fi rezolvată. Deci este necesară o funcție pondere multiformă.

Presupunem că alegem următoarea funcție pondere

$$\frac{1}{(z^2 + \omega_0^2) \sqrt{1 + \frac{z^2}{\omega_0^2}}}.$$

Din nou luăm $z = x + jy$ ca variabilă auxiliară. Factorul irațional de la numitor este multiform avînd punctele de ramificație la $z = \pm j\omega_0$. Trebuie să alegem tăietura astfel încît integrarea dealungul axei j să se afle pe o singură foaie a suprafeței Riemann. Putem obține aceasta dacă, pentru $z = jy$, luăm

$$\sqrt{1 - \frac{y^2}{\omega_0^2}} \text{ real și pozitiv pentru } -\omega_0 < y < \omega_0,$$

$$\sqrt{1 - \frac{y^2}{\omega_0^2}} \text{ imaginar și pozitiv pentru } y > \omega_0,$$

$$\sqrt{1 - \frac{y^2}{\omega_0^2}} \text{ imaginar și negativ pentru } y < -\omega_0.$$

Cu această alegere, $\sqrt{1 - y^2/\omega_0^2}$ este o funcție pară în intervalul $-\omega_0 < y < \omega_0$, și impară în restul axei. Conturul de integrare constă din conturul de bază din fig. 6.20 dar cu ocolirea punctelor $z = \pm j\omega$. În cazul nostru arcul de rază infinită nu aduce nici o contribuție deoarece integrandul tinde la zero cel puțin tot atît de repede ca $1/z^3$ la infinit. Contribuțiile conturilor de ocolire sînt de $j\pi$ ori reziduul integrandului în polul corespunzător, care se calculează ușor. Rămîne integrarea pe axa $j\omega$. Aceasta se

face despărțind intervalul în două părți, una de la zero la ω_0 , cealaltă de la ω_0 la infinit. Detaliile de calcul sînt lăsate cititorului. Rezultatul va fi

$$\begin{aligned} & \frac{2\omega}{\pi} \int_0^{\omega_0} \frac{R(y)}{\sqrt{1 - \frac{y^2}{\omega_0^2}}} \frac{dy}{(y^2 - \omega^2)} + \frac{2\omega}{\pi} \int_{\omega_0}^{\infty} \frac{X(y)}{\sqrt{\frac{y^2}{\omega_0^2} - 1}} \frac{dy}{(y^2 - \omega^2)} \\ &= \frac{X(\omega)}{\sqrt{1 - \frac{\omega^2}{\omega_0^2}}}, \quad \omega < \omega_0 \\ &= \frac{-R(\omega)}{\sqrt{\frac{\omega^2}{\omega_0^2} - 1}}, \quad \omega > \omega_0. \end{aligned} \quad (104)$$

Am răspuns deci la întrebarea pusă la începutul acestei discuții, în măsura în care ea se referă la prezenta problemă. Dacă se dă partea reală a unei funcții pe un interval al axei imaginare și partea imaginară pe restul axei, atunci funcția este complet determinată. Metoda de obținere a rezultatului din ultima ecuație se poate extinde și pentru cazul în care există mai mult decît două intervale pe care una din cele două componente ale funcției de circuit este cunoscută. Se introduc factori iraționali adiționali, care dau puncte de ramificație adiționale în punctele corespunzătoare de pe axă. Totuși, expresiile care rezultă devin complicate și deci au utilitate limitată.

Să rezumăm rezultatele acestui paragraf. Scopul nostru este obținerea relațiilor între părțile reală și imaginară ale unei funcții de circuit $F(s)$ (sau între cîștig și fază), astfel încît atunci cînd una din ele este dată să se poată calcula cealaltă. Punctul de plecare este teorema integralei lui Cauchy, conturul de integrare cuprinzînd axa imaginară și un arc semicircular de rază infinită în semiplanul drept. Se alege un integrand ce conține $F(s)$ sau $\ln F(s)$, multiplicat cu o funcție pondere. Conturul este deformat pentru a ocoli polii integrandului introduși de această funcție.

Dacă integrandul se referă la o funcție de circuit $F(s)$, atunci singura restricție este ca $F(s)$ să fie analitică pe axa $j\omega$, incluzînd punctele zero și infinit. Dacă integrandul se referă la $\ln F(s)$, atunci $F(s)$ nu trebuie să fie analitică pe axa $j\omega$, dar acum nu trebuie să aibă nici un zero în semiplanul drept; ea trebuie să fie de fază minimă.

Conturul total se împarte în segmentele de dreaptă de pe axa imaginară, curbele semicirculare ce ocolesc singularitățile pe axa j introduse în integrand în mod deliberat și arcul semicircular de rază infinită. Contri-

buțiile contururilor semicirculare se pot calcula, iar singura integrală care rămâne este cea de pe axa imaginară.

O caracteristică foarte folositoare a acestor expresii este faptul că funcția prescrisă, poate să nu fie dată într-o formă analitică realizabilă. O formă grafică aproximativă este suficientă. Mai mult decît atît, chiar integralele se pot efectua grafic.

6.8. RELAȚIILE ÎNTRE RĂSPUNSUL ÎN DOMENIUL TIMP ȘI ÎN DOMENIUL FRECVENȚĂ

Paragrafele precedente au cuprins proprietățile funcțiilor de circuit și relațiile de legătură dintre componentele acestor funcții în domeniul frecvență. Deoarece o funcție de circuit este raportul transformatelor Laplace ale funcției răspuns și funcției excitație, este de așteptat ca între componentele unei funcții de circuit și răspunsul în domeniul timp să existe relații de legătură. În acest paragraf se vor examina aceste relații.

Să ne referim la notațiile din capitolul 5 și fie $w_u(t)$ răspunsul (scalar) la o excitație treaptă unitate și $w_s(t)$ răspunsul la o excitație impuls unitate. Funcția de circuit corespunzătoare $F(s)$ este legată de acestea astfel

$$\mathcal{L}[w_s(t)] = F(s) \quad (105 \ a)$$

$$\mathcal{L}[w_u(t)] = \frac{F(s)}{s}. \quad (105 \ b)$$

În cele ce urmează ne vom referi numai la funcții de circuit fără poli pe axa $j\omega$.

Răspunsul la treapta unitate

Mai întii din definiția integralei Laplace rezultă

$$\frac{F(s)}{s} = \int_0^{\infty} w_u(t) e^{-st} dt. \quad (106)$$

Dacă se face înlocuirea $s = j\omega$, exponențiala nu se stinge cînd t tinde către infinit, dar integrala va converge dacă $w_u(t) \rightarrow 0$ cînd $t \rightarrow \infty$. Apoi din teorema valorii finale se găsește că

$$\lim_{t \rightarrow \infty} w_u(t) = \lim_{s \rightarrow 0} s \frac{F(s)}{s} = \lim_{s \rightarrow 0} F(s).$$

Impunind ca $w_u(t) \rightarrow 0$ cînd $t \rightarrow \infty$ înseamnă că $F(s)$ trebuie să conțină un zero la $s=0$. Cu această remarcă, (106) se poate scrie

$$F(j\omega) = R(\omega) + jX(\omega) = j\omega \int_0^\infty w_u(t) [\cos \omega t - j \sin \omega t] dt.$$

Din aceasta rezultă că

$$R(\omega) = \int_0^\infty \omega w_u(t) \sin \omega t dt, \quad (107a)$$

$$X(\omega) = \int_0^\infty \omega w_u(t) \cos \omega t dt. \quad (107b)$$

Astfel părțile reală și imaginară ale unei funcții de circuit se pot obține direct din răspunsul la treapta unitate.

Sînt de asemenea posibile și relații inverse care dau răspunsul la treapta unitate în funcție de partea reală sau imaginară. Ele se pot obține cu ajutorul integralei de inversiune pentru răspunsul la treapta unitate. Deoarece $w_u(t) = \mathcal{L}^{-1} \{F(s)/s\}$, se obține

$$w_u(t) = \frac{1}{2\pi j} \int_B \frac{F(s)}{s} \varepsilon^{st} ds. \quad (108)$$

Am presupus că $F(s)$ nu are poli pe axa $j\omega$, dar n-am făcut nici o restricție relativ la un zero în origine. Atunci integrandul din ultima expresie poate avea un pol în origine. Dacă nu ar fi fost acel pol, conturul Bromwich ar fi putut să fie luat pe axa $j\omega$. În locul acesteia luăm conturul arătat în fig. 6.25 care constă din axa $j\omega$, cu excepția unui arc semicircular care ocolește originea. Cînd raza semicercului tinde la zero, conturul tinde să devină întreaga axă $j\omega$. Cele trei părți ale conturului au fost denumite C_1 , C_2 și C_3 . Ecuația (108) poate fi scrisă acum

$$w_u(t) = \frac{1}{2\pi j} \int_{C_1} \frac{F(s)}{s} \varepsilon^{st} ds + \frac{1}{2\pi j} \int_{C_2} \frac{F(s)}{s} \varepsilon^{st} ds + \frac{1}{2\pi j} \int_{C_3} \frac{F(s)}{s} \varepsilon^{st} ds. \quad (109)$$

Pe contururile C_1 și C_3 , $s = j\omega$ și $ds = j d\omega$. Pe conturul C_2 care este arătat mărit în partea (b) din fig. 6.25 se poate scrie

$$s = R_0 \varepsilon^{j\alpha} = R_0 \cos \alpha + j R_0 \sin \alpha,$$

$$ds = j R_0 \varepsilon^{j\alpha} d\alpha.$$

Prin urmare (109) devine

$$w_u(t) = \frac{1}{2\pi j} \left\{ \int_{-\infty}^{-R_0} \frac{F(j\omega)}{j\omega} \varepsilon^{j\omega t} j d\omega + \int_{R_0}^{\infty} \frac{F(j\omega)}{j\omega} \varepsilon^{j\omega t} j d\omega \right\} \quad (110)$$

$$+ \frac{1}{2\pi j} \int_{-\pi/2}^{\pi/2} F(s) \exp [t(R_0 \cos \alpha + jR_0 \sin \alpha)] j d\alpha.$$

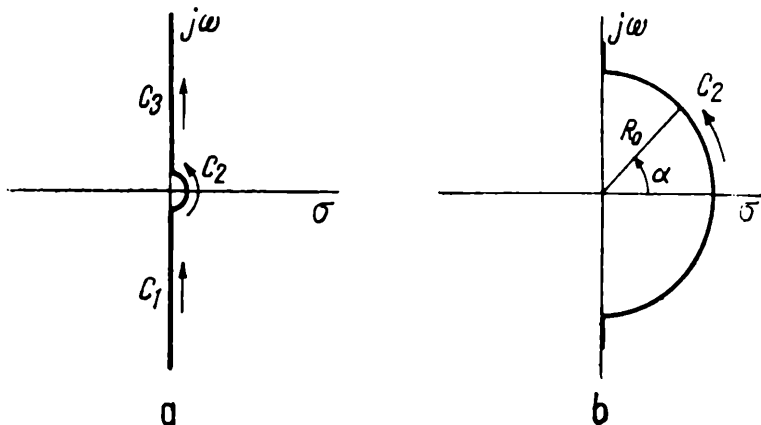


Fig. 6.25. Contururi de integrare.

Ultima integrală din partea dreaptă conține raza R_0 într-o formă complicată. Intenționăm însă să facem ca R_0 să tindă către zero, în care caz acest termen se reduce la $F(0)/2$. Cititorul poate verifica aceasta. Observăm că impunând restricția suplimentară ca $F(s)$ să aibă un zero la $s = 0$, atunci acest termen va dispărea. Când punem $R_0 \rightarrow 0$ cele două integrale rămase în (110) se combină pentru a da valoarea principală a integralei mergind de la $-\infty$ la $+\infty$. În concluzie

$$w_u(t) = \frac{F(0)}{2} + \frac{1}{2\pi j} \int_{-\infty}^{\infty} \frac{F(j\omega)}{\omega} \varepsilon^{j\omega t} d\omega. \quad (111)$$

(Notăm că deși nu este arătat în mod explicit, ultima integrală trebuie înțeleasă ca reprezentând valoarea principală). Această expresie poate fi simplificată în continuare scriind $F(j\omega)$ în funcție de părțile reală și imaginară, dezvoltând exponențiala și utilizând proprietățile pare și impare ale funcțiilor rezultate, pentru a schimba domeniul de integrare pe axa pozitivă ω . Detaliile revin cititorului. Rezultatul este

$$w_u(t) = \frac{R(0)}{2} + \frac{1}{\pi} \int_0^{\infty} \frac{R(\omega)}{\omega} \sin \omega t d\omega + \frac{1}{\pi} \int_0^{\infty} \frac{X(\omega)}{\omega} \cos \omega t d\omega. \quad (112)$$

Am înlocuit $F(0)$ prin $R(0)$, deoarece $X(0) = 0$. Observăm că această expresie este definită pentru valori pozitive cît și negative ale lui t . Însă, $w_u(t) = 0$ pentru valori negative ale lui t . Prin urmare pentru valori negative ale lui t se obține

$$0 = \frac{R(0)}{2} - \frac{1}{\pi} \int_0^{\infty} \frac{R(\omega)}{\omega} \sin \omega t d\omega + \frac{1}{\pi} \int_0^{\infty} \frac{X(\omega)}{\omega} \cos \omega t d\omega$$

sau

$$\frac{R(0)}{2} + \frac{1}{\pi} \int_0^{\infty} \frac{X(\omega)}{\omega} \cos \omega t d\omega = \frac{1}{\pi} \int_0^{\infty} \frac{R(\omega)}{\omega} \sin \omega t d\omega.$$

Cînd ultima ecuație se înlocuiește în (112) se obține următorul rezultat final

$$w_u(t) = R(0) + \frac{2}{\pi} \int_0^{\infty} \frac{X(\omega)}{\omega} \cos \omega t d\omega. \quad (113a)$$

$$w_u(t) = \frac{2}{\pi} \int_0^{\infty} \frac{R(\omega)}{\omega} \sin \omega t d\omega. \quad (113b)$$

Pînă acum am făcut o serie de artificii matematice pentru a pune relațiile de legătură dintre $F(j\omega)$ și $w_u(t)$ în mai multe forme echivalente. Dar acum avem ceva nou. Ultima ecuație arată că răspunsul la treapta unitate al unui circuit poate fi calculat cunoscînd de-a lungul axei $j\omega$ numai partea reală a funcției de circuit. Notăm că această relație nu cere ca $R(0) = F(0)$ să fie zero. Cu răspunsul la treapta unitate determinat, (107 b) poate fi utilizat pentru calculul părții imaginare a lui $F(j\omega)$. Însă, din deducerea lui (107 b) cunoaștem că valoarea asimptotică a răspunsului la treapta unitate, care se utilizează în (107 b) trebuie să fie zero. Prin urmare înainte de utilizarea lui $w_u(t)$, așa cum se calculează din (113 b), se extrage valoarea sa asimptotică, $R(0)$, în cazul în care aceasta nu este zero. Pe această cale $F(j\omega)$ este complet determinat numai din cunoașterea părții sale reale.

În mod similar, pornind cu partea imaginară $X(\omega)$ se poate calcula răspunsul la treapta unitate din integrala din (113 a). Partea de răspuns la treapta unitate calculată din această integrală va tinde către zero cînd t tinde către infinit. La valoarea astfel calculată putem adăuga orice constantă, care este valoarea la frecvența zero a lui $R(j\omega)$, notată în (113 a) prin $R(0)$. Însă omițînd această etapă putem calcula partea reală $R(\omega)$ din (107 a). În acest fel $F(j\omega)$ va fi complet determinat, cu excepția unei constante aditive, numai din cunoașterea părții sale imaginare.

Metodele discutate pentru determinarea unei funcții de circuit din părțile sale pară sau impară sînt oarecum diferite de cele discutate în ultimul paragraf. De asemenea ele sînt aparent mai complicate, deoarece cuprind evaluarea a două integrale. Însă trebuie să observăm că partea reală sau imaginară nu trebuie să fie date ca funcții raționale; un grafic este suficient.

Răspunsul la impulsul unitate

Să considerăm acum răspunsul la impulsul unitate. Prin efectuarea unor schimbări potrivite, putem adapta tot ce am discutat pornind de la (106) și pentru răspunsul la impulsul unitate. Mai jos vom da rezultatele, lăsînd detaliile dezvoltării pe seama cititorului. Ca și înainte se cere ca $F(s)$ să fie o funcție analitică pe axa $j\omega$, dar acum nu este nevoie să conțină un zero la $s = 0$. În schimb, aplicarea integralei de inversiune lui $F(s)$ va cere ca $F(s)$ să aibă un zero la infinit. Pornind de la (106) și urmînd aceleași etape vom obține următoarele ecuații:

$$R(\omega) = \int_0^{\infty} w_{\delta}(t) \cos \omega t dt, \quad (114a)$$

$$X(\omega) = - \int_0^{\infty} w_{\delta}(t) \sin \omega t \sin \omega t dt \quad (114b)$$

$$w_{\delta}(t) = \frac{2}{\pi} \int_0^{\infty} (R\omega) \cos \omega t d\omega \quad (114c)$$

$$w_{\delta}(t) = - \frac{2}{\pi} \int_0^{\infty} X(\omega) \sin \omega t d\omega. \quad (114d)$$

Primele două ecuații sînt corespondente lui (107), în timp ce ultimele două pot fi comparate cu (113). Prin faptul că răspunsul la impulsul unitate este derivata răspunsului la treapta unitate, ultimele două ecuații pot fi obținute din (113). (Impulsurile nu vor fi cuprinse deoarece am presupus $F(\infty) = 0$).

Ecuația (114 d) arată că răspunsul la impuls al unui circuit se poate calcula chiar dacă se cunoaște numai partea imaginară $X(\omega)$. Notăm că $X(\omega)$ va tinde către zero cînd ω tinde către infinit, chiar dacă $F(\infty)$ este diferit de zero. Avînd calculat răspunsul la impulsul unitate, partea reală $R(\omega)$, sau $R(\omega) - R(\infty)$, dacă $R(\infty) = F(\infty) \neq 0$, poate fi găsită folosind (114 a). În acest fel $F(j\omega)$ este determinat pînă la o constantă aditivă, $F(\infty) = R(\infty)$, numai de partea sa imaginară.

În mod similar, cunoscând numai partea reală $R(\omega)$, sau $R(\omega) - R(\infty)$ dacă $R(\infty) = F(\infty) \neq 0$, răspunsul la impuls se poate calcula cu (114 c). Având răspunsul la impuls, partea imaginară $X(\omega)$ se calculează cu (114b). În acest fel rezultă că o funcție de transfer este complet determinată numai din cunoașterea părții sale reale.

În fiecare din cazurile de mai sus, după ce răspunsul la treapta unitate, sau răspunsul la impulsul unitate a fost calculat din funcțiile $R(\omega)$ sau $X(\omega)$ date, este necesar de a găsi numai transformata Laplace, deoarece $\mathcal{L}\{w_u(t)\} = F(s)/s$ și $\mathcal{L}\{w_s(t)\} = F(s)$. Procedind în acest mod, una din integrările din (107) și (114) poate fi evitată.

Exemple

Să presupunem că partea reală a unei funcții de circuit pe axa $j\omega$ este

$$R(\omega) = \frac{\omega^3 + 2\omega^2 + 4}{(1 + \omega^2)(4 + \omega^2)}. \quad (115)$$

Se vede că la infinit valoarea sa diferă de zero și ca urmare (114 c) nu se poate folosi direct. Extrăgând valoarea de la frecvența infinit se obține

$$R_1(\omega) = R(\omega) - 1 = \frac{-3\omega^2}{(1 + \omega^2)(4 + \omega^2)}.$$

Aplicând acum (114 c) rezultă

$$\begin{aligned} w_{s_1}(t) &= -\frac{6}{\pi} \int_0^\infty \frac{\omega^2 \cos \omega t}{(1 + \omega^2)(4 + \omega^2)} d\omega \\ &= -\frac{3}{\pi} \left[\int_0^\infty \frac{\omega^2 \varepsilon^{j\omega t} d\omega}{(1 + \omega^2)(4 + \omega^2)} + \int_0^\infty \frac{\omega^2 \varepsilon^{-j\omega t} d\omega}{(1 + \omega^2)(4 + \omega^2)} \right] \\ &= -\frac{3}{\pi} \int_{-\infty}^\infty \frac{\omega^2 \varepsilon^{j\omega t} d\omega}{(1 + \omega^2)(4 + \omega^2)}. \end{aligned} \quad (116)$$

Al doilea rînd din (116) rezultă din utilizarea formei exponențiale a lui $\cos \omega t$. Dacă în cea de a doua integrală din acest rînd se înlocuiește ω cu $-\omega$ și se schimbă în mod corespunzător limitele, rezultă ultima integrală.

Să considerăm acum următorul contur de integrare în planul complex s ;

$$I = \oint_C \frac{s^2 \varepsilon^{st} ds}{(s^2 - 1)(s^2 - 4)},$$

unde conturul este format din întreaga axă $j\omega$ și un semicerc cu raza infinit la stînga axei. Integrândul satisface condițiile lemei lui Jordan, deoarece funcția rațională din integrand se anulează la infinit ca $1/s^2$. Prin urmare contribuția arcului infinit va fi zero și integrala completă se reduce la valoarea sa de-a lungul axei $j\omega$. Din teorema reziduurilor rezultă că valoarea

integralei este egală cu de $2\pi j$ ori suma reiduurilor în polii din semiplanul stîng. În cazul dat sînt numai doi poli simpli în semiplanul stîng, la $s=1$ și $s=2$ și reziduurile lor sînt ușor de calculat. Prin urmare obținem

$$I = -j \int_{-\infty}^{\infty} \frac{\omega^2 e^{j\omega t} d\omega}{(1+j\omega^2)(4+j\omega^2)} = 2\pi j \left(\frac{1}{6} e^{-t} - \frac{1}{3} e^{-2t} \right).$$

Prin substituirea acestei expresii în (116) obținem

$$w_{\delta_1}(t) = e^{-t} - 2e^{-2t}$$

Funcția de transfer se găsește luînd transformata Laplace. Rezultatul va fi

$$F_1(s) = \frac{1}{s+1} - \frac{2}{s+2} = \frac{-s}{(s+1)(s+2)}.$$

Această funcție are un zero la infinit. La aceasta trebuie să adăugăm valoarea lui $R(\infty)$ la frecvența infinită, care este $F(\infty)$ și pe care am scăzut-o din funcția originală la început. În acest fel funcția dorită este

$$F(s) = F_1(s) + F(\infty) = \frac{-s}{(s+1)(s+2)} + 1 = \frac{s^2 + 2s + 2}{(s+1)(s+2)}.$$

Pentru al doilea exemplu fie partea reală a unei funcții de circuit, curba ideală arătată în fig. 6.26.

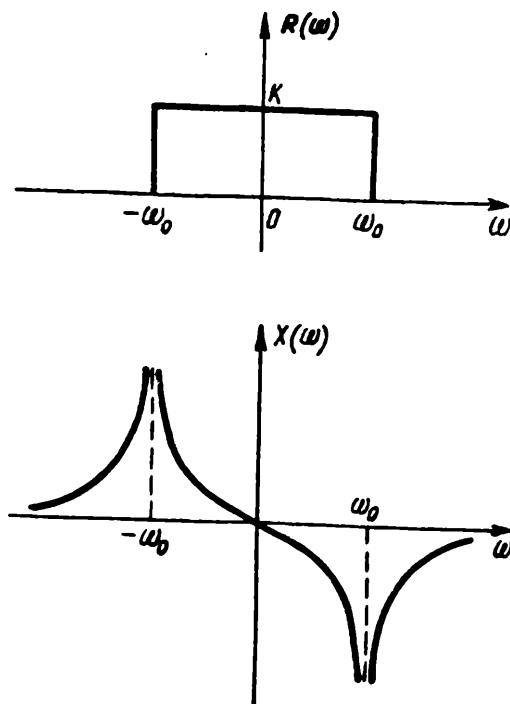


Fig. 6.26. Partea reală specificată.

Folosind (114 c) răspunsul la impuls rezultă

$$w_8(t) = \frac{2}{\pi} \int_0^{\omega_0} K \cos \omega t d\omega = \frac{2K}{\pi t} \sin \omega_0 t.$$

Introducând rezultatul obținut în (114 b) se găsește ²⁾

$$\begin{aligned} X(\omega) &= - \int_0^{\infty} \frac{2K}{\pi t} \sin \omega_0 t \sin \omega t dt \\ &= - \frac{K}{\pi} \int_0^{\infty} \left[\frac{\cos(\omega - \omega_0)t - \cos(\omega + \omega_0)t}{t} \right] dt \\ &= - \frac{K}{\pi} \ln \left| \frac{\omega_0 + \omega}{\omega_0 - \omega} \right|, \quad \omega > 0. \end{aligned}$$

PROBLEME

P1. Pentru rețelele arătate în fig. 6.P1 verificați că valorile proprii diferite de zero ale matricei \mathcal{A} din ecuația de stare sînt aceleași cu zerourile diferite de zero ale matricei impedanțelor de contur și ale matricei admitanțelor la noduri.

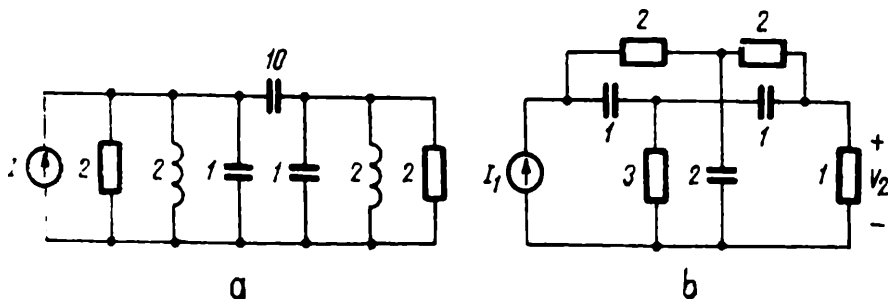


Fig. 6. P1.

P2. Găsiți partea pară, Par $F(s)$ și partea impară Imp $F(s)$, a următoarelor funcții din părțile pară și impară ale numărătorului și numitorului;

$$(a) F(s) = \frac{s^3 + 2s^2 + 3s + 4}{s^2 + 3s + 3}, \quad (b) F(s) = \frac{s^3 + s^2 + 2s + 2}{s^4 + 5s^3 + 6s^2 + 4s + 1}.$$

P3. Polinomul $P_1(s) = s^2 - 6s + 12$ are o pereche de zerouri în semiplanul drept. El trebuie multiplicat cu un alt polinom, $P_2(s)$, de gradul n astfel ca polinomul rezultat să nu aibă coeficienți negativi. Care este valoarea minimă a lui n ?

¹ Ultimele două rînduri se pot obține din integrala 412 din R.S. Burington, *Handbook of Mathematical Tables and Formulas*, 2nd ed. Handbook Publishers, 1940.

P4. Se dă funcția de transfer

$$F(s) = \frac{1 + a_1 s + a_2 s^2 + \dots + a_n s^n}{1 + b_1 s + b_2 s^2 + \dots + b_m s^m}$$

Funcția de fază este definită astfel

$$\hat{\phi}(s) = -\frac{1}{2} \ln \frac{F(s)}{F(-s)}$$

și este identică cu (19) pentru $s = j\omega$. Funcția de întârziere este definită astfel

$$\tau(s) = -\frac{d}{ds} \hat{\phi}(s) = -\frac{1}{2} \frac{d}{ds} \left(\ln \frac{F(s)}{F(-s)} \right).$$

(a) În $F(s)$ fie $a_i = 0$ pentru toate valorile i . Introduceți această modificare în expresia funcției de întârziere. Găsiți valoarea coeficienților b_i astfel ca întârzierea să fie o funcție de tip maxim plat, pentru cazurile $m = 3$, $m = 4$ și $m = 5$.

(b) Repetați pentru $a_i \neq 0$ și $n = m - 1$.

P5. Verificați că, dacă toți coeficienții unui polinom real $P(s)$ de gradul n au același semn, polinomul $P(s)$ nu are zerouri în sectorul $|\arg s| < \pi/n$.

P6. În fig. 6. P6 găsiți τ_{21} și verificați că nu există un zero de transmisie la $s = -1$, chiar dacă latura derivație din partea stângă are un pol al admitanței la $s = -1$.

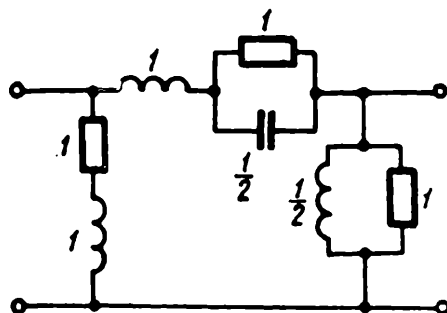


Fig. 6. P. 6

P7. Admitanțele laturilor derivație din diagramele din fig. 6.P7 au un pol la infinit respectiv la zero. Arătați că diporții totali trebuie să conțină zerouri de transmisie la aceste frecvențe (în afara cazului din problema precedentă), indiferent de ce conține restul circuitului.

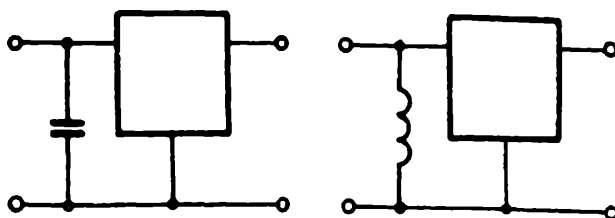


Fig. 6. P. 7.

P.8. Un circuit în X simetric are impedanțele laturilor serie și încrucișate Z_a , respectiv Z_b . Arătați că închizând acest circuit pe rezistența R , impedanța de intrare este egală cu R dacă $Z_a Z_b = R^2$. Verificați că pentru acest caz de rezistență constantă, funcția câștig de tensiune este

$$G_{21}(s) = \frac{1 - Z_a/R}{1 + Z_a/R}.$$

P.9. Verificați că circuitul T podit din fig. 6.12 b și circuitele în Γ din fig. 6.12 c și 6.12 d, închise pe o rezistență R sînt circuite de rezistență constantă dacă $Z_a Z_b = R^2$. Verificați de asemenea că în această condiție funcția câștig de tensiune este

$$G_{21}(s) = \frac{V_2}{V_1} = \frac{1}{1 + Z_a/R}.$$

P.10. Figura 6.P.10 a arată un circuit în X simetric.

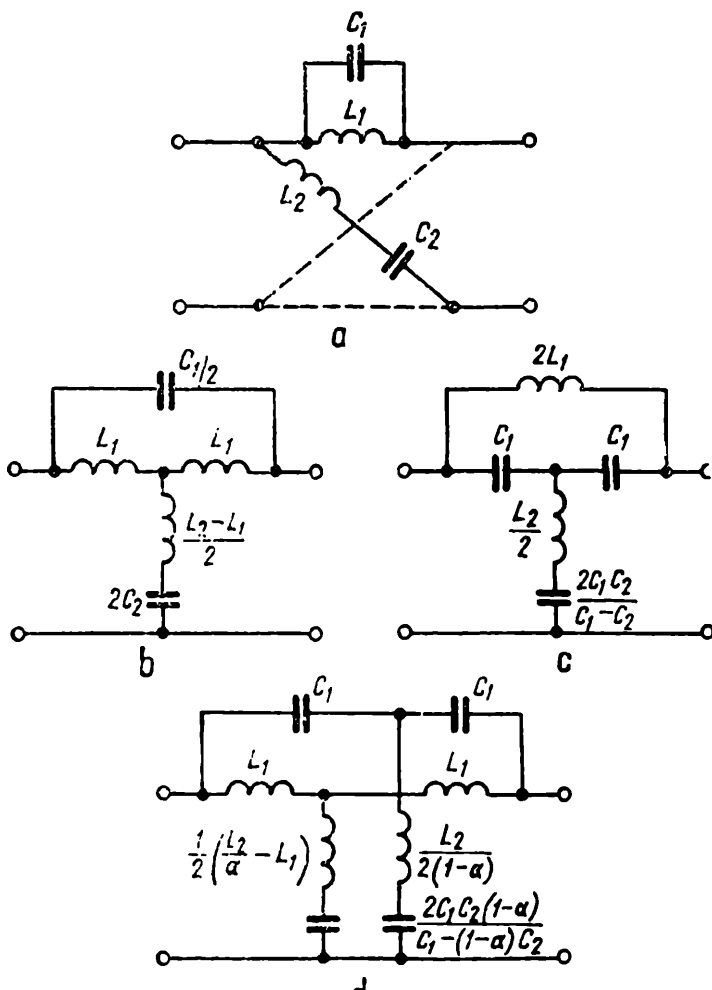


Fig. 6. P. 10.

(a) Găsiți parametrii y (dacă e posibil utilizând formule topologice) și arătați că condiția Fialkow (definită în problema P.47 din capitolul 3) va fi satisfăcută în una din cele trei condiții de mai jos :

$$(1) \frac{L_2}{L_1} \geq 1; \quad (2) \frac{C_1}{C_2} \geq 1 \quad (3) \frac{L_2}{L_1} + \frac{C_1}{C_2} \geq 1.$$

(b) Figurile P6.10 b și 6.10 c, arată două circuite în T podit. Arătați că în condiția (1) de mai sus primul circuit are aceiași parametri y ca și circuitul în X și deci este echivalent cu el. Arătați de asemenea că al doilea circuit are aceiași parametri y ca circuitul X, în condiția (2) de mai sus.

(c) Dacă parametrii y ai circuitului în X sînt dezvoltăți în fracții parțiale, rezultatul va avea forma :

$$y_{11} = y_{22} = k\alpha s + \frac{k_0}{s} + \frac{ks}{s^2 + \omega_0^2} = \left(k\alpha s + \frac{\alpha ks}{s^2 + \omega_0^2} \right) + \left(\frac{k_0}{s} + \frac{(1-\alpha)ks}{s^2 + \omega_0^2} \right),$$

$$y_{12} = y_{21} = k\alpha s + \frac{k_0}{s} - \frac{ks}{s^2 + \omega_0^2} = \left(k\alpha s - \frac{\alpha ks}{s^2 + \omega_0^2} \right) + \left(\frac{k_0}{s} - \frac{(1-\alpha)ks}{s^2 + \omega_0^2} \right).$$

În partea dreaptă, o fracțiune din polul finit fost combinată cu polul de la infinit, iar restul a fost combinat cu polul din origine. Arătați că în circuitul dublu T din fig. 6.P 10 d, fiecare circuit T are unul din seturile de parametri y cuprinși în parantezele de mai sus. Determinați domeniul valorilor α și arătați că acest domeniu există dacă este satisfăcută condiția (3) de mai sus. În această condiție, circuitul dublu T este echivalent cu circuitul X.

(d) Determinați unghiul zerourilor de transmisie ale circuitelor T podit și al circuitului dublu T determinate de cele trei condiții de la punctul (a).

P11. Găsiți un diport terminat pe un rezistor de 100Ω , a cărui funcție câștig de tensiune este dată de fiecare din următoarele funcții trece-tot. În fiecare caz relativ la un circuit X. determinați dacă există un circuit echivalent cu bornă comună și dacă există determinați-l,

$$(a) G_{21} = \frac{s^2 - 2s + 2}{s^2 + 2s + 2}, \quad (b) G_{21} = \frac{s^2 - 3s + 5}{s^2 + 3s + 5},$$

$$(c) G_{21} = \frac{(s^2 - s + 1)(s - 5)}{(s^2 + s + 1)(s + 5)}.$$

P.12. Găsiți un diport terminat pe un rezistor de 50Ω , a cărui funcție câștig de tensiune este dată de fiecare din următoarele funcții de fază neminimă. Alegeți oricare valoare convenabilă pentru K . Schimbați unde este posibil circuitul X în circuite echivalente cu bornă comună.

$$(a) G_{21} = K \frac{s^2 - s + 2}{(s + 1)^2}, \quad (b) G_{21} = K \frac{s - 2}{s^2 + 4s + 3},$$

$$(c) G_{21} = K \frac{s^2 - 3s + 5}{s^2 + 7s + 5}.$$

P.13. Următoarele funcții sînt specificate ca funcții tangentă ale unei funcții de transfer. Găsiți funcția de transfer $F(s)$ corespunzătoare. Dacă soluția nu este unică, arătați toate posibilitățile.

$$(a) \operatorname{tg} \hat{\Phi} = \frac{2\omega}{1-6\omega^2}, \quad (b) \operatorname{tg} \Phi = -\omega^3 - \pi u(\omega-2) - \pi u(\omega+2),$$

$$(c) \operatorname{tg} \hat{\Phi} = \frac{-\omega}{\omega^2-2}, \quad (d) \operatorname{tg} \hat{\Phi} = \frac{\omega^3-3\omega}{-3\omega^2+2},$$

$$(e) \operatorname{tg} \hat{\Phi} = \frac{-\omega^3}{\omega^4-4\omega^2+24}, \quad (f) \operatorname{tg} \hat{\Phi} = \frac{\omega^3+2\omega}{\omega^4-3\omega^2-6}.$$

P.14. Funcțiile următoare sînt specificate ca partea reală a unei funcții impedanță $F(s)$. Utilizați oricare din metodele lui Bode, Gewertz sau Miyata pentru determinarea funcției $F(s)$.

$$(a) R(\omega) = \frac{16-8\omega^2+\omega^4}{1+\omega^8}, \quad (b) R(\omega) = \frac{2+4\omega^2+3\omega^4+\omega^6}{1+\omega^8},$$

$$(c) R(\omega) = \frac{-\omega^2+2\omega^4-\omega^6}{1+\omega^8}, \quad (d) R(\omega) = \frac{1-2\omega^2+\omega^4}{1-2\omega^2+\omega^4+4\omega^6},$$

$$(e) R(\omega) = \frac{(1-\omega^2+\omega^4)^2}{(\omega^4-4\omega^2+3)^2+\omega^2(\omega^4-6\omega^2+8)^2}.$$

P. 15. Se presupune că fiecare funcție din problema 14 este modulul la pătrat pe axa $j\omega$ unei funcții de circuit. Găsiți funcția. Dacă există mai multe posibilități, găsiți-le.

P. 16. Deduceți formula (103) din text, pornind de la (101).

P. 17. Deduceți formula (104) din text.

P. 18. Deduceți teorema integralei de reactanță din (85) prin integrarea funcției $F(s)/s$ pe conturul de bază, cu o mică ocolire în jurul originii.

P. 19. Deduceți teorema integralei rezistenței din (89) prin integrarea funcției $F(s)-R(\infty)$ pe conturul de bază format din axa $j\omega$ și un semicerc la dreapta axei $j\omega$ de rază infinită.

P. 20. Deduceți (79) prin integrarea funcției $F(z)/(z^2+\omega^2)$ pe conturul de bază, cu ocolirea punctelor $z = \pm j\omega$.

P. 21. Deduceți (80) prin integrarea funcției $z[F(z)-R(\infty)]/(z^2+\omega^2)$ pe conturul de bază, cu ocolirea punctelor $z = \pm j\omega$.

P. 22. Prin integrarea funcției $[F(z)-R(0)]/z(z^2+\omega^2)$ pe conturul de bază, cu ocolirea punctelor $z=0$ și $z = \pm j\omega$, deduceți următoarea relație

$$R(\omega) = R(0) - \frac{2\omega^2}{\pi} \int_0^\infty \frac{X(y)/y - X(\omega)/\omega}{y^2 - \omega^2} dy.$$

Comparați-o cu relația (82 a) din text.

P 23. Fiecare din curbele din fig. 6.P.23 reprezintă modulul $|F(j\omega)|$ al unei funcții de transfer, pentru $\omega > 0$. Presupunind că funcția este de fază minimă, prin aproximări potrivite găsiți funcția de fază corespunzătoare.

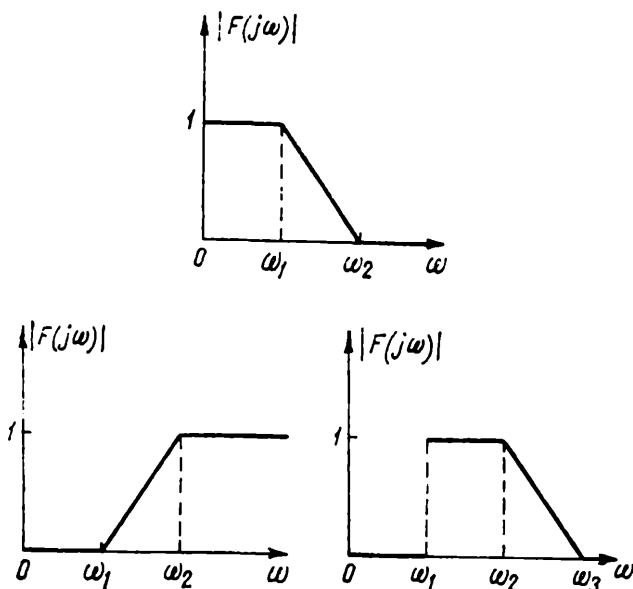


Fig. 6. P. 23.

P 24. Funcția de tip maxim plat din (32) este modulul unei funcții. Arătați că faza este dată de următoarea expresie

$$\Phi(\omega) = -\frac{n}{\pi} \int_0^{\infty} \frac{1/y}{1+y^{-2n}} \ln \left| \frac{y+\omega}{y-\omega} \right| dy.$$

P 25. Partea reală a unei funcții pe axa $j\omega$ este dată de funcțiile de mai jos. Găsiți răspunsul la treapta unitate folosind (113 b) și răspunsul la impulsul unitate folosind (114 c).

$$(a) \quad R(\omega) = \frac{1}{4\omega^6 + 12\omega^4 + 11\omega^2 + 3},$$

$$(b) \quad R(\omega) = \frac{(1-\omega^2)^3}{1+\omega^6},$$

$$(c) \quad R(\omega) = \frac{1+2\omega^2+\omega^4}{1-2\omega^2+\omega^4+4\omega^6},$$

$$(d) \quad R(\omega) = \frac{1}{1+\omega^{2n}}.$$

P 26. Se presupune că partea imaginară a unei funcții de circuit este arătată în fig. 6.P.26. Folosiți (113 a) pentru a calcula $w_u(t)$ și apoi (107 a) pentru a determina partea reală a funcției de circuit.

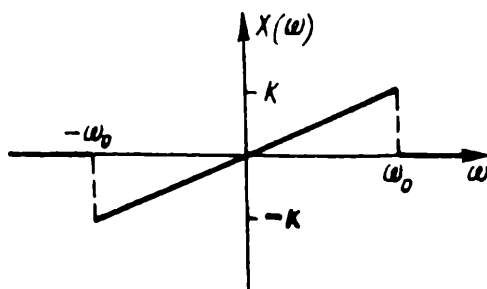


Fig. 6. P. 26.

P 27. Se presupune că răspunsul la treapta unitate $w_u(t)$ al unui circuit este arătat în fig. 6.P.27. Folosiți (107 a) pentru a determina $R(\omega)$ și (114 c) pentru a determina răspunsul la impulsul unitate $w_s(t)$. Verificați acest rezultat prin determinarea lui $w_s(t)$ direct din $w_u(t)$.

Următoarele trei probleme marcate cu asterisc cer întocmirea unui program pe calculator pentru a ajuta la găsirea soluției anumitor probleme. În fiecare caz întocmiți o schemă logică și un set de instrucțiuni în orice limbaj uzual, preferabil FORTRAN IV, pentru întocmirea unui program pe un calculator digital. Includeți un set de instrucțiuni uzuale pentru program.

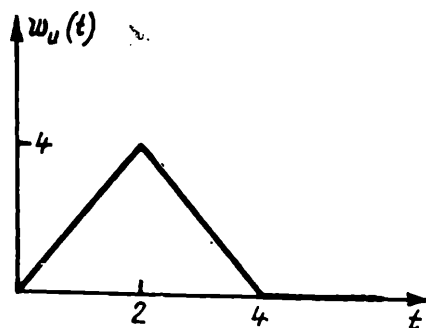


Fig. 6. P. 27.

P 28 * Se presupune că $f(\omega^2)$ din (41) este o funcție rațională de ω^2 . Fie $f(\omega^2)$ caracterizat de o listă de numere. Primele două numere vor fi gradul numărătorului și al numitorului; ele vor fi urmate de un set de numere ce reprezintă coeficienții numărătorului și numitorului. Alcătuiți un program care acceptă aceste date ca o descriere a funcției $f(\omega^2)$ și calculează funcția de fază minimă stabilă $F(s)$, unde $F(j\omega)$ satisface (41). Presupuneți că există o subrutină pentru determinarea zerourilor unui polinom¹⁾.

P 29*. Alcătuiți un program pentru a determina funcția de fază minimă stabilă $F(s)$ din $\tan \Phi(\omega)$, care se presupune a fi o funcție rațională de ω . Utilizați un format de date (de intrare) similar cu cel din problema P.28. Presupuneți că există o subrutină pentru determinarea zerourilor unui polinom.

P 30*. Alcătuiți un program pentru a determina $F(s)$ din $\text{Par } F(s)$ folosind: (a) metoda Bode; (b) metoda Gewertz; (c) metoda Miyata. Utilizați un format de date (de intrare) similar cu cel din problema P.28. Presupuneți că există o subrutină pentru determinarea zerourilor unui polinom.

¹⁾ Un algoritm care poate fi baza unei astfel de subrutine este algoritmul diferență raport. Acest algoritm este descris în H. Henrici, *Elements of Numerical Analysis*, John Wiley and Sons, New York, 1964, Chap. 8.

7

Principii de bază ale sintezei circuitelor

Sinteza circuitelor se ocupă de proiectarea și realizarea circuitelor, pentru care răspunsul la o anumită excitație este prescris. Problemele de sinteză diferă de cele de analiză, în care se cere să se găsească răspunsul unui circuit cunoscut, atunci când i se aplică o excitație prescrisă. În opoziție cu analiza, în cazul sintezei, soluția poate să nu fie unică. De fapt în sinteză se poate întâmpla să nu existe soluție, deoarece uneori nu există nici un circuit care să aibă răspunsul prescris la excitația dată. În acest ultim caz poate să apară necesitatea, de a aproxima răspunsul dorit cu unul care poate fi obținut.

Prescrierea răspunsului și aproximarea acestuia poate să se facă în domeniul timp, sau în domeniul frecvență. În domeniul frecvență, rezultatul procesului de aproximare este determinarea uneia sau a mai multor funcții de circuit, care caracterizează circuitul dorit. Cunoscând aceste funcții este necesar ca, în continuare, să se găsească (să se realizeze) circuitul. În realizarea concretă trebuie să se țină seama că există diferite clase de circuite. Aceste clase pot să fie caracterizate prin numărul de borne accesibile din exterior, prin tipul componentelor (fără pierderi active, RC etc.), prin schemă (în scară, cu bornă de pământ etc.) ș.a.m.d.

Prima sarcină a procesului de realizare constă în determinarea proprietăților funcțiilor de circuit, care aparțin fiecărei clase a circuitelor. Aceste proprietăți includ localizarea admisibilă a polilor și zerourilor, semnele reziduurilor și ale părților reale, precum și mărimea relativă a coeficienților. Asupra acestei sarcini ne vom concentra pe larg în acest capitol.

În scopul stabilirii proprietăților analitice ale funcțiilor de circuit, va fi necesar să introducem câteva probleme matematice suplimentare.

Primele două paragrafe sînt consacrate acestor probleme. Nu vom urmări ca expunerea să fie totdeauna completă, mulțumindu-ne numai cu formularea rezultatelor, urmată de unele discuții asupra plauzibilității lor.

7.1. TRANSFORMAREA MATRICELOR

Dîndu-se o matrice patrată A , asupra acesteia se pot efectua operații, care să conducă la o altă matrice B . Această matrice va fi, desigur, legată de matricea originală A , iar relațiile de legătură vor depinde de operațiile efectuate. Se spune că matricea A a fost *transformată* într-un modoarecare.

Transformări elementare

Unele operații specifice de transformare au o importanță deosebită. Aceste operații foarte simple sînt numite cu un termen general *transformări elementare*. Dîndu-se o matrice A , transformările elementare ale matricei A sînt următoarele :

1. *Schimbarea reciprocă a două linii sau a două coloane oarecare din A .*
2. *Adunarea elementelor unei linii, sau coloane din A la elementele corespunzătoare ale altei linii, sau coloane din A .*
3. *Înmulțirea fiecărui element al unei linii, sau coloane din A , cu o constantă.*

Bineînțeles, aceste transformări nu modifică ordinul matricei A . Conform proprietăților determinantilor, studiate în Capitolul 1, prima transformare schimbă numai semnul determinantului A ; a doua nu modifică determinantul; cea de a treia înmulțește determinantul cu o constantă. Prin urmare, dacă matricea A este nesingulară, atunci matricea obținută după o transformare elementară este de asemenea nesingulară. De fapt, o transformare elementară a unei matrice nu-i poate modifica rangul, chiar atunci cînd rangul este mai mic decît ordinul matricei. (A se vedea Problema P. 5).

Operațiile efectuate asupra matricei A prin transformări elementare pot fi realizate înmulțind pe A cu matrice simple nesingulare. Aceste matrice, numite *matrice elementare*, se obțin la rîndul lor efectuînd operația corespunzătoare asupra matricei unitate. Astfel, adunînd linia a treia, la linia a doua a unei matrice unitate de ordinul trei, se obține matricea elementară din stînga, de mai jos; în mod similar, adunînd coloana

a treia la a doua coloană, a matricei de ordinul trei se obține matricea elementară din dreapta :

$$\begin{bmatrix} 1 & 0 & 0 \\ 0 & 1 & 1 \\ 0 & 0 & 1 \end{bmatrix} \quad \begin{bmatrix} 1 & 0 & 0 \\ 0 & 1 & 0 \\ 0 & 1 & 1 \end{bmatrix}$$

Dacă o matrice A , cu trei linii este *premultiplicată* cu matricea elementară din stînga, efectul este că se adună linia a treia din A la linia a doua. Dacă o matrice A , cu trei coloane este *postmultiplicată* cu matricea elementară din dreapta, efectul este că se adună a treia coloană din A , la coloana a doua. Astfel

$$\begin{bmatrix} 1 & 0 & 0 \\ 0 & 1 & 1 \\ 0 & 0 & 1 \end{bmatrix} \begin{bmatrix} a_{11} & a_{12} & a_{13} & a_{14} \\ a_{21} & a_{22} & a_{23} & a_{24} \\ a_{31} & a_{32} & a_{33} & a_{34} \end{bmatrix} \\ = \begin{bmatrix} a_{11} & a_{12} & a_{13} & a_{14} \\ a_{21} + a_{31} & a_{22} + a_{32} & a_{23} + a_{33} & a_{24} + a_{34} \\ a_{31} & a_{32} & a_{33} & a_{34} \end{bmatrix},$$

$$\begin{bmatrix} a_{11} & a_{12} & a_{13} \\ a_{21} & a_{22} & a_{23} \\ a_{31} & a_{32} & a_{33} \end{bmatrix} \begin{bmatrix} 1 & 0 & 0 \\ 0 & 1 & 0 \\ 0 & 1 & 1 \end{bmatrix} = \begin{bmatrix} a_{11} & a_{12} + a_{13} & a_{13} \\ a_{21} & a_{22} + a_{23} & a_{23} \\ a_{31} & a_{32} + a_{33} & a_{33} \end{bmatrix}.$$

Observăm că A poate să nu fie pătrată; bineînțeles A trebuie să fie conformă matricei elementare (așa cum s-a arătat mai înainte).

Deoarece o transformare elementară nu modifică rangul unei matrice unitate, *orice matrice elementară este nesingulară*. Deoarece produsul a două matrice nesingulare este nesingular, se ajunge la concluzia că, *produsul între un număr oarecare de matrice elementare este nesingular*. O problemă de importanță mai mare este următoarea: concluzia este aplicabilă în sens invers? Orice matrice nesingulară poate fi descompusă în matrice elementare? Răspunsul este afirmativ. Se poate arăta că *orice matrice nesingulară poate fi scrisă ca un produs al unui număr finit de matrice elementare*.

Pentru exemplificare să presupunem că se cere: (1) să se adune linia întâia a unei matrice A (4×3), la linia a treia, după multiplicarea primei linii cu 5 și (2) să se schimbe între ele coloanele trei și doi, după

ce coloana a doua a fost înmulțită cu 3. Cele două matrice care vor realiza aceste transformări sînt :

$$E_1 = \begin{bmatrix} 1 & 0 & 0 & 0 \\ 0 & 1 & 0 & 0 \\ 5 & 0 & 1 & 0 \\ 0 & 0 & 0 & 1 \end{bmatrix}, \quad E_2 = \begin{bmatrix} 1 & 0 & 0 \\ 0 & 0 & 3 \\ 0 & 1 & 0 \end{bmatrix}.$$

Prima trebuie să premultiplieze pe **A**, iar a doua să postmultiplieze pe **A**. Cititorul poate să verifice acest rezultat.

Prezentarea unor detalii asupra matricelor elementare se va face printr-un număr important de probleme. În dezvoltarea care urmează se presupune că rezultatele acestor probleme sînt cunoscute.

Matrice echivalente

Fie **A** și **B** două matrice de același ordin. Spunem că **B** este *echivalentă* cu **A** dacă aceasta se poate obține din **A** printr-un număr finit de transformări elementare. Dacă toate transformările sînt efectuate asupra liniilor, **B** este *echivalentă* cu **A**, *în raport cu liniile*; dacă toate transformările operează asupra coloanelor, **B** este *echivalentă* cu **A**, *în raport cu coloanele*. Efectuarea unui număr de transformări elementare revine la înmulțirea matricei **A**, cu produsul unui număr de matrice elementare. Un astfel de produs poate fi reprezentat printr-o singură matrice care este, cu necesitate, nesingulară, deoarece fiecare matrice elementară este nesingulară. Prin urmare, definiția generală a echivalenței poate fi reformulată astfel :

Teorema 1. *Fie **A** și **B** două matrice de același ordin. Matricea **B** este echivalentă cu **A**, dacă și numai dacă ;*

$$\mathbf{B} = \mathbf{P}\mathbf{A}\mathbf{Q} \quad (1)$$

unde **P** și **Q** sînt nesingulare.

Deoarece **P** și **Q** sînt nesingulare, rezultă că $\mathbf{A} = \mathbf{P}^{-1}\mathbf{B}\mathbf{Q}^{-1}$. Această relație are aceeași formă ca și (1), deci, dacă **B** este echivalent cu **A**, atunci și **A** este echivalent cu **B**; rezultă că echivalența a două matrice este o proprietate reciprocă.

Deoarece o transformare elementară nu modifică rangul unei matrice, o succesiune de transformări elementare menține rangul matricei neschimbat. Prin urmare, două matrice echivalente au același rang. În particular dacă o matrice pătratică, **A**, este nesingulară și o matrice echivalentă cu **A** este de asemenea nesingulară.

De fapt, dacă A , este o matrice nesingulară, aceasta poate fi redusă totdeauna la o matrice unitară, prin transformări elementare succesive; aceasta înseamnă că oricând vor exista niște matrice P și Q nesingulare (fiecare din ele fiind un produs de matrice elementare), astfel încît :

$$PAQ = U \quad (2)$$

Deci

$$A = P^{-1}(PAQ)Q^{-1} = P^{-1}UQ^{-1} = P^{-1}Q^{-1}. \quad (3)$$

Astfel, dacă A este nesingulară, aceasta poate fi oricând factorizată într-un produs de două matrice nesingulare P^{-1} și Q^{-1} . Aceasta este desigur o demonstrație de „existență”; nu se menționează vre-un algoritm care să efectueze factorizarea.

Faptul că, o matrice nesingulară este echivalentă cu o matrice unitate, așa cum se arată în (2) este un caz particular al unei proprietăți mai generale. Fie A o matrice de ordinul $(m \times n)$ și de rang r . Prin transformări elementare A se poate reduce totdeauna la o matrice B de forma :

$$B = PAQ = \begin{matrix} & r & n-r \\ r & \begin{bmatrix} U_r & 0 \\ 0 & 0 \end{bmatrix} \\ m-r & \end{matrix} \quad (4)$$

Submatricea din stînga — sus este o matrice unitate de ordinul r . Dacă A este patrată și nesingulară, $n = m = r$ și (4) se reduce la (2). Matricea din dreapta relației (4) se numește *formă normală a matricei A* .

Să presupunem că în (1) $Q = U$; rezultă că $B = PA$. Matricea nesingulară P este produsul matricelor elementare. Înmulțirea lui A cu P conduce la efectuarea unor transformări elementare asupra liniilor din A . În matricea produs B , rezultă linii care sînt simple combinații lineare ale liniilor din A . În consecință, dacă două matrice sînt echivalente în raport cu liniile, liniile uneia sînt combinații lineare ale liniilor celeilalte și vice versa. În mod similar, dacă două matrice sînt echivalente în raport cu coloanele, coloanele uneia sînt combinații liniare ale coloanelor celeilalte; de exemplu, în Capitolul 2 s-a găsit că matricea Q , a unui grup tăiat fundamental, relativ la un circuit, se obține premultiplicînd matricea de incidență A cu matricea nesingulară A_i . Astfel, este de așteptat ca liniile lui Q , să fie combinații liniare ale liniilor lui A , sau în mod echivalent, ecuațiile grupului tăiat, să fie combinații liniare, ale ecuațiilor corespunzătoare legii lui Kirchhoff pentru curenți la nod, ceea ce știm că este adevărat.

Transformări similare

În relația de echivalență (1) nu este necesar ca între matricele P și Q să existe vreo legătură. Totuși, cînd există anumite legături, echivalența conduce la unele proprietăți importante, astfel că este util ca transformările corespunzătoare să fie numite și clasificate.

Să presupunem că matricea A din (1) este patrată, iar $P = Q^{-1}$. Atunci

$$B = Q^{-1}AQ \quad (5a)$$

sau

$$QB = AQ. \quad (5b)$$

Această transformare este o *transformare similară*; A și B se numesc matrice *similare*. Această transformare a fost deja discutată în capitoul 1, unde am văzut că două matrice similare au aceleași valori proprii. Includerea transformării aici s-a făcut pentru o tratare completă.

Transformări congruente

Un alt fel de echivalență particulară este următoarea. Să presupunem că în (1) $P = Q'$. Atunci, transformarea

$$B = Q'AQ \quad (6)$$

se numește *transformare congruentă*; se zice că B este *congruentă cu A*.

Deoarece Q se poate scrie ca un produs de matrice elementare, Q' va fi egală cu produsul transpuselor acestor matrice elementare, considerate în ordine inversă. Prin urmare $Q'AQ$ se obține din A , efectuînd perechi de transformări elementare, o transformare asupra liniilor, urmată de o transformare corespunzătoare asupra coloanelor.

O comparație între transformarea similară din (5) și transformarea congruentă din (6) arată că acestea ar fi identice dacă $Q^{-1} = Q'$. Acestei proprietăți i se acordă o denumire specială. O matrice avînd proprietatea :

$$Q^{-1} = Q' \quad (7)$$

se numește matrice *ortogonală*.

Dacă A este o matrice reală, simetrică, de rang r , se poate arăta, cu ajutorul unor transformări elementare, că aceasta este congruentă cu o matrice diagonală D , de forma

$$D = Q'AQ = \begin{bmatrix} D_r & 0 \\ 0 & 0 \end{bmatrix}. \quad (8)$$

în care \mathbf{D}_r este o matrice diagonală de ordin r și rang r , iar \mathbf{Q} este nesingulară. Aceasta seamănă cu forma normală din (4), dar există niște diferențe. În cazul general \mathbf{A} poate să nu fie pătratică și cele două matrice \mathbf{P} și \mathbf{Q} pot să fie independente.

Elementele diagonale ale lui \mathbf{D} pot să fie pozitive, sau negative. Liniile și coloanele pot fi totdeauna schimbate reciproc, astfel încît elementele pozitive să fie plasate la început. Produsul matricelor elementare corespunzătoare poate fi concentrat în \mathbf{Q} . Dacă termenii pozitivi și negativi sînt explicitați, rezultatul poate fi scris astfel :

$$\mathbf{D} = \mathbf{Q}' \mathbf{A} \mathbf{Q} = \begin{bmatrix} \mathbf{D}_p & 0 & 0 \\ 0 & -\mathbf{D}_{r-p} & 0 \\ 0 & 0 & 0 \end{bmatrix}, \quad \mathbf{D}_r = \begin{bmatrix} \mathbf{D}_p & 0 \\ 0 & -\mathbf{D}_{r-p} \end{bmatrix}, \quad (9)$$

unde atît \mathbf{D}_p cît și \mathbf{D}_{r-p} sînt matrice diagonale cu elemente diagonale pozitive, ordinul și rangul lui \mathbf{D}_p fiind p , iar ordinul și rangul lui \mathbf{D}_{r-p} fiind $r-p$.

Să definim acum matricea :

$$\mathbf{D}^{-\frac{1}{2}} = \begin{bmatrix} \mathbf{D}_p^{-\frac{1}{2}} & 0 & 0 \\ 0 & -\mathbf{D}_{r-p}^{-\frac{1}{2}} & 0 \\ 0 & 0 & \mathbf{U} \end{bmatrix}, \quad (10)$$

unde :

$$\mathbf{D}_p^{-\frac{1}{2}} = \begin{bmatrix} d_1^{-\frac{1}{2}} & & \bigcirc \\ & d_2^{-\frac{1}{2}} & \\ \bigcirc & & \ddots & d_p^{-\frac{1}{2}} \end{bmatrix}, \quad \mathbf{D}_{r-p}^{-\frac{1}{2}} = \begin{bmatrix} d_{p+1}^{-\frac{1}{2}} & & \bigcirc \\ & \ddots & \\ \bigcirc & & d_r^{-\frac{1}{2}} \end{bmatrix}. \quad (11)$$

Apoi, după o transformare congruentă a lui \mathbf{D} , cu ajutorul lui $\mathbf{D}^{-\frac{1}{2}}$, (9) se poate scrie astfel

$$(\mathbf{D}^{-\frac{1}{2}})' \mathbf{D} \mathbf{D}^{-\frac{1}{2}} = (\mathbf{D} \mathbf{Q}^{-\frac{1}{2}})' \mathbf{A} (\mathbf{Q} \mathbf{D}^{-\frac{1}{2}}) = \begin{bmatrix} \mathbf{U}_p & 0 & 0 \\ 0 & -\mathbf{U}_{r-p} & 0 \\ 0 & 0 & 0 \end{bmatrix} = \mathbf{C}. \quad (12)$$

Deoarece $\mathbf{D}^{-\frac{1}{2}}$ este nesingulară și $\mathbf{Q} \mathbf{D}^{-\frac{1}{2}}$ este nesingulară. Prin urmare, în partea dreaptă avem de fapt o transformare congruentă a lui \mathbf{A} .

Această matrice se numește *matrice canonică*; se spune că, transformarea congruentă a lui \mathbf{A} din (12) pune pe \mathbf{A} în *formă canonică*. Numărul întreg p din această expresie se numește *indicele matricei*.

7.2. FORME PĂTRATICE ȘI HERMITICE

Subiectul acestui paragraf este o formă matematică, ce apare în circuite, în urma unor considerații de putere disipată sau energie acumulată. Pentru a explica cum apare aceasta, înainte de a dezvolta proprietățile sale matematice, să considerăm un circuit pur rezistiv, cu matricea rezistențelor de laturi \mathbf{R} ; vectorii tensiune și curent de latură sînt la un moment dat $\mathbf{v}(t)$ și $\mathbf{i}(t)$. Puterea disipată în circuit la o valoare oarecare a timpului este $p(t) = \mathbf{i}(t)' \mathbf{v}(t)$. Dacă se introduce relația relativă la laturi $\mathbf{v} = \mathbf{R}\mathbf{i}$, atunci puterea devine

$$p = \mathbf{i}(t)' \mathbf{v}(t) = \mathbf{i}' \mathbf{R} \mathbf{i}. \quad (13)$$

De exemplu, pentru un circuit cu trei laturi, mărimea expresiei din dreapta este :

$$\begin{aligned} \mathbf{i}' \mathbf{R} \mathbf{i} &= [i_1 \ i_2 \ i_3] \begin{bmatrix} R_1 & 0 & 0 \\ 0 & R_2 & 0 \\ 0 & 0 & R_3 \end{bmatrix} \begin{bmatrix} i_1 \\ i_2 \\ i_3 \end{bmatrix} \\ &= R_1 i_1^2 + R_2 i_2^2 + R_3 i_3^2. \end{aligned}$$

Această expresie este pătratică în raport cu curenții și ilustrează ceea ce dorim să prezentăm aici. Pentru a sublinia că rezultatele sînt generale vom utiliza o notație în formă generală.

Definiții

Fie $\mathbf{A} = [a_{ij}]$, o matrice reală pătrată și $\mathbf{x} = [x_i]$ un vector coloană, real sau complex. Expresia :

$$\mathbf{x}' \mathbf{A} \mathbf{x} = [x_1 \ x_2 \ \cdots \ x_n] \begin{bmatrix} a_{11} & a_{12} & a_{1n} \\ a_{21} & a_{22} & a_{2n} \\ \vdots & \vdots & \vdots \\ a_{n1} & a_{n2} & a_{nn} \end{bmatrix} \begin{bmatrix} x_1 \\ x_2 \\ \vdots \\ x_n \end{bmatrix} \quad (14)$$

cu \mathbf{x} considerat vector real (adică avînd elemente x_i reale) și expresia

$$\mathbf{x}^* \mathbf{A} \mathbf{x} = [\bar{x}_1 \ \bar{x}_2 \ \cdots \ \bar{x}_n] \begin{bmatrix} a_{11} & a_{12} & \cdots & a_{1n} \\ a_{21} & a_{22} & \cdots & a_{2n} \\ \vdots & \vdots & \ddots & \vdots \\ a_{n1} & a_{n2} & \cdots & a_{nn} \end{bmatrix} \begin{bmatrix} x_1 \\ x_2 \\ \vdots \\ x_n \end{bmatrix} \quad (15)$$

cu \mathbf{x} considerat vector complex, se numesc *forme pătratice*. Justificarea acestei denumiri apare clar dacă se efectuează multiplicarea matricelor menționate, ceea ce dă:

$$\mathbf{x}' \mathbf{A} \mathbf{x} = \sum_{i=1}^n \sum_{j=1}^n a_{ij} x_i x_j \quad (16)$$

atunci cînd x -urile sînt reale și

$$\mathbf{x}^* \mathbf{A} \mathbf{x} = \sum_{i=1}^n \sum_{j=1}^n a_{ij} \bar{x}_i x_j \quad (17)$$

atunci cînd x -urile sînt complexe. Constatăm că acestea sînt expresii omogene de gradul 2 în variabilele x_1, x_2, \dots, x_n .

Matricea \mathbf{A} din relațiile (14)–(17) se numește *matrice a formei pătratice*. Vom considera că x -urile sînt variabile astfel că matricea definește în principal forma pătratică. Ne vom preocupa de forme pătratice în care matricea \mathbf{A} este reală și simetrică. În realitate, *orice* formă pătratică reală, cu o matrice reală, poate fi transformată într-o formă pătratică cu o matrice simetrică, deoarece avînd x -urile și a_{ij} -urile reale se poate scrie

$$a_{ij} x_i x_j + a_{ji} x_j x_i = 2 \left(\frac{a_{ij} + a_{ji}}{2} \right) x_i x_j. \quad (18)$$

Se vede că, contribuția celor doi termeni din stînga acestei ecuații la forma pătratică rămîne neschimbată, dacă înlocuim pe a_{ij} și a_{ji} din matrice cu jumătate din suma lor. Astfel dacă \mathbf{A} nu este simetrică vom defini matricea simetrică \mathbf{B} ca fiind;

$$\mathbf{B} = \frac{1}{2} (\mathbf{A} + \mathbf{A}'). \quad (19)$$

Matricea \mathbf{B} se numește partea simetrică a lui \mathbf{A} . Această operație menține elementele diagonale din \mathbf{A} nemodificate, în timp ce elementele din afara

diagonalei sînt modificate în modul arătat. Din discuțiile precedente rezultă că

$$\mathbf{x}' \mathbf{A} \mathbf{x} = \mathbf{x}' \mathbf{B} \mathbf{x}. \quad (20)$$

Să ne concentrăm acum atenția, asupra unei forme pătratice în care vectorul \mathbf{x} este complex. Atita timp cit matricea \mathbf{A} a formei pătratice este reală și simetrică, forma pătratică $\mathbf{x}^* \mathbf{A} \mathbf{x}$ va fi reală. Pentru a demonstra aceasta să observăm că

$$\begin{aligned} \sum_{i=1}^n \sum_{j=1}^n a_{ij} \bar{x}_i x_j &= \sum_{i=1}^n a_{ii} \bar{x}_i x_i + \sum_{\substack{i=1 \\ j \neq i}}^n \sum_{j=1}^n a_{ij} \bar{x}_i x_j \\ &= \sum_{i=1}^n a_{ii} |x_i|^2 + \frac{1}{2} \sum_{i=1}^n \sum_{\substack{j=1 \\ j \neq i}}^n a_{ij} (\bar{x}_i x_j + \bar{x}_j x_i) \quad (21) \\ &= \sum_{i=1}^n a_{ii} |x_i|^2 + \sum_{\substack{i=1 \\ i \neq j}}^n \sum_{j=1}^n a_{ij} \operatorname{Re} (\bar{x}_i x_j). \end{aligned}$$

Rîndul al doilea este o consecință a simetriei lui \mathbf{A} , iar ultimul termen, din ultimul rînd rezultă din faptul că $\bar{x}_j x_i$ este conjugatul lui $\bar{x}_i x_j$. În ultimul rînd toți termenii sînt acum reali ceea ce demonstrează afirmația noastră.

Transformarea unei forme pătratice

Să observăm acum ce se întîmplă cu o formă pătratică dacă vectorul \mathbf{x} este supus unei transformări lineare, nesingulare și reale. Fie $\mathbf{x} = \mathbf{Q} \mathbf{y}$, unde \mathbf{Q} este nesingulară iar \mathbf{y} este un vector coloană. Forma pătratică devine :

$$\mathbf{x}^* \mathbf{A} \mathbf{x} = (\mathbf{Q} \mathbf{y})^* \mathbf{A} (\mathbf{Q} \mathbf{y}) = \mathbf{y}^* (\mathbf{Q}' \mathbf{A} \mathbf{Q}) \mathbf{y}, \quad (22)$$

unde s-a ținut seama că \mathbf{Q} este reală și s-a scris $\mathbf{Q}^* = \mathbf{Q}'$. În interiorul parantezei găsim o transformare congruentă a lui \mathbf{A} . S-a constatat mai înainte că, o matrice reală, simetrică \mathbf{A} poate fi redusă totdeauna la forma canonică din (12) utilizînd o transformare nesingulară, congruentă. Prin urmare, forma pătratică se poate reduce la :

$$\mathbf{x}^* \mathbf{A} \mathbf{x} = \mathbf{y}^* \mathbf{C} \mathbf{y} = |y_1|^2 + |y_2|^2 + \cdots + |y_p|^2 - |y_{p+1}|^2 - \cdots - |y_r|^2. \quad (23)$$

Acest rezultat ne permite să formulăm următoarea teoremă :

Teorema 2. *Orice formă pătratică, reală $\mathbf{x}^* \mathbf{A} \mathbf{x}$ în care \mathbf{A} este reală și simetrică poate fi redusă, cu ajutorul unei transformări lineare, nesingulare și reale $\mathbf{x} = \mathbf{Q} \mathbf{y}$, la forma canonică din (23) în care r este rangul lui \mathbf{A} , iar p este indicele.*

Aceasta este evident, o teoremă de existență și nu ne dă nici o indicație asupra modului în care s-ar putea găsi transformarea lineară potrivită. Un procedeu care permite aceasta este cel numit *reducere de tip Lagrange*, care constă din repetarea unui procedeu similar completării pătratului. Să ilustrăm aceasta, printr-un număr de exemple.

Exemple

1. Pentru simplificare, să presupunem că \mathbf{x} este un vector real. Fie

$$\begin{aligned} \mathbf{x}' \mathbf{A} \mathbf{x} &= [x_1 \ x_2] \begin{bmatrix} 1 & 2 \\ 2 & 2 \end{bmatrix} \begin{bmatrix} x_1 \\ x_2 \end{bmatrix} \\ &= x_1^2 + 4x_1 x_2 + 2x_2^2 \\ &= x_1^2 + 4x_1 x_2 + (4x_2^2 - 4x_2^2) + 2x_2^2 \\ &= (x_1 + 2x_2)^2 - 2x_2^2. \end{aligned}$$

În aceste operații $4x_2^2$ a fost adunat și scăzut pentru a completa pătratul perfect. Acum să notăm

$$\begin{aligned} y_1 &= x_1 + 2x_2 \\ y_2 &= \sqrt{2}x_2 \end{aligned} \quad \text{sau} \quad \begin{bmatrix} x_1 \\ x_2 \end{bmatrix} = \begin{bmatrix} 1 & -\sqrt{2} \\ 0 & 1/\sqrt{2} \end{bmatrix} \begin{bmatrix} y_1 \\ y_2 \end{bmatrix}.$$

Atunci

$$\mathbf{x}' \mathbf{A} \mathbf{x} = y_1^2 - y_2^2 = [y_1 \ y_2] \begin{bmatrix} 1 & 0 \\ 0 & -1 \end{bmatrix} \begin{bmatrix} y_1 \\ y_2 \end{bmatrix}.$$

În acest caz, rangul lui \mathbf{A} este egal cu ordinul său (2), iar indicele este 1.

2. Acum să considerăm că \mathbf{x} este un vector complex și că

$$\begin{aligned} \mathbf{x}^* \mathbf{A} \mathbf{x} &= [\bar{x}_1 \ \bar{x}_2 \ \bar{x}_3] \begin{bmatrix} 1 & -1 & 3 \\ -1 & 2 & 0 \\ 3 & 0 & 14 \end{bmatrix} \begin{bmatrix} x_1 \\ x_2 \\ x_3 \end{bmatrix} \\ &= x_1 \bar{x}_1 - \bar{x}_1 x_2 + \bar{x}_1 x_3 - \bar{x}_2 x_1 + 2x_2 \bar{x}_2 + 3\bar{x}_2 x_1 + 14x_3 \bar{x}_3 \\ &= [x_1 \bar{x}_1 - x_1 (\bar{x}_2 - 3\bar{x}_3) - \bar{x}_1 (x_2 - 3x_3)] + (2x_2 \bar{x}_2 + 14x_3 \bar{x}_3). \end{aligned}$$

Primul set de termeni poate fi scris ca un modul la pătrat, adunând $(x_2 + 3x_3)(\bar{x}_2 + 3\bar{x}_3)$, ceea ce înseamnă că aceeași mărime trebuie scăzută din al doilea set de termeni. Rezultatul acestei operații este :

$$\begin{aligned} \mathbf{x}^* \mathbf{A} \mathbf{x} &= (x_1 - x_2 + 3x_3)(\bar{x}_1 - \bar{x}_2 + 3\bar{x}_3) + (x_1 \bar{x}_2 + 3x_1 \bar{x}_3 + 5x_2 \bar{x}_3) \\ &= (x_1 - x_2 + 3x_3)(\bar{x}_1 - \bar{x}_2 + 3\bar{x}_3) + (x_2 + 3x_3)(\bar{x}_2 + 3\bar{x}_3) - 4x_1 \bar{x}_1. \end{aligned}$$

În ultima etapă, $9x_3\bar{x}_3$ a fost adunat și scăzut pentru „completarea pătratului” din etapa precedentă. Acum să notăm

$$\begin{aligned} y_1 &= x_1 - x_2 + 3x_3 \\ y_2 &= x_2 + 3x_3 \\ y_3 &= 2x_3 \end{aligned} \quad \text{sau} \quad \begin{bmatrix} x_1 \\ x_2 \\ x_3 \end{bmatrix} = \begin{bmatrix} 1 & 1 & -3 \\ 0 & 1 & -\frac{3}{2} \\ 0 & 0 & \frac{1}{2} \end{bmatrix} \begin{bmatrix} y_1 \\ y_2 \\ y_3 \end{bmatrix}.$$

În final, forma pătratică devine :

$$\mathbf{x}^* \mathbf{A} \mathbf{x} = |y_1|^2 + |y_2|^2 - |y_3|^2. \quad (24)$$

Forme definite și semidefinite

Din (23) se poate observa că valorile formei pătratice vor depinde în mod normal de valorile variabilelor y . Totuși, se poate întâmpla ca valorile formei pătratice să nu depindă, ca semn, de valorile variabilelor. Astfel de forme se numesc *definite*. În particular, o formă pătratică reală $\mathbf{x}^* \mathbf{A} \mathbf{x}$ se numește *definită pozitiv*, dacă pentru orice set de numere complexe, sau reale : x_1, x_2, \dots, x_n , care nu sînt toate nule, valoarea formei pătratice este strict pozitivă. În mod similar, spunem că forma pătratică este *semi-definită pozitiv* dacă

$$\mathbf{x}^* \mathbf{A} \mathbf{x} \geq 0 \quad (25)$$

pentru toți $\mathbf{x} \neq 0$, presupunînd că există cel puțin un set de valori ale variabilelor, pentru care relația este satisfăcută cu semnul egalității. Deoarece proprietatea de pozitivitate a unei astfel de forme pătratice, nu depinde de valorile variabilei, aceasta trebuie asociată cu matricea \mathbf{A} a formei pătratice. Terminologia care urmează pare astfel cu totul naturală. *O matrice \mathbf{A} , reală și simetrică se consideră a fi definită, sau semidefinită pozitiv, după cum forma pătratică $\mathbf{x}^* \mathbf{A} \mathbf{x}$ este definită, sau semidefinită pozitiv.*

Trebuie să găsim niște mijloace de a determina dacă o formă pătratică este sau nu este pozitiv definită sau semidefinită. În acest scop să examinăm forma canonică din (23). Matricea \mathbf{A} a acestei forme este caracterizată prin trei numere întregi : ordinul n , rangul k și indicele p . Dacă indicele este mai mic decît rangul (dar mai mare ca zero), matricea poate să nu fie nici definită pozitiv, nici semidefinită pozitiv.

Să presupunem că indicele este egal cu rangul : $p = r$. Atunci toate semnele din (23) vor fi pozitive. Există două posibilități : (1) rangul să fie egal cu ordinul, $r = n$, astfel că \mathbf{A} este nesingulară ; sau (2) $r < n$ astfel că \mathbf{A} este singulară. Să presupunem că $r < n$. Atunci vom alege pe

y_1 , pînă la $y_r = 0$ și pe y_{r+1} , pînă la $y_n \neq 0$. Aceasta va face ca forma pătratică să se anuleze, dar pentru $x = Qy$, nu toate x -urile vor fi nule. Pentru oricare alte valori ale variabilelor y , forma pătratică va fi pozitivă. Deci forma pătratică satisface relația (25) și este semidefinită pozitiv. Afirmația reciprocă este și ea desigur adevărată.

Pe de altă parte, dacă $r = n$ (cu p tot egal cu r), atunci A este nesingulară, prin urmare orice alegere a unor y -ci (deci și a x -urilor) nenulă, va conduce la o valoare pozitivă a formei pătratice. În concluzie, rezultă următoarea teoremă :

Teorema 3. *O formă pătratică avînd o matrice reală, simetrică A , de ordin n , rang r și indice p este definită pozitiv, dacă și numai dacă A este nesingulară, iar indicele este egal cu rangul : $p=r=n$. Forma pătratică este semidefinită, pozitiv dacă A este nesingulară și $p = r$.*

Dacă o formă pătratică este definită pozitiv, atunci, așa cum rezultă din (23), matricea sa canonică va fi o matrice unitară ; aceasta înseamnă că transformarea liniară nesingulară $x = Qy$ conduce la

$$Q'AQ = U. \quad (26)$$

Este posibil să se găsească determinantul lui A luînd determinantul în ambele părți ale expresiei. Deoarece $\det U = 1$, iar determinantul unui produs de matrice de același ordin este egal cu produsul determinantilor, vom avea

$$(\det Q') (\det A) (\det Q) = 1. \quad (27)$$

Deoarece Q și transpusa sa au același determinant, care este nenul fiindcă Q este nesingulară, obținem :

$$\det A = \frac{1}{(\det Q)^2}. \quad (28)$$

Acest rezultat exprimă faptul că determinantul unei matrice definite pozitiv este pozitiv. Mai departe, să presupunem că luăm ultima valoare a variabilei x_n , în formă pătratică, egală cu zero. Atunci nici unul din coeficienții a_{ni} sau a_{in} ai matricei A nu va apare în forma pătratică. Aceasta se poate vedea cel mai ușor în (16) cu $x_n = 0$. Prin urmare am putea, la fel de bine, să îndepărtăm linia și coloana n din A și să considerăm că A este de ordinul $(n-1)$. Și pentru această nouă matrice se aplică relația (28). Dar determinantul matricei noi este cofactorul principal al matricei dinainte, obținut prin suprimarea ultimei linii și coloane. Deoarece permutarea variabilelor nu are nici un efect asupra formei pătratice, nu are nici o importanță care anume din variabile este numită x_n . Rezultă că oricare din primii cofactori principali, de la o matrice definită pozitiv, va

fi pozitiv. Această argumentare poate fi repetată luind două din variabile egale cu zero, apoi trei, și așa mai departe pînă la ultima, pe care o menținem nenulă. Vom găsi că toți cofactorii principali ai matricei A sînt pozitivi. În ultimul caz, menținînd ultima variabilă nenulă, vom găsi că toate elementele situate pe diagonala principală din A trebuie să fie pozitive. (Aceste elemente reprezintă cofactori principali de ordinul $(n-1)$).

Ceea ce am reușit să demonstrăm este faptul că, atunci cînd se știe că o matrice este definită pozitiv, toți determinanții săi și toți principalii cofactori sînt pozitivi. De fapt, ceea ce ne trebuie în tratarea unei matrice date este afirmația reciprocă celei arătate mai înainte. Întimplător și reciproca este adevărată. Demonstrația reciprocei fiind relativ lungă nu va fi dată aici. Pentru considerațiile care urmează este util să formulăm acest rezultat sub forma unei teoreme.

Teorema 4. *O matrice A , simetrică și reală este definită pozitiv, dacă și numai dacă, determinantul său și cofactorii principali sînt pozitivi. Matricea este semidefinită pozitiv dacă determinantul său este zero, iar cofactorii săi principali sînt nenegativi.*

Ca un exemplu, să considerăm matricea reală utilizată mai înainte pentru ilustrarea reducerii de tip Lagrange. Se cere să se formeze determinantul său și cofactorii principali.

$$A = \begin{bmatrix} 1 & -1 & 3 \\ -1 & 2 & 0 \\ 3 & 0 & 14 \end{bmatrix}.$$

Observăm că toate elementele din diagonală sînt pozitive. Deoarece matricea este de ordinul trei, elementele din diagonală sînt cofactori de ordinul al doilea. Primii cofactori principali pot fi formați ușor:

$$\Delta_{11} = 28, \Delta_{22} = 5, \Delta_{33} = 1.$$

Aceștia sînt toți pozitivi. Rămîne să se formeze determinantul care se găsește egal cu -4 . Acest număr este mai mic ca zero și deci A nu este definită sau semidefinită pozitiv.

Forme hermitice

Pînă acum ne-am ocupat de forme pătratice avînd matrice simetrice și reale. Dacă matricea unei forme pătratice este complexă, este posibil să înlocuim matricea prin partea sa hermitică, fără a modifica valoarea formei, la fel cum matricea reală era înlocuită cu partea sa simetrică. Fie H o matrice hermitică ($h_{ji} = \bar{h}_{ij}$). Expresia:

$$x^* H x$$

(29)

se numește *formă hermitică*. Dacă \mathbf{H} este real, forma hermitică se reduce la o formă pătratică. Este deci de așteptat ca proprietățile formei hermitice să fie analoge celor de la formele pătratice. Vom enumera câteva din acestea fără comentarii suplimentare.

Efectuind o dezvoltare ca și cea din (21) pentru o formă pătratică, se poate arăta că *valoarea unei forme hermitice este reală*.

O formă hermitică de rang r poate fi redusă la forma canonică dată de partea dreaptă a rețelei (23), printr-o transformare lineară nesarănată $\mathbf{x} = \mathbf{Q}\mathbf{y}$, unde \mathbf{Q} este în general complexă.

Termenii „definită pozitiv” se definesc în același mod ca și pentru formele pătratice. Teorema relativă la determinant și la cofactorii principali ai matricelor definite și semidefinite pozitiv, se aplică de asemenea și la matricele hermitice.

7.3. FUNCȚII DE ENERGIE

Acum, după ce bazele matematice au fost prezentate, sintem pregătiți pentru a reveni la examinarea funcțiilor de circuit. Mai exact, vom lega unele funcții de circuit de energia înmagazinată și disipată în circuit. Apoi cunoscând natura acestei energii, putem trage unele concluzii despre proprietățile, funcțiilor de circuit.

Să considerăm un circuit multiport, excitat prin surse de tensiune la fiecare poartă. Fig. 1 arată utilizarea circuitului diport, dar discuția se va purta pentru un multiport general.

Se presupune că circuitul, care este linear și invariabil în timp este inițial în repaus. Acum, să considerăm scrierea ecuațiilor de contur la acest circuit. Referindu-ne la Cap. 2 dinainte, forma

$$\mathbf{Z}_m(s) \mathbf{I}_m(s) = \mathbf{E}(s), \quad (30a)$$

$$\left(\mathbf{R}_m + s \mathbf{L}_m + \frac{1}{s} \mathbf{D}_m \right) \mathbf{I}_m(s) = \mathbf{E}(s), \quad (30b)$$

unde \mathbf{Z}_m este matricea impedanțelor de contur, iar \mathbf{R}_m , \mathbf{L}_m și \mathbf{D}_m sînt matricele parametrilor de contur; \mathbf{E} este vectorul tensiunilor surselor

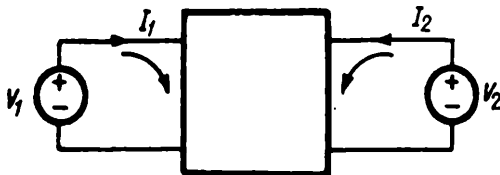


Fig. 7.1. Diport alimentat la ambele porți.

echivalente de contur. Deoarece nu există alte surse în afara celor de la porți și contururile sint alese astfel că, fiecare sursă de tensiune este situată numai într-un contur, iar orientarea conturilor, relativă la sursă este cea arătată în fig. 7.1, rezultă că un element al lui \mathbf{E} va fi nenul, pentru contururi care includ o poartă și 0 pentru ochiuri interne.

În (30), variabilele sint transformatele Laplace ale tensiunilor și curenților. Dacă excitațiile sint sinusoidale de aceeași frecvență, sint valabile aceleași expresii (30), în care se înlocuiesc variabilele transformate cu fazori și s cu $j\omega$. (Vezi Problema 50). Să notăm cu indice p fazorii, de exemplu I_p este un număr complex a cărui amplitudine este media pătratică a curențului sinusoidal și al cărui unghi este faza sa. Presupunind că avem un n -port astfel că \mathbf{E}_p are n componente nenule și presupunind că există m ochiuri și deci \mathbf{I}_{mp} are m componente, relația (30) devine :

$$\left\{ \mathbf{R}_m + j\omega \left(\mathbf{L}_m - \frac{1}{\omega^2} \mathbf{D}_m \right) \right\} \begin{bmatrix} I_{mp1} \\ I_{mp2} \\ \vdots \\ I_{mpm} \end{bmatrix} = \begin{bmatrix} V_{p1} \\ V_{p2} \\ \vdots \\ 0 \\ \vdots \\ 0 \end{bmatrix}. \quad (31)$$

Să calculăm acum puterea cu care se alimentează circuitul. Puterea complexă care alimentează poarta k este $\bar{\mathbf{I}}_{mpk} V_{pk}$. Puterea totală debitată la toate porțile este prin urmare $\bar{\mathbf{I}}_{mp}^* \mathbf{E}_p$. Partea reală din aceasta este puterea medie reală. Partea imaginară este proporțională cu energia medie înmagazinată în circuit, deci cu diferența între energia medie înmagazinată în bobine și capacități.

Astfel,

$$\operatorname{Re} (\bar{\mathbf{I}}_{mp}^* \mathbf{E}_p) = P, \quad (32a)$$

$$\operatorname{Im} (\bar{\mathbf{I}}_{mp}^* \mathbf{E}_p) = 2\omega (W_L - W_C). \quad (32b)$$

Puterea complexă de intrare în circuit poate fi obținută premultiplicând ambele părți ale relației (31) cu $\bar{\mathbf{I}}_{mp}^*$. Rezultatul devine :

$$\begin{aligned} \bar{\mathbf{I}}_{mp}^* \mathbf{R}_m \mathbf{I}_{mp} + j\omega \left(\bar{\mathbf{I}}_{mp}^* \mathbf{L}_m \mathbf{I}_{mp} - \frac{1}{\omega^2} \bar{\mathbf{I}}_{mp}^* \mathbf{D}_m \mathbf{I}_{mp} \right) &= \bar{\mathbf{I}}_{mp}^* \mathbf{E}_p \\ &= \bar{I}_{p1} V_{p1} + \bar{I}_{p2} V_{p2} + \dots + \bar{I}_{pn} V_{pn}. \end{aligned} \quad (33)$$

În partea dreaptă apar numai curenții de contur, care sint și curenți la poartă astfel că, indicele m poate fi omis. Găsim că puterea complexă de intrare, din dreapta este egală cu suma celor trei termeni din stînga. Constatăm că fiecare din acești termeni este o formă pătratică.

Pentru un circuit neregiproc matricele parametrilor de contur nu sînt simetrice. Totuși, așa cum s-a arătat în paragraful precedent, valoarea formei pătratice nu se schimbă dacă matricea formei se înlocuiește prin partea sa simetrică. Vom presupune că s-a realizat acest lucru. Fiecare din formele pătratice din stînga relației (33) este reală. Prin urmare, comparația între (32) și (33) conduce la concluzia că

$$\mathbf{I}_{mp}^* \mathbf{R}_m \mathbf{I}_{mp} = \text{puterea reală debitată în circuit}, \quad (34a)$$

$$\frac{1}{2} \mathbf{I}_{mp}^* \mathbf{L}_m \mathbf{I}_{mp} = \text{energia medie înmagazinată în bobine}, \quad (34b)$$

$$\frac{1}{2\omega^2} \mathbf{I}_{mp}^* \mathbf{D}_m \mathbf{I}_{mp} = \text{energia medie înmagazinată în condensatoare}. \quad (34c)$$

Se pot obține expresii echivalente pentru fiecare din aceste forme pătratice. Matricea fiecărei forme este una din matricele parametrilor de contur. Revenind la cap. 2, găsim că matricele parametrilor de contur pot fi scrise în funcție de matricele parametrilor pe laturi astfel

$$\mathbf{R}_m = \mathbf{B} \mathbf{R} \mathbf{B}', \quad (35a)$$

$$\mathbf{L}_m = \mathbf{B} \mathbf{L} \mathbf{B}', \quad (35b)$$

$$\mathbf{D}_m = \mathbf{B} \mathbf{D} \mathbf{B}', \quad (35c)$$

unde \mathbf{R} , \mathbf{L} și \mathbf{D} sînt matricele parametrilor pe laturi iar \mathbf{B} este matricea de contur.

Să considerăm forma pătratică relativă la \mathbf{R}_m . Utilizînd (35a) se găsește :

$$\mathbf{I}_{mp}^* \mathbf{R}_m \mathbf{I}_{mp} = \mathbf{I}_{mp}^* \mathbf{B} \mathbf{R} \mathbf{B}' \mathbf{I}_{mp} = (\mathbf{B}' \mathbf{I}_{mp})^* \mathbf{R} (\mathbf{B}' \mathbf{I}_{mp}). \quad (36)$$

Să ne amintim că, conform relației (56) din Capitolul 2, $\mathbf{B}' \mathbf{I}_{mp} = \mathbf{I}_p$ este transformarea de contur care exprimă curenții de laturi \mathbf{I}_p prin curenții de contur. Astfel

$$\mathbf{I}_{mp}^* \mathbf{R}_m \mathbf{I}_{mp} = \mathbf{I}_p^* \mathbf{R} \mathbf{I}_p = \sum_{k=1}^b \sum_{j=1}^b R_{jk} \bar{I}_{pj} I_{pk}, \quad (37)$$

unde b este numărul laturilor din circuit. Pentru un circuit general, care nu este pasiv și este neregiproc, nu se poate spune nimic deosebit despre această formă pătratică.

Circuite reciproce, pasive

Se restringem acum considerațiile noastre la circuitele reciproce pasive. În acest caz, matricea rezistențelor de laturi este diagonală. Acum (37) devine

$$\mathbf{I}_{mp}^* \mathbf{R}_m \mathbf{I}_{mp} = \mathbf{I}_p^* \mathbf{R} \mathbf{I}_p = \sum_{k=1}^b \mathbf{R}_k |\mathbf{I}_{pk}|^2. \quad (38)$$

Știm că puterea consumată în astfel de circuite nu poate fi negativă. Prin urmare, forma pătratică trebuie să fie cel puțin semidefinită pozitiv. Aceasta va fi definită pozitiv dacă nici o rezistență de latură nu va fi zero, deoarece în acest caz, matricea diagonală \mathbf{R} va fi nesarădă. Aceeași concluzie se obține și din membrul drept din (38), dacă se ține seama că \mathbf{R}_k este nenegativ pentru orice k .

Cu aceleași argumente, pentru celelalte două forme pătratice, care cuprind parametrii inductanțelor și inversele capacităților de contur se deduce că

$$\frac{1}{2\omega^2} \mathbf{I}_{mp}^* \mathbf{D}_m \mathbf{I}_{mp} = \frac{1}{2\omega^2} \mathbf{I}_p^* \mathbf{D} \mathbf{I}_p = \frac{1}{2\omega^2} \sum_{k=1}^b D_k |\mathbf{I}_{pk}|^2, \quad (39a)$$

$$\mathbf{I}_{mp}^* \mathbf{L}_m \mathbf{I}_{mp} = \mathbf{I}_p^* \mathbf{L} \mathbf{I}_p = \sum_{k=1}^b \sum_{j=1}^b L_{jk} \bar{\mathbf{I}}_{pj} \mathbf{I}_{pk}. \quad (39b)$$

Să notăm diferențele ce apar în membrul drept al acestor două expresii. Matricea inverselor capacităților de latură este diagonală în timp ce matricea inductanțelor de latură nu este neapărat diagonală. Dacă nu există inductanțe mutuale și \mathbf{L} este de asemenea diagonală. Din nou, interpretând (34) ca energie medie înmagazinată, aceste forme pătratice trebuie să fie pozitiv semidefinite.

În scopul unor referiri mai comode, introducem notațiile :

$$F(j\omega) = \mathbf{I}_{mp}^* \mathbf{R}_m \mathbf{I}_{mp}, \quad (40a)$$

$$T(j\omega) = \frac{1}{2} \mathbf{I}_{mp}^* \mathbf{L}_m \mathbf{I}_{mp}, \quad (40b)$$

$$V(j\omega) = \frac{1}{2\omega^2} \mathbf{I}_{mp}^* \mathbf{D}_m \mathbf{I}_{mp}. \quad (40c)$$

Datorită interpretărilor lor fizice, aceste mărimi au fost numite cu un termen colectiv *funcții de energie*, deși prima nu prezintă dimensiuni de energie. Simbolurile pentru aceste funcții sînt nefericit alese, deoarece pot fi confundate cu alte mărimi notate similar; dar acestea au devenit

aproape simboluri standard în literatură, astfel că vom continua să le utilizăm.

Condiția ca $T(j\omega)$ să fie semidefinită pozitiv, impune condiții asupra mărimii inductanțelor mutuale. Dacă cuplajul mutual dintr-un circuit apare totdeauna numai între perechi de laturi, condiția de semidefinire este echivalentă cu restricția obișnuită, ca valoarea coeficientului de cuplaj să nu fie supraunitară. Dacă sînt cuplate mutual mai multe laturi, decît două, restricția coeficientului de cuplaj la valori subunitare nu este suficient de severă, pentru a asigura semidefinirea pozitivă; în acest caz, definirea pozitivă este o condiție mai severă decît cuplajul unitar. (Vezi Problema 17)

Pentru exemplificare, să considerăm circuitul din fig. 7.2. Ambele surse sînt sinusoidale, de frecvență unghiulară ω . Matricele parametrilor de contur sînt

$$\mathbf{R}_m = \begin{bmatrix} R_1 + R_3 & R_3 \\ R_3 & R_3 \end{bmatrix}, \quad \mathbf{L}_m = \begin{bmatrix} L_1 - M & \\ -M & L_2 \end{bmatrix}, \quad \mathbf{D}_m = \begin{bmatrix} D_3 & D_3 \\ D_3 & D_2 + D_3 \end{bmatrix}$$

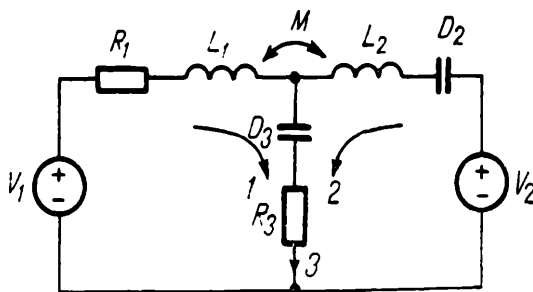


Fig. 7.2. Exemplu ilustrativ pentru funcțiile de energie.

Funcțiile de energie sînt

$$F(j\omega) = [\bar{I}_{p1} \quad \bar{I}_{p2}] \begin{bmatrix} R_1 + R_3 & R_3 \\ R_3 & R_3 \end{bmatrix} \begin{bmatrix} I_{p1} \\ I_{p2} \end{bmatrix} = R_1 |I_{p1}|^2 + R_3 |I_{p1} + I_{p2}|^2,$$

$$\begin{aligned} T(j\omega) &= \frac{1}{2} [\bar{I}_{p1} \quad \bar{I}_{p2}] \begin{bmatrix} L_1 - M & \\ -M & L_2 \end{bmatrix} \begin{bmatrix} I_{p1} \\ I_{p2} \end{bmatrix} \\ &= \frac{L_1}{2} |I_{p1}|^2 - M \operatorname{Re}(\bar{I}_{p1} I_{p2}) + \frac{L_2}{2} |I_{p2}|^2, \end{aligned}$$

$$\begin{aligned} V(j\omega) &= \frac{1}{2\omega^2} [\bar{I}_{p1} \quad \bar{I}_{p2}] \begin{bmatrix} D_3 & D_3 \\ D_3 & D_2 + D_3 \end{bmatrix} \begin{bmatrix} I_{p1} \\ I_{p2} \end{bmatrix} \\ &= \frac{D_2}{2\omega^2} |I_{p2}|^2 + \frac{D_3}{2\omega^2} |I_{p1} + I_{p2}|^2. \end{aligned}$$

Deoarece $I_{p1} + I_{p2}$ reprezintă curentul din ramura 3, termenul $R_3 |I_{p1} + I_{p2}|^2$ este puterea disipată în R_3 , iar $|I_{p1} + I_{p2}|^2 D_3 / 2\omega^2$ este energia acumulată în D_3 . Caracterul lui $T(j\omega)$, de a fi semidefinită pozitiv, nu este evident din membrul drept. Să observăm totuși că matricea \mathbf{I}_m este singulară numai pentru $L_1 L_2 - M^2 = 0$, care este și condiția de cuplaj unitar.

Rezumînd rezultatul obținut mai înainte, *matricele \mathbf{R}_m , \mathbf{L}_m și \mathbf{D}_m , ale rezistențelor, inductanțelor și elastațelor (inverselor capacităților) de contur, ale unui circuit reciproc, pasiv sînt semidefinite pozitiv*. Acest rezultat s-a obținut prin interpretarea fizică a unor forme pătratice, bazată pe o analiză în regim permanent sinusoidal.

Să revenim la ecuația inițială de contur (30) în care variabilele sînt transformate Laplace. Fără nici o legătură cu interpretarea fizică să-i premultiplicăm ambele părți cu $\mathbf{I}_m^*(s)$. Rezultatul va fi

$$\mathbf{I}_m^*(s) \mathbf{R}_m \mathbf{I}_m(s) + s \mathbf{I}_m^*(s) \mathbf{L}_m \mathbf{I}_m(s) + \frac{1}{s} \mathbf{I}_m^*(s) \mathbf{D}_m \mathbf{I}_m(s) = \mathbf{I}_m^*(s) \mathbf{E}(s). \quad (41)$$

Găsim din nou aceleași forme pătratice pe care le-am mai avut mai înainte, numai că acum variabilele sînt transformate ale curenților de contur, în loc de fazori. Formele pătratice din această ecuație nu au o interpretare energetică cum exista în (33). Totuși, *matricele acestor forme pătratice sînt identice cu precedentele*. Prin urmare aceste forme pătratice sînt semidefinite pozitiv. Vom nota, în consecință, termenii cu același simboluri ca în (40) și vom continua să îi numim funcții de energie, deși prin dimensiunile lor nu reprezintă o energie.

$$F_0(s) = \mathbf{I}_m^*(s) \mathbf{R}_m \mathbf{I}_m(s) \quad (42a)$$

$$T_0(s) = \mathbf{I}_m^*(s) \mathbf{L}_m \mathbf{I}_m(s). \quad (42b)$$

$$V_0(s) = \mathbf{I}_m^*(s) \mathbf{D}_m \mathbf{I}_m(s). \quad (42c)$$

Utilizînd aceeași notație, (41) devine

$$F_0(s) + s T_0(s) + \frac{1}{s} V_0(s) = \mathbf{I}^* \mathbf{V}. \quad (43)$$

(Notația părții din dreapta a fost modificată în două sensuri. Indicele m a fost suprimat deoarece singurii curenți care rămîn în produsul $\mathbf{I}_m^* \mathbf{E}$ sînt cei care reprezintă și curenți la o poartă. De asemenea, singurele componente ale lui \mathbf{E} nenule sînt tensiunile la poartă. Prin urmare $\mathbf{I}_m^* \mathbf{E}$ poate fi înlocuit cu $\mathbf{I}^* \mathbf{V}$, unde \mathbf{I} și \mathbf{V} sînt vectori ai mărimilor la poartă).

Să facem aici o digresiune. Toată această dezvoltare a avut ca punct de plecare ecuațiile de contur. Se poate face o altă dezvoltare, prin dualitate, pe baza ecuațiilor la nod. În locul matricelor parametrilor de contur

R_n , L_n și D_n , vor apare matricele parametrilor la nod, G_n , Γ_n și C_n , pentru conductanța, inversa inductanței și capacitatea corespunzătoare. Funcțiile de energie pot fi definite acum, în funcție de matricele acestor parametri și de vectorul tensiunilor la nod, V_n . Acestea vor avea aceeași formă ca și (42), cu V_n în loc de I_n și cu matricele parametrilor la nod în locul celor pentru parametrii de contur. Din aceasta se concludă că, *matricele G_n , C_n și Γ_n ale conductanței, capacităților și inverselor inductanțelor la nod, pentru un circuit reciproc și pasiv, sînt semidefinite pozitiv*. Se poate scrie o ecuație similară cu (43) pentru aceste noi funcții de energie, schimbînd reciproc pe V cu I . Acest mod diferit de tratare nu este necesar să fie dezvoltat, deoarece sistemul de ecuații la noduri este de fapt de prisos, pentru cele ce urmează. Totuși, la fel cum ecuațiile la nod conduc adesea la interpretări utile și la simplificarea calculelor, acest mod de abordare a problemei poate fi uneori util. Atunci cînd aceasta interesează se pot dezvolta detaliile așa cum s-a arătat.

Să examinăm din nou relația (43). Mărimile din membrul stîng sînt definite pe baza variabilelor de contur (sau prin variabilele relative la laturi, printr-o transformare de contur). În membrul drept găsim variabilele de la porți. Desigur, variabilele de tensiune și curent la poartă sînt legate între ele. Dacă această legătură este considerată în membrul drept din (43), se găsește un rezultat foarte important. Pentru legătura dintre vectorii V și I putem utiliza relația:

$$V(s) = Z_{oc}(s) I(s) \quad (44a)$$

sau

$$I(s) = Y_{sc}(s) V(s). \quad (44b)$$

Prima relație poate fi introdusă direct în (43); cea de a doua poate fi inserată după ce se ia transpusa conjugată în (43), ceea ce conduce la

$$\left(F_0 + s T_0 + \frac{1}{s} V_0 \right) = (I^* V)^*$$

sau

$$F_0 + \bar{s} T_0 + \frac{1}{\bar{s}} V_0 = V^* I. \quad (45)$$

Aceasta se obține deoarece formele pătratice sînt mărimi scalare, reale. Introducînd (44a) în (43) și (44b) în (45) se găsește

$$F_0 + s T_0 + \frac{1}{s} V_0 = I^* Z_{oc}(s) I, \quad (46a)$$

$$F_0 + \bar{s} T_0 + \frac{1}{\bar{s}} V_0 = V^* Y_{sc}(s) V. \quad (46b)$$

Din aceste expresii se deduc câteva din proprietățile fundamentale ale funcțiilor de circuit. Ne vom concentra acum asupra studiului acestor proprietăți.

Funcția de impedanță

Să considerăm mai întâi cel mai simplu multiport și anume un uniport. În acest caz, Z_{∞} este scalarul $Z(s)$, impedanța uniportului și I se reduce la scalarul, care este curentul de intrare. Din (46a) se obține expresia pentru $Z(s)$:

$$Z(s) = \frac{1}{|I(s)|^2} \{F_0(s) + sT_0(s) + \frac{1}{s} V_0(s)\}. \quad (47)$$

Să notăm că formele pătratice sînt funcțiuni de s , numai datorită faptului că curenții de contur sînt funcțiuni de s . Natura reală, semidefinită pozitiv, a formelor pătratice nu depinde de variabilele curenți, ci numai de matricele parametrilor de contur, care sînt matrice formate din constante.

Expresia precedentă poate fi separată în părțile reală și imaginară înlocuind pe s cu $\sigma + j\omega$. Astfel

$$\operatorname{Re} [Z(s)] = \frac{1}{|I(s)|^2} \left[F_0(s) + \sigma T_0(s) + \frac{\sigma}{\sigma^2 + \omega^2} V_0(s) \right] \quad (48a)$$

$$\operatorname{Im} Z(s) = \frac{\omega}{|I(s)|^2} \left[T_0(s) - \frac{V_0(s)}{\sigma^2 + \omega^2} \right]. \quad (48b)$$

Subliniem că aceste ecuații se aplică pentru orice valoare a lui s cu excepția zerourilor lui $I(s)$. Aceste două ecuații sînt extrem de importante și de aici vom deduce concluzii interesante. Pentru referiri ulterioare să formulăm aceste concluzii printr-o teoremă.

Teorema 5. *Fie $Z(s)$ impedanța de intrare a unui circuit N , reciproc, pasiv, invariabil în timp și linear. În acest caz sînt adevărate următoarele afirmații:*

- (a) Pentru orice $\sigma \geq 0$, $\operatorname{Re} [Z(s)] \geq 0$.
- (b) Dacă N nu conține nici o rezistență ($F_0(s) = 0$), atunci

$$\sigma > 0 \text{ implică } \operatorname{Re} [Z(s)] > 0,$$

$$\sigma = 0 \text{ implică } \operatorname{Re} [Z(s)] = 0,$$

$$\sigma < 0 \text{ implică } \operatorname{Re} [Z(s)] < 0.$$

(c) Dacă N nu conține nici o capacitate ($V_0(s) = 0$), atunci

$$\omega > 0 \text{ implică } \operatorname{Im} [Z(s)] > 0,$$

$$\omega = 0 \text{ implică } \operatorname{Im} [Z(s)] = 0,$$

$$\omega < 0 \text{ implică } \operatorname{Im} [Z(s)] < 0.$$

(d) Dacă N nu conține nici o bobină ($T_0(s) = 0$), atunci

$$\omega > 0 \text{ implică } \operatorname{Im} [Z(s)] < 0,$$

$$\omega = 0 \text{ implică } \operatorname{Im} [Z(s)] = 0,$$

$$\omega < 0 \text{ implică } \operatorname{Im} [Z(s)] > 0.$$

Aceste rezultate se obțin imediat din (48). Concluzia (a) stabilește că, valoarea lui $Z(s)$, corespunzătoare unei valori a lui s , situată în semiplanul drept, trebuie să fie și ea situată în semiplanul drept. Aceasta conduce la conceptul de funcții real-pozitive pe care îl vom introduce ulterior. Concluzia (b) conduce la teorema reactanțelor a lui Foster, care prezintă importanță istorică. Concluziile (c) și ((d) conduc la rezultatele lui Cauer referitoare la circuitele RL și RC .

Condiția impusă argumentului

O altă proprietate a funcției de impedanță poate fi dedusă din (43). Să reținem că $|I|^2$, F_0 , T_0 și V_0 sînt toate constante pozitive pentru orice valoare a lui s . Rezultă că $Z(s)$ se poate scrie în forma :

$$Z(s) = a_0 + a_1 s + \frac{a_2}{s}, \quad (49)$$

în care toți coeficienții sînt pozitivi. Fie $s_0 = \sigma_0 + j\omega_0$ un punct în semiplanul drept : adică $\sigma_0 > 0$ așa cum se arată în fig. 7.3. Fiecare termen din membrul drept în (49), poate fi reprezentat prin segmente de dreaptă în planul complex, așa cum se arată în fig. 7.3 *b*, pentru o valoare corespunzătoare lui s . Orice lungime ar avea aceste drepte, suma nu poate fi situată în afara sectorului hașurat arătat în fig. 7.3 *a*. Observînd în diagramă ce se întîmplă pentru un număr de valori ale unghiului lui s , inclusiv valorile 0 și $\pi/2$ radiani se obține următorul rezultat :

$$|\arg Z(s)| \leq |\arg s| \quad \text{pentru} \quad 0 \leq |\arg s| \leq \pi/2. \quad (50)$$

Aceasta pare să fie o restricție mai severă impusă impedanței decât condiția $\operatorname{Re} [Z(s)] \geq 0$ pentru $\operatorname{Re} s \geq 0$. Nu numai că $Z(s)$ trebuie să fie situat în semiplanul drept, atunci când și s este situat în semiplanul drept, dar localizarea este limitată acolo, de o condiție impusă argumentului. Totuși aceasta nu este o restricție mai severă, deoarece decurge din precedenta.

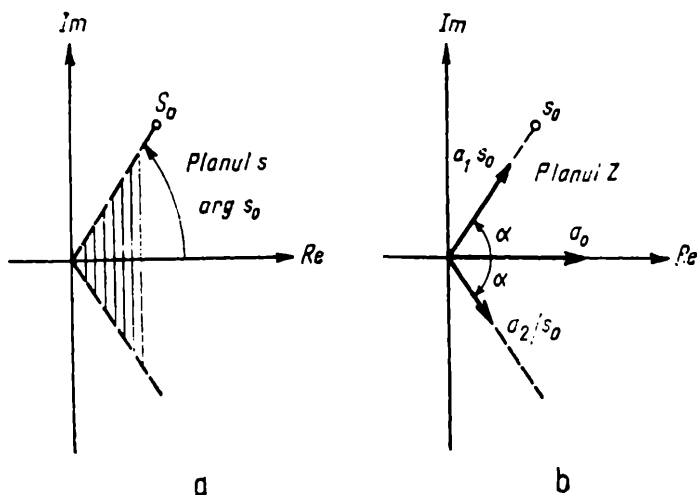


Fig. 7.3. Demonstrația că $|\arg Z| < |\arg s|$ pentru $|\arg s| < \pi/2$.

În acest paragraf am făcut referiri la o clasă de circuite și am dedus unele proprietăți pe care impedanțele de intrare ale acestor circuite le satisfac în mod necesar. Aceasta s-a făcut în baza unor considerații energetice în domeniul frecvență. Problema poate fi abordată și altfel, pornind de la definiția dată circuitelor pasive în capitolul 1 și repetată aici pentru cazul unui uniport;

$$\int_{-\infty}^t v(\tau) i(\tau) d\tau \geq 0. \quad (51)$$

Să presupunem că tensiunea și curentul la bornele unui circuit pasiv sînt

$$i(t) = 2 |I_0| \epsilon^{\sigma_0 t} \cos(\omega_0 t + \alpha) = I_0 \epsilon^{\sigma_0 t} + \bar{I}_0 \epsilon^{\bar{\sigma}_0 t}, \quad (52a)$$

$$v(t) = Z(s_0) I_0 \epsilon^{\sigma_0 t} + Z(\bar{s}_0) \bar{I}_0 \epsilon^{\bar{\sigma}_0 t}, \quad (52b)$$

unde $s_0 = \sigma_0 + j\omega_0$, cu $\sigma_0 > 0$ și $I_0 = |I_0| \epsilon^{j\alpha}$. Presupunem că aceste semnale au fost aplicate la $t = -\infty$, cînd circuitul nu avea nici un fel

de energie înmagazinată. Deoarece $\epsilon^{\sigma_0 t} = 0$ pentru $t = -\infty$, ambele semnale încep de la 0. În acest caz, nu apar probleme de regim tranzitoriu și expresiile pentru curent și tensiune reprezintă excitația și răspunsul total.

Înserind aceste expresii pentru v și i în (51) și efectuind unele calcule se obține

$$|I_0|^2 \frac{\operatorname{Re} [Z(s_0)]}{\sigma_0} \epsilon^{2\sigma_0 t} + \operatorname{Re} \left[\frac{[Z(s_0)I_0]^2}{s_0} \epsilon^{2\sigma_0 t} \right] \geq 0. \quad (53)$$

Acum să exprimăm factorul care înmulțește funcția exponențială, în ultima paranteză, prin modul și argument :

$$\frac{Z(s_0)}{s_0} \frac{I_0^2}{|s_0|} = \frac{|Z(s_0)|}{|s_0|} \frac{|I_0|^2}{|s_0|} \epsilon^{j\theta_0}. \quad (54)$$

Dacă aceasta se introduce în expresia precedentă se găsește

$$|I_0|^2 \epsilon^{2\sigma_0 t} \left[\frac{\operatorname{Re} [Z(s_0)]}{\sigma_0} + \frac{|Z(s_0)|}{|s_0|} \cos(2\omega_0 t + \theta_0) \right] \geq 0. \quad (55)$$

Cazul cel mai nefavorabil se obține atunci când cosinusul este -1 . În acest caz condiția se reduce la

$$\frac{\operatorname{Re}[Z(s_0)]}{\sigma_0} - \frac{|Z(s_0)|}{|s_0|} \geq 0,$$

sau

$$\frac{\operatorname{Re} [Z(s_0)]}{|Z(s_0)|} \geq \frac{\sigma_0}{|s_0|}. \quad (56)$$

Fiecare membru al acestei expresii este partea reală împărțită la modulul mărimii complexe, ceea ce reprezintă cosinusul unghiului corespunzător. Prin urmare

$$\cos[\arg Z(s_0)] \geq \cos[\arg s_0] \quad (57)$$

de unde urmează că

$$|\arg Z(s_0)| \leq |\arg s_0|. \quad (58)$$

Deoarece $\operatorname{Re} s_0 = \sigma_0 > 0$, acesta este tot una cu (50).

Aceasta completează stabilirea proprietăților generale care sînt necesare pentru funcția de impedanță a circuitelor pasive. Proprietăți

absolut similare se pot găsi pentru funcția de admitanță, pornind de la (46b) în loc de (46a). Astfel teorema 5 și ecuația (50) sînt adevărate atunci cînd $Z(s)$ se înlocuiește cu $y(s)$. În continuare vom defini o clasă de funcții matematice avînd aceleași proprietăți și vom cerceta comportarea acestei clase de funcții.

7.4. Funcții real-pozitive

O funcție real-pozitivă $F(s)$ este o funcție analitică de variabila complexă $s = \sigma + j\omega$, care are următoarele proprietăți:

1. $F(s)$ este regulată pentru $\sigma > 0$.
2. $F(\sigma)$ este reală.
3. $\sigma \geq 0$, implică $\operatorname{Re} [F(s)] \geq 0$.

Aceasta este o definiție matematică pentru o clasă de funcții matematice. Motivul pentru care utilizăm această definiție este faptul că o funcție de circuit care ne interesează — anume o impedanță (sau admitanță) de intrare — are aceste proprietăți. Utilizînd considerații matematice relative la funcțiile real-pozitive putem, probabil, să aflăm despre impedanțe, unele lucruri care nu rezultă numai din considerații fizice. Conceptul de funcție real-pozitivă, ca și multe din proprietățile funcțiilor real-pozitive pe care le vom prezenta, sînt datorate lui Otto Brune.

Vom arăta acum că dacă o funcție este rațională și satisface ultimele două condiții de mai sus, condiția 1 este automat satisfăcută. Vom face acest lucru arătînd că un pol de ordinul n al unei funcții raționale, reale este înconjurat de $2n$ sectoare, în care partea reală a funcției este în mod alternativ, pozitivă și negativă. Fie s_0 un pol de ordinul n al funcției raționale $F(s)$. Cazul $n = 3$ este ilustrat în fig. 7.4. În vecinătatea polului de ordinul n , funcția are o dezvoltare Laurent de forma

$$F(s) = \frac{a_{-n}}{(s - s_0)^n} + \frac{a_{-n+1}}{(s - s_0)^{n-1}} + \dots + \frac{a_{-1}}{s - s_0} + \sum_{j=0}^{\infty} a_j (s - s_0)^j. \quad (59)$$

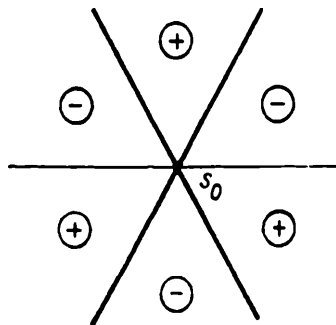


Fig. 7.4. Pol de ordinul 3.

Dacă se alege o vecinătate destul de apropiată de s_0 , primul termen al dezvoltării Laurent va fi mult mai mare, în modul, decât ceilalți; prin urmare partea reală a lui $F(s)$ va avea în această vecinătate atît valori negative cît și pozitive. Vom arăta aceasta astfel: dacă scriem

$$a_{-n} = k \varepsilon^{j\theta}, \quad (60a)$$

$$(s - s_0) = \rho \varepsilon^{j\Phi}, \quad (60b)$$

atunci

$$\operatorname{Re} \left(-\frac{a_{-n}}{(s - s_0)^n} \right) = -\frac{k}{\rho^n} \cos(\theta - n\Phi). \quad (61)$$

Deoarece θ este un unghi fix, iar Φ poate să varieze între 0 și 2π în această vecinătate, constatăm că partea reală a termenului dominant își schimbă semnul de $2n$ ori, atunci cînd Φ variază de la 0 la 2π . Prin urmare, partea reală a lui $F(s)$ își schimbă de asemenea semnul de $2n$ ori (deși nu neapărat la aceleași valori ale lui Φ , datorită celorlalți termeni din dezvoltarea Laurent).

Acum să presupunem că funcția $F(s)$ satisface ultimele două condiții din definiția funcției real-pozitive dar, are un pol în semiplanul drept. În concordanță cu ceea ce tocmai am arătat, partea reală a lui $F(s)$ va lua, în acest caz, atît valori pozitive cît și negative, ceea ce contrazice condiția 3.

Concludem că în cazul funcțiilor raționale, la care punctele singulare sînt numai poli, condiția 1 de definire a funcțiilor real-pozitive este o consecință a celorlalte două condiții și este deci nenecesară.

Pentru a înțelege mai bine definiția unei funcții real-pozitive, aceasta poate fi interpretată ca o transformare conformă. O funcție real-pozitivă $W = F(s)$ transformă axa reală s în axa reală din W și transformă semiplanul drept din s în semiplanul drept din W . Aceasta este ilustrat în fig. 7.5.

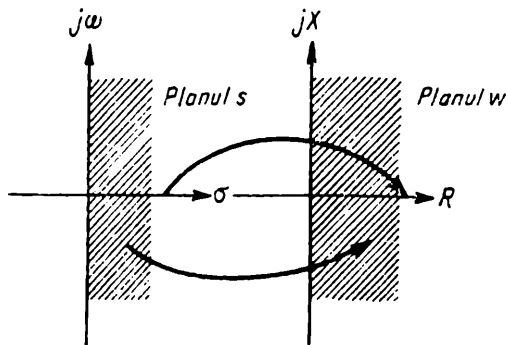


Fig. 7.5. Transformare prin funcții real-pozitive.

O consecință imediată a acestei interpretări este faptul că o funcție real-pozitivă de o funcție real-pozitivă este ea însăși real-pozitivă; adică, dacă $F_1(s)$ și $F_2(s)$ sînt rp (aceasta este prescurtarea pentru real-pozitiv), atunci

$$F_3(s) = F_1[F_2(s)] \quad (62)$$

este tot rp; pentru că semiplanul drept s devine semiplanul drept al planului F_2 , deoarece $F_2(s)$ este real-pozitivă. La fel, semiplanul drept al planului F_2 devine semiplanul drept al planului F_1 , deoarece $F_1(s)$ este real-pozitivă. Prin urmare transformarea compusă transformă semiplanul drept din s în semiplanul drept al planului F_3 . Axa reală se conservă pretutindeni.

Acesta este un rezultat util. Putem să-l utilizăm pentru a arăta că, dacă $F(s)$ este rp și $1/F(s)$, la fel ca și $F(1/s)$, sînt rp. Pentru a demonstra aceasta să observăm că

$$\frac{1}{s} = \frac{\sigma}{\sigma^2 + \omega^2} - j \frac{\omega}{\sigma^2 + \omega^2} \quad (63)$$

este o funcție rp. Acum să considerăm că $1/s$ și $F(s)$ sînt $F_1(s)$ și $F_2(s)$ în (62), în ambele moduri posibile; rezultatul căutat se obține imediat.

Din faptul că inversa unei funcții rp este ea însăși rp rezultă că, o funcție real-pozitivă nu poate avea zerouri în semiplanul drept; dacă le-ar avea, atunci inversa sa ar avea poli în semiplanul drept ceea ce este imposibil. Deoarece impedanța unui circuit reciproc, pasiv este o funcție rp, reciproca sa — admitanța — este de asemenea o funcție rp.

Din punct de vedere al transformării conforme, punctele $F(s) = 0$ și ∞ (acestea sînt zerouri și poli ai funcției), care sînt situate pe conturul limită al semiplanului drept F , nu pot fi imagini al vreunui punct interior din semiplanul drept al planului s . Să examinăm acum proprietățile care rezultă, atunci cînd alte puncte ale conturului semiplanului drept al planului F , sînt imagini ale punctelor de pe conturul semiplanului drept al planului s ; adică să considerăm că un punct de pe axa $j\omega$ este transformat de o funcție F rp, într-un punct al axei imaginare a planului F . Dacă $j\omega_0$ este punctul considerat, atunci

$$F(j\omega_0) = jX_0, \quad (64)$$

unde X_0 este real (pozitiv, negativ sau zero).

Să considerăm o vecinătate a lui $j\omega_0$ în planul s și vecinătatea corespunzătoare a lui jX_0 în planul F , așa cum este arătat în fig. 7.6. Să notăm cu s_1 un punct din semiplanul drept în această vecinătate a lui $j\omega_0$. Să

dezvoltăm acum pe $F(s)$ într-o serie Taylor în jurul lui $j\omega_0$ și să o evaluăm în $s = s_1$. Rezultatul este

$$F(s_1) - jX_0 = F^{(n)}(j\omega_0)(s_1 - j\omega_0)^n + F^{(n+1)}(j\omega_0)(s_1 - j\omega_0)^{n+1} + \dots, \quad (65)$$

unde $F^{(n)}(j\omega_0)$ este prima derivată nenulă a lui $F(s)$ în $j\omega_0$.

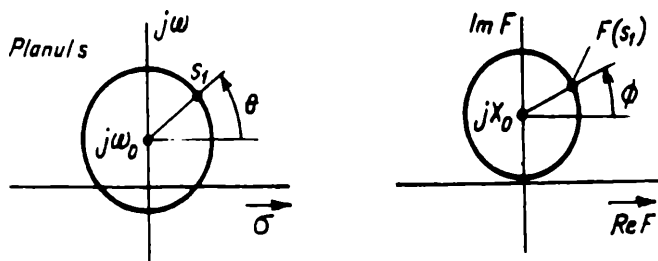


Fig. 7.6. Transformare conformă prin funcții real-pozitive.

Atunci când s_1 tinde către $j\omega_0$, termenul dominant este primul termen al membrului drept. Să definim

$$\Phi = \arg [F(s_1) - jX_0] \quad (66a)$$

$$\theta = \arg (s_1 - j\omega_0) \quad (66b)$$

$$\beta = \arg [F^{(n)}(j\omega_0)]. \quad (66c)$$

Astfel, la limită, vom găsi din (65) că :

$$\lim_{s_1 \rightarrow j\omega_0} \Phi = \beta + n \lim_{s_1 \rightarrow j\omega_0} \theta. \quad (67)$$

Dar condiția de real-pozitiv, cere ca $|\Phi| \leq \pi/2$ atita timp cît $|\theta| \leq \pi/2$. Prin urmare, din (67) concludem că

$$n = 1 \quad (68a)$$

$$\beta = 0 \quad (68b)$$

Astfel, prima derivată nenulă este derivata întâia și argumentul său este zero la $s = j\omega_0$. Acesta este un rezultat foarte important. Pentru referiri ulterioare îl vom formula ca o teoremă :

Teorema 6. Dacă un punct oarecare al axei $j\omega$ este transformat cu o funcție real-pozitivă, într-un punct al axei imaginare a planului F , atunci în acest punct derivata dF/ds este reală și pozitivă.

Din această teoremă importantă se deduc și alte consecințe. Să observăm că dacă $F(s)$ are un zero sau un pol pe axa $j\omega$, condițiile teoremei sînt satisfăcute. În cazul unui zero ($X_0 = 0$), un punct al axei $j\omega$ este transformat în originea planului F , care este situată pe axa imaginară. Prin urmare, derivata dF/ds este reală și pozitivă. Aceasta implică și faptul că zeroul este un zero simplu, deoarece la un zero de ordin mai mare, derivata întâia ar fi zero. Dacă $F(s)$ are un pol pe axa $j\omega$, funcția inversă va avea un zero în acel punct și teorema se aplică funcției inverse. Cum $d(1/F)/ds$ este evaluat într-un pol al $F(s)$, aceasta este inversa reziduului lui $F(s)$ relativ la acel pol (Vezi Apendicele 2). Aceste considerații pot fi acum formulate prin teorema care urmează.

Teorema 7. *Dacă o funcție real-positivă are poli sau zerouri pe axa $j\omega$ (inclusiv $s = 0, \infty$), acești poli sau zerouri trebuie să fie simpli. Într-un zero simplu de pe axa $j\omega$, derivata este reală și pozitivă. Într-un pol simplu pe axa $j\omega$, reziduul este real și pozitiv.*

Condiții necesare și suficiente

Pînă acum, am găsit destul de multe condiții necesare pe care o funcție real-positivă trebuie să le satisfacă. Ceea ce dorim să facem este să găsim un set de condiții necesare, care să se dovedească a fi și suficiente. Rezultatul este dat de următoarea teoremă:

Teorema 8. *O funcție rațională $F(s)$ cu coeficienți reali, este real-positivă dacă și numai dacă:*

- (a) $F(s)$ este regulată pentru $\sigma > 0$;
- (b) Poli de pe axa $j\omega$ (inclusiv cei din $s = 0, \infty$) sînt simpli și au reziduul real și pozitiv;
- (c) $\operatorname{Re} [F(j\omega)] \geq 0$ pentru orice ω , cu excepția polilor.

Necesitatea acestor condiții este evidentă din definiția unei funcții rp și din teorema 7. Rezultă că mai trebuie demonstrată suficiența acestor condiții; adică vom presupune că o funcție $F(s)$ satisface aceste condiții și vom arăta că în acest caz trebuie să fie real-positivă. Fie $\omega_1, \omega_2, \dots, \omega_k$ poli de pe axa $j\omega$ și să examinăm părțile principale, relative la acești poli. Dacă avem un pol în origine, partea principală este

$$F_0(s) = k_0/s$$

unde k_0 este real și pozitiv. Este evident că $F_0(s)$ este rp și că avem și

$$\operatorname{Re}[F_0(j\omega)] = 0.$$

În mod similar, partea principală a unui pol, posibil la infinit este

$$F_{\infty}(s) = k_{\infty}s,$$

unde k_{∞} este real și pozitiv; $F_{\infty}(s)$ este de asemenea rp și avem și :

$$\operatorname{Re}[F_{\infty}(j\omega)] = 0.$$

Oricare alți poli de pe axa $j\omega$ trebuie să apară în perechi conjugate și cu reziduuri conjugate deoarece $F(s)$ este o funcție reală. Deoarece reziduurile sînt reale prin ipoteză, cele două reziduuri sînt egale. Luînd părțile principale în polii conjugati $j\omega_i$ și $-j\omega_i$ împreună, obținem :

$$F_i(s) = \frac{k_i}{s - j\omega_i} + \frac{k_i}{s + j\omega_i} = \frac{2k_i s}{s^2 + \omega_i^2},$$

unde k_i este real și pozitiv. Această funcție este de asemenea real pozitivă și mai are proprietatea că

$$\operatorname{Re}[F_i(j\omega)] = 0.$$

(Observăm că $F_0(s)$ este impedanța unei capacități, $F_{\infty}(s)$ cea a unei bobine, iar $F_i(s)$ cea a unui circuit rezonant, derivație).

Astfel putem să extragem din funcția dată $F(s)$, părțile principale pentru toți polii săi de pe axa $j\omega$. Funcția care rămîne $F_r(s)$ mai are proprietatea (c) enunțată prin teoremă; deci

$$\operatorname{Re}[F_r(j\omega)] = \operatorname{Re}[F(j\omega)] \geq 0. \quad (69)$$

Funcția rest $F_r(s)$ este o funcție regulată în semiplanul drept și pe întregul său contur, care este axa $j\omega$ inclusiv punctul de la infinit. Pentru o astfel de funcție, valoarea minimă a părții reale considerată în domeniul de regularitate, se găsește pe contur. Aceasta se poate arăta utilizînd teorema modulului-maxim (vezi Apendicele 2), în modul următor. Fie $G(s) = e^{-F_r(s)}$. Această funcție va avea același domeniu de regularitate ca și $F_r(s)$. Prin urmare, în concordanță cu teorema modulului maxim, valoarea maximă a lui $G(s)$, pentru orice $\sigma \geq 0$ este situată pe axa $j\omega$. Deoarece

$$|G(s)| = e^{-\operatorname{Re}[F_r(s)]} \quad (70)$$

cea mai mare valoare a lui $G(s)$ va corespunde celei mai mici valori a lui $\operatorname{Re}[F_r(s)]$. Aceasta demonstrează tocmai ceea ce doream; că valoarea minimă a lui $\operatorname{Re}[F_r(s)]$, pentru orice $\sigma \geq 0$ este situată pe axa $j\omega$. Deoarece

conform (69) această valoare este nenegativă, partea reală a lui $F_r(s)$ trebuie să fie nenegativă oriunde în semiplanul drept; adică

$$\operatorname{Re}[F_r(s)] \geq 0 \quad (\sigma \geq 0).$$

Deoarece, în plus, $F_r(\sigma)$ este real, concludem că $F_r(s)$ este o funcție real-pozitivă. Putem acum să scriem

$$F(s) = F_r(s) + k_\infty s + \frac{k_0}{s} + \sum_i \frac{2k_{is}}{s^2 + \omega_i^2}. \quad (71)$$

Am arătat că fiecare termen din partea dreaptă este rp. Se poate arăta, în mod simplu, că suma a două (sau mai multe) funcții rp este ea însăși rp. Prin urmare $F(s)$ este real-pozitivă. Aceasta completează demonstrația de suficiență a condițiilor stabilite. Deoarece reciproca unei funcții rp este de asemenea rp, putem să restabilim aceste condiții necesare și suficiente în funcție de zerourile lui $F(s)$.

Teorema 9. *O funcție rațională reală $F(s)$ este real-pozitivă dacă și numai dacă;*

- (a) $F(s)$ nu are zerouri în $\sigma > 0$.
- (b) Zerourile de pe axa $j\omega$ (inclusiv $s = \infty$) sînt simple și cu derivate reale și pozitive.
- (c) $\operatorname{Re}[F(j\omega)] \geq 0$ pentru orice ω (cu excepția polilor).

Această teoremă rezultă direct din cea precedentă, dacă ne reamintim că reziduul unei funcții într-un pol simplu este inversul derivatei funcției inversate.

În verificarea caracterului real-pozitiv al unei funcții date, poate să nu fie totdeauna necesar să se utilizeze condițiile, necesare și suficiente menționate în cele două teoreme precedente. Uneori este posibil să se elimine unele funcții, în baza unor considerații directe, din cauză că nu sînt îndeplinite unele condiții necesare foarte simple. Să discutăm cîteva din aceste condiții.

Am văzut că o funcție real-pozitivă nu are nici poli nici zerouri în semiplanul s din dreapta. Am definit anterior un *polinom Hurwitz*, ca un polinom fără zerouri în semiplanul s din dreapta. Această definiție permite existența zerourilor pe axa $j\omega$. Constatăm că, cu această terminologie, o funcție real-pozitivă este raportul a două polinoame Hurwitz.

Factorii care constituie un polinom Hurwitz trebuie să aibă una din următoarele forme: $(s+a)$ pentru zerouri reale sau (s^2+as+b) pentru o pereche de zerouri complexe, cu a fiind nenegativ și b fiind pozitiv. Dacă un număr oarecare de astfel de factori se înmulțesc, rezultatul trebuie să fie un polinom ai cărui coeficienți sînt nenegativi. Prin urmare,

exceptând *toți* factorii care includ zerourile de pe axa $j\omega$, *toți* coeficienții polinomului vor fi strict pozitivi. Dacă introducem condiția suplimentară, ca zerourile de pe axa $j\omega$ să fie simple, se găsește că, atunci când toate zerourile sînt pe axa $j\omega$; unii coeficienți vor fi zero ¹⁾ dar coeficienții care rămîn vor fi tot strict pozitivi. Deși aceasta este o condiție necesară pentru ca un polinom să fie Hurwitz, ea nu este suficientă, așa cum se demonstrează, în mod simplu, cu contraexemplul următor

$$(s^2 - s + 4)(s + 2) = s^3 + s^2 + 2s + 8. \quad (72)$$

Polinomul din dreapta conține toate puterile lui s și toți coeficienții sînt pozitivi deși are o pereche de zerouri în semiplanul drept.

Prin urmare dacă o funcție rațională candidează pentru caracterul real-pozitiv, acest criteriu poate fi utilizat ca un test negativ. Dacă numărătorul sau numitorul polinomului au vreun coeficient negativ, sau puteri ale lui s care lipsesc (altfel decît toți coeficienții termenilor pari, sau impari, menționați mai înainte), funcția poate fi respinsă. Pe de altă parte, dacă este admisă de test, nu se poate spune încă nimic precis despre funcție.

Un alt test simplu rezultă din faptul că o funcție real-pozitivă nu poate avea mai mult decît un pol simplu, sau un zero simplu, în zero sau la infinit (care sînt pe axa $j\omega$). Aceasta cere ca cea mai mare putere a lui s de la numărător și de la numitor să nu difere cu mai mult decît o unitate; și în mod similar pentru puterile mai mici.

Pentru exemplificare vom considera cîteva funcții raționale și vom vedea dacă pot fi examinate rapid ca nesatisfăcînd unele condiții necesare pentru funcțiile real-pozitive.

Funcția	Observația
$F(s) = \frac{s^2 + 2s + 2}{s + 1}$	Nu mai mult decît un pol simplu la infinit; coeficienți pozitivi. Poate fi real-pozitivă.
$F(s) = \frac{s^4 + 3s^2 + 2s + 2}{s^3 + 4s^2 + s + 2}$	Coeficientul termenului cubic lipsește. Nu este real-pozitivă.
$F(s) = \frac{s + 2}{s^3 + 5s^2 + 3s + 1}$	Zero dublu la infinit. Nu este real-pozitivă.
$F(s) = \frac{s^3 + 2s}{s^3 + 5s^2 + 2s + 5}$	Lipsește coeficienți ai unor termeni la numărător, dar numai cei ai puterilor pare. Poate să fie real-pozitivă. (În realitate este).
$F(s) = \frac{(s + 1)(s + 3)(s + 4)}{(s + 2)^3}$	Nu are coeficienți negativi sau nuli, dar există un pol triplu în $s = -2$ ceea ce poate părea particular. Nu este eliminată. (În realitate este real-pozitivă).

¹⁾ Polinoamele avînd numai zerouri simple și în perechi conjugate pe axa imaginară care pot fi considerate polinoame Hurwitz în sens larg, sînt impare, dacă au un zero în origine (ex.: $s(s^2 + 1)(s^2 + 4) = s^5 + 5s^3 + 4s$ și pare atunci cînd nu conțin zeroul din origine (ex.: $(s^2 + 1)(s^2 + 4) = s^4 + 5s^2 + 4$). (N.T.).

Proprietatea argumentului unei funcții real-pozitive

O proprietate importantă a impedanței unui circuit pasiv, găsită mai înainte, a fost proprietatea argumentului, dată în (50). Această proprietate poate fi demonstrată matematic, fără a se recurge la considerații de energie, numai din definiția dată funcției real-pozitive. Totuși demonstrația, deși directă este cam lungă, de aceea nu va fi dată dar va fi enunțată printr-o problemă. Presupunând că relația (50) este adevărată pentru o funcție $F(s)$ reală, urmează că $F(s)$ este real-pozitivă.

$$\operatorname{Re}[F(s)] = |F(s)| \cos[\arg F(s)]$$

$$\geq |F(s)| \cos[\arg s] \geq 0 \quad \left(0 \leq |\arg s| \leq \frac{\pi}{2} \right).$$

Această proprietate a argumentului este nu numai necesară ci și suficientă. O vom enunța aici sub forma unei teoreme.

Teorema 10. *O funcție rațională, reală, $F(s)$ este real-pozitivă dacă și numai dacă*

$$|\arg F(s)| \leq |\arg s| \quad \left(0 \leq |\arg s| \leq \frac{\pi}{2} \right). \quad (73)$$

Funcții real-limitate

De funcția real-pozitivă se poate lega, printr-o transformare bilineară, o altă funcție. Funcția care se obține astfel posedă unele proprietăți interesante. Să considerăm următoarea transformare bilineară:

$$W(s) = \frac{1 - F(s)}{1 + F(s)} \quad \text{sau} \quad F(s) = \frac{1 - W(s)}{1 + W(s)}. \quad (74)$$

Correspondența între planele F și W este arătată în fig. 7.7. Semiplanul drept al planului F este transformat în interiorul cercului unitate din planul W . Axa $j\omega$ devine conturul cercului unitate.

Dacă $F(s)$ este o funcție ip, valorile din semiplanul drept al lui s , se transformă în valori în semiplanul drept al lui F și astfel sînt transformate în interiorul cercului unitate din planul W . Dacă $s = j\omega$, $F(j\omega)$ ia valori situate în semiplanul drept sau pe axa jX și acestea devin valori în interiorul, sau pe conturul, cercului unitate din planul W . Prin urmare, dacă $F(s)$ este ip și $W(s)$ este legat de F prin (74), atunci

$$|W(j\omega)| \leq 1. \quad (75)$$

Acum să considerăm polii lui $W(s)$. Din (74), aceștia se găsesc acolo unde $F(s) = -1$. Valorile lui s pentru care relația este adevărată nu pot să fie situate în semiplanul drept închis, deoarece dacă $F(s)$ este rp, aceasta ar însemna că $\operatorname{Re} F < 0$ pentru $\operatorname{Re} s \geq 0$. Prin urmare $W(s)$ trebuie să fi regulată atât în semiplanul drept cit și pe axa $j\omega$.

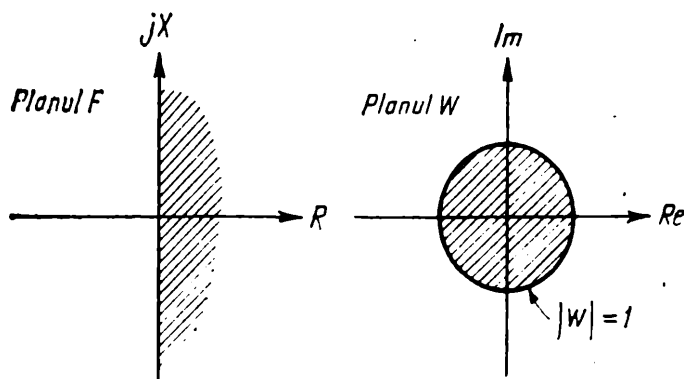


Fig. 7.7. Corespondența transformării bilineare.

O funcție $W(s)$ care are aceste proprietăți și anume: $W(s)$ este regulată în semiplanul drept închis și $|W(j\omega)| \leq 1$, se numește *real-limitată*. Astfel, o transformare bilineară a unei funcții real-pozitive este *real-limitată*. Reciproca este și ea adevărată adică: o transformare bilineară a unei funcții *real-limitată* este *real-positivă*. Cîteva considerații fiind făcute, demonstrația rămîne în seama cititorului.

Această legătură dintre o funcție *real-limitată* și o funcție *real-positivă* conduce la o concluzie interesantă. Să presupunem că o funcție rp este scrisă astfel

$$F(s) = \frac{m_1(s) + n_1(s)}{m_2(s) + n_2(s)}, \quad (76)$$

unde m_1 și m_2 sînt polinoame pare, iar n_1 și n_2 sînt impare. Atunci, transformarea bilineară (74) ne dă:

$$W(s) = \frac{(m_2 - m_1) + (n_2 - n_1)}{(m_2 + m_1) + (n_2 + n_1)}. \quad (77)$$

Pătratul modulului $|W(j\omega)|^2$ devine

$$|W(j\omega)|^2 = \frac{(m_2 - m_1)^2 - (n_2 - n_1)^2}{(m_2 + m_1)^2 - (n_2 + n_1)^2} \Big|_{s=j\omega} \leq 1. \quad (78)$$

Acum să presupunem că m_1 și m_2 se schimbă între ele; valoarea lui $|W(j\omega)|$, nu va fi desigur afectată așa cum se observă din (78) și nici polii lui $W(s)$, așa cum se observă din (77), deși zerourile lui $W(s)$ se modifică. Să numim noua funcție obținută din $W(s)$, prin schimbarea reciprocă a m_1 cu m_2 , $\hat{W}(s)$. Evident, aceasta este o funcție real-limitată. Din (77) se găsește că \hat{W} este:

$$\hat{W}(s) = \frac{(m_1 - m_2) + (n_2 - n_1)}{(m_2 + m_1) + (n_1 + n_2)}. \quad (79)$$

Prin transformare bilineară se găsește funcția $\hat{F}(s)$ corespunzătoare

$$\hat{F}(s) = \frac{m_2(s) + n_1(s)}{m_1(s) + n_2(s)}. \quad (80)$$

Aceasta este chiar funcția $F(s)$ de la care s-a pornit, care are acum părțile pare de la numărător și numitor schimbate între ele. Deoarece $\hat{F}(s)$ este o transformare bilineară a unei funcții real-limitată, ea este rp. Inversa lui $\hat{F}(s)$ este tot rp. Dar inversa lui \hat{F} este tot $F(s)$, cu $n_1(s)$ și $n_2(s)$ schimbate între ele. Concluzia este dată prin teorema următoare:

Teorema 11. *Dacă într-o funcție real-pozitivă, puterile pare sau puterile impare de la numărător și numitor, sînt schimbate între ele se obține tot o funcție real-pozitivă.*

Funcția părții reale

Deoarece partea reală a unei funcții rp joacă un rol atît de important, vom examina comportarea părții reale a unei astfel de funcții pe axa $j\omega$. Să ne amintim că partea reală a funcției F , considerată pe axa j este partea pară evaluată pentru $s = j\omega$, adică:

$$R(\omega) = \operatorname{Re}[F(j\omega)] = \operatorname{Par}[F(s)]_{s=j\omega} = \frac{1}{2} [F(j\omega) + F(-j\omega)] \quad (81)$$

astfel că, constatările făcute despre partea pară pot fi imediat interpretate prin intermediul părții reale pe axa $j\omega$.

Se știe că $R(\omega)$ este în mod necesar o funcție pară de ω și că este nenegativă pentru orice ω . În mod simplu, se poate arăta că partea pară a lui $F(s)$ nu poate avea poli pe axa $j\omega$. Orice poli ai părții pare vor fi și poli ai lui $F(s)$; dar fiind situați pe axa $j\omega$ aceștia trebuie să fie simpli. Considerînd pe $F(s)$ dezvoltat în fracții parțiale ca în (71), funcția $F(s)$

va conține aceiași termeni, dar toți cei care includ polii de pe axa $j\omega$ vor avea semnul negativ. Prin urmare, atunci cînd se formează partea pară $F(s) + F(-s)$ aceștia toți se vor anula iar funcția va rezulta fără poli pe axa $j\omega$. Interpretînd aceasta prin prisma proprietăților părții reale înseamnă că $R(\omega)$ trebuie să fie limitată la orice ω .

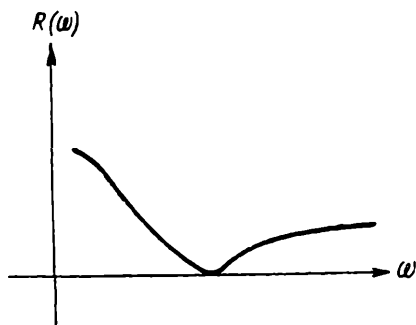


Fig. 7.8. Representarea părții reale a unei funcții real-pozitive.

Acum să considerăm un zero posibil pentru $R(\omega)$. Fig. 7.8 arată o reprezentare a lui $R(\omega)$ în vecinătatea unui zero. Datorită cerințelor relative la caracterul real-positiv, $R(\omega)$ trebuie să rămână pozitivă de ambele părți ale zeroului. Urmează că zeroul lui $R(\omega)$ de pe axa ω nu poate fi de multiplicitate impară, ci trebuie să aibă multiplicitate pară.

Am determinat aici unele condiții necesare pentru partea reală, a unei funcții real-pozitive, considerată pe axa j . Să enunțăm un set de condiții necesare și suficiente printr-o teoremă.

Teorema 12. *O funcție reală $R(\omega)$ de o variabilă reală ω este partea reală a unei funcții real-pozitive $F(s)$, considera pe axa j , dacă și numai dacă*

- (a) $R(\omega)$ este o funcție rațională pară cu coeficienți reali
- (b) $R(\omega)$ este limitată la orice ω .
- (c) $R(\omega) \geq 0$ pentru orice ω .

Am văzut deja că aceste condiții sînt necesare. De fapt, în Capitolul 6 s-a demonstrat, printr-o construcție de funcție, că pentru a găsi o funcție $F(s)$ rațională reală, dintr-un $R(\omega)$, condițiile (a) și (b) sînt suficiente. Dacă și condiția (c) este satisfăcută, aceasta este suficient pentru ca funcția respectivă să fie o funcție real-positivă.

7.5. FUNCȚII DE REACTANȚĂ

Să ne concentrăm acum asupra unor tipuri speciale de funcții real-pozitive. Acestea apar atunci cînd se consideră circuite cu numai două tipuri de elemente (LC , RC , RL). Istoriceste, aceste circuite au fost studiate înaintea altora mai generale, începînd cu lucrarea din 1924, datorată lui Foster.

Vom considera la început un circuit fără rezistențe. Astfel de circuite se cunosc ca circuite *nedisipative*, sau *reactive*. În teorema 5 am notat că impedanța de intrare într-un circuit fără pierderi este pur imaginară pe axa $j\omega$; adică avem $\operatorname{Re} [Z(j\omega)] = 0$. Formulind aceasta prin intermediul unei transformări, impedanța unui circuit nedisipativ, transformă

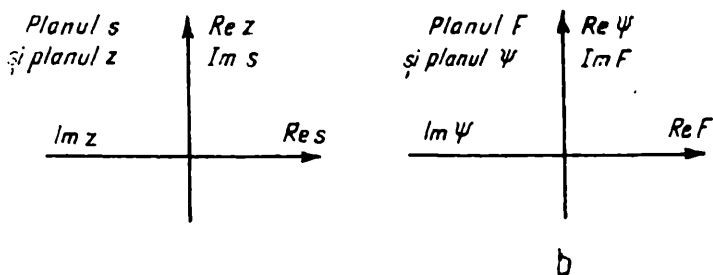


Fig. 7.9. Transformare care rotește axele cu $\pi/2$ radiani.

axa imaginară a planului s , în axa imaginară a planului Z . După ce am observat această proprietate a impedanței unui circuit, vom reveni în matematică și vom lua această proprietate ca bază de definiție. Vom formula următoarea definiție: *O funcție de reactanță este o funcție real-positivă care transformă axa imaginară în axă imaginară*. În această terminologie impedanța de intrare într-un circuit fără pierderi este o funcție de reactanță.

Să stabilim acum câteva proprietăți ale funcțiilor de reactanță. În primul rând vom arăta că polii și zerourile unei funcții de reactanță sînt situați numai pe axa $j\omega$.

Pentru a demonstra această teoremă, să observăm că, la fel cu o funcție care transformă axa reală în axa reală, și care este simetrică în raport cu axa reală [de ex. $F(\bar{s}) = \overline{F(s)}$]; o funcție care transformă axa imaginară în axa imaginară este simetrică în raport cu axa imaginară. Pentru a vedea clar acest lucru să rotim cele două plane (planul s și planul F) în sensul acelor de ceasornic cu $\pi/2$ radiani. Realizăm aceasta dacă defini-

$$z = \frac{s}{j}, \quad (82a)$$

$$\psi(z) = \frac{1}{j} F(jz). \quad (82b)$$

Aceste transformări sînt arătate în fig. 7.9. Să observăm că axa reală devine axă imaginară și viceversa. Un caz similar se obține pentru cealaltă transformare. Dacă z este real, argumentul lui $F(jz)$ este imaginar,

astfel că prin ipoteză $F(j\omega)$ va fi de asemenea imaginar. Prin urmare $\psi(z)$ va fi real dacă z este real. Aceasta rezultă din proprietatea de reflexie dată de relația (6) din capitolul 6 astfel că

$$\psi(\bar{z}) = \bar{\psi}(z) \quad (83)$$

Dacă acum revenim, prin transformarea, din (82), această relație devine

$$F(-\bar{s}) = -\bar{F}(s) \quad (84)$$

Observăm că punctul $-\bar{s}$ este imaginea punctului s , în raport cu axa imaginară. Un caz similar se obține pentru punctele $-\bar{F}$ și F . Rezultă că în concordanță cu (84) punctele imagini în raport cu axa imaginară din planul s , devin puncte imagini în raport cu axa imaginară a planului F .

Rezultă că dacă $F(s)$ are un pol sau un zero în semiplanul stâng, atunci punctul imagine din semiplanul drept este de asemenea un pol, sau un zero, ceea ce nu este posibil pentru o funcție rp. Deci, *polii și zerourile unei funcții de reactanță trebuie să fie situați numai pe axa $j\omega$.*

Să revenim pentru un moment la teorema 6. Acolo am văzut că dacă o funcție rp transformă un punct situat pe axa $j\omega$ într-un punct de pe axa imaginară, atunci derivata funcției în acel punct este reală și pozitivă. Dar conform teoremei 5, o funcție de reactanță transformă întreaga axă $j\omega$ în axa imaginară a planului F . Prin urmare, pentru o astfel de funcție proprietatea pentru derivată va fi adevărată în toate punctele de pe axa $j\omega$ (cu excepția polilor). Pe aceasta se bazează o altă proprietate foarte importantă și anume: *polii și zerourile unei funcții de reactanță alternează pe axa $j\omega$; adică, între doi poli oarecare există un zero și între două zerouri oarecare există un pol.*

Așa cum s-a mai constatat, teorema 6 se aplică în toate punctele de pe axa $j\omega$ cu excepția polilor. Prin urmare derivata dF/ds evaluată la $s = j\omega$ este reală și pozitivă. Să calculăm derivata în lungul axei $j\omega$, ceea ce este posibil deoarece derivata există. Se găsește

$$\left. \frac{dF}{ds} \right|_{s=j\omega} = \frac{dF(j\omega)}{d(j\omega)} = \frac{d[jX(\omega)]}{d(j\omega)} = \frac{j dX(\omega)}{j d\omega} = \frac{dX(\omega)}{d\omega} > 0. \quad (85)$$

Am utilizat notația uzuală $F(j\omega) = R(\omega) + jX(\omega)$ și deoarece F este aici o funcție de reactanță, $R(\omega)$ este zero. Observăm că $X(\omega)$ este o funcție reală de o variabilă reală. Rezultă că, dacă nu avem nici un pol între două zerouri ale lui $X(\omega)$, derivata ar deveni negativă undeva între ele ceea ce, tocmai am arătat, că este imposibil. O concluzie similară se aplică pentru poli succesivi. Fig. 7.10 ilustrează forma pe care $X(\omega)$ ar trebui să o aibă, dacă nu ar avea polii și zerourile alternați.

Proprietatea pe care am demonstrat-o este numită *alternanța polilor și zerourilor*. Din această proprietate rezultă clar că diagrama pentru $X(\omega)$ trebuie să aibă forma generală din fig. 7.11.

Deoarece $X(\omega)$ este o funcție impară iar alternanța polilor și zerourilor trebuie să aibă loc pe întreaga axă imaginară (la valori ω pozitive și negative), rezultă că *punctul $s = 0$ este un zero sau un pol pentru o funcție de reactanță*.

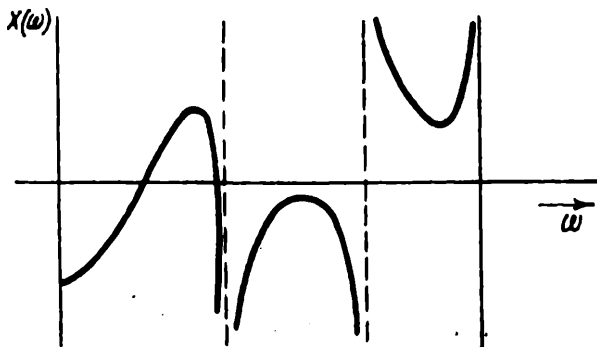


Fig. 7.10. Comportare nepermisă pentru o funcție de reactanță.

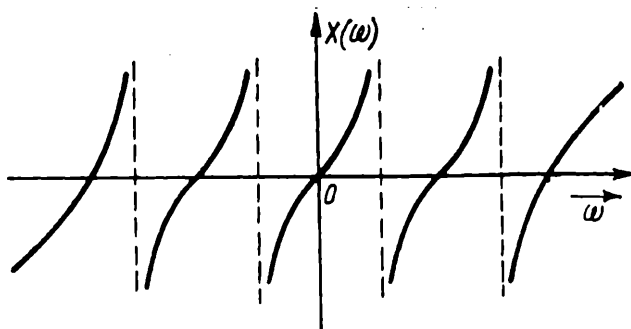


Fig. 7.11. Comportarea unei funcții de reactanță.

Observăm că dacă $F(s)$ este o funcție rp care transformă axa $j\omega$ în axă imaginară și $F(1/s)$ este de același tip. Cu transformarea $s \rightarrow 1/s$ punctul ∞ din planul s , devine origine în planul $1/s$. Deci, utilizând rezultatul precedent găsim, că *pentru o funcție de reactanță punctul $s = \infty$ este un zero, sau un pol*.

Am discutat câteva proprietăți ale funcției de reactanță. Vom observa de asemenea că, unele proprietăți generale ale funcțiilor rp, se aplică în mod particular funcțiilor de reactanță. Astfel, deoarece am arătat că polii și zerourile unei funcții rp, care sînt situați pe axa $j\omega$, sînt simpli și că reziduurile în acești poli sînt reale și pozitive, vom trage concluzia

că *toți* polii și *toate* zerourile unei funcții de reactanță sint simple și că reziduul în oricare din poli este real și pozitiv.

Acum sintem în situația de a consolida rezultatele noastre cu privire la funcțiile de reactanță și de a stabili condițiile necesare și suficiente, pentru ca o funcție rațională de s , să fie o funcție de reactanță.

Teorema 13. *O funcție rațională, reală, $\psi(s)$, este o funcție de reactanță dacă și numai dacă;*

1. *Toți polii săi sînt situați pe axa $j\omega$;*
2. *Toate reziduurile sînt reale și pozitive;*
3. *Funcția are un pol sau un zero în $s = 0$ și $s = \infty$ ¹⁾ și*
4. *Re $\psi(j\omega) = 0$ pentru orice ω .*

Observăm că acest enunț se referă numai la poli și la rezidui, nu și la zerouri. Am arătat că aceste condiții sint necesare, rămîne să arătăm că acestea sint și suficiente; adică, presupunînd că o funcție rațională satisface condițiile formulate, trebuie să rezulte că funcția este practic o funcție de reactanță. Aceasta se poate arăta, în modul cel mai simplu, considerînd dezvoltarea în fracții parțiale a unei astfel de funcții. Dacă combinăm cîte doi termeni, datorati polilor conjugați, cea mai generală formă a dezvoltării în fracții parțiale va fi ²⁾.

$$\psi(s) = \frac{k_0}{s} + k_\infty s + \sum_{i=1}^n -\frac{2k_i s}{s^2 + \omega_i^2}, \quad (86)$$

unde sumarea se face asupra tuturor polilor și toate k -urile sint pozitive. Desigur, polul din origine, sau de la infinit, sau ambele, pot să lipsească. Această expresie coincide cu (71) avînd $F_r(s) = 0$, deoarece în cazul de față nu există poli decît pe axa $j\omega$. Rezultatul căutat se obține îndată. Fiecare termen din această expresie este imaginar la valori imaginare ale lui s , astfel că $\psi(s)$ transformă axa imaginară în axă imaginară, ceea ce face ca $\psi(s)$ să fie prin definiție o funcție de reactanță.

Proprietatea de alternanță a polilor și zerourilor formează baza unui alt set de condiții necesare și suficiente formulate astfel:

Teorema 14. *O funcție rațională, reală de s este o funcție de reactanță dacă și numai dacă toți polii și zerourile sale sînt simple, situate pe axa $j\omega$ și alternează.*

Și în acest caz am demonstrat că o funcție de reactanță îndeplinește cu necesitate aceste condiții. Rămîne să arătăm că aceste condiții sint

¹⁾ Condiția 3 este în mod necesar satisfăcută, dacă 1, 2 și 4 sint satisfăcute. (N.T.).

²⁾ În absența condiției 4 din teorema 13, în dezvoltarea (86) poate să apară un termen constant. Condiția 4 este necesară pentru eliminarea acestei constante.

suficiente. O funcție rațională care satisface condițiile date trebuie să aibă forma următoare :

$$\psi(s) = K \frac{s(s^2 + \omega_1^2)(s^2 + \omega_3^2) \cdots (s^2 + \omega_{2n-1}^2)}{(s^2 + \omega_0^2)(s^2 + \omega_2^2) \cdots (s^2 + \omega_k^2)}, \quad (87)$$

în care

$$0 \leq \omega_0 < \omega_1 < \omega_2 < \omega_3 < \cdots < \omega_{2n-2} < \omega_{2n-1} < \omega_{2n} < \infty, \quad (88)$$

În (87) K este o constantă pozitivă iar $k = 2n-2$ sau $2n$ după cum $\psi(s)$ are un zero sau un pol la infinit. Dacă $\psi(s)$ are un pol în $s = 0$, luăm pe ω_0 egal cu zero. În acest caz se anulează un factor s . Rezultatul căutat se găsește imediat. Fiecare factor pătratic, de pol sau zero, din (87) este real cînd s este imaginar. Aceasta înseamnă că datorită factorului s , $\psi(s)$ este imaginar la s imaginar. Prin urmare, $\psi(s)$ este o funcție de reactanță prin definiție.¹⁾

Realizarea funcțiilor de reactanță

La începutul acestei discuții am arătat că impedanța de intrare într-un circuit nedisipativ este în mod necesar o funcție de reactanță. Să notăm că și admitanța de la intrare într-un circuit nedisipativ este tot o funcție de reactanță, adică

$$Y(s) = 1/Z(s) \quad (89)$$

este de asemenea imaginară pentru valorile imaginare ale lui s care fac pe $Z(s)$ imaginară.

Se pune acum întrebarea dacă reciproca acestei condiții este și ea adevărată; cu alte cuvinte dacă o funcție de reactanță dată este impedanța (sau admitanța) de intrare a vreunui circuit nedisipativ? Pentru a răspunde la această întrebare afirmativ, trebuie să construim un circuit nedisipativ care să aibă ca impedanță sau admitanță funcția de reactanță dată. La această întrebare, Foster a răspuns în 1924 prin celebra sa teoremă a reactanței (deși nu în forma dată aici).

Teorema 15. *O funcție rațională de s este o funcție de reactanță dacă și numai dacă reprezintă impedanța sau admitanța de intrare a unui circuit fără pierderi.*

¹⁾ S-ar părea că, acest argument cere numai ca, $\psi(s)$ să fie o funcție rațională impară : un raport de două polinoame pare cu un factor s suplimentar la numărător sau numitor. Dar pe lângă faptul că funcția de reactanță transformă axa imaginară în axa imaginară această funcție trebuie să fie și rp. O funcție rațională și impară care nu are proprietatea de alternanță nu va fi rp.

Suficiența a fost deja stabilită. Rămîne să arătăm că dîndu-ne o funcție de reactanță, aceasta este în mod necesar impedanța sau admitanța unui circuit nedisipativ. Pentru a arăta aceasta să revenim la dezvoltarea în fracții parțiale a funcției de reactanță dată în (86). Putem să recunoaștem în fiecare termen al sumei din dezvoltarea în fracții parțiale, impedanța sau admitanța unei reactanțe cu schema foarte simplă. Schemele sînt arătate în fig. 7.12. Astfel, dacă $\psi(s)$ trebuie să fie o impedanță,

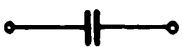


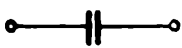
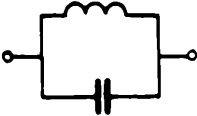
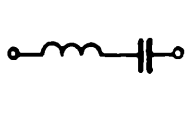
Funcția	Reprezentarea circuitului	
	Impedanța	Admitanța
$\frac{k_0}{s}$	 $C = 1/k_0$	 $L = 1/k_0$
$k_\infty s$	 $L = k_\infty$	 $C = k_\infty$
$\frac{2k_i s}{s^2 + \omega_i^2}$	 $L = 2k_i/\omega_i^2$ $C = 1/2k_i$	 $C = 2k_i/\omega_i^2$ $L = 1/2k_i$

Fig. 7.12. Reprezentarea termenilor din dezvoltarea în fracții parțiale.

putem să o reprezentăm ca pe o combinație serie de uniporturi elementari, ca cei din coloana 2, a fig. 7.12. Dacă $\psi(s)$ trebuie să fie o admitanță, putem să o reprezentăm ca pe o combinație paralel de uniporturi elementari, ca cei din coloana 3. Schemele circuitelor obținute sînt arătate în fig. 7.13. Ele sînt numite prima și a doua schemă Foster.

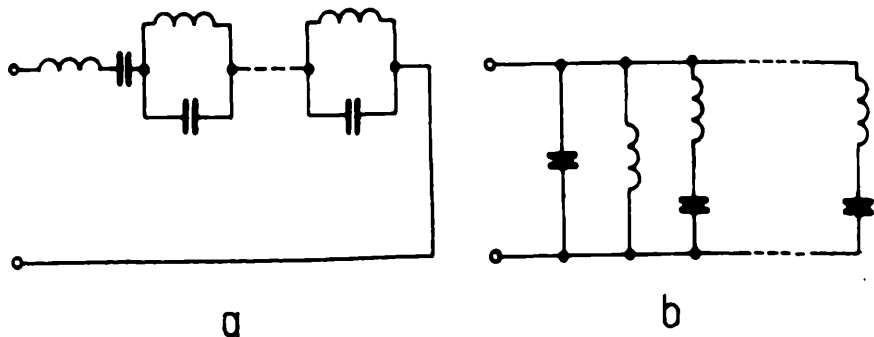


Fig. 7.13. Schemele Foster ale uniporturilor nedisipativi.

Teorema este complet demonstrată. Am găsit că o reactanță dată poate fi atit impedanța cît și admitanța unui circuit nedisipativ (bineînțeles, nu pentru același circuit).

Să exemplificăm acest rezultat cu funcția care urmează. Fie

$$Z(s) = \frac{4(s^2 + 1)(s^2 + 9)}{s(s^2 + 4)} = 4s + \frac{9}{s} + \frac{15s}{s^2 + 4} \quad (90 \ a)$$

sau

$$Y(s) = \frac{s(s^2 + 4)}{4(s^2 + 1)(s^2 + 9)} = \frac{1}{32} \left(\frac{3s}{s^2 + 1} + \frac{5s}{s^2 + 9} \right) \quad (90 \ b)$$

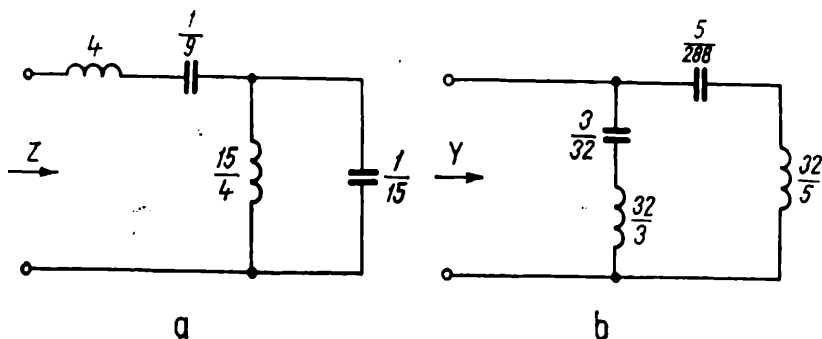


Fig. 7.11. Realizări de circuite reactive.

În prima funcție se recunoaște că termenul $4s$ reprezintă impedanța unei bobine de patru unități. La fel, $9/s$ reprezintă impedanța unei capacități de $(1/9)$ — unități. (Unitățile nu sînt Henry sau Farad, deoarece se presupune că funcția este normalată.) Impedanța unei ramuri LC în paralel este

$$Z = \frac{s/C}{s^2 + \frac{1}{LC}}.$$

Rezultă, direct prin comparație, că valorile L și C trebuie să fie $C = \frac{1}{15}$, $L = \frac{15}{4}$. Circuitul va avea schema din fig. 7.14 a.

Admitanța din (90.b) este formată din doi termeni și fiecare poate să fie realizat printr-o bobină cu o capacitate în serie. Admitanța unui astfel de circuit serie acordat este

$$Y = \frac{s/L}{s^2 + \frac{1}{LC}}.$$

Rezultă că valorile L și C pentru fiecare din cele două laturi pot fi găsite comparând această expresie cu fiecare din termenii numerici ai funcției date. Rezultatul este prezentat în fig. 7.14 b.

Cele două circuite obținute sînt complet echivalente la bornele lor. Nici o măsurătoare nu va arăta diferențe între ele.

Schema circuitelor în scară

Circuitele Foster nu sînt singurele circuite care pot să realizeze o funcție dată. (Există de fapt un număr infinit de scheme diferite.)

Înainte de a generaliza, să prezentăm o altă variantă posibilă pentru exemplul tratat. Impedanța din (90) are un pol la infinit. Dacă acest pol este extras în întregime din $Z(s)$, funcția care rămîne nu va mai avea un pol la infinit deci, va avea un zero la infinit. Astfel

$$\begin{aligned} Z_1(s) &= Z(s) - 1s = \frac{4(s^2 + 1)(s^2 + 9)}{s(s^2 + 4)} - 1s = \frac{24s^2 + 36}{s^3 + 4s} \\ &= \left(\frac{s^3 + 4s}{24s^2 + 36} \right)^{-1} = \left(\frac{s}{24} + \frac{5s/2}{24s^2 + 36} \right)^{-1} \end{aligned}$$

Scăderea lui $1s$ din impedanță presupune de fapt extragerea unei bobine de patru unități din circuit, așa cum se arată în fig. 7.15 a, rămînînd un circuit cu impedanța Z_1 . Acum, inversa lui Z_1 va avea un pol la infinit. Acest pol poate fi complet extras scăzînd $s/24$ ceea ce ne dă

$$Y_2 = Y_1 - \frac{s}{24} = \frac{5s/2}{24s^2 + 36} = \left(\frac{24s^2 + 36}{5s/2} \right)^{-1} = \left(\frac{48s}{5} + \frac{72}{5s} \right)^{-1}.$$

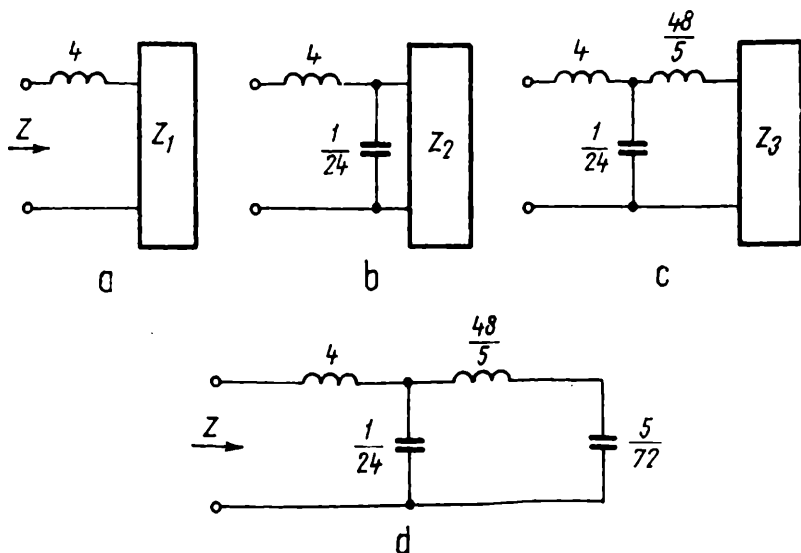


Fig. 7.15. Realizarea unei impedanțe cu un circuit în scară.

Operația echivalentă scăderii lui $s/24$ din admitanță, este extragerea unei capacități de $1/24$ unități, în paralel cu bornele de intrare în Z_1 , așa cum se arată în fig. 7.15 b. Admitanța Y_2 , rămasă după această extragere, nu are nici un pol la infinit, dar inversa Z_2 are acest pol. Acesta poate fi extras rezultînd:

$$Z_3 = Z_2 - \frac{48s}{5} = \frac{72}{5s}$$

$$Y_3 = \frac{5}{72} \cdot s.$$

Scăderea unei impedanțe de $48s/5$ este echivalentă cu extragerea în circuit, a unei bobine de $48/5$ unități, așa cum se arată în fig. 7.15 c. Impedanța Z_3 care rămîne este destul de simplă, pentru a fi identificată cu o capacitate. Circuitul final este arătat în fig. 7.15 d.

Acesta este de forma unui circuit în scară.

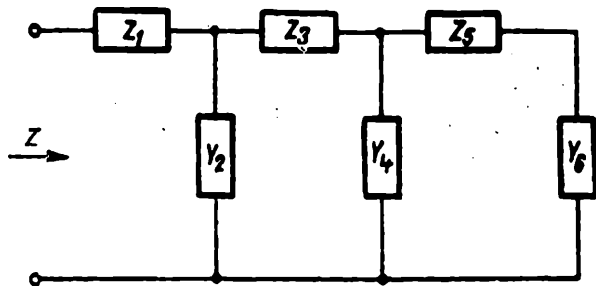


Fig. 7.16. Circuit în scară cu impedanțele de laturi arbitrare.

În fig. 7.16 este arătat un circuit în scară avînd impedanțe de laturi arbitrare. Impedanța acestuia poate fi scrisă în formă de fracție continuă:

$$Z = Z_1 + \cfrac{1}{Y_2 + \cfrac{1}{Z_3 + \cfrac{1}{Y_4 + \cfrac{1}{Z_5 + \cfrac{1}{Y_6}}}}} \quad (91)$$

În exemplul tratat mai înainte, s-a urmărit de fapt, etapă cu etapă, o dezvoltare în fracție continuă, în care fiecare funcție Z_i și Y_i din (91) să fie de forma ks , unde k reprezintă o inductanță sau o capacitate.

Dezvoltarea operează exclusiv asupra polului de la infinit extrăgând acest pol, alternativ, din impedanță și apoi din admitanța care rămîne. Rezultatul acestui proces, pentru o funcție de reactanță arbitrară, va conduce la forma de circuit arătată în fig. 7.17 a.

O altă dezvoltare în fracție continuă se poate obține, operînd asupra polului din origine, $s = 0$. Dezvoltarea se realizează extrăgînd polul din $s = 0$, în mod alternativ, din impedanță și apoi din admitanța care rămîne, pînă cînd funcția este dezvoltată.¹⁾

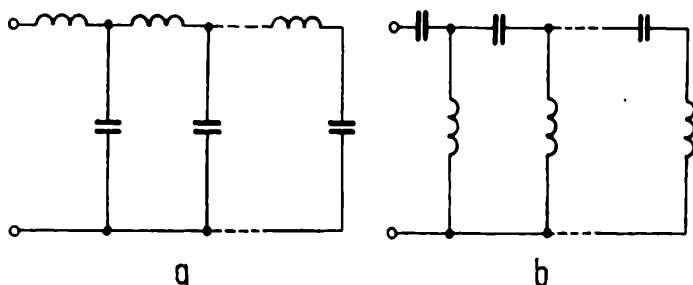


Fig. 7.17. Prima și a doua schemă Cauer, pentru circuite nedisipative, în scară.

Pentru exemplul tratat mai înainte dezvoltarea este :

$$\begin{aligned}
 Z(s) &= \frac{4(s^2 + 1)(s^2 + 9)}{s(s^2 + 4)} = 9/s + \frac{4s^3 + 31s}{s^2 + 4} = 9/s + \frac{1}{4/31s + \frac{15s/31}{4s^2 + 31}} \\
 &= 9/s + \frac{1}{4,31s + \frac{1}{961/15s + \frac{1}{15/124s}}}
 \end{aligned}$$

Rezultatul este cel din fig. 17 b cu primele patru elemente fiind $C_1 = 1/9$, $L_2 = 31/4$, $C_3 = 15/961$ și $L_4 = 124/15$.

Rezumînd, am arătat că impedanța și admitanța unui circuit fără pierderi sînt funcții de reactanță și reciproc, dîndu-se o funcție de reactanță se poate găsi un număr de circuite, a căror impedanță sau admitanță să fie egală cu funcția de reactanță dată.

¹⁾ Funcția de reactanță poate fi realizată și prin sinteza Foster-Cauer aplicînd componentelor funcției de reactanță metodele de sinteză Foster sau Cauer, într-o succesiune aleasă arbitrar (vezi de exemplu Weinberg, L.: *Network Analysis and Synthesis*, Mc. Graw-Hill, New York, 1962 pp. 408–409.) Sinteza după Foster și Cauer conduce totdeauna la scheme canonice cu număr minim de elemente. Pe lîngă acestea, există o mulțime de alte circuite fizice, cu alte scheme electrice, care realizează o funcție de reactanță dată și care pot să aibă, sau să nu aibă, numărul minim de elemente de circuit (N. T.).

Polinoame Hurwitz și funcții de reactanță

Am găsit că o funcție de reactanță este funcție rațională impară, raportul dintre un polinom impar și unul par, sau viceversa, așa cum se constată în (87). Dacă notăm polinoamele par și impar cu $m(s)$ și respectiv cu $n(s)$, atunci o funcție de reactanță $\psi(s)$ poate fi scrisă ca :

$$\psi(s) = \frac{m(s)}{n(s)} \text{ sau } \frac{n(s)}{m(s)} \quad (92)$$

unde m și n nu au factori comuni.

Acum, să considerăm conectarea în paralel a unui circuit nedisipativ cu o rezistență de 1 Ohm. Considerind că $\psi(s)$ este admitanța circuitului nedisipativ, impedanța circuitului paralel va fi :

$$Z(s) = \frac{1}{1 + \psi(s)} = \frac{n(s)}{m(s) + n(s)} \text{ sau } \frac{m(s)}{m(s) + n(s)}, \quad (93)$$

unde $\psi(s)$ este exprimat prin (92). Impedanța acestui circuit RLC va fi rp și regulată pe axa $j\omega$; rezultă că polii săi nu pot să fie situați în semiplanul drept și pe contur. Polinomul $m+n$ din (93) este deci un polinom strict Hurwitz. Acest rezultat este foarte util. Vom formula această concluzie și reciprocă sa printr-o teoremă.

Teorema 16. *Dacă $P(s) = m(s) + n(s)$ este un polinom Hurwitz, atunci raportul m/n este o funcție de reactanță. Reciproc, dacă raportul între părțile pară și impară a unui polinom este o funcție de reactanță, atunci $P(s)$ diferă de un polinomial strict Hurwitz, cel mult printr-un polinom par de multiplicare¹⁾.*

Această teoremă ne oferă mijloace pentru a verifica ușor, dacă o funcție rațională dată este regulată în semiplanul drept, așa cum se cere pentru o funcție real-pozitivă. Vom lua raportul între părțile pară și impară (sau raportul invers) ale polinomului de la numitor și îl vom dezvolta în fracție continuă sau prin fracții parțiale. Pentru exemplificare să considerăm :

$$P(s) = 2s^4 + 5s^3 + 6s^2 + 3s + 1,$$

$$m(s) = 2s^4 + 6s^2 + 1,$$

$$n(s) = 5s^3 + 3s.$$

¹⁾ O demonstrație este subliniată prin problema 43 propusă spre rezolvare. O altă demonstrație se găsește în: Norman Balabanian, *Network Synthesis*, Prentice-Hall, Englewood, Cliffs, N.Y. 1958, pp. 77-81.

Acum să formăm raportul m/n și să-l dezvoltăm în fracție continuă. Rezultatul va fi:

$$\frac{m}{n} = \frac{2s^4 + 6s^2 + 1}{5s^3 + 3s} = \frac{2s}{5} + \frac{1}{\frac{25s}{24} + \frac{1}{\frac{576s}{235} + \frac{1}{\frac{47s}{24}}}}$$

Elementele din circuitul fără pierderi, corespunzător acestei dezvoltări în fracție continuă, vor fi toate pozitive. Rezultă că m/n este o funcție de reactanță iar $P(s)$ este un polinom strict Hurwitz. În acest exemplu s-a presupus, fără a se face o analiză în detaliu că, polinomul par de multiplicare nu apare. Pentru a verifica aceasta există un criteriu care va rezulta din exemplul următor.

Să considerăm alt exemplu

$$P(s) = s^5 + 2s^4 + 3s^3 + 6s^2 + 4s + 8,$$

$$m = 2s^4 + 6s^2 + 8,$$

$$n = s^5 + 3s^3 + 4s.$$

Atunci

$$\frac{n}{m} = \frac{s^5 + 3s^3 + 4s}{2s^4 + 6s^2 + 8} = \frac{s}{2} + 0.$$

Observăm că $n/m = s/2$ este o funcție de reactanță, dar dezvoltarea în fracție continuă s-a terminat prematur deoarece apare un polinom

$$s^4 + 3s^2 + 4 = (s^2 - s + 2)(s^2 + s + 2)$$

care este factor comun atât în partea pară cât și în cea impară. Acesta este un polinom par, care are două zerouri în semiplanul drept și două în cel stâng. Polinomul inițial este:

$$P(s) = (s + 2)(s^4 + 3s^2 + 4)$$

și este produsul dintre un polinom Hurwitz și un polinom par, în concordanță cu teorema.

Rezumind: atunci cînd se dă un polinom $P(s) = m(s) + n(s)$ și dorim să detectăm prezența unui polinom par, ca factor de multiplicare, notăm că acesta este factor comun al părților pară și impară. Rezultă că atunci cînd se ia raportul și se face dezvoltarea în fracție continuă, prezența unui astfel de factor par este semnalată prin terminarea prematură a dezvoltării.

7.6. IMPEDANȚELE ȘI ADMITANȚELE UNOR CIRCUITE RC

Să tratăm acum un alt tip de circuite cu două elemente și anume circuitele RC. Am putea, dacă am dori, să purtăm o discuție completă asupra acestui caz fără să ne referim la circuitele LC. Totuși aceasta ar fi o pierdere de timp, deoarece este posibil să corelăm funcțiile de impedanță cu ajutorul unor transformări potrivite. Acest procedeu a fost utilizat pentru prima dată de Cauer care a extins lucrarea lui Foster la circuitele RC și RL.

Fie $Z(s)$ impedanța de intrare într-un circuit N de tip RC. Alegînd în mod uzual contuurile, să notăm matricea impedanțelor de contur a lui N cu

$$Z_m(s) = [c_{ij}(s)], \quad (94)$$

unde elementele matricei sînt

$$c_{ij}(s) = R_{ij} + \frac{1}{sC_{ij}}. \quad (95)$$

Să înlocuim fiecare rezistență din N printr-o inductanță de valoare egală (R Ohm devine R Henry). Atunci matricea impedanțelor de contur pentru noul circuit N' devine:

$$\zeta_m(s) = \left[sR_{ij} + \frac{1}{sC_{ij}} \right] = \left[s \left(R_{ij} + \frac{1}{s^2 C_{ij}} \right) \right] = sZ_m(s^2). \quad (96)$$

Impedanța de intrare în circuitul N' se găsește ca o soluție a ecuațiilor de contur corespunzătoare; aceasta va fi raportul dintre $\det(\zeta_m)$ și unul din primii săi cofactori principali. Impedanța circuitului N va fi egală cu raportul între $\det(Z_m)$ și unul din primii săi cofactori principali. Dar ζ_m și Z_m sînt legate prin relația (96). Prin urmare, dacă ne amintim care este efectul înmulțirii unei matrice cu un scalar s , asupra determinantului său, vom găsi că impedanța circuitului N' va fi

$$\psi(s) = sZ(s^2).$$

Circuitul N' conține numai bobine și capacități astfel că, în ultima ecuație, $\psi(s)$ reprezintă o funcție de reactanță. Astfel, am găsit că impedanța unui circuit RC poate fi transformată într-o funcție de reactanță, dacă se înlocuiește s cu s^2 și apoi se înmulțește cu s .

Ar fi interesant de știut dacă și reciproca este adevărată, adică dintr-o funcție de reactanță $\psi(s)$, putem să o transformăm într-o impedanță de circuit RC cu o transformare inversă? Pentru a realiza aceasta să considerăm că funcția de reactanță este dezvoltată în fracții parțiale așa cum s-a arătat în (86). Să împărțim expresia cu s și să înlocuim pe s cu \sqrt{s} . (Aceasta este inversa transformării utilizate). Rezultatul va fi:

$$\begin{aligned} \frac{1}{\sqrt{s}} \psi(\sqrt{s}) &= \frac{1}{\sqrt{s}} \left(\frac{k_0}{\sqrt{s}} + k_\infty \sqrt{s} + \sum_i \frac{2k_i \sqrt{s}}{s + \omega_i^2} \right) \\ &= \frac{k_0}{s} + k_\infty + \sum_i \frac{2k_i}{s + \omega_i^2}. \end{aligned}$$

Fiecare termen din dreapta poate fi identificat cu o schemă simplă RC . Termenul k_0/s este o capacitate; k_∞ este o rezistență. Fiecare din termenii ceilalți reprezintă impedanța unei laturi formată din R în paralel cu C , având expresia $(1/C)(s + 1/RC)$. Valorile pentru R și C se obțin comparând cele două expresii. De fapt, avem circuitul din fig. 12, coloana 2, cu bobinele înlocuite prin rezistențe. Pentru o referire mai comodă să formulăm acest rezultat după cum urmează:

Teorema 17. Dacă $Z_{RC}(s)$ este impedanța de intrare a unui circuit RC atunci

$$\psi(s) = s Z_{RC}(s^2) \quad (97)$$

este o funcție de reactanță. Reciproc, dacă $\psi(s)$ este o funcție de reactanță, atunci

$$Z_{RC}(s) = \frac{1}{\sqrt{s}} \psi(\sqrt{s}) \quad (98)$$

este impedanța de intrare într-un circuit RC .

Să considerăm acum admitanța unui circuit RC . Utilizând (98) aceasta poate fi exprimată prin:

$$Y_{RC}(s) = \sqrt{s} \frac{1}{\psi(\sqrt{s})}.$$

Dar inversa unei funcții de reactanță este tot o funcție de reactanță. Rezultă că, avînd dată o funcție de reactanță $\psi(s)$ se poate obține o admitanță RC dacă înlocuim pe s cu \sqrt{s} și apoi înmulțim cu \sqrt{s} . Pentru o referire mai comodă vom formula aceasta astfel:

Teorema 18. *Dacă $Y_{RC}(s)$ este admitanța unui circuit RC, atunci*

$$\psi(s) = \frac{1}{s} Y_{RC}(s^2) \quad (99)$$

este o funcție de reactanță. Reciproc, dacă $\psi(s)$ este o funcție de reactanță atunci

$$Y_{RC}(s) = \sqrt{s} \psi(\sqrt{s}). \quad (100)$$

este admitanța de intrare într-un circuit RC.

Aici găsim o diferență fundamentală între funcțiile de reactanță și funcțiile impedanță și admitanță RC . În timp ce inversa unei funcții de reactanță este din nou un membru al aceleiași clase de funcții, inversa unei impedanțe RC este un membru al clasei admitanțelor RC și viceversa.

Cu transformările precedente, putem să transferăm toate proprietățile funcțiilor de reactanță în proprietăți ale impedanțelor și admitanțelor RC . Procedeu de stabilire a acestor rezultate este destul de simplu. Pentru început, să aplicăm (98) și (100) dezvoltării în fracții parțiale a unei funcții de reactanță dată prin (86). Cu modificările corespunzătoare în notarea polilor și a reziduurilor rezultatul va fi

$$Z_{RC}(s) = k_{\infty} + \frac{k_0}{s} + \sum_i \frac{k_i}{s + \sigma_i}, \quad (101)$$

$$Y_{RC}(s) = k_{\infty} s + k_0 + \sum_i \frac{k_i s}{s + \sigma_i}, \quad (102)$$

unde k -urile și valorile σ sînt toate reale și pozitive. Să remarcăm că am utilizat aceleași notații pentru reziduuri și poli în ambele cazuri, dar acestea sînt expresii generale pentru două clase de funcțiuni care nu se presupun corelate.

Ecuatia (102) nu este o dezvoltare în fracții parțiale a funcției $Y_{RC}(s)$. Aceasta ar fi mai curînd dezvoltarea lui $Y_{RC}(s)/s$, după care rezultatul a fost înmulțit cu s . Dacă relația (102) se împarte cu s găsim o formă identică cu (101). Aceasta ne arată că o funcție de admitanță RC împărțită cu s

este o impedanță RC. Constatăm că polii acestor funcțiuni sînt reali și negativi pe cînd reziduurile lui Z_{RC} și Y_{RC}/s sînt toate pozitive.

Diferențiind ultimele două ecuații în lungul axei reale ($s = \sigma$), vom obține un rezultat care corespunde proprietății funcției de reactanță de a avea o pantă pozitivă, adică

$$\frac{dZ_{RC}(\sigma)}{d\sigma} < 0, \quad (103 a)$$

$$\frac{dY_{RC}(\sigma)}{d\sigma} > 0 \quad (103 b)$$

Astfel curbele funcțiilor RC de intrare, reprezentate pentru valori reale ale lui s sînt monotone; $Z_{RC}(\sigma)$ este strict descrescătoare, pe cînd $Y_{RC}(\sigma)$ este strict crescătoare. Ca și în cazul funcțiilor de reactanță, aceasta implică faptul că zerourile și polii ambelor funcțiuni trebuie să alterneze, în acest caz pe axa reală negativă.

Diagramele unor funcții de intrare RC, tipice, sînt reprezentate în fig. 7.18 și fig. 7.19, pentru valori reale ale lui s . În fig. 7.18 primul pol de lîngă origine, poate de fapt să se deplaseze în origine făcînd astfel ca $F(0)$ să fie infinită. De asemenea, ultimul zero de pe axa reală negativă se poate deplasa la infinit, făcînd pe $F(\infty)$ să devină zero. La fel, în fig. 7.19, primul zero poate să fie în origine și astfel $F(0)$ devine zero. De asemenea, ultimul pol se poate deplasa la infinit făcînd pe $F(\infty)$ să devină infinit.

Să adunăm acum toate aceste rezultate în cîteva teoreme. Teoremele 19 și 20 sînt pentru impedanțe RC; teoremele 21 și 22 pentru admitanțe RC.

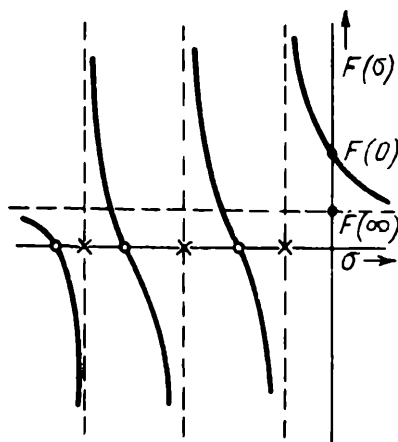


Fig. 7.18. Funcție $Z_{RC}(\sigma)$, tipică.

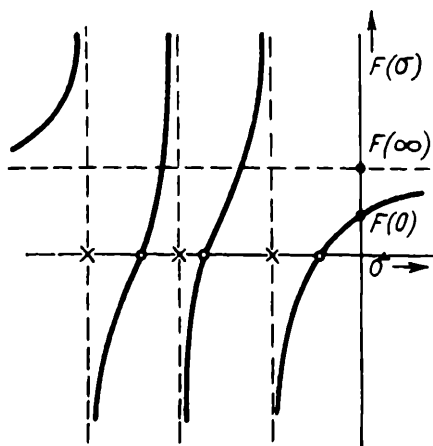


Fig. 7.19. Funcție $Y_{RC}(\sigma)$, tipică.

Teorema 19. O funcție rațională $F(s)$ este impedanța de intrare a unui circuit RC dacă și numai dacă toți polii săi sînt simpli și situați pe axa reală negativă la valori finite (inclusiv $s = 0$), cu reziduuri reale și pozitive în toți polii și cu $F(\infty)$ real și nenegativ. (Aceasta corespunde teoremei 13 pentru funcțiile de reactanță.)

Teorema 20. O funcție rațională $F(s)$ este impedanța de intrare a unui circuit RC, dacă și numai dacă, toți polii și toate zerourile sînt simple, situate alternînd reciproc pe axa reală negativă, iar primul punct critic (pol sau zero) care se întîlnește pe axa reală negativă, atunci cînd ne deplasăm pe această axă începînd din origine, este un pol. (Aceasta corespunde teoremei 14 pentru funcțiile de reactanță.)

Teorema 21. O funcție rațională $F(s)$ este admitanța de intrare a unui circuit RC, dacă și numai dacă, toți polii săi sînt simpli și restrînși pe axa reală negativă (exclusiv punctul $s=0$, dar inclusiv punctul de la infinit), cu $F(0)$ real și nenegativ și cu toate reziduurile lui $F(s)/s$ reale și pozitive.

Teorema 22. O funcție rațională $F(s)$ este admitanța de intrare a unui circuit RC, dacă și numai dacă, toți polii și toate zerourile sînt simple, situate alternînd reciproc pe axa reală negativă, iar primul punct critic (pol sau zero) care se întîlnește pe axa reală negativă, atunci cînd ne deplasăm pe această axă începînd din origine, este un zero. (Singura diferență, între această teoremă pentru admitanțe și teorema 20 pentru impedanțe, este ultimul cuvînt.)

Am sugerat modul în care aceste teoreme pot fi demonstrate în discuțiile precedente. Putem să facem demonstrațiile ca pe un exercițiu.

Am stabilit cîteva seturi de condiții necesare și suficiente pentru ca o funcție rațională să fie impedanța sau admitanța de intrare într-un circuit uniport RC. În general, atunci cînd se dorește să se demonstreze suficiența unui set de condiții pentru ca o funcție dată să fie funcția de

intrare (sau de transfer) a unui circuit aparținând unei clase de circuite. se arată că se poate găsi un circuit (cel puțin unul) din clasa considerată. care să aibă funcția de circuit dată. În cazul de față am legat demonstrația de cea din cazul funcțiilor de reactanță, arătând că funcția dată poate fi transformată totdeauna într-o funcție de reactanță. Această funcție poate deci să fie realizată ca un circuit LC . Circuitul RC căutat se obține făcând transformarea inversă. Aceasta înseamnă că înlocuim fiecare L din circuitul LC cu un R de valoare egală.


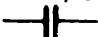

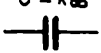
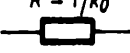
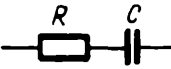
Z_{RC}	$k_{\infty} = R$	$k_0/s = \frac{1}{Cs}$	$\frac{k}{s+\sigma} = \frac{1/C}{s+1/RC}$
			 $C = 1/k$ $R = k/\sigma$
Y_{RC}	$k_{\infty}s = Cs$	$k = \frac{1}{R}$	$\frac{k_s}{s+\sigma} = \frac{s/R}{s+1/RC}$
			 $R = 1/k$ $C = k/\sigma$

Fig. 7.20. Realizări de tip Foster ale circuitelor RC .

Putem să procedăm și altfel operind chiar asupra funcției date, dezvoltind-o în fracții parțiale așa cum am făcut pentru funcțiile de reactanță. Am obținut pînă acum formele dorite în (101) și (102). Fiecare termen din aceste expresii poate fi recunoscut ca impedanță sau admitanță a unui circuit RC simplu. Conectarea acestor circuite în serie sau în derivație (depinzînd dacă funcția trebuie să fie impedanță sau admitanță) conduce la rezultatul dorit. Circuitul va avea aceeași schemă ca și în schemele Foster pentru circuite nedisipative arătate în fig. 7.12. Din acest motiv aceste circuite se numesc realizări Foster ale circuitelor RC , deși Cauner a fost primul care a obținut aceste rezultate. În fig. 7.20 se arată realizarea termenilor din (101) și (102).

Pentru exemplificare, să presupunem că funcția dată este

$$Z(s) = \frac{2(s+2)(s+4)}{(s+1)(s+3)} = 2 + \frac{3}{s+1} + \frac{1}{s+3}.$$

Polii sînt reali, negativi și simpli, reziduurile sînt pozitive așa cum se constată din dezvoltarea în funcții parțiale. Termenul constant poate fi identificat cu o rezistență de două unități. Termenul $3/(s+1)$ reprezintă o latură RC în paralel. În fig. 7.20 $C = 1/3$ și $R = 3$. Ultimul ter-

men are aceeași formă ca și al doilea și poate fi realizat prin același tip de latură. Realizarea completă este dată în fig. 7.21 a.

Să considerăm acum inversa funcției date :

$$Y(s) = \frac{(s+1)(s+3)}{2(s+2)(s+4)} = \frac{1}{16} \left(3 + \frac{2s}{s+2} + \frac{3s}{s+4} \right).$$

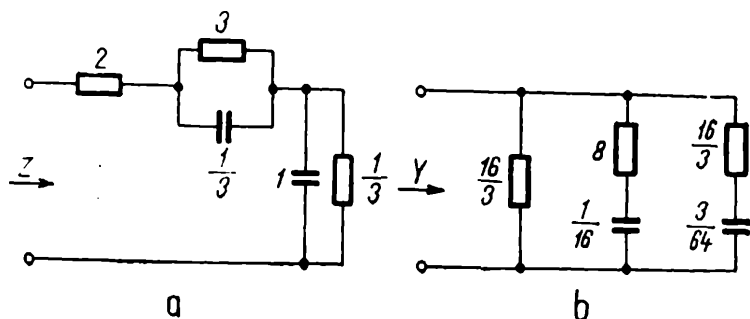


Fig. 7.21. Realizarea unei funcții date prin circuite RC.

Partea din dreapta se obține printr-o dezvoltare prealabilă a lui $Y(s)/s$ în fracții parțiale, urmată de o înmulțire cu s . Utilizând schemele din fig. 7.20 se obține circuitul din fig. 7.21 b. Se poate constata ușor că ambele circuite au aceeași impedanță.

Realizarea circuitelor în scară

Utilizând transformări convenabile, s-a stabilit o corespondență reciprocă între funcțiile de reactanță și funcțiile impedanțelor de intrare RC, deci, este de așteptat ca fiecare metodă de realizare a funcției de reactanță să poată fi utilizată pentru realizarea funcțiilor RC. Circuitele Foster au fost deja obținute. Circuitele în scară (de tip Cauer) pot fi și ele obținute dezvoltând Z_{RC} și Y_{RC} în fracții continue. Nu vom prezenta dezvoltarea în detaliu a cazului general, deoarece aceasta este oarecum evidentă. În locul acestuia se va prezenta o exemplificare, pornind de la aceeași funcție pentru care s-au obținut anterior, schemele Foster. Există unele diferențe specifice în dezvoltarea lui Z_{RC} sau Y_{RC} în fracție continuă, în comparație cu cazul funcțiilor de reactanță, deoarece Z_{RC} nu poate avea un pol la infinit, iar Y_{RC} nu poate avea un pol în origine. De asemenea (vezi problema P31.) cea mai mică valoare a părții reale se obține la valori ale lui s diferite în cazul Z_{RC} , față de cazul Y_{RC} .

Referindu-ne la $Z(s)$ dat mai înainte, dacă se face dezvoltarea în fracție continuă, relativă la comportarea în frecvență de la infinit, se obține, în etape, expresia

$$\begin{aligned}
 Z(s) &= \frac{2s^2 + 12s + 16}{s^2 + 4s + 3} = 2 + \frac{1}{\frac{s^2 + 4s + 3}{4s + 10}} = \\
 &= 2 + \frac{1}{\frac{\frac{s}{4} + \frac{1}{8s+20}}{\frac{1}{3s+1}}} = 2 + \frac{1}{\frac{\frac{s}{4} + \frac{1}{8s+20}}{\frac{1}{\frac{8}{3} + \frac{1}{\frac{3s+1}{5s^2/3}}}}} = \\
 &= 2 + \frac{1}{\frac{\frac{s}{4} + \frac{1}{1}}{\frac{1}{\frac{8}{3} + \frac{1}{\frac{6s}{52} + \frac{1}{5s^2/3}}}}}
 \end{aligned}$$

Circuitul în scară corespunzător este arătat în fig. 7. 22 a.

O altă realizare se obține pornind de la admitanță și considerând comportarea la frecvența zero. Astfel se găsește

$$\begin{aligned}
 Y(s) &= \frac{3 + 4s + s^2}{16 + 12s + 2s^2} = \frac{3}{16} + \frac{1}{\frac{16 + 12s + 2s^2}{\frac{7}{4}s + \frac{5}{8}s^2}} = \frac{3}{16} + \frac{1}{\frac{64}{7s} + \frac{1}{\frac{14 + 5s}{35s^2/7 + 16s}}} \\
 &= \frac{3}{16} + \frac{1}{\frac{64}{7s} + \frac{1}{\frac{49}{176} + \frac{3s/11}{176/7 + 8s}}} = \frac{3}{16} + \frac{1}{\frac{64}{7s} + \frac{1}{\frac{49}{176} + \frac{1}{\frac{1936}{21s} + \frac{1}{3/88}}}}
 \end{aligned}$$

Circuitul corespunzător este arătat în fig. 7.22b.

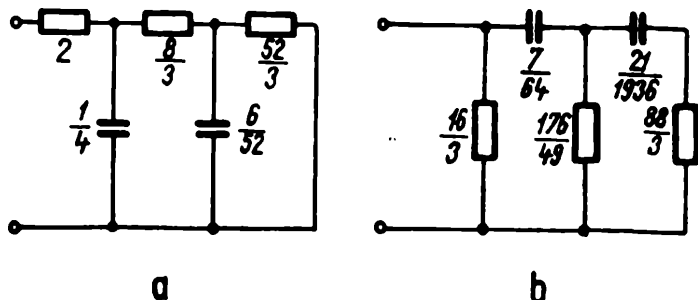


Fig. 7.22. Realizări ale circuitelor în scară.

Circuite cu rezistențe și bobine

Ceea ce s-a demonstrat pentru circuitele RC se poate aplica și circuitelor RL . Punctul de plecare este iar o transformare care va schimba funcția de reactanță într-o impedanță sau admitanță RC . Se găsește imediat că clasa funcțiilor de impedanță RL este identică cu clasa funcțiilor de admitanță RC și viceversa. Rezultă că nu este necesar să dezvoltăm detaliile. În orice teoremă referitoare la circuitele RC este necesar numai să se înlocuiască cuvântul „impedanță” cu cuvântul „admitanță” (sau „admitanță” cu „impedanță”) pentru a se ajunge la o teoremă valabilă pentru circuitele RL . Nu vom continua acest subiect aici dar vom sugera unele rezultate prin probleme.

7.7. PARAMETRII DIPORȚILOR

În ultimele trei secțiuni am studiat câteva din cele mai importante proprietăți ale funcțiilor de intrare ale circuitelor uniport, lineare, invariabile în timp, pasive și reciproce. Acum vom continua cu examinarea circuitelor multiport, în particular a diporților. Problemele de bază au fost lămurite în (46) prin considerarea matricelor impedanțelor de gol și a admitanțelor de scurtcircuit. Aceste expresii sint reluate aici

$$F_0 + sT_0 + \frac{1}{s} V_0 = I^* Z_{oc} I \quad (104 a)$$

$$F_0 + \bar{s}T_0 + \frac{1}{\bar{s}} V_0 = V^* Y_{sc} V. \quad (104 b)$$

Membrul stîng al fiecărei din aceste ecuații este o funcție real-pozitivă. (Membrul stîng al celei de a doua ecuații este conjugatul celui din prima.) Membrul drept al fiecărei ecuații este o formă pătratică pe care o vedem egală cu o funcție real-pozitivă. La fel cum am afirmat că matricea unei forme pătratice definită pozitiv este definită pozitiv, spunem că matricea unei forme pătratice real-pozitivă este real pozitivă. Concluzia este :

Teorema 23. *Matricele impedanțelor de gol și a admitanțelor de scurtcircuit pentru un multiport liniar, invariabil în timp, pasiv și reciproc, sînt matrice real-pozitive.*

Același rezultat poate fi obținut pe o altă cale. Prezentarea se va face cu un circuit diport ca cel din fig. 7.23. Cele două perechi de borne ale

diportului sînt conectate în serie prin transformatoarele ideale, ale căror rapoarte de transformare sînt respectiv $x_1:1$ și $x_2:1$. Tensiunea și curentul de la bornele de intrare vor fi date de

$$V = x_1 V_1 + x_2 V_2, \quad (105 a)$$

$$I = \frac{I_1}{x_1} = \frac{I_2}{x_2}. \quad (105 b)$$

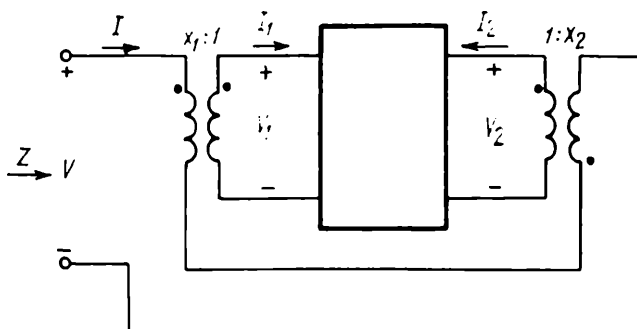


Fig. 7.23. Demonstrația lui Brune că matricele z și y sînt matrice real-pozitive.

Dacă calculăm impedanța de intrare $Z(s) = V/I$ găsim :

$$Z(s) = x_1^2 z_{11} + 2x_1 x_2 z_{21} + x_2^2 z_{22} \quad (106)$$

$$= [x_1 \ x_2] \begin{bmatrix} z_{11} & z_{12} \\ z_{21} & z_{22} \end{bmatrix} \begin{bmatrix} x_1 \\ x_2 \end{bmatrix}.$$

Deoarece impedanța este real-pozitivă, rezultă că și forma pătratică din dreapta este real-pozitivă. Pentru a demonstra condiția pentru matricea y , cele două perechi de borne pot fi conectate în paralel prin transformatoare ideale și apoi se poate găsi admitanța de intrare. Această demonstrație este recomandată ca un exercițiu pentru cititor.

Să ne restringem acum la cazul diportilor; extinderea rezultatelor următoare la multiporturi de ordin mai mare este simplă și va fi evidentă. Faptul că matricele Z_{oc} și Y_{sc} sînt real-pozitive, are cîteva consecințe interesante. Fie x_1 și x_2 , două numere reale, arbitrare. Deoarece formele pătratice

$$Q_1 = [x_1 \ x_2] \begin{bmatrix} z_{11} & z_{12} \\ z_{21} & z_{22} \end{bmatrix} \begin{bmatrix} x_1 \\ x_2 \end{bmatrix} \quad (107 a)$$

$$Q_2 = [x_1 \ x_2] \begin{bmatrix} y_{11} & y_{12} \\ y_{21} & y_{22} \end{bmatrix} \begin{bmatrix} x_1 \\ x_2 \end{bmatrix} \quad (107 b)$$

sînt funcții real-pozitive, rezultă că orice pol al acestor funcții, situat pe axa $j\omega$ trebuie să fie simplu, iar reziduul într-un astfel de pol trebuie să fie real și pozitiv. Să presupunem, pentru un moment, că parametrii z au un pol în $s = j\omega_i$. Deoarece acesta este un pol simplu al formei pătratice, reziduul lui Q_1 , relativ la acest pol este :

$$\begin{aligned} \text{reziduul lui } Q_1 &= \lim_{s \rightarrow j\omega_i} (s - j\omega_i) \begin{bmatrix} x_1 & x_2 \end{bmatrix} \begin{bmatrix} z_{11} & z_{12} \\ z_{21} & z_{22} \end{bmatrix} \begin{bmatrix} x_1 \\ x_2 \end{bmatrix} \\ &= \lim_{s \rightarrow j\omega_i} \begin{bmatrix} x_1 & x_2 \end{bmatrix} \begin{bmatrix} (s - j\omega_i)z_{11} & (s - j\omega_i)z_{12} \\ (s - j\omega_i)z_{21} & (s - j\omega_i)z_{22} \end{bmatrix} \begin{bmatrix} x_1 \\ x_2 \end{bmatrix}. \end{aligned} \quad (108)$$

Alocînd reziduurilor lui z_{11} , z_{21} ($= z_{12}$) și z_{22} în polul $s = j\omega_i$, notațiile : $k_{11}^{(i)}$, $k_{21}^{(i)}$, și $k_{22}^{(i)}$ respectiv, reziduul formei pătratice va fi

$$\text{reziduul lui } Q_1 = \begin{bmatrix} x_1 & x_2 \end{bmatrix} \begin{bmatrix} k_{11}^{(i)} & k_{21}^{(i)} \\ k_{21}^{(i)} & k_{22}^{(i)} \end{bmatrix} \begin{bmatrix} x_1 \\ x_2 \end{bmatrix}. \quad (109)$$

Astfel, însuși reziduul este o formă pătratică a cărei matrice este matricea reziduurilor parametrilor z . În același timp acest reziduu trebuie să fie real și nenegativ la orice valoare a lui x_1 și x_2 . Rezultă că matricea reziduurilor parametrilor z , relativă la oricare din polii de pe axa $j\omega$, trebuie să fie definită sau semidefinită pozitiv. Așa cum s-a discutat în paragraful 7.2, aceasta presupune ca determinantul matricei și toți cofactorii săi principali să fie nenegativi adică :

$$k_{11}^{(i)} \geq 0, \quad k_{22}^{(i)} \geq 0, \quad (110 \ a)$$

$$k_{11}^{(i)}k_{22}^{(i)} - (k_{21}^{(i)})^2 \geq 0. \quad (110 \ b)$$

Concluziile din primele inegalități (110 a) sînt cunoscute deoarece z_{11} și z_{22} sînt impedanțe de intrare și sînt deci real-pozitive. Cele din (110b) reprezintă un rezultat nou și important. Această relație este denumită *condiția de reziduuri*.

Ceea ce s-a spus despre forma pătratică Q_1 este valabil și pentru Q_2/s . Astfel se obține aceeași concluzie și pentru Y_{sc}/s . Vom prezenta acest rezultat ca pe o teoremă.

Teorema 24. *În orice pol de pe axa imaginară, aparținînd elementelor din Z_{oc} sau Y_{sc}/s , pentru un diport liniar, invariabil în timp, pasiv și reciproc, reziduurile parametrilor satisfac condiția*

$$k_{11}k_{22} - k_{21}^2 \geq 0, \quad (111)$$

în care k_{ij} este reziduul lui z_{ij} sau y_{ij}/s într-un pol al axei imaginare. (Pentru simplificare a fost omis indexul relativ la pol).

În particular, dacă circuitul este fără pierderi, toți polii lui z_{ij} și y_{ij} sînt pe axa $j\omega$ și condiția de reziduuri se aplică în toți polii. Rezultă de aici că, pentru un circuit nedisipativ, z_{21} nu poate avea un pol care să nu fie în același timp pol și pentru z_{11} și z_{22} ; nici y_{21} nu poate avea un pol care să nu fie pol și pentru y_{11} și y_{22} . Aceasta, deoarece un k_{21} diferit de zero atunci cînd k_{11} sau k_{22} este zero, nu satisface condiția de reziduuri¹⁾. Pe de altă parte, este posibil ca z_{11} sau z_{22} (sau ambele) să aibă un pol care să nu aparțină celorlalți parametri. Un astfel de pol se numește *pol particular* al lui z_{11} sau z_{22} ²⁾. O concluzie similară se poate stabili și pentru parametrii y .

Să examinăm o altă consecință a naturii real-pozitive a Z_{oc} și Y_{sc} . Prin definiție, caracterul real-pozitiv este legat de partea reală a unei funcții. Prin urmare, ne așteptăm să obținem niște legături între părțile reale ale parametrilor z și y . Să notăm aceste părți reale cu : r_{11} , r_{21} ($= r_{12}$) și r_{22} pentru parametrii z și g_{11} , g_{21} (g_{12}) și g_{22} pentru parametrii y . În acest caz, partea reală a formelor pătratice Q_1 și Q_2 din (107) se poate scrie astfel :

$$\operatorname{Re}(Q_1) = [x_1 \ x_2] \begin{bmatrix} r_{11} & r_{12} \\ r_{21} & r_{22} \end{bmatrix} \begin{bmatrix} x_1 \\ x_2 \end{bmatrix}, \quad (112 \ a)$$

$$\operatorname{Re}(Q_2) = [x_1 \ x_2] \begin{bmatrix} g_{11} & g_{12} \\ g_{21} & g_{22} \end{bmatrix} \begin{bmatrix} x_1 \\ x_2 \end{bmatrix}. \quad (112 \ b)$$

Pentru orice s situat în semiplanul drept, sau pe axa $j\omega$ aceste forme pătratice trebuie să fie definite sau semidefinite pozitiv, deoarece Q_1 și Q_2 sînt funcții real-pozitive. La fel ca și în cazul matricei reziduurilor, rezultă că

$$\begin{aligned} r_{11} &\geq 0 & r_{22} &\geq 0, \\ r_{11}r_{22} - r_{21}^2 &\geq 0, & \operatorname{Re} s &\geq 0 \end{aligned} \quad (113)$$

pentru părțile reale ale parametrilor z și

$$\begin{aligned} g_{11} &\geq 0, & g_{22} &\geq 0, \\ g_{11}g_{22} - g_{21}^2 &\geq 0, & \operatorname{Re} s &\geq 0 \end{aligned} \quad (114)$$

¹⁾ Constatarea este valabilă nu numai pentru polii circuitelor nedisipative, ci în orice pol situat pe axa $j\omega$ (N.T.).

²⁾ Polii de pe axa $j\omega$ ai căror reziduuri satisfac condiția de reziduuri (111) cu semnul egalității sînt numiți *poli compacți* (N.T.).

pentru părțile reale ale parametrilor y . Primele rînduri de inegalități nu sînt nici aici surprinzătoare, deoarece z_{11} , z_{22} , y_{11} și y_{22} sînt funcții de intrare și deci sînt real-pozitive. Cel de al doilea rînd de inegalități exprimă însă un rezultat nou numit *condiția pentru părțile reale*. De fapt, condiția pentru părțile reale este o condiție suficientă pentru ca Z_{oc} sau Y_{sc} să fie matrice real-pozitive. (Verificați această afirmație.)

Diporți cu rezistențe și capacități

Ca o observație finală, constatăm că ceea ce s-a spus despre diporții fără pierderi este adevărat și pentru diporții RC , în virtutea transformărilor discutate anterior și cu modificările potrivite, care sînt evidente. Astfel, pentru diporții RC , parametrii z și y vor avea polii lor pe axa reală negativă, iar condiția de reziduuri se va aplica în acești poli. Nici un pol nu poate să aparțină lui z_{21} fără să fie și al z_{11} și z_{22} , dar z_{11} și z_{22} pot să aibă poli particulari; condiții similare se aplică și la parametrii y .

Ca o exemplificare să considerăm diportul RC din fig. 7.24. Parametrii de admitanță ai acestui diport sînt următorii :

$$y_{11}(s) = \frac{1}{25} \frac{j(28s^2 + 124s + 75)}{(s + 3/2)(s + 1)} = \frac{1}{2} + \frac{192s/375}{s + 3/2} + \frac{27s/250}{s + 1},$$

$$y_{21}(s) = \frac{6/5}{(s + 3/2)(s + 1)} = \frac{1}{2} - \frac{8s/25}{s + 3/2} - \frac{9s/50}{s + 1},$$

$$y_{22}(s) = \frac{(s + 1)(s + 3)}{(s + 3/2)(s + 4)} = \frac{1}{2} + \frac{s/5}{s + 3/2} + \frac{3s/10}{s + 4}.$$

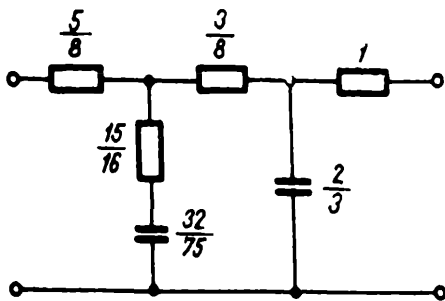


Fig. 7.24. Diport cu rezistențe și capacități.

Constatăm că, în primul rînd, toate cele trei funcții au aceeași poli. Zerourile lui y_{11} sînt la (aproximativ) $-\frac{5}{7}$ și $-\frac{26}{7}$. Astfel zerourile și polii lui y_{11} ca și ai lui y_{22} , alternează pe axa reală negativă și au comportarea necesară la infinit, (care este aceasta?) deci ambele sînt admitanțe RC . Pe de altă parte, nu este necesar ca y_{21} să aibă toate proprietățile unei admitanțe RC ; printre altele, reziduurile lui y_{21}/s nu sînt toate pozitive.

Un test al condiției de reziduuri arată că aceasta este satisfăcută în toți polii, de fapt, condiția de reziduuri este satisfăcută cu semnul egalității. Pentru a distinge situațiile în care condiția de reziduuri este satisfăcută cu semnul egalității de celelalte, vom spune că polul este *compact*, dacă reziduurile acestui pol satisfac condiția de reziduuri cu semnul egalității. Astfel, în cazul nostru, toți polii (inclusiv termenul constant) sînt compacti. Verificarea condiției pentru partea reală este lăsată în seama cititorului.

Pentru funcțiile de intrare ale circuitelor cu două tipuri de elemente, am găsit seturi de condiții necesare și am demonstrat că aceste condiții sînt și suficiente. De fapt, am arătat care sînt metodele de a obține unul sau mai multe circuite, pornind de la o funcție dată. Cazul diportilor nu este la fel de simplu, deoarece aici avem un set de trei parametri. Am obținut condițiile necesare pentru acești parametri; aceste condiții se dovedesc a fi, în cazul general și suficiente pentru realizabilitatea fizică, numai dacă admitem prezența transformatoarelor ideale în circuit. Dacă nu se admit transformatoare ideale, nu dispunem de un set de condiții suficiente pentru cazul general. În această lucrare nu vom aprofunda acest subiect.

7.8. DIPORȚI NEDISIPATIVI TERMINAȚI CU O REZISTENȚĂ

Pînă acum am studiat următoarele probleme. În cazul unui circuit linear, invariabil în timp, pasiv și reciproc, cu două feluri de elemente, am stabilit condiții necesare și suficiente pentru funcțiile de intrare. Pornind de la funcții date, care satisfac aceste condiții, s-au prezentat metode de determinare a circuitului din funcția dată, care reprezenta impedanța sau admitanța. Mai general, am văzut că caracterul real-pozitiv este o condiție, în general, necesară, pentru impedanța sau admitanța unui circuit din clasa considerată. Totuși nu am arătat că aceasta este o condiție suficientă, în cazul general: aceasta a fost arătat prima dată de Brune în 1932, dar aici vom discuta o altă realizare prezentată de Darlington în 1939. El a arătat că orice funcție real-pozitivă, poate să fie realizată ca impedanță a unui circuit nedisipativ, terminat cu o singură rezistență.

Să considerăm circuitul din fig. 7.25. Acesta constă dintr-un circuit nedisipativ terminat cu o rezistență R . Impedanța de la bornele de intrare poate fi scrisă în funcție de R și de parametrii diportului astfel:

$$Z(s) = -\frac{Rz_{11} + z_{11}z_{22} - z_{12}z_{21}}{R + z_{22}} = z_{11} \frac{R + 1/y_{22}}{R + z_{22}} \quad (115 \ a)$$

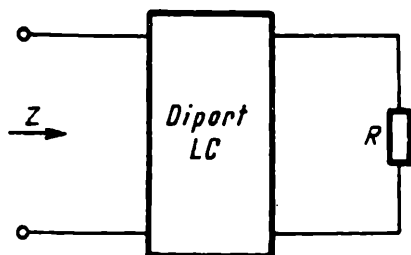
sau

$$Z(s) = z_{11} \frac{1 + 1/y_{22}}{1 + z_{22}}. \quad (115 \ b)$$

(Vezi cap. 3). În formula finală, toate impedanțele au fost normate în raport cu R , ceea ce este echivalent cu a lua valoarea R egală cu 1.

Acum să presupunem că se dă o funcție rațională $Z(s)$, real-positivă. Părțile pară și impară de la numărător și numitor pot fi separate și func-

Fig. 7.25. Diport nedisipativ, terminat rezistiv.



ția poate fi scrisă în forma obișnuită. Apoi, această expresie poate fi pusă în aceeași formă ca și în (115 b) în două moduri posibile, după cum urmează

$$Z(s) = \frac{m_1(s) + n_1(s)}{m_2(s) + n_2(s)}, \quad (116)$$

$$Z(s) = \frac{m_1}{n_2} \frac{1 + n_1/m_1}{1 + m_2/n_2} \quad (\text{cazul A}) \quad (117)$$

$$Z(s) = \frac{n_1}{m_2} \frac{1 + m_1/n_1}{1 + n_2/m_2} \quad (\text{cazul B}) \quad (118)$$

Pentru fiecare din aceste două cazuri se pot face, formal, niște identificări, dacă se compară aceste expresii cu (115 b). Astfel

Cazul A	Cazul B	
$z_{11} = \frac{m_1}{n_2}$	$z_{11} = \frac{n_1}{m_2}$	
$z_{22} = \frac{m_2}{n_2}$	$z_{22} = \frac{n_2}{m_2}$	(119)
$y_{22} = \frac{m_1}{n_1}$	$y_{22} = \frac{n_1}{m_1}$	

Deoarece $Z(s)$ este real-positiv, atât $m_1 + n_1$ cât și $m_2 + n_2$ sînt polinoame Hurwitz. Prin urmare, rapoartele m_1/n_1 și m_2/n_2 și inversele lor sînt

funcții de reactanță. Utilizînd teorema 11 (referitoare la schimbarea reciprocă a părților pară și impară, de la numărătorul și numitorul unei funcții rp) și rapoartele m_1/n_2 și n_1/m_2 sînt de asemenea funcții de reactanță. Astfel, toate funcțiile din (119) sînt funcții de reactanță,

Mai rămîne ca din expresia (119) să determinăm pe z_{21} astfel încît să avem un set complet de parametri pentru diportul fără pierderi din fig. 7.25. Pentru aceasta observăm că

$$\begin{aligned} z_{11}z_{22} - z_{21}^2 &= \frac{z_{11}}{y_{22}} = \frac{n_1}{n_2} & (\text{cazul A}) \\ &= \frac{m_1}{m_2} & (\text{cazul B}) \end{aligned} \quad (120)$$

Deoarece

$$z_{21} = \sqrt{z_{11}z_{22} - (z_{11}z_{22} - z_{21}^2)}$$

utilizînd (120) și (119) vom găsi pe z_{21} :

$$\begin{aligned} z_{21} &= \frac{\sqrt{m_1m_2 - n_1n_2}}{n_2} & (\text{cazul A}) \\ z_{21} &= \frac{\sqrt{-(m_1m_2 - n_1n_2)}}{m_2} & (\text{cazul B}) \end{aligned} \quad (121)$$

Bineînțeles că odată ce parametrii z sînt cunoscuți se pot găsi și parametrii y . (Vezi tabelul 1 în cap. 3). Rezultatele complete sînt tabelate în tabelul 7.1.

Se pune întrebarea, dacă acești parametri de gol sau de scurtcircuit satisfac condițiile de realizabilitate, pentru un diport pasiv, reciproc și nedisipativ. Prima dificultate aparentă este că, datorită radicalului, z_{21} poate să nu fie o funcție rațională. Această dificultate dispăre dacă $m_1m_2 - n_1n_2$ este un pătrat perfect. Observăm că $m_1m_2 - n_1n_2$ este numărătorul părții pare a lui $Z(s)$. Deoarece $Z(s)$ este o funcție real-pozitivă zerourile părții sale pare pe axa $j\omega$, trebuie să fie în mod necesar, cu multiplicitate pară. Această cerință nu apare însă pentru celelalte zerouri. Se pare că, dacă nu se găsește un remediu, în general z_{21} va fi irațional.

Remediul dorit se poate găsi în modul următor. Să presupunem că $Z(s)$ dat, este *mărit* prin înmulțirea numărătorului și numitorului său cu un polinom strict Hurwitz $m_0 + n_0$, ceea ce bineînțeles nu modifică funcția. Astfel:

$$Z(s) = \frac{m_1 + n_1}{m_2 + n_2} \cdot \frac{m_0 + n_0}{m_0 + n_0} = \frac{\hat{m}_1 + \hat{n}_1}{\hat{m}_2 + \hat{n}_2}. \quad (122)$$

Partea pară a lui $Z(s)$ va fi acum

$$Er[Z(s)] = \frac{\hat{m}_1 \hat{m}_2 - \hat{n}_1 \hat{n}_2}{\hat{m}_2^2 - \hat{n}_2^2} = \frac{m_1 m_2 - n_1 n_2}{m_2^2 - n_2^2} \cdot \frac{m_0^2 - n_0^2}{m_0^2 - n_0^2}. \quad (123)$$

În această situație, pentru cazul A, z_{21} va fi

$$z_{21} = \frac{\sqrt{\hat{m}_1 \hat{m}_2 - \hat{n}_1 \hat{n}_2}}{\hat{n}_2} = \frac{\sqrt{(m_1 m_2 - n_1 n_2)(m_0^2 - n_0^2)}}{m_0 n_2 + n_0 m_2}. \quad (124)$$

Acum este clar cum se poate procedea pentru ca z_{21} să fie o fracție rațională: vom pune pe $m_0^2 - n_0^2$ egal cu produsul factorilor $m_1 m_2 - n_1 n_2$, care sînt de multiplicitate impară și care făceau pe z_{21} irațional. Deoarece $m_0^2 - n_0^2 = (m_0 + n_0)(m_0 - n_0)$, se poate găsi polinomul de multiplicare $m_0 + n_0$, alocîndu-i zerourile lui $m_0^2 - n_0^2$ situate în semiplanul stîng.

Tabelul 7.1

Legătura dintre parametrii z , respectiv y și funcțiile m_1, m_2, n_1, n_2 în cazul sintezei diporților reactivi închiși pe o rezistență

Condiția	Parametrii z			Parametrii y		
	z_{11}	z_{22}	z_{21}	y_{11}	y_{22}	y_{21}
Cazul A:						
$Z(s)$ nu are nici un pol sau zero la $s=0$	$\frac{m_1}{n_2}$	$\frac{m_2}{n_2}$	$\frac{\sqrt{m_1 m_2 - n_1 n_2}}{n_2}$	$\frac{m_2}{n_1}$	$\frac{m_1}{n_1}$	$\frac{\sqrt{m_1 m_2 - n_1 n_2}}{n_1}$
Cazul B:						
$Z(s)$ are pol sau zero la $s=0$	$\frac{n_1}{m_2}$	$\frac{n_2}{m_2}$	$\frac{\sqrt{-(m_1 m_2 - n_1 n_2)}}{m_2}$	$\frac{n_2}{m_1}$	$\frac{n_1}{m_1}$	$\frac{\sqrt{-(m_1 m_2 - n_1 n_2)}}{m_1}$

Se pune problema semnificației cazurilor A și B. Cînd este potrivit unul și cînd este celălalt? Din tabelul 7.1 observăm că numitorul lui z_{21} (sau y_{21}) este impar în cazul A și par în cazul B. Deoarece z_{21} ar trebui să fie o funcție rațională impară, numărătorul lui z_{21} ar trebui să fie par în cazul A și impar în cazul B. Dacă $m_1 m_2 - n_1 n_2$ are pe s^2 ca factor, extragerea radicalului va face numărătorul lui z_{21} impar și este potrivită situația din cazul B. Pe de altă parte, dacă $m_1 m_2 - n_1 n_2$ nu are factorul s^2 , este potrivit cazul A. Factorul s^2 poate să apară în $m_1 m_2 - n_1 n_2$, numai dacă în m_1 sau în m_2 lipsește termenul constant. Rezultă că, dacă $Z(s)$ are un pol sau un zero, în $s=0$, trebuie aplicat cazul B; cazul A se aplică dacă $Z(s)$ nu are nici pol, nici zero în $s=0$.

Pentru exemplificare să considerăm :

$$Z(s) = \frac{s^3 + 4s^2 + 4s}{s^3 + 5s^2 + 8s + 4}.$$

Această funcție are un zero în $s = 0$; deci este aplicabil cazul B.
Vom forma :

$$m_1 m_2 - n_1 n_2 = 4s^2(5s^2 + 4) - (s^3 + 4s)(s^3 + 8s) = -s^2(s^2 - 1)^2.$$

Acesta este un pătrat perfect și nu mai este necesară multiplicarea. Deci din tabelul 7.1

$$z_{21} = \frac{\sqrt{-(m_1 m_2 - n_1 n_2)}}{m_2} = \frac{s(s^2 - 1)}{5s^2 + 4} = \frac{s}{5} - \frac{0,96s}{s^2 + 4/5}.$$

De asemenea

$$z_{11} = \frac{n_1}{m_2} = \frac{s(s^2 + 4)}{5s^2 + 4} = \frac{s}{5} + \frac{0,64s}{s^2 + 4/5}.$$

$$z_{22} = \frac{n_2}{m_2} = \frac{s(s^2 + 8)}{5s^2 + 4} = \frac{s}{5} + \frac{1,44s}{s^2 + 4/5}.$$

Oricum ar fi funcția $Z(s)$ dată, este posibil ca z_{21} să fie făcut funcție rațională impară, multiplicând, atunci când este necesar, funcția inițială. Să considerăm acum celelalte condiții de realizabilitate. Condiția pentru partea reală din (113) și (114) este satisfăcută cu semnul egalității pentru $s = j\omega$. Deoarece funcțiile sînt regulate în semiplanul drept, se poate utiliza teorema maximum-ului modulului pentru a arăta că, condiția pentru partea reală este satisfăcută oriunde în semiplanul drept.

Rămîne condiția de reziduuri. Reziduul unei funcții poate fi determinat, dacă se împarte numărătorul la derivata numitorului evaluată într-un zero al numitorului. Pentru parametrii z , reziduurile într-un pol finit, nenul sînt date în tabelul 7.2 în care accentele indică derivarea în

Tabelul 7.2

Legătura dintre reziduurile parametrilor z și funcțiile m_1 , m_2 , n_1 , n_2 .

Condiția	k_{11}	k_{22}	k_{21}
Cazul A	$\frac{m_1}{n_2'} \mid n_2 = 0$	$\frac{m_2}{n_2'} \mid n_2 = 0$	$\frac{\sqrt{m_1 m_2 - n_1 n_2}}{n_2'} \mid n_2 = 0$
Cazul B	$\frac{n_1}{m_2'} \mid m_2 = 0$	$\frac{n_2}{m_2'} \mid m_2 = 0$	$\frac{\sqrt{-(m_1 m_2 - n_1 n_2)}}{m_2'} \mid m_2 = 0$

raport cu s . Astfel, formînd $k_{11}k_{22} - k_{21}^2$, se găsește că în toți polii finiți și nenuli, condiția de reziduuri este satisfăcută, mai mult, este satisfăcută cu semnul egalității. Rezultă că toți polii finiți și nenuli ai parametrilor z sînt compacți.

Este adevărat că condiția de reziduuri este satisfăcută și în polul de la infinit sau din origine, atunci cînd acesta există, dar nu întotdeauna cu semnul egalității. (Vezi problema P.53). O dezvoltare similară se poate face și pentru parametrii y divizați cu s , conducînd la rezultate similare. Concluzia este că, atît parametrii z , cît și parametrii y divizați cu s , satisfac condiția de reziduuri în toți polii lor.

Am stabilit că, dîndu-se o funcție real-pozitivă, este posibil să se găsească un set de parametri de gol sau de scurtcircuit, care să satisfacă condițiile de realizabilitate ale diporturilor nedisipative terminați pe o rezistență. Rămîne sarcina de a realiza (a construi) efectiv diportul. Una din metode a fost elaborată de Cauer. Se începe prin dezvoltarea în fracții parțiale a parametrilor, fie aceștia z . Termenii existenți în fiecare parametru z , care corespund unui pol particular sînt concentrați împreună; aceștia sînt destul de simpli astfel că diportul fără pierderi, care realizează acest set de parametri poate fi identificat direct. Diportii componenți, obținuți în acest mod, sînt apoi conectați în serie. Uneori, așa cum s-a discutat în cap. 3, poate să fie necesară utilizarea unor transformatoare ideale pentru conectarea în serie. Interconectarea în serie a diporturilor nu este de obicei de dorit; o obiecție este că, nu vor exista borne de pămînt pentru toți diportii interconectați.

O schemă mai practică este cea în cascadă. Darlington a arătat că se poate obține o astfel de realizare. Nu vom face decît să schițăm metoda sa. Să observăm mai întîi, că dacă impedanța dată are poli și zerouri pe axa $j\omega$, aceștia pot fi extrași ca laturi ale circuitului în scară. Astfel de

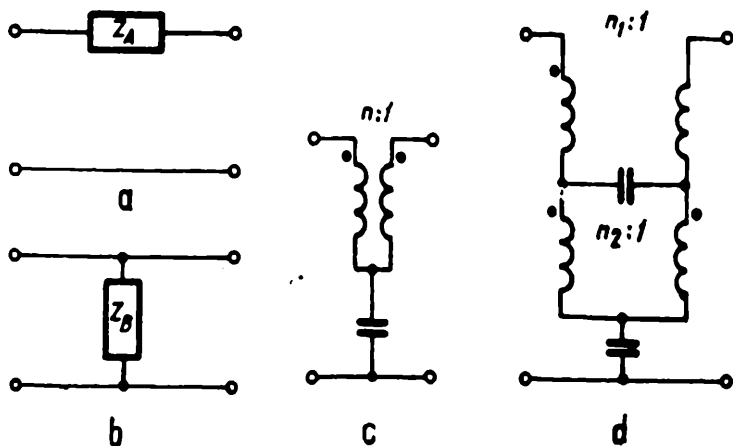


Fig. 7.26. Secțiuni canonice pentru realizarea în cascadă: (a) Tip A; (b) Tip B; (c) tip C; (d) tip D.

laturi sînt arătate în fig. 7.26 prin laturi de tip A și de tip B. Aceste laturi pot să fie o simplă bobină sau capacitate, un circuit rezonant serie, sau un circuit rezonant derivație.

După ce toți polii și zerourile lui $Z(s)$, situați pe axa $j\omega$, au fost extrași prin laturi de tip A și B, ¹⁾ partea pară a impedanței care rămîne va avea trei tipuri de zerouri : reale, imaginare și complexe. O parte pară tipică va fi :

$$\text{Par}[Z(s)] = \frac{(s^2 + \omega_0^2)^2 (s^2 - a^2)^2 (s^4 + b_1 s^2 + b_0)^2}{m_2^2 - n_2^2} \quad (125)$$

Toate zerourile care apar aici sînt zerouri duble. Pentru o funcție real-pozitivă, zerourile situate pe axa $j\omega$ trebuie să fie neapărat duble. Dacă celelalte zerouri nu sînt duble, funcția este mărită astfel ca ele să rezulte duble. *Zerourile transmisiunii, pentru un diport fără pierderi, sînt chiar zerourile părții pare a lui $Z(s)$.*

Se constată că o secțiune de tip C, arătată în fig. 7.26, are o pereche de zerouri ale transmisiunii, care sînt reale sau imaginare (după cum sînt aranjate înfășurările transformatoarelor marcate cu punct), iar o secțiune de tip D are două perechi (un cuadriplet) de zerouri ale transmisiunii. Extragerea unei secțiuni de tip C face ca impedanța rămasă să-și mențină toate celelalte zerouri pentru partea pară, cu excepția perechii realizate prin această secțiune. În mod similar, extragerea unei secțiuni de tip D, conduce la o impedanță redusă, a cărei parte pară are aceleași zerouri ca și mai înainte, mai puțin cuadripletul realizat de această secțiune. Deci, o conectare în cascadă a acestor patru tipuri de diporți, conduce la realizarea diportului nedisipativ căutat. Observăm că realizarea se face utilizîndu-se transformatoare ideale.

Nu ne propunem aici să examinăm detaliile sintezei diporților, ci numai să observăm rezultatul. Astfel, este posibil să formulăm acum următoarea teoremă (a lui Darlington).

Teorema 25. *O funcție real-pozitivă poate fi realizată ca impedanță a unui diport nedisipativ, terminat cu o rezistență unitară.*

Aceasta constituie de fapt o teoremă de existență : se demonstrează astfel, suficiența condiției cu privire la caracterul real-pozitiv, pentru realizabilitatea unui circuit pasiv și reciproc.

Pentru funcții particulare se pot găsi alte scheme de diporți, mai utile decît cele de tipul C și D, care conțin transformatoare ideale.

¹⁾ Această extragere a polilor și zerourilor de pe axa $j\omega$, dintr-o funcție rp, $Z(s)$, este cunoscută în sinteza circuitelor prin denumirea de *preambulul lui Foster*. (N.T.)

Pentru a ilustra aceasta să considerăm

$$Z(s) = \frac{s^4 + s^3 + 3s^2 + 2s + 1}{5s^3 + 5s^2 + 2s + 5},$$

$$\text{Par } [Z(s)] = \frac{(2s^2 + 1)^2}{(5s^2 + 1)^2 - (5s^3 + 2s)^2}.$$

S-ar părea că am avea nevoie de o secțiune de tip C în diportul \hat{N} pentru a realiza perechea de zerouri imaginare și de ceva care să realizeze zeroul transmisiunii de la infinit. Să presupunem acum că formăm parametrii z , utilizând tabelul 7.1. Rezultatul va fi următorul:

$$z_{11} = \frac{s^4 + 3s^2 + 1}{5s^3 + 2s} = \frac{\frac{13}{5}s^2 + 1}{5s^3 + 2s} + \frac{s}{5},$$

$$z_{22} = \frac{5s^2 + 1}{5s^3 + 2s}$$

$$z_{21} = \frac{2s^2 + 1}{5s^3 + 2s}.$$

Observăm că z_{11} are un pol particular la infinit; acesta poate fi extras sub forma unei bobine de $1/5$ unități, rămânând un set de parametri z , care au aceiași poli. Rezultatul parțial este arătat în fig. 7.27 a. Parametrii z , care rămân după ce bobina în serie este extrasă, aparțin diportului \hat{N} .

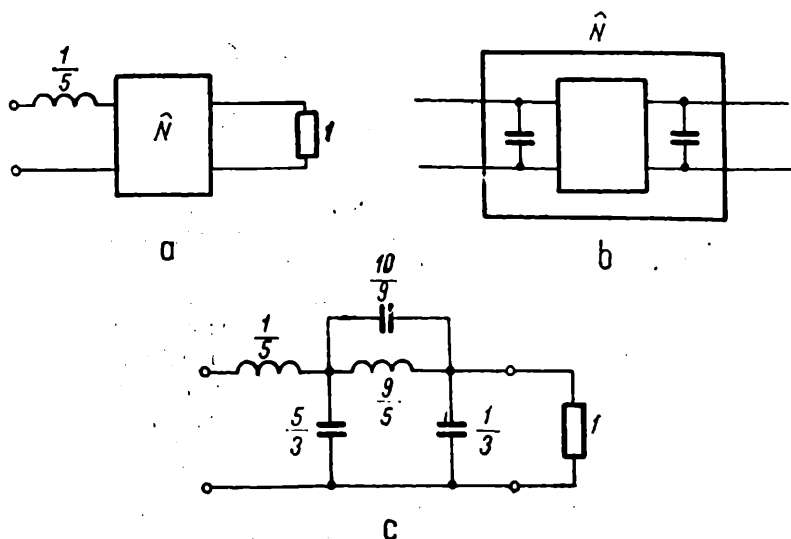


Fig. 7.27. Realizarea unei impedanțe printr-un circuit nedisipativ în scară, terminat rezistiv.

Să inversăm acești parametri determinând parametrii y ai lui \hat{N} . Rezultatul va fi următorul :

$$y_{11} = \frac{z_{22}}{z_{11}z_{22} - z_{21}^2} = \frac{5(5s^2 + 1)}{9s} = \frac{25s}{9} + \frac{5}{9s},$$

$$y_{22} = \frac{z_{11}}{z_{11}z_{22} - z_{21}^2} = \frac{(13s^2 + 5)}{9s} = \frac{13s}{9} + \frac{5}{9s},$$

$$-y_{21} = \frac{z_{21}}{z_{11}z_{22} - z_{21}^2} = \frac{5(2s^2 + 1)}{9s} = \frac{10s}{9} + \frac{5}{9s}.$$

Aceasta poate fi rescris astfel

$$y_{11} = Y + \frac{5s}{3},$$

$$y_{22} = Y + \frac{s}{3},$$

$$-y_{21} = Y.$$

unde

$$Y = \frac{10}{9}s + \frac{5}{9s}.$$

Observăm că pe lângă termenul comun Y , y_{11} și y_{22} au câte un extratermen. Fiecare din acești termeni poate să fie realizat, printr-o capacitate: una în paralel cu intrarea și alta în paralel cu ieșirea din \hat{N} , așa cum se arată în fig. 7. 27 b. Mai rămâne de realizat Y , care este simplu; o secțiune de tip A, ca în fig. 7. 26 a, cu $Z_A = 1/Y$, are exact parametrii $y_{11} = y_{22} = -y_{21} = Y$. Circuitul complet este cel arătat în fig. 7.27 c. Se obține un circuit în scară nedisipativ, terminat cu o rezistență unitară. Nu apare nici un transformator ideal așa cum se întâmplă în cazul utilizării secțiunilor de tip C.

Mai înainte am găsit că impedanța unui circuit pasiv și reciproc este o funcție real-pozitivă. Acum am demonstrat reciproca și anume că, o funcție real-pozitivă poate fi realizată totdeauna printr-un circuit pasiv și reciproc. În particular, circuitul poate fi un diport nedisipativ, terminat cu o rezistență. În cazul general, diportul nedisipativ poate să necesite utilizarea secțiunilor de tip C și D. În unele cazuri aceste secțiuni complicate pot fi evitate. Desigur există condițiile suficiente pentru ca o realizare fără secțiuni C și D să poată fi găsită, dar acest lucru nu va fi studiat aici. ¹⁾

¹⁾ O tratare mai completă a condițiilor necesare și suficiente pentru realizarea funcțiilor rp, diverse metode de realizare precum și considerarea numărului de elemente necesare în fiecare realizare poate fi găsită în lucrarea Weinberg, L., *Network Analysis and Synthesis*, McGraw-Hill Book Co., N.Y., 1962. (N.T.)

7.9. DIPORȚI RC PASIVI ȘI ACTIVI

Să examinăm acum metoda pe care am utilizat-o în ultimul paragraf și să observăm dacă aceasta are niște trăsături generale, care să poată servi ca ghid, în realizarea altor tipuri de circuite. Prima etapă a fost considerarea unei scheme reprezentative pentru clasa de circuite respectivă. În fig. 7.25 aceasta a fost un diport nedisipativ terminat cu o rezistență. Apoi s-a scris o expresie a funcției circuitului, depinzând de componentele schemei, ca în (115). După aceea s-a operat asupra funcției raționale corespunzătoare clasei circuitelor respective, pentru a o aduce la aceeași formă, cum s-a făcut în (117) și (118). În final, au fost identificate funcțiile corespunzătoare componentelor circuitului. Desigur trebuie să se verifice că aceste funcții satisfac condițiile de realizabilitate, corespunzătoare clasei considerate. În continuare trebuie stabilite metodele de realizare a acestor funcții.

În acest paragraf vom prezenta metode similare pentru circuite alcătuite din rezistențe, capacități și eventual dispozitive active. În baza unor anumite considerații, aceste circuite sînt practic importante. Dintre aceste considerații cităm: gabaritul și greutatea relativ mare a bobinelor, prețul de cost redus al tranzistoarelor și al altor dispozitive active, precum și faptul că rezistențele, capacitățile și dispozitivele active pot fi obținute prin circuite integrate.

Conectare în cascădă

Să considerăm mai întîi circuitul arătat în fig. 7.28, în care doi diporți RC sînt conectați în cascădă. Funcția care ne interesează este impedanța de transfer în gol $z_{21} = V_2/I_1$. Această funcție poate fi exprimată prin parametri de gol ai diporților componenți în modul următor:¹⁾

$$z_{21}(s) = \frac{\tilde{z}_{21a}\tilde{z}_{21b}}{\tilde{z}_{22a} + \tilde{z}_{11b}}. \quad (126)$$

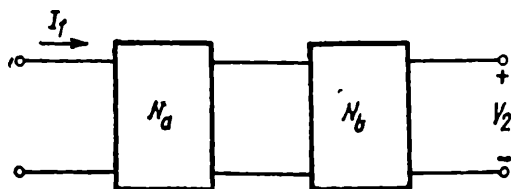


Fig. 7.28. Conectare în cascădă a doi diporți RC.

¹⁾ Vezi capitolul 3.

Dacă o funcție rațională este dată ca fiind impedanța de transfer a unui diport RC , aceasta trebuie pusă în forma (126). În primul rând, știm că la un circuit RC polii lui z_{21} trebuie să fie reali și negativi (pot fi și în $s = 0$), și că nu avem restricții pentru localizarea zerourilor. Nu trebuie totuși să avem mai multe zerouri finite decât poli; două funcții posibile sînt, de exemplu, următoarele

$$z_{21} = \frac{P(s)}{Q(s)} = K \frac{(s+5)}{(s+2)(s+4)(s+6)}, \quad (127a)$$

$$z_{21} = \frac{P(s)}{Q(s)} = K \frac{(s^2+s+1)(s^2+2s+2)}{(s+1)(s+2)(s+3)(s+4)}. \quad (127b)$$

Prima are un singur zero finit care este real. Cea de a doua are două perechi de zerouri complexe. Fiecare din acestea este realizabil ca o impedanță de transfer RC , pentru orice valoare a constantei K .

Să observăm din (126) că numitorul este o sumă a două impedanțe RC — care este tot o impedanță RC ; dar numitorul oricărei funcții raționale va fi un polinom. Situația se remediază împărțind numărătorul și numitorul funcției date cu un polinom auxiliar $D(s)$. Gradul acestui polinom și zerourile sale trebuie alese astfel încît Q/D să fie o impedanță RC . Aceasta se poate face în mod simplu: gradul lui $D(s)$ trebuie să fie egal cu, sau mai mare cu o unitate decât gradul lui $Q(s)$; zerourile lui $D(s)$ trebuie să alterneze cu cele ale lui $Q(s)$. Astfel, dacă se alege de exemplu funcția (127) avem:

$$z_{21} = \frac{K(s+5)/D(s)}{(s+2)(s+4)(s+6)/D(s)}. \quad (128)$$

Se pot alege

$$D(s) = (s + \sigma_1)(s + \sigma_2)(s + \sigma_3) \text{ sau } (s + \sigma_1)(s + \sigma_2)(s + \sigma_3)(s + \sigma_4)$$

cu

$$0 \leq \sigma_1 < 2 < \sigma_2 < 4 < \sigma_3 < 6 < \sigma_4$$

oricare din cele două polinoame fiind acceptabile. Să alegem $D(s) = (s+1)(s+3)(s+5)$. Atunci, prin comparație cu (126) putem să scriem

$$z_{22a} + z_{11b} = \frac{(s+2)(s+4)(s+6)}{(s+1)(s+3)(s+5)} = \frac{16}{s+1} + \frac{3}{s+3} + \frac{3}{s+5} + \frac{16}{5}, \quad (129)$$

$$z_{21a} z_{21b} = \frac{K(s+5)}{(s+1)(s+3)(s+5)} = \frac{K}{(s+1)(s+3)} = \left(\frac{16}{s+1} \right) \left(\frac{3}{s+3} \right).$$

Constatăm că alegînd un zero al lui $D(s)$ în $s = -5$, mai avem un avantaj suplimentar prin simplificarea lui $z_{21a}z_{21b}$. Aceasta nu este însă o caracteristică generală.

Identificarea parametrilor individuali, din ultimul set de ecuații nu este unică. Alegînd pentru constanta K valoarea $45/32$ se pot face următoarele identificări

$$z_{21a} = \frac{\frac{15}{8}}{s+1} ; \quad z_{21b} = \frac{\frac{3}{4}}{s+3},$$

$$z_{22a} = \frac{\frac{15}{8}}{s+1} ; \quad z_{11b} = \frac{\frac{3}{4}}{s+3} + \frac{\frac{3}{8}}{s+5} + \frac{16}{5}.$$

Fiecare din aceste două seturi poate fi realizat direct. Diportul N_a este un circuit în T degenerat, avînd numai latura din derivație (la fel ca secțiunea B din fig. 7.26 b), așa cum se arată în fig. 7.29 a. Cît despre N_b , pe lîngă un termen comun la z_{21b} și z_{11b} , care va conduce la un circuit în T degenerat, mai există un termen particular în z_{11b} , care dă un circuit în serie cu intrarea. Circuitul N_b este arătat în fig. 7.29 b, iar întregul circuit este dat în fig. 7.29 c. Se recomandă cititorului să verifice că, acest circuit are impedanța de transfer egală cu funcția dată.

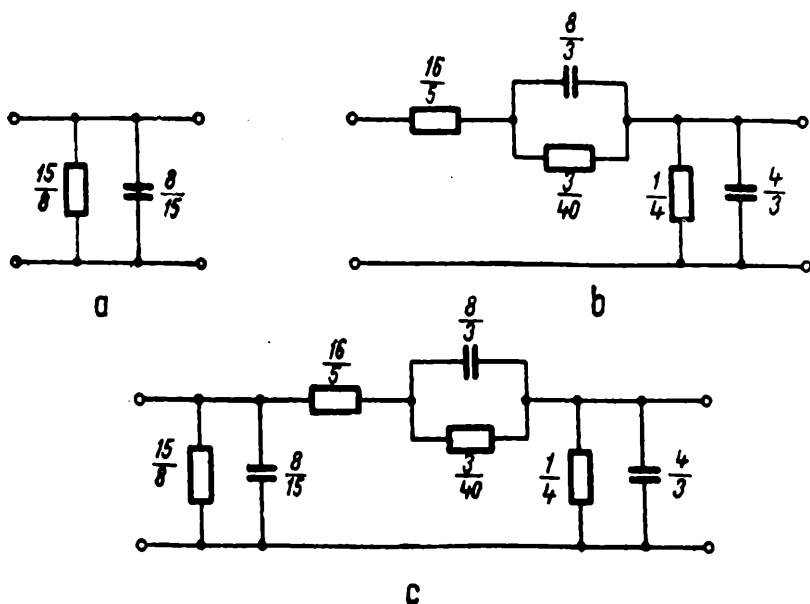


Fig. 7.29. Realizarea exemplului numeric prin circuitele :
(a) N_a ; (b) N_b ; (c) circuitul general format prin conectarea în cascadă.

Să trecem în revistă metoda utilizată : în prima etapă funcția de transfer dată $P(s)/Q(s)$, care este realizabilă (are poli reali și negativi) este împărțită atât la numitor cât și la numărător cu polinomul auxiliar $D(s)$, ales astfel, încît să facă din raportul Q/D o impedanță RC . Apoi Q/D este dezvoltat în fracții parțiale. Temenii acestei dezvoltări sînt repartizați la z_{22a} și z_{11b} . Această repartizare este dirijată de descompunerea ce trebuie făcută pentru P/D , care trebuie să reprezinte produsul între z_{21a} și z_{21b} ¹⁾. Desigur, realizarea nu este unică.

Conectarea în cascadă cu un convertor de negativare

În metoda de sinteză discutată mai înainte, atunci cînd se dă o funcție $z_{21} = P(s)/Q(s)$ este necesar să se aleagă un polinom $D(s)$, care să facă din Q/D o impedanță RC . Polii funcției inițiale trebuie să fie reali și negativi. Aceasta este o clasă limitată de funcții. Dacă această restricție este înlăturată, permițîndu-se ca polii să fie situați oriunde în semiplanul stîng, funcția nu va mai fi realizabilă printr-un circuit RC . Funcția Q/D va avea zerouri complexe (unele din ele), iar reziduurile în poli nu vor mai fi toate, pozitive. Această ultimă observație ne dă cheia pentru o altă rezolvare.

Să presupunem că un convertor de negativare cu inversare a tensiunii este conectat în cascadă între doi diporți, ca în fig. 7.30. Sarcina lui N_a nu mai este numai N_b ca mai înainte, ci N_b precedat de un convertor de negativare. Presupunînd că raportul de conversie este unitar, impedanța de la bornele de intrare în convertorul de negativare este $-z_{11b}$ și aceasta înlocuiește în expresia (126), pe $+z_{11b}$. Impedanța de transfer generală devine acum :

$$z_{21}(s) = - \frac{z_{21a} z_{21b}}{z_{22a} - z_{11b}} \quad (130)$$

Să presupunem că se dă o funcție rațională $P(s)/Q(s)$ cu poli complecși. Împărțim numărătorul și numitorul cu un polinom auxiliar $D(s)$, cu un număr potrivit ales de zerouri reale, negative. Apoi dezvoltăm pe



Fig. 7.30. Circuit RC cu convertor de negativare conectat în cascadă între diporți.

¹⁾ Funcțiile z_{21a} și z_{22a} , respectiv z_{21b} și z_{11b} , trebuie să formeze împreună un set de parametri z aparținînd aceluiași diport RC ($N.T.$).

Q/D în fracții parțiale. Unele reziduuri vor fi pozitive și unele vor fi negative. Aplicînd toate acestea, se obține rezultatul

$$z_{21} = \frac{P(s)}{Q(s)} = \frac{P/D}{Q/D} = \frac{P/D}{k_0 + \sum \frac{k_{ip}}{s + \sigma_{ip}} - \sum \frac{k_{in}}{s + \sigma_{in}}}, \quad (131)$$

în care indicii „ p ” și „ n ” au fost utilizați pentru marcarea caracterului „pozitiv” și „negativ” al reziduurilor. Identificarea lui z_{22a} și z_{11b} se poate face imediat: toți termenii din dezvoltarea în fracție parțială, care au reziduul pozitiv aparțin la z_{22a} ; cei cu reziduul negativ, la z_{11b} . Factorii polinomului de la numărător $P(s)$ sint repartizați la z_{21a} sau z_{21b} , cu condiția ca z_{21a} să nu aibă nici un pol pe care nu-l are z_{22a} , iar z_{21b} să nu aibă nici un pol pe care nu-l are z_{11b} . (Termenul „pol” include și comportarea de la infinit. Astfel, dacă z_{21b} este nenul la infinit și z_{11b} trebuie să fie tot nenul).

Pentru exemplificare vom lua o funcție Cebîșev de ordinul patru și două perechi de zerouri ale transmisiunii pe axa frecvențelor $j\omega$, care împreună formează funcția dată:

$$z_{21} = \frac{P}{Q} = \frac{(s^2 + 1)(s^2 + 9)}{6(s^4 + 2,16s^3 + 3,31s^2 + 2,86s + 1,26)}.$$

Polinomul auxiliar trebuie să fie cel puțin de gradul patru; să alegem $D(s) = s(s+1)(s+2)(s+3)$. Atunci

$$z_{22a} - z_{11b} = 6 = \frac{s^4 + 2,16s^3 + 3,31s^2 + 2,86s + 1,26}{s(s+1)(s+2)(s+3)}.$$

$$= 6 = \frac{1,26}{s} + \frac{22,5}{s+2} + \left(\frac{1,65}{s+1} + \frac{15,15}{s+3} \right).$$

$$z_{21a} - z_{21b} = \frac{(s^2 + 1)(s^2 + 9)}{s(s+1)(s+2)(s+3)}.$$

Evident, fiecare din factorii pătratici din $P(s)$ trebuie repartizat la unul dintre diporții componenți. Atunci, doi poli (în 0 și -2) vor aparține la N_a și doi poli (în -1 și -3) vor aparține la N_b . Una din perechile de zerouri imaginare trebuie repartizată la N_a ; cealaltă pereche la N_b . Astfel

$$z_{21a} = \frac{s^2 + 4}{s(s+2)}.$$

$$z_{21b} = \frac{s^2 + 9}{(s+1)(s+3)}.$$

Ambele funcții sînt nenule la infinit, deci atît z_{22a} cît și z_{11b} trebuie să fie nenule la infinit. Cu toate acestea, în dezvoltarea în fracții parțiale a funcției Q/D , nu apare nici un termen negativ constant, printre reziduurile negative. Această situație poate fi rezolvată adunînd și scăzînd o constantă, de exemplu 1. Rezultă:

$$z_{22a} = 7 + \frac{1,26}{s} + \frac{22,5}{s+2},$$

$$z_{11b} = 1 + \frac{1,65}{s+1} + \frac{45,15}{s+3}.$$

Fiecare dintre perechile de funcții z_{22a} , z_{21a} și z_{11b} , z_{21b} este realizabilă printr-un diport RC . Rămîne să se facă realizarea efectivă. Din cauză că zerourile transmisiunii nu sînt reale, problema este ceva mai dificilă decît în exemplul precedent. Cu toate acestea există metode elaborate pentru efectuarea acestei sinteze, dar noi nu vom face aici aceste dezvoltări. (A se consulta bibliografia asupra sintezei).

Conectarea în derivație

Să considerăm o altă configurație a circuitului ca cea din fig. 7.31 *a*. Un diport RC , N_b , este conectat în cascadă cu un convertor de negativare cu inversare a curentului și întreaga combinație este conectată în paralel cu un alt diport RC , N_a . Ne interesează funcția de transfer a tensiunii $V_2(s)/V_1(s)$, care exprimată prin parametrii y ai întregului ansamblu, este $V_2/V_1 = -y_{21}/y_{22}$. La conectarea în paralel a unor diporți, parametrii y globali sînt egali cu suma parametrilor y ai diporților componenți. Datorită prezenței convertorului de negativare, semnele lui y_{21b} și y_{22b} se

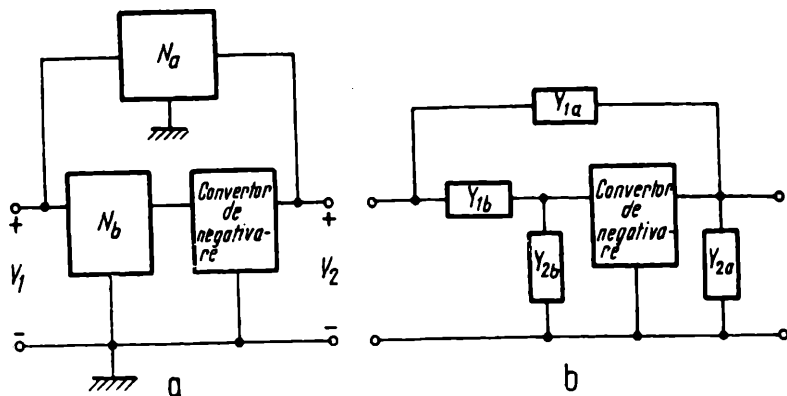


Fig. 7.31. Diporți conectați în paralel cu un convertor de negativare.

inversează (în ipoteza că factorul de conversie este unitar) și funcția căutată devine

$$\frac{V_2}{V_1} = \frac{-(y_{21a} - y_{21b})}{y_{22a} - y_{22b}}, \quad (132)$$

Acum, dacă se dă o funcție rațională P/Q , se poate utiliza obișnuitul polinom auxiliar $D(s)$, cu care se împarte numărătorul și numitorul, după care funcția este transformată în forma (132). Nu vom face dezvoltarea generală ci vom înlocui dipoții generali din fig. 7.31 *a* cu o schemă particulară, ca cea arătată în fig. 7.31 *b*. Aceasta nu limitează clasa funcțiilor cu care se poate lucra.

Calculind parametrii y ai acestor circuite simple și înlocuindu-i în (132), se obține rezultatul :

$$\frac{V_2}{V_1} = \frac{Y_{1a} - Y_{1b}}{(Y_{1a} + Y_{2a}) - (Y_{1b} + Y_{2b})} = \frac{Y_{1a} - Y_{1b}}{(Y_{1a} - Y_{1b}) + (Y_{2a} - Y_{2b})}. \quad (133)$$

Numitorul acestei expresii este format din numărător adunat cu un alt termen. Dacă funcția de transfer dată este de forma $P(s)/Q(s)$, aceasta trebuie pusă în forma (133). Se găsește

$$\frac{V_2}{V_1} = \frac{KP(s)}{Q(s)} = \frac{KP(s)}{KP(s) + [Q(s) - KP(s)]} = \frac{\frac{KP}{D}}{\frac{KP}{D} + \frac{Q - KP}{D}} \quad (134)$$

În această expresie K este o constantă de multiplicare, arătată explicit. Polinomul $KP(s)$ a fost adunat și scăzut la numitor și apoi s-a introdus obișnuitul polinom auxiliar $D(s)$, cu zerouri reale și negative. Compararea ultimelor două ecuații conduce la

$$Y_{1a} - Y_{1b} = \frac{KP(s)}{D(s)} = k_x s + k_0 + \sum \frac{k_{ip}s}{s + \sigma_{ip}} - \sum \frac{k_{in}s}{s + \sigma_{in}}, \quad (135a)$$

$$Y_{2a} - Y_{2b} = \frac{Q(s) - KP(s)}{D(s)} = \hat{k}_x s + \hat{k}_0 + \sum \frac{\hat{k}_{ip}s}{s + \sigma_{ip}} - \sum \frac{\hat{k}_{in}s}{s + \sigma_{in}}. \quad (135b)$$

După ce Y/s este dezvoltat în fracții parțiale, se grupează împreună termenii cu reziduuri pozitive și cei cu reziduuri negative. Termenii cu reziduuri pozitive din cele două expresii sînt identificați cu Y_{1a} și respec-

tiv Y_{2a} , iar cei cu reziduuri negative cu Y_{1b} , respectiv Y_{2b} . Datorită modului în care au fost construite, fiecare din aceste funcții, va fi realizabilă printr-o funcție de admitanță RC , iar realizarea poate fi făcută în mod simplu.

Pentru exemplificare să considerăm funcția Cebișev tratată mai înainte :

$$\frac{V_2}{V_1} = \frac{KP(s)}{Q(s)} = \frac{K(s^2+4)(s^2+9)}{s^4+2,16s^3+3,31s^2+2,86s+1,26}.$$

Mai înainte, K a fost ales egal cu $1/6$. Polinomul auxiliar cu care s-a lucrat era de gradul 4 și avea un factor s . În cazul de față, nu putem avea un factor s în polinomul auxiliar, deoarece o admitanță RC nu poate avea un pol în $s = 0$. Deoarece o admitanță RC poate avea pol la infinit, putem să alegem $D(s) = (s+1)(s+2)(s+3)$. Deci ;

$$\frac{KP(s)}{D(s)} = \frac{K(s^2+4)(s^2+9)}{(s+1)(s+2)(s+3)} = K \left(s+6 + \frac{52s}{s+2} - \frac{25s}{s+1} - \frac{39s}{s+3} \right),$$

$$\frac{Q(s)}{D(s)} = \frac{s^4+2,16s^3+3,31s^2+2,86s+1,26}{(s+1)(s+2)(s+3)} = s+0,21 + \frac{3,75s}{s+2} - \left(\frac{0,275s}{s+1} + \frac{7,52s}{s+3} \right).$$

Valoarea lui K poate fi aleasă astfel încât să conducă la simplificarea circuitului. Deoarece KP/D trebuie scăzut din Q/D , K trebuie ales astfel încât să anuleze pe unul din termeni. Astfel, luând $K = 3,75/52 = 0,072$ obținem :

$$Y_{1a} - Y_{1b} = \frac{KP(s)}{D(s)} = 0,072s + 0,432 + \frac{3,75s}{s+2} - \left(\frac{1,8s}{s+1} + \frac{2,81s}{s+3} \right)$$

$$Y_{2a} - Y_{2b} = \frac{Q-KP}{D} = 0,928s + \frac{1,53s}{s+1} - \left(0,222 + \frac{4,71s}{s+3} \right).$$

În final,

$$Y_{1a} = 0,072s + 0,432 + \frac{3,75s}{s+2},$$

$$Y_{2a} = 0,928s + \frac{1,53s}{s+1},$$

$$Y_{1b} = \frac{1,8s}{s+1} + \frac{2,81s}{s+3}.$$

$$Y_{2b} = 0,222 + \frac{4,71s}{s+3}.$$

Circuitul complet este arătat în fig. 7.32.

Pentru schemele considerate, este necesar să se facă numai sinteza unor dipoți RC . Aceasta simplifică în mare măsură calculele necesare.

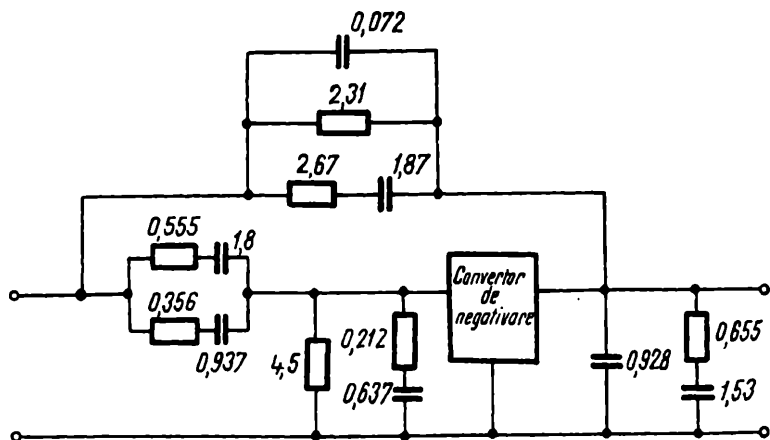


Fig. 7.32. Realizarea exemplului numeric.

Schema RC cu amplificator

În subparagrafele precedente s-a utilizat convertorul de negativare, ca dispozitiv activ, în combinație cu circuitul RC . Desigur, se pot găsi și alte configurații, care utilizează alte dispozitive active. Cea mai simplă posibilitate este utilizarea unui amplificator cu reacție inversă. Amplificatorul poate fi reprezentat în forma sa cea mai simplă, printr-o sursă controlată (de tensiune sau de curent). Deși sînt posibile multe configurații vom trata numai una, sugerindu-le pe celelalte ca probleme.

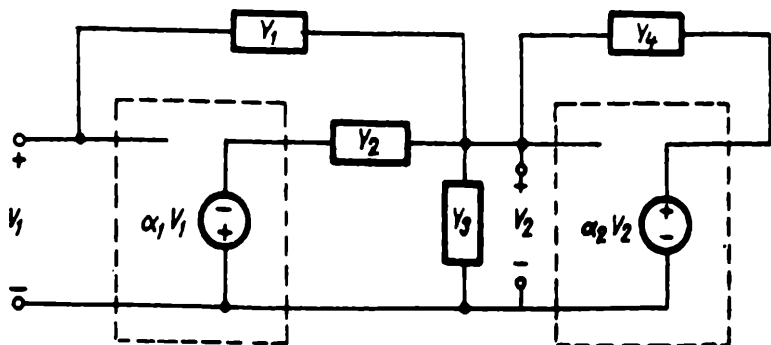


Fig. 7.33. Montaj al amplificatorului cu reacție inversă.

Să considerăm montajul din fig. 7.33. Acesta conține două amplificatoare de tensiune (surse de tensiune), controlate prin tensiune), fiecare avînd o polaritate diferită. Să notăm că tensiunea de ieșire din întreg ansamblul este tensiune de intrare în al doilea amplificator. Evaluarea funcției de transfer pentru tensiune, în acest montaj, ne dă

$$\frac{V_2}{V_1} = \frac{Y_1 - \alpha_1 Y_2}{Y_1 + Y_2 + Y_3 - (\alpha_2 - 1) Y_4} \quad (136)$$

Vom presupune că în al doilea amplificator câștigul α_2 este mai mare ca 1.

Dîndu-se o funcție rațională $P(s)/Q(s)$, care reprezintă funcția de transfer pentru tensiune, vom împărți numărătorul și numitorul cu obișnuitul polinom auxiliar $D(s)$ avînd un grad potrivit ales (egal cu, sau cu o unitate mai mic, decît gradul lui Q sau P , cel mai mare din ele), și zerouri distincte, reale și negative. Fiecare din funcțiile P/sD și Q/sD se dezvoltă în fracții parțiale și termenii cu reziduuri pozitive, ca și cei cu reziduuri negative sînt grupați împreună. În final, se face comparația cu (136) și de aici se obține identificarea admitanțelor. Rezultă

$$\frac{V_2}{V_1} = \frac{P(s)}{Q(s)} = \frac{P(s)/D(s)}{Q(s)/D(s)},$$

$$Y_1 - \alpha_1 Y_2 = \frac{P(s)}{D(s)} = k_\infty s + k_0 + \sum \frac{k_{ip}s}{s + \sigma_{ip}} - \sum \frac{k_{in}s}{s + \sigma_{in}}, \quad (137 a)$$

$$Y_1 + Y_2 + Y_3 - (\alpha_2 - 1) Y_4 = \frac{Q(s)}{D(s)} = \hat{k}_\infty s + \hat{k}_0 + \sum \frac{\hat{k}_{ip}s}{s + \hat{\sigma}_{ip}} - \sum \frac{\hat{k}_{in}s}{s + \hat{\sigma}_{in}} \quad (137 b)$$

Din primele relații găsim

$$Y_1(s) = k_\infty s + k_0 + \sum \frac{k_{ip}s}{s + \sigma_{ip}}, \quad (138 a)$$

$$Y_2(s) = \frac{1}{\alpha_1} \sum \frac{k_{in}s}{s + \sigma_{in}} \quad (138 b)$$

Introducînd aceste relații în (137 b), se pot găsi Y_3 și Y_4 . Astfel

$$Y_3 - (\alpha_2 - 1) Y_4 = (\hat{k}_\infty - k_\infty)s + (\hat{k}_0 - k_0) + \sum \frac{\hat{k}_{ip}s}{s + \hat{\sigma}_{ip}} - \sum \left(\frac{\hat{k}_{in}s}{s + \hat{\sigma}_{in}} + \frac{k_{ip}s}{s + \sigma_{ip}} + \frac{1}{\alpha_1} \frac{k_{in}s}{s + \sigma_{in}} \right). \quad (139)$$

Nu se pot scrie expresiile generale pentru Y_3 și Y_4 , deoarece apar unele incertitudini în membrul drept; de exemplu, termenul constant ($\hat{k}_0 - k_0$) poate fi pozitiv sau negativ. În primul caz, termenul constant aparține lui Y_3 ; în ultimul caz, lui Y_4 . Mai departe, setul de poli $-\hat{\sigma}_{i,p}$ este conținut în setul $\{-\sigma_{i,p}, -\sigma_{i,n}\}$ deoarece ultimul conține toate zerourile lui $D(s)$. Prin urmare, aici vor avea loc reduceri de termeni, care crează o incertitudine cu privire la semnul final. Aceste incertitudini dispar desigur, atunci când este vorba de un caz anume. Aceasta se va clarifica prin exemplul care urmează. În orice caz, este necesar să se realizeze numai dipoți RC. De asemenea, trebuie specificată valoarea câștigului amplificatorului.

Într-o realizare practică, ar fi util ca elementele de circuit să apară în locuri potrivite, la intrarea și ieșirea amplificatorului, pentru a ține seama de parametrii unui amplificator real, care nu se reduc numai la câștig. Amplificatorul real, utilizat în realizarea surselor controlate, va avea impedențe de intrare, ieșire și de reacție, așa cum se arată în fig. 7.33.

Datorită poziției lui Y_2 este posibil ca, prin această latură să se realizeze impedența de ieșire a primului amplificator. În mod similar Y_3 și Y_4 , pot să conteze ca impedențe de intrare, de ieșire și de reacție la cel de-al doilea amplificator. Prin urmare, este util să avem un termen constant în dezvoltarea lui Y_3 . Dacă acesta nu apare datorită faptului că în (139) $k_0 \geq \hat{k}_0$, atunci în membrul drept din (139) se poate face adunarea și scăderea unui termen potrivit ales.

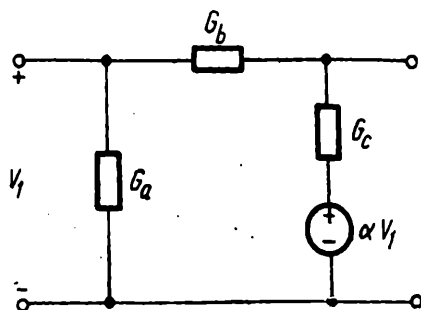
Pentru exemplificare să considerăm următoarea funcție trece-tot:

$$\frac{V_2}{V_1} = \frac{s^2 - 2s + 2}{s^2 + 2s + 2}.$$

În cazul de față, gradul lui $D(s)$ nu trebuie să fie mai mare ca 1. Să luăm $D(s) = s + 1$. Atunci

$$Y_1 - \alpha_1 Y_2 = \frac{s^2 - 2s + 2}{s + 1} = s + 2 - \frac{5s}{s + 1},$$

Fig. 7.34. Circuit echivalent al unui amplificator.



de unde

$$Y_1 = s + 2, \quad Y_2 = \frac{1}{\alpha_1} \frac{5s}{s + 1},$$

$$Y_3 - (\alpha_2 - 1) Y_4 = \frac{s^2 + 2s + 2}{s + 1} - Y_1 - Y_2 = - \frac{(\alpha_1 + 5)s}{\alpha_1(s + 1)}.$$

Constatăm că în membrul drept nu apare nici un termen constant. Rezultă că, pentru a realiza impedanța de intrare în cel de-al doilea amplificator, vom aduna și vom scădea o constantă G . Identificările pentru Y_3 și Y_4 ne dau:

$$Y_3 = G, \quad Y_4 = \frac{1}{\alpha_2 - 1} \left(G + \frac{(\alpha_1 + 5)s}{\alpha_1(s + 1)} \right).$$

Pentru concretizare luăm $\alpha_1 = 5$, $\alpha_2 = 2$ și $G = 1$; atunci Y_4 devine

$$Y_4 = 1 + \frac{2s}{s + 1} = \frac{3s + 1}{s + 1} = \frac{1}{-\frac{1}{3} + \frac{2}{3s + 1}}.$$

Astfel Y_4 se realizează ca o rezistență de $1/3$ unități, în serie cu o latură RC paralel. Realizarea completă este arătată în fig. 7.35. Observăm că în schemă nu apare impedanța de intrare în primul amplificator. Deoarece impedanța de intrare a amplificatorului real nu trebuie să aibă nici o influență, rezultă că circuitul trebuie alimentat de la o sursă de tensiune sau, cel puțin de la o sursă cu impedanță de ieșire mică, în comparație cu impedanța de intrare în amplificator.

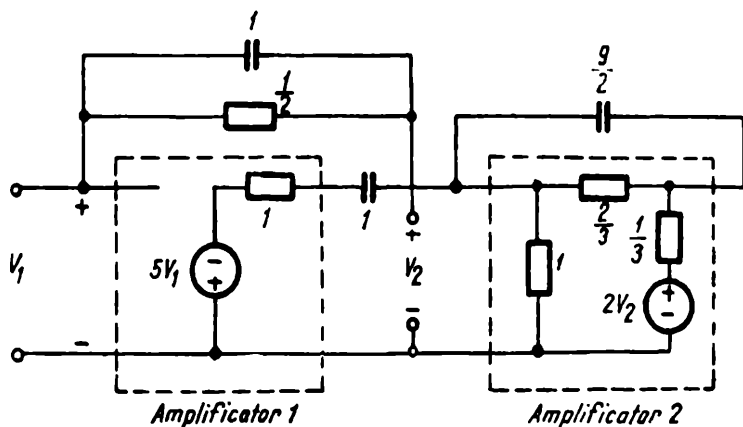


Fig. 7.35. Realizarea unui amplificator RC .

Să rezumăm conținutul acestui paragraf: am prezentat schematic principalele probleme ale sintezei formale a circuitelor RC pasive și active. Prima etapă constă în alegerea unei scheme particulare, care conține componente ale circuitelor considerate și în scrierea funcțiilor de transfer corespunzătoare, în funcție de parametrii componentelor. Apoi se ia funcția rațională dată, care este pusă în aceeași formă, după ce se introduce un polinom auxiliar, cu care se împarte numărătorul și numitorul. Aceasta permite să se identifice parametrii circuitelor componente, având grijă ca acestea să fie fizic realizabile. Ultima etapă constă în realizarea componentelor.

PROBLEME

Matrice elementare. Matricele elementare sînt de trei tipuri, corespunzînd celor trei tipuri de transformări elementare. Utilizați următoarele notații:

- Tipul 1: rE_{ij} este matricea elementară care schimbă reciproc liniile (rîndurile) j și i ,
 cE_{ij} este matricea elementară care schimbă reciproc coloanele i și j .
 Tipul 2: rE_{i+j} este matricea elementară care adună linia j la linia i ,
 cE_{i+j} este matricea elementară care adună coloana j la coloana i .
 Tipul 3: $rE_{\alpha i}$ este matricea elementară care înmulțește linia i cu α .
 $cE_{\alpha i}$ este matricea elementară care înmulțește coloana i cu α .

P. 1. Să se construiască o singură matrice, care realizează asupra unei matrice A următoarele operații:

- (a) Schimbă între ele liniile a treia și a doua, după ce linia a treia este înmulțită cu 2. Ordinul lui A : (3,5).
 (b) Adună prima coloană la a treia, după ce prima a fost înmulțită cu 3, iar a treia cu 1. Ordinul lui A : (2,3).
 (c) Adună linia a doua la prima, după ce prima a fost înmulțită cu -1. Ordinul lui A : (3,5).

P. 2. Să se găsească o singură matrice care să efectueze următoarele operații asupra unei matrice A :

- (a) Înmulțirea primei linii cu k și adunarea acesteia la linia a treia: apoi înmulțirea liniei a doua cu 3 și schimbarea reciprocă a acesteia cu prima linie. Ordinul lui A : (4,4).
 (b) Adunarea celei de a doua coloane la prima, apoi înmulțirea celei de a doua coloane cu -2 și adunarea ei la coloana a treia și în fine, schimbarea reciprocă a coloanelor a doua și a treia. Ordinul lui A : (4,3).

P. 3. Să se scrie o singură matrice care realizează fiecare din următoarele operații asupra liniilor unei matrice A :

- (a) Înmulțește linia 3 cu -2, apoi o adună la linia 1, după care schimbă între ele linia 1 cu linia 3. Ordinul lui A : (3,3).
 (b) Schimbă între ele linia 4 cu linia 2: apoi înmulțește linia 1 cu 5 și o adună la rîndul 3; după aceea scade linia 3, din linia 2. Ordinul lui A : (4,4).

P. 4. Să se repete problema 3 efectuînd operațiile asupra coloanelor.

P. 5. Fie o matrice A de ordinul (m, n) cu $m \leq n$, care are rangul r .

Să se arate că produsul oricărei matrice elementare cu A , va avea același rang r . Să se arate aceasta înmulțind pe A , cu fiecare tip de matrice elementară și să se găsească efectul acestor operații, asupra determinantului submatricilor corespunzătoare lui A .

P 6. Să se arate că inversa unei matrice elementare este o matrice elementară de același tip.

P 7. Să se demonstreze că o matrice nesingulară A poate să fie scrisă totdeauna, ca produsul unui număr finit de matrice elementare.

P 8. Să se demonstreze că, două matrice A și B de ordin (m, n) sînt echivalente, dacă și numai dacă ele au același rang.

P 9. Pentru fiecare din matricele A date mai jos să se găsească matricele P și Q astfel încît PAQ să fie forma normală a lui A .

$$(a) A = \begin{bmatrix} 1 & 2 & -1 & 4 \\ 2 & 4 & 3 & 5 \\ -1 & -2 & 6 & 7 \end{bmatrix}$$

$$(b) A = \begin{bmatrix} 3 & -3 & 1 & 2 \\ 2 & 1 & -3 & -6 \\ 1 & 1 & 1 & 2 \end{bmatrix}$$

$$(c) A = \begin{bmatrix} 1 & 2 & 1 & 0 \\ 1 & 2 & 3 & 2 \\ 2 & -1 & 2 & 5 \\ 3 & 6 & 5 & 2 \\ -1 & 3 & 1 & -3 \end{bmatrix}$$

P 10. Să se reducă următoarele matrice la forma normală :

$$(a) \begin{bmatrix} 2 & 0 & 1 & 1 \\ 3 & 5 & -2 & 0 \\ 3 & 2 & 0 & 1 \\ 4 & 0 & 2 & 2 \end{bmatrix}$$

$$(b) \begin{bmatrix} 6 & 8 & -2 & 4 \\ 3 & 4 & -1 & 2 \\ 12 & 16 & -4 & 8 \\ -6 & -8 & 2 & -4 \end{bmatrix}$$

$$(c) \begin{bmatrix} 1 & 0 & 2 & -1 \\ 0 & 6 & 2 & 2 \\ 1 & -6 & 0 & -3 \\ -2 & 0 & -4 & 2 \end{bmatrix}$$

$$(d) \begin{bmatrix} 1 & 1 & 1 & 1 \\ -1 & 1 & 1 & 1 \\ -1 & -1 & 1 & 1 \\ -1 & -1 & -1 & -1 \end{bmatrix}$$

P 11. Să se reducă următoarele matrice la forma canonică, utilizînd procedeul de reducere Lagrange :

$$(a) A = \begin{bmatrix} 1 & 1 & 1 \\ 1 & 0 & 0 \\ 1 & 0 & -1 \end{bmatrix}$$

$$(b) A = 1/4 \begin{bmatrix} 1 & -1 & 3 & -7 \\ -1 & 5 & 1 & 3 \\ 3 & 1 & 29 & -49 \\ -7 & 3 & -49 & 113 \end{bmatrix}$$

$$(c) A = 1/4 \begin{bmatrix} 1 & -1 & 3 & -7 \\ -1 & 5 & 1 & 3 \\ 3 & 1 & -3 & 7 \\ -7 & 3 & 7 & 15 \end{bmatrix}$$

P 12. Să se examineze dacă următoarele matrice sînt definite pozitiv :

$$A = \begin{bmatrix} 2 & 1 \\ 1 & 0 \end{bmatrix}$$

$$B = \begin{bmatrix} 1 & 0 & 1/2 & 1/2 \\ 0 & 2 & 1 & -1 \\ 1/2 & 1 & 4 & 1 \\ 1/2 & -1 & 1 & 5 \end{bmatrix}$$

$$C = \begin{bmatrix} 14 & -2 & 4 & -3 \\ -2 & 5 & 1 & 0 \\ 4 & 1 & 5 & -2 \\ -3 & 0 & -2 & 6 \end{bmatrix}$$

$$D = \begin{bmatrix} 4 & 1 \\ 1 & -1 \end{bmatrix}$$

$$E = \begin{bmatrix} 1 & -1 & 1 \\ -1 & 2 & 0 \\ 1 & 0 & 3 \end{bmatrix}$$

P 13. Să se demonstreze că o matrice simetrică A este definită pozitiv, dacă și numai dacă A^{-1} este simetrică și definită pozitiv.

P 14. (a) Să se demonstreze că o matrice reală, simetrică A este definită, pozitiv, dacă și numai dacă, există o matrice reală, nesingulară B , astfel încît $A = BB'$.

(b) Să se arate că o matrice reală, simetrică A de ordinul n și rang r este semidefinită pozitiv, dacă și numai dacă, există o matrice B de rang r astfel încît $A = B'B$.

P 15. Fie A o matrice reală, simetrică, de ordin n și B o matrice reală de ordin (r, n) și rang r . Să se arate că dacă A este definită pozitiv, atunci și BAB' definită pozitiv.

P 16 Fie A o matrice reală, nesimetrică și x un vector complex. A poate fi scrisă ca o sumă între părțile sale simetrice și antisimetrice, A_s și respectiv A_{as} unde :

$$A_s = 1/2 (A + A'),$$

$$A_{as} = 1/2 (A - A').$$

Se arată că

$$(a) \operatorname{Re}(x'Ax) = x'A_sx,$$

$$(b) \operatorname{Im}(x'Ax) = x'A_{as}x.$$

P 17. În circuitul din fig. 7. P17 toate cele trei bobine sînt cuplate mutual. Să presupunem că este posibil să se cunoscă matricea inductanțelor date, în care toate inductanțele mutuale sînt subunitare. Să se verifice că matricea acestor inductanțe nu este definită sau semidefinită pozitiv. Luînd $R_1 = R_2 = R_3 = 1$ în mod convențional, să se calculeze frecvențele naturale.

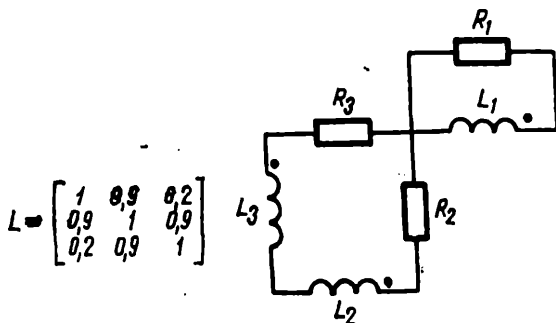


Fig. 7. P. 17.

P18. Fie $A = [a_{ij}]$. Cofactorii principali ascendenți ai matricei pătratică A sint definiți astfel:

$$p_1 = a_{11}, \quad p_2 = \begin{vmatrix} a_{11} & a_{12} \\ a_{21} & a_{22} \end{vmatrix}, \quad p_3 = \begin{vmatrix} a_{11} & a_{21} & a_{31} \\ a_{21} & a_{22} & a_{32} \\ a_{31} & a_{32} & a_{33} \end{vmatrix}, \quad \dots \quad p_n = \det A.$$

Să se demonstreze următoarea condiție pentru caracterul real-pozitiv, care este mai riguroasă decât teorema 4 din text. O matrice reală, simetrică A este definită pozitiv, dacă și numai dacă, toți cofactorii principali ascendenți sint pozitivi.

P19. (a) Să se găsească rangul fiecărei matrice din cele date în continuare. (Se vor găsi valori diferite).

$$A = \begin{bmatrix} 1 & -6 & 4 \\ 0 & 0 & 0 \\ 0 & 0 & 2 \end{bmatrix} \quad B = \begin{bmatrix} 1 & -3 & 2 \\ -3 & 3 & 0 \\ 2 & 0 & 2 \end{bmatrix}.$$

(b) Să se verifice că formele pătratică $X'AX$ și $X'BX$ sint egale.

P 20. Fie A o matrice reală, simetrică, definită pozitiv. Să se demonstreze că și A^2 este tot definită pozitiv.

P 21. Fie $F(s)$ o funcție real-pozitivă. Să se demonstreze proprietatea argumentului și anume că $|\arg F(s)| \leq |\arg s|$ pentru $0 \leq |\arg s| \leq \pi/2$.

Indicație: se face următoarea transformare bilineară:

$$p = \frac{s-1}{s+1}, \quad W = \frac{F-1}{F+1}.$$

Se analizează în ce mod se realizează transformarea semiplanelor din dreapta, din planele F și s , în planele W și p . Se arată că $W(p)$ satisface lema lui Schwarz (vezi Apendicele 2), apoi se înlocuiesc transformările de mai sus în lemă.

P 22. Se afirmă că funcțiile care urmează nu sint real-pozitive pentru $n > N_0$. Să se verifice această afirmație și să se găsească N_0 pentru fiecare funcție.

$$(a) F(s) = \left(\frac{s+1}{s+2} \right)^n, \quad (b) F(s) = \left(\frac{s+10}{s+11} \right)^n.$$

P 23. Fie o funcție de reactanță $F(s)$ și $F(j\omega) = jX(\omega)$. Să se demonstreze că

$$\frac{dX(\omega)}{d\omega} \geq \left| \frac{X}{\omega} \right|.$$

(Indicație: se utilizează funcțiile de energie).

P 24. Să se demonstreze că o transformare bilineară a unei funcții real-mărginită este real-pozitivă.

P 25. Fie

$$Z(s) = \frac{s^2 + s + 1}{s^2 + s + 4}.$$

Partea pară a acestei funcții real-pozitive are un zero (dublu) pe axa $j\omega$. Prin urmare această funcție transformă acest punct al axei $j\omega$ într-un punct pe axa jX a planului Z . Să se verifice că derivata dZ/ds în acest punct este reală și pozitivă.

P 26. Fie $Z(s) = (m_1 + n_1)/(m_2 + n_2)$ o funcție real-pozitivă. Să se arate că

$$P(s) = m_1 + an_1 + bm_2 + cn_2$$

este un polinom Hurwitz, în care a , b și c sînt constante pozitive.

P 27. Fie $P(s)$ un polinom Hurwitz. Să se arate că $F(s)$ este o funcție rp, dacă

$$F(s) = \frac{1}{P(s)} - \frac{dP(s)}{ds}.$$

P 28. Fie $Z(s) = P(s)/Q(s)$ o funcție real-pozitivă. Să se demonstreze că și următoarea funcție este tot real-pozitivă.

$$Z_1(s) = \frac{dP(s)/ds}{dQ(s)/ds}.$$

P 29. Fie

$$Y_{RC} = \frac{(s+1)(s+3)(s+8)}{(s+2)(s+4)(s+10)}.$$

Pentru a realiza funcția Y_{RC} , se sugerează ca prima latură în paralel pe bornele terminale, să fie o rezistență de $1/2$ ohm.

Admitanța care rămîne este $Y_{RC} - 2$. Aceasta este o funcție rp?

P 30. Utilizînd dezvoltările în fracții parțiale din (99) și (100), să se arate că :

- (a) $\text{Im} [Z_{RC}(j\omega)] \leq 0$ pentru $\omega \geq 0$, respectiv.
- (b) $\text{Im} [Y_{RC}(j\omega)] \geq 0$ pentru $\omega \geq 0$, respectiv.
- (c) $\text{Re} [Z_{RC}(j\omega)]$ este o funcție monoton *descrescătoare* de ω pentru $\omega \geq 0$.
- (d) $\text{Re} [Y_{RC}(j\omega)]$ este o funcție monoton *creșcătoare* de ω pentru $\omega \geq 0$.

P 31. Utilizînd rezultatul problemei 30 să se arate că :

- (a) $\text{Re} [Z_{RC}(0)] > \text{Re} [Z_{RC}(\infty)]$, sau $Z_{RC}(0) > Z_{RC}(\infty)$,
- (b) $\text{Re} [Y_{RC}(0)] < \text{Re} [Y_{RC}(\infty)]$, sau $Y_{RC}(0) < Y_{RC}(\infty)$.

P 32. Rezultatele problemei 30 pot fi descrise ca o transformare a semiplanului superior din s , în semiplanul inferior al lui Z și o transformare a semiplanului inferior din s , a semiplanului superior al lui Z . Să se utilizeze aceasta pentru a obține o altă demonstrație care să arate că $dZ_{RC}(s)/ds$ este negativă pe axa reală.

P 33. Utilizînd interpretarea din problema 32 să se arate că, la o impedanță $Z_{RL}(s)$, a unui circuit RL pasiv, $dZ_{RL}(s)/ds$ este reală și pozitivă pe axa reală.

P 34. Fie $Z_1(s)$ și $Z_2(s)$, funcții de impedanță RC . Să se demonstreze că Z_1/Z_2 este o funcție real-positivă.

P 35. Să se găsească unul sau mai multe circuite care să aibă următoarele funcții de reactanță.

$$(a) Z(s) = \frac{10s(s^2 + 1)(s^2 + 1)}{(s^2 + 1/4)(s^2 + 2)}, \quad (b) Z(s) = \frac{2(s^2 + 1)(s^2 + 25/4)}{s(s^2 + 9/4)(s^2 + 9)}.$$

P 36. Se dă următoarea funcție rațională:

$$Y(s) = \frac{K(s^2 + 1)(s^2 + \alpha^2)}{s(s^2 + 4)}.$$

Se știe de asemenea că:

$$(a) \left. \frac{dY}{ds} \right|_{s=j_1} = \frac{1}{2}, \quad (b) \left. \frac{dZ}{ds} \right|_{s=j_2} = 2.$$

Să se găsească un circuit corespunzător în scară și unul de tip Foster.

P 37. Fie $P(s)$ un polinom ale cărui zerouri sînt toate imaginare. Să se demonstreze că

$$F(s) = \frac{P(s)}{dP/ds}$$

este o funcție de reactanță.

P 38. Admitanța unui circuit RC pasiv are zerouri în $s = 0, -1$ și -3 . În fiecare din aceste puncte panta lui $Y(\sigma)$ este 2. Pentru valori mari ale lui $s = \sigma$, $Y(\sigma)$ tinde către valoarea 4. Să se găsească un circuit în scară și un circuit de tip Foster, care realizează această funcție

P 39. Fie $Y_{RC}(s)$ admitanța unui circuit RC pasiv. Să se arate că reziduurile lui Y_{RC} sînt negative în toți polii, cu excepția polului de la infinit.

P 40. Fie $P(s)$ un polinom ale cărui zerouri sînt toate reale și negative. Să se demonstreze că fiecare din următoarele două funcțiuni este admitanța unui circuit RC , pasiv:

$$F_1(s) = \frac{P(s)}{dP/ds}, \quad F_2(s) = \frac{s dP/ds}{P(s)}.$$

P 41. Fie $P(s)$ un polinom ale cărui zerouri sînt toate reale și negative. Dacă K este constantă reală și pozitivă, să se arate că toate zerourile lui $F(s)$ sînt reale și negative, cu

$$F(s) = \frac{s dP}{ds} + KP$$

P 42. (a) Fie $F(s) = P(s)/Q(s)$ o funcție de impedanță RC . Să se demonstreze că și $F(s)$ este o funcție de impedanță RC dacă

$$F(s) = \frac{dP(s)/ds}{dQ(s)/ds}$$

(b) Să se repete problema înlocuind cuvîntul impedanță cu admitanță.

P 43. Se cere să se demonstreze teorema 16 asupra polinoamelor Hurwitz. În primul rând, ca să se arate că, dacă $P(s) = m(s) + n(s)$ este Hurwitz, atunci m/n este o funcție de reactanță, se observă că factorii unui polinom Hurwitz sînt de forma $(s^2 + as + b)$ sau $(s+c)$, unde a , b și c sînt reale și pozitive. Se scrie

$$P(s) = (s^2 + as + b) P_1(s) = (s^2 + as + b)(m_1 + n_1) \\ = [(s^2 + b)m_1 + asn_1] + [(s^2 + b)n_1 + asm_1].$$

Raportul între părțile pară și impară este;

$$\frac{m}{n} = \frac{(s^2 + b)m_1 + asn_1}{(s^2 + b)n_1 + asm_1} = \left(\frac{n_1}{m_1} + \frac{as}{s^2 + b} \right)^{-1} + \left(\frac{s^2 + b}{as} + \frac{m_1}{n_1} \right)^{-1}$$

Să se arate că m/n este o funcție de reactanță în ipoteza că și m_1/n_1 este o funcție de reactanță. Se repetă procedura pînă cînd sînt cuprinși toți factorii lui $P(s)$, atît cei pătratici cît și cei lineari.

În al doilea rînd, trebuie arătat că dacă avem $P(s) = m(s) + n(s)$ și m/n este o funcție de reactanță, atunci $P(s)$ este un polinom Hurwitz (cu excepția unui factor par, posibil). Zerourile lui $P(s)$ rezultă din

$$P(s) = m + n = n \left(\frac{m}{n} + 1 \right) = 0.$$

Să se demonstreze că, deoarece m/n este o funcție de reactanță, egalitatea $m/n = -1$ nu poate avea loc, în semiplanul drept din planul s .

P 44. Să se verifice dacă polinoamele care urmează sînt Hurwitz :

- (a) $P(s) = s^4 + 7s^3 + 6s^2 + 4s + 1$;
- (b) $P(s) = 2s^4 + 4s^3 + 7s^2 + 7s + 3$;
- (c) $P(s) = s^7 + 3s^6 + 6s^5 + 6s^4 + 6s^3 + 6s^2 + 5s + 3$;
- (d) $P(s) = 2s^5 + 9s^4 + 16s^3 + 15s^2 + 7s + 2$

P 45. Se dă un circuit cu impedența de intrare $Z_1 = F(s)$. Se cere să se găsească un al doilea circuit, a cărui admitanță de intrare Y_2 să fie $F(s)$. Astfel de circuite se numesc inverse. Să se arate în ce condiții se poate găsi circuitul invers, unui circuit dat, prin metodele de dualitate discutate în cap. 2.

P 46. Se cere să se găsească uniportul invers, pentru fiecare din circuitele arătate în fig. 7.P46.

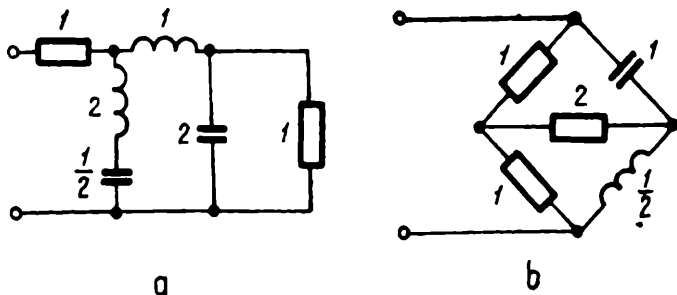


Fig. 7. P. 46.

Să se verifice că admitanța de intrare a circuitului invers este egală cu impedanța de intrare a circuitului dat.

P 47. Să se arate că condiția de reziduuri este satisfăcută cu semnul „egal” (poli compacți), în toți polii finiți și nenuli ai parametrilor y , pentru un diport nedisipativ, terminat cu o rezistență unitară, așa cum se arată în tabelul 7.1.

P 48. Să se arate că matricea simetrică a funcțiilor raționale

$$\begin{bmatrix} z_{11}(s) & z_{12}(s) \\ z_{12}(s) & z_{22}(s) \end{bmatrix}$$

este o matrice real-pozitivă, dacă și numai dacă, matricea părților reale

$$\begin{bmatrix} r_{11}(\sigma, \omega) & r_{12}(\sigma, \omega) \\ r_{12}(\sigma, \omega) & r_{22}(\sigma, \omega) \end{bmatrix}$$

este definită sau semidefinită pozitiv în $\sigma \geq 0$

P 49. Fie două funcții raționale, reale, $y_{11} = y_{22}$ și $y_{21} = y_{12}$. Să presupunem că puntea din fig. 7.P49 trebuie să aibă acești parametri de scurtcircuit. Să se arate că impedanțele laturilor Z_a și Z_b vor fi real-pozitive dacă

(a) y_{11} este real-pozitivă :

(b) este satisfăcută condiția pentru părțile reale :

$(\operatorname{Re} y_{11})^2 - (\operatorname{Re} y_{21})^2 \geq 0$, pentru $\operatorname{Re} s \geq 0$.

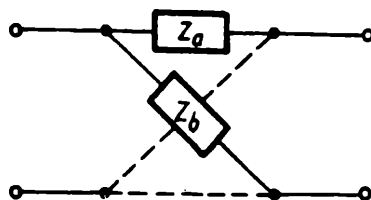


Fig. 7. P. 49.

Dacă în (b) se știe că, numai pe axa $j\omega$ este îndeplinită condiția pentru părțile reale, ce condiții suplimentare trebuie impuse pentru funcțiile date y_{11} și y_{21} , pentru ca teorema să fie din nou valabilă.

P 50. Să se arate că într-un zero al lui z_{11} , situat pe axa $j\omega$, z_{21} este imaginar. Apoi să se arate că, orice pol de pe axa $j\omega$ al funcției de transfer pentru tensiuni în gol :

$$g_{21}(s) = \frac{V_2(s)}{V_1(s)} \Big|_{I_2=0}$$

este simplu și cu reziduuri imaginare. Să se repete problema și pentru funcția de transfer pentru curenți în scurtcircuit, $h_{21}(s)$.

P 51. Figura 7.P51 *a* reprezintă un diport fără pierderi terminat la o poartă pe o rezistență unitară. În fig. 7.P51 *b* cele două porți au fost schimbate reciproc. În primul caz impedanța este

$$Z_1(s) = \frac{m_1 + n_1}{m_2 + n_2}.$$

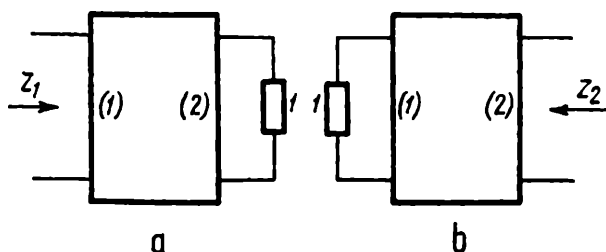


Fig. 7. P. 51.

- (a) Să se găsească expresia lui $Z_2(s)$ corespunzătoare cazului A și B din sinteza Darlington.
 (b) Să se observe legătura dintre Z_1 și Z_2 dacă : (1) $m_1 = m_2$ și (2) $n_1 = n_2$.

P 52. Să se găsească parametrii z sau y ai diportului nedisipativ, terminat cu o rezistență, care realizează următoarele funcții de impedanță. Să se menționeze, care din cazurile Darlington, A sau B, este aplicabil.

$$(a) Z(s) = \frac{s^2 + s + 4}{s^2 + s + 1},$$

$$(b) Z(s) = \frac{s^3 + s^2 + 2s + 1}{s^2 + s + 1},$$

$$(c) Z(s) = \frac{s^2 + 5s + 1}{s^3 + 5s^2 + 2s + 1},$$

$$(d) Z(s) = \frac{s^4 + 2s^3 + 3s^2 + s + 1}{s^4 + s^3 + 3s^2 + 2s + 1},$$

$$(e) Z(s) = \frac{s^3 + 2s^2 + 5s}{s^3 + 3s^2 + 4s + 35/8},$$

$$(f) Z(s) = \frac{s^4 + s^3 + 3s^2 + 2s + 6}{s^3 + 3s^2 + 7s}.$$

P 53. Fie $Z(s)$ impedanța la intrarea unui diport nedisipativ, terminat cu o rezistență unitară. Să se arate că :

- (a) dacă $Z(s)$ are un pol în $s = 0$, parametrii z ai diportului nedisipativ, vor avea în acest punct un pol, care nu este compact ;
 (b) dacă $Z(s)$ are un zero în $s = 0$, parametrii y au în acest punct un pol, care nu este compact ;
 (c) dacă $Z(s)$ nu are nici pol și nici zero în $s = 0$, atunci atât parametrii z , cât și parametrii y , vor avea în acest punct un pol compact ;
 (d) concluziile de la punctele precedente rămân valabile, dacă punctul $s = 0$ se înlocuiește cu $s = \infty$.

P 54. Teorema lui Darlington arată că, $Z(s)$, poate fi realizat ca un diport reactiv, terminat cu o rezistență la una din porți. În general, în realizarea diportului intervin și transformatoare. În cele ce urmează se prezintă o variantă în care transformatorul nu este necesar. Fie o funcție real-pozitivă scrisă în forma

$$Z(s) = \frac{m_1(s) + n_1(s)}{m_2(s) + n_2(s)}$$

În care m_1 și m_2 sînt polinoame pare, iar n_1 și n_2 sînt impare.

Zerourile polinomului $m_1 m_2 - n_1 n_2$ prezintă o simetrie cuadrantală¹⁾.

Fie $H(s)$ un polinom Hurwitz, format din zerourile lui $m_1 m_2 - n_1 n_2$ situate în semipiarul stîng, adică

$$H(s) H(-s) = m_1 m_2 - n_1 n_2$$

și

$$H(s) = m(s) + n(s)$$

(a) Să se demonstreze că

$$Z_{oc} = \begin{bmatrix} \frac{n^2 + m_1 m_2}{m_2 n_2} & \sqrt{R_2} \frac{m}{n_2} & \sqrt{R_3} \frac{n}{m_2} \\ \sqrt{R_2} \frac{m}{n_2} & R_2 \frac{m_2}{n_2} & 0 \\ \sqrt{R_3} \frac{n}{m_2} & 0 & R_3 \frac{n_2}{m_2} \end{bmatrix}$$

este matricea impedanțelor de gol a unui triport reactiv, care realizează la una din porți impedanța $Z(s)$, atunci cînd celelalte două porți sînt terminate cu rezistențe, așa cum se arată în fig. 7.P54. (Elementul de bază al demonstrației constă în a arăta că este îndeplinită condiția de reziduuri).

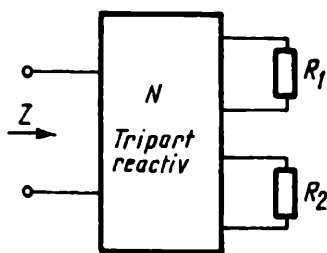


Fig. 7. P. 54.

(b) Să se demonstreze că:

$$Y_{sc} = \begin{bmatrix} \frac{n^2 + m_1 m_2}{m_1 n_1} & \frac{m}{\sqrt{R_2} n_1} & \frac{n}{\sqrt{R_3} m_1} \\ \frac{m}{\sqrt{R_2} n_1} & R_2 \frac{m_1}{n_1} & 0 \\ \frac{n}{\sqrt{R_3} m_1} & 0 & R_3 \frac{n_1}{m_1} \end{bmatrix}$$

este matricea admitanțelor de scurtcircuit a triportului reactiv, considerat anterior.

¹⁾ Zerourile sînt plasate în planul s , simetric în raport cu axa reală și cu cea imaginară. (N.T.).

(c) Să se realizeze impedanțele date în continuare, în forma circuitului arătat. (Realizarea Darlington necesită transformatoare).

$$(1) Z(s) = \frac{s^3 + s^2 + 2s + 1}{s^3 + 2s^2 + 3s/2 + 2}, \quad (2) Z(s) = \frac{3s^3 + 5s^2 + 4s + 6}{s^3 + 2s^2 + 2s + 1}.$$

P 55. Să se demonstreze că inversa unei matrici real-pozitive este real-pozitivă.

P 56. Fie $Q(s)$ un polinom Hurwitz, ale cărui zerouri sînt toate complexe Fie $P(p)$ un polinom Hurwitz asociat cu $Q(s)$ în modul următor, după transformarea $s = p^2$.

$$Q(s) = Q(p^2) = P(p) P(-p)$$

Rezultă că $P(p)$ este polinomul care conține toate zerourile lui $Q(p^2)$ situate în semiplanul stîng. Să notăm

$$P(p) = A(p^2) + pB(p^2)$$

unde A și B sînt polinoame impare, ceea ce rezultă din modul în care au fost scrise variabilele lor.

(a) Să se demonstreze că $Q(s)$ poate fi exprimat totdeauna ca o diferență între două polinoame în forma :

$$Q(s) = A^2(s) - sB^2(s)$$

unde $A(s)$ și $B(s)$ au numai zerouri reale și negative și unde atît A/sB cît și B/A sînt funcții de impedanță RC. Această formă a lui $Q(s)$ se numește *descompunerea Horowitz* a lui Q (a nu se confunda cu Hurwitz).

(b) Să se aplice (a) următoarelor polinoame :

(1) $Q(s) = (s^2 + 2s + 2)(s^2 + s + 10),$

(2) $Q(s) = (s^2 + s + 1)(s^2 + 2s + 4)$

(3) Polinomul lui Cebîșev de ordinul patru cu factorul de ondulații $\delta = 0,1,$

(4) Polinomul lui Butterworth de ordinul patru,

(5) $Q(s) = (s^2 + s + 2)(s^2 + 2s + 5)(s^2 + s + 8),$

(6) $Q(s) = (s^2 + s + 1)(s^2 + 2s + 3)(s + 3s + 5),$

(7) Polinomul lui Cebîșev de ordinul șase cu factorul de ondulații $\delta = 0,1,$

(8) Polinomul lui Butterworth de ordinul șase.

P 57. Fie Q_1 și Q_2 două polinoame de același grad, cu polinoame Hurwitz asociate P_1 și P_2 și fie descompunerea Horowitz corespunzătoare :

$$Q_1 = A_1^2 - sB_1^2$$

$$Q_2 = A_2^2 - sB_2^2$$

(a) Să se demonstreze că, dacă P_1/P_2 este real-pozitiv, atunci

$$A_1^2 - sB_2^2 \text{ și } A_2^2 - sB_1^2$$

sînt de asemenea o descompunere Horowitz, adică

$$\frac{A_1}{sB_2}, \frac{B_2}{A_1}, \frac{A_2}{sB_1}, \frac{B_1}{A_2}$$

sînt toate funcții de impedanță RC

(b) Să se aplice acest rezultat perechilor potrivite de polinoame din problema P.58.

P 58. Fie $Q_1(s) = A_1^2(s) - sB_1^2(s)$ descompunerea Horowitz a unui polinom $Q_1(s)$. Fie $Q_2(s)$ un alt polinom de grad, nu mai mic decît cel al lui Q_1 și fără zerouri reale.

(a) Să se demonstreze că Q_2 se poate scrie totdeauna în forma :

$$Q_2(s) = A_1(s) A_2(s) - sB_1(s)B_2(s)$$

unde

$$\frac{A_1}{sB_2}, \frac{B_2}{A_1}, \frac{A_2}{sB_1} \text{ și } \frac{B_1}{A_2}$$

sînt toate funcții de impedanță RC

[Cu transformarea $s = p^2$, $Q_2(p^2)/Q_1(p^2)$ este partea pară a unei funcții rp. Din aceasta se formează funcția rp corespunzătoare, fie aceasta $F(p)$ și se exprimă numărătorul și numitorul prin polinoamele par și impar. În sfîrșit, din $F(p)$ se formează partea pară ; numărătorul său trebuie să fie $Q_2(p^2)$.]

(b) Să se aplice acest rezultat polinoamelor, potrivit alese, din problema P.56.

P 59. Dacă în problema P.58 se admite ca polinomul Q_2 să aibă și zerouri reale negative, să se arate că Q_2 poate fi descompus în

$$Q_2 = A_1B_2 - A_2B_1$$

unde

$$\frac{A_1}{sB_2}, \frac{B_2}{A_1}, \frac{A_2}{sB_1}, \frac{B_1}{A_2}, \frac{A_1}{sB_1}, \frac{B_1}{A_1}, \frac{A_2}{sB_2}, \frac{B_2}{A_2}$$

sînt toate funcții de impedanță RC .

În acest caz, $pQ_2(p^2)/Q_1(p^2)$ este partea impară a unei funcții rp. Se contruiește funcția rp din partea sa impară, adunînd o constantă suficient de mare, pentru ca rezultatul să nu aibă zerouri pe axa $j\omega$. Se reconstruiește partea impară din funcția rp ; numărătorul său trebuie să fie $pQ_2(p^2)$.

P 60. Fie $F(s) = \frac{Q_1(s)}{Q_2(s)}$ o funcție rațională, reală.

(a) Să se demonstreze că aceasta poate fi descompusă în

$$F(s) = \frac{B_1(s)A_2(s) - A_1(s)B_2(s)}{A_1(s)A_2(s) - sB_1(s)B_2(s)}$$

unde

$$\frac{A_1}{sB_1}, \frac{B_1}{A_1}, \frac{A_2}{sB_2}, \frac{B_2}{A_2}$$

sînt toate funcții de impedanță RC .

(b) Să se aplice acest rezultat următoarelor funcții :

$$(1) \quad F(s) = \frac{s^2 + s + 1}{(s^2 + 2s + 2)(s^2 + 3s + 5)},$$

$$(2) \quad F(s) = \frac{(s^2 + s + 1)(s + 2)(s^2 + 2s + 8)}{(s^2 + 2s + 6)(s^2 + 4s + 10)},$$

$$(3) \quad F(s) = \frac{(s^2 + s + 1)(s^2 + 3s + 5)}{(s^2 + 4s + 8)(s^2 + 5s + 10)}.$$

P 61. Să presupunem că funcția rațională $F(s)$ din problema **P.60** este supusă următoarelor restricții suplimentare : (a) $F(s)$ nu are nici un pol la ∞ și $F(\infty) \geq 0$. (b) Orice pol real și negativ al lui $F(s)$ este simplu și cu reziduuri pozitive.

(a) Să se demonstreze că $F(s)$ poate fi descompus astfel

$$F(s) = \frac{A_1(s) B_2(s) - A_2(s) B_1(s)}{A_1^2(s) - s B_1^2(s)}$$

unde

$$\frac{A_2}{s B_2}, \frac{B_2}{A_2}, \frac{A_1}{s B_1}, \frac{B_1}{A_1}$$

sînt toate funcții de impedanță RC .

(b) Să se aplice acest rezultat, funcțiilor potrivite din problema **P.60**.

P 62. Următoarele funcții de impedanță de transfer, trebuie realizate prin circuitul RC , în cascadă cu un convertor de negativare, arătat în fig. 7.30. Să se găsească descompunerea Horowitz a numitorului (ca în problema **P.56**) și să se formeze de aici, parametrii z ai diporților RC .

$$(a) \quad \frac{K(s^2 + 1)}{s^4 + 4s^3 + 9s^2 + 8s + 5}, \quad (b) \quad \frac{K(2s^2 - s + 2)}{s^2 + 2s + 6},$$

$$(c) \quad \frac{K(s^2 - 2s + 3)}{(s^2 + s + 3)(s^2 + s + 5)}, \quad (d) \quad \frac{K(s^2 + 1)(s^2 + 4)}{(s^2 + 2s + 2)(s^2 + 3s + 6)}.$$

P 63. Să considerăm că funcțiile din problema **P.62** sînt funcții de transfer pentru tensiune și trebuie realizate prin circuitul RC în paralel cu convertorul de negativare, arătat în fig. 7.31. Să se utilizeze un polinom auxiliar corespunzător și să se obțină un circuit.

P 64. Funcțiile din problema **P.62** trebuie realizate prin circuitul cu amplificator din fig. 7.33. Să se utilizeze un polinom auxiliar potrivit și să se găsească o realizare.

P 65. Să presupunem că o funcție rațională dată, este mărită cu un polinom auxiliar, cu zerouri reale negative și se face apoi o dezvoltare în fracții parțiale, ca în text în relația (131).

Funcția poate fi exprimată ca în (130). Rezultatul trebuie realizat prin conexiunea în cascadă arătată în fig. 7 P 65 *a*, unde N_a este un circuit RC . Diportul N_b este arătat cu linie punctată. Impedanța sa de intrare z_{11b} este $-z$. Acest diport este format la rândul său, din

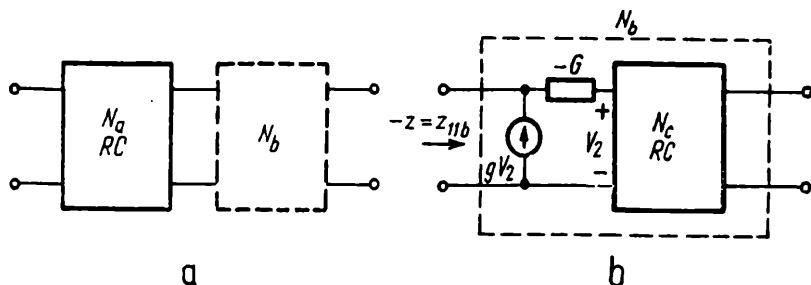


Fig. 7. P. 65.

componentele reprezentate în fig. 7 P 65 *b*. Să se arate că parametrii lui N_c , pot fi exprimați prin cei ai lui N_b , cu relațiile

$$z_{11c} = \frac{1}{g} \frac{1/G - z}{1/g - z},$$

$$z_{21c} = \left(\frac{1}{g} - \frac{1}{G} \right) \frac{z_{21b}}{1/g - z}.$$

Se vede că $-z$ este negativă unei impedanțe RC . Din proprietățile lui $-z(s)$, să se precizeze condițiile pe care trebuie să le îndeplinească parametrii g și G pentru ca N_c să fie un diport RC .

P 66. (a) Să se elaboreze o metodă de realizare a funcției de transfer pentru tensiune, prin circuitul din fig. 3. P 22 din cap. 3, unde diportul și admitanța Y sînt RC .

(b) Să se realizeze fiecare din funcțiile date în problema P.62 în această formă.

P 67. O funcție ce reprezintă o impedanță de transfer, trebuie realizată prin conectarea în cascadă a unităților arătate în fig. 3. P 26 (cap. 3), în care fiecare din diporții N_b și N_a să fie de tip RC .

(a) Să se elaboreze o metodă care să permită identificarea funcțiilor realizabile RC , z_{21b} și y_{21a} și a funcțiilor similare pentru celelalte unități conectate în cascadă.

(b) Să se illustreze metoda cu funcțiile a) și d) din problema 62.

P 68. Fie $Z(s)$ o funcție rațională real-pozitivă.

(a) Să se demonstreze că

$$F(s) = \frac{kZ(s) - sZ(k)}{kZ(k) - sZ(s)}$$

este de asemenea real-pozitivă, constanta k fiind reală și pozitivă.

(b) Să se arate că numărătorul și numitorul au un factor comun $(s + k)$, dacă și numai dacă $Z(-k) = -Z(k)$.

(c) Exprimind pe $Z(s)$ în funcție de $F(s)$ se găsește :

$$Z(s) = Z(k) \frac{s + kF(s)}{k + sF(s)}.$$

Să se arate că, dacă $Z(-k) \neq -Z(k)$, atunci numărătorul și numitorul expresiei pentru $Z(s)$ va avea un factor comun $(s+k)$.

(d) Să se illustreze cele precedente cu următoarele funcții rp :

$$(1) Z(s) = \frac{s^2 + s + 1}{s^2 + s + 1}, \quad (2) Z(s) = \frac{s^3 + 2s^2 + s + 1}{s^3 + s^2 + 2s + 1}.$$

P 69. Două funcții real-pozitive $F_1(s)$ și $F_2(s)$ se numesc *complementare*, dacă suma lor este egală cu o constantă pozitivă K . Să presupunem că $F_1(s)$ și K sunt date. Să se determine restricțiile la care trebuie să fie supuse $F_1(s)$ și K , pentru ca $F_1(s)$ să aibă o funcție complementară. Dacă $F_1(s)$ și $F_2(s)$ sint complementare și reprezintă funcții de impedanță de intrare, aceasta înseamnă că, prin conectarea în serie a celor două circuite corespunzătoare, se obține o impedanță de intrare constantă. Dacă $F_1(s)$ și $F_2(s)$ sint funcții de admitanță, atunci prin conectarea în paralel a circuitelor corespunzătoare, se obține o admitanță de intrare constantă. O pereche de astfel de circuite se numesc complementare.

P 70. Ne referim la problema P.69. Fie $Z_1(s)$ impedanța de intrare a unui circuit RC și să presupunem că aceasta este regulată în origine. Să se arate că funcția sa complementară $z_2(s)$ va fi o funcție de impedanță RL , regulată la infinit.

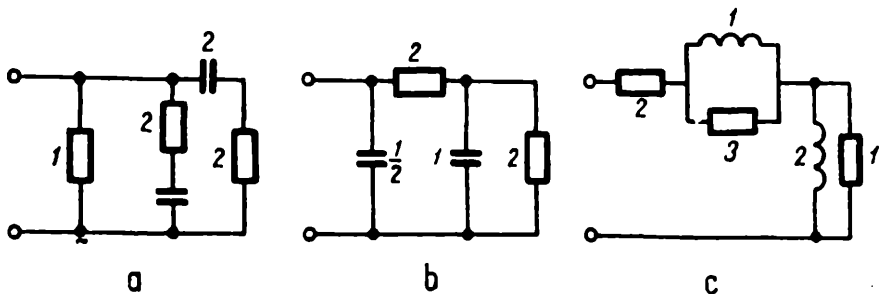


Fig. 7. P. 71.

P 71. Să se găsească circuitele complementare pentru fiecare din circuitele date în fig. 7.P.71.

8

Parametri de repartiție

Proprietățile și comportarea unor circuite multiport pot fi studiate, așa cum s-a arătat în capitolul 3, prin intermediul *matricelor de impedanțe, admitanțe, sau hibride*. Aceste matrice sînt definite cu ajutorul tensiunilor de gol sau al curenților de scurtcircuit, considerate la diferite porți ale rețelei. În condiții de lucru reale, multiportul poate să nu aibă la unele porți, bornele în scurtcircuit, sau în gol. Totuși, acești parametri de gol sau de scurtcircuit pot să descrie în mod adecvat funcționarea multiportului, în orice condiții de terminație. Desigur, unele circuite pot să nu aibă matrice z , altele pot să nu aibă matrice y , iar unele (ca de exemplu transformatoarele ideale ¹⁾, pot să nu aibă nici matrice z nici matrice y .

Ar fi util să existe un alt mod de a descrie comportarea multiportului în alte condiții de funcționare, cu porțile terminate altfel decît în gol sau scurtcircuit. Dacă s-ar defini un set de parametri considerînd la fiecare poartă o sarcină finită ²⁾, acești parametri ar fi mai utili pentru a descrie transferul (de putere) de la un generator real (cu impedanță internă), conectat la o poartă, spre o sarcină conectată la altă poartă. Parametrii de repartiție constituie un astfel de set.

Parametrii de repartiție își au originea în teoria liniilor de transmisiuni. Acești parametri sînt foarte importanți în teoria circuitelor pentru microunde, în care conceptul de putere este mai important decît conceptele de tensiune și curent, care devin aici oarecum artificiale. Parametrii de repartiție vor fi definiți astfel, încît mărimile ce intervin în transferul de putere să aibă expresii foarte simple.

În dezvoltările care urmează vom utiliza în mod neconvențional, unele concepte ca incidență și reflexie din teoria liniilor de transmisiuni,

¹⁾ Un transformator ideal este un diport cu matricele z și y nedefinite deoarece avînd înfășurări cu inductanțe infinite, elementele matricelor z și y sînt infinite (N.T.).

²⁾ Înțelegînd prin aceasta și nenulă (N.T.).

numai în scopul unor motivații. Expresiile matematice obținute sînt însă valabile și nu depind de astfel de interpretări. Vom trata la început cazul mai simplu al uniportului și apoi vom trece treptat la diporti și la multiporti.

8.1. RELAȚII DE REPARTIȚIE ALE UNUI UNIORT

Vom începe prin a considera situația arătată în figura 8.1. Un circuit uniport Z este considerat ca terminatie a unei surse de tensiune, în serie cu o impedanță $z(s)$, care poate fi considerată ca circuit Thévenin echivalent.

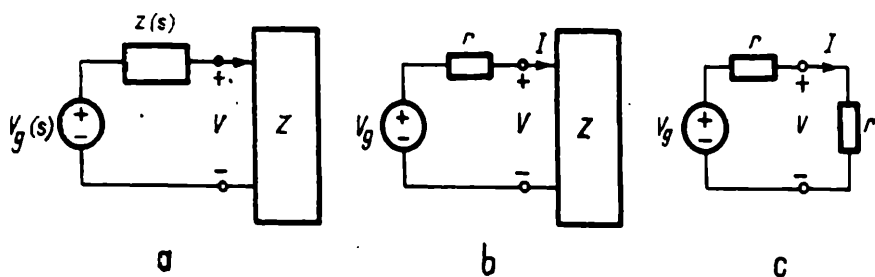


Fig. 8.1. O rețea uniport terminînd un alt uniport, reprezentat prin circuitul Thévenin echivalent.

valent altui circuit, la care este conectat Z . Impedanța $z(s)$ poate fi considerată *impedanță a sursei*. Dacă $z(s)$ este reală, situația va fi cea din figura 8.1b. Uniportul va absorbi putere de la rețeaua sursă. Conectarea optimă va avea loc dacă $Z(s) = z(-s)$, cînd se transferă puterea maximă. (Pentru $s = j\omega$, $z(-s)$ devine $z(-j\omega) = \bar{z}(j\omega) = z(j\bar{\omega})$). Astfel condiția: $Z(s) = z(-s)$ se reduce la relația $Z(j\omega) = \bar{z}(j\omega)$, care reprezintă condiția cunoscută pentru transfer maxim de putere.

Cînd z este real (egal cu r), adaptarea va avea loc pentru $Z = r$. Utilizînd terminologia de la propagarea undelor, spunem că dacă uniportul este adaptat la sursă (rețea) nu vom avea reflexii la bornele terminale.

În condiții de neadaptare, transformata V a tensiunii la borne este reprezentată ca fiind compusă din „undă incidentă” sosind din stînga și „undă reflectată”, care se întoarce dinspre uniport. O situație similară există și pentru transformata I a curentului. Astfel putem să scriem :

$$V = V_i + V_r \quad (1a)$$

și

$$I = I_i - I_r \quad (1b)$$

unde indicii i și r reprezintă termenul „incident” și „respectiv „reflectat”. Semnul negativ din ecuația a doua este un rezultat al referinței alese pentru curentul reflectat. Să presupunem că aordăm mărimii reale r sensul de „impedanță caracteristică” a sistemului de transmisie din stînga borne-
lor uniportului. Atunci mărimile incidente și reflectate sînt legate prin :

$$\frac{V_i}{I_i} - \frac{V_r}{I_r} = r, \quad (2)$$

care sînt relații binecunoscute pentru o linie de transmisiuni. Utilizînd acest rezultat (1) poate fi inversat astfel încît să dea :

$$V_i = \frac{1}{2}(V + rI), \quad I_i = \frac{1}{2}(gV + I), \quad (3a)$$

$$V_r = \frac{1}{2}(V - rI), \quad I_r = \frac{1}{2}(gV - I), \quad (3b)$$

unde $g = 1/r$. Acum este posibil să se definească un *coeficient de reflexie pentru tensiuni* ρ , ca raportul între transformatele tensiunii incidente și reflectate și un *coeficient de reflexie pentru curenți*, ca raportul între transformatele curentului incident și reflectat. Astfel, utilizînd (3) pentru variabilele incidente și reflectate, obținem :

$$\rho = \frac{V_r}{V_i} = \frac{V - rI}{V + rI} = \frac{Z - r}{Z + r} = \frac{Z/r - 1}{Z/r + 1} = \frac{gZ - 1}{gZ + 1} = \frac{gV - I}{gV + I} = \frac{I_r}{I_i}. \quad (4)$$

Unele etape din această secvență utilizează $V = ZI$. La fel ca și impedanța Z , care poate să caracterizeze comportarea uniportului și coeficientul de reflexie poate să-l caracterizeze complet. Există o corespondență biunivocă între Z și ρ dată de transformarea bilineară $\rho = (Z - r)(Z + r)^{-1}$. Observăm că, coeficienții de reflexie pentru tensiuni și curenți sînt aceiași. Trebuie subliniat totuși, că aceasta este adevărat numai în cazul considerat și anume la o impedanță reală a sursei. Cînd în continuare vom lua în considerație cazul general, vom găsi că cei doi coeficienți de reflexie sînt diferiți.

Conceptele de propagare a undelor pe care le-am utilizat în discuția precedentă sînt artificiale în cazul circuitelor cu elemente concentrate. Cu toate acestea, este posibil să considerăm (3), ca definiții formale ale variabilelor V_i , V_r , și I_i , I_r , fără să atașăm vreo semnificație interpretativă acestor mărimi, care reflectă originea lor în mod intuitiv. În dezvoltare am utilizat r ca impedanță caracteristică. Totuși, această idee nu este necesară în definițiile exprimate prin (3) și (4); r este pur și simplu un număr arbitrar, real și pozitiv care are dimensiuni de impedanță.

Este de fapt posibil, să se introducă tensiunile incidente și reflectate într-un mod diferit. Să considerăm din nou uniortul din figura 8.1; acesta este caracterizat prin două variabile V și I . În locul acestora se poate utiliza, ca set la fel de adecvat, o combinație lineară a acestor variabile. Astfel transformarea :

$$\begin{aligned} V_i &= a_{11} V + a_{12} I, \\ V_r &= a_{21} V + a_{22} I \end{aligned} \quad (5)$$

definește două noi variabile V_i și V_r , în funcție de cele dinainte V și I . Coeficienții transformării trebuie aleși astfel, încît noile variabile să devină convenabile pentru utilizare. Alegerea $a_{11} = a_{21} = \frac{1}{2}$ și $a_{12} = -a_{22}$ va face ca (5), să se reducă la (3). Alte valori alese pot să conducă la formulări suplimentare, care pot să fie, sau să nu fie, utile pentru diferite aplicații.

Este posibil să se interpreteze variabilele incidente și reflectate, referindu-ne la situația arătată în figura 8.1c, în care uniortul este adaptat cu impedanța reală a sursei. În acest caz $V = rI$. Prin urmare, din (3a) găsim că :

$$V_i = V, \quad I_i = I \quad (6)$$

cînd avem adaptare. Aceasta ne arată că, *dacă uniortul este adaptat la bornele sale, tensiunea la borne este V_i iar curentul este I_i* . Prin urmare în condiții de adaptare, (3b) ne arată că $V_r = 0$ și $I_r = 0$; din figura 8.1 c, observăm că

$$V_i = \frac{1}{2} V_o. \quad (7)$$

Din (4) se observă că, în condiții de adaptare, coeficientul de reflexie este zero.

Cînd uniortul nu este adaptat, V_r și ρ nu se anulează. De fapt (1) poate fi scris în forma următoare

$$V_r = V - V_i, \quad (8a)$$

$$I_r = I_i - I; \quad (8b)$$

adică, tensiunea reflectată, V_r este o măsură a deviației tensiunii uniortului, în condiții de lucru reale, față de valoarea sa la adaptare. În mod similar, I_r este o măsură a deviației curentului, în condiții de lucru, față de valoarea sa la adaptare. Se remarcă ușoara asimetrie în sensul că o deviație este pozitivă și alta este negativă.

Variabile normate. Normare reală

În discuțiile precedente s-au utilizat două perechi de variabile: tensiuni incidente și reflectate și curenți incidenti și reflectați. Deoarece așa cum rezultă din (2), aceste mărimi sînt în perechi proporționale, este suficient să considerăm o variabilă incidentă și o variabilă reflectată. În loc să alegem ca variabilă tensiunea, sau curentul vom utiliza variabile normate, legate de ambele.

Variabilele *normate* incidente și reflectate sînt definite în modul următor :

$$a(s) = \sqrt{r} I_i(s) = \frac{V_i(s)}{\sqrt{r}}, \quad (9a)$$

$$b(s) = \sqrt{r} I_r(s) = \frac{V_r(s)}{\sqrt{r}}. \quad (9b)$$

Vom numi *a* și *b* *variabile de repartiție*.

Utilizînd (3), aceste noi variabile pot fi exprimate în funcție de tensiuni și curenți astfel :

$$\begin{aligned} a &= \frac{1}{2} (r^{-1/2} V + r^{1/2} I), \\ b &= \frac{1}{2} (r^{-1/2} V - r^{1/2} I). \end{aligned} \quad (10)$$

Rădăcina patrată din *r*, care apare în dreapta acestor expresii, este incomodă. Pentru a o elimina se definesc tensiunea normată V_n și curentul normat I_n :

$$V_n = r^{-1/2} V, \quad (11a)$$

$$I_n = r^{1/2} I. \quad (11b)$$

Atunci variabilele de repartiție devin :

$$a = \frac{1}{2} (V_n + I_n), \quad (12a)$$

$$b = \frac{1}{2} (V_n - I_n). \quad (12b)$$

Observînd relația (4) se constată invariația coeficientului de reflexie în raport cu normarea. Astfel

$$\rho = \frac{V_r}{V_i} = \frac{a}{b} = \frac{V_n - I_n}{V_n + I_n} = \frac{Z_n - 1}{Z_n + 1} = \frac{Z - r}{Z + r}, \quad (13)$$

unde $Z_n = Z/r$ este impedanța normată.

Reciproc, tensiunea normală, curentul și impedanța pot fi exprimate în funcție de variabilele de repartiție și de coeficientul de reflexie, inversind (12) și (13). Astfel :

$$V_n = a + b, \quad (14a)$$

$$I_n = a - b, \quad (14b)$$

$$Z_n = \frac{1 + \rho}{1 - \rho} = (1 + \rho)(1 - \rho)^{-1}. \quad (14c)$$

Circuit mărit

Normarea utilizată mai înainte poate fi interpretată referindu-ne la circuitul arătat în fig. 8.2. Valoarea normală a rezistenței sursei este 1. Transformatorul ideal, cu raport de transformare $1 : \sqrt{r}$, conduce la ecuațiile adecvate între tensiunile și curenții care apar în secundar și tensiunile și curenții normați din primar. Uniortul inițial, conectat în cascadă cu transformatorul poate fi numit uniort normal (fig. 8.2 a). Dacă uniortul inițial este adaptat cu r , aceasta este echivalent cu adaptarea uniortului normal cu unitatea. Din cauza funcțiunii de normare pe care o îndeplinește, r este numit *număr de normare* sau *rezistență de referință*. În caz că numărul de normare este unitar, transformatorul ideal, care rezultă cu raportul $1 : 1$, poate să fie omis în figura 8.2.

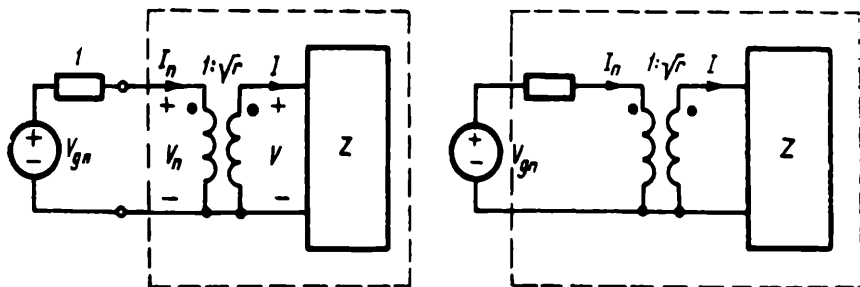


Fig. 8.2. (a) Circuit normal ; (b) circuit normal mărit.

Este evident că, dacă uniortul este adaptat, impedanța de intrare în primarul transformatorului este o rezistență unitară. Cum $V_n = I_n$; din (12), aceasta înseamnă $a = V_n$ și $b = 0$. Astfel, în condiții de adaptare, variabila de repartiție incidentă este egală cu tensiunea normală și variabila de repartiție reflectată este nulă. Mai departe, avind sursa de tensiune

normată, definită ca : $V_{gn} = r^{-1/2} V_g$, constatăm că legătura dintre V_g și V_i , dată în (7) este invariantă în raport cu normarea. Astfel ;

$$a = \frac{1}{2} V_{gn} \quad (15)$$

Putem să mergem mai departe, incluzind rezistența serie unitară în interiorul circuitului normat, așa cum se arată în figura 8.2b. Astfel se obține un circuit numit *circuitul normat mărit* (de tip serie). Desigur este posibil ca circuitul inițial să fie mărit prin înserierea rezistenței r , fără a se face normarea. Ceficientul de reflexie al circuitului inițial poate fi exprimat în funcție de admitanța Y_a , a circuitului mărit sau Y_{an} a circuitului mărit, normat. Din figura 8.2 rezultă clar că se poate scrie :

$$Y_a = \frac{I}{V_g} = \frac{1}{Z + r}, \quad Y_{an} = \frac{I''}{V_{gn}} = \frac{r}{Z + r} = r I_a.$$

Deci

$$\rho = \frac{Z - r}{Z + r} = \frac{Z + r - 2r}{Z + r} = 1 - \frac{2r}{Z + r}$$

sau

$$\rho = 1 - 2r Y_a = 1 - 2Y_{an}. \quad (16)$$

(În dezvoltare r a fost adunat și scăzut la numărător). Aceasta este o expresie utilă. Adesea (16) poate fi cea mai simplă formă pentru calculul coeficientului de reflexie.

Ca un exemplu, să considerăm situația arătată în fig. 8.3.

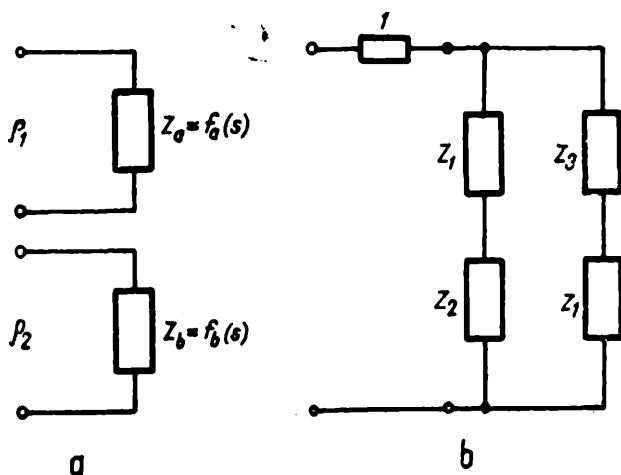


Fig. 8.3. Exemplu ilustrativ.

Doi uniporturi avînd impedanțele date de: $Z_a = f_a(s)$ și $Z_b = f_b(s)$, au coeficienții de reflexie ρ_1 și ρ_2 , respectiv. Se cere să se găsească coeficientul uniportului arătat în figura 8.3 b în funcție de ρ_1 și ρ_2 . Deoarece ρ este invariant în raport cu normarea, să considerăm numărul de normare unitar și să considerăm circuitul mărit. Admitanța de intrare mărită poate fi scrisă imediat în modul următor:

$$Y_a = \frac{1}{1 + \frac{1}{\frac{1}{f_a(s) + \frac{1}{f_b(s)}} + \frac{1}{f_b(s)}}} = \frac{1}{1 + \frac{1 + f_a/b}{f_a + f_b}}$$

$$= \frac{f_a + f_b}{f_a f_b + f_a + f_b + 1} = \frac{f_a + f_b}{(f_a + 1)(f_b + 1)}.$$

Deci, utilizînd (16) obținem

$$\rho = 1 - 2Y_a = 1 - \frac{2(f_a + f_b)}{(f_a + 1)(f_b + 1)} = \frac{(f_a - 1)(f_b - 1)}{(f_a + 1)(f_b + 1)},$$

$$\rho = \rho_1 \rho_2$$

Este clar că pentru acest exemplu, coeficientul de reflexie al întregului circuit este exprimat mai simplu prin coeficienții de reflexie ai circuitelor componente, deci este exprimată admitanța globală prin admitanțele componente.

Coeficient de reflexie pentru un circuit invariant în timp, pasiv și reciproc

Proprietățile analitice ale funcției $\rho(s)$, pentru un circuit invariant în timp pasiv și reciproc, pot fi obținute cu ajutorul relației (13). Pentru un astfel de circuit, $Z_n(s)$ este o funcție real-pozitivă de s . O funcție real-pozitivă $Z_n(s)$, transformă axa $j\omega$ a planului s în domeniul închis format din semiplanul drept al planului Z_n . Ecuația (13) este o transformare biliniară (vezi Anexa 2). Transformarea biliniară transformă domeniul închis al planului Z_n , în interiorul sau conturul cercului cu raza unitate din planul ρ . Prin urmare, dacă $s = j\omega$, punctele corespunzătoare sînt situate în interiorul sau pe contul cercului unitar din planul ρ . Astfel

$$\rho |j\omega| \leq 1. \quad (17)$$

Cît despre polii funcției $\rho(s)$, aceștia sînt dați de zerourile funcției $Z_n(s) + 1$. Acestea nu pot să existe în domeniul semiplanului drept închis, din Z_n , deoarece aceasta ar cere ca $\operatorname{Re} Z_n = -1$, pentru un punct din semiplanul drept închis, ceea ce este imposibil pentru o funcție real-pozitivă. Deci $\rho(s)$ este o funcție regulată în semiplanul drept închis. Constatăm că nu se poate transfera condiția de funcție real-pozitivă a impedanței, asupra coeficientului de reflexie.

O funcție real-limitată $\rho(s)$ a fost definită, în capitolul 7, ca o funcție care este : (1) reală la s real (2) regulată în semiplanul drept închis și (3) $|\rho(j\omega)| \leq 1$ pentru orice ω .

Discuția precedentă a arătat că, *pentru un circuit invariant în timp, pasiv și reciproc coeficientul de reflexie este o funcție real-limitată.*

Relații pentru putere

Am văzut că variabilele de repartiție au o semnificație specială, în descrierea transferului de putere, de la o sursă, la o sarcină. Vom discuta acum relațiile pentru putere în circuitul din figura 8.1 în funcție de variabilele de repartiție. Să considerăm condițiile regimului permanent sinusoidal. Puterea complexă debitată uniportului este $W = V(j\omega) \bar{I}(j\omega)$. Ce se întâmplă cu această expresie dacă tensiunea și curentul se normează ca în (11) ?

În ipoteza că r este un număr real, răspunsul este : nu se întâmplă nimic. Chiar dacă se introduce normarea avem :

$$W = V_n(j\omega) \bar{I}_n(j\omega) \quad (18)$$

Acum putem să introducem (14), pentru a exprima acest rezultat prin intermediul variabilelor de repartiție. Puterea reală va fi

$$\begin{aligned} P = \operatorname{Re} W &= \operatorname{Re} (a + b) (a - \bar{b}) = |a(j\omega)|^2 - |b(j\omega)|^2 \\ &= |a|^2 (1 - |\rho(j\omega)|^2). \end{aligned} \quad (19)$$

Ultima etapă rezultă din relația $\rho = b/a$.

De aici se pot face câteva observații. Pătratul modulului are la ambele variabile a și b dimensiuni de putere. Deci, *dimensiunile variabilelor de repartiție sînt rădăcini pătrate din putere (tensiune \times curent)*^{1/2}. Putem să interpretăm puterea reală transferată uniportului, ca fiind puterea undei incidente, P_i , mai puțin puterea reîntoarsă spre sursă prin unda reflectată, P_r . Desigur, în condiții de adaptare nu există reflexii. Puterea transferată în aceste condiții, fie aceasta P_m , este puterea maximă ce se poate obține de la sursa cu rezistența serie r . Această putere se determină simplu din figura 1c ca fiind

$$P_m = \frac{|V_o|^2}{4r} = \frac{|r^{-1/2} V_o|^2}{4} = \frac{|V_{on}|^2}{4} = |a|^2. \quad (20)$$

Ultima etapă decurge din (15). Cu aceste ipoteze (19) se poate transcrie în forma :

$$P = P_i - P_r,$$

iar

$$\frac{P_i}{P_m} = 1 - |\rho(j\omega)|^2, \quad (21)$$

unde $P_i = |a|^2$ și $P_r = |b|^2$. Acest rezultat este extrem de important. Termenul din dreapta precizează, care este fracțiunea din puterea maximă posibilă, care este într-adevăr debitată uniportului. Dacă nu există reflexii ($\rho = 0$) această fracțiune este unitară.

Pentru un uniport pasiv, puterea debitată nu poate să depășească puterea maximă posibilă; rezultă că, $P/P_m \leq 1$. Prin urmare

$$|\rho(j\omega)| \leq 1 \text{ (pentru un uniport pasiv)} \quad (22)$$

8.2. RELAȚII DE REPARTIȚIE ALE UNUI MULTI-PORT

Așa cum s-a discutat în paragraful precedent, parametrii de repartiție sînt deosebit de utili în descrierea transferului de putere. Cea mai simplă situație de acest gen, este cea pe care am discutat-o și anume, transferul puterii de la o sursă cu o impedanță internă, la o sarcină. Mult mai frecvent este transferul de la o sursă la sarcină, printr-un circuit de cuplare, așa cum se arată în fig. 8.4 Circuitul N poate să fie un filtru sau,

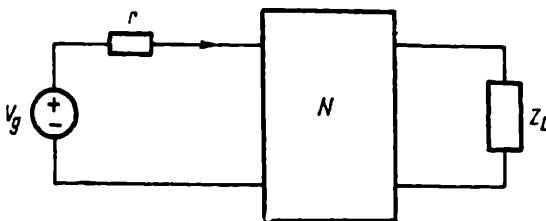


Fig. 8.4. Circuit diport pentru filtrare sau adaptare.

un egalizor de adaptare. Sarcina poate să fie pasivă, reală sau complexă, sau putem avea o sarcină activă (de exemplu o diodă tunel). Mai general, circuitul de cuplare este un multiport de transmitere a puterii, de la una sau mai multe porți, la alte porți (una sau mai multe).

Vom studia în detaliu situația reprezentată în fig. 8.5. Un multiport este terminat la fiecare poartă cu o rezistență *reală* și pozitivă și cu

o sursă. Un caz special este diportul arătat în fig. 8.5. *b*. Dezvoltarea relațiilor este o simplă generalizare a cazului cu un uniport, cu observația că relațiile scalare, vor fi acum înlocuite cu matrice. Vom trata cazul general al n -portului, dar vom ilustra amănunțele prin considerarea diportului, pentru a avea o reprezentare mai simplă.

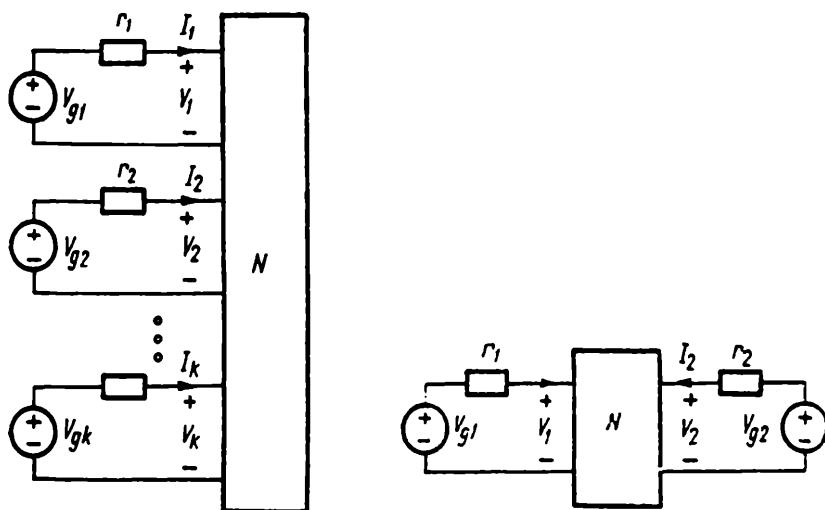


Fig. 8.5. Multiporturi cu numere de normare reale.

Pentru început vom defini vectorul variabilelor astfel :

$$\mathbf{V} = \begin{bmatrix} V_1 \\ V_2 \\ \vdots \\ V_k \end{bmatrix}, \quad \mathbf{I} = \begin{bmatrix} I_1 \\ I_2 \\ \vdots \\ I_k \end{bmatrix}, \quad \mathbf{V}_g = \begin{bmatrix} V_{g1} \\ V_{g2} \\ \vdots \\ V_{gk} \end{bmatrix} \quad (23)$$

și matricea diagonală

$$\mathbf{r} = \begin{bmatrix} r_1 & 0 & 0 & \cdots & 0 \\ 0 & r_2 & 0 & \cdots & 0 \\ 0 & 0 & r_3 & \cdots & 0 \\ \vdots & \vdots & \vdots & \ddots & \vdots \\ 0 & 0 & 0 & \cdots & r_k \end{bmatrix} \quad (24)$$

Matricea r este nesingulară și definită pozitiv deoarece s-a presupus că toți r_j sînt pozitivi. Conform figurii 8.5. se poate scrie

$$\mathbf{V}_o = \mathbf{V} + \mathbf{rI} = (\mathbf{Z}_{oc} + \mathbf{r})\mathbf{I}, \quad (25)$$

relație în care \mathbf{Z}_{oc} este matricea de gol a multiportului N . Să presupunem acum că la fiecare din porți multiportul este adaptat la rezistența sursei. Aceasta înseamnă că raportul V_j/I_j este egal cu rezistența r_j la poarta j . Matriceal, aceasta înseamnă $\mathbf{V} = \mathbf{rI}$, sau $\mathbf{Z}_{oc} = \mathbf{r}$, atunci cînd multiportul este adaptat. Prin analogie cu cazul uniportului, introducem vectorul tensiunilor incidente, \mathbf{V}_i și vectorul curenților incidenti, \mathbf{I}_i ca fiind vectorul tensiunilor la porți și respectiv vectorul curenților la porți, atunci cînd toate porțile sînt adaptate; rezultă

$$\mathbf{V}_i = \mathbf{V}, \quad (26 a)$$

$$\mathbf{I}_i = \mathbf{I}, \quad (26 b)$$

și

$$\mathbf{V}_i = \mathbf{rI}_i. \quad (26 c)$$

la adaptare.

În mod similar introducem vectorul *tensiunilor reflectate*, \mathbf{V}_r și vectorul *curenților reflectați* \mathbf{I}_r , ca o deviație a vectorului tensiunilor la poartă și respectiv, a curenților la poartă, față de valorile la adaptare. Prin analogie cu situația de la uniport (8), se poate scrie:

$$\mathbf{V}_r = \mathbf{V} - \mathbf{V}_i, \quad (27 a)$$

$$\mathbf{I}_r = \mathbf{I}_i - \mathbf{I}. \quad (27 b)$$

Dacă ultimele două perechi de ecuații sînt utilizate cu (25), variabilele incidente și reflectate pot fi scrise ca:

$$\mathbf{V}_i = \frac{1}{2} \mathbf{V}_o, \quad \mathbf{I}_i = \frac{1}{2} \mathbf{r}^{-1} \mathbf{V}_o \quad (28)$$

și

$$\mathbf{V}_i = \frac{1}{2} (\mathbf{V} + \mathbf{rI}), \quad (29 a)$$

$$\mathbf{V}_r = \frac{1}{2} (\mathbf{V} - \mathbf{rI}), \quad (29 b)$$

$$\mathbf{I}_i = \frac{1}{2} \mathbf{r}^{-1} (\mathbf{V} + \mathbf{rI}), \quad (29 c)$$

$$\mathbf{I}_r = \frac{1}{2} \mathbf{r}^{-1} (\mathbf{V} - \mathbf{rI}). \quad (29 d)$$

Aceste expresii se pot compara cu (7) și (3) pent.u uniport.

Matricea de repartiție

În cazul uniportului s-a definit un coeficient de reflexie, relativ la tensiunea reflectată și incidentă și un altul, relativ la curentul reflectat și incident. Aceștia s-au dovedit a fi egali cu același coeficient de reflexie, a cărui valoare este invariantă în raport cu normarea. În cazul multiportului relația între variabilele reflectate și incidente este o relație matriceală. Definim două relații de acest tip — una pentru tensiuni și una pentru curenți — în modul următor :

$$\mathbf{I}_r = \mathbf{S}_I \mathbf{I}_i, \quad (30 \ a)$$

$$\mathbf{V}_r = \mathbf{S}_V \mathbf{V}_i, \quad (30 \ b)$$

unde \mathbf{S}_I este *matricea de repartiție a curenților* și \mathbf{S}_V este *matricea de repartiție a tensiunilor*. Aceste matrice pot fi exprimate în funcție de \mathbf{Z}_{oc} și impedanțele de terminație, utilizând (29) pentru variabilele incidente și reflectate și relația $\mathbf{V} = \mathbf{Z}_{oc} \mathbf{I}$. Calculele de amănunt sînt lăsate pe seama cititorului; rezultatul este următorul :

$$\mathbf{S}_I = \mathbf{r}^{-1}(\mathbf{Z}_{oc} - \mathbf{r})(\mathbf{Z}_{oc} + \mathbf{r})^{-1} \mathbf{r} = (\mathbf{Z}_{oc} + \mathbf{r})^{-1}(\mathbf{Z}_{oc} - \mathbf{r}), \quad (31 \ a)$$

$$\mathbf{S}_V = (\mathbf{Z}_{oc} - \mathbf{r})(\mathbf{Z}_{oc} + \mathbf{r})^{-1} = \mathbf{r}(\mathbf{Z}_{oc} + \mathbf{r})^{-1}(\mathbf{Z}_{oc} - \mathbf{r}) \mathbf{r}^{-1}. \quad (31 \ b)$$

Analizați cu atenție aceste expresii și notați că de (relativ) simplu este \mathbf{S}_I , în care $(\mathbf{Z}_{oc} + \mathbf{r})^{-1}$ premultiplică $(\mathbf{Z}_{oc} - \mathbf{r})$ și că de (relativ) simplu este \mathbf{S}_V cînd aceasta postmultiplică $(\mathbf{Z}_{oc} - \mathbf{r})$.

Ce este $(\mathbf{Z}_{oc} + \mathbf{r})$? Aceasta este de fapt matricea de impedanțe a circuitului *mărit*, adică a multiportului din figura 8.5. care include rezistențele în serie la fiecare poartă, ca o parte a multiportului. Inversa, $(\mathbf{Z}_{oc} + \mathbf{r})^{-1}$ este matricea admitanțelor de scurtcircuit a multiportului mărit, pe care o vom nota \mathbf{Y}_a . Cei doi coeficienți de reflexie, se determină din (31), în funcție de \mathbf{Y}_a și după cîteva calcule se găsește

$$\mathbf{S}_I = \mathbf{U} - 2\mathbf{Y}_a \mathbf{r}, \quad (32 \ a)$$

$$\mathbf{S}_V = \mathbf{U} - 2\mathbf{r} \mathbf{Y}_a. \quad (32 \ b)$$

Singura diferență, care apare, este aceea că într-un caz \mathbf{r} postmultiplică \mathbf{Y}_a și în alt caz acesta premultiplică \mathbf{Y}_a . Fiecare din aceste ecuații poate fi rezolvată în raport cu \mathbf{Y}_a . Dacă se egalează cele două expresii pentru \mathbf{Y}_a se găsește o relație între \mathbf{S}_I și \mathbf{S}_V :

$$\mathbf{S}_I \mathbf{r}^{-1} = \mathbf{r}^{-1} \mathbf{S}_V. \quad (33 \ a)$$

$$\mathbf{r} \mathbf{S}_I = \mathbf{S}_V \mathbf{r} \quad (33 \ b)$$

Se pare că am ajuns la un impas; apare matricea r sau r^{-1} și încurcă lucrurile. Poate că normarea ne va ajuta. Să privim în urmă, la relația (9), pentru a examina cum au fost normate tensiunile și curenții incidenti și reflectați. Să presupunem că procedăm la o normare similară, dar în formă matriceală. Pentru a norma curenții, multiplicăm cu matricea $r^{1/2}$; pentru a norma tensiunile multiplicăm cu $r^{-1/2}$, unde

$$r^{1/2} = \begin{bmatrix} r_1^{1/2} & & & & \\ & r_2^{1/2} & & & \\ & & r_3^{1/2} & & \\ & & & \ddots & \\ & & & & \ddots & \\ & & & & & r_k^{1/2} \end{bmatrix} \quad (34)$$

este o matrice reală, diagonală, în care fiecare termen al diagonalei este rădăcina patrată a termenului corespunzător al matricei r . Să vedem ce se întâmplă la multiplicarea ambelor părți ale (30a) cu $r^{1/2}$ și a ambelor părți ale (30 b) cu $r^{-1/2}$. Deci

$$r^{1/2} I_r = r^{1/2} S_I (r^{-1/2} r^{1/2}) I_i = (r^{1/2} S_I r^{-1/2}) (r^{1/2} I_i), \quad (35 \ a)$$

$$r^{-1/2} V_r = r^{-1/2} S_V (r^{1/2} r^{-1/2}) V_i = (r^{-1/2} S_V r^{1/2}) (r^{-1/2} V_i). \quad (35 \ b)$$

Dar să observăm că în (33) — prin multiplicarea și postmultiplicarea ambelor părți cu $r^{1/2}$ — se găsește

$$r^{1/2} S_I r^{-1/2} = r^{-1/2} S_V r^{1/2} = S, \quad (36)$$

unde matricea S se introduce în mod convenabil.

Deoarece $V_i = r I_i$, rezultă că cele două variabile normate din partea dreaptă a relației (35) sînt egale, adică $r^{-1/2} V_i = r^{1/2} I_i$. În virtutea relației (36) rezultă că, cele două variabile normate din partea stîngă a (35) sînt de asemenea egale.

Avînd discuțiile precedente ca justificare, vom defini *vectorul normal al variabilelor de repartiție* ca fiind :

$$a = r^{1/2} I_i = r^{-1/2} V_i, \quad (37 \ a)$$

$$b = r^{1/2} I_r = r^{-1/2} V_r. \quad (37 \ b)$$

Aceste variabile de repartiție sînt legate prin o *matrice de repartiție* S , care este legată de matricele de repartiție ale curenților și tensiunilor prin (36). Astfel :

$$b = Sa. \quad (38)$$

Legătura cu matricele de impedanță și admitanță

Legătura între această matrice și matricele Z_{oc} și Y_a poate fi găsită printr-o pre- și postmultiplicare convenabilă, a relațiilor (32) și (31) prin $r^{1/2}$ și $r^{-1/2}$, corelată cu (36). Dacă definim

$$Y_{an} = r^{1/2} Y_a r^{1/2}, \quad (39 a)$$

$$Z_n = r^{-1/2} Z_{oc} r^{-1/2}, \quad (39 b)$$

$$Y_n = r^{1/2} Y_{sc} r^{1/2}, \quad (39 c)$$

unde matricea admitanțelor de scurtcircuit a multiportului, Y_{sc} , este Z_{oc}^{-1} , atunci

$$S = U - 2(Z_n + U)^{-1} = U - 2Y_{an}, \quad (40)$$

$$\begin{aligned} S &= (Z_n - U)(Z_n + U)^{-1} = (Z_n + U)^{-1}(Z_n - U) = \\ &= (U - Y_n)(U + Y_n)^{-1} = (U + Y_n)^{-1}(U - Y_n). \end{aligned} \quad (41)$$

Calculule de detaliu sînt lăsate pe seama cititorului. Comparați (40) cu (16), care este rezultatul scalar corespunzător pentru uniport.

Legătura între S și Y_{an} arată o proprietate importantă, care nu este evidentă din modul în care a fost obținută. Din cauza rezistențelor serie din circuitul mărit, acest circuit poate avea o matrice de admitanțe, chiar dacă circuitul inițial nu are nici matrice de impedanțe, nici matrice de admitanțe. Aceasta va fi adevărat pentru orice circuit pasiv. Astfel, un avantaj al *parametrilor de repartiție* (cum numim elementele matricei de repartiție) este că aceștia există pentru toate circuitele pasive, chiar pentru acelea la care parametrii de impedanță sau admitanță nu există.

Pentru ilustraie se arată transformatorul ideal din fig. 8.6. Se arată circuitul mărit cu rezistențe unitare la ambele pozi. Transformatorul

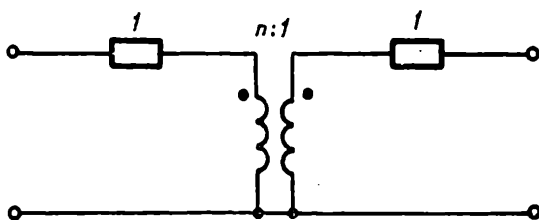


Fig. 8.6. Transformator ideal.

ideal nu are nici matrice de impedanțe, nici matrice de admitanțe. Cu toate acestea circuitul mărit poate fi caracterizat prin admitanțe. Matricea admitanțelor de scurtcircuit poate fi calculată direct și din (40) se obține matricea de repartiție. Calculele de amănunt sînt la latitudinea cititorului; rezultatul va fi

$$Y_{an} = \begin{bmatrix} \frac{1}{n^2 + 1} & \frac{-n}{n^2 + 1} \\ \frac{-n}{n^2 + 1} & \frac{n^2}{n^2 + 1} \end{bmatrix}, \quad S = \begin{bmatrix} \frac{n^2 - 1}{n^2 + 1} & \frac{2n}{n^2 + 1} \\ \frac{2n}{n^2 + 1} & \frac{n^2 - 1}{n^2 + 1} \end{bmatrix}.$$

Acesta se reduce la o matrice foarte simplă pentru raportul de transformare $n = 1$.

Să notăm că S_{22} este negativul lui S_{11} . Diportii care satisfac condițiile $S_{22} = -S_{11}$ se numesc *an'imetrici* prin opoziție cu diportii simetrici, pentru care $S_{22} = S_{11}$. (Vezi problemele P.10 și P.11).

Normarea și multiportul mărit

Variabilele de repartiție normate \mathbf{a} și \mathbf{b} pot fi exprimate în funcție de tensiunile și curenții normați, aplicînd normarea relației (29). Definind tensiunea și curentul normat ca, $V_n = \mathbf{r}^{-1/2} \mathbf{V}$ și $I_n = \mathbf{r}^{1/2} \mathbf{I}$, aceste ecuații și inversele lor iau formele relativ simple:

$$\begin{aligned} \mathbf{a} &= \frac{1}{2} (\mathbf{V}_n + \mathbf{I}_n) & \mathbf{V}_n &= \mathbf{a} + \mathbf{b}, \\ \mathbf{b} &= \frac{1}{2} (\mathbf{V}_n - \mathbf{I}_n) & \mathbf{I}_n &= \mathbf{a} - \mathbf{b}. \end{aligned} \quad (42)$$

Comparînd acestea cu (12) și (14) se găsește că, expresiile pentru variabilele de repartiție ale multiportului sînt identice cu cele ale uniportului, cu deosebirea că în cazul de față, acestea sînt expresii matriceale.

În sfîrșit, să notăm că cele două expresii din (28) care leagă tensiunea incidentă și curentul cu \mathbf{V}_o , se reduc, după normare, la o relație simplă.

$$\mathbf{a} = \frac{1}{2} \mathbf{V}_o. \quad (43)$$

Normarea poate fi interpretată din nou, conectînd transformatoare ideale la porți. Aceasta se ilustrează pentru un diport în figura 8.7. Rapoartele de transformare ale transformatoarelor sînt $1 : \sqrt{r_1}$ și $1 : \sqrt{r_2}$. Acestea conduc la relații potrivite între tensiunile și curenții reali și valorile

normate. Circuitul total, care include transformatoarele se numește circuit normat. Chiar dacă rezistențele de referință la porți sînt diferite, condițiile de adaptare corespund unei rezistențe unitare la fiecare poartă. Dacă includem o rezistență în serie unitară la fiecare poartă, circuitul total este circuitul mărit (normat), așa cum este arătat în figura 8.7b.

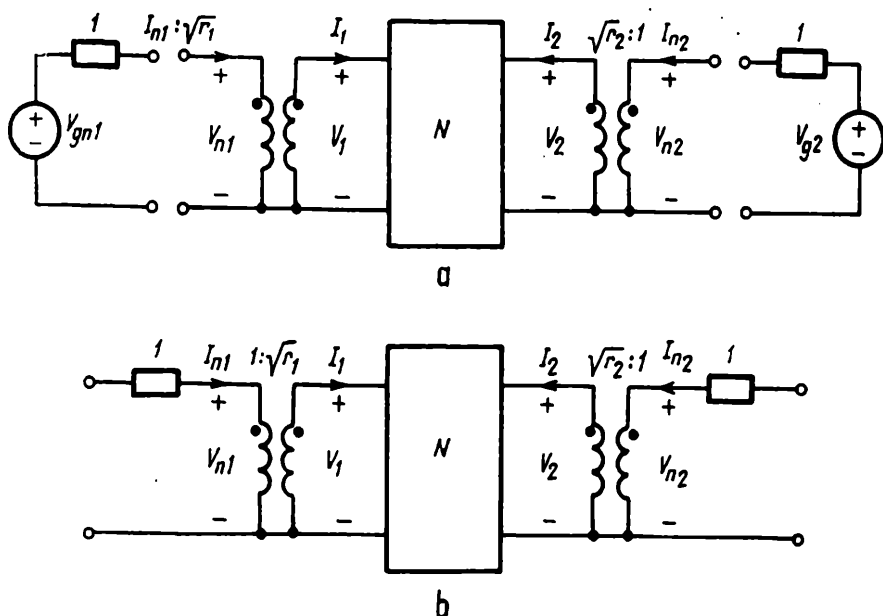
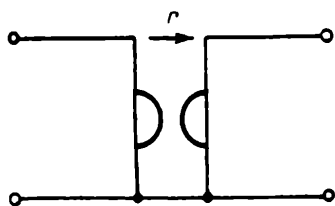


Fig. 8.7. Diport normat și mărit.

Cum sînt alese numerele r_i de normare la porți? În exemplul cu transformatorul ideal, de pildă, ce ne-a condus la alegerea numărului de normare unitar pentru ambele porți? Răspunsul la această întrebare este simplu: comoditatea calculelor. Dacă circuitul va lucra în realitate, cu anumite rezistențe de terminare, desigur va fi avantajos și expresiile rezultante se vor simplifica, dacă aceste rezistențe vor fi alese ca numere de normare. În alte cazuri, alegerea unor parametri din circuit ca numere de normare conduce la simplificări. Să considerăm, de exemplu, giratorul arătat în figura 8.8. Acesta are o reprezentare prin matricea de impedan-



$$Z_{oc} = \begin{bmatrix} 0 & -r \\ r & 0 \end{bmatrix}$$

Fig. 8.8. Girator.

te care conține rezistența de rotație r . Dacă numerele de normare la porți r_1 și r_2 vor fi alese pentru ambele porți egale cu r , matricea Z_n poate fi scrisă foarte simplu. Ecuația (40) conduce atunci la matricea de repartiție. Astfel :

$$Z_n = \begin{bmatrix} 0 & -\frac{r}{\sqrt{r_1 r_2}} \\ \frac{r}{\sqrt{r_1 r_2}} & 0 \end{bmatrix} = \begin{bmatrix} 0 & -1 \\ 1 & 0 \end{bmatrix}.$$

$$S = U - 2(U + Z_n)^{-1} = \begin{bmatrix} 1 & 0 \\ 0 & 1 \end{bmatrix} - 2 \begin{bmatrix} 1 & -1 \\ 1 & 1 \end{bmatrix}^{-1} = \begin{bmatrix} 0 & -1 \\ 1 & 0 \end{bmatrix}.$$

8.3. MATRICEA DE REPARTIȚIE ȘI TRANSFERUL DE PUTERE

Discuția de mai înainte a condus la stabilirea metodelor de a găsi parametrii de repartiție ai unui multiport, din matricea sa de impedanțe sau de admitanțe, sau din matricea de admitanțe a circuitului mărit. Dar parametrii de repartiție apar în relațiile dintre variabilele de repartiție de incidență și de reflexie. Vom analiza acum mai în amănunt ce reprezintă aceste relații. Pentru simplificare vom trata cazul diportului, pentru care avem relațiile :

$$b_1 = S_{11} a_1 + S_{12} a_2, \quad (44a)$$

$$b_2 = S_{21} a_1 + S_{22} a_2. \quad (44b)$$

Vom presupune că terminațiilor diportului sînt arbitrare și că la fiecare poartă pot să existe semnale aplicate așa cum se arată în figura 8.9.

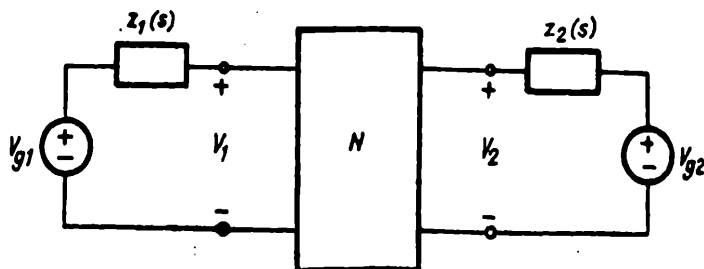


Fig. 8.9. Diport cu sarcini arbitrare.

Interpretarea parametrilor de repartiție

Din (44) rezultă că, parametrii de repartiție pot fi interpretați astfel :

$$\begin{aligned} S_{11} &= \frac{b_1}{a_1} \Big|_{a_2=0}, & S_{12} &= \frac{b_1}{a_2} \Big|_{a_1=0}, \\ S_{21} &= \frac{b_2}{a_1} \Big|_{a_2=0}, & S_{22} &= \frac{b_2}{a_2} \Big|_{a_1=0}. \end{aligned} \quad (45)$$

Constatăm că fiecare parametru este raportul între o variabilă reflectată și una incidentă, în condiții de anulare a variabilei de incidență la cealaltă poartă. Ce înseamnă anularea unei variabile incidente, fie aceasta de exemplu a_2 ? La aceasta se poate răspunde imediat referindu-ne la (42) sau, în mod echivalent, la (29), care leagă variabilele de repartiție de tensiuni și curenți. Astfel $a_2 = 0$, înseamnă $V_{n2} = -I_{n2}$, sau $V_2 = -r_2 I_2$. Să privim acum figura 8.9. Condiția $V_2 = -r_2 I_2$ înseamnă că poarta 2 este terminată cu r_2 (mai curînd decît cu impedanța Z_2) și că aici nu există sursă de tensiune : adică, *poarta 2 este adaptată*. Mai departe, dacă nu există variabilă incidentă și $V_2 = -r_2 I_2$, (29b), ne arată că tensiunea reflectată este tensiunea totală la această poartă ($V_{r2} = V_2$), iar (29 d) ne arată că și curentul reflectat este curentul total ($I_{r2} = I_2$). Un sens similar este atras și condiției $a_1 = 0$.

Astfel, parametrii de repartiție a unui diport sînt definiți prin rapoarte ale variabilelor reflectate și incidente, cînd cealaltă variabilă incidentă este nulă — ceea ce înseamnă că cealaltă poartă este *terminată adaptat*. Mai concret, să-i considerăm pe S_{11} . Acesta este raportul variabilei reflectate pe cea incidentă, la poarta 1, (b_1/a_1), atunci cînd poarta 2 este adaptată. Să substituim acum în raportul b_1/a_1 , ecuația scalară pentru poarta 1, care se obține din (42). Avem :

$$S_{11} = \frac{b_1}{a_1} = \frac{V_{n1} - I_{n1}}{V_{n1} + I_{n1}} = \frac{Z_{n1} - 1}{Z_{n1} + 1} = \frac{Z_1 - r_1}{Z_1 + r_1}, \quad (46)$$

unde Z_{n1} este impedanța normată la poarta 1¹⁾. Comparînd această relație cu (13), care dă coeficientul de reflexie al unui uniport, vedem că S_{11} este coeficientul de reflexie la poarta 1, atunci cînd cealaltă poartă este adaptată. O concluzie similară se obține și pentru S_{22} .

Să analizăm acum termenii din diagonala secundară, în particular S_{21} . Cînd $a_2 = 0$, așa cum am menționat deja, $b_2 = V_{n2}$, sau $V_{r2} = V_2$. Prin urmare, din (43), $a_1 = V_{on1}/2$. Rezultă :

$$S_{21} = \frac{b_2}{a_1} \Big|_{a_2=0} = \frac{V_{n2}}{V_{on1}/2} = 2 \sqrt{\frac{r_1}{r_2}} \frac{V_2}{V_{o1}}. \quad (47)$$

¹⁾ Z_1 din (46) este în acest caz impedanța imagine la poarta 1, iar S_{11} reprezintă coeficientul de neadaptare la poarta 1, definit prin intermediul parametrilor imaginii ai diportului (N.T.).

Astfel S_{21} apare proporțional cu câștigul de tensiune, un câștig al tensiunii de întoarcere. Prin fig. 8.10 se prezintă o lămurire suplimentară. Aici diportul a fost înlocuit cu un transformator ideal avînd un raport de transfor-

$$V_1' = \frac{V_{o1}}{2}$$

$$V_1' = \sqrt{\frac{r_2}{r_1}} V_1' = \frac{1}{2} \sqrt{\frac{r_2}{r_1}} V_{o1}$$

$$\frac{V_2}{V_2'} = 2 \sqrt{\frac{r_1}{r_2}} \frac{V_2}{V_{o1}} = S_{21}$$

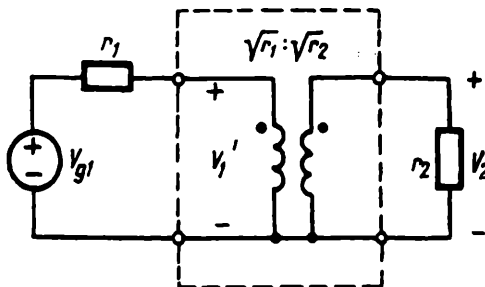


Fig. 8.10. Raportul transductiv de tensiune.

mare astfel, încît rezistența r_2 devine adaptată cu r_1 . Tensiunea la ieșire este notată, în aceste condiții cu V_2' . Considerînd acum raportul între tensiunea reală de ieșire V_2 și V_2' , se obține așa numitul *raport transductiv de tensiune*. Calculele indicate pe figură, arată că acesta este tocmai membrul drept al relației (47). Prin urmare S_{21} este *raportul transductiv al tensiunii de întoarcere*. Cînd sursa este adaptată ca în fig. 8.10, aceasta va debita în circuit, la bornele sale (anume în primarul transformatorului) puterea maximă. Aceasta este $P_{m1} = |V_{o1}|^2/4r_1$.

Să revenim la cazul inițial. Puterea transferată sarcinii prin circuitul N , cînd aceasta este adaptat și cînd la poarta 2 tensiunea este V_2 , va fi $P_2 = |V_2|^2/r_2$. Prin urmare, pătratul modulului lui S_{21} , din (47) va fi;

$$|S_{21}(j\omega)|^2 = 4 \frac{r_1}{r_2} \frac{|V_2(j\omega)|^2}{|V_{o1}(j\omega)|^2} = \frac{P_2}{P_{m1}} = Q(\omega^2) \quad (48)$$

Astfel, pătratul modulului lui S_{21} , care este numit adesea *câștig transductiv de putere*, $Q(\omega^2)$, este de fapt raportul dintre puterea care se obține în sarcină și puterea maximă pe care o poate debita generatorul, atunci cînd ambele porți sînt adaptate¹⁾. O discuție similară se poate purta și despre S_{21} , *inversul raportului transductiv de tensiune*. (Variabila este considerată ω_2 , pentru că Q este o funcție pară de frecvență).

După o simplă transformare a relației (48) se obține $|S_{21}|^2 = |V_{n2}|^2/|V_{o1}/2|^2$. Acesta este de fapt câștigul transductiv de putere al

¹⁾ Atragem atenția cititorilor familiarizați cu teoria clasică a diporților că atenuarea compusă, a_c , cunoscută din teoria diporților, poate fi exprimată prin $|S_{21}(j\omega)|^2$ cu relația:

$$a_c = \ln \frac{1}{|S_{21}(j\omega)|^2}$$

În ipoteza că terminațiile diportului sînt rezistive. (N.T.)

circuitului normat. În concluzie, câștigul transductiv de putere nu se modifică prin normare. Atunci când un diport este inserat între două terminații rezistive, este rațional să se utilizeze terminațiile ca rezistențe de referință; coeficientul de transmisie S_{21} descrie direct proprietățile circuitului legat de transferul de putere.

Parametrii de repartiție ai unui multiport pot să fie interpretați în mod similar, fără a se intra în detalii. Parametrii din diagonala principală a matricei S vor fi coeficienți de reflexie.

Astfel

$$S_{jj} = \frac{b_j}{a_j} \Big|_{\substack{\text{totl} \\ a_k=0}}^{\text{celalți}} = \frac{Z_j - r_j}{Z_j + r_j} \quad (49)$$

este coeficientul de reflexie la poarta j atunci când toate celelalte porți sînt adaptate, adică terminate pe rezistențele lor de referință.

Parametrii care nu fac parte din diagonala principală se numesc *coeficienți de transmisie* prin contrast cu coeficienții de reflexie. Aceștia sînt dați de

$$S_{ij} = \frac{b_i}{a_j} \Big|_{\substack{\text{totl} \\ a_k=0}}^{\text{celalți}} = 2 \sqrt{\frac{r_j}{r_i}} \frac{V_i}{V_{aj}}. \quad (50)$$

Printr-o analiză ca și cea care a condus la (48), se poate stabili că patratul coeficientului de transmisie este raportul dintre puterea în sarcină la o poartă și puterea maximă, ce se poate obține de la sursa de la o altă poartă, atunci când porțile sînt adaptate. Astfel

$$|S_{ij}|^2 = \frac{4r_j}{r_i} \frac{|V_i|^2}{|V_{aj}|^2} = \frac{P_i}{P_{mj}}. \quad (51)$$

Să considerăm, pentru exemplificare circuitul din fig. 8.11. Aici este prezentat un triport, obținut cu un girator la care se consideră o

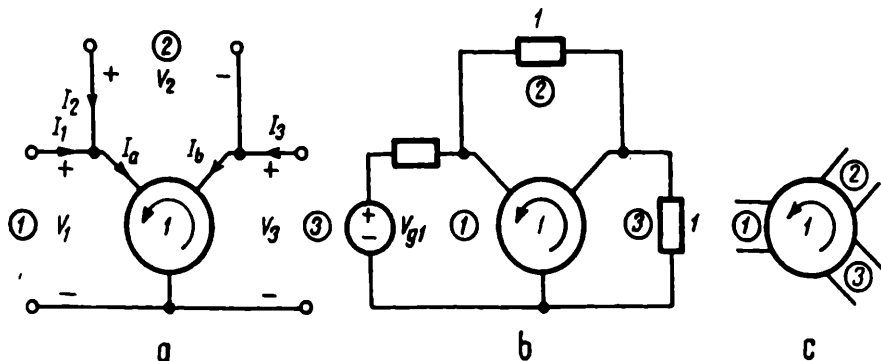


Fig. 8.11. Giratorul ca circulator cu trei porți.

poartă exterioară (simbolul arătat pentru girator a fost menționat în problema 3 din capitolul 3). Ne propunem să găsim matricea de repartiție a triportului și să interpretăm elementele sale. Să considerăm rezistența de rotație unitară. Aceasta înseamnă că alegem numerele de normare a porților, egale cu rezistența de rotație. În acest caz, ecuațiile giratorului sînt :

$$\begin{bmatrix} V_1 \\ V_3 \end{bmatrix} = \begin{bmatrix} 0 & -1 \\ 1 & 0 \end{bmatrix} \begin{bmatrix} I_a \\ I_b \end{bmatrix}.$$

Dar $I_a = I_1 + I_2$, $I_b = I_3 - I_2$ și $V_2 = V_1 - V_3$, așa cum se poate observa în figura 8.11. Cu acestea avem

$$\begin{bmatrix} V_1 \\ V_2 \\ V_3 \end{bmatrix} = \begin{bmatrix} 0 & 1 & -1 \\ -1 & 0 & -1 \\ 1 & 1 & 0 \end{bmatrix} \begin{bmatrix} I_1 \\ I_2 \\ I_3 \end{bmatrix}.$$

Matricea coeficienților este în această ecuație Z_n . Matricea de repartiție se poate obține din (41). Rezultatul este :

$$S = \begin{bmatrix} 0 & 1 & 0 \\ 0 & 0 & -1 \\ 1 & 0 & 0 \end{bmatrix} \quad \begin{matrix} b_1 = a_2, \\ \text{sau } b_2 = -a_3 \\ b_3 = a_1. \end{matrix} \quad (52)$$

Acest rezultat este foarte interesant. În primul rînd se constată că elementele diagonalei sînt toate nule. Prin urmare, coeficienții de reflexie sînt nuli la toate porțile, adică toate porțile sînt adaptate. Cît despre coeficienții de transmisie, să presupunem că avem situația din figura 8.11b în care există semnal numai la poarta 1 și toate cele trei porți sînt adaptate. Rezultă că $V_2 = -I_2$ și $V_3 = -I_3$. Din (28) și (37) găsim $a_1 = V_{11} = V_{01}/2$ și $a_2 = a_3 = 0$; din (32) $b_1 = b_2 = 0$ și $b_3 = V_{01}/2$. Dar $b_3 = V_{r3} = V_3$; prin urmare puterea din sarcină de la poarta 3, la care avem adaptare, este

$$P_3 = |V_3|^2 = \frac{|V_{01}|^2}{4} = P_{m1}.$$

În concluzie, dacă se aplică un semnal incident la poarta 1 și toate porțile sînt adaptate, la poarta 2 nu se reflectă nimic ($b_1 = 0$) și nu se transmite nimic ($b_2 = 0$), ci totul este transmis, fără pierderi, la poarta 3, unde se obține puterea maximă posibilă debitată de sursa de la poarta 1.

Pentru celelalte direcții de transmisie se obține din relația (52) concluzii similare și anume: un semnal incident la partea 2 este transmis în întregime porții 1, iar un semnal incident la poarta 3 este transmis în

întregime la poarta 2. În acest ultim caz, din cauza semnului negativ $b_2 - a_2$, există o inversare a fazei tensiunii, dar puterea transmisă nu este afectată.

Triportul din figura 8.11 are proprietăți ciclice de transmisie a puterii. Puterea care intră la o poartă, se transmite în ordine ciclică spre o poartă adiacentă, așa cum arată săgeata circulară. Un multiport cu astfel de proprietăți se numește *circulator* și are pentru triport simbolul din figura 8.11 c, cu ordinea ciclică 132. Desigur există și un circulator cu ordine ciclică opusă (123). Matricea de repartiție care îi corespunde trebuie să fie de forma

$$S = \begin{bmatrix} 0 & 0 & S_{13} \\ S_{21} & 0 & 0 \\ 0 & S_{32} & 0 \end{bmatrix}$$

$$= \begin{bmatrix} 0 & 0 & e^{j\theta_1} \\ e^{j\theta_2} & 0 & 0 \\ 0 & e^{j\theta_3} & 0 \end{bmatrix}$$

unde $|S_{13}| = |S_{21}| = |S_{32}| = 1$. La o singură frecvență, argumentul parametrilor nenuli poate avea orice valoare fără să influențeze puterea transmisă și acest lucru este specificat prin matricea a doua. În cazul cel mai simplu toate argumentele sînt nule și parametrii de repartiție nenuli sînt unitari. Mai general, fiecare din coeficienții de transmisie nenuli poate fi o funcție trece-tot.

Se constată odată în plus, că normarea efectuată în (37) este perfect justificată și de faptul că, parametrii de repartiție sînt legați într-un mod adecvat de transmisia puterii și de coeficientul de reflexie. În (37) normarea a fost introdusă pentru a se ajunge la o singură matrice de repartiție, în loc de a avea două bazate pe tensiuni și curenți. Aceste interpretări simple ale parametrilor de repartiție, în funcție de puterea transmisă și de reflexii, nu ar fi fost posibile, dacă am fi continuat să operăm cu oricare din matricele de repartiție a tensiunilor sau curenților.

8.4. PROPRIETĂȚI ALE MATRICEI DE REPARTIȚIE

Deoarece parametrii de repartiție au o interpretare fizică, strîns legată de putere, procesele de transmitere a puterii se exprimă în mod convenabil în funcție de parametrii de repartiție. Să presupunem un multiport cu impedanțe de terminare arbitrare, conectate în serie cu sursele de tensiune, ca în figura 8.5, cu singura deosebire că terminațiile sînt

arbitrare. Puterea în complex, aplicată multiportului, în regim sinusoidal, va fi $W = \mathbf{V}^* \mathbf{I}$, unde \mathbf{V}^* este complex-conjugata, transpusă, a matricei \mathbf{V} . Dacă se fac unele calcule de amănunt, înlocuind variabilele normate cu cele reale, se găsește că expresiile pentru putere sînt invariabile în raport cu normarea. Astfel

$$\begin{aligned} W &= \mathbf{V}^* \mathbf{I}_n = (\mathbf{a}^* + \mathbf{b}^*)(\mathbf{a} - \mathbf{b}) \\ &= (\mathbf{a}^* \mathbf{a} - \mathbf{b}^* \mathbf{b}) + (\mathbf{b}^* \mathbf{a} - \mathbf{a}^* \mathbf{b}). \end{aligned} \quad (53)$$

Aici s-a utilizat (42) înlocuindu-se vectorii de tensiune și curent normat, cu parametrii de repartiție. Ultimul termen în paranteza din dreapta este diferența a două cantități complex-conjugate deoarece :

$$(\mathbf{a}^* \mathbf{b}) = (\mathbf{b}^* \mathbf{a})^* = (\overline{\mathbf{b}^* \mathbf{a}}).$$

Ultima egalitate este o consecință a faptului că aceste produse matriceale sînt scalari și transpusa unei matrice scalare este ea însăși. Dar diferența a două cantități complex-conjugate este imaginară. Prin urmare puterea reală va fi

$$\begin{aligned} \mathbf{P} &= \mathbf{a}^* \mathbf{a} - \mathbf{b}^* \mathbf{b} = \mathbf{a}^* \mathbf{a} - \mathbf{a}^* \mathbf{S}^* \mathbf{S} \mathbf{a} \\ &= \mathbf{a}^* (\mathbf{U} - \mathbf{S}^* \mathbf{S}) \mathbf{a}. \end{aligned} \quad (54)$$

Rezultatul s-a obținut înlocuind pe \mathbf{b} cu $\mathbf{S} \mathbf{a}$. Această ecuație trebuie comparată cu (19) pentru cazul uniportului. Din (54) se pot stabili parametrii de repartiție pentru diferite clase de circuite. Mai întii să observăm că partea dreaptă din (54) este o formă patrată. Introducem notația :

$$\mathbf{Q} = \mathbf{U} - \mathbf{S}^* \mathbf{S}, \quad (55)$$

astfel încît :

$$\mathbf{P} = \mathbf{a}^* \mathbf{Q} \mathbf{a}. \quad (56)$$

Fără să facem restricții cu privire la tipul circuitului, să luăm complex - conjugata transpusă a matricei \mathbf{Q} :

$$\mathbf{Q}^* = (\mathbf{U} - \mathbf{S}^* \mathbf{S})^* = \mathbf{U} - \mathbf{S}^* \mathbf{S} = \mathbf{Q} \quad (57)$$

Așa cum s-a mai menționat în capitolul 1 o matrice egală cu propria sa complex-conjugată, transpusă, se numește *hermitică*. Astfel \mathbf{Q} este o matrice hermitică. Elementele sale sînt legate prin relația $q_{ij} = \bar{q}_{ji}$, care cere ca elementele diagonale să fie reale.

Ne interesează următoarele clase particulare de circuite : active și pasive, reciproce și nereciproce, fără pierderi și cu pierderi. Nu se poate spune nimic deosebit despre circuitele active. Prin urmare ne vom concentra în principal asupra circuitelor pasive, care pot să fie reciproce sau nereciproce. Vom examina mai ales subclasa circuitelor pasive fără pierderi : acestea pot să fie de asemenea reciproce sau nereciproce.

În primul rând, pentru orice circuit pasiv, puterea reală preluată de multiport, de la sursele sinusoidale, nu poate fi niciodată negativă. Deci :

$$\mathbf{U} - \mathbf{S}^* \mathbf{S} \text{ este semidefinită pozitiv} \quad (58)$$

Aceasta este principala limitare a matricei de repartiție pentru un multiport pasiv. Relația trebuie comparată cu cea din cazul uniportului, (22).

O condiție necesară și suficientă pentru ca o matrice să fie semidefinită pozitiv este ca principalii săi cofactori să fie nenegativi, așa cum s-a discutat în capitolul 7. Elementele diagonale din matricea \mathbf{Q} sînt și ele cofactori principali și trebuie să fie nenegative. Aceasta înseamnă că elementele matricei \mathbf{S} trebuie să satisfacă condiția :

$$q_{jj} = 1 - \sum_i \bar{S}_{ij} S_{ij} = 1 - \sum_i |S_{ij}|^2 \geq 0. \quad (59)$$

Fiecare termen din această sumă este pozitiv. Expresia ne arată că suma termenilor pozitivi nu poate fi mai mare decît unitatea. Aceasta înseamnă *a fortiori*, că fiecare termen este subunitar, sau că :

$$|S_{ij}(j\omega)| \leq 1. \quad (60)$$

Aceasta este principala limitare impusă matricei de repartiție ca o consecință a pasivității. Aceasta ne arată că, *pentru un circuit pasiv modulul coeficientului de reflexie, ca și coeficientul de transmisie, nu poate să depășească unitatea.*

În continuare să considerăm un multiport fără pierderi, reciproc sau nereciproc. În acest caz, în interiorul multiportului nu se disipă putere. Prin urmare, puterea reală aplicată și exprimată prin (56), trebuie să fie nulă pentru orice valoare a lui \mathbf{a} . Aceasta este posibil numai dacă matricea formei patratice se anulează adică

$$\mathbf{Q} = \mathbf{U} - \mathbf{S}^* \mathbf{S} = 0$$

sau

$$\mathbf{S}^* \mathbf{S} = \mathbf{U} = \mathbf{S} \mathbf{S}^*. \quad (61)$$

Din definiția matricei inverse constatăm că $S^{-1} = S^*$. O matrice la care matricea inversă este egală cu matricea conjugată, transpusă, se numește *matrice unitară*. Astfel, *matricea de repartiție a unui multiport fără pierderi este unitară*. (Ultima egalitate din ecuație rezultă din faptul că, o matrice schimbă locul cu inversa sa).

Proprietățile matricei unitare impun câteva restricții asupra elementelor matricei de repartiție, care pot fi stabilite dezvoltând produsele din (61). Rezultatul va fi :

$$|S_{1j}|^2 + |S_{2j}|^2 + |S_{3j}|^2 + \dots + |S_{nj}|^2 = 1$$

$$\bar{S}_{1j} S_{1k} + \bar{S}_{2j} S_{2k} + \dots + \bar{S}_{nj} S_{nk} = 0$$

de unde

$$\sum_{i=1}^n \bar{S}_{ij} S_{ik} = \delta_{jk}, \quad (62)$$

sau

$$|S_{j1}|^2 + |S_{j2}|^2 + |S_{j3}|^2 + \dots + |S_{jn}|^2 = 1$$

$$S_{j1} \bar{S}_{k1} + S_{j2} \bar{S}_{k2} + \dots + S_{jn} \bar{S}_{kn} = 0$$

de unde

$$\sum_{i=1}^n S_{ji} \bar{S}_{ki} = \delta_{jk}, \quad (63)$$

unde δ_{jk} este determinantul Kronecker.

Proprietățile circuitului diport

Ecuațiile precedente stabilesc proprietățile parametrilor de repartiție ale multiporturilor. Vom examina în amănunt aceste proprietăți pentru circuitul diport, limitându-ne asupra circuitelor fără pierderi, reciproce și nereciproce.

Mai întâi avînd $n = 2$, vom lua $j = k = 1$ în (62) : iar apoi $j = k = 2$ în (63). Rezultatul va fi :

$$|S_{11}|^2 + |S_{21}|^2 = 1, \quad (64 a)$$

$$|S_{21}|^2 + |S_{22}|^2 = 1. \quad (64 b)$$

Scăzînd cele două ecuații se obține

$$|S_{11}(j\omega)|^2 = |S_{22}(j\omega)|^2. \quad (65)$$

Astfel, pentru un diport fără pierderi, fie acesta reciproc sau nereciproc, modulele coeficienților de reflexie la cele două porți sînt egale. Acest rezultat poate fi extins la frecvențe complexe printr-o extindere analitică. Utilizînd simbolul ρ pentru coeficientul de reflexie, rezultatul poate fi scris astfel :

$$\rho_1(s) \rho_1(-s) = \rho_2(s) \rho_2(-s). \quad (66)$$

În funcție de poli și zerouri rezultă următoarele. Polii și zerourile funcțiilor $\rho_1(s)\rho_1(-s)$ și $\rho_2(s)\rho_2(-s)$ sînt identici și apar în simetrie cuadrantală. Singurul criteriu după care se pot separa polii și zerourile lui $\rho_1(s)$ din cei ai $\rho_1(s)\rho_1(-s)$ este stabilitatea. $\rho_1(s)$ nu poate avea nici un pol în semiplanul drept. Prin urmare, polii lui $\rho_1(s)\rho_1(-s)$, din semiplanul stîng, trebuie să fie poli ai lui $\rho_1(s)$. Cît despre zerouri, asupra acestora nu există limitări impuse de stabilitate; zerourile lui $\rho_1(s)\rho_1(-s)$ pot să fie atribuite la $\rho_1(s)$, indiferent dacă sînt situați în semiplanul stîng sau în cel drept, cu singura restricție, ca împreună cu simetricile lor în raport cu axa $j\omega$ să alcătuiască mulțimea tuturor zerourilor lui $\rho_1(s)\rho_1(-s)$. Considerații similare se pot face despre polii și zerourile lui $\rho_2(s)$.

Să revenim acum la (62) și să luăm de data aceasta $j = k = 2$. Rezultatul va fi :

$$|S_{12}|^2 + |S_{22}|^2 = 1. \quad (67)$$

Dacă relația este comparată cu (64 b), găsim că

$$|S_{12}(j\omega)|^2 = |S_{21}(j\omega)|^2; \quad (68)$$

adică modulul coeficientului de transmisie, în sens direct este egal cu modulul coeficientului de transmisie, în sens invers. Aceasta nu este surprinzător pentru circuitele reciproce, deoarece în acest caz $S_{12}(s) = S_{21}(s)$, dar relația are loc și pentru circuitele nereciproce. De fapt, se pot găsi relații mai generale luînd $j = 2$ și $k = 1$ în (62). Rezultatul va fi :

$$S_{11}(j\omega) = - \frac{S_{21}(j\omega)}{\bar{S}_{12}(j\omega)} \bar{S}_{22}(j\omega) \quad (69 a)$$

sau

$$\rho_1(s) = - \frac{S_{21}(s)}{S_{12}(-s)} \rho_2(-s). \quad (69 b)$$

Aceasta se aplică diporturilor fără pierderi, reciproci, cât și celor nereciproci. Pentru cazul reciproc $S_{12} = S_{21}$; deci raportul între $S_{21}(s)$ și $S_{12}(-s)$ va fi o funcție trece-tot. Deoarece $\rho_1(s)$ nu poate avea poli în semiplanul drept, zerourile acestei funcții trece-tot trebuie să se simplifice, cu polii din semiplanul drept ai funcției $\rho_2(-s)$.

0 aplicație—filtrare sau egalizare

Cu ajutorul schemei prezentate în fig. 8.12 *a* se pot trata mai multe aplicații. Un circuit de cuplaj fără pierderi, N , este introdus între o sursă cu impedanța internă reală și o sarcină reală. Circuitul poate să realizeze funcția de filtrare sau de egalizare; adică să formeze răspunsul în domeniul frecvență într-un mod predeterminat.

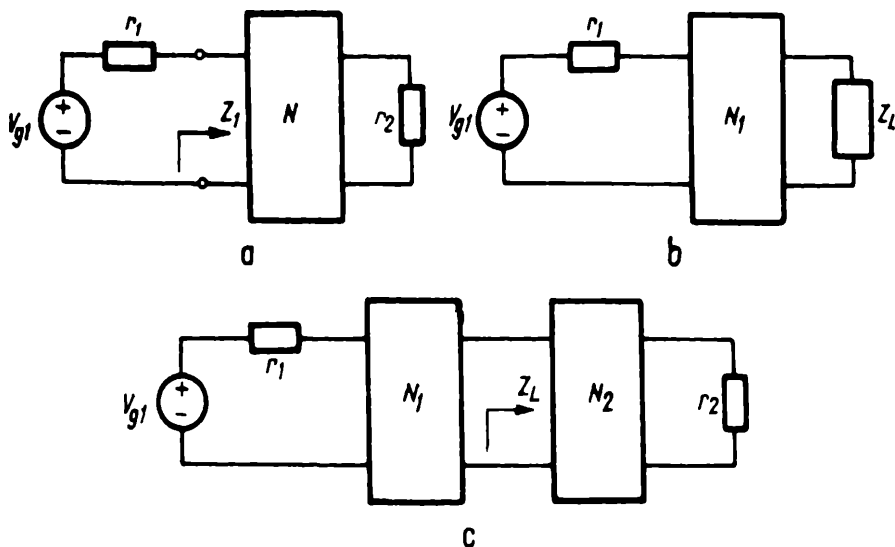


Fig. 8.12. Circuit de filtrare, egalizare sau adaptare.

În alte situații, sarcina poate să fie o impedanță Z_L , ca în figura 8.12 *b*, iar circuitul de cuplare trebuie proiectat, pentru a realiza o adaptare cu sursa rezistivă, într-un domeniu de frecvențe. Această situație poate fi corelată cu prima utilizînd teorema lui Darlington. Aceasta înseamnă că, Z_L poate fi realizat printr-un diport fără pierderi N_2 , terminat cu o rezistență r_2 , așa cum se arată în figura 8.12 *c*. Combinarea în cascadă a diporturilor N_1 și N_2 joacă rolul cuadripolului N , fără pierderi, din figura 8.12 *a*. O discuție mai restrînsă asupra acestei probleme de adaptare se va face în paragraful următor.

Să ne concentrăm asupra problemei de filtrare sau egalizare. Ceea ce se prescrie este cîștigul transductiv de putere, în funcție de frecvență.

Vom nota această funcție cu $Q(\omega^2)$. Conform relației (48), $Q(\omega^2)$ este de fapt patratul modului lui S_{21} . Dar $|S_{21}|^2$ este legat de modulul coeficientului de reflexie la intrare, prin relația (64 a). Prolungind analitic această expresie se poate scrie relația :

$$\rho_1(s)\rho_1(-s) = 1 - S_{21}S_{21}(-s). \quad (70)$$

În care S_{11} a fost înlocuit din nou cu ρ_1 . Dacă se dă $Q(\omega^2)$, membrul drept devine o funcție pară, cunoscută. În aceste condiții, mai este necesar să se repartizeze, în mod convenabil, polii și zerourile din membrul drept, la $\rho_1(s)$.

Coeficientul de reflexie ρ_1 și impedanța Z_1 , de la intrarea lui N terminat pe r_2 , sînt legate prin (46), relație ce poate fi explicitată în raport cu Z_1 , astfel :

$$\frac{Z_1(s)}{r_1} = \frac{1 + \rho_1(s)}{1 - \rho_1(s)}. \quad (71)$$

Prin urmare, după ce $\rho_1(s)$ a fost determinat din relația (70), impedanța de intrare Z_1 descrie o funcție de s cunoscută. Astfel problema este redusă la o aplicație a teoremei lui Darlington ; se cere să realizeze $Z_1(s)$, printr-un diport terminat pe o rezistență.

Pentru exemplificare, să considerăm câștigul transductic de putere :

$$G(\omega^2) = \frac{1}{1 + \omega^6}.$$

Aceasta este o funcție de filtrare de ordinul trei de tip Butterworth. Prolungirea sa se obține înlocuind $(-\omega^2)$ prin s^2 . Dacă aceasta se introduce în (70) se găsește :

$$\rho_1(s)\rho_1(-s) = 1 - \frac{1}{1 - s^6} = \frac{-s^6}{1 - s^6} = \frac{-s^6}{(1 + s)(1 + s + s^2)(1 - s)(1 - s + s^2)}.$$

În ultima egalitate, numitorul a fost factorizat, punîndu-se în evidență polii din semiplanele drept și stîng. Polii din semiplanul stîng, trebuie să aparțină la $\rho_1(s)$, iar cei opuși la $\rho_1(-s)$. În alegerea semnului apare însă o incertitudine. Nu există nici un argument *a priori*, că $\rho_1(s)$ ar avea semn pozitiv. În concluzie $\rho_1(s)$ trebuie să fie de forma :

$$\rho_1(s) = \frac{\pm s^3}{(s + 1)(s^2 + s + 1)}.$$

Introducând această expresie în (71) se găsește impedanța

$$\frac{Z_1(s)}{r_1} = \frac{2s^2 + 2s + 1}{2s^3 + 2s^2 + 2s + 1} \quad \text{sau} \quad \frac{2s^2 + 2s^2 + 2s + 1}{2s^2 + 2s + 1},$$

depinzînd de semnul ales pentru $p_1(s)$. Aceste impedanțe sînt inverse și realizările corespunzătoare vor fi duale. În cazul considerat, realizarea se obține simplu, prin dezvoltare în fracție continuă. Astfel, din a doua funcție de impedanță se găsește:

$$\frac{Z_1(s)}{r_1} = s + \frac{1}{2s + \frac{1}{s+1}}.$$

Circuitul care realizează această funcție și dualul său sînt arătate în fig. 8.13. Acestea sînt circuite normate. Reamintim că, matricea Z_{oc} a impedanțelor de gol normate, se obține împărțind fiecare element cu $\sqrt{r_1 r_2}$. Pentru a reveni la valori nenormate toate impedanțele laturilor trebuie să fie deci, înmulțite cu $\sqrt{r_1 r_2}$. Un circuit nenormat, cu rezistențele sursei și sarcinii r_1 și r_2 este arătat în fig. 8.13 c.

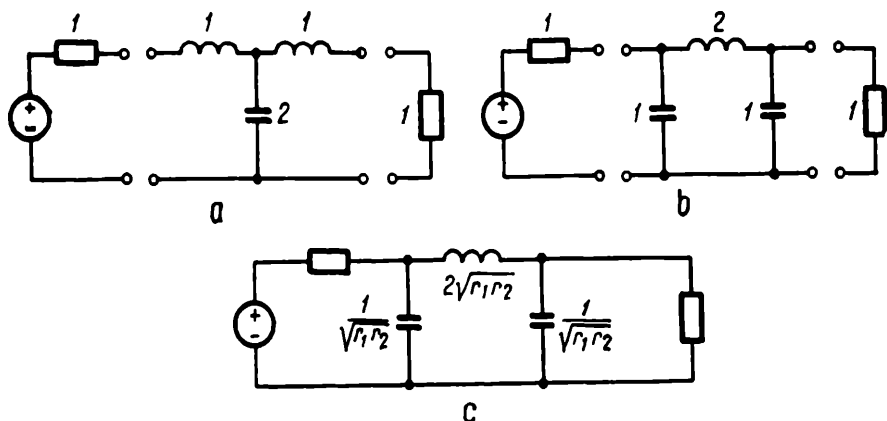


Fig. 8.13. Exemplu ilustrativ.

Limitări datorate capacității parazite

Problema circuitelor de adaptare, ilustrată prin fig. 8.12 b și c, capătă o semnificație specială în cazul particular reprezentat în fig. 8.14 a, unde impedanța de sarcină este formată dintr-o capacitate conectată în paralel cu o rezistență. Această schemă este identică cu cea a unui circuit care lucrează între două terminații rezistive, R_1 și R_2 și care prezintă o capacitate parazită în paralel cu bornele de ieșire, capacitate ce poate fi

tratată ca parte a circuitului, așa cum se sugerează în fig. 8.14 *b*. Această situație este echivalentă cu cea ilustrată în fig. 8.14 *c* unde capacitatea parazită este în paralel cu poarta de intrare.

În capitolul 6 am văzut că o astfel de capacitate conduce la unele restricții integrale¹⁾, asupra părții reale a impedanței de intrare. Vom

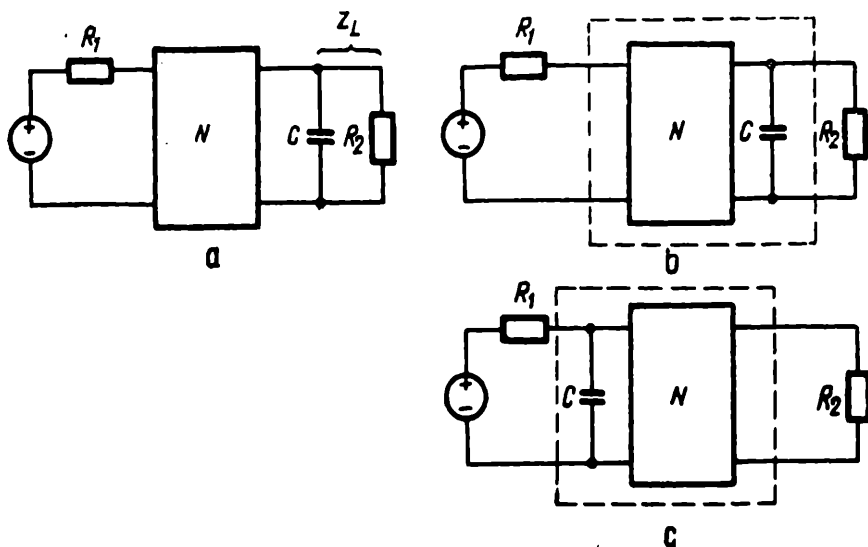


Fig. 8.14. Diport cu capacitate parazită restrictivă.

arăta că pentru coeficientul de reflexie există restricții integrale similare și le vom utiliza, pentru a demonstra o limitare a câștigului transductiv de putere.

Cele două situații din fig. 8.14 *b* și *c* sînt similare și pot fi tratate simultan considerînd fig. 8.15 în care R poate să fie R_1 sau R_2 . În primul caz, Z este impedanța de intrare Z_1 , la poarta din stînga diportului, reprezentat în fig. 8.14 *c* și terminat pe R_2 ; iar ρ este coeficientul de reflexie

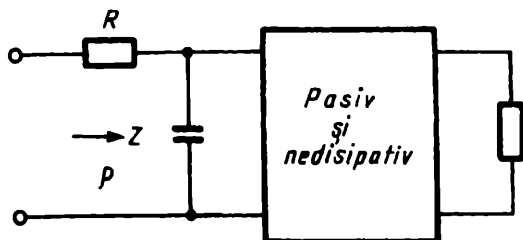


Fig. 8.15. Circuit cu restricții datorate capacității shunt.

¹⁾ Aceste restricții sînt puse în evidență prin relațiile integrale dintre partea reală și cea imaginară a unei impedanțe (N.T.).

ρ_1 corespunzător. Pentru $R = R_2$, Z este impedanța de intrare Z_2 , privită la poarta din dreapta a diportului punctat, din fig. 8.14b, cu cealaltă poartă terminată pe R_1 ; ρ este coeficientul de reflexie ρ_2 , corespunzător. În oricare din situații,

$$\rho = \frac{Z - R}{Z + R}$$

În mod ideal, în condiții de adaptare $\rho = 0$. Aceasta implică $Z = R$ la toate frecvențele, sau cel puțin în banda frecvențelor utile. Dar aceasta nu se poate realiza riguros: această condiție poate să fie aproximată. Dacă ρ nu poate fi identic nul, cel puțin, vom cere să aibă modulul său cât mai apropiat de zero.

Se obișnuiește să se definească o altă mărime legată de ρ în modul următor:

$$\text{atenuarea de reflexie} = \ln \frac{1}{|\rho(j\omega)|} \quad (72)$$

Dacă $\rho = 0$, atenuarea de reflexie este infinită; în condiții de totală neadaptare, (cînd $\rho = 1$), atenuarea de reflexie este zero. Rezultă că maximizarea atenuării de reflexie, într-o bandă de frecvențe, este o măsură de optimizare a adaptării, în această bandă de frecvențe.

Luînd integrala de contur pentru $\ln(1/\rho)$ în jurul conturului standard — axa $j\omega$ și semiplanul drept, așa cum s-a arătat în Capitolul 6 și cum se arată din nou în fig. 8.16 — se obține o restricție integrală, asupra atenuării de reflexie. Pentru a aplica teorema lui Cauchy, integrandul

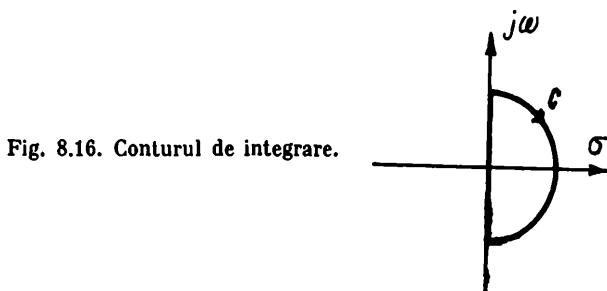


Fig. 8.16. Conturul de integrare.

trebuie să fie o funcție regulată în semiplanul drept. Totuși, deși ρ este o funcție regulată în semiplanul drept, $1/\rho$ poate să nu fie regulată. De aceea vom înmulți pe $1/\rho$ cu o funcție trece-tot, $A(s)$, în modul următor:

$$\frac{1}{\rho} A(s) = \frac{Z + R}{Z - R} \cdot \frac{(s - s_1)(s - s_2) \cdots (s - s_n)}{(s + s_1)(s + s_2) \cdots (s + s_n)} \quad (73)$$

fiecare s_k fiind un pol al lui $1/\rho$ din semiplanul drept. Funcția obținută este regulată în semiplanul drept și acum se poate efectua integrarea. Vom avea contribuții la integrale de contur, din interiorul semicercului infinit și de pe axa imaginară. Pentru a le evalua pe primele să observăm că dacă $s \rightarrow \infty$, $Z \rightarrow 1/sC$, datorită capacității shunt. Așadar,

$$\frac{Z+R}{Z-R} \xrightarrow{s \rightarrow \infty} \frac{\frac{1}{sC} + R}{\frac{1}{sC} - R} \rightarrow -\left(1 + \frac{2}{RCs}\right). \quad (74)$$

Funcția trece-tot tinde către

$$A(s) = \frac{s^n - s^{n-1} \sum s_k + \dots}{s^n + s^{n-1} \sum s_k + \dots} \xrightarrow{s \rightarrow \infty} 1 - \frac{2 \sum s_k}{s}. \quad (75)$$

În consecință

$$\frac{1}{\rho} A(s) \xrightarrow{s \rightarrow \infty} -\left[1 + \frac{2}{s} \left(\frac{1}{RC} - \sum s_k\right)\right]. \quad (76)$$

Semnul negativ din fața membrului drept ne arată că vom lua logaritmul lui $-A(s)/\rho$ în loc de $+A(s)/\rho$. Apoi, deoarece $\ln(1+x) \rightarrow x$ pentru $|x| \ll 1$,

$$\int_C \ln \left[-\frac{A(s)}{\rho} \right] ds \rightarrow \int_C \frac{2}{s} \left(\frac{1}{RC} - \sum s_k \right) ds = -j2\pi \left(\frac{1}{RC} - \sum s_k \right), \quad (77)$$

unde C este semicercul infinit care face parte din conturul standard iar

$$\int_C ds/s = j\pi.$$

În lungul axei imaginare,

$$\begin{aligned} \int_{-\infty}^{\infty} \ln \left[-\frac{A(j\omega)}{\rho(j\omega)} \right] j d\omega &= \int_{-\infty}^{\infty} \ln \left| \frac{1}{\rho} \right| j d\omega + \int_{-\infty}^{\infty} j \arg \left[-\frac{A(j\omega)}{\rho(j\omega)} \right] j d\omega = \\ &= j2 \int_0^{\infty} \ln \frac{1}{|\rho|} d\omega. \end{aligned} \quad (78)$$

Prima egalitate provine din faptul că modulul unei funcții trece-tot este unitar pe axa $j\omega$, astfel că $\ln |A(j\omega)/\rho(j\omega)| = \ln |1/\rho|$. Ultima egalitate

rezultă din faptul că funcția de ω , $\ln|1/\rho|$ este pară, iar argumentul este o funcție impară de ω .

Conform teoremei lui Cauchy, suma termenilor, din membrul stîng al ultimelor două ecuații, trebuie să fie zero. Prin urmare

$$\int_0^{\infty} \ln \frac{1}{|\rho(j\omega)|} d\omega = \pi \left(\frac{1}{RC} - \sum s_k \right). \quad (79)$$

Să reamintim că s_k este un pol al lui $1/\rho$, situat în semiplanul drept, așadar partea sa reală este pozitivă. Suma tuturor acestor poli va fi prin urmare pozitivă. Dacă $1/\rho$ nu are nici un pol în semiplanul drept, această sumă se anulează. Deci rezultatul final va fi

$$\int_0^{\infty} \ln \frac{1}{|\rho(j\omega)|} d\omega \leq \frac{\pi}{RC}. \quad (80)$$

Aceasta este o limitare fundamentală asupra atenuării de reflexie (sau a coeficientului de reflexie), atunci cînd diportul de adaptare este shuntat la o poartă de o capacitate.

Această restricție impune limitări și asupra cîștigului de putere transductică. Pentru a ilustra aceasta să presupunem că banda frecvențelor utile este domeniul frecvențelor joase $0 \leq \omega \leq \omega_c$, care reprezintă banda de trecere, restul scării frecvențelor constituind banda de blocare. Ambele benzi vor aduce contribuții la integrala din (80). Situația cea mai avantajoasă are loc, atunci cînd $1/\rho$ nu are poli în semiplanul drept și modulul lui ρ , fie aceasta $|\rho_0|$ este constant în banda de trecere. Atunci

$$\begin{aligned} \int_0^{\infty} \ln \frac{1}{|\rho|} d\omega &= \int_0^{\omega_c} \ln \frac{1}{|\rho_0|} d\omega + \int_{\omega_c}^{\infty} \ln \frac{1}{|\rho|} d\omega = \\ &= \omega_c \ln \frac{1}{|\rho_0|} + \int_{\omega_c}^{\infty} \ln \frac{1}{|\rho|} d\omega = \frac{\pi}{RC}. \end{aligned} \quad (81)$$

În afara benzii de trecere, va fi o neadaptare totală și $|\rho|$ va fi în mod ideal egal cu 1. În realitate, deși valoarea sa va fi mai mică decît 1, va trebui să fie apropiată de 1. Prin urmare, $\ln 1/|\rho|$ va fi un număr pozitiv, mic, în mod ideal zero. În consecință, integrala de la ω_c la ∞ va fi pozitivă, iar (81) va da :

$$\ln \frac{1}{|\rho_0|} \leq \frac{\pi}{\omega_c RC} \text{ sau } \frac{1}{|\rho_0|} \leq e^{\pi/\omega_c RC} \quad (82)$$

$$|\rho_0| \geq e^{-\pi/\omega_c RC}.$$

Dacă această expresie se combină cu (64), pătratul modulului lui S_{21} devine

$$|S_{21}(j\omega)|^2 \leq 1 - \varepsilon^{-2\pi/\omega_p RC}. \quad (83)$$

Aceasta impune o limită superioară pentru câștigul transductiv de putere, $|S_{21}(j\omega)|$, care poate fi obținut într-o bandă largă de frecvențe, chiar dacă presupunem că, este posibil să se obțină o valoare constantă în toată banda de trecere. Cu cât banda frecvențelor utile este mai largă, cu atât limitarea impusă de o capacitate fixă de shuntare, devine mai severă. Să notăm că, rezultatul obținut aici este valabil pentru fig. 8.14 c; dar se aplică, ținând seama de (65) și (68) și la fig. 8.14 b.

8.5. NORMAREA IN COMPLEX

Parametrii de repartiție pe care i-am tratat pînă acum erau definiți pentru un multiport, cu terminații rezistive. Normarea a fost efectuată în raport cu aceste numere. Să presupunem că terminațiile unui multiport nu sînt rezistențe, ci impedanțe; în ce mod le vom norma? Ne vom ocupa acum de această problemă generală. Pentru simplificare vom ilustra aceasta cu un diport, iar rezultatele se vor aplica în formă matriceală și unui multiport general.

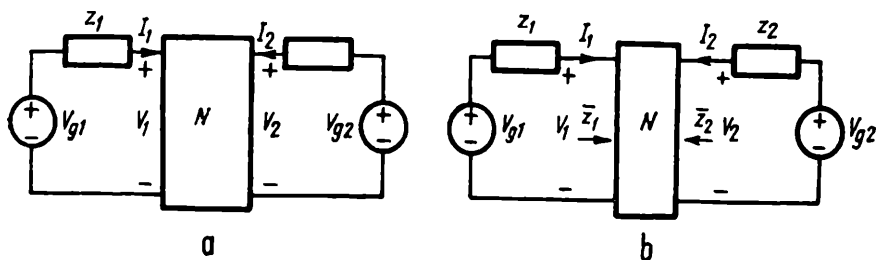


Fig. 8.17. Diport cu terminații oarecare :

(a) — cazul general; (b) — cazul adaptat.

Situația de care urmează să ne ocupăm este ilustrată cu diportul din fig. 8.17. Impedanțele de terminație sînt strict pasive, cu părți reale pozitive :

$$r_k = \operatorname{Re} z_k > 0. \quad (84)$$

Aceste părți reale joacă același rol, ca și rezistențele de terminație mai înainte și ele sînt reprezentate de matricea diagonală, definitivă pozitiv în (24). Din fig. 8.17 *a* putem să scriem :

$$\begin{bmatrix} V_{o_1} \\ V_{o_2} \end{bmatrix} = \begin{bmatrix} V_1 \\ V_2 \end{bmatrix} + \begin{bmatrix} z_1 & 0 \\ 0 & z_2 \end{bmatrix} \begin{bmatrix} I_1 \\ I_2 \end{bmatrix}$$

ceea ce se poate generaliza pentru un multiport astfel :

$$V_o = V + zI = (Z_{oc} + z)I. \quad (85)$$

Termenul din dreapta rezultă prin substituția $V = Z_{oo}I$. Acesta poate fi comparat cu (25) pentru terminații rezistive.

Acum să presupunem că multiportul este adaptat cu impedanțele de terminație, la toate porțile simultan, adică impedanța văzută la poarta j a multiportului este \bar{z}_j . Această situație este arătată pentru diportul din fig. 8. 17*b*. Din fig. 8.17 rezultă că

$$\begin{bmatrix} V_1 \\ V_2 \end{bmatrix} = \begin{bmatrix} z_1 & 0 \\ 0 & \bar{z}_2 \end{bmatrix} \begin{bmatrix} I_1 \\ I_2 \end{bmatrix} \text{ sau } V = \bar{z}I \quad (\text{la adaptare}) \quad (86)$$

Ca și mai înainte, se definesc tensiunile și curenții incidenti, ca fiind tensiunile și curenții la o poartă în condiții de adaptare, adică $V_i = V$ și $I_i = I$, la adaptare. Prin urmare, generalizînd ultima ecuație și introducînd-o în (85) obținem :

$$I_i = \frac{1}{z_i} r^{-1} V_o, \quad (87 \ a)$$

$$V_j = \bar{z}I_i = \frac{1}{2} \bar{z}r^{-1} V_o, \quad (87 \ b)$$

deoarece $z + \bar{z} = 2r$. Aceasta poate fi comparată cu relația (82) pentru terminații reale. Cerința de adaptare simultană la toate porțile, care cere ca Z_{oo} să fie conjugată impedanței de terminație z , nu poate fi satisfăcută la toate frecvențele, ci la o singură frecvență. Prin urmare, procedeul care va fi descris aici este strict aplicabil la o singură frecvență, care poate să fie orice punct al axei $j\omega$. Același procedeu poate fi utilizat, fără erori prea mari, și în aplicațiile cu bandă îngustă de frecvențe.

Definim din nou variabilele reflectate, ca deviațiile în raport cu valorile de la adaptare conform (27). Dacă aici se introduc (85) și (87) și se

fac cîteva calcule, ale cîror detalii sînt lăsate în seama cititorului, variabilele incidente și reflectate devin

$$\mathbf{V}_i = \frac{1}{2} \bar{\mathbf{z}} \mathbf{r}^{-1} (\mathbf{V} + \mathbf{z} \mathbf{I}), \quad (88 a)$$

$$\mathbf{V}_r = \frac{1}{2} \mathbf{z} \mathbf{r}^{-1} (\mathbf{V} - \bar{\mathbf{z}} \mathbf{I}), \quad (88 b)$$

$$\mathbf{I}_i = \frac{1}{2} \mathbf{r}^{-1} (\mathbf{V} + \mathbf{z} \mathbf{I}), \quad (88 c)$$

$$\mathbf{I}_r = \frac{1}{2} \mathbf{r}^{-1} (\mathbf{V} - \bar{\mathbf{z}} \mathbf{I}). \quad (88 d)$$

Observăm că și aici expresiile pentru tensiuni sînt oarecum mai complicate decît cele în raport cu curenții.

Să introducem acum normarea tensiunii, curențului și a impedanței. Pentru normarea curenților înmulțim cu $\mathbf{r}^{1/2}$ iar pentru normarea tensiunilor înmulțim cu $\mathbf{r}^{-1/2}$. Impedanțele se normează în concordanță, cu (39b). Variabilele normate incidente și reflectate devin :

$$\mathbf{r}^{1/2} \mathbf{I}_i = \frac{1}{2} (\mathbf{V}_n + \mathbf{z}_n \mathbf{I}_n) = \frac{1}{2} (\mathbf{Z}_n + \mathbf{z}_n) \mathbf{I}_n, \quad (89 a)$$

$$\mathbf{r}^{-1/2} \mathbf{V}_i = \frac{1}{2} \bar{\mathbf{z}}_n (\mathbf{V}_n + \mathbf{z}_n \mathbf{I}_n) = \frac{1}{2} \bar{\mathbf{z}}_n (\mathbf{Z}_n + \mathbf{z}_n) \mathbf{I}_n \quad (89 b)$$

și

$$\mathbf{r}^{1/2} \mathbf{I}_r = \frac{1}{2} (\mathbf{V}_n - \bar{\mathbf{z}}_n \mathbf{I}_n) = \frac{1}{2} (\mathbf{Z}_n - \bar{\mathbf{z}}_n) \mathbf{I}_n, \quad (90 a)$$

$$\mathbf{r}^{-1/2} \mathbf{V}_r = \frac{1}{2} \mathbf{z}_n (\mathbf{V}_n - \bar{\mathbf{z}}_n \mathbf{I}_n) = \frac{1}{2} \mathbf{z}_n (\mathbf{Z}_n - \bar{\mathbf{z}}_n) \mathbf{I}_n. \quad (90 b)$$

unde $\mathbf{z}_n = \mathbf{r}^{-1/2} \mathbf{z} \mathbf{r}^{-1/2} = [z_j/r_j]$. Să examinăm cu atenție aceste expresii. În cazul terminațiilor reale, ambele mărimi din (89) sînt aceleași și sînt cele notate în (37) cu **a**. La fel în (90), pentru terminații reale ambele mărimi sînt aceleași și au fost notate mai înainte cu **b**. Desigur, aceasta nu mai este adevărat pentru terminații complexe. Observăm că, dacă se ia **z** real, cele două expresii (89) se reduc la **a**, iar cele două relații (90) la **b**, din (42).

Se pot defini două matrici de repartiție diferite, una pentru curenți și una pentru tensiuni. Vom defini în mod arbitrar **a** și **b** ca fiind *curenți normati*, incidenti, respectiv reflectati. Astfel din (89) și (90) obținem

$$\mathbf{a} = \mathbf{r}^{1/2} \mathbf{I}_i = \frac{1}{2} (\mathbf{V}_n + \mathbf{z}_n \mathbf{I}_n) = \frac{1}{2} (\mathbf{Z}_n + \mathbf{z}_n) \mathbf{I}_n, \quad (91 a)$$

$$\mathbf{b} = \mathbf{r}^{1/2} \mathbf{I}_r = \frac{1}{2} (\mathbf{V}_n - \bar{\mathbf{z}}_n \mathbf{I}_n) = \frac{1}{2} (\mathbf{Z}_n - \bar{\mathbf{z}}_n) \mathbf{I}_n. \quad (91 b)$$

Vom defini acum matricea de repartitie S , ca mai înainte, prin relația $b = Sa$. Dacă se înlocuiesc a și b din (91), putem găsi matricea de repartitie din relația

$$\begin{aligned}\frac{1}{2}(Z_n - \bar{z}_n)I_n &= S\frac{1}{2}(Z_n + z_n)I_n \\ S &= (Z_n - \bar{z}_n)(Z_n + z_n)^{-1}\end{aligned}\quad (92)$$

Aceasta trebuie comparată cu (41) pentru cazul terminațiilor reale. Observăm că $(Z_n + z_n)^{-1}$ este matricea admitanțelor normate a circuitului mărit, Y_{an} . Rezultă că adunînd și scăzînd z_n în primele paranteze din (92), această expresie poate fi scrisă ca

$$S = U - 2Y_{an}, \quad (93)$$

deoarece $z_n + \bar{z}_n = 2U$. Aceasta este o expresie similară cu (40) pentru cazul terminațiilor reale.

Se poate defini o altă matrice, fie aceasta \hat{S} , pentru variabilele tensiunilor, normate, scriind $r^{-1/2}V_r = \hat{S}r^{-1/2}V_r$. Ținînd seama de (89) și (90), se găsește :

$$\hat{S} = z_n(Z_n - \bar{z}_n)(Z_n + z_n)^{-1}\bar{z}_n^{-1}. \quad (94)$$

Comparînd aceasta cu (92) se găsește legătura dintre cele două matrice în forma :

$$\hat{S}\bar{z}_n = z_n S. \quad (95)$$

Datorită complexității relative a matricei de repartitie a tensiunilor S , s-au ales definițiile pentru a și b și pentru matricea de repartitie S , în modul arătat. Mai potrivită chiar, se dovedește a fi relația lor cu puterea. Pentru a arăta aceasta să explicităm în (91) pe V_n și I_n , în funcție de a și b . Astfel

$$V_n = \bar{z}_n a + z_n b, \quad (96 a)$$

$$I_n = a - b \quad (96 b)$$

deoarece $z_n + \bar{z}_n = 2U$. Acestea nu sînt chiar aceleași relații cu cele din (42), pentru cazul terminațiilor reale. Totuși, dacă se formează expresia pentru $V_n^* I_n$ ca și în (53), expresia pentru partea reală corespunzătoare

în funcție de matricea de repartiție definită aici, va fi exact aceeași ca și în (54).

Prin urmare, proprietățile matricei de repartiție stabilite în § 8.4 se aplică și matricei de repartiție S dată de (92). Aceasta este deci o extindere potrivită a variabilelor de repartiție și a matricei de repartiție, pentru cazul normării complexe.

Normarea independentă de frecvență

Discuția precedentă referitoare la normarea complexă, fiind bazată pe adaptarea optimă în regim permanent sinusoidal, este valabilă pentru o singură frecvență. Vom extinde discuția la semnale arbitrare și pentru toate valorile s . În fig. 8.18 se arată un diport, care reprezintă un multiport oarecare, alimentat de surse de tensiune arbitrare, prin impedențe de terminație în cazul general

$$V_p(s) = V(s) + z(s)I(s) \quad (97 \text{ a})$$

$$= [Z_{oc}(s) + z(s)] I(s) \quad (97 \text{ b})$$

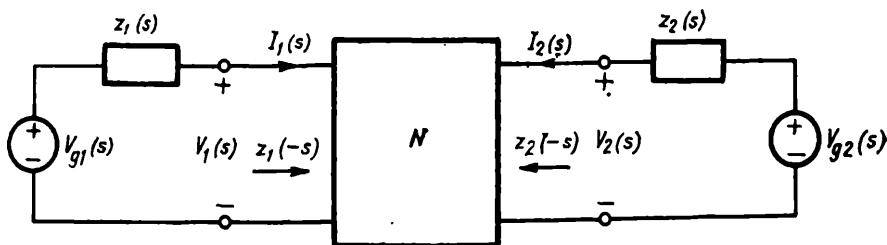


Fig. 8.18. Adaptare în cazul general cu semnale arbitrare și impedențe de terminații pasive.

Acste relații sînt identice cu (85) cu observația că se aplică la orice s .
Fie :

$$r(s) = \frac{1}{2} \{ z(s) + z(-s) \}; \quad (98)$$

adică $r_1(s)$ și $r_2(s)$ sînt părțile pare ale $z_1(s)$ și $z_2(s)$. Deoarece $r(s)$ este par, $r(-s) = r(s)$; nu vom scrie argumentul (variabila) pentru r , decît pentru a evidenția dependența de acesta. Fără să ne preocupăm de adaptarea în putere reală, să ne referim la o situație specială în cazul unui diport și anume :

$$Z_{oc}(s) = \begin{bmatrix} z_1(-s) & 0 \\ 0 & z_2(-s) \end{bmatrix} \text{ sau } Z_{oc}(s) = z(-s). \quad (99)$$

Să considerăm aceasta ca o situație de referință și să o numim *condiție de adaptare*¹⁾. Dacă $s = j\omega$, r este chiar partea reală a $z(s)$.

Ca și mai înainte, se definesc tensiunea și curentul de incidență, ca fiind tensiunile și curenții în condiții de adaptare adică $V_i(s) = V(s)$ și $I_i(s) = I(s)$, atunci cînd $Z_{oc} = z(-s)$. Din fig. 8.18 și din (97) rezultă

$$I_i(s) = \frac{1}{2} r^{-1} V_o(s) = \frac{1}{2} r^{-1} [V(s) + z(s) I(s)]. \quad (100 \ a)$$

$$\begin{aligned} V_i(s) &= z(-s) I_i(s) = \frac{1}{2} z(-s) r^{-1} V_o(s) \\ &= \frac{1}{2} z(-s) r^{-1} [V(s) + z(s) I(s)]. \end{aligned} \quad (100 \ b)$$

Se definesc din nou, variabilele reflectate ca deviații de la situația de referință (adaptare), ca și mai înainte. Introducînd (100) și (97) în $I_r = I_i - I$ și în $V_r = V - V_i$ obținem

$$I_r(s) = \frac{1}{2} r^{-1} [V(s) - z(-s) I(s)] \quad (101 \ a)$$

$$V_r(s) = \frac{1}{2} z(s) r^{-1} [V(s) - z(-s) I(s)]. \quad (101 \ b)$$

Să comparăm aceasta cu (88); observăm că z a fost înlocuit cu $z(-s)$.

Dacă $s = j\omega$, $z(-s) = z(-j\omega) = z[(j\omega)] = \bar{z}(j\omega)$.

O altă expresie utilă se obține punînd $V = Z_{oc} I$. Atunci

$$I_i = \frac{1}{2} r^{-1} [Z_{oc}(s) + z(s)] I(s) \quad V_i(s) = z(-s) I_i(s), \quad (102 \ a)$$

$$I_r = \frac{1}{2} r^{-1} [Z_{oc}(s) - z(-s)] I(s) \quad V_r(s) = z(s) I_r(s) \quad (102 \ b)$$

Ca și mai înainte, etapa următoare este normarea. Totuși acest procedeu este acum mai complicat. În cazurile precedente, r era o matrice cu numere reale și normarea se făcea împărțind sau înmulțind componentele vectorului de normat, cu rădăcina patrată din elementele scalare ale r . Acum $r(s)$ este o funcție pară de s . Extragerea rădăcinii patrute nu mai este atît de simplă. Să facem aici o digresiune pentru a examina proprietățile funcției $r(s)$.

Să începem cu matricea de impedanță z ale cărei elemente sînt funcții raționale real-pozitive, deci regulate în semiplanul drept. Notăm numărătorul, și numitorul elementului j al matricei z cu $n_j(s)$ și $d_j(s)$. Atunci

$$z_j(s) = \frac{n_j(s)}{d_j(s)} \quad (103)$$

¹⁾ O tratare mai completă în domeniul timp este dată în E. S. Kuh și R.A. Rohrer, „Theory of Linear Active Networks”, Holden Day, San Francisco, 1967, pp. 287–300.

Deci

$$r_j(s) = \frac{1}{2} \left[\frac{n_j(s)}{d_j(s)} + \frac{n_j(-s)}{d_j(-s)} \right] = \frac{n_j(s) d_j(-s) + n_j(-s) d_j(s)}{2 d_j(s) d_j(-s)}. \quad (104)$$

Atît numărătorul cît și numitorul termenului din dreapta sînt polinoame pare de s . Prin urmare, zerourile lor apar în simetrie cuadrantală. Să definim o funcție $f_j(s)$, avînd ca zerouri și poli, zerourile și polii funcției $r_j(s)$, situați în semiplanul stîng. Funcția $f_j(-s)$ va conține în acest caz, toate zerourile și polii lui $r_j(s)$, din semiplanul drept. Astfel

$$r_j(s) = f_j(s) f_j(-s). \quad (105)$$

Fiecare funcție $f_j(s)$ și $f_j(-s)$ este un fel de „rădăcină patrată” a lui $r_j(s)$, deoarece produsul lor conduce la $r_j(s)$.

Înainte de a trece mai departe să considerăm un exemplu simplu. Să presupunem că z_j este o funcție real-pozitivă

$$z_j(s) = \frac{s+4}{s+1}.$$

Deci

$$r_j(s) = \frac{1}{2} \left(\frac{s+4}{s+1} + \frac{-s+4}{-s+1} \right) = \frac{(s+2)(s-2)}{(s+1)(s-1)}.$$

În mod evident,

$$f_j(s) = \frac{s+2}{s+1}, \quad f_j(-s) = \frac{s-2}{s-1}.$$

Constatăm că pentru $s = j\omega$, părțile reale ale acestor două funcții sînt egale; deci pentru normarea complexă la o singură frecvență, oricare din ele este potrivită.

Am considerat aici un singur element al matricei r . În formă matriceală relațiile stabilite devin

$$r(s) = f(s) f(-s), \quad (106)$$

relații în care $f(s)$ este o matrice diagonală, la care fiecare element nenul este o fracție rațională, avînd atît la numărător cît și la numitor polinoame Hurwitz.

Să revenim acum la discuția principală. Tendința noastră este să normăm, înmulțind curenții cu „rădăcina patrată” din $\mathbf{r}(s)$, dar care „rădăcină patrată” trebuie aleasă, $\mathbf{f}(s)$ sau $\mathbf{f}(-s)$? În alegerea noastră este determinantă dorința ca, variabilele de repartitie ce trebuie definite să conducă la o matrice de repartitie, care să satisfacă relațiile fundamentale relative la câștigul de putere, date în (54). În acest scop se generalizează conjugata unui vector, luând în locul ei vectorul în $(-s)$. Astfel, $\bar{\mathbf{V}}$ devine $\mathbf{V}(-s)$, care se reduce la $\bar{\mathbf{V}}$ pentru $s = j\omega$. Este deci util să se scrie o expresie pentru putere și de aici să se deducă normarea necesară. În prima etapă se explicitează tensiunea și curentul din (100 a) și (101 a), ca funcții de tensiuni și curenții incidenți și reflectați. Rezultatul va fi:

$$\mathbf{V}(s) = \mathbf{r}(s) [\mathbf{I}_i(s) + \mathbf{I}_r(s)],$$

$$\mathbf{I}(s) = \mathbf{I}_i(s) - \mathbf{I}_r(s).$$

Apoi formăm $\mathbf{V}'(-s)\mathbf{I}(s)$ și luăm partea pară, P . Obținem

$$\begin{aligned} P &= \text{Par} [\mathbf{V}'(-s)\mathbf{I}(s)] \\ &= \text{Par} [\mathbf{I}'_i(-s)\mathbf{r} + \mathbf{I}'_r(-s)\mathbf{r}] [\mathbf{I}_i(s) - \mathbf{I}_r(s)] \\ &= \text{Par} [\mathbf{X}(s)] + \text{Par} [\mathbf{Y}(s)] \end{aligned}$$

unde

$$\mathbf{X}(s) = \mathbf{I}'_i(-s)\mathbf{r}\mathbf{I}_i(s) - \mathbf{I}'_r(-s)\mathbf{r}\mathbf{I}_r(s),$$

$$\mathbf{Y}(s) = \mathbf{I}'_r(-s)\mathbf{r}\mathbf{I}_i(s) - \mathbf{I}'_i(-s)\mathbf{r}\mathbf{I}_r(s).$$

Observăm că \mathbf{r} este matrice diagonală și deci $\mathbf{r}' = \mathbf{r}$. Prin evaluare directă se găsește că:

$$\mathbf{X}(-s) = \mathbf{X}'(s) = \mathbf{X}(s),$$

$$\mathbf{Y}(-s) = -\mathbf{Y}'(s) = -\mathbf{Y}(s),$$

deoarece \mathbf{X} și \mathbf{Y} sînt matrice diagonale. Prin urmare $\mathbf{X}(s)$ este pară, iar $\mathbf{Y}(s)$ este impară. Rezultă că

$$P = \mathbf{I}'_i(-s)\mathbf{r}\mathbf{I}_i(s) - \mathbf{I}'_r(-s)\mathbf{r}\mathbf{I}_r(s). \quad (108)$$

Vom defini matricea de repartitie a curentului prin

$$\mathbf{I}_r(s) = \mathbf{S}_I \mathbf{I}_i(s) \quad (109)$$

și o vom introduce în (108) obținind rezultatul

$$P = \mathbf{I}_i'(-s) [\mathbf{r} - \mathbf{S}_I(-s) \mathbf{r} \bar{\mathbf{S}}_I(s)] \mathbf{I}_i(s).$$

Reamintindu-ne că $\mathbf{r} = \mathbf{f}(s) \mathbf{f}(-s)$, această expresie poate fi pusă sub forma (54) numai în modul următor :

$$P = [\mathbf{f}(s) \mathbf{I}_i(-s)]' \{ \mathbf{U} - [\mathbf{f}^{-1}(s) \mathbf{S}_I'(-s) \mathbf{f}(-s)] [\mathbf{f}(s) \mathbf{S}_I(s) \mathbf{f}^{-1}(-s)] \} \mathbf{f}(-s) \mathbf{I}_i(s). \quad (110)$$

Acum e clar ! Trebuie să definim variabilele de repartiție \mathbf{a} și \mathbf{b} , ca variabile normate ale curenților incident și reflectat și matricea de repartiție \mathbf{S} ca matrice de repartiție a curentului, *normată* după cum urmează :

$$\mathbf{a}(s) = \mathbf{f}(-s) \mathbf{I}_i(s) \quad (111 a)$$

$$\mathbf{b}(s) = \mathbf{f}(s) \mathbf{I}_r(s) \quad (111 b)$$

$$\mathbf{S} = \mathbf{f}(s) \mathbf{S}_I(s) \mathbf{f}^{-1}(-s) \quad (112)$$

[Ecuția (111b) este justificată, dacă se înmulțește (109) cu $\mathbf{f}(s)$ și se utilizează expresiile pentru $\mathbf{a}(s)$ și \mathbf{S}]. Atunci (110) devine

$$P = \mathbf{a}'(-s) [\mathbf{U} - \mathbf{S}'(-s) \mathbf{S}(s)] \mathbf{a}(s). \quad (113)$$

Pentru ($s = j\omega$), această expresie se reduce la puterea de intrare așa cum este dată în (54), pentru cazul normării reale. Așadar, matricea de repartiție definită prin (112) și (109) are proprietățile discutate în paragraful 8.4 pentru normarea reală.

A mai rămas să găsim expresia pentru \mathbf{S} , în funcție de \mathbf{Z}_{oc} și impedanțele de terminație. În acest scop să revenim la (102) și să utilizăm (109), pentru a determina matricea de repartiție a curentului.

$$\begin{aligned} \mathbf{S}_I &= \mathbf{r}^{-1} [\mathbf{Z}_{oc}(s) - \mathbf{z}(-s)] [\mathbf{Z}_{oc}(s) + \mathbf{z}(s)]^{-1} \mathbf{r} \\ &= [\mathbf{Z}_{oc}(s) + \mathbf{z}(s)]^{-1} [\mathbf{Z}_{oc}(s) - \mathbf{z}(-s)] \\ &= \mathbf{U} - 2\mathbf{Y}_a(s) \mathbf{r}, \end{aligned} \quad (114)$$

unde \mathbf{Y}_a este matricea de admitanță (nenormată) a circuitului mărit

$$\mathbf{Y}_a(s) = [\mathbf{Z}_{oc}(s) + \mathbf{z}(s)]^{-1}. \quad (115)$$

Introducînd relația (114) în (112) se obține matricea de repartiție

$$\begin{aligned} S &= f(s) [Z_{oc}(s) + z(s)]^{-1} [Z_{oc}(s) - z(-s)] f^{-1}(-s) \\ &= f(s) f^{-1}(-s) - 2f(s) Y_o(s) f(s). \end{aligned} \quad (116)$$

Să comparăm aceasta cu relațiile (92) și (93) pentru cazul normării complexe la o singură frecvență.

Constatăm că în cazul normării complexe independente de frecvență expresia pentru S este ceva mai complicată, decît expresia pentru matricea de repartiție la o singură frecvență.

Pentru un uniport avînd o impedanță $Z(s)$, coeficientul de reflexie pentru curenți ρ_I se obține din (114), observînd că matricele din aceste expresii sînt, în cazul uniportului, scalari. Astfel,

$$\rho_I(s) = \frac{Z(s) - z(-s)}{Z(s) + z(s)}, \quad (117)$$

Coeficientul de reflexie însuși, așa cum rezultă din (116), diferă de această expresie prin funcția $f(s)/f(-s)$, care este o funcție trece-tot. Astfel

$$\rho(s) = \frac{Z(s) - z(-s)}{Z(s) + z(s)} \cdot \frac{f(s)}{f(-s)}, \quad (118)$$

unde $A(s) = f(s)/f(-s)$ este o funcție trece-tot.

Exemple

Să considerăm de exemplu uniportul din fig. 8.19 terminat cu R și C în paralel. Atunci

$$z(s) = \frac{1}{G + sC}, \quad r(s) = \frac{1}{2} [z(s) + z(-s)] = \frac{G}{(G + sC)(G - sC)},$$

$$f(s) = \frac{\sqrt{G}}{G + sC}, \quad f(-s) = \frac{\sqrt{G}}{G - sC}.$$

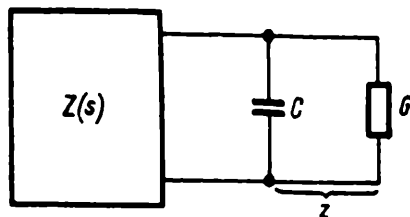


Fig. 8.19. Ilustrarea coeficientului de reflexie al unui uniport.

Din (117) se găsește coeficientul de reflexie al curentului

$$\rho_I(s) = \frac{Z(s) - \frac{1}{G-sC}}{Z(s) + \frac{1}{G+sC}} = \frac{(G-sC)Z(s)-1}{(G+sC)Z(s)+1} \cdot \frac{G+sC}{G-sC}.$$

În sfârșit din (118) se găsește coeficientul de reflexie

$$\rho(s) = \rho_I(s) \frac{f(s)}{f(-s)} = \frac{1}{2} \frac{(G-sC)}{(G+sC)} \rho_I(s) = \frac{(G-sC)Z(s)-1}{(G+sC)Z(s)+1}.$$

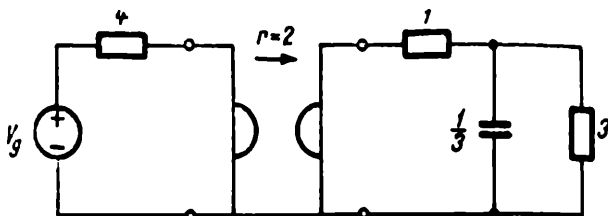


Fig. 8.20. Exemplu ilustrativ.

Să considerăm un alt exemplu arătat în fig. 8.20, pentru ilustrarea normării complexe, independent de frecvență. Un girator este terminat la o poartă printr-o rezistență, iar la cealaltă poartă printr-o impedanță

$$z_2 = \frac{s+4}{s+1}.$$

Giratorul are o matrice a impedanțelor de gol: prin urmare se poate scrie

$$\mathbf{Z}_{oc} = \begin{bmatrix} 0 & -2 \\ 2 & 0 \end{bmatrix}, \quad \mathbf{z} = \begin{bmatrix} 4 & 0 \\ 0 & \frac{s+4}{s+1} \end{bmatrix}$$

și

$$\mathbf{Y}_a = (\mathbf{Z}_{oc} + \mathbf{z})^{-1} = \begin{bmatrix} 4 & -2 \\ 2 & \frac{s+4}{s+1} \end{bmatrix}^{-1} = \begin{bmatrix} \frac{s+4}{8(s+\frac{5}{2})} & \frac{s+1}{4(s+\frac{5}{2})} \\ \frac{-(s+1)}{4(s+\frac{5}{2})} & \frac{s+1}{2(s+\frac{5}{2})} \end{bmatrix}.$$

Impedanța de terminație z_2 este aceeași ca și cea prezentată imediat după relația (105). Așadar, funcțiile $f(s)$ și $f^{-1}(-s)$ sînt:

$$f(s) = \begin{bmatrix} 2 & 0 \\ 0 & \frac{s+2}{s+1} \end{bmatrix}, \quad f^{-1}(-s) = \begin{bmatrix} \frac{1}{2} & 0 \\ 0 & \frac{-s+1}{-s+2} \end{bmatrix}.$$

Introducând relațiile de mai sus în (116) se obține matricea de repartiție

$$S = \begin{bmatrix} 2 & 0 \\ 0 & \frac{s+2}{s+1} \end{bmatrix} \begin{bmatrix} \frac{1}{2} & 0 \\ 0 & \frac{-s+1}{-s+2} \end{bmatrix} - \frac{2}{8(s + \frac{5}{2})} \begin{bmatrix} 2 & 0 \\ 0 & \frac{s+2}{s+1} \end{bmatrix}$$

$$\begin{bmatrix} (s+4) & 2(s+1) \\ -2(s+1) & 4(s+1) \end{bmatrix} \begin{bmatrix} 2 & 0 \\ 0 & \frac{s+2}{s+1} \end{bmatrix}$$

$$S = \begin{bmatrix} \frac{-\frac{3}{2}}{s + \frac{5}{2}} & \frac{-(s+2)}{s + \frac{5}{2}} \\ \frac{s+2}{s + \frac{5}{2}} & \frac{-\frac{3}{2}}{s + \frac{5}{2}} \cdot \frac{s+2}{-s+2} \end{bmatrix}.$$

Constatăm că S_{22} este egal cu S_{11} înmulțit cu o funcție trece-tot; modulele lor, pe axa $j\omega$, sînt prin urmare aceleași. Ecuațiile (65) și mai general (66) sînt satisfăcute. Puteți verifica că și relațiile (64), (67), (68) și (69) sînt de asemenea satisfăcute.

Amplificator cu rezistență negativă

Vom analiza în continuare, pentru ilustrarea aplicațiilor parametrilor de repartiție, un circuit a cărui analiză și proiectare se simplifică considerabil prin utilizarea parametrilor de repartiție. Dezvoltarea amplificatoarelor cu rezistență internă negativă a fost impulsionată de apariția diodei tunel, al cărui model linear simplificat este prezentat în fig. 8.21 *a*. În fig. 8.21 *b* se arată un model mai complet, dar pentru multe aplicații modelul mai simplu este mai potrivit.

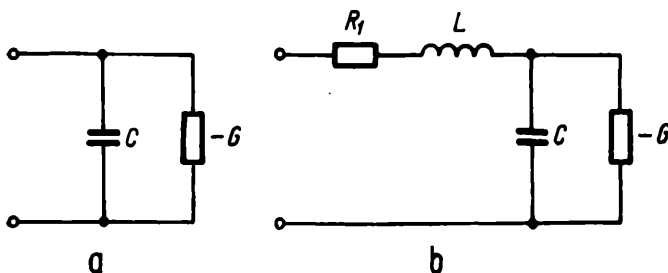


Fig. 8.21. Modele ale diodei tunel.

Impedanța modelului simplu al diodei tunel este :

$$Z_d(s) = \frac{1}{-G + sC}.$$

Aceasta nu este desigur o funcție real-pozitivă. Să considerăm funcția $-Z_d(-s)$:

$$-Z_d(-s) = \frac{-1}{-G - sC} = \frac{1}{G + sC} = Z(s),$$

care este o funcție real-pozitivă : impedanța dipolului G în paralel cu C . Aceasta este de fapt, o exemplificare a unei proprietăți mai generale, care poate fi formulată după cum urmează. Fie $Z_d(s)$ impedanța unui circuit *activ*, alcătuit din inductanțe și capacități pozitive și rezistențe *negative*. Fie $Z(s)$ impedanța circuitului *pasiv* obținut prin modificarea semnului fiecărui element. Avem $Z(s) = -Z_d(-s)$. Demonstrația acestui rezultat este lăsată în seama cititorului (vezi problemele P.30 și P.31).

Acum să presupunem că o diodă tunel, reprezentată prin modelul din fig. 8.20 *a* este conectată la o poartă a unei rețele triport fără pierderi, așa cum se arată în fig. 8.22 *a*. Să considerăm impedanțele de normare la cele trei porți, care vor fi $z_1 = R_1$, $z_2 = R_2$ și $z_3 = 1/(G + sC)$. Astfel, porțile 1 și 2 sînt terminate pe impedanțele de normare, în timp ce poarta 3 este terminată printr-o impedanță $z_a(s)$, legată de impedanța sa de normare prin relația $z_a(s) = -z_3(-s)$. Relațiile de repartiție ale triportului pot fi scrise astfel

$$b_1 = S_{11} a_1 + S_{12} a_2 + S_{13} a_3, \quad (119 a)$$

$$b_2 = S_{21} a_1 + S_{22} a_2 + S_{23} a_3, \quad (119 b)$$

$$b_3 = S_{31} a_1 + S_{32} a_2 + S_{33} a_3. \quad (119 c)$$

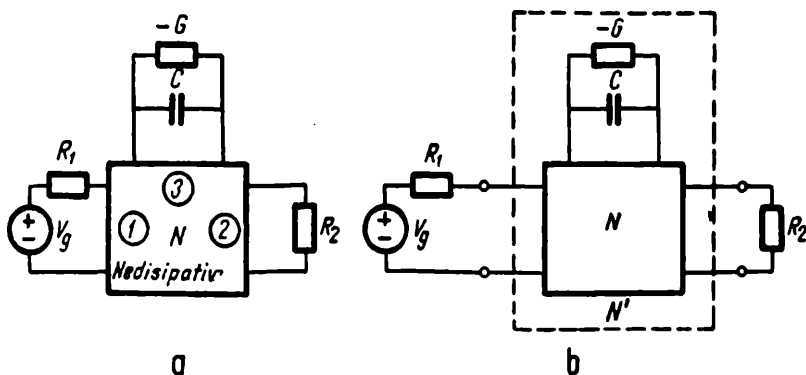


Fig. 8.22. Amplificator cu rezistență negativă.

În alt mod, dacă terminația la poarta 3 este inclusă în rețea, schema poate fi considerată ca un diport N' , așa cum se arată în fig. 8.22 *b*, cu terminațiile reale R_1 și R_2 . Să notăm cu indice prim parametrii de repartitie ai diportului. Prin definiție

$$\begin{aligned} S'_{11}(j\omega) &= \left. \frac{b_1}{a_1} \right|_{a_1=0} = S_{11}(j\omega) + S_{13}(j\omega) \frac{a_3}{a_1} \\ &= S_{11}(j\omega) - \frac{S_{13}(j\omega) S_{31}(j\omega)}{S_{33}(j\omega)}. \end{aligned} \quad (120)$$

Prima egalitate se obține din (119 *a*), luând $a_2 = 0$. Deoarece poarta 3 din fig. 8.22 *a* este închisă cu o impedanță, care este pe axa j negativ conjugată impedanței de normare, avem $b_3 = 0$, conform problemei P.27. A doua egalitate din ultima ecuație rezultă din (119 *c*).

Printr-o tratare similară se pot obține ceilalți parametri de repartitie, din fig. 8.22 *b*. Rezultatele sînt date în continuare, calculele de detaliu fiind lăsate pe seama cititorului :

$$\begin{aligned} S'_{11} &= \frac{S_{11}S_{33} - S_{13}S_{31}}{S_{33}}, & S'_{12} &= \frac{S_{12}S_{33} - S_{13}S_{32}}{S_{33}}, \\ S'_{21} &= \frac{S_{21}S_{33} + S_{23}S_{31}}{S_{33}}, & S'_{22} &= \frac{S_{22}S_{33} + S_{23}S_{32}}{S_{33}}. \end{aligned} \quad (121)$$

Deoarece triportul din fig. 8.22 este fără pierderi, matricea sa de repartitie este unitară. Această proprietate impune unele condiții pentru parametrii de repartitie (vezi problema P.35). În aceste condiții relațiile de mai sus devin :

$$\begin{aligned} S'_{11}(j\omega) &= \frac{S_{22}(-j\omega)}{S_{33}(j\omega)}, & S'_{12}(j\omega) &= \frac{-S_{21}(-j\omega)}{S_{33}(j\omega)}, \\ S'_{21}(j\omega) &= \frac{-S_{12}(-j\omega)}{S_{33}(j\omega)}, & S'_{22}(j\omega) &= \frac{S_{11}(-j\omega)}{S_{33}(j\omega)}. \end{aligned} \quad (122)$$

Aceste ecuații ne dau legătura, între coeficienții de reflexie și de transmisie ai diportului cu amplificator cu rezistență negativă și parametrii de repartitie ai triportului fără pierderi. Cîștigul transductiv de putere

al amplificatorului este $\mathcal{G}(\omega^2) = |S'_{21}(j\omega)|^2$, care se obține conform relațiilor de mai sus :

$$\mathcal{G}(\omega^2) = |S'_{21}(j\omega)|^2 = \frac{|S_{21}(j\omega)|^2}{|S_{33}(j\omega)|^2}, \quad (123)$$

deoarece $|S_{12}(-j\omega)| = |S_{12}(j\omega)|$. Deoarece N este un triport fără pierderi, $|S_{12}(j\omega)|^2 \leq 1$. Deci

$$\mathcal{G}(\omega^2) \leq \frac{1}{|S_{33}(j\omega)|^2}. \quad (124)$$

Dar S_{33} este coeficientul de reflexie la poarta 3, la bornele căreia apare o capacitate. Prin urmare, așa cum s-a discutat în paragraful precedent, există o limitare de principiu a acestei funcții, așa cum rezultă din (80), luând aici $S_{33} = \rho$.

Proiectarea optimă într-o bandă de frecvențe, $0 - \omega_c$, dată, se obține dînd lui $|S_{12}(j\omega)|$ valoarea constantă, maximă, în banda de frecvențe dată și făcînd ca $|S_{33}(j\omega)|$ să fie constant. Valoarea maximă pentru $|S_{12}(j\omega)|$ este 1. Cu limitarea dată de (82) se găsește cîștigul transductiv de putere, care trebuie să satisfacă relația

$$\mathcal{G}(\omega^2) \leq \epsilon^{2\pi/\omega_c R C} \quad (125)$$

în care $R = 1/G$, în fig. 8.22. Aceasta este limitarea principală a produsului „cîștig-bandă”, care depinde numai de parametrii diodei tunel.

Să revenim la proiectarea triportului. Să presupunem că triportul din fig. 8.22 *a* este un circuit reciproc. Dacă $|S_{12}(j\omega)| = 1$ într-o bandă de frecvențe, toți ceilalți parametri de repartiție se vor anula la aceste frecvențe. (Vezi problema P.36). Rezultă că nu se poate obține un triport reciproc, care să nu degenereze într-un caz banal, prin proiectarea optimă prezentată.

Să considerăm triportul circulator arătat în fig. 8.23 *a*. Matricea sa de repartiție, normată în raport cu rezistențele r_1 , r_2 și r_3 , unde r_3 este un număr real, arbitrar, este :

$$S_e = \begin{bmatrix} 0 & 1 & 0 \\ 0 & 0 & 1 \\ 1 & 0 & 0 \end{bmatrix}. \quad (126)$$

Aici S_{12} este identic 1 : dar ceilalți parametri ai circulatorului nu sînt potriviți, pentru a face din circulator triportul dorit. Dacă se atașează altceva la poarta 2, atunci S_{12} nu va mai fi 1. Aceasta menține poarta 3 nemodificată.

Să considerăm schema din fig. 8.23 b. Aceasta constă dintr-un circulator avînd la o poartă un diport reciproc \hat{N} . Fie matricea de repartiție \hat{S} a diportului de forma

$$\hat{S} = \begin{bmatrix} \hat{S}_{11} & \hat{S}_{12} \\ \hat{S}_{21} & \hat{S}_{22} \end{bmatrix}$$

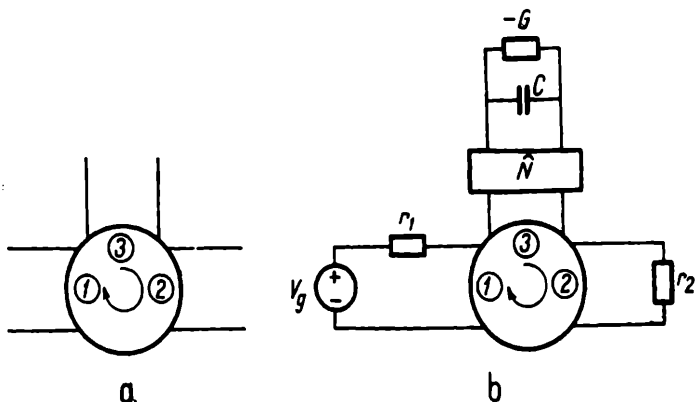


Fig. 8.23. Amplificator cu rezistență negativă, nereciproci.

fiind normată în raport cu r_3 și $z_3 = 1/(G + sC)$, la intrare și respectiv ieșire, r_3 este același ca și rezistența de normare a circuitului la poarta 3. Rămîne să exprimăm matricea de repartiție a întregului triport în funcție de parametrii S_c și \hat{S} din (126) și (127). Aceasta se poate face, utilizînd rezultatele din problema P.24. Detaliile de calcul revin cititorului; rezultatul este

$$\hat{S} = \begin{bmatrix} 0 & 1 & 0 \\ \hat{S}_{11} & 0 & \hat{S}_{12} \\ \hat{S}_{21} & 0 & \hat{S}_{22} \end{bmatrix} \quad (128)$$

În fine, matricea de repartiție pentru întreg amplificatorul cu rezistență negativă (cea notată cu S'), se obține utilizînd (122). Astfel,

$$S' = \begin{bmatrix} 0 & \frac{\hat{S}_{11}(-j\omega)}{\hat{S}_{22}(j\omega)} \\ -1 & 0 \\ \frac{1}{\hat{S}_{22}(j\omega)} & 0 \end{bmatrix} \quad (129)$$

Ambii coeficienți de reflexie sînt nuli, ceea ce arată că amplificatorul este adaptat atît la intrare, cît și la ieșire. Dacă se utilizează (65), se constată că coeficientul de transmisie invers, S'_{12} are modulul unitar. Coeficientul de transmisie, direct, al amplificatorului este legat numai de coeficientul de reflexie de la ieșire al diportului \hat{N} . Astfel,

$$\mathcal{G}(\omega^2) = \frac{1}{|\hat{S}_{22}(j\omega)|^2} \quad (130)$$

Problema de proiectare poate fi formulată acum după cum urmează. Se alege o funcție de câștig $\mathcal{G}(\omega^2)$, care să fie supusă limitării câștig bandă din (125) și care să maximizeze funcția $1/|\hat{S}_{22}(j\omega)|^2$. Apoi, apare problema determinării diportului \hat{N} , din $|\hat{S}_{22}(j\omega)|^2$, care să fie terminat pe r_3 la o poartă și pe dioda tunel la cealaltă poartă, așa cum se arată în fig. 8.24.

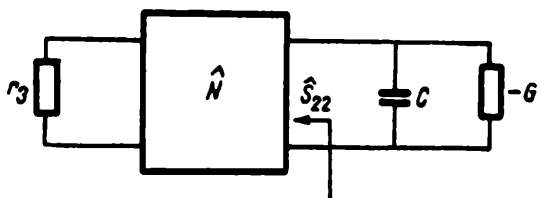


Fig. 8.24. Diportul \hat{N} , care trebuie proiectat.

Problema nu este la fel cu cea a filtrului discutat în paragraful 8.4¹⁾. Din $|\hat{S}_{22}(j\omega)|^2$ este necesar să se găsească $\hat{S}_{22}(s)$. Această funcție este legată de impedanța Z , privită de la poarta 2 a lui N prin (118), în care ρ joacă rolul lui \hat{S}_{22} . Diportul \hat{N} poate fi găsit apoi din Z .

În această tratare sumară s-au ignorat o serie de probleme legate de alegerea potrivită a lui $\hat{S}_{22}(s)$ din modulul său la patrat, deoarece acesta nu este un proces unic. Amănunțele acestei alegeri ne-ar fi dus în afara problemei noastre și de aceea nu au fost dezvoltate aici.

PROBLEME

P1. Doi uniporturi avînd impedanțele $Z_a = f_a(s)$ și $Z_b = f_b(s)$ au coeficienții de reflexie ρ_1 și ρ_2 . Să se găsească coeficientul ρ al uniportului arătat în fig. 8 P1 în funcție de ρ_1 și ρ_2 .

$$Z_1 = f_a(s), \quad Z_3 = f_b(s)$$

$$Z_4 = \frac{1}{f_b(s)}, \quad Z_4 = \frac{1}{f_a(s)}$$

¹⁾ Diferența esențială provine din faptul că aici este vorba de neadaptarea dintre o funcție real-pozitivă și o impedanță real-negativă, care este impedanța diodei tunel. În acest caz \hat{S}_{22} nu mai este o funcție cu modulul limitat (N.T.).

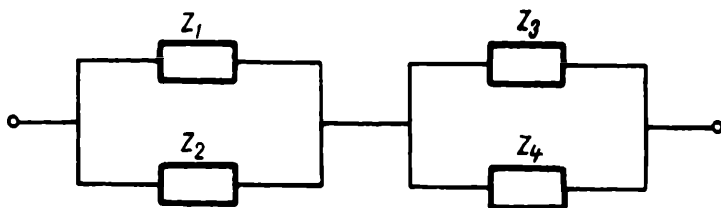


Fig. 8.P1

P 2. Sensul undelor de incidență și de reflexie este asociat cu ceea ce se consideră a fi direcția fluxului de putere. În figura 8.P2 a se arată un uniport, cu sistemul obișnuit de referință pentru tensiune și curent. Coeficientul de reflexie pentru acest uniport este ρ_1 . În fig. 8.P2 b curentul prin uniport este inversat. În aceste condiții, se consideră că uniportul debitează putere, în rețeaua conectată în stînga bornelor. Să se găsească noul coeficient de reflexie ρ_2 , în funcție de Z și ρ_1 .

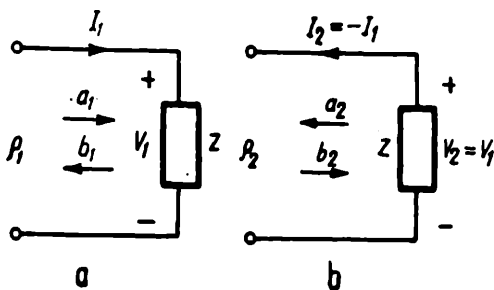


Fig. 8.P2

P 3. În text s-a arătat că $S = U - 2Y_{an}$, unde Y_{an} este matricea y normalată a circuitului mărit, în ipoteza că multiportul are o matrice a admitanțelor de scurtcircuit. Să se demonstreze acest rezultat pentru circuitul mărit fără a face ipoteza menționată.

P 4. Să se arate că $S = 2(U + Y_n)^{-1} - U$.

P 5. Se consideră un triport, *nedisipativ, nerez reciproc, adaptat*. Pornind de la forma generală a matricei de repartiție și utilizînd proprietățile multiporturilor nedisipative, adaptați, să se determine elementele matricei de repartiție. Se poate identifica clasa multiportului din această matrice de repartiție?

P 6. (a) Să se scrie matricea de repartiție care reprezintă un circulator cu patru porți.

(b) Se consideră transpusa matricei obținute și se cere să se arate, ce fel de circuit cu patru porți îi corespunde.

P 7. În fig. 8.P7 se arată două surse controlate care nu pot fi reprezentate prin impedanțe sau admitanțe. Să se găsească matricele de repartiție pentru acești diporți.

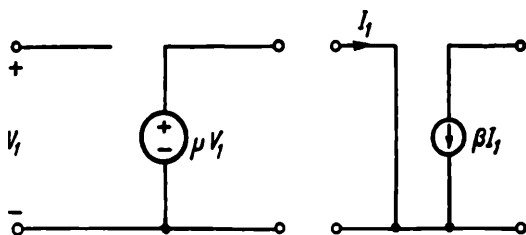


Fig. 8.P7

P 8. În fig. 8.P8 se arată două surse controlate. Una din ele nu poate fi reprezentată prin impedanțe, cealaltă prin admitanțe: ambele posedă însă o matrice de repartiție. Să se găsească aceste matrice.

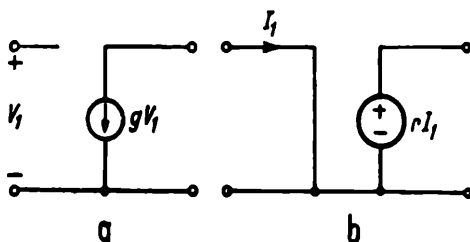


Fig. 8.P8

P 9. Utilizând relația (41) din text, să se găsească parametrii S_{11} , S_{12} , S_{21} și S_{22} ai unui diport, în funcție de parametrii z .

P 10. Diportii pasivi, *simetrici* sînt definiți prin relația $z_{11}=z_{22}$, l'utilizînd rezultatele problemei 9, să se arate că un diport simetric are $S_{11}=S_{22}$.

P 11. Diportii pasivi, *antimetrici* sînt definiți prin relațiile: $z_{11}=y_{22}$, $z_{22}=y_{11}$ și $z_{21}=-y_{21}$. Să se arate că diportii antimetrici sînt caracterizați prin relația $S_{22}=-S_{11}$.

P 12. (a) Se consideră circulatorul arătat în fig. 11 din text, cu terminațiile $-r$ la poarta 1 și r la poarta 3. Să se găsească legătura dintre tensiunea și curentul de la poarta 2. Un uniport cu relația $v-i$ de acest gen se numește *norator*.

(b) Să se repete problema (a) cu $-r$ și r schimbate între ele. Un uniport avînd relația $v-i$ de acest tip se numește *nulator*.

P 13. Să se arate că

$$(a) (\mathbf{Z}_n + \mathbf{U})^{-1} (\mathbf{Z}_n - \mathbf{U}) = (\mathbf{Z}_n - \mathbf{U}) (\mathbf{Z}_n + \mathbf{U})^{-1}$$

$$(b) \mathbf{r}^{-1} \{ \mathbf{Z}_{0c}(s) - \mathbf{z}(-s) \} \{ \mathbf{Z}_{0c}(s) + \mathbf{z}(s) \}^{-1} \mathbf{r}$$

$$= \{ \mathbf{Z}_{0c}(s) + \mathbf{z}(s) \}^{-1} \{ \mathbf{Z}_{0c}(s) - \mathbf{z}(-s) \}$$

unde \mathbf{Z}_n este matricea de impedanțe a unui uniport, normat în raport cu numere reale.

P 14. Fiecare din multiporții din fig. 8.P14 este o conectare ideală constând din legături directe între porți. Să se găsească matricea de repartitie a fiecăruia, considerînd la fiecare poartă o rezistență de normare de 1 ohm. În fiecare caz se presupune că puterea se obține de la o sursă de tensiune, în serie cu rezistența de terminație a porții. Să se găsească fracțiunea din putere reflectată la acea poartă și cea transmisă, spre fiecare din celelalte porți. Rezultatul era previzibil fără a se considera parametrii S?

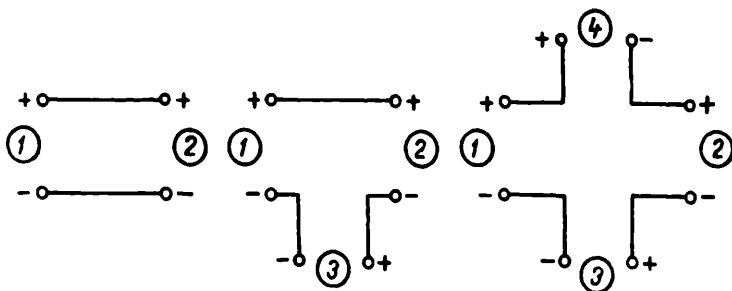


Fig. 8.P14

P 15. Schema din fig. 8.P15 este aceea a unui transformator diferențial. Aceasta constă din trei înfășurări de transformator ideal, din care se formează un circuit cu patru porți. Cele două înfășurări secundare ale transformatorului au rapoarele de transformare, relative la primar, n_2 și n_3 . Ecuatiile ce caracterizează transformatorul sînt date pe

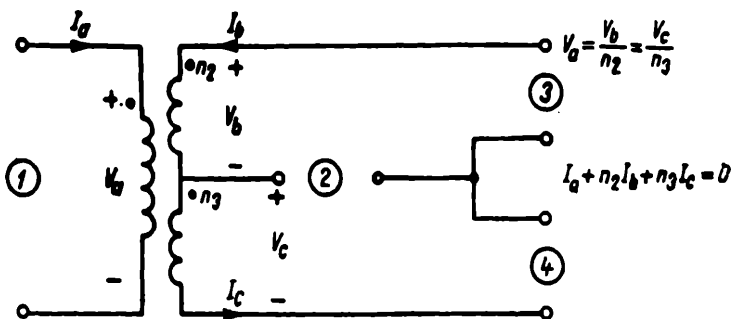


Fig. 8.P15

figură. Să presupunem că fiecare poartă este terminată cu rezistențele sale reale de normare, r_1 , r_2 , r_3 și r_4 . Rapoarele de transformare și rezistențele de normare trebuie alese astfel încît :

- Dacă poarta 1 este alimentată (de la o sursă de tensiune în serie cu rezistența de terminație), să nu avem nici un fel de transmisie spre poarta 2 și reciproc;
- Dacă poarta 3 este alimentată, să nu avem nici un fel de transmisie spre poarta 4 și reciproc;
- Toate porțile să fie adaptate (să nu avem reflexii).

Să se găsească matricea de repartitie pentru acest circuit cu 4 porți exprimînd-o numai prin n_2 și n_3 .

P 16. Să presupunem că se cere să se studieze condițiile de existență a unui triport reciproc, fără pierderi, care este terminat adaptat pe impedanțe reale. Să se utilizeze proprietățile matricei de repartiție pentru a determina realizabilitatea unui astfel de circuit. Dacă este realizabil să se găsească S_{12} și S_{13} .

P 17. În fig. 8.P17 se arată un circuit triport reciproc și fără pierderi, care este presupus simetric. Triportul *nu* este terminat adaptat. Se presupune că atunci când la o poartă se aplică o excitație (de la o sursă de tensiune în serie cu rezistența de terminare), la celelalte porți se obțin puteri egale. Să se găsească, ce fracțiune din puterea maximă a sursei se poate obține în aceste condiții la fiecare poartă și ce fracțiune din această putere se reflectă.

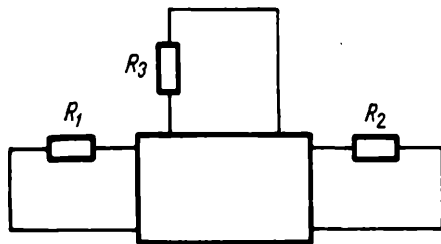


Fig. 8.P17

P 18. Circuitul din fig. 8.P18 este o punte conectată între două terminații rezistive. Să se calculeze câștigul transductiv de putere. Să se găsească condițiile pe care trebuie să le satisfacă elementele punții, pentru ca această câștig să fie egal cu unitatea și să nu depindă de frecvență. În aceste condiții să se găsească coeficienții de reflexie și de transmisie.

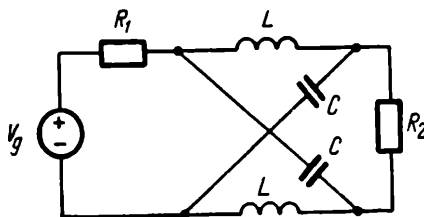


Fig. 8.P18

P 19. În fig. 8. P19 se arată un diport terminat la ieșire cu o impedanță care nu este cea de normare. Fie ρ_2 coeficientul de reflexie al lui Z_2 , normal față de r_2 care este rezistența de normare a diportului. Intrarea este terminată adaptat; adică r_1 este rezistența de normare. Să se găsească coeficientul de reflexie ρ , de la intrare și câștigul de tensiune V_{2n}/V_{gn} în funcție de ρ_2 și de parametri de repartiție ai diportului.

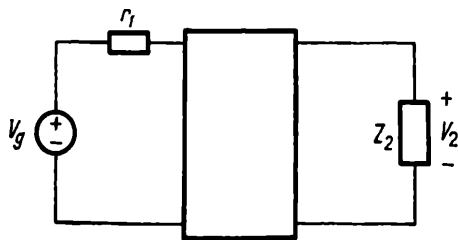


Fig. 8.P19

P 20. Se face o generalizare a problemei precedente. Un circuit cu n porți este terminat adaptat la m din porțile sale și cu terminații arbitrare la $n-m$ din porți așa cum se arată în fig. 8.P20. Ecuațiile de repartiție ale multiportului sînt distribuite așa cum se arată în continuare. Coeficientul de reflexie la poarta terminată cu Z_k este ρ_k . Fie ρ matricea diagonală

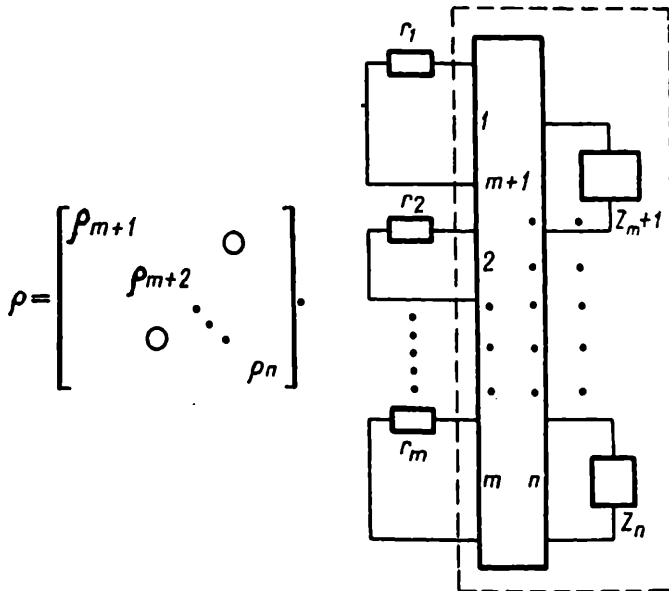


Fig. 8.P20

Se cere să se găsească matricea S' a m -portului din interiorul liniei punctate din figură, care este dată de relația $b_1 = S'a_1$. Utilizînd relațiile între a_k , b_k și ρ_k se poate scrie expresia ce dă legătura între a_2 , b_2 și ρ . Să se introducă aceasta în forma distribuită a relațiilor de repartiție și să se arate că

$$S' = S_1 + S_2 \rho (U - S_4 \rho) S_3.$$

$$\begin{bmatrix} b_1 \\ b_2 \\ \vdots \\ b_m \\ \vdots \\ b_{m+1} \\ \vdots \\ b_n \end{bmatrix} = \begin{bmatrix} S_{11} & S_{12} & \cdots & S_{1m} & S_{1m+1} & \cdots & S_{1n} \\ S_{21} & S_{22} & \cdots & S_{2m} & & & S_{2n} \\ \vdots & \vdots & \ddots & \vdots & \vdots & \ddots & \vdots \\ S_{m1} & S_{m2} & \cdots & S_{mm} & S_{mm+1} & \cdots & S_{mn} \\ \vdots & \vdots & \ddots & \vdots & \vdots & \ddots & \vdots \\ S_{m+1,1} & & & & & & \\ \vdots & & & & & & \\ S_{n1} & S_{n2} & \cdots & S_{nm} & & & S_{nn} \end{bmatrix} \begin{bmatrix} a_1 \\ a_2 \\ \vdots \\ a_m \\ \vdots \\ a_{m+1} \\ \vdots \\ a_n \end{bmatrix}$$

$$\begin{bmatrix} b_1 \\ b_2 \end{bmatrix} = \begin{bmatrix} S_1 & S_3 \\ S_2 & S_4 \end{bmatrix} \begin{bmatrix} a_1 \\ a_2 \end{bmatrix}$$

P 21. Se dă circulatorul din fig. 8.P21. avînd una din porți terminată neadaptat. Utilizînd rezultatele problemei precedente să se găsească matricea de repartiție S' a diportului din interiorul liniei punctate.

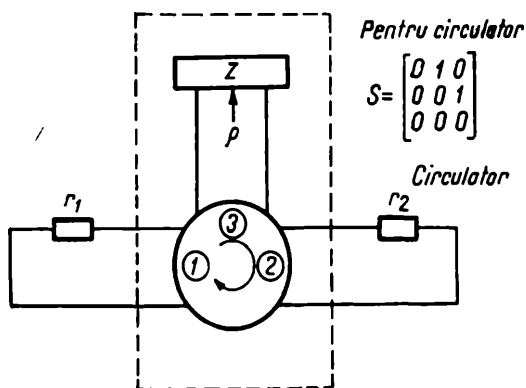


Fig. 8.P21

P 22. Circuitul cu patru porți din fig. 8. P22 este un transformator diferențial terminat adaptat la două din porți și neadaptat la celelalte două. Să se găsească matricea de repartiție a diportului din interiorul liniei punctate în funcție de ρ_3 și ρ_4 . În ce condiție diportul nu va avea reflexii la porțile sale?

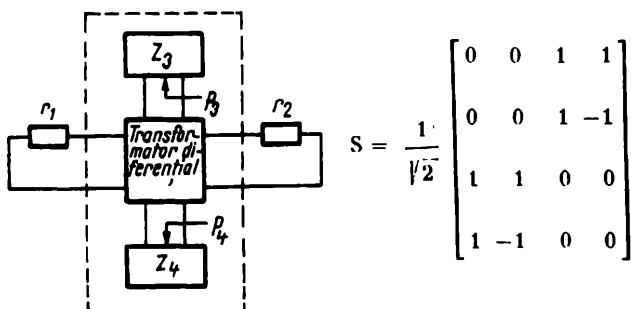


Fig. 8.P22

P 23. În cazul unui diport format prin conectarea în cascadă a doi subdiporturi, pentru care se dorește legătura între tensiuni și curenți este avantajos să se utilizeze matricele lanț¹⁾ ale subdiporturilor. Se cere să se găsească o matrice T care să îndeplinească un rol similar pentru doi diporturi conectați în cascadă, dar la care în locul curenților și tensiunilor reale să se utilizeze variabilele de repartiție. Să considerăm circuitul din fig. 8.P23, pentru care relația căutată poate fi scrisă în forma globală $x = Ty$.

¹⁾ În literatura de specialitate această matrice este numită și *matrice fundamentală* sau *matrice de transfer*. (N.T.)

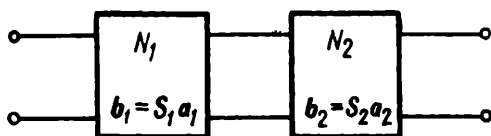


Fig. 8.P23

(a) Să se determine elementele vectorilor x și y (dintre variabilele de repartiție, astfel încât matricea T globală, să fie egală cu $T_1 T_2$ unde $x_1 = T_1 y_1$ și $x_2 = T_2 y_2$. Să se menționeze ce condiție ar trebui impusă, în cazul normării complexe, ca și în cazul normării reale. (Aceasta poate fi numită *condiție de compatibilitate*).

(b) Să se exprime elementele matricei T a diportului prin parametri de repartiție ai diportului.

(c) Să se arate ce condiții trebuie să satisfacă matricea T dacă diportul este reciproc.

P 24. În problema P20, unele dintre porți sînt terminate pe sarcini individuale : să presupunem că în locul acestor sarcini se conectează porțile altui multiport, așa cum se arată în fig. 8.

P 24. Multiportul N are $m+k$ porți, iar multiportul \hat{N} are $n+k$ porți. Un număr de k porți

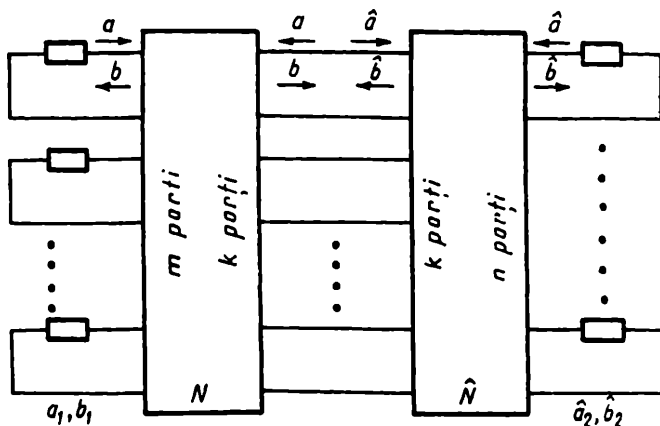


Fig. 8.P24

de la un multiport sînt conectate la k porți ale celuilalt, rezultînd un circuit cu $(m+n)$ porți.

Fie S și \hat{S} , matricele de repartiție ale celor doi multiporturi. Relațiile de repartiție pot fi distribuite astfel :

$$\begin{bmatrix} b_1 \\ b_2 \end{bmatrix} = \begin{bmatrix} S_{11} & S_{12} \\ S_{12} & S_{22} \end{bmatrix} \begin{bmatrix} a_1 \\ a_2 \end{bmatrix}, \quad \begin{bmatrix} \hat{b}_1 \\ \hat{b}_2 \end{bmatrix} = \begin{bmatrix} \hat{S}_{11} & \hat{S}_{12} \\ \hat{S}_{12} & \hat{S}_{22} \end{bmatrix} \begin{bmatrix} \hat{a}_1 \\ \hat{a}_2 \end{bmatrix}$$

unde b_1 și a_1 sînt m vectori, b_2, a_2, \hat{b}_1 și \hat{a}_1 sînt k vectori, iar \hat{b}_2 și \hat{a}_2 , n vectori. Matricea impedanțelor normale (independentă de frecvență) a fiecărui multiport este divizată, după cum urmează

$$\begin{matrix} m & k \\ m \left[\begin{array}{cc} \bar{z}_1(s) & 0 \\ 0 & \bar{z}_2(s) \end{array} \right], & \begin{matrix} k & n \\ n \left[\begin{array}{cc} \bar{z}_1(s) & 0 \\ 0 & \bar{z}_2(s) \end{array} \right]. \end{matrix} \end{matrix}$$

Fie S' matricea de repartiție a $(m+n)$ -portului global, scrisă în forma

$$\begin{bmatrix} b_1 \\ \hat{b}_2 \end{bmatrix} = \begin{bmatrix} S'_{11} & S'_{12} \\ S'_{21} & S'_{22} \end{bmatrix} \begin{bmatrix} a_1 \\ \hat{a}_2 \end{bmatrix}.$$

(a) Să se găsească condiția de compatibilitate, care permite ca $\hat{b}_1 = a_2$, $\hat{a}_1 = b_2$ (vezi problema P 23).

(b) Să se arate că, parametri de repartiție globali sînt dați de expresiile :

$$S'_{11} = S_{11} + S_{12} \hat{S}_{11} (U - S_{22} \hat{S}_{11})^{-1} S_{21} = S_{11} + S_{12} (U - \hat{S}_{11} S_{22})^{-1} \hat{S}_{11} S_{12}$$

$$S'_{12} = S_{12} (U - \hat{S}_{11} S_{22})^{-1} \hat{S}_{12}$$

$$S'_{21} = \hat{S}_{21} (U - S_{22} \hat{S}_{11})^{-1} S_{21}$$

$$S'_{22} = \hat{S}_{22} + \hat{S}_{21} (U - S_{22} \hat{S}_{11})^{-1} S_{22} \hat{S}_{12} = \hat{S}_{22} + \hat{S}_{21} S_{22} (U - \hat{S}_{11} S_{22})^{-1} \hat{S}_{22}$$

(c) Să se compare rezultatul general cu cazul particular tratat în problema P 20 și să se arate că, rezultatul general se reduce la cel particular.

P 25. Circuitul cu patru porți încadrate cu linie punctată în fig. 8. P 25 reprezintă un repetor telefonic. Cei doi diporți notați cu L sînt filtre trece-jos, iar cei notați cu H sînt filtre trece-sus. Acești diporți sînt reciproci și simetrici, în consecință sînt definiți, fiecare, numai

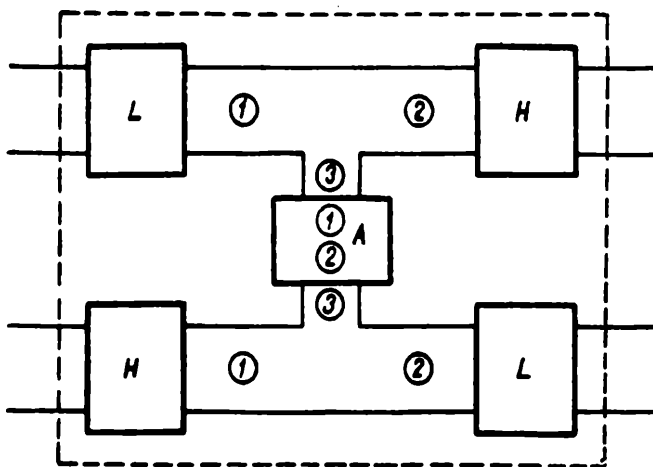


Fig. 8.P25

prin doi parametri. Diportul notat cu A este un amplificator, care transmite numai într-o singură direcție (în jos). Există de asemenea în repetor, doi triporți formați prin legătură direc-

14. Matricele de repartiție ale circuitelor componente sînt date în continuare avînd toate rezistențele normate în raport cu 1 ohm :

$$S_L = \begin{bmatrix} \rho_L & t_L \\ t_L & \rho_L \end{bmatrix}, \quad S_H = \begin{bmatrix} \rho_H & t_H \\ t_H & \rho_H \end{bmatrix}, \quad S_A = \begin{bmatrix} \rho_1 & 0 \\ t & \rho_2 \end{bmatrix},$$

$$S_j = \frac{1}{3} \begin{bmatrix} 1 & 2 & 2 \\ 2 & 1 & -2 \\ 2 & -2 & 1 \end{bmatrix}$$

Să se găsească matricea de repartiție pentru repetitorul cu patru porți. Examinînd elementele acestei matrice să se descrie modul în care semnalele de joasă și de înaltă frecvență se transmit sau se reflectă, la fiecare poartă.

P 26. Matricele de repartiție a curenților și tensiunilor pentru cazul normării complexe la o singură frecvență, nu au fost definite în text. Să definim S_I și S_V prin relațiile

$$I_r = S_I I_i \text{ și } V_r = S_V V_i.$$

Pornind de la relația (88) indicată în text să se arate că

$$S_I = U - 2Y_a Z, \text{ unde } Y_a = (Z_{oc} + Z)^{-1}$$

și

$$Z S_I = S_V Z.$$

Prima din aceste relații este la fel cu (114), dedusă pentru normarea independentă de frecvență. Să se arate că, în mod similar situației de la normarea independentă de frecvență :

$$Z(s) S_I = S_V Z(-s).$$

P 27. Fie $z_k(s)$ impedanța complexă de normare la poarta k , a unui multiport.

(a) Dacă această poartă este terminată cu o impedanță $z_k(-s)$, să se arate că variabilele incidente la această poartă sînt zero : $a_k = 0$

(b) Dacă poarta este terminată cu o impedanță $-z_k(-s)$, să se arate că în acest caz $b_k = 0$.

P 23. Să se găsească matricea de repartiție pentru transformatorul ideal din fig. 8. P 28, care are elementele normate în raport cu impedanțele de terminare (normare independentă de frecvență).

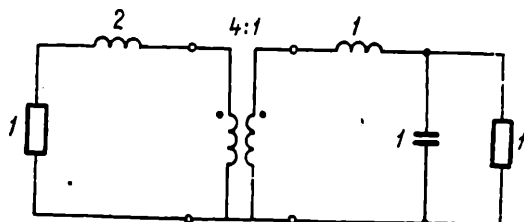


Fig. 8.P28

P 29. Să se găsească matricea de repartiție a giratorului din fig. 8. P 29, normată (Independent de frecvență), în raport cu impedanțele de terminare. Să se verifice proprietățile coeficienților de reflexie și de transmisie ale diportului.

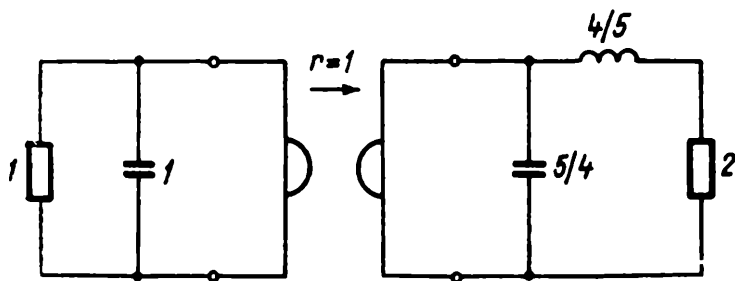


Fig. 8.P29

P 30. În fig. 8. P 30 *a* se reprezintă un diport pasiv, nedisipativ, terminat pe o rezistență de -1 ohm. În fig. 8. P 30, *b*, același diport este terminat pe o rezistență de $+1$ ohm. Să se arate, utilizând expresiile pentru Z și Z_1 în funcție de parametrii z sau y ai diportului, că $Z_1(s) = -Z(-s)$.

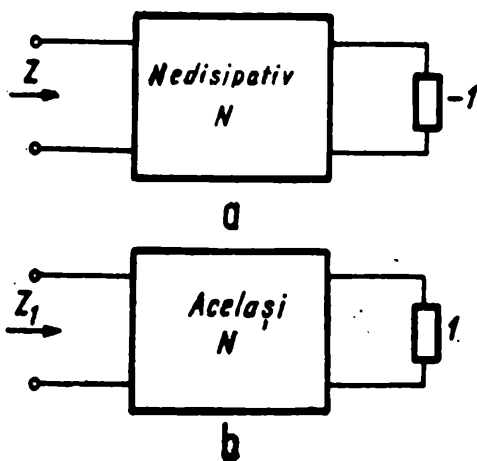


Fig. 8.P30

P 31. În fig. 8. P 31 *a* este reprezentat un circuit format din inductanțe și capacități

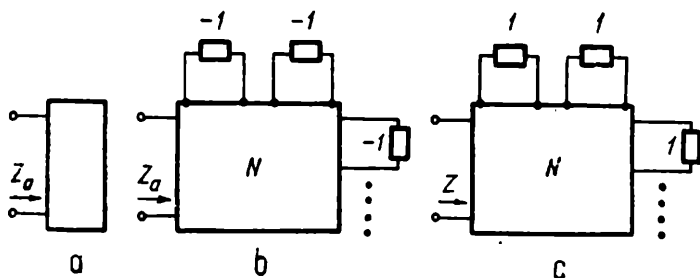


Fig. 8.P31

pozitive și $n-1$ rezistențe negative, care se consideră de -1 ohm, pentru simplificare. Acest circuit poate fi reprezentat prin n -portul din fig. 8.P 31 b, cu toate porțile, cu excepția uneia, terminate prin -1 ohm. Să considerăm același n -port, terminat la porți cu rezistențe de $+1$ ohm ca în fig. 8. P 31 c și avînd impedanța corespunzătoare Z . Scriind ecuațiile cu impedanțele de gol să se arate că $Z(s) = -Z_a(-s)$.

P 32. Fie $z_a(s)$ impedanța unui circuit activ conținînd inductanțe, capacități și rezistențe negative. Fie $z(s)$ impedanța ce se obține inversînd semnul tuturor rezistențelor. Fiecare din aceste circuite este destinat să lucreze ca terminație a unui diport $Z(s)$ Fie coeficienții de reflexie corespunzător, ρ_a respectiv ρ , normați în complex, independent de frecvență. Să se arate că $\rho_a(s) = 1/\rho(s)$.

P 33. Să se demonstreze rezultatul dat prin relația (121) din text.

P 34. Să se demonstreze că, determinantul unei matrice unitare este egal cu unitatea.

P 35. Fie S matricea de repartitie a unui triport pasiv, nedisipativ. Ținînd seama de proprietățile unitare ale matricei S să se demonstreze următoarele. [Atunci cînd argumentul unui parametru nu este dat, se presupune că este $j\omega$: astfel S_{12} înseamnă $S_{12}(j\omega)$.]

$$S_{11}(-j\omega) = S_{22}S_{33} - S_{23}S_{32} \qquad S_{21}(-j\omega) = S_{13}S_{32} - S_{12}S_{33}$$

$$S_{12}(-j\omega) = S_{23}S_{31} - S_{21}S_{33} \qquad S_{22}(-j\omega) = S_{11}S_{33} - S_{13}S_{31}$$

$$S_{13}(-j\omega) = S_{21}S_{32} - S_{22}S_{31} \qquad S_{23}(-j\omega) = S_{12}S_{31} - S_{11}S_{32}$$

$$S_{31}(-j\omega) = S_{12}S_{23} - S_{13}S_{22}$$

$$S_{32}(-j\omega) = S_{13}S_{21} - S_{11}S_{23}$$

$$S_{33}(-j\omega) = S_{11}S_{22} - S_{12}S_{21}$$

P 36. Fie un triport reciproc, nedisipativ, avînd pe axa j , modulul unuia dintre coeficienții de transmisie identic 1. Ținînd seama de faptul că S este unitară și simetrică, să se arate că toți ceilalți parametri trebuie să fie identic nuli.

P 37. Se dorește realizarea unui amplificator cu rezistență negativă în forma arătată în fig. 8.P 37. Aceasta se obține din cea prezentată în fig 8.23 adăugînd un alt diport la poarta 2 a circuitului. Urmiînd procedura prezentată în text, să se găsească matricea S' a circuitului global al amplificatorului, în funcție de parametrii de repartitie ai fiecărui subcircuit din figură.

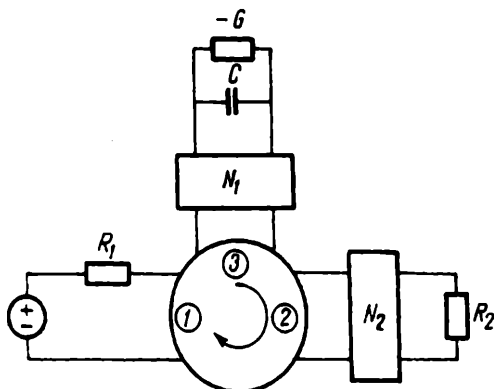



Fig. 8.P37

9

Grafurile de fluentă a semnalelor și reacția

Modelul unei rețele liniare, așa cum a fost tratat pînă acum, include un număr de componente ca : rezistențe, condensatoare, giratoare, transformatoare etc. Fiecare din aceste componente au fost caracterizate printr-un parametru, așa cum este R , și printr-un simbol grafic așa cum este  pentru rezistență. Rețelele sînt formate prin interconectarea acestor componente. În orice relație tensiune-curent interesul se concentrează adesea asupra unui parametru scalar : de exemplu scriind $v = L di/dt$, atenția a fost concentrată asupra lui L .

Dar orice relație tensiune-curent definește o *operație matematică*. În loc să ne concentrăm atenția asupra parametrului, putem pune accentul pe operațiile matematice și pe semnalele asupra cărora ele acționează. Un simbol operațional poate fi folosit pentru a reprezenta operația matematică și aceste simboluri operaționale pot fi interconectate într-o *diagramă operațională*. Analiza acestor diagrame operaționale va constitui un mijloc prin care se pot determina funcțiile de transfer ale rețelelor. *Graful de fluentă al semnalelor* constituie o asemenea diagramă operațională.

Multe din metodele de analiză prezentate în capitolele precedente se aplică rețelelor liniare în genere, indiferent dacă sînt pasive sau active, reciproce sau nereciproce. Nu s-a acordat o atenție specială rețelelor active, nereciproce. Analiza pe baza grafurilor de fluentă a semnalelor este indicată tocmai pentru astfel de rețele. Mai mult, pentru rețelele nereciproce active, o serie de concepte, ca reacția sau stabilitatea, devin foarte importante. Acest capitol va fi consacrat prezentării ideilor de bază referitoare la grafuri de fluentă a semnalelor, reacție și stabilitate.

9.1. DIAGrame OPERAȚIONALE

Fiecare element sau grup de elemente dintr-o rețea operează pe o anumită cale asupra unui semnal de excitație pentru a furniza un răspuns. Elementul sau sistemul de elemente poate fi considerat drept un operator. Procesul poate fi reprezentat ca în fig. 9.1 a. Semnalele de excitație și de răspuns sunt reprezentate prin câte un nod; între ele apare un bloc numit „operator”. Săgețile care intră și care ies din acest bloc indică „trecerea semnalului”.

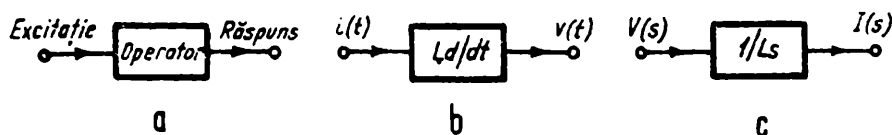


Fig. 9.1. Simboluri operaționale.

În figura. 9.1 b și c se consideră cazul particular al unei bobine. În fig. 9.1 b semnalele sunt reprezentate în domeniul timp. În fig. 9.1 c, unde semnalele sunt reprezentate în domeniul frecvenței s , se arată că alegerea variabilei ce reprezintă excitația sau răspunsul este arbitrară, dacă rețeaua are condiții inițiale nule. Această posibilitate nu apare întotdeauna — de exemplu în cazul surselor controlate. În cele ce urmează se vor folosi transformatele Laplace și deci toți operatorii vor fi funcții de variabila s .

Simbolul operațional din fig. 9.1 este foarte simplu, dar el poate fi simplificat și mai mult. În fond dreptunghiul nu este necesar; el poate fi înlocuit printr-un segment de dreaptă, iar operatorul poate fi scris alături. În acest caz va fi necesară doar o singură săgeată pentru a indica sensul de trecere al semnalelor. Acest lucru este ilustrat în fig. 9.2 pentru simbolul din fig. 9.1 c. Din punct de vedere dimensional operatorul poate fi de natura unei impedanțe, a unei admitanțe, a unei amplificări de curent etc. Se folosește termenul „transmitanță” pentru a desemna operația prin care semnalul de excitație este multiplicat pentru a obține răspunsul. Transmitanța din fig. 9.1, a este $1/Ls$.

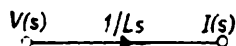


Fig. 9.2. Latura unei diagrame.

Există două tipuri de relații între variabilele dintr-o rețea sau dintr-un sistem. În unele relații o variabilă se exprimă în funcție de alta prin intermediul unui operator. În alte relații se exprimă un echilibru; teoremele lui Kirchhoff sunt de această natură. În toate aceste relații de echilibru,

o variabilă se poate exprima ca o combinație liniară a altor variabile. Astfel, expresia

$$V_1 = 3V_2 - 2sI + \frac{s+1}{s+2} V_3$$

poate fi reprezentată printr-o diagramă operațională atribuind câte un nod pentru fiecare variabilă și introducând laturi de transmitanțe corespunzătoare între aceste noduri și nodul reprezentativ al variabilei V_1 . Acest lucru este ilustrat în fig. 9.3.

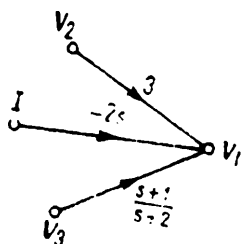


Fig. 9.3. Diagrama unei ecuații.

Dându-se o rețea, se poate trasa o diagramă operațională luând transformatele operaționale ale ecuațiilor ce descriu funcționarea rețelei. Înainte de a descrie acest proces se vor da câteva exemple simple. Se consideră doi diporți conectați serie-paralel așa cum se arată în fig. 9.4. O descriere completă a comportării lor între cele patru porți se poate obține pe baza parametrilor g dacă se cunosc acești parametri pentru fiecare diport. Totuși, se poate să nu ne intereseze o astfel de descriere completă; ne poate interesa, de exemplu, raportul dintre transformatele semnalelor de ieșire și de intrare, presupunând că se cunosc aceste rapoarte pentru fiecare diport.

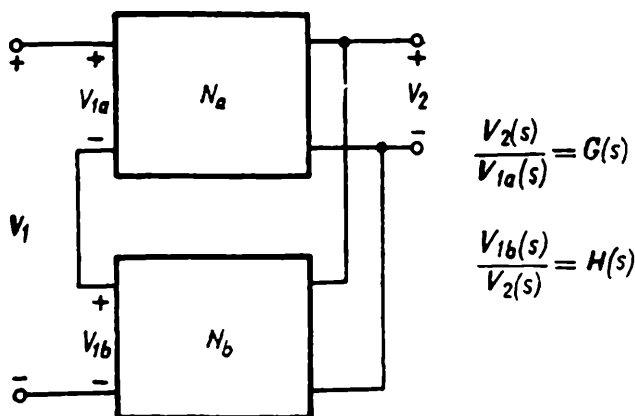


Fig. 9.4. Rețea cu reacție.

Funcția respectivă poate fi obținută dintr-o diagramă. Se presupune că cei doi diporți nu se influențează reciproc, adică presupunem că relațiile caracteristice fiecărui diport rămân aceleași și după interconectarea lor.

Ecuatiile care descriu această rețea sînt :

$$V_2 = G(s)V_{1a}.$$

$$V_{1a} = V_1 - V_{1b}. \quad (1)$$

$$V_{1b} = H(s)V_2.$$

Prima și ultima ecuație pot fi reprezentate prin laturile operaționale din fig. 9.5 a. A doua ecuație exprimă un echilibru de tensiuni și poate fi reprezentată prin laturile din fig. 9.5 b. Toate cele trei reprezentări pot fi acum combinate pentru a obține rezultatul din fig. 9.5 c. Această diagramă operațională reprezintă rețeaua din fig. 9.4 în aceeași măsură ca și relațiile (1).

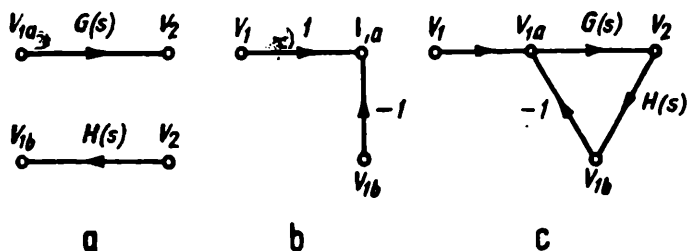


Fig. 9.5. Trasarea diagramei operaționale.

Ca un al doilea exemplu se consideră rețeaua din fig. 9.6. Rezistența totală de la ieșire este R_3 . Se pot scrie următoarele ecuații

$$I = \frac{1}{R_3} V_2$$

$$V_2 = V_b - \frac{1}{sC} I \quad (2)$$

$$V_b = R_2(-gV_a - I) = -gR_2V_a - R_2I$$

$$V_a = V_1 + aV_2.$$

Se poate trasa acum câte o diagramă operațională pentru fiecare ecuație, așa cum se arată succesiv în fig. 9.7 *a* la *d*. Cînd toate aceste reprezentări sînt suprapuse se obține rezultatul final din fig. 9.7 *e*.

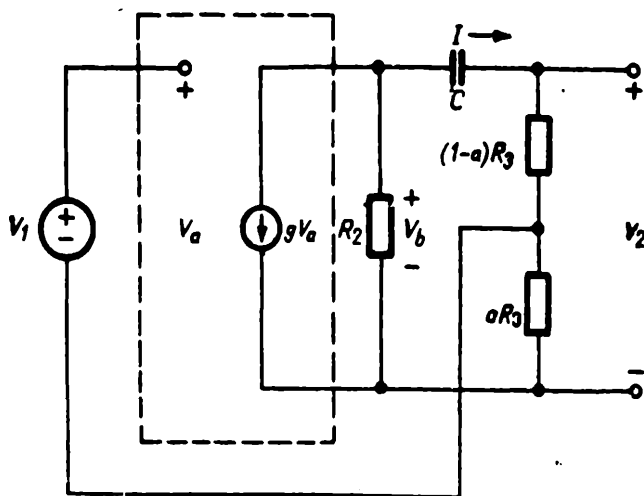


Fig. 9.6. Amplificator cu reacție.

Comparînd diagrama operațională cu schema amplificatorului de la care am pornit este evident că între cele două mijloace de reprezentare nu există o asemănare structurală. Diagrama operațională arată modul în care diversele părți ale rețelei operează asupra semnalelor din rețea pentru a furniza alte semnale. Totuși, pentru componente pasive, oricare semnal poate fi considerat drept semnal de excitație și oricare drept răspuns. Aceasta înseamnă că diagrama operațională poate fi trasată în diferite moduri funcție de forma în care s-au scris ecuațiile.

Să presupunem, de exemplu, că primele trei ecuații din (2) sînt aranjate după cum urmează

$$V_2 = R_3 I$$

$$V_b = V_2 + \frac{1}{sC} I$$

$$I = -gV_a - \frac{1}{R_2} V_b.$$

Diagrama operațională corespunzătoare va avea forma din fig. 9.8, ceea ce se propune cititorului să verifice. În comparație cu diagrama precedentă ea arată cu totul altfel. Acest exemplu arată un fapt interesant și anume că nu există o diagramă operațională unică pentru o rețea dată.

Cele arătate anterior au atins o serie de probleme fundamentale. Pentru a trasa o diagramă operațională pentru o 1cțea se cere, în primul rind, să se scrie ecuațiile care descriu comportarea rețelei. Aceasta pune pro-

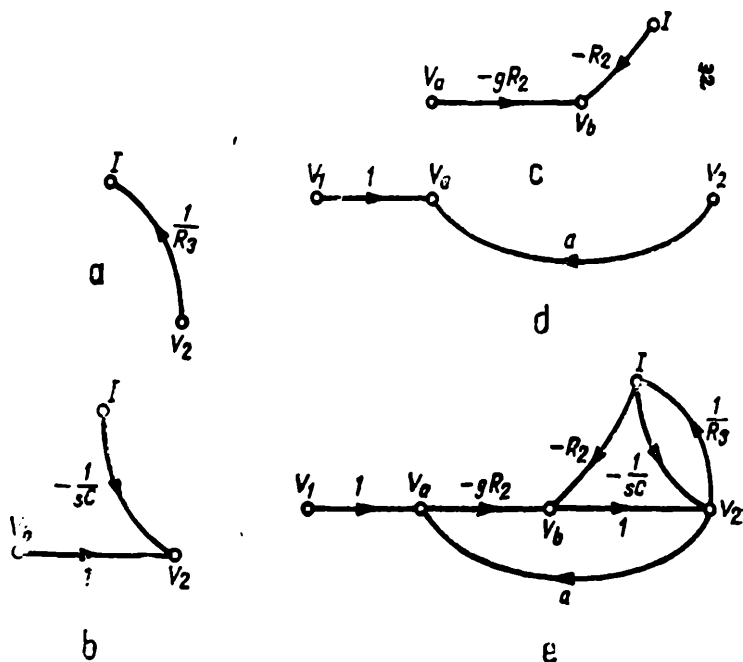


Fig. 9.7. Trasarea diagramei operaționale a amplificatorului.

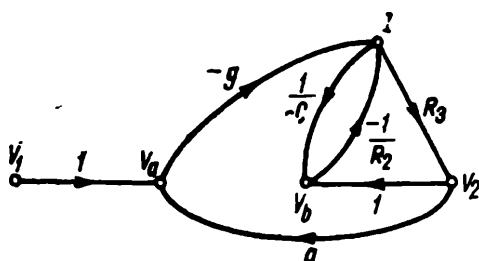


Fig. 9.8. O variantă a diagramei operaționale a amplificatorului.

blema variabilelor care trebuie alese pentru a descrie performanțele rețelei, cite asemenea variabile sînt necesare și cite ecuații trebuie scrise. Într-o tratare sistematică trebuie să se dea răspuns unor asemenea probleme. Răspunsurile vor fi aminate însă pentru a fi date într-unul din paragrafele următoare, pentru a face aici o analiză mai detaliată a diagramei operaționale.

9.2. GRAFURI DE FLUENȚĂ A SEMNALELOR

Examinăm retrospectiv diagrama operațională din fig. 9.8 pentru a observa proprietățile ei abstracte. Ea constă dintr-un număr de laturi legate împreună prin noduri. Ea este deci un graf topologic. Laturile sînt *orientate* și li se atașează niște *ponderi*.

Aceste observații vor sta la baza definiției care urmează. Vom defini un *graf de fluență a semnalelor* ca o reprezentare a ecuațiilor sistemului printr-un graf *orientat* și *ponderat*. Este clar deci, că un graf de trecere a semnalelor este legat de rețea numai prin ecuațiile rețelei. Acestea sînt ecuațiile care se reprezintă prin graf. Pentru a sublinia faptul că analiza pe baza grafului de fluență a semnalelor este o metodă generală și nu este limitată la rețelele electrice, se va utiliza o notație generală.

Se consideră un sistem de ecuații liniare de forma

$$\mathbf{A}\mathbf{X} = \mathbf{Y}. \quad (3)$$

În aplicații tipice elementele matricei \mathbf{Y} sînt transformatele excitațiilor iar elementele matricei \mathbf{X} sînt transformatele răspunsurilor. Aceasta este forma standard în care se scriu sistemele de ecuații liniare, dar ea nu reprezintă o formă convenabilă pentru trasarea grafurilor de trecere a semnalelor. Examinînd exemplele precedente se observă că o formă convenabilă este aceea în care fiecare variabilă este explicitată în funcție de celelalte. Acest lucru se poate obține adunînd vectorul \mathbf{X} în ambii membri ai relației (3) și rearanjînd termenii sub forma

$$\mathbf{X} = -\mathbf{Y} + (\mathbf{A} + \mathbf{U})\mathbf{X}. \quad (4)$$

În numeroase aplicații apare o singură funcție de excitație. Această funcție poate să apară, desigur în mai multe ecuații din (4). Dacă apare o singură funcție de excitație y_0 , atunci matricea \mathbf{Y} se poate scrie sub forma

$$\mathbf{Y} = \mathbf{K}y_0, \quad (5)$$

unde \mathbf{K} este o matrice coloană. Cu această reprezentare relația (4) devine

$$\mathbf{X} = [-\mathbf{K} \ (\mathbf{A} + \mathbf{U})] \begin{bmatrix} y_0 \\ \mathbf{X} \end{bmatrix}; \quad (6)$$

Dacă apar mai multe funcții de excitație, scalarul y_0 se înlocuiește prin matricea \mathbf{Y}_0 , iar matricea \mathbf{K} va avea mai multe coloane în loc de una singură.

Dacă matricea X este de ordinul n atunci matricea coeficienților din relația (6) este de ordinul $(n, n+1)$. În cele ce urmează se vor mări dimensiunile acestei matrice prin adăugare de elemente nule pentru a obține o matrice pătrată C de forma

$$C = \begin{bmatrix} 0 & 0 \\ -K & A + U \end{bmatrix}. \quad (7)$$

Această matrice poate fi asociată cu un graf orientat și ponderat așa cum se arată în continuare. Pentru fiecare coloană din matricea C se atribuie câte un nod, marcat prin simbolul variabilei asociate lui. Pentru fiecare element nenul c_{ij} din matricea C se trasează o latură orientată de la nodul j la nodul i și marcată prin mărimea c_{ij} ca pondere. Această pondere se numește *transmitanța* laturii. Dacă $c_{ij} = 0$, nu va exista o latură de la nodul j la nodul i . Graful orientat și ponderat care se obține reprezintă graful de trecere a semnalelor pentru sistemul de ecuații (6). Matricea C se numește *matricea de conexiune* a grafului. Drept exemplu, se consideră următorul sistem de ecuații :

$$\begin{bmatrix} -1 & 0 & 2 \\ -3 & 0 & 1 \\ 2 & -1 & -1 \end{bmatrix} \begin{bmatrix} x_1 \\ x_2 \\ x_3 \end{bmatrix} = \begin{bmatrix} y_0 \\ -y_0 \\ 0 \end{bmatrix}.$$

Atunci

$$K = \begin{bmatrix} 1 \\ -1 \\ 0 \end{bmatrix}, \quad A = \begin{bmatrix} -1 & 0 & 2 \\ -3 & 0 & 1 \\ 2 & -1 & -1 \end{bmatrix}, \quad A + U = \begin{bmatrix} 0 & 0 & 2 \\ -3 & 1 & 1 \\ 2 & -1 & 0 \end{bmatrix}$$

și

$$\begin{bmatrix} x_1 \\ x_2 \\ x_3 \end{bmatrix} = \begin{bmatrix} -1 & 0 & 0 & 2 \\ 1 & -3 & 1 & 1 \\ 0 & 2 & -1 & 0 \end{bmatrix} \begin{bmatrix} y_0 \\ x_1 \\ x_2 \\ x_3 \end{bmatrix}.$$

Matricea de conexiune corespunzătoare este

$$C = \begin{bmatrix} 0 & 0 & 0 & 0 \\ -1 & 0 & 0 & 2 \\ 1 & -3 & 1 & 1 \\ 0 & 2 & -1 & 0 \end{bmatrix}.$$

Graful de fluentă a semnalelor pentru acest sistem de ecuații va avea patru noduri marcate prin y_0 , x_1 , x_2 , x_3 . Acestea se plasează în mod convenabil, ca în fig. 9.9 a. Se trasează apoi laturile în conformitate cu matricea de conexiune. Astfel, în linia a treia (corespunzătoare lui x_2 , prima linie formată numai din zerouri a fost introdusă pentru a face matricea C pătrată

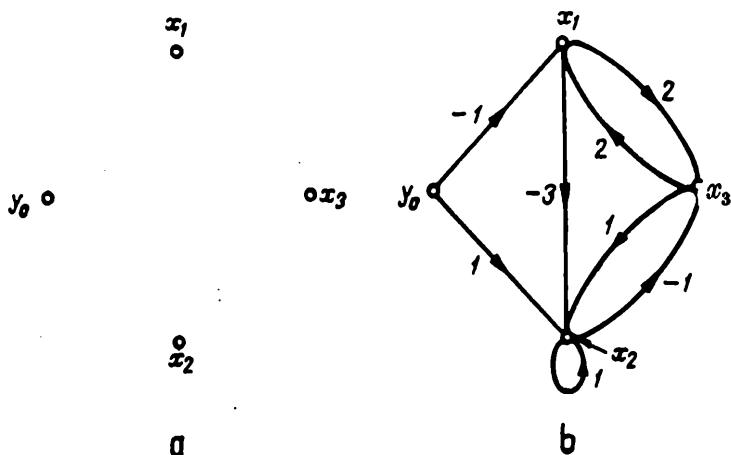


Fig. 9.9. Trasarea unui graf de trecere a semnalului.

tă) și pe coloana a patra (corespunzătoare lui x_3) se află un element nenul de valoare 1. Așadar va exista o latură de la x_3 la x_2 cu ponderea 1. Toate celelalte laturi sînt introduse în același mod, rezultatul final fiind ilustrat în fig. 9.9 b.

Proprietățile grafului

Pe baza considerentelor din exemplele anterioare și din alte exemple se pot deduce o serie de proprietăți ale grafurilor de fluentă a semnalelor. Fie, de exemplu, nodul corespunzător lui y_0 din fig. 9.9. Apar două laturi care pleacă din acest nod, dar nu există nici o latură care să intre în el. Semnalul y_0 nu este deci cauza altor semnale. El reprezintă o sursă. Un nod la care sînt incidente numai laturi care pleacă din nodul respectiv se numește *nod sursă*. Similar un nod la care sînt incidente numai laturi care intră în nodul respectiv se numește *nod sarcină* (*nod puț*). Nici unul din celelalte noduri care apar în fig. 9.9 nu satisfac această condiție. Totuși, un nod sarcină poate fi introdus întotdeauna în mod simplu într-un graf de trecere a semnalelor. În fig. 9.9, de exemplu, adăugind ecuația $x_3 = x_3$ se va introduce un nod nou marcat prin x_3 și legat printr-o latură de transmitanță 1 de vechiul nod x_3 . Orice nod, cu excepția nodului sursă, poate fi considerat drept un nod sarcină.

O altă observație care se degajă din fig. 9.9 este aceea că există secvențe de laturi care pleacă dintr-un nod și se întorc în același nod. O astfel de secvență se numește *bucă de reacție* și fiecare latură dintr-o buclă de reacție este o *latură de reacție*. Există desigur și secvențe de laturi care nu formează bucle de reacție. Astfel, plecând din x_1 de-a lungul laturii — 3 până în x_2 ; apoi din x_2 la x_3 de-a lungul laturii — 1 și de la x_3 înapoi la x_1 de-a lungul laturii 2 care iese din x_1 nu se parcurge o buclă de reacție deoarece latura incidentă la x_1 este parcursă în sens opus orientării sale. Se poate merge de la x_1 la x_3 și apoi la x_2 dar nu se poate reveni la x_1 deoarece orientarea laturii — 3 este opusă sensului de parcurgere. Unele bucle de reacție sînt formate dintr-o singură latură, așa cum este cazul laturii de transmitanță 1 care pleacă și se întoarce la nodul x_2 . O astfel de buclă se numește *bucă proprie*. Orice nod care face parte dintr-o buclă de reacție se numește *nod de reacție*. În fig. 9.9, exceptînd nodul y_0 , toate celelalte noduri sînt noduri de reacție.

Nu toate laturile unui graf fac parte din bucla de reacție. Orice latură care nu este o latură de reacție se numește *latură cascadă*. În fig. 9.9 b cele două laturi care pleacă din nodul y_0 sînt laturi cascadă. Toate celelalte laturi din acest graf sînt laturi de reacție.

Acele noduri care nu sînt nici noduri sursă și nici noduri sarcină vor avea laturi incidente care intră și care ies. Variabila corespunzătoare unui asemenea nod are două roluri: ea este semnalul dat de laturile care intră în nod și în același timp semnalul care pleacă prin toate laturile care ies din nod. Aceste două roluri pot fi separate prin *despicarea* nodului. Pentru a ilustra cele de mai sus se consideră graful din fig. 9.10 a . Nodul x_1 are laturi incidente care intră și care ies. În fig. 9.10 b nodul x_1 a fost despicat în două noduri notate cu x_1 și x'_1 . Unul din ele (x_1) este un nod sursă, din care toate laturile ies. Altul (x'_1) este un nod sarcină în care toate laturile intră. Prin despicarea unui nod se întrerup toate buclele de reacție ce trec prin nodul respectiv. Prin despicarea unui număr corespunzător de noduri toate buclele de reacție ale grafului pot fi întrerupte. Numărul minim de

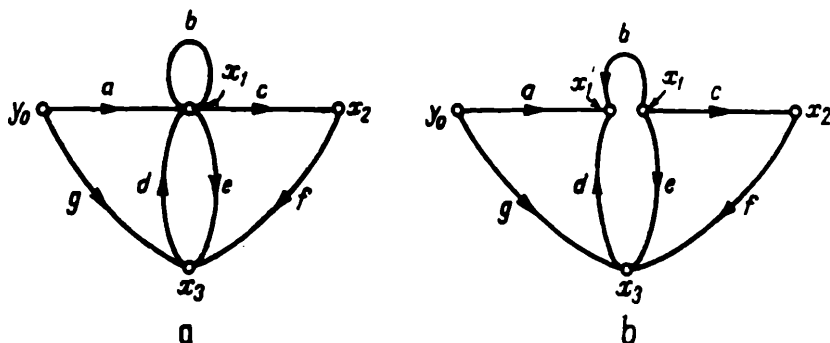


Fig. 9.10. Despicarea unui nod.

noduri care trebuie despicate pentru a întrerupe toate buclele de reacție dintr-un graf se numește *indexul* grafului de fluentă a semnalelor. În graful din fig. 9.10 a apar trei bucle de reacție ; în graful din fig. 9.10 b, unde s-a despicat nodul x_1 , nu există bucle de reacție. Așa dar indexul grafului din fig. 9.10 a este unu. O mulțime de noduri, avind nu număr de elemente egal cu indexul grafului, care trebuie despicate pentru a întrerupe toate buclele de reacție se numește mulțimea *nodurilor esențiale*. În fig. 9.10 această mulțime (care conține în acest caz un singur nod) este unică : numai nodul x_1 este un nod esențial. În alte cazuri pot exista mai multe mulțimi de noduri esențiale.

Inversarea unui graf

Faptul că un nod particular dintr-un graf de trecere a semnalelor este un nod sursă este rezultatul modului în care s-au scris ecuațiile prezentate prin graf. Prin rearanjarea acestor ecuații un nod care era nod sursă poate să devină un nod care nu este sursă și un nod care nu era nod sursă poate să devină nod sursă. De exemplu, dintr-o ecuație explicitată în raport cu x_2 se poate explicita x_1 după cum urmează :

$$x_2 = ax_1 + bx_3 + cx_4$$

$$x_1 = \frac{1}{a} x_2 - \frac{1}{a} (bx_3 + cx_4).$$

Graful corespunzător primei relații este cel din fig. 9.11 a ; graful corespunzător celei de a doua relații este cel din fig. 9.11 b.

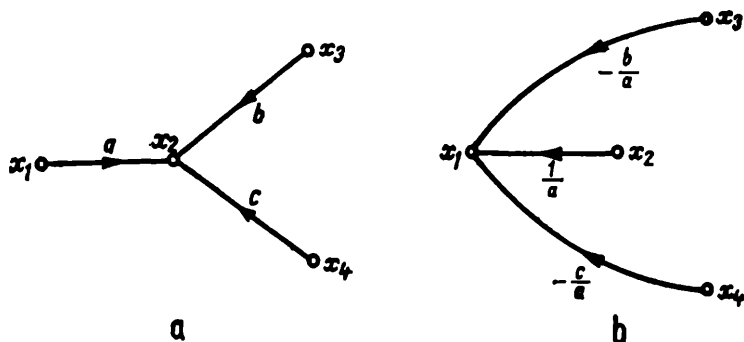


Fig. 9.11. Inversarea unei laturi.

Să ne concentrăm atenția asupra laturii de transmitanță a care apare de la x_1 la x_2 . În graful modificat sensul acestei laturi a fost inversat și transmitanța a fost inversată. În același timp se observă ce s-a întâmplat cu celelalte laturi. Latura care intra inițial în x_2 de la x_3 a fost deplasată la x_1 iar transmitanța ei a fost împărțită prin transmitanța cu semn schimbat a laturii care a fost inversată. Aceeași modificare o suferă și latura care inițial venea de la x_4 la x_2 . Din ecuații se vede clar, că orice altă latură care inițial ar intra în x_2 , va suferi aceleași schimbări.

Rezultatul acestui proces se numește *inversarea unei laturi*. Inversarea unei laturi se poate face pentru orice latură care pleacă dintr-un nod sursă și conduce la transferarea nodului respectiv într-un nod sarcină. Același proces se poate aplica pentru o cale formată dintr-un număr oarecare de laturi între un nod și altul. Se inversează pe rînd cite o latură, plecînd de la nodul sursă. Acest proces este ilustrat în fig. 9.12. (Graful este același ca și în fig. 9.7 cu simboluri generale pentru transmitanțe.) Se urmărește inversarea căii dintre V_1 și I . Se inversează mai întîi latura a , ceea ce conduce la graful din fig. 9.12 *b*. Acum nodul V_a a devenit un nod sursă; așadar se poate inversa latura b ceea ce conduce la graful din fig. 9.12 *c*. Se inversează apoi succesiv laturile c și e . Graful final cu calea inversată este dat în fig. 9.12 *d*.

Se observă că graful original din fig. 9.12 *a* are trei bucle de reacție și este de index 1; așadar un singur nod (V_2) trebuie despîcat pentru a întrerupe toate buclele de reacție. Totuși, graful cu calea inversată este un graf în cascadă, care nu are bucle de reacție. Acesta este un graf mai simplu.

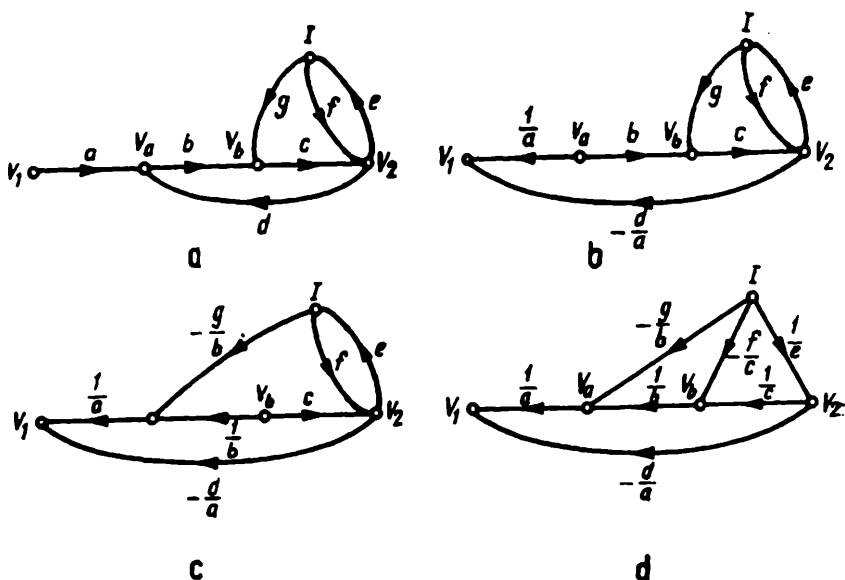


Fig. 9.12. Inversarea unei căi.

În loc să se inverseze o cale deschisă se poate inversa o buclă. În acest caz procesul începe prin desplicarea unui nod al buclei; se creează astfel un nod sursă și un nod sarcină. Se inversează apoi calea deschisă dintre aceste noduri, după care nodul desplicat este recombinat. Detaliile se lasă pe seama cititorului.

Reducerea unui graf

Un graf de fluentă a semnalelor este o reprezentare a unui sistem de ecuații. Așa cum sistemul de ecuații poate fi soluționat în raport cu orice variabile în funcție de excitații, tot așa și graful poate fi „soluționat”. O metodă de soluționare a ecuațiilor constă în eliminarea succesivă a variabilelor. Procesul analog pentru graf constă în eliminarea succesivă a nodurilor grafului până când rămân doar nodurile sursă și nodurile sarcină. Acest proces va fi examinat în cele ce urmează.

Se consideră graful din fig. 9.10 *a* și se presupune că trebuie eliminat nodul x_3 . Relațiile dintre variabilele care rămân se vor menține dacă se vor introduce noi laturi în graf între perechi de noduri. Transmitanțele acestor laturi trebuie să fie astfel încât să se mențină transmitanțele căilor între toate perechile de noduri pentru toate căile ce trec prin nodul de eliminat. Pentru a ilustra aceasta, se examinează graful din fig. 9.10 care este reprodus în fig. 9.13 *a*.

În graf apare o cale de la y_0 la x_1 trecând prin x_3 , cu transmitanța gd . În graful redus, din care nodul x_3 este eliminat, se va introduce o latură între y_0 și x_1 de transmitanță gd . În fig. 9.13 *b* nodul x_3 împreună cu laturile inci-

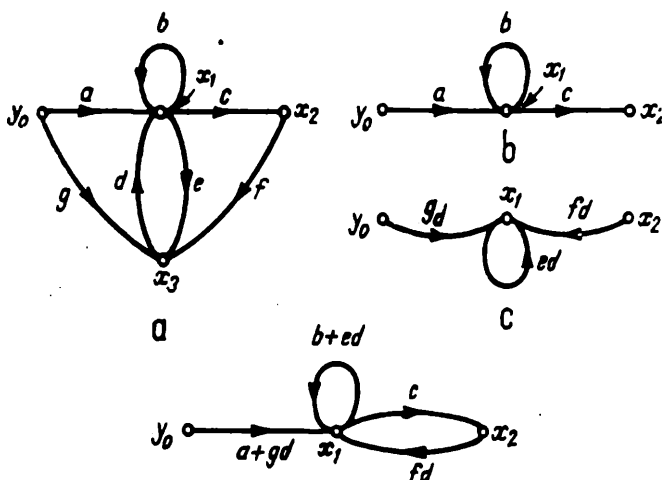


Fig. 9.13. Eliminarea unui nod.

dente care intră și ies a fost eliminat, păstrându-se căile care leagă între ele direct celelalte noduri fără a trece prin nodul intermediar x_3 . În fig. 9.13 c se prezintă aceleași noduri împreună cu laturile care trebuie adăugate pentru a realiza transmitanțele corespunzătoare căilor ce treceau prin nodul intermediar x_3 . Graful redus care se obține în final prin combinarea celor două părți este dat în fig. 9.13 d. Acest graf se numește *echivalent* cu graful original deoarece semnalele din orice nod sînt aceleași cu semnalele nodurilor respective din graful original. (Se propune cititorului să verifice aceasta.) Se observă că nodul eliminat în acest exemplu nu avea o buclă proprie. Evident, acest proces nu mai poate fi aplicat dacă există o buclă proprie. Ceea ce s-a ilustrat printr-un exemplu va fi prezentat acum în termeni generali. Se consideră ecuațiile care definesc un graf de trecere a semnalelor date de relațiile (6). Fie x_n un nod fără buclă proprie. S-a ales acest nod în mod arbitrar. Eliminarea nodului x_n din graf este echivalentă cu eliminarea variabilei x_n din ecuații.

Ecuația pentru x_n este

$$x_n = c_{n0} y_0 + \sum_{k=1}^{n-1} c_{nk} x_k. \quad (8)$$

Pentru a elimina x_n se substituie această expresie în celelalte ecuații; apoi relația (8) nu mai este luată în considerație. Dacă ecuația originală pentru x_p este

$$x_p = c_{p0} y_0 + \sum_{k=1}^{n-1} c_{pk} x_k + c_{pn} x_n, \quad (9)$$

ecuația modificată, după substituirea lui x_n din (8), devine

$$\begin{aligned} x_p &= c_{p0} y_0 + \sum_{k=1}^{n-1} c_{pk} x_k + c_{pn} c_{n0} y_0 + \sum_{k=1}^{n-1} c_{pn} c_{nk} x_k = \\ &= (c_{p0} + c_{pn} c_{n0}) y_0 + \sum_{k=1}^{n-1} (c_{pk} + c_{pn} c_{nk}) x_k. \end{aligned} \quad (10)$$

Pentru a interpreta această expresie în raport cu graful, se observă că $c_{pn} c_{n0}$ este transmitanța de la nodul sursă y_0 la nodul x_p trecînd prin nodul intermediar x_n . În primul termen din dreapta această transmitanță se adună cu transmitanța directă c_{p0} de la y_0 la x_p . Similar, $c_{pn} c_{nk}$ este transmitanța de la nodul x_k la nodul x_p trecînd prin nodul x_n . Ecuația arată că acest termen se adună cu transmitanța directă de la x_k la x_p . Dacă fiecare transmitanță este modificată în acest mod, x_n poate fi eliminat din graf și transmitanțele între toate celelalte noduri rămîn neschimbate.

Acum să considerăm cazul cînd există o buclă proprie la nodul x_n , ceea ce înseamnă că $c_{nn} \neq 0$. În acest caz ecuația x_n este

$$x_n = c_{n0} y_0 + \sum_{k=1}^{n-1} c_{nk} x_k + c_{nn} x_n. \quad (11)$$

Ultimul termen poate fi trecut în stînga și apoi se poate explicita x_n

$$x_n = \frac{c_{n0}}{1 - c_{nn}} y_0 + \sum_{k=1}^{n-1} \frac{c_{nk}}{1 - c_{nn}} x_k. \quad (12)$$

Aceasta este ecuația pentru un nod fără o buclă proprie. În raport cu graful, ecuația arată că dacă transmitanța fiecărei laturi ce intră în nodul x_n se împarte prin $1 - c_{nn}$, bucla proprie poate fi eliminată. După această transformare nodul x_n poate fi eliminat așa cum s-a arătat mai înainte.

Împărțirea prin $1 - c_{nn}$ se poate face numai dacă $c_{nn} \neq 1$. Sintem evident în dificultate cînd $c_{nn} = 1$. Referindu-ne din nou la fig. 9.9, se vede că în acest caz apare în graf o buclă proprie cu transmitanța 1. Totuși ecuațiile reprezentate prin graf sînt liniar independente și deci pot fi soluționate. În aceste cazuri se pot rearanja întotdeauna ecuațiile astfel încît să nu apară un element egal cu unitatea pe diagonala principală a matricei respective. Un astfel de element nedorit poate să apară numai dacă ecuațiile nu sînt independente — în care caz nu ne putem aștepta la o soluție unică.

Operațiile precedente pot fi de asemeni interpretate în raport cu matricea de conexiune. Această matrice are forma următoare, dacă nodul x_n nu are o buclă proprie.

$$C = \begin{bmatrix} 0 & 0 & 0 & \dots & 0 & \vdots & 0 \\ c_{10} & c_{11} & c_{12} & \dots & c_{1,n-1} & \vdots & c_{1n} \\ c_{20} & c_{21} & c_{22} & \dots & c_{2,n-1} & \vdots & c_{2n} \\ \vdots & \vdots & \vdots & & \vdots & \vdots & \vdots \\ c_{n-1,0} & c_{n-1,1} & c_{n-1,2} & \dots & c_{n-1,n-1} & \vdots & c_{n-1,n} \\ \dots & \dots & \dots & \dots & \dots & \vdots & \dots \\ c_{n0} & c_{n1} & c_{n2} & \dots & c_{n,n-1} & \vdots & 0 \end{bmatrix} \quad (13)$$

Partiția arată că ultima linie și ultima coloană vor fi eliminate. Se observă că $c_{nn} = 0$ deoarece x_n nu are o buclă proprie.

Să considerăm acum ecuația tipică (10) din sistem, după modificările introduse prin eliminarea lui x_n . Matricea de conexiune corespunzătoare va fi de forma

$$C_1 = \begin{bmatrix} 0 & 0 & \dots & 0 \\ c_{10} + c_{1n} c_{n0} & c_{11} + c_{1n} c_{n1} & \dots & c_{1,n-1} + c_{1n} c_{n,n-1} \\ c_{20} + c_{2n} c_{n0} & c_{21} + c_{2n} c_{n1} & \dots & c_{2,n-1} + c_{2n} c_{n,n-1} \\ \vdots & \vdots & \vdots & \vdots \\ c_{n-1,0} + c_{n-1,n} c_{n0} & c_{n-1,1} + c_{n-1,n} c_{n1} & \dots & c_{n-1,n-1} + c_{n-1,n} c_{n,n-1} \\ c_{n0} & c_{n1} & \dots & c_{n,n-1} \end{bmatrix} \begin{bmatrix} 0 \\ c_{1n} \\ c_{2n} \\ \vdots \\ c_{n-1,n} \\ 0 \end{bmatrix} \quad (14)$$

unde linia și coloana exterioră s-au adăugat pentru comparație cu ecuațiile precedente.

Acum se observă modul în care s-a obținut matricea de conexiune modificată plecând de la matricea inițială (13). Un element din ultima coloană a matricei C , fie acesta c_{1n} , se multiplică cu fiecare element de pe ultima linie. Aceste produse se adună la elementele corespunzătoare din matricea de conexiune. Astfel c_{1n} multiplicat cu c_{n3} se adună cu c_{13} , care este elementul din linia a doua și coloana a patra a matricei de conexiune. (Se observă că indicii pentru linii și coloane încep de la zero.) Acest proces se repetă pentru fiecare element din ultima coloană. Acest proces de reducere succisivă a unei matrice de conexiune se numește *algoritm de eliminare a nodurilor*.

Dacă nodul x_n are o buclă proprie elementul c_{nn} din matricea de conexiune e diferit de zero. Împărțirea tuturor transmitanțelor laturilor care intră în nodul x_n din graf prin $1 - c_{nn}$ corespunde împărțirii tuturor elementelor de pe ultima linie a matricei de conexiune prin $1 - c_{nn}$ și înlocuirii elementelor de pe diagonala principală prin zero. După aceasta poate fi aplicat algoritmul de eliminare a nodurilor.

Repetind aceste operații, graful de trecere a semnalelor poate fi redus la nodurile sursă și nodurile sarcină. Dacă există numai un singur nod sursă și un singur nod sarcină, graful se reduce la o singură latură, de la sursă la sarcină. Transmitanța acestei laturi se numește *amplificarea grafului*.

Pentru a ilustra procedeul, considerăm sistemul de ecuații

$$\begin{bmatrix} 2 & 1 & 2 \\ 1 & -1 & -3 \\ 2 & 1 & 1 \end{bmatrix} \begin{bmatrix} x_1 \\ x_2 \\ x_3 \end{bmatrix} = \begin{bmatrix} 1 \\ 0 \\ -1 \end{bmatrix} y_0.$$

Modificînd sistemul ca în relația (6) obținem

$$\begin{bmatrix} x_1 \\ x_2 \\ x_3 \end{bmatrix} = \begin{bmatrix} -1 & 3 & 1 & 2 \\ 0 & 1 & 0 & -3 \\ 1 & 2 & 1 & 2 \end{bmatrix} \begin{bmatrix} y_0 \\ x_1 \\ x_2 \\ x_3 \end{bmatrix}. \quad (15)$$

Graful corespunzător de fluență a semnalelor este desenat în fig. 9.14.

Să presupunem că dorim soluția pentru nodul x_1 . Atunci vom parcurge următoarele operații plecând de la matricea de conexiune din relația (15). Reducerile corespunzătoare ale grafului de fluență sînt ilustrate în fig. 9.15, fazele corespunzătoare fiind notate cu aceeași literă.

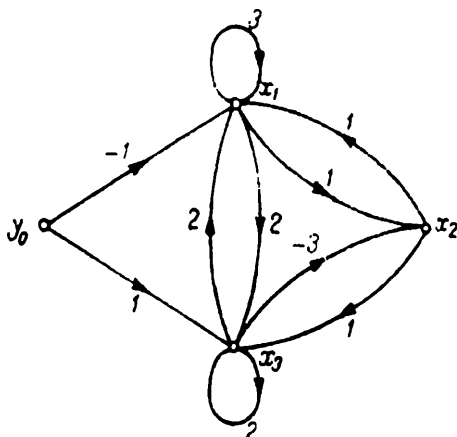


Fig. 9.14. Graf de trecere a semnalului.

a) Eliminăm bucla proprie nodului x_3 împărțind transmitanțele tuturor laturilor care intră în nod prin $(1 - c_{44}) = 1 - 2 = -1$. Matricea de conexiune rezultată este

$$C_1 = \begin{matrix} & y_0 & x_1 & x_2 & x_3 \\ \begin{matrix} y_0 \\ x_1 \\ x_2 \\ x_3 \end{matrix} & \begin{bmatrix} 0 & 0 & 0 & 0 \\ -1 & 3 & 1 & 2 \\ 0 & 1 & 0 & -3 \\ \dots & \dots & \dots & \dots \\ -1 & -2 & -1 & 0 \end{bmatrix} \end{matrix}$$

b) Eliminăm nodul x_3 prin algoritmul de eliminare a nodurilor. Matricea de conexiune rezultată este

$$C_2 = \begin{matrix} & y_0 & x_1 & x_2 \\ \begin{matrix} y_0 \\ x_1 \\ x_2 \end{matrix} & \begin{bmatrix} 0 & 0 & 0 \\ -3 & -1 & -1 \\ 3 & 7 & 3 \end{bmatrix} \end{matrix}$$

Prin acest proces a apărut o buclă proprie nodului x_2 de transmitanță egală cu 3 și este interesant de observat în ce mod au fost modificate celelalte transmitanțe.

c) Eliminăm bucla proprie nodului x_2 împărțind transmitanțele laturilor care intră în nod prin $1-3=-2$.

Atunci

$$C_3 = \begin{matrix} & y_0 & x_1 & x_2 \\ y_0 & \begin{bmatrix} 0 & 0 & 0 \\ -3 & -1 & -1 \\ \dots & \dots & \dots \\ -\frac{3}{2} & -\frac{7}{2} & 0 \end{bmatrix} \\ x_1 & \\ x_2 & \end{matrix}$$

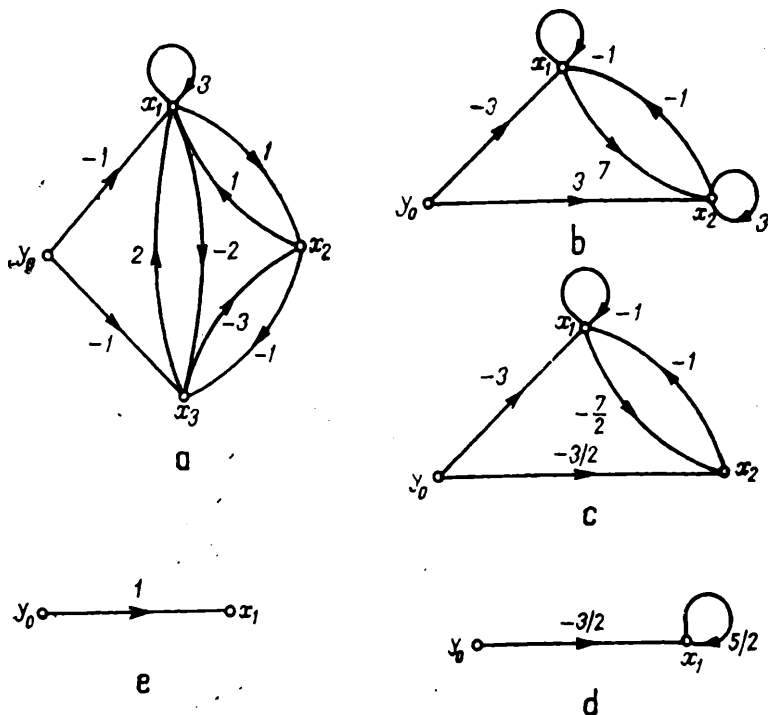


Fig. 9.15. Reducerea unui graf de trecere a semnalului.

d) Eliminăm nodul x_2 pentru a obține

$$C_4 = \begin{matrix} & y_0 & x_1 \\ y_0 & \begin{bmatrix} 0 & 0 \\ -\frac{3}{2} & \frac{5}{2} \end{bmatrix} \\ x_1 & \end{matrix}$$

e) Eliminăm bucla proprie nodului x_1 împărțind transmitanțele laturilor care intră în nod prin $1 - 5/2 = -3/2$. În această fază matricea de conexiune este

$$C_5 = \begin{matrix} y_0 & x_1 \\ y_0 \begin{bmatrix} 0 & 0 \\ 1 & 0 \end{bmatrix} \\ x_1 \end{matrix}.$$

Astfel găsim că $x_1 = y_0$. E evident că soluția poate fi obținută operind transformări numai asupra matricei, sau numai asupra grafului.

Reducerea grafului de fluentă a semnalelor în scopul determinării amplificării grafului poate fi realizată de asemeni prin procedeul inversării căii. Acest procedeu este ilustrat prin graful din fig. 9.16 a. Dacă se inversează calea de la y_0 la x_3 , graful devine cel din fig. 9.16 b. În această formă el poate fi redus cu ușurință. Mai întâi, laturile $1/a$ și $1/b$ sînt în cascadă. Rezultanta acestora este în paralel cu latura $-c/a$. În sfîrșit, rezultanta celor trei este în cascadă cu latura $1/d$. Graful redus este arătat în fig. 9.16 c. Amplificarea grafului pentru graful inițial este

$$\frac{x_3}{y_0} = \frac{abd}{1 - bc}.$$

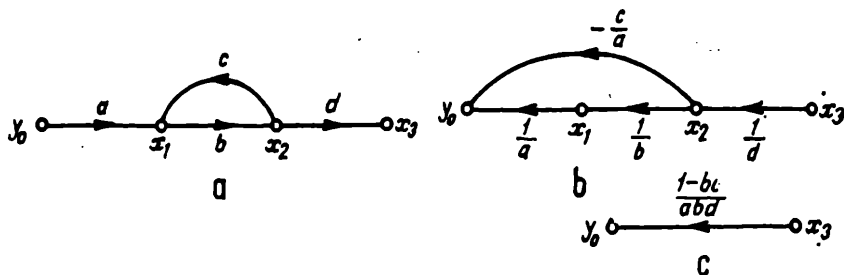


Fig. 9.16. Inversarea și reducerea unui graf.

Reducerea la un graf esențial

Procesul de reducere a grafului descris anterior constă din eliminarea nodurilor câte unul pe rînd; totuși aceasta nu reprezintă o cerință absolută. Mai multe noduri pot fi eliminate simultan. Singura cerință este aceea de a introduce laturi între perechi de noduri din graful redus, pentru a ține seama de transmitanțele tuturor căilor, dintre aceleași perechi de noduri din graful original.

Un alt punct de vedere este acela de a ne fixa atenția nu asupra nodurilor ce vor fi eliminate ci asupra nodurilor care vor rămâne în graful redus. Un graf redus deosebit de util se obține dacă se rețin numai o mulțime de noduri esențiale, împreună cu nodul sursă și nodul sarcină; un astfel de graf se numește *graf esențial*. Indiferent de structura grafului original, pentru un index dat, graful esențial va avea o structură fixă. Astfel, pentru indexul 2 și un singur nod sursă, un graf esențial va avea structura din fig. 9.17. Aici în cazul general, vor apare transmitanțe de la nodul

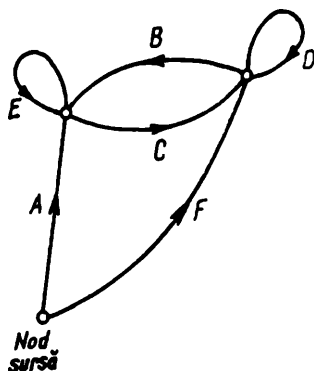


Fig. 9.17. Graf esențial cu indexul 2.

sursă la fiecare din nodurile esențiale și de la fiecare nod esențial la toate celelalte noduri esențiale. Vor apare de asemenea bucle proprii la toate nodurile esențiale. Este necesar să se determine doar valorile transmitanțelor. În cazuri particulare, desigur, unele laturi din graful esențial pot să lipsească.

Pentru ilustrare, se consideră graful din fig. 9.20 din subparagraful următor. Acesta are indexul 2, deși are șase bucle de reacție; nodurile esențiale sînt V_1 și I_3 , iar nodul sursă este V_0 . Rămîne să se calculeze transmitanțele; de exemplu, în graful original sînt trei căi de la V_1 la I_3 cu următoarele transmitanțe: $-G_3$, $-\alpha Y_1 R_4 G_3$ și $Y_2 \mu Z_2 G_3 = \mu G_3$. Deci în graful esențial latura de la V_1 la I_3 va avea transmitanța $G_3(\mu - 1 - \alpha Y_1 R_4 T)$. Celelalte transmitanțe se evaluează similar, obținîndu-se rezultatul final din fig. 9.18

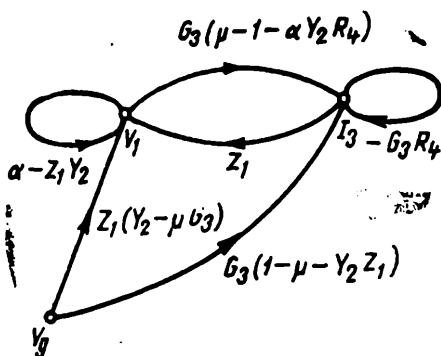


Fig. 9.18. Graf esențial.

Expresia amplificării grafului

Deși simplu și direct, procesul de reducere a grafului așa cum a fost descris este totuși obositor. Ar fi preferabil să dispunem de o formulă unică pentru amplificarea grafului, care să poată fi scrisă plecând direct de la graf, fără alte transformări. O astfel de formulă există de fapt ¹⁾. Demonstrația ei nu implică cunoștințe deosebite sau o pregătire matematică specială, dar este destul de lungă. Vom da aici rezultatele omițind demonstrația.

Fie un graf de fluență a semnalelor cu un singur nod sursă și un singur nod sarcină. Fie G amplificarea grafului iar G_k transmitanța căii directe k (fără bucle) de la sursă la sarcină. Unele dintre buclele grafului pot avea noduri sau laturi comune cu alte bucle. Vom spune că o mulțime de bucle sint *neadiacente* dacă ele nu se ating, adică nu există nici un nod și nici o latură comună pentru nici-o pereche de bucle din mulțime. Amplificarea grafului este dată de relația

$$G = \frac{1}{\Delta} \sum_{\substack{\text{toate} \\ \text{căile} \\ \text{directe}}} G_k \Delta_k \quad (16)$$

unde *determinantul grafului* Δ este dat de relația

$$\Delta = 1 - \sum_j P_{j1} + \sum_j \Sigma P_{j2} - \sum_j \Sigma P_{j3} + \dots, \quad (17)$$

în care

P_{j1} este *amplificarea buclei* de reacție j (produsul tuturor transmitanțelor laturilor ce formează bucla);

P_{j2} — *produsul amplificărilor perechii* de bucle neadiacente j ;

P_{j3} — *produsul amplificărilor tripletului* de bucle neadiacente j etc.

Al doilea indice la P_{ji} se referă la numărul de bucle neadiacente. Determinantul Δ_k este determinantul subgrafului neadiacent cu calea directă k dintre sursă și sarcină.

Să exemplificăm acum utilizarea acestei expresii. Ca o primă ilustrare, se consideră graful original din fig. 9.12. Un nod sarcină se poate crea în mod simplu introducând un nod marcat prin I și legat printr-o latură de transmitanță unitate de vechiul nod I . În acest graf apar trei bucle cu amplificările bcd , gce și ef . Deoarece toate au cel puțin cîte un nod comun, ele sint adiacente. Deci

$$\Delta = 1 - ef - gce - bcd.$$

¹⁾ S. J. Mason, "Feedback Theory—Further Properties of Signal-Flow Graphs," Proc. IRE, vol. 44, July 1956, p. 920–926.

Aici apare o singură cale directă între nodul sursă V_1 și nodul sarcină I ; amplificarea acestei căi este $G_1 = abce$. Toate cele trei bucle sînt adiacente cu această cale; deci $\Delta_1 = 1$. Amplificarea grafului este prin urmare

$$G = \frac{V_1}{I} = \frac{abce}{1 - ef - gce - bcd}.$$

Să examinăm acum graful inversat din fig. 9.12 *d*. Acesta este un graf în cascadă, fără bucle de reacție. Deci $\Delta = 1$ și $\Delta_k = 1$ pentru orice k . Amplificarea grafului de la I la V_1 este în acest caz suma transmitanțelor căilor directe. Apar în total patru căi de la I la V_1 . Deci

$$\frac{I}{V_1} = -\frac{d}{ae} + \frac{1}{abce} - \frac{f}{abc} - \frac{g}{ab} = \frac{1 - ef - gce - bcd}{abce}.$$

Acest rezultat este în concordanță cu cel obținut anterior.

Ca un al doilea exemplu, considerăm graful din fig. 9.20 din subparagraful următor. Fie V_4 semnalul pe care dorim să-l evaluăm. Graful are în total șase bucle. Dintre acestea două perechi de bucle sînt neadiacente și anume: bucla $V_4 I_3 V_4$ cu bucla $V_1 I_2 V_1$ și cu bucla $V_1 I_5 V_1$. Nu există triplete de bucle neadiacente. Se fac în continuare următoarele calcule:

Bucle	Amplificările buclelor	
	P_{j1}	P_{j2}
1. $V_1 I_2 V_1$	$-Z_1 Y_2$	$\left. \begin{array}{l} G_3 R_4 Z_1 Y_2 \\ -\alpha G_3 R_4 \end{array} \right\}$
2. $V_4 I_3 V_4$	$-G_3 R_4$	
3. $V_1 I_5 V_1$	$\alpha Y_1 Z_1 = \alpha$	
4. $V_1 I_3 V_1$	$-Z_1 G_3$	$\left. \begin{array}{l} Y_2 \mu Z_2 G_3 Z_1 = \mu Z_1 G_3 \\ -\alpha Y_1 R_4 G_3 Z_1 = -\alpha G_3 R_4 \end{array} \right\}$
5. $V_1 I_2 V_4 I_3 V_1$	$Y_2 \mu Z_2 G_3 Z_1 = \mu Z_1 G_3$	
6. $V_1 I_5 V_4 I_3 V_1$	$-\alpha Y_1 R_4 G_3 Z_1 = -\alpha G_3 R_4$	

Rezultă

$$\Sigma P_{j1} = \alpha - G_3 R_4 - \alpha G_3 R_4 - Z_1 Y_2 - (1 - \mu) Z_1 G_3$$

$$\Sigma P_{j2} = -\alpha G_3 R_4 + G_3 R_4 Z_1 Y_2$$

$$\begin{aligned} \Delta &= 1 - \Sigma P_{j1} + \Sigma P_{j2} = 1 - \alpha + G_3 R_4 + \alpha G_3 R_4 + Z_1 Y_2 \\ &\quad + (1 - \mu) Z_1 G_3 - \alpha G_3 R_4 + Z_1 Y_2 G_3 R_4 \\ &= 1 - \alpha + G_3 R_4 + Z_1 Y_2 (1 + G_3 R_4) + (1 - \mu) Z_1 G_3. \end{aligned}$$

Se observă că în calculul lui Δ termenul $G_3 R_4$ ce provine din P_{j1} se reduce cu termenul similar ce provine din P_{j2} . Aceasta arată că formula amplificării nu este o formulă de efort minim, așa cum sînt formulele topologice din capitolul 3.

În continuare se determină numărătorul din formula amplificării grafului. Se fac următoarele calcule :

Căi directe	Amplificările căilor G_k	Δ_k
1. $V_6 I_3 V_4$	$G_3 R_4$	$\Delta_1 = 1 - \alpha + Z_1 Y_2$
2. $V_6 I_2 V_1 I_5 V_4$	$\alpha Y_2 R_4$	$\Delta_2 = 1$
3. $V_6 I_2 V_6 I_3 V_4$	$-\mu G_3 R_4$	$\Delta_3 = 1 - \alpha$
4. $V_6 I_2 V_1 I_3 V_4$	$-Z_1 Y_2 G_3 R_4$	$\Delta_4 = 1$
5. $V_6 I_3 V_1 I_5 V_4$	$\alpha G_3 R_4$	$\Delta_5 = 1$

Rezultă

$$\begin{aligned} \Sigma G_k \Delta_k &= G_3 R_4 - \alpha G_3 R_4 + G_3 R_4 Z_1 Y_2 + \alpha Y_2 R_4 \\ &\quad - (1 - \alpha) \mu G_3 R_4 + \alpha G_3 R_4 - G_3 R_4 Z_1 Y_2 \\ &= G_3 R_4 [1 - \mu(1 - \alpha)] + \alpha Y_2 R_4. \end{aligned}$$

Se fac din nou reduceri de termeni. În sfîrșit, amplificarea grafului este

$$G = \frac{V_4}{V_6} = \frac{G_3 R_4 [1 - \mu(1 - \alpha)] + \alpha Y_2 R_4}{(1 + G_3 R_4)(1 + Z_1 Y_2) - \alpha + (1 - \mu) Z_1 G_3}.$$

Se observă că formula amplificării grafului se aplică foarte simplu. Pot interveni erori doar dacă se omit bucle de reacție sau căi directe între intrare și ieșire. O examinare sistematică elimină totuși posibilitatea apariției acestor erori.

Expresia amplificării grafului din relația (16) este o funcție a rețelei care reprezintă raportul dintre transformata răspunsului și transformata excitației. Evident, se obține aceeași funcție indiferent dacă se folosește graful de trecere al semnalelor sau dacă se pleacă de la ecuațiile rețelei scrise sub forma $AX = Y$, ca în relația (3). Deoarece în ultimul caz funcția rețelei se exprimă prin determinantul sistemului, adică $\det A$, înseamnă că determinantul grafului trebuie să fie $\det A$.

Trasarea grafului de trecere a semnalelor pentru o rețea

În cele precedente s-a presupus că sistemul de ecuații liniare este dat sub forma standard (3). O problemă mai uzuală este aceea în care se dă rețeaua ce urmează a fi analizată și se urmărește să se obțină o expresie

pentru o funcție a rețelei. Dându-se rețeaua, se dorește să se traseze direct graful de trecere a semnalelor, examinând doar schema rețelei. O altă posibilitate ar fi să se scrie direct matricea de conexiune.

În toate cazurile, prima problemă care apare este alegerea unor variabile. Diverse alegeri ale variabilelor vor conduce la diferite grafuri de trecere a semnalelor pentru aceeași rețea. Alegerea variabilelor este dictată de diverse considerente, dar în orice caz trebuie să includă variabila sursei independente și variabilele de răspuns. Indiferent ce variabile se aleg și ce ecuații se scriu, două condiții trebuie satisfăcute:

1. Sistemul de ecuații obținut trebuie să reprezinte o descriere adecvată a rețelei;

2. Ecuațiile obținute trebuie să fie liniar independente.

Anumite alegeri ale variabilelor și ecuațiilor nu sînt prea utile dacă se recurge apoi la metoda grafurilor de trecere a semnalelor. De exemplu, am putea alege simplu curenții buclelor sau tensiunile nodurile drept variabile și să reprezentăm prin grafuri de trecere a semnalelor ecuațiile pe bucle sau pe noduri. Acest procedeu este desigur corect și nu implică alte comentarii.

O tratare mai convenabilă însă constă din alegerea unor variabile mixte, așa cum s-a făcut în § 2.7. Deoarece tensiunile ramurilor și curenții joncțiunilor unui arbore sînt topologic independenți, aceste mărimi se aleg drept variabile. Mai departe apar doar diferențe minore față de tratarea din Capitolul 2. Aici sursele independente nu vor fi considerate drept laturi separate ci vor fi luate întotdeauna împreună cu laturile care le însoțesc. Așa cum am făcut în capitolul 4, totuși, vom considera aceste surse ca laturi separate. Sursele independente de tensiune trebuie să fie ramuri iar sursele independente de curent—joncțiuni.

Din teoremele lui Kirchhoff și printr-o partiție adecvată se obțin următoarele ecuații:

$$\mathbf{I}_{ia} = -\mathbf{Q}_i \mathbf{I}_{ia} \quad (18a)$$

$$\mathbf{V}_{ia} = -\mathbf{B}_i \mathbf{V}_{ia} \quad (18b)$$

unde indicele a se pune pentru a semnifica „toate”. Joncțiunile vor include toate sursele independente de curent și ramurile vor include toate sursele independente de tensiune. Se fac partiții ale matricelor curenților și tensiunilor pentru a pune în evidență sursele. Dacă se fac partiții convenabile ale matricelor \mathbf{Q}_i și \mathbf{B}_i se obțin ecuațiile

$$\begin{bmatrix} \mathbf{I}_i \\ \mathbf{I}_{ig} \end{bmatrix} = -\begin{bmatrix} \mathbf{Q}_1 & \mathbf{Q}_{o1} \\ \mathbf{Q}_2 & \mathbf{Q}_{o2} \end{bmatrix} \begin{bmatrix} \mathbf{I}_i \\ \mathbf{I}_g \end{bmatrix} = -\begin{bmatrix} \mathbf{Q}_1 \mathbf{I}_i + \mathbf{Q}_{o1} \mathbf{I}_g \\ \mathbf{Q}_2 \mathbf{I}_i + \mathbf{Q}_{o2} \mathbf{I}_g \end{bmatrix} \quad (19)$$

$$\begin{bmatrix} \mathbf{V}_i \\ \mathbf{V}_{ig} \end{bmatrix} = -\begin{bmatrix} \mathbf{B}_1 \mathbf{B}_{o1} \\ \mathbf{B}_2 \mathbf{B}_{o2} \end{bmatrix} \begin{bmatrix} \mathbf{V}_i \\ \mathbf{V}_g \end{bmatrix} = -\begin{bmatrix} \mathbf{B}_1 \mathbf{V}_i + \mathbf{B}_{o1} \mathbf{V}_g \\ \mathbf{B}_2 \mathbf{V}_i + \mathbf{B}_{o2} \mathbf{V}_g \end{bmatrix}. \quad (20)$$

În aceste expresii I_{i_0} reprezintă curenții surselor de tensiune (care sînt ramuri) iar V_{i_0} reprezintă tensiunile surselor de curent (care sînt joncțiuni).

În continuare se consideră relațiile tensiune—curent. Deoarece curenții joncțiunilor și tensiunile ramurilor vor fi variabile în graful de trecere a semnalelor, relațiile tensiune-curent vor trebui să exprime explicit I_i și V_i în funcție de V_l și V_g . Aceasta înseamnă că ecuațiile vor avea forma hibridă

$$I_i = Y_i V_l + G_{12} I_l \quad (21 \ a)$$

$$V_i = G_{21} V_l + Z_i I_l. \quad (21 \ b)$$

Se observă că tensiunile și curenții surselor independente nu sînt incluși în aceste ecuații.

Prima linie din relațiile (19) și (20) se introduce în (21) și se obține

$$I_i = - (Y_i B_1 V_l + Y_i B_{g1} V_g + G_{12} Q_1 I_l + G_{12} Q_{g1} I_g) \quad (22 \ a)$$

$$V_i = - (G_{21} B_1 V_l + G_{21} B_{g1} V_g + Z_i Q_1 I_l + Z_i Q_{g1} I_g). \quad (22 \ b)$$

Aceste ecuații au forma din relația (4) pentru care se poate trasa graful de trecere a semnalelor.

Variabilele pentru care s-au scris ecuațiile sînt curenții tuturor joncțiunilor cu excepția surselor independente de curent și tensiunile tuturor ramurilor cu excepția surselor independente de tensiune. Menționăm că aceste variabile nu depind de curenții prin sursele de tensiune (I_{i_0}) și de tensiunile la bornele surselor de curent (V_{i_0}). Totuși, se poate întâmpla ca aceste variabile să reprezinte variabile de răspuns a căror expresie se caută. În graful de trecere a semnalelor fiecare variabilă dintre acestea este reprezentată printr-un nod sarcină; ecuațiile corespunzătoare sînt date de linia a doua din relațiile (19) și (20) care se repetă aici.

$$I_{i_0} = - (Q_2 I_l + Q_{g2} I_g) \quad (23 \ a)$$

$$V_{i_0} = - (B_2 V_l + B_{g2} V_g). \quad (23 \ b)$$

Din relațiile (22) și (23) se poate trasa un graf de trecere a semnalelor. Sîntem siguri că aceste ecuații sînt independente și deci se poate găsi soluția lor. Știm de asemenea că aceste ecuații reprezintă o descriere adecvată deoarece, orice altă variabilă se poate obține îndată ce sînt cunoscute variabilele care intervin aici. Totuși, dacă ar fi necesar să se scrie mai întii matricele Q_i și B_i ; apoi să se facă o partiție a lor; apoi să se scrie relațiile tensiune-curent și să se determine toate matricele din relația (21);

și în fine să se scrie relațiile (22) și (23), utilitatea folosirii grafului de trecere a semnalelor ar putea fi pusă la îndoială. Dezvoltările anterioare reprezintă, de fapt, o „teoremă de existență”. Pentru o rețea dată nu vom parcurge aceste etape pentru a trasa graful de trecere a semnalelor. Se va folosi un proces mult mai simplu, ilustrat prin exemplele ce urmează.

Încă o chestiune trebuie lămurită. Când s-au examinat ecuațiile în variabilele mixte din § 2.7, relațiile tensiune-curent și anume relațiile (110) din Capitolul 2 au fost inverse în raport cu cele din relația (21). Pentru alegerea făcută acolo selectarea laturilor surselor controlate în calitate de ramuri sau joncțiuni s-a făcut în conformitate cu tabelul 22. Cu alegerea făcută aici pentru relațiile tensiune-curent, selectarea trebuie să fie inversată. Astfel, de exemplu, latura comandată a unei surse de curent controlate trebuie să fie acum o joncțiune, iar latura comandată a unei surse de tensiune — o ramură.

Exemplul 1.

Se consideră rețeaua din fig. 9.19 a. Aici apar două surse controlate. Graful rețelei este dat în fig. 9.19 b, cu arborele reprezentat prin linii îngroșate.

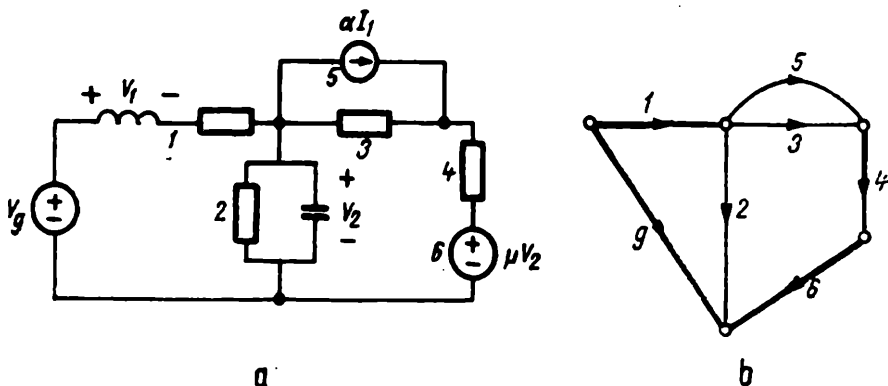


Fig. 9.19. Exemplu de rețea (a) și graful respectiv (b).

Trebuie scrise acum ecuațiile pentru curenții joncțiunilor și tensiunile ramurilor. Curentul oricărei joncțiuni care nu reprezintă o sursă controlată, poate fi exprimat în funcție de tensiunea respectivă, care poate fi exprimată la rândul său, în funcție de tensiunile ramurilor. Astfel, pentru joncțiunile 2 și 3 se obțin ecuațiile

$$I_2 = Y_2 V_2 = Y_2 V_g - Y_2 V_1,$$

$$I_3 = G_3 V_3 = -G_3 V_1 + G_3 V_g - G_3 V_4 - G_3 V_5.$$

O singură joncțiune este formată dintr-o sursă de curent controlată, $I_5 = \alpha I_1$. Curentul I_1 este curentul prin ramura 1 și se poate exprima în funcție de tensiunea respectivă. Astfel

$$I_5 = \alpha Y_1 V_1.$$

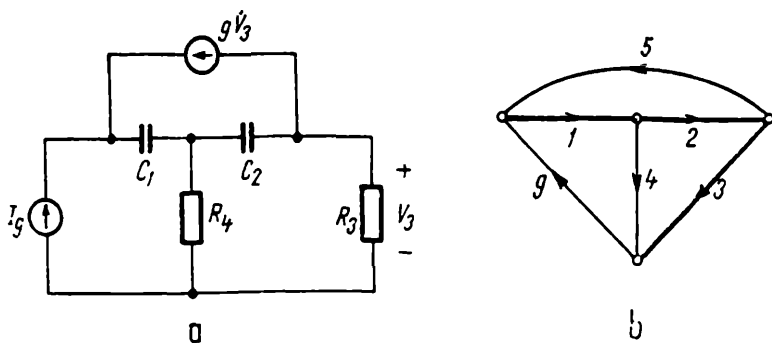


Fig. 9.21. Exemplu de rețea (a) și graful respectiv (b).

Graful de fluentă a semnalelor trasat pe baza acestor ecuații este dat în fig. 9.22. Acesta este un graf mai simplu decât cel din exemplul precedent. El are trei bucle de reacție și toate pot fi întrerupte prin despicarea nodului I_4 . Așadar indexul său este 1.

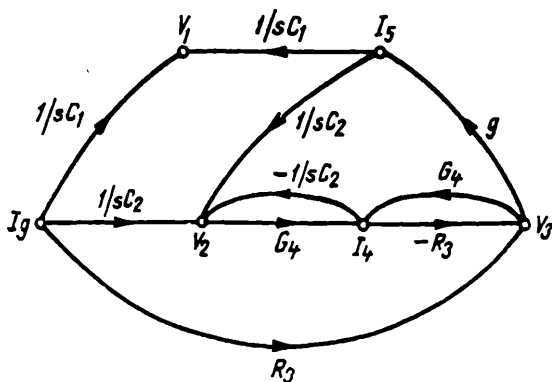


Fig. 9.22. Graful de trecere al semnalului pentru exemplu.

9.3. REACȚIA

O imagine intuitivă asupra conceptului de reacție în procesele fizice a existat de mult timp, dar abia în 1930 acest concept a devenit mai precis și a căpătat o semnificație matematică prin lucrările lui Bode. În mod calitativ spunem că o rețea este o rețea cu reacție dacă unele variabile, fie de ieșire fie interne, sînt utilizate ca intrări pentru unele părți ale rețelei astfel încît ele pot să afecteze propriile lor valori. Se spune, tot calitativ, că ieșirea, sau o parte din ea, se reintroduce la intrare.

Ca o ilustrație, să examinăm schema amplificatorului din fig. 9.6. Aici o parte din tensiunea de intrare V_a a blocului figurat cu linii întrerupte este o funcție de tensiunea de ieșire V_2 . Astfel întotdeauna tensiunea de ieșire este influențată de propria ei valoare. Acest efect de reacție are o mare influență asupra comportării rețelei. În cele ce urmează se va discuta conceptul de reacție pe o cale cantitativă.

Raportul de întoarcere și diferența de întoarcere

Se consideră la început graful de trecere a semnalului din fig. 9.23 *a*. Ne concentrăm atenția asupra laturii cu transmitanța k . Această mărime se consideră un parametru specific al rețelei, așa cum sînt μ sau α pentru sursele controlate¹. Această presupunere implică faptul că graful rețelei poate fi astfel trasat încît parametrul dorit să apară distinct ca transmitanță pentru o singură latură. Se pot modifica întotdeauna ecuațiile rețelei (prin introducerea unor variabile auxiliare sau prin combinații liniare convenabile) astfel încît să se obțină acest rezultat, cu excepția cazurilor cînd același parametru apare de mai multe ori chiar în schema rețelei. Acesta este cazul, de exemplu, cu raportul de transformare la un transformator și cu raportul de girajie la un girator.

Vom introduce acum un nod auxiliar x_0 în latura k , cu o transmitanță egală cu unitatea de la x_1 la x_0 , așa cum se arată în fig. 9.23 *b*. Prin aceasta se introduce o ecuație auxiliară $x_0 = x_1$, fără să se modifice celelalte ecuații. Pasul următor constă din despicarea nodului x_0 , așa cum se arată în fig. 9.23 *c*, făcînd să apară astfel un nod sursă și un nod sarcină. În același timp se elimină toate celelalte noduri sursă din graf. (Aceasta înseamnă scurtcircuitarea surselor independente de tensiune și întreruperea tuturor surselor independente de curent din rețea). O măsură a reacției referitoare la parametrul k se obține determinînd semnalul ce revine în seminodul sarcină la aplicarea unui semnal egal cu unitatea în seminodul sursă al nodului despicate. Definim *raportul de întoarcere* a lui k , notat T_k , ca fiind raportul dintre $-x'_0$ și x_0 cînd nodul x_0 este introdus în latura k și apoi despicate așa cum s-a arătat. În fig. 9.23 raportul de întoarcere a lui k este $T_k = -kb$. (În această definiție s-a introdus semnul minus pentru a fi în conformitate cu notațiile consacrate din teoria reglării automate.)

¹ Presupunerea că k este un parametru specific al rețelei nu este esențială pentru a defini raportul de întoarcere. Totuși, presupunerea se face cu scopul de a stabili o relație simplă între raportul de întoarcere și sensibilitatea amplificării în raport cu variația unui parametru a rețelei, care se va defini ulterior.

O altă măsură a reacției se obține luând diferența dintre semnalul unitate aplicat în seminodul sursă și semnalul care revine în seminodul sarcină a nodului despicaț. Această mărime se numește *diferența de întoarcere*

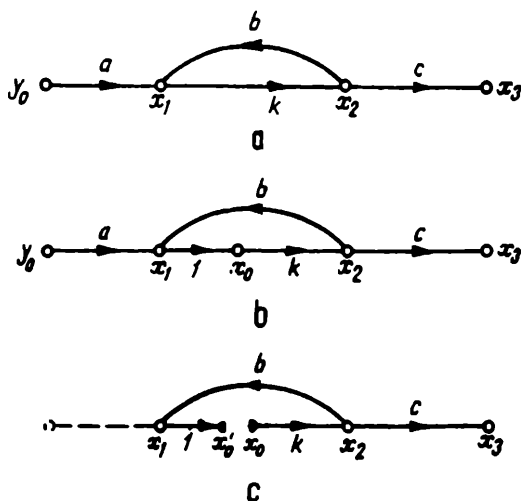


Fig. 9.23. Determinarea raportului de întoarcere.

și se notează prin F_k . Cele două măsuri ale reacției sint legate prin relația

$$F_k = 1 + T_k. \quad (24)$$

Să explicităm calculul raportului de întoarcere și al diferenței de întoarcere pentru un graf ceva mai complicat. Să reluăm graful din fig. 9.7 corespunzător amplificatorului din fig. 9.6. Fie transconductanța g parametrul care ne interesează. Acest parametru poate să apară o singură dată în graf, dar el nu este singurul parametru ce intervine. Graful poate fi modificat așa cum se arată în fig. 9.24 a pentru a fi adus la forma dorită. Se elimină nodul sursă V_0 și se introduce un nod auxiliar în latura g , nod care se despicață. Rezultatul este dat în fig. 9.24 b.

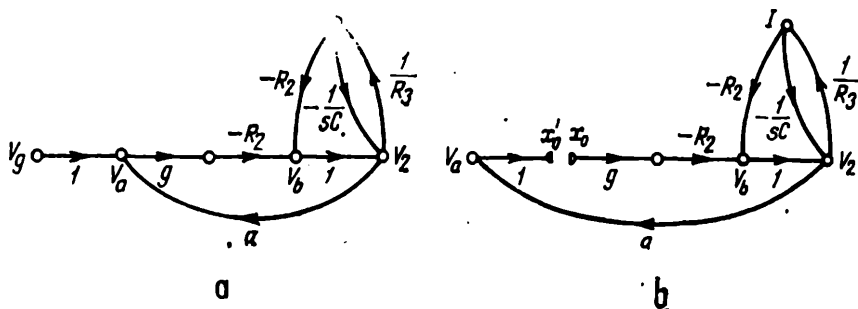


Fig. 9.24. Calculul diferenței de întoarcere.

Amplificarea grafului cu semn schimbat între x_0 și x'_0 reprezintă raportul de întoarcere. El se determină aplicînd formula (16) din care rezultă

$$T_\theta = \frac{-x'_0}{x_0} = \frac{gR_2a}{1 - (-1/R_3Cs) - (-R_2/R_3)} = \frac{gaR_2R_3Cs}{(R_2 + R_3)Cs + 1}.$$

Diferența de întoarcere se determină din relația (24) și este

$$F_\theta = 1 + T_\theta = \frac{(R_2 + R_3 + gaR_2R_3)Cs + 1}{(R_2 + R_3)Cs + 1}. \quad (25)$$

Calculînd determinantul grafului pentru graful original din fig. 9.24 a se poate face o observație interesantă. Acest determinant este

$$\Delta = 1 + \frac{R_2}{R_3} + gaR_2 + \frac{1}{R_3Cs} = \frac{(R_2 + R_3 + gaR_2R_3)Cs + 1}{R_3Cs}. \quad (26)$$

Comparînd această expresie cu expresia obținută anterior pentru F_θ se observă că numărătorul lui F_θ și numărătorul lui Δ sînt aceiași. Acest rezultat nu este întîmplător ci are un caracter general așa cum se va arăta în continuare.

Se consideră diagrama din fig. 9.25, care reprezintă o porțiune dintr-un graf de trecere a semnalelor, ce conține latura k între nodurile x_a și x_b . S-a introdus un nod x_0 care a fost despicat. Înainte de a face această operație ecuațiile corespunzătoare grafului sînt date de relația (6) și se repetă aici

$$X = -K y_0 + (A + U) X. \quad (27)$$

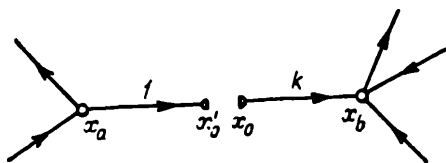


Fig. 9.25. Determinarea diferenței de întoarcere.

Pentru nodul x_b are loc relația

$$x_b = kx_a + a_{b0}y_0 + \sum_{j \neq a} a_{bj}x_j, \quad (28)$$

și se presupune că parametrul k nu mai apare în nici un alt coeficient a_{bh} și că nu există alte căi directe între x_a și x_b .

Presupunem acum că ecuațiile corespunzătoare nodului x_b și tuturor celorlalte noduri se rescriu sub forma

$$\mathbf{A}\mathbf{X} = \mathbf{Y}. \quad (29)$$

Ecuația (28) pentru x_b devine

$$-kx_a + x_b - \sum_{j \neq a} \sigma_{bj} x_j = \sigma_{b0} y_0. \quad (30)$$

Matricea coeficienților sistemului de ecuații este \mathbf{A} . Pentru a găsi o expresie a determinantului matricei \mathbf{A} , presupunem că acesta se dezvoltă după linia b și se grupează termenii care nu conțin pe k . Suma acestor termeni reprezintă valoarea lui $\det \mathbf{A}$ cind $k = 0$. Această valoare se notează prin Δ^0 . Atunci

$$\det \mathbf{A} = \Delta = \Delta^0 - k\Delta_{ba}, \quad (31)$$

unde Δ_{ba} este un cofactor al lui \mathbf{A} .

Revenim acum la calculul diferenței de întoarcere. Mai întâi se elimină toate nodurile sursă. Aceasta înseamnă că se egalează cu zero partea dreaptă a relației (29). Apoi se introduce un nod care este despicat așa cum se arată în fig. 9.25. Prin această operație se introduce un nou nod sursă x_0 , care intervine numai în ecuația pentru x_b , ceea ce este echivalent cu a aduna kx_0 în linia b din membrul drept al relației (29). Mai mult, așa cum se vede din fig. 9.25, termenul kx_a care apărea în ecuația pentru x_b acum nu mai apare. Deci kx_a este eliminat din linia b din membrul stîng al relației (29). Toate buclele de reacție din graful original, cu excepția buclei ce conține latura k , sînt incluse în graful modificat. Deci determinantul acestui graf se obține din determinantul vechiului graf punînd $k = 0$. Dar acesta s-a notat anterior prin Δ^0 . Deci amplificarea noului graf, care este tocmai raportul de întoarcere cu semn schimbat, este

$$-T_k = \frac{x'_0}{x_0} = \frac{k\Delta_{ba}}{\Delta^0}. \quad (32)$$

Diferența de întoarcere se poate calcula acum după cum urmează :

$$F_k = 1 + T_k = 1 - \frac{k\Delta_{ba}}{\Delta^0} = \frac{\Delta^0 - k\Delta_{ba}}{\Delta^0},$$

sau, utilizînd relația (31),

$$F_k = \frac{\Delta}{\Delta^0}. \quad (33)$$

Acesta este un rezultat foarte important. Se obține o măsură a reacției, cu referință la un parametru specific k , luând raportul dintre determinantul grafului pentru valoarea respectivă a parametrului și determinantul grafului calculat pentru valoarea zero a parametrului.

Se propune cititorului să demonstreze valabilitatea acestei expresii pentru graful din fig. 9.24, pentru care s-a găsit anterior expresia diferenței de întoarcere dată de relația (25), utilizând expresia determinantului grafului dată de relația (26).

Senzitivitatea

În general vorbind, fiecare parametru dintr-o rețea are o influență asupra răspunsului. Când acest parametru variază (ca urmare a variațiilor de temperatură, a înlocuirii pieselor, etc.) răspunsul se va schimba și el. Este interesant să se cunoască în ce măsură se schimbă răspunsul atunci când un parametru dat se schimbă într-o anumită măsură. Această informație este furnizată de ceea ce se numește *senzitivitate*. Definim senzitivitatea unei mărimi, să spunem amplificarea grafului G , în raport cu un parametru k , prin

$$S_k^G = \frac{\partial G/G}{\partial k/k} ; \quad (34)$$

În această definiție variațiile se presupun a fi infinit mici.

Se poate stabili o relație între senzitivitate și diferența de întoarcere. Presupunem că parametrul k apare într-o latură care face parte dintr-o cale directă între sursă și sarcină. Atunci amplificarea grafului dată de relația (16) se poate scrie după cum urmează :

$$G = \frac{k \Delta_{ba} + R}{\Delta^0 - k \Delta_{ba}} , \quad (35)$$

unde R este ceea ce mai rămâne din numărător după ce termenii care conțin pe k sînt eliminați. Utilizînd relația de definiție (34) și relația (33), după o serie de transformări simple, se obține :

$$S_k^G = \frac{1}{F_k} \left(1 - \frac{G^0}{G} \right) , \quad (36)$$

unde $G^0 = R/\Delta^0$ este amplificarea grafului, cînd se face k egal cu zero ; adică amplificarea grafului datorată căilor care nu conțin latura k .

În cazul cînd nu există căi care să nu conțină latura k , ceea ce înseamnă că toate căile directe de la sursă la sarcină trec prin latura k , sensibilitatea devine inversul diferenței de întoarcere. Acesta este de exemplu cazul grafului din fig. 9.24. Deci, în acest exemplu, sensibilitatea amplificării în raport cu transconductanța g este inversul diferenței de întoarcere dată de relația (25).

9.4. STABILITATEA

În paragrafele precedente s-a prezentat o analiză care permite determinarea funcțiilor rețelei și deci a răspunsului la excitații date. Metoda grafurilor de trecere a semnalelor se poate aplica atît pentru rețelele pasive, reciproce, cît și pentru rețelele active, nereciproce. Ea este de mare importanță mai ales în ultimul caz. În studiul rețelelor active este deosebit de important să se știe cînd răspunsul rămîne mărginit sau crește nedefinit după o excitație. Această problemă nu apare în cazul rețelelor pasive cu pierderi deoarece polii funcțiilor rețelei pentru astfel de rețele se află cu necesitate în semiplanul stîng. În acest paragraf vom investiga această problemă. Vom opera cu semnale reprezentate atît în domeniul timp cît și în domeniul frecvență și vom presupune că *toate rețelele au condiții inițiale nule*. Se vor considera numai rețelele cu o singură intrare și o singură ieșire. Această condiție nu este restrictivă deoarece rețelele cu mai multe intrări și mai multe ieșiri pot fi manipulate aplicînd principiul superpoziției.

Fie $w(t)$ răspunsul rețelei la o excitație $e(t)$. Vom spune că rețeaua este *stabilă* dacă, dîndu-se o constantă $0 \leq E < \infty$, există o altă constantă $0 \leq W < \infty$ astfel încît $|w(t)| \leq W$ cînd $|e(t)| \leq E$ pentru $0 \leq t < \infty$. În termeni mai puțin preciși, vom spune că o rețea este stabilă dacă *la orice excitație mărginită corespunde un răspuns mărginit*. Pentru a distinge această definiție de altele ce vor fi introduse ulterior, ne referim la această definiție a stabilității în sensul *mărginit la intrare — mărginit la ieșire* (MIME). Pentru a găsi criteriul funcțional ca o rețea să fie MIME stabilă, răspunsul $w(t)$ trebuie exprimat în funcție de excitația $e(t)$. Plecăm de la integrala de convoluție

$$w(t) = \int_0^t h(t - \tau) e(\tau) d\tau, \quad (37)$$

unde $h(t)$ este funcția pondere. Atunci are loc următoarea :

Teoremă 1. *O rețea este MIME stabilă dacă și numai dacă*

$$\int_0^\infty |h(\tau)| d\tau < \infty. \quad (38)$$

Aceasta înseamnă că, dacă funcția pondere este absolut integrabilă atunci răspunsul la orice excitație mărginită va fi mărginit. Pentru partea *dacă* a demonstrației se începe prin a lua modul în relația (37). După ce se folosesc inegalitățile uzuale rezultatul devine

$$|w(t)| \leq \int_0^t |h(t - \tau)| |e(\tau)| d\tau.$$

Dacă $|e(\tau)|$ se înlocuiește prin marginea sa superioară E , inegalitatea va fi deasemeni satisfăcută și rezultă

$$|w(t)| \leq E \int_0^t |h(t - \tau)| d\tau = E \int_0^t |h(\tau)| d\tau.$$

În partea dreaptă s-a operat schimbarea de variabilă $t - \tau \rightarrow \tau$. Acum, dacă se extinde la infinit limita superioară valoarea integralei crește, deci inegalitatea va fi cu atât mai mult satisfăcută. Deci

$$|w(t)| \leq E \int_0^\infty |h(\tau)| d\tau = W.$$

Din condițiile teoremei date de relația (38) rezultă că $W < \infty$ și deci $|w(t)|$ este mărginit pentru $0 \leq t < \infty$. Pentru partea *numai dacă* a demonstrației se pleacă de la următoarea observație. Dacă

$$\int_0^\infty |h(\tau)| d\tau \neq \infty, \quad (39)$$

atunci, dîndu-se un număr $0 \leq H < \infty$, există un moment $0 \leq t' < \infty$ astfel încît

$$\int_0^{t'} |h(\tau)| d\tau > H. \quad (40)$$

În continuare demonstrația se face prin reducere la absurd; astfel, vom presupune că relația (38) nu este adevărată și vom arăta că dîndu-se $0 \leq E < \infty$ și orice $0 \leq W < \infty$ atunci există $0 \leq t' < \infty$ astfel încît $|w(t')| > W$ pentru un $|e(t)| \leq E$. Acum, se alege o excitație

$$e(t) = E \operatorname{sgn} [h(t' - t)],$$

unde $\operatorname{sgn} x$ este $+1$ pentru $x > 0$ și -1 pentru $x < 0$. Atunci $e(t)$ este o funcție care comută între $+E$ și $-E$ când semnul lui $h(t' - t)$ se schimbă. Cu acest semnal de excitație, integrala de convoluție din relația (37) devine

$$\begin{aligned} w(t') &= \int_0^{t'} h(t' - \tau) \{E \operatorname{sgn} [h(t' - \tau)]\} d\tau \\ &= E \int_0^{t'} |h(t' - \tau)| d\tau. \end{aligned}$$

Rezultatul final este o consecință a faptului că $x \operatorname{sgn} x = |x|$. Se alege acum $H = W/E$ în relația (40) și se ține seama de ultima relație din care rezultă $w(t') > W$ și, deci, $|w(t')| > W$. Aceasta completează demonstrația.

Această teoremă specifică condițiile care trebuie îndeplinite pentru ca o rețea să fie MIMÉ stabilă în domeniul timp. Cînd $\bar{H}(s) = \mathcal{L}\{h(t)\}$ este o fracție rațională proprie, se poate găsi o condiție echivalentă în domeniul frecvență. Astfel are loc următoarea:

Teorema 2. *Dacă $H(s)$ este o fracție rațională proprie în s , atunci rețeaua va fi MIMÉ stabilă, ceea ce înseamnă că*

$$\int_0^\infty |h(\tau)| d\tau < \infty \quad (41)$$

dacă și numai dacă toți polii lui $H(s)$ au partea reală negativă.

Pentru partea *dacă* a demonstrației se pleacă de la dezvoltarea în elemente simple

$$H(s) = \sum_{i=1}^l \sum_{j=1}^{v_i} \frac{k_{ij}}{(s + s_i)^j},$$

unde $-s_i$ este un pol de ordinul v_i al funcției $H(s)$. Transformarea inversă a acestei expresii dă funcția de pondere

$$h(t) = \sum_{i=1}^l \sum_{j=1}^{v_i} \frac{k_{ij}}{(j-1)!} t^{j-1} e^{-s_i t},$$

din care se obține ușor

$$|h(t)| \leq \sum_{i=1}^l \sum_{j=1}^{v_i} \frac{|k_{ij}|}{(j-1)!} t^{j-1} e^{-s_i t}.$$

Deoarece $|\varepsilon^{-st}| = \varepsilon^{-(\operatorname{Re} s)t}$, se obține

$$|h(t)| \leq \sum_{i=1}^l \sum_{j=1}^{v_i} \frac{|k_{ij}|}{(j-1)!} t^{j-1} \varepsilon^{-(\operatorname{Re} s_i)t}. \quad (42)$$

Dacă toți polii funcției $H(s)$ au partea reală negativă, adică $\operatorname{Re} s_i > 0$ pentru $i = 1, 2, \dots, l$, atunci fiecare din termenii $t^{j-1} \varepsilon^{-(\operatorname{Re} s_i)t}$ este integrabil de la 0 la ∞ . O combinație liniară finită de termeni integrabili cum este cea din relația (42) este de asemenea integrabilă. Deci relația (41) este satisfăcută.

Pentru partea *numai dacă* a demonstrației se pleacă de la transformata Laplace a funcției pondere care este

$$H(s) = \int_0^{\infty} h(t) \varepsilon^{-st} dt.$$

Dacă se utilizează inegalități uzuale se obține

$$|H(s)| \leq \int_0^{\infty} |h(t)| |\varepsilon^{-st}| dt.$$

Pentru $\operatorname{Re} s \geq 0$, $|\varepsilon^{-st}| \leq 1$, deci

$$|H(s)| \leq \int_0^{\infty} |h(t)| dt \text{ pentru } \operatorname{Re} s \geq 0.$$

Astfel, dacă relația (41) are loc, atunci $|H(s)|$ este mărginit pentru orice s pentru care $\operatorname{Re} s \geq 0$. Aceasta înseamnă că $H(s)$ nu poate să aibă poli cu partea reală nenegativă și cu aceasta demonstrația este completă.

Dacă se dă o fracție rațională proprie

$$H(s) = \frac{N(s)}{D(s)} \quad (43)$$

și se dorește să se știe dacă această funcție este transformata funcției de pondere a unei rețele MIMO stabile, este necesar să se găsească zerourile lui $D(s)$ și să se vadă dacă ele au partea reală negativă. Din fericire, pentru a rezolva problema stabilității nu este necesar să se cunoască exact pozițiile polilor ci numai dacă ei se găsesc în semiplanul stâng. Ne vom îndrepta atenția asupra unor criterii care furnizează tocmai această indicație, fără a fi necesar să se factorizeze $D(s)$.

Criteriul lui Routh

Dacă polii lui $H(s)$ se află cu toții în semiplanul stîng, atunci $D(s)$ trebuie să fie un polinom *strict Hurwitz*, așa cum a fost definit în paragraful 6.2. S-a arătat că o condiție necesară ca un polinom să fie strict Hurwitz este ca *toți* coeficienții să fie prezenți și să aibă același semn. Aceasta este o indicație prețioasă care permite eliminarea polinoamelor care nu sînt strict Hurwitz. Totuși, ne trebuie o bază — o condiție suficientă — pentru a selecta dintr-o listă de polinoame, polinoamele strict Hurwitz. Teorema următoare, care dă condiția necesară și suficientă pentru ca un polinom să fie strict Hurwitz, este o extindere a teoremei 16 din capitolul 7 referitoare la polinoamele Hurwitz.

Presupunem că $D(s)$ este un polinom de gradul n . Presupunem, fără a pierde din generalitate, că primul coeficient este pozitiv. Atunci,

$$D(s) = a_0 s^n + a_1 s^{n-1} + \dots + a_{n-1} s + a_n \quad (a_0 > 0). \quad (44)$$

Fie $\alpha(s)$ și $\beta(s)$ polinoamele formate luînd termenii din $D(s)$ din doi în doi, începînd cu $a_0 s^n$ și $a_1 s^{n-1}$ respectiv. Atunci,

$$\alpha(s) = a_0 s^n + a_2 s^{n-2} + a_4 s^{n-4} + \dots \quad (45a)$$

$$\beta(s) = a_1 s^{n-1} + a_3 s^{n-3} + a_5 s^{n-5} + \dots \quad (45b)$$

Se calculează apoi raportul $\alpha(s)/\beta(s)$ care se dezvoltă în fracție continuă, după cum urmează :

$$\frac{\alpha(s)}{\beta(s)} = \gamma_1 s + \frac{1}{\gamma_2 s + \frac{1}{\gamma_3 s + \frac{1}{\ddots + \frac{1}{\gamma_n s}}}} \quad (46)$$

Relațiile necesare sînt date de următoarea¹ :

Teorema 3. *Polinomul $D(s)$ este strict Hurwitz dacă și numai dacă $\gamma_i > 0$ pentru $i = 1, 2, \dots, n$. Se observă că toate numerele γ_i trebuie să fie pozitive; nici unul nu poate să fie zero la $i = n$. Dacă toate numerele γ_i sînt zero de la $i = k < n$ aceasta este o indicație că un polinom par*

¹) O demonstrație foarte clară se dă în R.J. Schwarz și B. Friedland: *Linear Systems*, McGraw-Hill, New York, 1965.

divide atât pe $\alpha(s)$ cât și pe $\beta(s)$ și deci pe $D(s)$. Acest polinom par poate să aibă o pereche de zerouri pe axa imaginară, sau patru zerouri complexe, dintre care două în semiplanul drept. În ambele cazuri $D(s)$ nu poate să fie strict Hurwitz.

Criteriul lui Hurwitz

Criteriul lui Routh reprezintă un criteriu ideal pentru a determina stabilitatea unei rețele atunci când se cunosc valorile numerice ale tuturor coeficienților lui $D(s)$. Dacă unul sau mai mulți coeficienți depind de niște parametri, aplicarea criteriului lui Routh conduce la dificultăți. În acest caz se va folosi o variantă a criteriului lui Routh.

Fie Δ_n determinantul format cu coeficienții lui $D(s)$ după cum urmează : pe prima linie se plasează a_1 în coloana 1, a_3 în coloana 2 ș.a.m.d. până la a_{1-2i} . Coloanele următoare, până la n , se completează cu zerouri. Pe linia a doua se plasează a_0 în coloana 1, a_2 în coloana 2 ș.a.m.d. până la a_{2i} . Coloanele următoare, până la n , se completează cu zerouri. Următoarea pereche de linii începe prin zerouri după care se repetă coeficienții de pe primele două linii, până la completarea a n coloane. A treia pereche de linii începe prin două zerouri după care se repetă coeficienții primei perechi de linii, până la completarea a n coloane. Se continuă acest proces până la completarea a n linii și n coloane. Determinantul dat mai jos va avea întotdeauna pe a_n în ultima linie și ultima coloană și zerouri pe toate celelalte linii din ultima coloană. (De ce ?)

$$\Delta_n = \begin{vmatrix} a_1 & a_3 & a_5 & a_7 & \dots & 0 & 0 \\ a_0 & a_2 & a_4 & a_6 & \dots & 0 & 0 \\ 0 & a_1 & a_3 & a_5 & a_7 & \dots & 0 & 0 \\ 0 & a_0 & a_2 & a_4 & a_6 & \dots & 0 & 0 \\ 0 & 0 & a_1 & a_3 & a_5 & \dots & 0 & 0 \\ 0 & 0 & a_0 & a_2 & a_4 & \dots & 0 & 0 \\ \vdots & \vdots & \vdots & \vdots & \vdots & \vdots & \vdots & \vdots \\ 0 & 0 & . & . & . & \dots & a_{n-1} & 0 \\ 0 & 0 & . & . & . & \dots & a_{n-2} & a_n \end{vmatrix} \quad (47)$$

Fie Δ_{n-1} determinantul obținut din Δ_n prin eliminarea ultimei linii și a ultimei coloane. Se continuă în acest mod obținând Δ_{n-k} care reprezintă determinantul rezultat prin eliminarea ultimei linii și ultimei coloane

din Δ_{n-k+1} . Se obțin astfel n determinanți Δ_i cunoscuți sub numele de *determinanți Hurwitz*, care formează baza pentru următoarea :

Teorema 4. *Polinomul $D(s)$ este strict Hurwitz dacă și numai dacă $\Delta_i > 0$ pentru $i = 1, 2, \dots, n$.*

Această teoremă, cunoscută sub numele de *criteriul lui Hurwitz*, se aplică ușor polinoamelor la care coeficienții depind de anumiți parametri.

Criteriul Liénard — Chipart

Cînd se aplică criteriul lui Hurwitz trebuie calculați un număr mare de determinanți. Orice procedeu care permite reducerea numărului de determinanți este bine venit. Acest lucru se va face prin următoarea teoremă, cunoscută sub numele *criteriul Liénard—Chipart* :

Teorema 5. *Polinomul $D(s)$ este strict Hurwitz dacă și numai dacă toate elementele sînt pozitive într-unul din șirurile următoare ¹⁾ :*

1. $a_n, a_{n-2}, a_{n-4}, \dots$ și $\Delta_n, \Delta_{n-2}, \Delta_{n-4}, \dots$
2. $a_n, a_{n-2}, a_{n-4}, \dots$ și $\Delta_{n-1}, \Delta_{n-3}, \Delta_{n-5}, \dots$
3. $a_n, a_{n-1}, a_{n-3}, \dots$ și $\Delta_n, \Delta_{n-2}, \Delta_{n-4}, \dots$
4. $a_n, a_{n-1}, a_{n-3}, \dots$ și $\Delta_{n-1}, \Delta_{n-3}, \Delta_{n-5}, \dots$

Se observă că pentru aplicarea acestui criteriu trebuie evaluați numai determinanți Hurwitz. Deoarece efortul necesar pentru a evalua un determinant crește odată cu dimensiunile acestuia este avantajos să se selecteze fie condițiile (2), fie condițiile (4) ale teoremei, deoarece ele nu conțin determinantul de ordinul cel mai mare, Δ_n .

Vom arăta cum se aplică criteriul Liénard-Chipart. Se consideră polinomul

$$D(s) = s^4 + 6s^3 + 11s^2 + (6 + k)s + ak$$

și se cere să se determine valorile parametrilor a și k pentru care $D(s)$ este strict Hurwitz. Vom soluționa problema utilizînd condiția (2) din criteriul Liénard-Chipart. Se observă că

$$a_n = a_4 = ak \quad (48a)$$

$$a_{n-2} = a_2 = 11. \quad (48b)$$

¹⁾ O demonstrație pentru această teoremă și pentru cea precedentă se poate găsi în F.R. Gantmaher : *Teoria matrif*, Gostehizdat, Moscova, 1955.

Determinanții Hurwitz necesari sînt :

$$\Delta_{n-1} = \Delta_3 = \begin{vmatrix} 6 & 6+k & 0 \\ 1 & 11 & ak \\ 0 & 6 & 6+k \end{vmatrix} = 360 + 54k - k^2 - 36ak \quad (49a)$$

$$\Delta_{n-3} = \Delta_1 = |6| = 6. \quad (49b)$$

Dacă trebuie satisfăcute condițiile (2) din teoremă, din relațiile (48) și (49) se obțin următoarele două inegalități pentru a și k :

$$ak > 0 \quad (50a)$$

$$360 + 54k - k^2 - 36ak > 0. \quad (50b)$$

Curbele $ak = 0$ și $360 + 54k - k^2 - 36ak = 0$ reprezintă frontierele regiunilor deschise în care relațiile (50a) și (50b) sînt satisfăcute. Regiunea în care relația (50a) este satisfăcută este reprezentată în fig. 9.26 a ; simi-

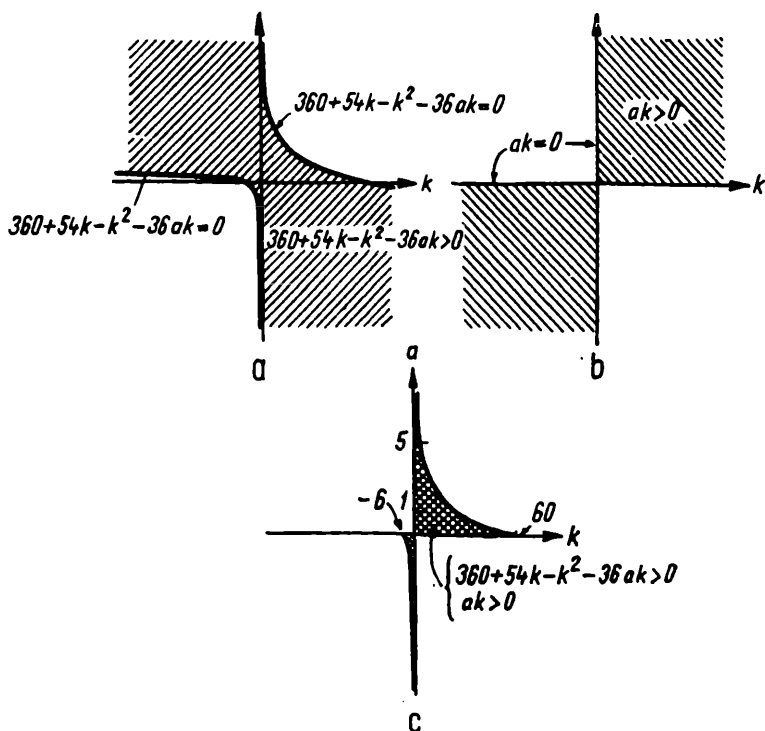


Fig. 9.26. Exemplu.

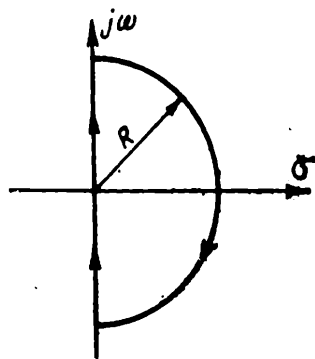
lar, relația (50 b) este satisfăcută în regiunea reprezentată în fig. 9.26 b. Ambele relații (50) sînt satisfăcute simultan pe intersecția acestor regiuni, ilustrată în fig. 9.26 c. Astfel, de exemplu, dacă se alege $k = 30$, atunci nu poate fi mai mare decît 1.

9.5. CRITERIUL LUI NYQUIST

Criteriul lui Routh și criteriul lui Liénard—Chipard sînt criterii relativ simple. Totuși, pentru a fi aplicate, trebuie să se cunoască numitorul $D(s)$ al funcției $H(s)$, ca funcție de s . Acest lucru nu este totdeauna posibil. Ar fi util să dispunem de o metodă de a verifica stabilitatea, care să plece de la valori experimentale sau de la trasarea aproximativă a modulului și fazei lui $H(j\omega)$. Un asemenea procedeu este dat de *criteriul lui Nyquist*, care este prezentat în cele ce urmează.

Trebuie să se stabilească dacă $H(s)$ are sau nu poli în semiplanul stîng. În acest scop, în criteriul lui Nyquist, se folosește principiul variației argumentului din teoria funcțiilor de variabilă complexă. Ne concentrăm atenția asupra determinării numărului de poli ai lui $H(s)$ din afara semiplanului stîng: alegem deci un contur care închide semiplanul drept și conține axa imaginară. Acest contur orientat, cunoscut sub numele de *conturul lui Nyquist*, este dat în fig. 9.27.

Fig. 9.27. Conturul Nyquist.



Pentru ca principiul variației argumentului să fie aplicabil, $H(s)$ nu trebuie să aibă poli sau zerouri pe contur. Deci, presupunem mai întîi că $H(s)$ nu are poli pe axa imaginară. Tot așa, deoarece dorim să-l facem pe R să tindă la ∞ trebuie să presupunem că $H(s)$ este o funcție regulată și diferită de zero la ∞ . Vom reveni asupra acestei presupuneri mai tîrziu și vom arăta că presupunerea referitoare la zerouri poate fi eliminată.

Considerăm acum transformarea conformă a acestui contur, realizată de funcția $H(s)$; adică, hodograful lui $H(s)$ cînd s descrie conturul din

fig. 9.27. Aceasta poate fi o curbă cum este cea din fig. 9.28 a. Deoarece $H(s)$ este o funcție a rețelei, ea este reală pe axa reală și deci hodograful este simetric față de axa reală.

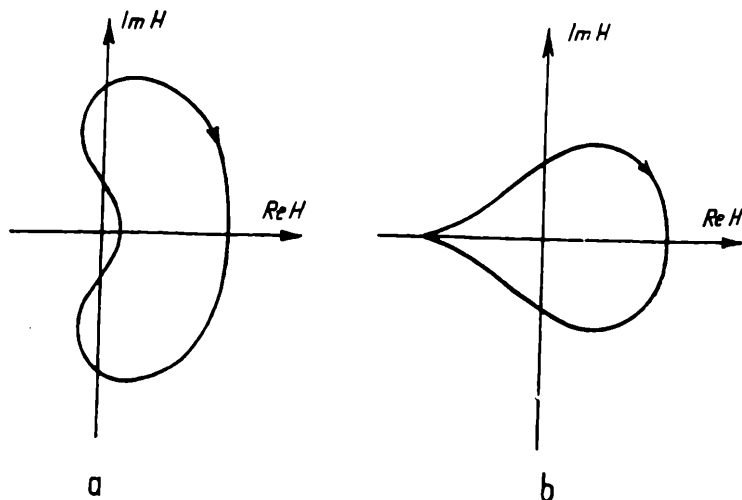


Fig. 9.28. Imaginile conturului din fig. 9.27.

Fie N_0 și N_p numărul de zerouri și respectiv de poli ai funcției $H(s)$ care se află în conturul orientat Nyquist C . În conformitate cu principiul argumentului

$$\Delta \arg H(s)|_C = 2\pi(N_p - N_0); \quad (51)$$

adică, variația argumentului funcției $H(s)$ cind s parcurge conturul C , care este orientat în sens negativ, este un multiplu de 2π egal cu diferența dintre numărul de poli și numărul de zerouri ale lui $H(s)$ din conturul C (ținind seama de ordinele lor de multiplicitate).

Să vedem cum arată hodograful lui $H(s)$ dacă variația argumentului este diferită de zero. Este evident că hodograful trebuie să ocolească originea din planul $H(s)$ dacă apar variații ale argumentului. Acesta este cazul în fig. 9.28.b. Dar în fig. 9.28.a nu apare nicio variație a argumentului cind se parcurge hodograful o singură dată. Cu alte cuvinte, hodograful trebuie să închidă originea din planul $H(s)$ dacă apare o variație a argumentului lui $H(s)$ cind se parcurge conturul Nyquist C . Dacă originea este închisă în hodograf, ea este ocolită de un număr întreg de ori. Fie N_{co} numărul de ocoliri ale originii de către hodograf în sensul acelor de ceasornic.

Atunci

$$\Delta \arg N(s)|_C = -2\pi N_{co}. \quad (52)$$

Substituind această expresie în relația (51) se obține

$$N_{civ} = N_0 - N_p. \quad (53)$$

Așa dar, dacă hodograful lui $H(s)$ nu include originea, se poate trage concluzia că $H(s)$ are tot atâția poli cîte zerouri în semiplanul drept. Dar noi dorim să știm cînd există poli în semiplanul drept. Pentru a putea aplica acest test trebuie să aflăm, pe alte căi, cîte zerouri ale funcției $H(s)$ se află în semiplanul drept, în particular dacă nu există zerouri în semiplanul

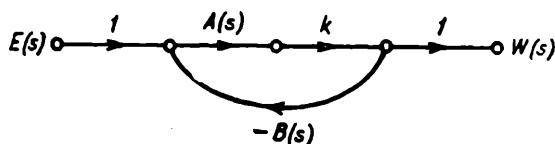


Fig. 9.29. Graful de trecere a semnalului pentru o rețea cu reacție.

drept ceea ce înseamnă că $H(s)$ este o funcție de fază minimă. Dar această problemă nu este prea simplă. Totuși procedeul nu trebuie abandonat deoarece dificultatea poate fi ocolită. Ceea ce trebuie să facem este să găsim o altă funcție care să conțină pe $D(s)$, polinomul de la numitorul funcției $H(s)$, și un alt factor, la care se cunoaște dispunerea zerourilor.

Presupunem că graful de trecere a semnalelor pentru rețeaua dată s-a redus la un graf echivalent avînd forma din fig. 9.29. Aplicînd formula (16) care dă amplificarea grafului rezultă funcția de transfer respectivă

$$H(s) = \frac{kA(s)}{1 + kA(s)B(s)}. \quad (54)$$

Trebuie să stabilim de unde provin polii lui $H(s)$. Se observă mai întîi că raportul de întoarcere T și diferența de întoarcere F pentru parametrul k sînt :

$$T(s) = -kA(s)B(s) \quad (55a)$$

$$F(s) = 1 + kA(s)B(s). \quad (55b)$$

Ambele funcții au aceiași poli. Dar polii funcției de transfer $H(s)$ sînt : fie zerourile diferenței de întoarcere $F(s)$, care nu sînt comune cu zerourile lui $A(s)$, fie polii lui $A(s)$, care sînt comuni cu zerourile lui $B(s)$. În ultimul caz $T(s)$ și $F(s)$ nu vor avea drept poli polii lui $A(s)$. Deci $H(s) = kA(s)/F(s)$ va avea acești poli.

Să presupunem că, chiar dacă $B(s)$ poate avea zerouri comune cu polii lui $A(s)$, acestea nu sînt în semiplanul drept sau pe axa imaginară. Deci orice pol al funcției de transfer $H(s)$ din semiplanul drept, sau de pe axa imaginară, trebuie să fie un zero al diferenței de întoarcere $F(s)$. Altfel spus : *Dacă toate zerourile funcției $F(s)=1+kA(s)B(s)$ se găsesc în semiplanul stîng, atunci toți polii funcției de transfer $H(s)$ se găsesc în semiplanul stîng, cu condiția ca $B(s)$ să nu aibă, în semiplanul drept sau pe axa imaginară, zerouri care să coincidă cu polii lui $A(s)$.* (În acest enunț nu putem spune „Dacă și numai dacă toate zerourile lui $F(s)=1+kA(s)B(s)$ sînt în semiplanul stîng ...” De ce?).

Pe baza celor arătate mai înainte, în loc să se caute pozițiile polilor funcției de transfer $H(s)$ se pot căuta pozițiile zerourilor diferenței de întoarcere $F(s)=1+kA(s)B(s)$.

Pentru a aplica funcției $F(s)$ principiul variației argumentului presupunem că $F(s)$ nu are poli sau zerouri pe axa imaginară și este o funcție regulată și diferită de zero la infinit. Să examinăm acum locul descris de $F(s)$ cînd s parcurge conturul Nyquist C . Un aspect tipic este dat în fig.9.30a, unde prin linie întreruptă s-a reprezentat porțiunea corespunzătoare la $\omega < 0$. Fic N_{cw} numărul de ocoliri ale originii, în sensul acelor de ceasornic, de către locul lui $F(s)$. Atunci, ca și mai înainte,

$$N_{cw} = N_0 - N_p, \quad (56)$$

unde N_0 și N_p reprezintă numărul de zerouri și respectiv de poli ai funcției $F(s)$ din semiplanul drept.

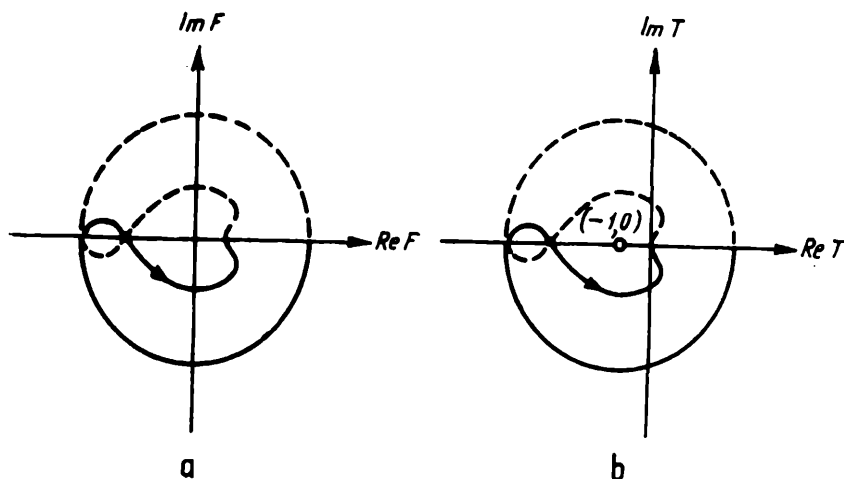


Fig. 9.30. Diagrama Nyquist.

Se observă că originea din planul F corespunde punctului de coordonate $(-1,0)$ din planul T ; adică $F(s)=0$ implică $T(s) = -1$. Deci numărul de ocoliri ale originii, de către locul lui $F(s)$ este egal cu numărul de ocoliri ale punctului $(-1,0)$, de către locul lui $T(s)$. Acest fapt este ilustrat în fig. 9.30 *b*. Dar, așa cum se vede din relația (54); diferența de întoarcere și raportul de întoarcere au aceiași poli. Deci relației (56) i se poate da o nouă interpretare și anume: N_{cw} reprezintă numărul de ocoliri ale punctului $(-1,0)$ în sensul acelor de ceasornic, de către locul lui $T(s)$, iar N_p este numărul polilor lui $T(s)$ din semiplanul drept.

Discuții și ipoteze

Revenim acum asupra unor ipoteze făcute anterior cu privire la $F(s)$. Una din ele a fost că $F(s)$ nu are zerouri pe axa imaginară și la infinit. Aceasta nu este o restricție serioasă, deoarece din alura hodografului se poate spune dacă este sau nu așa. Dacă locul lui $F(s)$ trece prin origine, sau, ceea ce este același lucru, dacă locul lui $T(s)$ trece prin punctul $(-1,0)$, atunci se va ști că $F(s)$ are un zero plasat pe curba Nyquist, fie pe axa imaginară fie la infinit, depinzând de valoarea lui s corespunzătoare punctului $(-1,0)$.

Dacă trecerea hodografului prin punctul $(-1,0)$ are loc pentru $s = \infty$, funcția $F(s)$ va avea un zero la infinit. Dar lucrul acesta nu prezintă importanță deoarece numai zerourile de la distanța finită influențează stabilitatea. Totuși va apare o problemă cu privire la evaluarea numărului de încercuiri ale punctului $(-1,0)$. Vom examina o ușoară modificare a hodografului pentru a elucida și această problemă.

O a doua posibilitate este aceea ca hodograful să treacă prin punctul $(-1,0)$ pentru o valoare finită a lui $s = j\omega$. În acest caz $F(s)$ va avea un zero pe axa imaginară $j\omega$. Dar acest fapt ne furnizează informația pe care o căutăm; el ne spune că nu toate zerourile lui $F(s)$ se află în semiplanul stîng, cel puțin unul fiind plasat pe axa imaginară $j\omega$.

O altă presupunere anterioară cu privire la $F(s)$ a fost că $F(s)$ nu are poli pe axa imaginară sau la infinit. Aceeași presupunere se aplică și pentru $T(s)$, deoarece $T(s)$ și $F(s)$ au aceiași poli. Valabilitatea acestei presupuneri se poate constata ușor tot din comportarea hodografului. Astfel, dacă locul lui $T(s)$ devine nemărginit, atunci $F(s)$ trebuie să aibă un pol pentru valoarea corespunzătoare a lui s .

Pozițiile acestor poli sînt cunoscute. (Este adevărat acest lucru dacă $T(j\omega)$ se cunoaște din date experimentale?) Vom presupune apoi că ordinul de multiplicitate al acestor poli este cunoscut. Principiul argumentului cere ca funcția pentru care se aplică să nu aibă poli sau zerouri pe contur. Dar ce se întîmplă dacă se constată că $F(s)$ are astfel de poli sau zerouri?

Pentru zerouri pe axa imaginară, la distanță infinită, problema a fost rezolvată. Să examinăm cazul polilor de pe axa imaginară la distanță finită. Dacă pe conturul Nyquist apar astfel de poli, conturul poate fi modificat prin introducerea unor mici semicercuri, de rază tinzând spre zero, plasate în semiplanul drept și cu centrele în poli, așa cum se arată în fig. 9.31 *a*. Modificarea corespunzătoare a hodografului lui $T(s)$ este ilustrată în fig. 9.31 *b*.

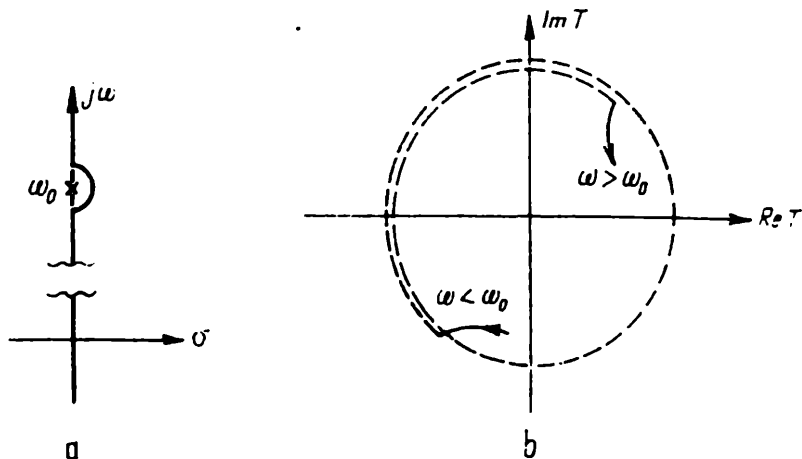


Fig. 9.31. Modificările conturului și diagramei Nyquist

Partea cu linie continuă corespunde valorilor lui $s=j\omega$ pentru ω mai mic sau mai mare decât ω_0 , unde $s=j\omega_0$ reprezintă polul. Când ω se apropie de ω_0 de jos în sus, hodograful se duce la infinit sub un anumit unghi. În fig. 9.31 *b* acest fenomen apare în cadranul trei. Când s ia valori pe semicercul de rază ce tinde spre zero, $T(s)$ parcurge un arc de cerc de $m\pi$ radiance tinde la infinit, unde m este ordinul de multiplicitate al polului. Acest arc de cerc este orientat în sensul acelor de ceasornic, așa cum se arată prin linii întrerupte în fig. 9.31 *b*. (Propunem cititorului să verifice aceasta aproximind $T(s)$ în vecinătatea polului, prin termenul dominant al dezvoltării în serie Laurent.) Arcul de cerc de „rază infinită“ din planul T unește capetele hodografului lui $T(s)$ care se obține pentru s parcurgind axa imaginară, apropiindu-se sau depărtându-se de polul de pe axa imaginară. Acum se poate evalua numărul de ocoliri ale punctului (-1.0) chiar dacă $T(s)$ are poli pe axa imaginară. Trebuie notat că aceste pătrunderi în semiplanul drept prin arce de cerc de rază tinzând spre zero nu afectează numărul de zerouri ale lui $F(s)$ din semiplanul drept evaluat cu relația (56). De ce?

În sfârșit, se consideră cazul cind $F(s)$ are un pol sau un zero la infinit. În cazul unui pol, $T(s)$ are tot un pol. În acest caz trebuie să examinăm comportarea lui $T(s)$ pe semicercul de rază tinzând la infinit, care se folo-

sește pentru a închide conturul Nyquist din fig. 9.27. Ca și în cazul polilor la distanță finită, hodograful lui $T(s)$ se duce la infinit cind s tinde la infinit de-a lungul axei imaginare. Corespunzător semicercului din conturul Nyquist, hodograful lui $T(s)$ — care de data aceasta tinde la infinit — va descrie în sensul acelor de ceasornic un arc de cerc de $n\pi$ radiani, unde n reprezintă ordinul de multiplicitate al polului de la infinit. Acest hodograf este reprezentat în fig. 9.32 *a*.

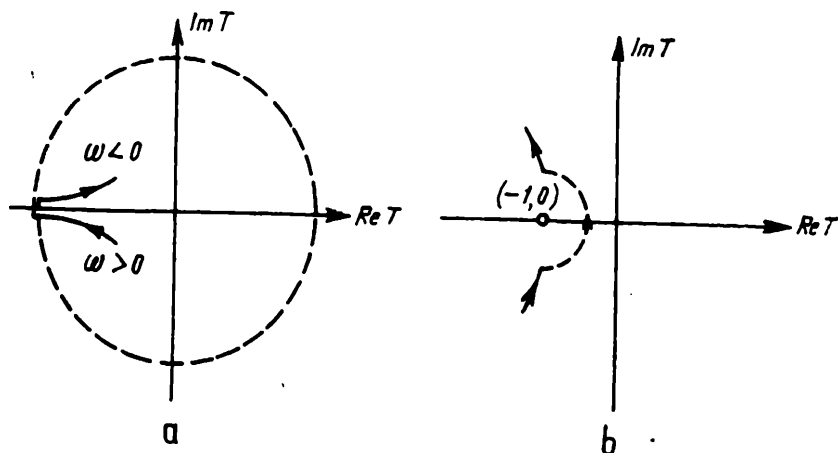


Fig. 9.32. Diagramele corespunzătoare unui pol (a) și unui zero (b) la infinit.

În cazul cind $F(s)$ are un zero la infinit, în punctul respectiv $T(s) = -1$ și deci hodograful lui $T(s)$ trece prin punctul $(-1, 0)$. În acest caz se consideră limita arcului de cerc din conturul Nyquist cind raza sa tinde la infinit. Hodograful lui $T(s)$ va descrie un arc de cerc de rază ce tinde spre zero în jurul punctului $(-1, 0)$, parcurgind în sensul acelor de ceasornic $n\pi$ radiani, unde n reprezintă ordinul de multiplicitate a zeroului de la infinit. Acest hodograf este reprezentat în fig. 9.32 *b*.

Teorema lui Nyquist

Hodograful lui $T(s)$ în cazul general va fi o combinație a celor ilustrate în fig. 9.30*b*, 9.31*b* și 9.32. Acest hodograf modificat, în care se manifestă efectele polilor lui $T(s)$ sau $F(s)$ de pe axa imaginară și a polilor sau zerourilor lui $F(s) = 1 + T(s)$ de la infinit, se numește *diagrama Nyquist*. Numărul ocolirilor punctului $(-1, 0)$ în sensul acelor de ceasornic, care intervine în relația (56), se referă tocmai la diagrama Nyquist.

Cele arătate anterior pot fi formulate pe scurt într-o teoremă numită *criteriul lui Nyquist*.

Teorema 6. *O rețea avînd funcția de transfer*

$$H(s) = \frac{kA(s)}{1 + kA(s)B(s)}$$

este MIMO stabilă (a) dacă nici un pol al lui $A(s)$ din semiplanul drept sau de pe axa imaginară nu este și zero al lui $B(s)$ și (b) dacă diagrama Nyquist a lui $T(s) = kA(s)B(s)$ nu trece prin punctul $(-1,0)$ și nu-l ocolește de $-N_p$ ori în sensul acelor de ceasornic¹⁾, unde N_p este numărul polilor lui $T(s)$ din semiplanul drept.

Menționăm că această teoremă reprezintă numai o condiție suficientă. Ea nu este și necesară deoarece zerourile lui $A(s)$ din semiplanul drept sau pe axa imaginară pot să compenseze zerourile din semiplanul drept sau de pe axa imaginară ale funcției $1 + T(s)$, dacă există astfel de zerouri. Desigur, dacă se știe că $A(s)$ are zerouri numai în semiplanul stîng, această compensare nu poate avea loc și condițiile teoremei devin necesare și suficiente. În orice caz, din punct de vedere practic, vom considera o rețea ca instabilă — și nu ca potențial instabilă — dacă nu sînt satisfăcute condițiile teoremei. De ce?

Dacă se folosește acest criteriu pentru a obține informații cu privire la zerourile funcției $F(s)$ pe baza relației (56), atunci trebuie să știm că $T(s)$ nu are poli în semiplanul drept; sau dacă are, trebuie să știm cîți sînt. Există un caz în care putem ști precis că $T(s)$ nu are poli în semiplanul drept, acesta este cazul cînd $A(s)B(s)$ poate fi scris sub formă de produs de funcții ale unei rețele pasive.

În sfîrșit, dacă diagrama Nyquist pentru $T(s)$ reprezintă elementul cheie pentru a aprecia stabilitatea unei rețele, atunci, trebuie să fim siguri că nici un pol al lui $A(s)$ din semiplanul drept sau de pe axa imaginară nu coincide cu zerourile lui $B(s)$. Există un caz în care putem ști cu certitudine că nu se poate întîmpla acest lucru și anume atunci cînd numărătorul lui $B(s)$ este constant.

Analiza stabilității pe care am prezentat-o anterior se bazează pe modelul cu o singură buclă de reacție din fig. 9.29. Criteriul lui Nyquist poate fi însă extins și la grafurile cu mai multe bucle de reacție. Aceasta implică trasarea a cîteva diagrame Nyquist. Nu vom prezenta aici această extindere.

¹⁾ Din relația (56), numărul de zerouri N_0 din semiplanul drept al funcției $1+T(s)$ este $N_{00}+N_p$. Condițiile teoremei corespund la $N_0=0$ sau $N_{00}=-N_p$. O condiție echivalentă ar fi: „... ocolește de N_0 ori în sens opus acelor de ceasornic.”

Exemplu. Să ilustrăm criteriul de stabilitate a lui Nyquist printr-un exemplu. Vom parcurge detaliat acest exemplu și vom arăta ce aproximații pot interveni.

Fie amplificatorul cu trei etaje RC cu reacție dependentă de frecvență din fig. 9.33.

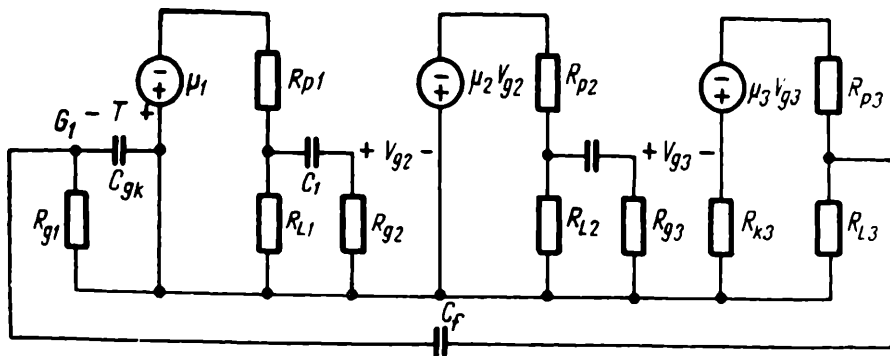


Fig. 9.33. Exemplu pentru trasarea diagramei Nyquist.

În acest exemplu vom încerca să arătăm avantajele criteriului lui Nyquist fără să calculăm raportul de întoarcere $T(s)$. În schimb vom estima pe $T(s)$ recurând la o serie de aproximații. Această rețea este un model simplificat al unui amplificator cu tuburi cu vid, în care capacitățile dintre electrozi au fost neglijate pentru a simplifica exemplul.

Această rețea poate fi ușor modelată printr-un graf cu o singură buclă de reacție de tipul celui considerat. Valoarea lui k va fi $\mu_1\mu_2\mu_3$ iar $A(s)B(s)$ se poate scrie ca un produs de funcții ale unei rețele pasive, ceea ce nu vom face aici. Așadar putem considera $N_p = 0$ și putem proceda mai departe știind că $N_0 = N_{cw}$. Mai mult, $B(s) \equiv 1$; deci polii lui $A(s)$ nu pot fi comuni cu zerourile lui $B(s)$. Propunem cititorului să se convingă singur de acest lucru.

Interesul se concentrează deci asupra axei imaginare $j\omega$; din acest motiv vom opera cu fazorii de regim permanent în locul transformatorilor Laplace. Amintindu-ne definiția raportului de întoarcere dată pe graf, trebuie să întrerupem bucla de reacție și să aplicăm un semnal egal cu unitatea, la nodul din dreapta în perechea de noduri astfel formată. Semnalul care se întoarce la nodul din stînga al acestei perechi de noduri va fi $T(j\omega)$. Vom urmări aceste operații pe rețea. Presupunem că bucla de reacție este întreruptă la intrarea primului etaj de amplificare iar tensiunea V_{g1} se ia egală cu unitatea. Se observă că aceasta echivalează cu înlocuirea primei surse controlate de tensiune printr-o sursă independentă de tensiune de valoare μ_1 . Aceste condiții sînt realizate în rețeaua din fig. 9.34 pentru a calcula raportul de întoarcere.

Aici s-a eliminat sursa externă de tensiune, iar prima sursă controlată de tensiune se presupune a fi o sursă independentă avînd fazorul tensiunii μ_1 .

Se observă că sensul de referință pentru T s-a ales conform definiției, adică valoarea cu semn schimbat a semnalului care se întoarce în nodul despicat. Este ușor de văzut cum trebuie interpretat acest lucru când se determină $T(j\omega)$ prin măsurări experimentale în rețeaua respectivă.

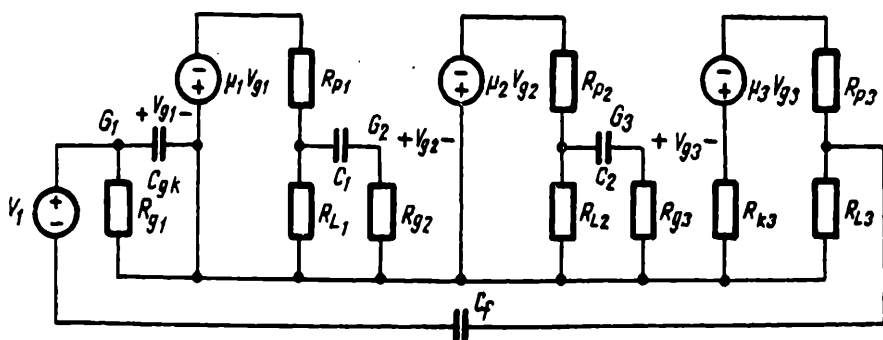


Fig. 9.34. Evaluarea raportului de întoarcere.

Pentru a construi diagrama Nyquist se împarte banda de frecvențe $0 \leq \omega < \infty$ într-un număr de benzi în care se fac aproximații convenabile. La frecvențe foarte joase semnalul care se întoarce va fi foarte mic, datorită capacităților de cuplaj C_1 , C_2 și C_f . Influența capacității C_{pk} poate fi neglijată în această bandă. Apar trei rețele cu cuplaj RC în buclă. Introducem notația

$$R_e = \frac{R_L R_o}{R_L + R_o}, \quad (57)$$

cu indici corespunzători pentru fiecare etaj. În acest caz raportul tensiunilor pentru fiecare etaj va fi

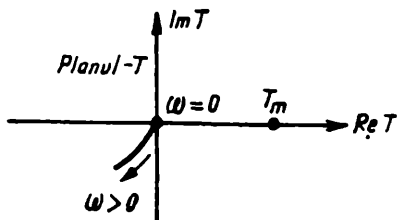
$$\frac{-\mu R_e C s}{(R_e + R_p) C s + (R_p + R_L)/(R_o + R_L)}, \quad (58)$$

cu indicii corespunzători. Așadar raportul de întoarcere va fi

$$\begin{aligned} T(s) = & \frac{\mu_1 R_{e1} C_1 s}{(R_{e1} + R_{p1}) C_1 s + (R_{p1} + R_{L1})/(R_{o2} + R_{L1})} \\ & \times \frac{\mu_2 R_{e2} C_2 s}{(R_{e2} + R_{p2}) C_2 s + (R_{p2} + R_{L2})/(R_{o3} + R_{L2})} \\ & \times \frac{\mu_3 R_{e3} C_3 s}{R_{e3} + R_{p3}) C_3 s + (R_{p3} + R_{L3})/(R_{o1} + R_{L3})} \end{aligned} \quad (59)$$

(Semnul minus dispăre datorită sensului de referință pentru T .) La limită, pentru $\omega \rightarrow 0$, faza fiecărui factor din relația (59) va fi $\pi/2$ radiani. Așadar, pentru $\omega \rightarrow 0$ faza lui $T(j\omega)$ tinde asimptotic la $3\pi/2$ radiani iar modulul tinde la zero. Deci porțiunea corespunzătoare frecvențelor joase a hodografului lui $T(j\omega)$ arată ca în fig. 9.35.

Fig. 9.35. Comportarea hodografului lui $T(j\omega)$ la frecvențe joase.



Să presupunem acum că frecvența limită superioară $1/R_1 C_{gk}$ este mult mai mare decât frecvențele limită superioare ale celor trei etaje RC. Va exista deci o bandă de frecvențe medii în care comportarea rețelei din fig. 9.34 poate fi aproximată prin comportarea rețelei din fig. 9.36.

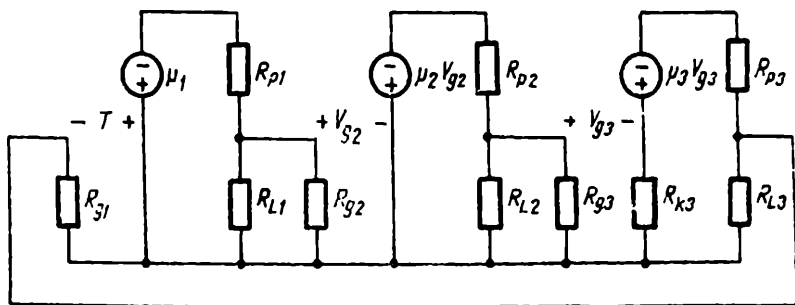


Fig. 9.36. Aproximarea la frecvențe medii.

Pentru această rețea T se calculează foarte ușor. Este suficient pentru aceasta să se negligeze termenii constanți față de termenii care depind de frecvență la numitorii fracțiilor din relația (59).

Rezultatul va fi

$$T = \mu_1 \mu_2 \mu_3 \frac{R_{e1}}{R_{p1} + R_{e1}} \frac{R_{e2}}{R_{p2} + R_{e2}} \frac{R_{e3}}{R_{p3} + R_{e3}} = T_m. \quad (60)$$

Acesta este un număr real și pozitiv. Așadar hodograful lui T corespunzător frecvențelor medii se reduce la un punct pe axa reală pozitivă. Acesta este punctul T_m din fig. 9.37.

La frecvențe înalte se mai poate folosi încă fig. 9.36 introducînd însă și efectul capacității C_{pk} . Deoarece C_{pk} este în paralel cu R_{13} , al treilea factor din relația (60) va trebui modificat înlocuindu-l prin următorul :

$$\frac{R_{e3}}{R_{e3} + R_{p3} + j\omega C_{pk} R_{e3} R_{p3}}. \quad (61)$$

Așadar argumentul lui T va tinde asimptotic la $-\pi/2$. Porțiunea din hodograf corespunzătoare frecvențelor înalte va avea deci aspectul din fig. 9.37.

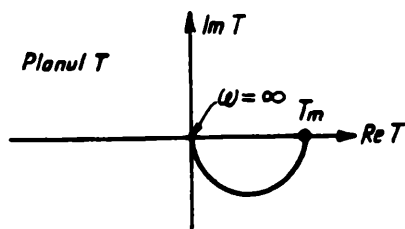


Fig. 9.37. Comportarea lui $T(j\omega)$ la frecvențe înalte.

Putem trasa acum hodograful lui $T(j\omega)$ pentru $0 \leq \omega < \infty$ care va avea, în mare, aspectul din fig. 9.38. Pentru o aproximare și mai bună vor trebui calculate câteva puncte.

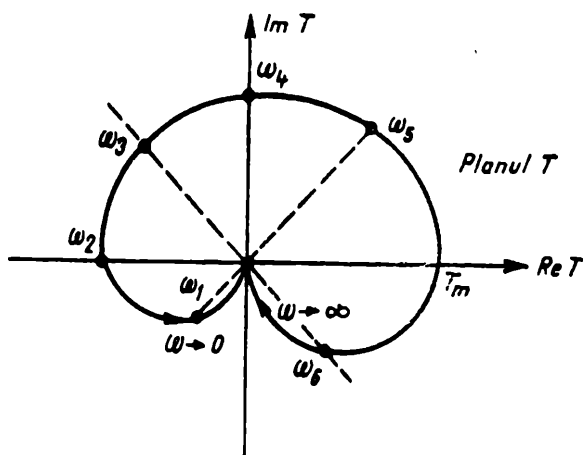


Fig. 9.38. Aproximarea hodografului lui T .

Vom presupune, pentru simplitate, că cele trei frecvențe limită ale celor trei etaje sînt fie identice, fie mult diferite între ele. În primul caz știm că la frecvența limită comună, fiecare circuit introduce un defazaj de $\pi/4$

și o atenuare de 3 dB. Acest punct, notat cu ω_3 în fig. 9.38, trebuie să fie cu 9 dB sub valoarea $20 \log T_m$. Similar, se poate găsi frecvența la care fiecare circuit introduce un defazaj de $\pi/3$.

La această frecvență fiecare numitor din relația (59) contribuie cu $\pi/6$ și se găsește ușor că $\omega_2 = 0,58 \omega_3$. La această frecvență fiecare factor introduce o atenuare de aproximativ 4 dB. Așadar $T(j\omega_2)$ va fi cu 12 dB sub valoarea $20 \log T_m$. Frecvența ω_2 , notată în fig. 9.38 corespunde intersecției hodografului cu axa reală negativă. Celelalte puncte ω_1 , ω_4 , ω_5 , ω_6 se calculează similar. Fiecare caz în parte se propune cititorului drept problemă. (v. Problema P.25).

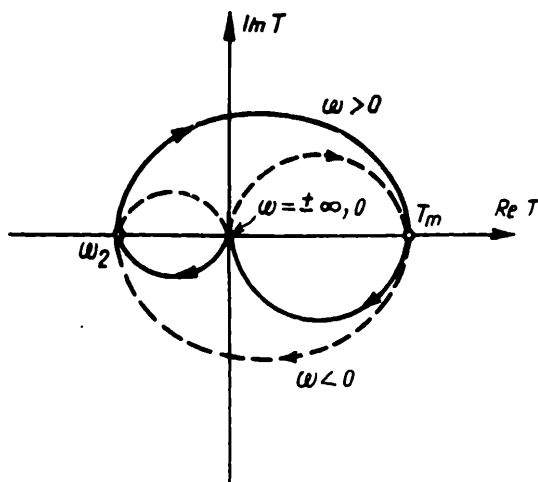


Fig. 9.39. Hodograful complet al lui T .

Odată cunoscut hodograful pentru valori pozitive ale lui ω , diagrama poate fi completată prin simetrie în raport cu axa reală. Diagrama completă pentru acest exemplu se dă în fig. 9.39.

Este evident că stabilitatea sistemului este determinată de valoarea lui $T(j\omega_2)$. Dacă modulul respectiv este mai mare sau egal cu 1, sistemul este instabil. În astfel de cazuri sistemul poate fi făcut stabil prin modificarea valorilor unor elemente. Chiar dacă punctul $(-1,0)$ nu este inclus în hodograful lui T și hodograful nu trece prin acest punct, apropierea curbei de acest punct dă o măsură a „stabilității relative”. Se obține astfel o indicație cu privire la apropierea unui pol de axa $j\omega$.

Această idee poate fi exprimată într-o manieră cantitativă definind marginile de stabilitate, *marginia pentru amplificare* și *marginia pentru fază*. De fapt diagrama Nyquist conduce la multe alte concepte deosebit de utile în proiectare, așa cum este cel de *stabilitate condiționată*. Totuși, vom considera terminată prezentarea în acest punct, lăsând astfel de extinderi pe seama lucrărilor de teoria reglajului automat, care tratează detaliat sistemele cu reacție.

PROBLEME

P.1. Să se determine indexul pentru fiecare graf de fluență a semnalelor din fig. 9. P. 1. Numerele atașate laturilor reprezintă valorile numerice ale transmitanțelor respective.

P. 2. Reducind fiecare din grafurile de fluență a semnalelor din fig. 9. P. 1. să se determine amplificarea grafului.

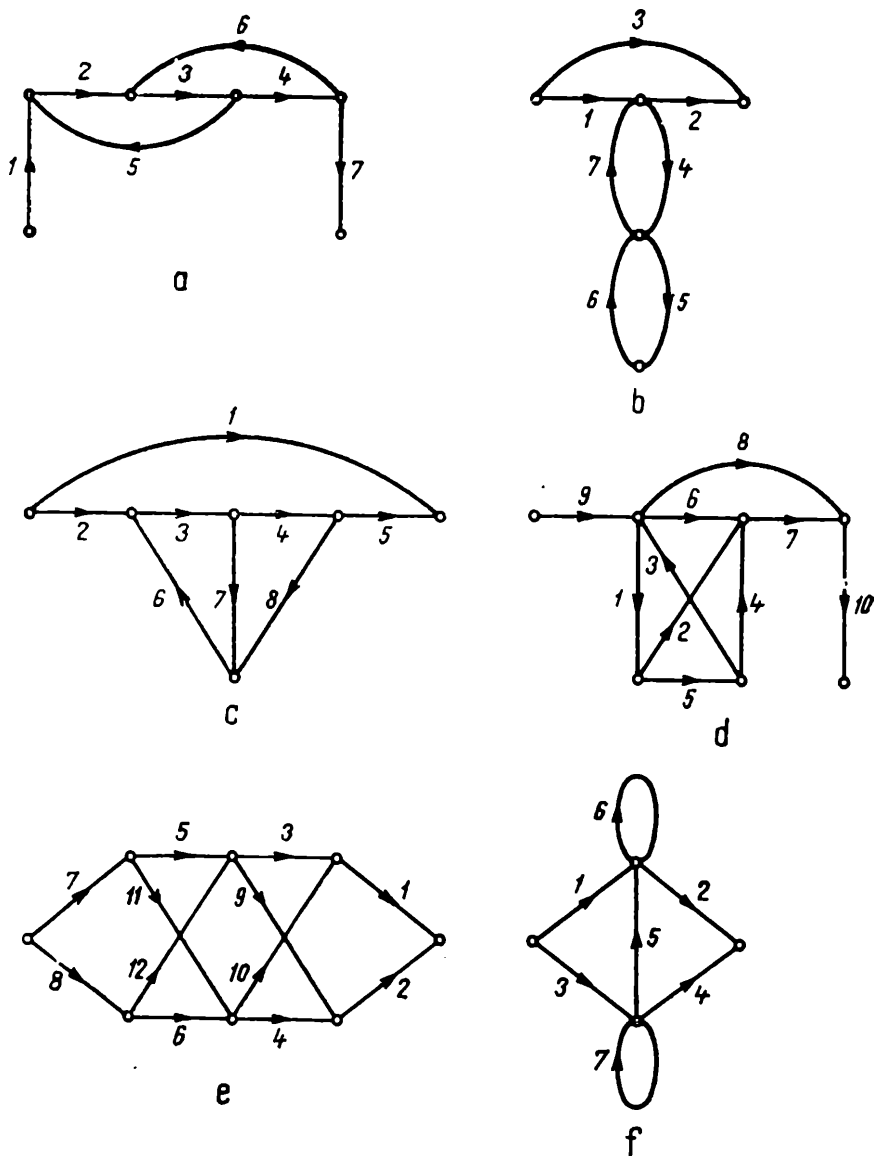


Fig. 9.P.1

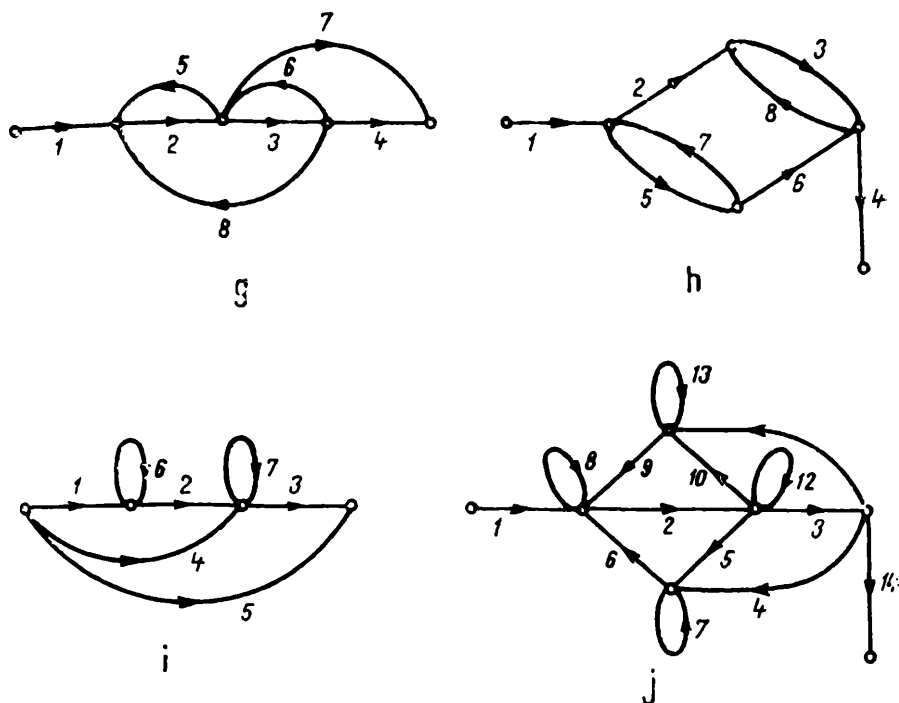


Fig. 9.P.1

P. 3. Să se determine amplificarea pentru fiecare graf de fluență a semnalului în fig. 9. P. 1, aplicind formula.

P. 4. Fiecare graf de fluență a semnalului din fig. 9. P. 1 are un nod sursă și un nod sarcină.

a) Să se inverseze calea de la sursă la sarcină în fiecare graf.

b) Să se determine amplificarea pentru graful inversat și de aici amplificarea grafului original.

P. 5. Să se reducă fiecare graf de fluență a semnalului din fig. 9. P. 1 la un graf esențial. Apoi să se evalueze amplificarea folosind formula. Să se compare cu valorile obținute la problema 2 și 3.

P. 6. În graful din fig. 9.12a să se inverseze bucla $V_a V_b V_2 V_a$. Să se găsească amplificarea grafului I/V_1 și să se verifice că este aceeași cu cea găsită în text.

P. 7. Să se deseneze un graf de fluență a semnalului pentru rețelele din fig. 9. P. 7. Să se reducă graful de trecere a semnalului pentru a găsi funcția de transfer V_2/V_1 .

P. 8. Să se rezolve următoarele sisteme de ecuații pentru x_1 folosind grafurile de fluență a semnalului. De asemenea, să se găsească x_1 prin regula lui Cramer (atît ca o verificare cît și pentru a compara volumul de muncă necesar.)

$$(a) \begin{bmatrix} 2 & 1 & -1 & 3 \\ 4 & 1 & 0 & -1 \\ 1 & 0 & 1 & 2 \\ -1 & -7 & 2 & 3 \end{bmatrix} \begin{bmatrix} x_1 \\ x_2 \\ x_3 \\ x_4 \end{bmatrix} = \begin{bmatrix} 2 \\ 1 \\ 0 \\ 0 \end{bmatrix}$$

$$(b) \begin{bmatrix} 1 & 1 & 0 & 2 \\ 2 & 5 & 1 & -1 \\ 1 & 0 & 3 & -1 \\ 0 & 1 & 0 & 2 \end{bmatrix} \begin{bmatrix} x_1 \\ x_2 \\ x_3 \\ x_4 \end{bmatrix} = \begin{bmatrix} 0 \\ 1 \\ -1 \\ 0 \end{bmatrix}$$

$$(c) \begin{bmatrix} -4 & -1 & 2 & 0 \\ 1 & 3 & 0 & -1 \\ -3 & -1 & 6 & 1 \\ 1 & 0 & 0 & -2 \end{bmatrix} \begin{bmatrix} x_1 \\ x_2 \\ x_3 \\ x_4 \end{bmatrix} = \begin{bmatrix} 2 \\ -1 \\ 1 \\ -2 \end{bmatrix}$$

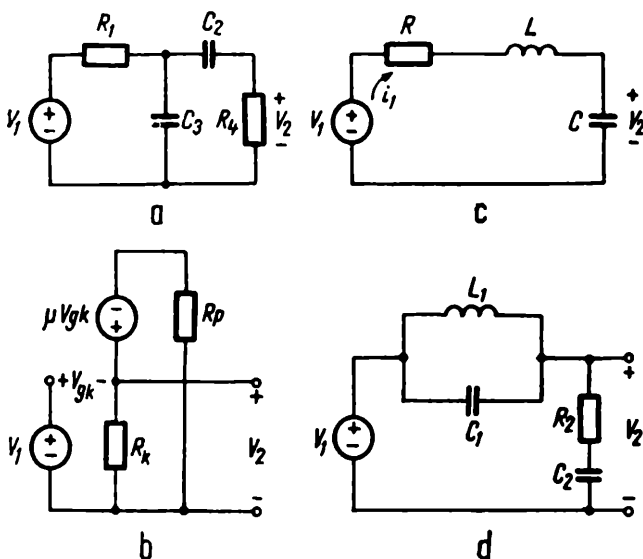


Fig. 9.P.7

P. 9. Să se găsească funcția de transfer V_2/V_1 pentru rețeaua din fig. 9.19 a cărui graf de fluență a semnalelor este dat în fig. 9.20 prin : (a) reducerea grafului de fluență a semnalului, (b) operare asupra matricii de conexiuni, (c) aplicarea formulei amplificării și (d) prin folosirea ecuațiilor cu variabile mixte.

P. 10. Să se găsească impedanța de transfer V_3/I_0 pentru rețeaua din fig. 9.21 cu graful de fluență a semnalului din fig. 9.22 prin : (a) reducerea grafului de semnal; (b) operare asupra matricii de conexiuni; (c) aplicarea formulei amplificării și (d) prin folosirea ecuațiilor pe noduri.

P. 11. Să se determine graful de fluență a semnalului pentru fiecare din rețelele din fig. 9. P. 11a la d. Să se folosească circuitul echivalent al triodei prezentat în fig. 9. 11e. Apoi să se evalueze amplificările grafurilor.

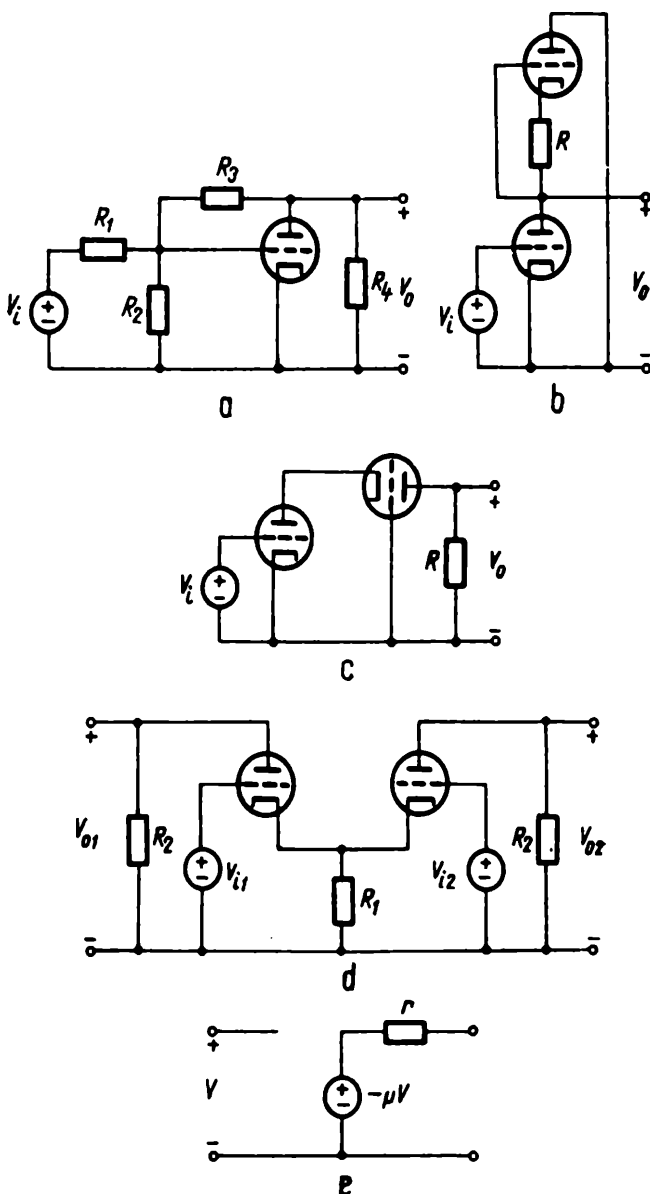


Fig. 9.P.11

P. 12. Să se traseze graful de fluentă a semnalului pentru rețeaua din fig. 9. P. 12 pentru a găsi funcția de transfer $Y_{21}(s) = I_2/V_1$. Să se găsească această funcție reducând graful de fluentă a semnalului. De asemenea, să se aplice formula amplificării pentru graful original și să se compare rezultatele obținute.

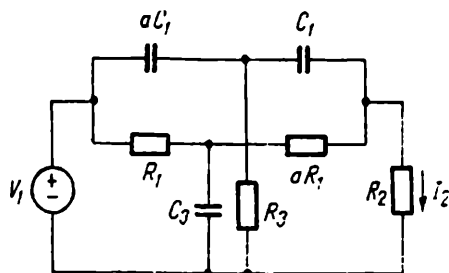


Fig. 9.P.12

P. 13. Să se găsească raportul de tensiuni V_2/V_1 pentru rețeaua în scară din fig. 9. P. 13 prin trasarea grafului de fluentă a semnalului. Să se arate că zerourile funcției de transfer corespund polilor impedanțelor serie sau zerourilor impedanțelor derivație.

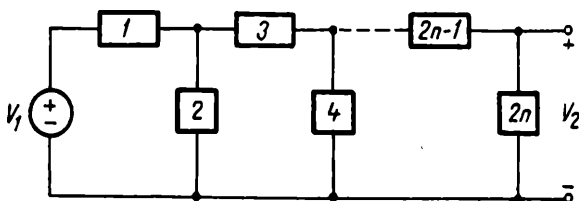


Fig. 9.P.13

P. 14. Să se determine un graf de fluentă a semnalului pentru fiecare din rețelele din fig. 9. P. 14a la c. Să se folosească circuitul echivalent pentru tranzistor din fig. 9.P.14d. Apoi să se evalueze amplificarea.

P. 15. Să se găsească amplificarea V_2/V_1 pentru amplificatorul „pseudo-acordat” din fig. 9. P. 15 folosind grafurile de fluentă a semnalelor.

P. 16. Pentru fiecare din rețelele din fig. 9. P. 16a la d să se folosească relația (40) pentru a determina sensibilitatea funcției de transfer V_0/V_i în raport cu: (a)c, (b)r și (c)g. Să se folosească circuitul echivalent al tranzistorului din fig. 9. P. 16c. Valorile nominale sînt $c=100\mu F$, $r=10^3\Omega$ și $g=0,5U$.

P. 17. Raportul de întoarcere și diferența de întoarcere a unei laturi sînt definite în text. Aceleași mărimi pot fi definite pentru un nod. Raportul de întoarcere al nodului j, notat prin T_j este amplificarea cu semn schimbat a grafului obținut prin despicarea nodului și eliminarea tuturor celorlalte noduri sursă și sarcină.

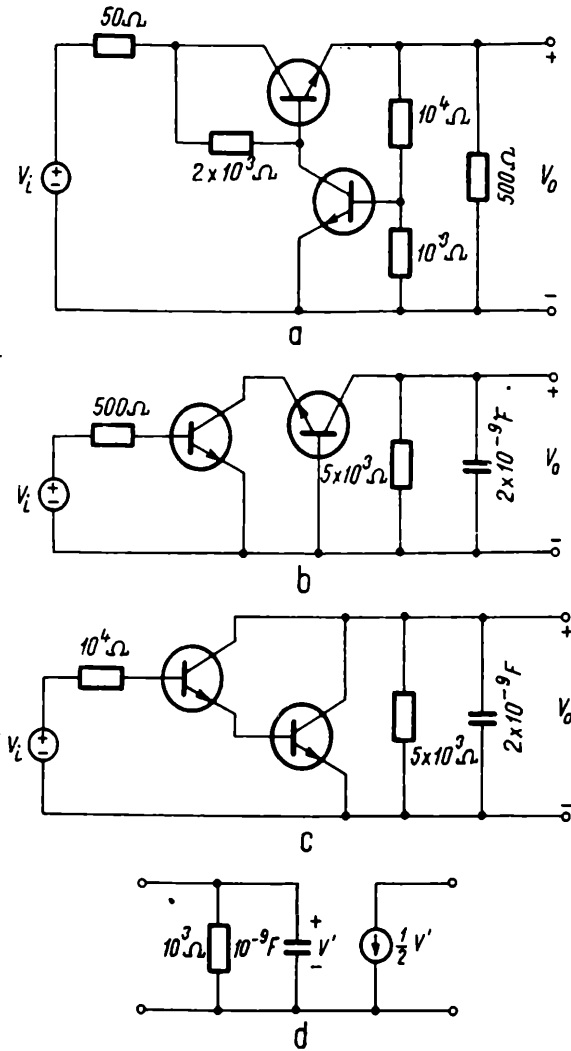


Fig. 9.P.14

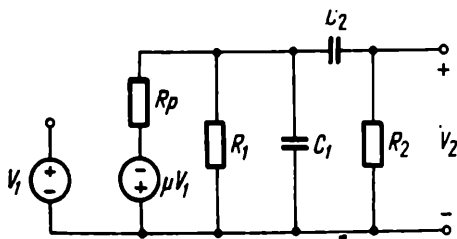


Fig. 9.P.15

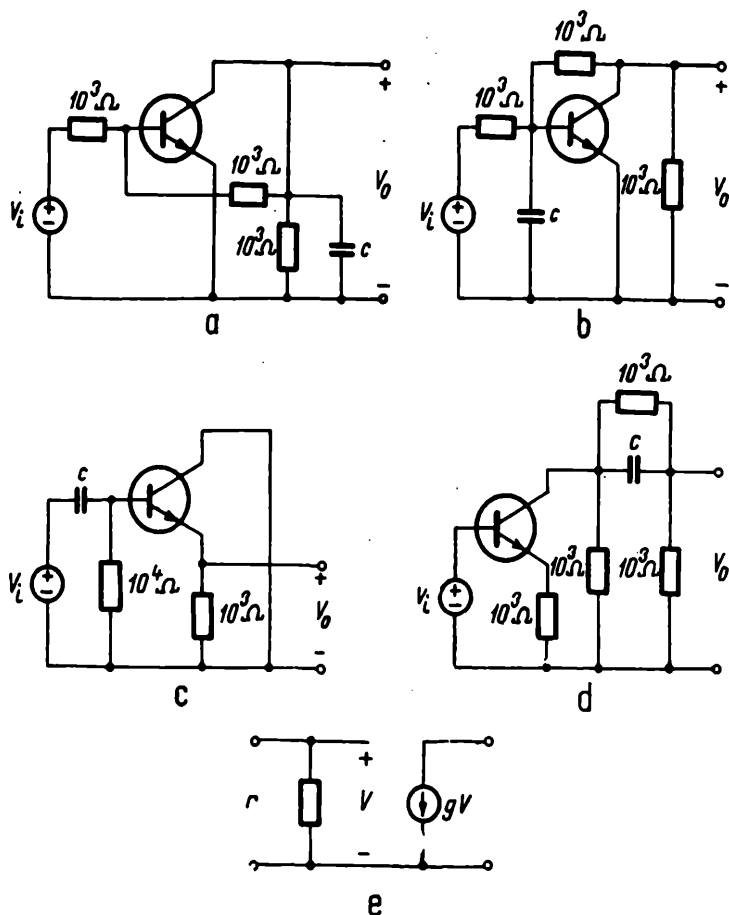


Fig. 9.P.16

Diferența de întoarcere a nodului j se definește ca $F_j = 1 + T_j$. Raportul de întoarcere parțială a nodului j , T'_j , este definit ca raport de întoarcere a nodului j , cînd toate nodurile de ordin superior au fost îndepărtate din graf. Acesta depinde evident de ordonarea nodurilor. Se definește de asemenea și diferența de întoarcere parțială a nodului j ; ea este $F'_j = 1 + T'_j$.

a) Să presupunem că nodurile unui graf sînt numerotate într-o ordine particulară. Se elimină toate nodurile de ordin superior lui k . Se desenează graful redus sub forma sa generală, reținînd doar nodurile k și $k-1$. Să se determine diferențele parțiale de întoarcere și să se găsească produsul $F'_k F'_{k-1}$. Să se inverseze apoi numerotarea nodurilor k și $k-1$ și să se găsească produsul $F'_k F'_{k-1}$. Să se arate că acest produs este independent de numerotarea nodurilor.

b) Să se arate că produsul diferențelor parțiale de întoarcere ale tuturor nodurilor dintr-un graf este o proprietate intrinsecă a grafului, independentă de numerotarea nodurilor.

P. 18. Care din următoarele funcții pondere corespunde unor rețele stabile MIME :

(a) $t e^{-2t} \sin t u(t)$

(b) $\frac{2}{(t-3)^2} u(t)$

(c) $\frac{\sin^2 2t}{t^2} u(t)$

(d) $\frac{e^{-2t} - e^{-t/2}}{t} u(t)$

(e) $[\cos t + t^2 e^{-t}] u(t)$

(f) $\frac{5}{t} u(t-3)$

P. 19. Să se folosească (1) criteriul Routh și (2) criteriul Liénard-Chipart pentru a determina care din următoarele polinoame în s au zerouri doar în semiplanul stâng.

(a) $s^3 + s^2 + s + 6$

(b) $s^4 + 5s^3 + 9s^2 + 7s + 2$

(c) $s^4 + 3s^3 + 7s^2 + 6s + 1$

(d) $s^5 + 2s^4 + 3s^3 + 8s^2 + 7s + 6$

(e) $2s^5 + 9s^4 + 19s^3 + 25s^2 + 19s + 6$

(f) $4s^3 + 7s^2 + 7s + 2$

(g) $s^3 + 3s^2 + 4s + 2$

(h) $3s^3 + 5s^2 + 4s + 6$

(i) $s^6 + 7s^5 + 7s^4 + 5s^3 + 4s^2 + s + 1$

(j) $2s^5 + 4s^4 + 3s^3 + 3s^2 + 4s + 2$

(k) $2s^3 + s^2 + 5s + 2$

(l) $s^4 + 3s^3 + 2s^2 + s + 1$

(m) $2s^4 + 4s^3 + 7s^2 + 7s + 3$

P. 20. Să presupunem că $H(s)$ este o fracție rațională și regulată la infinit; atunci $H(s)$ este egală cu o constantă (care poate fi zero) plus o fracție rațională proprie. Să se arate că o rețea având $H(s)$ drept funcție de transfer este MIME stabilă dacă și numai dacă toți polii funcției $H(s)$ au partea reală negativă.

P. 21. Să se folosească criteriul Liénard-Chipart pentru a determina valorile lui μ pentru care rețelele din fig. 9. P. 21 sînt MIME stabile

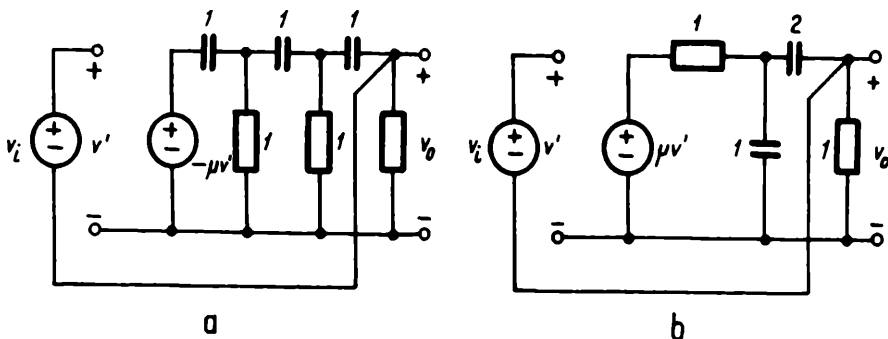


Fig. 9. P. 21.

P. 22. Să se folosească criteriul Liénard-Chipart pentru a determina valorile lui ρ și γ pentru care rețelele din fig. 9. P. 22 sînt MIME stabile. În planul parametrilor ρ - γ să se hașureze zonele de stabilitate.

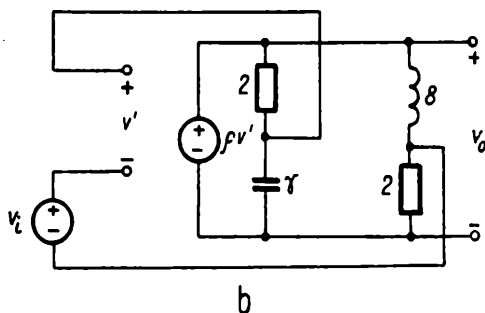
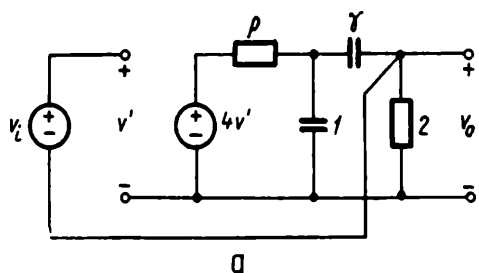


Fig. 9. P22

P. 23. Să se folosească criteriul Liénard-Chipart pentru a determina valorile lui r și g pentru care oscilatoarele din fig. 9. P. 23 a la c nu sînt MIMÉ stabile. Se presupune că o sursă de tensiune de intrare este conectată în serie cu baza tranzistorului. Să se folosească circuitul echivalent al tranzistorului din fig. 9. P. 23d. În planul parametrilor $r-g$ să se hașureze zonele de instabilitate.

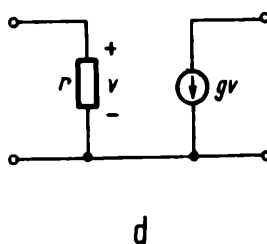
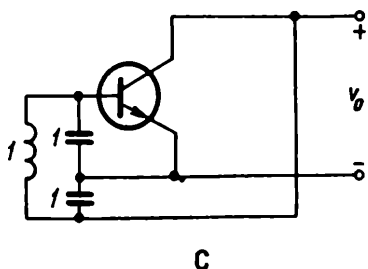
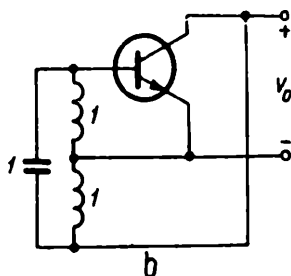
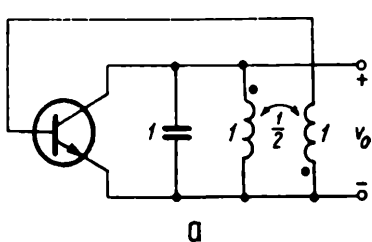


Fig. 9. P23

P. 24. Să se traseze diagrama Nyquist pentru ficcare din rapoartele de întoarcere :

$$(a) T(s) = k \frac{1}{s(s+1)(s+2)}$$

$$(b) T(s) = k \frac{s+1}{s^2 + 3s+3}$$

$$(c) T(s) = k \frac{s+3}{s(s+2)(s^2+2s+2)}$$

$$(d) T(s) = k \frac{(s+1)(s+3)}{s^2+4s+4}$$

$$(e) T(s) = k \frac{(s+1)(s+3)}{s(s^2+4s+4)}$$

$$(f) T(s) = k \frac{3}{s(s+2)(s^2+2s+10)}$$

$$(g) T(s) = k \frac{s+2}{(s+4)(s-1)}$$

$$(h) T(s) = k \frac{s-1}{s(s+1)}$$

$$(i) T(s) = k \frac{(s+1)}{s^2(s+2)}$$

$$(j) T(s) = k \frac{s+1}{s^2(s+2)}$$

$$(k) T(s) = k \frac{(s+1)^2}{s^3(s+8)}$$

$$(l) T(s) = k \frac{s}{(s+1)(s+2)^2}$$

$$(m) T(s) = k \frac{s^2-s+1}{s(s+1)}$$

$$(n) T(s) = k \frac{(s+1)(s+2)}{s(s^2+4)}$$

$$(o) T(s) = k \frac{2}{s(s^2+4)}$$

$$(p) T(s) = k \frac{(s+1)}{s(s^2-s+1)}$$

Pentru ce valori ale lui k rețeaua corespunzătoare cu reacție este stabilă pe baza criteriului lui Nyquist? Se presupune că $A(s)$ are zerouri numai în semiplanul stâng.

P.25. În rețeaua din fig. 9. 33 din text, valorile componentelor sînt astfel, înelt frecvențele de tăiere ale celor trei etaje sînt

$$\omega_a = 100, \quad \omega_b = 1000, \quad \omega_c = 100.000$$

Să se traseze cu atenție diagrama Nyquist în acest caz. Să se găsească valoarea maximă pe care o poate avea T_m pentru ca rețeaua să fie stabilă.

P. 26. Să se traseze diagrama Nyquist pentru rețeaua din fig. 9.P.26. Să se găsească valorile R_f , L_f pentru care rețeaua este stabilă. Care este valoarea maximă a lui α în aceste condiții, dacă rețeaua rămîne stabilă pentru mici variații ale valorilor parametrilor (în particular : R_e , G_e , R_f și L_f) față de valorile proiectate?

P. 27. Să se traseze diagrama Nyquist pentru rețeaua din fig. 9. P. 27 și să se găsească condiția de stabilitate.

P. 28. Să se traseze un graf de semnal pentru rețeaua dată în fig. 9. P. 28. Reducînd grafu, să se calculeze funcția de transfer.

P. 29. Să se verifice teorema următoare, cunoscută drept *criteriul invers al lui Nyquist* : O rețea avînd drept funcție de transfer :

$$H(s) = \frac{kA(s)}{1 - kA(s)B(s)}$$

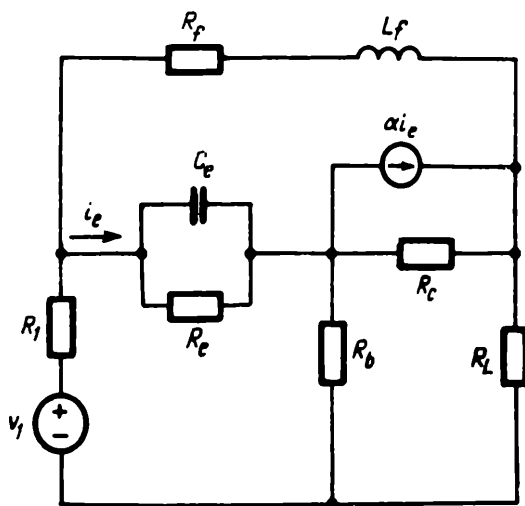


Fig. 9.P.26.

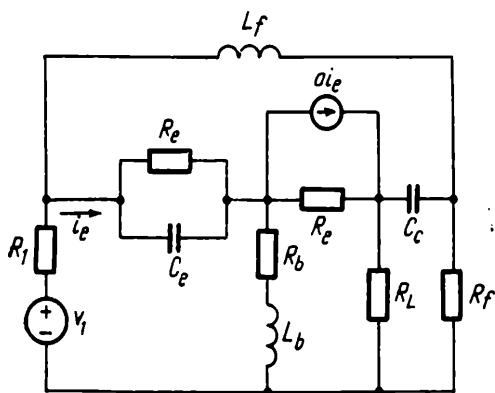


Fig. 9.P.27.

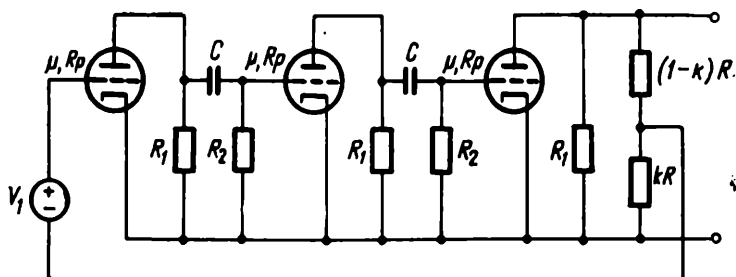


Fig. 9. P.28.

este *MIME* stabilă, (a) dacă nici un pol din semiplanul drept sau axa imaginară al lui $A(s)$ nu este de asemenea un zero pentru $B(s)$ și (b) dacă diagrama Nyquist pentru $1/T(s) = 1/kA(s)B(s)$ nu trece prin punctul $(-1,0)$ și nu ocolește acest punct de $-N_p$ ori în sensul acelor de ceasornic, unde N_p este numărul polilor din semiplanul drept a lui $1/T(s)$. Diagrama Nyquist pentru $1/T(s)$ este cunoscută drept diagrama Nyquist inversă a lui $T(s)$.

P. 30. Pe baza problemei **P.29**, să se traseze diagrama Nyquist inversă pentru fiecare din rapoartele de întoarcere enumerate în problema **P.24**. Apoi să se indice valorile lui k pentru care rețeaua cu reacție corespunzătoare este stabilă pe baza criteriului invers al lui Nyquist. Se presupune că $A(s)$ are zerouri doar în semiplanul stâng.

P. 31. Să se considere toate combinațiile posibile de $A(s)$ și $B(s)$, care se pot obține din lista următoare. Să se aplice (1) criteriul lui Nyquist și (2) criteriul invers al lui Nyquist (problema **P.29**) pentru a determina valorile lui k pentru care fiecare rețea este stabilă

$$\begin{aligned} A(s) &= \frac{1}{(s+1)(s+2)} & B(s) &= 1 \\ A(s) &= \frac{1}{s(s+1)} & B(s) &= \frac{1}{s+4} \\ A(s) &= \frac{(s+1)}{s^2(s+2)} & B(s) &= \frac{s}{s+4} \end{aligned}$$

P. 32. Se consideră o rețea activă ce poate fi excitată fie cu o sursă de tensiune, fie cu o sursă de curent, după cum se arată în fig. 9. P. 32 a și b. Funcțiile de transfer respective vor fi:

$$(a) \frac{V_2}{V_1} = R \frac{\Delta_{12}}{\Delta}, \quad (b) \frac{V_2}{I_1} = \frac{\Delta_{12}}{\Delta}.$$

În primul caz, determinantul este cel al matricei de impedanțe a buclelor și este format prin scurt-circuitarea terminalelor de intrare. În al doilea caz determinantul este cel al matricei de admitanțe a nodurilor și se obține lăsând terminalele de intrare în gol. Zerourile acestor determinanți — care reprezintă polii funcțiilor respective de transfer — vor fi diferite. Prin urmare, proprietățile de stabilitate nu trebuie să fie aceleași pentru cele două feluri de excitație. Dacă o rețea este stabilă când terminalele sale sînt scurt circuitate se spune că este *stabilă în scurt circuit*. Similar, dacă o rețea este stabilă când terminalele sale sînt în gol, ea se numește *stabilă în gol*. Este posibil ca o rețea să fie atât stabilă în scurt circuit cît și stabilă în gol.

Este de asemenea posibil să fie stabilă pentru o condiție a terminalelor dar nu pentru cealaltă.

a) Rețeaua din fig. 9. P. 32c include doi tranzistori, reprezentați prin modelele lor liniare și un diport reciproc pasiv. Examinînd polii impedanței de intrare, să se arate că această rețea este stabilă în gol.

b) O altă rețea este prezentată în fig. 9. P. 32 d. Să se arate că este stabilă în scurtcircuit.

Să considerăm un diport cu rezistențe la ambele capete, ca în fig. 9. P.32 e. Oricare din porți poate fi scurt-circuitată sau lăsată în gol dîndu-se valori corespunzătoare lui R , și R_L . Întreaga rețea poate fi stabilă în scurt circuit și / sau în gol la oricare din extremități.

c) Ca un exemplu specific să se considere rețeaua din fig. P.32 f. Aceasta este un convertor de impedanță negativă cu un condensator care reprezintă capacitățile inevitabile din dispozitivele active. Să se determine cînd rețeaua este stabilă în scurtcircuit și / sau în gol la ambele extremități.

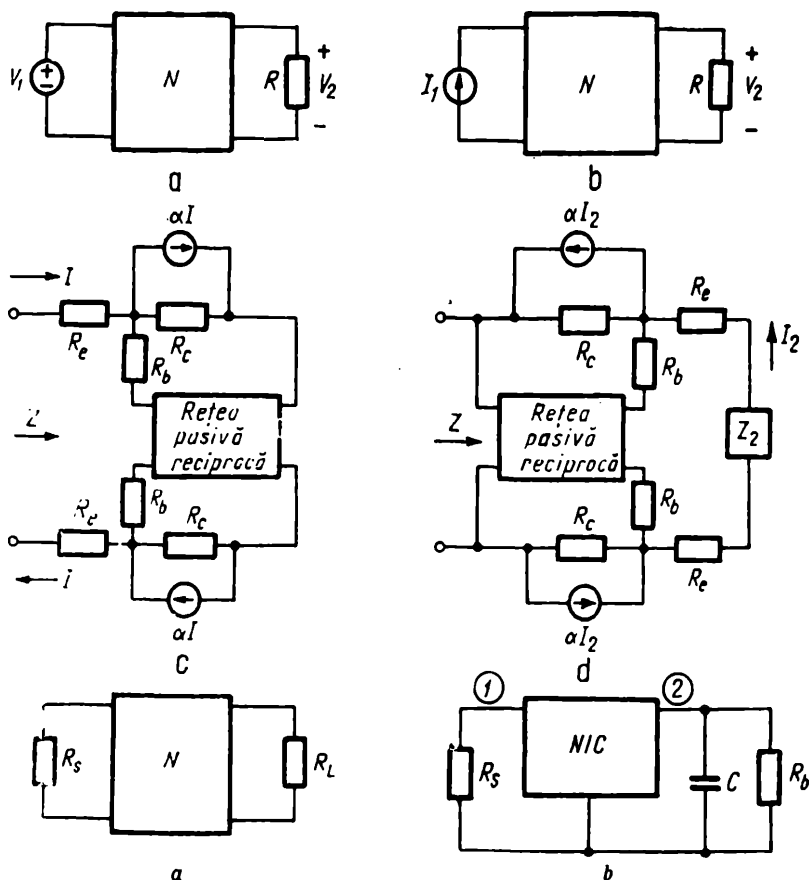


Fig. 9. P32

P. 33. În exemplul din fig. 9. 21, se dorește să se afle impedanța de intrare. Se plasează un nod (și laturile corespunzătoare) în fig. 9. 22 ce reprezintă tensiunea la bornele sursei independente de curent. Să se găsească impedanța de intrare reducând graful. Să se găsească de asemenea impedanța de transfer V_3/I_g .

P. 34. În fig. 9. 20, nodurile V_1 și V_4 sînt noduri esențiale. Să se reducă graful la un graf esențial cu nodurile V_1 și V_4 ca noduri esențiale și să se compare cu fig. 9.18.

P. 35. Grafurile de fluență a semnalelor pentru două amplificatoare cu reacție sînt date în fig. 9. P. 35 parametrul β_2 trebuie ales astfel încît amplificările celor două grafe să fie egale. Să se determine sensibilitatea S_{α}^G , a amplificării fiecărui amplificator în raport cu parametrul α . Să se compare și să se arate care din cele două amplificatoare este mai puțin sensibil la variațiile lui α .

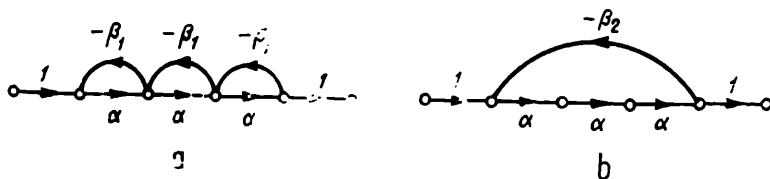


Fig. 9.P.35.

10 Circuite (rețele) liniare variabile în timp și circuite (rețele) neliniare

În capitolele precedente s-au considerat numai circuite liniare și invariabile în timp. În realitate, circuitele întâlnite în practică prezintă caracteristici, care nu pot fi descrise complet și corespunzător, prin modele liniare, invariabile în timp.

O piesă componentă simplă, ca de exemplu o rezistență, are o rezistență electrică încet variabilă în timp, sub influența variației de temperatură a mediului ambiant; acest efect nu este totdeauna neglijabil. La fel, saturația inducției magnetice în miezul feromagnetic al unei bobine, funcționarea cu semnal mare a unui dispozitiv activ, cum este tranzistorul, disipația excesivă de energie într-o rezistență etc., conduc la neliniaritate. Rețelele reale sînt deci, în multe situații, neliniare.

Pe lângă situațiile nedorite de abateri de la invarianța în timp și (sau) de la liniaritate, pe care dorim să le reducem, există alte situații în care „abaterele“ sînt introduse intenționat, pentru obținerea unor rețele cu anumite performanțe; astfel, de exemplu, amplificatorul parametric este realizat ca o rețea liniară, variabilă în timp. Oscilatoarele, modulatorile și demodulatorile sînt numai cîteva din numeroasele rețele realizate cu elemente neliniare.

În prezentul capitol se va trata formularea matematică și soluționarea analitică a rețelelor liniare, variabile în timp și neliniare.

Deoarece soluția analitică a unei rețele neliniare nu poate fi determinată, în general, se va include un paragraf cu procedee de soluții numerice. De asemenea, mai este un paragraf cu teoria stabilității după Liapunov, care constituie unul din instrumentele fundamentale disponibile pentru studiul rețelelor neliniare. Deși se vor prezenta aici numai o parte din aceste teme — domeniul actual al cunoștințelor fiind destul de întins pentru a putea fi cuprins în mai multe volume — tratarea va fi îngrijită și nu vagă. Pentru dezvoltarea cunoștințelor sînt indicate referințe la bibliografie.

10.1. FORMULAREA ECUAȚIILOR DE STARE PENTRU CIRCUITE VARIABLE ÎN TIMP

În paragraful 4.5 s-a prezentat o metodă pentru formularea ecuațiilor de stare a unei rețele invariante în timp. În legătură cu aceasta se observă că noțiunea de dependență sau independență de timp nu a fost introdusă decât după ecuațiile (129). De aceea vom începe tratarea circuitelor variabile în timp cu aceste ecuații, pe care le repetăm aici pentru ușurință :

$$\frac{d}{dt} [\mathcal{G} \mathbf{v}_{Cl}] = [-\mathcal{Y} \quad \mathcal{H}] \begin{bmatrix} \mathbf{v}_{Cl} \\ \mathbf{i}_{Li} \end{bmatrix} + [-\hat{\mathcal{Y}} \quad \hat{\mathcal{H}}] \begin{bmatrix} \mathbf{v}_E \\ \mathbf{i}_J \end{bmatrix} + \frac{d}{dt} [\hat{\mathcal{G}} \mathbf{v}_E] \quad (1a)$$

$$\frac{d}{dt} [\mathcal{L} \mathbf{i}_{Li}] = [\mathcal{G} - \mathcal{X}] \begin{bmatrix} \mathbf{v}_{Cl} \\ \mathbf{i}_{Li} \end{bmatrix} + [\hat{\mathcal{G}} - \hat{\mathcal{X}}] \begin{bmatrix} \mathbf{v}_E \\ \mathbf{i}_J \end{bmatrix} + \frac{d}{dt} [\hat{\mathcal{L}} \mathbf{i}_J] \quad (1b)$$

sau, după concentrare într-o singură ecuație,

$$\begin{aligned} \frac{d}{dt} \begin{bmatrix} \mathcal{G} & 0 \\ 0 & \mathcal{L} \end{bmatrix} \begin{bmatrix} \mathbf{v}_{Cl} \\ \mathbf{i}_{Li} \end{bmatrix} &= \begin{bmatrix} -\mathcal{Y} & \mathcal{H} \\ \mathcal{G} & -\mathcal{X} \end{bmatrix} \begin{bmatrix} \mathbf{v}_{Cl} \\ \mathbf{i}_{Li} \end{bmatrix} + \begin{bmatrix} -\hat{\mathcal{Y}} & \hat{\mathcal{H}} \\ \hat{\mathcal{G}} & -\hat{\mathcal{X}} \end{bmatrix} \begin{bmatrix} \mathbf{v}_E \\ \mathbf{i}_J \end{bmatrix} \\ &+ \frac{d}{dt} \begin{bmatrix} \hat{\mathcal{G}} & 0 \\ 0 & \hat{\mathcal{L}} \end{bmatrix} \begin{bmatrix} \mathbf{v}_E \\ \mathbf{i}_J \end{bmatrix}; \end{aligned} \quad (2)$$

Reducerea la forma normală

Această ecuație poate fi redusă la forma normală

$$\frac{d}{dt} \mathbf{x} = \mathcal{A} \mathbf{x} + \mathcal{B} \mathbf{e}, \quad (3)$$

cu condiția ca matricea

$$\begin{bmatrix} \mathcal{G} & 0 \\ 0 & \mathcal{L} \end{bmatrix} \quad (4)$$

să fie mărginită și nesară. Deoarece ne interesează o soluție pentru $t \geq t_0$, vom presupune că (4) este mărginită și nesară pentru $t \geq t_0$; aceasta înseamnă că fiecare element din (4) este mărginit și

$$\det \begin{bmatrix} \mathcal{G} & 0 \\ 0 & \mathcal{L} \end{bmatrix} \neq 0$$

pentru $t \geq t_0$.

Acum se poate proceda, în două moduri, pentru punerea ecuației (2) în forma normală. După primul mod se pune:

$$\mathbf{x} = \begin{bmatrix} \mathcal{G} & 0 \\ 0 & \mathcal{L} \end{bmatrix} \begin{bmatrix} \mathbf{v}_{Cl} \\ \mathbf{i}_{Ll} \end{bmatrix} - \begin{bmatrix} \hat{\mathcal{G}} & 0 \\ 0 & \hat{\mathcal{L}} \end{bmatrix} \begin{bmatrix} \mathbf{v}_E \\ \mathbf{i}_J \end{bmatrix}; \quad (5)$$

apoi

$$\begin{bmatrix} \mathbf{v}_{Cl} \\ \mathbf{i}_{Ll} \end{bmatrix} = \begin{bmatrix} \mathcal{G} & 0 \\ 0 & \mathcal{L} \end{bmatrix}^{-1} \left\{ \mathbf{x} + \begin{bmatrix} \hat{\mathcal{G}} & 0 \\ 0 & \hat{\mathcal{L}} \end{bmatrix} \begin{bmatrix} \mathbf{v}_E \\ \mathbf{i}_J \end{bmatrix} \right\}. \quad (6)$$

Prin înlocuirea acestei expresii în (2) și rearanjarea termenilor, se obține forma dorită din (3), cu

$$\mathcal{A} = \begin{bmatrix} -\mathcal{Y} & \mathcal{H} \\ \mathcal{G} & -\mathcal{L} \end{bmatrix} \begin{bmatrix} \mathcal{G} & 0 \\ 0 & \mathcal{L} \end{bmatrix}^{-1} \quad (7)$$

$$\mathcal{B} = \begin{bmatrix} -\hat{\mathcal{Y}} & \hat{\mathcal{H}} \\ \hat{\mathcal{G}} & -\hat{\mathcal{L}} \end{bmatrix} + \begin{bmatrix} -\mathcal{Y} & \mathcal{H} \\ \mathcal{G} & -\mathcal{L} \end{bmatrix} \begin{bmatrix} \mathcal{G} & 0 \\ 0 & \mathcal{L} \end{bmatrix}^{-1} \begin{bmatrix} \hat{\mathcal{G}} & 0 \\ 0 & \hat{\mathcal{L}} \end{bmatrix} \quad (8)$$

și

$$\mathbf{e} = \begin{bmatrix} \mathbf{v}_E \\ \mathbf{i}_J \end{bmatrix}. \quad (9)$$

După al doilea mod se pune,

$$\mathbf{x} = \begin{bmatrix} \mathbf{v}_{Cl} \\ \mathbf{i}_{Ll} \end{bmatrix} - \begin{bmatrix} \mathcal{G} & 0 \\ 0 & \mathcal{L} \end{bmatrix}^{-1} \begin{bmatrix} \hat{\mathcal{G}} & 0 \\ 0 & \hat{\mathcal{L}} \end{bmatrix} \begin{bmatrix} \mathbf{v}_E \\ \mathbf{i}_J \end{bmatrix}. \quad (10)$$

În acest caz

$$\begin{bmatrix} \mathbf{v}_{Cl} \\ \mathbf{i}_{Ll} \end{bmatrix} = \mathbf{x} + \begin{bmatrix} \mathcal{G} & 0 \\ 0 & \mathcal{L} \end{bmatrix}^{-1} \begin{bmatrix} \hat{\mathcal{G}} & 0 \\ 0 & \hat{\mathcal{L}} \end{bmatrix} \begin{bmatrix} \mathbf{v}_E \\ \mathbf{i}_J \end{bmatrix}. \quad (11)$$

După înlocuirea acestei expresii în (2) și rearanjarea termenilor din ecuația rezultată, se obține ecuația în forma normală (3), cu

$$\mathcal{A} = \begin{bmatrix} \mathcal{G} & 0 \\ 0 & \mathcal{L} \end{bmatrix}^{-1} \left\{ \begin{bmatrix} -\mathcal{Y} & \mathcal{H} \\ \mathcal{G} & -\mathcal{L} \end{bmatrix} - \frac{d}{dt} \begin{bmatrix} \mathcal{G} & 0 \\ 0 & \mathcal{L} \end{bmatrix} \right\} \quad (12)$$

și

$$\mathcal{B} = \begin{bmatrix} \mathcal{C} & 0 \\ 0 & \mathcal{L} \end{bmatrix}^{-1} \left\{ \begin{bmatrix} -\hat{\mathcal{Y}} & \hat{\mathcal{K}} \\ \hat{\mathcal{G}} & -\hat{\mathcal{Z}} \end{bmatrix} + \begin{bmatrix} -\mathcal{Y} & \mathcal{K} \\ \mathcal{G} & -\mathcal{Z} \end{bmatrix} \begin{bmatrix} \mathcal{C} & 0 \\ 0 & \mathcal{L} \end{bmatrix}^{-1} \begin{bmatrix} \hat{\mathcal{C}} & 0 \\ 0 & \hat{\mathcal{L}} \end{bmatrix} \right\}. \quad (13)$$

Vectorul \mathbf{e} este exprimat iar prin (9).

Modul al doilea de alegere a vectorului de stare duce la o matrice \mathcal{A} , arătată în (12), care necesită derivarea matricei de parametri (4). Deoarece se caută o soluție a ecuației de stare pentru $t \geq t_0$, se va presupune că această matrice de parametri este diferențiabilă pentru $t \geq t_0$. Această presupunere nu este necesară dacă vectorul de stare se alege după primul mod.

Pe lângă aceasta, modul al doilea de alegere a vectorului de stare duce la niște matrice \mathcal{A} și \mathcal{B} , care sînt, în general, mai complicate din punct de vedere funcțional decît cele obținute cînd vectorul de stare se alege după primul mod.

Aceasta este mai evident cînd avem

$$\begin{bmatrix} \hat{\mathcal{C}} & 0 \\ 0 & \hat{\mathcal{L}} \end{bmatrix} = 0.$$

În acest caz primul mod dă matricele,

$$\mathcal{A} = \begin{bmatrix} -\mathcal{Y} & \mathcal{K} \\ \mathcal{G} & -\mathcal{Z} \end{bmatrix} \begin{bmatrix} \mathcal{C} & 0 \\ 0 & \mathcal{L} \end{bmatrix}^{-1} \quad \text{și} \quad \mathcal{B} = \begin{bmatrix} -\hat{\mathcal{Y}} & \hat{\mathcal{K}} \\ \hat{\mathcal{G}} & -\hat{\mathcal{Z}} \end{bmatrix},$$

care, evident, sînt mai simple funcțional decît matricele

$$\mathcal{A} = \begin{bmatrix} \mathcal{C} & 0 \\ 0 & \mathcal{L} \end{bmatrix}^{-1} \left\{ \begin{bmatrix} -\mathcal{Y} & \mathcal{K} \\ \mathcal{G} & -\mathcal{Z} \end{bmatrix} - \frac{d}{dt} \begin{bmatrix} \mathcal{C} & 0 \\ 0 & \mathcal{L} \end{bmatrix} \right\}$$

și

$$\mathcal{B} = \begin{bmatrix} \mathcal{C} & 0 \\ 0 & \mathcal{L} \end{bmatrix}^{-1} \begin{bmatrix} -\hat{\mathcal{Y}} & \hat{\mathcal{K}} \\ \hat{\mathcal{G}} & -\hat{\mathcal{Z}} \end{bmatrix}$$

stabilite în al doilea mod. Din aceste observații se poate trage concluzia că primul mod de alegere a lui \mathbf{x} este preferabil.

Componentele vectorului de stare

Să ne concentrăm atenția deci asupra caracterizării elementelor lui \mathbf{x} , date în (5). După efectuarea înmulțirilor de matrice indicate în (5) se obține :

$$\mathbf{x} = \begin{bmatrix} \mathcal{E}\mathbf{v}_{Ct} - \hat{\mathcal{E}}\mathbf{v}_E \\ \mathcal{L}\mathbf{i}_{Ll} - \hat{\mathcal{L}}\mathbf{i}_J \end{bmatrix}. \quad (14)$$

Din relațiile (117) și (118) din Cap. 4 se observă că :

$$\mathcal{E} = \mathbf{C}_t + \mathbf{Q}_{CC} \mathbf{C}_t \mathbf{Q}'_{CC}$$

$$\hat{\mathcal{E}} = -\mathbf{Q}_{CC} \mathbf{C}_t \mathbf{Q}'_{EC}$$

În consecință se găsește că :

$$\begin{aligned} \mathcal{E}\mathbf{v}_{Ct} - \hat{\mathcal{E}}\mathbf{v}_E &= \mathbf{C}_t \mathbf{v}_{Ct} + \mathbf{Q}_{CC} \mathbf{C}_t (\mathbf{Q}'_{CC} \mathbf{v}_{Ct} + \mathbf{Q}'_{EC} \mathbf{v}_E) \\ &= \mathbf{C}_t \mathbf{v}_{Ct} + \mathbf{Q}_{CC} \mathbf{C}_t \mathbf{v}_{Ct}. \end{aligned} \quad (15)$$

Această ultimă formă rezultă din relația (113 e), de la cap. 4, pe care o repetăm aici

$$\mathbf{Q}'_{CC} \mathbf{v}_{Ct} + \mathbf{Q}'_{EC} \mathbf{v}_E = \mathbf{v}_{Ct}.$$

Dar, elementele $\mathbf{C}_t \mathbf{v}_{Ct}$ și $\mathbf{C}_t \mathbf{v}_{Ct}$ sînt simple sarcini ale capacităților din rețea. Astfel, elementele lui \mathbf{x} exprimate prin $\mathcal{E}\mathbf{v}_{Ct} - \hat{\mathcal{E}}\mathbf{v}_E$, după cum se vede în (15), sînt combinații liniare ale sarcinilor din capacități.

Trecînd la cel de-al doilea rînd din matricea unicolană (14), cu ajutorul relațiilor (122) și (123) din Cap. 4, se determină

$$\mathcal{L} = \mathbf{L}_u - \mathbf{L}_u \mathbf{Q}_{LL} - \mathbf{Q}'_{LL} \mathbf{L}_u + \mathbf{Q}'_{LL} \mathbf{L}_u \mathbf{Q}_{LL}$$

$$\hat{\mathcal{L}} = -\mathbf{Q}'_{LL} \mathbf{L}_u \mathbf{Q}_{LJ} + \mathbf{L}_u \mathbf{Q}_{LJ}.$$

Astfel :

$$\begin{aligned} \mathcal{L}\mathbf{i}_{Ll} - \hat{\mathcal{L}}\mathbf{i}_J &= \mathbf{L}_u \mathbf{i}_{Ll} - \mathbf{Q}'_{LL} \mathbf{L}_u \mathbf{i}_{Ll} + \mathbf{L}_u (-\mathbf{Q}_{LL} \mathbf{i}_{Ll} - \mathbf{Q}_{LJ} \mathbf{i}_J) \\ &\quad - \mathbf{Q}'_{LL} \mathbf{L}_u (-\mathbf{Q}_{LL} \mathbf{i}_{Ll} - \mathbf{Q}_{LJ} \mathbf{i}_J) \\ &= \mathbf{L}_u \mathbf{i}_{Ll} - \mathbf{Q}'_{LL} \mathbf{L}_u \mathbf{i}_{Ll} + \mathbf{L}_u \mathbf{i}_{Ll} - \mathbf{Q}'_{LL} \mathbf{L}_u \mathbf{i}_{Ll}. \end{aligned} \quad (16)$$

Ultima relație de mai sus rezultă din (113 d), Cap. 4, pe care o repetăm aici :

$$-Q_{LL} i_{Ll} - Q_{LJ} i_J = i_{Ll}.$$

Dar, elementele $L_{ll} i_{Ll}$, $L_{ll} i_{Ll}$, L_{ll} , i_{Ll} și $L_{ll} i_{Ll}$ sînt fluxurile magnetice prin bobinele de inductanță. În particular, elementele $L_{ll} i_{Ll}$ și $L_{ll} i_{Ll}$ sînt fluxuri magnetice de cuplaj mutual. Deci elementele lui x stabilite prin $\mathcal{E} i_{Ll} - \hat{\mathcal{E}} i_J$ sînt combinații liniare ale fluxurilor magnetice din bobine.

În privința ecuației de ieșire a circuitului, după cum s-a văzut în cap. 4, se poate arăta că oricare din variabilele de curent și de tensiune ale circuitului poate fi exprimată prin termenii v_{Cl} , i_{Ll} , v_E , i_J , dv_E/dt și di_J/dt . Dacă se notează cu w vectorul de ieșire, — elementele lui w sînt variabilele de tensiune și (sau) de curent ce trebuie să rezulte la ieșirea circuitului, — atunci se poate arăta, că, pentru ambele moduri de mai sus de definire a vectorului x , vectorul w poate fi exprimat convenabil prin

$$w = Cx + \mathfrak{D}e + \frac{d}{dt} \hat{\mathfrak{D}}e \quad (17)$$

Aceasta se poate verifica ușor.

Exemplu. Pentru a ilustra reducerea ecuațiilor de circuit din forma (2), în forma normală (3), se consideră circuitul din fig. 1, care conține o capacitate variabilă periodic. Fie v_1 tensiunea pe condensator și i_3 curentul prin inductanță. Este ușor de verificat că vectorul $[v_1 \ i_3]'$ satisface ecuația diferențială

$$\frac{d}{dt} \begin{bmatrix} \frac{1}{1 + \sigma \sin 2t} & 0 \\ 0 & 1 \end{bmatrix} \begin{bmatrix} v_1 \\ i_3 \end{bmatrix} = \begin{bmatrix} -1/10 & -1 \\ 1 & 0 \end{bmatrix} \begin{bmatrix} v_1 \\ i_3 \end{bmatrix} + \begin{bmatrix} 1 \\ 0 \end{bmatrix} [j(t)].$$

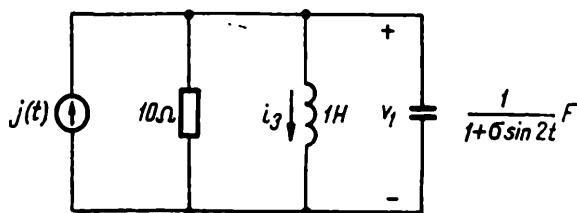


Fig. 10.1. Circuit variabil în timp periodic.

(Se recomandă să se verifice aceasta). Aceasta este de fapt rezultatul ce s-ar obține utilizînd metodele din par. 4.5., cu relațiile (129a) și (129 b).

După cum se vede în fig. 1, valoarea $|\sigma|$ este subunitară.

Rezultă că matricea

$$\begin{bmatrix} \frac{1}{1 + \sigma \sin 2t} & 0 \\ 0 & 1 \end{bmatrix}$$

este mărginită pentru toate valorile lui t și comportă o matrice inversă, anume :

$$\begin{bmatrix} 1 + \sigma \sin 2t & 0 \\ 0 & 1 \end{bmatrix}.$$

În acord cu (5), vectorul de stare se consideră

$$\mathbf{x} = \begin{bmatrix} \frac{1}{1 + \sigma \sin 2t} & 0 \\ 0 & 1 \end{bmatrix} \begin{bmatrix} v_1 \\ i_2 \end{bmatrix}.$$

Se observă că elementele lui \mathbf{x} sînt sarcini pe condensator și fluxuri în bobină. Din (7) și (8) se găsește :

$$\mathcal{A} = \begin{bmatrix} -1/10 & -1 \\ 1 & 0 \end{bmatrix} \begin{bmatrix} 1 + \sigma \sin 2t & 0 \\ 0 & 1 \end{bmatrix} = \begin{bmatrix} -\frac{1 + \sigma \sin 2t}{10} & -1 \\ 1 + \sigma \sin 2t & 0 \end{bmatrix}$$

$$\mathcal{B} = \begin{bmatrix} 1 \\ 0 \end{bmatrix}.$$

Se poate alege vectorul de stare al circuitului după modul indicat în (10).

$$\mathbf{x} = \begin{bmatrix} v_1 \\ i_2 \end{bmatrix}.$$

Atunci, cu ajutorul relațiilor (12) și (13), se obține,

$$\begin{aligned} \mathcal{A} &= \begin{bmatrix} 1 + \sigma \sin 2t & 0 \\ 0 & 1 \end{bmatrix} \left\{ \begin{bmatrix} -\frac{1}{10} & -1 \\ 1 & 0 \end{bmatrix} - \begin{bmatrix} \frac{-2\sigma \cos 2t}{(1 + \sigma \sin 2t)^2} & 0 \\ 0 & 1 \end{bmatrix} \right\} \\ &= \begin{bmatrix} \frac{-(1 + \sigma \sin 2t)^2 + 20\sigma \cos 2t}{10 + 10\sigma \sin 2t} & -1 - \sigma \sin 2t \\ 1 & 1 \end{bmatrix} \\ \mathcal{B} &= \begin{bmatrix} 1 + \sigma \sin 2t & 0 \\ 0 & 1 \end{bmatrix} \begin{bmatrix} 1 \\ 0 \end{bmatrix} = \begin{bmatrix} 1 + \sigma \sin 2t \\ 0 \end{bmatrix}. \end{aligned}$$

Se observă că aici matricele \mathcal{A} și \mathcal{B} sînt funcțional, mai complicate ca în cazul anterior. Astfel prin acest exemplu, ca și prin discuția generală de mai sus, se vede că este preferabilă alegerea lui \mathbf{x} ca în (5), adică luînd elementele vectorului de stare ca o combinație liniară de sarcini electrice și fluxuri magnetice.

La aceeași concluzie se va ajunge și cînd ne vom ocupa de circuite neliniare.

10.2. SOLUȚIILE ECUAȚIILOR DE STARE PENTRU CIRCUITE VARIABILE ÎN TIMP

După cum s-a indicat în ultimul paragraf, variabilele de intrare și de ieșire ale unui circuit variabil în timp sînt legate prin ecuațiile de stare :

$$\frac{d}{dt} \mathbf{x} = \mathcal{A} \mathbf{x} + \mathcal{B} \mathbf{e} \quad (18a)$$

$$\mathbf{w} = \mathcal{C} \mathbf{x} + \mathcal{D} \mathbf{e} + \frac{d}{dt} \hat{\mathcal{D}} \mathbf{e}. \quad (18b)$$

În rezolvarea acestor ecuații trebuie să se considere, în mod anticipat, că unele sau toate matricele \mathcal{A} , \mathcal{B} , \mathcal{C} , \mathcal{D} și $\hat{\mathcal{D}}$ pot fi funcții de timp.

Se va rezolva ecuația de stare (18a) pentru vectorul de stare \mathbf{x} , folosind metoda variației de parametru. Este recomandabil să se compare rezultatele parțiale la fiecare etapă de calcul, cu cele obținute la etapele respective, în cazul circuitelor invariabile în timp, tratat în cap. 4. Se admite că \mathbf{x} este un vector cu n componente și, în consecință, \mathcal{A} este o matrice pătrată de ordinul n .

Să considerăm :

$$\mathbf{x}(t) = \mathbf{Y}(t) \hat{\mathbf{x}}(t), \quad (19)$$

unde $\mathbf{Y}(t)$ este o matrice pătrată de ordin n .

După introducerea acestei expresii în (18a) și după rearanjarea normală a termenilor, se obține

$$\left(\frac{d}{dt} \mathbf{Y} - \mathcal{A} \mathbf{Y} \right) \hat{\mathbf{x}} = - \mathbf{Y} \frac{d}{dt} \hat{\mathbf{x}} + \mathcal{B} \mathbf{e} \quad (20)$$

Este evident că, dacă expresia din paranteză este zero, soluția va fi mai simplă. Se va presupune acest caz, adică se va admite că ecuația diferențială omogenă

$$\frac{d}{dt} \mathbf{Y} = \mathcal{A} \mathbf{Y}, \quad (21)$$

cu $\mathbf{Y}(t)$ egal cu $\mathbf{Y}(t_0)$ la momentul t_0 , posedă o soluție nesingulară pentru orice timp finit, $t \geq t_0$. Combinînd (20) cu (21) se obține

$$\mathbf{Y} \frac{d}{dt} \hat{\mathbf{x}} = \mathcal{B} \mathbf{e}.$$

Apoi, deoarece s-a presupus că Y este nesingulară pentru $t \geq t_0$, rezultă că inversa ei Y^{-1} există, și

$$\frac{d}{dt} \hat{x} = Y^{-1} \mathcal{B} e. \quad (22)$$

O soluție pentru \hat{x} se obține prin integrare.
Rezultă în acest caz

$$\hat{x}(t) = \hat{x}(t_0) + \int_{t_0}^t Y(\tau)^{-1} \mathcal{B}(\tau) e(\tau) d\tau. \quad (23)$$

Din (19) și cu presupunerea că $Y(t_0)$ este nesingulară, vectorul inițial $\hat{x}(t_0)$ va fi dat de ecuația :

$$\hat{x}(t_0) = Y(t_0)^{-1} x(t_0). \quad (24)$$

Pentru a obține pe $x(t)$, se premultiplică (23) cu $Y(t)$.
Dacă se introduce totodată expresia lui $\hat{x}(t_0)$ dată în (24), se obține :

$$x(t) = Y(t) Y(t_0)^{-1} x(t_0) + \int_{t_0}^t Y(t) Y(\tau)^{-1} \mathcal{B}(\tau) e(\tau) d\tau. \quad (25)$$

Introducerea lui $Y(t)$ în integrala este permisă, deoarece variabila de integrare nu este t , ci τ .

Cînd circuitul nu este sub acțiunea unei excitații din exterior, — $e(t) \equiv 0$ pentru $t \geq t_0$, — este evident din (25) că matricea $Y(t) Y(t_0)^{-1}$ caracterizează tranziția de la starea $x(t_0)$ din momentul t_0 , la $x(t)$, în momentul t . De aceea, matricea $Y(t) Y(\tau)^{-1}$ este denumită *matricea de tranziție a stării* și se notează $\Phi(t, \tau)$, adică :

$$\Phi(t, \tau) = Y(t) Y(\tau)^{-1}. \quad (26)$$

La cap. 4 s-a arătat că matricea de tranziție a stării este o funcție de $(t - \tau)$ pentru circuite invariante în timp ; *aceasta nu este adevărat pentru cazul mai general al circuitelor variabile în timp*. Soluția pentru x poate fi exprimată în termenii matricei de tranziție de stare, înlocuind (26) în (25) și se obține :

$$x(t) = \Phi(t, t_0) x(t_0) + \int_{t_0}^t \Phi(t, \tau) \mathcal{B}(\tau) e(\tau) d\tau. \quad (27)$$

Un caz special al soluției ecuației omogene

Înainte de a determina vectorul de stare $x(t)$ din (27) este necesar să se găsească matricea de tranziție de stare $\Phi(t, \tau)$, sau, în mod echivalent, $Y(t)$. În acest scop se consideră soluția ecuației matriceale omogene (21), în particular pentru $Y(t_0) = U$. Aceasta nu constituie de fapt o restricție, deoarece (24) impune doar că $Y(t_0)$ trebuie să comporte o matrice inversă.

În primul rând, considerăm ecuația scalară corespunzătoare

$$\frac{d}{dt} y = ay,$$

cu $y(t_0) = 1$. Soluția acestei ecuații este :

$$y(t) = \exp \left[\int_{t_0}^t a(\tau) d\tau \right].$$

Este de presupus deci că soluția ecuației matriceale (21) va fi de forma :

$$Y(t) = \exp \left[\int_{t_0}^t \mathcal{A}(\tau) d\tau \right]. \quad (28)$$

Se va arăta acum că aceasta este soluția, numai pentru cazul foarte special când produsul dintre $\mathcal{A}(t)$ și $\int_{t_0}^t \mathcal{A}(\tau) d\tau$ este comutativ.

Se știe, din definiția unei exponențiale matriceale, că

$$\exp \left[\int_{t_0}^t \mathcal{A}(\tau) d\tau \right] = \sum_{k=0}^{\infty} \frac{1}{k!} \left[\int_{t_0}^t \mathcal{A}(\tau) d\tau \right]^k. \quad (29)$$

Diferențiind ambii membri obținem

$$\frac{dt}{d} \exp \left[\int_{t_0}^t \mathcal{A}(\tau) d\tau \right] = \sum_{k=1}^{\infty} \frac{1}{k!} \frac{d}{dt} \left[\int_{t_0}^t \mathcal{A}(\tau) d\tau \right]^k. \quad (30)$$

S-a presupus, în mod tacit, că fiecare din seriile infinite de mai sus sînt convergente. Să examinăm un termen tipic din membrul al doilea al acestei ultime ecuații. Se poate arăta că

$$\frac{1}{k!} \frac{d}{dt} \left[\int_{t_0}^t \mathcal{A}(\tau) d\tau \right]^k = \frac{1}{k!} \sum_{i=1}^k \left[\int_{t_0}^t \mathcal{A}(\tau) d\tau \right]^{i-1} \times \mathcal{A}(t) \left[\int_{t_0}^t \mathcal{A}(\tau) d\tau \right]^{k-i} \quad (31)$$

Aceasta rezultă ca o generalizare din

$$\frac{d}{dt} \mathbf{A}^2 = \frac{d}{dt} \mathbf{A} \mathbf{A} = \left(\frac{d}{dt} \mathbf{A} \right) \mathbf{A} + \mathbf{A} \left(\frac{d}{dt} \mathbf{A} \right),$$

unde \mathbf{A} este orice matrice diferențiabilă.

În general $\mathcal{A}(t)$ nu se poate comuta cu $\int_{t_0}^t \mathcal{A}(\tau) d\tau$;

aceasta se poate demonstra relativ simplu cu ajutorul matricei

$$\mathcal{A}(t) = \begin{bmatrix} 1 & t \\ 1 & 1 \end{bmatrix}.$$

Prin urmare, numai dacă avem

$$\mathcal{A}(t) \left[\int_{t_0}^t \mathcal{A}(\tau) d\tau \right] = \left[\int_{t_0}^t \mathcal{A}(\tau) d\tau \right] \cdot \mathcal{A}(t),$$

vom obține,

$$\begin{aligned} \frac{1}{k!} \frac{d}{dt} \left[\int_{t_0}^t \mathcal{A}(\tau) d\tau \right]^k &= \frac{1}{k!} \sum_{i=1}^k \mathcal{A}(t) \left[\int_{t_0}^t \mathcal{A}(\tau) d\tau \right]^{k-i} = \\ &= \frac{1}{(k-1)!} \mathcal{A}(t) \left[\int_{t_0}^t \mathcal{A}(\tau) d\tau \right]^{k-1}. \end{aligned} \quad (32)$$

Ultimul rezultat provine din faptul că termenii din sumă nu depind de indexul de sumare i . Combinând acest rezultat cu (30), se găsește, în acest caz special, că :

$$\begin{aligned} \frac{d}{dt} \exp \left[\int_{t_0}^t \mathcal{A}(\tau) d\tau \right] &= \sum_{k=1}^{\infty} \mathcal{A}(t) \frac{1}{(k-1)!} \left[\int_{t_0}^t \mathcal{A}(\tau) d\tau \right]^{k-1} \\ &= \mathcal{A}(t) \exp \left[\int_{t_0}^t \mathcal{A}(\tau) d\tau \right]. \end{aligned} \quad (33)$$

Prin urmare, (28) este soluția ecuației omogene.

Cînd soluția ecuației omogene este dată de (28), se găsește că matricea de tranziție a stării, $\Phi(t, \tau)$ are o formă particulară simplă. Se știe că $\Phi(t, \tau) = \Phi(t, t_0) |_{t_0=\tau}$ și că $\Phi(t, t_0) = Y(t) Y(t_0)^{-1} = Y(t)$, deoarece $Y(t_0) = U$. Astfel, înlocuind pe t_0 prin τ , în integrala ce apare în (28), — relația pentru $\Phi(t, t_0) = Y(t)$, — se obține

$$\Phi(t, \tau) = \exp. \left[\int_{\tau}^t \mathcal{A}(\nu) d\nu \right]. \quad (34)$$

Exemplu. Înainte de a ne îndrepta atenția asupra soluției lui (21), cu mai puține condiții restrictive, — vom considera ca exemplu un circuit la care condiția precedentă de comutativitate este satisfăcută. Circuitul arată în fig. 10.2, avînd două rezistențe variabile în timp, se poate arăta ușor că satisface următoarea ecuație diferențială pentru vectorul de stare $[q_2 \ \lambda_5]'$:

$$\frac{d}{dt} \begin{bmatrix} q_2 \\ \lambda_5 \end{bmatrix} = \begin{bmatrix} -2t & -1 \\ 1 & -2t \end{bmatrix} \begin{bmatrix} q_2 \\ \lambda_5 \end{bmatrix} + \begin{bmatrix} 0 \\ -1 \end{bmatrix} [e(t)].$$

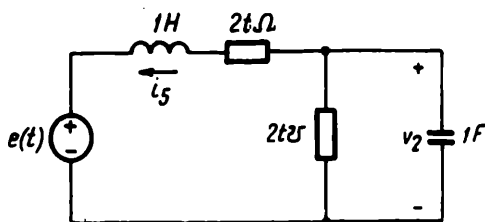


Fig. 10.2. Circuit variabil în timp.

Se poate demonstra ușor că produsul lui

$$\mathcal{A}(t) = \begin{bmatrix} -2t & -1 \\ 1 & -2t \end{bmatrix}$$

cu

$$\int_{t_0}^t \mathcal{A}(\tau) d\tau = \begin{bmatrix} -(t+t_0) & -1 \\ 1 & -(t+t_0) \end{bmatrix} (t-t_0),$$

este comutativ. Prin urmare, din (28) se obține

$$Y(t) = \exp \left\{ \begin{bmatrix} -(t+t_0) & -1 \\ 1 & -(t+t_0) \end{bmatrix} (t-t_0) \right\},$$

și, din (31) rezultă matricea de tranziție de stare

$$\Phi(t, \tau) = \exp \left\{ \begin{bmatrix} -(t+\tau) & -1 \\ 1 & -(t+\tau) \end{bmatrix} (t-\tau) \right\}.$$

Din teoria funcțiilor de matrice, stabilită în Cap. 4, rezultă că exponențiala matriceală pentru $\Phi(t, \tau)$ poate fi înlocuită printr-o formă concentrată echivalentă. Funcția corespunzătoare de s este $f(s) = e^{st - \tau}$.

După procedeele arătate în Cap. 4, forma echivalentă pentru $\Phi(t, \tau)$, se găsește a fi

$$\Phi(t, \tau) = \begin{bmatrix} \cos(t-\tau) & -\sin(t-\tau) \\ \sin(t-\tau) & \cos(t-\tau) \end{bmatrix} e^{-(t-\tau^2)}.$$

Aceasta se poate verifica aplicând procedeele menționate.

În sfârșit, prin substituirea acestei relații a lui $\Phi(t, \tau)$, în (27), se găsește pentru vectorul de stare

$$\begin{aligned} \begin{bmatrix} q_2(t) \\ \lambda_2(t) \end{bmatrix} &= e^{-(t-t_0)A_0} \begin{bmatrix} \cos(t-t_0) & -\sin(t-t_0) \\ \sin(t-t_0) & \cos(t-t_0) \end{bmatrix} \begin{bmatrix} q_2(t_0) \\ \lambda_2(t_0) \end{bmatrix} \\ &+ \int_{t_0}^t e^{-(t-\tau)A_0} \begin{bmatrix} \sin(t-\tau) \\ -\cos(t-\tau) \end{bmatrix} [e(\tau)] d\tau. \end{aligned}$$

Existența și unicitatea soluției ecuației omogene

S-a analizat mai sus soluția ecuației omogene (21), pentru cazul special când produsul lui $\mathcal{A}(t)$ cu $\int_{t_0}^t \mathcal{A}(\tau) d\tau$ este comutativ. Se va renunța acum la această restricție. În acest caz nu există nici o metodă generală pentru determinarea soluției. De fapt, de obicei trebuie să ne mulțumim, nu cu găsirea soluției, ci cu o seamă de rezultate ca: există una sau mai multe soluții; există o soluție unică și (sau) soluția are anumite proprietăți ce se pot defini, cum ar fi periodicitatea. Soluția propriu-zisă este deseori aproximată prin trunchierea unei serii de perturbații, prin iterație, sau prin integrare numerică. Primele procedee nu constituie obiectul prezentului volum ¹⁾.

Integrarea numerică va fi folosită în par. 10.5, unde se va trata despre metode numerice aplicabile la circuite variabile în timp, neliniare.

Aici, vom căuta să stabilim condițiile în care (21) posedă o soluție unică. Pentru a nu fi nici o ambiguitate, admitem că Y este o soluție, în sensul obișnuit, dacă satisface ecuația omogenă (21) pentru orice timp finit $t \geq t_0$, cu dY/dt la $t=t_0$ considerat ca derivata din dreapta ²⁾. Teorema următoare, bine cunoscută, ne furnizează condiția suficientă ³⁾.

Teorema 1. *Fiind dată orice $Y(t_0)$, ecuația diferențială omogenă (21) are o soluție unică în sensul obișnuit, egală cu $Y(t_0)$, la momentul t_0 , dacă \mathcal{A} este o funcție continuă de t , pentru $t_0 \leq t \leq \infty$.*

¹⁾ Pentru detalii, a se vedea Nicholas Minorsky, *Nonlinear Oscillations*, D. Von Nostrand Co., Princeton, N. J., 1962.

²⁾ Dacă limita există, atunci

$$\lim_{\Delta \rightarrow 0} \left[\frac{Y(t_0 + \Delta) - Y(t_0)}{\Delta} \right] \text{ cu } \Delta > 0$$

este derivată lui Y din dreapta la $t=t_0$.

³⁾ Pentru detalii privitoare la existența și unicitatea soluțiilor la ecuațiile diferențiale obișnuite, vezi „Earl A. Coddington și Norman Levinson, *Theory of Ordinary Differential Equations*, McGraw-Hill, New-York, 1955.

Este foarte posibil ca \mathcal{A} să nu fie continuă și totuși se poate să se găsească Y care să satisfacă ecuația diferențială pentru aproape toate valorile $t \geq t_0$. Pentru a ține seama de această situație, să integrăm ambii membri ai ecuației (21), de la t_0 la t , ca să obținem ecuația integrală asociată :

$$Y(t) = Y(t_0) + \int_{t_0}^t \mathcal{A}(\tau) Y(\tau) d\tau. \quad (35)$$

Introducem acum o nouă noțiune : vom zice că Y este o soluție a ecuației diferențiale (21) *în sens larg*, dacă satisface ecuația integrală (35) pentru orice timp finit $t \geq t_0$. Teorema următoare ne dă condiția suficientă¹⁾

Teorema 2. *Data fiind $Y(t_0)$, ecuația diferențială omogenă (21) are o soluție continuă unică, în înțeles larg, egală cu $Y(t_0)$, la momentul t_0 , dacă \mathcal{A} este o funcție locală integrabilă²⁾ pentru $t \geq t_0$.*

Condiția de suficientă a acestei a doua teoremă este considerată mult mai slabă decît aceea din prima teoremă ; de aceea se poate întîmpla ca soluția să nu satisfacă pe (21) în sens obișnuit.

Ca o ilustrare a acestor noțiuni, să considerăm circuitul din fig. 10.3, cu o conductanță variabilă discontinuu în timp. Ecuația de stare pentru acest circuit este :

$$\frac{d}{dt} q^2 = - [2u(t) - u(t-1)] q_2 + j(t).$$

Ecuația diferențială omogenă corespunzătoare la (21) este :

$$\frac{d}{dt} y = - [2u(t) - u(t-1)] y,$$

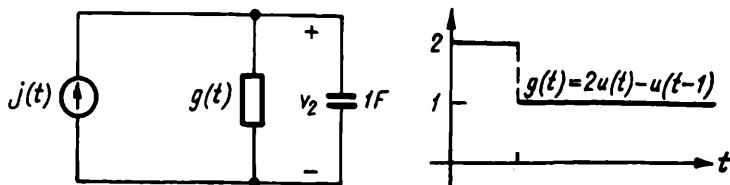


Fig. 10.3. Circuit variabil în timp, cu conductanță variabilă în timp, în mod discontinuu.

¹⁾ Vezi nota din subsol 3) din pagina precedentă.

²⁾ O funcție de vectori sau de matrice se zice că este *local integrabilă* dacă (a) fiecare din elementele ei este o funcție continuă, cu excepția unui număr finit de puncte pe intervale finite și (b) posedă o integrală Riemann proprie sau improprie și absolut convergentă, pe orice interval finit în care funcția este continuă.

și ecuația integrală corespunzătoare la (35), cu $t_0=0$, este

$$y(t) = y(0) - \int_0^t [2u(\tau) - u(\tau-1)]y(\tau) d\tau.$$

Acum se poate verifica ușor că

$$y(t) = \varepsilon^{-2t} \quad (0 \leq t \leq 1) \\ \varepsilon^{-1} \varepsilon^{-t} \quad (1 \leq t)$$

este o soluție a ecuației integrale și deci a ecuației diferențiale omogene, *în sens larg*. Se observă că nu este o soluție a ecuației diferențiale omogene, *în sensul obișnuit*, pentru $t=1$. Vom anticipa că o soluție în sens obișnuit poate să nu existe, deoarece $2u(t)-u(t-1)$ nu este continuă; mai mult, se știe că o soluție în sens larg există deoarece $\int_0^t [2u(\tau)-u(\tau-1)]d\tau$ există pentru orice t finit. În plus, teorema ne spune că soluția găsită este unica soluție continuă și deci nu e nevoie să mai căutăm alta.

Să considerăm acum o presupunere privitoare la soluția ecuației de stare, omogenă. Anume, presupunerea că $Y(t)^{-1}$ există pentru orice $t \geq t_0$ finit. Cu referire la cap. 1, se poate verifica ușor că :

$$\frac{d}{dt} |Y| = \sum_{k=1}^n \sum_{l=1}^n \frac{dy_{lk}}{dt} \Delta_{lk}, \quad (36)$$

unde prin y_{lk} s-a notat elementul (l, k) din Y și prin Δ_{lk} , cofactorul (l, k) din Y . Din (21) se știe că :

$$\frac{dy_{lk}}{dt} = \sum_{m=1}^n a_{lm} y_{mk}, \quad (37)$$

unde a_{lm} este elementul (l, m) din \mathcal{A} ; de aceea

$$\frac{d}{dt} |Y| = \sum_{k=1}^n \sum_{l=1}^n \sum_{m=1}^n a_{lm} y_{mk} \Delta_{lk}. \quad (38)$$

Deoarece $\sum_{k=1}^n y_{mk} \Delta_{lk} = \delta_{ml} |Y|$, se obține :

$$\frac{d}{dt} |Y| = \sum_{l=1}^n \sum_{m=1}^n a_{lm} \delta_{ml} |Y| = \left(\sum_{l=1}^n a_{ll} \right) |Y|. \quad (39)$$

Reamintind definiția pentru urma (tr) unei matrice, se vede că

$$\sum_{i=1}^n a_{ii} = \text{tr } \mathcal{A}. \text{ Astfel,}$$

$$\frac{d}{dt} |Y| = (\text{tr } \mathcal{A}) |Y|. \quad (40)$$

Aceasta este o ecuație diferențială scalară de ordinul 1, pentru determinantul lui Y . Soluția este, evident

$$|Y(t)| = \exp \left\{ \int_{t_0}^t [\text{tr } \mathcal{A}(\tau)] d\tau \right\} |Y(t_0)|.$$

Dar, cum $Y(t_0) = U$ implică $|Y(t_0)| = 1$, rezultă

$$|Y(t)| = \exp \left\{ \int_{t_0}^t [\text{tr } \mathcal{A}(\tau)] d\tau \right\}. \quad (41)$$

Acum este evident că $Y(t)^{-1}$ există, $-|Y(t)| \neq 0$, — cu condiția ca $\int_{t_0}^t [\text{tr } \mathcal{A}(\tau)] d\tau$ să fie finită pentru orice $t \geq t_0$ finit. Dacă oricare din cele două teoreme precedente este satisfăcută, $\int_{t_0}^t \mathcal{A}(\tau) d\tau$ este finită pentru $t \geq t_0$; prin urmare $\int_{t_0}^t [(\text{tr } \mathcal{A}(\tau))] d\tau = \text{tr} \int_{t_0}^t \mathcal{A}(\tau) d\tau$ este finită pentru $t \geq t_0$. În concluzie, $Y(t)$ este nesusținută, cu condiția ca una din teoremele 1 și 2 de mai sus să fie satisfăcută.

Soluția ecuației de stare — Existență și unicitate

Ne întoarcem iar la ecuația de stare (neomogenă) propriu-zisă. Trebuie precizat mai întâi ce constituie o soluție. Vom spune că x este o soluție în sens obișnuit, când ecuația de stare (18a) este satisfăcută pentru orice $t \geq t_0$ finit, cu dx/dt la $t=t_0$ considerată ca o derivată din dreapta. Următoarea teoremă¹⁾ se referă la existența unei soluții în sens obișnuit.

Teorema 3. Fiind dat orice $x(t_0)$, ecuația de stare (18a) are o soluție unică, în sens obișnuit, egală cu $x(t_0)$ la momentul t_0 , dacă \mathcal{A} și \mathcal{B} sînt funcții continue de t , pentru $t_0 \leq t < \infty$.

¹⁾ Vezi nota din subsol 2) din pag. 693.

Cînd condiția de suficiență de mai sus nu este satisfăcută, din cauză că \mathcal{A} și (sau) \mathcal{B} e nu sînt continue, va fi totuși posibil să se găsească un x care să satisfacă ecuația de stare pentru aproape toate valorile lui $t \geq t_0$. Pentru a face aceasta posibil trebuie să introducem ecuația integrală asociată, cum am făcut în cazul ecuației omogene. Aplicînd integrala la ambii membri din (18a), de la t_0 la t , se obține

$$x(t) = x(t_0) + \int_{t_0}^t [\mathcal{A}(\tau) x(\tau) + \mathcal{B}(\tau) e(\tau)] d\tau. \quad (42)$$

Vom zice că x este o soluție a ecuației de stare (18a), în înțeles larg, dacă satisface ecuația integrală (42) pentru orice $t \geq t_0$ finit. Rezultă că x va satisface ecuația integrală, dacă \mathcal{A} și \mathcal{B} e sînt funcții local integrabile. Așadar se poate enunța următoarea teoremă: ¹⁾

Teorema 4. *Fiind dat orice $x(t_0)$, ecuația de stare (18a) are o soluție unică, continuă, în sens larg, egală cu $x(t_0)$ la timpul t_0 , dacă \mathcal{A} și \mathcal{B} e sînt funcții local integrabile pentru $t \geq t_0$.*

Se observă că condițiile de suficiență ale acestor două teoreme includ și pe cele corespunzătoare la teoremele de existență pentru ecuația omogenă. Aceasta este interesant de știut. Rezultă, că, dacă ecuația de stare are o soluție unică, ecuația omogenă posedă și ea o soluție unică. Cu alte cuvinte metoda variației de parametru este o metodă valabilă, prin care se poate obține soluția, ori de cîte ori ecuația de stare posedă o soluție.

Trebuie remarcat că, în aceste teoreme, condițiile sînt numai condiții suficiente, iar nu condiții necesare și suficiente. Astfel, chiar dacă aceste condiții din teoreme nu sînt satisfăcute, o soluție poate exista și de fapt poate exista o soluție unică.

S-ar părea că discuția precedentă se referă la adevăruri evidente sau banale. Oare nu are orice circuit real o soluție?

Pentru a ilustra că nu este înțelept să admitem orbește existența unui răspuns unic de stare, să considerăm circuitul arătat în fig. 10.4. Ecuația de stare pentru acest circuit se găsește ușor că este ²⁾:

$$\frac{dq_1}{dt} = 4 \frac{1}{t^5} q_1$$

¹⁾ Vezi nota ¹⁾ de la pag. 693

²⁾ Aici și în tot acest capitol, dacă partea dreaptă a unei ecuații de stare indicată nu este definită ca un set distinct de puncte în t , pentru x fix, trebuie presupus că partea dreaptă a ecuației de stare este zero în aceste puncte. În acest caz se va căuta numai soluția în sens larg, astfel că situația de mai sus nu va afecta rezultatul.

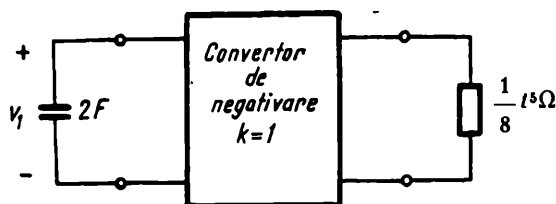


Fig. 10.1. Circuit variabil în timp care nu are o soluție unică.

Presupunem că $q_1(0)=0$. Atunci, se poate verifica ușor că expresia

$$q_1 = \alpha \exp(-t^{-4}) \quad (43)$$

este soluția pentru orice valoare finită a lui α . În fig. 10.5 sînt arătate mai multe soluții. Prima observație de făcut este că nu avem cazul cu soluția unică.

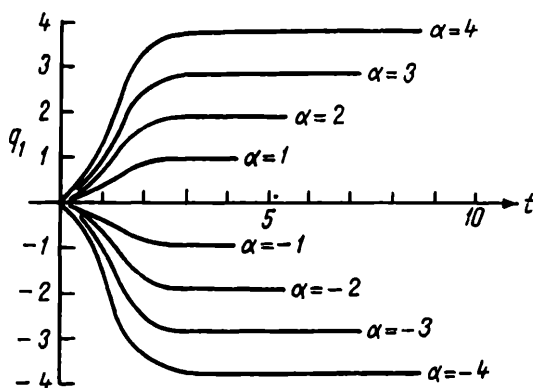


Fig. 10.5. Mai multe soluții, cu aceeași valoare inițială.

Într-adevăr, nu există nici o bază pentru a anticipa o soluție unică. Condițiile de suficiență din teorema a 2-a de mai sus nu sînt satisfăcute; adică $\int_0^t \mathcal{A}(\tau) d\tau = \int_0^t [4/\tau^5] d\tau$ nu există pentru orice $t > 0$. Mai mult, nu avem nici o bază pentru a anticipa măcar că există vreo soluție. De fapt nu există nici o soluție dacă valoarea inițială $q_1(0)$ este diferită de zero.

Circuite periodice

Clasa circuitelor variabile în timp este foarte cuprinzătoare, dacă nu se menționează nimic despre forma variației în timp. Este de așteptat ca, pentru unele forme speciale de variații în timp, să se poată obține rezultate suplimentare asupra soluției, care să fie valabile pentru acele clase de funcții de timp dar nu pentru altele. O clasă deosebit de importantă de funcții de timp este aceea a funcțiilor periodice. Vom considera acum cazul special când matricea \mathcal{A} a unui circuit variabil în timp este periodică. În acest caz este posibil să se stabilească unele proprietăți suplimentare ale soluției Y a ecuației omogene (21). Vom presupune că \mathcal{A} este periodică, cu perioada T ; adică $\mathcal{A}(t+T) = \mathcal{A}(t)$ pentru orice t .

În primul rînd se găsește că, dacă $Y(t)$ este o soluție a lui (21), atunci și $Y(t+T)$ este; adică, dacă avem o deplasare a variabilei timp, cu o mărime egală cu perioada lui \mathcal{A} , atunci o soluție a lui (21) va rămîne și aici o soluție. Pentru a arăta aceasta, să notăm că $Y(\tau)$ satisface condiția:

$$\frac{d}{d\tau} Y(\tau) = \mathcal{A}(\tau) Y(\tau). \quad (44)$$

Punînd $\tau = t + T$ se observă că

$$dY(\tau)/d\tau = (dY(t+T)/dt) (dt/d\tau) = dY(t+T)/dt.$$

De aceea (44) devine,

$$\frac{d}{dt} Y(t+T) = \mathcal{A}(t+T) Y(t+T) = \mathcal{A}(t) Y(t+T) \quad (45)$$

deoarece \mathcal{A} este periodică, astfel că $\mathcal{A}(t+T) = \mathcal{A}(t)$. Comparînd această ecuație cu (21) se constată că $Y(t+T)$ este o soluție a ecuației omogene.

Vom căuta acum să stabilim unele proprietăți ale soluției lui (21), cînd $\mathcal{A}(t)$ este periodică. În particular, ne vom ocupa de stabilitatea soluției. În cele ce urmează se va presupune că sînt satisfăcute condițiile suficiente, care garantează soluția unică pentru (21). Atunci, $Y(t+T)$ este soluția unică, avînd valoarea $Y(t_0+T)$ la timpul t_0 . Cum $Y(t)$ este nesingulară pentru $t \geq t_0$, matricea inversă $Y(t_0)^{-1}$ există. Acum se poate defini o matrice constantă M , care există

$$M = Y(t_0)^{-1} Y(t_0 + T). \quad (46)$$

Este ușor de verificat că $Y(t) M$ este o soluție a lui (21) și deci soluția unică, avînd valoarea $Y(t_0)M$ la timpul t_0 . Dacă premultiplicăm (46) cu

$Y(t_0)$, se vede că se obține $Y(t_0 + T) = Y(t_0)M$. De aceea, — deoarece soluția lui (21), cu valoare inițială $Y(t_0 + T) = Y(t_0)M$, este unică, urmează că soluțiile $Y(t)$ și $Y(t + T)$ sînt în relație liniară, adică

$$Y(t + T) = Y(t)M. \quad (47)$$

Acesta este un rezultat important și ne vom întoarce la el în curînd. Dar, mai întîi să arătăm că matricea M poate fi exprimată ca o exponențială matriceală de forma

$$M = e^{PT} \quad (48)$$

Trebuie doar să se arate că $\ln M$ există și deci

$$P = \frac{1}{T} \ln M \quad (49)$$

există și ea. Se observă că M este nesingulară, deoarece atât $Y(t_0)^{-1}$, cît și $Y(t_0 + T)$ din (46) sînt nesingulare. Din $d(s) = \det(sU - M)$ se vede că, punînd $s=0$, determinantul matricei este egal în modul cu termenul constant din ecuația caracteristică a matricei. Apoi, cum termenul constant este egal în modul cu produsul valorilor proprii ale matricei, se poate deduce că nici una din valorile proprii ale matricei nesingulare M , notate prin s_i , nu este zero.

Să notăm prin k numărul valorilor proprii distincte ale lui M și prin r_i ordinul lor de multiplicitate. Matricele constituante din M le notăm prin K_{ij} , cu $i=1 \dots k$ și $j=1, \dots, r_i$. Aplicînd dezvoltarea după matrice constituente din paragraful 4.4., avem :

$$P = \frac{1}{T} \sum_{i=1}^k \sum_{j=1}^{r_i} K_{ij} \left[\frac{1}{(j-1)!} \frac{d^{j-1}}{ds^{j-1}} \ln s \right]_{s=s_i}, \quad (50)$$

unde, pentru $j > 1$, $d^{j-1} \ln s / ds^{j-1}$ este egal, bineînțeles, cu $(-1)^{j-2} (j-2)! / s^{j-1}$. Cum nici una din valorile proprii nu este zero, aceste cantități, ca și $\ln s_i$, sînt finite. Deci P există.

Se observă că matricea P nu este definită în mod unic. Aceasta este o consecință a naturii polivalente a expresiei $\ln s_i$. Diferitele valori ale lui $\ln s_i$ diferă între ele printr-un termen aditional $j2\pi n$. În definirea lui P oricare din aceste valori ale lui $\ln s_i$ este satisfăcătoare.

Pentru a obține informații suplimentare asupra soluției, să presupunem că $Y(t)$ se poate scrie ca un produs de două funcții.

În particular, să considerăm

$$Y(t) = Q(t)e^{P(t-t_0)}, \quad (51)$$

unde P este dat de (49) și $Q(t)$ este o matrice ce urmează a fi determinată. De fapt, această expresie poate fi inversată, ca să rezulte $Q(t)$, astfel.

$$Q(t) Y = Y(t) e^{-P(t-t_0)}. \quad (52)$$

Acum se poate folosi relația (47) pentru a găsi ceva privitor la $Q(t)$. Înlocuind pe (51) în (47) se obține :

$$Q(t+T) e^{P(t+T-t_0)} = Q(t) e^{P(t-t_0)} M = Q(t) e^{P(t-t_0)} e^{PT}.$$

Ultima deducere rezultă din (48). Prin urmare

$$Q(t+T) = Q(t); \quad (55)$$

ceea ce înseamnă ca funcția $Q(t)$ este periodică, cu aceeași perioadă T ca și \mathcal{A} .

Este stabilit acum că $Y(t)$ poate fi exprimat ca un produs a unei matrice periodice $Q(t)$, cu o exponențială matriceală $e^{P(t-t_0)}$. Deoarece se știe că $Y(t)$ este continuă, $Q(t)$ va fi și ea continuă și deci mărginită ¹⁾ pe intervalul închis între t_0 și t_0+T . Atunci, cum $Q(t)$ este și periodică, va fi uniform mărginită pentru orice $t \geq t_0$. În consecință, comportarea lui $Y(t)$, când t tinde către infinit, este guvernată de comportarea exponențialei $e^{P(t-t_0)}$. Ținându-se cont că valorile caracteristice ale lui P sunt cunoscute ca *exponenți caracteristici* ai lui \mathcal{A} , se pot face următoarele observații :

1. Dacă toți exponenții caracteristici au partea reală negativă, atunci $e^{P(t-t_0)}$ și deci $Y(t)$ tind spre zero când t tinde spre infinit.
2. Dacă toți exponenții caracteristici au partea reală nepozitivă, atunci $e^{P(t-t_0)}$ și deci $Y(t)$ sînt mărginite când t tinde spre infinit.
3. Dacă unul sau mai mulți exponenți caracteristici au partea reală pozitivă, atunci $e^{P(t-t_0)}$ și deci $Y(t)$ sînt nemărginite când t tinde spre infinit. Este recomandabil să se verifice aceste enunțuri.

Astfel, stabilitatea soluției este legată de matricea P . Aceasta, la rîndul ei, este legată de M , prin (48) sau (49), și M este legată de soluția lui Y , prin (46). Totuși, această succesiune de legături nu ne folosește mult. Noi trebuie să cunoaștem pe P , pentru ca să putem spune ceva despre comportarea soluției, fără să fie necesar să găsim efectiv pe $Y(t)$. Din păcate, nu există o procedură generală prin care să se determine P , fără cunoașterea lui Y . Valoarea teoriei soluțiilor pentru \mathcal{A} periodic nu constituie deci un instrument de calcul, ci un mijloc pentru a ajunge la alte rezultate teoretice, mai folositoare. Se va vedea aceasta mai clar, mai departe.

¹⁾ O matrice se zice că este mărginită, dacă toate elementele componente sînt mărginite. Ele nu sînt mărginite, dacă unul sau mai multe elemente nu sînt mărginite.

În încheiere, trebuie observat că atât $\epsilon^{P(t-t_0)}$, cit și Q satisfac anumite ecuații diferențiale. Astfel, exponențiala $\epsilon^{P(t-t_0)}$ satisface

$$\frac{d}{dt} X = PX, \quad (56)$$

cu $X(t_0) = U$. În ceea ce privește Q , înlocuind pe $Y(t)$ din (51) în (21), se obține :

$$\frac{d}{dt} Q = Q - QP, \quad (57)$$

cu $Q(t_0) = Y(t_0)$.

10.3. PROPRIETĂȚI ALE SOLUȚIEI ECUAȚIEI DE STARE

Sîntem gata acum pentru a începe studiul proprietăților soluțiilor ecuației de stare, pentru un circuit variabil în timp. Aceasta se va face prin comparație cu un circuit oarecare de „referință”, despre a cărui soluție avem unele cunoștințe.

Lema lui Gronwall ¹⁾

În acest studiu ne vom baza mult pe următorul rezultat din analiza matematică, pe care-l vom discuta deci, în primul rînd :

Lema. Dacă

$$\varphi(t) \leq \gamma + \int_{t_0}^t [\psi(\tau)\varphi(\tau) + \theta(\tau)] d\tau, \quad (58)$$

unde φ , ψ , și θ , sînt funcții continue nenegative de t , pentru $t \geq t_0$ și unde γ este o constantă pozitivă, atunci

$$\varphi(t) \leq \gamma \exp \left\{ \int_{t_0}^t [\psi(\tau) + \theta(\tau)/\gamma] d\tau \right\} \quad (59)$$

¹⁾ Această leamnă mai este cunoscută și ca lema Gronwall-Bellman, în lucrările de analiză matematică.

Acest rezultat se numește Lema lui Gronwall și se demonstrează după cum urmează. Din (58) se vede că

$$\frac{\varphi(t)}{\gamma + \int_{t_0}^t [\psi(\tau)\varphi(\tau) + \theta(\tau)] d\tau} \leq 1. \quad (60)$$

Dacă multiplicăm ambii membri cu funcția nenegativă $\psi(t)$ și adunăm $\theta(t)/\left\{\gamma + \int_{t_0}^t [\psi(\tau)\varphi(\tau) + \theta(\tau)] d\tau\right\}$ la ambii membri, se vede că se obține,

$$\frac{\psi(t)\varphi(t) + \theta(t)}{\gamma + \int_{t_0}^t [\psi(\tau)\varphi(\tau) + \theta(\tau)] d\tau} \leq \psi(t) + \frac{\theta(t)}{\gamma + \int_{t_0}^t [\psi(\tau)\varphi(\tau) + \theta(\tau)] d\tau}. \quad (61)$$

Se observă că $\psi(\tau)\varphi(\tau) + \theta(\tau) \geq 0$ și, prin urmare, $\int_{t_0}^t [\psi(\tau)\varphi(\tau) + \theta(\tau)] d\tau \geq 0$. Astfel, $\theta(t)/\left\{\gamma + \int_{t_0}^t [\psi(\tau)\varphi(\tau) + \theta(\tau)] d\tau\right\} \leq \theta(t)/\gamma$. Folosind această inegalitate în (61), se obține

$$\frac{\psi(t)\varphi(t) + \theta(t)}{\gamma + \int_{t_0}^t [\psi(\tau)\varphi(\tau) + \theta(\tau)] d\tau} \leq \psi(t) + \frac{\theta(t)}{\gamma}.$$

Integrând ambii membri, de la t_0 la t , rezultă

$$\ln \left\{ \gamma + \int_{t_0}^t [\psi(\tau)\varphi(\tau) + \theta(\tau)] d\tau \right\} - \ln \gamma \leq \int_{t_0}^t \left[\psi(\tau) + \frac{\theta(\tau)}{\gamma} \right] d\tau,$$

ceea ce este echivalent cu

$$\gamma + \int_{t_0}^t [\psi(\tau)\varphi(\tau) + \theta(\tau)] d\tau \leq \gamma \exp \left\{ \int_{t_0}^t \left[\psi(\tau) + \frac{\theta(\tau)}{\gamma} \right] d\tau \right\}. \quad (62)$$

Combinând (58) cu (62), se obține inegalitatea indicată (59). Prin aceasta se termină demonstrația.

Acum, să ne întoarcem la ecuația de stare, pe care o reprezentăm aici :

$$\frac{d}{dt} \mathbf{x}(t) = \mathcal{A}(t) \mathbf{x}(t) + \mathcal{B}(t) \mathbf{e}(t).$$

Vom presupune că membrul doi este legat, într-un sens încă nedefinit, de membrul doi al *ecuației omogene de referință*.

$$\frac{d}{dt} \mathbf{x}(t) = \hat{\mathcal{A}}(t) \mathbf{x}(t).$$

Mai presupunem că toate soluțiile ecuației de referință, fie că se apropie de zero când t tinde spre infinit, fie că sînt mărginite. Ar fi de dorit să deducem, în consecință, că toate soluțiile ecuației de stare originală, fie că se apropie de zero, fie că sînt mărginite. Următoarele cîteva teoreme stabilesc condițiile precise, după care aceste deducții sînt valabile. Condițiile impuse de teoreme privitoare la diferența dintre $\mathcal{A}(t)$ și $\hat{\mathcal{A}}(t)$, și asupra lui $\mathcal{B}(t)\mathbf{e}(t)$, stabilesc în ce sens ecuația de stare este legată de ecuația omogenă de referință.

Proprietăți asimptotice relative la o referință invariantă în timp

Pentru circuite a căror ecuații de stare sînt legate (asemănătoare, într-un sens) de o ecuație omogenă invariabilă în timp, avem următoarea teoremă:

Teorema 5. *Dacă toate soluțiile din*

$$\frac{d}{dt} \mathbf{y} = \hat{\mathcal{A}} \mathbf{y}, \quad (63)$$

unde $\hat{\mathcal{A}}$ este o matrice constantă, sînt mărginite când $t \rightarrow \infty$, atunci toate soluțiile din

$$\frac{d}{dt} \mathbf{x} = \mathcal{A}(t) \mathbf{x} + \mathcal{B}(t) \mathbf{e}(t) \quad (64)$$

sînt mărginite când $t \rightarrow \infty$, cu condițiile

$$\int_{t_0}^{\infty} \|\mathcal{A}(t) - \hat{\mathcal{A}}\| dt < \infty \quad (65a)$$

$$\int_{t_0}^{\infty} \|\mathcal{B}(t) \mathbf{e}(t)\| dt < \infty. \quad (65b)$$

(Barele duble denotă norma matricei sau vectorului încadrat. În cap. 1 s-a tratat despre norme, care vor fi aplicate mai mult în restul prezentului capitol).

Această teoremă are o deosebită valoare, deoarece este foarte ușor să se stabilească dacă toate soluțiile ecuației de referință (63) sînt sau nu mărginite.

Reamintim că $\varepsilon^{\hat{\mathcal{A}}(t-t_0)} y(t_0)$ pentru orice $y(t_0)$ este o soluție a lui (63). Rezultă atunci imediat, din dezvoltarea în matrice constituate a lui $\varepsilon^{\hat{\mathcal{A}}(t-t_0)}$, că toate soluțiile vor fi mărginite, dacă nici una din valorile proprii ale lui \mathcal{A} nu are partea reală pozitivă.

Demonstrația teoremei 5 este următoarea. Se scrie ecuația de stare în forma

$$\frac{d}{dt} \mathbf{x} = \mathcal{A} \mathbf{x} + [\mathcal{A}(t) - \hat{\mathcal{A}}] \mathbf{x} + \mathcal{B}(t) \mathbf{e}(t).$$

Acum se poate arăta ușor că o ecuație integrală echivalentă este

$$\mathbf{x}(t) = \mathbf{y}(t) + \int_{t_0}^t \varepsilon^{\hat{\mathcal{A}}(t-\tau)} \{ [\mathcal{A}(\tau) - \hat{\mathcal{A}}] \mathbf{x}(\tau) + \mathcal{B}(\tau) \mathbf{e}(\tau) \} d\tau,$$

unde $\mathbf{y}(t)$ este soluția ecuației de referință (63), cu $\mathbf{y}(t_0) = \mathbf{x}(t_0)$ și $\varepsilon^{\hat{\mathcal{A}}(t-\tau)}$ este matricea de tranziție asociată cu (63). Luînd norma în ambii membri a ecuației integrale, aplicînd inegalitatea triunghiulară¹, și folosind inegalitatea pentru un produs de matrice, se obține relația:

$$||\mathbf{x}(t)|| \leq ||\mathbf{y}(t)|| + \int_{t_0}^t ||\varepsilon^{\hat{\mathcal{A}}(t-\tau)}|| \{ ||\mathcal{A}(\tau) - \hat{\mathcal{A}}|| ||\mathbf{x}(\tau)|| + ||\mathcal{B}(\tau) \mathbf{e}(\tau)|| \} d\tau.$$

Cum toate soluțiile lui (63) sînt mărginite, $||\mathbf{y}(t)||$ și $||\varepsilon^{\hat{\mathcal{A}}(t-\tau)}||$, cu $t_0 \leq \tau \leq t$, trebuie să fie mărginite pentru $t \geq t_0$.

Fie marginile respective $\gamma > 0$ și $\delta > 0$. Atunci

$$||\mathbf{x}(t)|| \leq \gamma + \int_{t_0}^t \{ \delta ||\mathcal{A}(\tau) - \hat{\mathcal{A}}|| ||\mathbf{x}(\tau)|| + \delta ||\mathcal{B}(\tau) \mathbf{e}(\tau)|| \} d\tau.$$

¹ Termenul „inegalitate triunghiulară” aplicat plină asum relației

$$||\mathbf{x}_1 + \mathbf{x}_2|| \leq ||\mathbf{x}_1|| + ||\mathbf{x}_2||,$$

$$\text{va fi aplicat acum relației integrale } ||\int_a^b \mathbf{x}(\tau) d\tau|| \leq \int_a^b ||\mathbf{x}(\tau)|| d\tau.$$

Aceasta este o extindere naturală a primei inegalități, dacă se consideră integrala ca o trecere la limită a unei sume.

Această expresie are forma din (58), astfel, încît se poate aplica lema lui Gronwall. Se asociază $||x(t)||$ cu $\varphi(t)$, $\delta ||\mathcal{A}(t) - \hat{\mathcal{A}}||$ cu $\psi(t)$ și $\delta ||\mathcal{B}(t)e(t)||$ cu $\theta(t)$. Atunci, pe baza lemei avem

$$\begin{aligned} ||x(t)|| &\leq \gamma \exp \left\{ \int_{t_0}^t [\delta ||\mathcal{A}(\tau) - \hat{\mathcal{A}}|| + (\delta/\gamma) ||\mathcal{B}(\tau)e(\tau)||] d\tau \right\} \\ &\leq \gamma \exp \left\{ \int_{t_0}^{\infty} [\delta ||\mathcal{A}(\tau) - \hat{\mathcal{A}}|| + (\delta/\gamma) ||\mathcal{B}(\tau)e(\tau)||] d\tau \right\}. \end{aligned}$$

A doua inegalitate este obținută punind pe t să tindă spre infinit. Membrul al doilea al acestei expresii este finit, din cauza condițiilor (65) ale teoremei. Astfel $||x(t)||$ este mărginită și, implicit, $x(t)$ este mărginită cînd $t \rightarrow \infty$. Teorema a fost astfel demonstrată.

Se observă că această teoremă, ca și altele ce urmează, nu oferă o metodă practică cu ajutorul căreia să se poată descoperi proprietățile de stabilitate ale soluției. În schimb, dacă este dată o ecuație de stare ca (64), teorema ne spune că trebuie să verificăm mai întîi că norma lui $\mathcal{B}e$ este integrabilă pe toată scara infinită a timpului. Apoi trebuie să căutăm o matrice constantă $\hat{\mathcal{A}}$, fără valori proprii în semiplanul drept, și, în sfîrșit, trebuie să verificăm că norma lui $\mathcal{A}(t) - \hat{\mathcal{A}}$ este integrabilă. Atunci putem conchide că soluția ecuației originale rămîne mărginită cînd $t \rightarrow \infty$.

Absența valorilor proprii a lui $\hat{\mathcal{A}}$ în semiplanul drept nu exclude prezența uneia sau mai multora pe axa $j\omega$. Totuși, dacă toate valorile proprii ale lui $\hat{\mathcal{A}}$ sînt în semiplanul stîng deschis, ele vor avea partea reală negativă. Atunci toate soluțiile ecuației omogene de referință (64) se vor apropia de zero. Cum aceasta este o proprietate mai restrictivă decît „mărginirea”, ar putea servi, eventual, pentru slăbirea condițiilor (65). Teorema următoare ne arată cum se poate obține aceasta.

Teorema 6. *Dacă toate soluțiile ecuației*

$$\frac{d}{dt} \mathbf{y} = \hat{\mathcal{A}} \mathbf{y}, \quad (63)$$

unde $\hat{\mathcal{A}}$ este o matrice constantă, se apropie de zero cînd $t \rightarrow \infty$, atunci toate soluțiile ecuației

$$\frac{d}{dt} \mathbf{x} = \mathcal{A}(t) \mathbf{x} + \mathcal{B}(t) \mathbf{e}(t) \quad (64)$$

sînt mărginite, cînd $t \rightarrow \infty$, cu condiția

$$\int_{t_0}^{\infty} ||\mathcal{A}(t) - \hat{\mathcal{A}}|| dt < \infty \quad (66)$$

și $\mathcal{B}(t) \mathbf{e}(t)$ este mărginită pentru $t \geq t_0$.

Adică, dacă $\hat{\mathcal{A}}$ nu are valori proprii în semiplanul drept și nici pe axa $j\omega$, atunci norma lui $\mathcal{B}\mathbf{e}$ nu trebuie să fie integrabilă pe tot timpul infinit. Este necesar numai ca $\mathcal{B}\mathbf{e}$ să fie mărginită.

Demonstrația este următoarea. Se pornește de la ecuația

$$\frac{d}{dt} \mathbf{z} = \hat{\mathcal{A}} \mathbf{z} + \mathcal{B}(t) \mathbf{e}(t).$$

Soluția acestei ecuații, cînd $\mathbf{z}(t_0) = 0$, este

$$\mathbf{z}(t) = \int_{t_0}^t \varepsilon^{\hat{\mathcal{A}}(t-\tau)} \mathcal{B}(\tau) \mathbf{e}(\tau) d\tau.$$

Luînd norma în ambii membri ai acestei ecuații și folosind inegalitățile obișnuite pentru norme, obținem :

$$||\mathbf{z}(t)|| \leq \int_{t_0}^t ||\varepsilon^{\hat{\mathcal{A}}(t-\tau)}|| ||\mathcal{B}(\tau) \mathbf{e}(\tau)|| d\tau.$$

Prin ipoteză, toate soluțiile lui (63) se apropie de zero cînd $t \rightarrow \infty$; de aceea, toate valorile proprii ale lui $\hat{\mathcal{A}}$ au partea reală negativă. Astfel, există constante pozitive α și δ , care satisfac inegalitatea $||\varepsilon^{\hat{\mathcal{A}}(t-\tau)}|| \leq \delta \varepsilon^{-\alpha(t-\tau)}$. Se recomandă să se verifice acest enunț și să se indice cum pot fi alese valorile α și δ . Mai departe, $\mathcal{B}(t) \mathbf{e}(t)$ este mărginită pentru $t \geq t_0$; de aceea norma ei este mărginită. Fie β o margine (limită) pentru $||\mathcal{B}(t) \mathbf{e}(t)||$. Înlocuind aceste margini în inegalitatea de mai sus, se ajunge la

$$||\mathbf{z}(t)|| \leq \int_{t_0}^t \beta \delta \varepsilon^{-\alpha(t-\tau)} d\tau = \frac{\beta \delta}{\alpha} [1 - \varepsilon^{-\alpha(t-t_0)}].$$

Această inegalitate arată că $||\mathbf{z}(t)||$ și deci $\mathbf{z}(t)$ sînt mărginite pentru $t \geq t_0$.

Să punem acum $w = x - z$. Prin diferențiere se obține $dw/dt = dx/dt - dz/dt$. Cum ecuațiile diferențiale pentru x și z determină pe dx/dt și dz/dt , se poate stabili ușor că w satisface ecuația diferențială,

$$\frac{d}{dt} w = \mathcal{A}(t) w + [\mathcal{A}(t) - \hat{\mathcal{A}}] z(t).$$

Această ecuație este asemănătoare cu ecuația de stare tratată în teorema precedentă (Teorema 5), cu $[\mathcal{B}(t) e(t)]$ înlocuită prin $[\mathcal{A}(t) - \hat{\mathcal{A}}] z(t)$. Astfel, dacă avem

$$\int_{t_0}^{\infty} ||[\mathcal{A}(t) - \hat{\mathcal{A}}] z(t)|| dt < \infty,$$

atunci concluzia teoremei precedente se aplică și $w(t)$ este mărginită când $t \rightarrow \infty$. Inegalitatea este evident adevărată deoarece: 1) se aplică condiția (66); 2) $||z(t)||$ este mărginită pentru $t \geq t_0$ și 3) există inegalitatea:

$$\int_{t_0}^{\infty} ||[\mathcal{A}(t) - \hat{\mathcal{A}}] z(t)|| dt \leq \int_{t_0}^{\infty} ||\mathcal{A}(t) - \hat{\mathcal{A}}|| ||z(t)|| dt.$$

S-a stabilit acum că $z(t)$ și $w(t)$ sînt mărginite când $t \rightarrow \infty$. Atunci $x(t) = w(t) + z(t)$ este mărginită când $t \rightarrow \infty$ și teorema este demonstrată.

Situația devine mai bună dacă nu există excitație exterioară, adică $\mathcal{B}(t) e(t) = 0$. Atunci concluzia ultimei teoreme poate fi întărită.

Teorema 7. *Dacă toate soluțiile ecuației*

$$\frac{d}{dt} y = \hat{\mathcal{A}} y,$$

unde $\hat{\mathcal{A}}$ este o matrice constantă, se apropie de zero când $t \rightarrow \infty$, atunci toate soluțiile ecuației

$$\frac{d}{dt} x = \mathcal{A}(t) x$$

se apropie de zero când $t \rightarrow \infty$, cu condiția ca $||\mathcal{A}(t) - \hat{\mathcal{A}}|| \leq \alpha/\delta$ pentru $t \geq t_0$.

Constantele α și δ au aceleași sensuri ca cele din teorema precedentă. Demonstrația teoremei 7 este lăsată ca exercițiu pentru cititor.

Pentru a ilustra a doua din cele trei teoreme precedente să considerăm un filtru ca în fig. 10.6. Ecuația de stare se scrie ușor astfel

$$\frac{d}{dt} \begin{bmatrix} q_2 \\ q_3 \\ q_4 \end{bmatrix} = \begin{bmatrix} -2 + 3t\varepsilon^{-t} & 1 - 3t\varepsilon^{-t} & 0 \\ 1 - 3t\varepsilon^{-t} & -2 + 3t\varepsilon^{-t} & 1 \\ 0 & 1 & -1 \end{bmatrix} \begin{bmatrix} q_2 \\ q_3 \\ q_4 \end{bmatrix} + \begin{bmatrix} 1 \\ 0 \\ 0 \end{bmatrix} [5 \sin(\omega_2 t + \theta)].$$

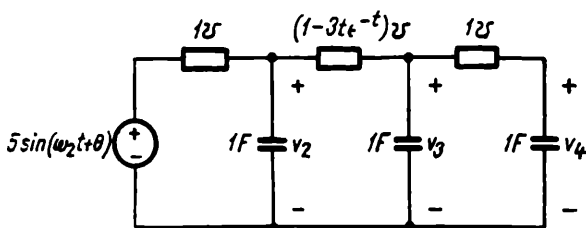


Fig. 10.6. Circuit variabil în timp.

Dacă $\|\mathcal{A}(t) - \hat{\mathcal{A}}\|$ trebuie să fie integrabilă de la t_0 la ∞ , atunci trebuie ales $\hat{\mathcal{A}}$ astfel ca $\lim (\mathcal{A}(t) - \hat{\mathcal{A}}) = 0$ când $t \rightarrow \infty$. În consecință, din examinarea lui $\mathcal{A}(t)$ se vede că

$$\hat{\mathcal{A}} = \begin{bmatrix} -2 & 1 & 0 \\ 1 & -2 & 1 \\ 0 & 1 & -1 \end{bmatrix}.$$

Apoi se determină polinomul caracteristic a lui $\hat{\mathcal{A}}$. Algoritmul matricii rezolvate, după cap. 4, poate servi la această determinare, printr-o metodă strict numerică. Astfel, se găsește polinomul caracteristic

$$d(s) = s^3 + 5s^2 + 6s + 1.$$

Folosind criteriul lui Routh discutat în cap. 9, se găsește, prin metode strict numerice, că toate zero-urile lui $d(s)$ au partea reală negativă. De aceea toate soluțiile lui (63) se apropie de zero, când $t \rightarrow \infty$.

Formăm norma expresiei $\mathcal{A}(t) - \hat{\mathcal{A}}$:

$$\mathcal{A}(t) - \hat{\mathcal{A}} = \begin{bmatrix} 3t\varepsilon^{-t} & -3t\varepsilon^{-t} & 0 \\ -3t\varepsilon^{-t} & 3t\varepsilon^{-t} & 0 \\ 0 & 0 & 0 \end{bmatrix},$$

apoi

$$\|\mathcal{A}(t) - \hat{\mathcal{A}}\|_1 = 6t\varepsilon^{-t}.$$

S-a ales în mod arbitrar, în acest exemplu, folosirea normei vectorului sumă de module și a normei matricei asociate. Acum, deoarece avem

$$\int_{t_0}^{\infty} \|\mathcal{A}(t) - \hat{\mathcal{A}}\|_1 dt = \int_{t_0}^{\infty} 6t\varepsilon^{-t} dt = 6(1 + t_0)\varepsilon^{-t_0},$$

condiția (66) din Teorema 6 este satisfăcută. În sfârșit,

$$\mathcal{B}(t) \mathbf{e}(t) = \begin{bmatrix} 1 \\ 0 \\ 0 \end{bmatrix} [5 \sin(\omega_2 t + \theta)]$$

este mărginită.

Astfel, toate condițiile Teoremei 6 s-au găsit că sînt satisfăcute. Deci, pe baza teoremei, avem că $\mathbf{x}(t) = [q_2(t) q_3(t) q_4(t)]$, este mărginită cînd $t \rightarrow \infty$. Se observă că s-a stabilit acest lucru fără să se calculeze explicit soluția ecuației de stare sau a lui (63).

Proprietăți asimptotice relative la o referință periodică

Ne vom îndrepta acum atenția spre circuite care sînt aproape de o descriere a lor printr-o ecuație omogenă cu coeficienți periodici. Vom numi acesta, o *ecuație de referință omogenă periodică*. Teorema ce urmează se referă la caracterul mărginit al vectorului de stare.

Teorema 8. *Dacă toate soluțiile ecuației*

$$\frac{d}{dt} \mathbf{y} = \hat{\mathcal{A}}(t) \mathbf{y}, \quad (67)$$

unde $\hat{\mathcal{A}}(t)$ este periodică, sînt soluții mărginite pentru $t \rightarrow \infty$, atunci toate soluțiile ecuației

$$\frac{d}{dt} \mathbf{x} = \mathcal{A}(t) \mathbf{x} + \mathcal{B}(t) \mathbf{e}(t)$$

sînt mărginite cînd $t \rightarrow \infty$, cu condițiile

$$\int_{t_0}^{\infty} \| \mathcal{A}(t) - \hat{\mathcal{A}}(t) \| dt < \infty \quad (68a)$$

$$\int_{t_0}^{\infty} \| \mathcal{B}(t) e(t) \| dt < \infty. \quad (68b)$$

Demonstrația acestei teoreme se bazează pe faptul că orice soluție a lui (67) poate fi exprimată sub forma $Q(t) \varepsilon^{P(t-t_0)} y(t_0)$, pentru un $y(t_0) = x(t_0)$; atunci, folosind matricea de tranziție $Q(t) \varepsilon^{P(t-\tau)} Q(\tau)^{-1}$, asociată cu (67), ecuația de stare va putea fi pusă în forma ecuației integrale echivalente

$$\frac{d}{dt} x = \hat{\mathcal{A}}(t) x + [\mathcal{A}(t) - \hat{\mathcal{A}}(t)] x + \mathcal{B}(t) e(t).$$

Considerăm că $y(t)$ este soluția ecuației de referință (67), cu $y(t_0) = x(t_0)$; atunci, folosind matricea de tranziție $Q(t) \varepsilon^{P(t-\tau)} Q(\tau)^{-1}$, asociată cu (67), ecuația de stare va putea fi pusă în forma ecuației integrale echivalente

$$x(t) = y(t) + \int_{t_0}^t Q(t) \varepsilon^{P(t-\tau)} Q(\tau)^{-1} \{ [\mathcal{A}(\tau) - \hat{\mathcal{A}}(\tau)] x(\tau) + \mathcal{B}(\tau) e(\tau) \} d\tau.$$

Luînd norma în ambii membri ai acestei ecuații și aplicînd inegalitățile obișnuite referitoare la norme, se obține :

$$\begin{aligned} \|x(t)\| &\leq \|y(t)\| + \int_{t_0}^t \|Q(t)\| \|\varepsilon^{P(t-\tau)}\| \|Q(\tau)^{-1}\| \\ &\quad \times \{ \|\mathcal{A}(\tau) - \hat{\mathcal{A}}(\tau)\| \|x(\tau)\| + \|\mathcal{B}(\tau) e(\tau)\| \} d\tau. \end{aligned} \quad (69)$$

Cum toate soluțiile ecuației de referință (67) sînt mărginite, $\|y(t)\|$ este mărginită pentru $t \geq t_0$ și nici unul din exponenții caracteristici asociați cu (67) nu au partea reală pozitivă. Astfel $\|\varepsilon^{P(t-\tau)}\|$, cu $t_0 \leq \tau \leq t$, este mărginită pentru $t \geq t_0$. Deoarece $Q(t)$ este nesingulară și periodică, $\|Q(t)\|$ și $\|Q(\tau)^{-1}\|$, cu $t_0 \leq \tau \leq t$, sînt mărginite pentru $t \geq t_0$. Fie γ și δ marginile corespunzătoare pentru $\|y(t)\|$ și $\|Q(t)\| \|\varepsilon^{P(t-\tau)}\| \|Q(\tau)^{-1}\|$. Folosind aceste margini în (69), se găsește că

$$\|x(t)\| \leq \gamma + \int_{t_0}^{\infty} [\delta \|\mathcal{A}(\tau) - \hat{\mathcal{A}}(\tau)\| \|x(\tau)\| + \delta \|\mathcal{B}(\tau) e(\tau)\|] d\tau.$$

sînt mărginite cînd $t \rightarrow \infty$, cu condițiile

$$\int_{t_0}^{\infty} \|\mathcal{A}(t) - \hat{\mathcal{A}}(t)\| dt < \infty \quad (68a)$$

$$\int_{t_0}^{\infty} \|\mathcal{B}(t) e(t)\| dt < \infty. \quad (68b)$$

Demonstrația acestei teoreme se bazează pe faptul că orice soluție a lui (67) poate fi exprimată sub forma $Q(t) \varepsilon^{P(t-t_0)} y(t_0)$, pentru un $y(t_0) = x(t_0)$; atunci, folosind matricea de tranziție $Q(t) \varepsilon^{P(t-\tau)} Q(\tau)^{-1}$, asociată cu (67), ecuația de stare va putea fi pusă în forma ecuației integrale echivalente

$$\frac{d}{dt} x = \hat{\mathcal{A}}(t) x + [\mathcal{A}(t) - \hat{\mathcal{A}}(t)] x + \mathcal{B}(t) e(t).$$

Considerăm că $y(t)$ este soluția ecuației de referință (67), cu $y(t_0) = x(t_0)$; atunci, folosind matricea de tranziție $Q(t) \varepsilon^{P(t-\tau)} Q(\tau)^{-1}$, asociată cu (67), ecuația de stare va putea fi pusă în forma ecuației integrale echivalente

$$x(t) = y(t) + \int_{t_0}^t Q(t) \varepsilon^{P(t-\tau)} Q(\tau)^{-1} \{[\mathcal{A}(\tau) - \hat{\mathcal{A}}(\tau)] x(\tau) + \mathcal{B}(\tau) e(\tau)\} d\tau.$$

Luînd norma în ambii membri ai acestei ecuații și aplicînd inegalitățile obișnuite referitoare la norme, se obține:

$$\begin{aligned} \|x(t)\| &\leq \|y(t)\| + \int_{t_0}^t \|Q(t)\| \|\varepsilon^{P(t-\tau)}\| \|Q(\tau)^{-1}\| \\ &\quad \times \{ \|\mathcal{A}(\tau) - \hat{\mathcal{A}}(\tau)\| \|x(\tau)\| + \|\mathcal{B}(\tau) e(\tau)\| \} d\tau. \end{aligned} \quad (69)$$

Cum toate soluțiile ecuației de referință (67) sînt mărginite, $\|y(t)\|$ este mărginită pentru $t \geq t_0$ și nici unul din exponenții caracteristici asociați cu (67) nu au partea reală pozitivă. Astfel $\|\varepsilon^{P(t-\tau)}\|$, cu $t_0 \leq \tau \leq t$, este mărginită pentru $t \geq t_0$. Deoarece $Q(t)$ este nesingulară și periodică, $\|Q(t)\|$ și $\|Q(\tau)^{-1}\|$, cu $t_0 \leq \tau \leq t$, sînt mărginite pentru $t \geq t_0$. Fie γ și δ marginile corespunzătoare pentru $\|y(t)\|$ și $\|Q(t)\| \|\varepsilon^{P(t-\tau)}\| \|Q(\tau)^{-1}\|$. Folosind aceste margini în (69), se găsește că

$$\|x(t)\| \leq \gamma + \int_{t_0}^{\infty} [\delta \|\mathcal{A}(\tau) - \hat{\mathcal{A}}(\tau)\| \|x(\tau)\| + \delta \|\mathcal{B}(\tau) e(\tau)\|] d\tau.$$

Aceasta este forma la care se poate aplica lema lui Gronwall. Dacă mai facem ca t să tindă spre infinit, rezultatul devine :

$$\| \mathbf{x}(t) \| \leq \gamma \exp \left\{ \int_{t_0}^{\infty} [\delta \| \mathcal{A}(\tau) - \hat{\mathcal{A}}(\tau) \| + (\delta/\gamma) \| \mathcal{B}(\tau) \mathbf{e}(\tau) \|] d\tau \right\}.$$

Apoi, din condițiile (68) ale teoremei, rezultă că $\| \mathbf{x}(t) \|$ este mărginită și deci $\mathbf{x}(t)$ este mărginită cind $t \rightarrow \infty$. Astfel, teorema s-a demonstrat.

Din nou condițiile teoremei pot fi ușurate, dacă i se aplică lui $\hat{\mathcal{A}}(t)$ restricții în plus. În loc de a cere numai ca soluțiile ecuației de referință omogenă periodică (67) să fie mărginite periodic, vom cere ca ele să se apropie de zero cind $t \rightarrow \infty$. Atunci condițiile (68) pot fi ușurate. Aceasta este enunțat mai precis în teorema următoare :

Teorema 9. *Dacă toate soluțiile din*

$$\frac{d}{dt} \mathbf{y} = \hat{\mathcal{A}}(t) \mathbf{y},$$

unde $\hat{\mathcal{A}}(t)$ este periodică, se apropie de zero cind $t \rightarrow \infty$, atunci toate soluțiile din

$$\frac{d}{dt} \mathbf{x} = \mathcal{A}(t) \mathbf{x} + \mathcal{B}(t) \mathbf{e}(t)$$

sînt mărginite cind $t \rightarrow \infty$, cu condiția

$$\int_{t_0}^{\infty} \| \mathcal{A}(t) - \hat{\mathcal{A}}(t) \| dt < \infty \quad (70)$$

și $\mathcal{B}(t) \mathbf{e}(t)$ să fie mărginită cind $t \geq t_0$.

În demonstrație, care nu se dă aici, trebuie urmărit ca toți exponenții caracteristici să aibă partea reală negativă. Aceasta este implicat prin presupunerea că toate soluțiile lui (67) se apropie de zero cind $t \rightarrow \infty$. Deci, există niște constante pozitive α și β , astfel ca $\| \varepsilon^{\beta(t-\tau)} \| \leq \delta \varepsilon^{-\alpha(t-\tau)}$.

În sfîrșit, ca și în teoremele precedente, dacă lipsește excitația, adică $\mathcal{B}(t) \mathbf{e}(t) = 0$, — concluzia poate fi făcută mult mai riguroasă.

Teorema 10. *Dacă toate soluțiile din*

$$\frac{d}{dt} \mathbf{y} = \hat{\mathcal{A}}(t) \mathbf{y},$$

unde $\hat{\mathcal{A}}(t)$ este periodică, se apropie de zero când $t \rightarrow \infty$, atunci toate soluțiile din

$$\frac{d}{dt} \mathbf{x} = \mathcal{A}(t) \mathbf{x}$$

se apropie de zero când $t \rightarrow \infty$, cu condiția ca $||(\hat{\mathcal{A}}(t) - \mathcal{A}(t))|| < \beta$, pentru $t \geq t_0$, unde β este o constantă pozitivă ce depinde de $\hat{\mathcal{A}}(t)$ și este stabilită în demonstrație.

Demonstrația este similară cu cea pentru Teorema 7.

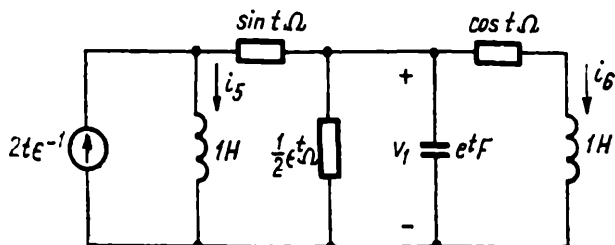


Fig. 10.7. Circuit variabil în timp, cu ecuație de referință omogenă periodică.

Pentru a ilustra prima din ultimul lot de teoreme, se consideră circuitul din fig. 10.7. Ecuația de stare este

$$\frac{d}{dt} \begin{bmatrix} q_1 \\ \lambda_5 \\ \lambda_6 \end{bmatrix} = \begin{bmatrix} 2 & -1 & -1 \\ \varepsilon^{-t} & -\sin t & 0 \\ \varepsilon^{-t} & 0 & -\cos t \end{bmatrix} \begin{bmatrix} q_1 \\ \lambda_5 \\ \lambda_6 \end{bmatrix} + \begin{bmatrix} 1 \\ \sin t \\ 0 \end{bmatrix} [2t\varepsilon^{-t}].$$

Norma expresiei, $||\mathcal{A}(t) - \hat{\mathcal{A}}(t)||$, va fi integrabilă de la t_0 la infinit, numai dacă $\lim_{t \rightarrow \infty} [\mathcal{A}(t) - \hat{\mathcal{A}}(t)] = 0$. Astfel, din examinarea lui $\mathcal{A}(t)$ rezultă :

$$\hat{\mathcal{A}}(t) = \begin{bmatrix} 2 & -1 & -1 \\ 0 & -\sin t & 0 \\ 0 & 0 & -\cos t \end{bmatrix}.$$

Se poate demonstra că soluția ecuației de referință (67) este :

$$y(t) = \begin{bmatrix} \varepsilon^{-2(t-t_0)} - \int_{t_0}^t \varepsilon^{-2(t-\tau)} \varepsilon^{\cos \tau - \cos t_0} d\tau & - \int_{t_0}^t \varepsilon^{-2(t-\tau)} \varepsilon^{-\sin \tau - \sin t_0} d\tau \\ 0 & \varepsilon^{\cos t - \cos t_0} & 0 \\ 0 & 0 & \varepsilon^{-\sin t - \sin t_0} \end{bmatrix} y(t_0).$$

Se vede că, pentru orice $y(t_0)$, soluția este mărginită când $t \rightarrow \infty$.
Să examinăm apoi expresia :

$$\mathcal{A}(t) - \hat{\mathcal{A}}(t) = \begin{bmatrix} 0 & 0 & 0 \\ \varepsilon^{-t} & 0 & 0 \\ \varepsilon^{-t} & 0 & 0 \end{bmatrix}$$

și

$$\mathcal{B}(t)e(t) = \begin{bmatrix} 2t\varepsilon^{-t} \\ 2t \sin t \varepsilon^{-t} \\ 0 \end{bmatrix}.$$

Pentru norma acestor expresii obținem :

$$\|\mathcal{A}(t) - \hat{\mathcal{A}}(t)\|_x = \varepsilon^{-t}$$

și

$$\|\mathcal{B}(t)e(t)\|_x = 2t\varepsilon^{-t}.$$

Se menționează că norma de maximum modul a vectorului este mai convenabilă pentru această problemă, decât norma de sumă de module, aceasta din urmă fiind o expresie foarte complicată pentru $\mathcal{B}(t)e(t)$.

În particular,

$$\|\mathcal{B}(t)e(t)\|_1 = 2t\varepsilon^{-t} + 2t|\sin t|\varepsilon^{-t}.$$

Este clar că cele două condiții (68) sînt satisfăcute, deoarece

$$\int_{t_0}^{\infty} \|\mathcal{A}(t) - \hat{\mathcal{A}}(t)\|_{\infty} dt = \varepsilon^{-t_0} < \infty$$

și

$$\int_{t_0}^{\infty} \|\mathcal{B}(t)e(t)\|_x dt = 2(1 + t_0)\varepsilon^{-t_0} < \infty.$$

Astfel, condițiile teoremei 8 sînt satisfăcute și vectorul $\mathbf{x} = [q_1 \ \lambda_5 \ \lambda_6]'$ este mărginit cînd $t \rightarrow \infty$. Spre deosebire de aceasta, în exemplul anterior era necesar să se rezolve ecuația omogenă $dy/dt = \hat{\mathcal{A}}(t)y$. Astfel, faptul că $\hat{\mathcal{A}}(t)$ nu este o constantă atrage după sine o muncă mai mare pentru aplicarea teoremei, decît în cazul cînd $\hat{\mathcal{A}}(t)$ este constantă.

Proprietăți asimptotice relative la o referință generală variabilă în timp

S-au discutat pînă aici cîteva teoreme care stabilesc condițiile ca soluția unei ecuații generale de stare (64), să posede proprietăți de mărginire asimptotice. Aceasta s-a făcut în legătură cu soluția unei ecuații de referință omogene, de forma

$$\frac{d}{dt} y = \hat{\mathcal{A}}(t) y. \quad (71)$$

S-au considerat două cazuri: 1) $\hat{\mathcal{A}}(t)$, matrice constantă și 2) $\hat{\mathcal{A}}(t)$ matrice periodică. Cînd $\hat{\mathcal{A}}(t)$ nu este limitată la aceste cazuri, dar se admite că soluția lui (71) are proprietatea asimptotică corespunzătoare, — ar fi tentant să se presupună că soluția generală a ecuației de stare va avea proprietăți asemănătoare, dacă $\mathcal{A}(t)$ și $\mathcal{B}(t)e(t)$ satisfac condiții asemănătoare. Această presupunere ar fi însă incorectă. Se pot da exemple pentru a dovedi aceasta.

Exemplu. Presupunem că

$$\mathcal{A}(t) = \begin{bmatrix} -\nu & 0 \\ e^{-\nu t} \sin t - t \cos t - 2\nu & \end{bmatrix}$$

și

$$\mathcal{B}(t) e(t) = \begin{bmatrix} 0 \\ 0 \end{bmatrix}.$$

Apoi, punem

$$\hat{\mathcal{A}}(t) = \begin{bmatrix} -\nu & 0 \\ 0 \sin t + t \cos t - 2\nu & \end{bmatrix},$$

Se verifică ușor că soluția ecuației de referință omogenă (71) este

$$\begin{aligned} y_1(t) &= e^{-\nu t} y_1(0) \\ y_2(t) &= e^t \sin t - 2\nu t y_2(0). \end{aligned}$$

Este clar că $y = [y_1 \ y_2]'$ este mărginită pentru $2\nu \geq 1$ și că, de fapt, se apropie de zero pentru $2\nu > 1$. Se observă că $\int_0^\infty \| \mathcal{A}(t) - \widehat{\mathcal{A}}(t) \|_\infty dt = \int_0^\infty e^{-\nu t} dt = 1/\nu < \infty$ și $\int_0^\infty \| \mathcal{A}(t) e(t) \|_\infty dt \equiv 0 < \infty$. S-a ales în mod arbitrar în acest exemplu norma de vector cu modul maxim și norma de matrice asociată. Soluția ecuației este:

$$x_1(t) = e^{-\nu t} x_1(0)$$

$$x_2(t) = e^{t \sin t - 2\nu t} \left[x_2(0) + x_1(0) \int_0^t e^{-\tau \sin \tau} d\tau \right].$$

Se recomandă verificarea acestor rezultate. Să ne referim la integrala din ultima expresie de mai sus. Se pune $t_n = 2n\pi + \pi/2$; atunci, cum $e^{-\tau \sin \tau}$ este pozitiv pentru $0 \leq \tau \leq t_n$, vom avea

$$\int_0^{t_n} e^{-\tau \sin \tau} d\tau > \int_{t_n - 5\pi/4}^{t_n - 3\pi/4} e^{-\tau \sin \tau} d\tau = \int_{2n\pi - 3\pi/4}^{2n\pi - \pi/4} e^{-\tau \sin \tau} d\tau.$$

Cea mai mică valoare a integrandului în intervalul de la $2n\pi - 3\pi/4$ până la $2n\pi - \pi/4$, apare la

$$\tau = 2n\pi - 3\pi/4 \text{ și este } e^{(2n\pi - 3\pi/4)/\sqrt{2}}. \text{ De aceea}$$

$$\begin{aligned} \int_0^{t_n} e^{-\tau \sin \tau} d\tau &> e^{(2n\pi - 3\pi/4)/\sqrt{2}} \int_{2n\pi - 3\pi/4}^{2n\pi - \pi/4} d\tau \\ &> \frac{\pi}{2} e^{(2n\pi - 3\pi/4)/\sqrt{2}}. \end{aligned}$$

Cum $2n\pi - 3\pi/4 = t_n - 5\pi/4$, rezultă

$$\int_0^{t_n} e^{-\tau \sin \tau} d\tau > \frac{\pi}{2} e^{-5\pi/4\sqrt{2}} e^{t_n/\sqrt{2}}$$

Acum știm că, pentru $t = t_n$, avem

$$x_2(t_n) > e^{t_n \sin t_n - 2\nu t_n} \left[x_2(0) + x_1(0) \frac{\pi}{2} e^{-5\pi/4\sqrt{2}} e^{t_n/\sqrt{2}} \right]$$

Deoarece $\sin t_n = \sin(2n\pi + \pi/2) = 1$, inegalitatea de mai sus se poate scrie:

$$x_2(t_n) > e^{(1-2\nu)t_n} \left[x_2(0) + x_1(0) \frac{\pi}{2} e^{-5\pi/4\sqrt{2}} e^{t_n/\sqrt{2}} \right].$$

Este evident căm dacă t_n tinde spre infinit, x_2 , (t_n) devine nemărginit cînd $2\nu < 1 + 1/\sqrt{2}$ și $x_1(0) \neq 0$. Aceasta atrage după sine și faptul că $\mathbf{x} = [x_1, x_2]'$ devine nemărginită cînd $t \rightarrow \infty$. Astfel, pentru $1 \leq 2\nu < 1 + 1/\sqrt{2}$, toate soluțiile ecuației de referință (71) sînt mărginite și unele soluții ale ecuației de stare sînt nemărginite.

Acest exemplu ne arată clar că modificarea ce am vrut s-o facem în teoremele anterioare nu este valabilă. Totuși, ar fi interesat de știut ce anume restricții suplimentare ar fi necesare pentru a obține rezultatul dorit. Ecuația de stare se poate scrie în forma :

$$\frac{d}{dt} \mathbf{x} = \mathcal{A}(t) \mathbf{x} + [\mathcal{A}(t) - \hat{\mathcal{A}}(t)] \mathbf{x} + \mathcal{B}(t) \mathbf{e}(t).$$

Fie $\mathbf{y}(t)$ soluția lui (71), cu $\mathbf{y}(t)_0 = \mathbf{x}(t_0)$ și fie $\mathbf{Y}(t) \mathbf{Y}(\tau)^{-1}$, matricea de tranziție asociată cu (71). Atunci, ecuația de stare are ecuația integrală echivalentă de forma :

$$\mathbf{x}(t) = \mathbf{y}(t) + \int_{t_0}^t \mathbf{Y}(t) \mathbf{Y}(\tau)^{-1} \{ [\mathcal{A}(\tau) - \hat{\mathcal{A}}(\tau)] \mathbf{x}(\tau) + \mathcal{B}(\tau) \mathbf{e}(\tau) \} d\tau.$$

Luînd norma la ambii membrii și aplicînd neegalitățile de normă ca mai sus, se obține:

$$\begin{aligned} \|\mathbf{x}(t)\| &\leq \|\mathbf{y}(t)\| + \int_{t_0}^t \|\mathbf{Y}(t)\| \|\mathbf{Y}(\tau)^{-1}\| \\ &\times \{ \|\mathcal{A}(\tau) - \hat{\mathcal{A}}(\tau)\| \|\mathbf{x}(\tau)\| + \|\mathcal{B}(\tau) \mathbf{e}(\tau)\| \} d\tau. \end{aligned}$$

Pentru a aplica lema lui Gronwall este necesar ca $\|\mathbf{y}(t)\|$, $\|\mathbf{Y}(t)\|$ și $\|\mathbf{Y}(\tau)^{-1}\|$, cu $t_0 < \tau < t$, să fie mărginite cînd $t > t_0$. Dacă toate soluțiile lui (71) sînt mărginite, $\|\mathbf{y}(t)\|$ și $\|\mathbf{Y}(t)\|$ sînt mărginite, totuși, nu se poate deduce că și $\|\mathbf{Y}(\tau)^{-1}\|$ este mărginită.

Astfel, avem nevoie de o condiție care să ne asigure că $\|\mathbf{Y}(\tau)^{-1}\|$ este mărginită. În acest scop să observăm că $\mathbf{Y}(t)^{-1} = \text{adj} [\mathbf{Y}(t)] / \det [\mathbf{Y}(t)]$ există pentru orice $t > t_0$ finit, cu condiția ca $\det [\mathbf{Y}(t)] \neq 0$, și este mărginită, dacă $\det [\mathbf{Y}(t)]$ este mărginită departe de zero. Acum să ne amintim din (41) că

$$\det [\mathbf{Y}(t)] = \exp \left\{ \int_{t_0}^t \text{tr} [\hat{\mathcal{A}}(\tau)] d\tau \right\}.$$

De aceea, dacă se adaugă condiția

$$\lim_{t \rightarrow \infty} \int_{t_0}^t \text{tr} [\hat{\mathcal{A}}(\tau)] d\tau > -\infty,$$

atunci $\det [Y(t)]$ este mărginit departe de zero și $\|Y(t)^{-1}\|$ este mărginită pentru $t \geq t_0$. În mod echivalent, $\|Y(\tau)^{-1}\|$ cu $t_0 \leq \tau \leq t$ este mărginită pentru $t \geq t_0$.

Cu această condiție adăugată, demonstrația se desfășoară ca în demonstrațiile anterioare, făcînd uz în acest scop de lema lui Gronwall. Demonstrația fiind astfel indicată, — efectuarea ei este lăsată pe seama cititorului, — vom enunța acum ultima teoremă din acest paragraf.

Teorema 11. *Dacă toate soluțiile din*

$$\frac{d}{dt} y = \hat{\mathcal{A}}(t)y$$

sînt mărginite cînd $t \rightarrow \infty$, atunci toate soluțiile din

$$\frac{d}{dt} x = \mathcal{A}(t)x + \mathcal{B}(t)e(t)$$

sînt mărginite cînd $t \rightarrow \infty$, cu condițiile

$$\lim_{t \rightarrow \infty} \int_{t_0}^t \text{tr} [\hat{\mathcal{A}}(\tau)] d\tau > -\infty \quad (72a)$$

$$\int_{t_0}^{\infty} \|\mathcal{A}(t) - \hat{\mathcal{A}}(t)\| dt < \infty \quad (72b)$$

$$\int_{t_0}^{\infty} \|\mathcal{B}(t)e(t)\| dt < \infty. \quad (72c)$$

Ultimele două condiții sînt aceleași ca înainte.

Modificarea se găsește în condiția (72a). Aceasta este prețul care se plătește pentru faptul că nu se limitează $\hat{\mathcal{A}}(t)$ să fie o simplă constantă sau o matrice periodică. Condiția (72a) este destul de severă; atît de mult încît, un circuit care este cunoscut că are un vector de stare mărginit asimptotic, după una din teoremele anterioare, s-ar putea să nu satisfacă pe (72a).

De exemplu, să presupunem că $\hat{\mathcal{A}}(t)$ este o matrice constantă și condițiile de la Teorema 5 sînt satisfăcute. În plus, să presupunem că toate soluțiile ecuației omogene de referință (63) se apropie de zero cînd $t \rightarrow \infty$, — adică admitem o condiție care cere mai mult decît „mărginirea” impusă prin Teorema 5 și prin Teorema 11. În acest caz condiția (72a) nu poate fi îndeplinită. Demonstrația este lăsată în sarcina cititorului.

Să aplicăm acum această ultimă teoremă la un exemplu. Se consideră circuitul din fig. 10.8. Toate elementele sînt variabile în timp. Ecuația de stare se găsește a fi

$$\frac{d}{dt} \begin{bmatrix} q_2 \\ \lambda_5 \end{bmatrix} = \begin{bmatrix} -(1-t \sin 2t) \varepsilon^{-3t} & -\varepsilon^{-t} \\ \varepsilon^{-t} & -1(1-2t) \varepsilon^{-3t} \end{bmatrix} \begin{bmatrix} q_2 \\ \lambda_5 \end{bmatrix} + \begin{bmatrix} 0 \\ -1 \end{bmatrix} [e(t)].$$

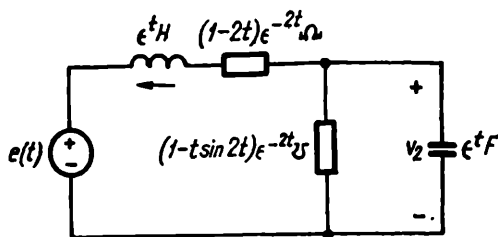


Fig. 10.8. Circuit variabil în timp.

Dacă condiția (72b) trebuie să fie satisfăcută, atunci $\hat{\mathcal{A}}(t)$ trebuie aleasă astfel ca $\lim_{t \rightarrow \infty} [\mathcal{A}(t) - \hat{\mathcal{A}}(t)] = 0$; o alegere posibilă este :

$$\hat{\mathcal{A}}(t) = \begin{bmatrix} -\varepsilon^{-3t} & 0 \\ 0 & -\varepsilon^{-3t} \end{bmatrix}.$$

Atunci, ecuația de referință (71) are soluția :

$$y(t) = \begin{bmatrix} \exp \left\{ \frac{1}{3} (\varepsilon^{-3t} - \varepsilon^{-3t_0}) \right\} & 0 \\ 0 & \exp \left\{ \frac{1}{3} (\varepsilon^{-3t} - \varepsilon^{-3t_0}) \right\} \end{bmatrix} y(t_0),$$

după cum se poate verifica. Se observă că soluția pentru orice $y(t_0)$ este mărginită cînd $t \rightarrow \infty$. Deoarece $\text{tr } \hat{\mathcal{A}}(t) = -2\varepsilon^{-3t}$, se găsește $\int_{t_0}^t \text{tr } \hat{\mathcal{A}}(t) dt = \frac{2}{3} \varepsilon^{-3t} - \varepsilon^{-3t_0}$ și deci condiția (72a) este satisfăcută.

Să examinăm acum celelalte condiții din (72). Pentru $\mathcal{A}(t) - \hat{\mathcal{A}}(t)$ se găsește

$$\mathcal{A}(t) - \hat{\mathcal{A}}(t) = \begin{bmatrix} t \sin 2t \varepsilon^{-3t} & -\varepsilon^{-t} \\ \varepsilon^{-t} & 2t \varepsilon^{-3t} \end{bmatrix}$$

și în consecință

$$\begin{aligned} \|\mathcal{A}(t) - \hat{\mathcal{A}}(t)\|_1 &= \max \{ \varepsilon^{-t} + t |\sin 2t| \varepsilon^{-3t}, \varepsilon^{-t} + 2t \varepsilon^{-3t} \} \\ &= \varepsilon^{-t} + 2t \varepsilon^{-3t}. \end{aligned}$$

Astfel, condiția (72b) este satisfăcută, deoarece

$$\int_{t_0}^{\infty} \|\mathcal{A}(t) - \hat{\mathcal{A}}(t)\|_1 dt = \varepsilon^{-t_0} + \frac{2}{9} (1 + 3t_0) \varepsilon^{-3t_0} < \infty.$$

Prin această teoremă se poate face acum următorul enunț: pentru orice tensiuni de excitație $e(t)$, la care condiția (72c) este satisfăcută, starea $[q_2(t) \lambda_5(t)]'$ a circuitului din fig. 10.8 este mărginită când $t \rightarrow \infty$.

10.4. FORMULAREA ECUAȚIEI DE STARE PENTRU CIRCUITE NELINIARE

Deși rezolvarea ecuațiilor liniare variabile în timp este mai dificilă decât rezolvarea celor liniare invariabile în timp, condițiile fundamentale de liniaritate permit aplicarea, la circuitele variabile în timp, a multor procedee cunoscute de la cazul cu invarianță în timp. Aceasta nu mai este adevărat pentru circuite neliniare, spre care ne îndreptăm acum atenția. Vom presupune, de la bun început, că circuitele pot fi atât variabile în timp, cât și neliniare. Pentru astfel de circuite este necesar, de fapt, să ne întoarcem la legile fundamentale, pentru a putea formula ecuațiile potrivite.

Formularea topologică

Formularea ecuațiilor de stare trebuie să combine relațiile topologice, exprimate prin relațiile lui Kirchhoff pentru un arbore normal (sau o pădure), — care sînt valabile independent de starea de liniaritate sau de variație în timp, — cu expresiile neliniare și variabile în timp, care leagă variabilele ce descriu relațiile din laturi. Etapele vor fi în paralel cu cele din cap. 4, unde s-au dedus ecuațiile de stare pentru circuite liniare, inva-

riante în timp. Pentru ușurință, se repetă aici ecuațiile topologice date în cap. 4. Notățiile sint conforme cu cele din acel capitol.

$$\dot{\mathbf{i}}_E = -\mathbf{Q}_{EC}'\dot{\mathbf{i}}_{Cl} - \mathbf{Q}_{ER}'\dot{\mathbf{i}}_{Rl} - \mathbf{Q}_{EL}'\dot{\mathbf{i}}_{Ll} - \mathbf{Q}_{EJ}'\dot{\mathbf{i}}_J \quad (73a)$$

$$\dot{\mathbf{i}}_{Cl} = -\mathbf{Q}_{CC}'\dot{\mathbf{i}}_{Cl} - \mathbf{Q}_{CR}'\dot{\mathbf{i}}_{Rl} - \mathbf{Q}_{CL}'\dot{\mathbf{i}}_{Ll} - \mathbf{Q}_{CJ}'\dot{\mathbf{i}}_J \quad (73b)$$

$$\dot{\mathbf{i}}_{Rl} = -\mathbf{Q}_{RR}'\dot{\mathbf{i}}_{Rl} - \mathbf{Q}_{RL}'\dot{\mathbf{i}}_{Ll} - \mathbf{Q}_{RJ}'\dot{\mathbf{i}}_J \quad (73c)$$

$$\dot{\mathbf{i}}_{Ll} = -\mathbf{Q}_{LL}'\dot{\mathbf{i}}_{Ll} - \mathbf{Q}_{LJ}'\dot{\mathbf{i}}_J \quad (73d)$$

$$\mathbf{v}_{Cl} = \mathbf{Q}_{EC}'\mathbf{v}_E + \mathbf{Q}_{CC}'\mathbf{v}_{Cl} \quad (73e)$$

$$\mathbf{v}_{Rl} = \mathbf{Q}_{RR}'\mathbf{v}_E + \mathbf{Q}_{CR}'\mathbf{v}_{Cl} + \mathbf{Q}_{RR}'\mathbf{v}_{Rl} \quad (73f)$$

$$\mathbf{v}_{Ll} = \mathbf{Q}_{EL}'\mathbf{v}_E + \mathbf{Q}_{CL}'\mathbf{v}_{Cl} + \mathbf{Q}_{RL}'\mathbf{v}_{Rl} + \mathbf{Q}_{LL}'\mathbf{v}_{Ll} \quad (73g)$$

$$\mathbf{v}_J = \mathbf{Q}_{EL}'\mathbf{v}_E + \mathbf{Q}_{CJ}'\mathbf{v}_{Cl} + \mathbf{Q}_{RJ}'\mathbf{v}_{Rl} + \mathbf{Q}_{LJ}'\mathbf{v}_{Ll} \quad (73h)$$

Detaliile de formulare vor fi diferite, în funcție de variabilele specifice alese drept componente ale vectorului de stare. Acestea pot fi tensiuni și curenți, sau sarcini electrice și fluxuri magnetice. Vom formula relațiile pe laturi așa ca elementele vectorului de stare să fie combinații liniare de sarcini pe capacități și combinații liniare de fluxuri în inductanțe. Se știe că

$$\dot{\mathbf{q}}_{Cl} = \frac{d}{dt} \mathbf{q}_{Cl} \quad (74a)$$

$$\dot{\mathbf{i}}_{Cl} = \frac{d}{dt} \mathbf{q}_{Cl}, \quad (74b)$$

unde elementele vectorilor \mathbf{q}_{Cl}' și \mathbf{q}_{Cl} sint respectiv sarcini pe capacitățile din ramuri (twig) și pe capacitățile din coarde (link). Vom presupune că sarcinile sint funcții neliniare de tensiunile de pe capacități. Astfel

$$\mathbf{q}_{Cl} = \mathbf{f}_{Cl}(\mathbf{v}_{Cl}) \quad (75a)$$

$$\mathbf{q}_{Cl} = \mathbf{f}_{Cl}(\mathbf{v}_{Cl}). \quad (75b)$$

unde \mathbf{f}_{Cl} și \mathbf{f}_{Cl} sint funcții vectoriale de \mathbf{v}_{Cl} și \mathbf{v}_{Cl} . În plus, ele pot fi și funcții de timp. După înlocuirea expresiilor (74a) și (74b) în (73b) și rearanjarea termenilor, se obține :

$$\frac{d}{dt}(\mathbf{q}_{Cl} + \mathbf{Q}_{CC}\mathbf{q}_{Cl}) = -\mathbf{Q}_{CR}\dot{\mathbf{i}}_{Rl} - \mathbf{Q}_{CL}\dot{\mathbf{i}}_{Ll} - \mathbf{Q}_{CJ}\dot{\mathbf{i}}_J. \quad (76)$$

Apoi, să exprimăm combinația liniară a sarcinilor $q_{cl} + Q_{cc} q_{cl}$ în termenii relațiilor (75). Astfel,

$$q_{cl} + Q_{cc} q_{cl} = f_{cl}(v_{cl}) + Q_{cc} f_{cl}(v_{cl}). \quad (77)$$

Înlocuind v_{cl} din ecuația lui Kirchhoff (73e), se obține

$$q_{cl} + Q_{cc} q_{cl} = f_{cl}(v_{cl}) + Q_{cc} f_{cl}(Q'_{ec} v_E + Q'_{cc} v_{cl}). \quad (78)$$

Vom presupune că această ecuație posedă o soluție unică pentru v_{cl} , pe care o scriem după cum urmează,

$$b_{cl} = g_{cl}(q_{cl} + Q_{cc} q_{cl}, v_E). \quad (79)$$

unde g_{cl} este o funcție vectorială, cu argumentele $q_{cl} + Q_{cc} q_{cl}$ și v_E .

Înainte de a dezvolta mai departe (76) și (79) ne întoarcem spre relațiile de laturi pentru inductanțe. Se știe că

$$\frac{d}{dt} \lambda_{Ll} = v_{Ll} \quad (80a)$$

$$\frac{d}{dt} \lambda_{Ll} = v_{Ll}. \quad (80b)$$

unde elementele lui λ_{Ll} și λ_{Ll} sînt respectiv fluxuri prin inductanțele de ramuri și prin inductanțele de coarde. Vom presupune că fluxurile sînt funcții neliniare de curenți în inductanțe.

Astfel,

$$\lambda_{Ll} = f_{Ll}(i_{Ll}, i_{Ll}) \quad (81a)$$

$$\lambda_{Ll} = f_{Ll}(i_{Ll}, i_{Ll}), \quad (81b)$$

unde f_{Ll} și f_{Ll} sînt funcții vectoriale de i_{Ll} și i_{Ll} . Ele pot fi în același timp și funcții de timp.

Apoi înlocuim (80a) și (80b) în expresia topologică (73g) și rearanjăm termenii pentru a stabili următoarea expresie :

$$\frac{d}{dt} (\lambda_{Ll} - Q'_{Ll} \lambda_{Ll}) = Q'_{CL} v_{Cl} + Q'_{RL} v_{El} + Q'_{EL} v_{El}. \quad (82)$$

Combinatia liniară a fluxurilor $\lambda_{Li} - Q'_{LL}\lambda_{Li}$ poate fi exprimată în termenii relațiilor din (81), după cum urmează :

$$\lambda_{Li} - Q'_{EL}\lambda_{Li} = f_{Li}(i_{Li}, i_{Li}) - Q'_{LL}f_{Li}(i_{Li}, i_{Li}). \quad (83)$$

Înlocuind i_{Li} din ecuația lui Kirchhoff (73d) se obține,

$$\begin{aligned} \lambda_{Li} - Q'_{LL}\lambda_{Li} &= f_{Li}(-Q_{LL}i_{Li} - Q_{LJ}i_{J, L}) \\ &- Q'_{LL}f_{Li}(-Q_{LL}i_{Li} - Q_{LJ}i_{J, L}). \end{aligned} \quad (84)$$

Vom presupune că această ecuație posedă o soluție unică pentru i_{Li} , în termeni de $\lambda_{Li} - Q'_{LL}\lambda_{Li}$ și i_J , care poate fi exprimată ca

$$i_{Li} = g_{Li}(\lambda_{Li} - Q'_{LL}\lambda_{Li}, i_J), \quad (85)$$

unde g_{Li} este o funcție vectorială de argumentele indicate.

Să înlocuim acum (85) în (76) și (79) în (82). Astfel,

$$\frac{d}{dt}(q_{Ci} + Q_{CC}q_{Ci}) = -Q_{CR}i_{Ri} - Q_{CL}g_{Li}(\lambda_{Li} - Q'_{LL}\lambda_{Li}, i_J) - Q_{CJ}i_J \quad (86a)$$

$$\frac{d}{dt}(\lambda_{Li} - Q'_{LL}\lambda_{Li}) = Q'_{CL}g_{Ci}(q_{Ci} + Q_{CC}q_{Ci}, v_E) + Q'_{RL}v_{Ri} + Q'_{EL}v_E. \quad (86b)$$

Dacă n-ar fi fost prezența variabilelor i_{Ri} și v_{Ri} a rezistențelor de lature, am fi avut perechea dorită de ecuații diferențiale vectoriale de ordinul întâi pentru $q_{Ci} + Q_{CC}q_{Ci}$ și $\lambda_{Li} - Q'_{LL}\lambda_{Li}$. De aceea ne îndreptăm atenția acum asupra relațiilor de laturi pentru rezistențe.

Să presupunem că relațiile între tensiunile pe rezistențe și curenții din aceste rezistențe pot fi exprimate prin ecuația vectorială implicită :

$$f_R(i_{Ri}, v_{Ri}, i_{Ri}, v_{Ri}) = 0. \quad (87)$$

Aceasta este corespondenta lui (125) din cap. 4. Dacă substituim ecuațiile lui Kirchhoff (73c) și (73f) în această ecuație implicită, obținem :

$$\begin{aligned} f_R(-Q_{RR}i_{RL} - Q_{RL}i_{Li} - Q_{RJ}i_{J, R}, v_{Ri}, i_{Ri}, \\ Q'_{ER}v_E + Q'_{CR}v_{Ci} + Q'_{RR}v_{Ri}) = 0. \end{aligned} \quad (88)$$

Apoi, substituind pe (79) și (85) în această expresie, avem :

$$\begin{aligned} f_R(-Q_{RR}i_{Ri} - Q'_{RL}g_{Li}(\lambda_{Li} - Q'_{LL}\lambda_{Li}, i_J) - Q_{RJ}i_{J, R}, v_{Ri}, i_{Ri}, \\ Q'_{ER}v_E + Q'_{CR}g_{Ci}(q_{Ci} + Q_{CC}q_{Ci}, v_E) + Q'_{RR}v_{Ri}) = 0. \end{aligned} \quad (89)$$

Aceasta este corespondenta lui (126) din cap. 4. Reamintim că acolo am presupus doar că anumite matrice nu erau singulare, astfel că acele ecuații puteau fi inversate. În mod analog, presupunem că (89) poate fi

rezolvată pentru \mathbf{v}_{Rl} și \mathbf{i}_{Rl} , în termeni de $\mathbf{q}_{Cl} + \mathbf{Q}_{CC}\mathbf{q}_{Cl}$, $\lambda_{Ll} - \mathbf{Q}'_{LL}\lambda_{Ll}$, \mathbf{v}_E și \mathbf{i}_J . Soluția va avea expresia implicită :

$$\mathbf{v}_{Rl} = \mathbf{g}_{Rl}(\mathbf{q}_{Cl} + \mathbf{Q}_{CC}\mathbf{q}_{Cl}, \lambda_{Ll} - \mathbf{Q}'_{LL}\lambda_{Ll}, \mathbf{v}_E, \mathbf{i}_J) \quad (90a)$$

$$\mathbf{i}_{Rl} = \mathbf{g}_{Rl}(\mathbf{q}_{Cl} + \mathbf{Q}_{CC}\mathbf{q}_{Cl}, \lambda_{Ll} - \mathbf{Q}'_{LL}\lambda_{Ll}, \mathbf{v}_E, \mathbf{i}_J). \quad (90b)$$

Substituind aceste două expresii, pentru \mathbf{v}_{Rl} și \mathbf{i}_{Rl} în (86), se obțin ecuațiile diferențiale dorite

$$\begin{aligned} \frac{d}{dt}(\mathbf{q}_{Cl} + \mathbf{Q}_{CC}\mathbf{q}_{Cl}) = & -\mathbf{Q}_{CR}\mathbf{g}_{Rl}(\mathbf{q}_{Cl} + \mathbf{Q}_{CC}\mathbf{q}_{Cl}, \lambda_{Ll} - \mathbf{Q}'_{LL}\lambda_{Ll}, \mathbf{v}_E, \mathbf{i}_J) \\ & - \mathbf{Q}_{CL}\mathbf{g}_{Ll}(\lambda_{Ll} - \mathbf{Q}'_{LL}\lambda_{Ll}, \mathbf{i}_J) - \mathbf{Q}_{CJ}\mathbf{i}_J \end{aligned} \quad (91a)$$

$$\begin{aligned} \frac{d}{dt}(\lambda_{Ll} - \mathbf{Q}'_{LL}\lambda_{Ll}) = & \mathbf{Q}'_{RL}\mathbf{g}_{Rl}(\mathbf{q}_{Cl} + \mathbf{Q}_{CC}\mathbf{q}_{Cl}, \lambda_{Ll} - \mathbf{Q}'_{LL}\lambda_{Ll}, \mathbf{v}_E, \mathbf{i}_J) \\ & + \mathbf{Q}'_{CL}\mathbf{g}_{Ll}(\lambda_{Ll} - \mathbf{Q}'_{LL}\lambda_{Ll}, \mathbf{i}_J) + \mathbf{Q}'_{EL}\mathbf{v}_E. \end{aligned} \quad (91b)$$

Vom considera că elementele vectorului de stare sînt combinații liniare de sarcini pe capacități și fluxuri în inductanțe.

Astfel,

$$\mathbf{x} = \begin{bmatrix} \mathbf{q}_{Cl} + \mathbf{Q}_{CC}\mathbf{q}_{Cl} \\ \lambda_{Ll} - \mathbf{Q}'_{LL}\lambda_{Ll} \end{bmatrix}. \quad (92)$$

Vectorul de excitație este definit prin

$$\mathbf{e} = \begin{bmatrix} \mathbf{v}_E \\ \mathbf{i}_J \end{bmatrix}. \quad (93)$$

cum a mai fost anterior. Atunci cele două ecuații diferențiale (91) pot fi combinate și exprimate ca o ecuație diferențială vectorială :

$$\frac{d}{dt} \mathbf{x} = \mathbf{h}(\mathbf{x}, \mathbf{e}), \quad (94)$$

unde \mathbf{h} este o funcție vectorială de \mathbf{x} și de \mathbf{e} , care este determinată prin membrii din dreapta a ecuațiilor diferențiale (91) și relațiile de definiție (92) și (93) pentru \mathbf{x} și \mathbf{e} . Se poate determina ușor expresia explicită a lui \mathbf{h} . Mai departe, \mathbf{h} , poate fi și o funcție explicită de timp ; cînd este necesar să se puă în evidență aceasta, se va scrie (94) astfel :

$$\frac{d}{dt} \mathbf{x} = \mathbf{h}(\mathbf{x}, \mathbf{e}, t). \quad (95)$$

Cum \mathbf{x} este un *vector de stare* a circuitelor, oricare din cele două ultime ecuații diferențiale de \mathbf{x} , va fi denumită *ecuație de stare*.

S-a arătat o metodă pentru desfășurarea ecuației de stare a unui circuit neliniar, în care relațiile variabilelor de latură pot fi exprimate în forma specificată în (74), (80) și (87) și pentru care ecuațiile algebrice (78), (84) și (89) au soluții după cum s-a presupus. Pentru orice problemă particulară, nu se va lua expresia finală și nu se va substitui în ea valorile numerice corespunzătoare. În schimb, se vor repeta etapele din procedeu pentru problema particulară respectivă. Rezultatele obținute sînt generale; în anumite cazuri specifice, liniaritatea unor elemente componente va permite unele simplificări, ce vor ieși la iveală numai cînd se urmează etapele detaliate ale formulării.

Exemplu. Să aplicăm acest procedeu de formulare la circuitul arătat în fig. 9a — Cu modelul obișnuit pentru triodă la frecvențe joase, circuitul poate fi redeseinat ca în fig. 9b. În circuit există o inductanță neliniară și o sursă dependentă, neliniară. În fig. 9, c se arată graful circuitului și arborele normal. Nu există nici o degenerare, astfel că matricea fundamentală de grup tăiat (secțiune) este determinată ușor și se folosește pentru exprimarea ecuațiilor Kirchhoff ca în (73). Astfel,

$$[i_1] = [-1 \ 0 \ -1 \ 0 \ 0] \begin{pmatrix} i_6 \\ i_7 \\ i_8 \\ i_9 \\ i_{10} \end{pmatrix} + [0] [i_{11}]$$

$$\begin{bmatrix} i_2 \\ i_3 \\ i_4 \end{bmatrix} = \begin{bmatrix} 1 & 0 & 1 & 0 & 0 \\ 1 & -1 & 0 & -1 & 0 \\ 0 & 0 & 0 & 1 & -1 \end{bmatrix} \begin{bmatrix} i_6 \\ i_7 \\ i_8 \\ i_9 \\ i_{10} \end{bmatrix} + \begin{bmatrix} 0 \\ 0 \\ -1 \end{bmatrix} [i_{11}].$$

$$[i_5] = [0 \ 0 \ 0 \ -1 \ 0] \begin{bmatrix} i_6 \\ i_7 \\ i_8 \\ i_9 \\ i_{10} \end{bmatrix} + [0] [i_{11}]$$

$$\begin{bmatrix} v_6 \\ v_7 \\ v_8 \\ v_9 \\ v_{10} \end{bmatrix} = \begin{bmatrix} 1 \\ 0 \\ 1 \\ 0 \\ 0 \end{bmatrix} [v_1] + \begin{bmatrix} -1 & -1 & 0 \\ 0 & 1 & 0 \\ -1 & 0 & 0 \\ 0 & 1 & -1 \\ 0 & 0 & 1 \end{bmatrix} \begin{bmatrix} v_2 \\ v_3 \\ v_4 \end{bmatrix} + \begin{bmatrix} 0 \\ 0 \\ 0 \\ 1 \\ 0 \end{bmatrix} [v_5]$$

$$[v_{11}] = [0] [v_1] + [0 \ 0 \ 1] \begin{bmatrix} v_2 \\ v_3 \\ v_4 \end{bmatrix} + [0] [v_5].$$

Pentru relațiile pe laturi avem, corespunzător cu (75)

$$\begin{bmatrix} q_2 \\ q_3 \\ q_4 \end{bmatrix} = \begin{bmatrix} 1 & 0 & 0 \\ 0 & 1 & 0 \\ 0 & 0 & 1/10 \end{bmatrix} \begin{bmatrix} v_2 \\ v_3 \\ v_4 \end{bmatrix}.$$

În acest caz relația funcțională este liniară. Într-adevăr, aceasta este ușor de rezolvat pentru $[v_2 \ v_3 \ v_4]'$, în termeni de $[q_2 \ q_3 \ q_4]'$; se obține,

$$\begin{bmatrix} v_2 \\ v_3 \\ v_4 \end{bmatrix} = \begin{bmatrix} 1 & 0 & 0 \\ 0 & 1 & 0 \\ 0 & 0 & 10 \end{bmatrix} \begin{bmatrix} q_2 \\ q_3 \\ q_4 \end{bmatrix}$$

ca și în cazul particular (79). În mod analog, corespunzător cu (81), avem :

$$[\lambda_{11}] = \left[\frac{1}{10} \text{th } i_{11} \right],$$

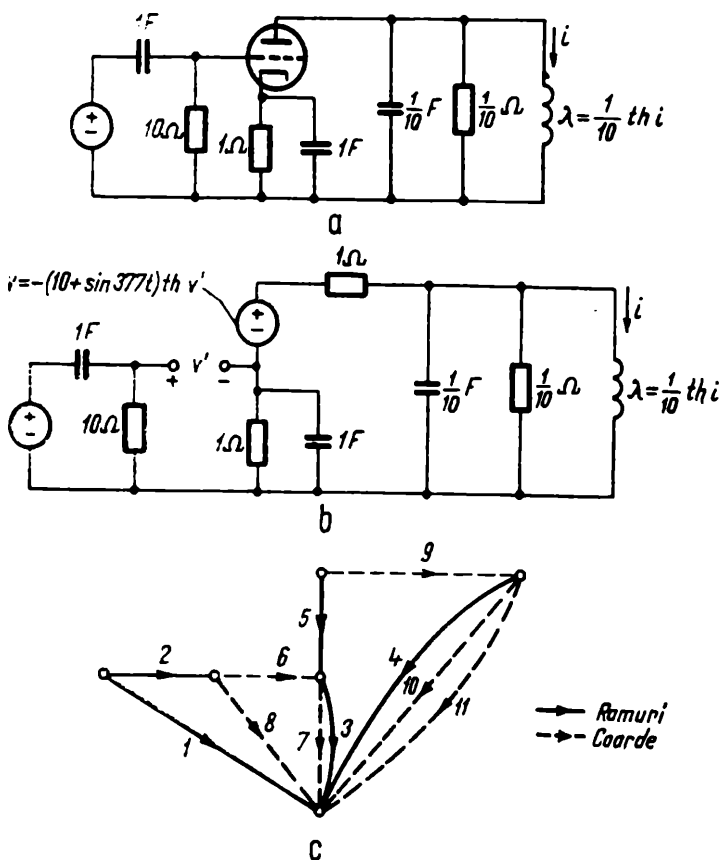


Fig. 10.9. Circuit de amplificator, variabil în timp, neliniar.

de unde

$$[i_{11}] = \operatorname{arth} 10 \lambda_{11}.$$

care este cazul particular în (85).

Corespunzător cu (87), pentru laturile rezistive avem

$$\begin{bmatrix} v_5 - 10 + \sin 377t) \operatorname{th} v_6 \\ i_6 \\ i_7 - v_7 \\ i_8 - v_8 \frac{1}{10} \\ i_9 - v_9 \\ i_{10} - 10v_{10} \end{bmatrix} = \begin{bmatrix} 0 \\ 0 \\ 0 \\ 0 \\ 0 \\ 0 \end{bmatrix}$$

Se substituie rezultatele ecuației Kiechhoff, care dau pe $[v_6 \ v_7 \ v_8 \ v_9 \ v_{10}]'$, în funcție de tensiunile pe laturile arborelui; se obține :

$$\begin{bmatrix} 0 \\ 0 \\ 0 \\ 0 \\ 0 \\ 0 \end{bmatrix} = \begin{bmatrix} v_5 \\ i_6 \\ i_7 \\ i_8 \\ i_9 \\ i_{10} \end{bmatrix} - \begin{bmatrix} -(10 + \sin 377t) \operatorname{th} (v_1 - v_2 - v_3) \\ 0 \\ v_3 \\ \frac{1}{10} (v_1 - v_2) \\ v_3 - v_4 + v_5 \\ 10v_4 \end{bmatrix}.$$

După substituirea expresiei anterioare pentru $[v_2 \ v_3 \ v_4]'$, ecuația devine :

$$\begin{bmatrix} 0 \\ 0 \\ 0 \\ 0 \\ 0 \\ 0 \end{bmatrix} = \begin{bmatrix} v_5 \\ i_6 \\ i_7 \\ i_8 \\ i_9 \\ i_{10} \end{bmatrix} - \begin{bmatrix} -(10 + \sin 377t) \operatorname{th} (v_1 - q_2 - q_3) \\ 0 \\ q_3 \\ \frac{1}{10} v_1 - \frac{1}{10} q_2 \\ q_3 - 10q_4 + v_5 \\ 100q_4 \end{bmatrix}.$$

Soluția pentru $[v_5]$ și pentru $[i_6 \ i_7 \ i_8 \ i_9 \ i_{10}]'$ este evident.

$$[v_5] = [-(10 + \sin 277t) \operatorname{th} (v_1 - q_2 - q_3)]$$

$$\begin{bmatrix} i_6 \\ i_7 \\ i_8 \\ i_9 \\ i_{10} \end{bmatrix} = \begin{bmatrix} 0 \\ q_3 \\ \frac{1}{10} v_1 - \frac{1}{10} q_2 \\ q_3 - 10q_4 - (10 + \sin 377t) \operatorname{th} (v_1 - q_2 - q_3) \\ 100q_4 \end{bmatrix}.$$

Aceste ecuații sînt cazurile particulare din (90). Relația dinamică asociată la capacități și corespunzătoare la (74) etc:

$$\frac{d}{dt} \begin{bmatrix} q_2 \\ q_3 \\ q_4 \end{bmatrix} = \begin{bmatrix} i_2 \\ i_3 \\ i_4 \end{bmatrix} - \begin{bmatrix} 1 & 0 & 1 & 0 & 0 \\ 1 & -1 & 0 & -1 & 0 \\ 0 & 0 & 0 & 1 & -1 \end{bmatrix} \begin{bmatrix} i_6 \\ i_7 \\ i_8 \\ i_9 \\ i_{10} \end{bmatrix} + \begin{bmatrix} 0 \\ 0 \\ -1 \end{bmatrix} [i_{11}].$$

Egalitatea a doua rezultă folosind ecuația lui Kirchhoff pentru a obține $[i_2, i_3, i_4]'$ în funcție de curenții de coarde. Apoi, substituim expresiile stabilite anterior pentru $[i_6, i_7, i_8, i_9, i_{10}]'$ și $[i_{11}]$, pentru a obține;

$$\frac{d}{dt} \begin{bmatrix} q_2 \\ q_3 \\ q_4 \end{bmatrix} = \begin{bmatrix} \frac{1}{10} v_1 - \frac{1}{10} q_2 \\ -2q_3 + 10q_4 + (10 + \sin 377t) \operatorname{th}(v_1 - q_2 - q_3) \\ q_3 - 110q_4 - (10 + \sin 377t) \operatorname{th}(v_1 - q_2 - q_3) \end{bmatrix} + \begin{bmatrix} 0 \\ 0 \\ -\operatorname{th}^{-1} 10\lambda_{11} \end{bmatrix},$$

care este corespundență lui (91a) în acest exemplu.

Să trecem acum la bobina de inducțanță. Cazul particular al relației dinamice pentru inducțanță din (80) este:

$$\frac{d}{dt} [\lambda_{11}] = [v_{11}] = [0] [v_1] + [0 \ 0 \ 1] \begin{bmatrix} v_2 \\ v_3 \\ v_4 \end{bmatrix} + [0] [v_5].$$

Egalitatea a doua corespunde ecuației lui Kirchhoff pentru (v_{11}) . Înlocuind expresia dedusă anterior pentru $[v_2, v_3, v_4]'$, se obține:

$$\frac{d}{dt} [\lambda_{11}] = [10q_4]$$

care este cazul particular din (91b).

După combinarea acestor două ecuații diferențiale de ordinul întâi se obține ecuația de stare:

$$\frac{d}{dt} \begin{bmatrix} q_2 \\ q_3 \\ q_4 \\ \lambda_{11} \end{bmatrix} = \begin{bmatrix} \frac{1}{10} v_1 - \frac{1}{10} q_2 \\ -2q_3 + 10q_4 + (10 + \sin 377t) \operatorname{th}(v_1 - q_2 - q_3) \\ q_3 - 110q_4 - (10 + \sin 377t) \operatorname{th}(v_1 - q_2 - q_3) - \operatorname{th} 10\lambda_{11} \\ 10q_4 \end{bmatrix}.$$

Cu $x = [q_2, q_3, q_4, \lambda_{11}]$, și $e = [v_1]$, membrul al doilea este o funcție vectorială $h(x, e, t)$ a ecuației de stare (95). Nu pare evident că acest membru al doilea este efectiv o funcție de vectorii

\mathbf{x} și \mathbf{e} , deoarece evidentă este numai dependența față de elementele lui \mathbf{x} și \mathbf{e} . De aceea se va arăta că rîndul al doilea din dreapta considerat rînd tip, este o funcție de \mathbf{x} și de \mathbf{e} . Este evident că

$$[-2q_3 + 10q_4 + (10 + \sin 377t) \operatorname{th}(v_1 - q_2 - q_3)]$$

$$= [0 \ -2 \ 10 \ 0] \begin{bmatrix} q_2 \\ q_3 \\ q_4 \\ \lambda_{11} \end{bmatrix}$$

$$+ (10 + \sin 377t) \operatorname{th} \left\{ [v_1] + [-1 \ -1 \ 0 \ 0] \begin{bmatrix} q_2 \\ q_3 \\ q_4 \\ \lambda_{11} \end{bmatrix} \right\}.$$

Astfel, rîndul al doilea este o funcție de \mathbf{x} și de \mathbf{e} ; în modul acesta s-a găsit al doilea element $h_2(\mathbf{x}, \mathbf{e}, t)$ din vectorul $\mathbf{h}(\mathbf{x}, \mathbf{e}, t)$.

Ecuția de ieșire

Urmează acum problema de a exprima variabilele de ieșire, în funcție de variabilele de stare, excitația și derivata excitației. Se va începe cu inductanțele. Variabilele de laturi care ne interesează în primul rînd sînt fluxurile din laturi, adică elementele matricelor λ_{Li} și λ_{Ll} ; de asemenea sînt și curenții de laturi, adică elementele lui i_{Li} și i_{Ll} . După (85) i_{Li} este dat în funcție de $\lambda_{Li} - Q'_{LL} \lambda_{Ll}$ (parte din \mathbf{x}) și de i_J (parte din \mathbf{e}). Astfel.

$$i_{Li} = g_{Li} (\lambda_{Li} - Q'_{LL} \lambda_{Ll}, i_J)$$

Ecuția lui Kirchhoff (73 d), combinată cu această expresie a lui i_{Li} ne dă

$$i_{Ll} = -Q_{LL} g_{Li} (\lambda_{Li} - Q'_{LL} \lambda_{Ll}, i_J) - Q_{LJ} i_J.$$

Substituind aceste două expresii pentru i_{Li} și i_{Ll} în ecuațiile de laturi, adică

$$\lambda_{Li} = f_{Li}(\tilde{i}_{Li}, i_{Li})$$

$$\lambda_{Ll} = f_{Ll}(i_{Li}, i_{Ll})$$

se obține λ_{Li} și λ_{Ll} ca funcții de $\lambda_{Li} - Q'_{LL} \lambda_{Ll}$ și i_J .

Variabilele de laturi ce ne interesează în al doilea rând sînt tensiunile de laturi, elemente din v_{Li} și v_{Ll} . Se recomandă cititorilor, ca un exercițiu, să demonstreze că i_{Li} (i_{Li}, i_{Ll}) trebuie să fie zero — adică să nu existe ramuri inductive — sau că i_{Li} (i_{Li}, i_{Ll}) și g_{Li} ($\lambda_{Li} - Q'_{LL}\lambda_{Li}, i_J$) trebuie să fie funcții diferențiabile, pentru ca să se poată exprima v_{Li} și v_{Ll} ca funcții de x , e și de de/dt .

Să considerăm acum capacitățile. Variabilele ce ne interesează în primul rând sînt sarcinile de laturi, elemente din q_{Cl} și q_{cl} ; de asemenea sînt și tensiunile, elemente din v_{Cl} și v_{cl} ; Ecuația (79) dă pe v_{Cl} sub forma :

$$v_{Cl} = g_{Cl} (q_{Cl} + Q_{Cc}q_{Cl}, v_E).$$

Combinată cu ecuația lui Kirchhoff (73e) se găsește :

$$v_{cl} = Q'_{Cc}g_{Cl}(q_{Cl} + Q_{Cc}q_{Cl}, v_E) + Q'_{Ec}v_E.$$

Substituind aceste două ecuații de mai sus în ecuațiile de laturi :

$$q_{Cl} = i_{Cl}(v_{Cl})$$

$$q_{cl} = i_{cl}(v_{cl})$$

se obțin q_{Cl} și q_{cl} ca funcții de $q_{Cl} + Q_{Cc}q_{Cl}$ și de v_E .

Variabilele de laturi care ne interesează în al doilea rând sînt curenții, elemente din i_{Cl} și i_{cl} . Se poate demonstra că i_{Cl} și i_{cl} sînt funcții de x , e și de de/dt , dacă $i_{Cl}(v_{Cl})$ este identic zero, — adică nu există coarde capacitive, — sau dacă $i_{Cl}(v_{Cl})$ și $g_{Cl}(q_{Cl} + Q_{Cc}q_{Cl}, v_E)$ sînt funcții diferențiabile.

În sfîrșit, să considerăm componentele rezistive. Elementele din v_{Rl} , v_{Ri} , i_{Rl} și i_{Ri} sînt cele care ne interesează. Ecuația (90) ne dă v_{Rl} și i_{Rl} sub forma :

$$v_{Rl} = g_{Rl}(q_{Cl} + Q_{Cc}q_{Cl}, \lambda_{Li} - Q'_{LL}\lambda_{Li}, v_E, i_J)$$

$$i_{Rl} = g_{Rl}(q_{Cl} + Q_{Cc}q_{Cl}, \lambda_{Li} - Q'_{LL}\lambda_{Li}, v_E, i_J).$$

Celelalte variabile rezistive se obțin prin substituirea acestor relații, împreună cu expresiile pentru i_{Ll} și v_{Cl} , în ecuațiile lui Kirchhoff, (73c) și (73f) :

$$i_{Rl} = -Q_{RR}i_{Rl} - Q_{RL}i_{Ll} - Q_{RJ}i_J$$

$$v_{Rl} = Q'_{ER}v_E + Q'_{RV}v_{Cl} + Q'_{RR}v_{Rl}.$$

S-a arătat mai sus cum pot fi exprimate diferitele variabile ale circuitului, în funcție de x , e și de/dt . Așadar, dacă w este un vector a cărui

elemente sînt un set de variabile de răspuns ale circuitului, atunci w se poate exprima ca

$$w = h\left(x, e, \frac{de}{dt}\right) \quad (96)$$

sau

$$w = h\left(x, e, \frac{de}{dt}, t\right), \quad (97)$$

unde, în ultimul caz, ieșirea este dependentă explicit de timp.

10.5. SOLUȚIA ECUAȚIEI DE STARE PENTRU CIRCUITE NELINIARE

Odată scrisă o ecuație de stare pentru un circuit neliniar, sarcina următoare constă în rezolvarea acestei ecuații. Pentru ușurință, în ecuația $dx/dt = h(x, e, t)$, vom pune $h(x, e, t) = f(x, t)$. Aceasta este corect, deoarece, dacă $e(t)$ este dat, $h[x, e(t), t]$ este o funcție explicită numai de x și de t . Astfel, ecuația diferențială vectorială, care va sta în centrul atenției în acest paragraf, este.

$$\frac{d}{dt} x = f(x, t). \quad (98)$$

Nu există vreo cale cunoscută, prin care să se poată obține soluția unei ecuații diferențiale neliniare oarecare. În fapt, se cunosc soluții analitice în formă compactă numai pentru câteva clase restrinse din astfel de ecuații. De aceea, eforturile desfășurate pentru studiul acestui gen de ecuații sînt concentrate asupra condițiilor de existență și de unicitate a unei soluții, asupra proprietăților soluției și a aproximării ei. Ne vom opri puțin asupra primelor două; a treia este în afara preocupărilor din această carte¹.

Existență și unicitate

Cercetarea condițiilor în care (98) poate avea o soluție, sau o soluție unică, este o sarcină foarte importantă; aceasta, din cauză că, între alte motive, numai dacă se știe că există o soluție, eventual o soluție unică, are

¹ Aproape orice text de analiză neliniară poate oferi o informație considerabilă în acest subiect: de exemplu, Nicolas Minorsky, *Nonlinear Oscillations*, D. Van Nostrand Co, Princeton N. J., 1962.

sens să se caute o soluție aproximativă. Mai mult încă, existența sau unicitatea, dacă există, nu înseamnă că este sigură. S-a văzut aceasta, pentru circuite variabile în timp, prin exemplul din paragraful 10.3.

Ca un exemplu suplimentar, în acest caz numai pentru neunicitate, să considerăm circuitul din fig. 10.10.

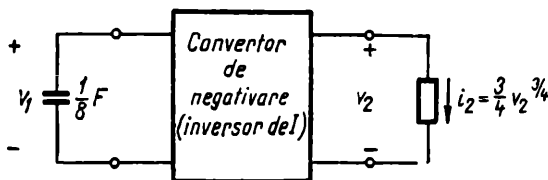


Fig. 10.10. Circuit neliniar cu răspuns neunic.

Se poate verifica ușor că ecuația de stare este

$$\frac{dq_1}{dt} = 3 q_1^{2/3}.$$

Se presupune că $q_1(t_0) = 0$. Atunci, este ușor de arătat că

$$q_1(t) = 0 \quad (t_0 \leq t < x)$$

$$= (t - x)^3 \quad (x \leq t)$$

este o soluție pentru orice $x \geq t_0$. De aceea acest circuit nu are o soluție unică dacă $q_1(t_0) = 0$.

Condițiile pentru ca să existe o soluție când $t \geq t_0$, — intervalul de timp care ne interesează —, se stabilesc de obicei în două etape. Mai întâi, dacă $t_1 \geq t_0$, se stabilesc condițiile care determină existența unei soluții într-un interval $t_2 > t \geq t_1$, unde t_2 este determinat de proprietățile funcției $f(x, t)$ în intervalul $t_2 > t \geq t_1$. Apoi, se stabilesc condițiile prin care o soluție poate fi extinsă, de la un interval de timp, la următorul, pînă ce se asigură soluția pentru orice $t \geq t_0$.

O soluție a ecuației (98) în sens obișnuit, necesită ca x să satisfacă ecuația diferențială pentru orice $t \geq t_0$ finit. Este adeseori posibil să se găsească o funcție care să satisfacă (98) pentru aproape orice t , deși dx/dt nu există, pentru anumite valori discrete a lui t . Pentru a admite acest tip de funcție drept o soluție, se va considera ecuația integrală

$$x(t) = x(t_1) + \int_{t_1}^t f[x(\tau), \tau] d\tau \quad (99)$$

asociată cu (98). Vom numi orice soluție a lui (99), o soluție a lui (98) *în sens larg*. Se poate vedea că (99) poate avea o soluție entru $t \geq t_0$ și totuși (98) să nu aibe o soluție în sens obișnuit pentru $t \geq t_0$.

În ceea ce privește existența, se enunță următoarea teoremă, fără demonstrație: ¹.

Teorema 12. *Fiind dat orice $t_1 \geq t_0$ și $x(t_1)$, ecuația diferențială (98) posedă cel puțin o soluție continuă în sens larg, pentru $t_2 > t \geq t_1$, egală cu $x(t_1)$ în momentul t_1 , dacă $f(x, t)$ este continuă în x , pentru $t \geq t_0$ fix, și integrabilă local în t , pentru $t \geq t_0$ și x fix, și dacă $\|f(x, t)\|$ este mărginită în orice vecinătate mărginită a originii 0, de o funcție de t , integrabilă local, pentru $t \geq t_0$.*

Condițiile acestei teoreme sînt mai largi decît este necesar pentru stabilirea existenței unei soluții, cînd $t_2 > t \geq t_1$; totuși, ele sînt potrivite pentru enunțul teoremei următoare, asupra extinderii soluției în întreg domeniul semidreptei $t \geq t_0$.

Teorema 13. *Presupunînd condițiile Teoremei 12 asupra existenței satisfăcute, atunci orice soluție a lui (98), în sens larg, egală cu $x(t_0)$ la timpul t_0 , poate fi extinsă, pentru a da o soluție definită penru orice $t \geq t_0$, dacă $\|f(x, t)\|_1 \leq \alpha(t)\Phi(\|x\|_1)$, cînd $t > t_0$, unde $\alpha(t)$ este nenegativă și local integrabilă și unde $\Phi(v)$ este pozitivă și continuă, cînd $v > 0$ și satisface*

$$\lim_{u \rightarrow \infty} \int_{u_0}^u \frac{dv}{\Phi(v)} = +\infty \quad (100)$$

pentru o valoare $\mu_0 > 0$:

Mai există și alte teoreme de extindere ² și pot fi mai utile în anumite situații date. Una din aceste alte teoreme, extrem de simplă, este dată în problema pusă ca o teoremă ce trebuie demonstrată.

Înainte de a continua, să arătăm, cu ce restricții suplimentare soluția în sens larg poate deveni o soluție în sens obișnuit. Aplicînd definiția unei derivate aplicate ecuației integrale (99), se obține:

$$\frac{x(t + \Delta t) - x(t)}{\Delta t} = \frac{1}{\Delta t} \int_t^{t+\Delta t} f[x(\tau), \tau] d\tau.$$

Soluția în sens larg este continuă. De aceea, dacă $f(x, t)$ este continuă în t , fiind continuă și în x , atunci $f[x(\tau), \tau]$ va fi o funcție continuă de τ .

¹ Vezi nota de la subsol la pag. 731

² Ca referință inițială, vezi G. Sansone și R. Conte, *Non-Linear Differential Equations*, The Macmillan, Co, New York, 1964.

Apoi, se poate folosi teorema primei valori medii a calculului integral și, în consecință, relația de mai sus dă

$$\frac{x(t + \Delta t) - x(t)}{\Delta t} = f[x(\theta), \theta]$$

pentru $t \leq \theta \leq t$, dacă $\Delta t > 0$, sau $t + \Delta t \leq \theta \leq t$, dacă $\Delta t < 0$. Deoarece $f[x(\theta), \theta]$ este o funcție continuă de θ , limita membrului întâi a ecuației, când Δt tinde spre zero, există și este egală cu $f[x(t), t]$. Astfel

$$\frac{d}{dt} x = f(x, t)$$

deoarece $\lim_{\Delta t \rightarrow 0} [x(t + \Delta t) - x(t)]/\Delta t = dx/dt$. Prin urmare, când $f(x, t)$ este continuă în t , ca și în x , soluția ecuației integrale este diferențiabilă și astfel satisface ecuația diferențială.

Acum, că se cunoaște în ce condiții există o soluție continuă pe semidreapta ($t \geq t_0$), este interesant de aflat ce restricții suplimentare sînt necesare pentru a garanta o soluție unică. Prin aceasta ajungem la teorema următoare¹.

Teorema 14. *Presupunem satisfăcute condițiile Teoremelor 12 și 13, privind existența; atunci (98) posedă o soluție continuă în sens larg, pentru $t \geq t_0$, care este unică dacă*

$$\|f(x_1, t) - f(x_2, t)\| \leq \gamma(t) \|x_1 - x_2\|.$$

pentru $t \geq t_0$ și pentru toți x_1 și x_2 din vecinătatea oricărui punct, unde $\gamma(t)$ este o funcție local integrabilă, nenegativă.

Condiția adăugată $\|f(x_1, t) - f(x_2, t)\| \leq \gamma(t) \|x_1 - x_2\|$ pentru $t > t_0$ și orice x_1, x_2 , care este necesară să asigure unicitatea, se numește *condiția Lipschitz*.

Făcînd acum o pauză, vom reexamina exemplul din fig. 10.10, în lumina acestor teoreme și comentarii. Mărimea scalară q_1 stabilește starea circuitului. Pentru compatibilitatea notației cu teoremele, vom înlocui notația q_1 prin x . Atunci $f(x, t)$ este funcția scalară $3x^{2/3}$. Prin teorema de existență, rezultă că există o soluție $x(t)$, începînd de la $x = 0$ la $t = 0$, pentru un interval oarecare pozitiv, deoarece $3x^{2/3}$ este continuă în x și mărginită în orice vecinătate mărginită a originii; de exemplu, dacă pentru orice x dintr-o vecinătate a originii avem $|x| \leq \rho$, atunci $|3x^{2/3}| \leq 3\rho^{2/3} < \infty$. Prin teorema de existență, o soluție poate fi extinsă pe întreaga semi-

¹ Vezi nota din subsol de la pag. 731

dreaptă $t \geq t_0$, dacă $|3x^{2/3}| \leq \Phi(|x|)$ pentru vreo funcție $\Phi(v)$ continuă, avind proprietatea (100). Condiția este satisfăcută luind $\Phi(v) = 3v^{2/3}$. Prin teorema de unicitate, soluția va fi unică dacă $3x^{2/3}$ satisface condiția Lipschitz; adică, dacă $|3x_1^{2/3} - 3x_2^{2/3}| \leq \gamma |x_1 - x_2|$ pentru orice x_1 și x_2 într-o vecinătate a oricărui punct și pentru un γ finit. Această condiție nu este satisfăcută. Luind $x_2 = 0$, pentru orice γ finit, inegalitatea este violată dacă se ia $|x_1|$ suficient de mic. Aplicația acestor teoreme dă rezultate conforme cu cunoașterea noastră anterioară a soluției, cum este dată în exemplu.

Nu este totdeauna o sarcină ușoară să se verifice că funcția vectorială $f(\mathbf{x}, t)$ satisface condiția Lipschitz. De aceea este bine să se știe că, dacă derivatele parțiale $\partial f_i(\mathbf{x}, t)/\partial x_i$ există și sint continue în \mathbf{x} pentru aproape toți $t \geq t_0$, fiind și mărginite ca modul în vreo vecinătate a oricărui punct, prin funcții local integrabile ne-negative de variabile $t \geq t_0$, atunci condiția Lipschitz este satisfăcută. Nu se va da demonstrația acestei afirmații, dar este recomandabil să fie efectuată, ca o problemă.

Exemplu. Ca o ilustrație a acestui mijloc de a arăta îndeplinirea condiției Lipschitz, să considerăm circuitul din fig. 10.11 pentru $t \leq -1$. Educația de stare este :

$$\frac{d}{dt} \begin{bmatrix} q_2 \\ \lambda_3 \end{bmatrix} = \begin{bmatrix} -\frac{3}{t^{1/3}} q_2 - \lambda_3 \\ q_2 - \lambda_3 - 4 \operatorname{th} \lambda_3 - 3 t e^{-2t} \end{bmatrix}.$$

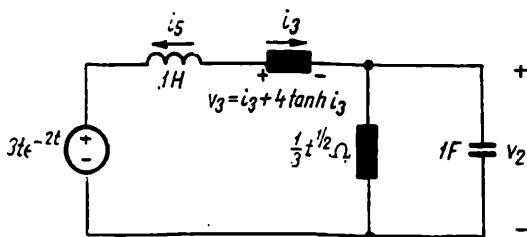


Fig. 10.11. Circuit variabil în timp neliniar.

Trebuie arătat că toate condițiile teoremelor de existență și de extensiune sint satisfăcute. Apoi, să ne întoarcem atenția spre condiția Lipschitz. Vom pune $q_2 = x_1$ și $\lambda_3 = x_2$; atunci

$$f(\mathbf{x}, t) = \begin{bmatrix} -\frac{3}{t^{1/3}} x_1 - x_2 \\ x_1 - x_2 - 4 \operatorname{th} x_2 - 3 t e^{-2t} \end{bmatrix}.$$

Derivatele parțiale ale lui $f_i(\mathbf{x}, t)$ în raport cu x_j sint

$$\frac{\partial f_1}{\partial x_1} = -\frac{3}{t^{1/3}}, \quad \frac{\partial f_1}{\partial x_2} = -1$$

$$\frac{\partial f_2}{\partial x_1} = 1, \quad \frac{\partial f_2}{\partial x_2} = -1 - 4 \operatorname{sch}^2 x_2.$$

Evident că derivatele există și sint continue în x_1 și în x_2 pentru aproape orice t ; $\partial f_1 / \partial x_1$ nu există pentru $t = 0$.

Mai departe, $|\partial f_1 / \partial x_1| \leq 3 |t|^{-1/3}$, $|\partial f_1 / \partial x_2| \leq 1$, $|\partial f_2 / \partial x_1| \leq 1$ și $|\partial f_2 / \partial x_2| \leq 5$; de aceea, pentru orice x și deci în vreo vecinătate a oricărui x , derivatele sint mărginite prin funcții de t , local integrabile, nenegative, pentru $t \geq -1$. Astfel, condiția Lipschitz este satisfăcută și, prin teorema de unicitate, soluția va fi unică.

De fapt, se poate arăta, ceea ce e ușor de demonstrat, că relația următoare este valabilă (folosind norma vectorului de sumă de module).

$$\|f(x_1, t) - f(x_2, t)\|_1 \leq \max \{3|t|^{-1/3} + 1, 6\} \|x_1 - x_2\|_1$$

$$\leq (3|t|^{-1/3} + 6) \|x_1 - x_2\|_1.$$

Același rezultat s-ar fi obținut și dacă s-ar fi folosit norma vectorului de maximum modul

Proprietățile soluției

Pentru cazul circuitelor variabile în timp, am descoperit diferite proprietăți ale soluției, raportind ecuația de stare la o ecuație omogenă de referință. Pe aceeași cale vom obține răspunsuri și în cazul circuitelor neliniare.

Să presupunem că membrul doi al ecuației neliniare

$$\frac{d}{dt} x = f(x, t)$$

este închis, într-un sens ce urmează a fi definit în teoremele următoare, în membrul doi al ecuației:

$$\frac{d}{dt} x = A(t) x.$$

Apoi, am putea anticipa că, dacă toate soluțiile ultimei ecuații sint mărginite în apropiere de zero, cînd $t \rightarrow \infty$, soluțiile ecuației precedente se vor comporta la fel. Această deducție este valabilă dacă $A(t)$ este o matrice constantă sau periodică. Se recomandă să se demonstreze de cititor că nu poate exista teoremă similară pentru cazul cînd $A(t)$ este o matrice oarecare, variabilă în timp.

Pentru circuite care arată că pot fi descrise printr-o ecuație diferențială omogenă, invariantă în timp, (anume $A(t) = A$), se va prezenta mai jos o serie de teoreme folositoare. Prima teoremă determină condițiile pentru răspuns mărginit.

Teorema 15. *Să presupunem că toate soluțiile ecuației de referință*

$$\frac{d}{dt} y = Ay, \quad (101)$$

unde \mathbf{A} este o matrice constantă, sînt mărginite cînd t tinde spre infinit. Mai departe, să presupunem că $\mathbf{f}(\mathbf{x}, t) = \mathbf{A}\mathbf{x} + \hat{\mathbf{f}}(\mathbf{x}, t) + \mathbf{g}(t)$. Atunci soluțiile ecuației

$$\frac{d}{dt} \mathbf{x} = \mathbf{f}(\mathbf{x}, t),$$

— cu un vector inițial $\mathbf{x}(t_0)$ astfel ca $\|\mathbf{x}(t_0)\| \leq \delta$, unde δ este o constantă ce depinde de $\mathbf{f}(\mathbf{x}, t)$, — sînt mărginite cînd t tinde spre infinit, dacă

$$\|\hat{\mathbf{f}}(\mathbf{x}, t)\| \leq \beta(t) \|\mathbf{x}\| \text{ pentru } \|\mathbf{x}\| \leq \zeta \quad (102a)$$

$$\int_{t_0}^{\infty} \beta(t) dt < \infty \quad (102b)$$

$$\int_{t_0}^{\infty} \|\mathbf{g}(t)\| dt \leq \gamma \delta. \quad (102c)$$

unde γ este o constantă pozitivă aleasă în mod convenabil.

Pentru demonstrație se folosește lema lui Gronwall, Ecuația de stare

$$\frac{d}{dt} \mathbf{x} = \mathbf{A} \mathbf{x} + \hat{\mathbf{f}}(\mathbf{x}, t) + \mathbf{g}(t),$$

este echivalentă cu ecuația integrală

$$\mathbf{x}(t) = e^{\mathbf{A}(t-t_0)} \mathbf{x}(t_0) + \int_{t_0}^t e^{\mathbf{A}(t-\tau)} \{\mathbf{f}[\mathbf{x}(\tau), \tau] + \mathbf{g}(\tau)\} d\tau,$$

unde $e^{\mathbf{A}(t-\tau)}$ este matricea de tranziție asociată cu (101). Luînd norma în ambii membri ai acestei ecuații și aplicînd inegalitățile obișnuite de norme, se găsește că,

$$\|\mathbf{x}(t)\| \leq \|e^{\mathbf{A}(t-t_0)}\| \|\mathbf{x}(t_0)\| + \int_{t_0}^t \|e^{\mathbf{A}(t-\tau)}\| \{\|\mathbf{f}[\mathbf{x}(\tau), \tau]\| + \|\mathbf{g}(\tau)\|\} d\tau.$$

Cum toate soluțiile lui (101) sînt mărginite, există o constantă pozitivă α astfel ca $\|e^{\mathbf{A}(t-\tau)}\| \leq \alpha$, pentru $t_0 \leq \tau \leq t$ și pentru orice $t \geq t_0$. Folosind această limită, pe cea din (102a) și $\|\mathbf{x}(t_0)\| \leq \delta$, se obține

$$\|\mathbf{x}(t)\| \leq \alpha \delta + \int_{t_0}^t \alpha [\beta(\tau) \|\mathbf{x}(\tau)\| + \|\mathbf{g}(\tau)\|] d\tau$$

cu condiția ca $\|\mathbf{x}(\tau)\| \leq \delta$ pentru $t_0 \leq \tau \leq t$. Lema lui Gronwall poate fi aplicată acestei relații, punind $\varphi(t) = \|\mathbf{x}(t)\|$, $\psi(t) = \alpha\beta(t)$ și $\theta(t) = \alpha\|g(t)\|$. Rezultă inegalitățile,

$$\begin{aligned} \|\mathbf{x}(t)\| &\leq \alpha\delta \exp \left\{ \int_{t_0}^t [\alpha\beta(\tau) + \|g(\tau)\|/\delta] d\tau \right\} \\ &\leq \alpha\delta \exp \left[\int_{t_0}^{\infty} \alpha\beta(\tau) d\tau + \gamma \right]. \end{aligned}$$

A doua inegalitate, — obținută prin lăsarea lui t să se apropie de infinit și invocând apoi condiția (102c), — ne arată că $\|\mathbf{x}(t)\|$ este mărginită cînd t tinde spre infinit, deoarece $\int_{t_0}^{\infty} \alpha\beta(\tau) d\tau$ este mărginită, în virtutea lui (102b).

Ne mai arată, mai departe, că $\|\mathbf{x}(t)\|$ este uniform mărginită pentru orice t . Prin urmare, vom avea $\|\mathbf{x}(t)\| \leq \zeta$, pentru $t_0 \leq \tau \leq t$ și orice $t \geq t_0$, după cum se impune pentru satisfacerea unei condiții anterioare, dacă

$$\delta \leq (\xi/\alpha) \exp. \left[- \int_{t_0}^{\infty} \alpha\beta(\tau) d\tau - \gamma \right].$$

Astfel, spre deosebire de cazul circuitelor liniare variabile în timp, considerate anterior, mărginirea depinde de starea inițială; adică, $\|\mathbf{x}(t_0)\|$ trebuie să fie suficient de mică. Mai mult, funcția $g(t)$ are restricția arătată în (102c).

(Notă: concluzia teoremei devine valabilă pentru toate stările inițiale, numai dacă $\zeta = +\infty$.)

După cum se arată în teorema următoare, concluziile teoremei precedente pot fi făcute mai severe, dacă toate soluțiile lui (101) se apropie de zero cînd t tinde spre infinit.

Teorema 16. *Se presupune că toate soluțiile ecuației de referință (101), în care A este o matrice constantă, se apropie de zero cînd t tinde spre infinit. Mai departe, se presupune că $\dot{\mathbf{f}}(\mathbf{x}, t) = A\mathbf{x} + B(t)\mathbf{x} + \hat{\mathbf{f}}(\mathbf{x}, t) + g(t)$. Atunci toate soluțiile ecuației neliniare (98), — cu vectorul inițial $\mathbf{x}(t_0)$, astfel ca $\|\mathbf{x}(t_0)\| \leq \delta$, unde δ este o constantă ce depinde de $\dot{\mathbf{f}}(\mathbf{x}, t)$, — se apropie de zero cînd t tinde spre infinit, dacă:*

$$\int_{t_0}^{\infty} \|B(t)\| dt < \infty \quad (103a)$$

$$\varepsilon^{\beta(t-t_0)} \|g(t)\| \leq \gamma\delta \quad (103b)$$

$$\lim_{\mathbf{x} \rightarrow 0} \frac{\|\hat{\mathbf{f}}(\mathbf{x}, t)\|}{\|\mathbf{x}\|} \rightarrow 0 \text{ for } t \geq t_0, \quad (103c)$$

unde β și γ sînt constante pozitive alese în mod corespunzător.

Demonstrația acestei teoreme este puțin diferită de demonstrațiile precedente. Ecuația integrală echivalentă cu (98) este :

$$\mathbf{x}(t) = \varepsilon^{\Lambda(t-t_0)} \mathbf{x}(t_0) + \int_{t_0}^t \varepsilon^{\Lambda(t-\tau)} \{ \mathbf{B}(\tau) \mathbf{x}(\tau) + \hat{\mathbf{f}}[\mathbf{x}(\tau), \tau] + \mathbf{g}(\tau) \} d\tau.$$

Luînd norma în ambii membri și aplicînd inegalitățile de norme obișnuite, se obține :

$$\begin{aligned} \|\mathbf{x}(t)\| \leq & \varepsilon^{\Lambda(t-t_0)} \|\mathbf{x}(t_0)\| + \int_{t_0}^t \varepsilon^{\Lambda(t-\tau)} \{ \|\mathbf{B}(\tau)\| \|\mathbf{x}(\tau)\| \\ & + \|\hat{\mathbf{f}}[\mathbf{x}(\tau), \tau]\| + \|\mathbf{g}(\tau)\| \} d\tau. \end{aligned}$$

Cum toate soluțiile lui (101) se apropie de zero cînd t tinde spre infinit, există niște constante pozitive α și ν , astfel ca

$$\|\hat{\mathbf{f}}(\mathbf{x}, t)\| \leq \left(\frac{\nu}{2\alpha} \right) \|\mathbf{x}\| \text{ pentru } t \geq t_0 \text{ dacă } \|\mathbf{x}\| \leq \zeta.$$

Folosind aceste limite și $\|(t_0)\|\mathbf{x} \leq \gamma$, se găsește

$$\|\mathbf{x}(t)\| \leq \alpha \delta \varepsilon^{-\nu(t-t_0)} + \int_{t_0}^t \alpha \varepsilon^{-\nu(t-\tau)} \left\{ \|\mathbf{B}(\tau)\| + \left(\frac{\nu}{2\alpha} \right) \|\mathbf{x}(\tau)\| + \|\mathbf{g}(\tau)\| \right\} d\tau,$$

sau, echivalent,

$$\|\mathbf{x}(t)\| \varepsilon^{\nu t} \leq \alpha \varepsilon^{\nu t_0} \delta + \int_{t_0}^t \left\{ \alpha \|\mathbf{B}(\tau)\| + \left(\frac{\nu}{2} \right) \|\mathbf{x}(\tau)\| \varepsilon^{\nu \tau} + \alpha \varepsilon^{\nu \tau} \|\mathbf{g}(\tau)\| \right\} d\tau,$$

cu condiția

$$\|\mathbf{x}(\tau)\| \leq \zeta \text{ pentru } t_0 \leq \tau \leq t.$$

Lema lui Gronwall este aplicabilă, cu $\varphi(t) = \|\mathbf{x}(t)\| \varepsilon^{\nu t}$, $\psi(t) = \alpha \|\mathbf{B}(t)\| + \frac{\nu}{2} \theta + \alpha \varepsilon^{\nu t} \|\mathbf{g}(t)\|$. Rezultatul este :

$$\begin{aligned} \|\mathbf{x}(t)\| \varepsilon^{\nu t} & \leq \alpha \delta \varepsilon^{\nu t_0} \exp \left[\int_{t_0}^t \alpha \|\mathbf{B}(\tau)\| d\tau \right] \varepsilon^{\nu(t-t_0)/2} \exp \left\{ \frac{\int_{t_0}^t \alpha \|\mathbf{g}(\tau)\| \varepsilon^{\nu \tau} d\tau}{\alpha \delta \varepsilon^{\nu t_0}} \right\} \\ & \leq \alpha \delta \varepsilon^{\nu t_0} \exp \left[\int_{t_0}^t \alpha \|\mathbf{B}(\tau)\| d\tau \right] \varepsilon^{\nu(t-t_0)/2} \varepsilon^{\nu(t-t_0)} \end{aligned}$$

A doua inegalitate rezultă din prima, punind pe t să se apropie de infinit în prima integrală și folosind (103b), cu $\beta = \gamma$ în integrala a doua. Multiplicând cu $\varepsilon^{-\gamma}$ se obține

$$\|\mathbf{x}(t)\| \leq \alpha \delta \exp \left[\int_{t_0}^{\infty} \alpha \|\mathbf{B}(\tau)\| d\tau \right] \exp \left[-\left(\frac{\gamma}{2} - \gamma \right) (t - t_0) \right].$$

Acum se pune $\gamma < \gamma/2$; atunci $\|\mathbf{x}(t)\|$ este mărginită uniform, în virtutea lui (103a) și este mai mică decât

$$\alpha \delta \exp \left[\int_{t_0}^{\infty} \alpha \|\mathbf{B}(\tau)\| d\tau \right],$$

pentru orice $t \geq t_0$. Prin urmare, spre a satisface condiția că $\|\mathbf{x}(\tau)\| \leq \zeta$ pentru $t_0 \leq \tau \leq t$ și orice $t \geq t_0$, este necesar doar să se aleagă δ , astfel ca

$$\delta \leq \left(\frac{\zeta}{\alpha} \right) \exp \left[- \int_{t_0}^{\infty} \alpha \|\mathbf{B}(\tau)\| d\tau \right].$$

Mai departe, cu referire la limitarea lui $\|\mathbf{x}(t)\|$, se vede că $\mathbf{x}(t)$ trebuie să se apropie de zero când t tinde spre infinit, deoarece $\|\mathbf{x}(t)\|$ este mărginită de către o exponențială scăzătoare.

Mai sînt posibile și alte teoreme. Cele două precedente stabilesc tipul și condițiile care sînt necesare de obicei pentru demonstrație. Se poate vedea că este relativ ușor să se varieze aceste condiții și să se obțină totuși o demonstrație valabilă. De exemplu, în ultima teoremă, condiția (103c) poate fi înlocuită prin condiția $\|\hat{\mathbf{f}}(\mathbf{x}, t)\| \leq \mu \|\mathbf{x}\|$, pentru $\|\mathbf{x}\| \leq \zeta$ și μ suficient de mic. Această variație (modificare) este destul de importantă, deoarece ea permite ca un termen liniar mic să fie o parte din $\hat{\mathbf{f}}(\mathbf{x}, t)$.

În cele două teoreme date mai sus, dacă se înlocuiește \mathbf{A} prin $\mathbf{A}(t)$, unde $\mathbf{A}(t)$ este periodică, se obține de asemenea teoreme valabile. Demonstrațiile diferă numai puțin de cele date anterior. Se recomandă să se determine ce schimbări sînt necesare.

Exemplu. Ca o ilustrare a teoremei a doua, să considerăm circuitul din fig. 10.12, pentru $t \geq 0$. Cu $q_2 = x_1$ și $\lambda_3 = x_2$, ecuația de stare este:

$$\frac{d}{dt} \begin{bmatrix} x_1 \\ x_2 \end{bmatrix} = \begin{bmatrix} -2\varepsilon^{-3t} & x_1 - x_2 \\ \rho^{1/2} & x_1 - x_2 - 4th x_2 \end{bmatrix}.$$

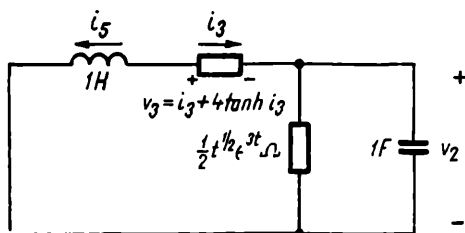


Fig. 10.12. Circuit variabil în timp neliniar, fără excitație.

În primul rând trebuie exprimată această ecuație într-o formă care să permită aplicarea teoremei. Astfel,

$$\frac{d}{dt} \begin{bmatrix} x_1 \\ x_2 \end{bmatrix} = \begin{bmatrix} 0 & -1 \\ 1 & -5 \end{bmatrix} \begin{bmatrix} x_1 \\ x_2 \end{bmatrix} + \begin{bmatrix} -\frac{2\varepsilon^{-3t}}{t^{1/2}} & 0 \\ 0 & 0 \end{bmatrix} \begin{bmatrix} x_1 \\ x_2 \end{bmatrix} + \begin{bmatrix} 0 \\ 4x_2 - 4t \tanh x_2 \end{bmatrix}$$

$$= \mathbf{A}\mathbf{x} + \mathbf{B}(t)\mathbf{x} + \hat{\mathbf{f}}(\mathbf{x}, t).$$

Polinomul caracteristic al lui \mathbf{A} este $d(s) = s^2 + 5s + 1$. Valorile proprii sînt evidente reale și negative. (dacă ecuația caracteristică ar fi fost de un grad mai mare, atunci s-ar fi putut folosi criteriul lui Routh sau alt criteriu similar, pentru a se vedea dacă toate rădăcinile au sau nu partea reală negativă). Astfel, toate soluțiile lui (101) se apropie de zero cînd $t \rightarrow \infty$. Aplicînd norma vectorului de suma modulelor, se obține

$$\|\mathbf{B}(t)\|_1 = \left\| \begin{bmatrix} -\frac{2\varepsilon^{-3t}}{t^{1/2}} & 0 \\ 0 & 0 \end{bmatrix} \right\|_1 = \frac{2\varepsilon^{-3t}}{[t^{1/2}]}.$$

și

$$\int_0^\infty \|\mathbf{B}(t)\|_1 dt = 2\sqrt{\frac{\pi}{3}}.$$

Astfel, condiția (103a) este satisfăcută. Condiția (103b) corespunde, deoarece $\eta(t) \equiv 0$. Să considerăm acum

$$\hat{\mathbf{f}}(\mathbf{x}, t) = \begin{bmatrix} 0 \\ 4x_2 - 4t \tanh x_2 \end{bmatrix}.$$

Vom avea

$$\frac{\|\hat{\mathbf{f}}(\mathbf{x}, t)\|_1}{\|\mathbf{x}\|_1} = \frac{4|x_2 - t \tanh x_2|}{|x_1| + |x_2|} \leq 4 \frac{|x_2 - t \tanh x_2|}{|x_2|}.$$

Inegalitatea rezultă din faptul că $|x_2| \leq |x_1| + |x_2|$. Deoarece $\|x\|_1$ și deci $|x_2|$ se apropie de zero, $4|x_2 - tx_2|/|x_2|$ și deci $\|f(x, t)\|_1/\|x\|_1$ se apropie de zero. Aceasta rezultă din faptul că

$$\frac{|x_2 - tx_2|}{|x_2|} = \frac{|\frac{1}{3}x_2^3 - \frac{2}{12}x_2^5 + \frac{17}{315}x_2^7 - \dots|}{|x_2|} = \frac{1}{3}x_2^2 - \frac{2}{12}x_2^4 + \frac{17}{315}x_2^6 - \dots \rightarrow 0 \text{ cind } |x_2| \rightarrow 0.$$

Astfel condiția (103c) este satisfăcută.

Toate condițiile teoremei sînt satisfăcute; prin urmare, prin teorema 16, toate soluțiile se apropie de zero cind $t \rightarrow \infty$, pentru $\|x(0)\|_1 < 8$. Valoarea lui δ nu este cunoscută, dar cunoaștem că ea există. Se recomandă determinarea acestei valori a lui δ .

Alocarea termenilor lui $\hat{f}(x, t)$, la Ax și la $\hat{f}(x, t)$ nu este unică. De fapt orice termen liniar poate fi alocat lui Ax , dacă valoarea sa negativă este alocată lui \hat{f} . Această flexibilitate poate fi utilizată pentru a ajuta să fie satisfăcută condiția (103c). Acesta este de fapt motivul pentru care s-a exprimat, în exemplul dat, termenul $-x_2$, sub forma $-5x_2 + 4x_2$.

10.6. SOLUȚIA NUMERICĂ

Situații în care se cer soluții numerice ale ecuației de stare sînt :

- cînd nu se poate determina soluția analitică exactă ;
- cînd o soluție analitică aproximativă poate fi determinată cu suficientă precizie, numai printr-o cantitate de muncă prea mare ;
- cînd se caută o familie de soluții numai pentru un număr limitat de variații ale valorii parametrilor. În acest paragraf ne vom îndrepta atenția spre soluționarea numerică a ecuației de stare, exprimată în forma :

$$\frac{d}{dt} x = f(x, t). \quad (104)$$

Vom începe prin a prezenta cîteva metode elementare de soluție numerică a ecuației (104) și apoi vom enunța, fără demonstrație, o metodă avansată.

Formula de diferențe inverse a lui Newton

Multe metode de soluționare numerică a ecuației de stare se pot stabili relativ ușor, dacă se pornește de la o expresie a valorii funcției într-un moment oarecare, în funcție de valorile ei în momentele anterioare. De aceea vom trata mai întii acest subiect.

Pentru a stabili o bază, în termeni familiari, pentru formula ce va fi analizată, să considerăm funcția vectorială $y(t)$ exprimată ca o serie trunchiată de puteri, cu un rest; adică

$$y(t) = y(t_i) + y^{(1)}(t_i)(t - t_i) + \frac{1}{2!} y^{(2)}(t_i)(t - t_i)^2 + \dots \\ \dots + \frac{1}{j!} y^{(j)}(t_i)(t - t_i)^j + r(t), \quad (105)$$

unde $y^{(k)}(t_i) = d^k y(t)/dt^k|_{t=t_i}$. Adeseori $y(t)$ poate fi aproximată printr-un polinom obținut prin neglijarea restului $r(t)$. De fapt, dacă $y(t)$ este un polinom de grad cel mult j , atunci această aproximație nu este eronată. Greșeala majoră ce s-ar face folosind (105) constă în faptul că ea cere cunoașterea derivatelor lui $y(t)$, ceea ce nu este totdeauna posibil.

Pentru a se evita problema de evaluare a derivatelor lui $y(t)$, vom căuta o reprezentare diferită, dar echivalentă a lui $y(t)$. Fie $t_{i-1}, t_{i-2}, \dots, t_{i-j}$ un set de j valori distincte de timp. Dacă înlocuim fiecare din aceste valori în (105), se obțin j ecuații, având ca necunoscute derivatele. Acestea se pot rezolva pentru $y^{(k)}(t_i)$ în termeni de $y(t_i)$, $y(t_{i-k})$, și de rest $r(t_{i-1})$, unde $k=1, \dots, j$. Dacă se introduc aceste soluții pentru $y(t)$ în (105), expresia rezultată pentru $y(t)$ se poate pune în forma următoare:

$$y(t) = a_0(t) y(t_i) + a_1(t) y(t_{i-1}) + a_2(t) y(t_{i-2}) + \dots \\ \dots + a_j(t) y(t_{i-j}) + \hat{r}(t), \quad (106)$$

unde $\hat{r}(t)$ este un rest, bineînțeles diferit de $r(t)$; $a_k(t)$ sint polinoame în t , de grad cel mult j . Neglijînd pe $\hat{r}(t)$, se obține un polinom care aproximează pe $y(t)$.

Coeficienții $a_i(t)$ nu sînt ușor de evaluat, după cum ar fi de dorit. Totuși, dacă se rearanjează termenii în (106), astfel ca $y(t)$ să fie exprimată în funcție de sume și diferențe între diferite valori $y(t_{i-1})$, atunci noii coeficienți se evaluează ușor. Aceasta se va înțelege ușor prin cele ce urmează.

Să definim mai întîi un set de funcții, care sînt sume și diferențe ale valorilor lui $y(t)$ în diferite „puncte” de timp, după cum urmează:

$$\delta[t_i] = y(t_i) \quad (107a)$$

$$\delta[t_{i-1}, t_i] = \frac{\delta[t_i] - \delta[t_{i-1}]}{t_i - t_{i-1}} \quad (107b)$$

.....

$$\delta[t_{i-k}, \dots, t_{i-1}, t_i] = \frac{\delta[t_{i-k+1}, \dots, t_i] - \delta[t_{i-k}, \dots, t_{i-1}]}{t_i - t_{i-k}}. \quad (107c)$$

unde

$$e(t) = (t-t_i) \dots (t-t_{i-j}) \delta[t_{i-j}, \dots, t_i, t] \quad (109)$$

este considerată ca eroarea din aproximarea lui $y(t)$ prin polinomul

$$y(t_i) + (t-t_i) \delta[t_{i-1}, t_i] + \dots + (t-t_i) \dots (t-t_{i-j+1}) \delta[t_{i-j}, \dots, t_i] \quad (110)$$

Pe baza comentariilor precedente referitoare la (106), se știe că $e(t) \equiv 0$, dacă $y(t)$ este un polinom de grad cel mult j . Din examinarea relației (109) se observă că $e(t)=0$ pentru $t=t_i, t_{i-1}, \dots, t_{i-j}$, fie că $y(t)$ este sau nu un polinom.

Deoarece diferențele divizate nu sînt tot așa de simplu de calculat ca diferențele, se va reformula (110) în termeni de simple diferențe, luate invers, adică

$$\nabla y(t_i) = y(t_i) - y(t_{i-1}) \quad (111a)$$

$$\nabla^2 y(t_i) = [\nabla y(t_i) - \nabla y(t_{i-1})] \quad (111b)$$

.

$$\nabla^k y(t_i) = [\nabla^{k-1} y(t_i) - \nabla^{k-1} y(t_{i-1})]. \quad (111c)$$

Acestea sînt denumite *diferențe în sens invers*, Vom presupune în cele ce urmează că diferențele dintre valorile adiacente de timp sînt egale; adică, $t_k - t_{k-1} = h$, pentru $k=i-j+1, \dots, i$. Apoi, începînd cu (111a), se obține

$$\begin{aligned} \nabla y(t_i) &= (t_i - t_{i-1}) \cdot \frac{y(t_i) - y(t_{i-1})}{t_i - t_{i-1}} \\ &= h \delta[t_{i-1}, t_i]. \end{aligned}$$

În mod analog, începînd cu (111b), se obține,

$$\begin{aligned} \nabla^2 y(t_i) &= (t_i - t_{i-2}) \frac{\nabla y(t_i) - \nabla y(t_{i-1})}{t_i - t_{i-2}} \\ &= 2h^2 \frac{\delta[t_{i-1}, t_i] - \delta[t_{i-2}, t_{i-1}]}{t_i - t_{i-2}} \\ &= 2h^2 \delta[t_{i-2}, t_{i-1}, t_i]. \end{aligned}$$

Rîndul al doilea rezultă din primul, folosind expresia dedusă anterior pentru $\nabla y(t_i)$, iar rîndul trei rezultă din al doilea, folosind (107c). Continuînd în acest mod se găsește că

$$\nabla y(t_i) = h \delta[t_{i-1}, t_i] \quad (112a)$$

$$\nabla^2 y(t_i) = 2h^2 \delta[t_{i-2}, t_{i-1}, t_i] \quad (112b)$$

$$\dots$$

$$\nabla^k y(t_i) = k! h^k \delta[t_{i-k}, \dots, t_i] \quad (112c)$$

sau, sub formă echivalentă,

$$\delta[t_{i-k}, \dots, t_i] = \frac{1}{k! h^k} \nabla^k y(t_i) \quad (113)$$

Dacă se introduce această relație dintre diferențele divizate și diferențele în sens invers în (108c) se obține :

$$\begin{aligned} y(t) = & y(t_i) + \frac{(t-t_i)}{h} \nabla y(t_i) + \frac{(t-t_i)(t-t_{i-1})}{2! h^2} \nabla^2 y(t_i) + \dots \\ & \dots + \frac{(t-t_i) \dots (t-t_{i-j+1})}{j! h^j} \nabla^j y(t_i) + o(t). \end{aligned} \quad (114)$$

În mod analog, polinomul aproximant a lui (110), obținut prin neglijarea lui $e(t)$, este :

$$y(t_i) + \frac{(t-t_i)}{h} \nabla y(t_i) + \dots + \frac{(t-t_i) \dots (t-t_{i-j+1})}{j! h^j} \nabla^j y(t_i). \quad (115)$$

Ecuația (114) este *formula de diferențe în sens invers a lui Newton*; (115) este această formulă, trunchiată, după $j+1$ termeni.

Formule deschise

Folosind formula de diferențe în sens invers (de diferențe inverse) a lui Newton, vom stabili o formulă destul de generală pentru soluția ecuației de stare la momentul t_{i+1} , în funcție de diferențele inverse și de derivatele lor la momentele anterioare de timp. Aceste formule, denumite *formule deschise*, formează baza pentru multe din metodele numerice specifice ce urmează a fi prezentate aici.

Notînd pe d/dt printr-un punct deasupra și punînd $y(t) = \dot{x}(t)$, obținem formula de diferențe inverse a lui Newton (114), trunchiată după $j+1$ termeni,

$$\dot{x}(t) = \dot{x}(t_i) + \frac{(t-t_i)}{h} \nabla \dot{x}(t_i) + \dots + \frac{(t-t_i) \dots (t-t_{i-j+1})}{j! h_j} \nabla^j \dot{x}(t_i). \quad (116)$$

Dacă se integrează $\dot{x}(t)$ de la t_i la $t_{i+1} = t_i + h$, rezultatul este $x(t_{i+1}) - x(t_i)$; în mod echivalent,

$$x(t_{i+1}) = x(t_i) + \int_{t_i}^{t_i+h} \dot{x}(t) dt$$

Substituind pe (116) în (117) se obține,

$$x(t_{i+1}) = x(t_i) + h \sum_{k=0}^j b_k \nabla^k \dot{x}(t_i),$$

unde $b_0 = 1$ și, pentru $k > 0$,

$$\begin{aligned} b_k &= \int_{t_i}^{t_i+h} \frac{(t-t_i) \dots (t-t_{i-k+1})}{k! h^{k+1}} dt \\ &= \int_0^1 \frac{\tau(\tau+1) \dots (\tau+k-1)}{k!} d\tau. \end{aligned} \quad (119)$$

Integrala a doua din (119) se obține din prima prin schimbarea variabilei $\tau = (t-t_i)/h$ și prin faptul că $t_{i-1} = t_i - h$. După evaluarea acestei integrale pentru mai multe valori ale lui k și substituirea rezultatului în (118) se găsește că

$$\begin{aligned} x(t_{i+1}) = x(t_i) + h [&\dot{x}(t_i) + \frac{1}{2} \nabla \dot{x}(t_i) + \frac{1}{12} \nabla^2 \dot{x}(t_i) \\ &+ \frac{1}{8} \nabla^3 \dot{x}(t_i) + \frac{1}{720} \nabla^4 \dot{x}(t_i) + \dots]. \end{aligned} \quad (120)$$

Într-un anumit sens, se poate spune că s-a ajuns ținta. Dacă se cunoaște $x(t_0)$, $x(t_1)$, ..., și $x(t_j)$, atunci se poate folosi ecuația de stare pentru a determina $\dot{x}(t_0)$, $\dot{x}(t_1)$, ..., și $\dot{x}(t_j)$. Apoi se calculează diferențele inverse $\nabla \dot{x}(t_j)$, $\nabla^2 \dot{x}(t_j)$, ..., și $\nabla^j \dot{x}(t_j)$, iar (118) este folosită pentru evaluarea lui $x(t_{j+1})$. Se repetă apoi aceste trepte pentru evaluarea lui $x(t_{j+2})$, pornind de la $x(t_1)$, $x(t_2)$, ..., și $x(t_{j+1})$. Continuînd în acest sens, se stabilește valoarea lui $x(t)$ în momentele $t = t_{j+1}, t_{j+2}, \dots$. Ne vom opri mai mult asupra acestei chestiuni mai tîrziu.

Ecuația (118) stabilește dependența lui $x(t_{i+1})$ de valorile imediat precedente ale lui x (anume, $x(t_i)$ și de $\dot{x}(t_i)$, $\nabla \dot{x}(t_i)$, ..., și $\nabla^j \dot{x}(t_i)$). Se poate

tot așa de ușor stabili dependența lui $\mathbf{x}(t_{i+1})$ de $\mathbf{x}(t_{i-l})$, pentru $l \geq 0$ și de $\dot{\mathbf{x}}(t_i)$, $\nabla \dot{\mathbf{x}}(t_i)$, ..., și $\nabla^j \dot{\mathbf{x}}(t_i)$. Relația integrală obținută astfel este :

$$\mathbf{x}(t_{i+1}) = \mathbf{x}(t_{i-l}) + \int_{t_{i-l}}^{t_{i+1}} \dot{\mathbf{x}}(t) dt. \quad (121)$$

Prin substituirea lui (116) se obține,

$$\mathbf{x}(t_{i+1}) = \mathbf{x}(t_{i-l}) + h \sum_{k=0}^j b_k(l) \nabla^k \dot{\mathbf{x}}(t_i), \quad (122)$$

unde $b_0(l) = l+1$ și, pentru $k > 0$,

$$b_k(l) = \int_{-l}^1 \frac{\tau(\tau+1) \dots (\tau+k-1)}{k!} d\tau. \quad (123)$$

Pentru aplicații ulterioare, se dau în tabelul 10.1 valorile coeficienților $b_k(l)$, care apar în relația foarte generală (122).

Tabelul 10.1.

k	Valorile lui $b_k(l)$					
	l					
	0	1	2	3	4	5
0	1	2	3	4	5	6
1	1	0	$-\frac{3}{2}$	-4	$-\frac{17}{2}$	-12
2	5	1	$\frac{3}{4}$	8	85	15
	12	3	4	3	12	
3	3	1	$\frac{3}{8}$	0	$-\frac{55}{24}$	-9
	8	3	8			
4	251	29	27	14	83	33
	720	90	80	45	144	10
5	95	14	51	14	95	0
	299	45	160	45	298	

Nu s-a spus nimic despre eroarea ce apare prin folosirea formei trunchiate a formulei diferențelor inverse a lui Newton. Despre aceste erori se tratează în cărțile de analiza numerică¹. Totuși, trebuie menționat că eroarea din (122) este proporțională cu h^{j+2} . Astfel, într-un sens intuitiv, dacă h este suficient de mic și j suficient de mare, eroarea poate ajunge foarte mică.

¹ Vezi, de exemplu, R.W. Hamming, *Numerical Methods for Scientists and Engineers*, Mc Graw-Hill Book Co. New York, 1962.

Formule închise

Relațiile obținute din (122) pentru diferite valori ale lui l se numesc *formule deschise*, pentru că $x(t_{i+1})$ depinde nu de x la momentul t_{i+1} , ci numai de \dot{x} la momente anterioare de timp. Pe de altă parte, *formulele închise* ce se vor prezenta mai jos, au o relație de dependență între $x(t_{i+1})$ și \dot{x} , atât la momentul t_{i+1} , cât și la cele anterioare.

Se pune $y(t) = \dot{x}(t)$ și apoi se înlocuiește t_i prin t_{i+1} , în formula de diferențe inverse a lui Newton, trunchiată după $j+1$ termeni. Ecuația rezultată devine :

$$\dot{x}(t) = \dot{x}(t_{i+1}) + \frac{(t-t_{i+1})}{h} \nabla \dot{x}(t_{i+1}) + \dots + \frac{(t-t_{i+1}) \dots (t-t_{i-j+2})}{j! h^j} \nabla^j \dot{x}(t_{i+1}). \quad (124)$$

Integrarea lui $\dot{x}(t)$ între $t_{i-l} = t_i - 1l$ și $t_{i+1} = t_i + h$, duce la relația :

$$x(t_{i+1}) = x(t_{i-l}) + \int_{t_{i-l}}^{t_{i+1}} \dot{x}(t) dt. \quad (125)$$

După introducerea expresiei pentru (124) se găsește :

$$x(t_{i+1}) = x(t_{i-l}) + h \sum_{k=0}^j c_k(l) \nabla^k \dot{x}(t_{i+1}), \quad (126)$$

unde $c_0(l) = l+1$ și, pentru $k > 0$,

$$c_k(l) = \int_{-l}^1 \frac{(\tau-1)\tau(\tau+1)\dots(\tau+k-2)}{k!} d\tau. \quad (127)$$

În tabelul 10.2 se dau valorile calculate a lui $c_k(l)$, pentru formula închisă foarte generală (126).

Tabelul 10.2.

Valorile lui $c_k(l)$						
	l					
k	0	1	2	3	4	5
0	1	2	3	4	5	6
1	$-\frac{1}{2}$	-2	$-\frac{9}{2}$	-8	$-\frac{25}{2}$	-18
2	$-\frac{1}{12}$	$\frac{1}{3}$	$\frac{27}{12}$	$\frac{20}{3}$	$\frac{175}{12}$	27
3	$-\frac{1}{24}$	0	$-\frac{3}{8}$	$-\frac{8}{3}$	$-\frac{60}{8}$	-24
4	$-\frac{19}{720}$	$-\frac{1}{90}$	$-\frac{3}{80}$	$\frac{14}{45}$	$\frac{425}{84}$	123
5	$-\frac{3}{160}$	$-\frac{1}{90}$	$-\frac{3}{160}$	0	$-\frac{95}{288}$	33
						10

Ca și în cazul formulelor deschise, eroarea în (126), datorită trunchierii formulei de diferențe inverse a lui Newton, pentru $\dot{x}(t)$, este proporțională cu h^{j+2} .

La prima vedere s-ar părea că formulele închise nu au o importanță deosebită, deoarece ecuația de stare nu poate fi folosită pentru calculul lui $\dot{x}(t_{i+1})$, pînă ce nu este cunoscută $x(t_{i+1})$, iar (126) nu poate fi folosită pentru determinarea lui $x(t_{i+1})$, pînă ce nu este cunoscută $\dot{x}(t_{i+1})$. Totuși, formulele închise sînt utile în soluționarea numerică a ecuației de stare, prin așa numitele metode de predictor-corrector, despre care ne vom ocupa puțin mai tîrziu.

Metoda lui Euler

Să considerăm, în același timp, formula deschisă (118), cu $j=0$, și ecuația de stare evaluată la t_i . Astfel

$$x(t_{i+1}) = x(t_i) + h \dot{x}(t_i) \quad (128a)$$

$$\dot{x}(t_i) = f[x(t_i), t_i]. \quad (128b)$$

Valoarea lui x la $t=t_i$, introdusă în membrul doi al ecuației a doua, ne dă derivata $\dot{x}(t_i)$. Dacă se introduce aceasta în membrul doi din prima ecuație, rezultă valoarea lui x la t_{i+1} . Utilizarea alternativă a acestor două expresii, ne duce la valorile lui x la $t_i + kh$, pentru toate valorile k . Acest procedeu numeric se numește metoda lui Euler.

Nu ne vom opri mult asupra acestei metode elementare, deoarece eroarea este mult mai mare decît în alte metode. Mai există neajunsul că eroarea poate crește mult, cînd crește timpul. Aceasta se poate vedea dintr-un exemplu. Să considerăm ecuația scalară

$$\frac{dx}{dt} = x,$$

cu $x(0)=1$. Soluția exactă e^t este concavă în sus, cum se vede în fig. 10.13. În metoda lui Euler, valoarea lui $x(h)$ se calculează utilizînd $x(0)$ și panta curbei (soluției), trecînd prin punctul $[x(0), 0]$. După cum se vede în figura 10.13, $x(h)$ are o valoare mai mică decît a soluției exacte. Se poate vedea ușor că soluționarea numerică, evaluată pentru momente succesive de timp, va da o curbă ce se depărtează din ce în ce mai mult de curba soluției

exacte. În fig. 10.13 s-a luat $h=0,5$, destul de mare, pentru a se pune în evidență această abatere crescândă cu timpul.

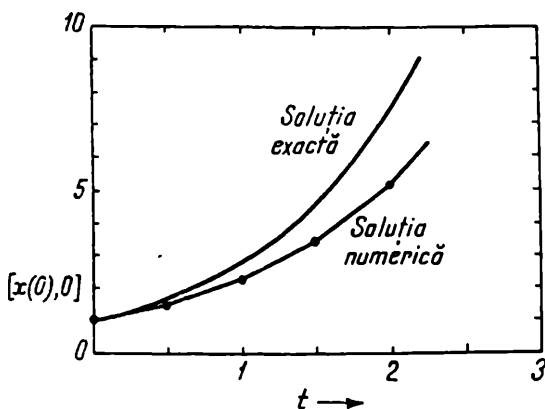


Fig. 10.13.

Metoda lui Euler modificată

Pentru a se înlătura unul din neajunsurile metodei lui Euler, se modifică puțin aceasta, făcînd ca $\mathbf{x}(t_{i+1})$ să depindă de $\dot{\mathbf{x}}$ atît la t_i , cît și la t_{i+1} , nu numai la t_i singur.

Vom porni de la formula închisă (126), cu $j=1$ și $l=0$; acesta dă

$$\mathbf{x}(t_{i+1}) = \mathbf{x}'(t_i) + h \left[\dot{\mathbf{x}}(t_{i+1}) - \frac{1}{2} \nabla \dot{\mathbf{x}}(t_{i+1}) \right], \quad (129)$$

care, dacă se face înlocuirea $\nabla \dot{\mathbf{x}}(t_{i+1}) = \dot{\mathbf{x}}(t_{i+1}) - \dot{\mathbf{x}}(t_i)$, devine

$$\mathbf{x}(t_{i+1}) = \mathbf{x}(t_i) + h \frac{\dot{\mathbf{x}}(t_{i+1}) + \dot{\mathbf{x}}(t_i)}{2}, \quad (130)$$

Astfel, dacă se folosește (129), $\mathbf{x}(t_{i+1})$ se determină prin $\mathbf{x}(t_i)$ și media dintre $\dot{\mathbf{x}}$ la t_i și la t_{i+1} . La prima vedere s-ar părea că această relație este fără folos, deoarece $\dot{\mathbf{x}}(t_{i+1})$ poate fi determinată din ecuația de stare numai dacă $\mathbf{x}(t_{i+1})$, care este mărimea ce trebuie evaluată, este cunoscută. Această dificultate este învinsă în modul următorul: Pornind de la $\mathbf{x}(t_i)$, se folosește metoda lui Euler pentru a prezice valoarea lui $\mathbf{x}(t_{i+1})$. Cu această valoare prezisă a lui $\mathbf{x}(t_{i+1})$, ecuația (129), împreună cu ecuația de stare, ne pot da o valoare corectată a lui $\mathbf{x}(t_{i+1})$. Acest ultim pas este apoi repetat pînă ce valorile corectate succesiv ale lui $\mathbf{x}(t_{i+1})$ sînt echivalente, cu precizia numerică dorită; de exemplu, echivalente pînă la patru cifre zecimale.

Aceasta este *metoda lui Euler modificată*; se mai poate spune că este o metodă cu *predictor-corrector*. Este doar o metodă, poate cea mai elementară, dintr-o largă clasă de astfel de metode cu predictor-corrector, dintre care unele vor fi luate în considerare mai departe.

Pentru a ilustra procedeul în metoda lui Euler modificată, să presupunem că :

$$\frac{d}{dt} \begin{bmatrix} x_1 \\ x_2 \end{bmatrix} = \begin{bmatrix} -x_1^3 \\ x_1 - x_2 \end{bmatrix}$$

este ecuația de stare și $\mathbf{x}(0) = [1,000 \ -2,000]'$. Luăm în mod arbitrar $h=0,1$. Acum, $\mathbf{x}(0)$ și ecuația de stare împreună, dau $\dot{\mathbf{x}}(0) = [-1 \ 3]'$. Ecuația (128a) în metoda Euler dă

$$\mathbf{x}(h) = [0,900 \ -1,700]'$$

valoarea prezisă a lui $\mathbf{x}(h)$. Ecuația de stare dă apoi valoarea corespunzătoare pentru $\dot{\mathbf{x}}(h)$, adică $\dot{\mathbf{x}}(h) = [-0,729 \ 2,600]'$. Folosind pe (130) din metoda modificată Euler, prima valoare corectată a lui $\mathbf{x}(h)$ devine $[0,914 \ -1,740]'$. Ecuația de stare ne dă acum o nouă valoare a lui $\dot{\mathbf{x}}(h)$, iar (130) ne dă a doua valoare corectată a lui $\mathbf{x}(h)$. Acestea sînt

$$\dot{\mathbf{x}}(h) = \begin{bmatrix} -0,764 \\ 2,654 \end{bmatrix}, \quad \mathbf{x}(h) = \begin{bmatrix} 0,912 \\ -1,719 \end{bmatrix}.$$

Presupunînd că o precizie de trei zecimale este suficientă, calculul lui $\mathbf{x}(h)$, este terminat, deoarece ultimele două valori calculate ale lui $\mathbf{x}(h)$ sînt echivalente cu această precizie. Evaluarea mărimilor $\mathbf{x}(2h)$, $\mathbf{x}(3h)$, ... se face în același mod, cu calcularea următoare începută de la valoarea lui $\mathbf{x}(h)$ imediat anterioară (stabilită).

Metoda Adams

Formula deschisă (118) pentru un j oarecare, astfel ca în cazul particular $j=3$ să avem

$$\mathbf{x}(t_{i+1}) = \mathbf{x}(t_i) + h \left[\dot{\mathbf{x}}(t_i) + \frac{1}{2} \nabla \dot{\mathbf{x}}(t_i) + \frac{5}{12} \nabla^2 \dot{\mathbf{x}}(t_i) + \frac{3}{8} \nabla^3 \dot{\mathbf{x}}(t_i) \right], \quad (131)$$

formează baza *metodei Adams*. Ecuația de stare este folosită, bineînțeles, pentru a evalua pe $\dot{\mathbf{x}}(t_i)$ de $\mathbf{x}(t_i)$.

Ca și alte metode care folosesc formule deschise și închise, cu $j \geq 1$, metoda Adams este de tip *fără auto-pornire*; adică nu este suficient să

cunoaștem numai ecuația de stare și $x(t_0)$, ci trebuie cunoscute și valorile $x(t_1), \dots$, și $x(t_j)$. Numai cu această informație suplimentară poate fi calculat primul set complet de diferențe inverse, la timpul t_j și poate fi deci folosită (118) pentru evaluarea lui $x(t_{j+1})$.

Valorile suplimentare ale lui x , necesare pentru a porni metoda Adams, pot fi produse și prin alte metode. Astfel, se poate folosi o dezvoltare a lui $x(t)$ în seria Taylor trunchiată, la t_0 , pentru a evalua pe $x(t_1), \dots$, și $x(t_j)$. Pentru a menține echivalente erorile în metoda Adams și în evaluarea seriei, pentru valorile de pornire, — seria lui Taylor trebuie trunchiată după $j+2$ termeni; adică, se va utiliza următoarea serie trunchiată :

$$\begin{aligned} x(t) = & x(t_0) + x^{(1)}(t_0)(t-t_0) + \frac{1}{2} x^{(2)}(t_0)(t-t_0)^2 \\ & + \dots + \frac{1}{(j+1)!} x^{(j+1)}(t_0)(t-t_0)^{j+1}. \end{aligned} \quad (132)$$

Această metodă cu serie cere evident ca $f(x, t)$ să fie suficient de diferențiabilă (de j ori în x și t) la t_0 ; numai atunci se poate evalua $x^{(k)}(t_0)$; de exemplu, $\ddot{x}(t_0) = f_x[x(t_0), t_0] \dot{x}(t_0) + f_t[x(t_0), t_0] = f_x[x(t_0), t_0] f[x(t_0), t_0] + f_t[x(t_0), t_0]$.

Pentru a ilustra metoda Adams, să considerăm aceasta simplă ecuație de stare

$$\frac{d}{dt} x = -x + \varepsilon^{-t},$$

cu $x(0)=0$. Punem $h=0,1$ și luăm $j=3$. Astfel, (131) va fi cazul particular a lui (118) folosit aici.

Valorile de pornire se obțin folosind seria Taylor trunchiată.

Mai întâi,

$$\dot{x}(0) = [-x(t) + \varepsilon^{-t}]|_{t=0} = 1$$

$$\ddot{x}(0) = [-\dot{x}(t) - \varepsilon^{-t}]|_{t=0} = -2$$

$$\ddot{\ddot{x}}(0) = [-\ddot{x}(t) + \varepsilon^{-t}]|_{t=0} = 3$$

$$x^{(4)}(0) = [-\ddot{\ddot{x}}(t) - \varepsilon^{-t}]|_{t=0} = -4$$

Deci, seria trunchiată (132) este în acest caz

$$x(t) = t - t^2 + \frac{1}{2} t^3 - \frac{1}{6} t^4.$$

Folosind această serie, se evaluează $x(h)$, $x(2h)$ și $x(3h)$; astfel $x(h)=0,0905$, $x(2h)=0,1637$, $x(3h)=0,2222$. Cu aceste valori se poate folosi (131) pentru a calcula valorile următoare ale lui $x(ih)$. Aceste valori, împreună cu cele ale mai multor diferențe inverse, sînt arătate în tabelul 10.3, pentru i pînă la 10. Pentru comparație sînt date și valorile exacte $(ih)e^{-(ih)}$ ale lui x la $t=ih$.

Tabelul 10.3.

i	Exact $x(ih)$	Numeric $x(ih)$	$\dot{x}(ih)$	$\nabla \dot{x}(ih)$	$\nabla^2 \dot{x}(ih)$	$\nabla^3 \dot{x}(ih)$
0	0,0000	0,0000	1,0000			
1	0,0905	0,0905	0,8143	-0,1857		
2	0,1637	0,1637	0,6550	-0,1593	0,0264	
3	0,2222	0,2222	0,5186	-0,1364	0,0229	-0,0035
4	0,2681	0,2681	0,4022	-0,1164	0,0200	-0,0029
5	0,3032	0,3032	0,3033	-0,0989	0,0175	-0,0025
6	0,3293	0,3292	0,2196	-0,0837	0,0152	-0,0023
7	0,3476	0,3475	0,1491	-0,0705	0,0132	-0,0020
8	0,3595	0,3594	0,0899	-0,0592	0,0113	-0,0019
9	0,3659	0,3658	0,0408	-0,0491	-0,0101	0,0012
10	0,3679	0,3678				

Metoda Adams modificată

Se poate face o modificare a metodei Adams, asemănătoare cu modificarea la metoda Euler. Metoda Adams este folosită să prezică o valoare pentru $x(t_{i+1})$. Formula închisă (126) pentru un j oarecare și $l=0$, se folosește în mod repetat, pînă ce valorile succesive corectate ale lui $x(t_{i+1})$ sînt ecnivalente la precizia numerică dorită. Ca un caz tipic, (131) (adică (118), cu $j=3$) se folosește să prezică valoarea lui $x(t_{i+1})$; apoi din

$$x(t_{i+1}) = x(t_i) + h \left[\dot{x}(t_{i+1}) - \frac{1}{2} \nabla \dot{x}(t_{i+1}) - \frac{1}{12} \nabla^2 \dot{x}(t_{i+1}) - \frac{1}{24} \nabla^3 \dot{x}(t_{i+1}) \right]. \quad (13)$$

care este (126), cu $j=3$ și $l=0$, se calculează valoarea corectată a lui $\mathbf{x}(t_{i+1})$. Aceasta este *metoda Adams modificată*; ca și metoda Euler modificată, este o metodă cu predictor-corrector.

Metoda Milne

Aceasta este o altă metodă cu predictor-corrector; în particular este o metodă care ține seama bine de zero-urile care apar în Tabelele 10.1 și 10.2. Ecuația (122), cu $j=3$ și $l=3$, se folosește pentru a prezice valoarea lui $\mathbf{x}(t_{i+1})$. Deoarece $b_3(3)=0$, termenul $\nabla^3 \dot{\mathbf{x}}(t_i)$ nu trebuie să fie niciodată inclus în ecuație. Astfel

$$\mathbf{x}(t_{i+1}) = \mathbf{x}(t_{i-3}) + h \left[4\dot{\mathbf{x}}(t_i) - 4\nabla \dot{\mathbf{x}}(t_i) + \frac{8}{3} \nabla^2 \dot{\mathbf{x}}(t_i) \right]. \quad (134)$$

Se observă că numai două diferențe inverse sînt calculate, ca și cum s-ar trunchia formula deschisă (122) la $j=2$. Totuși, precizia este aceeași ca cea obținută cînd se trunchiază formula deschisă la $j=3$. Formula închisă (126), cu $j=3$ și $l=1$, se folosește pentru calculul valorilor corectate ale lui $\mathbf{x}(t_{i+1})$. Cum $c_3(1)=0$, trebuie calculate numai două, în loc de trei, diferențe inverse. Astfel, ecuația se poate scrie fără termenul $\nabla^3 \dot{\mathbf{x}}(t_{i+1})$, adică :

$$\mathbf{x}(t_{i+1}) = \mathbf{x}(t_{i-1}) + h \left[2\dot{\mathbf{x}}(t_{i+1}) - 2\nabla \dot{\mathbf{x}}(t_{i+1}) + \frac{1}{3} \nabla^2 \dot{\mathbf{x}}(t_{i+1}) \right]. \quad (135)$$

O a doua metodă Milne folosește formula deschisă (122), cu $j=5$ și $l=5$, pentru a prezice pe $\mathbf{x}(t_{i+1})$, precum și formula închisă (126), cu $j=5$ și $l=3$, pentru a corecta pe $\mathbf{x}(t_{i+1})$. Faptul că $b_5(5)$ și $c_5(3)$ sînt zero, reduce efortul de calcul, pînă la cel necesar cînd (122) și (126) sînt trunchiate la $j=4$.

Metode cu predictor-corrector

Mai multe din metodele examinate sînt metode cu predictor-corrector. Ele fac parte dintr-o clasă largă de astfel de metode, care folosesc formula deschisă (122), pentru anumite j și l , ca să prezică pe $\mathbf{x}(t_{i+1})$, și formula închisă (126), pentru anumite j și l , ca să corecteze pe $\mathbf{x}(t_{i+1})$. Indicii j și l pot fi diferiți în cele două ecuații. În mod convențional, (122) se numește un predictor, iar (126) un corrector.

Pentru a ilustra cum servesc aceste ecuații la stabilirea metodei particulare, să vedem mai întîi cum poate fi îmbunătățită metoda Euler

modificată, fără să se adauge ceva la cantitatea de calcul necesară. Corectorul

$$x(t_{i+1}) = x(t_i) + h \frac{\dot{x}(t_i) + \dot{x}(t_{i+1})}{2}$$

este (126) cu $j=1$ și $l=0$. Predictorul

$$x(t_{i+1}) = x(t_i) + h\dot{x}(t_i)$$

este (122) cu $j=0$. Astfel, predictorul nu este tot așa de precis cît este corectorul. Aceasta înseamnă că ultimul, probabil, va trebuie să fie folosit de mai multe ori, pînă să se ajungă la valori succesive ale lui $x(t_{i+1})$ echivalente (aproape egale), decît ar fi necesar dacă predictorul și corectorul ar avea aceeași precizie. Din examinarea tabelului 10.1 se vede că $b_1(1)=0$. Astfel (122), cu $j=1$ și $l=1$, dă un predictor :

$$x(t_{i+1}) = x(t_i) + 2h\dot{x}(t_i),$$

cu aceeași precizie ca și corectorul ; cantitatea de calcul necesară pentru a prezice pe $x(t_{i+1})$ este aceeași ca și la predictorul original.

Trebuie observat faptul că cele mai multe din metodele cu predictor-corector, care se bazează pe (122) și (126), nu cînt cu auto-pornire. Excepțiile sînt (122), cu $j=0$ și $l=0$, precum și (126), cu $j=0$ sau 1 și $l=0$.

Metoda Runge-Kutta

Metoda de ordinul patru Runge-Kutta, este baza cunoscută și folosită pentru obținerea soluției numerice a ecuației de stare. Este o metodă cu auto-pornire — deci cu avantaj evident — și destul de precisă.

Metoda de ordinul patru Runge-Kutta este exprimată prin ecuația

$$x(t_{i+1}) = x(t_i) + \frac{1}{6} [w_0 + 2w_1 + 2w_2 + w_3] \quad (136)$$

unde :

$$w_0 = h f[x(t_i), t_i]$$

$$w_1 = h f\left[x(t_i) + \frac{w_0}{2}, t_i + \frac{h}{2}\right]$$

$$w_2 = h f\left[x(t_i) + \frac{w_1}{2}, t_i + \frac{h}{2}\right]$$

$$w_3 = h f[x(t_i) + w_2, t_i + h].$$

Nu se va încerca să se justifice această ecuație, deoarece este o demonstrație lungă și nu dă informații utile pentru dezvoltarea altor metode. Este cunoscut că termenul de eroare este proporțional cu h^5 . Astfel, dacă h este suficient de mic, eroarea va fi neglijabilă.

Se observă că nu se folosește nici-un corector în această metodă. În comparație cu alte metode având aceeași precizie, dar fără corector, ea cere un efort de calcul ceva mai mare. Pentru fiecare creștere a timpului, x trebuie evaluată de patru ori, față de numai o dată, în alte metode. Mai mult, într-o metodă cu predictor-corector, având pași h suficient de mici, x va fi rareori evaluat mai mult decât de două ori. Se vede că, din acest punct de vedere, metoda Runge-Kutta este mai desavantajoasă decât metodele cu predictor-corector.

Totuși, se observă că avantajele și dezavantajele metodei Runge-Kutta, în comparație cu metodele de prezicere-corecție, sînt complementare între ele. Metoda Runge-Kutta este cu auto-pornire, iar metodele cu predictor-corector necesită mai puțin calcul. De aceea metoda Runge-Kutta se poate folosi pentru pornirea uneia dintre metodele cu predictor-corector.

Erori

S-a spus pînă aici puțin despre erorile din soluțiile numerice ale ecuației de stare, afară de sublinierea dependenței erorii de h , datorită truncherii în formula cu diferențe inverse a lui Newton. Mai există și alte erori și trebuie să fim atenți asupra modului cum apar.

Sînt erori care apar din cauză că operațiile aritmetice se fac cu numere ce au un număr limitat de cifre semnificative. Acest tip de erori sînt cunoscute ca erori de „rotunjire”, deoarece prin rotunjire se elimină unele cifre finale considerate nesemnificative.

Erorile de trunchere și de rotunjire, apărînd la fiecare pas al calculului, afectează nu numai eroarea soluției numerice la acel pas, ci și eroarea pașilor următori; se spune că eroarea se propagă.

O altă sursă de eroare, considerată ca eroare dinamică, apare în modul următor. Ecuațiile folosite pentru obținerea soluției numerice a ecuației de stare pot prezenta mai multe moduri independente dinamic, decât ecuația de stare. Dacă unul din modurile suplimentare este instabil, atunci soluția numerică se poate depărta radical de soluția efectivă.

Nu ne vom ocupa mai mult despre erori, aceste chestiuni fiind tratate pe larg în cărțile de analiză numerică (vezi Bibliografia).

10.7. STABILITATEA LIAPUNOV

În cazul circuitelor liniare, pentru care există soluții analitice generale ale ecuației de stare și pot fi determinate, se poate examina soluția și studia proprietățile ei. În particular, este posibil să se facă observații asupra proprietăților de stabilitate ale soluției, dacă rămâne mărginită sau chiar se apropie de zero când $t \rightarrow \infty$. Pentru circuite neliniare, nu există soluții analitice generale, și astfel nu se pot face observații cantitative asupra soluției. De aceea este important să se obțină unele informații asupra comportării calitative a soluției unei ecuații de stare, în particular asupra comportării ei când $t \rightarrow \infty$, adică asupra gradului de stabilitate sau instabilitate a soluției.

Definiții de stabilitate

Ecuația de stare neliniară se exprimă prin

$$\frac{dx}{dt} = f(x, t), \quad (137)$$

Se observă că la punctele unde $f(x, t) = 0$ pentru orice $t > t_0$, viteza de schimbare a lui x este identic zero. Aceasta înseamnă, bineînțeles, că dacă starea începe sau ajunge la un astfel de punct, va rămâne acolo. Aceste puncte sînt evident deosebite și de aceea se numesc *puncte singulare*.

Problema stabilității se ocupă cu comportarea soluției ecuației de stare într-un punct singular. Prin convenție, în definiții și în teoreme, se alege punctul singular în chestiune drept origină. Pentru a vedea că aceasta este totdeauna posibil, fie x_* un punct singular. Apoi, să punem $y(t) = x(t) - x_*$. Rezultă că $x(t) = x_*$ corespunde la $y(t) = 0$. Identificarea echivalentă $x(t) = y(t) + x_*$, înlocuită în ecuația de stare (137) dă

$$\frac{d}{dt} y = f(y + x_*, t) = \hat{f}(y, t). \quad (138)$$

Cum y și x diferă între ele numai printr-un vector constant x_* , oricare dintre ei determină starea circuitului. Dacă y este considerat un vector, de stare atunci (138) este ecuația de stare și origina este un punct singular. Astfel, fără pierdere de generalitate, vom presupune că (137) stabilește origina ca punct singular.

În ceea ce urmează vom folosi norme, fără referință la o normă particulară; totuși, exemplele se vor referi la norma Euclidiană. Prin S_ρ vom nota regiunea sferică $\|x\| < \rho$ în spațiul vectorilor și prin B_ρ frontiera regiunii sferice S_ρ . Astfel, B_ρ este sfera $\|x\| = \rho$.

Se presupune că în regiunea sferică S_E există o singură soluție continuă a ecuației de stare. Locul geometric al punctelor $\mathbf{x}(t)$ în spațiul vectorilor, pentru $t \geq t_0$ este numit *semi-traiectoria pozitivă* sau, pe scurt, *traiectoria* și se notează cu \mathbf{x}^+ .

Fiecare din următoarele trei definiții este ilustrată în fig. 10.14, pentru a da atât o interpretare vizuală, cât și una verbală a stabilității.

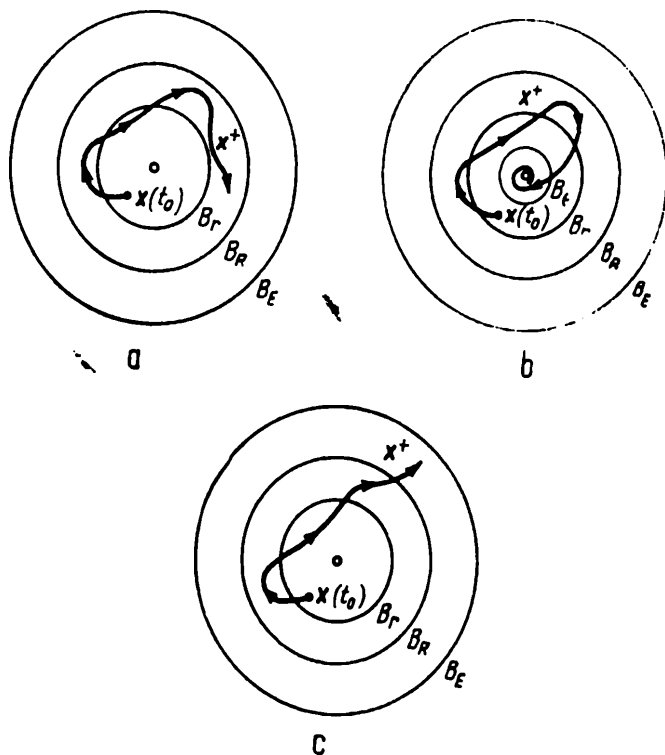


Fig. 10.14. Ilustrații pentru definițiile stabilității :

a—origină stabilă; b—origină asimptotic stabilă; c—origină instabilă.

Definiție. Originea este stabilă, dacă pentru orice $R < E$ există un $r \leq R$, astfel ca orice traiectorie \mathbf{x}^+ ce pornește din S_r rămîne în S_R . [Punctul de unde începe traiectoria este $\mathbf{x}(t_0)$].

Comportarea asimptotică a soluției la $t \rightarrow \infty$, este determinată de grupul de puncte de care se apropie traiectoria la $t \rightarrow \infty$. Dacă traiectoria tinde spre origină, timpul particular de stabilitate capătă un nume.

Mai precis,

Definiție. Originea este stabilă asimptotic, dacă este stabilă și dacă, pentru orice $\epsilon > 0$ există un t_ϵ astfel ca traiectoria să rămînă în S_ϵ pentru $t > t_\epsilon$.

Această definiție stabilește, în mod precis, că $x(t)$ se apropie de zero când t tinde spre infinit, prin existența unei valori de timp, după care norma soluției rămâne mai mică decât orice număr arbitrar de mic. Se observă că atât stabilitatea, cât și stabilitatea asimptotică, sînt „locale” sau „în mic”, — proprietăți prin care definițiile lor permit ca $r > 0$ să fie oricît de mic, pentru a satisface definiția. Pe de altă parte, dacă origina este asimptotic stabilă pentru $r = +\infty$, când $R = +\infty$, atunci origina se spune că este *asimptotic stabilă în mare*, sau *global asimptotic stabilă*. Cu alte cuvinte $x(t)$ se apropie de zero când t tinde spre infinit pentru orice $x(t_0)$.

Cum nu toate circuitele sînt stabile, trebuie precizat și conceptul de instabilitate; aceasta se face prin următoarea definiție.

Definiție. Origina este instabilă, dacă, pentru vreun $R < E$ și pentru orice $r \leq R$, există cel puțin o traiectorie cu origina în S_r , care traversează B_R .

Condițiile în care origina este stabilă sau asimptotic stabilă sînt enunțate în termeni de existența unor anumite clase de funcții. Vom defini aici aceste funcții.

Definiție. Funcția scalară $V(x)$ se zice că este pozitiv definită, dacă: 1) $V(x)$ și primele ei derivate parțiale sînt continue într-o regiune deschisă¹ D , ce conține origina, 2) $V(0) = 0$ și 3) $V(x) > 0$ pentru $x \neq 0$ în D .

Deoarece funcția scalară V poate fi uneori o funcție explicită de t și de x , noțiunea de pozitiv definită trebuie extinsă și la astfel de cazuri.

Definiție. Funcția scalară $V(x, t)$ se zice că este pozitiv definită, dacă: 1) $V(x, t)$ și primele ei derivate sînt continue pentru $t \geq t_0$ într-o regiune deschisă D , ce conține origina, 2) $V(0, t) = 0$ pentru $t \geq t_0$ și 3) $V(x, t) \geq W(x)$ pentru $t \geq t_0$, unde $W(x)$ este o funcție pozitiv definită numai de x .

Continuitatea primelor derivate parțiale garantează existența lui $\nabla V(x, t)$, gradientul lui $V(x, t)$. De aceea se poate scrie

$$\begin{aligned} \frac{d}{dt} V(x, t) &= \frac{\partial V}{\partial t}(x, t) + [\nabla V(x, t)]' \frac{dx}{dt} \\ &= \frac{\partial V}{\partial t}(x, t) + [\nabla V(x, t)]' f(x, t). \end{aligned} \quad (139)$$

Ultima formă rezultă din faptul că $dx/dt = f(x, t)$ de-a lungul traiectoriei circuitului. De aceea este rațional să se vorbească despre viteza de schimbare a lui V în lungul traiectoriei circuitului. O foarte importantă clasă de funcții este definită pe baza semnului acestei viteze de schimbare.

Definiție. O funcție pozitiv definită $V(x, t)$ se numește funcție Liapunov, dacă — $dV/dt \geq 0$ în lungul traiectoriilor din D .

Pe baza acestor definiții se poate discuta acum chestiunea stabilității și condițiile în care este stabil un punct singular.

¹ O regiune se zice că este deschisă dacă nu conține nici un punct din frontiera sa.

Teoreme de stabilitate

Pentru a face ca teoremele de stabilitate să fie mai pline de înțeles, vom analiza comportarea unei funcții Liapunov $V(\mathbf{x})$ deosebit de simplă, care este invariantă în timp și comportă un vector de stare cu numai două elemente, x_1 și x_2 .

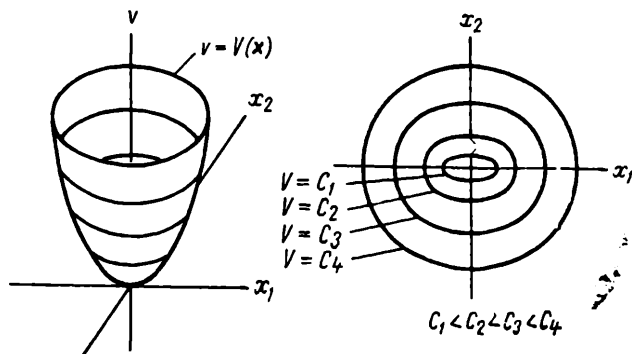


Fig. 10.15. Funcție Liapunov.

Deoarece $V(\mathbf{x}) > 0$ pentru $\mathbf{x} \neq 0$ și $V(\mathbf{x}) = 0$ pentru $\mathbf{x} = 0$, $v = V(\mathbf{x})$ poate fi imaginată ca o suprafață în formă de cupă, tangentă la planul $x_1 - x_2$ la origină, după cum se arată în fig. 10.15. Intersecția acestei suprafețe cu planurile orizontale $v = C_i$, unde $C_1 < C_2 < \dots$, vor fi niște curbe închise. Dacă se proiectează aceste curbe vertical, pe planul $x_1 - x_2$, ele vor forma un grup de contururi $V = \text{constant}$ concentrice, cu valoarea lui V descrescând către zero, cînd contururile se strîng spre origină. Aceasta se vede în fig. 10.15.

Deoarece V este o funcție Liapunov, ea trebuie să fie necrescătoare în lungul traiectoriei. Deci, traiectoria care începe în interiorul conturului $V(\mathbf{x}) = C_i$, nu poate tăia niciodată acest contur. Traiectoria este astfel constrînsă să fie în vecinătatea originii. Aceasta este foarte aproape de condiția pusă pentru stabilitate. De aceea, putem anticipa că stabilitatea rezultă din existența unei funcții Liapunov invariantă în timp. Deși acest exemplu folosește un vector de stare cu numai două elemente, nu este greu să imaginăm o generalizare la un vector de stare cu n elemente.

Teoremele ce urmează vor face aceste noțiuni mai precise și vor permite ca funcția Liapunov să varieze în timp.

Teorema 17. *Origina este stabilă dacă, într-o regiune deschisă D , ce conține origina, există o funcție Liapunov, astfel ca $V(\mathbf{x}, t) \leq U(\mathbf{x})$, pentru orice $t \geq t_0$, unde $U(\mathbf{x})$ este o funcție pozitiv definită.*

Această teoremă se demonstrează după cum urmează. Fie dat un număr R , iar C să fie valoarea minimă¹ a lui $W(\mathbf{x})$ pentru orice \mathbf{x} , astfel ca $\|\mathbf{x}\| = R$. Fie \mathbf{x}_r un vector \mathbf{x} avînd norma minimă, pentru care $U(\mathbf{x}) = C$. Acest vector există și nu este vectorul zero, deoarece $U(\mathbf{x}) = 0$, dacă și numai dacă $\mathbf{x} = 0$. Mai departe, deoarece $U(\mathbf{x}) \geq W(\mathbf{x})$ pentru orice $t \geq t_0$, atunci $\|\mathbf{x}_r\| \leq R$. Fier = $\|\mathbf{x}_r\|$. Rezultă că orice traiectorie care începe în S_r , nu părăsește S_R . Aceasta se verifică astfel: prin continuitate, dacă $\mathbf{x}(t_0)$ este conținut în S_r , atunci $\mathbf{x}(t)$ trebuie să fie conținut în S_R , pentru valori mici a lui $t - t_0$. Presupunem că la momentul t_1 avem $\|\mathbf{x}(t_1)\| = R$. Atunci

$$V[\mathbf{x}(t_1), t_1] \geq W[\mathbf{x}(t_1)] > C. \quad (140)$$

Deoarece \mathbf{x}_r era un vector \mathbf{x} de normă minimă, pentru care $U(\mathbf{x}) = C$ și deoarece $V(\mathbf{x}, t) \leq U(\mathbf{x})$ pentru orice $t \geq t_0$, rezultă $V(\mathbf{x}, t_0) < C$, pentru orice \mathbf{x} care satisface $\|\mathbf{x}\| < \|\mathbf{x}_r\| = r$. Astfel, pentru orice $\mathbf{x}(t_0)$ din S_r ,

$$V[(\mathbf{x}(t_0), t_0)] < C. \quad (141)$$

Apoi, deoarece $-dV/dt \geq 0$,

$$V[\mathbf{x}(t_1), t_1] \leq V[\mathbf{x}(t_0), t_0]. \quad (142)$$

Este clar că (140) e în contradicție cu (142). Astfel t_1 nu există și \mathbf{x}^+ este conținut în S_R .

Această demonstrație poate fi interpretată geometric, cînd \mathbf{x} este un vector — 2, ca în fig. 10.16. Relația $W(\mathbf{x}) = C$ definește un contur închis K_1 ,

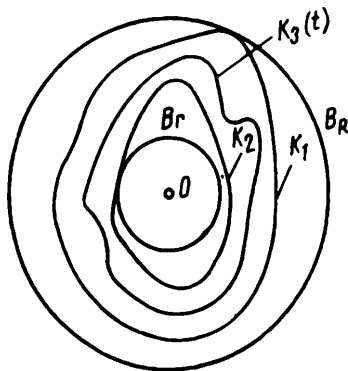


Fig. 10.16. Conturul $K_3(t)$ al funcției Liapunov pentru origină stabilă.

¹ Se reamintește din definiția unei funcții $V(\mathbf{x}, t)$ pozitiv definită și variabilă în timp, că $W(t)$ este o funcție pozitiv definită invariantă în timp, astfel ca $V(\mathbf{x}, t) \geq W(\mathbf{x})$, pentru orice $t \geq t_0$.

conținut în S_R , plus frontiera ei, B_R . Relația $U(x)=C$ definește un contur închis K_2 , conținut în regiunea închisă¹ mărginită de K_1 . Regiunea sferică S , este cea mai mare în regiunea deschisă mărginită de K_2 . Cum $W(x) \leq V(x, t) \leq U(x)$ pentru orice $t \geq t_0$, $V(x, t)=C$ va defini conturul închis $K_3(t)$, conținut în regiunea inelară mărginită între K_1 și K_2 . Acum, deoarece $V[x(t_0), t_0] < C$ pentru orice $x(t_0)$ în S , și $-dV/dt \geq 0$, o traiectorie ce începe în S , nu poate tăia $K_3(t)$ pentru $t \geq t_0$. Aceasta înseamnă că x^+ nu poate tăia K_1 de asemenea și trebuie să rămână în S_R .

Acum să ne întoarcem la stabilitatea asimptotică. Pentru a lămurii stabilitatea asimptotică, trebuie introdusă o ipoteză suplimentară.

Teorema 18. *Origina este asimptotic stabilă dacă, într-o regiune deschisă D ce conține origina, există o funcție Liapunov, astfel ca $V(x, t) \leq U(x)$ pentru orice $t > t_0$, unde $U(x)$ este o funcție pozitiv definită, și astfel ca $-dV/dt$ să fie pozitiv definită.*

Condiția suplimentară pentru stabilitatea asimptotică este că $-dV/dt$ trebuie să fie pozitiv definită. Demonstrația acestei teoreme începe acolo unde se termină demonstrația teoremei precedente. Se alege orice e care satisface condiția $0 \leq e \leq r$. Trebuie arătat că există un t_e astfel ca x^+ să fie conținut în S_e pentru orice $t \geq t_e$. În demonstrația teoremei anterioare, valoarea lui r depindea numai de R și nu de t_0 . De aceea putem admite existența unui δ dependent numai de e , astfel ca o traiectorie ce trece printr-un punct al S_δ la momentul t_e , să rămână în S_e pentru $t > t_e$. Pentru a completa demonstrația, trebuie să arătăm că x^+ care începe în S la momentul t_0 , trece printr-un punct din S_δ . Fie w valoarea minimă a lui $W(x)$ pentru x astfel ca $\delta \leq \|x\| \leq R$. Atunci, cum $V(x, t) > W(x)$ pentru $t > t_0$, $V[x(t), t] < w$ numai dacă $x(t)$, — care rămâne în S_R pentru orice $t > t_0$, — este și în S_δ . Vom folosi acest fapt pentru a arăta, prin contradicție, că $x(t)$ este conținut în S_δ pentru unele $t > t_0$. Deoarece $-dV/dt$ este pozitiv definită, o funcție $\hat{W}(x)$ pozitiv definită există, astfel ca $-dV/dt \geq \hat{W}$ pentru orice $t > t_0$. Fie \hat{w} valoarea minimă a lui $\hat{W}(x)$ pentru x astfel ca $\delta/2 \leq \|x\| \leq R$. Atunci, cu restricția $\delta/2 \leq \|x\| \leq R$, avem

$$V[x(t), t] = V[x(t_0), t_0] + \int_{t_0}^t \frac{dV[x(\tau), \tau]}{d\tau} d\tau.$$

Cum $dV/dt \leq -\hat{w}$, din această relație rezultă inegalitatea

$$V[x(t), t] \leq V[x(t_0), t_0] - (t - t_0)\hat{w}, \quad (143)$$

¹ O regiune se zice că este închisă, dacă include toate punctele frontierei sale.

valabilă pentru $\delta/2 \leq \|x\| \leq R$. Acum, să presupunem că $x(t)$ nu se găsește în S_δ pentru orice $t \geq t_0$; adică $\delta \leq \|x(t)\| \leq R$ pentru orice $t \geq t_0$. Atunci, din (143),

$$V[x(t), t] < w \text{ pentru } t > t_0 + \{V[x(t_0), t_0] - w\}/w.$$

Aceasta este o contradicție, deoarece $V[x(t), t] < w$ numai dacă $x(t)$ este în S . Demonstrația este acum completă.

Rămâne chestiunea stabilității asimptotice „în -mare”, pe care o vom atinge cu ajutorul unei teoreme. Condiția suplimentară în această teoremă impune utilizarea unui tip particular de funcție pozitiv definită, pe care o vom defini acum. Exprimat aproximativ, o funcție este *nemărginită radial* dacă $V(x, t)$ crește fără limite, independent de valoarea lui $t \geq t_0$, cînd x se depărtează de origină sau, în mod alternativ cînd $\|x\|$ crește. În termeni mai preciși, $V(x, t)$ este *nemărginită radial* dacă, dat fiind orice $M > 0$, există un m astfel ca $V(x, t) > M$ pentru orice $t > t_0$, ori de cîte ori $\|x\| > m$. Cu aceasta, se poate enunța acum teorema.

Teorema 19. *Origina este asimptotic stabilă „în-mare”, dacă există o funcție Liapunov definită oriunde (ecuația de stare are o soluție), astfel ca $V(x, t) \leq U(x)$ pentru orice $t \geq t_0$, unde $U(x)$ este o funcție pozitivă definită, astfel ca $W(x)$ să fie radial nemărginită¹ și ca $-dV/dt$ să fie pozitiv definită.*

Demonstrația nu diferă mult de cele date pentru cele două teoreme anterioare. De aceea este lăsată ca un exercițiu.

Exemple. Să ilustrăm unele din teoriile precedente prin exemple. Se consideră circuitul arătat în fig. 10.17. El este descris de ecuația de stare,

$$\frac{d}{dt} \begin{bmatrix} x_1 \\ x_2 \end{bmatrix} = \begin{bmatrix} -x_1 - x_2 \\ x_1 - 1x_2 - 1h x_2 \end{bmatrix}.$$

Deși nu vom proceda așa, se poate arăta că soluția acestei ecuații de stare există și este unică pentru toți vectorii de stare inițială $x(t_0)$; adică scalarul E care apare în definițiile de stabilitate este infinit.

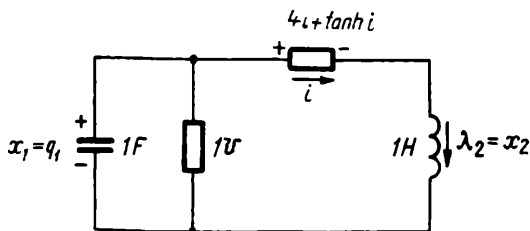


Fig. 10.17. Circuit neliniar.

¹ Vezi nota de subsol la pag. 731.

O decizie în privința stabilității impune să descoperim mai întâi o funcție Liapunov. Nu există vreun algoritm pentru aceasta. Ghidul este experiența; astfel, ca să câștigăm ceva experiență, să vedem dacă funcția pozitiv definită

$$V(\mathbf{x}) = \frac{1}{2} x_1^2 + \frac{1}{2} x_2^2$$

este o funcție Liapunov. Pentru a determina aceasta trebuie să examinăm dV/dt , adică

$$\frac{d}{dt} V(\mathbf{x}) = x_1 \frac{dx_1}{dt} + x_2 \frac{dx_2}{dt} = -x_1^2 - 4x_2^2 - x_2 \ln x_2.$$

Ultimul membru se obține substituind dx_1/dt și dx_2/dt din ecuația de stare. Este clar că $-dV/dt$ este pozitiv definită. Astfel, V este o funcție Liapunov, care, de asemenea, satisface și restricțiile suplimentare ale teoremei de stabilitate asimptotică „în-mare”. S-ar părea că s-a uitat să se considere problema de alegere a lui $U(\mathbf{x})$; totuși, un moment de reflexie ne poate convinge că, atunci când V este invariant în timp, condiția suplimentară care cere să existe un $U(\mathbf{x})$, cu proprietățile indicate, este banal satisfăcută dacă punem $U(\mathbf{x}) = V(\mathbf{x})$. Acum este evident că origina este asimptotic stabilă „în-mare”.

Nu este totdeauna posibil să se stabilească stabilitatea asimptotică „în-mare”. Adeseori numai stabilitatea locală poate fi certificată. Ca exemplu, să considerăm circuitul din fig. 10.18.

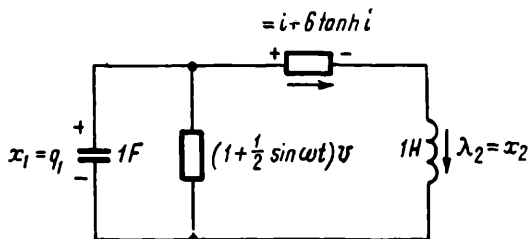


Fig. 10.18. Circuit variabil în timp, nelinier.

Ecuația de stare a acestui circuit este următoarea :

$$\frac{d}{dt} \begin{bmatrix} x_1 \\ x_2 \end{bmatrix} = \begin{bmatrix} -(1 + \frac{1}{2} \sin \omega t) x_1 - x_2 \\ x_1 - 6 \ln x_2 + x_2 \end{bmatrix}.$$

la care se poate arăta că există o soluție unică pentru toți vectorii de stare inițială. Vom folosi aceeași funcție pozitiv-definită ca mai sus, pentru a încerca funcția Liapunov, adică,

$$V(\mathbf{x}) = \frac{1}{2} x_1^2 + \frac{1}{2} x_2^2$$

Spre a verifica dacă aceasta este o funcție Liapunov, trebuie evaluat dV/dt , ceea ce dă

$$\begin{aligned} \frac{d}{dt} V(\mathbf{x}) &= x_1 \frac{d}{dt} x_1 + x_2 \frac{d}{dt} x_2 \\ &= - \left(1 + \frac{1}{2} \sin \omega t \right) x_1^2 - 6 x_2 \ln x_2 + x_2^2. \end{aligned}$$

Rădial al doilea rezultă prin substituirea lui dx_1/dt și dx_2/dt din ecuația de stare. Se observă că $-dV/dt$ este pozitiv definită dacă $6x_2 \operatorname{th} x_2 - x_2^2$ este pozitivă pentru $x_2 \neq 0$. Aceasta este aproximativ echivalent cu $|x_2| < 5,99999$. Acum, în regiunea deschisă $|x_2| < 5,99999$ (toate valorile lui x_1 sînt permise), $-dV/dt$ este mărginită în jos, de funcția pozitiv-definită

$$\frac{1}{2} x_1^2 + 6x_2 \operatorname{th} x_2 - x_2^2,$$

care se poate considera a fi $\hat{W}(x)$. Aceasta este tocmai o funcție $\hat{W}(x)$; mai pot fi găsite și alte funcții pozitiv-definite, care să fie $\hat{W}(x)$.

Toate condițiile teoremei despre stabilitatea asimptotică au fost satisfăcute; prin urmare origina este stabilă asimptotic local. De fapt, se poate arăta că, deși nu vom face asta, toate traiectoriile ce încep din interiorul cercului cu raza 5,99999, în planul $x_1 - x_2$, se apropie asimptotic de origină.

Teorema instabilității

Teoremele de stabilitate dau numai condiții suficiente pentru stabilitate, dar *nu condiții necesare*. De aceea, dacă condițiile din teoremă nu sînt satisfăcute, tot mai este posibil pentru origină sau alt punct singular cercetat, să fie stabil într-unul din cele trei sensuri considerate. O altă cale prin care chestiunea stabilității poate fi lămurită cert, este găsirea condițiilor suficiente pentru *instabilitate*. Astfel, dacă se poate arăta că toate condițiile de suficiență a vre-unei teoreme de instabilitate sînt satisfăcute, atunci origina nu poate fi stabilă. Următoarea teoremă de instabilitate, datorită lui Șetaev, îmbrățișează două teoreme de instabilitate, formulate inițial de Liapunov :

Teorema 20. *Fie D o regiune deschisă, conținînd origina și fie \tilde{D} o regiune deschisă în D , astfel ca :* 1) *origina să fie un punct de frontieră în \tilde{D} ;* 2) *pentru orice $t \geq t_0$, funcția $V(x,t)$ să fie pozitivă și, împreună cu primele ei derivate parțiale, să fie continuă în D ;* 3) *$dV(x,t)/dt \geq \hat{W}(x)$ pentru $t > t_0$, unde $\hat{W}(x)$ este pozitivă și continuă în \tilde{D} ;* 4) *$V(x,t) \leq U(x)$ pentru $t > t_0$, unde $U(x)$ este continuă în \tilde{D} și* 5) *$U(x) = 0$ la punctele de frontieră ale lui \tilde{D} în D . — Atunci origina este instabilă.*

Demonstrația e scurtă și se înțelege ușor cu ajutorul fig. 10.19. Se alege R astfel ca \tilde{D} să nu fie plasată complet în interiorul lui S_R . Pentru orice număr pozitiv, oricît de mic $r \leq R$, este posibil să se găsească un punct situat atît în S_r , cît și în \tilde{D} . Fie $x(t_0)$ un astfel de punct. Prin condițiile 4) și 5), există o regiune conținută întreagă în \tilde{D} , astfel ca $U(x)$ să fie mai mare decît $V[x(t_0), t_0] > 0$; notăm aceasta prin \tilde{D}_r . Fie $\hat{w} > 0$. cea mai mare

limită inferioară atribuită lui $\hat{W}(x)$ la punctele comune lui \tilde{D}_r și S_R . Atunci

$$V[x(t), t] = V[x(t_0), t_0] + \int_{t_0}^t \frac{d}{d\tau} V[x(\tau), \tau] d\tau$$

duce la inegalitatea

$$V[x(t), t] \geq V[x(t_0), t_0] + (t - t_0)\hat{w},$$

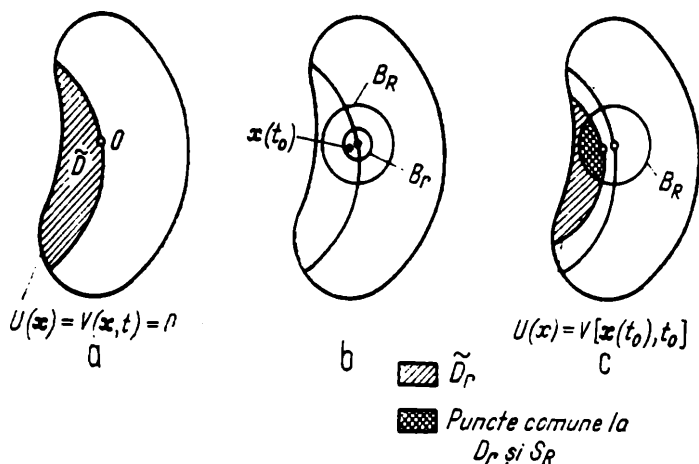


Fig. 10.19. Origină instabilă.

deoarece $V(x, t) \geq V[x(t_0), t_0]$ și $dV/dt \geq \hat{w}$ în aceleași puncte. Prin condiția 4), $V(x, t)$ este mărginită în sus, la acele puncte care sînt comune lui \tilde{D}_r și S_R . Prin modul cum s-a construit \tilde{D}_r , traiectoria trebuie să atingă de fapt un punct de pe B_R , frontiera lui S_R .

Pentru a ilustra această teoremă de instabilitate, să considerăm circuitul arătat în fig. 10.12.

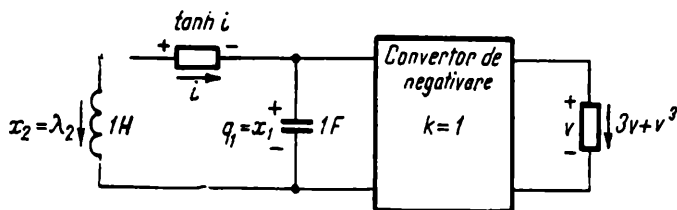


Fig. 10.20. Circuit nelinier instabil.

El are ecuația de stare,

$$\frac{d}{dt} \begin{bmatrix} x_1 \\ x_2 \end{bmatrix} = \begin{bmatrix} 3x_1 + x_1^3 - x_2 \\ x_1 - \operatorname{th} x_2 \end{bmatrix}.$$

Este posibil să se arate, deși nu vom face aceasta, că există o soluție unică pentru orice $x(t_0)$. Funcție a

$$V(x) = \frac{1}{2} x_1^2 - \frac{1}{2} x_2^2$$

este pozitivă pentru $|x_2| < |x_1|$. Dacă trebuie să fie satisfăcute condițiile teoremei de instabilitate, atunci trebuie să arătăm că $dV/dt > 0$, pentru $|x_2| < |x_1|$ într-o vecinătate oarecare a originii. Pentru a începe, avem

$$\frac{d}{dt} V(x) = x_1 \frac{d}{dt} x_1 - x_2 \frac{d}{dt} x_2.$$

Substituind dx_1/dt și dx_2/dt , se obține

$$\begin{aligned} \frac{d}{dt} V(x) &= 3x_1^2 + x_1^4 - 2x_1x_2 + x_2 \operatorname{th} x_2 \\ &= 2x_1^2 + x_1^4 + (x_1 - x_2)^2 + x_2(\operatorname{th} x_2 - x_2). \end{aligned}$$

Rîndul al doilea s-a obținut din primul, adunînd și scăzînd pe x_2^2 . Este evident că

$$\begin{aligned} \frac{d}{dt} V(x) &\geq 2x_1^2 + x_1^4 + (x_1 - x_2)^2 - x_2^2 \\ &\geq x_1^2 + x_1^4 + (x_1 - x_2)^2 + (x_1^2 - x_2^2). \end{aligned}$$

Ultima expresie este clar pozitivă pentru $|x_2| < |x_1|$ în orice vecinătate a originii. Astfel originea este instabilă.

Construcția funcției Liapunov

Să analizăm care este natura teoremelor de stabilitate. Nu vom da o regulă precisă de urmat; adică, nu există o serie definită de pași, la capătul cărora să se poată obține o concluzie neîndoielnică, dacă sau nu circuitul

este stabil. Mai de grabă teoremele ne indică modul de a „vîna” rezultatul. Ele cer să căutăm o funcție Liapunov, a cărei valoare să rămînă mărginită de o funcție pozitiv-definită, invariantă în timp. Găsirea unei funcții Liapunov este o acțiune creatoare, inductivă, nu o acțiune deductivă.

Forma funcțională a funcției Liapunov nu este fixată rigid. Pe de o parte, aceasta este un avantaj, deoarece procură o mai mare flexibilitate în găsirea stabilității, prin încercarea mai multor funcții Liapunov posibile. Pe de altă parte, este un dezavantaj, deoarece nu există linii directe pentru găsirea unei funcții Liapunov posibile, din nenumăratele funcții pozitiv-definite ce le avem la îndemînă. Vom discuta acum o funcție Liapunov particulară, pentru circuite invariante în timp, și vom stabili, în consecință, un grup alternativ de condiții pentru stabilitate. În continuare, vom discuta o metodă de generare a funcțiilor Liapunov.

Să presupunem că circuitul considerat este descris de următoarea ecuație de stare, invariantă în timp :

$$\frac{d}{dt} \mathbf{x} = \mathbf{f}(\mathbf{x}). \quad (144)$$

Să notăm în mod explicit că $\mathbf{f}(\mathbf{x})$ este o funcție vectorială cu valori reale, de \mathbf{x} . În căutarea unei funcții posibile Liapunov, să considerăm

$$V(\mathbf{x}) = \mathbf{f}'(\mathbf{x})\mathbf{f}(\mathbf{x}). \quad (145)$$

Aceasta este, în primul rînd, o funcție pozitiv-definită. Trebuie deci să examinăm derivata dV/dt . Derivata în timp a lui $\mathbf{f}(\mathbf{x})$ este

$$\frac{d}{dt} \mathbf{f}(\mathbf{x}) = \mathbf{F}(\mathbf{x}) \frac{d}{dt} \mathbf{x} = \mathbf{F}(\mathbf{x}) \mathbf{f}(\mathbf{x}); \quad (146)$$

unde $\mathbf{F}(\mathbf{x})$ este matricea Jacobiană a lui $\mathbf{f}(\mathbf{x})$, adică

$$\mathbf{F}(\mathbf{x}) = \begin{bmatrix} \frac{\partial f_1}{\partial x_1} & \frac{\partial f_1}{\partial x_2} & \dots & \frac{\partial f_1}{\partial x_n} \\ \frac{\partial f_2}{\partial x_1} & \frac{\partial f_2}{\partial x_2} & \dots & \frac{\partial f_2}{\partial x_n} \\ \vdots & \vdots & & \vdots \\ \frac{\partial f_n}{\partial x_1} & \frac{\partial f_n}{\partial x_2} & \dots & \frac{\partial f_n}{\partial x_n} \end{bmatrix} \quad (147)$$

Apoi, diferențiind pe (145) și substituind apoi pe (146), se obține

$$\begin{aligned}\frac{d}{dt}V(\mathbf{x}) &= \left[\frac{d}{dt} \mathbf{f}'(\mathbf{x}) \right] \mathbf{f}(\mathbf{x}) + \mathbf{f}'(\mathbf{x}) \left[\frac{d}{dt} \mathbf{f}(\mathbf{x}) \right] \\ &= \mathbf{f}'(\mathbf{x})\mathbf{F}'(\mathbf{x}) + \mathbf{f}'(\mathbf{x})\mathbf{F}(\mathbf{x})\mathbf{f}(\mathbf{x}) \\ &= \mathbf{f}'(\mathbf{x})[\mathbf{F}'(\mathbf{x}) + \mathbf{F}(\mathbf{x})]\mathbf{f}(\mathbf{x}).\end{aligned}\quad (148)$$

Matricea $-\mathbf{F}'(\mathbf{x}) + \mathbf{F}(\mathbf{x})$ este simetrică și reală; dacă este de asemenea și pozitiv semidefinită în vreo vecinătate a originii, atunci $-dV/dt > 0$ și teorema de stabilitate este verificată. Alte relativ evidente condiții, pot duce la stabilitatea asimptotică locală sau globală. Aceste rezultate, obținute de Krasovski, sînt enunțate precis în următoarea teoremă:

Teorema 21. Fie $\mathbf{f}(\mathbf{x})$ diferentiabilă în raport cu \mathbf{x} și fie $\mathbf{f}(0)=0$; atunci origina este: 1) stabilă, dacă $-\mathbf{F}'(\mathbf{x}) + \mathbf{F}(\mathbf{x})$ este pozitiv semidefinită în vreo vecinătate a originii, 2) asimptotic stabilă, dacă $-\mathbf{F}'(\mathbf{x}) + \mathbf{F}(\mathbf{x})$ este pozitiv definită în vreo vecinătate a originii sau 3) asimptotic stabilă „în-mare”, dacă $-\mathbf{F}'(\mathbf{x}) + \mathbf{F}(\mathbf{x})$ este pozitiv definită pentru orice \mathbf{x} și $\mathbf{f}'(\mathbf{x})\mathbf{f}(\mathbf{x})$ este nelimitată radial.

Exemplu. Pentru a ilustra această teoremă, să considerăm circuitul din fig. 10.21. Ecuația de stare a acestui circuit este

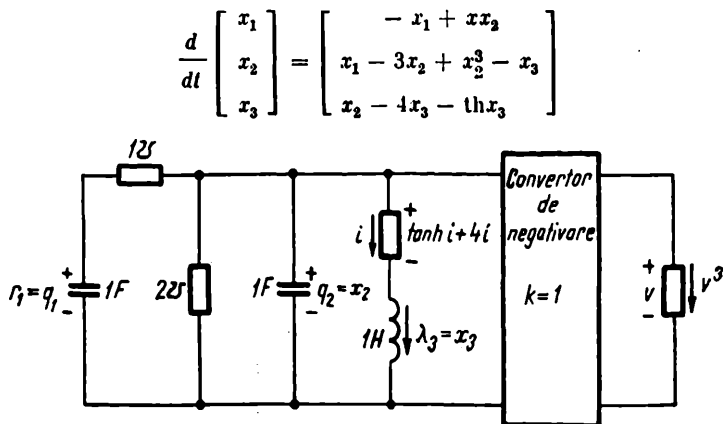


Fig. 10.21. Circuit nelinier asimptotic stabil.

și are o soluție unică pentru orice $\mathbf{x}(t_0)$. Matricea Jacobiană este

$$\mathbf{F}(\mathbf{x}) = \begin{bmatrix} -1 & 1 & 0 \\ 1 & -3 + 3x_2^2 & -1 \\ 0 & 1 & -4 - \text{sch}^2 x_3 \end{bmatrix}.$$

Adunând pe $F'(x)$ cu $F(x)$ și luând negativa matricei rezultante, se găsește

$$-[F'(x) + F(x)] = \begin{bmatrix} 2 & -2 & 0 \\ -2 & 6-6x_2^2 & 0 \\ 0 & 0 & 8+2\operatorname{sch}^2 x_3 \end{bmatrix}.$$

Cofactorii principali ascendenți sînt

$$2, 8 - 12x_2^2, \text{ și } (8 - 12x_2^2)(8 + 2\operatorname{sch}^2 x_3).$$

Este clar că acești cofactori sînt pozitivi și, deci, $-[F'(x) + F(x)]$ este pozitiv definită pentru toți $x_1, x_2^2 < \frac{2}{3}$ și pentru toți x_3^2 . Astfel, origina este asimptotic stabilă. Stabilitatea asimptotică nu este globală, deoarece x_2 , care face ca $-[F'(x) + F(x)]$ să fie pozitiv definită, este mărginit de sus și de jos.

Această ultimă teoremă, deși utilă, este oarecum restrictivă, deoarece funcția Liapunov este complet specificată odată ce a fost dată ecuația de stare. Pentru a utiliza în întregime teoremele de stabilitate, trebuie să dispunem de o oarecare libertate în alegere a diferitelor funcții Liapunov posibile. Este evident totuși, că e preferabil să avem ceva mai mult decît o metodă de tatonare succesivă. Sînt necesare unele linii directoare pentru generarea funcțiilor Liapunov. Vom discuta acum o astfel de procedură.

În cele ce urmează, ecuația de stare poate fi considerată și variabilă în timp; totuși, funcția Liapunov se cere să fie invariantă în timp. Derivata în timp a lui V în lungul traiectoriei ecuației de stare este

$$\frac{d}{dt}V(x) = [\nabla V(x)]' f(x, t) \quad (149)$$

unde

$$\nabla V = \begin{bmatrix} \frac{\partial V}{\partial x_1} \\ \frac{\partial V}{\partial x_2} \\ \vdots \\ \frac{\partial V}{\partial x_n} \end{bmatrix} = \begin{bmatrix} \nabla V_1 \\ \nabla V_2 \\ \vdots \\ \nabla V_n \end{bmatrix}$$

¹ Vezi par. 7.2. pentru condițiile de „pozitiv-definit” ale unei matrice. Apoi, vezi Problema 18, în Cap. 7, pentru criteriul particular de pozitiv-definit, folosit aici.

este gradientul lui V . Din (149) este clar că semnul lui dV/dt este determinat de semnul gradientului lui V , deoarece $f(x, t)$ este cunoscut. Deci, în loc de a căuta o funcție Liapunov V , a cărei derivată să aibe semnul dorit, putem căuta o funcție gradient ∇V , care face ca dV/dt să aibe semnul dorit în (149). Atunci, funcția Liapunov V propriu-zisă se poate determina prin integrala de linie a gradientului, de la 0 la x :

$$V(x) = \int_0^x [\nabla V(y)]' dy \quad (150)$$

Dacă funcția scalară V trebuie să fie unic determinată prin această integrală de linie a gradientului ei, atunci matricea Jacobiană a lui ∇V , în raport cu x

$$D(x) = \begin{bmatrix} \frac{\partial \nabla V_1}{\partial x_1} & \frac{\partial \nabla V_1}{\partial x_2} & \dots & \frac{\partial \nabla V_1}{\partial x_n} \\ \frac{\partial \nabla V_2}{\partial x_1} & \frac{\partial \nabla V_2}{\partial x_2} & \dots & \frac{\partial \nabla V_2}{\partial x_n} \\ \vdots & \vdots & & \vdots \\ \frac{\partial \nabla V_n}{\partial x_1} & \frac{\partial \nabla V_n}{\partial x_2} & \dots & \frac{\partial \nabla V_n}{\partial x_n} \end{bmatrix} \quad (151)$$

trebuie să fie simetrică¹. Presupunem că $D(x)$ este simetrică și deci $V(x)$ este unică. Aceasta înseamnă că integrala este independentă de drumul de integrare. Astfel, putem folosi drumul cel mai convenabil. Un astfel de drum se poate întinde în lungul axelor de coordonate sau paralel cu ele, ca în următoarea formă dezvoltată a lui (150):

$$\begin{aligned} V(x) = & \int_0^{x_1} \nabla V(y)_1 dy_1 \Big|_{y_2=0, y_3=0, \dots, y_n=0} \\ & + \int_0^{x_2} \nabla V(y)_2 dy_2 \Big|_{y_1=x_1, y_3=0, \dots, y_n=0} \\ & + \dots \\ & + \int_0^{x_n} \nabla V(y)_n dy_n \Big|_{y_1=x_1, y_2=x_2, \dots, y_{n-1}=x_{n-1}} \end{aligned} \quad (152)$$

¹ Condiția ca $D(x)$ să fie simetrică este echivalentă cu condiția ca rot $\nabla V(x)$ să fie zero. După o teoremă cunoscută din analiza vectorială, cînd rotorul unui vector este zero, vectorul este gradientul unei funcții scalare. Pentru detalii a se vedea H. Lass, *Vector and Tensor Analysis*, McGraw-Hill Book Co., New York, 1950, p. 297.

După cum se vede, problema găsirii unei funcții Liapunov prin alegerea unei funcții pozitiv definite $V(x)$ și apoi asigurarea că $-dV/dt$ este non-negativ sau pozitiv definită, a fost înlocuită prin alegerea unei funcții $\nabla V(x)$, astfel ca $-dV/dt$ să fie non negativ sau pozitiv definită, determinată din (149), și $D(x)$ să fie simetrică, iar apoi prin asigurarea că $V(x)$ este pozitiv definită. De obicei, această ultimă metodă, denumită metoda gradientului variabil, comportă mai puțină operație de ghicire decât altele. Totuși, această metodă de găsire a unei funcții Liapunov nu este efectiv decisivă; dacă $V(x)$ găsită din funcția de gradient aleasă, nu rezultă a fi pozitiv definită —, nu se poate conchide că origina nu este stabilă în vreun sens. Înseamnă numai că nu s-a găsit încă o funcție Liapunov convenabilă.

Se obișnuiește să se înceapă prin alegerea unui gradient de V avînd forma

$$\nabla V(x) = \begin{bmatrix} \alpha_{11}x_1 + \alpha_{12}x_2 + \dots + \alpha_{1n}x_n \\ \alpha_{21}x_1 + \alpha_{22}x_2 + \dots + \alpha_{2n}x_n \\ \vdots \\ \alpha_{n1}x_1 + \alpha_{n2}x_2 + \dots + \alpha_{nn}x_n \end{bmatrix} \quad (153)$$

Scalarii α_{ij} pot fi funcții de x , deși pentru ușurința evaluării ulterioare a integralei de linie (152) este de dorit ca ei să fie constanți.

Metoda gradientului variabil poate fi rezumată printr-un simplu set de reguli: 1) se determină dV/dt după cum e specificat în (149), folosind $\nabla V(x)$ din (153); 2) se aleg coeficienții α_{ij} , astfel ca $-dV/dt$ să fie non-negativ sau pozitiv definită și $D(x)$ să fie simetrică; 3) se evaluează $V(x)$, utilizînd integrala de linie din (152) și 4) se determină dacă da sau nu $V(x)$ este pozitiv definită.

Exemplu. Pentru a ilustra metoda cu gradientul variabil, să considerăm circuitul din fig. 10.22.

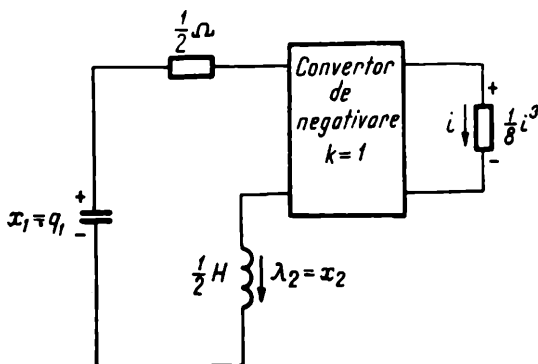


Fig. 10.22. Circuit neliniar.

Ecuția de stare este

$$\frac{d}{dt} \begin{bmatrix} x_1 \\ x_2 \end{bmatrix} = \begin{bmatrix} -2x_2 \\ x_1 - x_2 + x_2^3 \end{bmatrix}.$$

Mai întâi calculăm pe dV/dt din (149) după cum urmează :

$$\begin{aligned} \frac{d}{dt} V(x) &= \begin{bmatrix} \alpha_{11}x_1 + x_{12}\alpha_2 \\ \alpha_{21}x_1 + \alpha_{22}x_2 \end{bmatrix}' \begin{bmatrix} -2x_2 \\ x_1 - x_2 + x_2^3 \end{bmatrix} \\ &= \alpha_{21}x_1^2 + [-2\alpha_{11} - \alpha_{21}(1 - x_2^2) + \alpha_{22}]x_1x_2 \\ &\quad + [-2\alpha_{12} - \alpha_{22}(1 - x_2^2)]x_2^2. \end{aligned}$$

Să alegem pe α_{11} așa ca să se anuleze coeficientul lui x_1x_2 , adică

$$\alpha_{11} = \frac{1}{2} [\alpha_{22} - \alpha_{21}(1 - x_2^2)].$$

Apoi, dacă $-dV/dt$ trebuie să fie pozitiv definită, trebuie să avem :

$$-\alpha_{21} > 0$$

$$2\alpha_{12} + \alpha_{22}(1 - x_2^2) > 0.$$

Fie $\alpha_{21} = -b$ și $\alpha_{22} = a$, unde a și b sînt constante pozitive

Atunci

$$\nabla V(x) = \begin{bmatrix} \frac{a}{2}x_1 + \frac{b}{2}(1 - x_2^2)x_1 + \alpha_{12}x_2 \\ -bx_1 + ax_2 \end{bmatrix}$$

și

$$D(x) = \begin{bmatrix} \frac{a}{2} + \frac{b}{2}(1 - x_2^2) + \frac{\partial \alpha_{12}}{\partial x_1}x_2 & -bx_2x_1 + \alpha_{22} + \frac{\partial \alpha_{12}}{\partial x_2}x_2 \\ -b & a \end{bmatrix}.$$

Dacă $D(x)$ trebuie să fie simetrică, atunci α_{12} trebuie să satisfacă ecuația diferențială parțială

$$x_2 \frac{\partial \alpha_{12}}{\partial x_2} + \alpha_{12} = -b + bx_1x_2.$$

După cum se poate verifica ușor, soluția acestei ecuații este :

$$\alpha_{12} = -b + \frac{b}{2} x_1 x_2.$$

Deci, substituind această expresie pentru α_{12} în relația lui $\nabla V(\mathbf{x})$, se obține :

$$\nabla V(\mathbf{x}) = \begin{bmatrix} \frac{a+b}{2} x_1 - b x_2 \\ -b x_1 + a x_2 \end{bmatrix}.$$

Înainte de a aplica integrala de linie gradientului $\nabla V(\mathbf{x})$, trebuie să verificăm dacă $-dV/dt$ este pozitiv definită pentru coeficienții aleși α_{21} și α_{22} , precum și pentru α_{12} rezultat din condiția de simetrie a lui $\mathbf{D}(\mathbf{x})$. Pentru a verifica dacă $-dV/dt$ este sau nu pozitiv definită, trebuie să dovedim că cele două inegalități enunțate anterior sînt sau nu satisfăcute. Mai întîi $\alpha_{21} = -b$, deci $-\alpha_{21}$ este pozitiv. Apoi

$$2\alpha_{12} + \alpha_{22}(1 - x_2^2) = (a - 2b) + (bx_1 - ax_2)x_2;$$

așadar, pentru $a > 2b$, iar x_1 și x_2 suficient de mici, $2\alpha_{12} + \alpha_{22}(1 - x_2^2)$ este pozitivă. Integrala de linie a lui $\nabla V(\mathbf{x})$, conform cu (152) este

$$\begin{aligned} V(\mathbf{x}) &= \int_0^{x_1} \frac{a+b}{2} y_1 dy_1 + \int_0^{x_2} (-bx_1 + ay_2) dy_2 \\ &= \frac{a+b}{4} x_1^2 - bx_1 x_2 + \frac{a}{2} x_2^2. \end{aligned}$$

Această funcție poate fi exprimată ca forma pătratică

$$V(\mathbf{x}) = [x_1 \ x_2] \begin{bmatrix} \frac{a+b}{4} & -\frac{b}{2} \\ -\frac{b}{2} & \frac{a}{2} \end{bmatrix} \begin{bmatrix} x_1 \\ x_2 \end{bmatrix},$$

care se poate verifica ușor că este pozitiv definită, cu condiția ca $a > 0$, — o condiție deja impusă, și $a^2 + ab > 2b^2$. Această ultimă inegalitate este satisfăcută cînd este satisfăcută condiția anterioară, $a > 2b$. Astfel, pentru $a > 2b$, s-a construit o funcție Liapunov astfel că $-dV/dt$ este pozitiv definită, într-o vecinătate potrivit de mică față de origină. Aceasta înseamnă că origina este asimptotic stabilă.

În acest paragraf s-au introdus conceptele fundamentale de stabilitate în sens Liapunov, relativ la un punct singular, s-au demonstrat unele teoreme de bază asupra stabilității și s-au dat două metode, prin care să se ghideze cercetarea pentru găsirea unei funcții Liapunov. Este puțin față de ceea ce se cunoaște în acest domeniu. Conceptul de stabilitate poate fi

extins, într-un mod util, la stabilitatea în raport cu un grup de puncte. De asemenea, se mai cunosc și alte linii directe (ghidaje) pentru alegerea unei funcții Liapunov, în anumite clase de probleme. Aceste chestiuni avansate sînt tratate, între altele, în cărțile despre stabilitate citate în bibliografie.

PROBLEME

P1. Să se stabilească ecuațiile de stare pentru circuitele variabile în timp arătate în fig. 10.P1, folosind vectorul de stare din (5). Se va repeta cu vectorul de stare din (10). Parametrii elementelor sînt dați în F, Ω sau H.

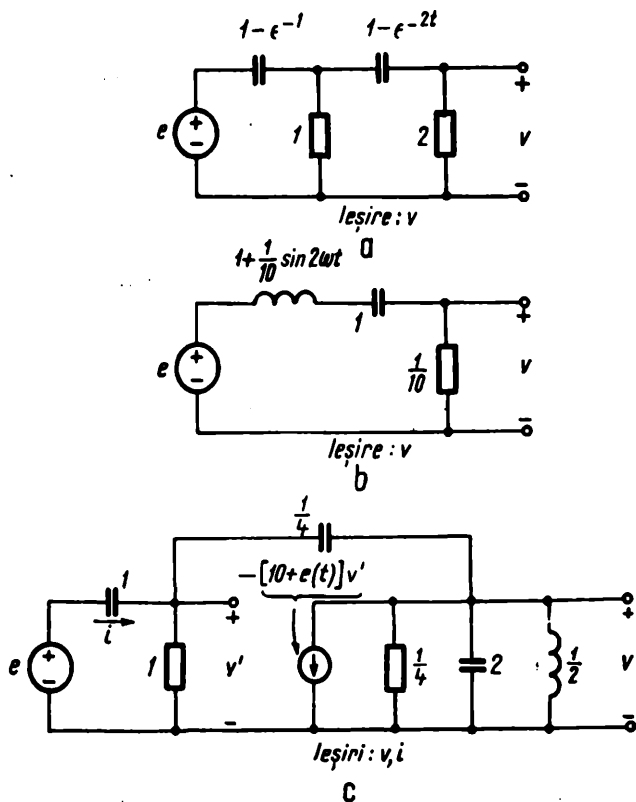


Fig. 10.P.1.

P2. Se presupune că avem

$$\mathcal{A}(t)\mathcal{A}(i) = \mathcal{A}(i)\mathcal{A}(t)$$

pentru orice $t, i \geq t_0$. Să se demonstreze că

$$\mathcal{A}(t) \left(\int_{t_0}^t \mathcal{A}(\tau) d\tau \right) = \left(\int_{t_0}^t \mathcal{A}(\tau) d\tau \right) \mathcal{A}(t)$$

pentru orice $t \geq t_0$.

P3. Folosind condiția din P2, să se determine care din următoarele matrice $\mathcal{A}(t)$ se comută cu integrala ei $\int_{t_0}^t \mathcal{A}(\tau) d\tau$

pentru orice $t \geq t_0$:

$$(a) \mathcal{A}(t) = \begin{bmatrix} 1+t & -2 \\ 2 & 3t^2 \end{bmatrix}, \quad (b) \mathcal{A}(t) = \begin{bmatrix} -(2+t) & -3 \\ 3 & -(2+t) \end{bmatrix}$$

$$(c) \mathcal{A}(t) = \begin{bmatrix} -(1+2t) & 4t \\ 4t & -(1+2t) \end{bmatrix}, \quad (d) \mathcal{A}(t) = \begin{bmatrix} 2+\sin t & -t \\ t & 3+\sin t \end{bmatrix}.$$

P4. Pentru acele matrice din P3, care se comută cu integrala lor $\int_{t_0}^t \mathcal{A}(\tau) d\tau$, pentru orice $t \geq t_0$, să se exprime $\exp \int_{t_0}^t \mathcal{A}(\tau) d\tau$, soluția lui (21), ca o matrice.

P5. Care din următoarele ecuații de stare, cu $t_0 = 0$, au o soluție în sens larg? Dintre acestea din urmă, care au o soluție în sens obișnuit? Dintre acelea care au o soluție numai în sens larg, să se arate dacă ecuația omogenă asociată are sau nu o soluție în sens obișnuit.

$$(a) \frac{d}{dt} \begin{bmatrix} x_1 \\ x_2 \\ x_3 \end{bmatrix} = \begin{bmatrix} -2t & 2 & -4 \\ -2 & -u(t) & 2 \\ 4 & 2 & -6 \end{bmatrix} \begin{bmatrix} x_1 \\ x_2 \\ x_3 \end{bmatrix} + \begin{bmatrix} 1 & -1 \\ 2 & 0 \\ -1 & 2 \end{bmatrix} \begin{bmatrix} u(t) - u(t-1) \\ 2t e^{-t} \end{bmatrix}$$

$$(b) \frac{d}{dt} \begin{bmatrix} x_1 \\ x_2 \end{bmatrix} = \begin{bmatrix} \frac{-5}{t^{1/2}} & -1 \\ 1 & \frac{-3}{(1-t)^{1/2}} \end{bmatrix} \begin{bmatrix} x_1 \\ x_2 \end{bmatrix} + \begin{bmatrix} -2 \\ 1 \end{bmatrix} [tu(t) - 2tu(t-1)]$$

$$(c) \frac{d}{dt} \begin{bmatrix} x_1 \\ x_2 \end{bmatrix} = \begin{bmatrix} -1+2t & -1 \\ 2 & -2+t e^{-t} \end{bmatrix} \begin{bmatrix} x_1 \\ x_2 \end{bmatrix} + \begin{bmatrix} 1 & 0 & -1 \\ 2 & 1 & 0 \end{bmatrix} \begin{bmatrix} \sin t \\ \cos t \\ -(t-1)u(t-1) \end{bmatrix}$$

$$(d) \frac{d}{dt} \begin{bmatrix} x_1 \\ x_2 \\ x_3 \end{bmatrix} = \begin{bmatrix} \frac{1-2t^2}{1+t^2} & -1 & -2 \\ 1 & -3 & -1 + \varepsilon^{-t} \\ 2t & -1 + \varepsilon^{-t} & -2 \end{bmatrix} \begin{bmatrix} x_1 \\ x_2 \\ x_3 \end{bmatrix} + \begin{bmatrix} 1 \\ -2 \\ 1 \end{bmatrix} \begin{bmatrix} -2 \\ (2-t)^{1/3} \end{bmatrix}$$

$$(e) \frac{d}{dt} \begin{bmatrix} x_1 \\ x_2 \end{bmatrix} = \begin{bmatrix} -2 & -4 \\ 4 & -8 + t\varepsilon^{-t} \end{bmatrix} \begin{bmatrix} x_1 \\ x_2 \end{bmatrix} + \begin{bmatrix} 1 & -1 \\ -1 & 1 \end{bmatrix} \begin{bmatrix} \frac{2}{(t-1)^2} \\ \sin t \end{bmatrix}$$

P. 6. Să se determine $Y(t)$ și apoi $Q(t)$ și P în $Y(t) = Q(t)\varepsilon^{Pt}$, cînd

$$(a) \mathcal{A}(t) = \begin{bmatrix} -2 + \sin t & +1 \\ -1 & -4 + \sin t \end{bmatrix}$$

$$(b) \mathcal{A}(t) = \begin{bmatrix} -3 + \frac{\cos t}{[2 + \sin t]^{1/3}} & +2 \\ -2 & -2 + \frac{\cos t}{(2 + \sin t)^{1/2}} \end{bmatrix}$$

$$(c) \mathcal{A}(t) = \begin{bmatrix} -6 + \sin t(\varepsilon^{\cos t}) & -1 \\ +1 & -2 - \sin t(\varepsilon^{\cos t}) \end{bmatrix}.$$

(Indicație : În toate cazurile $\mathcal{A}(t)$ se comută cu $\int_t^t \mathcal{A}(\tau) d\tau$; de aceea (28) este valabilă).

P. 7. După Teorema 5, cu $t_0=0$, la care din următoarele ecuații de stare toate soluțiile sînt mărginite cînd $t \rightarrow \infty$?

$$(a) \frac{d}{dt} \begin{bmatrix} x_1 \\ x_2 \\ x_3 \end{bmatrix} = \begin{bmatrix} t\varepsilon^{-t} & 1 & 0 \\ -1 & 0 & 0 \\ 1 & 1 & -2 - \varepsilon^{-t} \end{bmatrix} \begin{bmatrix} x_1 \\ x_2 \\ x_3 \end{bmatrix} + \begin{bmatrix} 1 & 0 \\ 1 & 1 \\ -1 & 2 \end{bmatrix} \begin{bmatrix} \varepsilon^{-3t} \cos t \\ \varepsilon^{-3t} \sin t \end{bmatrix}$$

$$(b) \frac{d}{dt} \begin{bmatrix} x_1 \\ x_2 \\ x_3 \end{bmatrix} = \begin{bmatrix} -2 - \varepsilon^{-t} & -1 & 1 \\ -2 & -1 & 2 + 2\varepsilon^{-t} \\ 6 + \varepsilon^{-2t} & 5 & -3 \end{bmatrix} \begin{bmatrix} x_1 \\ x_2 \\ x_3 \end{bmatrix} + \begin{bmatrix} -1 \\ 2 \\ -1 \end{bmatrix} [u(t) - u(t-1)]$$

$$(c) \frac{d}{dt} \begin{bmatrix} x_1 \\ x_2 \\ x_3 \\ x_4 \end{bmatrix} = \begin{bmatrix} \frac{\cos t}{1+t^2} & 1 & -1 & 2 \\ -1 & \frac{\varepsilon^{-2t}}{t^{1/2}} & 1 & -1 \\ 0 & 0 & -2 & \varepsilon^{-t} \\ 0 & 0 & \varepsilon^{-t} & -3 \end{bmatrix} \begin{bmatrix} x_1 \\ x_2 \\ x_3 \\ x_4 \end{bmatrix} + \begin{bmatrix} -1 \\ 0 \\ 0 \\ 1 \end{bmatrix} [t \varepsilon^{-t^2}]$$

$$(d) \frac{d}{dt} \begin{bmatrix} x_1 \\ x_2 \end{bmatrix} = \begin{bmatrix} -1 + \frac{1}{t^{1/2}} & 1 \\ 2 & -3 \end{bmatrix} \begin{bmatrix} x_1 \\ x_2 \end{bmatrix} + \begin{bmatrix} 1 & 0 \\ 2 & -1 \end{bmatrix} \begin{bmatrix} \varepsilon^{-t^2} \\ (1-t)\varepsilon^{-2t} \end{bmatrix}$$

P. 8. Dacă toate valorile proprii ale lui \mathcal{A} au partea reală negativă, să se aleagă α și δ astfel încât

$$||\varepsilon \mathcal{A}^t|| \leq \delta \varepsilon^{-\alpha t}.$$

(Indicație: Se pornește cu $\varepsilon \mathcal{A}^t$ exprimată în termeni de matrice constituante și valori proprii a lui \mathcal{A}).

P. 9. După Teorema 6, cu $t_0=0$, pentru care din următoarele ecuații de stare, toate soluțiile sînt mărginite cînd $t \rightarrow \infty$?

$$(a) \frac{d}{dt} \begin{bmatrix} x_1 \\ x_2 \end{bmatrix} = \begin{bmatrix} -5 + t\varepsilon^{-t} & 4 \\ -3 & 2 - \frac{1}{1+t^2} \end{bmatrix} \begin{bmatrix} x_1 \\ x_2 \end{bmatrix} + \begin{bmatrix} 0 \\ 2 \end{bmatrix} [\sin 2t]$$

$$(b) \frac{d}{dt} \begin{bmatrix} x_1 \\ x_2 \\ x_3 \end{bmatrix} = \begin{bmatrix} \frac{t^2}{1+t^4} & 2 & 0 \\ -2 & 0 & 0 \\ -1 & 0 & -3 + t^2\varepsilon^{-2t} \end{bmatrix} \begin{bmatrix} x_1 \\ x_2 \\ x_3 \end{bmatrix} + \begin{bmatrix} 1 & 0 \\ -0 & 1 \\ -1 & -1 \end{bmatrix} \begin{bmatrix} \varepsilon^{-t} \\ u(t) \end{bmatrix}$$

$$(c) \frac{d}{dt} \begin{bmatrix} x_1 \\ x_2 \end{bmatrix} = \begin{bmatrix} -2 + \sin^2 t + \frac{2}{t^2} & -1 + e^{-t} \\ 1 & -2 + \sin^2 t \end{bmatrix} \begin{bmatrix} x_1 \\ x_2 \end{bmatrix} + \begin{bmatrix} 1 & 1 \\ 0 & -1 \end{bmatrix} \begin{bmatrix} 4 - e^{-t} \\ e^{-t} \cos t \end{bmatrix}$$

$$(d) \frac{d}{dt} \begin{bmatrix} x_1 \\ x_2 \end{bmatrix} = \begin{bmatrix} -2 + \sin t \cos t & -1 + \mu \sin t \\ 1 + \mu \sin t & -2 + \sin t \cos t \end{bmatrix} \begin{bmatrix} x_1 \\ x_2 \end{bmatrix}$$

$$(e) \frac{d}{dt} \begin{bmatrix} x_1 \\ x_2 \\ x_3 \end{bmatrix} = \begin{bmatrix} 1 - 2e^{-t} \sin t & \mu(1 - e^{-t}) & t \\ \mu & -3 + \cos t & 3 \\ -\mu & -3 + \mu e^{-t} - 3 + \cos t \end{bmatrix} \begin{bmatrix} x_1 \\ x_2 \\ x_3 \end{bmatrix}$$

$$(f) \frac{d}{dt} \begin{bmatrix} x_1 \\ x_2 \end{bmatrix} = \begin{bmatrix} \frac{1}{t^3} + \cos 3t & -3 \cos t + te^{-t} \\ 3 \cos t - te^{-t} & \frac{t^2}{1+t^4} + \cos 3t \end{bmatrix} \begin{bmatrix} x_1 \\ x_2 \end{bmatrix} + \begin{bmatrix} 0 \\ -1 \end{bmatrix} [e^{-t} - 2e^{-2t}]$$

P. 15. Să se verifice că circuitul din fig. 10.8 are ecuația de stare dată în pag. 719.

P. 16. Se consideră următoarele ecuații de stare :

$$(a) \frac{d}{dt} \begin{bmatrix} x_1 \\ x_2 \end{bmatrix} = \begin{bmatrix} te^{-t} & (1+t) \\ -(1+t) & t^2 e^{-t} \end{bmatrix} \begin{bmatrix} x_1 \\ x_2 \end{bmatrix} + \begin{bmatrix} 1 & 1 \\ -1 & 0 \end{bmatrix} \begin{bmatrix} e^{-t} - 2e^{-2t} \\ -u(t) + u(t-1) \end{bmatrix}$$

$$(b) \frac{d}{dt} \begin{bmatrix} x_1 \\ x_2 \end{bmatrix} = \begin{bmatrix} \cos t & t \sin t \\ -t \sin t & \cos t \end{bmatrix} \begin{bmatrix} x_1 \\ x_2 \end{bmatrix} + \begin{bmatrix} 2 \\ 3 \end{bmatrix} [t^2 e^{-t}].$$

Se va lua $t_0=0$. După Teorema 11, pentru care, din ecuațiile de stare, toate soluțiile se apropie de zero cînd $t \rightarrow \infty$?

P. 17. Fie $Y(t) Y(\tau)^{-1}$ matricea stării de tranziție asociată cu (71). Să se demonstreze teorema ce se obține, cînd se înlocuiește condiția (72a) din Teorema 11, prin

$$\|Y(t) Y(\tau)^{-1}\| \leq \delta < \infty \text{ cu } t_0 \leq \tau \leq t, \text{ pentru } t \geq t_0.$$

Se va aplica această nouă teoremă la exemplul ce urmează, Teoremei 11? Dacă da, să se găsească valoarea lui δ . Această nouă teoremă este mai puțin restrictivă decît Teorema 11, dar poate fi mai greu de aplicat. Să se explice de ce?

P. 18. Să se arate că ecuațiile de stare din exemplele din par. 10.7 sînt acelea pentru circuitele din fig. 10.17, 10.18, 10.20, 10.21 și 10.22.

P. 19. Să se stabilească ecuațiile de stare pentru fiecare din circuitele din fig. 10. P. 19.

P. 20. Să se stabilească ecuațiile de stare pentru amplificatorul reprezentat în fig. 10l. P. 20a. Se va utiliza modelul de tranzistor arătat în fig. 10. P. 20b.

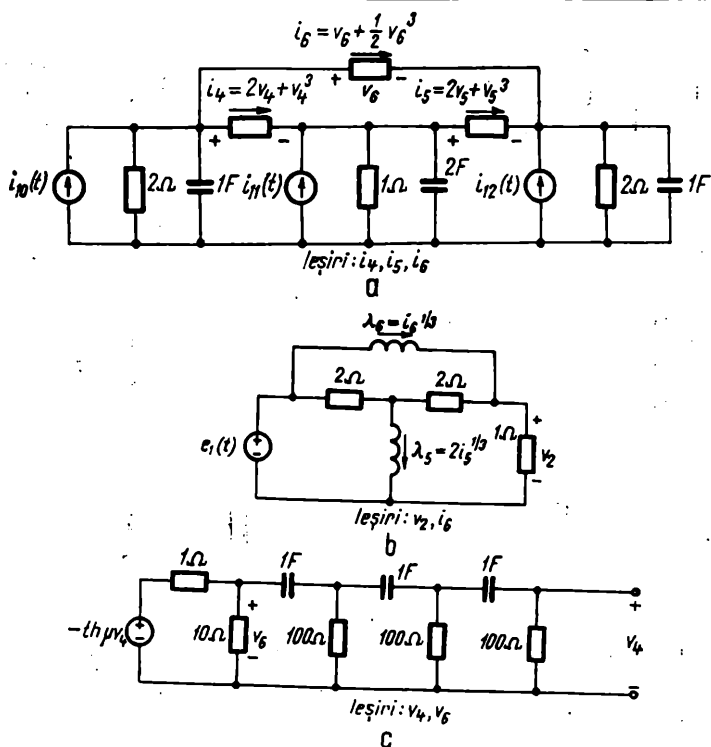


Fig. 10.P.19.

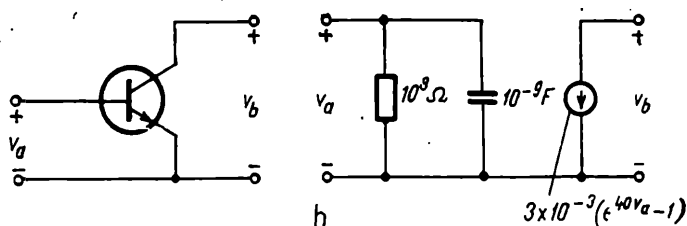
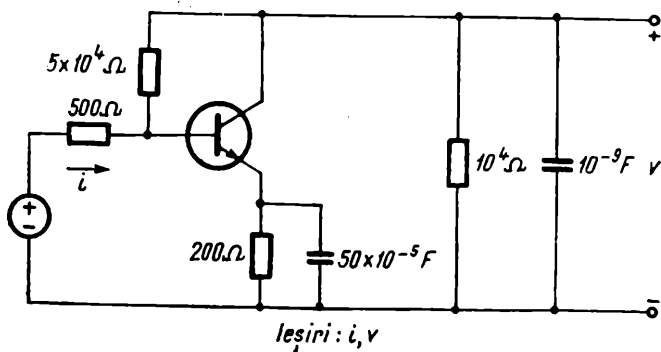


Fig. 10.P.20

P. 21. Să se stabilească ecuațiile de stare ale amplificatorului din fig. 10. P. 21, cu modelul de tranzistor din fig. 10. P. 20b.

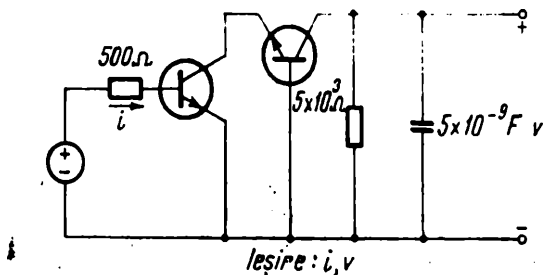


Fig 10.P.21

P. 22. Idem, pentru amplificatorul din fig. 10. P. 22, cu același model de tranzistor.

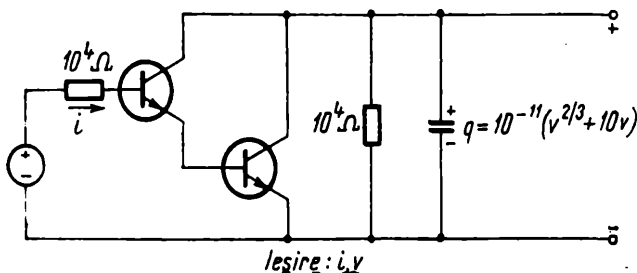


Fig. 10.P.22.

P. 23. Idem, pentru amplificatorul din fig. 10. P. 23, cu același model de tranzistor.

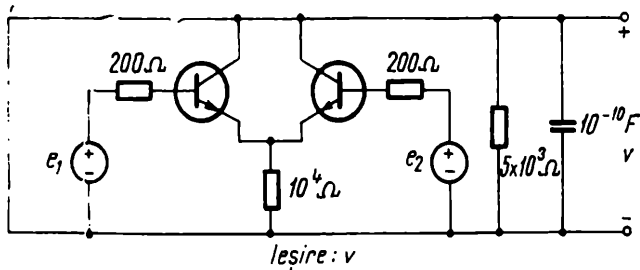


Fig. 10.P.23

P. 24. a) Să se arate că f_{L1} din (81a) trebuie să fie identic zero sau f_{L1} și g_{L1} din (85) trebuie să fie funcții diferențiabile, pentru ca să se exprime v_{L1} și v_{L1} ca funcții de x , e și de/dt .

b) Să se arate că f_{C1} din (75b) trebuie să fie identic zero sau că f_{C1} și g_{C1} din (79) trebuie să fie funcții diferențiabile, pentru ca să se exprime i_{C1} și i_{C1} ca funcții de x , e și de/dt .

P. 25. Se consideră circuitele (rețelele) care pot fi reprezentate ca interconexiunea unui subcircuit (subrețea) de capacități, a unui de inductanțe și a unui de rezistențe și de surse independente, ca în fig. 10. P. 25a. Să se formuleze ecuația de stare în funcție de parametrii de la porțile fiecărui subcircuit (uniport sau diport), cînd vectorul de stare este înălțuirea unui set de variabile de sarcini q_C , de la porți, liniar independente, pentru subcircuitul cu capacități și a unui set de variabile de flux λ_L , de la porți, liniar independente, pentru subcircuitul cu inductanțe. Să se aplice rezultatul pentru stabilirea ecuației de stare la circuitul din fig. 10. P. 25b.

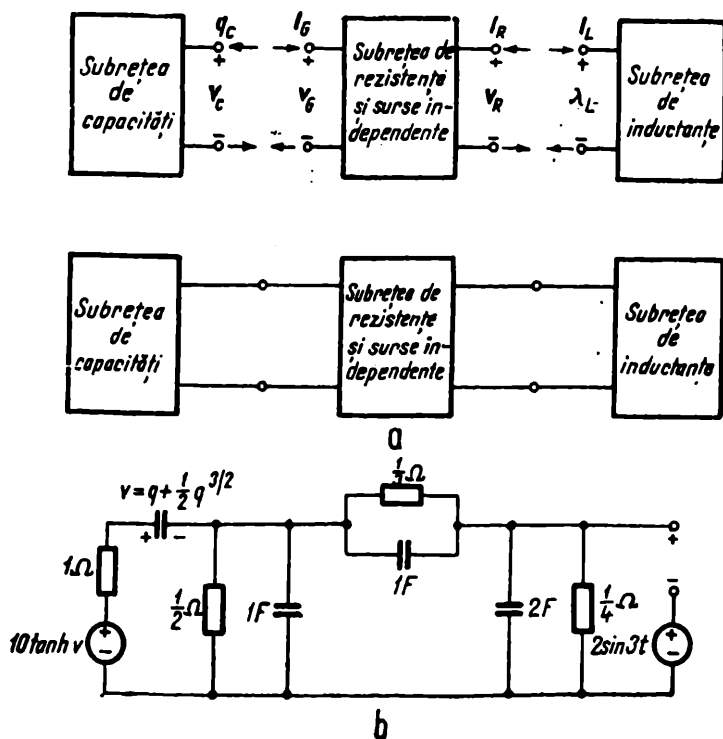


Fig. 10.P.25.

P. 26. Folosind Teorema 13, să se determine care dintre următoarele ecuații de stare are o soluție pentru orice $t \geq 2$.

$$(a) \frac{d}{dt} \begin{bmatrix} x_1 \\ x_2 \end{bmatrix} = \begin{bmatrix} -x_1 + x_2 - e^{-t} \\ -x_1 - \frac{x_2^3}{1+x_2^2} \end{bmatrix}$$

$$(b) \frac{d}{dt} \begin{bmatrix} x_1 \\ x_2 \\ x_3 \end{bmatrix} = \begin{bmatrix} -2x_1 + (x_2 - x_1) \tanh^2(x_2 - x_1) + x_3 \\ (x_2 - x_1) \tanh^2(x_2 - x_1) - \frac{x_2}{1+x_2^2} \\ -x_1 - 3x_3 \end{bmatrix}$$

$$(c) \frac{d}{dt} \begin{bmatrix} x_1 \\ x_2 \\ x_3 \end{bmatrix} = \begin{bmatrix} -\frac{t^2}{1+t^4} x_1 + (x_2 - x_1)^3 + x_3 - 2 \sin t \\ (x_2 - x_1)^3 - 2(x_3 - x_2)^3 + 2 \cos t \\ x_1 - 2(x_3 - x_2)^3 - 8 \frac{x_3 - x_3^3}{1+x_3^2} \end{bmatrix}$$

$$(d) \frac{d}{dt} \begin{bmatrix} x_1 \\ x_2 \end{bmatrix} = \begin{bmatrix} -(2 - \varepsilon^{-t}) x_1 \operatorname{th}^2 x_1 + \frac{x_2^3}{1+x_2^2} \\ -x_1 + 2 \operatorname{th} x_2 + (1 - \varepsilon^{-t}) \end{bmatrix}$$

$$(e) \frac{d}{dt} \begin{bmatrix} x_1 \\ x_2 \end{bmatrix} = \begin{bmatrix} -\frac{x_1^3}{1+x_1^2} + x_2^2 \operatorname{th} x_2 \\ -(1 - t \varepsilon^{-t}) x_1 - x_2 \end{bmatrix}.$$

P. 27. Să se demonstreze următoarea teoremă: *Se presupune că toate condițiile de existență din Teorema 12 sînt satisfăcute; atunci orice soluție a lui (98) în sens larg, egală cu $x(t_0)$ la timpul t_0 , poate fi extinsă să dea o soluție determinată pentru orice $t > t_0$, dacă $x' l(x, t) \leq 0$, pentru $t \geq t_0$.*

(Indicație: Se începe prin a scrie ecuația diferențială care este satisfăcută de scalarul $x'x$)

P. 28. Folosind teorema demonstrată în Problema 27, să se determine care din următoarele ecuații de stare are o soluție determinată pentru orice $t \geq 1$:

$$(a) \frac{d}{dt} \begin{bmatrix} x_1 \\ x_2 \end{bmatrix} = \begin{bmatrix} -x_1 + x_2 \\ -x_1 - x_2^3 \end{bmatrix}, \quad (b) \frac{d}{dt} \begin{bmatrix} x_1 \\ x_2 \\ x_3 \end{bmatrix} = \begin{bmatrix} x_2 \\ x_3 \\ -6x_1 - 11x_2 - 6x_3^5 \end{bmatrix}$$

$$(c) \frac{d}{dt} \begin{bmatrix} x_1 \\ x_2 \\ x_3 \end{bmatrix} = \begin{bmatrix} -5x_1 - 1250x_1^3 - 10(x_2 + 2x_3)^3 \\ -12x_2 + x_3 \\ 2x_2 - 11x_3 \end{bmatrix}$$

$$(d) \frac{d}{dt} \begin{bmatrix} x_1 \\ x_2 \end{bmatrix} = \begin{bmatrix} -3(-\varepsilon^{-t}) x_1 - x_1^3 - x_2 \\ -x_1 - x_2 \end{bmatrix}$$

$$(e) \frac{d}{dt} \begin{bmatrix} x_1 \\ x_2 \\ x_3 \end{bmatrix} = \begin{bmatrix} x_1^3 + x_2 - x_3 \\ -x_1 - 3x_2 \\ x_1 - 2(2 + \sin t) x_3^3 \end{bmatrix}.$$

Teorema 13 ar fi putut stabili și ea existența acestor soluții?

P. 29. a) Să se demonstreze că teorema stabilită în Problema 27 rămîne valabilă cînd condiția $x'f(x, t) \leq 0$ este înlocuită prin $x'Pf(x, t) \leq 0$, unde P este o matrice pozitiv-definită, simetrică.

b) Dacă este posibil, să se aplice rezultatul din a) la următoarele ecuații de stare :

$$\frac{d}{dt} \begin{bmatrix} x_1 \\ x_2 \\ x_3 \\ x_4 \end{bmatrix} = \begin{bmatrix} x_2 \\ x_3 \\ x_4 \\ -x_1 - 4x_2 - 6x_3 - 4x_4^3 \end{bmatrix}$$

$$\frac{d}{dt} \begin{bmatrix} x_1 \\ x_2 \\ x_3 \end{bmatrix} = \begin{bmatrix} -x_1^5 - x_2 + x_3 \\ 2x_1 - 4x_2 - 2x_3 \\ -3x_1 - 3x_2 - 6x_3 - x_3^5 \end{bmatrix}.$$

P. 30. Să se demonstreze că $f(x, t)$ satisface condiția Lipschitz, dacă derivatele parțiale $\partial f_i(x, t)/\partial x_j$ există, sînt continue în x pentru aproape toți $t \geq t_0$ și sînt mărginite în modul, în vreo vecinătate a oricărui punct, de funcții de $t \geq t_0$, local integrabile, ne-negative. Să se arate, prin contra-exemplu, că aceste condiții nu sînt necesare și deci sînt numai suficiente.

P. 31. Să se verifice că fiecare din funcțiile $f(x, t)$ din Problemele 28 și 29 satisfac o condiție Lipschitz în vecinătatea $\|x - \hat{x}\| < 1$ a punctului arbitrar \hat{x} , prin găsirea unei $\gamma(t)$ care să satisfacă setul de condiții din Teorema 14.

P. 32. Pentru fiecare din următoarele ecuații de stare, să se verifice care din condițiile Teoremei 15 și (sau) 17 sînt satisfăcute. Se va pune $t_0 = 1$.

$$(a) \frac{d}{dt} \begin{bmatrix} x_1 \\ x_2 \end{bmatrix} = \begin{bmatrix} -x_1 + x_2 + t e^{-t} \\ -x_1 - x_2^3 \end{bmatrix}$$

$$(b) \frac{d}{dt} \begin{bmatrix} x_1 \\ x_2 \end{bmatrix} = \begin{bmatrix} -(-e^{-t})x_1 - \frac{x_1^3}{1+x_1^2} - x_2 \\ -x_1 - x_2 + e^{-t/2} \end{bmatrix}$$

$$(c) \frac{d}{dt} \begin{bmatrix} x_1 \\ x_2 \\ x_3 \end{bmatrix} = \begin{bmatrix} -5x_1 - 1250x_1^3 - 10(x_2 + 2x_3)^3 \\ -12x_2 + x_3 \\ 2x_3 - 11x_3 \end{bmatrix}$$

$$(d) \frac{d}{dt} \begin{bmatrix} x_1 \\ x_2 \\ x_3 \end{bmatrix} = \begin{bmatrix} -t e^{-t} x_1 + x_2 \\ -x_1 - \frac{x_2^3}{1+2x_2^2} - 2t e^{-3t} \\ x_1 - 2x_3 \end{bmatrix}$$

$$(e) \frac{d}{dt} \begin{bmatrix} x_1 \\ x_2 \end{bmatrix} = \begin{bmatrix} -x_1 + \frac{2x_1^5}{2+x_1^4} - x_2 \\ -x_1 - 2x_2 + \frac{t^2}{1+t^4} \end{bmatrix}.$$

În fiecare caz se va specifica limita superioară pe $\|x(t_0)\|$.

P. 33. Să se demonstreze Teoremele 15 și 16, după ce s-au înlocuit A prin $A(t)$, unde $A(t)$ este o matrice periodică.

P. 34. Să se demonstreze Teorema 16, după ce s-a înlocuit (103c) prin condiția $\|\hat{f}(x, t)\| \leq \mu \|x\|$, pentru $\|x\| \leq \zeta$ și μ suficient de mic.

P. 35. Să se demonstreze următoarea teoremă: Presupunem că toate soluțiile ecuației de referință

$$\frac{d}{dt} y = A(t) y,$$

sînt mărginite cînd t tinde către infinit. Apoi se presupune că $f(x, t) = A(t) + \hat{f}(x, t) + g(t)$. Atunci toate soluțiile din

$$\frac{d}{dt} x = f(x, t),$$

cu un vector inițial $x(t_0)$ astfel că $\|x(t_0)\| \leq \delta$, care este o constantă depinzînd de $f(x, t)$, sînt mărginite cînd $t \rightarrow \infty$, dacă

$$\|Y(t)Y(\tau)^{-1}\| \leq \alpha \text{ cu } t_0 \leq \tau \leq t, \text{ pentru toți } t \geq t_0,$$

unde $Y(t)Y(\tau)^{-1}$ este matricea stării de tranziție asociată cu ecuația de referință, și dacă

$$\|f(x, t)\| \leq \beta(t) \|x\|, \text{ pentru } \|x\| \leq \zeta$$

$$\int_{t_0}^{\infty} \beta(t) dt < \infty$$

$$\int_{t_0}^{\infty} \|g(t)\| dt \leq \gamma \delta,$$

unde γ este o constantă pozitivă aleasă convenabil.

P. 36. Se consideră sistemul de ordinul doi

$$\frac{dx}{dt} = f(x)$$

Fie x_* un punct singular. Presupunem că $f_*(x_*) = A \neq 0$. Dacă valorile proprii ale lui A nu sînt imaginare, se știe¹ că comportarea soluției în vecinătatea lui x_* este aceeași ca a expresiei $y + x_*$, unde y satisface ecuația primei aproximații la x_* ; adică

$$\frac{dy}{dt} = Ay$$

¹ Solomon Lefschetz, *Differential Equations: Geometric Theory*, 2 nd ed., Interscience, New York, p. 188—195.

le $y = Pz$, unde P este o matrice 2×2 nesingulară. Atunci z este soluția ecuației

$$\frac{dz}{dt} = P^{-1}APz = Bz.$$

a) Cînd A are valori proprii reale și distincte, și uneori valori proprii reale și egale, — există un P astfel că

$$B = \begin{bmatrix} \lambda_1 & 0 \\ 0 & \lambda_2 \end{bmatrix}.$$

Să se rezolve pentru elementele din P , în funcție de elementele lui A și de valorile proprii λ_1 și λ_2 .

b) Să se rezolve pentru z și să se traseze (schițeze) un set tipic de traiectorii în planul z_1-z_2 , cînd 1) ambele valori proprii sînt pozitive, 2) ambele valori sînt negative și 3) valorile proprii au semne opuse.

c) În cazul 3) de mai sus, traiectoriile corespunzătoare la $z_1(t_0)=0$ sau $z_2(t_0)=0$ se termină la origină și se numesc *separatrice*. Deoarece termenul indică o separare, despre ce separare este vorba, la aceste traiectorii particulare?

P. 37. Cu referire la Problema 36 și pentru fiecare din matricele A următoare, se cere : 1) să se determine valorile proprii λ_1 și λ_2 ; 2) să se determine transformarea P ; 3) să se traseze schițeze) un set tipic de traiectorii în planul z_1-z_2 și 4) folosind rezultatele de la 3) și transformarea $y=Pz$, să se traseze un set tipic de traiectorii în planul y_1-y_2 .

$$(a) A = \begin{bmatrix} -5 & -4 \\ 3 & 2 \end{bmatrix}, \quad (b) A = \begin{bmatrix} -4 & 7 \\ -2 & 5 \end{bmatrix}$$

$$(c) A = \begin{bmatrix} 2 & 0 \\ 0 & 2 \end{bmatrix}, \quad (d) A = \begin{bmatrix} 1 & -1 \\ 2 & 4 \end{bmatrix}.$$

P. 38. Cu referire la Problema 36 :

a) Cînd A are valori proprii reale și egale ($\lambda_1=\lambda_2=\lambda$) și nu este o matrice diagonală, atunci există un P astfel că

$$B = \begin{bmatrix} \lambda & 1 \\ 0 & \lambda \end{bmatrix}.$$

Să se rezolve elementele lui P în funcție de elementele lui A și de valoarea proprie λ .

b) Să se rezolve pentru z și să se traseze un set tipic de traiectorii în planul z_1-z_2 , cînd 1) λ este pozitiv și 2) λ este negativ.

c) Pentru

$$A = \begin{bmatrix} 3 & 1 \\ -1 & 1 \end{bmatrix}$$

1) să se determine λ , 2) să se determine P , 3) să se traseze un set tipic de traiectorii în planul z_1-z_2 , și 4) folosind rezultatul din 3) și transformarea $y=Pz$, să se traseze un set tipic de traiectorii în planul y_1-y_2 .

P. 39. Cu referire la Problema 36 :

a) Cînd A are valori proprii complex conjugate ($\lambda_1 = \lambda_2 = \sigma + j\omega$), există un P astfel că

$$B = \begin{bmatrix} \sigma & \omega \\ -\omega & \sigma \end{bmatrix}.$$

Să se rezolve pentru elementele lui P , în funcție de elementele lui A și de părțile reale și imaginare, σ și ω , ale valorilor proprii.

b) Coordonatele polare în planul $z_1 - z_2$ sînt r și θ , unde $r^2 = z_1^2 + z_2^2$ și $\tan \theta = z_2/z_1$. Să se verifice că

$$\frac{dr}{dt} = \sigma r, \quad \frac{d\theta}{dt} = \omega.$$

c) Să se rezolve r și θ și să se traseze un set tipic de traiectorii în planul $z_1 - z_2$, cînd 1) σ este pozitiv și 2) cînd σ este negativ.

d) Pentru

$$A = \begin{bmatrix} 3 & 3 \\ 13 & -7 \end{bmatrix}$$

1) să se determine σ și ω , 2) să se determine P , 3) să se traseze un set tipic de traiectorii în planul $z_1 - z_2$ și 4) folosind rezultatul din 3) și transformarea $y = Pz$, să se traseze un set tipic de traiectorii în planul $y_1 - y_2$.

P. 40. Cu referire la Problema 36 : Punctul singular x_* este numit 1) *nod*, dacă A are valori proprii reale, distincte, de același semn, 2) *log-nod*, dacă A are valori proprii reale și egale, 3) *șea*, dacă A are valori proprii de semne opuse și 4) *focar*, dacă A are valori proprii complex conjugate, cu partea reală ne-nulă. Punctul singular se zice că este *stabil*, dacă ambele valori proprii sînt reale și negative sau au partea reală negativă ; altfel, punctul singular se zice că este *instabil*. Fie $\delta_1 = \det A$ și $\delta_2 = \text{tr} A$. Să se împartă planul $\delta_1 - \delta_2$ în regiuni corespunzînd la diferitele clasificări pentru un punct singular cum este un nod stabil.

P. 41. Cu referire la Problema 36 : Planul $x_1 - x_2$ este cunoscut ca *planul fazelor*, iar un set tipic de traiectorii din planul fazelor se numește *portretul fazelor*. Pentru fiecare din următoarele ecuații de stare, să se găsească punctele singulare și, folosind rezultatele Problemelor 36-40, să se traseze un portret al fazelor, în vecinătatea fiecărui punct singular, și să se clasifice punctul singular :

$$(a) \frac{d}{dt} \begin{bmatrix} x_1 \\ x_2 \end{bmatrix} = \begin{bmatrix} x_2 \\ -2x_2 + x_1 - x_1^3 \end{bmatrix}, \quad (b) \frac{d}{dt} \begin{bmatrix} x_1 \\ x_2 \end{bmatrix} = \begin{bmatrix} x_1 + x_2 \\ x_1 - x_1^5 - 3x_2 \end{bmatrix}$$

$$(c) \frac{d}{dt} \begin{bmatrix} x_1 \\ x_2 \end{bmatrix} = \begin{bmatrix} -2x_1 - 3x_2 + 2x_2^3 \\ 5x_1 + 6x_2 - 2x_2^3 \end{bmatrix} \quad (d) \frac{d}{dt} \begin{bmatrix} x_1 \\ x_2 \end{bmatrix} = \begin{bmatrix} x_2 \\ 1 - 3x_2 - 2 \sin x_1 \end{bmatrix}$$

$$(e) \frac{d}{dt} \begin{bmatrix} x_1 \\ x_2 \end{bmatrix} = \begin{bmatrix} x_1 - 2x_1x_2 \\ 2x_2 - 3x_1x_2 \end{bmatrix}.$$

Să se schițeze un portret al fazelor valabile în tot planul fazelor, folosind portretele locale de faze completate mai sus. Este bine să se știe că x_i , pentru $i=1$ și 2 , crește în lungul unei traiectorii, în acea regiune din planul fazelor unde $f_i(x) > 0$ și descrește în lungul unei traiectorii, în acea regiune din planul fazelor, unde $f_i(x) < 0$. Mai mult, traiectoria este verticală [orizontală] acolo unde taie curba $f_i(x)=0$ [$f_i(x)=0$].

P. 42. Să se obțină o soluție numerică a fiecărei din următoarele ecuații de stare, folosind metoda lui Euler. Se alege $h=0.1$ și se calculează $x(ih)$ pentru $i=1, 2, \dots, 10$.

$$(a) \frac{d}{dt} x = -\frac{x^3}{1+x^2} - 1, \quad x(0)=2$$

$$(b) \frac{d}{dt} x = -x(1+2t^2x) + t e^{-t}, \quad x(0)=0$$

$$(c) \frac{d}{dt} \begin{bmatrix} x_1 \\ x_2 \end{bmatrix} = \begin{bmatrix} 0 & 2 \\ -2 & 0 \end{bmatrix} \begin{bmatrix} x_1 \\ x_2 \end{bmatrix}, \quad \begin{bmatrix} x_1(0) \\ x_2(0) \end{bmatrix} = \begin{bmatrix} 0 \\ 1 \end{bmatrix}$$

$$(d) \frac{d}{dt} \begin{bmatrix} x_1 \\ x_2 \end{bmatrix} = \begin{bmatrix} -1 & 1 \\ 0 & -1 \end{bmatrix} \begin{bmatrix} x_1 \\ x_2 \end{bmatrix} + \begin{bmatrix} 1 \\ -1 \end{bmatrix} [e^{-t}], \quad \begin{bmatrix} x_1(0) \\ x_2(0) \end{bmatrix} = \begin{bmatrix} 0 \\ -1 \end{bmatrix}$$

$$(e) \frac{d}{dt} \begin{bmatrix} x_1 \\ x_2 \end{bmatrix} = \begin{bmatrix} x_2 \\ -2x_1 + x_1 - x_1^3 \end{bmatrix}, \quad \begin{bmatrix} x_1(0) \\ x_2(0) \end{bmatrix} = \begin{bmatrix} 1 \\ -1 \end{bmatrix}$$

$$(f) \frac{d}{dt} \begin{bmatrix} x_1 \\ x_2 \\ x_3 \end{bmatrix} = \begin{bmatrix} x_2 \\ x_3 \\ -x_1^3 - 3x_2 - 3x_3 + (1 - e^{-t}) \end{bmatrix}, \quad \begin{bmatrix} x_1(0) \\ x_2(0) \\ x_3(0) \end{bmatrix} = \begin{bmatrix} 0 \\ 1 \\ 0 \end{bmatrix}$$

Apoi, să se obțină soluții folosind metoda Euler modificată. Se admite că o precizie de trei cifre zecimale este suficientă. Pentru ecuații de stare din (c) și (d) să se compare cele două soluții numerice cu soluțiile exacte, evaluate la ih .

P. 43. Să se repete Problema 42, folosind metoda Adams cu $j=3$ și metoda Adams modificată cu $j=3$, în loc de, respectiv, metoda Euler și Euler modificată. Se vor obține valorile de pornire cu ajutorul seriei Taylor, trunchiată.

P. 44. Să se obțină o soluție numerică a următoarei ecuații de stare, folosind metoda Adams, cu $j=1, 2, 3, 4, 5$. Se va alege $h=0,1$ și se va calcula $x(ih)$ pentru $i=1, 2, \dots, 15$. Valorile de pornire se vor obține prin folosirea seriei Taylor, trunchiată. Se vor compara soluțiile numerice cu soluția exactă evaluată la ih .

$$\frac{d}{dt} x = -x(1+x^2), \quad x(0) = -5.$$

P. 45. Să se obțină o soluție numerică a fiecărei dintre ecuațiile de stare din Problema 42, aplicând metoda Milne. Se va alege $h=0,1$ și se va calcula $x(ih)$ pentru $i=1, 2, \dots, 10$. Se admite o precizie de trei cifre zecimale. Se vor obține valorile de pornire prin metoda Runge-Kutta.

P 46. Să se obțină o soluție numerică a următoarei ecuații de stare, folosind metoda Euler modificată. Se va alege $h = 0,1$ și se va calcula $x(ih)$ pentru $i = 1, 2, \dots, 10$. Se admite o precizie de trei cifre zecimale.

$$\frac{d}{dt} x = -x(1 + x^2), \quad x(0) = -5.$$

Apoi se va obține soluția folosind corectorul în metoda Euler modificată și (122), cu $j=1$ și $l=1$ drept predictor. Se vor obține valorile de pornire folosind soluția numerică precedentă. Să se compare numărul de cîte ori s-a aplicat corectorul la fiecare pas, în fiecare din cele două metode.

P 47. Să se formeze trei perechi de predictor-corector din (122) și (126) și să se aplice la obținerea soluției numerice a următoarelor ecuații de stare.

Se alege $h=0,1$ și se va calcula $x(ih)$ pentru $i=1, 2, \dots, 10$. Se admite o precizie de trei cifre zecimale. Valorile de pornire se vor obține folosind seria Taylor, trunchiată

$$(a) \quad \frac{d}{dt} x = -x(1 - x^2), \quad x(0) = -5$$

$$(b) \quad \frac{d}{dt} \begin{bmatrix} x_1 \\ x_2 \end{bmatrix} = \begin{bmatrix} -2t & -1 \\ 1 & -2t \end{bmatrix} \begin{bmatrix} x_1 \\ x_2 \end{bmatrix} + \begin{bmatrix} 0 \\ -1 \end{bmatrix} \begin{bmatrix} t \\ 1+t^2 \end{bmatrix}, \quad \begin{bmatrix} x_1(0) \\ x_2(0) \end{bmatrix} = \begin{bmatrix} 0 \\ 1 \end{bmatrix}.$$

P 48. Fie \mathcal{M} un set de m întregi ne-negativi și \mathcal{N} un set de n întregi ne-negativi. Fie

$$x(t) = C_1 + C_2(t-t_i) + C_3(t-t_i)^2 + \dots + C_{m+n}(t-t_i)^{m+n-1};$$

atunci

$$\dot{x}(t) = C_2 + 2C_3(t-t_i) + \dots + (m+n-1)C_{m+n}(t-t_i)^{m+n-2}.$$

Mărimile C_i vor fi rezolvate în funcție de $x(t_{i-j})$, pentru fiecare j din \mathcal{M} și $x(t_{i-k})$ pentru fiecare k din \mathcal{N} . Dacă se substituie rezultatele în expresia lui $x(t)$ și se pune t egal cu t_{i+1} , se obține un predictor de următoarea formă generală:

$$x(t_{i+1}) = \sum_{j \in \mathcal{M}} a_j x(t_{i-j}) + \sum_{k \in \mathcal{N}} b_k \dot{x}(t_{i-k}).$$

Fie $t_{i+1} = t_i + h$ pentru orice valoare a lui i . Apoi, să se determine a_j și b_k , cînd avem:

- | | |
|-----------------------------------|-----------------------------|
| (a) $\mathcal{M} = \{0, 1\}$; | $\mathcal{N} = \{0, 1\}$ |
| (b) $\mathcal{M} = \{0, 1, 2\}$; | $\mathcal{N} = \{0, 1\}$ |
| (c) $\mathcal{M} = \{0, 1\}$; | $\mathcal{N} = \{0, 1, 2\}$ |
| (d) $\mathcal{M} = \{0, 1, 2\}$; | $\mathcal{N} = \{0, 1, 2\}$ |
| (e) $\mathcal{M} = \{0, 2\}$; | $\mathcal{N} = \{0, 1\}$ |
| (f) $\mathcal{M} = \{0, 1\}$; | $\mathcal{N} = \{0, 2\}$ |
| (g) $\mathcal{M} = \{0, 2\}$; | $\mathcal{N} = \{1\}$ |
| (h) $\mathcal{M} = \{1, 2\}$; | $\mathcal{N} = \{0, 1, 2\}$ |

P 49. Utilizând fiecare dintre predictorii din Problema 48, să se obțină o soluție numerică a următoarelor ecuații de stare. Se va alege $h=0,2$ și se va calcula $x(ih)$ pentru $i=1,2,\dots,10$. Se admite o precizie de trei cifre zecimale. Se vor obține valorile de pornire folosind seria Taylor trunchiată.

$$(a) \quad \frac{d}{dt} x = -x(1-x^2), \quad x(0) = -5$$

$$(b) \quad \frac{d}{dt} \begin{bmatrix} x_1 \\ x_2 \end{bmatrix} = \begin{bmatrix} -2t & -1 \\ -1 & -2t \end{bmatrix} \begin{bmatrix} x_1 \\ x_2 \end{bmatrix} + \begin{bmatrix} 0 \\ -1 \end{bmatrix} \left[\frac{t}{1+t^2} \right], \quad \begin{bmatrix} x_1(0) \\ x_2(0) \end{bmatrix} = \begin{bmatrix} 0 \\ 1 \end{bmatrix}.$$

P 50. Fie $\hat{\mathcal{A}}$ un set de \hat{m} întregi ne-negativi și $\hat{\mathcal{N}}$ un set de \hat{n} întregi, unul dintre ei fiind egal cu -1 și restul fiind ne-negativi. Fie

$$x(t) = \hat{c}_1 + \hat{c}_2(t-t_i) + \dots + \hat{c}_{\hat{m}+\hat{n}}(t-t_i)^{\hat{m}+\hat{n}-1};$$

apoi

$$\dot{x}(t) = \hat{c}_2 + 2\hat{c}_3(t-t_i) + \dots + (\hat{m} + \hat{n} - 1) \hat{c}_{\hat{m}+\hat{n}}(t-t_i)^{\hat{m}+\hat{n}-2}.$$

Mărimile \hat{c}_j vor fi rezolvate în funcție de $x(t_{i-j})$ pentru fiecare j din $\hat{\mathcal{A}}$, și $\dot{x}(t_{i-k})$ pentru fiecare k din $\hat{\mathcal{N}}$. Dacă se substituie rezultatele în expresia lui $x(t)$ și se pune t egal cu t_{i+1} , se obține un corector de următoarea formă generală

$$x(t_{i+1}) = \sum_{j \in \hat{\mathcal{A}}} d_j x(t_{i-j}) + \sum_{k \in \hat{\mathcal{N}}} \hat{b}_k \dot{x}(t_{i-k}).$$

Fie $t_{i+1} = t_i + h$ pentru fiecare valoare a lui i . Apoi, să se determine d_j și \hat{b}_k , cînd avem :

(a) $\hat{\mathcal{A}} = \{0, 1\};$	$\hat{\mathcal{N}} = \{-1, 0\}$
(b) $\hat{\mathcal{A}} = \{0, 1\};$	$\hat{\mathcal{N}} = \{-1, 1\}$
(c) $\hat{\mathcal{A}} = \{0, 1, 2\};$	$\hat{\mathcal{N}} = \{-1, 0\}$
(d) $\hat{\mathcal{A}} = \{0, 1, 2\};$	$\hat{\mathcal{N}} = \{-1, 1\}$
(e) $\hat{\mathcal{A}} = \{0, 1, 2\};$	$\hat{\mathcal{N}} = \{-1, 0, 1\}$
(f) $\hat{\mathcal{A}} = \{0, 2\}$	$\hat{\mathcal{N}} = \{-1, 0, 1\}$
(g) $\hat{\mathcal{A}} = \{0, 2\};$	$\hat{\mathcal{N}} = \{-1, 1\}$
(h) $\hat{\mathcal{A}} = \{1\};$	$\hat{\mathcal{N}} = \{-1, 1\}$

P 51. Să se formeze trei perechi de predictor-corector din rezultatele Problemelor 48 și 50. În fiecare caz se va alege $\hat{m} + \hat{n} = m + n$, astfel ca predictorul și corectorul să aibe aceeași precizie.

Folosind fiecare din aceste perechi de predictor-corector, să se obțină soluțiile numerice cerute în Problema 49.

P 52. Corectorii obținuți din (126), pentru j și l specifici, combinați cu ecuația de stare (104), dau ecuații implicate de forma

$$\mathbf{x}(t_{i+1}) = \mathbf{g}[\mathbf{x}(t_{i+1})].$$

S-a propus în paragraful 10.6, ca soluția unui corector să fie realizată prin iterația

$$\mathbf{x}(t_{i+1})^{(n)} = \mathbf{g}(\mathbf{x}(t_{i+1})^{(n-1)}),$$

unde $\mathbf{x}(t_{i+1})^{(n)}$ înseamnă iterația n -a; iterația zero, $\mathbf{x}(t_{i+1})^{(0)}$ este soluția unui predictor. O variantă a acestei metode, pentru rezolvarea corectorului, se bazează pe cunoscuta iterație Newton-Raphson; în acest caz expresiile iterate sînt date de

$$\mathbf{x}(t_{i+1})^{(n)} = \mathbf{x}(t_{i+1})^{(n-1)} - \{\mathbf{I} - \mathbf{g}_x[\mathbf{x}(t_{i+1})^{(n-1)}]\}^{-1} [\mathbf{x}(t_{i+1})^{(n-1)} - \mathbf{g}(\mathbf{x}(t_{i+1})^{(n-1)})]$$

unde $\mathbf{g}_x(\mathbf{x}(t_{i+1})^{(n-1)})$ este matricea Jacobiană a lui $\mathbf{g}(\mathbf{x})$, evaluată ca iterație a $(n-1)$, pentru $\mathbf{x}(t_{i+1})^{(1)}$. Această ultimă metodă pentru rezolvarea corectorului necesită în general mai puține iterații pentru obținerea unui anumit nivel de precizie; totuși, ea necesită evaluarea derivatei Jacobiane $\mathbf{g}_x(\mathbf{x})$.

a) Se consideră corectorii obținuți din (126), cu :

$$1) j = 0 \text{ și } l = 1,$$

$$2) j = 1 \text{ și } l = 1$$

$$3) j = 2 \text{ și } l = 1,$$

$$4) j = 2 \text{ și } l = 2$$

Fie $\mathbf{x}(t_{i+1})^{(0)} = \mathbf{x}(t_i)^{(1)}$ și să se determine $\mathbf{x}(t_{i+1})^{(1)}$ în funcție de $\mathbf{x}(t_i)^{(1)}$, folosind iterația Newton-Raphson. Dacă iterația Newton-Raphson se termină în acest punct și $\mathbf{x}(t_{i+1})^{(1)}$ este privit ca soluția (aproximativă) corectorului, atunci ecuațiile rezultate sînt expresii explicite pentru $\mathbf{x}(t_{i+1})^{(1)}$ în funcție de $\mathbf{x}(t_i)^{(1)}$; ele sînt predictorii deduși prin trunchierea iterațiilor folosite la rezolvarea corectorilor.

b) Se va repeta a), folosind o proiecție liniară a celor două puncte precedente de soluție, pentru a obține $\mathbf{x}(t_{i+1})^{(0)}$; adică

$$\mathbf{x}(t_{i+1})^{(0)} = \mathbf{x}(t_i)^{(1)} + h \frac{\mathbf{x}(t_i)^{(1)} - \mathbf{x}(t_{i-1})^{(1)}}{h} = 2\mathbf{x}(t_i)^{(1)} - \mathbf{x}(t_{i-1})^{(1)}$$

Notă: S-ar fi putut folosi polinoame de un ordin mai înalt, potrivite punctelor soluției precedente, pentru a da o proiecție mai bună în vederea obținerii lui $\mathbf{x}(t_{i+1})^{(0)}$.

c) Să se repete a), folosind soluția predictorului Euler pentru $\mathbf{x}(t_{i+1})^{(0)}$; adică

$$\mathbf{x}(t_{i+1})^{(0)} = \mathbf{x}(t_i)^{(1)} + h \dot{\mathbf{x}}(t_i)^{(1)}.$$

Notă: Se pot folosi și alți predictorii pentru găsirea lui $\mathbf{x}(t_{i+1})^{(0)}$.

¹⁾ Această aplicație a unei ecuații diferențiale la soluția numerică a fost propusă de L. W. Sandberg, "Numerical Integration of Systems of Stiff Nonlinear Differential Equations," Bell Syst. Techn. Journ., Vol. 47, nr. 4, apr. 1968, p. 511-528.

d) Să se obțină o soluție numerică a fiecărei din următoarele ecuații, folosind predictorii formați în a)–c). Se alege $h=0,2$ și se calculează $x(ih)$ pentru $i=1,2,\dots,10$.

$$1) \frac{dx}{dt} = -x(1+x^2), \quad x(0) = -5$$

$$2) \frac{d}{dt} \begin{bmatrix} x_1 \\ x_2 \end{bmatrix} = \begin{bmatrix} -1 & 1 \\ 0 & -10 \end{bmatrix} \begin{bmatrix} x_1 \\ x_2 \end{bmatrix}, \quad \begin{bmatrix} x_1(0) \\ x_2(0) \end{bmatrix} = \begin{bmatrix} 0 \\ 2 \end{bmatrix}$$

$$3) \frac{d}{dt} \begin{bmatrix} x_1 \\ x_2 \end{bmatrix} = \begin{bmatrix} -2t & -1 \\ 1 & -2t \end{bmatrix} \begin{bmatrix} x_1 \\ x_2 \end{bmatrix}, \quad \begin{bmatrix} x_1(0) \\ x_2(0) \end{bmatrix} = \begin{bmatrix} 0 \\ 1 \end{bmatrix}$$

$$4) \frac{d}{dt} \begin{bmatrix} x_1 \\ x_2 \end{bmatrix} = \begin{bmatrix} x_2 \\ -2x_2 + x_1 - x_1^3 \end{bmatrix}, \quad \begin{bmatrix} x_1(0) \\ x_2(0) \end{bmatrix} = \begin{bmatrix} 1 \\ -1 \end{bmatrix}$$

Să se obțină valori de pornire folosind seria Taylor trunchiată. Pentru 1)–3), să se compare cei trei predictorii diferiți, prin considerarea preciziei soluțiilor numerice față de soluțiile exacte.

P 53. Pentru multe tipuri de circuite, vectorul de stare variază rapid în anumite intervale de timp și încet în altele. În primul caz, intervalul de timp dintre punctele soluției trebuie să fie mai mic decât cel permis în al doilea caz, dacă precizia trebuie să aproximativ aceeași în ambele cazuri. De aceea, este de dorit, în interesul eficienței de calcul, să posedăm un criteriu cu care să reglăm mărirea intervalului de integrare, pe măsură ce evaluarea numerică a soluției înalțează. O formulă de integrare folosită în legătură cu un astfel de criteriu, ar trebui să posede proprietatea că, pentru o precizie aritmetică infinită, diferența dintre soluția numerică și soluția reală (la momentele pentru care se evaluează soluția numerică), se anulează când timpul crește mult, indiferent de intervalul de integrare. Un studiu al formulelor de integrare, relativ la această proprietate, nu face parte din obiectul acestei cărți. De aceea se va considera formula de integrare particulară, stabilită în partea a) a Problemei 52, care posedă această proprietate pentru ecuații de stare liniare, invariante în timp, stabile, și toate valorile intervalului de integrare. Eroarea la corector este $-(1/2)h^2_{i+1} \ddot{x}(\theta)$, pentru un θ astfel că $t_i \leq \theta \leq t_{i+1} = t_i + h_{i+1}$. Acum, dacă eroarea este prea mare, h_{i+1} trebuie să fie făcută mai mică și calculul lui $x(t_{i+1})$ trebuie refăcut; dacă eroarea este suficient de mică, valoarea intervalului de integrare h_{i+2} pentru pasul următor, trebuie să fie mai mare decât h_{i+1} . Aceasta servește ca justificare pentru următorul criteriu:

Se pune $h_{i+2} = 2h_{i+1}$ dacă	$\frac{1}{2} h_{i+1}^2 \ \ddot{x}(t_{i+1})\ _{\infty} \leq \frac{1}{4} \times 10^{-3}$
Se pune $h_{i+2} = h_{i+1}$ dacă	$\frac{1}{4} \times 10^{-3} < \frac{1}{2} h_{i+1}^2 \ \ddot{x}(t_{i+1})\ _{\infty} < 10^{-3}$
Se recalculează $x(t_{i+1})$ cu h_{i+1} pe jumătate dacă	$10^{-3} \leq \frac{1}{2} h_{i+1}^2 \ \ddot{x}(t_{i+1})\ _{\infty}$

Să se aplice formula de integrare indicată și acest criteriu, pentru determinarea lui h , pentru obținerea soluției numerice a ecuației

$$\frac{d}{dt} \begin{bmatrix} x_1 \\ x_2 \end{bmatrix} = \begin{bmatrix} -1 & 1 \\ 0 & -10 \end{bmatrix} \begin{bmatrix} x_1 \\ x_2 \end{bmatrix}, \quad \begin{bmatrix} x_1(0) \\ x_2(0) \end{bmatrix} = \begin{bmatrix} 1 \\ 1 \end{bmatrix}$$

În 25 puncte de timp. Se va lua ca valoare inițială pentru h_{i+1} , valoarea $0,5 \cdot 10^{-2}$. Să se indice gama de valori h_{i+1} luate. Pentru determinarea lui $\tilde{x}(t_{i+1})$ se poate folosi relația

$$\begin{aligned}\tilde{x}(t_{i+1}) &= f_x(\tilde{x}(t_{i+1}), t_{i+1}) \tilde{x}(t_i) = \\ &= f_x(\tilde{x}(t_{i+1}), t_{i+1}) f(\tilde{x}(t_{i+1}), t_{i+1}).\end{aligned}$$

P. 54 Care din următoarele funcții scalare sînt pozitiv-definite pentru orice x ? Se va considera $t_0 = 1$

(a) $V(x) = 6x_1^4 + 6x_2^2 - 8x_3 + 3x_4$

(b) $V(x) = \frac{2x_1^2}{1+x_1^2} + \frac{x_2^4}{1+x_2^2} + x_1^2 x_3^4 + \frac{x_3^2}{1+x_1^2}$

(c) $V(x) = x_1^2 + x_2^2 - 2x_1^4 - 2x_2^4 + x_1^6 + x_2^6$

(d) $V(x) = x_1^2 + 2e^{-t} x_2^4 + (2 + \cos t) x_3^2$

(e) $V(x) = \frac{2+t}{1+t} x_1^6 + (x_1 - x_2)^2 + x_3^4 + (x_1 - x_3 - x_4)^2$

(f) $V(x) = (x_1 - x_2)^2 + (x_1 - x_2 - 2x_3)^2 + x_3^4$.

P 55. Să se considere un circuit RLC , liniar, variabil în timp, fără excitație din exterior. Ecuația de stare (nu în forma normală) este

$$\frac{d}{dt} \begin{bmatrix} \varphi & 0 \\ 0 & \mathcal{L} \end{bmatrix} \begin{bmatrix} v_{Cl} \\ i_{Ll} \end{bmatrix} = \begin{bmatrix} -\mathcal{G} & \mathcal{K} \\ \mathcal{G} & -\mathcal{L} \end{bmatrix} \begin{bmatrix} v_{Cl} \\ i_{Ll} \end{bmatrix}$$

și energia înmagazinată este :

$$V = [v'_{Cl} \ i'_{Ll}] \begin{bmatrix} \varphi & 0 \\ 0 & \mathcal{L} \end{bmatrix} \begin{bmatrix} v_{Cl} \\ i_{Ll} \end{bmatrix}.$$

În ce condiții va fi V o funcție Liapunov?

P 56. Să se determine o regiune deschisă D , ce conține origina, în interiorul căreia următoarele funcții scalare sînt pozitiv definite. Se va lua $t_0 = 0$.

(a) $V(x) = (x_1 - x_2)^2 - (x_1 - x_2)^4 + x_3^2 - x_3^3$

(b) $V(x) = (x_1 - x_2)^2 - (x_1 - x_2)^4 + 4(x_1 + x_2)^3 - (x_1 + x_2)^4$

(c) $V(x) = 2 \frac{2+t}{1+t} \operatorname{th}^2 x_1 - x_1^2 + 2 \frac{x_2^2 - x_2^4}{1+x_2^2}$

P 57. Să se demonstreze Teorema 19.

P 58. Fiecare din următoarele ecuații de stare este în pereche cu o funcție pozitiv definită. Să se determine dacă funcția pozitiv definită este o funcție Liapunov pentru ecuația de stare și, în caz afirmativ, care din Teoremele 17, 18 și (sau) 19 este satisfăcută. Se va lua $t_0 = 1$

$$(a) \frac{d}{dt} \begin{bmatrix} x_1 \\ x_2 \\ x_3 \end{bmatrix} = \begin{bmatrix} -x_1 + x_2 - x_3 \\ x_1 - 2x_2 - x_3^3 \\ x_1 - \tanh x_3 \end{bmatrix}$$

$$V(x) = \frac{1}{2} [x_1^2 + x_2^2 + x_3^2]$$

$$(b) \frac{d}{dt} \begin{bmatrix} x_1 \\ x_2 \end{bmatrix} = \begin{bmatrix} -\frac{(x_1 - x_2)}{1 + (x_1 - x_2)^2} \\ -\frac{(x_2 - x_1)}{1 + (x_1 - x_2)^2} - x_2 - x_2^3 \end{bmatrix}$$

$$V(x) = 2x_1^2 - 6x_1x_2 + 5x_2^2$$

$$(c) \frac{d}{dt} \begin{bmatrix} x_1 \\ x_2 \end{bmatrix} = \begin{bmatrix} -e^{-t} x_1 + x_2 \\ -x_1 - x_2 \end{bmatrix}$$

$$V(x) = (x_1 + x_2)^2 + (e^{-t} x_1^2 + x_2^2)^2$$

$$(d) \frac{d}{dt} \begin{bmatrix} x_1 \\ x_2 \end{bmatrix} = \begin{bmatrix} -te^{-t} x_1 - x_2 \\ -2x_1 + \frac{x_2}{1 + x_2^2} \end{bmatrix}$$

$$V(x) = \frac{1}{2} x_1^2 + \frac{1}{4} x_2^4$$

P 59. Să se explice cum rezultă din teoremele de stabilitate 17, 18 și 19 că o soluție a ecuației de stare (98), egală cu $x(t_0)$ la momentul t_0 , poate fi extinsă ca să dea o soluție definită pentru orice $t \geq t_0$. Să se indice unele restricții asupra lui $x(t_0)$. Să se găsească o ecuație de stare, de ordin mai mare decât 1, la care se aplică aceste rezultate și la care Teorema 13 nu se aplică.

P 60. Fiecare din următoarele ecuații de stare este în pereche cu o funcție scalară a vectorului de stare. Fie funcția scalară $V(x, t)$ în Teorema 20; atunci, pe baza acestei teoreme, să se determine dacă originea este instabilă. Se alege $t_0 = 1$

$$(a) \frac{d}{dt} \begin{bmatrix} x_1 \\ x_2 \end{bmatrix} = \begin{bmatrix} -e^{-t} x_1 - x_2 \\ -x_1 + \tanh x_2 \end{bmatrix}$$

$$V(x) = -x_1x_2$$

$$(b) \frac{dt}{d} \begin{bmatrix} x_1 \\ x_2 \\ x_3 \end{bmatrix} = \begin{bmatrix} -2x_1 + x_2 \\ x_1 - 3x_2 + x_2^5 - x_3 \\ x_2 - 5x_3 - x_3 \operatorname{th}^3 x_3 \end{bmatrix}$$

$$V(x) = (x_1^3 - x_2^3) x_3$$

$$(c) \frac{d}{dt} \begin{bmatrix} x_1 \\ x_2 \end{bmatrix} = \begin{bmatrix} -2 \frac{x_1}{1 + 2x_1^2} + 5x_2 \\ -x_1 + 4 \frac{x_2 + 2x_2^3}{1 + x_2^2} \end{bmatrix}$$

$$V(x) = x_1(2x_2 - x_1)$$

P 61. Să se aplice Teorema 21 la fiecare din ecuațiile de stare din Problema 58. Cum se compară rezultatele obținute astfel cu Teorema 21, cu cele obținute în Problema 58?

P 62. Să se folosească Teorema 21 pentru a arăta că origina este asimptotic stabilă „în-mare”, cînd

$$f(x) = Ax$$

unde A este o matrice constantă $n \times n$, cu valori proprii negative.

P 63. Utilizînd metoda gradientului variabil, să se caute funcția Liapunov pentru fiecare din următoarele ecuații de stare :

$$(a) \frac{d}{dt} \begin{bmatrix} x_1 \\ x_2 \\ x_3 \end{bmatrix} = \begin{bmatrix} -x_1 + x_2 - x_3 \\ x_1 - 2x_2 - x_2^3 \\ x_1 - \operatorname{th} x_3 \end{bmatrix}$$

$$(b) \frac{d}{dt} \begin{bmatrix} x_1 \\ x_2 \end{bmatrix} = \begin{bmatrix} x_2^3 \\ -x_2 + \frac{1}{3} x_2^3 - x_1 \end{bmatrix}$$

$$(c) \frac{d}{dt} \begin{bmatrix} x_1 \\ x_2 \end{bmatrix} = \begin{bmatrix} -\frac{x_1}{1 + x_1^2} + x_2 \\ x_1 - 2x_2 - x_2^3 \end{bmatrix}$$

P64. Să se prepare o diagramă de program și un set de instrucțiuni program, într-un limbaj potrivit, astfel de exemplu ca FORTRAN IV, pentru un calculator numeric, pentru obținerea unei soluții numerice a ecuației de stare (104), prin

- metoda Euler
- metoda Euler modificată
- metoda Adams ($j = 4$)
- metoda Adams modificată ($j = 4$)
- metoda Milne
- perechile de predictor-correctori din Problema 47
- predictorii din Problema 48
- perechile de predictor-correctori din Problema 50.

Metoda Runge-Kutta va fi folosită pentru a genera valorile de pornire. Se presupune că $x(t_0)$, $f(x, t)$, h , și numărul total de pași în timp, vor fi specificate de cel care utilizează programul. Se va include cîte un set de instrucțiuni de utilizare, pentru fiecare program.

ANEXA 1

Funcții generalizate

Analiza sistemelor fizice este adesea ușurată prin folosirea funcției impuls unitate și / sau a derivatelor sale. Dar funcția impuls unitate nu este o funcție în sensul obișnuit al cuvintului; deci strict vorbind, atunci când se aplică unor relații care conțin funcția impuls teoreme deduse pentru funcții având puncte ordinare, se încalcă rigurozitatea matematică. Astfel, din 1927 când Dirac a făcut cunoscută folosirea funcției impuls ca un instrument al fizicii matematice¹ și până în 1950, când Schwartz a publicat o bază completă și riguroasă pentru aceasta, funcția impuls nu a fost folosită în matematici; cu toate acestea a fost frecvent utilizată de fizicieni și ingineri.

Teoria distribuțiilor dezvoltată de Schwartz², oferă baza pentru folosirea funcției impuls în analiza matematică, funcția impuls fiind în această teorie, o *distribuție*. Ulterior au fost publicate și alte lucrări dezvoltând teoria distribuțiilor editată în 1950³, și în alte direcții (exemplu — lucrarea lui J. Mikusinski — vezi nota⁴). În special, trebuie menționată o nouă abordare a teoriei distribuțiilor, introdusă de Mikusinski în această perioadă.

¹ P.A.M. Dirac, „The Physical Interpretation of the Quantum Mechanics”, *Proc. Roy. Soc.*, Seria A, vol. 113, 1926–1927, pag. 62 – 641.

P.A.M. Dirac, *The Principles of Quantum Mechanics*, Oxford University Press, London, 1930.

² L. Schwartz, *Théorie des distributions*, vol. I și II, Herman, Paris 1950 și 1951.

³ I.M. Ghelfand și G.E. Shilov, *Generalized functions*, vol. I, „Properties and Operations”, Academic Press, New York, 1964.

V. Dolezal, *Dynamics of Linear Systems*, Publishing House of the Czechoslovak Academy of Science, Prague 1964.

A.H. Zemanian, *Distribution Theory and Transform Analysis*, Mc. Graw-Hill, New York, 1965.

⁴ J. Mikusinski, *Operational Calculus*, a 5-a ediție (în l. engleză) Macmillan, New York, 1959.

G. Temple, „Theories and Applications of Generalized Functions”, *J. London Math. Soc.*, vol. 28, 1953 pag. 134–148.

M.J. Lightill, *Introduction to Fourier Analysis and Generalized Functions*, Cambridge University Press, Cambridge, 1958.

Convoluția în mulțimea funcțiilor continue este analoagă înmulțirii în mulțimea numerelor întregi. Cînd se definește împărțirea — ca operație inversă înmulțirii a două numere întregi — mulțimea rezultată a numerelor raționale conține mulțimea numerelor întregi ca o submulțime proprie. S-a făcut ipoteza că o împărțire de convoluție — operație inversă produsului de convoluție — va defini în mod analog o mulțime de cituri de convoluție sau funcții generalizate, conținînd ca submulțime proprie mulțimea funcțiilor continue. Mikusinski a descoperit că această ipoteză se verifică. În particular, funcția impuls și toate derivatele sale aparțin mulțimii funcțiilor generalizate.

În această anexă vom da o scurtă descriere a teoriei funcțiilor generalizate, bazată pe împărțirea de convoluție. Pentru simplitate ne vom ocupa numai de funcții avînd valori scalare. Extinderea conceptelor pentru funcții cu valori vectoriale va fi lăsată cititorului. Tratarea dată aici nu este completă, dar este potrivită pentru a pune folosirea funcției impuls în cap. 5 pe o bază fermă, riguroasă.

Pentru a exclude confuzia notațiilor, posibilă atunci cînd se introduc concepte noi, vom folosi aici în mod consecvent cîteva convenții. Se vor nota mărimile scalare cu litere grecești mici, cu excepția lui δ . O funcție de timp privită în ansamblul ei, pentru valori nenegative ale lui t se va nota printr-o literă cursivă mică; nu se vor folosi literele s și t . Dacă f este o funcție arbitrară de timp, atunci $f(t)$ va fi valoarea lui f la momentul t^1 . Există situații în care o funcție va fi dată printr-o expresie explicită; de exemplu $t e^{-t}$. Pentru a nota această funcție în ansamblul ei, vom folosi notația $\{t e^{-t}\}$. Observăm că $\{\alpha\}$ nu este un scalar ci funcția care are valoarea constantă și egală cu α pentru $t \geq 0$. Produsul a două mărimi scalare, sau al unui scalar cu o funcție și produsul a două funcții va fi notat în mod obișnuit; de exemplu, $\alpha\beta$, αf sau $\{\alpha f(t)\}$, și $f.g$ sau $\{f(t)g(t)\}$. Pentru repetarea unui produs, se va aplica convenția obișnuită de folosire a exponentului; de exemplu $\alpha\alpha\alpha = \alpha^3$ și $fff = f^3$. Analog notației folosite în cea mai mare parte a lucrării produsul de convoluție se va nota

$$f * g = \left\{ \int_0^t f(t - \tau) g(\tau) d\tau \right\}.$$

Pentru a nota o convoluție repetată vom folosi un exponent pozitiv scris cu literă aldină; de exemplu $f * f * f = f^3$.

J.D. Weston, „Operational Calculus and Generalized Functions”, *Proc. Roy. Soc.*, seria A, vol. 250, 1959, pag. 460—471.

J.D. Weston, „Characterization of Laplace Transforms and Perfect Operators”, *Arch. Rat. Mech. and Anal.*, vol. 3, 1959, pag. 348—354.

A. Erdélyi, *Operational Calculus and Generalized Functions*; Holt Rinehart & Winston, New York 1962. Aceasta este o descriere clară a citurilor de convoluție introduse de Mikusinski ca bază a teoriei funcțiilor generalizate.

¹ Se va face deci distincția între f care reprezintă funcția ca lege de corespondență între două mulțimi și $f(t)$ care este un element al mulțimii valorilor funcției ($N.T.$)

A. 1.1. CÎTURI DE CONVOLUȚIE ȘI FUNCȚII GENERALIZATE

Pentru rezolvarea unei ecuații scalare ca de exemplu

$$\alpha \zeta = \beta, \quad (1)$$

în care $\alpha \neq 0$ și β sînt scalari cunoscuți, exprimăm soluția ca fiind $\zeta = \beta/\alpha$; adică, citul lui β prin α . Acest lucru este posibil deoarece înmulțirea scalarilor are o operație inversă unică — împărțirea scalarilor.

Considerăm acum ecuația de convoluție

$$a * z = b, \quad (2)$$

unde a diferită de $\{0\}$ și b sînt funcții cunoscute. Deoarece convoluția funcțiilor are aceleași proprietăți algebrice ca înmulțirea scalară — adică asociativitate, comutativitate, etc. — sîntem tentați să presupunem că există o operație inversă convoluției, unic definită, care ne permite să exprimăm soluția ca fiind $z = b//a$; adică, *cîtul de convoluție* al lui b prin a (a se observa folosirea liniei duble pentru simbolul citului de convoluție). Vom arăta că noțiunea de cit de convoluție are sens.

Pentru a pune baza pentru definirea citurilor de convoluție, să ne reîntoarcem la ecuația algebrică (1) în care α și β sînt întregi cunoscuți și să considerăm soluția ei. Tocmai unicitatea acestei soluții este aceea care dă sens citului β/α prin care este exprimată soluția. Presupunem că (1) are mai multe soluții; fie atunci ζ_1 și $\theta\zeta_2$ două soluții distincte. Deoarece $\alpha\zeta_1 = \beta$ și $\alpha\zeta_2 = \beta$, rezultă că $\alpha(\zeta_1 - \zeta_2) = 0$. Dar α este presupus un întreg diferit de 0; deci $\zeta_1 - \zeta_2 = 0$, ceea ce contrazice ipoteza și deci soluția lui (1) trebuie să fie unică. Dacă soluția ζ este un întreg, atunci aceasta va fi valoarea ce i se va atribui lui β/α . Desigur, (1) poate să nu aibe o soluție întreagă. Totuși, datorită faptului că soluția este unică, putem spune că β/α este o cantitate numită cit, care exprimă soluția unică; în acest fel β/α capătă sens.

Istoric vorbind, s-a dat numele de număr rațional citului a două numere întregi. Dar β/α este o soluție număr rațional a lui $\alpha\zeta = \beta$, care este unică pînă la o echivalență $\beta/\alpha = \nu\beta/\gamma\alpha$, unde ν este orice număr întreg diferit de zero.

Să considerăm acum într-un mod analog ecuația de convoluție (2), $a * z = b$, pentru a și b funcții continue și $a \neq \{0\}$. Dacă putem arăta că aceasta are o soluție unică, atunci această soluție atribuie un sens citului de convoluție $b//a$, care exprimă soluția. Presupunem că (2) are mai multe soluții; fie z_1 și z_2 două soluții distincte. Deoarece $a * z_1 = b$ și $a * z_2 = b$, rezultă că $a * (z_1 - z_2) = \{0\}$. Vom folosi aici o teoremă a lui Titchmarsh¹ care afirmă următoarele:

¹) Această teoremă este un caz special al teoremei 152 în *Introduction to the-Theory of Fourier Integrals*, a lui E.C. Titchmarsh, ediția a 2-a, Oxford University Press, London, 1948.

Teorema 1. Dacă f și g sînt funcții continue și $f * g = \{0\}$, atunci cel puțin una din funcțiile f sau g este egală cu $\{0\}$. Deoarece funcția $a \neq \{0\}$, din rezultatul precedent $a * (z_1 - z_2) = \{0\}$, rezultă că $z_1 - z_2$ trebuie să fie identică cu funcția zero $\{0\}$. Dar aceasta contrazice faptul că z_1 și z_2 sînt distincte. Prin urmare soluția ecuației (2) este unică.

Dacă soluția lui (2) este o funcție continuă, atunci $b//a$ se identifică cu această funcție. Desigur este posibil să nu existe nici o funcție continuă care satisface (2), analog cu cazul în care $\alpha\zeta = \beta$ nu avea soluție întreagă; de exemplu dacă $b(0) \neq 0$, atunci soluția nu poate fi o funcție continuă¹⁾. Totuși, deoarece soluția este unică, putem extinde sensul termenului de „funcție” spunînd că $b//a$ este un element numit *cît de convoluție* care exprimă soluția unică. În acest fel, $b//a$ capătă sens.

Presupunem acum funcția $c \neq \{0\}$ și considerăm ecuația de convoluție.

$$c * 1 * z = c * b,$$

sau echivalent

(3)

$$c * (a * z - b) = \{0\}.$$

Conform Teoremei 1, $a * z - b = \{0\}$. Astfel (3) are soluție dacă și numai dacă (2) are soluție; în plus, o soluție a lui (2) este și o soluție a lui (3). Deoarece fiecare are o soluție unică și pentru că $b//a$ este soluția lui (2) și $c * b // c * a$ soluția lui (3), va trebui să avem $b//a = c * b // c * a$. Deci $b//a$ este soluția unică a lui (2) pînă la o echivalență $c * b // c * a$, unde $c \neq \{0\}$.

Vom spune că două cituri de convoluție sînt echivalente — adică, $b//a = d//c$ — dacă $b * c = a * d$. Mulțimea tuturor citurilor de convoluție echivalente unui cît de convoluție oarecare se numește clasă de echivalență; adică mulțimea citurilor de convoluție este împărțită în clase de echivalență în mod unic. Astfel, fiecare clasă de echivalență este identificată prin oricare din citurile de convoluție ce le conține. Așadar, tocmai această clasă de echivalență care conține $b//a$, trebuie privită ca soluție unică a ecuației $a * z = b$ și va fi numită *funcție generalizată*.

A. 1.2. ALGEBRA FUNCȚIILOR GENERALIZATE

Să notăm în mod temporar o funcție generalizată prin paranteze patrate puse în jurul oricărui cît de convoluție din clasa sa de echivalență; de exemplu, $[b//a]$. Prima relație ce trebuie stabilită este aceea de egalitate. Acest lucru îl vom face observînd că

$$\left[\frac{b}{a} \right] = \left[\frac{d}{c} \right] \text{ dacă și numai dacă } b * c = a * d \quad (4)$$

¹⁾ Se observă scriind explicit ecuația (2) și considerînd $t = 0$, (N.T.)

Aceasta este o consecință imediată a următoarelor afirmații : (1) Dacă $b*c=a*d$ atunci $b//a$ și $d//c$ sînt echivalente, deci determină aceeași clasă de echivalență. (2) Dacă $[b//a]=[d//c]$, atunci $b//a$ și $d//c$ aparțin aceleiași clase de echivalență, deci, $b*c=a*d$.

Vom defini acum adunarea a două funcții generalizate, convoluția a două funcții generalizate și produsul unei funcții generalizate cu un scalar, după cum urmează :

$$\left[\frac{b}{a} \right] + \left[\frac{d}{c} \right] = \left[\frac{b*c + a*d}{a*c} \right] \quad (5a)$$

$$\left[\frac{b}{a} \right] * \left[\frac{d}{c} \right] = \left[\frac{b * d}{a * c} \right] \quad (5b)$$

$$\alpha \left[\frac{b}{a} \right] = \left[\frac{\alpha b}{a} \right]. \quad (5c)$$

Trebuie să verificăm că funcțiile generalizate care se obțin în partea dreaptă a ecuațiilor anterioare, nu depind de alegerea reprezentanților din clasele de echivalență, adică de alegerea citurilor de convoluție particulare ce caracterizează fiecare din funcțiile generalizate din stînga ; presupunem de exemplu că $b//a=b'//a'$ și $d//c=d'//c'$; atunci

$$\left[\frac{b * d}{a * c} \right] = \left[\frac{b}{a} \right] * \left[\frac{d}{c} \right]$$

și

$$\left[\frac{b' * d'}{a' * c'} \right] = \left[\frac{b'}{a'} \right] * \left[\frac{d'}{c'} \right]$$

vor fi egale dacă $b*d*a'*c' = a*c*b'*d'$. Această egalitate este o consecință evidentă a egalităților $b*a' = a*b'$ și $d*c' = c*d'$, și a proprietății de comutativitate a produsului de convoluție. Așadar, datorită faptului că operațiile definite în (5) sînt independente de alegerea citurilor de convoluție particulare ce caracterizează funcția generalizată corespunzătoare, nu vom mai folosi paranteze pentru notarea funcției generalizate ci o vom nota cu $b//a$. Aceasta nu va produce nici o confuzie.

Avînd relația de egalitate stabilită în (4) și operațiile de bază definite în (5), este ușor de arătat că regulile obișnuite ale algebrei, date în (6) rămîn valabile. Verificarea acestui lucru o poate face cititorul.

$$\frac{b}{a} + \frac{d}{c} = \frac{d}{c} + \frac{b}{a} \quad (6a)$$

$$\frac{b}{a} + \left(\frac{d}{c} + \frac{f}{e} \right) = \left(\frac{b}{a} + \frac{d}{c} \right) + \frac{f}{e} \quad (6b)$$

$$\alpha \left(\frac{b}{a} + \frac{d}{c} \right) = \alpha \frac{b}{a} + \alpha \frac{d}{c} \quad (6c)$$

$$(\alpha + \beta) \frac{b}{a} = \alpha \frac{b}{a} + \beta \frac{b}{a} \quad (6d)$$

$$\alpha \left(\frac{b}{a} * \frac{d}{c} \right) = \left(\alpha \frac{b}{a} \right) * \frac{d}{c} = \frac{b}{a} * \left(\alpha \frac{d}{c} \right) \quad (6e)$$

$$(\alpha\beta) \frac{b}{a} = \alpha \left(\beta \frac{b}{a} \right) \quad (6f)$$

$$\frac{b}{a} * \frac{d}{c} = \frac{d}{c} * \frac{b}{a} \quad (6g)$$

$$\frac{b}{a} * \left(\frac{d}{c} * \frac{f}{e} \right) = \left(\frac{b}{a} * \frac{d}{c} \right) * \frac{f}{e} \quad (6h)$$

$$\left(\frac{b}{a} + \frac{d}{c} \right) * \frac{f}{e} = \frac{b}{a} * \frac{f}{e} + \frac{d}{c} * \frac{f}{e}. \quad (6i)$$

Regula de simplificare rămîne de asemenea valabilă; adică dacă $e \neq \{0\}$ și $f \neq \{0\}$, atunci

$$\frac{b}{a} * \frac{f}{e} = \frac{d}{c} * \frac{f}{e} \quad \text{dacă și numai dacă} \quad \frac{b}{a} = \frac{d}{c}. \quad (7)$$

Regula de simplificare se poate demonstra folosind Teorema 1.

În continuare observăm că dacă $a \neq \{0\}$, atunci $\{0\} // a$ este funcția generalizată „zero”, iar $a // a$ este funcția generalizată „unitate”. Acest lucru rezultă arătînd că amîndouă sînt unice și verificînd că

$$\frac{\{0\}}{a} + \frac{d}{c} = \frac{d}{c} \quad (8a)$$

$$\frac{\{0\}}{a} * \frac{d}{c} = \frac{\{0\}}{a} \quad (8b)$$

$$\frac{a}{a} * \frac{d}{c} = \frac{d}{c}. \quad (8c)$$

Lăsăm cititorului această sarcină.

Citlul de convoluție al funcțiilor generalizate

Împărțirea de convoluție pentru două funcții obișnuite a fost definită ca operația inversă produsului de convoluție. Este natural să ne întrebăm dacă o astfel de operație inversă poate fi definită și pentru funcțiile generalizate. Răspunsul îl vom găsi procedind în același mod ca la introducerea citlului de convoluție pentru două funcții obișnuite. Aceasta s-a făcut arătând că ecuația de convoluție (2) are o soluție unică. Analog, trebuie să arătăm că următoarea ecuație de convoluție a funcțiilor generalizate

$$\frac{b}{a} * \frac{x}{y} = \frac{d}{c}, \quad (9)$$

unde $b//a \neq \{0\} // a$, admite ca soluție unică o funcție generalizată. În mod evident, prin aplicarea lui (8c) în (9) rezultă că $x//y = a * d // b * c$ este o soluție a lui (9); deci trebuie să arătăm numai faptul că aceasta este unică. Fie $x'//y'$ o altă soluție. Atunci $(b//a) * (x'//y') = d//c$ combinată cu (9) ne va da $(b//a) * (x//y - x'//y') = \{0\} // a$ sau $x//y = x'//y'$, deoarece $b//a \neq \{0\} // a$. Astfel, $a * d // b * c$ este o funcție generalizată, soluția unică a lui (9).

Soluția ecuației (9) arată că citlul de convoluție al funcției generalizate $d//c$ prin funcția generalizată $b//a$, adică $(d//c) // (b//a)$ are următorul sens

$$\frac{(d//c)}{(b//a)} = \frac{a * d}{b * c}. \quad (10)$$

Reamintim că o convoluție repetată se notează cu un exponent scris cu literă groasă. Fie în mod arbitrar $(b//a)^0 = a//a$, funcția generalizată unitate. În continuare, vom nota citlul de convoluție al lui $a//a$ prin $(b//a)^n$ cu

$$\frac{(a//a)}{(b//a)^n} = (b//a)^{-n}. \quad (11)$$

Folosind (10) se arată ușor că $(b//a)^{-n} = (a//b)^n$

Având această bază se pot verifica ușor următoarele operații cu exponenți

$$\left(\frac{b}{a}\right)^m \left(\frac{b}{a}\right)^n = \left(\frac{b}{a}\right)^{m+n} \quad (12a)$$

$$\left(\left(\frac{b}{a}\right)^m\right)^n = \left(\frac{b}{a}\right)^{mn} \quad (12b)$$

$$\left(\frac{b}{a} * \frac{d}{c}\right)^n = \left(\left(\frac{b}{a}\right)^n\right) * \left(\left(\frac{d}{c}\right)^n\right), \quad (12c)$$

în care m și n sînt numere întregi pozitive, zero sau negative.

A.1.3. FUNCȚII GENERALIZATE PARTICULARE

Pentru cea mai mare parte a sistemelor dinamice, ecuațiile se referă la scalari, funcții avînd puncte ordinare — de obicei continue, continue pe porțiuni și local integrabile; se referă de asemenea la operatori — în mod obișnuit derivarea, integrarea, întirzierea. În acest paragraf și în cel următor vom arăta că toți acești scalari, funcții și operatori pot fi identificați ca funcții generalizate. În acest mod ecuațiile pentru un sistem dinamic vor avea sens ca ecuații asupra unei mulțimi de funcții generalizate.

Să începem cu mulțimea scalarilor. Această mulțime poate fi inclusă în mulțimea funcțiilor generalizate dacă sînt satisfăcute următoarele două condiții:

1. Există o corespondență biunivocă între mulțimea scalarilor și o submulțime a mulțimii funcțiilor generalizate.
2. Orice operație algebrică definită pe mulțimea de scalari are corespondentul său definit pe mulțimea funcțiilor generalizate.

Dacă a este o funcție continuă oarecare diferită de $\{0\}$, atunci funcția generalizată $\alpha a//a$ se află într-o corespondență unu la unu cu scalarul α ; Astfel, condiția 1 este satisfăcută. Relația este simbolic notată astfel

$$\alpha \Leftrightarrow \frac{\alpha a}{a}. \quad (13)$$

Verificarea condiției (2) este lăsată cititorului; totuși pentru a ilustra cum se face aceasta, vom verifica că adunarea scalarilor are corespondentul său în mulțimea operațiunilor definite asupra funcțiilor generalizate. Dacă $\alpha \Leftrightarrow \alpha a//a$ și $\beta \Leftrightarrow \beta a//a$ atunci

$$\alpha + \beta \Leftrightarrow \frac{(\alpha + \beta)a}{a} = (\alpha + \beta) \frac{a}{a} = \frac{\alpha a}{a} + \frac{\beta a}{a}.$$

S-au folosit în aceste egalități, relațiile (5c) și (6a)

În continuare considerăm mulțimea funcțiilor continue. Această mulțime poate fi de asemenea inclusă în mulțimea funcțiilor generalizate dacă se satisfac aceleași condiții 1) și 2) ca pentru scalari, înlocuind cuvîntul „scalar” prin „funcție continuă”. Pentru a verifica (1), fie a o funcție continuă oarecare diferită de $\{0\}$; atunci funcția continuă c se află în corespondență unu la unu cu funcția generalizată $c*a//a$; această relație se notează simbolic

$$c \Leftrightarrow \frac{c * a}{a}. \quad (14)$$

Vom lăsa verificarea condiției (2), cititorului; totuși vom arăta cum se face aceasta. Dacă $b \Leftrightarrow b * a / a$ și $c \Leftrightarrow c * a / a$, atunci

$$b * c \Leftrightarrow \frac{(b * c) * a}{a} = \frac{b * a * c * a}{a * a} = \frac{b * a}{a} * \frac{c * a}{a}.$$

Pentru scrierea egalităților de mai sus s-au folosit relațiile (5b) și (8c).

Aceste includeri dau justificarea faptului că putem schimba între ei a și aa/a și în mod analog c și ca/a . În plus, identificarea lui c cu ca/a ne permite a atribui lui ca/a o valoare la timpul t . În general acest lucru nu este posibil; o funcție generalizată este o entitate pentru care valoarea la momentul t nu are sens. Vom arăta mai târziu că anumite funcții generalizate, altele decât acele identificate cu funcțiile continue, pot primi o valoare în momentul t .

Exemple de funcții continue

O funcție des utilizată este funcția constantă $\{1\}$ pe care o vom nota cu u , adică

$$u = \{1\}. \quad (15)$$

Aceasta este bine cunoscuta funcție treaptă unitate a cărei valoare este 1 pentru $t \geq 0$. Convoluția repetată a lui u cu ea însăși va da naștere unei mulțimi de funcții des întâlnite. Astfel

$$u^2 = u * u = \left\{ \frac{t}{1} \right\}$$

$$u^3 = u * u^2 = \left\{ \frac{t^2}{1 \cdot 2} \right\}$$

$$u^4 = u * u^3 = \left\{ \frac{t^3}{1 \cdot 2 \cdot 3} \right\}$$

.....

$$u^{n+1} = u * u^n = \left\{ \frac{t^n}{n!} \right\},$$

(16)

după cum se poate verifica efectuând convoluțiile de mai sus. Funcția generalizată identificată cu funcția continuă u^n poate fi exprimată ca $u^n * a // a$, unde $a \neq \{0\}$. Punind $a = u$ obținem rezultatul interesant

$$u^n \Leftrightarrow \frac{u^{n+1}}{u}. \quad (17)$$

Multe alte funcții continue întâlnite în mod obișnuit în analiză pot fi identificate cu funcții generalizate, fiecare fiind exprimată ca un cît de convoluție al unor polinoame în u ; de exemplu

$$\{\varepsilon^{-at}\} \Leftrightarrow \frac{\{\varepsilon^{-at}\} * u}{u} = \frac{u^2}{u + au^2} \quad (18a)$$

$$\{\sin \omega t\} \Leftrightarrow \frac{\{\sin \omega t\} * u}{u} = \frac{\omega u^3}{u + \omega^2 u^3} \quad (18b)$$

$$\{\cos \omega t\} \Leftrightarrow \frac{\{\cos \omega t\} * u}{u} = \frac{u^2}{u + \omega^2 u^3}. \quad (18c)$$

Fiecare din aceste egalități poate fi verificată conform relației generale de egalitate (4). De exemplu, considerăm (18b). Cele două expresii sînt egale dacă și numai dacă

$$\{\sin \omega t\} * (u^3 + \omega^2 u^4) = \omega u^4.$$

Conform Teoremei 1, u poate fi simplificat. Deci va trebui să verificăm

$$\{\sin \omega t\} * (u + \omega^2 u^3) = \omega u^3,$$

sau echivalent

$$\int_0^t \sin \omega(t-\tau) \left[1 + \frac{\omega^2}{2} \tau^2 \right] d\tau = \frac{\omega}{2} t^2. \quad (19)$$

Cititorul poate verifica această relație integrală, verificînd astfel relația (18b). Corespondența biunivocă între funcții continue și anumite funcții generalizate ca cele date în (18), este utilă pentru rezolvarea aumitor ecuații de convoluție. De exemplu considerăm

$$(u + \omega^2 u^3) * z = u^2.$$

Funcția generalizată soluție este

$$z = \frac{u^2}{u + \omega^2 u^3}.$$

Dar din (18c) știm că aceasta este aceeași cu funcția continuă $\{\cos \omega t\}$.

Funcții local integrabile

O clasă de funcții care are o comportare „mai puțin bună” decât funcțiile continue este clasa funcțiilor local integrabile. Prin funcție local integrabilă înțelegem o funcție care 1) este continuă cu excepția unui număr finit de puncte în orice interval finit și 2) admite o integrală Riemann proprie și absolut convergentă în orice interval finit în interiorul căruia funcția este continuă. În aceste condiții, integrala pe intervalul $0 \leq t \leq \hat{t}$ pentru orice $\hat{t} > 0$, este definită ca sumă a integralelor Riemann efectuate pe subintervalele în interiorul cărora funcția este continuă. Este interesant să observăm că produsul de convoluție a două funcții local integrabile este o funcție local integrabilă iar produsul de convoluție al unei funcții local integrabile cu una continuă este o funcție continuă.

Este clar din definiția unei funcții local integrabile că două astfel de funcții vor avea aceeași integrală pe intervalul $0 \leq t \leq \hat{t}$ pentru orice $\hat{t} > 0$, dacă ele diferă numai într-un număr finit de puncte în orice interval finit sau, echivalent, dacă au aceeași valoare în punctele de continuitate. Vom urma practica obișnuită de a privi aceste două funcții ca fiind echivalente.

Să vedem dacă funcțiile integrabile local pot fi identificate cu anumite funcții generalizate. Această mulțime poate fi inclusă în mulțimea funcțiilor generalizate dacă se satisfac aceleași două condiții anterioare. Cuvântul „scalar” va fi înlocuit desigur cu cuvântul „local integrabilă”. Pentru a vedea dacă condițiile sînt satisfăcute, observăm că dacă a este o funcție continuă oarecare diferită de $\{0\}$ iar b este o funcție local integrabilă, atunci funcția generalizată $b * a / a$ corespunde biunivoc cu b ; astfel condiția 1) este satisfăcută.

Această relație se exprimă simbolic astfel

$$b \Leftrightarrow \frac{b * a}{a}, \quad (20)$$

care este de același tip cu relația (14) pentru funcțiile continue. Lăsăm cititorului verificarea condiției 2).

Mulțimea funcțiilor local integrabile conține în mod evident mulțimea funcțiilor continue. Mai semnificativ este faptul că ea conține de asemenea

și mulțimea funcțiilor *continue pe porțiuni*. Observăm că orice funcție continuă pe porțiuni poate fi exprimată ca suma unor funcții continue și a unei sume ponderate de funcții treaptă deplasate¹⁾. Funcția treaptă deplasată notată cu u_α este definită astfel

$$u_\alpha = \{u_\alpha(t)\}, \quad (21)$$

unde

$$u_\alpha(t) = 0 \quad (0 \leq t < \alpha)$$

$$= 1 \quad (\alpha \leq t).$$

Funcția generalizată identificată cu u_α este desigur $u * a / a$. Vom considera din nou această funcție generalizată, în paragraful următor.

Până acum o literă cursivă mică a desemnat o funcție în general local integrabilă. Dar există o corespondență biunivocă între mulțimea acestor funcții și o submulțime a funcțiilor generalizate. Deci este posibil a nota funcțiile generalizate cu o literă mică cursivă. Astfel dacă b este o funcție local integrabilă, funcția generalizată corespunzătoare va fi $b * a / a$. Pentru comoditate, de acum înainte, vom nota această funcție generalizată pur și simplu cu b . Acest lucru nu va produce dificultăți, deoarece fiecare operație asupra funcțiilor obișnuite incluzând operația împărțirii de convoluție își are corespondent în mulțimea operațiilor diferite pe funcții generalizate.

În afară de simplificarea notației, noua notație poate da mai mult sens relațiilor. De exemplu u^n în membrul sting al lui (17) era o funcție ordinară. Cu noua notație ea poate fi privită ca funcție generalizată, și (17) devine

$$u^n = \frac{u^{n+1}}{u}. \quad (22)$$

Deși cînd s-a introdus pentru prima dată în (17), n era un întreg pozitiv, putem acum lua $n=0$ și găsim

$$u^0 = \frac{u}{u}. \quad (23)$$

Semnificația acestei relații o vom discuta în paragraful următor.

¹⁾ Această afirmație este ușor de verificat cu condiția să se țină seama de echivalența a două funcții local integrabile.

În lumina celor de mai sus, relațiile (18) pot fi înlocuite cu

$$\{\varepsilon^{-\alpha t}\} \Leftrightarrow \frac{u}{u^0 + \alpha u} \quad (24a)$$

$$\{\sin \omega t\} \Leftrightarrow \frac{\omega u^2}{u^0 + \omega^2 u^2} \quad (24b)$$

$$\{\cos \omega t\} \Leftrightarrow \frac{u}{u^0 + \omega^2 u^2}. \quad (24c)$$

Vom dicuta una din acestea și vom lăsa cititorului examinarea celorlalte. Considerăm (24c). Aceasta este funcția generalizată soluție a ecuației de convoluție

$$(u^0 + \omega^2 u^2) * z = u. \quad (25)$$

În această ecuație există un termen deosebit, $u^0 * z$. Din (23) observăm că $u^0 * z$ este mai precis $u * z / u$. Dar dacă z este o funcție continuă sau local integrabilă, $u * z \beta / u$ este conform lui (14) sau (20), chiar $z^{(1)}$. Având în vedere acest lucru, ecuația de convoluție definită pe mulțimea funcțiilor continue sau local integrabile, corespunzătoare lui (25) este

$$z(t) + \omega^2 \int_0^t (t - \tau) z(\tau) d\tau = 1. \quad (26)$$

Din (24c) știm că $z(t) = \cos \omega t$ este soluția lui (26). Celelalte relații din (24) pot fi examinate într-o manieră similară.

A.1.4. FUNCȚIILE GENERALIZATE CA OPERATORI

Am discutat pînă acum relațiile între diverse funcții și funcțiile generalizate. În continuare ne vom ocupa de operatorii de derivare și integrare și vom discuta relațiile în care se află cu funcțiile generalizate.

Considerăm din nou funcția u . Produsul de convoluție al acesteia cu funcția a este

$$u * a = \left\{ \int_0^t a(\tau) d\tau \right\}. \quad (27)$$

¹⁾ A se observa că acesta este același rezultat cu cel obținut atunci cînd se face convoluția unei funcții impuls cu z . Vom discuta identificarea lui u^0 cu funcția impuls unitate în paragraful următor.

Astfel, în afară de faptul că poate fi privită ca funcție continuă $\{1\}$, u poate fi considerată ca un operator integral. Analog, u^{n+1} pentru n pozitiv, care este conform celor menționate anterior $t^n/n!$, poate fi privită ca un operator de integrare aplicat de $n+1$ ori. Ca o ilustrare a acestei interpretări a lui u^{n+1} ca operator de integrare, observăm că aceasta indică faptul că ecuația integrală corespunzătoare lui (25), în spațiul funcțiilor continue sau local integrabile este

$$z(t) + \omega^2 \int_0^t \int_0^\tau z(\nu) d\nu d\tau = 1. \quad (28)$$

Observăm că (28) are aceeași soluție, $z(t) = \cos \omega t$ ca ecuația de convoluție (26) ce corespunde lui (25).

Înainte de a merge mai departe, să folosim interpretarea lui u^n ca o integrare de n ori, pentru a atribui o valoare unei funcții generalizate la timpul t . Fie a o funcție generalizată arbitrară. Presupunem că $u^n * a$ se află în corespondență unu la unu cu funcția ordinară b , care admite derivată de ordin n pentru $\tau_1 < t < \tau_2$. Atunci, pentru $\tau_1 < t < \tau_2$ vom atribui valoarea $b^{(n)}(t)$ lui a la timpul t . Valoarea atribuită lui a în acest mod este unică ¹⁾.

Ca un exemplu fie $a = u^0$ și să determinăm o valoare ce o vom atribui pentru această funcție. Dar $u * u^0 = u^2/u$ este conform lui (14) aceeași cu funcția continuă u , care este derivabilă pentru $t > 0$. Deoarece $du(t)/dt = 0$ pentru $t > 0$, atribuim valoarea zero lui u^0 pentru $t > 0$.

Să dăm acum o interpretare lui u^n pentru n negativ. Astfel spus, vom examina u^{-n} pentru n pozitiv. Pentru ușurință vom nota $p^n = u^{-n}$. Presupunem apoi că a este o funcție care este derivabilă de $n-1$ ori având derivatele continue iar derivata n -a, fiind o funcție local integrabilă. Atunci

$$p^n * a = a^{(n)} + a^{(n-1)}(0) p^0 + a^{(n-2)}(0) p + \dots + a(0) p^{n-1}, \quad (29)$$

în care $a^{(k)}$ este derivata de ordin k a lui a în raport cu t . Această relație se stabilește ușor prin inducție. Vom începe aici demonstrația, lăsând terminarea ei cititorului. Fie $n=1$ atunci (29) devine

$$p * a = a^{(1)} + a(0) p^0,$$

care într-o notație mai precisă este

$$\frac{u}{u * u} * \frac{a * u}{u} = \frac{a^{(1)} * u}{u} + \frac{a(0) u}{u}.$$

¹⁾ Unicitatea este stabilită prin Teorema 6 în *Operational Calculus and Generalized Functions*, Arthur Erdelyi, Holt Rinehart & Winston, New York, 1962.

Conform relațiilor (5), (6), (8) ecuația devine

$$\frac{u * a}{u * u} = \frac{a^{(1)} * u + a(0) u}{u}.$$

Dacă aceasta este o relație valabilă, atunci din (4), rezultă

$$u * u * a = u * u * u * a^{(1)} + a(0) u * u * u,$$

sau echivalent

$$u * u * u * a^{(1)} = u * u * (a - a(0)u).$$

Conform Teoremei 1, aceasta devine

$$u * a^{(1)} = a - a(0)u,$$

sau

$$\int_0^t a^{(1)}(\tau) d\tau = a(t) - a(0),$$

care este adevărată dacă $a^{(1)}$ este integrabilă local. Astfel (29) este adevărată pentru $n=1$; demonstrația se completează prin inducție.

Dacă a este derivabilă de n ori iar $a(0) = a^{(1)}(0) = \dots = a^{(n-1)}(0) = 0$, atunci (29) arată că funcția generalizată $p^n * a$ se află în corespondență unu la unu cu funcția $a^{(n)}$.

Deci funcția generalizată p^n trebuie privită ca un operator diferențial. Dacă a nu este derivabilă de un număr suficient de ori, sau dacă una sau mai multe din $a^{(k)}(0)$, $k=1, \dots, n-1$, nu sînt zero, atunci $p^n * a$ nu se află în corespondență biunivocă cu funcția ordinară. În acest caz $p^n * a$ există numai ca funcția generalizată; vom numi $p^n * a$, derivata generalizată a $n-a$ a lui a .

Să aplicăm unele din rezultatele de mai sus în cazul unui exemplu. Ecuația diferențială ordinară

$$\frac{d}{dt} z(t) + \alpha z(t) = 0 \quad (30)$$

își are corespondentul în mulțimea funcțiilor generalizate

$$p * z - z(0)p^\bullet + \alpha p^\bullet * z = 0.$$

Pentru $z(0)=2$, funcția generalizată soluție este

$$z = 2 \frac{p^\bullet}{p + \alpha p^\bullet}. \quad (31)$$

Reamintind că $p = u^{-1}$ și că $p^0 = u^0$ obținem

$$z = 2 \frac{u}{u^0 + \alpha u},$$

care conform lui (24a) este aceeași cu $2 \{\epsilon^{-\alpha t}\}$. Aceasta concordă cu faptul că soluția ecuației diferențiale (30) este $2 \{\epsilon^{-\alpha t}\}$ pentru $z(0)=2$, fapt cunoscut din teoria ecuațiilor diferențiale.

Pentru găsirea funcției ordinare care se află în corespondență unu la unu cu funcția generalizată din (31), a fost utilă relația (24a). Pentru rezolvarea altor ecuații diferențiale, care vor fi considerate în paragraful următor va fi util a avea relații între funcții generalizate exprimate în raport cu p și funcțiile ordinare corespunzătoare.

Aceste relații sint arătate în Tabelul A.1.1.

Tabelul A.1.1.

Funcția ordinară — Funcția generalizată (Perechi)

Funcția ordinară	Funcția generalizată	Funcția ordinară	Funcția generalizată
$\{1\}$	$\frac{p^0}{p}$	$\{\sin \omega t\}$	$\frac{\omega p^0}{p^2 + \omega^2 p^0}$
$\{t\}$	$\frac{p^0}{p^2}$	$\{\cos \omega t\}$	$\frac{p}{p^2 + \omega^2 p^0}$
$\left\{\frac{t^2}{2}\right\}$	$\frac{p^0}{p^3}$	$\{\epsilon^{-\alpha t} \sin \omega t\}$	$\frac{\omega p^0}{(p + \alpha p^0)^2 + \omega^2 p^0}$
$\left\{\frac{t^n}{n!}\right\}$	$\frac{p^0}{p^{n+1}}$	$\{\epsilon^{-\alpha t} \cos \omega t\}$	$\frac{p + \alpha p^0}{(p + \alpha p^0)^2 + \omega^2 p^0}$
$\{\epsilon^{-\alpha t}\}$	$\frac{p^0}{p + \alpha p^0}$	$\{t \epsilon^{-\alpha t} \sin \omega t\}$	$\frac{2\omega(p + \alpha p^0)}{[(p + \alpha p^0)^2 + \omega^2 p^0]^2}$
$\{t \epsilon^{-\alpha t}\}$	$\frac{p^0}{(p + \alpha p^0)^2}$	$\{t \epsilon^{-\alpha t} \cos \omega t\}$	$\frac{(p + \alpha p^0)^2 - \omega^2 p^0}{[(p + \alpha p^0)^2 + \omega^2 p^0]^2}$
$\left\{\frac{t^n \epsilon^{-\alpha t}}{n!}\right\}$	$\frac{p^0}{(p + \alpha p^0)^{n+1}}$		

Funcția impuls unitate

Cea mai mare parte a paragrafelor precedente a fost consacrată funcțiilor generalizate care sînt în corespondență unu la unu cu funcții ordinare sau cu proprietăți ale operatorilor definiți asupra funcțiilor ordinare. Vom considera acum relația funcțiilor generalizate cu funcția impuls și derivatele sale. Vom arăta că $p^\circ = u^\circ$ este în mod potrivit interpretată ca funcție impuls. Pentru a verifica acest lucru, fie a o funcție continuă, atunci

$$a = \frac{a * u}{u} = a * p^\circ. \quad (32)$$

Dacă, urmînd obiceiul, vom nota cu δ o funcție simbolică ce corespunde cu p° , atunci (32) este echivalentă în sens formal cu următoarele :

$$a(t) = \int_0^t a(\tau) \delta(t - \tau) d\tau. \quad (33)$$

Aceasta este ceea ce se numește *proprietatea de filtrare sau selecție* a funcției impuls unitate δ .

Funcția generalizată p este în mod adecvat interpretată ca prima derivată a funcției impuls. Pentru a arăta aceasta, presupunem că funcția a are o derivată de ordinul întâi continuă. Atunci folosind (29) avem

$$p * a = a^{(1)} + a(0) p^\circ. \quad (34)$$

Dacă $a(0) \neq 0$, $p * a$ este o funcție generalizată care nu se află în corespondență unu la unu cu o funcție ordinară. Totuși, după cum s-a arătat anterior, lui p° i se poate atribui valoarea 0 pentru orice $t > 0$. Acest lucru este util. Deoarece p este derivata generalizată de ordinul întâi al lui p° , care a fost interpretat ca funcție impuls unitate, fie $\delta^{(1)}$ notația pentru o funcție simbolică ce corespunde lui p ; atunci pentru $t > 0$, (34) este echivalent în sens formal cu

$$a^{(1)}(t) = \int_0^t a(\tau) \delta^{(1)}(t - \tau) d\tau. \quad (35)$$

Putem continua în acest mod și să interpretăm p^n ca derivata de ordin n a funcției impuls unitate. Justificarea în detaliu a acestui fapt este lăsată pentru cititor.

Considerăm acum funcția generalizată $p * u_\alpha$ ca un operator, unde u_α este treapta deplasată dată în (21). Presupunem că funcția generalizată a este de asemenea o funcție continuă; atunci

$$\begin{aligned} p * u_\alpha * a &= p * \left\{ \int_0^t u_\alpha(t - \tau) a(\tau) d\tau \right\} \\ &= p * \left\{ \begin{array}{ll} 0 & (0 \leq t < \alpha) \\ \int_0^{t-\alpha} a(\tau) d\tau & (\alpha \leq t) \end{array} \right\}. \end{aligned}$$

Aplicînd (34), obținem din această relație

$$p * u_\alpha * a = \begin{cases} 0 & (0 \leq t < \alpha) \\ a(t - \alpha) & (\alpha < t) \end{cases}. \quad (36)$$

Astfel funcția generalizată $p * u_\alpha$ are proprietatea unui operator de deplasare sau întârziere. Această proprietate face ca $p * u_\alpha$ să fie folositoare pentru rezolvarea ecuațiilor cu diferențe finite. Deoarece în această lucrare nu se folosesc aceste ecuații, nu vom continua dezvoltarea altor considerații pentru $p * u_\alpha$.

A.1.5. ECUAȚII INTEGRODIFERENȚIALE

În studiul rețelelor liniare invariante în timp, cu parametri concentrați, subiect de bază al acestei lucrări, ecuațiile dinamice întîlnite sînt ecuații integrodiferențiale. (În formularea prin ecuații de stare ele sînt ecuații diferențiale pure). Aceste ecuații considerate ca ecuații asupra mulțimii funcțiilor generalizate, au ca soluții funcții generalizate. Este de dorit, atunci cînd este posibil, să identificăm aceste funcții generalizate cu funcții ordinare. Vom arăta cum se face acest lucru extinzînd conceptul de dezvoltare în fracții parțiale la funcțiile generalizate.

Soluția funcție generalizată a unei ecuații integrodiferențiale liniare se poate exprima ca suma: 1) a unui cît de convoluție al unor polinoame în p și 2) a unui cît de convoluție al unor polinoame în p , în produs de convoluție cu o altă funcție generalizată. Ca exemplu, fie ecuația

$$\frac{dz(t)}{dt} + 3z(t) + 2 \int_0^t z(\tau) d\tau + 1 = 2\varepsilon^{-t}, \quad (37)$$

cu $z(0) = -1$. Ecuația corespunzătoare pe mulțimea funcțiilor generalizate este

$$p * z + p^0 + 3p^0 * z + 2p^{-1} * z + p^0 = \{2\varepsilon^{-1}\} * p^0.$$

Funcția generalizată soluție pentru z este

$$z = \frac{-2p^0}{p + 3p^0 + 2p^{-1}} + \frac{p^0}{p + 3p^0 + 2p^{-1}} * \{2\varepsilon^{-1}\},$$

sau echivalent

$$z = \frac{-2p}{p^2 + 3p + 2p^0} + \frac{p}{p^2 + 3p + 2p^0} * \{2\varepsilon^{-1}\}. \quad (38)$$

Evident, dacă putem identifica $p/(p^2 + 3p + 2p^0)$ cu o funcție ordinară, atunci z va putea fi de asemenea identificat cu o funcție ordinară.

În cazul general pe care îl vom lăsa cititorului spre verificare, soluția unei ecuații integrodiferențiale liniare se exprimă după cum urmează:

$$z = \frac{\alpha_n p^n + \alpha_{n-1} p^{n-1} + \dots + \alpha_0 p^0}{p^n + \gamma_{n-1} p^{n-1} + \dots + \gamma_0 p^0} + \frac{\beta_1 p^1 + \beta_{1-1} p^{1-1} + \dots + \beta_0 p^0}{p^n + \gamma_{n-1} p^{n-1} + \dots + \gamma_0 p^0} * f. \quad (39)$$

Dacă fiecare din aceste cituri de convoluție poate fi identificat cu o funcție ordinară și dacă funcția generalizată f este de asemenea o funcție ordinară, atunci funcția generalizată soluție z va fi o funcție ordinară.

Deoarece ambele cituri de convoluție în (39) sînt de aceeași formă, vom examina numai pe cel de al doilea:

$$\frac{\beta_1 p^1 + \beta_{1-1} p^{1-1} + \dots + \beta_0 p^0}{p^n + \gamma_{n-1} p^{n-1} + \dots + \gamma_0 p^0}.$$

În eventualitatea $1 > n$, este ușor de verificat că există niște scalari $\xi_0 \dots \xi_{1-n}$

și v_0, \dots, v_{n-1} există astfel încît

$$\frac{\beta_1 p^1 + \dots + \beta_0 p^0}{p^n + \dots + \gamma_0 p^0} = \xi_{1-n} p^{1-n} + \dots + \xi_0 p^0 + \frac{v_{n-1} p^{n-1} + \dots + v_0 p^0}{p^n + \dots + \gamma_0 p^0}. \quad (40)$$

Numitorul $p^n + \dots + \gamma_0 p^0$ se poate descompune în factori

$$p^n + \dots + \gamma_0 p^0 = (p + \lambda_1 p^0) \dots (p + \lambda_n p^0), \quad (41)$$

unde λ_i sînt zerourile lui $\lambda^n + \nu_{n-1} \lambda^{n-1} + \dots + \nu_0 \lambda^0$. Acest lucru se poate verifica conform lui (4) după ce am notat $p = u/u^2$ și $p^0 = u/u$. Astfel

$$\frac{\nu_{n-1} p^{n-1} + \dots + \nu_0 p^0}{p^n + \dots + \gamma_0 p^0} = \frac{\nu_{n-1} p^{n-1} + \dots + \nu_0 p^0}{(p + \lambda_1 p^0) \dots (p + \lambda_n p^0)}. \quad (42)$$

Presupunem că λ_i sînt distincți; membrul drept se poate atunci exprima ca o sumă de cituri de convoluție. Astfel,

$$\frac{\nu_{n-1} p^{n-1} + \dots + \nu_0 p^0}{(p + \lambda_1 p^0) \dots (p + \lambda_n p^0)} = \frac{\mu_1 p^0}{p + \lambda_1 p^0} + \dots + \frac{\mu_n p^0}{p + \lambda_n p^0}, \quad (43)$$

unde

$$\mu_i = \left[(\lambda - \lambda_i) \frac{\nu_{n-1} \lambda^{n-1} + \dots + \nu_0}{\lambda^n + \dots + \gamma_0} \right]_{\lambda=\lambda_i}. \quad (44)$$

Membrul drept al lui (43) este dezvoltarea în funcții parțiale a membrului stîng atunci cînd λ_i sînt valori distincte. Relația (44) se poate verifica de către cititor. Dacă λ_i nu sînt distincte dezvoltarea în fracții parțiale este mai complicată și notația mai incomodă. Cu toate acestea ea este analoagă intrutotul cu cazul variabilelor obișnuite. Nu vom considera însă, acest caz în detaliu. Pentru a completa cazul în care λ_i sînt distincte, vom substitui (43) în (42) și rezultatul în (40). Se obține :

$$\begin{aligned} \frac{\beta_l p^l + \dots + \beta_0 p^0}{p^n + \dots + \gamma_0 p^0} &= \xi_{l-n} p^{l-n} + \dots + \zeta_0 p^0 \\ &+ \frac{\mu_1 p^0}{p + \lambda_1 p^0} + \dots + \frac{\mu_n p^0}{p + \lambda_n p^0}. \end{aligned} \quad (45)$$

Vom numi citul de convoluție din stînga *cît de convoluție rațional în p* și vom spune că el este propriu dacă $l < n$ sau, echivalent, dacă $\xi_0 = \dots = \xi_{1-n} = 0$.

Fiecare din termenii $\mu_i p^0 / (p + \lambda_i p^0)$ din (45) se află în corespondență biunivocă cu o funcție continuă așa cum se vede din Tabelul A.1.1.: $\mu_i p^0 / (p + \lambda_i p^0) \Leftrightarrow \{\mu_i e^{-\lambda_i t}\}$ și fiecăruia dintre termenii $\xi_i p^l$ i se poate atribui valoarea zero pentru $t > 0$. Astfel, putem face următoarea afirmație despre funcția generalizată z din (39) :

1. Dacă $m < n$, $l < n$ și f este o funcție local integrabilă, atunci z este o funcție continuă.

2. Dacă $m \geq n$, $l < n$ și f este o funcție local integrabilă, atunci lui z i se poate atribui o valoare pentru $t > 0$.

3. Dacă $m < n$, $l \geq n$ și f are derivata de ordin $(l-n)$ continuă, atunci lui z i se poate atribui o valoare pentru $t > 0$.

4. Dacă $m \geq n$, $l \geq n$ și f are derivata de ordin $(l-n)$ continuă, atunci lui z i se poate atribui o valoare pentru $t > 0$.

Pentru a exemplifica (45), considerăm cazul particular al lui z dat de (38). Avem

$$\begin{aligned} \frac{p}{p^3 + 3p + 2p^0} &= \frac{p}{(p + p^0)(p + 2p^0)} = \frac{-p^0}{p + p^0} + \frac{2p^0}{p + 2p^0} = \\ &= \{-\epsilon^{-t}\} + \{2\epsilon^{-2t}\}. \end{aligned}$$

Rîndul de jos din relația anterioară se obține din Tabelul A.1.1. Substituind acest rezultat în (38) obținem

$$z(t) = 2\epsilon^{-t} - 4\epsilon^{2t} + \int_0^t [-\epsilon^{-(t-\tau)} + 2\epsilon^{-2(t-\tau)}] 2\epsilon^{-\tau} d\tau$$

ca soluție pentru (38).

A.1.6. TRANSFORMATĂ LAPLACE A UNEI FUNCȚII GENERALIZATE

În analiza rețelor liniare invariante în timp, se utilizează frecvent metoda transformatei Laplace și pentru a aplica această transformare se introduce transformata Laplace a funcției impuls unitate și a derivatelor sale. Pentru a justifica acest lucru trebuie să se extindă definiția transformatei Laplace astfel încât să se includă și funcțiile generalizate, sau cel puțin, funcțiile generalizate particulare p^n , $n \geq 0$, care sînt asociate cu funcția impuls și derivatele sale.

Transformata Laplace a unei submulțimi mari de funcții generalizate se poate defini cu ajutorul unei teoreme a lui Krabbe¹⁾. Înainte de enunțarea acestei teoreme folositoare trebuie să definim mai multe mulțimi

¹⁾ G. Krabbe „Ratios of Laplace Transforms, Mikusinski Operational Calculus” *Math. Annalen*, vol. 162 pag. 237–245. Acest articol este retipărit în *Contributions to Functional Analysis*, Springer Verlag, New York, 1966.

de funcții. Fie \mathcal{M} mulțimea tuturor funcțiilor de variabilă complexă s care sînt regulate (olomorfe) cu excepția unui număr finit de poli în semiplanul drept dat de $\operatorname{Re}(s) > \operatorname{Re}(\delta)$ pentru anumite valori ale lui s . Fie $\hat{\mathcal{M}}$ submulțimea funcțiilor din \mathcal{M} , avînd proprietatea că fiecare din ele este egală într-un anumit semiplan drept cu raportul a două funcții mărginite și regulate în acel semiplan drept, de exemplu, $1/(s+2)$ și $(s+1)/(s+3)$ sînt funcții de s mărginite, regulate pentru $\operatorname{Re}(s) > -2$; raportul lor $[1/(s+2)]/[1/(s+1)(s+3)] = (s+3)/(s+2)(s+1)$ este o funcție regulată pentru $\operatorname{Re}(s) > -2$, cu excepția polului $s = -1$. Astfel, funcția $(s+3)/(s+1)(s+2)$ aparține lui $\hat{\mathcal{M}}$. Vom nota \mathcal{G} , mulțimea tuturor funcțiilor c astfel încît să existe pentru o anumită valoare $s = \delta$,

$$\mathcal{L}\{c\} = \left\{ \int_0^{\infty} c(t) \varepsilon^{-st} dt \right\}. \quad (46)$$

Atunci $\mathcal{L}\{c\}$ este regulată în semiplanul drept $\operatorname{Re}(s) > \operatorname{Re}(\delta)$. În sfîrșit vom nota cu $\hat{\mathcal{G}}$ o submulțime a mulțimii funcțiilor generalizate $b//a$ astfel încît a și b să fie funcții în $\hat{\mathcal{G}}$ iar $\mathcal{L}\{b\}/\mathcal{L}\{a\}$ să fie o funcție în $\hat{\mathcal{M}}$. Cu aceste definiții, teorema lui Krabbe se enunță astfel:

Teorema 2. *Există o aplicație bijectivă notată $\hat{\mathcal{L}}^{-1}$, a mulțimii funcțiilor $\hat{\mathcal{M}}$ pe mulțimea funcțiilor generalizate $\hat{\mathcal{G}}$. Aplicația $\hat{\mathcal{L}}^{-1}$ posedă o inversă $\hat{\mathcal{L}}$ care este liniară și satisface*

$$\hat{\mathcal{L}}\{g_1 * g_2\} = \hat{\mathcal{L}}\{g_1\} \hat{\mathcal{L}}\{g_2\}. \quad (47)$$

unde g_1 și g_2 sînt două funcții generalizate din $\hat{\mathcal{G}}$. În plus, dacă $a//b$ este o funcție generalizată în $\hat{\mathcal{G}}$ atunci

$$\hat{\mathcal{L}}\{b//a\} = \mathcal{L}\{b\}/\mathcal{L}\{a\}. \quad (48)$$

Considerăm acum o mulțime $\hat{\mathcal{F}}$ de funcții local integrabile b astfel încît

$$\mathcal{L}\{b\} = \left\{ \int_0^{\infty} b(t) \varepsilon^{-st} dt \right\}$$

să existe pentru o anumită valoare $s = \delta$.

Considerăm apoi funcția generalizată $u * b // u$ identificată cu b .
Funcția

$$u * b = \left\{ \int_0^t b(\tau) d\tau \right\}$$

este continuă și transformata Laplace a sa există pentru $s = \hat{s}$, deoarece b aparține lui $\hat{\mathcal{F}}$. Deci $u * b$ aparține lui $\hat{\mathcal{G}}$. În plus, $\mathcal{L}\{u * b\} = L\{b\}/s$ este mărginită și regulată într-un anumit semiplan drept iar $\mathcal{L}\{u\} = 1/s$ este mărginită și regulată în semiplanul drept dat de $\text{Re}(s) > \varepsilon$ pentru orice $\varepsilon > 0$. Astfel $u * b // u$ aparține lui $\hat{\mathcal{G}}$. Așadar

$$\hat{\mathcal{L}} \left\{ \frac{u * b}{u} \right\} = \frac{\mathcal{L}\{u * b\}}{\mathcal{L}\{u\}} = \mathcal{L}\{b\}. \quad (49)$$

Aceasta arată că transformarea $\hat{\mathcal{L}}$, a unei funcții generalizate într-o funcție de variabilă complexă s , coincide cu transformarea Laplace, dacă funcția generalizată este de asemenea transformabilă Laplace și local integrabilă.

Astfel, transformarea $\hat{\mathcal{L}}$ este o extensie a transformării Laplace \mathcal{L} . Aceasta fiind situația nu va rezulta nici o confuzie dacă de aici înainte vom omite notația corcumflexă din $\hat{\mathcal{L}}$.

Să ne îndreptăm atenția spre funcția generalizată $p^n = u // u^{n+1}$. Deoarece u și u^{n+1} aparțin amândouă lui $\hat{\mathcal{G}}$ și deoarece $\mathcal{L}\{u\} = 1/s$ iar $\mathcal{L}\{u^{n+1}\} = 1/s^{n+1}$ aparțin lui M , $\mathcal{L}\{p^n\}$ există. Din (48) rezultă

$$\mathcal{L}\{p^n\} = s^n. \quad (50)$$

Reamintim că p^n este funcția generalizată asociată cu $\delta^{(n)}$, derivata a n -a a funcției impuls unitate. Transformata Laplace a lui $\delta^{(n)}$ în cărți sau aplicații asupra teoriei transformatei Laplace este dată ca fiind s^n ; (50) concordă cu notația că $\mathcal{L}\{\delta^{(n)}\} = s^n$.

Nu vom merge mai departe cu considerațiile asupra transformatei Laplace a unei funcții generalizate. Este suficient faptul că ea reprezintă o extensie a transformatei Laplace obișnuite și concordă cu transformata Laplace euristică a funcției impuls unitate și a derivatelor sale.

ANEXA 2

Teoria funcțiilor de o variabilă complexă

Scopul acestei anexe referitoare la funcții de o variabilă complexă este dublu. În primul rând ea va servi acelor care sînt familiarizați cu acest subiect, dar care doresc să-și reamintească anumite probleme specifice. În al doilea rând, ea va servi ca o bază, care poate fi dezvoltată cu ajutorul demonstrațiilor, exemplelor, etc. Materialul este aproape în întregime prezentat sumar. Nu încercăm să prezentăm justificări, iar demonstrațiile sînt destul de puține. Totuși, rezultatele sînt prezentate exact.

A.2.1. FUNCȚII ANALITICE

Presupunem că sîntem familiarizați cu algebra numerelor complexe (adunare, scădere, înmulțire și împărțire) și cu reprezentarea numerelor complexe ca puncte în plan. Presupunem de asemenea că sîntem familiarizați cu elementele teoriei funcțiilor de o variabilă reală.

Fie $s = \sigma + j\omega$ notația unei variabile complexe. Spunem că o altă variabilă complexă $F = U + jX$ este o funcție de o variabilă complexă s , dacă fiecărei valori a lui s (dintr-o mulțime) îi corespunde o valoare a lui F sau un set de valori pentru F . Vom scrie $F(s)$, unde $F(\cdot)$ este operatorul care asociază valorile lui F cu valorile lui s . Dacă fiecărei valori a lui s (dintr-o mulțime) îi corespunde o singură valoare pentru F , spunem că este o funcție *univocă* de s ; altfel ea este *multiformă*.

Continuitatea pentru o funcție de o variabilă complexă este formal definită în același fel ca pentru o funcție de o variabilă reală; $F(s)$ este *continuu* în s_0 dacă ea este definită într-o vecinătate a lui s_0 și dacă

$$\lim_{s \rightarrow s_0} F(s) = F(s_0) = F_0 \quad (1)$$

Această formulare poate fi interpretată în planul complex în felul următor. Fie un număr dat $\varepsilon > 0$. Considerăm o vecinătate circulară a lui $F(s_0)$ ca în fig. A.2.1 unde toate punctele din interiorul cercului de rază ε și cu centrul în $F(s_0)$ aparțin acestei vecinătăți. Relația (1) este echivalentă următoarei formulări. Putem găsi o vecinătate suficient de mică a lui s_0 , de rază $\delta > 0$, astfel ca valorile lui $F(s)$ corespunzătoare tuturor punctelor din această vecinătate a lui s_0 , să cadă în interiorul cercului de rază ε , cu centrul în $F(s_0)$.

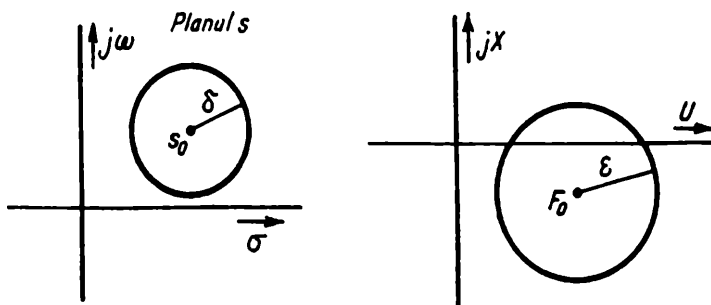


Fig. A.2.1. Vecinătăți în planul s și planul F .

Diferențiabilitatea în planul complex este definită de aceeași relație formală ca în cazul variabilei reale, dar este o noțiune cu semnificații mult mai largi.

$F(s)$ este diferențiabilă în s_0 , cu derivata $F'(s)$, dacă

$$F'(s_0) = \lim_{s \rightarrow s_0} \frac{F(s) - F(s_0)}{s - s_0} \quad (2)$$

există și este finită.

Această definiție implică presupunerea că s poate tinde către s_0 în orice direcție, pe o spirală sau orice altă cale. Limita definită de (2) trebuie să existe (și să fie unică) independent de modul în care s tinde către s_0 . Acesta este motivul pentru care diferențiabilitatea în planul complex este o cerință foarte stringentă.

Se poate arăta (aceasta este unul din multele „se poate arăta” pe care le vom putea întâlni în această anexă) că putem aplica, fără nici o modificare, regulile obișnuite privind derivarea sumelor, produselor, cîturilor, etc., cunoscute de la funcții de variabilă reală.

În mod asemănător se procedează cu o funcție de funcție; toate funcțiile familiare au aceeași derivată ca în cazul real, cu deosebirea că acum variabila este complexă. Vom prezenta sumar, mai jos, aceste rezultate.

Fie $F_1(s)$ și $F_2(s)$ două funcții diferențiabile. Atunci

$$\frac{d}{ds} [F_1(s) + F_2(s)] = \frac{d}{ds} F_1(s) + \frac{d}{ds} F_2(s) \quad (3)$$

$$\frac{d}{ds} [F_1(s) F_2(s)] = F_1(s) \frac{d}{ds} F_2(s) + \left[\frac{d}{ds} F_1(s) \right] F_2(s) \quad (4)$$

$$\frac{d}{ds} \frac{F_1(s)}{F_2(s)} = \frac{F_2(s) \frac{dF_1(s)}{ds} - F_1(s) \frac{dF_2(s)}{ds}}{F_2^2(s)}, \quad F_2(s) \neq 0 \quad (5)$$

$$\frac{d}{ds} F_1[F_2(s)] = \frac{dF_1}{dF_2} \frac{dF_2(s)}{ds} \quad (6)$$

$$\frac{d}{ds} (s^n) = n s^{n-1} \quad (7)$$

Dacă o funcție F de o variabilă complexă este diferențiabilă în punctul s_0 și în toate punctele dintr-o vecinătate a lui s_0 , spunem că $F(s)$ este *regulată* în s_0 .

Menționăm că această condiție „ $F(s)$ este regulată în s_0 ” este mult mai restrictivă ca „ $F(s)$ este diferențială în s_0 ”. O funcție $F(s)$ care are *cel puțin un punct regulat* (adică un punct în care funcția este regulată) în planul complex, se numește o *funcție analitică*. Un punct s_0 în care funcția analitică $F(s)$ *nu este regulată*, este un *punct singular* al funcției. Se spune că $F(s)$ are o *singularitate* în s_0 . În particular, un punct pentru care nu există derivată este un punct singular.

Deși cerința de regularitate este o condiție foarte restrictivă, și deci clasa de funcții analitice este o submulțime foarte mică din mulțimea tuturor funcțiilor, aproape toate funcțiile pe care le întâlnim în aplicațiile fizice sînt funcții analitice. Un exemplu de funcție neanalitică este $|s|^2$. Această funcție are o derivată la $s=0$, dar numai în acest punct. Deci ea nu are puncte regulate. Funcția $F(s)=1/(s-1)$ este un exemplu simplu de funcție analitică. *Domeniul ei de regularitate* cuprinde întregul plan cu excepția punctului $s=1$. Punctul $s=1$ este un punct singular al acestei funcții.

Singularitățile unei funcții analitice sînt extrem de importante, așa cum se va vedea. Putem distinge două tipuri de singularități. Punctul s_0 este o *singularitate izolată* a lui $F(s)$, dacă s_0 este un punct singular, dar există o vecinătate a lui s_0 în care toate celelalte puncte (cu excepția lui s_0) sînt puncte în care funcția este regulată. Dacă o astfel de vecinătate nu există, s_0 este o *singularitate esențial neizolată*. Astfel, în orice vecinătate

a unei singularități neizolate există cel puțin un alt punct singular al funcției. Deci, o singularitate neizolată este un *punct limită* (sau un *punct de acumulare*) a singularităților și reciproc.

Funcțiile raționale (citudini de polinoame) sînt exemple de funcții care au numai singularități izolate. Pentru a da un exemplu de o funcție care are singularități neizolate, putem considera funcțiile trigonometrice, pe care nu le-am definit încă. Totuși un exemplu de o singularitate neizolată este punctul $s=0$ al funcției :

$$F(s) = \frac{1}{\sin 1/s} \quad (8)$$

Numitorul devine zero pentru

$$s = \frac{1}{k\pi} \quad (9)$$

și astfel aceste puncte sînt puncte singulare ale lui $F(s)$. Originea este un punct limită pentru aceste singularități.

Marele matematician francez Augustin Cauchy (cărui îi aparține aproape jumătate din teoria funcțiilor complexe) a dat următoarele condiții necesare și suficiente pentru diferențiabilitatea unei funcții de o variabilă complexă. Funcția

$$F(s) = U(\sigma, \omega) + jX(\sigma, \omega)$$

este diferențiabilă în s_0 dacă și numai dacă derivatele parțiale $\partial U/\partial \sigma$, $\partial U/\partial \omega$, $\partial X/\partial \sigma$ și $\partial X/\partial \omega$ există, sînt continue în punctul (σ_0, ω_0) și satisfac ecuațiile

$$\partial U/\partial \sigma = \partial X/\partial \omega \quad (10a)$$

$$\partial X/\partial \sigma = - \partial U/\partial \omega \quad (10b)$$

în acest punct.

Necesitatea este dovedită făcînd pe s să tindă către s_0 în (2), făcînd mai întîi pe σ să tindă către σ_0 și apoi făcînd pe ω să tindă către ω_0 pentru un calcul, și inversînd ordinea pentru celălalt calcul. Egalarea celor două derivate astfel obținute ne conduce la (10). Suficiența este dovedită folosind conceptul de diferențială totală a funcției de două variabile și definiția derivatei.

Ecuațiile (10) sînt cunoscute ca *ecuații Cauchy-Riemann* în cinstea matematicianului german Bernhard-Riemann (care a determinat aceste

ecuații fundamentale pentru toate funcțiile analitice) și care completează teoria elaborată de Cauchy. Putem folosi ecuațiile Cauchy -Riemann ca un test pentru regularitatea unei funcții după cum urmează :

Dacă cele patru derivate parțiale sînt continue într-un domeniu al planului complex și dacă ele satisfac ecuațiile Cauchy-Riemann în fiecare punct al acestui domeniu, atunci $F(s)$ este regulată în acest domeniu.

Menționăm că această condiție implică vecinătatea lui s_0 , tot așa cum o face definiția de regularitate a funcției. Demonstrația acestui rezultat se poate face folosind conceptul de diferențială totală pentru o funcție de două variabile.

Diferențiind una din cele două ecuații din (10) cu referire la σ și cealaltă, cu referire la ω și combinindu-le, putem observa un fapt important și anume că părțile reală și imaginară ale unei funcții analitice satisfac ecuațiile Laplace în două dimensiuni, în interiorul domeniului de regularitate ; astfel :

$$\partial^2 U / \partial \sigma^2 + \partial^2 U / \partial \omega^2 = 0 \quad (11a)$$

$$\partial^2 X / \partial \sigma^2 + \partial^2 X / \partial \omega^2 = 0 \quad (11b)$$

Astfel, părțile reală și imaginară ale unei funcții analitice sînt *funcții armonice*. Reciproca este de asemenea adevărată. Fiecare funcție armonică (în două dimensiuni) este partea reală a unei funcții analitice și partea imaginară a unei alte funcții analitice. Acest aspect face ca funcțiile analitice să prezinte un interes deosebit în teoria potențialului cu două dimensiuni.

A.2.2. TRANSFORMAREA CONFORMĂ

O funcție de o variabilă reală poate fi reprezentată geometric printr-un grafic. Totuși, pentru o funcție de o variabilă complexă, un „grafic” necesită patru dimensiuni, două pentru variabilă și două pentru funcție. Este deci imposibil de trasat un grafic pentru o funcție analitică. Cu toate acestea, conceptul de reprezentare geometrică poate fi utilizat pentru funcțiile analitice, și aceasta permite o înțelegere mai bună a acestor funcții. Folosim două planuri, un plan s pentru variabilă și un plan F pentru funcție, așa cum se arată în fig. A.2.2. și astfel se obțin cele patru axe de coordonate.

Trasarea unui grafic complet arătînd ce valori ale funcției corespund fiecărui punct din planul s nu este indicată, deoarece ar face reprezentarea înțelegibilă. Vom alege în planul s unele linii reprezentative și reprezentăm

în planul F valorile funcției $F(s)$ corespunzătoare punctelor de pe aceste linii. Pentru fiecare dreaptă reprezentativă din planul s se va obține o curbă corespunzătoare în planul F . Ca exemplu, vom considera reprezentarea funcției $F(s) = s^2$ din fig. A.2.2. Ca linii reprezentative au fost alese acelea pentru care fie σ , fie ω este constant. Liniile corespunzătoare în planul s^2 sînt toate parabole. Cele două seturi de parabole corespunzătoare lui $\sigma = \text{const}$ și $\omega = \text{const}$, sînt familii de curbe ortogonale. Dacă am fi ales alte linii reprezentative în planul s , am fi obținut alte tipuri de curbe în planul s^2 .

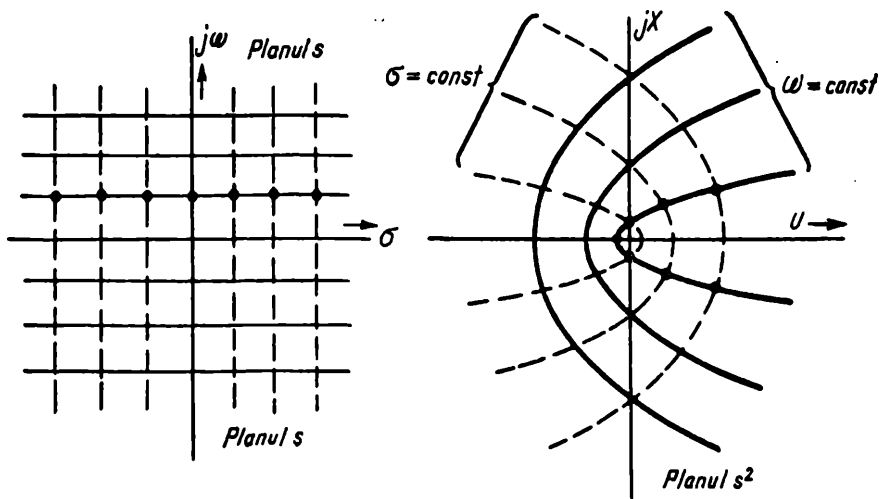


Fig. A.2.2. Reprezentarea conformă pentru $F(s) = s^2$.

Ne vom referi la acest concept grafic ca la o transformare conformă. Se spune că planul s este *transformat* în planul F ; planul F este *transformată* planului s . Liniile din planul F sînt *imagini* ale liniilor din planul s , sub transformarea $F(s)$.

Ne referim la $F(s)$ ca la o *transformată conformă*. Funcția $F(s)$ transformă punctele din planul s în puncte din planul F . Conceptul de transformare conformă pentru o funcție analitică se dovedește a fi foarte util.

Faptul că parabolele din fig. A.2.2 constituie o familie ortogonală nu este un accident. Explicația este că liniile originale din planul s formează un unghi drept între ele, și o funcție analitică păstrează unghiurile cu excepția situației în care nu există derivata sau aceasta este zero. Înainte de a demonstra acest lucru, să dăm o definiție. O *transformare conformă* F este una în care unghiul de intersecție al celor două curbe imagine în planul F este același (în amplitudine și sens) cu unghiul de intersecție al celor două curbe corespunzătoare din planul s .

Transformata pentru o funcție analitică este conformă în toate punctele când funcția este regulată și derivata este diferită de zero.

Pentru a verifica acest rezultat, să luăm două curbe C_1 și C_2 din planul s care se intersectează în s_0 . Fie s un punct arbitrar pe C_1 . Să introducem coordonatele polare referitoare la s_0 , astfel

$$s - s_0 = r e^{j\theta_1} \quad (12)$$

Atunci când s tinde către s_0 , unghiul θ_1 tinde către unghiul α_1 care este unghiul tangentei la C_1 în s_0 . Definiția derivatei este

$$\lim_{s \rightarrow s_0} \frac{F(s) - F(s_0)}{s - s_0} = F'(s_0) \quad (13)$$

Deoarece această derivată există, putem lua limita de-a-lungul lui C_1 și deoarece derivata este diferită de zero, putem scrie

$$F'(s_0) = \rho e^{j\beta} \quad (14)$$

Rezultă din (13)

$$\lim_{s \rightarrow s_0} \left| \frac{F(s) - F(s_0)}{s - s_0} \right| = \rho \quad (15a)$$

și

$$\lim_{s \rightarrow s_0} \{\arg [F(s) - F(s_0)] - \arg (s - s_0)\} = \beta \quad (15b)$$

Ecuția (15b) poate fi scrisă

$$\lim_{s \rightarrow s_0} \arg [F(s) - F(s_0)] = \beta + \lim_{s \rightarrow s_0} \arg (s - s_0) = \beta + \alpha_1 \quad (16)$$

Punctul $F(s)$ este pe curba C_1' care este imaginea lui C_1 sub transformarea $F(s)$. Astfel, partea stângă a ecuației (16) este unghiul tangentei la C_1' în $F(s)_0$. Rezultă, din (16) că curba C_1' are o tangentă definită în $F(s)_0$ care face un unghi $\beta + \alpha_1$ cu axa reală pozitivă. În același mod se poate stabili că unghiul tangentei la C_2' la $F(s)_0$ va fi $\beta + \alpha_2$. Unghiul dintre cele două tangente, luat de la C_1' la C_2' este $(\alpha_2 - \alpha_1)$ care este același în amplitudine și semn cu unghiul dintre curbele C_1 și C_2 în punctul s_0 , măsurat de la C_1 la C_2 .

Din (15a) se constată că *întinderea locală* (adică, raportul dintre elementul de arc al lui C_1' și elementul de arc al lui C_1 , luate în jurul lui s_0)

este independentă de direcție și este dată de amplitudinea derivatei. Rezultă că transformarea conformă pentru o funcție analitică (cînd $F'(s_0) \neq 0$) realizează o amplificare liniară $F'(s_0)$ și o rotație $\arg F'(s_0)$, astfel încît formele figurilor mici sînt menținute.

O consecință auxiliară este aceea că imaginile curbelor line sînt de asemenea curbe line; adică ele nu pot avea „puncte unghiulare”.

Nu am definit încă unele concepte de topologia mulțimii de puncte referitoare la domenii și curbe, și aceasta este necesar pentru înțelegerea discuțiilor următoare. Nu putem să facem precizări complete fără a introduce idei foarte complexe, ceea ce nu ne-am propus să facem. Prin urmare vom lua cîteva concepte, ca de exemplu cale, curbă continuă, etc.

Un *arc simplu* este o cale continuă în planul complex care nu are puncte de intersecție sau multiple. O *curbă simplu închisă* este o cale în planul complex, care, dacă este tăiată într-un punct oarecare devine un arc simplu. Dacă unim punctele terminale ale unui arc simplu se obține o curbă simplă închisă. Un *domeniu deschis* este o mulțime de puncte în planul complex, fiecare din ele avînd în vecinătate toate punctele care aparțin acestei mulțimi. Ca exemplu poate fi considerat domeniul „interior” unei curbe simplă închisă care nu conține curba. Dacă adăugăm punctele de pe conturul unei mulțimi deschise la mulțimea deschisă propriuzisă, domeniul obținut se numește *închis*. Un domeniu deschis sau închis este *conex* dacă putem uni două puncte oarecare din domeniu printr-o linie care are toate punctele în acest domeniu.

În paragraful precedent, cuvîntul „interior” a fost pus între ghilimele. Deși intuiția noastră ne face să credem că interiorul unei curbe este bine definit, totuși aceasta necesită o demonstrație. *Teorema curbei lui Jordan* dă soluția necesară. Aceasta afirmă că *orice curbă simplă închisă împarte planul complex în două domenii, unul „interior” și unul „exterior”, curba fiind frontieră între aceste două domenii*. Dacă pornim dintr-un punct de pe curbă și o parcurgem în sens invers acelor de ceasornic, domeniul din stînga curbei se va numi interior, cel din dreapta exterior.

Dacă curba închisă nu trece prin infinit, atunci domeniul „interior” așa cum este definit, va fi *mărginit*; altfel spus, toate punctele din acest domeniu vor satisface condiția $|s| \leq M$, unde M este un număr pozitiv dat. Pe de altă parte, dacă curba închisă trece prin infinit, atunci nici interiorul nici exteriorul nu sînt mărginite.

Problema care apare este ce semnificație are o curbă închisă care trece prin infinit. O astfel de curbă este, de exemplu, calea formată de axa imaginară. Dar aceasta pare a fi un arc simplu mai degrabă decît o curbă închisă. Sfera *Riemann* poate fi folosită pentru clarificarea acestui punct de vedere.

Considerăm o sferă plasată în planul complex cu polul sud în origine, așa cum este arătat în fig. A.2.3. Considerăm acum că unim printr-o linie dreaptă fiecare punct din plan cu polul nord al sferei. Toate aceste linii vor intersecta sfera, stabilindu-se astfel o corespondență biunivocă între

punctele din plan și cele de pe sferă. Fiecare punct din planul finit va avea corespondentul său pe sferă. Cu cât ne depărtăm de originea planului, în orice direcție, punctele de intersecție a liniilor cu sfera vor tinde către polul nord. Polul nord corespunde infinitului din plan. Pe sferă, punctul infinit va fi un punct unic. Axele reală și imaginară devin cercuri mari (principale) pe sferă, și un cerc mare apare ca o curbă simplă închisă.

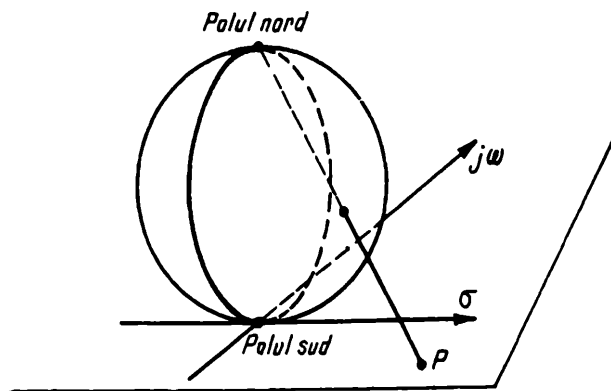


Fig. A.2.3. Sfera Riemann.

Conceptul sferei Riemann ne permite să privim „infinitul” ca un punct singular, ori de câte ori aceasta este convenabilă. Ne vom referi la infinit ca la *punctul de la infinit*.

Adeseori dorim să discutăm despre comportarea funcției în punctul infinit. În matematică este acceptată convenția ca într-o expunere să poată fi eliminat cuvântul „infinite” cu condiția ca întreaga expunere să poată fi definită fără a folosi acest cuvânt.

Această convenție este introdusă pentru a elimina multe inconsistențe. Comportarea unei funcții în punctul de la infinit este definită după cum urmează:

Comportarea unei funcții $F(s)$ la $s = \infty$ este aceeași cu a funcției

$$G(s) = F(1/s)$$

la $s = 0$; de exemplu, funcția $F(s) = 1/s$ este regulată la $s = \infty$ deoarece $G(s) = F(1/s) = s$ este regulată la $s = 0$. În mod similar, funcția $F(s) = as^2 + bs$ nu este regulată la infinit deoarece $G(s) = a/s^2 + b/s$ are o singularitate la $s = 0$.

Printr-un artificiu similar putem discuta despre valoarea unei funcții într-un pol din planul complex. Reciproca funcției în acest punct va fi zero.

A.2.3. INTEGRAREA

Integrala definită a unei funcții de o variabilă complexă este definită într-o manieră similară integralei definite a unei funcții de o variabilă reală. În cazul variabilelor reale, integrala definită poate fi interpretată ca o suprafață. Pentru variabilele complexe o astfel de interpretare geometrică nu este valabilă.

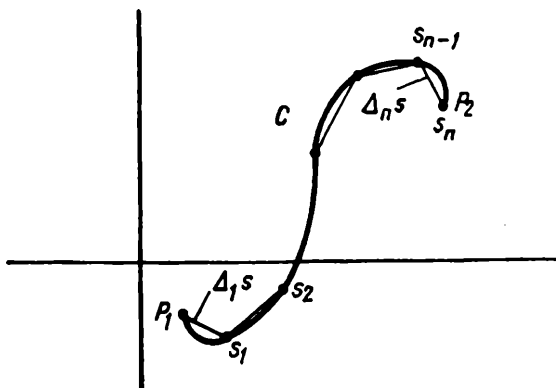


Fig. A.2.4. Integrala definită.

În fig. A.2.4 sînt conectate două puncte P_1 și P_2 printr-un arc simplu C . Călea este divizată în intervale prin punctele s_k ; coardele care unesc aceste puncte sînt notate cu $\Delta_k s$. Presupunem că multiplicăm fiecare din corzi prin valoarea unei funcții $F(s)$, evaluată în punctul $s_k^{(1)}$ al intervalului și apoi adunăm toate aceste produse. Să considerăm acum că mărim numărul de intervale cu o reducere simultană a mărimii coardelor. Definim *integrala definită* a lui $F(s)$ ca limita acestei sume, cînd numărul de intervale tinde către infinit, în timp ce lungimea fiecărei corzi tinde către zero. Mai precis

$$\int_{CP_1}^{P_2} F(s) ds = \lim_{\substack{n \rightarrow \infty \\ \max |\Delta_k s| \rightarrow 0}} \sum_{k=1}^n F(s_k^*) \Delta_k s \quad (17)$$

cu condiția ca limita dreaptă să existe.

Menționăm că P_1 și P_2 reprezintă limitele inferioară și superioară; calea C este parcursă pornind din P_1 către P_2 . Este de așteptat să obținem un răspuns diferit dacă se va urma o altă cale. Rezultă că nu este necesar

¹⁾ Aici coardele sînt exprimate ca numere complexe. Astfel $\Delta_k s = s_k - s_{k-1}$.

a scrie limitele de integrare dacă arătăm totdeauna într-un grafic corespunzător, calea de integrare împreună cu sensul de-a-lungul căii. Deoarece calea, sau conturul, este inseparabil de definiția unei integrale, ne vom referi la ea ca la un *contur de integrare*.

Pentru a determina condițiile în care integrala definită din (17) există, trebuie să exprimăm această integrală ca o combinație de integrale reale. Cu $F(s) = U + jX$, și după câteva transformări, (17) devine :

$$\int_C F(s) ds = \int_C U d\sigma - \int_C X d\omega + j \left[\int_C U d\omega + \int_C X d\sigma \right] \quad (18)$$

Fiecare din integralele din dreapta este o integrală de variabilă reală ; dacă aceste integrale există, atunci va exista și un contur de integrare. Din cunoștințele noastre despre integrale reale, știm că o condiție suficientă de existență a integralei unei funcții de variabilă reală este ca funcția de sub semnul integralei să fie continuă. Rezultă că *integrala pe contur a unei funcții $F(s)$ de-a-lungul unei curbe C există dacă $F(s)$ este continuă pe această curbă*.

Teorema de integrare a lui Cauchy

Rămâne de discutat care sînt condițiile în care integrala între două puncte este independentă de calea care unește aceste puncte . Considerăm fig. A.2.5, care arată două puncte P_1 și P_2 unite prin două căi simple C_1 și C_2 . Menționăm că sensurile celor două căi sînt amîndouă de la P_1 la P_2 . Combinînd calea C_1 luată în sens direct și calea C_2 luată în sens invers, se obține o curbă simplă închisă, pe care o vom nota cu $C = C_1 - C_2$. Dacă

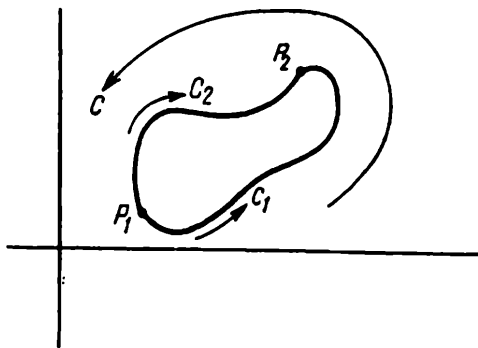


Fig. A.2.5. Condiții pentru ca valoarea unei integrale să fie independentă de calea de integrare.

integrala unei funcții $F(s)$ de-a-lungul căii C_1 este egală cu integrala de-a-lungul căii C_2 , atunci integrala de-a-lungul căii combinate C trebuie să fie egală cu zero, și reciproc. Problema stabilirii condițiilor în care o integrală este independentă de cale, se reduce acum la stabilirea condițiilor în care o integrală pe contur, de-a-lungul unei curbe simple închise, este egală cu zero. Problema este rezolvată de următoarea teoremă cunoscută sub numele de *teorema de integrare a lui Cauchy*:

Fie $F(s)$ o funcție care este regulată oriunde pe o curbă simplă închisă C și în interiorul curbei. Atunci

$$\int_C F(s) ds = 0 \quad (19)$$

Aceasta este o teoremă foarte importantă, dar nu vom da demonstrația ei.

Considerăm necesare câteva cuvinte despre *conexitatea* unui domeniu din planul complex. Presupunem că unim două puncte arbitrare P_1 și P_2 situate într-un domeniu, prin două arce simple, arbitrare C_1 și C_2 situate în același domeniu. Acest domeniu este numit *simplu conex* dacă este posibil să alunecăm unul din arce (deformarea arcului este permisă în acest proces) pînă cînd va coincide cu celălalt, fără a părăsi acest domeniu. Teorema lui Cauchy este valabilă într-un astfel de domeniu. Domeniul hașurat dintre cele două curbe închise din fig. A.2.6, se numește *dublu conex*. Un astfel de domeniu poate fi redus la un domeniu simplu conex, prin „realizarea unui canal” între cele două curbe închise. Noul domeniu este mărginit de curba compusă al cărui contur este arătat în fig. A.2.6b prin săgeți.

Presupunem că o funcție $F(s)$ este regulată în domeniul hașurat arătat în fig. A.2.6a, inclusiv conturul. Teorema lui Cauchy poate fi aplicată aici curbei compuse formată din curbele interioară și exterioară și din „canal”. Canalul este parcurs de două ori, dar în sensuri opuse, astfel că contribuția lui la integrala pe conturul complet, este zero. Dacă vom nota curbele

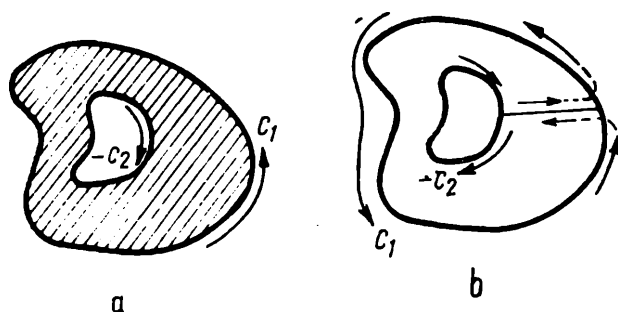


Fig. A.2.6. Un domeniu dublu conex.

interioară și exterioară prin C_1 și respectiv C_2 , ambele parcurse în sensul acelor ceasornicului, atunci teorema lui Cauchy ne conduce la relația :

$$\int_{C_1} F(s) \, ds = \int_{C_2} F(s) \, ds \quad (20)$$

Dacă alegem oricare alte curbe închise între curbele interioară și exterioară, același raționament ne va arăta că integrala pe aceste căi parcurse în sensul invers acelor de ceasornic, va fi egală cu fiecare din integralele din (20).

Acest raționament ne permite să afirmăm că valoarea unei integrale de contur pe o curbă simplă închisă nu se va modifica dacă conturul este distorsionat, cu condiția însă ca el să rămână totdeauna în interiorul domeniului de regularitate.

Să ne referim acum la fig. A2.5. Punctele P_1 și P_2 sînt într-un domeniu simplu conex R , în care o funcție $F(s)$ este univocă și regulată. Fie P_1 un punct fix corespunzător lui s_0 , și P_2 un punct corespunzător lui s . Putem afirma că integrala de la s_0 la s este independentă de calea de integrare, dacă aceasta rămîne în domeniul de regularitate. Putem deci defini funcția $G(s)$ astfel :

$$G(s) = \int_{s_0}^s F(z) \, dz \quad (21)$$

unde z este o variabilă fictivă de integrare. Această funcție este o funcție univocă de limita superioară s pentru toate căile din regiunea de regularitate. O vom numi *primitiva* lui $F(s)$. (Pentru fiecare s_0 vom obține o altă primitivă).

În realitate nu este necesar să presupunem că $F(s)$ este regulată în domeniu. În loc de aceasta, este suficient să presupunem că $F(s)$ este *continuu* în R și că integrala pe contur închis, pentru toate curbele simple închise posibile din R , este zero. Totuși, teorema lui Morera, care va fi discutată mai tîrziu, afirmă că funcția care satisface aceste condiții este regulată.

În evaluarea integralei definite de variabilă reală, căutăm adesea primitiva integrandului. Aceeași procedură este valabilă și pentru variabile complexe ; astfel, dacă primitiva lui $F(s)$ este $G(s)$, atunci

$$\int_{s_1}^{s_2} F(s) \, ds = G(s_2) - G(s_1) \quad (22)$$

Formula integralei lui Cauchy

Să considerăm o curbă simplă închisă C_1 , și o funcție univocă care este regulată în interiorul curbei și pe contur. Este posibil să exprimăm valoarea funcției în orice punct s_0 din interiorul curbei, în funcție de valoarea pe conturul C . Această expresie este

$$F(s_0) = \frac{1}{2\pi j} \int_C \frac{F(s)}{s - s_0} ds \quad (23)$$

Aceasta este cunoscută ca *formula integralei lui Cauchy* (care este diferită de teorema lui Cauchy). În integrala pe contur, conturul C poate fi înlocuit printr-un contur circular C în jurul punctului s_0 fără ca valoarea ei să se modifice, în concordanță cu discuțiile referitoare la (20). Adăugând și scăzând $F(s_0)$ la integrand, putem scrie

$$\int_{C'} \frac{F(s)}{s - s_0} ds = \int_{C'} \frac{F(s_0)}{s - s_0} ds + \int_{C'} \frac{F(s) - F(s_0)}{s - s_0} ds \quad (24)$$

Se poate arăta că ultima integrală din partea dreaptă a lui (24) este zero. Rămâne să evaluăm prima integrală din partea dreaptă a lui (24).

Vom scrie $s - s_0 = r\epsilon^{j\theta}$; atunci $ds = jr\epsilon^{j\theta} d\theta$, deoarece conturul C' este circular și numai θ variază. Atunci

$$\int_{C'} \frac{ds}{s - s_0} = \int_0^{2\pi} j d\theta = 2\pi j \quad (25)$$

Expresia dorită se obține înlocuind acest rezultat în (24).

Formula integralei lui Cauchy lămurește proprietățile funcțiilor analitice. Se constată că valoarea unei funcții analitice care este regulată într-un domeniu, este determinată în oricare punct din acest domeniu de valoarea sa pe contur. Menționăm că punctul s_0 este *un punct oarecare* din domeniul de regularitate. Îl vom nota cu variabila generală s , dar aceasta necesită ca în (23) să-i atribuim variabilei s (care reprezintă numai puncte de pe contur și care este o variabilă fictivă) un alt simbol. Pentru clarificare, (23), va fi scris acum

$$F(s) = \frac{1}{2\pi j} \int_C \frac{F(z)}{z - s} dz \quad (26)$$

Aici s reprezintă orice punct din interiorul conturului C în care $F(s)$ este regulată, și z se referă la puncte de pe contur.

Cu ajutorul formulei integralei lui Cauchy putem rezolva o problemă foarte importantă pentru funcțiile analitice. Să încercăm să găsim derivata de ordinul n a unei funcții analitice $F(s)$. Pentru derivatele de ordinul întâi și doi putem folosi direct definiția derivatei din (26). Rezultatul va fi

$$F'(s) = \frac{1}{2\pi j} \int_C \frac{F(z)}{(z-s)^2} dz \quad (27a)$$

$$F''(s) = \frac{2}{2\pi j} \int_C \frac{F(z)}{(z-s)^3} dz \quad (27b)$$

Forma acestor expresii, care realizează de fapt o simplă diferențiere în raport cu s a expresiei de sub simbolul integralei, sugerează următoarea expresie pentru derivata de ordinul n :

$$F^{(n)}(s) = \frac{n}{2\pi j} \int_C \frac{F(z)}{(z-s)^{n+1}} dz \quad (28)$$

Acest rezultat poate fi verificat folosind metoda inducției matematice.

O implicație extrem de importantă a celor discutate mai sus, este următoarea. *Dacă o funcție univocă $F(s)$ este regulată într-un punct, rezultă că funcția va avea derivate de toate ordinele în acel punct.* Această afirmație nu poate fi făcută pentru o funcție de variabilă reală.

Având în vedere că derivata unei funcții analitice este analitică, și are același domeniu de regularitate, putem face acum o afirmație care poate fi privită ca reciprocă teoremei lui Cauchy. *Fie $F(s)$ o funcție care este continuă într-un domeniu R și a cărei integrală pe conturul închis, care înconjoară toate căile posibile din acest domeniu, este zero.* Aceste condiții ne asigură că $F(s)$ are o primitivă $G(s)$ care este regulată în domeniul R . Dar derivata lui $G(s)$ este $F(s)$; în consecință $F(s)$ este de asemenea regulată în R . Acest rezultat este cunoscut ca *teorema lui Morera*.

Teorema modulului maxim și lema Schwartz

Formula lui Cauchy conduce la unele rezultate foarte interesante, totuși, noi vom demonstra aceste rezultate din punctul de vedere al reprezentării conforme. Fie $F=F(s)$ o funcție analitică care este regulată în interiorul și pe conturul C în planul s ; fie acest domeniu, inclusiv curba C , domeniul R . Reprezentarea conformă a curbei C poate lua una din formele prezentate în fig. A 2.7. Menționăm că transformata conformă a domeniului R nu se poate extinde la infinit, deoarece infinitul din planul F

corespunde unui punct singular din planul s , ori în domeniul R nu există puncte singulare. Pentru simplificare, ambele transformate ale curbei C au fost considerate a fi curbe închise simple; acest lucru însă nu este necesar, și obișnuit nu este așa. În transformarea prezentată în fig. A 2.7b originea planului F este în interiorul domeniului. Aceasta înseamnă că $F(s)$ are un zero în domeniul R . În fig. A 2.7c este arătată o transformare a domeniului R care nu are originea în interior.

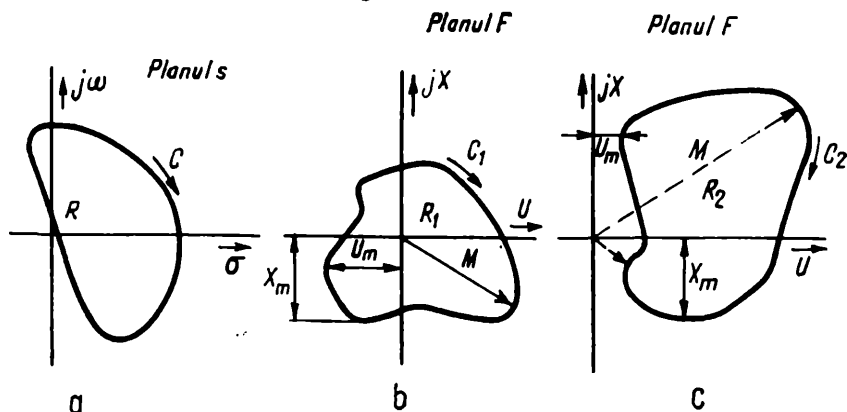


Fig. A.2.7. Demonstrarea principiilor maximului și minimului.

În fiecare din aceste cazuri, este clar din figuri că punctul în R_1 sau R_2 care cade cel mai departe de originea planului F este situat pe conturul domeniului, care este transformata conturului C . Similar, dacă $F(s)$ nu are zero în domeniul R , atunci punctul din R_2 care este situat cel mai aproape de originea planului F , cade pe contur, așa cum este ilustrat în partea c a figurii. Este de asemenea clar din figură că valorile minime din domeniul R_2 a părții reale și a părții imaginare a lui F , cad pe contur. Ultima afirmație este de asemenea adevărată cînd $F(s)$ are un zero în domeniu, așa cum este ilustrat în partea (b) a figurii. Dar în acest caz, cea mai mică valoare a modulului, care este zero, cade în interiorul domeniului și nu pe contur. Aceste rezultate pot fi rezumate astfel:

Fie o curbă închisă C și un domeniu R corespunzător interiorului curbei C . Fie $F=F(s)=U+jX$ o funcție regulată în R . Cea mai mare valoare atinsă de modulul $|F(s)|$, partea reală U și partea imaginară X , în domeniul R , apare pentru un punct sau pentru puncte de pe contur. Aceasta este adevărată pentru modul, dacă $F(s)$ nu are zero în interiorul domeniului. Precizările făcute referitor la modul funcției, sînt cunoscute ca *teorema modulului maxim* și *teorema modulului minim*.

Denumiri asemănătoare pot fi atribuite și în celelalte cazuri prin înlocuirea „modulului” cu „partea reală” și „partea imaginară”.

O formulare puțin mai restrictivă ca teorema modului maxim, poate fi făcută dacă $F(s)$ satisface o condiție suplimentară și anume $F(0)=0$ și

dacă domeniul R este un cerc. În plus, presupunem $F(s)$ regulată într-un domeniu circular de rază r și cu un zero la $s=0$. Fie amplitudinea maximă a cercului M . Atunci $F(s)$ este de asemenea regulată în interiorul cercului și satisface condițiile teoremei modulului maxim. Deci $|F(s)/s| \leq M/r$. Rezultă că pentru toate punctele din interiorul cercului avem :

$$|F(s)| \leq \frac{|s|}{r} M$$

Egalitatea se obține numai la $s=0$ sau dacă $F(s)=Ms/r$. Acest rezultat este cunoscut sub numele de „*lema lui Schwartz*”.

A. 2.4. SERII INFINITE

Fie $f_1(s), f_2(s), \dots$ un șir infinit de funcții. Să considerăm suma primelor n funcții :

$$S_n(s) = \sum_{j=1}^n f_j(s) \quad (29)$$

Aceasta este numită o *sumă parțială* a seriei infinite corespunzătoare. Să considerăm acum șirul de sume parțiale S_1, S_2, \dots, S_n . Spunem că acest șir *converge* într-un domeniu al planului complex, dacă există o funcție $F(s)$ a cărei valoare într-un punct dat diferă foarte puțin (cît de puțin dorim) de valoarea sumei parțiale S_n , cu condiția să luăm n suficient de mare. Funcția $F(s)$ este numită *funcție limită* a șirului. Mai precis, spunem că șirul converge într-un domeniu R , dacă, dînd un număr pozitiv ϵ , există un număr întreg N , și o funcție $F(s)$, astfel ca pentru orice punct s_j din domeniu

$$|S_n(s_j) - F(s_j)| < \epsilon \quad (30)$$

pentru toate valorile lui n mai mari ca N_j . Valoarea lui N_j va depinde de numărul ϵ și de punctul s_j .

Spunem că șirul este *uniform convergent* într-un domeniu închis, dacă putem folosi același număr întreg N în rolul lui N_j , pentru toate punctele domeniului fără să avem acest întreg dependent de punctul în discuție (N depinde însă de ϵ).

Seria infinită este numită *convergentă* (sau *uniform convergentă*) către funcția $F(s)$, dacă șirul sumelor parțiale converge (sau converge uniform). O serie infinită este numită *absolut convergentă* dacă seria obținută din valorile absolute ale termenilor săi converge de asemenea. Convergența absolută este un tip de convergență mai restrictiv. Se poate arăta

că dacă o serie este absolut convergentă în domeniul R , ea este de asemenea convergentă în domeniu.

Vom enunța acum un număr de teoreme referitoare la șiruri de funcții fără a da și demonstrațiile.¹⁾

Teorema 1. Dacă un șir de funcții continue $S_n(s)$ este uniform convergentă într-un domeniu R , atunci funcția limită a șirului este continuă în acest domeniu R .

Teorema 2. Dacă un șir de funcții continue $S_n(s)$ converge uniform către o funcție limită $F(s)$ într-un domeniu R , atunci integrala funcției $F(s)$ pe orice arc simplu C din domeniul R , poate fi obținută găsind mai întâi integrala pe C a membrului $S_n(s)$ al șirului și luând apoi limita pentru $n \rightarrow \infty$, adică

$$\int_C F(s) ds = \int_C [\lim_{n \rightarrow \infty} S_n(s)] ds = \lim_{n \rightarrow \infty} \int_C S_n(s) ds \quad (31)$$

Teorema 3. Dacă un șir de funcții analitice $S_n(s)$ este regulat într-un domeniu R , și dacă el converge uniform în R către o funcție limită $F(s)$, atunci $F(s)$ este regulat în domeniul R .

Teorema 4. Dacă elementele unui șir de funcții analitice $S_n(s)$ sînt regulate într-un domeniu R și dacă șirul converge uniform în R către o funcție limită $F(s)$, atunci șirul derivatelor $S'_n(s)$ converge uniform către derivata lui $F(s)$ pentru toate punctele interioare lui R .

Aplicarea repetată a teoremei arată că șirul derivatelor de ordinul k , $S_n^{(k)}(s)$, converge uniform către $F^{(k)}(s)$.

Serii Taylor

Aceste teoreme pot fi folosite pentru a stabili multe proprietăți importante ale seriilor infinite de tipul șirului de funcții $S_n(s)$ care reprezintă suma parțială a seriei. Să considerăm un caz particular important pentru seriile infinite.

¹⁾ Toate aceste teoreme sînt valabile cu condiția ca cei doi operatori limită să poată fi interschimbați. Aceasta este o caracteristică generală

$$\lim_{x \rightarrow a} \lim_{y \rightarrow b} f(x, y) = \lim_{y \rightarrow b} \lim_{x \rightarrow a} f(x, y)$$

Această interschimbare este permisă dacă ambele limite există (separat) și una din ele este uniformă cu referire la cealaltă variabilă.

Vom defini o serie de puteri astfel :

$$F(s) = \sum_{n=0}^{\infty} a_n (s - s_0)^n \quad (32)$$

Sumele parțiale ale seriilor de puteri sînt polinoame în $(s - s_0)$; deci ele sînt regulate în întregul plan complex finit (aceasta implică și continuitatea lor). Dacă putem acum determina domeniul de convergență uniformă, putem deduce proprietățile funcției limită folosind teoremele 1-4.

Să presupunem că o serie de puteri esto convergentă pentru un punct $s = s_1$. Este ușor de arătat că seria este absolut convergentă (și deci ea este de asemenea convergentă) în orice punct din interiorul cercului cu centrul în s_0 și de rază $s_1 - s_0$. Cel mai mare cerc cu centrul în s_0 în interiorul căruia seria converge, este numit *cercul de convergență*, raza cercului fiind *raza de convergență*. Rezultă că o serie de puteri *diverge* (nu este convergentă) în oricare punct din exteriorul cercului său de convergență, deoarece dacă ea ar converge într-un astfel de punct s_2 , trebuie să fie convergentă oriunde în interiorul cercului de rază $s_2 - s_0$, ceea ce ar însemna că cercul inițial nu era cercul său de convergență. Fie R_0 raza de convergență a seriei de puteri și să presupunem că R_1 este strict mai mic decît R_0 . Atunci, se poate arăta că seria dată este uniform convergentă în domeniul închis, mărginit de cercul de rază $R_1 < R_0$ cu centrul în s_0 .

Presupunem acum că o serie de puteri converge către o funcție $F(s)$ într-un cerc de rază R_0 . Aceasta înseamnă că șirul de sume parțiale $S_n(s)$ va avea ca funcție limită pe $F(s)$. Deoarece $S_n(s)$ este o funcție continuă, rezultă din teorema 1 că $F(s)$ este de asemenea continuă oriunde în interiorul cercului. Mai mult, deoarece sumele parțiale sînt regulate în domeniul de convergență uniformă, rezultă din teorema 3 că $F(s)$ este regulată în domeniu. Astfel o serie de puteri reprezintă o funcție analitică, care este regulată în interiorul cercului său de convergență.

Din teoremele 2 și 4 rezultă alte două concluzii importante, referitoare la seriile de puteri. În concordanță cu teorema 2, deoarece sumele parțiale ale unei serii de puteri satisfac condițiile teoremei, o serie de puteri care converge către $F(s)$ poate fi integrată termen cu termen, și seria obținută va converge către integrala lui $F(s)$ pe orice cale de integrare din interiorul cercului de convergență. Similar, în concordanță cu teorema 4, o serie de puteri poate fi diferențiată termen cu termen, și seria rezultată va converge către derivata lui $F(s)$, oriunde în interiorul cercului de convergență. Cercul de convergență ale seriei integrate și seriei diferențiate sînt aceleași cu cel al seriei originale.

Spunem că o serie de puteri converge către o funcție analitică care este regulată în interiorul cercului său de convergență. Reciproca, care este mai interesantă, este de asemenea adevărată. Orice funcție analitică poate

fi reprezentată ca o serie de puteri referitoare la orice punct singular s_0 . Aceasta este cunoscută ca teorema lui Taylor, și enunțul ei este: Fie $F(s)$ o funcție regulată oriunde în interiorul cercului de rază R_0 în jurul punctului singular s_0 .

În acest caz $F(s)$ poate fi scrisă ca :

$$F(s) = \sum_{n=0}^{\infty} a_n (s - s_0)^n \quad (33)$$

unde coeficienții sînt dați de

$$a_n = \frac{1}{n!} F^{(n)}(s) \quad (34)$$

Cercul de convergență al seriei de puteri este cel mai mare cerc în jurul lui s_0 , în care $F(s)$ este definit sau este determinabil ca o funcție regulată.

Ne vom referi la această serie ca la o serie Taylor. Teorema poate fi demonstrată dacă pornim de la formula integralei lui Cauchy dată în (23) și dezvoltăm $(z - s_0)^{-1}$ într-un umăr finit de termeni de puteri inverse ale lui $(z - s_0)$ (după ce adunăm și scădem z_0 la numitorul integrandului), împreună cu un rest. Folosirea formulei integrale pentru derivatele unei funcții analitice date în (29) ne conduce la un polinom în $(s - s_0)$ plus un rest. Demonstrația este completă dacă notăm că restul tinde către zero cînd gradul polinomului $(s - s_0)$ tinde către infinit.

O consecință importantă a teoremei lui Taylor este aceea că cercul de convergență al oricărei serii de puteri trece printr-un singur punct al funcției analitice care o reprezintă, deoarece în teorema lui Taylor raza de convergență este distanța de la punctul s_0 la cel mai apropiat punct singular.

Pentru determinarea seriei de puteri care reprezintă o funcție, nu este necesar să folosim formulele date de teorema lui Taylor. Dar, indiferent de metoda folosită pentru găsirea seriei de puteri corespunzătoare, vom ajunge la seria Taylor, ai cărei coeficienți satisfac formula lui Taylor. Acest lucru este dovedit de următoarea *teoremă de identitare pentru seriile de puteri*. Dacă două serii de puteri

$$\sum_{n=0}^{\infty} a_n (s - s_0)^n \quad \text{și} \quad \sum_{n=0}^{\infty} b_n (s - s_0)^n.$$

au raze de convergență pozitive, și dacă sumele lor coincid pentru un număr infinit de puncte distincte, avînd ca punct limită, pe s_0 , atunci $a_n = b_n$ pentru orice n ; adică, ele sînt identice.

În particular, condițiile teoremei sînt satisfăcute dacă două serii coincid într-o vecinătate a lui s_0 sau de-a-lungul unui segment de dreaptă (nu are importanță cît de mic) care conține pe s_0 . Acest rezultat poate fi demonstrat prin inducție. Rezultă că reprezentarea unei funcții analitice printr-o serie de puteri referitoare la un punct regulat dat s_0 este unică.

Serii Laurent

Am arătat că putem realiza o dezvoltare în serie de puteri a unei funcții analitice în vecinătatea unui punct regulat, cu un domeniu de convergență care se extinde pînă la cel mai apropiat punct singular al funcției. Problema care se pune este de a stabili dacă este posibil să găsim alte reprezentări ale unei funcții analitice în serii de puteri care converg în alte domenii. Considerăm domeniul circular între două cercuri concentrice C_1 și C_2 cu centrul în s_0 , prezentat în fig. A.2.8. O funcție $F(s)$ este regulată pe C_1 , C_2 și în domeniul dintre ele. Punctul s_0 poate fi un punct regulat sau un punct singular al lui $F(s)$. De asemenea pot exista și alte puncte singulare ale lui $F(s)$ în interiorul cercului interior. Domeniul circular poate fi făcut simplu conex cu ajutorul unui „canal de separare” așa cum s-a discutat în capitolul precedent. Dacă aplicăm acum formula integralei lui Cauchy, obținem :

$$F(s) = \frac{1}{2\pi j} \int_{C_2} \frac{F(z)}{z-s} dz - \frac{1}{2\pi j} \int_{C_1} \frac{F(z)}{z-s} dz \quad (35)$$

unde s este un punct în interiorul domeniului circular, și z reprezintă puncte pe contururile celor două cercuri. Pentru mărimea $(z-s)^{-1}$ putem scrie :

$$\frac{1}{z-s} = \frac{1}{z-s_0} \sum_{k=0}^n \left(\frac{s-s_0}{z-s_0} \right)^k + \frac{1}{z-s} \left(\frac{s-s_0}{z-s_0} \right)^{n+1} \quad (36)$$

$$\frac{1}{z-s} = -\frac{1}{s-s_0} \sum_{k=0}^n \left(\frac{z-s_0}{s-s_0} \right)^k + \frac{1}{z-s} \left(\frac{z-s_0}{s-s_0} \right)^{n+1} \quad (37)$$

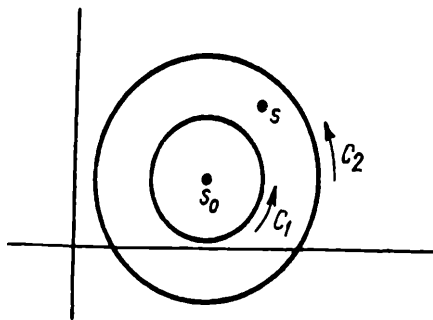


Fig. A.2.8. Domeniul de convergență al unei serii Laurent.

Aceasta poate fi scrisă condensat astfel :

$$\frac{1}{1-w} = \sum_{k=0}^n w^k + \frac{w^{n+1}}{1-w} \quad (38)$$

(38) este o identitate pentru toate valorile lui w cu excepția lui $w=1$. Ecuația (36) este obținută prin adăugarea și scăderea lui s_0 în numitorul din stînga și apoi scriind-o în forma (38) cu :

$$w = \frac{s-s_0}{z-s_0} \quad (40)$$

Un caz similar se obține din (37), cu deosebirea că acum w este

$$w = \frac{z-s_0}{s-s_0} \quad (41)$$

Să folosim acum pe (36) în prima integrală din (35) și pe (37) în a doua integrală. Fiecare integrală va da un număr finit de termeni plus un rest. Se poate arăta, ca și la demonstrația teoremei Taylor, că restul tinde către zero cînd n tinde către infinit. Rezultatul final este :

$$F(s) = \sum_{k=0}^{\infty} a_k (s-s_0)^k + \sum_{k=1}^{\infty} a_{-k} (s-s_0)^{-k} \quad (41)$$

sau

$$F(s) = \sum_{k=-\infty}^{\infty} a_k (s-s_0)^k \quad (42)$$

unde a_k din ultima expresie este dat de :

$$a_k = \frac{1}{2\pi j} \int_C \frac{F(z)}{(z-s_0)^{k+1}} dz \quad (43)$$

Conturul C este orice contur închis în domeniul circular dintre C_1 și C_2 .

Seria astfel obținută se numește o *serie Laurent*. Ea se caracterizează prin aceea că are atît puteri pozitive, cît și puteri negative. Domeniul său de convergență este un domeniu circular, spre deosebire de domeniul de convergență al seriei Taylor, care este un cerc¹⁾. Pentru o funcție dată

¹⁾ Această proprietate a seriei Laurent poate fi interpretată ca seria de puteri pozitive în $(s-s_0)$ care converge oriunde în interiorul lui C_2 din fig. 8, și seria de puteri negative care converge oriunde în interiorul lui C_1 , ambele fiind convergente simultan în domeniul circular dintre C_1 și C_2 .

$F(s)$ și un punct de dezvoltare s_0 , pot exista mai mult de o serie Laurent cu domenii diferite de convergență. Punctul dezvoltării poate fi un punct regulat sau un punct singular. Ca și în cazul unei serii Taylor, nu este absolut necesar să folosim formula indicată pentru determinarea coeficienților într-un caz particular. Dar teorema de identitate pentru seria Laurent, care este asemănătoare teoremei reziduului din capitolul următor, ne spune că indiferent de modul în care am obținut seria Laurent a unei funcții, ea trebuie să fie unică pentru un domeniu de convergență dat.

Să considerăm acum cazul particular al dezvoltării Laurent a unei funcții $F(s)$ în jurul punctului s_0 , care este un punct singular. Cercul interior din fig. A 2.8. nu mai conține alte singularități (aceasta implică faptul că singularitatea este izolată). Ne așteptăm deci ca seria Laurent să ne spună ceva despre natura unei singularități în s_0 . Ne amintim că seria Laurent conține două părți, puteri pozitive și puteri negative. Să definim *partea regulată* $F_r(s)$ a dezvoltării ca serie de puteri pozitive și constantă, și *partea principală* $F_p(s)$ ca serie de puteri negative. Dacă nu există partea principală, seria Laurent se va reduce la o serie Taylor și s_0 va fi un punct singular. Astfel, partea principală a seriei Laurent conține cheia (soluția) referitoare la natura singularității lui s_0 .

Pentru a descrie singularitatea în s_0 , dăm următoarea definiție. Spunem că $F(s)$ are un *pol de ordinul n* în s_0 , dacă cea mai mare putere în partea principală este n . (Un pol de ordinul I se numește un *pol simplu*). Pe de altă parte, dacă partea principală are un număr infinit de termeni, singularitatea în s_0 se numește *singularitate esențial izolată*. (Cuvîntul „izolat” este adesea omis).

Funcții definite prin serii

Unul din rezultatele pe care le-am menționat anterior, este acela că o serie de puteri definește o funcție analitică care este regulată în interiorul cercului său de convergență. Vom folosi acum această concluzie pentru a defini unele funcții particulare. Pînă acum am avut funcțiile raționale menționate explicit. În cazul variabilelor reale, cunoaștem importanța unor funcții ca exponențiala, funcțiile trigonometrice, hiperbolice, și altele. Totuși, nu putem considera ca bază definițiile acestor funcții pentru variabila complexă. Așa de exemplu, tangenta de o variabilă complexă nu poate fi definită ca raport a două laturi ale unui triunghi.

Folosim proprietatea seriei de puteri citată mai sus, pentru a defini o funcție exponențială astfel :

$$\begin{aligned}\varepsilon^s &= 1 + s + \frac{s^2}{2!} + \frac{s^3}{3!} + \dots = \sum_{k=0}^{\infty} \frac{s^k}{k!} \\ &= \varepsilon^\sigma (\cos \omega + j \sin \omega)\end{aligned}\quad (44)$$

Ultima formă este obținută prin înlocuirea $s = \sigma + j\omega$ în serie; dezvoltarea puterilor lui s , gruparea termenilor, și în final identificarea seriilor de puteri reale reprezentând ϵ^σ , $\cos \omega$ și $\sin \omega$. Nu avem libertatea deplină în alegerea unei serii care să definească pe ϵ^s , deoarece ea trebuie să se reducă la seria corectă când s este real.

Pentru determinarea razei de convergență a seriei definite, putem recurge la diferite teste de convergență a seriei (care nu au fost încă discutate). O altă variantă, deoarece seria reprezintă o funcție analitică, ar fi aceea de a folosi ecuațiile Cauchy-Riemann. În ultimul caz, se poate deduce că nu există puncte singulare în întregul plan finit, deoarece ecuațiile Cauchy-Riemann sînt satisfăcute oriunde. Deci seria converge oriunde. (Același rezultat este desigur obținut și prin testul făcut pentru convergența seriei). Putem acum urma aceeași procedură în definirea altor funcții transcendente în termenii seriei. Totuși, este mai simplu să definim funcțiile trigonometrice și hiperbolice în termenii exponențialei. Prin definiție, avem :

$$\sin s = \frac{\epsilon^{js} - \epsilon^{-js}}{2j}, \quad \cos s = \frac{\epsilon^{js} + \epsilon^{-js}}{2}, \quad \operatorname{tg} s = \frac{\sin s}{\cos s} \quad (45)$$

$$\operatorname{sh} s = \frac{\epsilon^s - \epsilon^{-s}}{2}, \quad \operatorname{ch} s = \frac{\epsilon^s + \epsilon^{-s}}{2}, \quad \operatorname{th} s = \frac{\operatorname{sh} s}{\operatorname{ch} s} \quad (46)$$

Se constată că sinușii și cosinușii trigonometrice și hiperbolici, ca și exponențialele, sînt funcții regulate pentru toate valorile finite ale lui s . Punctele singulare ale $\operatorname{tg} s$ apar când $\cos s = 0$, și anume pentru un număr infinit de valori reale ale lui s în punctele $s = (2k - 1)\pi/2$, pentru toate valorile întregi ale lui k . Similar, punctele singulare ale $\operatorname{th} s$ apar când $\operatorname{ch} s = 0$, și anume, la un număr infinit de valori imaginare ale lui s , în punctele $s = j(2k - 1)\pi/2$, pentru toate valorile întregi ale lui k .

Funcțiile trigonometrice și hiperbolice de o variabilă complexă satisfac practic toate identitățile satisfăcute de funcțiile reale corespunzătoare.

A 2.5. FUNCȚII MULTIFORME

În teoria funcțiilor reale definim un număr de funcții „inverse”. Aceste funcții pot fi extinse în planul complex ca funcții analitice. Așa după cum știm, multe din aceste funcții (rădăcina a n -a, inversul sinusului, etc.) sînt multiforme pe axa reală. Putem deci să ne așteptăm la o comportare similară în planul complex.

Funcția logaritmică

Să începem cu extinderea conceptului logaritmului. Definim :

$$G(s) = \log F(s) \quad (47a)$$

dacă și numai dacă

$$F(s) = e^{G(s)} \quad (47b)$$

(În această anexă ne vom conforma cu convenția de a scrie \log pentru logaritmul de bază e .) Deoarece cunoaștem semnificația lui (47b), cunoaștem de asemenea și semnificația lui (47a). Se observă că dacă $G(s)$ satisface (47b), și $G(s) + 2k\pi j$ satisface (47b) deoarece

$$e^{G(s) + j2k\pi} = e^{G(s)} e^{j2k\pi} = e^{G(s)} \quad (48)$$

(Folosim mai multe concluzii pentru funcția exponențială, concluzii care nu sînt justificate de noi, dar care pot fi foarte ușor demonstrate). Astfel (47a) nu definește o valoare unică funcțional pentru $G(s)$. Totuși, putem arăta că oricare două valori care satisfac (47b) pot diferi prin cel mult $j2k\pi$. Astfel, deși funcția $\log F(s)$ este multiformă, valorile sale diferă prin constante aditive simple $j2k\pi$. Vom găsi o formulă pentru una din aceste valori multiple scriind :

$$F(s) = |F(s)| e^{j \arg F(s)} \quad (49)$$

unde $\arg F(s)$ este valoarea principală a argumentului definit de :

$$-\pi < \arg F(s) \leq \pi. \quad (50)$$

Exprimînd $F(s)$ ca $\exp \log F(s)$, (49) devine :

$$\begin{aligned} F(s) &= e^{\log |F(s)|} e^{j \arg F(s)} \\ &= e^{[\log |F(s)| + j \arg F(s)]} \end{aligned} \quad (51)$$

Rezultă din definiția logaritmului că una din valorile acestei funcții este

$$\log F(s) = \log |F(s)| + j \arg F(s) \quad (52)$$

Această valoare principală, care este *unică* în virtutea lui (50) este cunoscută ca *valoare principală* a funcției logaritmice. Convenim să indicăm

acest lucru scriind $\log F(s)$ cu „ L' ”; similar, $\arg F(s)$ va reprezenta valoarea principală dată de (50). Astfel că putem scrie, pentru toate valorile funcției logaritmice,

$$\begin{aligned}\log F(s) &= \text{Log } F(s) + j2k\pi \\ &= \log |F(s)| + j[\arg F(s) + 2k\pi],\end{aligned}\tag{53}$$

unde k este un întreg pozitiv, negativ sau zero.

Există un număr infinit de valori pentru funcția logaritmică, una pentru fiecare valoare a lui k . Din cauza acestei dificultăți, să încercăm o simplificare, în sensul de a folosi numai valoarea principală $\text{Log } F(s)$. Înainte de a considera $\text{Log } F(s)$, să analizăm comportarea funcției $\text{Log } s$ în planul complex. $\text{Log } s$ este dată de :

$$\text{Log } s = \text{Log } r + j\theta,\tag{54}$$

unde

$$s = r e^{j\theta} \text{ cu } -\pi < \theta \leq \pi\tag{55}$$

Menționăm că unghiul θ este nedefinit pentru $s=0$. Deci, această ecuație nu definește $\text{Log } s$ la $s=0$. Nu are importanță cum definim $\text{Log } 0$, pentru că oricum $\text{Log } s$ nu este continuă în $s=0$, deoarece partea imaginară a $\text{Log } s$ ia orice valoare de la $-\pi$ la π în orice vecinătate a lui $s=0$. Deci $s=0$ este un punct singular al funcției $\text{Log } s$. Cu toate că ne-am limitat la valoarea principală, $\text{Log } s$ este discontinuă în oricare punct de pe axa reală negativă, deoarece, partea imaginară a $\text{Log } s$ este aici π , dar există puncte arbitrare pe ea la care partea imaginară este foarte aproape de $-\pi$. $\text{Log } s$ este neregulată în orice punct de pe axa reală negativă, inclusiv $s=0, \infty$. (Comportarea la ∞ este identică comportării la 0, deoarece $\text{Log } 1/s = -\text{Log } s$, așa cum puteți verifica singuri cu ușurință).

Punete de ramificație, tăieturi și suprafețe Riemann

Dacă considerăm planul complex „tăiat” de-a-lungul axei reale negative, așa cum se arată în fig. A 2.9, 'pentru a împiedica trecerea dintr-o parte a ei în cealaltă, $\text{Log } s$ este regulată în restul planului complex. De fapt avem :

$$\frac{d}{ds} \text{Log } s = \frac{1}{s}\tag{56}$$

în toate celelalte puncte ale planului „tăiat”. Astfel $\text{Log } s$ este primitiva lui $1/s$. Putem arăta că

$$\text{Log } s = \int_1^s \frac{dz}{z} \quad (57)$$

cu condiția ca „tăietura” (axa reală negativă) să nu fie intersectată de curba de integrare.

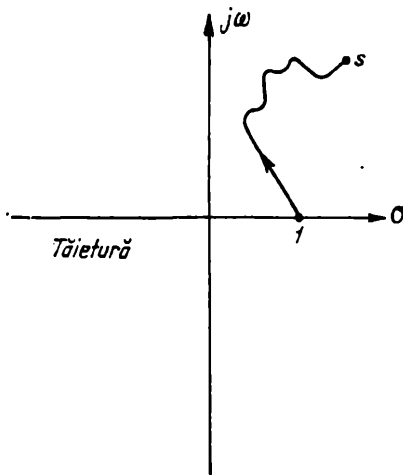


Fig. A.2.9. Tăietura în planul s .

Observații similare sînt valabile și pentru alte valori ale funcției logaritmice. Restricția la valoarea principală nu este necesară. Singurul lucru pe care-l putem face este să impunem restricția ca parte imaginară a $\log s$ să fie cuprinsă în domeniul 2π . O formă riguroasă pentru (57) se obține dacă adunăm la partea dreaptă un multiplu de $j2\pi$. Nu este strict necesar ca tăietura să fie făcută de-a-lungul axei reale negative. Putem tăia planul de-a-lungul oricărui vector radial definit de :

$$\theta_1 < \arg F(s) < 2\pi + \theta_1 \quad (58)$$

Nici această soluție nu este strict necesară. Se poate admite orice cale simplă de la $s=0$ la $s=\infty$.

Astfel, prin restricții adecvate, putem face funcția $\log s$ univocă și regulată în orice vecinătate. Fac excepție numai punctele $s=0, \infty$. Nu este posibil să facem $\log s$ regulat și univoc pentru o vecinătate mică a lui $s=0, \infty$. (Deoarece aceste puncte sînt puncte singulare, trebuie să le eliminăm dacă dorim să facem funcția regulată). Astfel, aceste două puncte singulare sînt diferite în caracter față de altele pe care le-am întîlnit pînă acum. Le vom numi puncte de ramificație. Mai precis, un punct de ramificație al funcției este definit astfel :

Punctul s_0 este un *punct de ramificație* al funcției $F(s)$ dacă s_0 este un punct singular izolat și nu există o vecinătate mică a lui s_0 în care $F(s)$ să fie definit sau determinabil ca o funcție regulată unică.

Observăm acum că planul are o tăietură de-a-lungul unei căi simple de la un punct de ramificație al lui $\log s$ la celălalt punct de ramificație. Fiecare valoare a $\log s$ astfel obținută se numește o *ramificație a funcției*. Astfel $\log s$ este o ramificație a $\log s$.

Riemann introduce un artificiu care ne permite să considerăm funcția \log completă și să o tratăm ca o funcție univocă. Acest concept important este cunoscut ca *suprafața Riemann*. Este dificil să definim aceasta în termeni preciși, și nici nu intenționăm să o facem. Vom descrie însă câteva suprafețe Riemann. Pentru funcția $\log s$, suprafața Riemann are următoarea structură. Considerăm că planul s este format dintr-un număr infinit de planuri identice. Unul din acestea este planul în care $\arg s$ este limitat la valoarea sa principală. Există un număr infinit de planuri deasupra acestuia și un număr infinit de planuri dedesubt. Toate aceste planuri sînt tăiate de-a-lungul axei reale negative, și au aceeași origine astfel că planurile sînt toate unite prin aceste puncte. Fiecare plan este de asemenea unit de cel imediat superior și de cel imediat inferior prin axa reală negativă. Muchia superioară a axei reale negative a fiecărui plan este aceeași cu muchia inferioară a axei reale negative a planului imediat următor. Întreaga suprafață Riemann apare ca o rampă în spirală fără sfîrșit.

Să considerăm $\log s$ pe o astfel de suprafață. Pe fiecare plan

$$\log s = \log |s| + j(\arg s + 2k\pi), \quad (59)$$

unde k este constanta întreagă. Valoarea lui k crește cu 1 cînd mergem pe planul imediat următor, și scadește cu 1 cînd mergem pe planul imediat anterior. Pe această suprafață Riemann, $\log s$ este o funcție regulată, univocă cu două puncte singulare $s=0, \infty$.

Putem acum să ne întoarcem la funcția $\log F(s)$. Considerăm $\log F(s)$ ca o funcție de s . În planul F , tăietura de ramificație merge de la $F(s)=0$ la $F(s)=\infty$. Să considerăm numai cel mai simplu caz în care $F(s)$ este rațional. Alte cazuri sînt ceva mai complicate. Punctele de ramificație în planul s sînt polii și zerourile lui $F(s)$. Fiecare tăietură de ramificație merge de la un zero la un pol. Numărul de tăieturi de ramificație la un zero (sau la un pol) este egal cu ordinul de multiplicitate al acestuia. Tăieturile de ramificație sînt astfel alese încît să nu se intersecteze decît în punctul de ramificație.

Un alt exemplu de concept al suprafeței Riemann se obține considerînd inversa funcției :

$$F(s) = s^2 \quad (60)$$

Inversa acestei funcții se numește *rădăcina patrată* și se scrie :

$$G(s) = s^{1/2} = \sqrt{s} \quad (61)$$

(Formal putem defini puterile lui s astfel :

$$s^\alpha = \varepsilon^{\alpha \log s}, \quad (62)$$

unde α poate fi orice număr complex). Ca și în cazul real, rădăcina patrată este o funcție cu două valori. Cele două valori G_1 și G_2 sînt legate prin relația

$$G_1(s) = -G_2(s) = G_2(s)\varepsilon^{j\pi} \quad (63)$$

Putem face această funcție univocă impunînd restricția asupra unghiului lui s , ca mai înainte ; astfel se obține :

$$-\pi < \arg s \leq \pi. \quad (64)$$

Definiția „rădăcinii patrurate pozitive” este

$$G_1(s) = \sqrt{|s|} \varepsilon^{1/2 j \arg s} \quad (65)$$

unde $\sqrt{|s|}$ este un număr real pozitiv. Și în acest caz, $G_1(s)$ nu este continuă pe axa reală negativă, inclusiv $s=0, \infty$. Punctele $s=0$, sînt puncte de ramificație ale funcției $G(s)$. Conceptul de suprafață Riemann poate fi introdus astfel. Sînt necesare două planuri ale suprafeței Riemann, ambele tăiate de-a-lungul axei reale negative. Pentru a face $G(s)$ continuă și regulată pe această suprafață, legăm două planuri de-a-lungul axei reale negative. Muchia superioară a axei reale negative a fiecărui plan este conectată la muchia inferioară a axei reale negative a următorului plan. (Desigur este inutil să încercăm să obținem o imagine în spațiul tridimensional). În această suprafață Riemann, $G(s)$ este regulat și univoc determinat cu excepția lui $s=0, \infty$.

Se vede că punctele de ramificație ale funcției $\log s$ sînt puțin diferite de punctele de ramificație ale lui $s^{1/2}$. În primul caz avem un număr infinit de ramificații, în al doilea caz avem numai un număr finit. Pentru a le distinge între ele, vom numi pe cea dintîi o *singularitate logaritmică* (sau un punct de ramificație logaritmică) și pe cealaltă *singularitate algebrică* (sau un punct de ramificație algebrică).

Desigur această discuție poate fi extinsă și la alte funcții algebrice iraționale, ca de exemplu

$$F(s) = \sqrt[3]{\frac{as^2 + bs + c}{ds + e}} \quad (66)$$

Clasificarea funcțiilor multiforme

Am văzut că singularitățile unei funcții analitice sînt extrem de importante. De fapt, putem *clasifica* funcțiile analitice în raport cu tipul și localizarea punctelor singulare. În continuare vom prezenta concis această clasificare.

Cel mai simplu caz este acela al unei funcții analitice care nu are singularități, nici în planul finit, nici la infinit. În acest caz, o teoremă cunoscută ca *teorema lui Liouville* ne spune că funcția este o constantă. În cazul următor, considerăm că funcția nu are singularități finite, dar are singularități la $s = \infty$. Un exemplu de astfel de funcție este funcția exponențială. O funcție care nu are singularități în planul finit s este cunoscută ca o *funcție întreagă*. Dacă singularitatea la infinit este un pol, vedem din dezvoltarea Laurent referitoare la infinit, că această funcție este un *polinom* (de asemenea numit *rațional întreg*). Dacă singularitatea la infinit este o singularitate esențială, funcția este o funcție *transcendentală întreagă*. Funcțiile e^s , $\sin s$, $\cos s$, etc., aparțin acestei categorii.

Citul a două funcții întregi este o *funcție meromorfă*. Singurele singularități ale funcției meromorfe, în planul finit, sînt puncte în care funcția întreagă a numitorului devine zero. Astfel o funcție meromorfă poate avea numai poli în partea finită a planului s . Comportarea la infinit împarte această clasă în două subclase. Dacă punctul ∞ este un punct regulat sau un pol, atunci se poate arăta că funcția are numai un număr finit de poli (se folosește teorema cunoscută ca teorema lui Bolzano-Weierstrass). Folosind dezvoltarea în fracții parțiale dată în paragraful A 2.7, putem arăta că această funcție este o *funcție rațională*, adică un cit de două polinoame. Reciproca: orice funcție rațională este o funcție meromorfă cu cel mult un pol la $s = \infty$. Un exemplu de funcție meromorfă nerațională este $\operatorname{tg} s$ sau $\operatorname{cosec} s$.

Toate aceste funcții sînt funcții univoce. Funcțiile multiforme pot fi clasificate în raport cu numărul de puncte de ramificație și numărul de ramificații la fiecare punct de ramificație. O funcție cu un număr finit de puncte de ramificație și un număr finit de ramificații este o funcție *algebrică irațională*. Să vedem exemple de astfel de funcții. Funcția logaritmică poate fi folosită să construim exemple pentru un număr infinit de ramificații. Funcția $\log s$ are un număr infinit de puncte de ramificație și un număr infinit de ramificații, în timp ce funcția $\sqrt{\sin s}$ are un număr infinit de puncte de ramificație la fiecare punct de ramificație. Acestor trei clase nu li s-au asociat nume speciale.

A. 2.6. TEOREMA REZIDUURILOR

Teorema Cauchy tratează problema integralei pe contur închis a unei funcții când funcția este regulată în interiorul conturului. Acum avem informațiile necesare pentru a determina valoarea unei integrale pe contur închis când conturul include unul sau mai multe puncte singulare ale funcției. Pentru aceasta propunem să reluăm formula pentru coeficienții unei serii Laurent dată în (43) și să considerăm coeficientul primului termen al puterilor inverse, $k=1$. Acesta este :

$$a_{-1} = \frac{1}{2\pi j} \int_C F(z) dz \quad (67)$$

Acesta este un rezultat extrem de important. El afirmă că dacă o funcție este integrată pe un contur închis în interiorul căruia funcția are un punct singular, valoarea integralei va fi $2\pi j$ înmulțit cu coeficientul primului termen de putere negativă din seria Laurent. Niciunul din ceilalți termeni din serie nu are nici o contribuție asupra integralei. Vom numi acest coeficient *reziduu*. Menționăm că funcția este regulată pe contur.

Dacă conturul în discuție include mai mult de un punct singular (dar un număr finit), putem închide fiecare punct singular într-un contur mai mic, situate toate în interiorul conturului principal. Trasând canale de separare într-un mod obișnuit, găsim că valoarea integralei în jurul conturului original este egală cu suma integralelor în jurul conturilor mici, toate luate în sensul invers acelor ceasornicului. Să considerăm acum o serie Laurent referitoare la fiecare din punctele singulare. Așa cum se arată în paragraful precedent, valoarea integralei referitoare la fiecare contur mic este egală cu $2\pi j$ înmulțit cu reziduuul corespunzător. Deci integrala pe conturul original este egală cu $2\pi j$ înmulțit cu suma reziduurilor tuturor punctelor singulare din interiorul conturului ; astfel :

$$\int_C F(s) ds = 2\pi j \sum \text{reziduurilor funcției în punctele singulare} \quad (68)$$

Aceasta este cunoscută ca *teorema reziduurilor*. Pentru a găsi valoarea unei integrale pe contur închis este necesar să calculăm reziduurile referitoare la toate punctele singulare într-o manieră independentă de formula pentru coeficienții seriei Laurent.

Considerăm o funcție $F(s)$ care are un pol de ordinul n în s_0 . Dacă seria Laurent referitoare la s_0 este multiplicată cu $(s-s_0)^n$, rezultatul va fi

$$(s-s_0)^n F(s) = a_{-n} + a_{-n+1}(s-s_0) + \dots + a_{-1}(s-s_0)^{n-1} + a_0(s-s_0)^n + \dots \quad (69)$$

Funcția din stînga este regulată în s_0 , și seria din dreapta este seria Taylor reprezentată în vecinătatea lui s_0 . Folosind formula pentru cîeficienții Taylor, obținem

$$a_{-1} = \frac{1}{(n-1)!} \frac{d^{n-1}}{ds^{n-1}} \left[(s-s_0)^n F(s) \right] \Big|_{s=s_0} \quad (70)$$

Pentru un pol simplu, aceasta se reduce la următoarea formă simplă :

$$a_{-1} = (s-s_0) F(s) \Big|_{s=s_0} \quad (71)$$

Pentru poli, cunoaștem acum o cale simplă de determinare a reziduurilor. Pentru determinarea reziduului referitor la un pol simplu se cunosc și alte variante de calcul mai comode. Dacă funcția dată este de forma :

$$F(s) = G(s)/H(s) \quad (72)$$

și s_0 este un pol simplu al funcției $F(s)$, de obicei $H(s)$ are un zero simplu în s_0 și $G(s)$ este regulat și diferit de zero în s_0 . În acest caz putem scrie :

$$\text{reziduul lui } F(s) \text{ în } s_0 = \lim_{s \rightarrow s_0} (s-s_0)F(s) = \frac{\lim_{s \rightarrow s_0} G(s)}{\lim_{s \rightarrow s_0} H(s)/(s-s_0)} \quad (73)$$

deoarece $G(s)$ este regulat în s_0 . Astfel limita numărătorului este $G(s_0)$. Pentru limita numitorului, scădem $H(s_0)$ din $H(s)$, ceea ce este permis deoarece $H(s_0)=0$. Se obține :

$$\text{reziduul lui } F(s) \text{ în } s_0 = \frac{G(s_0)}{\lim_{s \rightarrow s_0} [H(s)-H(s_0)]/(s-s_0)} = \frac{G(s_0)}{H'(s_0)} \quad (74)$$

deoarece limita cîtului de la numitor este prin definiție derivata funcției $H(s)$.

Dacă pe de altă parte scriem :

$$F(s) = \frac{1}{F^{-1}(s)} \quad (75)$$

și urmăm același raționament, se obține :

$$\text{reziduul lui } F(s) \text{ în } s_0 = \frac{1}{\frac{d}{ds} \frac{(1)}{F(s)}} \Big|_{s=s_0} \quad (76)$$

Rezultă că reziduul la un pol simplu este inversa derivatei funcției reciproce.

Una din aplicațiile importante ale teoremei reziduurilor este următoarea teoremă a identității pentru seria Laurent;

Dacă două serii Laurent :

$$\sum_{n=-\infty}^{\infty} a_n (s-s_0)^n \quad \text{și} \quad \sum_{n=-\infty}^{\infty} b_n (s-s_0)^n$$

au un domeniu comun de convergență $R_1 < |s-s_0| < R_2$ și reprezintă aceeași funcție în acest domeniu, atunci :

$$a_n = b_n \quad (\text{toate valorile lui } n, -\infty < n < \infty)$$

Rezultă că cele două serii reprezintă aceeași funcție

$$\sum_{n=-\infty}^{\infty} a_n (s-s_0)^n = \sum_{n=-\infty}^{\infty} b_n (s-s_0)^n \quad (R_1 < |s-s_0| < R_2) \quad (77)$$

Deoarece seriile de puteri pozitive și negative sînt serii de puteri, ele converg uniform pentru $|s-s_0| \leq R_2 - \varepsilon$, ($\varepsilon > 0$) și $|s-s_0| \geq R_1 + \varepsilon$ respectiv. Deci în domeniul circular $R_1 + \varepsilon \leq |s-s_0| \leq R_2 - \varepsilon$, seriile Laurent sînt uniform convergente. Multiplicăm acum ambele părți din (77) prin $(s-s_0)^{k-1}$, unde k este întreg, pozitiv, negativ sau zero, și integrăm de-a-lungul unei căi circulare C care cade în domeniul de convergență uniformă și încercuiește pe s_0 . Folosind teorema reziduurilor, obținem;

$$a_{-k} = b_{-k} \quad (\text{pentru } -\infty < k < \infty)$$

Evaluarea integralei definite

Teorema reziduului (care include teorema lui Cauchy) ne oferă o modalitate de evaluare a multor integrale definite, reale care nu pot fi evaluate prin alte metode. Alegem o funcție de s care se reduce la integrandul real dat cînd s este real, și alegem un contur închis care include în el intervalul dorit pentru integrala definită. Dacă putem acum să găsim reziduurile la singularitățile integrandului care pot cădea în interiorul conturului ales, și dacă putem calcula independent contribuția la integrala pe conturul închis a celeilalte părți care completează intervalul dorit, se poate găsi valoarea integralei dorite.

În evaluarea unor astfel de integrale pot apare două situații. Se poate întâmpla ca integrandul să aibă un pol simplu pe calea de integrare. Pentru a aplica teorema reziduurilor, funcția trebuie să fie regulată pe conturul închis. Această situație este remediată prin distorsionarea conturului printr-un arc semicircular, așa cum se arată în fig. A.2.10. Noul contur este desigur diferit de cel original. Vom face totuși ca raza semicercului să tindă către zero. Rămâne de calculat contribuția semicercului la integrala pe conturul închis.

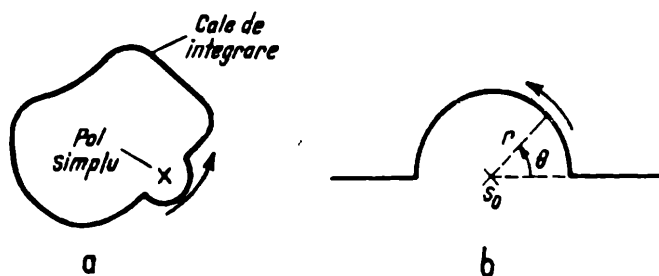


Fig. A.2.10. Distorsionarea conturului de integrare în jurul polului.

Considerăm calea semicirculară arătată în fig. A. 2.10b în jurul unui pol simplu în s_0 . Dezvoltarea Laurent a lui $f(s)$ referitoare la s_0 are forma :

$$F(s) = \frac{a_{-1}}{s-s_0} + \sum_{n=0}^{\infty} a_n (s-s_0)^n. \quad (78)$$

Menționăm că direcția căii este înconjurarea polului în sens contrar acelor ceasornicului când deformarea conturului s-a făcut astfel încît polul să cadă în interiorul conturului. Putem de asemenea proceda la excluderea polului din contur. Atunci, valoarea obținută va fi negativă celei obținute aici. Seria poate fi integrată termen cu termen; fie $(s-s_0) = r\epsilon^{j\theta}$ și fie C notația semicercului. Pe semicerc, θ variază de la 0 la π . Integrala din $F(s)$ pe semicerc devine

$$\begin{aligned} \int_C F(s) ds &= \int_0^\pi \frac{a_{-1}}{r\epsilon^{j\theta}} jr\epsilon^{j\theta} d\theta + \sum_n a_n \int_0^\pi r^n \times \epsilon^{jn\theta} jr\epsilon^{j\theta} d\theta \\ &= j\pi a_{-1} + \sum_n \frac{a_n r^{n+1}}{n+1} (\epsilon^{j(n+1)\pi} - 1) \end{aligned} \quad (79)$$

Se observă că primul termen este independent de raza r a semicercului. Când raza r tinde către zero, fiecare termen din sumă va tinde către zero. Deci

$$\int_{\text{semicerc}} F(s) ds = j\pi a_{-1}; \quad (80)$$

astfel că, integrala pe o jumătate de cerc în jurul unui pol simplu va avea jumătate din valoarea unei integrale pe un cerc complet. Dacă conturul este o fracțiune k a unui arc circular, folosind același raționament, contribuția acestuia va fi $k(2\pi ja_{-1})$.

Lema lui Jordan

O altă situație care apare adesea la integralele definite este necesitatea evaluării unei integrale cu limite infinite, adică

$$I = \int_{-\infty}^{\infty} f(\omega) d\omega \quad (81)$$

O astfel de integrală se numește o integrală improprie. Se folosește notația echivalentă

$$I = \lim_{R_0 \rightarrow \infty} \int_{-R_0}^{R_0} f(\omega) d\omega \quad (82)$$

Valoarea obținută mergând spre valori infinite negative și pozitive într-un mod simetric, este numită valoarea principală a integralei. Acest tip de integrală poate fi evaluată prin alegerea unui contur constând din axa imaginară de la $-R_0$ la R_0 și un semicerc mare în semiplanul drept sau stîng, așa cum este arătat în fig. A.2.11. Integrandul trebuie să fie o funcție $F(s)$ care se reduce la integrandul dat pe axa imaginară. Folosirea teoremei reziduurilor ne permite acum evaluarea integralei dorite, cu condiția ca integrala pe arcul semicircular să tindă către o limită cînd $R_0 \rightarrow \infty$, și ca această limită să poată fi găsită. Situația cea mai dorită este ca acest arc să nu aibă nici o contribuție asupra integralei. Se poate arăta că dacă

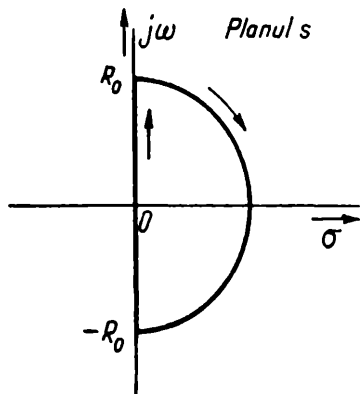


Fig. A.2.11. Contur pentru evaluarea integralelor infinite.

$sF(s)$ tinde uniform către zero¹⁾ pe arc, cînd raza cercului tinde către infinit, atunci nu există nici o contribuție din partea arcului infinit; de exemplu, dacă $F(s)$ este un raport a două polinoame, gradul numitorului trebuie să depășească pe al numitorului prin 2 sau mai mult.

Fie t o variabilă reală și să presupunem că integrandul are forma :

$$F(s) = G(s)\varepsilon^s \quad (83)$$

Se poate arăta că pentru $t > 0$, arcul infinit din semiplanul stîng nu va contribui asupra integralei, și același lucru este valabil și pentru arcul din dreapta pentru $t < 0$, cu condiția ca $G(s)$ să tindă uniform către zero cînd raza semicercului tinde către infinit. Acest rezultat este numit *lema lui Jordan*. Prezența exponențialei face inutilă restricția privind restul integrandului. Astfel dacă $G(s)$ este un raport de două polinoame, este suficient ca gradul numitorului să-l depășească pe al numărătorului cu 1 (sau mai mult).

Așa de exemplu să considerăm evaluarea integralei :

$$I = \int_0^\infty \frac{\sin \omega t}{\omega} d\omega \quad (84)$$

Exprimînd funcția sinus în termenii exponențialei, obținem :

$$I = \int_0^\infty \frac{\varepsilon^{j\omega t}}{2j\omega} d\omega + \int_0^\infty \frac{\varepsilon^{-j\omega t}}{2j\omega} d\omega \quad (85)$$

Dacă în a doua integrală înlocuim pe ω cu $-\omega$, integrandul va deveni identic cu cel al primei integrale, în timp ce limitele vor deveni $-\infty$ la zero. Cele două integrale pot fi deci combinate și se obține :

$$I = \frac{1}{2j} \int_{-\infty}^\infty \frac{\varepsilon^{-j\omega t}}{\omega} d\omega \quad (86)$$

Considerăm acum integrala :

$$\int \frac{\varepsilon^s}{s} ds \quad (87)$$

¹⁾ Adică, limita tinde către același număr pentru toate unghiurile lui s din interiorul acestui domeniu. Domeniul este $|\arg s| \leq \pi/2$ pentru un semicerc în semiplanul drept și $|\arg s| \leq \pi/2$ pentru un semicerc în semiplanul stîng. În limba $\varepsilon - \delta$, amplitudinea diferenței dintre $sF(s)$ și limită (în acest caz 0), poate fi făcută mai mică ca ε , atunci cînd $|s| > N(\varepsilon)$, unde $N(\varepsilon)$ este independent de $\arg s$ în domeniul considerat.

unde conturul C este conturul închis prezentat în fig. A.2.12. Integrandul are un pol simplu pe conturul original, astfel că vom modifica conturul făcându-l să ocolească polul așa cum este arătat în figură. Conturul complet conține două porțiuni ale axei $j\omega$ și două semicercuri, raza unuia va tinde

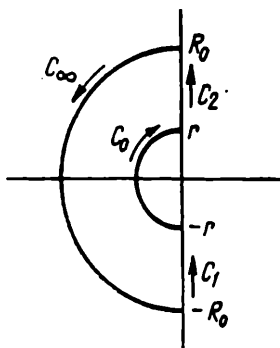


Fig. A.2.12. Cale de integrare pentru evaluarea unei integrale.

către zero în timp ce a celuilalt va tinde către infinit. Deoarece integrandul este regulat oriunde în interiorul conturului, integrala pe conturul închis va fi egală cu zero. Putem scrie

$$\int_C \frac{\varepsilon^s}{s} ds = 0 = \int_{-R_0}^{-r} \frac{\varepsilon^{j\omega t}}{\omega} d\omega + \int_{C_0} \frac{\varepsilon^s}{s} ds + \int_r^{R_0} \frac{\varepsilon^{j\omega t}}{\omega} d\omega + \int_{C_\infty} \frac{\varepsilon^s}{s} ds \quad (88)$$

Integrandul satisface lema lui Jordan, astfel că ultima integrală din această ecuație se anulează. Valoarea integralei pe C_0 este, în concordanță cu (80), $-j\pi$ înmulțit cu reziduul integrandului la $s=0$. Pentru calculul reziduului se folosește (71) și se găsește că este 1. Deci :

$$\int_{C_0} \frac{\varepsilon^s}{s} ds = -j\pi \quad (89)$$

Putem scrie acum (88) astfel :

$$\lim_{\substack{r \rightarrow 0 \\ R_0 \rightarrow \infty}} \left\{ \int_{-R_0}^{-r} \frac{\varepsilon^{j\omega t}}{\omega} d\omega + \int_r^{R_0} \frac{\varepsilon^{j\omega t}}{\omega} d\omega \right\} = j\pi \quad (90)$$

Din ecuațiile (86) și (90) obținem în final

$$I = \int_0^\infty \frac{\sin \omega t}{\omega} d\omega = \frac{1}{2j} j\pi = \frac{\pi}{2} \quad (91)$$

Principiul argumentului

Ca o altă aplicație a teoremei reziduurilor, vom demonstra acum o teoremă foarte utilă numită „principiul argumentului”. Fie $F(s)$ o funcție analitică care este regulată într-un domeniu R , excepție făcând pentru poli.

Să evaluăm integrala :

$$\int_C \frac{F'(s)}{F(s)} ds \quad (92)$$

în jurul unui contur închis C în domeniul R parcurs în sens invers acelor ceasornicului, unde prim indică diferențiala. Nu există poli sau zerouri ai lui $F(s)$ pe conturul C .

Presupunem că $F(s)$ are un zero de ordinul n într-un punct s_1 din R . Putem scrie :

$$F(s) = (s-s_1)^n F_1(s)$$

$$F'(s) = n(s-s_1)^{n-1} F_1(s) + (s-s_1)^n F'_1(s) \quad (93)$$

$$\frac{F'(s)}{F(s)} = \frac{n}{s-s_1} + \frac{F'_1(s)}{F_1(s)}$$

Se constată că această funcție are un pol simplu la zeroul lui $F(s)$ cu reziduul n . Funcția $F_1(s)$ poate acum fi tratată în același mod și vom repeta această procedură pînă cînd toate zerourile funcției originale $F(s)$ vor fi puse în evidență. Fiecare zero va conduce la un termen asemănător primului din partea dreaptă a lui (93).

Să presupunem acum că $F(s)$ are un pol de ordinul m într-un punct s_2 din R . Putem scrie

$$F(s) = \frac{F_2(s)}{(s-s_2)^m}$$

$$F'(s) = \frac{(s-s_2) F'_2(s) - m F_2(s)}{(s-s_2)^{m+1}} \quad (94)$$

$$\frac{F'(s)}{F(s)} = -\frac{m}{s-s_2} + \frac{F'_2(s)}{F_2(s)}$$

Se constată că funcția dorită are un pol simplu la polul lui $F(s)$ cu un rezidu care este negativul ordinului său. Această procedură poate fi din

nou repetată, și fiecare pol al lui $F(s)$ va conduce la un termen asemănător primului din partea dreaptă a ultimei ecuații. Singularitățile lui $F'(s)/F(s)$ din domeniul R vor coincide cu zerourile și polii lui $F(s)$ deci din teorema reziduurilor, valoarea integralei pe conturul dorit va fi :

$$\int_C \frac{F'(s)}{F(s)} ds = 2\pi j \left[\sum n_j - \sum m_j \right]. \quad (95)$$

unde n_j sînt ordinele zerourilor lui $F(s)$ din R , și m_j sînt ordinele polilor. Observăm că :

$$\frac{F'(s)}{F(s)} = \frac{d}{ds} \log F(s) \quad (96)$$

Putem deci evalua integrala pe contur cu ajutorul primitivei $F'(s)/F(s)$, care este $\log F(s)$. Prin parcurgerea conturului C înțelegem că pornim dintr-un punct și ne întoarcem în același punct. Menționăm că funcția multiformă $\log F(s)$ va avea aceeași parte reală la revenirea în punctul de plecare. Deci, valoarea integralei va fi de j ori creșterea unghiului lui $F(s)$ cînd s parcurge conturul C în sens invers acelor ceasornicului. Aceasta va fi egală cu partea dreaptă a lui (95). Dacă împărțim acum prin 2π , rezultatul va fi un număr care indică de cîte ori conturul C din planul F înconjoară originea în sens invers acelor ceasornicului (creșterea unghiului împărțită prin 2π este numărul de încercuiri ale originii în sens invers acelor ceasornicului).

Să enunțăm acum principiul argumentului. *Dacă o funcție $F(s)$ nu are puncte singulare în interiorul unui contur C , cu excepția polilor, și nu are zerouri nici poli-pe C , atunci numărul de încercuiri ale originii în sens invers acelor ceasornicului de către locul curbei C în planul F , este egal cu numărul de zerouri minus numărul de poli ai lui $F(s)$ din interiorul lui C . Fiecare pol sau zero este luat în calcul fiind seama de multiplicitatea sa.*

Înainte de a încheia acest capitol, să considerăm o altă problemă a integralei pe contur. Aceasta este problema integrării unei funcții în jurul unei singularități logaritmice.

Să considerăm, prin urmare, integrala :

$$\int_P \log F(s) ds$$

unde calea P este un arc în jurul unui zero sau unui pol al lui $F(s)$, așa cum se arată în fig. A.2.10 b. Să considerăm că $F(s)$ are un zero (sau un pol) de ordinul k în s_0 . În acest caz putem scrie :

$$F(s) = (s - s_0)^k F_1(s) \quad (97a)$$

$$\log F(s) = k \log (s - s_0) + \log F_1(s) \quad (97b)$$

Dacă s_0 este un pol, fie k un număr întreg, negativ în aceste expresii astfel că putem face discuția simultană a unui zero de ordinul k și a unui pol de ordinul $-k$. Deoarece am presupus că raza cercului tinde către zero, $\log F_1(s)$ nu va contribui în nici un fel asupra integralei, deci ea este regulată în s_0 . Rezultă că este suficient să considerăm :

$$\int_P \log(s - s_0) ds$$

dacă dorim să luăm limita, și așa vom face.

Pe arcul de rază r , putem estima :

$$\left| \int_P \log(s - s_0) ds \right| \leq r \theta |\log r| + r \theta^2 = \theta |r \log r| + r \theta^2 \quad (98)$$

unde θ este unghiul sub care se vede arcul privit din origine. Se știe că :

$$\lim_{r \rightarrow 0} r \log r = 0 \quad (99)$$

Deci

$$\lim_{r \rightarrow 0} \int_P \log F(s) ds = 0 \quad (100)$$

și acesta este rezultatul pe care doream să-l obținem. Am arătat că o singularitate logaritmică care cade pe o cale de integrare nu afectează integrala.

A. 2.7. DEZVOLTAREA ÎN FRAȚII PARȚIALE

Dezvoltarea Laurent a unei funcții referitor la un punct singular exprimă o funcție într-un domeniu circular referitor la acest punct singular. Deși funcția poate avea și alte puncte singulare, nu putem avea o evidență a acestor puncte singulare. Uneori poate fi util să avem o reprezentare a funcției care să pună în evidență toate punctele sale singulare.

Presupunem că o funcție $F(s)$ are singularități izolate la un număr finit n de puncte în planul finit. Putem de asemenea avea o singularitate la infinit. Să considerăm dezvoltarea $F(s)$ într-o dezvoltare Laurent referitoare la unul din punctele singulare, să zicem s_1 . Rezultatul va fi :

$$F(s) = F_{p1}(s) + F_{r1}(s), \quad (101)$$

unde indicii se referă la partea principală și partea regulată.

Considerăm acum $F_{r_1}(s)$, care este funcția originală din care s-a scăzut partea principală a seriei Laurent referitoare la una din singularitățile sale. Aceasta este regulată în s_1 , dar are toate celelalte singularități ale lui $F(s)$. Să o dezvoltăm într-o serie Laurent referitoare la o altă singularitate, s_2 .

$$F_{r_1}(s) = F(s) - F_{p_1}(s) = F_{p_2}(s) + F_{r_2}(s) \quad (102)$$

Funcția $F_{p_1}(s)$ este regulată la singularitatea s_2 , deci ea nu va afecta partea principală $F_{p_2}(s)$. Aceasta înseamnă că partea principală $F_{p_2}(s)$ va fi aceeași dacă dezvoltăm $F_{r_1}(s)$ sau funcția originală $F(s)$.

Repetăm acum acest procedeu cu $F_{r_2}(s)$ pentru fiecare singularitate. La fiecare etapă se scade partea principală a dezvoltării Laurent pînă cînd epuizăm toate punctele singulare. Partea regulată a ultimei dezvoltări Laurent nu va avea alte singularități în planul finit. Rezultă că ea trebuie să fie o funcție întreagă. Am avut în vedere obținerea unei reprezentări a lui $F(s)$ de forma :

$$F(s) = \sum_{k=1}^n F_{p_k}(s) + F_r(s) \quad (103)$$

Fiecare din termenii sumei este partea principală a seriei Laurent a lui $F(s)$ dezvoltată referitor la una din singularitățile sale. Ultimul termen este o funcție întreagă. Dacă $F(s)$ este regulată la infinit, acest termen va fi o constantă. Dacă $F(s)$ are un pol de ordinul n la infinit, acest termen va fi un polinom de gradul n . În final, dacă $F(s)$ are o singularitate esențială la infinit, acest termen va fi o serie de puteri infinite. Reprezentarea unei funcții analitice dată în (103) este numită o dezvoltare în fracții parțiale.

Presupunem că o funcție are un număr infinit de poli și nu are singularități esențiale în planul finit (aceasta face funcția meromorfă). În aceste cazuri putem găsi de asemenea o dezvoltare în fracții parțiale. Suma părților principale din (103) va fi o serie infinită și în general nu poate converge. Cu toate acestea este posibil totdeauna să modificăm astfel termenii încît seria să devină convergentă. Dar în acest caz forma dezvoltării este modificată. Desigur, în unele cazuri o astfel de modificare nu este necesară, iar expunerea condițiilor în care această modificare este posibilă nu este simplă, și nu ne propunem să tratăm acest subiect. (Această dezvoltare este cunoscută ca dezvoltarea *Mittag-Leffler*).

A. 2.8. PRELUNGIRE ANALITICĂ

Chiar la începutul acestei anexe am definit o funcție analitică ca una care este diferențiabilă oriunde într-o vecinătate, oricît de mică, a unui punct. Mai tîrziu, din dezvoltarea Taylor a unei funcții analitice referitoare

la un punct s_0 în care funcția este regulată, vedem că cunoașterea tuturor derivatelor unei funcții analitice într-un punct ne permite să reprezentăm funcția oriunde într-un cerc în jurul punctului, un cerc care se extinde pînă la cea mai apropiată singularitate a funcției. Spunem că am obținut o reprezentare în serie de puteri a unei funcții referitoare la un punct, nu are importanță prin ce procedură, și această serie este unică. Putem expune acest rezultat într-o altă formă și anume: *Dacă două funcții sînt regulate*

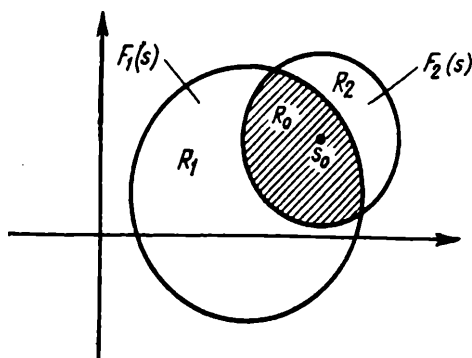


Fig. A.2.13. Domeniu comun de definire a două funcții.

într-un domeniu R și dacă ele coincid într-o vecinătate, nu are importanță cât de mică, a unui punct s_0 din R , atunci cele două funcții sînt egale oriunde în R . Această teoremă se numește teorema de identitate pentru funcții analitice. (De fapt, este necesar ca cele două funcții să coincidă numai pe un segment al căii, oricît de mic, sau chiar numai pe un număr finit de puncte distincte cu un punct limită în s_0).

Să considerăm acum două funcții $F_1(s)$ și $F_2(s)$, care sînt regulate în domeniul de suprapunere R_1 și R_2 , domeniul comun fiind R_0 , așa cum este arătat în fig. A 2.13. (Nu este necesar ca domeniul să fie circular așa cum se arată aici). Două funcții $F_1(s)$ și $F_2(s)$ se determină una pe alta univoc. Aceasta rezultă din teorema de identitate, deoarece numai o funcție poate fi regulată în R_1 (sau R_2) și poate avea aceiași valoare în R_0 .

Presupunem că se cunoaște funcția $F_1(s)$ în R_1 și putem găsi o funcție $F_2(s)$ în R_2 cu proprietățile considerate mai sus. Spunem că $F_1(s)$ este *prelungită analitic* dincolo de domeniul original în domeniul R_2 . Dar putem la fel de bine considera că $F_2(s)$ este funcția originală și $F_1(s)$ este *prelungirea analitică* în domeniul R_1 . Din acest motiv, spunem că fiecare din ele este o reprezentare parțială sau un element al unei funcții $F(s)$ care este regulată în R_1 și R_2 .

Problema poate fi tratată luînd ca punct de plecare un element $F_1(s)$ al funcției, care este în forma unei serii de puteri, și să determinăm prelungirea sa analitică în afara cercului original de convergență. Se poate folosi

din nou fig. A 2.13. Presupunem că alegem un punct s_0 în domeniul R_1 . Din elementul dat $F_1(s)$ putem evalua toate derivatele în s_0 și formăm o nouă serie de puteri referitoare la s_0 . Această serie converge sigur în R_1 , domeniul original de convergență al lui $F_1(s)$, și poate de asemenea converge într-un cerc care se extinde dincolo de cercul original, așa cum se arată în fig. A 2.13. Seria definește un alt element $F_2(s)$ al funcției pentru care $F_1(s)$ este de asemenea un element. Putem alege un alt punct în interiorul noului domeniu R_2 , și calculăm o nouă serie care poate converge într-un cerc care se extinde dincolo de limita lui R_2 .

Această procedură poate fi acum repetată. Trebuie însă evitată existența unui punct singular în cercul obținut prin extinderea dincolo de cel precedent, punct singular care cade pe circumferința primului cerc și pe raza primului cerc dusă prin centrul celui de al doilea cerc. Această situație poate fi evitată prin alegerea unui alt punct pentru centrul celui de al doilea cerc, *afară de cazul în care fiecare punct de pe primul cerc este un punct singular*. Aceasta este o situație posibilă, dar nu este comună. Într-un astfel de caz, funcția originală se numește *mărginită natural*, și dincolo de această limită ea nu poate fi prelungită analitic.

Cu excepția unei limitări naturale, un element poate fi prelungit analitic în întregul plan prin acest procedeu de suprapunere a cercurilor. Singurele puncte care vor fi eliminate din interiorul oricărui cerc vor fi punctele singulare. Șirul de funcții definite în aceste cercuri, vor fi toate elemente ale unei funcții singulare. Este justificată acum definiția funcției analitice.

Procedeul descris aici are o valoare practică redusă, deoarece nicio dată nu vom calcula toate elementele unei funcții în acest mod. Totuși, ea are o importanță deosebită în ceea ce privește comportarea fundamentală a funcției.

În procesul de realizare (cel puțin în imaginație) a suprapunerii cercurilor, presupunem că unul din ele se suprapune complet peste cel anterior. Problema care apare este dacă valorile date de ultima funcție vor fi aceleași cu acelea date pentru prima în domeniul comun al celor două cercuri. Dacă aceste valori diferă, atunci funcția definită de acest set de elemente va fi multiformă.

Să considerăm acum un alt aspect al prelungirii analitice. Presupunem că o funcție este definită de-a-lungul unui arc simplu care cade în domeniul R . Este posibil să găsim o funcție care este regulată în R și coincide cu aceea definită pe arcul simplu. Această funcție va fi de asemenea numită prelungirea analitică a celei originale. Arcul simplu poate fi de exemplu o parte sau toată axa $j\omega$. Dacă luăm de exemplu o funcție care are valoarea $1+j\omega$ pentru intervalul $1 \leq \omega \leq 2$, prelungirea analitică este $1+s$. Nu există nici o altă funcție care să fie regulată în domeniul care conține intervalul dat de pe axa $j\omega$ și care să coincidă cu funcția dată în acest interval.

ANEXA 3

Teoria transformatelor Laplace

Ca și în cazul Anexei 2 privitoare la funcțiile de variabilă complexă, această anexă privitoare la transformările Laplace va servi ca referință acelor cititori familiarizați cu subiectul. Prezentarea va fi făcută în linii mari și completată cu ilustrații, discuții etc.

Conceptul de transformare a unei funcții poate fi abordat pornind de la ideea folosirii unei schimbări de variabilă în scopul simplificării soluției unei probleme. Astfel dacă avem o problemă ce implică variabila x , substituim x cu o altă expresie, în funcție de noua variabilă (de exemplu $x = \sin \theta$), cu anticiparea că problema va avea o formulare și o soluție mai simplă în raport cu noua variabilă. După obținerea soluției în raport cu noua variabilă, folosim inversa schimbării precedente și găsim astfel soluția problemei originale.

Adesea este necesară o „schimbare de variabilă” mai complicată, sau transformare. Dacă se dă o funcție $f(t)$ de variabila t , definim o *transformată integrală a lui $f(t)$* astfel

$$\text{transformata integrală a lui } f(t) = \int_a^b f(t) K(t,s) dt. \quad (1)$$

Funcția $K(t,s)$ care este o funcție de două variabile, se numește *nucleul transformării*. Observăm că transformata integrală nu mai depinde de t ; este o funcție de variabila s de care depinde nucleul.

A.3.1. TRANSFORMATELE LAPLACE: DEFINIȚIE ȘI PROPRIETĂȚI DE CONVERGENȚĂ

Tipul de transformată care se obține și tipurile de probleme în care este utilă depind de două lucruri: de nucleu și de limitele de integrare. Pentru alegerea particulară a nucleului $K(s,t) = e^{-st}$ și a limitelor 0 și infinit,

transformata se numește *transformată Laplace* și se notează cu $\mathcal{L}\{f(t)\}$. Astfel

$$\mathcal{L}\{f(t)\} = \int_0^{\infty} f(t) e^{-st} dt. \quad (2)$$

Transformata Laplace a lui $f(t)$ este astfel o funcție de variabila complexă s . Vom nota transformata Laplace a lui $f(t)$ cu $F(s)$. Din cauză că este definită ca o integrală, transformata Laplace este o *funcțională liniară*; adică dacă $f_1(t)$ și $f_2(t)$ au transformatele Laplace $F_1(s)$ și $F_2(s)$ iar k_1, k_2 sînt constante, rezultă

$$L\{k_1 f_1(t) + k_2 f_2(t)\} = k_1 F_1(s) + k_2 F_2(s). \quad (3)$$

Deoarece ecuația de definiție conține o integrală cu limite infinite, una din primele întrebări la care trebuie dat un răspuns este aceea asupra existenței transformatelor Laplace. Un exemplu simplu de funcție care nu are o transformată Laplace este e^{st} . Să enunțăm așadar cîteva teoreme (din care cîteva le vom demonstra) privitoare la convergența integralei Laplace. Deoarece s apare ca un parametru semnificativ în (2), ne putem aștepta ca convergența să depindă de valorile particulare ale lui s . În general, integrala converge pentru anumite valori ale lui s și diverge pentru altele.

În toate teoremele ce urmează vom considera numai funcții $f(t)$ integrabile fără a mai specifica acest lucru de fiecare dată. Ca o primă teoremă considerăm următoarea afirmație :

Dacă o funcție $f(t)$ este mărginită pentru orice $t \geq 0$, atunci integrala Laplace converge absolut pentru $\operatorname{Re}(s) > 0$.

Pentru demonstrarea teoremei, observăm că condiția asupra lui $f(t)$ înseamnă că $|f(t)| < M$ pentru orice $t \geq 0$, unde M este un număr pozitiv. Atunci pentru $\sigma > 0$ vom obține

$$\int_0^T |\varepsilon^{-st} f(t)| dt < M \int_0^T \varepsilon^{-\sigma t} dt = \left(\frac{M}{\sigma} \right) (1 - \varepsilon^{-\sigma T}). \quad (4)$$

La limită, cînd T tinde către infinit, membrul drept tinde către M/σ . Deci

$$\int_0^{\infty} |\varepsilon^{-st} f(t)| dt < \frac{M}{\sigma} \quad (\sigma > 0). \quad (5)$$

Funcțiile cunoscute ca sin, cos, și alte funcții periodice cum ar fi unda dreptunghiulară, satisfac condițiile teoremei. Înainte de a comenta această teoremă sa considerăm și teorema de mai jos

Dacă integrala Laplace converge pentru un anumit $s_0 = \sigma_0 + j\omega_0$ atunci converge pentru orice $\sigma > \sigma_0$.

Fie

$$\int_0^{\infty} e^{-s_0 t} f(t) dt = k_0, \quad (6)$$

unde k_0 este o constantă, deoarece s_0 este un număr complex fixat. Definim funcția auxiliară

$$\int_0^{\tau} e^{-s_0 t} f(t) dt = g(\tau). \quad (7)$$

Dar $g(\tau)$ are limită cînd τ tinde la ∞ ; adică, k_0 . Deci $g(\tau)$ este mărginită pentru orice τ . Atunci vom scrie integrala Laplace ca mai jos și integrînd prin părți obținem

$$\begin{aligned} \lim_{T \rightarrow \infty} \int_0^T e^{-st} f(t) dt &= \lim_{T \rightarrow \infty} \int_0^T e^{-(s-s_0)t} e^{-s_0 t} f(t) dt \\ &= \lim_{T \rightarrow \infty} \left\{ e^{-(s-s_0)t} g(t) \Big|_0^T - \int_0^T [-(s-s_0) e^{-(s-s_0)t} g(t)] dt \right\}, \end{aligned} \quad (8)$$

sau

$$\lim_{T \rightarrow \infty} \int_0^T e^{-st} f(t) dt = \lim_{T \rightarrow \infty} \left\{ e^{-(s-s_0)T} g(T) - g(0) + (s-s_0) \int_0^T e^{-(s-s_0)t} g(t) dt \right\}. \quad (9)$$

Dar $g(0)=0$, $g(\infty)=k_0$, și dacă $\sigma > \sigma_0$, atunci $e^{-(s-s_0)T} g(T)$ tinde către zero cînd T tinde către ∞ . De asemenea, ținînd seama de teorema precedentă, ultima integrală din (9) converge absolut pentru $\sigma > \sigma_0$ cînd T tinde către ∞ . Astfel afirmația se verifică. De fapt

$$\int_0^{\infty} e^{-st} f(t) dt = (s-s_0) \int_0^{\infty} e^{-(s-s_0)t} g(t) dt \quad (\sigma > \sigma_0). \quad (10)$$

Această afirmație poate fi întărită arătînd că integrala Laplace converge *absolut* pentru $\sigma > \sigma_0$, dacă converge pentru σ_0 . Totuși nu vom avea nevoie de acest rezultat în cazul general. Pentru funcții de ordin exponențial (pentru a fi definite prescurtat) putem demonstra mai ușor acest lucru.

Astfel regiunea (mulțimea) de convergență a integralei Laplace este un *semiplan*, deoarece conform teoremei de mai sus dacă integrala converge pentru un anumit punct din planul s , ea converge pentru toate punctele situate la dreapta acestuia. Deci putem defini o *abscisă de convergență* σ_c astfel încît integrala Laplace converge pentru orice s cu $\sigma > \sigma_c$ și diverge pentru orice s cu $\sigma < \sigma_c$. O afirmație mai puternică pe care nu am demonstrat-o este aceea că regiunea de convergență este de asemenea regiune de convergență absolută. Astfel, comportarea integralei Laplace este oarecum analoagă cu comportarea seriilor de puteri. Funcția $f(t)$ joacă rolul coeficienților seriei de puteri și funcția ε^{-st} joacă rolul lui $(s-s_0)^n$. Așa cum o serie de puteri poate avea orice comportare pe cercul de convergență, integrala Laplace poate avea de asemenea orice comportare ¹⁾ pe abscisa de convergență.

Singura diferență este legată de existența unui punct singular pe cercul de convergență, lucru pe care îl vom examina mai târziu. La seriile infinite avem multe criterii de convergență. Toate acestea au analoage la transformatele Laplace. Ne vom mulțumi să enunțăm numai două din acestea. Analoagă criteriului raportului este următoarea afirmație: *Dacă $|f(t)| \leq M \varepsilon^{ct}$ pentru o constantă dată M și un număr dat c , pentru orice t , atunci integrala Laplace converge absolut pentru $\sigma > c$.* Această afirmație se verifică imediat căci

$$\int_0^{\infty} |\varepsilon^{-st} f(t)| dt \leq M \int_0^{\infty} \varepsilon^{-\sigma t} \varepsilon^{ct} dt = \frac{M}{\sigma - c} \quad (\sigma > c). \quad (11)$$

Avem astfel un criteriu suficient pentru existența integralei Laplace. Funcțiile care satisfac inegalitatea

$$|f(t)| \leq M \varepsilon^{ct} \text{ pentru un anumit } M \text{ și pentru } t > 0 \quad (12)$$

Se numesc funcții de ordin (identice de creștere) *exponențial*. Ordinul unei funcții este cel mai mic număr σ_0 astfel ca inegalitatea (12) să fie satisfăcută pentru orice

$$c = \sigma_0 + \delta \quad (\delta > 0) \quad (13)$$

și pentru nici un $c = \sigma_0 - \delta$. În acest caz am stabilit că integrala Laplace converge absolut pentru $\sigma > \sigma_0$ și diverge pentru $\sigma < \sigma_0$. Multe funcții care nu sînt de ordin exponențial admit transformate Laplace. Totuși, putem enunța următoarea condiție necesară și suficientă, care arată că integrala unei funcții transformabile este de ordin exponențial.

¹⁾ Adică pentru s avînd $\sigma = \sigma_c$ integrala poate sau nu să fie convergentă (N.T.)

Funcția $f(t)$ este transformabilă, cu abscisa de convergență $\sigma_0 > 0$ dacă și numai dacă funcția

$$g(t) = \int_0^t f(x) dx \quad (14)$$

satisface

$$|g(t)| \leq M e^{ct} \quad (15)$$

pentru orice $c > \sigma_0$

Demonstrația acestei afirmații se face folosind integrala Stieltjes și nu o putem da aici. Vom folosi această teoremă pentru a obține un criteriu analog cu criteriul rădăcinii al lui Cauchy pentru serii de puteri.

Fie $g(t)$ funcția definită în (14). Dacă

$$\lim_{t \rightarrow \infty} \frac{\ln |g(t)|}{t} = c \neq 0, \quad (16)$$

atunci abscisa de convergență a integralei Laplace a lui $f(t)$ este c . Integrala converge pentru $\sigma > c$ și diverge pentru $\sigma < c$. Dacă $c=0$ criteriul nu poate afirma nimic asupra convergenței.

În cazul seriilor de puteri, regiunile de convergență, convergență absolută și convergență uniformă coincid. Am afirmat că în cazul integralei Laplace, regiunile de convergență și convergență absolută coincid, amîndouă fiind semiplane. Deci ne putem pune întrebarea dacă și regiunea de convergență uniformă coincide cu regiunea de convergență. Regiunea de convergență uniformă ¹⁾ este stabilită de următoarea teoremă, dată aici fără demonstrație :

Dacă integrala Laplace converge pentru $s = \sigma_0$, atunci ea converge uniform în sectorul

$$|\arg(s - \sigma_0)| \leq \left(\frac{\pi}{2}\right) - \delta. \quad (17)$$

penru orice $\delta > 0$

Această regiune este arătată în fig. A.3.1. Putem considera σ_0 ca fiind abscisa de convergență σ_c dacă integrala converge în acest punct. Dacă nu, σ_0 este un punct arbitrar de apropiat de σ_c , la dreapta acestuia.

¹⁾ Considerînd integrala ca o integrală cu parametrul s , aici este vorba de convergența uniformă în raport cu s . (N.T.)

Totuși, în cazul funcțiilor de ordin exponențial, regiunea de convergență uniformă coincide cu regiunea de convergență; adică putem lua $\delta=0$ în teorema de mai sus.

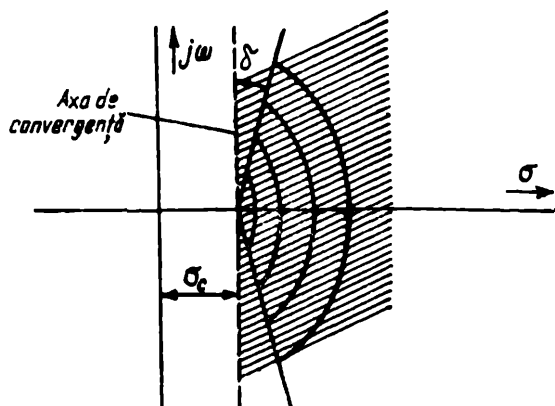


Fig. A.3.1. Regiunea de convergență și de convergență uniformă a integralei Laplace.

Pentru funcții de ordin exponențial regiunea de convergență uniformă este semiplanul

$$\sigma \geq \sigma_c + \delta \quad (\delta > 0),$$

unde σ_c este abscisa de convergență.

Demonstrarea acestei afirmații este cu totul similară cu demonstrația dată anterior pentru convergența absolută și deci o vom omite.

Astfel, comportarea integralei Laplace referitor la convergență este identică cu comportarea seriilor de puteri.

A. 3.2. PROPRIETĂȚI ANALITICE ALE TRANSFORMATEI LAPLACE

Folosim din nou analogia cu seriile de puteri; o serie de puteri definește o funcție analitică în interiorul cercului de convergență. Putem așadar să ne întrebăm dacă analogia se extinde și în această privință. Răspunsul la această întrebare este afirmativ, așa cum se arată în următoarea teoremă:

Dacă integrala

$$F(s) = \int_0^{\infty} e^{-st} f(t) dt \quad (18)$$

converge pentru $\sigma > \sigma_c$, atunci funcția $F(s)$ definită de integrală este regulată în semiplanul $\sigma > \sigma_c$. În fapt, derivata lui $F(s)$ este dată de

$$\frac{dF(s)}{ds} = \int_0^{\infty} \varepsilon^{-st} (-t) f(t) dt \quad (19a)$$

și în general

$$F^{(n)}(s) = \int_0^{\infty} \varepsilon^{-st} (-t)^n f(t) dt. \quad (19b)$$

Fiind dat orice punct s cu $\sigma > \sigma_c$, putem înconjura acest punct cu un cerc care este conținut în întregime în regiunea de convergență uniformă, deoarece δ în (17) este arbitrar. Apoi, datorită convergenței uniforme, operațiile de trecere la limită, integrare, derivare pot fi schimbate între ele. Deci :

$$\begin{aligned} \frac{d}{ds} F(s) &= \frac{d}{ds} \int_0^{\infty} \varepsilon^{-st} f(t) dt \\ &= \int_0^{\infty} \frac{\partial}{\partial s} \varepsilon^{-st} f(t) dt. \end{aligned}$$

Aceasta conduce la (19a). Convergența lui (19a) se stabilește ușor pentru funcții de ordin exponențial. Pentru cazul general integrăm prin părți.

Astfel, integrala Laplace definește o funcție regulată în semiplanul de convergență. Totuși, deși funcția $F(s)$ este definită de integrală numai în semiplanul de convergență, putem folosi procedeul *prelungirii analitice* pentru a extinde funcția peste abscisa de convergență ori de câte ori ea se poate prelungi. [În practică aceasta este o simplă formalitate, „prelungirea analitică” fiind pur și simplu o extindere a formulei pentru $F(s)$]. La această funcție analitică mai generală ne vom referi ca fiind *transformata Laplace*.

Dacă $F(s)$ este transformata Laplace a lui $f(t)$, vom numi $f(t)$ *funcție originală* și $F(s)$ *funcție generatoare*.

În acest concept mai general al transformatei Laplace, funcția generatoare, în general, va avea singularități. Ele trebuie să se afle în semiplanul $\sigma \leq \sigma$ sau la ∞ . Aici putem să ne referim din nou la analogia cu seriile de puteri. Funcția definită de o serie de puteri are întotdeauna un punct singular pe cercul de convergență. Ne întrebăm dacă $F(s)$ are un punct singular finit la abscisa de convergență σ_c . Aici analogia nu mai este valabilă. În general se poate să nu existe nici un punct singular la $\sigma = \sigma_c$. Următorul exemplu, a fost dat de Doestch :

$$f(t) = -\pi \varepsilon^t \sin(\pi \varepsilon^t). \quad (21)$$

Pentru această funcție, abscisa de convergență este zero. Totuși, transformata sa, satisface ecuația cu diferențe finite

$$F(s) = 1 - \frac{s(s+1)}{2} F(s+2) \quad (22)$$

astfel încît $F(s)$ este o funcție întreagă.

Totuși, în anumite cazuri speciale, transformata are un punct singular în $s = \sigma_c + j\omega$. De exemplu, dacă $f(t)$ este în mod esențial nenegativă, atunci se poate arăta că punctul real din planul s la abscisa de convergență este un punct singular. Această afirmație este prea specializată pentru a interesa în ceea ce ne privește astfel încît nu o vom demonstra. Rezultatul important care ne interesează este că transformata Laplace este o funcție analitică care este regulată în semiplanul de convergență al integralei de definiție. Transformata Laplace generală este funcția obținută prin prelungirea analitică a funcției inițiale.

Una din proprietățile analitice importante ale transformatei Laplace se referă la comportarea ei la ∞ . În legătură cu aceasta, avem următoarea teoremă :

Dacă funcția original $f(t)$ este o funcție de t absolut integrabilă, cu valori reale sau complexe și integrala Laplace este convergentă în s_0 , atunci cînd s tinde către ∞ în interiorul sectorului

$$|\arg(s-s_0)| \leq \left(\frac{\pi}{2}\right) - \delta \quad \text{cu } \delta > 0,$$

funcția generatoare $F(s)$ tinde către zero.

Pentru a demonstra această afirmație procedăm ca mai jos. Fie un $\varepsilon > 0$, dat. Deoarece $f(t)$ este o funcție absolut integrabilă, se poate găsi un T_1 suficient de mic încît pentru $\sigma > 0$.

$$\left| \int_0^{T_1} e^{-st} f(t) dt \right| < \int_0^{T_1} |f(t)| dt < \frac{\varepsilon}{3}. \quad (23)$$

Deoarece integrala Laplace este uniform convergentă în acest sector, există un T_2 suficient de mare, $T_2 > T_1$ și

$$\left| \int_{T_2}^{\infty} e^{-st} f(t) dt \right| < \frac{\varepsilon}{3} \quad (24)$$

pentru orice s din acest sector. Aceste două condiții, fixează pe T_1 și T_2 și deci valoarea integralei este

$$\int_{T_1}^{T_2} |f(t)| dt = M \quad (25)$$

în sfârșit, se poate găsi un σ_1 suficient de mare încît

$$\varepsilon^{-\sigma_1 T_1} < \frac{\varepsilon}{3M}$$

și să avem

$$\left| \int_{T_1}^{T_2} \varepsilon^{-st} f(t) dt \right| < \frac{\varepsilon}{3} \quad (\sigma > \sigma_1). \quad (26)$$

Deoarece s tinde către infinit în interiorul sectorului $|\arg(s-s_0)| \leq \pi/2 - \delta$, partea sa reală poate eventual depăși σ_1 . Dacă considerăm împreună relațiile (23), (24), (26) și impunem lui s restricția

$$|\arg(s-s_0)| \leq \frac{\pi}{2} - \delta \quad (\sigma > \sigma_1)$$

obținem

$$\left| \int_0^\infty \varepsilon^{-st} f(t) dt \right| = |F(s)| < \varepsilon \quad (27)$$

astfel încît

$$\lim_{\substack{s \rightarrow \infty \\ |\arg(s-s_0)| \leq \pi/2 - \delta}} F(s) = 0. \quad (28)$$

Astfel comportarea lui $F(s)$ la infinit are restricții; de exemplu punctul $s = \infty$ nu poate fi pol. Dacă $F(s)$ este regulată la $s = \infty$, ea trebuie să aibă acolo un zero; $F(\infty)$ nu poate fi o constantă diferită de zero. De exemplu, *dacă $F(s)$ este o funcție rațională, gradul polinomului de la numitor trebuie să fie strict mai mare decît gradul polinomului de la numărător*. Totuși, $F(s)$ poate avea un punct singular esențial sau un punct de ramificație la $s = \infty$. (Aceste condiții se aplică numai pentru funcțiile original cu valori reale sau complexe și nu se aplică și pentru funcțiile generalizate cum ar fi funcțiile impuls de diferite ordine. Transformata Laplace pentru funcțiile generalizate este tratată în Anexa 1.)

Vorbind despre comportarea generală a transformatei Laplace, ne putem pune încă o întrebare generală, anume asupra *unicității* sale. Problema este în special importantă atunci cînd dorim să aflăm funcția original din transformata sa Laplace. În scopul obținerii unui răspuns la această problemă fără a apela la concepte privitoare la funcții nule,

„măsură zero” și „aproape peste tot”, vom conveni să *normalizăm* funcția $f(t)$ definind

$$f(0) = \frac{1}{2} f(0+) \quad (29a)$$

$$f(t) = \frac{1}{2} [f(t+) + f(t-)], \quad (29b)$$

unde semnele $+$ și $-$ indică, ca de obicei, limitele la dreapta și la stânga în punctul după care urmează semnul. Vom presupune în mod implicit că aceste limite există.

Nu pot exista două funcții original normalizate $f_1(t)$ și $f_2(t)$ care au aceeași transformată Laplace $F(s)$.

Demonstrația acestei afirmații este prea complicată pentru a o considera aici. Dacă nu considerăm funcții normalizate, putem să tragem numai concluzia că $f_1(t)$ și $f_2(t)$ diferă cel mult printr-o funcție nulă.

A. 3.3. OPERAȚII ASUPRA FUNCȚIILOR ORIGINAL ȘI GENERATOARE

În aplicațiile din teoria rețelor interesează rezultatul efectuării diferitelor operații algebrice și analitice în domeniul t și s . În acest paragraf vom da sumar aceste rezultate.

Cea mai simplă din aceste operații este operația algebrică de combinație liniară, cu care deja ne-am ocupat. Funcția generatoare corespunzătoare unei combinații liniare de funcții original este aceeași combinație liniară a funcțiilor generatoare corespunzătoare; adică

$$\mathcal{L} \left\{ \sum_{i=1}^n k_i f_i(t) \right\} = \sum_{i=1}^n k_i \mathcal{L}\{f_i(t)\}. \quad (30)$$

Această liniaritate este foarte folositoare atât în transformata Laplace directă cit și inversă.

Produsele de convoluție real și complex

Cealaltă operație algebrică, înmulțirea într-unul din cele două domenii, duce la rezultate complicate. Rezultatele obținute sînt analoage cu acelea de la seriile infinite; de exemplu dacă avem două serii de puteri cu regiune

de convergență comună

$$F_1(s) = \sum_{n=0}^{\infty} a_n s^n \quad (31a)$$

$$F_2(s) = \sum_{n=0}^{\infty} b_n s^n \quad (31b)$$

atunci produsul celor două, este tot o serie de puteri

$$F_1(s) F_2(s) = \sum_{n=0}^{\infty} c_n s^n, \quad (32a)$$

unde

$$c_n = \sum_{k=0}^n a_{n-k} b_k = \sum_{k=0}^n a_k b_{n-k}. \quad (32b)$$

Seria produs converge în regiunea comună de convergență a celor două serii individuale. Sumele din (32b) sînt cunoscute ca *sume de convoluție*. Vom obține un rezultat analog în cazul transformatelor Laplace.

Dacă

$$F_1(s) = \int_0^{\infty} e^{-st} f_1(t) dt \quad (33)$$

și

$$F_2(s) = \int_0^{\infty} e^{-st} f_2(t) dt$$

au abscisele de convergență finite σ_1 și σ_2 , atunci produsul $F_1(s)F_2(s)$ este de asemenea o transformată Laplace,

$$F_1(s) F_2(s) = \int_0^{\infty} e^{-st} g(t) dt, \quad (34a)$$

unde

$$g(t) = \int_0^t f_1(x) f_2(t-x) dx = \int_0^t f_1(t-x) f_2(x) dx, \quad (34b)$$

avînd abscisa de convergență egală cu cea mai mare valoare a lui σ_1 și σ_2 .

Dacă $F_1(s)$ și $F_2(s)$ sînt transformatele Laplace ale lui $f_1(t)$ și $f_2(t)$ cu abscisele de convergență σ_1 și σ_2 , transformata Laplace a produsului $f_1(t) f_2(t)$ este dată de

$$L\{f_1(t) f_2(t)\} = \frac{1}{2\pi j} \int_{c-j\infty}^{c+j\infty} F_1(z) F_2(s-z) dz, \quad (35)$$

unde $\sigma_1 < c < \sigma - \sigma_2$ și $\sigma = \operatorname{Re}(s)$ este mai mare decît abscisa de convoluție $\sigma_1 + \sigma_2$.

Primul din aceste două rezultate este de considerabil interes în teoria rețelilor și este verificat în cap. 5. Al doilea rezultat nu ne interesează în mod special; vom renunța deci la demonstrație. Integralele din (34b) și (35) sînt cunoscute ca *integralele de convoluție*, prima reprezentînd un produs de convoluție real iar a doua un produs de convoluție complex.

Derivarea și integrarea

Vom considera în continuare, operațiile de derivare și integrare în ambele domenii. Acestea corespund după cum vom vedea multiplicării sau împărțirii prin s sau t . Derivarea în domeniul s a fost considerată anterior; să repetăm rezultatul aici

Dacă

$$L\{f(t)\} = F(s) \quad (36a)$$

atunci

$$L\{t^n f(t)\} = (-1)^n F^{(n)}(s), \quad (36b)$$

abscisa de convergență fiind aceeași.

După cum este de așteptat, operațiile inverse împărțirea prin t și integrarea în raport cu s corespund. Aici semnul negativ lipsește.

Dacă

$$L\{f(t)\} = F(s) \quad (37a)$$

atunci

$$L\left\{\frac{f(t)}{t}\right\} = \int_s^\infty F(z) dz, \quad (37b)$$

unde abscisele de convergență sînt aceleași iar conturul de integrare este restrîns la sectorul de convergență uniformă.

Această afirmație se poate verifica integrînd prin părți în domeniul s observînd că $F(s)$ tinde către zero cînd s tinde către infinit. Operații

mai importante decât cele precedente, în aplicațiile din teoria rețelelor, sînt derivarea și integrarea în domeniul timp. Aceste operații vor fi dualele celor de mai sus.

Fie $f(t)$ derivabilă (și deci continuă) pentru $t > 0$ iar derivata $f'(t)$ este transformabilă Laplace. Atunci $f(t)$ este de asemenea transformabilă și are aceeași abscisă de convergență.

Există, relația

$$L\{f'(t)\} = sF(s) - f(0+), \quad (38a)$$

în care

$$F(s) = L\{f(t)\}. \quad (38b)$$

și

$$f(0+) = \lim_{\substack{t \rightarrow 0 \\ t > 0}} f(t) \quad (38c)$$

Deoarece $f'(t)$ este transformabilă rezultă că $f(t)$ este de ordin exponențial și deci este transformabilă. Restul afirmației rezultă integrînd

$$\int_0^T e^{-st} f'(t) dt$$

prin părți și considerînd limita cînd T tinde către infinit.

Fie $f(t)$ o funcție integrabilă și transformabilă Laplace.

Fie

$$g(t) = \int_0^t f(x) dx. \quad (39)$$

Atunci $g(t)$ este de asemenea transformabilă, cu aceeași abscisă de convergență și

$$G(s) = \frac{1}{s} F(s), \quad (40)$$

unde $G(s)$ și $F(s)$ sînt respectiv transformatele Laplace ale lui $f(t)$ și $g(t)$.

Prima parte a afirmației se demonstrează ca mai sus. Ecuația (40) rezultă din (38b) observînd că $g(0+) = 0$ conform lui (39).

Aceste rezultate se extind imediat pentru derivate de ordin superior și integrări repetate, prin aplicarea repetată a teoremelor de mai sus.

Teoremele valorilor inițiale și finale

În estimarea comportării răspunsului tranzitoriu al unui sistem liniar sînt de un considerabil interes alte două operații limită. Prima din ele va da legătura între valoarea lui $f(t)$ la $t=0$ și o valoare particulară a lui $F(s)$.

Definiția transformatei Laplace dă numai legătura între valorile lui $f(t)$ pe întreaga axă reală pozitivă t și comportarea lui $F(s)$ într-un semiplan complex. Relația dorită este următoarea :

Dacă $\mathcal{L}\{f(t)\} = F(s)$, avînd o abscisă de convergență $\sigma_c < \sigma_0$ și dacă $f'(t)$ este transformabilă atunci

$$f(0+) = \lim_{s \rightarrow \infty} s F(s) \quad (41)$$

în care limita din membrul drept trebuie luată în sectorul

$$|\arg(s - \sigma_0)| \leq \left(\frac{\pi}{2}\right) - \delta.$$

Aceasta se numește *teorema valorii inițiale*.

Pentru a demonstra această afirmație vom considera formula de derivare

$$L\{f'(t)\} = s F(s) - f(0+) \quad (42)$$

și vom lua limita pentru s tinzînd la ∞ în sectorul specificat. Deoarece $\mathcal{L}\{f'(t)\}$ este o transformată Laplace ea tinde la zero cînd s tinde către infinit în acest sector. Rezultatul obținut va fi (41).

Ne putem aștepta, în mod analog, să obținem valoarea finală luînd limita lui (42) cînd s tinde către zero. Dar aici vom avea dificultăți deoarece

$$\lim_{s \rightarrow 0} s F(s) = f(0+) + \lim_{s \rightarrow 0} \int_0^{\infty} f'(t) \varepsilon^{-st} dt, \quad (43)$$

în care limita trebuie să fie calculată pentru $|\arg s| \leq (\pi/2) - \delta$

În primul rînd nu este evident că limita din membrul drept există. Dacă există, nu putem vedea care este valoarea ei. Totuși, dacă schimbăm între ele limita și integrala, obținem

$$\int_0^{\infty} \lim_{s \rightarrow 0} f'(t) \varepsilon^{-st} dt = \int_0^{\infty} f'(t) dt = f(\infty) - f(0+). \quad (44)$$

Dacă presupunem convergență uniformă a integralei Laplace a lui $f'(t)$ într-o regiune ce include $s=0$, atunci această schimbare se poate face. Totuși, în acest caz, abscisele de convergență atît a lui $f(t)$ cît și a lui $f'(t)$ trebuie să fie negative. Dar acest lucru este posibil numai dacă $f(t)$ tinde către zero cînd t tinde către infinit ; adică

$$f(\infty) = 0 \quad (45)$$

Dar în acest caz, întreaga teoremă este lipsită de conținut. Deci în scopul stabilirii acestei teoreme schimbarea ordinii operațiilor de trecere la limită și integrare trebuie justificată cu ajutorul unei condiții mai fine decît convergența uniformă. Această necesitate face ca demonstrația să nu se încadreze în scopul prezentei lucrări. Teorema dorită se enunță astfel :

Dacă $f(t)$ și $f'(t)$ sînt transformabile Laplace și $sF(s)$ este regulată pe axa $j\omega$ și în semiplanul drept, atunci

$$\lim_{t \rightarrow \infty} f(t) = \lim_{s \rightarrow 0+} s F(s), \quad (46)$$

unde limita din dreapta se va calcula de-a lungul axei reale pozitive. Aceasta este teorema valorii finale.

Teorema translației (deplasării)

Ultimele două operații pe care le vom considera sînt înmulțirea lui $f(t)$ sau $F(s)$ cu o funcție exponențială. Considerăm mai întîi înmulțirea lui $F(s)$ cu ε^{-as} unde a este un număr nenegativ. Avem

$$\begin{aligned} \varepsilon^{-as} F(s) &= \varepsilon^{-as} \int_0^{\infty} \varepsilon^{-st} f(t) dt \\ &= \int_0^{\infty} \varepsilon^{-t'(t+a)} f(t) dt. \end{aligned} \quad (47)$$

Dacă facem substituția $x=t+a$ iar apoi schimbăm variabila auxiliară x în t , obținem

$$\varepsilon^{-as} F(s) = \int_a^{\infty} \varepsilon^{-st} f(t-a) dt. \quad (48)$$

Dacă presupunem că $f(t)$ este nulă pentru $t < 0$, atunci $f(t-a)$ este nulă pentru $t < a$ iar limita inferioară a integralei se poate înlocui cu zero. Pentru a arăta că $f(t-a)$ este zero cînd $t < a$, o vom scrie sub forma $f(t-a)u(t-a)$. Funcția $u(x)$ este funcția treaptă unitate definită ca zero pentru x negativ și unu pentru x pozitiv. Acest lucru conduce la următoarea afirmație :

Dacă $\mathcal{L}\{f(t)\} = F(s)$ iar a este un număr real nenegativ, atunci

$$L[f(t-a)u(t-a)] = \varepsilon^{-as}F(s), \quad (49)$$

cu aceeași abscisă de convergență.

Afirmația de mai sus se numește *teorema deplasării reale* sau *teorema translației*, deoarece $f(t-a)$ se obține din $f(t)$ prin deplasarea acesteia la dreapta cu a unități.

Operația de multiplicare a lui $f(t)$ cu ϵ^{at} conduce la o afirmație analogă. Aceasta se numește *teorema deplasării în complex*.

Dacă $\mathcal{L}\{f(t)\} = F(s)$ cu abscisa de convergență σ_c , atunci

$$L[\epsilon^{at} f(t)] = F(s + a), \quad (50)$$

avînd abscisa de convergență $\sigma_c + \operatorname{Re}(a)$.

Această teoremă rezultă direct din definiția transformatei Laplace.

A.3.4. INTEGRALA COMPLEXĂ DE INVERSIUNE

Vom considera acum problema găsirii funcției originale $f(t)$, cunoscînd funcția generatoare $F(s)$. Deoarece teorema de unicitate spune că două funcții esențial diferite $f(t)$ nu pot conduce la aceeași funcție $F(s)$, putem presupune că există o transformare inversă care va da $f(t)$. Intuitiv este de așteptat ca transformarea inversă să fie de asemenea o integrală, de data aceasta o integrală complexă în domeniul s . Ea trebuie să conțină o anumită funcție nucleu de s și t deoarece rezultatul trebuie să fie o funcție de t . Într-adevăr așa se întîmplă, după cum ne va arăta următoarea teoremă:

Fie $\mathcal{L}\{f(t)\} = F(s)$, cu abscisa de convergență σ_c . Atunci

$$\frac{1}{2\pi j} \int_{c-j\infty}^{c+j\infty} F(s) \epsilon^{st} ds = \begin{cases} 0 & t < 0 \\ \frac{1}{2} f(0+) & t = 0 \\ \frac{1}{2} [f(t+) + f(t-)] & t > 0 \end{cases} \quad (51)$$

unde $c > \sigma_c$. Aceasta este cunoscută ca *integrala de inversiune*.

Demonstrația acestei importante teoreme implică cunoașterea teoremei integralei Fourier și a mai multor rezultate din teoria integralei Lebesgue. Vom presupune în mod implicit aplicată normalizarea și scriem

$$\frac{1}{2\pi j} \int_{c-j\infty}^{c+j\infty} F(s) \epsilon^{st} ds = f(t) u(t) \quad (52)$$

sau simplu

$$\frac{1}{2\pi j} \int_{c-j\infty}^{c+j\infty} F(s) \epsilon^{st} ds = f(t), \quad (53)$$

subînțelegînd că $f(t) = 0$ pentru $t < 0$.

Atunci cînd se dă numai funcția $F(s)$, în general nu cunoaștem σ_c . Totuși, știm că $F(s)$ este regulată pentru $\sigma > \sigma_c$. Deci, în acest caz vom alege pentru conturul de integrare o dreaptă verticală situată la dreapta tuturor punctelor singulare ale lui $F(s)$. Un astfel de contur este cunoscut sub numele de *contur Bromwich*, după numele celebrului matematician T.J.I. A. Bromwich, care a adus contribuții importante la teoria transformării

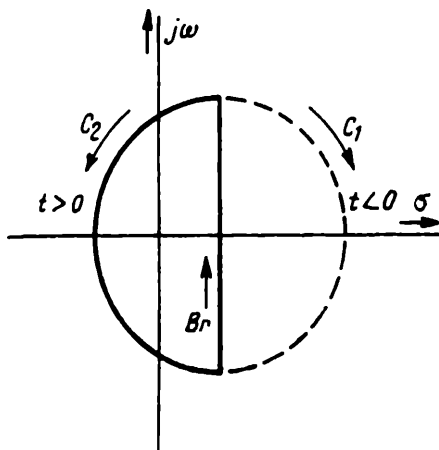


Fig. A.3.2. Evaluarea integralei de inversiune.

Laplace. Adesea se utilizează lângă semnul de integrală, în locul limitelor, prescurtarea „Br.”, pentru a indica acest contur.

Am văzut în Paragraful 6 din Anexa 2 că de multe ori se poate folosi teorema reziduurilor pentru evaluarea integralelor de acest tip. Pentru a putea aplica teorema reziduurilor va trebui să conchidem conturul. Considerăm cele două contururi închise din fig. A. 3.2. Dacă integrandul $F(s)\varepsilon''$ satisface lema lui Jordan pe unul din arcele semicirculare, putem evalua integrala cu ajutorul teoremei reziduurilor. Dacă lema lui Jordan este îndeplinită pe arcul din dreapta : adică

$$\lim_{s \rightarrow \infty} sF(s)\varepsilon'' = 0, \quad |\arg(s - \sigma_0)| \leq \pi/2 - \delta.$$

(afirmație adevărată de exemplu, pentru $t < 0$), integrala pe C_1 din fig.A.3.2 este zero. Deoarece, în plus, integrala pe conturul închis este zero căci în interior nu se găsesc singularități, rezultă că integrala de inversiune este zero.

Dacă se satisface lema lui Jordan pe arcul semicircular din stînga, lucru care se întîmplă în foarte multe cazuri, atunci integrala pe conturul închis C_2 este de $2\pi j$ ori suma reziduurilor lui $F(s)\varepsilon''$ în punctele singulare cuprinse în contur. Incluzînd în (52), factorul $2\pi j$, rezultă :

Dacă $F(s) \rightarrow 0$ cînd $s \rightarrow \infty$, în mod uniform, în sectorul $|\arg(s - \sigma_0)| \geq \pi/2 - \delta$ atunci pentru $t > 0$,

$f(t) = \sum \text{reziduurilor lui } F(s)\varepsilon^{at}$ în singularitățile finite ale lui $F(s)$.

Acesta este un rezultat extrem de folositor. Pentru funcțiile simple, de exemplu funcții raționale, putem evalua $f(t)$ foarte ușor aplicând această teoremă. Pentru ca funcția rațională să fie o transformată Laplace, gradul polinomului de la numitor trebuie să depășească gradul polinomului de la numărător conform condiției (28). Astfel, formula de inversiune cu ajutorul reziduurilor se poate întotdeauna aplica funcțiilor raționale proprii.

În scurta prezentare a transformatei Laplace a trebuit să omitem mai multe teoreme și demonstrații de importanță considerabilă. Totuși, cel puțin s-au enunțat toate rezultatele care sînt folosite în capitolele acestei cărți. Pentru cei ce doresc o tratare mai amănunțită, în bibliografie sînt citate mai multe lucrări consacrate subiectului. Încheim discuția cu un scurt tabel (A. 3.1) al perechilor de transformate care sînt necesare în aplicații.

Tabelul A. 3.1.

Tabelul perechilor de transformate Laplace

$f(t)$	$F(s) = \mathcal{L}\{f(t)\}$
df/dt	$sF(s) - f(0+)$
d^2f/dt^2	$s^2F(s) - sf(0+) - f'(0+)$
$d^n f/dt^n$	$s^n F(s) - s^{n-1}f(0+) - \dots - f^{(n-1)}(0+)$
$\int_0^t f(\tau) d\tau$	$\frac{1}{s} F(s)$
$\int_0^t \int_0^\tau f(\lambda) d\lambda d\tau$	$\frac{1}{s^2} F(s)$
$t^n f(t)$	$(-1)^n \frac{d^n}{ds^n} F(s)$
$\frac{1}{t} f(t)$	$\int_s^\infty F(\sigma) d\sigma$
$\int_0^t f_1(t-\tau) f_2(\tau) d\tau$	$F_1(s)F_2(s)$
$f(t)\varepsilon^{-\alpha t}$	$F(s+\alpha)$
$f(t/\alpha)$	$\alpha F(\alpha s)$
$f(t-\alpha)u(t-\alpha)$	$\varepsilon^{-\alpha s} F(s)$
$\delta^{(n)}(t)$	s^n
$\delta^{(1)}(t)$	s
$\delta(t)$	1

Tabelul A.3.1 (continuare)

$f(t)$	$F(s) = \{f(t)\}$
$u(t)$	$\frac{1}{s}$
t	$\frac{1}{s^2}$
t^n	$\frac{n!}{s^{n+1}}$
$e^{-\alpha t}$	$\frac{1}{s + \alpha}$
$t e^{-\alpha t}$	$\frac{1}{(s + \alpha)^2}$
$t^n e^{-\alpha t}$	$\frac{n!}{(s + \alpha)^{n+1}}$
$\sin \omega t$	$\frac{\omega}{s^2 + \omega^2}$
$\cos \omega t$	$\frac{s}{s^2 + \omega^2}$
$e^{-\alpha t} \sin \omega t$	$\frac{\omega}{(s + \alpha)^2 + \omega^2}$
$e^{-\alpha t} \cos \omega t$	$\frac{s + \alpha}{(s + \alpha)^2 + \omega^2}$
$t \sin \omega t$	$\frac{2\omega s}{(s^2 + \omega^2)^2}$
$t \cos t$	$\frac{s^2 - \omega^2}{(s^2 + \omega^2)^2}$
$t e^{-\alpha t} \sin \omega t$	$\frac{2\omega(s + \alpha)}{[(s + \alpha)^2 + \omega^2]^2}$
$t e^{-\alpha t} \cos \omega t$	$\frac{(s + \alpha)^2 - \omega^2}{[(s + \alpha)^2 + \omega^2]^2}$